

POWER TRANSISTORS

TRANSISTORS DE PUISSANCE

DIVISION SEMICONDUCTEURS DISCRETS



1983



THOMSON-CSF
COMPOSANTS

contents

sommaire

| | |
|-------------------------------------|-------------|
| numerical alphabetical index | 3 |
| index alphanumérique | |
| selector guides | 11 |
| guides de sélection | |
| symbols | 35 |
| symboles | |
| technical information | 41 |
| information technique | |
| data sheets | 51 |
| notices | |
| cases | 1091 |
| boîtiers | |
| sales representatives | 1097 |
| réseaux commerciaux | |

library

bibliothèque

Catalogs

Catalogues

| | | |
|--|------|------------|
| Power transistors Transistors de puissance | 1983 | (Bil. E/F) |
| RF and microwaves power transistors Transistors de puissance RF et hyperfréquence | 1982 | (E) |
| Micropackaged discrete semiconductors Semicconducteurs discrets en microboîtiers | 1982 | (Bil. E/F) |
| Fast recovery rectifier diodes Diodes de redressement rapides | 1982 | (Bil. E/F) |

Manuals

Manuels d'applications

| | |
|---|-------------------|
| Le transistor de puissance dans son environnement Power transistors in its environment Handbuch Schaltransistoren | (F) (E) (D) |
|---|-------------------|

Technical information

Information technique

| | | |
|-------|---|-----|
| TI 11 | Transistorized chopper for 300 A output current | (E) |
| TI 12 | Concept for improved low cost fly-back converter | (E) |
| TI 13 | High voltage transistors chopping the 380/420 V mains | (E) |
| TI 14 | Fast switching with power transistors | (E) |
| TI 15 | Short circuit protection of transistors | (E) |
| TI 16 | Transistor or thyristor | (E) |
| IT 16 | Transistor ou thyristor | (F) |
| TI 17 | 600 A transistor chopper for high efficiency motor speed control | (E) |
| TI 18 | Which is the best switch | (E) |
| TI 19 | New developments in asymmetrical power thyristors | (E) |
| IT 19 | Nouveaux développements dans le domaine des thyristors asymétriques de puissance | (F) |
| IT 24 | Comment choisir une Transil | (F) |
| TI 24 | How to choose a Transil | (E) |
| TI 25 | How to improve transistorized bridge convertors | (E) |
| TI 26 | Parallel operation of switching power transistors | (E) |
| TI 27 | Understanding the gate assisted turn-off of an interdigitated ultra-fast, asymmetrical power thyristor (G.A.T.A.S.C.R.) | (E) |
| TI 28 | How to optimize the darlington switch | (E) |
| IT 29 | A propos des diodes rapides utilisées dans les alimentations à découpage | (F) |
| IT 30 | Choix des semiconducteurs de puissance dans les alimentations à découpage fonctionnant sur le réseau 220 V | (F) |
| TI31 | Improving the turn-on of the gate assisted turn-off asymmetrical power thyristor (G.A.T.A.S.C.R.) | (E) |
| IT 32 | Le Triac | (F) |
| TI 33 | For energy conversion and motor control triacs or alternistors | (E) |
| TI 34 | Have a closer look to switching losses | (E) |
| TI 35 | How to improve operating reliability of transistorized equipments | (E) |

(Bil. E/F) Bilingue English/Français

(E) English

(F) Français

(D) Deutsch

numerical alphabetical index

index numérique alphabétique

| Type | Page | Type | Page | Type | Page |
|-----------|------|----------|------|----------|------|
| 2N 2890 | 51 | BD 241 C | 187 | BD 907 | 227 |
| 2N 2891 | 51 | BD 242 | 191 | BD 908 | 231 |
| 2N 3053 | 59 | BD 242 A | 191 | BD 909 | 227 |
| 2N 3054 | 65 | BD 242 B | 191 | BD 910 | 231 |
| 2N 3055 | 73 | BD 242 C | 191 | BD 911 | 227 |
| 2N 3055 S | 81 | BD 243 | 195 | BD 912 | 231 |
| 2N 3439 | 87 | BD 243 A | 195 | BDV 64 | 235 |
| 2N 3440 | 87 | BD 243 B | 195 | BDV 64 A | 235 |
| 2N 3441 | 93 | BD 243 C | 195 | BDV 64 B | 235 |
| 2N 3442 | 101 | BD 244 | 197 | BDV 65 | 237 |
| 2N 3583 | 109 | BD 244 A | 197 | BDV 65 A | 237 |
| 2N 3584 | 109 | BD 244 B | 197 | BDV 65 B | 237 |
| 2N 3585 | 109 | BD 244 C | 197 | BDV 66 | 239 |
| 2N 3740 | 119 | BD 249 | 199 | BDV 66 A | 239 |
| 2N 3741 | 119 | BD 249 A | 199 | BDV 66 B | 239 |
| 2N 3771 | 125 | BD 249 B | 199 | BDV 67 | 241 |
| 2N 3772 | 125 | BD 249 C | 199 | BDV 67 A | 241 |
| 2N 3773 | 135 | BD 250 | 201 | BDV 67 B | 241 |
| 2N 5294 | 143 | BD 250 A | 201 | BDX 14 | 243 |
| 2N 5296 | 143 | BD 250 B | 201 | BDX 16 | 249 |
| 2N 5415 | 155 | BD 250 C | 201 | BDX 18 | 255 |
| 2N 5416 | 155 | BD 301 | 203 | BDX 18 N | 255 |
| 2N 5496 | 161 | BD 302 | 211 | BDX 20 | 263 |
| 2N 6099 | 167 | BD 303 | 203 | BDX 33 | 269 |
| 2N 6101 | 167 | BD 303 A | 203 | BDX 33 A | 269 |
| 2N 6107 | 177 | BD 303 B | 203 | BDX 33 B | 269 |
| 2N 6109 | 177 | BD 304 | 211 | BDX 33 C | 269 |
| 2N 6111 | 177 | BD 304 A | 211 | BDX 33 D | 269 |
| 2N 6671 | 181 | BD 304 B | 211 | BDX 34 | 275 |
| 2N 6672 | 181 | BD 705 | 219 | BDX 34 A | 275 |
| 2N 6673 | 181 | BD 706 | 223 | BDX 34 B | 275 |
| 2N 6674 | 183 | BD 707 | 219 | BDX 34 C | 275 |
| 2N 6675 | 183 | BD 708 | 223 | BDX 34 D | 275 |
| 2N 6676 | 185 | BD 709 | 219 | BDX 53 | 281 |
| 2N 6677 | 185 | BD 710 | 223 | BDX 53 A | 281 |
| 2N 6678 | 185 | BD 711 | 219 | BDX 53 B | 281 |
| BD 241 | 187 | BD 712 | 223 | BDX 53 C | 281 |
| BD 241 A | 187 | BD 905 | 227 | BDX 53 D | 281 |
| BD 241 B | 187 | BD 906 | 231 | BDX 54 | 285 |

numerical alphabetical index

index numérique alphabétique

| Type | Page | Type | Page | Type | Page |
|----------|------|-----------|------|----------|------|
| BDX 54 A | 285 | BDY 79 | 341 | BUV 22 | 501 |
| BDX 54 B | 285 | BU 104 | 347 | BUV 23 | 511 |
| BDX 54 C | 285 | BU 104 D | 357 | BUV 24 | 519 |
| BDX 54 D | 285 | BU 104 DP | 365 | BUV 25 | 527 |
| BDX 62 | 289 | BU 104 P | 373 | BUV 26 | 535 |
| BDX 62 A | 289 | BU 109 | 347 | BUV 27 | 541 |
| BDX 62 B | 289 | BU 109 D | 357 | BUV 28 | 547 |
| BDX 62 C | 289 | BU 109 DP | 365 | BUV 36 | 553 |
| BDX 63 | 293 | BU 109 P | 373 | BUV 37 | 555 |
| BDX 63 A | 293 | BU 126 | 381 | BUV 39 | 559 |
| BDX 63 B | 293 | BU 184 | 391 | BUV 40 | 563 |
| BDX 63 C | 293 | BU 189 | 391 | BUV 41 | 567 |
| BDX 64 | 297 | BU 204 | 395 | BUV 42 | 571 |
| BDX 64 A | 297 | BU 205 | 395 | BUV 46 | 575 |
| BDX 64 B | 297 | BU 206 | 395 | BUV 46 A | 575 |
| BDX 64 C | 297 | BU 207 | 399 | BUV 47 | 581 |
| BDX 65 | 301 | BU 208 | 399 | BUV 47 A | 581 |
| BDX 65 A | 301 | BU 209 | 399 | BUV 47 B | 581 |
| BDX 65 B | 301 | BU 284 | 407 | BUV 47 i | 587 |
| BDX 65 C | 301 | BU 289 | 407 | BUV 48 | 593 |
| BDX 66 | 305 | BU 326 | 411 | BUV 48 A | 593 |
| BDX 66 A | 305 | BU 326 A | 419 | BUV 48 B | 593 |
| BDX 66 B | 305 | BU 326 AP | 427 | BUV 48 i | 599 |
| BDX 67 | 307 | BU 326 P | 429 | BUV 50 | 605 |
| BDX 67 A | 307 | BU 406 | 431 | BUV 51 | 609 |
| BDX 67 B | 307 | BU 406 D | 437 | BUV 52 | 613 |
| BDY 23 | 309 | BU 407 | 431 | BUV 54 | 617 |
| BDY 24 | 309 | BU 407 D | 437 | BUV 60 | 619 |
| BDY 25 | 309 | BU 800 | 443 | BUV 61 | 623 |
| BDY 26 | 317 | BU 926 | 449 | BUV 62 | 627 |
| BDY 27 | 317 | BUS 47 | 451 | BUV 74 | 631 |
| BDY 28 | 317 | BUS 48 | 453 | BUV 98 | 633 |
| BDY 55 | 325 | BUT 90 | 455 | BUV 98 A | 633 |
| BDY 56 | 325 | BUT 91 | 461 | BUW 34 | 641 |
| BDY 57 | 333 | BUT 92 | 469 | BUW 35 | 641 |
| BDY 58 | 333 | BUV 18 | 471 | BUW 36 | 641 |
| BDY 71 | 65 | BUV 19 | 471 | BUW 38 | 643 |
| BDY 72 | 93 | BUV 20 | 481 | BUW 39 | 643 |
| BDY 78 | 341 | BUV 21 | 491 | BUW 48 | 653 |

numerical alphabetical index

index numérique alphabétique

| Type | Page | Type | Page | Type | Page |
|----------|------|------------|------|-------------|------|
| BUW 49 | 653 | BUX 54 | 925 | ESM 10045 | 1077 |
| BUW 50 | 663 | BUX 80 | 933 | ESM 10050 | 1077 |
| BUW 51 | 667 | BUX 81 | 933 | MJE 13004 | 1083 |
| BUW 52 | 671 | BUX 84 | 935 | MJE 13005 | 1083 |
| BUW 89 | 675 | BUX 85 | 935 | MJE 13005 A | 1083 |
| BUW 90 | 679 | BUX 98 | 937 | MJE 13006 | 1085 |
| BUW 91 | 683 | BUX 98 A | 937 | MJE 13007 | 1085 |
| BUW 92 | 687 | ESM 16 | 945 | MJE 13007 A | 1085 |
| BUX 10 | 693 | ESM 737 | 953 | MJE 13008 | 1087 |
| BUX 11 | 703 | ESM 738 T | 955 | MJE 13009 | 1087 |
| BUX 11 N | 713 | ESM 749 | 963 | MJE 13009 A | 1087 |
| BUX 12 | 721 | ESM 749 A | 963 | | |
| BUX 13 | 729 | ESM 750 | 971 | | |
| BUX 14 | 737 | ESM 750 A | 971 | | |
| BUX 15 | 745 | ESM 752 | 979 | | |
| BUX 20 | 753 | ESM 752 A | 979 | | |
| BUX 21 | 763 | ESM 753 | 987 | | |
| BUX 22 | 773 | ESM 753 A | 987 | | |
| BUX 23 | 783 | ESM 837 | 991 | | |
| BUX 24 | 791 | ESM 952 | 1001 | | |
| BUX 25 | 799 | ESM 952 A | 1001 | | |
| BUX 37 | 807 | ESM 1000 T | 1009 | | |
| BUX 39 | 811 | ESM 1503 | 1017 | | |
| BUX 40 | 821 | ESM 2040 D | 1023 | | |
| BUX 41 | 831 | ESM 2060 T | 1031 | | |
| BUX 41 N | 841 | ESM 2070 D | 1039 | | |
| BUX 42 | 849 | ESM 3000 | 1043 | | |
| BUX 43 | 857 | ESM 3001 | 1043 | | |
| BUX 44 | 865 | ESM 3002 | 1047 | | |
| BUX 45 | 873 | ESM 3004 | 1051 | | |
| BUX 46 | 881 | ESM 3005 | 1051 | | |
| BUX 46 A | 881 | ESM 3006 | 1059 | | |
| BUX 47 | 887 | ESM 3007 | 1059 | | |
| BUX 47 A | 887 | ESM 4012 | 1061 | | |
| BUX 48 | 893 | ESM 4014 | 1063 | | |
| BUX 48 A | 893 | ESM 4015 | 1063 | | |
| BUX 49 | 901 | ESM 4016 | 1071 | | |
| BUX 50 | 909 | ESM 4017 | 1071 | | |
| BUX 51 | 917 | ESM 10040 | 1077 | | |

superswitch

A wide range of high performance power semiconductors for fast and high efficiency switching : you may choose the best Superswitch for your own application.

A large choice of plastic and metallic packages to meet your environment and mounting needs : from the small flat TO-220 to the 2.5 kV isolated ISO-TOP case and to the new isolated TOP 3 case.

Power transistors, darlingtons, fast recovery diodes for :

- Switching frequencies up to 220 kHz
- Supply voltages from 12 V to 700 V
- Output powers up to 100 kW.

Application orientated specifications of products. Complete and detailed data-sheets for easy circuit design and worst-case simulation.

Innovative technology : try today power semiconductor's state of the arts.

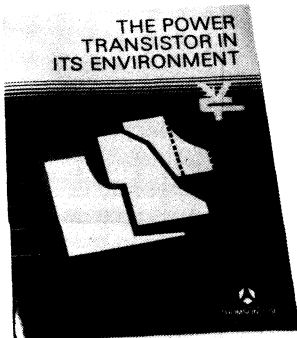
Fast switching semiconductors for :

- Switchmode power supplies
- DC-AC converters
- DC and AC motor drives
- Ultrasonic generators
- Induction heating...

...But also the necessary «software» to help you

- to improve the base drive
- to define the S.O.A. in the switching mode
- to know what a transistor will do with a short circuit on the load.
- to understand the new concept «switching overload area»
- to know all about inverse currents in transistor bridges
- to choose a switching power transistor (ICM - IC - $IC(sat)$)
- to parallel bipolar transistors.

You will find all the foregoing information together with application examples in the handbook : «THE POWER TRANSISTOR IN ITS ENVIRONMENT»



superswitch

Une gamme étendue de semiconducteurs de puissance pour la commutation rapide à haut rendement. Choisissez le Superswitch le mieux adapté pour votre application.

Un large choix de boîtiers plastiques ou métalliques pour satisfaire aux besoins de votre environnement et de votre montage : depuis le petit boîtier plat TO-220 jusqu'au nouveau boîtier ISO TOP isolé à 2,5 kV.

Des transistors, des darlingtons, des diodes à recouvrement rapide de puissance pour :

- *des fréquences de commutation jusqu'à 200 kHz*
- *des alimentations de 12 V à 700 V ;*
- *des puissances de sorties pouvant atteindre 100 kW.*

Des produits spécifiés en vue de leur application.

Des notices complètes et détaillées pour permettre une conception facile du circuit et la simulation du pire cas.

Une technologie innovative : essayez aujourd'hui les semiconducteurs de puissance de demain.

Des semiconducteurs de commutation rapide pour :

- *les alimentations à découpage ;*
- *les convertisseurs continus-alternatifs ;*
- *les commandes de moteurs continus ou alternatifs*
- *les générateurs à ultra son ;*
- *le chauffage à induction ;*

... Et en plus le savoir-faire nécessaire pour vous aider :

- *à optimiser la commande de base ;*
- *à définir l'aire de sécurité de fonctionnement en régime de commutation ;*
- *à connaître le comportement du transistor en présence d'un court-circuit sur la charge ;*
- *à comprendre le nouveau concept de «l'aire de surcharge en commutation» ;*
- *à tout connaître des courants inverses dans les ponts à transistors ;*
- *à choisir un transistor de puissance de commutation (I_{CM} - I_C - I_{Csat}) ;*
- *à câbler en parallèle des transistors bipolaires ;*

Vous trouverez toutes les informations ci-dessus, avec des exemples d'applications dans l'ouvrage : «LE TRANSISTOR DE PUISSANCE DANS SON ENVIRONNEMENT».





superswitch 2, innovative fast switching power transistor for up-to-date circuit solutions

Your advantages thanks to Superswitch 2 :

| | |
|---|--|
| ● low-cost base drive | due to improved gain specification : $h_{21E} \geq 20$ at $\frac{I_C(\text{sat})}{2}$ |
| ● less on-state losses | improvement of 25 % to 40 % |
| ● less switching losses | 20 % to 35 % lower than common Pro-Electron and Jedec devices |
| ● less or no snubber circuits | thanks to less losses and low junction temperature |
| ● less cooling or lower junction operating temperature, so higher reliability | as a consequence of all improvements |
| ● optimal design and worst-case simulation | thanks to complete and detailed data-sheets |

SUPERSWITCH²

superswitch 2, des transistors de puissance innovatifs pour les circuits d'aujourd'hui

Les avantages de Superswitch 2 :

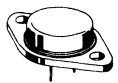
| | |
|---|---|
| ● <i>commande de base plus économique</i> | <i>amélioration du gain $h_{21E} \geq 20$ à $\frac{I_C(\text{sat})}{2}$</i> |
| ● <i>Moins de pertes en conduction</i> | <i>réduite de 25 % à 40 %</i> |
| ● <i>Moins de pertes en commutation</i> | <i>20 % à 35 % plus faibles que les dispositifs Proelectron et Jedec</i> |
| ● <i>Peu ou pas de circuit d'aide à la commutation</i> | <i>moins de pertes et faible température de jonction</i> |
| ● <i>Moins de refroidisseurs ou température de fonctionnement plus basse d'où meilleure fiabilité</i> | <i>conséquence de toutes les améliorations</i> |
| ● <i>Conception optimale et simulation du pire cas</i> | <i>notices complètes et détaillées</i> |

SUPERSWITCH



high efficiency, fast switching power transistors superswitch 2

guide de sélection - transistors de puissance commutation rapide
haut rendement superswitch 2



TO 3 Superswitch 2 transistors $I_C(sat)$ is specified at $V_{CE(sat)} \leq 0.9V$

| $I_C(sat)$ (A) | $V_{CEO(sus)}$ (V) | 60 | 90 | 125 | 200 | 250 |
|-------------------|-----------------------|-----|-----|-----|-----|-----|
| 56 | V_{CEV} | 120 | 160 | 250 | 300 | 350 |
| 32 | BUV 18 | | | | | |
| 28 | BUV 19 | | | | | |
| 24 | BUV 20 | | | | | |
| 20 | BUV 21 | | | | | |
| 16 | BUV 22 | | | | | |
| 15 | BUV 23 | | | | | |
| 11 | BUV 24 | | | | | |
| 10 | BUV 25 | | | | | |
| 8 | BUV 26 | | | | | |
| 6 | BUV 27 | | | | | |
| 4 | BUV 28 | | | | | |



TOP 3 Superswitch 2 transistors $I_C(sat)$ is specified at $V_{CE(sat)} \leq 1 V$

| $I_C(sat)$ (A) | $V_{CEO(sus)}$ (V) | 60 | 90 | 125 | 150 | 200 | 250 |
|-------------------|-----------------------|-----|-----|-----|-----|-----|-----|
| 32 | V_{CEV} | 120 | 160 | 250 | 200 | 300 | 350 |
| 28 | BUW 48 | | | | | | |
| 20 | BUW 49 | | | | | | |
| 15 | BUW 50 | | | | | | |
| 10 | BUW 51 | | | | | | |
| 8 | BUW 52 | | | | | | |
| 6 | BUW 53 | | | | | | |
| 4 | BUW 54 | | | | | | |

* Fast switching PNP transistor

$I_C(sat)$ is the recommended operating collector current value.

Switching times t_{on} , t_{off} , t_{fwd} and t_{rev} and the collector-emitter saturation voltage $V_{CE(sat)}$ are specified in our data-sheets at $I_C(sat)$.

superswitch selector guide

guide de sélection superswitch


THOMSON-CSF


TO 3 Superswitch transistors

| $I_C(sat)$ (A) | $V_{CEO(sus)}$ (V) | 90 | 125 | 200 | 250 | 325 | 400 | 500 | 400 | 450 | 600 | 700 | 700 |
|-------------------|-----------------------|-----|--------|--------|--------|--------|--------|--------|--------|--------|----------|----------|-----------|
| 50 | V_{CEV} (V) | 120 | 160 | 250 | 300 | 400 | 450 | 500 | 850 | 1000 | 900 | 1000 | 1500 |
| 70 | | | BUT 90 | | | | | | | | | | |
| 40 | | | | BUV 20 | | | | | | | | | |
| 35 | | | | | BUX 20 | | | | | | | | |
| 25 | | | | | | BUT 91 | | | | | | | |
| 20 | | | | | | | BUV 21 | | | | | | |
| 15-16 | | | | | | | | BUV 21 | | | | | |
| 12 | | | | | | | | | BUV 22 | | | | |
| 10 | | | | | | | | | | BUX 98 | | | |
| 8 | | | | | | | | | | | BUV 98 A | | |
| 6 | | | | | | | | | | | | ESM 952 | ESM 952 A |
| 5 | | | | | | | | | | | | | |
| 4 | | | | | | | | | | | | ESM 1503 | |
| 2-2.5 | | | | | | | | | | | | | |

TOP 3 Superswitch transistors



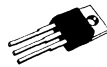
| $I_C(sat)$ (A) | $V_{CEO(sus)}$ (V) | 400 | 450 |
|-------------------|-----------------------|-----------|----------|
| 8-10 | V_{CEV} (V) | 850 | 1000 |
| | ■ BUV 48 I* | | BUV 48 A |
| 6 | | BUV 48 B | |
| 5 | | BUV 47 I* | BUV 47 A |

* Isolated version : isolation voltage between chip and case of 2000 V_{RMS}

$I_C(sat)$ is the recommended operating collector current value

Switching times t_g , t_r , t_s and t_f and the collector-emitter saturation voltage $V_{CEO(sat)}$ are specified in our data sheets at $I_C(sat)$.

■ NEW


TO 220 Superswitch transistors

| | | | | | |
|----------------------------|-------------------------|--------|----------|------------|-----|
| V _{CCEO(sus)} | 90 | 120 | 200 | 400 | 450 |
| I _{C(sat)} (A) | V _{CEV} (V) | 180 | 240 | 400 | 850 |
| 12 | BUV 26 | | | | |
| 8 | BUV 27 | | ■ BUV 66 | | |
| 6.5 | | | | ■ BUV 66 A | |
| 6 | | BUV 28 | | | |
| 5 | | | ■ BUV 56 | | |
| 4 | | | | ■ BUV 56 A | |
| 2.5 | | | BUV 46 | | |
| 2 | | | | ■ BUV 46 A | |
| 1.2 | | | BUV 36 | | |
| 1 | | | | ■ BUV 36 A | |

ISO-TOP Superswitch transistors and darlingtons Isolation voltage: 2.5 kVRMS


| | | | | | | | | | | | |
|----------------------------|-------------------------|--------------|--------------|--------------|------------------------------|--------------------|----------|---------------------|-------------------------------|-----|-----|
| V _{CCEO(sus)} | 60 | 80 | 125 | 200 | 250 | 400 | 400 | 450 | 600 | 700 | 700 |
| I _{C(sat)} (A) | V _{CEV} (V) | 120 | 160 | 160 | 250 | 300 | 600 | 850 | 1000 | 900 | 800 |
| 80 | ■ ISO BUV 18 | | | | | | | | | | |
| 60 | | ■ ISO BUV 19 | | | | | | | | | |
| 50 | | | ■ ISO BUV 20 | | | | | | | | |
| 25 | | | | ■ ISO BUV 21 | | | | | | | |
| 20 | | | | | ■ ISO BUV 22 ESM 2040 D** | ESM 749* BUV 98 | | ■ ESM 749 A* | | | |
| 16 | | | | | | | BUV 98 A | | | | |
| 12 | | | | | | | | ESM 753* ESM 752 | ■ ESM 2070 D** ■ ESM 752 A | | |

* Fast switching darlingtons without parasitic C-E diode.

**Fast switching darlingtons with antiparallel ultra-fast recovery free-wheel diode.

All ISO-TOP devices are available with screwable collector and emitter connections (standard type number plus "V" suffix.)

ISO-TOP darlingtons are delivered with four connections; this allows independant drive of the driver and of the output transistor to improve the switching behaviour of the darlington.

I_{C(sat)} is the recommended operating collector current value.

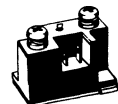
Switching times t_g, t_r, t_s and t_f and the collector-emitter saturation voltage V_{CCEO(sat)} are specified in our data-sheets at I_{C(sat)}.

■ NEW

superswitch selector guide

guide de sélection superswitch

 THOMSON-CSF



Giant ISO-TOP Superswitch darlingtons Isolation voltage: 2.5 kVRMS

| | | | |
|----------------|-------------|-------------|-------------|
| $V_{CEO(sus)}$ | 400 | 450 | 500 |
| $I_{C(sat)}$ | V_{CEV} | 500 | 600 |
| (A) | (V) | | |
| 100 | ■ ESM 10040 | ■ ESM 10045 | ■ ESM 10050 |

Giant ISO-TOP darlingtons are delivered with four connections; this allows independant drive of the driver and of the output transistor to improve the switching behaviour of the darlington.



TO 83 Superswitch high power transistors

| | | | | | | | |
|----------------|------------|------------|-----|-----|-----|-----|----------|
| $V_{CEO(sus)}$ | 100 | 150 | 200 | 400 | 500 | 600 | 700 |
| $I_{C(sat)}$ | V_{CEV} | 200 | 200 | 350 | 600 | 600 | 1000 |
| (A) | (V) | | | | | | |
| 150 | ■ ESM 3000 | ■ ESM 3001 | | | | | |
| 140 | | ■ ESM 3002 | | | | | |
| 100 | ESM 1000 T | | | | | | |
| 65 | ESM 3004 | | | | | | |
| 60 | ESM 2060 T | | | | | | |
| 50 | ESM 3005 | | | | | | |
| 35 | ESM 3006 | | | | | | |
| 30 | ESM 738 T | | | | | | ESM 3007 |



Press-pack Superswitch giant transistors

| | | | | | |
|----------------|------------|-----|-----|-----|------|
| $V_{CEO(sus)}$ | 200 | 400 | 500 | 600 | 700 |
| $I_{C(sat)}$ | V_{CEV} | 350 | 600 | 600 | 1000 |
| (A) | (V) | | | | |
| 230 | ■ ESM 4012 | | | | |
| 90 | ESM 4014 | | | | |
| 70 | ESM 4015 | | | | |
| 60 | ESM 4016 | | | | |
| 50 | ESM 4017 | | | | |

$I_{C(sat)}$ is the recommended operating collector current value.

Switching times t_d , t_r , t_s and t_f and the collector-emitter saturation voltage $V_{CEO(sat)}$ are specified in our data-sheets at $I_{C(sat)}$.

■ NEW

power transistor and darlington for TV applications selector guide

guide de sélection
transistors de puissance et darlingtons pour applications TV

| V_{CEX} I_C | 330V | 400V | 750V 800V | 900V | 1300V | 1500V | 1700V | Case |
|--------------------|----------------------|---|-------------------|---------------------|--------|-----------------------------|--------|----------------|
| 10 A | BU 109 BU 109 D | | | | | | | TO-3 |
| | BU 109 P BU 109DP | | | | | | | TO-220 |
| 8A | BU 189 | BU 184 | | | | | | TO-220 |
| | | BU 926 | BU 926A | | | | | TOP-3 |
| 7A | | BU 104 BU 104D | | | | | | TO-3 |
| | BU 407 BU 407 D | BU 104P BU 104DP BU 406 BU 406 D | | | | | | TO-220 |
| 6 A | | | BU 326 ESM 326 | BU 326A ESM 326A | | | | TO-3 TO-220 |
| 5 A | | | | | BU 207 | BU 208 BU 800 BU 208A | | TO-3 |
| 4 A | | | | | | | BU 209 | TO-3 |
| 2,5-3 A | | | BU 126 | | BU 204 | BU 205 | BU 206 | TO-3 |

general purpose darlington selector guide

PD 60 → 150 W

guide de sélection darlingtons usage général

| V_{CEO} I_C | 45V | 60V | 80V | 100V | 120V | Case |
|--------------------|------------------|----------------------|----------------------|----------------------|----------------------|--------|
| 16 A | | BDX 67 BDX 66 | BDX 67 A BDX 66 A | BDX 67 B BDX 66 B | BDX 67 C BDX 66 C | TO-3 |
| | | BDV 67 BDV 66 | BDV 67 A BDV 66 A | BDV 67 B BDV 66 B | BDV 67 C BDV 66 C | TOP-3 |
| 12 A | | BDX 65 BDX 64 | BDX 65 A BDX 64 A | BDX 65 B BDX 64 B | BDX 65 C BDX 64 C | TO-3 |
| | | BDV 65 BDV 64 | BDV 65 A BDV 64 A | BDV 65 B BDV 64 B | BDV 65 C BDV 64 C | TOP-3 |
| 10 A | BDX 33 BDX 34 | BDX 33 A BDX 34 A | BDX 33 B BDX 34 B | BDX 33 C BDX 34 C | BDX 33 D BDX 34 D | TO-220 |
| 8 A | BDX 53 BDX 54 | BDX 53 A BDX 54 A | BDX 53 B BDX 54 B | BDX 53 C BDX 54 C | | TO-220 |
| | | BDX 63 BDX 62 | BDX 63 A BDX 62 A | BDX 63 B BDX 62 B | BDX 63 C BDX 62 C | TO-3 |

PNP

TOP-3 general purpose transistor selector guide

guide de sélection

transistors TOP-3 usage général

| V_{CEO} (sus) I_C | 45V | 60V | 80V | 100V | Case |
|--------------------------|------------------|--------------------|--------------------|--------------------|---|
| 25 A | BD 249 BD 250 | BD 249A BD 250A | BD 249B BD 250B | BD 249C BD 250C |  |

TO-220AB general purpose transistor selector guide

guide de sélection

transistors de puissance usage général TO-220AB

| V_{CEO} I_C | 35-40V | 45V | 60V | 70V | 80V | 100V | Case |
|--------------------|---------|------------------|----------------------|---------|----------------------|----------------------|---|
| 15 A | | BD 905 BD 906 | BD 907 BD 908 | | BD 909 BD 910 | BD 911 BD 912 |  |
| 12 A | | BD 705 BD 706 | BD 707 BD 708 | | BD 709 BD 710 | BD 711 BD 712 | |
| 10 A | | | 2N 6099 | 2N 6101 | | | |
| 8 A | | BD 301 BD 302 | BD 303 BD 304 | | BD 303 A BD 304 A | BD 303 B BD 304 B | |
| 7 A | | | 2N 5496 2N 6107 | | | | |
| 6 A | | BD 243 BD 244 | BD 243 A BD 244 A | | BD 243 B BD 244 B | BD 243 C BD 244 C | |
| 4 A | 2N 5296 | | | 2N 5294 | | | |
| 3 A | | BD 241 BD 242 | BD 241 A BD 242 A | | BD 241 B BD 242 B | BD 241 C BD 242 C | |

TO-3 general purpose transistor selector guide

guide de sélection

transistors TO-3 usage général

| V_{CEO} I_C | 40V | 60V | 140V | Case |
|--------------------|---------|----------------------|---------|---|
| 20 - 30 A | 2N 3771 | 2N 3772 | |  |
| 15 - 16 A | | 2N 3055 2N 3055 S | BDX 18 | 2N 3773 |
| 10A | | | 2N 3442 | BDX 20 |



superswitch is also a complete range of fast recovery diodes

superswitch, c'est aussi une gamme complète de diodes de redressement

$t_{rr} \leq 60 \text{ ns}$

| Types | Package Boîtier | V _{RRM} (V) | T _(vj) (°C) max. | I _o / T _{case} (A) (°C) | t _p 10 ms | I _{FSM} (A) | V _F / I _F (V) (A) 100 °C max | I _{R/VRRM} (mA) T _(vj) 100 °C | t _{rr} (ns) max |
|---|-----------------|---------------------------------|-----------------------------|---|----------------------|----------------------|--|---|--------------------------|
| BYW81- 50 BYW81-100 BYW81-150 BYW81-150 A BYW81-200 | DO-4 | 50 100 150 150* 200 | 150 | 15 120 | | 200 | 0,85 12 | 1,5 | 35 |
| BYW77- 50 BYW77-100 BYW77-150 BYW77-150 A BYW77-200 | DO-4 | 50 100 150 150* 200 | 150 | 25 115 | | 500 | 0,85 20 | 2,5 | 50 |
| BYW92- 50 BYW92-100 BYW92-150 BYW92-150 A BYW92-200 | DO-5 | 50 100 150 150* 200 | 150 | 35 115 | | 500 | 0,92 35 | 5 | 50 |
| BYW07- 50 BYW07-100 BYW07-150 BYW07-150 A BYW07-200 | DO-5 | 50 100 150 150* 200 | 150 | 70 85 | | 1500 | 0,84** 70 | 30** 30** 30** 30** 40** | 50 |
| BYW08- 50 BYW08-100 BYW08-150 BYW08-200 | DO-5 | 50 100 150 200 | 150 | 80 90 | | 1500 | 0,92 80 | 5 | 60 |
| BYW78- 50 BYW78-100 BYW78-150 BYW78-150 A BYW78-200 | DO-5 | 50 100 150 150* 200 | 150 | 50 100 | | 1500 | 0,85 50 | 5 | 60 |

* Contrôlé avalanche type

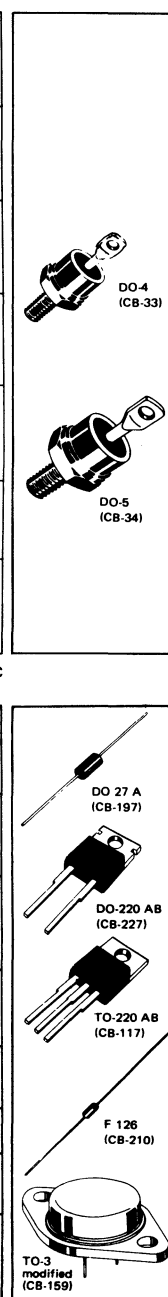
** T_(vj) 150 °C

$t_{rr} \leq 50 \text{ ns}$

| Types | Package Boîtier | V _{RRM} (V) | T _(vj) (°C) max. | I _o / T _{case} (A) (°C) | t _p 10 ms | I _{FSM} (A) | V _F / I _F (V) (A) 100 °C max | I _{R/VRRM} (mA) T _(vj) 100 °C | t _{rr} (ns) max |
|---|-----------------|---------------------------------|-----------------------------|---|----------------------|----------------------|--|---|--------------------------|
| BYW98- 50 BYW98-100 BYW98-150 BYW98-200 | DO-27 A | 50 100 150 200 | 150 | 3 85 | | 70 | 0,85 3 | 0,5 | 35 |
| BYW80- 50 BYW80-100 BYW80-150 BYW80-150 A BYW80-200 | DO-220AB | 50 100 150 150* 200 | 150 | 7 130 | | 100 | 0,85 7 | 1 | 35 |
| BYW29- 50 BYW29-100 BYW29-150 BYW29-200 | DO-220AB | 50 100 150 200 | 150 | 7,6 125 | | 80 | 0,85 5 | 0,6 | 35 |
| BYW51- 50 BYW51-100 BYW51-150 | TO-220 | 50 100 150 | 150 | 20 (2 x 10) 125 | | 100 | 0,89 8 | 1 | 35 |
| PLQ 0,8 PLQ1 | F 126 | 80 100 | 125 | 1 25 | | 20 | 1,1** 1 | 0,5 | 50 |
| BYW99- 50 BYW99-100 BYW99-150 | TO-3 modified | 50 100 150 | 150 | 30 (2 x 15) 125 | | 300 | 0,85 15 | 2,5 | 50 |

* Controlled avalanche type

** T_(vj) 25 °C



fast recovery rectifier diodes

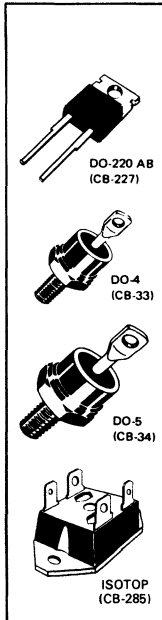
diodes de redressement rapides

$t_{rr} \leq 100 \text{ ns}$

| Types | Package Boîtier | V _{RRM} (V) | T _(vj) (°C) max | I _o / T _{case} (A) (°C) | I _{FSM} (A) t _p 10 ms | V _F / I _F (V) (A) 100 °C max | I _{R/VRRM} (mA) T _(vj) 100 °C | t _{rr} (ns) max |
|---|-------------------|--------------------------------|----------------------------|---|---|--|---|--------------------------|
| ESM980-200 ESM980-300 ESM980-400 | DO-220AB isolated | 200 300 400 | 150 | 8 100 | 100 | 1,35 8 | 1 | 50 |
| BYX61-50 BYX61-100 BYX61-200 BYX61-300 BYX61-400 | DO-4 | 50 100 200 300 400 | 150 | 12 100 | 150 | 1,5* 12 | 3 | 100 |
| BYV30-200 BYV30-300 BYV30-400 | DO-4 | 200 300 400 | 150 | 12 120 | 140 | 1,05 10 | 3** | 100 |
| BYX65-50 BYX65-100 BYX65-200 BYX65-300 BYX65-400 | DO-5 | 50 100 200 300 400 | 150 | 30 100 | 300 | 1,5* 30 | 10 | 100 |
| BYV92-200 BYV92-300 BYV92-400 | DO-5 | 200 300 400 | 150 | 35 110 | 500 | 1,05 35 | 1,5 | 100 |
| ESM243-50 ESM243-100 ESM243-200 ESM243-300 ESM243-400 | DO-5 | 50 100 200 300 400 | 150 | 60 65 | 800 | 1,5** 60 | 10 | 100 |
| ESM990-200 ESM990-300 ESM990-400 | ISOTOP | 200 300 400 | 150 | 50 (2 x 25) 95 | 200 | 1,25 25 | 8 | 50 |

* T_(vj) 25 °C

** T_(vj) 125 °C

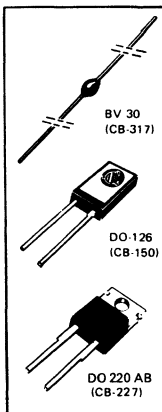


$t_{rr} \leq 150 \text{ ns}$

| Types | Package Boîtier | V _{RRM} (V) | T _(vj) (°C) max | I _o / T _{case} (A) (°C) | I _{FSM} (A) t _p 10 ms | V _F / I _F (V) (A) 100 °C max | I _{R/VRRM} (mA) T _(vj) 100 °C | t _{rr} (ns) max |
|---|-----------------|--------------------------------|----------------------------|---|---|--|---|--------------------------|
| 1N5415 1N5416 1N5417 1N5418 1N5419 | BV 30 | 50 100 200 400 500 | 175 | 3 55 | 73 | 1,5* 9 | 0,02 | 150 |
| ESM255-50 ESM255-100 ESM255-200 ESM255-300 ESM255-400 | DO-126 | 50 100 200 300 400 | 130 | 6 85 | 80 | 1,4* 6 | 0,5** | 150 |
| BY233-200 BY233-400 BY233-600 | DO-220AB | 200 400 600 | 150 | 8 120 | 100 | 1,25 8 | 1 | 150 |

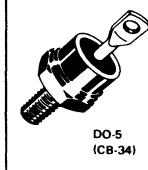
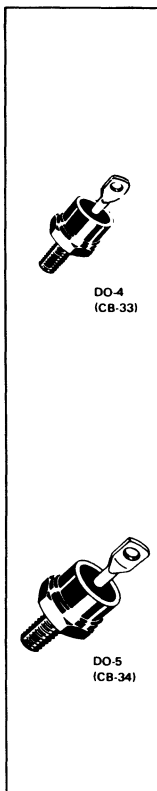
* T_(vj) 25 °C

** T_(vj) 125 °C



$t_{rr} \leq 200 \text{ ns}$

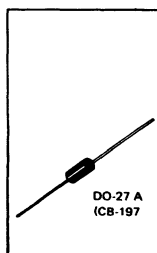
| Types | Package Boîtier | V _{RRM} (V) | T _(vj) (°C) max. | I _o (A) / T _{case} (°C) | t _p 10 ms | I _{FSM} (A) | V _F (V) / I _F (A) 100 °C max | I _{R/VRRM} (mA) T _(vj) 100 °C | t _{rr} (ns) max |
|---|-----------------|--|-----------------------------|---|----------------------|----------------------|--|---|--------------------------|
| 1N3879 1N3880 1N3881 1N3882 1N3883 | DO-4 | 50 100 200 300 400 | 150 | 6 100 | 150 | 1,4* | 6 | 1 | 200 |
| 1N3889 1N3890 1N3891 1N3892 1N3893 BYX62-600 | DO-4 | 50 100 200 300 400 600 | 150 | 12 100 | 150 | 1,4* | 12 | 3 | 200 |
| BYT61-B-600 BYT61-B-800 BYT61-B-900 BYT61-B-1000 | DO-4 | 600 800 900 1000 | 150 | 12 110 | 150 | 1,5(1) 1,3(2) | 12 | 3 | 200 |
| 1N3899 1N3900 1N3901 1N3902 1N3903 BYX63-600 | DO-5 | 50 100 200 300 400 600 | 150 | 20 100 | 225 | 1,4* | 20 | 6 | 200 |
| 1N3909 1N3910 1N3911 1N3912 1N3913 BYX64-600 | DO-5 | 50 100 200 300 400 600 | 150 | 30 100 | 300 | 1,4* | 30 | 6 | 200 |
| BYT65-B-600 BYT65-B-800 BYT65-B-900 BYT65-B-1000 | DO-5 | 600 800 900 1000 | 150 | 30 100 | 300 | 1,5(1) 1,3(2) | 30 | 6 | 200 |
| ESM244-50 ESM244-100 ESM244-200 ESM244-300 ESM244-400 ESM244-500 ESM244-600 | DO-5 | 50 100 200 300 400 500 600 | 150 | 60 65 | 800 | 1,2 | 30 | 6 | 200 |



* T_(vj) 150 °C (1) BYT61-B-BYT65 (2) BYT61B-BY765B

$t_{rr} \leq 200 \text{ ns}$

| Types | Package Boîtier | V _{RRM} (V) | T _(vj) (°C) max. | I _o (A) / T _{case} (°C) | t _p 10 ms | I _{FSM} (A) | V _F (V) / I _F (A) 100 °C max | I _{R/VRRM} (mA) T _{amb} 25 °C | t _{rr} (ns) max |
|--|-----------------|--------------------------|-----------------------------|---|----------------------|----------------------|--|---|--------------------------|
| BY218-100 BY218-200 BY218-400 BY218-600 | DO-27 A | 100 200 400 600 | 150 | 2 90 | 100 | 1,3 | 3 | 0,01 | 200 |
| BY318-100 BY318-200 BY318-400 BY318-600 | DO-27A | 100 200 400 600 | 150 | 3 50 | 100 | 1,3 | 3 | 0,01 | 200 |



fast recovery rectifier diodes

diodes de redressement rapides

$t_{rr} \leq 300 \text{ ns}$

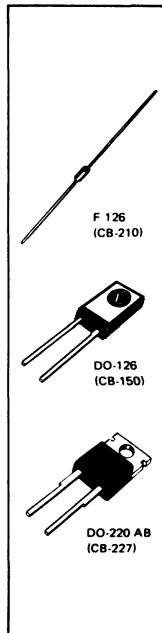
| Types | Package Boîtier | V _{RRM} (V) | T _(vj) (°C) max. | I _o (A) / T _{case} (°C) | I _{FSM} (A) t _p 10 ms | V _F / I _F (V) (A) 100 °C max | I _{R/VRRM} (mA) T _(vj) 100 °C | t _{rr} (ns) max |
|--|-----------------|--|-----------------------------|---|---|--|---|--------------------------|
| BA157.T BA158.T BA159.T | F 126 | 400 600 1000 | 150 | 0,4 25 | 30 | 1,5 (2) 1 | 0,005 (1) | 300 |
| PY55-350 PY55-600 | F 126 | 350 600 | | 1 65 | 60 | 1,25 (2) 5 | 0,75 (3) | 300 |
| PLR810 PLR811 PLR812 PLR813 PLR814 PLR816 PLR817 PLR818 | F 126 | 50 100 200 300 400 600 800 1000 | 150 | 1 75 | 45 | 1,2 (2) 1 | 0,1 | 300 |
| ESM181-300 R ESM181-400 R ESM181-500 R ESM181-600 R ESM181-800 R | DO-126 | 300 400 500 600 800 | 125 | 4 100 | 60 | 1,4 (2) 4 | 0,5 (4) | 300 |
| BYT/BYV71-100 BYT/BYV71-200 BYT/BYV71-400 BYT/BYV71-600 BYT/BYV71-800 | DO-220AB | 100 200 400 600 800 | 150 | 6 115 | 90 | 1,3 6 | 1 | 300 |
| RTF10/ESM765-100 RTF20/ESM765-200 RTF40/ESM765-400 RTF60/ESM765-600 RTF80/ESM765-800 | DO-220AB | 100 200 400 600 800 | 150 | 10 100 | 120 | 1,35 10 | 1 | 300 |

(1) T_{amb} 25 °C

(2) T_(vj) 25 °C

(3) T_{amb} 125 °C

(4) T_(vj) 125 °C

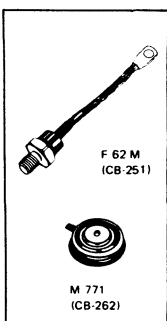


$Q_{rr} \leq 13 \mu\text{C}$

| Types | Package Boîtier | V _{RRM} (V) | T _(vj) (°C) max. | I _o (A) / T _{case} (°C) | I _{FSM} (A) t _p 10 ms | V _F / I _F (V) (A) 100 °C max | I _{R/VRRM} (mA) T _(vj) 125 °C | Q _{rr} (μC) max |
|---|-----------------|---------------------------|-----------------------------|---|---|--|---|---------------------------------------|
| BYT75-200 BYT75-400 BYT75-500 BYT75-600 | F 62 M | 200 400 500 600 | 125 | 120 65 | 1000 | 1,1*(1) 120 | 3 | 4 |
| ESM4116-200 ESM4116-400 ESM4116-500 ESM4116-600 | M 771 | 200 400 500 600 | 125 | 300 65 | 4500 | 1,7 (2) 450 | 0,1 | 4 |
| ESM4120-600 ESM4120-800 ESM4120-900 ESM4120-1000 | M 771 | 600 800 900 1000 | 125 | 300 65 | 4500 | 1,7 (2) 450 | 0,1 | 13 |

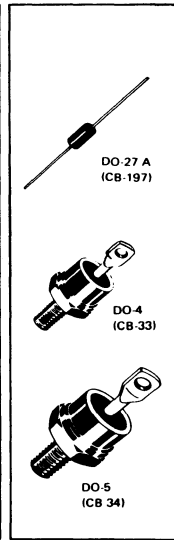
(1) Typ

(2) T_(vj) 25 °C



$t_{rr} \leq 500 \text{ ns}$

| Types | Package Boîtier | V _{RRM} (V) | T _(vj) (°C) max. | I _o (A) | T _{case} (°C) | I _{FSM} (A) $t_p = 10 \text{ ms}$ | V _F (V) 25 °C | I _{R/VRRM} (mA) 100 °C | t _{rr} (ns) max |
|--|--------------------|---|-----------------------------------|-----------------------|---------------------------|--|--------------------------------|---------------------------------------|--------------------------------|
| BY296 BY297 BY298 BY299 | DO-27 A | 100 200 400 800 | 150 | 2 | 90 | 70 | 1,3 3 | 0,01* | 500 |
| BY396 BY397 BY398 BY399 | DO-27 A | 100 200 400 800 | 150 | 3 | 50 | 100 | 1,3 3 | 0,01* | 500 |
| BYX66- 500 BYX66- 600 BYX66- 700 BYX66- 800 BYX66- 900 BYX66-1000 | DO-4 | 500 600 700 800 900 1000 | 150 | 12 | 100 | 150 | 1,5 12 | 3 | 500 |
| BYX67- 500 BYX67- 600 BYX67- 700 BYX67- 800 BYX67- 900 BYX67-1000 | DO-5 | 500 600 700 800 900 1000 | 150 | 30 | 100 | 300 | 1,5 30 | 10 | 500 |
| ESM245- 600 ESM245- 800 ESM245-1000 | DO-5 | 600 800 1000 | 150 | 60 | 65 | 800 | 1,4 60 | 6 | 500 |

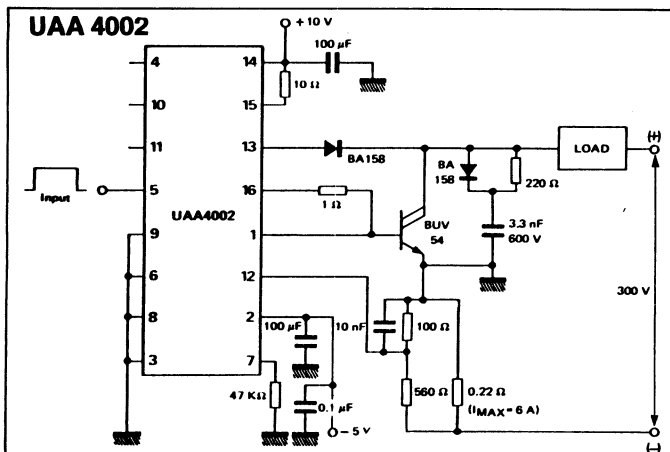
 * T_(vj) 25 °C


THOMSON - EFCIS

switching transistor - drivers and controllers

circuits intégrés THOMSON - EFCIS

Drive and control circuit for switching



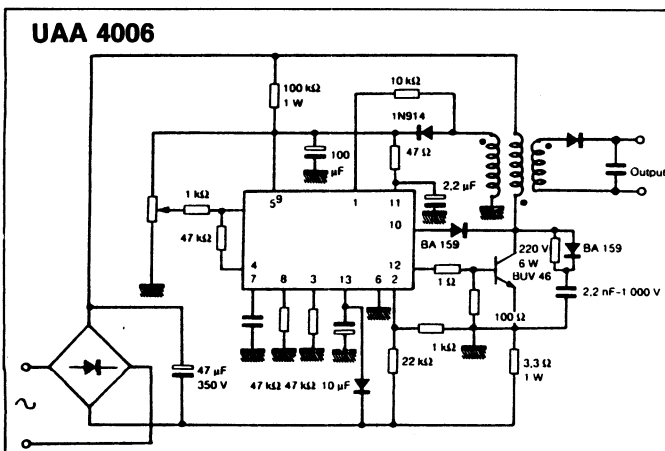
Typical application

The UAA 4002 generates, from a logic input signal, direct base drive of a power transistor or Darlington pair. The control current can be increased by the addition of one or more external transistors.

The IC and VCE parameters of the transistor are continuously checked to ensure that the safety area of the switching element is respected.

The output state depends on the logic level applied to the input. An alternate pulse control mode may also be employed : positive pulse for the start of conduction, negative pulse for the end of conduction.

Switching voltage regulator for DC-DC conversion



50 W fly-back chopper supply

Integrated circuit UAA 4006 forms the basis of a fly-back type chopper power supply, using few external components. The power supply is protected against secondary short-circuits by a secondary current control circuit.

The IC and VCE parameters are continually controlled to ensure that the transistor always works in its safety region.

An integrated switch allows the circuit to be started with a very small current from the power supply. The base control current for the transistor is optimized by means of a high speed self-regulating driver.

Other specialized circuits

Switching power supplies

- TEA 1001 Base current up to \pm 3 A
 - TEA 2018 Low-cost, 8 pin DIP package
 - TEA 2019 Synchronizable version of TEA 2018
 - UAA 4001 Low-cost version of TEA 1001

D.C. motors

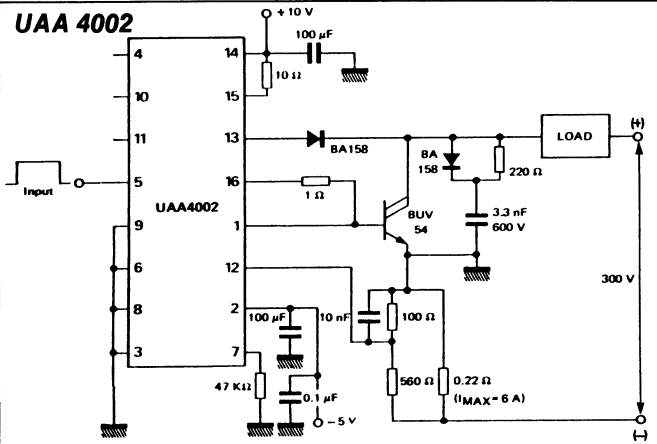
- UAA 4003 Basic processor, auxiliary safety features
 - UAA 4004 Basic processor for speed regulation

THOMSON - EFCIS

commandes de transistors de commutation
circuits intégrés THOMSON - EFCIS

Circuit de commande pour transistors de commutation

UAA 4002



Application typique

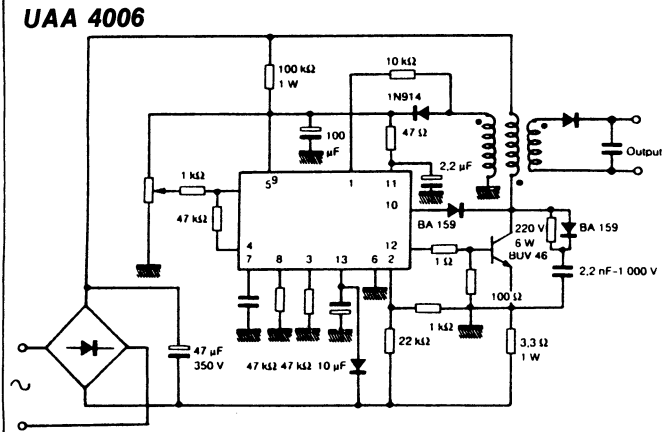
L'UAA 4002 réalise, à partir d'un signal d'entrée logique, la commande de base directe d'un transistor ou Darlington de puissance. Par adjonction d'un ou plusieurs transistors extérieurs, il est possible d'augmenter le courant de commande.

Les paramètres I_C et V_{CE} du transistor sont contrôlés en permanence de façon à respecter l'aire de sécurité de l'élément de commutation.

L'état de la sortie dépend du niveau logique appliqué à l'entrée. On peut également utiliser un mode de commande par impulsions positives (début de conduction) et négatives (fin de conduction).

Régulateur de tension à découpage pour conversion DC-DC

UAA 4006



Alimentation fly back 50 W

Le circuit UAA 4006 permet de réaliser une alimentation à découpage de type fly-back avec un nombre réduit de composants extérieurs. L'alimentation est protégée contre les court-circuits au secondaire grâce à un circuit de surveillance du courant secondaire.

Un interrupteur intégré permet le démarrage du circuit avec un courant d'alimentation très faible. La commande de base est optimisée par utilisation d'un driver rapide autorégulant.

Autres circuits spécialisés

Alimentations à découpage

- TEA 1001 Courant base jusqu'à $\pm 3\text{ A}$
 - TEA 2018 Grande diffusion, boîtier DIP 8 broches
 - TEA 2019 Version synchronisable du TEA 2018
 - UAA 4001 Version simplifiée du TEA 1001

Moteurs à courant continu

- UAA 4003 Blocs de base, blocs auxiliaires de sécurité
 - UAA 4004 Blocs de base pour régulateur de vitesse

power transistor chips

General purpose transistors

| Types | Polarity | V _{CEO} (sus) (V) | I _C (A) | V _{CE} (sat) max (V) | / I _C (A) | f _T min. (MHz) | Dimensions (mm) | Al wire for ultrasound soldering Ø max (µm) |
|-----------|----------|-------------------------------|-----------------------|-------------------------------------|-------------------------|---------------------------------|--------------------|---|
| J-2N 3055 | NPN | 60 | 15 | 1,1 | 4 | 0,8 | 3,5 x 3,5 | 320 |
| J-2N 3771 | NPN | 40 | 30 | 2 | 15 | 0,8 | 6 x 6 | 400 |
| J-2N 3772 | NPN | 60 | 20 | 1,4 | 10 | 0,8 | 6 x 6 | 400 |
| J-2N 3773 | NPN | 140 | 16 | 1,4 | 8 | 0,8 | 6 x 6 | 400 |
| J-BDX 18 | PNP | 60 | 15 | 1,1 | 4 | 4 | 3,1 x 3,1 | 320 |
| J-BDX 20 | PNP | 140 | 10 | 1 | 3 | 4 | 3,5 x 3,5 | 320 |

Superswitch transistors

| Types NPN | V _{CEO} (sus) (V) | V _{CEV} (V) | V _{CE} (sat) max (V) | / I _C (A) | / I _B (A) | f _T 25°C max (µs) | Dimensions (mm) | Al wire for ultrasound soldering Ø max (µm) |
|--------------|-------------------------------|-------------------------|-------------------------------------|-------------------------|-------------------------|---------------------------------------|--------------------|---|
| J-BUW 38 | 60 | 120 | 1,4 | 40 | 4 | 0,25 | 6 x 5,5 | 500 |
| J-BUW 39 | 80 | 160 | 1,2 | 30 | 3 | 0,25 | 6 x 5,5 | 500 |
| J-BUW 89* | 90 | 160 | 1 | 15 | 1,5 | 0,2 | 4 x 4 | 400 |
| J-BUW 90* | 125 | 250 | 1 | 11 | 1,1 | 0,2 | 4 x 4 | 400 |
| J-BUW 50* | 125 | 250 | 1 | 20 | 2 | 0,2 | 5 x 5 | 500 |
| J-BUW 91* | 200 | 300 | 1 | 6 | 0,6 | 0,2 | 4 x 4 | 400 |
| J-BUW 51* | 200 | 300 | 1 | 10 | 1 | 0,15 | 5 x 5 | 500 |
| J-BUW 92* | 250 | 350 | 1 | 5 | 0,5 | 0,2 | 5 x 5 | 400 |
| J-BUW 52* | 250 | 350 | 1 | 8 | 0,8 | 0,2 | 5 x 5 | 500 |
| J-BUV 36 | 400 | 850 | 1,5 | 1,2 | 0,24 | 0,4 | 2,6 x 2,6 | 200 |
| J-BUV 46 | 400 | 850 | 1,5 | 2,5 | 0,5 | 0,4 | 3,3 x 3,3 | 250 |
| J-BUV 56 | 400 | 850 | 1,5 | 5 | 1 | 0,4 | 4,2 x 4,2 | 250 |
| J-BUV 47 | 400 | 850 | 1,5 | 5 | 1 | 0,4 | 4,5 x 4,5 | 250 |
| J-BUV 48 | 400 | 850 | 1,5 | 10 | 2 | 0,4 | 5,8 x 5,8 | 320 |

* These devices are also available with organic passivation.

Transistors for TV applications

| Types NPN | V _{CEO} (sus) (V) | V _{CEV} (V) | I _C (A) | f _T typ. (µs) | Dimensions (mm) | Al wire for ultrasound soldering Ø max (µm) |
|--------------|-------------------------------|-------------------------|-----------------------|--------------------------------|--------------------|---|
| J-BU 205 | 700 | 1500 | 2,5 | 0,75 | 4 x 4 | 250 |
| J-BU 208 | 700 | 1500 | 5 | 0,7 | 5,5 x 5,5 | 250 |
| J-BU 800 | 700 | 1500 | 5 | 0,6 | 5 x 5 | 250 |

General purpose darlingtons

| NPN | Types PNP | V _{CEO} (sus) (V) | I _C (A) | V _{CE} (sat) max (V) | / I _C (A) | f _T typ. (MHz) | Dimensions (mm) | Al wire for ultrasound soldering Ø max (µm) |
|----------|--------------|-------------------------------|-----------------------|-------------------------------------|-------------------------|---------------------------------|--------------------|---|
| J-BDX 53 | J-BDX 54 | 45 to 100 | 8 | 2 | 3 | 7 | 2,4 x 2,6 | 200 |
| J-BDX 63 | J-BDX 62 | 60 to 100 | 8 | 2 | 3 | 7 | 3 x 3 | 250 |
| J-BDX 65 | J-BDX 64 | 60 to 100 | 12 | 2 | 5 | 7 | 3,7 x 3,7 | 250 |
| J-BDX 67 | J-BDX 66 | 60 to 100 | 16 | 2 | 10 | 7 | 3,7 x 5,5 | 250 |

Switching darlingtons

| Type NPN | V _{CEO} (sus) (V) | V _{CEV} (V) | I _C (A) | V _{CE} (sat) max (V) | / I _C (A) | / I _B (A) | Dimensions (mm) | Al wire for ultrasound soldering Ø max (µm) |
|-------------|-------------------------------|-------------------------|-----------------------|-------------------------------------|-------------------------|-------------------------|--------------------|---|
| J-BUV 37 | 400 | 450 | 15 | 2 | 10 | 0,15 | 6 x 5,5 | 320 |

Organic passivation ; inorganic passivation for other devices

IMPORTANT : For power transistor chips metallization, Al (front side) and sublayer + Au or Ag (back side) are available. The electrical characteristics here mentioned are those measured on finished products.

For more information please consult the «CHIPS & WAFERS» selection guide.



THOMSON-CSF

plastic power transistors

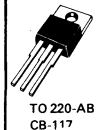
transistors de puissance plastiques

| Type | V _{CEO} | I _C cont | P _{tot} | h _{21E} | | / I _C | V _{C E (sat)} | / I _C | / I _B | t _{d + t_r} | t _s | t _f | f _T type | Case |
|------|------------------|------------------------|------------------|------------------|-----|------------------|------------------------|------------------|------------------|--------------------------------|----------------|----------------|------------------------|------|
| NPN | PNP | (V) | (A) | (W) | min | max | (A) | max (V) | (A) | (A) | max (μs) | max (μs) | min (MHz) | |

general purpose transistors

transistors usage général

| | | | | | | | | | | | | | | |
|----------|----------|-----|----|-----|----|-----|-----|-----|-----|------|--|--|--|-----|
| 2N 5296 | | 40 | 4 | 36 | 30 | 120 | 1 | 1 | 1 | 0,1 | | | | 0,8 |
| BD 241 | BD 242 | 45 | 3 | 40 | 20 | | 1 | 1,2 | 3 | 0,6 | | | | 3 |
| BD 243 | BD 244 | 45 | 6 | 65 | 15 | | 3 | 1,5 | 6 | 1 | | | | 3 |
| BD 301 | BD 302 | 45 | 8 | 55 | 30 | | 3 | 1 | 3 | 0,3 | | | | 3 |
| BD 705 | BD 706 | 45 | 12 | 75 | 20 | 150 | 4 | 1 | 4 | 0,4 | | | | 3 |
| BD 905 | BD 906 | 45 | 15 | 90 | 15 | 150 | 5 | 1 | 5 | 0,5 | | | | 3 |
| BD 241 A | BD 242 A | 60 | 3 | 40 | 20 | | 1 | 1,2 | 3 | 0,6 | | | | 3 |
| BD 243 A | BD 244 A | 60 | 6 | 65 | 15 | | 3 | 1,5 | 6 | 1 | | | | 3 |
| BD 303 | BD 304 | 60 | 8 | 55 | 30 | | 2 | 1 | 3 | 0,3 | | | | 3 |
| BD 707 | BD 708 | 60 | 12 | 75 | 15 | 150 | 4 | 1 | 4 | 0,4 | | | | 3 |
| BD 907 | BD 908 | 60 | 15 | 90 | 15 | 150 | 5 | 1 | 5 | 0,5 | | | | 3 |
| 2N 6099 | | 60 | 10 | 75 | 20 | 80 | 4 | 2,5 | 10 | 2 | | | | 0,8 |
| 2N 5294 | | 70 | 4 | 36 | 30 | 120 | 0,5 | 1 | 0,5 | 0,05 | | | | 0,8 |
| 2N 5496 | 2N 6107 | 70 | 7 | 50 | 20 | 100 | 3,5 | 1 | 3,5 | 0,35 | | | | 0,8 |
| 2N 6101 | | 70 | 10 | 75 | 20 | 80 | 5 | 2,5 | 10 | 2 | | | | 0,8 |
| BD 241 B | BD 242 B | 80 | 3 | 40 | 20 | | 1 | 1,2 | 3 | 0,6 | | | | 3 |
| BD 243 B | BD 244 B | 80 | 6 | 65 | 15 | | 3 | 1,5 | 6 | 1 | | | | 3 |
| BD 303 A | BD 304 A | 80 | 8 | 55 | 30 | | 2 | 1 | 3 | 0,3 | | | | 3 |
| BD 709 | BD 710 | 80 | 12 | 75 | 15 | 150 | 4 | 1 | 4 | 0,4 | | | | 3 |
| BD 909 | BD 910 | 80 | 15 | 90 | 15 | 150 | 5 | 1 | 5 | 0,5 | | | | 3 |
| BD 241 C | BD 242 C | 100 | 3 | 40 | 20 | | 1 | 1,2 | 3 | 0,6 | | | | 3 |
| BD 243 C | BD 244 C | 100 | 6 | 65 | 15 | | 3 | 1,5 | 6 | 1 | | | | 3 |
| BD 303 B | BD 304 B | 100 | 8 | 55 | 30 | | 2 | 1 | 3 | 0,3 | | | | 3 |
| BD 711 | BD 712 | 100 | 12 | 75 | 15 | 150 | 4 | 1 | 4 | 0,4 | | | | 3 |
| BD 911 | BD 912 | 100 | 15 | 90 | 15 | 150 | 5 | 1 | 5 | 0,5 | | | | 3 |
| BD 249 | BD 250 | 45 | 25 | 125 | 10 | | 15 | 1,8 | 15 | 1,5 | | | | 3 * |
| BD 249 A | BD 250 A | 60 | 25 | 125 | 10 | | 15 | 1,8 | 15 | 1,5 | | | | 3 * |
| BD 249 B | BD 250 B | 80 | 25 | 125 | 10 | | 15 | 1,8 | 15 | 1,5 | | | | 3 * |
| BD 249 C | BD 250 C | 100 | 25 | 125 | 10 | | 15 | 1,8 | 15 | 1,5 | | | | 3 * |



T_C = 25°C unless otherwise specified
sauf spécification contraire

plastic power transistors

transistors de puissance plastiques



THOMSON-CSF

| NPN | Type PNP | V _{CEO} V _{CEx*} | I _C cont | P _{tot} | h _{21E} / | I _C | V _{CE} (sat) / | I _C / | I _B | t _d + t _r | t _s | t _f | f _T | Case |
|-----|-------------|---------------------------------------|---------------------------|------------------|--------------------|----------------|-------------------------|------------------|----------------|---------------------------------|----------------|----------------|----------------|------|
| | | (V) | I _{Ceff*} (A) | (W) | min | (A) | max (V) | (A) | (A) | max (μs) | max (μs) | max (μs) | typ (MHz) | |

switching transistors

transistors de commutation

| | | | | | | | | | | | | | | |
|--------|-----------|------|----|----|--------|-----|-----|---|------|-----|-----|-----|----|--|
| N N | BU 109 P | 330* | 10 | 50 | 15 | 5 | 2 | 7 | 1 | | | 1 | 10 | |
| | BU 109 DP | 330* | 10 | 50 | 7 | 7 | 2 | 7 | 1 | | | 0,8 | 10 | |
| | BU 407 | 330* | 7 | 60 | | 1 | 1 | 5 | 0,5 | | | | 10 | |
| | BU 407 D | 330* | 7 | 60 | | 1 | 1 | 5 | 0,65 | | | | 10 | |
| | BU 104 P | 400* | 7 | 50 | 10 | 5 | 2,5 | 7 | 1 | | | 1 | 10 | |
| | BU 104 DP | 400* | 7 | 50 | 7 | 7 | 2,5 | 7 | 1 | | | 0,8 | 10 | |
| | BU 406 | 400* | 7 | 60 | | 1 | 1 | 5 | 0,5 | | | | 10 | |
| | BU 406 D | 400* | 7 | 60 | | 1 | 1 | 5 | 0,65 | | | | 10 | |
| | ESM 326 | 800* | 6 | 85 | 15 (2) | 2,5 | 3 | 4 | 1,25 | 0,5 | 3,5 | 0,5 | 10 | |
| | ESM 326 A | 900* | 6 | 85 | 15 (2) | 2,5 | 3 | 4 | 1,25 | 0,5 | 3,5 | 0,5 | 10 | |

superswitch transistors

transistors superswitch

| | | | | | | | | | | | | | | |
|--------|-----------|-------|-----|-----|----|-----|---------|-----|------|-----|-----|------|---|--|
| N | | 90 | 20 | 85 | 10 | 12 | 1,5 | 12 | 1,2 | 0,6 | 1 | 0,15 | | |
| | BUV 26 | 120 | 15 | 85 | 10 | 8 | 1,5 | 8 | 0,8 | 0,8 | 1,2 | 0,4 | | |
| | BUV 27 | 200 | 12 | 85 | 10 | 6 | 1,5 | 6 | 0,6 | 1 | 2 | 0,5 | | |
| | BUV 28 | 400 | 2 | 50 | 10 | 0,3 | 0,5 | 0,3 | 0,03 | 0,5 | 2,5 | 0,4 | | |
| | BUV 36 | 850* | 6 | 85 | 5 | 2,5 | 1,5 | 2,5 | 0,5 | 1 | 3 | 0,8 | | |
| N N | BUV 46 | | | | | | | | | | | | | |
| | BUW 48 | 60 | 30* | 150 | 10 | 40 | 1,4 | 40 | 4 | 1,5 | 1,2 | 0,5 | 8 | |
| | BUW 49 | 80 | 30* | 150 | 10 | 30 | 1,2 | 30 | 3 | 1,5 | 1,2 | 0,4 | 8 | |
| | BUX 69 | 90 | 30 | 125 | 8 | 20 | 1,6 | 20 | 2,5 | 1,5 | 1 | 0,3 | 8 | |
| | BUX 70 | 125 | 20 | 125 | 8 | 15 | 1,6 | 15 | 1,88 | 1,2 | 1 | 0,4 | 8 | |
| | BUV 47 | 150 | 15 | 150 | 10 | 10 | 1,5 (1) | 10 | 1 | 0,5 | 1 | 0,5 | | |
| | BUV 47 B | 850* | 9 | 120 | 5 | 5 | 1,5 | 5 | 1 | 1 | 3 | 0,4 | | |
| | BUV 47 B | 850* | 9 | 120 | 5 | 6 | 1,5 | 6 | 1,2 | 1 | 3 | 0,4 | | |
| | BUV 48 | 850* | 15 | 150 | 5 | 10 | 1,5 | 10 | 2 | 1 | 3 | 0,4 | | |
| | BUV 47 A | 1000* | 9 | 120 | 5 | 5 | 1,5 | 5 | 1 | 1 | 3 | 0,4 | | |
| | BUV 48 A | 1000* | 15 | 150 | 5 | 8 | 1,5 | 8 | 1,6 | 1 | 3 | 0,4 | | |
| N | BUV 98 | 850* | 30 | 150 | 5 | 20 | 1,5 | 20 | 4 | 1 | 3 | 0,4 | | |
| | BUV 98 A | 1000* | 30 | 150 | 5 | 16 | 1,5 | 16 | 3,2 | 1 | 3 | 0,4 | | |
| | ESM 752 | 900* | 24 | 150 | 4 | 12 | 1,8 | 12 | 3 | 0,8 | 4 | 0,7 | | |
| | ESM 752 A | 1000* | 24 | 150 | 4 | 12 | 1,8 | 12 | 3 | 0,8 | 4 | 0,7 | | |
| | | | | | | | | | | | | | | |

(1) T_c = 100 °C

(2) Typical value
Valeur typique

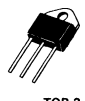
T_c = 25°C unless otherwise specified
sauf spécification contraire

New product
Nouveau produit

| NPN | Type PNP | V _{CEO} V _{CEx*} | I _C cont | P _{tot} | h _{21E} min | / V _{CE} = 1,5 V max | I _C (A) | V _{CE} (sat)/ max (V) | I _C / (A) | I _B (A) | t _d + t _r *max typ | t _s *max typ | t _f *max typ | Case |
|-----|-------------|---------------------------------------|------------------------|------------------|-------------------------|-------------------------------------|-----------------------|--------------------------------------|-------------------------|-----------------------|--|-------------------------------|-------------------------------|------|
|-----|-------------|---------------------------------------|------------------------|------------------|-------------------------|-------------------------------------|-----------------------|--------------------------------------|-------------------------|-----------------------|--|-------------------------------|-------------------------------|------|

general purpose darlingtons

darlingtons usage général

| | | | | | | | | | | | | | | | |
|----------------|----------|----------|-----|----|-----|-------|----|-----|----|-------|--|--|--|--|--|
| N N | BDX 53 | BDX 54 | 45 | 8 | 60 | 750* | 3 | 2 | 3 | 0,012 | | | | |  |
| | BDX 33 | BDX 34 | 45 | 10 | 70 | 750* | 4 | 2,5 | 4 | 0,008 | | | | | |
| | BDX 53 A | BDX 54 A | 60 | 8 | 60 | 750* | 3 | 2 | 3 | 0,012 | | | | | |
| | BDX 33 A | BDX 34 A | 60 | 10 | 70 | 750* | 4 | 2,5 | 4 | 0,008 | | | | | |
| | BDX 53 B | BDX 54 B | 80 | 8 | 60 | 750* | 3 | 2 | 3 | 0,012 | | | | | |
| | BDX 33 B | BDX 34 B | 80 | 10 | 70 | 750* | 3 | 2,5 | 3 | 0,006 | | | | | |
| | BDX 53 C | BDX 54 C | 100 | 8 | 60 | 750* | 3 | 2 | 3 | 0,012 | | | | | |
| | BDX 33 C | BDX 34 C | 100 | 10 | 70 | 750* | 3 | 2,5 | 3 | 0,006 | | | | | |
| | BDX 33 D | BDX 34 D | 120 | 10 | 70 | 750* | 3 | 2,5 | 3 | 0,006 | | | | | |
| | | | | | | | | | | | | | | | |
| N N | BDV 65 | BDV 64 | 60 | 12 | 100 | 1000* | 5 | 2 | 5 | 0,02 | | | | |  |
| | BDV 67 | BDV 66 | 60 | 16 | 125 | 1000* | 10 | 2 | 10 | 0,04 | | | | | |
| | BDV 65 A | BDV 64 A | 80 | 12 | 100 | 1000* | 5 | 2 | 5 | 0,02 | | | | | |
| | BDV 67 A | BDV 66 A | 80 | 16 | 125 | 1000* | 10 | 2 | 10 | 0,04 | | | | | |
| | BDV 65 B | BDV 64 B | 100 | 12 | 100 | 1000* | 5 | 2 | 5 | 0,02 | | | | | |
| | BDV 67 B | BDV 66 B | 100 | 16 | 125 | 1000* | 10 | 2 | 10 | 0,04 | | | | | |
| | BDV 65 C | BDV 64 C | 120 | 12 | 100 | 1000* | 5 | 2 | 5 | 0,02 | | | | | |
| | BDV 67 C | BDV 66 C | 120 | 16 | 125 | 1000* | 10 | 2 | 10 | 0,04 | | | | | |
| | | | | | | | | | | | | | | | |
| | | | | | | | | | | | | | | | |

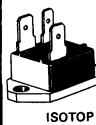
switching darlingtons

darlingtons de commutation

| | | | | | | | | | | | | | | | |
|----------------|---------|--|------|----|-----|-----|----|-----|----|------|--|--|--|--|--|
| N N | BU 184 | | 400* | 8 | 60 | 100 | 5 | 1,5 | 5 | 0,05 | | | | |  |
| | BU 189 | | 330* | 8 | 60 | 100 | 5 | 1,5 | 5 | 0,05 | | | | | |
| | ESM 737 | | 400 | 8 | 75 | 50 | 6 | 2 | 6 | 0,12 | | | | | |
| | | | | | | | | | | | | | | | |
| | BU 289 | | 330* | 8 | 90 | 100 | 5 | 1,5 | 5 | 0,05 | | | | |  |
| | BU 284 | | 400* | 8 | 90 | 100 | 5 | 1,5 | 5 | 0,05 | | | | | |
| | BUV 37 | | 400 | 15 | 100 | 60 | 10 | 2 | 10 | 0,15 | | | | | |
| | | | | | | | | | | | | | | | |
| | | | | | | | | | | | | | | | |
| | | | | | | | | | | | | | | | |

superswitch darlingtons

darlingtons superswitch

| | | | | | | | | | | | | | | | |
|----------------|---------|--|-----|----|-----|-----|--|-------|----|---|-------|-----|--------|--|--|
| N N | ESM 749 | | 400 | 25 | 125 | 20* | | 2 (1) | 20 | 1 | 1 * | 3 * | 0,75 * | |  |
| | ESM 753 | | 600 | 18 | 125 | 12* | | 2 (1) | 12 | 1 | 0,8 * | 4 * | 0,5 * | | |

(1) T_{case} = 100 °C

New product
Nouveau produit

T_c = 25°C unless otherwise specified
sauf spécification contraire

metal power transistors

transistors de puissance métalliques

 THOMSON-CSF

| Type | V _{CEO} | I _C | P _{tot} | h _{21E} | / | I _C | V _{CE (sat)} | I _C | / I _B | t _{d + t_r} | t _s | t _f | f _T | Case |
|------|------------------|----------------|------------------|------------------|-----|----------------|-----------------------|----------------|------------------|--------------------------------|----------------|----------------|----------------|------|
| NPN | PNP | (V) | (A) | (W) | min | max | (A) | max | (A) | (A) | typ* | typ* | min | Case |

switching transistors

transistors de commutation

| | | | | | | | | | | | | | | |
|---------|---------|-----|-----|----|----|-----|------|------|------|-------|-----|-------|-----|--|
| 2N 3053 | | 40 | 0,7 | 5 | 50 | 250 | 0,15 | 1,4 | 0,15 | 0,015 | | | 100 | |
| 2N 2890 | | 80 | 3 | 5 | 25 | | 2 | 0,75 | 2 | 0,2 | 0,3 | 1,5 | 30 | |
| 2N 2891 | | 80 | 3 | 5 | 40 | | 2 | 0,75 | 2 | 0,2 | 0,3 | 1,5 | 30 | |
| | 2N 5415 | 200 | 1 | 10 | 30 | 150 | 0,05 | 2,5 | 0,05 | 0,005 | 2 * | 2 * | 15 | |
| | 2N 5416 | 300 | 1 | 10 | 30 | 120 | 0,05 | 2 | 0,05 | 0,005 | 2 * | 0,5 * | 15 | |
| 2N 3440 | | 250 | 1 | 10 | 40 | 160 | 0,02 | 0,5 | 0,05 | 0,004 | | | 15 | |
| 2N 3439 | | 350 | 1 | 10 | 40 | 180 | 0,02 | 0,5 | 0,05 | 0,004 | | | 15 | |
| BUX 49 | | 90 | 3,5 | 10 | 20 | 60 | 1,75 | 0,8 | 3,5 | 0,35 | 0,8 | 1,5 | 8 | |
| BUX 50 | | 125 | 3,5 | 10 | 20 | 60 | 1,5 | 0,8 | 3 | 0,3 | 0,8 | 2 | 0,3 | |
| BUX 51 | | 200 | 3,5 | 10 | 20 | 60 | 1 | 1 | 2 | 0,2 | 0,8 | 2,5 | 0,5 | |
| BUX 54 | | 400 | 2 | 10 | 20 | 60 | 0,6 | 1,3 | 1,2 | 0,15 | 1 | 3,5 | 1,2 | |



general purpose transistors

transistors usage general

| | | | | | | | | | | | | | | |
|---------|---------|-----|---|----|----|-----|-----|-----|-----|-------|--|--|-----|--|
| 2N 3054 | BDX 14 | 55 | 4 | 25 | 25 | 100 | 0,5 | 1 | 0,5 | 0,05 | | | 0,8 | |
| BDY 71 | | 55 | 4 | 29 | 80 | 200 | 0,5 | 1 | 0,5 | 0,05 | | | 0,8 | |
| BDY 72 | | 120 | 3 | 25 | 60 | 180 | 0,5 | 1 | 0,5 | 0,05 | | | 0,8 | |
| 2N 3441 | BDX 16 | 140 | 3 | 25 | 20 | 80 | 0,5 | 1 | 0,5 | 0,05 | | | 0,8 | |
| | 2N 3740 | 60 | 4 | 25 | 20 | 80 | 0,5 | 0,6 | 1 | 0,125 | | | 4 | |
| | 2N 3741 | 80 | 4 | 25 | 20 | 80 | 0,5 | 0,6 | 1 | 0,125 | | | 4 | |

switching transistors

transistors de commutation



| | | | | | | | | | | | | | | |
|---------|--|-----|---|----|----|-----|------|------|------|-------|---|---|----|--|
| BDY 78 | | 55 | 4 | 25 | 25 | 100 | 0,5 | 1 | 0,5 | 0,05 | | | 8 | |
| BDY 79 | | 120 | 4 | 25 | 25 | 100 | 0,5 | 1 | 0,5 | 0,05 | | | 8 | |
| 2N 3583 | | 175 | 1 | 35 | 10 | | 1 | 5 | 1 | 0,125 | | | 10 | |
| 2N 3738 | | 225 | 3 | 20 | 25 | | 0,25 | 2,5 | 0,25 | 0,025 | | | 10 | |
| 2N 3584 | | 250 | 2 | 35 | 25 | 100 | 1 | 0,75 | 1 | 0,125 | 3 | 4 | 3 | |
| 2N 3585 | | 300 | 2 | 35 | 25 | 100 | 1 | 0,75 | 1 | 0,125 | 3 | 4 | 3 | |

general purpose transistors

transistors usage general

| | | | | | | | | | | | | | | |
|------------|--------|-----|----|-----|----|----|----|-----|----|-----|--|--|-----|--|
| 2N 3771 | BDX 18 | 40 | 30 | 150 | 15 | 60 | 15 | 2 | 15 | 1,5 | | | 0,8 | |
| △2N 3055 S | | 60 | 15 | 117 | 20 | 70 | 4 | 1,1 | 4 | 0,4 | | | 0,8 | |
| | | 60 | 15 | 117 | 20 | 70 | 4 | 2,5 | 10 | 3,3 | | | 0,8 | |
| 2N 3772 | | 60 | 20 | 150 | 15 | 60 | 10 | 1,4 | 10 | 1 | | | 0,8 | |
| 2N 3442 | | 140 | 10 | 117 | 20 | 70 | 3 | 1 | 3 | 0,3 | | | 0,8 | |
| 2N 3773 | | 140 | 16 | 150 | 15 | 60 | 8 | 1,4 | 8 | 0,8 | | | 0,8 | |



△: Devices under CCQ/CCT
Dispositifs soumis au CCQ/CCT

T_c = 25°C unless otherwise specified
sauf spécification contraire

| Type | V_{CEO} V_{CEX^*} | I_C cont | P_{tot} | h_{21E} / $*V_{CE} = 1,5V$ | I_C | $V_{CE \text{ (sat)}}$ / I_C / I_B | $t_{d + t_r}$ typ* | t_s typ* | t_f typ* | f_T | Case |
|------|--------------------------|---------------------|-----------|---------------------------------|-------|--|-----------------------|---------------|--------------------|--------------|------|
| NPN | (V) | I_{Ceff^*} (A) | (W) | min max | (A) | max (V) | (A) | (A) | max (μs) | min (MHz) | |

switching transistors

transistors de commutation

| | | | | | | | | | | | |
|-------------------|-----|----|------|----|-----|-----|-----|-----|------|------------------|----|
| BDY 26(183 T2)* | 180 | 6 | 87,5 | 15 | 180 | 2 | 0,6 | 2 | 0,25 | 1 | |
| BDY 27(184 T2)* | 200 | 6 | 87,5 | 15 | 180 | 2 | 0,6 | 2 | 0,25 | 1 | |
| ▲ BDY 28(185 T2)* | 250 | 6 | 87,5 | 15 | 180 | 2 | 0,6 | 2 | 0,25 | 1 | |
| ▲ BDY 55 | 60 | 15 | 117 | 10 | 10 | 2,5 | 10 | 3,3 | 0,5 | 2($t_S + t_f$) | 10 |
| ▲ BDY 56 | 120 | 15 | 117 | 10 | 10 | 2,5 | 10 | 3,3 | 0,5 | 2($t_S + t_f$) | 10 |
| BDY 57(108 T2) | 80 | 25 | 175 | 20 | 60 | 10 | 1,4 | 10 | 1 | 0,25* | 7 |
| BDY 58(109 T2) | 125 | 25 | 175 | 20 | 60 | 10 | 1,4 | 10 | 1 | 0,25* | 7 |


superswitch transistors

transistors superswitch

| | | | | | | | | | | | | | |
|-----------|-------|------|-----|-----|--|-----|--------|-----|------|-------|------|------|---|
| BUX 39 | 90 | 30 | 120 | 8 | | 20 | 1,6 | 20 | 2,5 | 1,5 | 1 | 0,3 | 8 |
| BUX 40 | 125 | 20 | 120 | 8 | | 15 | 1,6 | 15 | 1,9 | 1,2 | 1 | 0,4 | 8 |
| BUX 41 | 200 | 15 | 120 | 8 | | 8 | 1,6 | 8 | 1 | 1 | 1,7 | 0,8 | 8 |
| BUX 42 | 250 | 12 | 120 | 8 | | 6 | 1,6 | 6 | 0,75 | 1 | 2 | 1,2 | 8 |
| BUX 43 | 325 | 10 | 120 | 8 | | 5 | 1,6 | 5 | 1 | 1 | 2,2 | 1,2 | 8 |
| BUX 44 | 400 | 8 | 120 | 8 | | 4 | 2 | 4 | 0,8 | 1 | 2,5 | 1,2 | 8 |
| BUX 45 | 500 | 5 | 120 | 8 | | 2 | 2 | 2 | 0,4 | 1 | 5 | 1,2 | 8 |
| BUW 38 | 60 | 30 * | 150 | 10 | | 40 | 1,4 | 40 | 4 | 1,5 | 1,1 | 0,25 | 8 |
| BUW 39 | 80 | 30 * | 150 | 10 | | 30 | 1,2 | 30 | 3 | 1,5 | 1,1 | 0,25 | 8 |
| ▲ BUX 10 | 125 | 25 | 150 | 10 | | 20 | 1,2 | 20 | 2 | 1,5 | 1,2 | 0,3 | 8 |
| ▲ BUX 11 | 200 | 20 | 150 | 10 | | 12 | 1,5 | 12 | 1,5 | 1 | 1,8 | 0,4 | 8 |
| ▲ BUX 12 | 250 | 20 | 150 | 10 | | 10 | 1,5 | 10 | 1,25 | 1 | 2 | 0,5 | 8 |
| ▲ BUX 13 | 325 | 15 | 150 | 8 | | 8 | 1,5 | 8 | 1,6 | 1,2 | 2,5 | 1 | 8 |
| ▲ BUX 14 | 400 | 10 | 150 | 8 | | 6 | 1,5 | 6 | 1,2 | 1,4 | 3 | 1,2 | 8 |
| ▲ BUX 15 | 500 | 8 | 150 | 8 | | 4 | 1 | 4 | 0,8 | 1,6 | 5 | 1,4 | 8 |
| ESM 16 | 400 | 10 | 150 | 20 | | 5 | 1 | 5 | 1 | 0,85* | 1,5* | 0,5* | 5 |
| BUV 18 | 60 | 50 * | 250 | 10 | | 80 | 1,5 | 80 | 8 | 1,5 | 1,1 | 0,25 | 8 |
| BUV 19 | 80 | 50 * | 250 | 10 | | 60 | 1,2 | 60 | 6 | 1,3 | 1,1 | 0,25 | 8 |
| BUV 20 | 125 | 50 | 250 | 10 | | 50 | 1,2 | 50 | 5 | 1,5 | 1,2 | 0,3 | 8 |
| BUV 21 | 200 | 40 | 250 | 10 | | 25 | 1,5 | 25 | 3 | 1,2 | 1,8 | 0,4 | 8 |
| BUV 22 | 250 | 40 | 250 | 10 | | 20 | 1,5 | 20 | 2,5 | 1,3 | 2 | 0,5* | 8 |
| BUV 23 | 325 | 30 | 250 | 8 | | 16 | 1 | 16 | 3,2 | 1,3 | 2,5 | 1,2 | 8 |
| BUV 24 | 400 | 20 | 250 | 8 | | 12 | 1 | 12 | 2,4 | 1,6 | 3 | 1,4 | 8 |
| BUV 25 | 500 | 15 | 250 | 8 | | 8 | 1 | 8 | 1,6 | 1,8 | 5 | 1,6 | 8 |
| BUT 90 | 125 | 50 | 250 | 10* | | 70 | 1,2 | 70 | 7 | 1,2 | 1,5 | 0,3 | |
| BUT 91 | 200 | 50 | 250 | 10* | | 40 | 1,2 | 40 | 4 | 1 | 1,5 | 0,3 | |
| BUT 92 | 250 | 50 | 250 | 10* | | 35 | 1,2 | 35 | 3,5 | 1 | 2 | 0,3 | |
| ▲ BUX 20 | 125 | 50 | 350 | 10 | | 50 | 1,2 | 50 | 5 | 1,5 | 1,2 | 0,3 | 8 |
| ▲ BUX 21 | 200 | 40 | 350 | 10 | | 25 | 1,5 | 25 | 3 | 1,2 | 1,8 | 0,4 | 8 |
| ▲ BUX 22 | 250 | 40 | 350 | 10 | | 20 | 1,5 | 20 | 2,5 | 1,3 | 2 | 0,5 | 8 |
| ▲ BUX 23 | 325 | 30 | 350 | 8 | | 16 | 1 | 16 | 3,2 | 1,3 | 2,5 | 1,2 | 8 |
| ▲ BUX 24 | 400 | 20 | 350 | 8 | | 12 | 1 | 12 | 2,4 | 1,6 | 3 | 1,4 | 8 |
| ▲ BUX 25 | 500 | 15 | 350 | 8 | | 8 | 1 | 8 | 1,6 | 1,8 | 5 | 1,6 | 8 |
| BUX 46 | 850* | 3,5 | 85 | 5 | | 2,5 | 1,5 | 2,5 | 0,5 | 1 | 3 | 0,8 | |
| BUX 47 | 850* | 9 | 107 | 5 | | 6 | 1,5 | 6 | 1,2 | 1 | 3 | 0,8 | |
| BUX 48 | 850* | 15 | 175 | 5 | | 10 | 1,5 | 10 | 2 | 1 | 3 | 0,8 | |
| BUX 98 | 850* | 30 | 250 | 5 | | 20 | 1 | 20 | 4 | 1 | 3 | 0,8 | |
| BUX 47 A | 1000* | 9 | 107 | 5 | | 5 | 1,5 | 5 | 1 | 1 | 3 | 0,8 | |
| BUX 48 A | 1000* | 15 | 175 | 5 | | 8 | 1,5 | 8 | 1,6 | 1 | 3 | 0,8 | |
| BUX 98 A | 1000* | 30 | 250 | 5 | | 16 | 1,5 | 16 | 3,2 | 1 | 3 | 0,8 | |
| ESM 750 | 900* | 12 | 150 | 4 | | 6 | 1,8(1) | 6 | 1,5 | 0,8 | 4 | 0,7 | |
| ESM 750 A | 1000* | 12 | 150 | 4 | | 6 | 1,8(1) | 6 | 1,5 | 0,8 | 4 | 0,7 | |
| ESM 1503 | 1500* | 5 | 60 | 2 | | 4 | 2 | 4 | 2 | 0,5* | 2,5* | 0,6* | |
| ESM 952 | 600 | 24 | 214 | 4* | | 12 | 1,8(1) | 12 | 3 | 0,4* | 4 | 0,7 | |
| ESM 952 A | 700 | 24 | 214 | 4* | | 12 | 1,8(1) | 12 | 3 | 0,4* | 4 | 0,7 | |



▲ Devices under CCO/CECC
Dispositifs soumis au CCO/CECC

$T_c = 25^\circ\text{C}$ unless otherwise specified
sauf spécification contraire

* available in different h_{21E} groups
disponibles triés en classe de gain

New product
Nouveau produit

metal power transistors

transistors de puissance métalliques

 THOMSON-CSF

| Type | | V _{CEO} | I _C | P _{tot} | b _{21E} | / | I _C | V _{CE} | / | I _C | / I _B | t _d + t _r | t _s | t _f | f _T | Case |
|------|-----|-------------------|----------------|------------------|------------------|------|----------------|-----------------|-----|----------------|------------------|---------------------------------|----------------|----------------|----------------|-------|
| NPN | PNP | V _{CEX*} | cont | (W) | min | typ* | max | (V) | (A) | (A) | (A) | max | typ* | max | typ* | (MHz) |

switching transistors : tv applications

transistors de commutation : applications tv

| | | | | | | | | | | | | | | | | |
|----------|--|-------|-----|---------|------|-----|-----|-----|-----|------|-----|---|-------|-------|-----|--|
| BU 109 | | 330* | 10 | 85 | 15 | | 5 | 2 | 7 | 1 | | | 1 | 0,8 | 10* | |
| BU 109 D | | 330* | 10 | 85 | 7 | | 7 | 2,5 | 7 | 1 | | | 1 | 0,8 | 10* | |
| BU 104 | | 400* | 7 | 85 | 10 | | 5 | 2,5 | 7 | 1 | | | 1,2* | 0,15* | 21* | |
| BU 104 D | | 400* | 7 | 85 | 7 | | 7 | 2,5 | 7 | 1 | | | 3,5 | 0,5 | 6* | |
| BU 126 | | 750* | 3 | 30 (4) | 15 | | 1 | 5 | 4 | 1 | | | 10 * | 0,75* | 3* | |
| BU 326 | | 800* | 6 | 60 (4) | 15* | | 2,5 | 3 | 4 | 1,25 | 0,5 | | 10 * | 0,75* | 3* | |
| BU 326 A | | 900* | 6 | 60 (4) | 15* | | 2,5 | 3 | 4 | 1,25 | | | 3,5 | 0,5 | 6* | |
| BU 204 | | 1300* | 2,5 | 10 (3) | 2 | | 2 | 5 | 2 | 1 | | | 10 * | 0,75* | 3* | |
| BU 205 | | 1500* | 2,5 | 10 (3) | 2 | | 2 | 5 | 2 | 1 | | | 10 * | 0,75* | 3* | |
| BU 206 | | 1700* | 2,5 | 10 (3) | 1,8 | | 2 | 5 | 2 | 1,1 | | | 10 * | 0,75* | 3* | |
| BU 207 | | 1300* | 5 | 12,5(2) | 2,25 | | 4,5 | 5 | 4,5 | 2 | | | 0,9 * | 3* | | |
| BU 208 | | 1500* | 5 | 12,5(2) | 2,25 | | 4,5 | 5 | 4,5 | 2 | | | 0,7 * | 3* | | |
| BU 208 A | | 1500* | 5 | 12,5(2) | 2,25 | | 4,5 | 5 | 4,5 | 2 | | | 0,7 * | 3* | | |
| BU 209 | | 1700* | 4 | 12,5(2) | 2,25 | | 3 | 5 | 3 | 1,3 | | | 0,7 * | 3* | | |
| BU 800 | | 1500* | 5 | 12,5(2) | 2,25 | | 4,5 | 5 | 4,5 | 2 | | | 0,6 * | | | |
| N BU 926 | | 850* | 8 | 120 | | 2,5 | | 5 | 1,5 | 5 | 1 | 1 | 3,2 | 0,8 | | |
| | | | | | | | | | | | | | | | | |

general purpose darlingtons

darlingtons usage général

| | | | | | | | | | | | | | | | | |
|----------|----------|-----|----|-----|------|--|----|---|----|-------|--|--|--|--|----|--|
| BDX 63 | BDX 62 | 60 | 8 | 90 | 1000 | | 3 | 2 | 3 | 0,012 | | | | | 7* | |
| BDX 63 A | BDX 62 A | 80 | 8 | 90 | 1000 | | 3 | 2 | 3 | 0,012 | | | | | 7* | |
| BDX 63 B | BDX 62 B | 100 | 8 | 90 | 1000 | | 3 | 2 | 3 | 0,012 | | | | | 7* | |
| BDX 63 C | BDX 62 C | 120 | 8 | 90 | 1000 | | 3 | 2 | 3 | 0,012 | | | | | 7* | |
| BDX 65 | BDX 64 | 60 | 12 | 117 | 1000 | | 5 | 2 | 5 | 0,02 | | | | | 7* | |
| BDX 65 A | BDX 64 A | 80 | 12 | 117 | 1000 | | 5 | 2 | 5 | 0,02 | | | | | 7* | |
| BDX 65 B | BDX 64 B | 100 | 12 | 117 | 1000 | | 5 | 2 | 5 | 0,02 | | | | | 7* | |
| BDX 65 C | BDX 64 C | 120 | 12 | 117 | 1000 | | 5 | 2 | 5 | 0,02 | | | | | 7* | |
| BDX 67 | BDX 66 | 60 | 16 | 150 | 1000 | | 10 | 2 | 10 | 0,04 | | | | | 7* | |
| BDX 67 A | BDX 66 A | 80 | 16 | 150 | 1000 | | 10 | 2 | 10 | 0,04 | | | | | | |
| BDX 67 B | BDX 66 B | 100 | 16 | 150 | 1000 | | 10 | 2 | 10 | 0,04 | | | | | | |
| BDX 67 C | BDX 66 C | 120 | 16 | 150 | 1000 | | 10 | 2 | 10 | 0,04 | | | | | | |

superswitch darlingtons

darlingtons superswitch

| | | | | | | | | | | | | | | | | |
|-----------|--|------|----|-------|--------|--|----|---|----|------|------|-------|------|---|--|--------|
| BUX 37 | | 400 | 15 | 35(1) | 20 | | 15 | 2 | 10 | 0,15 | | 1,2 * | 6 * | 5 | | |
| ESM 837 | | 450* | 20 | 100 | 60 | | 10 | 2 | 10 | 0,15 | | | | | | |
| | | | | | | | | | | | | | | | | |
| NN BUV 54 | | 400 | 18 | 150 | 20 (5) | | 12 | 2 | 12 | 0,6 | 0,15 | 2,5 | 0,25 | | | CB-19 |
| NN BUV 74 | | 400 | 36 | 250 | 20 (5) | | 24 | 2 | 24 | 1,2 | 0,15 | 2,5 | 0,25 | | | CB-159 |

T_C = 25°C unless otherwise specified
sauf spécification contraire

(1) T_C = 100°C (2) T_C = 95°C (3) T_C = 90°C (4) T_C = 50°C (5) V_{CE} = 1,5V

N New product
Nouveau produit



| Type | V _{CEO} (V) | I _C cont sat* | P _{tot} (W) | h _{21E} *V _{CE} = 1,5V min | I _C max (A) | V _{CE} (sat) / I _C max (V) | I _B (A) | t _d +t _r typ* max (μs) | t _s max (μs) | t _f max (μs) | f _T min (MHz) | Case |
|------|-------------------------|--------------------------------|-------------------------|--|------------------------------|--|-----------------------|---|-------------------------------|-------------------------------|--------------------------------|------|
|------|-------------------------|--------------------------------|-------------------------|--|------------------------------|--|-----------------------|---|-------------------------------|-------------------------------|--------------------------------|------|

superswitch high power transistors

transistors superswitch de forte puissance

| | | | | | | | | | | | | | |
|---|-----------|-----|------|---------|-----|--|-----|---------|-----|----|------|-----|-----|
| N | ESM 1000T | 100 | 100* | 400 | 12 | | 100 | 1,5 | 100 | 10 | 3 | 1,7 | 0,5 |
| N | ESM 3000 | 100 | 150* | 400 | 10* | | 150 | 0,7 (3) | 100 | 10 | 1,5 | 1,8 | 0,5 |
| N | ESM 3001 | 150 | 150* | 400 | 10* | | 150 | 0,7 (3) | 100 | 10 | 1,5 | 1,8 | 0,5 |
| N | ESM 2060T | 200 | 60* | 400 | 8 | | 60 | 1,5 | 60 | 12 | 2,5 | 2,5 | 1 |
| N | ESM 3002 | 200 | 140* | 400 | 5* | | 140 | 1,5 | 140 | 28 | 1,5 | 2 | 0,7 |
| N | ESM 738T | 400 | 30* | 350 | 8 | | 30 | 1,5 | 30 | 6 | 2 | 3,5 | 1,2 |
| N | ESM 3004 | 400 | 65* | 400 | 5* | | 65 | 1,5 | 65 | 13 | 1,5 | 3,5 | 1 |
| N | ESM 3005 | 500 | 50* | 400 | 5* | | 50 | 1,5 | 50 | 10 | 1,5 | 3,5 | 1 |
| N | ESM 3006 | 600 | 35* | 300 | 4* | | 35 | 1,5 | 35 | 7 | 1,5 | 5 | 1,5 |
| N | ESM 3007 | 700 | 30* | 300 | 4* | | 30 | 1,5 | 30 | 6 | 1,5 | 5 | 1,5 |
| | | | | | | | | | | | | | |
| N | ESM 4012 | 200 | 230* | 1200(1) | 5 | | 230 | 1,5 | 230 | 46 | 1,5* | 2,5 | 1 |
| N | ESM 4014 | 400 | 90* | 1200(1) | 5 | | 90 | 1,5 | 90 | 18 | 1,5* | 3,5 | 1 |
| N | ESM 4015 | 500 | 70* | 1200(1) | 5 | | 70 | 1,5 | 70 | 14 | 1,5* | 3,5 | 1 |
| N | ESM 4016 | 600 | 60* | 850(1) | 5 | | 60 | 1,5 (2) | 60 | 12 | 1,5* | 5 | 2 |
| N | ESM 4017 | 700 | 50* | 850(1) | 5 | | 50 | 1,5 (2) | 50 | 10 | 1,5* | 5 | 2 |
| | | | | | | | | | | | | | |



TO-83
CB-183



MU 86
CB-263

npn switching transistors : military applications **

transistors de commutation npn : applications militaires

| | | | | | | | | | | | | | |
|-----------|-----|----|-----|----|-----|----|------|----|------|-----|---|---|-----|
| 2N 1209 | 45 | 5 | 85 | 20 | | 2 | 2 | 2 | 0,25 | | | | 3 |
| 2N 1208 | 60 | 5 | 85 | 15 | | 2 | 2 | 2 | 0,25 | | | | 3 |
| 2N 1616 | 60 | 5 | 85 | 15 | 75 | 2 | 2 | 2 | 0,25 | | | | 3 |
| 2N 1617 | 70 | 5 | 85 | 15 | 75 | 2 | 2 | 2 | 0,25 | | | | 3 |
| 2N 1618 | 80 | 5 | 85 | 15 | 75 | 2 | 2 | 2 | 0,25 | | | | 3 |
| 2N 1724 | 80 | 5 | 100 | 20 | 90 | 2 | 1 | 2 | 0,2 | | | | 10 |
| 2N 1725 | 80 | 5 | 100 | 50 | 150 | 2 | 1 | 2 | 0,2 | | | | 10 |
| 2N 1724 A | 120 | 5 | 100 | 30 | 90 | 2 | 1,5 | 5 | 0,5 | | | | 10 |
| | | | | | | | | | | | | | |
| 2N 1936 | 60 | 20 | 200 | 10 | 50 | 10 | 0,75 | 10 | 1,6 | | | | 4 |
| 2N 1937 | 80 | 20 | 200 | 10 | 50 | 10 | 0,75 | 10 | 1,6 | | | | 4 |
| 2N 2815 | 80 | 20 | 200 | 10 | 50 | 10 | 1,5 | 10 | 1,5 | 3,5 | 6 | 6 | 0,6 |
| 2N 2816 | 100 | 20 | 200 | 10 | 50 | 10 | 1,5 | 10 | 1,5 | 3,5 | 6 | 6 | 0,6 |
| 2N 2817 | 150 | 20 | 200 | 10 | 50 | 10 | 1,5 | 10 | 1,5 | 3,5 | 6 | 6 | 0,6 |
| 2N 2818 | 200 | 20 | 200 | 10 | 50 | 10 | 1,5 | 10 | 1,5 | 3,5 | 6 | 6 | 0,6 |
| 2N 2819 | 80 | 25 | 200 | 10 | 50 | 15 | 1,5 | 15 | 2,2 | 3,5 | 6 | 6 | 0,6 |
| 2N 2820 | 100 | 25 | 200 | 10 | 50 | 15 | 1,5 | 15 | 2,2 | 3,5 | 6 | 6 | 0,6 |
| 2N 2821 | 150 | 25 | 200 | 10 | 50 | 15 | 1,5 | 15 | 2,2 | 3,5 | 6 | 6 | 0,6 |
| 2N 2822 | 200 | 25 | 200 | 10 | 50 | 15 | 1,5 | 15 | 2,2 | 3,5 | 6 | 6 | 0,6 |
| 2N 2823 | 80 | 30 | 200 | 10 | 40 | 20 | 1,1 | 20 | 3 | 3,5 | 6 | 6 | 0,6 |
| 2N 2824 | 100 | 30 | 200 | 10 | 40 | 20 | 1,1 | 20 | 3 | 3,5 | 6 | 6 | 0,6 |
| 2N 2825 | 150 | 30 | 200 | 10 | 40 | 20 | 1,1 | 20 | 3 | 3,5 | 6 | 6 | 0,6 |
| | | | | | | | | | | | | | |



TO-61
CB-69



TO-63
CB-70

(1) T_{case} = 75°C (2) T_j = 100°C (3) T_{case} = 100°C

T_{case} = 25°C unless otherwise specified
sauf spécification contraire

N: New product
Nouveau produit

** Data sheets on request
Notices sur demande

cross reference guide - switching power transistors

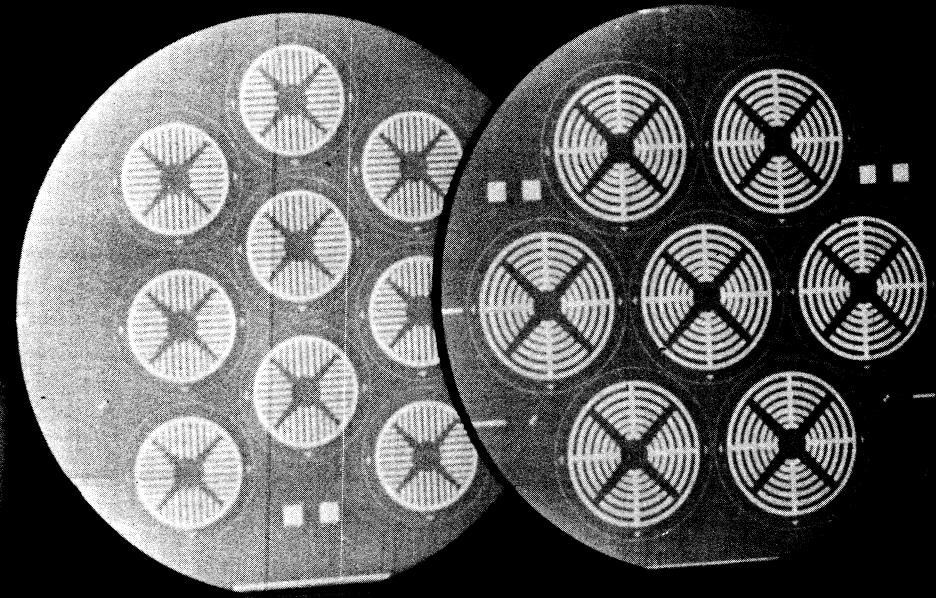
| Indust. Part Number | THOMSON-CSF Type (Nearest) | Case |
|---------------------------|----------------------------------|--------|
| 2N 5038 | BUV 39 | TO3 |
| 2N 5039 | BUV 39 | TO3 |
| 2N 5671 | BUW 39 | TO3 |
| 2N 5672 | BUV 50 | TO3 |
| 2N 6032 | BUV 19 | TO3 |
| 2N 6033 | BUV 60 | TO3 |
| 2N 6249 | BUV 52 | TO3 |
| 2N 6250 | BUV 52 | TO3 |
| 2N 6251 | BUX 48 | TO3 |
| 2N 6274 | BUV 50 | TO3 |
| 2N 6275 | BUV 50 | TO3 |
| 2N 6306 | BUV 42 | TO3 |
| 2N 6307 | BUX 43 | TO3 |
| 2N 6308 | BUX 44 | TO3 |
| 2N 6542 | BUX 46 | TO3 |
| 2N 6543 | BUX 46 | TO3 |
| 2N 6544 | BUX 47 | TO3 |
| 2N 6545 | BUV 47 | TO3 |
| 2N 6546 | BUV 48 | TO3 |
| 2N 6547 | BUV 48 | TO3 |
| 2N 6579 | 2N 6671 | TO3 |
| 2N 6580 | 2N 6672 | TO3 |
| 2N 6581 | 2N 6673 | TO3 |
| 2N 6582 | 2N 6671 | TO3 |
| 2N 6583 | 2N 6672 | TO3 |
| 2N 6584 | 2N 6673 | TO3 |
| 2N 6671 | 2N 6671 | TO3 |
| 2N 6672 | 2N 6672 | TO3 |
| 2N 6673 | 2N 6673 | TO3 |
| 2N 6674 | 2N 6674 | TO3 |
| 2N 6675 | 2N 6675 | TO3 |
| 2N 6676 | 2N 6676 | TO3 |
| 2N 6677 | 2N 6677 | TO3 |
| 2N 6678 | 2N 6678 | TO3 |
| 2SC 2552 | BUV 36 | TO220 |
| 2SC 2553 | BUV 56 | TO220 |
| 2SC 2554 | BUV 47 | TOP 3 |
| 2SC 2914 | BUX 48 | TO 3 |
| BU 104 P | BU 104 P | TO 220 |
| BU 104 DP | BU 104 DP | TO 220 |
| BU 109 P | BU 109 P | TO 220 |
| BU 109 DP | BU 109 DP | TO 220 |
| BU 126 | BU 126 | TO 3 |
| BU 126 A | BU 126 A | TO 3 |
| BU 180 | BU 289 | TOP 3 |
| BU 180 A | BU 284 | TOP 3 |
| BU 204 | BU 204 | TO 3 |
| BU 205 | BU 205 | TO 3 |
| BU 207 | BU 207 | TO 3 |
| BU 208 | BU 208 | TO 3 |
| BU 208 A | BU 208 A | TO 3 |
| BU 208 D | BU 800 | TO 3 |
| BU 326 | BU 326 | TO 3 |
| BU 326 A | BU 326 A | TO 3 |
| BU 406 | BU 406 | TO 220 |
| BU 406 D | BU 406 D | TO 220 |
| BU 407 | BU 407 | TO 220 |
| BU 407 D | BU 407 D | TO 220 |
| BU 426 | BU 326 P | TOP 3 |
| BU 426 A | BU 326 AP | TOP 3 |
| BU 500 | BU 208 A | TO 3 |
| BU 800 | BU 800 | TO 3 |
| BU 910 | ESM 737 | TO 220 |
| BU 911 | ESM 737 | TO 220 |
| BU 912 | ESM 737 | TO 220 |
| BUR 20 | BUV 60 | TO 3 |

| Indust. Part Number | THOMSON-CSF Type (Nearest) | Case |
|---------------------------|----------------------------------|---------|
| BUR 21 | BUV 61 | TO 3 |
| BUR 22 | BUV 62 | TO 3 |
| BUR 23 | BUV 23 | TO 3 |
| BUR 24 | BUV 24 | TO 3 |
| BUR 50 | BUT 90 | TO 3 |
| BUR 51 | BUT 91 | TO 3 |
| BUR 52 | BUT 92 | TO 3 |
| BUS 11 | BUX 46 | TO 3 |
| BUS 11 A | BUX 46 A | TO 3 |
| BUS 12 | BUX 47 | TO 3 |
| BUS 12 A | BUX 47 A | TO 3 |
| BUS 13 | BUX 48 | TO 3 |
| BUS 13 A | BUX 48 A | TO 3 |
| BUS 14 | BUX 98 | TO 3 |
| BUS 14 A | BUX 98 A | TO 3 |
| BUS 45 P | BUV 46 | TO 220 |
| BUS 46 P | BUV 46 | TO 220 |
| BUS 47 | BUX 47 | TO 3 |
| BUS 47 A | BUX 47 A | TO 3 |
| BUS 47 P | BUV 47 B | TOP 3 |
| BUS 47 AP | BUV 47 A | TOP 3 |
| BUS 48 | BUX 48 | TO 3 |
| BUS 48 A | BUX 48 A | TO 3 |
| BUS 48 P | BUV 48 | TOP 3 |
| BUS 48 AP | BUV 48 A | TOP 3 |
| BUS 98 | BUX 98 | TO 3 |
| BUS 98 A | BUX 98 A | TO 3 |
| BUT 11 | BUV 46 | TO 220 |
| BUT 11 A | BUV 46 A | TO 220 |
| BUV 10 | BUV 50 | TO 3 |
| BUV 11 | BUV 51 | TO 3 |
| BUV 12 | BUV 52 | TO 3 |
| BUV 18 | BUV 18 | TO 3 |
| BUV 19 | BUV 19 | TO 3 |
| BUV 20 | BUV 20 | TO 3 |
| BUV 21 | BUV 21 | TO 3 |
| BUV 22 | BUV 22 | TO 3 |
| BUV 23 | BUV 23 | TO 3 |
| BUV 24 | BUV 24 | TO 3 |
| BUV 25 | BUV 25 | TO 3 |
| BUV 26 | BUV 26 | TO 220 |
| BUV 27 | BUV 27 | TO 220 |
| BUV 28 | BUV 28 | TO 220 |
| BUV 36 | BUV 36 | TO 200 |
| BUV 39 | BUV 39 | TO 3 |
| BUV 40 | BUV 40 | TO 3 |
| BUV 41 | BUV 41 | TO 3 |
| BUV 42 | BUV 42 | TO 3 |
| BUV 46 | BUV 46 | TO 220 |
| BUV 46 A | BUV 46 A | TO 220 |
| BUV 47 | BUV 47 | TOP 3 |
| BUV 47 A | BUV 47 A | TOP 3 |
| BUV 47 B | BUV 47 B | TOP 3 |
| BUV 48 | BUV 48 | TOP 3 |
| BUV 48 A | BUV 48 A | TOP 3 |
| BUV 50 | BUV 50 | TO 3 |
| BUV 51 | BUV 51 | TO 3 |
| BUV 52 | BUV 52 | TO 3 |
| BUV 56 | BUV 56 | TO 220 |
| BUV 56 A | BUV 56 A | TO 220 |
| BUV 60 | BUV 60 | TO 3 |
| BUV 61 | BUV 61 | TO 3 |
| BUV 62 | BUV 62 | TO 3 |
| BUV 66 | BUV 66 | TO 220 |
| BUV 66 A | BUV 66 A | TO 220 |
| BUV 98 | BUV 98 | ISO-TOP |

cross reference guide - switching power transistors

| Indust. Part Number | THOMSON-CSF Type (Nearest) | Case |
|---------------------------|----------------------------------|---------|
| BUV 98 A | BUV 98 A | ISO-TOP |
| BUW 12 | BUV 47 | TOP 3 |
| BUW 12 A | BUV 47 A | TOP 3 |
| BUW 13 | BUV 48 | TOP 3 |
| BUW 13 A | BUV 48 A | TOP 3 |
| BUW 24 | BUX 46 | TO 3 |
| BUW 25 | BUX 46 | TO 3 |
| BUW 26 | BUX 46 A | TO 3 |
| BUW 34 | BUW 34 | TO 3 |
| BUW 35 | BUW 35 | TO 3 |
| BUW 36 | BUW 36 | TO 3 |
| BUW 40/A/B | BUV 46 | TO 220 |
| BUW 41/A/B | BUV 56 | TO 220 |
| BUW 44 | BUX 48 | TO 3 |
| BUW 45 | BUX 48 | TO 3 |
| BUW 46 | BUX 48 A | TO 3 |
| BUW 48 | BUW 48 | TOP 3 |
| BUW 49 | BUW 49 | TOP 3 |
| BUW 50 | BUW 50 | TOP 3 |
| BUW 51 | BUW 51 | TOP 3 |
| BUW 52 | BUW 52 | TOP 3 |
| BUW 89 | BUW 89 | TOP 3 |
| BUW 90 | BUW 90 | TOP 3 |
| BUW 91 | BUW 91 | TOP 3 |
| BUW 92 | BUW 92 | TOP 3 |
| BUX 10 | BUX 10 | TO 3 |
| BUX 11 | BUX 11 | TO 3 |
| BUX 12 | BUX 12 | TO 3 |
| BUX 13 | BUX 13 | TO 3 |
| BUX 14 | BUX 14 | TO 3 |
| BUX 15 | BUX 15 | TO 3 |
| BUX 20 | BUX 20 | TO 3 |
| BUX 21 | BUX 21 | TO 3 |
| BUX 22 | BUX 22 | TO 3 |
| BUX 23 | BUX 23 | TO 3 |
| BUX 24 | BUX 24 | TO 3 |
| BUX 25 | BUX 25 | TO 3 |
| BUX 31/A/B | BUX 47/A | TO 3 |
| BUX 32/A/B | BUX 47/A | TO 3 |
| BUX 39 | BUX 39 | TO 3 |
| BUX 40 | BUX 40 | TO 3 |
| BUX 41 | BUX 41 | TO 3 |
| BUX 42 | BUX 42 | TO 3 |
| BUX 43 | BUX 43 | TO 3 |
| BUX 44 | BUX 44 | TO 3 |
| BUX 45 | BUX 45 | TO 3 |
| BUX 46 | BUX 46 | TO 3 |
| BUX 46 A | BUX 46 A | TO 3 |
| BUX 47 | BUX 47 | TO 3 |
| BUX 47 A | BUX 47 A | TO 3 |
| BUX 48 | BUX 48 | TO 3 |
| BUX 48 A | BUX 48 A | TO 3 |
| BUX 80 | BUX 80 | TO 3 |
| BUX 81 | BUX 81 | TO 3 |
| BUX 82 | BUX 46 | TO 3 |
| BUX 83 | BUX 46 A | TO 3 |
| BUX 84 | BUX 84 | TO 220 |
| BUX 85 | BUX 85 | TO 220 |
| BUX 98 | BUX 98 | TO 3 |
| BUK 98 A | BUK 98 A | TO 3 |
| BUY 69 A | BUV 47 A | TO 3 |
| BUY 69 B | BUV 47 | TO 3 |
| D 44 TD3 | BUV 46 | TO 220 |
| D 44 TD4 | BUV 46 | TO 220 |
| D 44 TD5 | BUV 46 | TO 220 |
| FE 13005 | MJE 13005 | TO 220 |

| Indust. Part Number | THOMSON-CSF Type (Nearest) | Case |
|---------------------------|----------------------------------|--------|
| FE 13007 | MJE 13007 | TO 220 |
| FE 13009 | MJE 13009 | TO 220 |
| MJ 8500 | BU 204 | TO 3 |
| MJ 8501 | BU 205 | TO 3 |
| MJ 8502 | ESM 1503 | TO 3 |
| MJ 8503 | ESM 1503 | TO 3 |
| MJ 13014 | BUX 47 | TO 3 |
| MJ 13015 | BUX 47 | TO 3 |
| MJ 13330 | BUV 51 | TO 3 |
| MJ 13331 | BUV 52 | TO 3 |
| MJ 13332 | BUX 48 | TO 3 |
| MJ 13333 | BUX 48 | TO 3 |
| MJ 13334 | BUX 48 | TO 3 |
| MJ 13335 | BUX 48 | TO 3 |
| MJE 13004 | MJE 13004 | TO 220 |
| MJE 13005 | MJE 13005 | TO 220 |
| MJE 13005 A | MJE 13005 A | TO 220 |
| MJE 13006 | MJE 13006 | TO 220 |
| MJE 13007 | MJE 13007 | TO 220 |
| MJE 13007 A | MJE 13007 A | TO 220 |
| MJE 13008 | MJE 13008 | TO 220 |
| MJE 13009 | MJE 13009 | TO 220 |
| MJE 13009 A | MJE 13009 A | TO 220 |
| SVT 7520 | BUX 47 | TO 3 |
| SVT 7521 | BUX 47 | TO 3 |
| SVT 7522 | BUX 47 | TO 3 |
| SVT 7533 | BUX 46 | TO 3 |
| SVT 7534 | BUX 46 | TO 3 |
| SVT 7535 | BUX 46 | TO 3 |
| SVT 7550 | BUX 48 | TO 3 |
| SVT 7551 | BUX 48 | TO 3 |
| SVT 7552 | BUX 48 | TO 3 |
| SVT 7553 | BUX 48 | TO 3 |
| SVT 7554 | BUX 48 | TO 3 |
| SVT 7555 | BUX 48 | TO 3 |
| SVT 7570 | 2N 6677 | TO 3 |
| SVT 7571 | 2N 6678 | TO 3 |
| SVT 7573 | 2N 6677 | TO 3 |
| SVT 7575 | 2N 6678 | TO 3 |
| TIP 48 | BUV 36 | TO 220 |
| TIP 49 | BUV 36 | TO 220 |
| TIP 50 | BUV 36 | TO 220 |
| TIP 57 A | BUV 47 | TOP 3 |
| TIP 58 A | BUV 47 | TOP 3 |
| TIP 75,A,B,C | BUV 46 | TO 220 |
| TIP 560 | BUX 47 | TO 3 |
| TIP 561 | BUX 47 | TO 3 |
| TIP 562 | BUX 48 | TO 3 |
| TIP 563 | BUX 48 | TO 3 |
| TIP 575,A,B,C | BUX 46 | TO 3 |
| UMT 1006 | BUX 46 | TO 3 |
| UMT 1007 | BUX 46 | TO 3 |
| UMT 1008 | BUX 47 | TO 3 |
| UMT 1009 | BUX 47 | TO 3 |
| UMT 1011 | BUX 48 | TO 3 |
| UMT 1012 | BUX 48 | TO 3 |
| UMT 1203 | BUV 46 | TO 220 |
| UMT 1204 | BUV 46 | TO 220 |
| UMT 13004 | MJE 13004 | TO 220 |
| UMT 13005 | MJE 13005 | TO 220 |
| UMT 13006 | MJE 13006 | TO 220 |
| UMT 13007 | MJE 13007 | TO 220 |
| UMT 13008 | MJE 13008 | TO 220 |
| UMT 13009 | MJE 13009 | TO 220 |



卷之三

symbols
symboles

| | |
|---|---|
| Short-circuit input capacitance b = common base e = common emitter | C_{11b} <i>Capacité d'entrée, sortie en court-circuit b = en base commune e = en émetteur commun</i> |
| Open-circuit output capacitance b = common base e = common emitter | C_{22b} <i>Capacité de sortie, entrée en circuit ouvert b = en base commune e = en émetteur commun</i> |
| Rate of rise of on-state collector current | d<i>I</i>_c/dt <i>Vitesse d'établissement du courant à la fermeture</i> |
| Frequency | f <i>Fréquence</i> |
| Transition frequency | f_T <i>Fréquence de transition</i> |
| Short-circuit forward current transfer ratio b = common base e = common emitter | h_{21e} <i>Rapport de transfert direct du courant, sortie en court circuit b = en base commune e = en émetteur commun</i> |
| Static value of the forward current transfer ratio (common emitter) | h_{21E} <i>Valeur statique du rapport de transfert direct du courant (en émetteur commun)</i> |
| Base (D.C) current | I_B <i>Courant (continu) de base</i> |
| Peak base current | I_{BM} <i>Courant crête de base</i> |
| RMS base current | I_{B (RMS)} <i>Courant efficace base</i> |
| Base specified current for V _{CE} sat test | I_{B sat} <i>Courant de base spécifié pour le contrôle de V_{CE} sat</i> |
| Base current during saturation | I_{B1} <i>Courant de base en saturation</i> |
| Base current during desaturation | I_{B2} <i>Courant de base en désaturation</i> |
| Collector (D.C) current | I_C <i>Courant (continu) de collecteur</i> |
| Collector-base cut-off current with I _E = 0 and V _{CB} specified | I_{CBO} <i>Courant résiduel collecteur-base avec I_E = 0 et V_{CB} spécifié</i> |
| Collector-emitter cut-off current with I _B = 0 and V _{CE} specified | I_{CEO} <i>Courant résiduel collecteur-base avec I_B = 0 et V_{CE} spécifié</i> |
| Collector-emitter cut-off current with R _{BE} = R and V _{CE} specified | I_{CER} <i>Courant résiduel collecteur-émetteur avec R_{BE} = R et V_{CE} spécifié</i> |
| Collector-emitter cut-off current with V _{BE} = 0 and V _{CE} specified | I_{CES} <i>Courant résiduel collecteur-émetteur avec V_{BE} = 0 et V_{CE} spécifié</i> |
| Collector-emitter cut-off current with V _{BE} = y (direct bias) and V _{CE} specified | I_{CEY} <i>Courant résiduel collecteur-émetteur avec V_{BE} = y (polarisation directe) et V_{CE} spécifié</i> |
| Collector-emitter cut-off current with V _{BE} = x (reverse biased) and V _{CE} specified | I_{CEV} <i>Courant résiduel collecteur-émetteur avec V_{BE} = x (bloquage) et V_{CE} spécifié</i> |
| Peak collector current | I_{CM} <i>Courant de crête de collecteur</i> |
| RMS collector current | I_{C (RMS)} <i>Courant efficace collecteur</i> |
| Collector specified current for V _{CE} sat test | I_{C sat} <i>Courant collecteur spécifié pour le contrôle de V_{CE} sat</i> |
| Peak non repetitive collector surge current | I_{CSM} <i>Courant collecteur de surcharge accidentelle non répétitive</i> |

| | | |
|---|--|--|
| Emitter (D.C) current | I_E | Courant (continu) d'émetteur |
| Emitter-base cut-off current with $I_C = 0$ and V_{EB} specified | I_{EBO} | Courant résiduel émetteur-base avec $I_C = 0$ et V_{EB} spécifié |
| Second breakdown collector-current | I_{S/B} | Courant collecteur de second claquage |
| External base inductance | L_B | Inductance externe en série avec la base |
| External collector inductance | L_C | Inductance externe en série avec le collecteur |
| Reverse bias base power dissipation (B.E junction in avalanche) | P_{base} | Dissipation de puissance admissible pour la jonction E.B en régime d'avalanche |
| Total power dissipation | P_{tot} | Dissipation totale de puissance |
| External resistance | R | Résistance externe |
| External base resistance | R_{BE} | Résistance externe en série avec la base |
| External resistance connecting base to emitter | R_{BE2} | Résistance externe reliant la base et l'émetteur |
| Series resistance of base drive circuit during turn-on | R_C | Résistance externe en série avec collecteur |
| External collector resistance | R_E | Résistance externe en série avec émetteur |
| External emitter resistance | R_{th (j-a)} | Résistance thermique (jonction-ambiente) |
| Junction-ambient thermal resistance | R_{th (j-c)} | Résistance thermique (jonction-boîtier) |
| Junction-case thermal resistance | t_{amb} T_{amb} | Température ambiante |
| Ambient temperature | t_c | Durée de la simultanéité I_C/V_{CE} à l'ouverture |
| C.E voltage and collector current cross over time during turn-on | t_{case} T_{case} | Température de boîtier |
| Case température | t_d | Retard à la croissance |
| Delay time | t_d + t_r | Temps total d'établissement |
| Turn-on time | t_f | Temps de décroissance |
| Fall time | t_{fi} | Temps de décroissance du courant sur charge inductive |
| Fall time on inductive load | t_j = t (v_j) T_j = T (v_j) | Température de jonction |
| Junction temperature | t_{off} | Temps total de décroissance |
| Turn-off time | t_{on} | Temps total de croissance |
| Turn-on time | t_{oper} T_{oper} | Température de fonctionnement (à dissipation nulle) |
| Operating temperature (at zero dissipation) | t_p | Durée d'une impulsion |
| Pulse time | | |

| | | |
|---|---|--|
| Rise time | t_r | Temps de croissance |
| Carrier storage time | t_s | Retard à la décroissance |
| Carrier storage time on inductive load | t_{si} | Retard à la décroissance du courant sur charge inductive |
| Turn-off time | $t_s + t_f$ | Temps total de coupure |
| Storage temperature | T_{stg} | Température de stockage |
| Collector current tail during turn-on | t_{ti} | Temps de trainage du courant à la décroissance sur charge inductive |
| Virtual junction temperature | $\frac{t(vj)}{T(vj)} = \frac{t_j}{T_j}$ | Température virtuelle de jonction |
| Off-state voltage (base circuit) during turn-on | V_{BB} | Tension de blocage (circuit de base) en régime de commutation |
| Base-emitter (C.D) voltage | V_{BE} | Tension (continue) base-émetteur |
| Base-emitter saturation voltage, with I_B and I_C specified | V_{BESat} | Tension de saturation base-émetteur, avec I_B et I_C spécifiés |
| Collector-base breakdown voltage, with $I_E = 0$ and I_C specified | $V_{(BR) CBO}$ | Tension de claquage collecteur-base, avec $I_E = 0$ et I_C spécifié |
| C-E voltage measured after applied base drive during turn-on | $V_{CE} (\dots/\mu s)$ | Tension C-E mesurée ($\dots/\mu s$) après application du courant base dans la phase de fermeture |
| C-E clamping voltage | V_{clamp} | Valeur d'écrêtage de la tension C-E en régime de commutation |
| Collector-emitter breakdown voltage, with $I_B = 0$ and I_C specified | $V_{(BR) CEO}$ | Tension de claquage collecteur-émetteur, avec $I_B = 0$ et I_C spécifié |
| Collector-emitter breakdown voltage, with $R_{BE} = R$ and I_C specified | $V_{(BR) CER}$ | Tension de claquage collecteur-émetteur, avec $R_{BE} = R$ et I_C spécifié |
| Collector-emitter breakdown voltage, with $V_{BE} = 0$ and I_C specified | $V_{(BR) CES}$ | Tension de claquage collecteur-émetteur, avec $V_{BE} = 0$ et I_C spécifié |
| Collector-emitter breakdown voltage, with $V_{BE} = X$ (reverse biased) and I_C specified | $V_{(BR) CEX}$ | Tension de claquage collecteur-émetteur, avec $V_{BE} = X$ (blocage) et I_C spécifié |
| Emitter-base breakdown voltage, with $I_C = 0$ and I_E specified | $V_{(BR) EBO}$ | Tension de claquage émetteur-base, avec $I_C = 0$ et I_E spécifié |
| Collector-base (D.C) voltage, with $I_E = 0$ and I_C specified | V_{CBO} | Tension (continue) collecteur-base, avec $I_E = 0$ et I_C spécifié |
| Collector-(D.C) voltage supply | V_{CC} | Tension (continue) d'alimentation du collecteur |
| Collector-emitter (D.C) voltage | V_{CE} | Tension (continue) collecteur-émetteur |
| Collector-emitter (D.C) voltage, with $I_B = 0$ and I_C specified | V_{CEO} | Tension (continue) collecteur-émetteur, avec $I_B = 0$ et I_C spécifié |
| Collector-emitter breakdown voltage, with I_C specified | $V_{CEO (sus)}$ | Tension de claquage collecteur-émetteur, avec I_C spécifié |

| | | |
|---|--|---|
| Collector-emitter (D.C) voltage, with $V_{BE} = 0$ and I_C specified | V_{CES} | Tension (continue) collecteur-émetteur, avec $V_{BE} = 0$ et I_C spécifiée |
| Collector-emitter saturation voltage, with I_B and I_C specified | $V_{CE\text{ sat}}$ | Tension de saturation collecteur-émetteur, avec I_B et I_C spécifiées |
| Collector-emitter (D.C) voltage, with $V_{BE} = X$ (reverse biased) and I_C specified (replaces V_{CEX}) | V_{CEV} | Tension (continue) C-E avec une tension de blocage V_{BE} et éventuellement un courant I_C spécifié (remplace V_{CEX}) |
| Collector-emitter peak working voltage for a switching transistor | V_{CEW} | Tension maximale d'utilisation C-E pour un transistor fonctionnant en régime de commutation |
| Collector-emitter (D.C) voltage, $V_{BE} = X$ (reverse biased) and I_C specified | V_{CEX^*} | Tension (continue) collecteur-émetteur, avec $V_{BE} = X$ (blocage) et I_C spécifié |
| Collector-emitter breakdown, with I_C specified | $V_{CEX\text{ (sus)}}$ | Tension de claquage collecteur-émetteur, avec I_C spécifié |
| Emitter-base (D.C) voltage | V_{EB} | Tension (continue) émetteur-base |
| Emitter-base (D.C) voltage, with $I_C = 0$ and I_E specified | V_{EBO} | Tension (continue) émetteur-base, avec $I_C = 0$ et I_E spécifié |
| Thermal impedance | Z_{th} | Impédance thermique |
| Duty cycle (of a pulse) | δ | Facteur d'utilisation (d'une impulsion) |
| Angular frequency | ω | Pulsation |

* V_{CEX} = This parameters is replaced by V_{CEV} . V_{CEX} is used to define C-E working voltage of transistor in under specified conditions.

* V_{CEX} = Ce terme est remplacé par V_{CEV} . V_{CEX} est utilisé pour définir la tension maximale C-E supportée par un transistor dans des conditions spécifiées.

technical information
informations techniques

recommendations and choice of power transistors

MECHANICAL MOUNTINGS

1) Device without heat sink

If the dissipated power is low, the components can be mounted without heat sink. The maximum power which can be dissipated depends only on maximum junction temperature and on junction air thermal resistance which is the sum of junction-case and case air thermal resistances.

Table below gives the values of the case-air thermal resistance for the most conventional cases. These values apply for a vertical mounting in still air where other radiating components are not in the immediate vicinity. When designing an equipment, printed circuit boards and other components should not restrict flow of air around the power transistor in question.

| CASE | TO 3 | TO 5 | TO 66 | TO 220 | TOP 3 |
|------------------------------|------|------|-------|--------|-------|
| R _{th} (c-a) (°C/W) | 30 | 105 | 45 | 60 | 40 |

Case-ambient thermal resistance in still air

2) Transistor with heat sink

Selection of the heat sink shall be governed by the operating conditions of the component.
To select appropriate heat sink refer to the manufacturer's catalogue.

2.1 Radiator surface

Perfect flatness of the radiator surface in contact with the device is essential of good evacuation of heat is required. This flatness is also necessary if we wish to avoid deforming the package. If the radiator surface around the fixing hole is concave , the force exerted on the extremity of the thread if the device would tend to deform the head to which the clip is attached, and could damage or destroy the device.

When tightening the fixing screw, it is recommended that the torque used should be scrupulously controlled and on no account must it be too close to the maximum recommended value. A torque spanner must be used, and preferably one that limits the maximum torque applied.

Maximum torque values and indicated in the following table :

| Package | Maximum torque value |
|---------|----------------------|
| TO-220 | 1 m A N |
| TOP-3 | 1 m A N |
| TO-66 | 1 m A N |
| TO-83 | 18 m A N |
| ISO-TOP | 1 m A N |
| TO-3 | 1 m A N |

Independently of the question of tightening torque, it is essential that the whole surface of the stud is in contact with the radiator. It happens sometimes that the radiator is a moulded product with an area provided for the tightening of the device. This area must be sufficient to allow the device to be in contact with the radiator over the whole of the flat surface of the stud.

conseils d'utilisation des transistors de puissance

MISÉ EN OEUVRE MÉCANIQUE

1) Montage sans radiateur

Si la puissance dissipée est faible, les composants peuvent être montés sans radiateur. La puissance maximale dissipable n'est fonction que de la température maximale de la jonction et de la résistance thermique jonction-air qui est la somme des résistances thermiques jonction-boîtier et boîtier air.

Le tableau ci-dessous donne la valeur de la résistance thermique boîtier-air pour les boîtiers les plus courants. Ces valeurs sont relatives à un montage vertical en air calme où d'autres éléments dissipant de la chaleur sont éloignés. Dans un équipement, il faudra prendre garde à la disposition des cartes de circuits imprimés pour que la ventilation ne soit pas gênée.

| Boîtier | TO 3 | TO 5 | TO 66 | TO 220 | TOP 3 |
|--|------|------|-------|--------|-------|
| $R_{th} (c-a)$ ($^{\circ}\text{C}/\text{W}$) | 30 | 105 | 45 | 60 | 40 |

Résistances thermiques boîtier-ambiance en air calme (typ.)

2) Montage avec radiateur

Le choix du radiateur sera dicté par les conditions d'utilisation imposées au composant.
Pour sélectionner le radiateur il suffit de se reporter aux notices des fabricants.

2.1 État du radiateur

Une planéité parfaite de la partie du radiateur venant en contact avec le boîtier est indispensable pour une bonne évacuation de la chaleur. Mais cette planéité est également indispensable pour éviter de déformer dangereusement le boîtier. Si la surface du radiateur présente, autour du trou de fixation, une forme de cuvette, la force s'exerçant sur l'extrémité filetée du dispositif tend à déformer le six pans sur lequel est fixé le cristal de silicium, ce qui peut endommager ou détruire le dispositif.

Lors du serrage de l'écrou de fixation, il convient de respecter scrupuleusement la valeur de couple de serrage conseillé et de ne pas s'approcher trop près du couple maximal. Il est essentiel d'utiliser une clé dynamométrique, de préférence du type à limitation de couple (nous reverrons ce problème un peu plus loin).

Les couples de serrage maximaux sont indiqués dans le tableau suivant :

| Boîtier | Couple de serrage maximal |
|---------|---------------------------|
| TO-220 | 1 m \wedge N |
| TO-66 | 1 m \wedge N |
| TO-66 | 1 m \wedge N |
| TO-83 | 18 m \wedge N |
| ISO-TOP | 1 m \wedge N |
| TO-3 | 1 m \wedge N |

Indépendamment de la question du couple de serrage, il faut tenir compte du fait que la surface du six pans doit appuyer en totalité sur une face plane du radiateur. Il y a des cas où la radiateur est une pièce métallique coulée avec une zone prévue pour le vissage des dispositifs. Celle-ci doit avoir une largeur suffisante pour que le six pans appuie entièrement.

3) Fixings

3.1 TO 3, TO 66 cases

Fixing is easily carried out. Only the flatness of the heat sink should be checked.

3.2 Plastic packages

TO 220. This case can withstand high tightening torques : however, the thermal resistance is not improved with torques above 1 m N. In all cases, it is recommended that a mechanical attachment of the heat sink be provided to avoid stressing the loads of the transistor.

TOP 3

No insulated mounting

By screw

With M 4 screw (not supplied with the device)

Recommended tightening torque 1.5 Nm (max. 2 Nm)

By clip (Part No. MP 18055) KIT for non-insulated mounting

To obtain a sufficient support and a satisfactory case-heat sink thermal resistance, the thickness of the heat sink should be between 1 mm (min.) and 2 mm (max.) (see Figure 1).

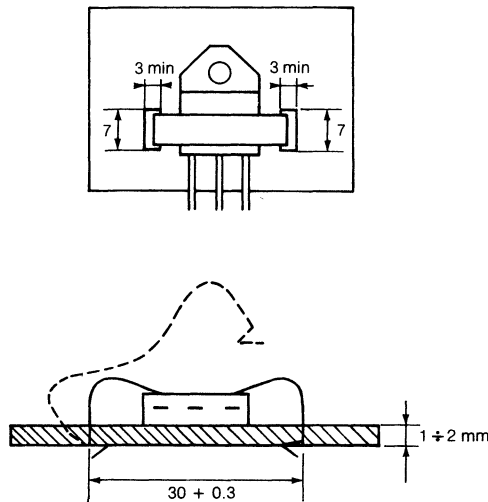


Figure 1 : Non-insulated mounting by clip

3) Fixation

3.1 TO 3, TO 66

La fixation est aisée. On devra seulement vérifier la planéité du support.

3.2 Boîtiers plastiques

TO 220 : Ce boîtier peut supporter des serrages importants ; Cependant, s'ils sont supérieurs à $1 \text{ m} \Lambda N$, la résistance thermique n'est pas améliorée. Dans tous les cas il est recommandé de fixer le radiateur mécaniquement pour ne pas solliciter les connexions du composant.

TOP 3

Montage non isolé

Par Vis

Avec vis M 4 (non livrée avec le dispositif)

Valeur recommandée du couple 1.5 Nm (max. 2 Nm)

Par Clip (Réf MP 18055 KIT (Jeu) pour montage non isolé

Pour obtenir une force d'appui suffisante et avoir une bonne valeur de résistance thermique boîtier-radiateur, l'épaisseur du radiateur doit être comprise 1mm (min) et 2 mm (max). (Voir Figure 1).

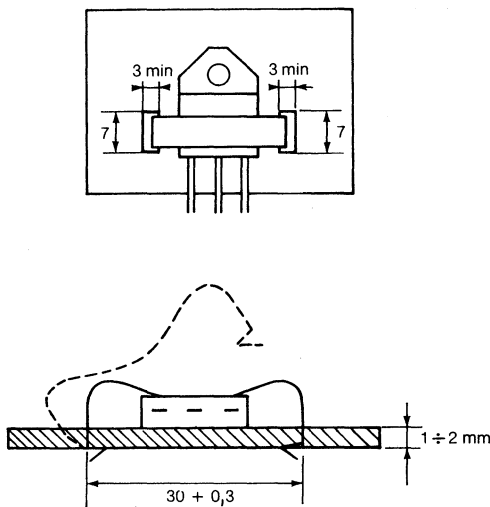


Figure 1 : Montage non isolé par clip

insulated mounting

By screw

With M 3 (not supplied with the device)

Insulated bushing MP 18059

Insulator, perforated dia. 3 mm MP 18058

Recommmanded tightening torque : 0.8 Nm (max. 1 Nm) (See figure 3).

By clip

With clip MP 18055

Insulator MP 18056

} Kit for insulated mounting by dia. 3 mm screw

In the clip mounting insulation is obtained by placing a rectangular non-perforated insulator between the TOP 3 case and the heat sink (See Figure 2).

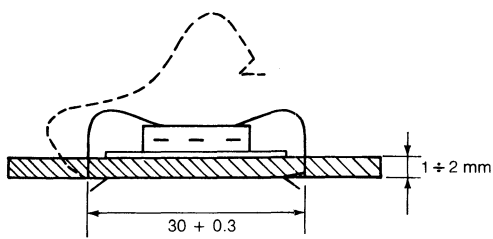
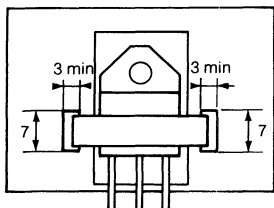


Figure 2 : Insulated mounting by clip

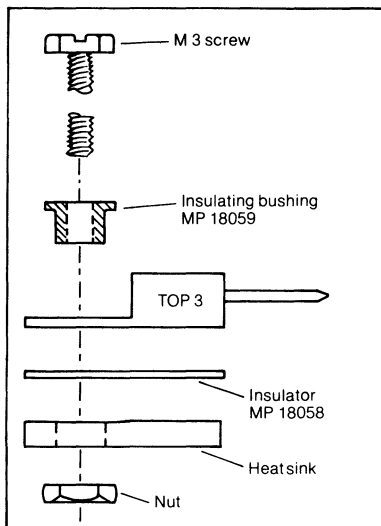


Figure 3 : Fitting insulated mounting of the TOP 3 case by screw

Commercial designation

| Case | Unit = Min number of KITS | Commercial Designation | Information Processing Code | Composition of a KIT | | |
|---|---------------------------------|---------------------------------------|-----------------------------------|-----------------------------------|-----------------------------------|------------|
| | | | | Parts | Parts N° | Number/KIT |
| TOP 3 Non-insulated | 100 | X 100 KITS TOP 3 Clip | 35162 | Clip | MP 18055 | 1 |
| TOP 3 Insulated with dia. 3 mm screw | 100 | X 100 KITS TOP 3 Bushing + mica | 35164 | Bushing Isolator Perforated | MP 18059 MP 18058 dia. 3 mm | 1 1 |
| TOP 3 Insulated with clip | 100 | X 100 KITS TOP 3 clip + mica | 35163 | Clip Isolator | MP 18055 MP 18056 | 1 1 |

montage isolé

Par vis

Avec vis M 3 (non livrée avec le dispositif)

Canon isolant MP 18059

Isolateur perçé Ø 3 MP 18058

} KIT (jeu) pour montage à vis isolé Ø 3

Valeur recommandée du couple de serrage 0,8 Nm (max. 1 Nm) (Voir figure 3).

Par clip

Avec clip MP 18055

Isolateur MP 18056

} KIT (jeu) pour montage isolé par clip

L'isolement est obtenu par interposition dans le montage avec clip entre le boîtier TOP 3 et le radiateur d'un isolateur rectangulaire (Voir Figure 2).

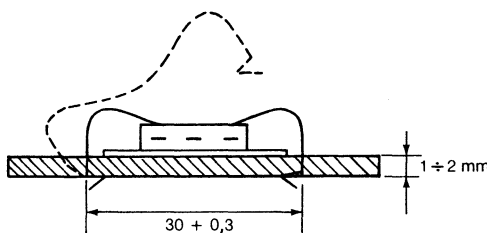
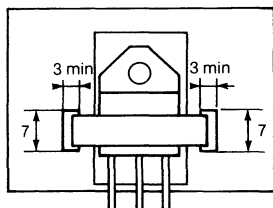


Figure 2 : Montage isolé par clip

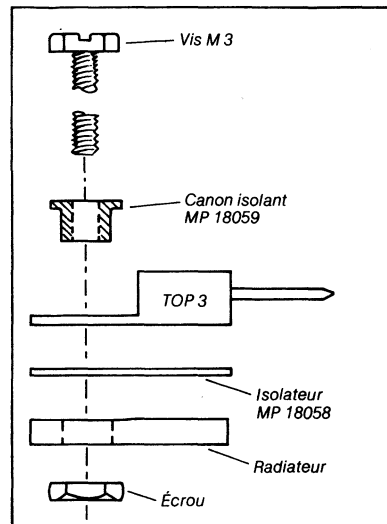


Figure 3 : Montage isolé par vis

Désignation commerciale

| Boîtier | Unité = Nbre Min. de jeux | Désignation Commerciale | Code Informatique | Constitution d'un jeu (KIT) | | |
|-----------------------------|---------------------------------|-------------------------------------|----------------------|---------------------------------|----------------------|----------|
| | | | | Pces | Réf | Nbre/jeu |
| TOP 3 non Isolé | 100 | X 100 KITS TOP 3 Clip | 35162 | Clip | MP 18055 | 1 |
| TOP 3 Isolé à vis Ø 3 | 100 | X 100 KITS TOP 3 canon + mica | 35164 | Canon isolateur perçé Ø 3 | MP 18059 MP 18058 | 1 1 |
| TOP 3 Isolé par Clip | 100 | X 100 KITS TOP 3 clip + mica | 35163 | Clip isolateur | MP 18055 MP 18056 | 1 1 |

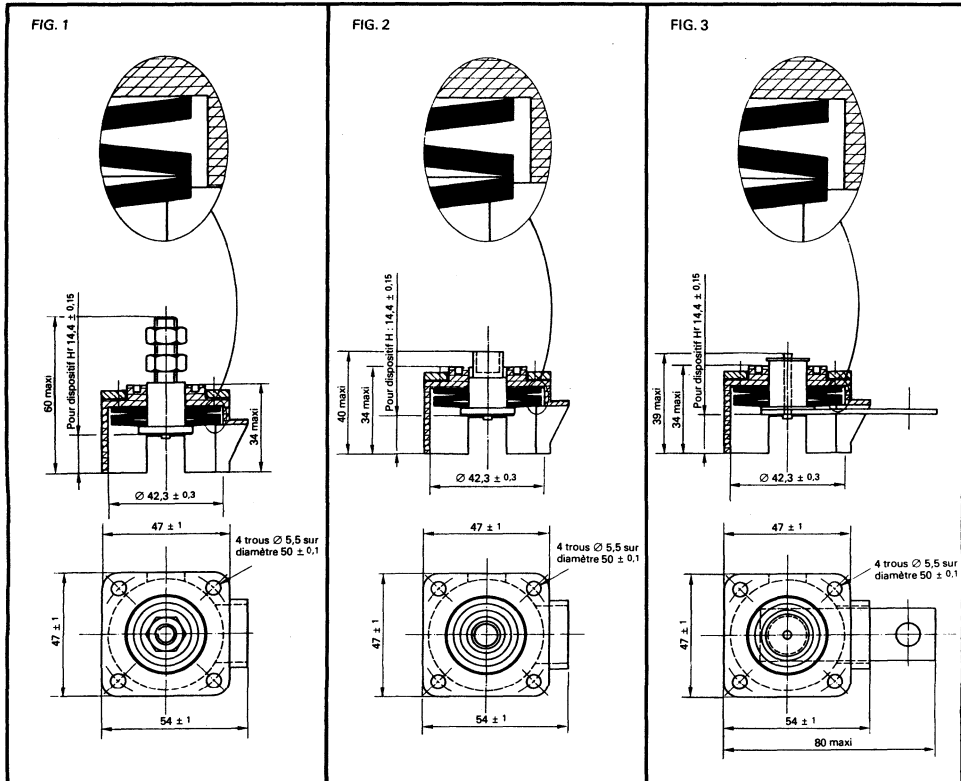
3-3 Disc cases Boîtiers cases

box clamps boîtes de serrage

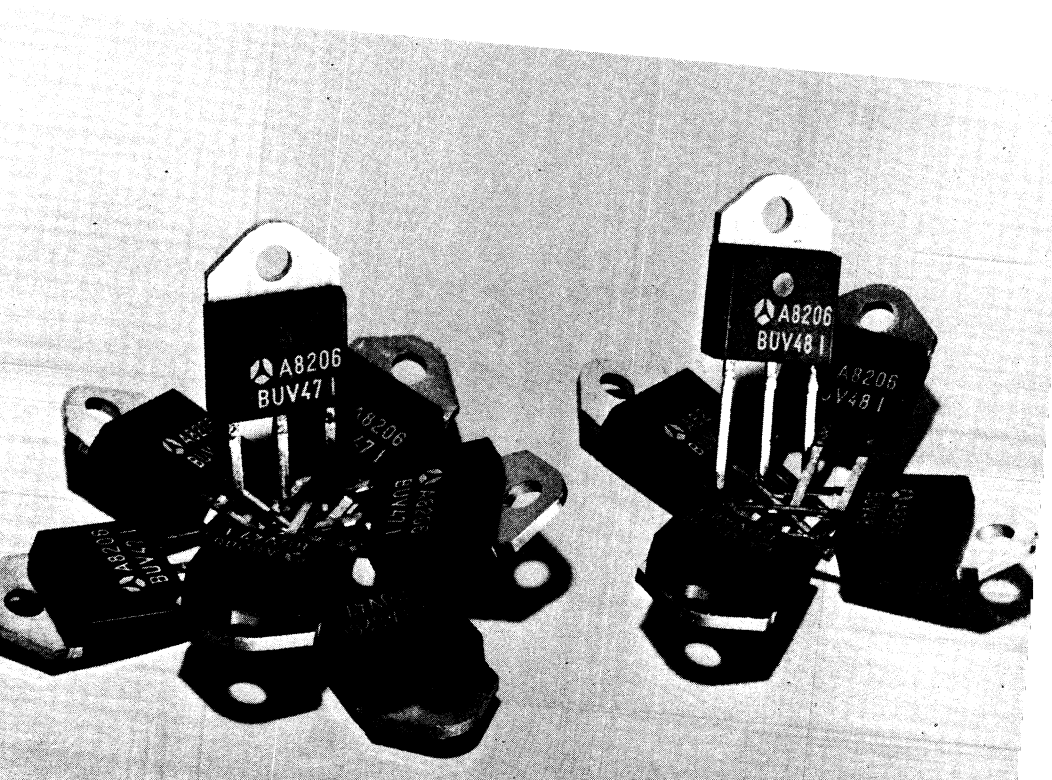
THOMSON-CSF's box clamps are designed for use with disc case (MU 86) power thyristors, diodes and transistors when single sided cooling is required.

Les boîtes de serrage THOMSON-CSF sont étudiées pour permettre le montage en refroidissement simple face des composants en boîtier disque (MU 86), thyristors, diodes et transistors.

| Type | Terminal connection Sortie | Clamping force Force de serrage (kN) | See figure Voir figure |
|------------------|----------------------------------|--|---------------------------|
| BSA 35 BSA 55 | Axial Axiale | 3,5 5,5 | 1 |
| BST 35 BST 55 | Flexible lead Tresse flexible | 3,5 5,5 | 2 |
| BSR 35 BSR 55 | Radial Radiale | 3,5 5,5 | 3 |



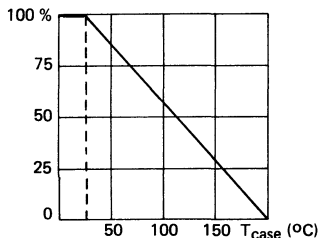
data sheets
notices



LF large signal amplification (high voltage)
Amplification BF grands signaux (haute tension)

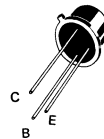
Switching up to 1 A
Commutation jusqu'à 1 A

Dissipation derating
Variation de dissipation



| | |
|--|---|
| V _{CCEO} | 80 V |
| I _C | 3 A |
| P _{tot} T _{case} 25 °C | 5 W |
| R _{th(j-c)} | 35 °C |
| h _{21E} (1 A) | { 30 - 90 2N 2890 50 - 150 2N 2891 |
| t _{on} (1 A) | 0,3 µs Max |

Case Botier TO 39 (CB 7)



ABSOLUTE RATINGS (LIMITING VALUES)
VALEURS LIMITES ABSOLUES D'UTILISATION

| | | | | |
|--|---|-------------------|----------|---|
| Collector-base voltage Tension collecteur-base | V _{CBO} | 100 | V | |
| Collector-emitter voltage Tension collecteur-émetteur | V _{CCEO} | 80 | V | |
| Emitter-base voltage Tension émetteur-base | V _{EBO} | 5 | V | |
| Collector current Courant collecteur | I _C I _{CM} | 3 5 | A | |
| Base current Courant base | I _B | 0,5 | A | |
| Power dissipation Dissipation de puissance | T _{amb} 25 °C T _{case} 25 °C | P _{tot} | 0,8 5 | W |
| Storage and junction temperature Température de jonction et de stockage | t _j T _{stg} | 200 - 65 + 200 | °C | |

Junction-case thermal resistance
Résistance thermique jonction boîtier

max

R_{th(j-c)}

35

°C/W

STATIC CHARACTERISTICS
CARACTÉRISTIQUES STATIQUES
 $T_{case} = 25^\circ C$ (Unless otherwise stated)
(Sauf indications contraires)

| | Test conditions Conditions de mesure | | | min | typ | max |
|---|--|-----------------|--------------------------------|-----|------|---------|
| Collector-emitter cut-off current <i>Courant résiduel collecteur-émetteur</i> | $V_{CE} = 60 V$ $I_B = 0$ | I_{CEO} | All types <i>Tous types</i> | | 50 | μA |
| Collector-emitter cut-off current <i>Courant résiduel collecteur-émetteur</i> | $V_{CE} = 60 V$ $V_{BE} = -2 V$ | I_{CEX} | All types <i>Tous types</i> | | 100 | nA |
| | $V_{CE} = 60 V$ $V_{BE} = -2 V$ $T_{case} = 150^\circ C$ | | | | 100 | μA |
| | $V_{CE} = 90 V$ $V_{BE} = -2 V$ | | | | 100 | μA |
| Emitter-base cut-off current <i>Courant résiduel émetteur-base</i> | $V_{EB} = 4 V$ $I_C = 0$ | I_{EBO} | All types <i>Tous types</i> | | 100 | nA |
| Collector-base breakdown voltage <i>Tension de claquage collecteur-base</i> | $I_C = 100 mA$ $I_E = 0$ | $V_{(BR)CBO}^*$ | All types <i>Tous types</i> | 100 | | V |
| Collector-emitter breakdown voltage <i>Tension de claquage collecteur-émetteur</i> | $I_C = 100 mA$ $I_B = 0$ | $V_{(BR)CEO}^*$ | All types <i>Tous types</i> | 80 | | V |
| Static forward current transfer ratio <i>Valeur statique du rapport de transfert direct du courant</i> | $V_{CE} = 2 V$ $I_C = 0,1 A$ | h_{21E}^* | 2 N 2890 | 20 | | |
| | $V_{CE} = 2 V$ $I_C = 1 A$ | | | 30 | | 90 |
| | $V_{CE} = 5 V$ $I_C = 2 A$ | | | 25 | | |
| | $V_{CE} = 2 V$ $I_C = 0,1 A$ | | 2N 2891 | 35 | | |
| | $V_{CE} = 2 V$ $I_C = 1 A$ | | | 50 | | 150 |
| | $V_{CE} = 5 V$ $I_C = 2 A$ | | | 40 | | |
| | | | | | | |
| Collector-emitter saturation voltage <i>Tension de saturation collecteur-émetteur</i> | $I_C = 1 A$ $I_B = 0,1 A$ | V_{CEsat}^* | All types <i>Tous types</i> | | 0,5 | V |
| | $I_C = 2 A$ $I_B = 0,2 A$ | | | | 0,75 | |
| | | | | | | |
| Base-emitter saturation voltage <i>Tension de saturation base-émetteur</i> | $I_C = 1 A$ $I_B = 0,1 A$ | V_{BEsat}^* | All types <i>Tous types</i> | | 1,2 | V |
| | $I_C = 2 A$ $I_B = 0,2 A$ | | | | 1,3 | |
| | | | | | | |

* Pulsed
Impulsions $t_p = 300 \mu s$ $\delta \leq 2\%$

DYNAMIC CHARACTERISTICS (for small signals)

CARACTÉRISTIQUES DYNAMIQUES (pour petits signaux)

T_{case} 25 °C

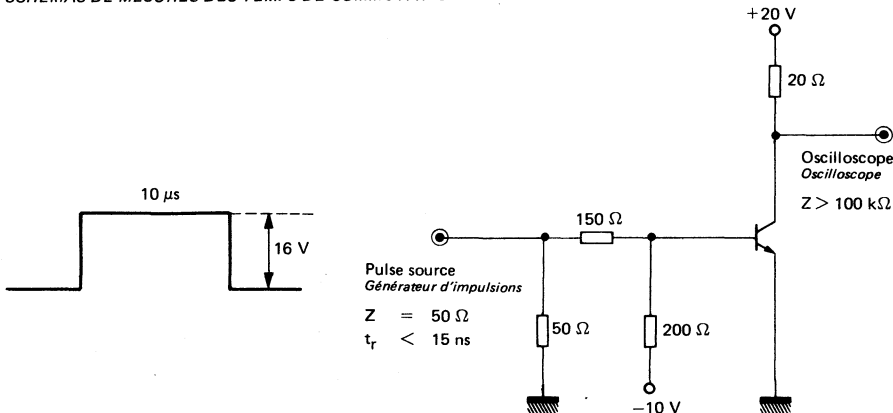
(unless otherwise stated)

(Sauf indications contraires)

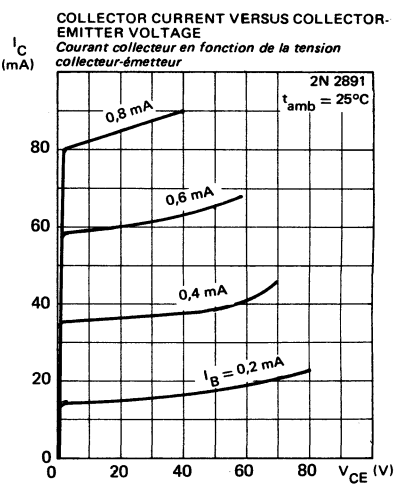
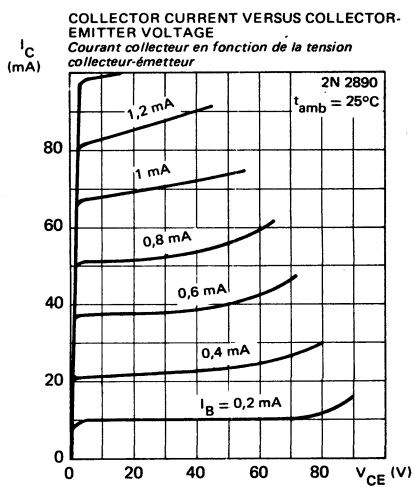
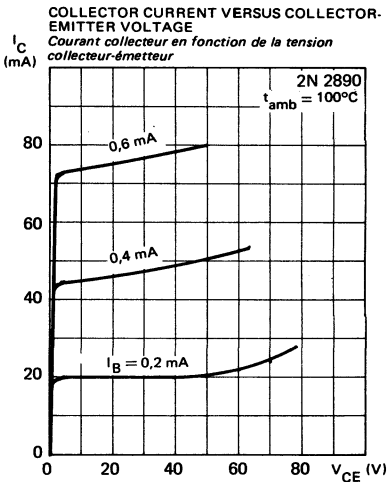
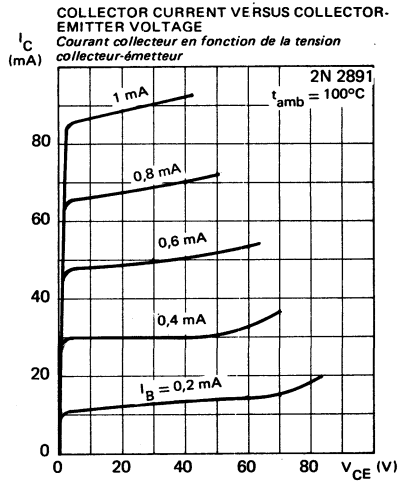
| | Test conditions Conditions de mesure | | | min | typ | max | |
|---|--|---------------------------------|--------------------------------|-----|-----|-----|-----|
| Forward current transfer ratio <i>Rapport de transfert direct du courant</i> | V _{CE} = 10 V I _C = 50 mA f = 1 kHz | h _{21e} | 2N 2890 | 30 | | 250 | |
| | | | 2N 2891 | 50 | | 350 | |
| Transition frequency <i>Fréquence de transition</i> | V _{CE} = 10 V I _C = 0,2 A f = 20 MHz | f _T | All types <i>Tous types</i> | 30 | | | MHz |
| Output capacitance <i>Capacité de sortie</i> | V _{CB} = 10 V I _E = 0 f = 1 MHz | C _{22b} | All types <i>Tous types</i> | | | 70 | pF |
| Turn-on time <i>Temps total d'établissement</i> | I _C = 1 A I _B = 0,05 A | t _d + t _r | All types <i>Tous types</i> | | | 0,3 | μs |
| Turn-off time <i>Temps total de coupure</i> | I _C = 1 A I _{B1} = 0,05 A I _{B2} = - 0,05 A | t _s + t _f | All types <i>Tous types</i> | | | 1,5 | μs |

SWITCHING TIMES TESTS CIRCUITS

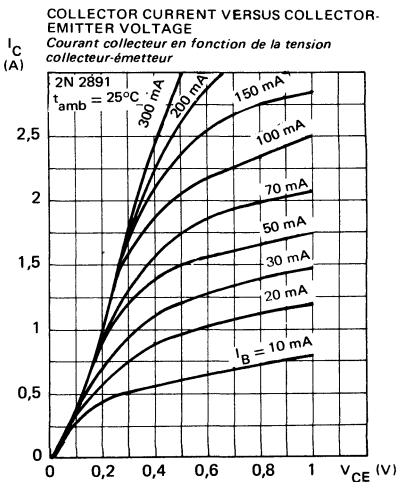
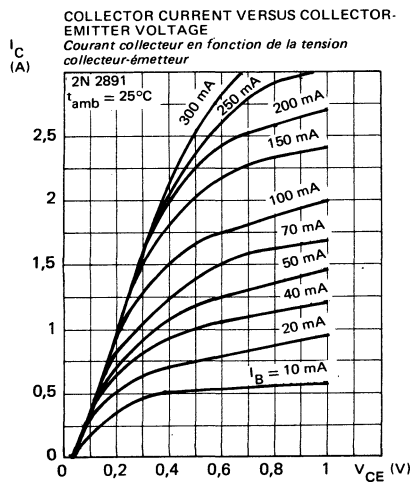
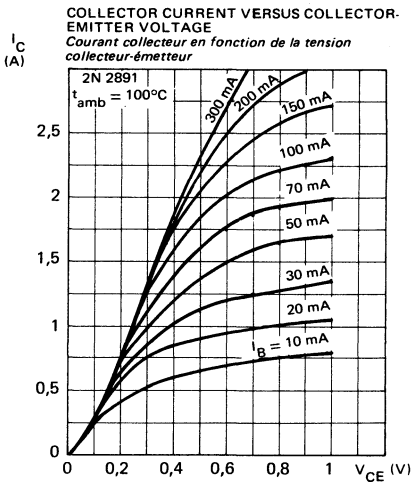
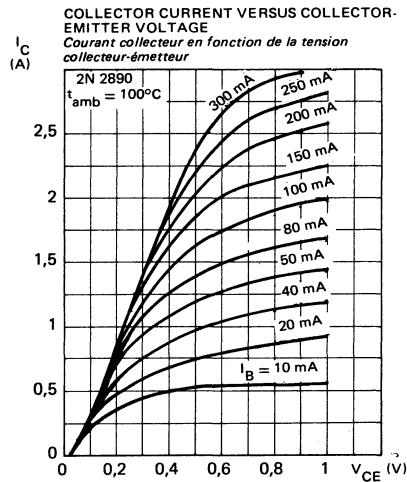
SCHEMAS DE MESURES DES TEMPS DE COMMUTATION



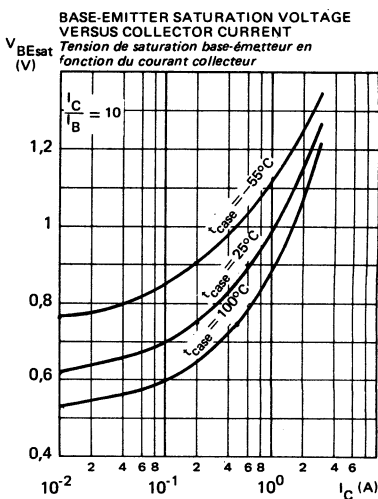
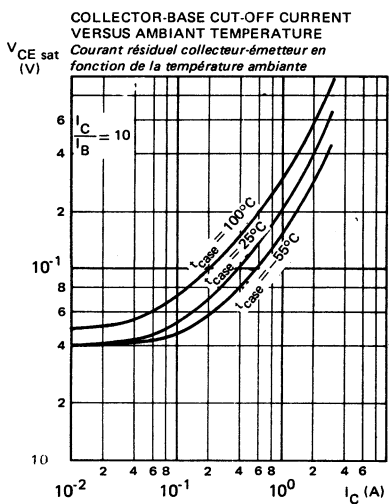
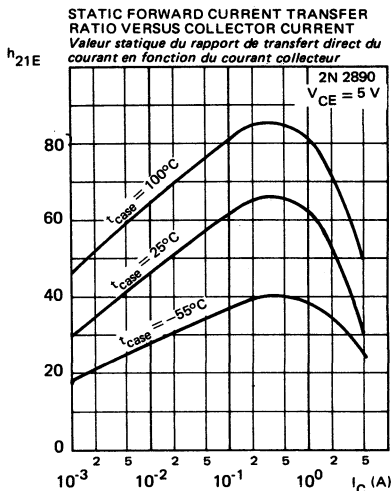
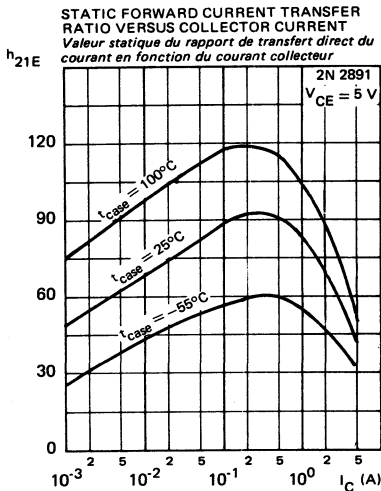
TYPICAL CHARACTERISTICS
CARACTÉRISTIQUES TYPIQUES



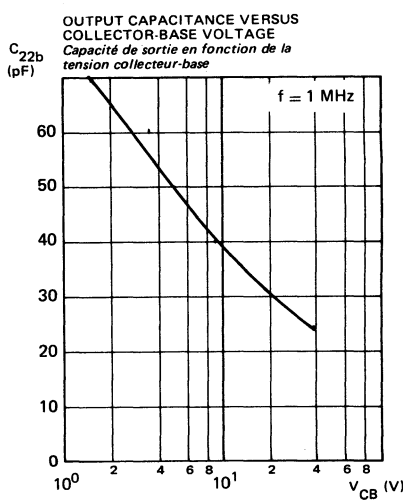
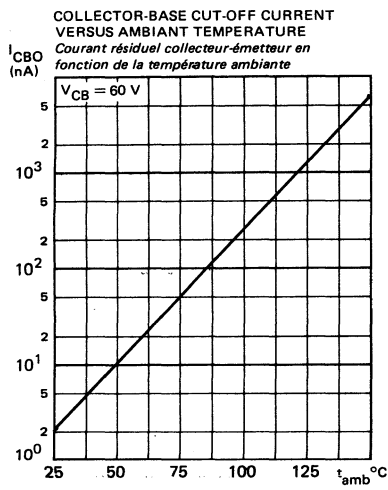
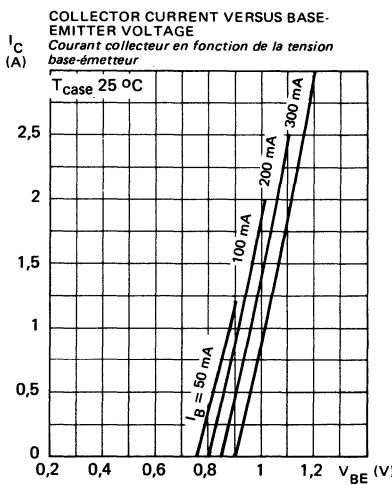
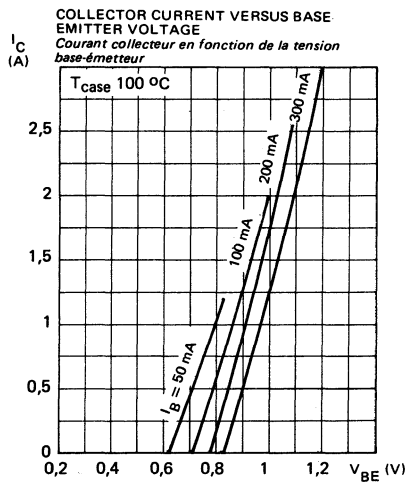
TYPICAL CHARACTERISTICS
CARACTÉRISTIQUES TYPIQUES



TYPICAL CHARACTERISTICS
CARACTÉRISTIQUES TYPIQUES



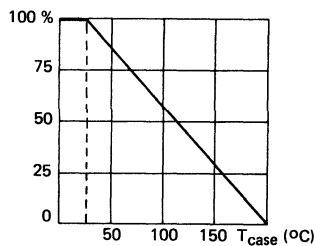
TYPICAL CHARACTERISTICS
CARACTÉRISTIQUES TYPIQUES



General purpose : medium power amplification, commutation

Usage général : amplificateur moyenne puissance, commutation.

**Dissipation derating
Variation de dissipation**



| | |
|---------------------------|-------------|
| V _{CCEO} | 40 V |
| I _C | 0,7 A |
| P _{tot} | 5 W |
| R _{th(j-c)} | 35 °C/W max |
| h _{21E} (0,15 A) | 50 - 250 |
| f _T | 100 MHz min |

Case
Boîtier TO 39 (CB 7)



**ABSOLUTE RATINGS (LIMITING VALUES)
VALEURS LIMITES ABSOLUES D'UTILISATION**

| | | | |
|--|------------------------------------|-------------------|----|
| Collector-base voltage Tension collecteur-base | V _{CBO} | 60 | V |
| Collector-emitter voltage Tension collecteur-émetteur | V _{CEO} | 40 | V |
| Collector-emitter voltage Tension collecteur-émetteur | V _{CER} | 50 | V |
| Collector-emitter voltage Tension collecteur-émetteur | V _{CEX} | 60 | V |
| Emitter-base voltage Tension émetteur-base | V _{EBO} | 5 | V |
| Collector current Courant collecteur | I _C | 0,7 | A |
| Power dissipation Dissipation de puissance | P _{tot} | 1 5 | W |
| Storage and junction temperature Température de jonction et de stockage | t _j T _{stg} | 200 - 65 + 200 | °C |

Junction-case thermal resistance
Résistance thermique jonction boîtier

max

R_{th(j-c)}

35

°C/W

STATIC CHARACTERISTICS
CARACTÉRISTIQUES STATIQUES
T_{case} 25 °C(Unless otherwise stated)
(Sauf indications contraires)

| | Test conditions Conditions de mesure | | min | typ | max | |
|---|---|------------------------|-----|-----|------|----|
| Collector-base cut-off current <i>Courant résiduel collecteur-base</i> | V _{CB} = 30 V I _E = 0 | I _{CBO} | | | 0,25 | μA |
| Emitter-base cut-off current <i>Courant résiduel émetteur-base</i> | V _{EB} = 4 V I _C = 0 | I _{EBO} | | | 0,25 | μA |
| Collector-emitter voltage <i>Tension collecteur-émetteur</i> | I _C = 100 mA I _B = 0 | V _{CEO} sus | 40 | | | V |
| Collector-emitter voltage <i>Tension collecteur-émetteur</i> | I _C = 100 mA R _{BE} = 10 Ω | V _{CER} sus | 50 | | | V |
| Collector-base breakdown voltage <i>Tension de claquage collecteur-base</i> | I _C = 0,1 mA I _E = 0 | V _{(BR)CBO} * | 60 | | | V |
| Emitter-base breakdown voltage <i>Tension de claquage émetteur-base</i> | I _E = 0,1 mA I _C = 0 | V _{(BR)EBO} * | 5 | | | V |
| Static forward current transfer ratio <i>Valeur statique du rapport de transfert direct du courant</i> | V _{CE} = 10 V I _C = 0,15 A | h _{21E} * | 50 | | 250 | |
| Collector-emitter saturation voltage <i>Tension de saturation collecteur-émetteur</i> | I _C = 0,15 A I _B = 0,015 A | V _{CEsat} * | | | 1,4 | V |
| Base-emitter saturation voltage <i>Tension de saturation base-émetteur</i> | I _C = 0,15 A I _B = 0,015 A | V _{BEsat} * | | | 1,7 | V |

DYNAMIC CHARACTERISTICS (for small signals)**CARACTÉRISTIQUES DYNAMIQUES (pour petits signaux)**

| | | | | | | |
|--|--|------------------|-----|--|----|-----|
| Transition frequency <i>Fréquence de transition</i> | V _{CE} = 10 V I _C = 0,05 A f = 100 MHz | f _T | 100 | | | MHz |
| Output capacitance <i>Capacité de sortie</i> | V _{CB} = 10 V f = 1 MHz | C _{22b} | | | 15 | pF |
| Input capacitance <i>Capacité d'entrée</i> | V _{EB} = 0,5 V f = 1 MHz | C _{11b} | | | 80 | pF |

* Pulsed
Impulsions t_p = 300 μs δ ≤ 2 %

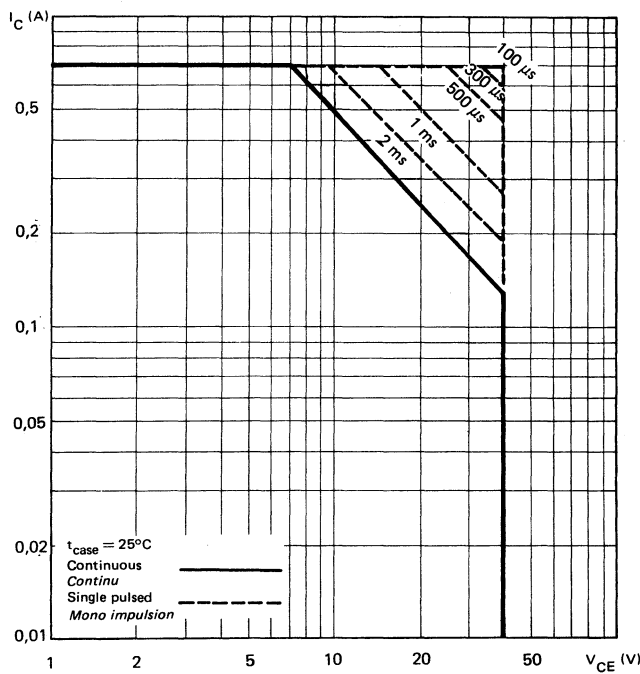
THERMAL CHARACTERISTICS
CARACTÉRISTIQUES THERMIQUES

 $T_{case} 25^\circ\text{C}$

(Unless otherwise stated)
(Sauf indications contraires)

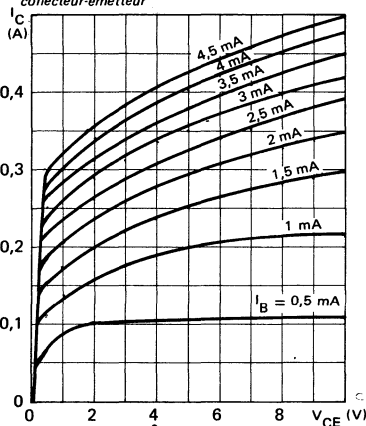
| | Test conditions <i>Conditions de mesure</i> | min | typ | max | |
|---|--|-----|-----|-----|------|
| Junction-ambient thermal resistance <i>Résistance thermique jonction-ambiant</i> | $R_{th(j-amb)}$ | | 175 | | °C/W |

SAFE OPERATING AREA
Aire de fonctionnement de sécurité

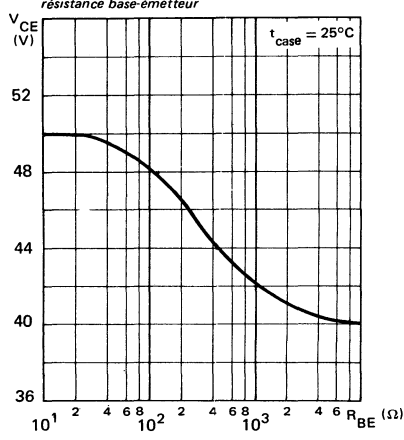


TYPICAL CHARACTERISTICS
CARACTÉRISTIQUES TYPIQUES

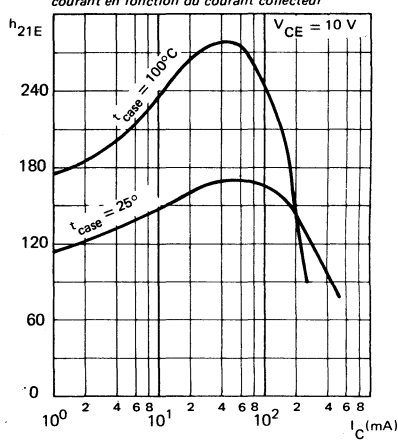
COLLECTOR CURRENT VERSUS COLLECTOR-EMITTER VOLTAGE
Courant collecteur en fonction de la tension collecteur-émetteur



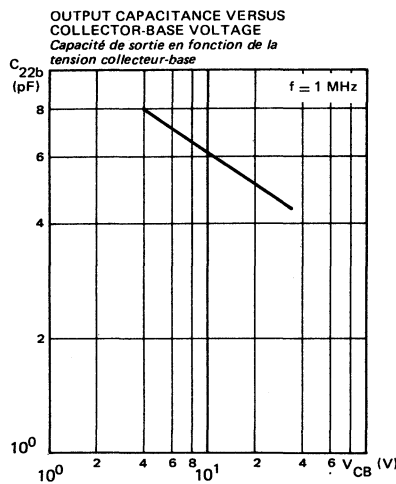
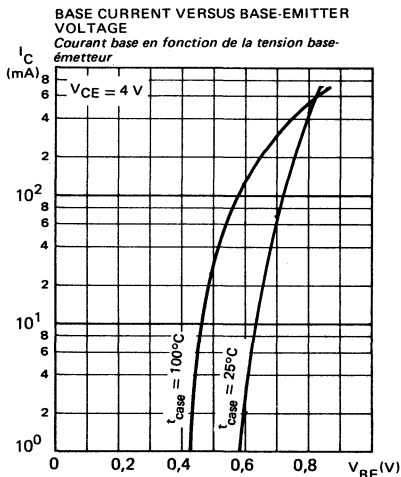
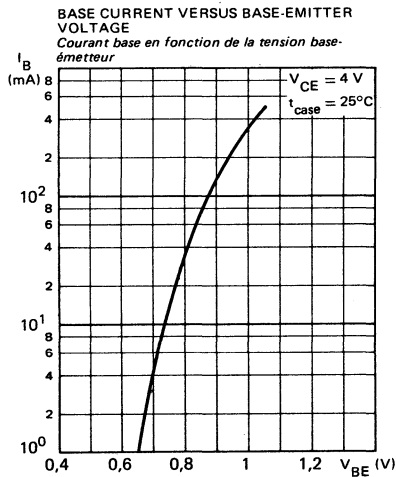
COLLECTOR Emitter VOLTAGE VERSUS
 BASE-EMITTER RESISTANCE
*Tension collecteur-émetteur en fonction de la
 résistance base-émetteur*



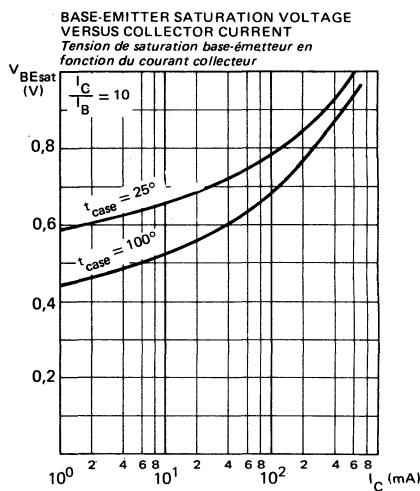
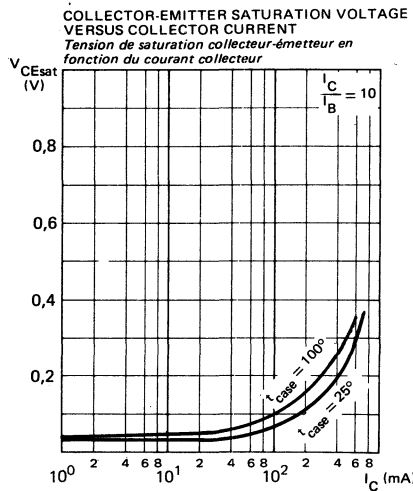
STATIC FORWARD CURRENT TRANSFER
 RATIO VERSUS COLLECTOR CURRENT
*Valeur statique du rapport de transfert direct du
 courant en fonction du courant collecteur*



TYPICAL CHARACTERISTICS
CARACTÉRISTIQUES TYPIQUES



TYPICAL CHARACTERISTICS
CARACTÉRISTIQUES TYPIQUES



2N 3054-BDY 71

NPN SILICON TRANSISTORS, HOMOBASE

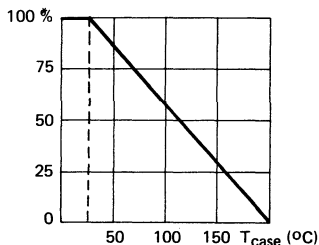
TRANSISTORS NPN SILICIUM, HOMOBASE

2N 3054 compl. of BDX 14

LF large signal power amplification
Amplification BF grands signaux de puissance

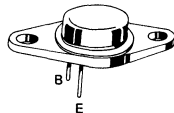
High current switching
Commutation fort courant

Dissipation derating
Variation de dissipation



| | |
|--------------------------|---|
| V _{CEO} | 55 V |
| I _C | 4 A |
| P _{tot} | { 25 W 2N 3054 29 W BDY 71 |
| h _{21E} (0,5 A) | { 25 - 100 2N 3054 80 - 200 BDY 71 |
| f _T | 0,8 MHz min |

Case
Boîtier TO 66 (CB 72)



ABSOLUTE RATINGS (LIMITING VALUES) VALEURS LIMITES ABSOLUES D'UTILISATION

| | | 2N 3054 | BDY 71 | |
|---|------------------------------------|-------------------|-------------------|----|
| Collector-base voltage <i>Tension collecteur-base</i> | V _{CBO} | 90 | 90 | V |
| Collector-emitter voltage <i>Tension collecteur-émetteur</i> | V _{C EO} | 55 | 55 | V |
| Collector-emitter voltage <i>Tension collecteur-émetteur</i> R _{BE} 100 Ω | V _{CER} | 60 | 60 | V |
| Collector-emitter voltage <i>Tension collecteur-émetteur</i> V _{BE} - 1,5 V | V _{CEX} | 90 | 90 | V |
| Emitter-base voltage <i>Tension émetteur-base</i> | V _{EBO} | 7 | 7 | V |
| Collector current <i>Courant collecteur</i> | I _C | 4 | 4 | A |
| Base current <i>Courant base</i> | I _B | 2 | 2 | A |
| Power dissipation <i>Dissipation de puissance</i> T _{case} 25 °C | P _{tot} | 25 | 29 | W |
| Storage and junction temperature <i>Température de jonction et de stockage</i> | t _j T _{stg} | 200 - 65 + 200 | 200 - 65 + 200 | °C |

Junction-case thermal resistance
Résistance thermique jonction-boîtier max

R_{th(j-c)}

7

7

°C/W

STATIC CHARACTERISTICS
CARACTÉRISTIQUES STATIQUES

 $T_{case} = 25^\circ C$ (Unless otherwise stated)
(Sauf indications contraires)

| | Test conditions Conditions de mesure | | | min | typ | max | |
|---|--|-----------------|--------------------------------|------|-----|-----|----|
| Collector-emitter cut-off current <i>Courant résiduel collecteur-émetteur</i> | $V_{CE} = 30 V$ $I_B = 0$ | I_{CEO} | All types <i>Tous types</i> | | | 0,5 | mA |
| Collector-emitter cut-off current <i>Courant résiduel collecteur-émetteur</i> | $V_{CE} = 90 V$ $V_{BE} = -1,5 V$ | I_{CEX} | All types <i>Tous types</i> | | | 1 | mA |
| | $V_{CE} = 30 V$ $V_{BE} = -1,5 V$ $T_{case} = 150^\circ C$ | | BDY 71 | | | 5 | |
| | $V_{CE} = 90 V$ $V_{BE} = -1,5 V$ $T_{case} = 150^\circ C$ | | 2N 3054 | | | 6 | |
| Emitter-base cut-off current <i>Courant résiduel émetteur-base</i> | $V_{EB} = 7 V$ $I_C = 0$ | I_{EBO} | All types <i>Tous types</i> | | | 1 | mA |
| Collector-emitter breakdown voltage <i>Tension de claquage collecteur-émetteur</i> | $I_C = 100 \text{ mA}$ $I_B = 0$ | V_{CEOus} * | All types <i>Tous types</i> | 55 | | | V |
| Collector-emitter breakdown voltage <i>Tension de claquage collecteur-émetteur</i> | $I_C = 100 \text{ mA}$ $R_{BE} = 100 \Omega$ | V_{CERus} * | All types <i>Tous types</i> | 60 | | | V |
| Emitter-base breakdown voltage <i>Tension de claquage émetteur-base</i> | $I_E = 1 \text{ mA}$ $I_C = 0$ | $V_{(BR)EBO}$ * | All types <i>Tous types</i> | 7 | | | V |
| Static forward current transfer ratio <i>Valeur statique du rapport de transfert direct du courant</i> | $V_{CE} = 4 V$ $I_C = 0,5 A$ | h_{21E} | 2N 3054 | 25 | | 100 | V |
| | $V_{CE} = 4 V$ $I_C = 3 A$ | | | 5 | | | |
| | $V_{CE} = 4 V$ $I_C = 0,5 A$ | | BDY 71 | 80 | | 200 | |
| Collector-emitter saturation voltage <i>Tension de saturation collecteur-émetteur</i> | $I_C = 0,5 A$ $I_B = 0,05 A$ | V_{CEsat} * | All types <i>Tous types</i> | | | 1 | V |
| | $I_C = 3 A$ $I_B = 1 A$ | | 2N 3054 | | | 6 | |
| | | | | | | | |
| Base-emitter voltage <i>Tension base-émetteur</i> | $V_{CE} = 4 V$ $I_C = 0,5 A$ | V_{BE} * | All types <i>Tous types</i> | | | 1,7 | V |
| Second breakdown collector current <i>Courant collecteur de second claquage</i> | $V_{CE} = 55 V$ $t = 1 s$ | $I_{S/B}$ | 2N 3054 | 0,45 | | | A |

* Pulsed
Impulsions $t_p = 300 \mu s$ $\delta \leq 2\%$

DYNAMIC CHARACTERISTICS (for large signals)

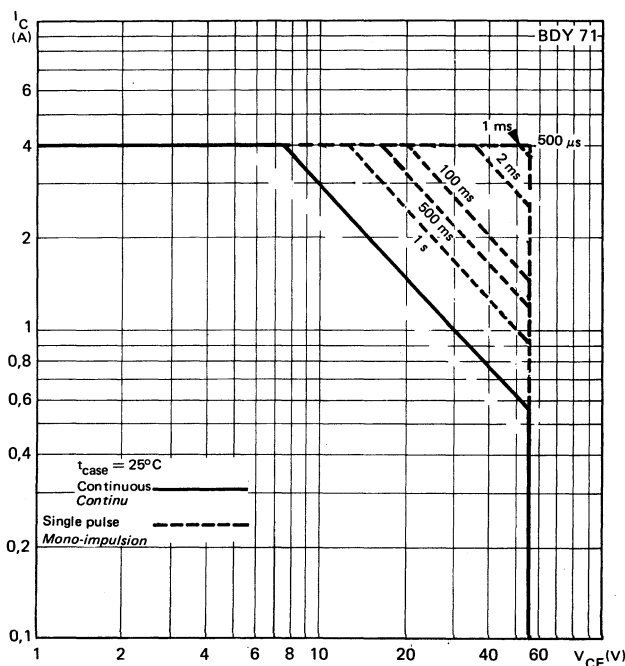
CARACTÉRISTIQUES DYNAMIQUES (pour grands signaux)

 $T_{case} = 25^\circ C$

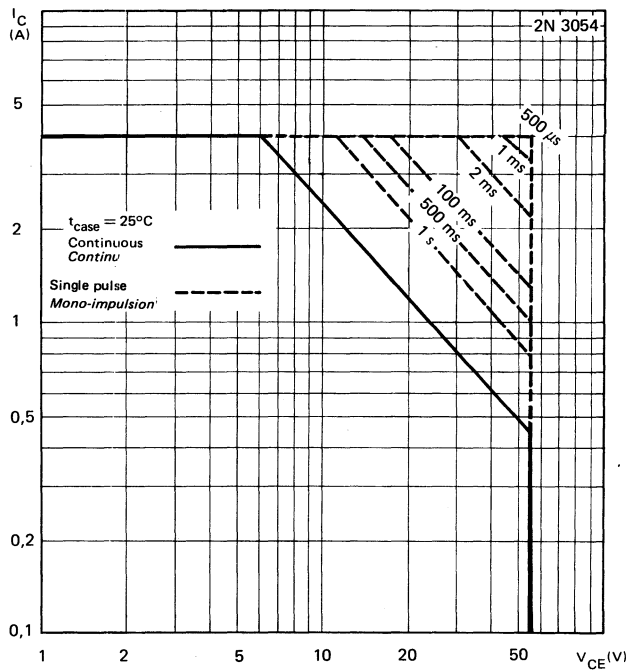
(Unless otherwise stated)

(Sauf indications contraires)

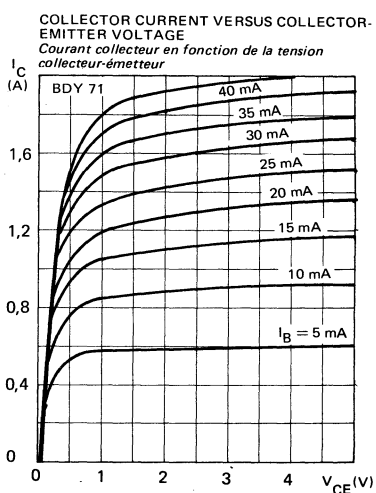
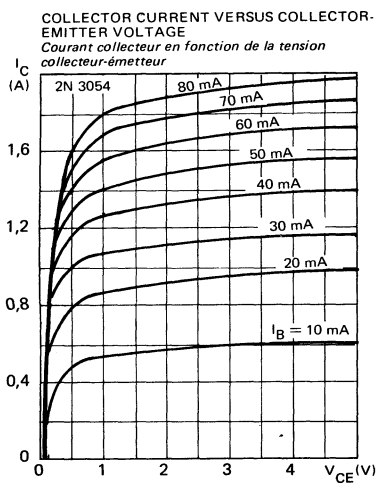
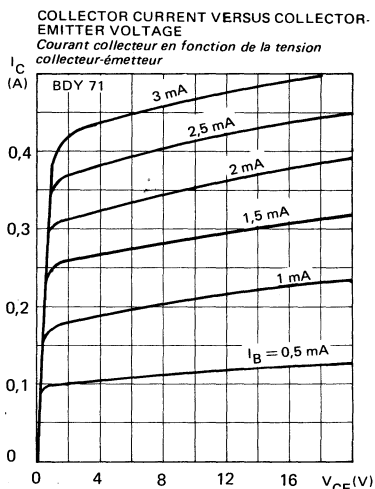
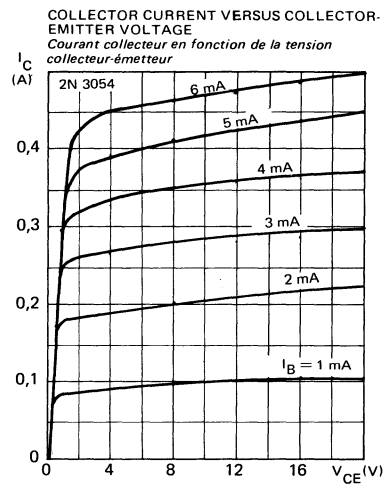
| | Test conditions Conditions de mesure | | | min | typ | max |
|--|---|-------|--------------------------------|-----|-----|-----|
| Transition frequency <i>Fréquence de transition</i> | $V_{CE} = 10 V$ $I_C = 0,2 A$ $f = 1 MHz$ | f_T | All types <i>Tous types</i> | 0,8 | | MHz |

SAFE OPERATING AREA
Aire de fonctionnement de sécurité

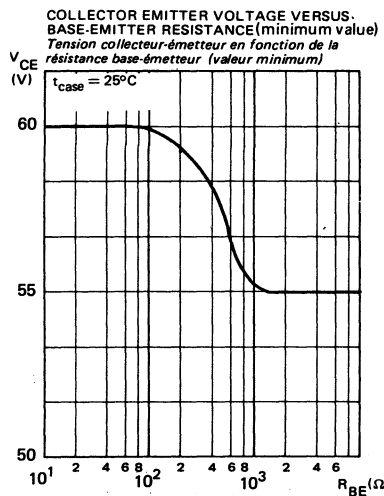
SAFE OPERATING AREA
Aire de fonctionnement de sécurité



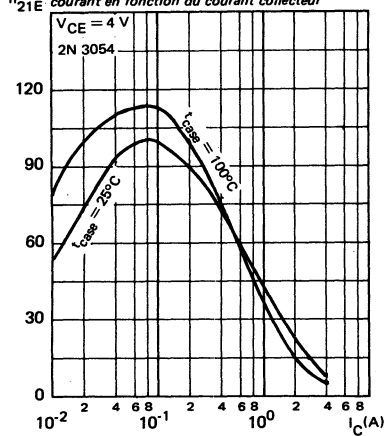
TYPICAL CHARACTERISTICS
CARACTÉRISTIQUES TYPIQUES



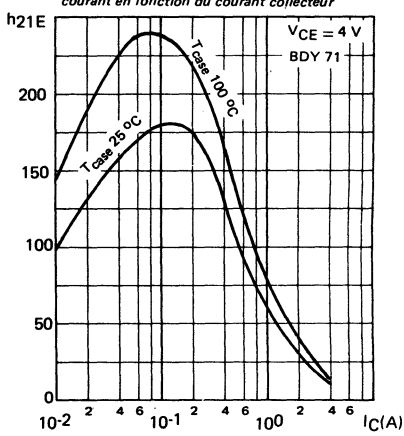
TYPICAL CHARACTERISTICS
CARACTÉRISTIQUES TYPHIQUES



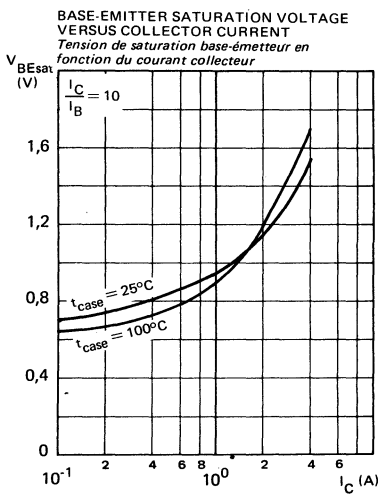
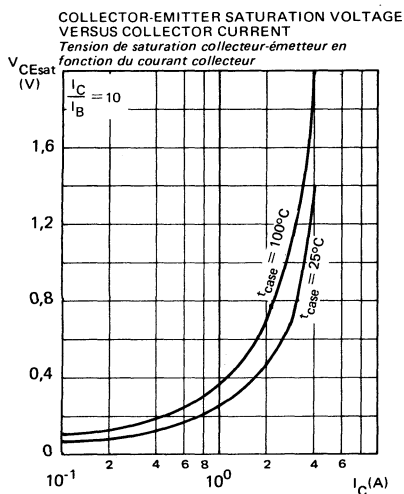
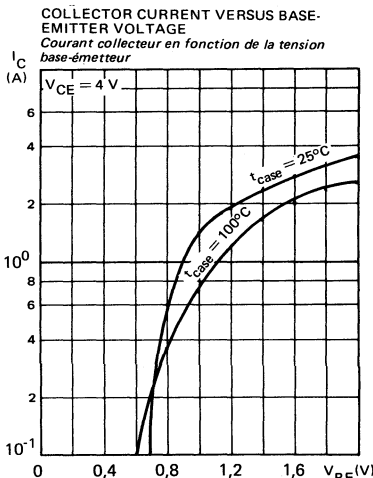
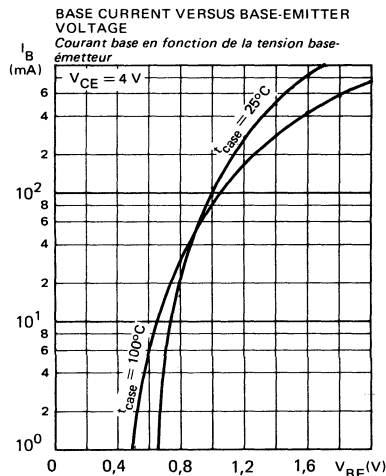
STATIC FORWARD CURRENT TRANSFER
RATIO VERSUS COLLECTOR CURRENT
Valeur statique du rapport de transfert direct du
courant en fonction du courant collecteur



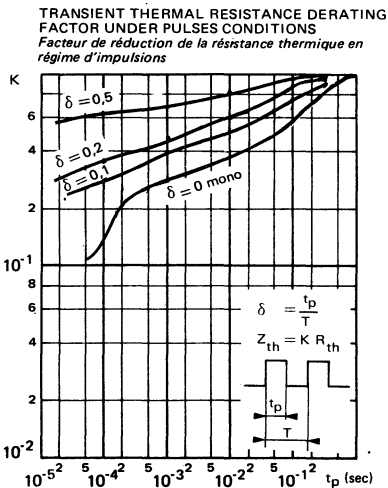
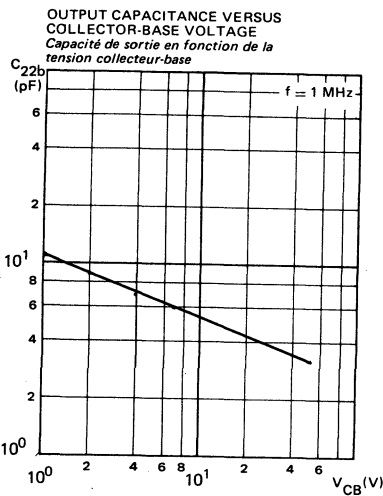
STATIC FORWARD CURRENT TRANSFER
RATIO VERSUS COLLECTOR CURRENT
Valeur statique du rapport de transfert direct du
courant en fonction du courant collecteur



TYPICAL CHARACTERISTICS
CARACTÉRISTIQUES TYPHIQUES



TYPICAL CHARACTERISTICS
CARACTÉRISTIQUES TYPIQUES



NPN TRANSISTOR HOMOBASE
TRANSISTOR NPN HOMOBASE

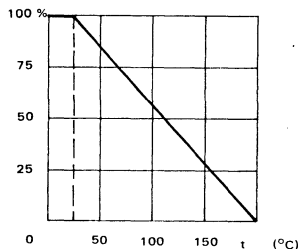
2N 3055 compl. of BDX 18, BDX 18 N

LF large signal power amplification
Amplification BF grands signaux

High current switching
Commutation fort courant

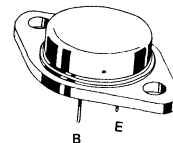
Thermal fatigue inspection
Contrôle en fatigue thermique

Dissipation derating
Variation de dissipation



| | |
|------------------------|--------------|
| V _{CEO} | 60 V |
| I _C | 15 A |
| P _{tot} | 117 W |
| h _{21E} (4 A) | 20-70 |
| f _T | 0,8 MHz |
| R _{th(j-c)} | 1,5 °C/W max |

Case
Boîtier TO 3



ABSOLUTE RATINGS (LIMITING VALUES)
VALEURS LIMITES ABSOLUES D'UTILISATION

| | | | | |
|---|--------------------------|------------------|-----|---|
| Collector-base voltage <i>Tension collecteur-base</i> | V _{CBO} | 100 | V | |
| Collector-emitter voltage <i>Tension collecteur-émetteur</i> | V _{CEO} | 60 | V | |
| Collector-emitter voltage <i>Tension collecteur-émetteur</i> | R _{BE} = 100 Ω | V _{CER} | 70 | V |
| Collector-emitter voltage <i>Tension collecteur-émetteur</i> | V _{BE} = -1,5 V | V _{CEx} | 90 | V |
| Emitter-base voltage <i>Tension émetteur-base</i> | V _{EBO} | 7 | V | |
| Collector current <i>Courant collecteur</i> | I _C | 15 | A | |
| Base current <i>Courant base</i> | I _B | 7 | A | |
| Power dissipation <i>Dissipation de puissance</i> | T _{case} 25 °C | P _{tot} | 117 | W |
| Junction temperature <i>Température de jonction</i> | t _j | - 65 + 200 | °C | |

| | | | | |
|--|-----|----------------------|-----|------|
| Junction-case thermal resistance <i>Résistance thermique jonction boîtier</i> | max | R _{th(j-c)} | 1,5 | °C/W |
|--|-----|----------------------|-----|------|

STATIC CHARACTERISTICS
CARACTÉRISTIQUES STATIQUES $t_{\text{case}} = 25^\circ\text{C}$ (Unless otherwise stated)
(Sauf indications contraires)

| | Test conditions Conditions de mesure | | | Min. | Typ. | Max. |
|---|--|-------------------------|---------|---------|------|------|
| Collector-emitter cut-off current <i>Courant résiduel collecteur-émetteur</i> | $V_{\text{CE}} = 30 \text{ V}$ $I_B = 0$ | I_{CEO} | 2N 3055 | | 0,7 | mA |
| Collector-emitter cut-off current <i>Courant résiduel collecteur-émetteur</i> | $V_{\text{CE}} = 100 \text{ V}$ $V_{\text{BE}} = -1,5 \text{ V}$ | I_{CEX} | BDY 73 | | 5 | mA |
| | $V_{\text{CE}} = 60 \text{ V}$ $V_{\text{BE}} = -1,5 \text{ V}$ $t_{\text{case}} = 150^\circ\text{C}$ | | | | 10 | mA |
| | $V_{\text{CE}} = 100 \text{ V}$ $V_{\text{BE}} = -1,5 \text{ V}$ $t_{\text{case}} = 150^\circ\text{C}$ | | | 2N 3055 | 30 | mA |
| Emitter-base cut-off current <i>Courant résiduel émetteur-base</i> | $V_{\text{EB}} = 7 \text{ V}$ $I_C = 0$ | I_{EBO} | | | 5 | mA |
| Collector-emitter breakdown voltage <i>Tension de claquage collecteur-émetteur</i> | $I_C = 200 \text{ mA}$ $I_B = 0$ | $V_{\text{CEO(sus)}}$ * | | 60 | | V |
| Collector-emitter breakdown voltage <i>Tension de claquage collecteur-émetteur</i> | $I_C = 200 \text{ mA}$ $R_{\text{BE}} = 100 \Omega$ | $V_{\text{CER(sus)}}$ * | | 70 | | V |
| Collector-emitter breakdown voltage <i>Tension de claquage collecteur-émetteur</i> | $I_C = 100 \text{ mA}$ $V_{\text{BE}} = -1,5 \text{ V}$ | $V_{\text{CEX(sus)}}$ * | | 90 | | V |
| Static forward current transfer ratio <i>Valeur statique du rapport de transfert direct du courant</i> | $V_{\text{CE}} = 4 \text{ V}$ $I_C = 4 \text{ A}$ | h_{21E} * | 2N 3055 | 20 | 70 | V |
| | | | | | | |
| | $V_{\text{CE}} = 4 \text{ V}$ $I_C = 10 \text{ A}$ | | 2N 3055 | 5 | | V |
| Collector-emitter saturation voltage <i>Tension de saturation collecteur-émetteur</i> | $I_C = 4 \text{ A}$ $I_B = 0,4 \text{ A}$ | V_{CEsat} * | | | 1,1 | V |
| | $I_C = 10 \text{ A}$ $I_B = 3,3 \text{ A}$ | | 2N 3055 | | 8 | V |
| Base-emitter voltage <i>Tension base-émetteur</i> | $V_{\text{CE}} = 4 \text{ V}$ $I_C = 4 \text{ A}$ | V_{BE} * | | | 1,8 | V |
| Second breakdown collector current <i>Courant collecteur de second claquage</i> | $V_{\text{CE}} = 60 \text{ V}$ $t = 1 \text{ s}$ | $I_{\text{S/B}}$ | | 1,95 | | A |

* Pulsed $t_p = 300 \mu\text{s}$ $\delta \leq 2 \%$
Impulsions

DYNAMIC CHARACTERISTICS (for small signals)
CARACTÉRISTIQUES DYNAMIQUES (pour petits signaux)

 $t_{case} = 25^\circ\text{C}$ (Unless otherwise stated)
(Sauf indications contraires)

| | Test conditions <i>Conditions de mesure</i> | | | Min. | Typ. | Max. |
|--|--|-------|--|------|------|------|
| Transition frequency <i>Fréquence de transition</i> | $V_{CE} = 4 \text{ V}$ $I_C = 1 \text{ A}$ $f = 0,5 \text{ MHz}$ | f_T | | 0,8 | | MHz |

THERMAL FATIGUE INSPECTION**CONTROLE EN FATIGUE THERMIQUE**

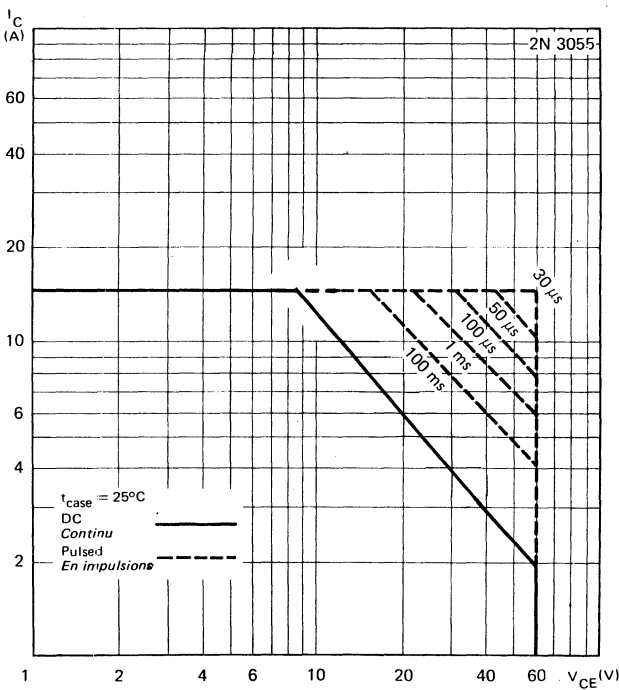
Permanent inspection of soldering quality between silicon chip and header provides maximum insurance against thermal fatigue.

Le contrôle permanent de la qualité de la soudure entre la pastille de silicium et l'embase confère au transistor un maximum de garantie contre la fatigue thermique.

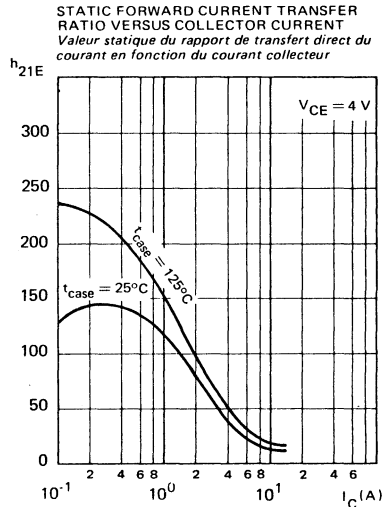
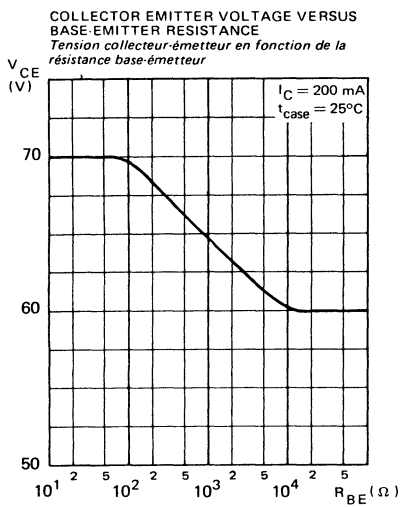
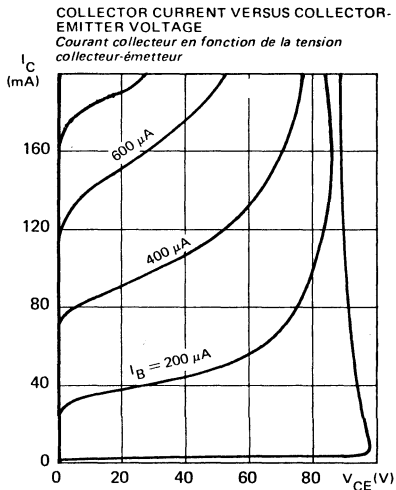
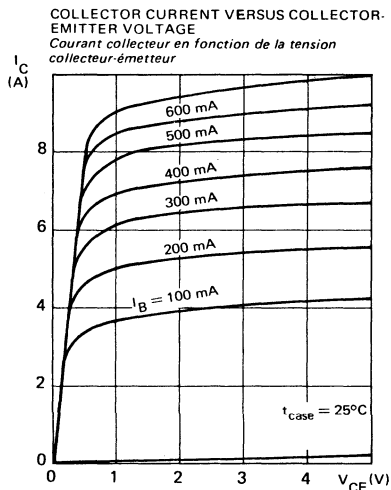
Pulsed test :

*Contrôle cyclique :***10 000 cycles**"on" : 2 minutes ($0 \rightarrow 48 \text{ W}$)"off" : 1 minute ($48 \rightarrow 0 \text{ W}$) $t_{case} = 100^\circ\text{C}$ max $\Delta t_{case} = 85^\circ\text{C}$ max

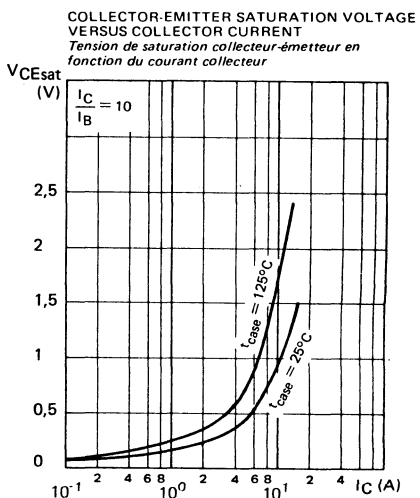
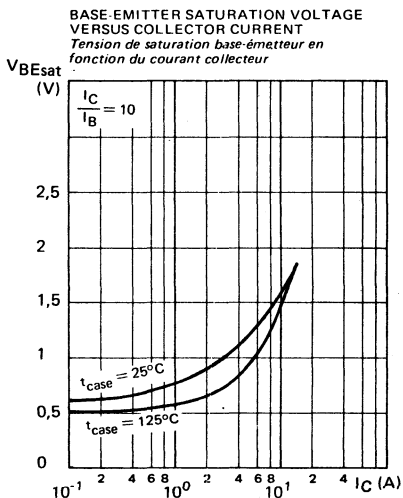
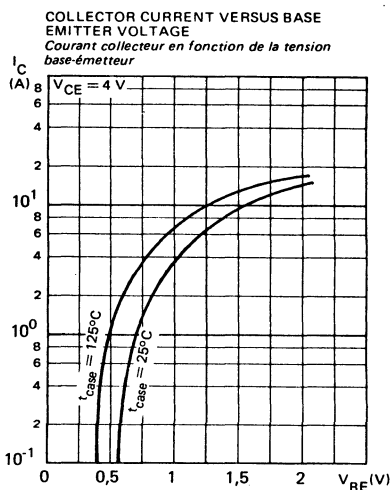
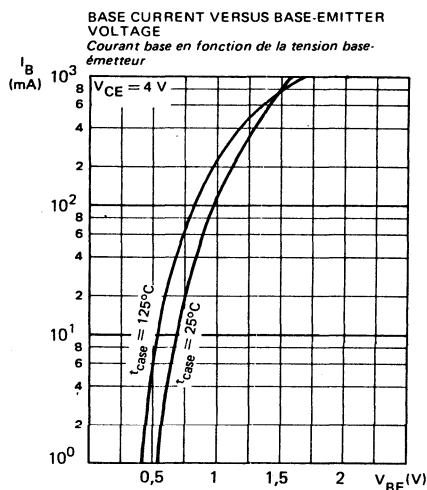
SAFE OPERATING AREA
AIRE DE FONCTIONNEMENT DE SECURITE



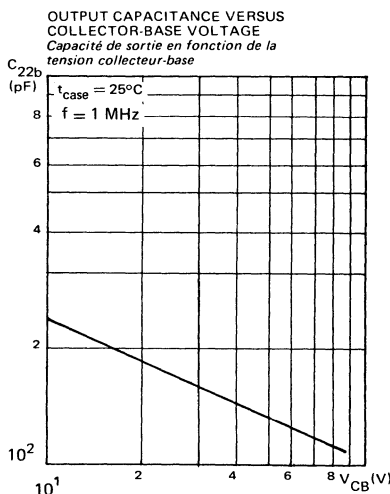
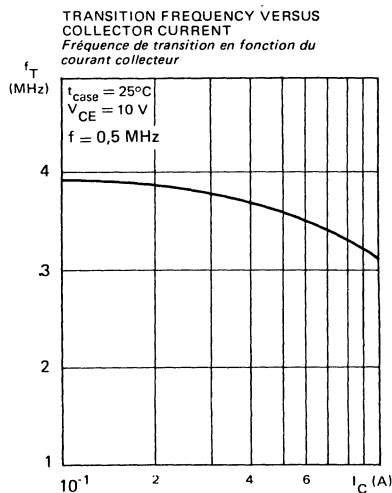
TYPICAL CHARACTERISTICS
CARACTÉRISTIQUES TYPIQUES



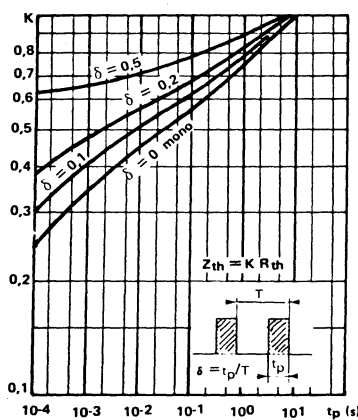
TYPICAL CHARACTERISTICS CARACTÉRISTIQUES TYPHIQUES



TYPICAL CHARACTERISTICS
CARACTÉRISTIQUES TYPIQUES



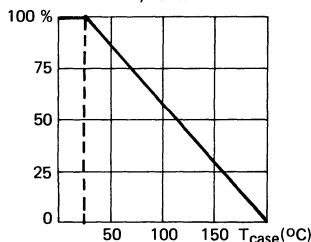
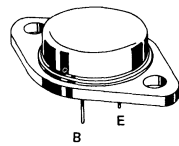
**TRANSIENT THERMAL RESISTANCE DERATING
FACTOR UNDER PULSES CONDITIONS**
Facteur de réduction de la résistance thermique en régime d'impulsions





Devices under CCQ (1971 n° 100)

Dispositifs soumis au Contrôle centralisé de qualité (1971 n° 100)

LF large signal amplification*Amplification BF grands signaux de puissance***High current switching***Commutation fort courant***Dissipation derating***Variation de dissipation***Climatic class** 55 / 125 / 56*Catégorie climatique***V_{CEO}** 60 V**I_C** 15 A**P_{tot}** 117 W**R_{th(j-c)}** 1,5 °C/W max**h_{21E} (4 A)** 20 - 70**f_T** 0,8 MHz minCase TO 3 (CB 19)
Boîtier
ABSOLUTE RATINGS (LIMITING VALUES)
VALEURS LIMITES ABSOLUES D'UTILISATION

| | | | | |
|---|---------------------------|------------------|-----|----|
| Collector-emitter voltage <i>Tension collecteur-émetteur</i> | V _{CEO} | 60 | V | |
| Collector-emitter voltage <i>Tension collecteur-émetteur</i> | R _{BE} = 100 Ω | V _{CER} | 70 | V |
| Collector-emitter voltage <i>Tension collecteur-émetteur</i> | V _{BE} = - 1,5 V | V _{CEx} | 100 | V |
| Emitter-base voltage <i>Tension émetteur-base</i> | V _{EBO} | 7 | V | |
| Collector current <i>Courant collecteur</i> | I _C | 15 | A | |
| Base current <i>Courant base</i> | I _B | 7 | A | |
| Power dissipation <i>Dissipation de puissance</i> | T _{case} 25 °C | P _{tot} | 117 | W |
| Junction temperature <i>Température de jonction</i> | max | t _j | 200 | °C |

Junction-case thermal resistance
Résistance thermique jonction boîtier

max

R_{th(j-c)}

1,5

°C/W

STATIC CHARACTERISTICS
CARACTÉRISTIQUES STATIQUES

T_{case} 25 °C

(Unless otherwise stated)
(Sauf indications contraires)

| | Test conditions Conditions de mesure | | min | typ | max | |
|--|---|------------------------|-----|-----|-----|----|
| Collector-emitter cut-off current Courant résiduel collecteur-émetteur | V _{CE} = 30 V I _B = 0 | I _{CEO} | | | 0,7 | mA |
| Collector-emitter cut-off current Courant résiduel collecteur-émetteur | V _{CE} = 100 V V _{BE} = -1,5 V | I _{CEX} | | | 5 | |
| | V _{CE} = 100 V V _{BE} = -1,5 V T _{case} = 150 °C | | | | 30 | mA |
| Emitter-base cut-off current Courant résiduel émetteur-base | V _{EB} = 7 V I _C = 0 | I _{EBO} | | | 5 | mA |
| Collector-emitter breakdown voltage Tension de claquage collecteur-émetteur | I _C = 200 mA I _B = 0 | V _{(BR)CEO} * | 60 | | | V |
| Collector-emitter breakdown voltage Tension de claquage collecteur-émetteur | I _C = 200 mA R _{BE} = 100 Ω | V _{(BR)CER} * | 70 | | | V |
| Static forward current transfer ratio Valeur statique du rapport de transfert direct du courant | V _{CE} = 4 V I _C = 4 A | h _{21E} * | 20 | | 70 | |
| | V _{CE} = 4 V I _C = 10 A | | 5 | | | |
| | V _{CE} = 4 V I _C = 4 A T _{case} = -55 °C | | 10 | | | |
| Collector-emitter saturation voltage Tension de saturation collecteur-émetteur | I _C = 4 A I _B = 0,4 A | V _{CESat} * | | | 1,1 | |
| | I _C = 10 A I _B = 3,3 A | | | | 2,5 | V |
| Base-emitter saturation voltage Tension de saturation base-émetteur | I _C = 10 A I _B = 3,3 A | V _{BESat} * | | | 4 | V |
| Base-emitter voltage Tension base-émetteur | I _C = 4 A V _{CE} = 4 A | V _{BE} * | | | 1,8 | V |

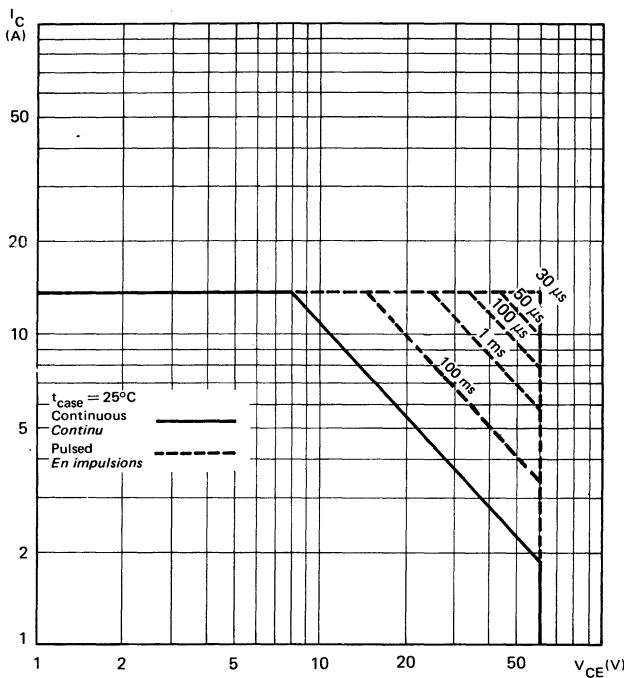
DYNAMIC CHARACTERISTICS (for small signals)

CARACTÉRISTIQUES DYNAMIQUES (pour petits signaux)

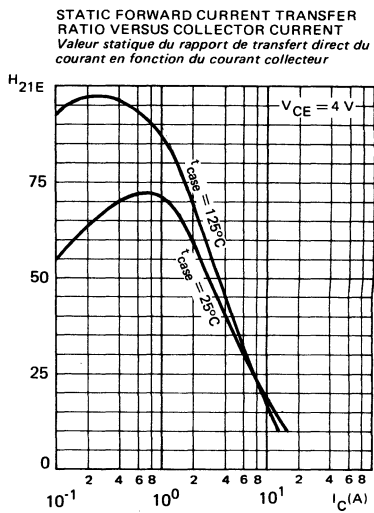
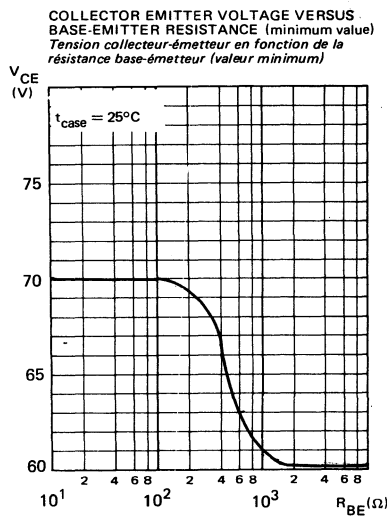
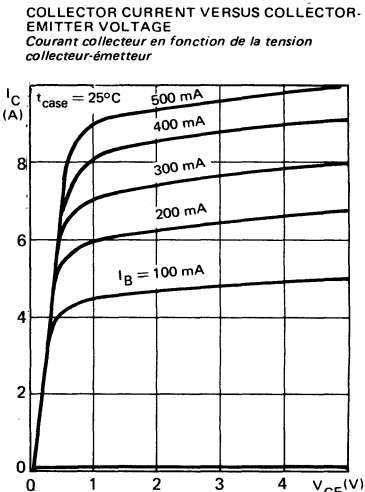
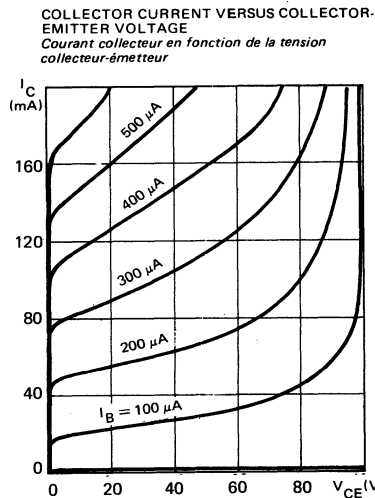
| | | | | | | |
|---|--|----------------|-----|--|--|-----|
| Transition frequency Fréquence de transition | V _{CE} = 4 V I _C = 1 A f = 0,5 MHz | f _T | 0,8 | | | MHz |
|---|--|----------------|-----|--|--|-----|

* Pulsed
Impulsions t_p = 300 μs δ ≤ 2 %

SAFE OPERATING AREA
Aire de fonctionnement de sécurité



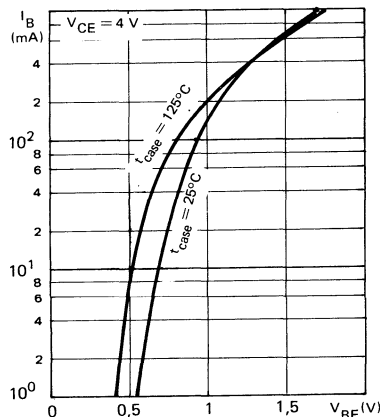
TYPICAL CHARACTERISTICS
CARACTÉRISTIQUES TYPIQUES



TYPICAL CHARACTERISTICS
CARACTERISTIQUES TYPHIQUES

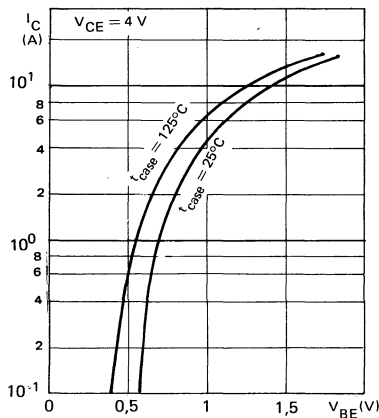
BASE CURRENT VERSUS BASE-EMITTER VOLTAGE

Courant base en fonction de la tension base-émetteur



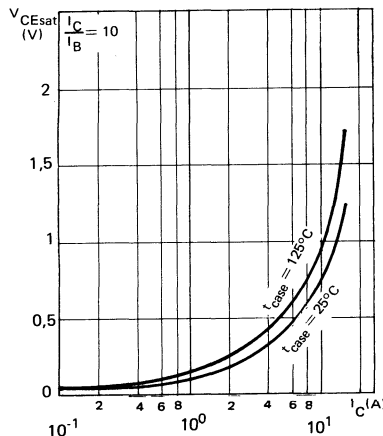
COLLECTOR CURRENT VERSUS BASE-EMITTER VOLTAGE

Courant collecteur en fonction de la tension base-émetteur



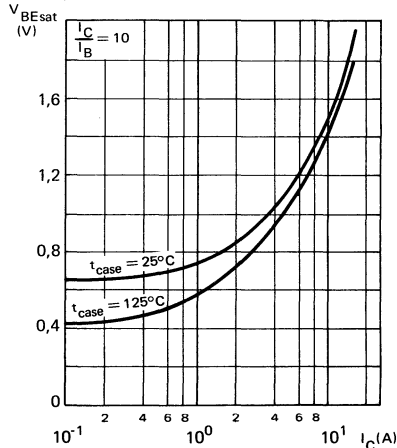
COLLECTOR-EMITTER SATURATION VOLTAGE VERSUS COLLECTOR CURRENT

Tension de saturation collecteur-émetteur en fonction du courant collecteur



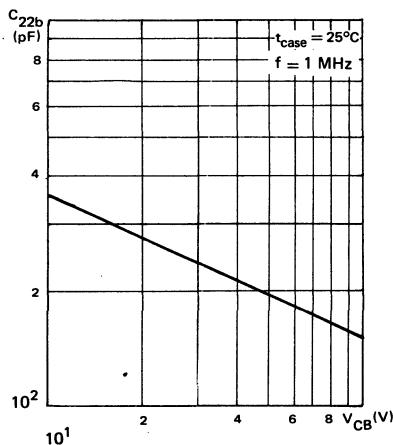
BASE-EMITTER SATURATION VOLTAGE VERSUS COLLECTOR CURRENT

Tension de saturation base-émetteur en fonction du courant collecteur

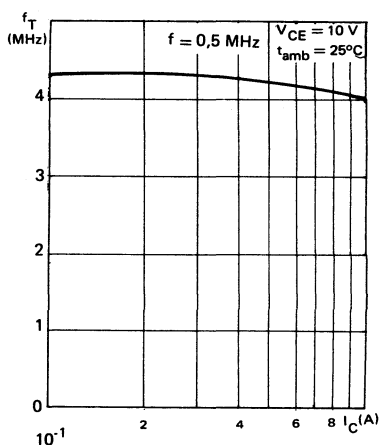


TYPICAL CHARACTERISTICS
CARACTÉRISTIQUES TYPIQUES

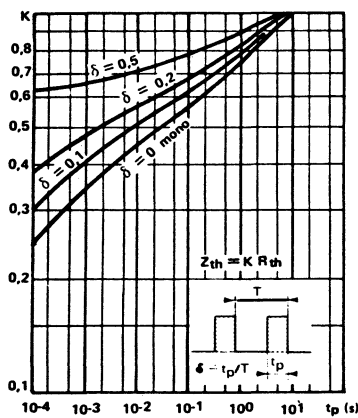
OUTPUT CAPACITANCE VERSUS
COLLECTOR-BASE VOLTAGE
*Capacité de sortie en fonction de la
tension collecteur-base*



TRANSITION FREQUENCY VERSUS
COLLECTOR CURRENT
*Fréquence de transition en fonction du
courant collecteur*



TRANSIENT THERMAL RESISTANCE DERATING
FACTOR UNDER PULSES CONDITIONS
*Facteur de réduction de la résistance thermique en
régime d'impulsions*



2N 3439-2N 3440

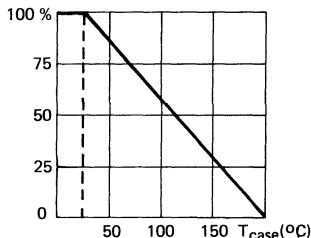
NPN SILICON TRANSISTORS TRIPLE DIFFUSED MESA

TRANSISTORS SILICIUM NPN MESA TRIPLE DIFFUSÉS

High voltage, high frequency response transistor
Transistor haute tension à fréquence d'amplification élevée.

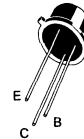
High voltage, low current switching applications
Application en commutation haute tension, bas courant

Dissipation derating
Variation de dissipation



| | | |
|---------------------------------|---------------|---------|
| V_{CEO} | 350 V | 2N 3439 |
| | 250 V | 2N 3440 |
| I_C | 1 A | |
| P_{tot} | 10 W | |
| R_{th(j-c)} | 17,5 °C/W max | |
| h_{21E} (0,02 A) | 40 - 160 | |
| f_T | 15 MHz min | |

Case
Boîtier TO 39 (CB 7)



| ABSOLUTE RATINGS (LIMITING VALUES) VALEURS LIMITES ABSOLUES D'UTILISATION | | 2N 3439 | 2N 3440 | | |
|---|-------------------------|------------------------------------|-------------------|-------------------|----|
| Collector-base voltage <i>Tension collecteur-base</i> | V _{CBO} | 450 | 300 | V | |
| Collector-emitter voltage <i>Tension collecteur-émetteur</i> | V _{CEO} | 350 | 250 | V | |
| Collector-emitter voltage <i>Tension collecteur-émetteur</i> | V _{CEX} | 450 | 300 | V | |
| Emitter-base voltage <i>Tension émetteur-base</i> | V _{EBO} | 7 | 7 | V | |
| Collector current <i>Courant collecteur</i> | I _C | 1 | 1 | A | |
| Base current <i>Courant base</i> | I _B | 0,5 | 0,5 | A | |
| Power dissipation <i>Dissipation de puissance</i> | T _{case} 25 °C | P _{tot} | 10 | 10 | W |
| Storage and junction temperature <i>Température de jonction et de stockage</i> | max | t _j T _{stg} | 200 - 65 + 200 | 200 - 65 + 200 | °C |

Junction-case thermal resistance
Résistance thermique jonction boîtier

max

R_{th(j-c)}

17,5

17,5

°C/W

STATIC CHARACTERISTICS
CARACTÉRISTIQUES STATIQUES

 $T_{case} = 25^\circ C$ (Unless otherwise stated)
(Sauf indications contraires)

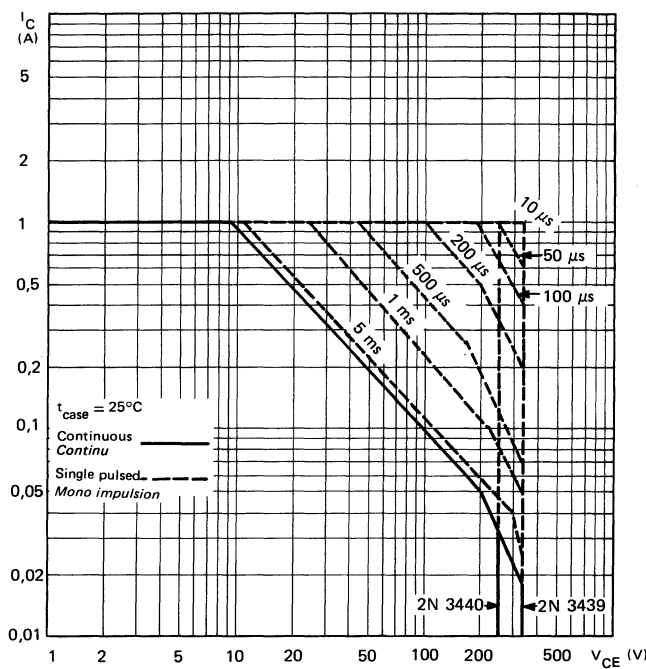
| | Test conditions Conditions de mesure | | | min | typ | max | |
|---|---|----------------|--------------------------------|------------|-----|-----|---------|
| Collector-emitter cut-off current <i>Courant résiduel collecteur-émetteur</i> | $V_{CE} = 300 V$ $I_B = 0$ | I_{CEO} | 2N 3439 | | 20 | | μA |
| | $V_{CE} = 200 V$ $I_B = 0$ | | 2N 3440 | | 50 | | |
| Collector-emitter cut-off current <i>Courant résiduel collecteur-émetteur</i> | $V_{CE} = 450 V$ $V_{BE} = -1,5 V$ | I_{CEX} | 2N 3439 | | 500 | | μA |
| | $V_{CE} = 300 V$ $V_{BE} = -1,5 V$ | | 2N 3440 | | 500 | | |
| Emitter-base cut-off current <i>Courant résiduel émetteur-base</i> | $V_{EB} = 6 V$ $I_C = 0$ | I_{EBO} | All types <i>Tous types</i> | | 20 | | μA |
| Collector-emitter breakdown voltage <i>Tension de claquage collecteur-émetteur</i> | $I_C = 50 mA$ $I_B = 0$ $L = 25 mH$ | V_{CEOsus}^* | 2N 3439 2N 3440 | 350 250 | | | V |
| Static forward current transfer ratio <i>Valeur statique du rapport de transfert direct du courant</i> | $V_{CE} = 10 V$ $I_C = 20 mA$ | | All types <i>Tous types</i> | 40 | | 160 | |
| | $V_{CE} = 10 V$ $I_C = 2 mA$ | | | 30 | | | |
| Collector-emitter saturation voltage <i>Tension de saturation collecteur-émetteur</i> | $I_C = 50 mA$ $I_B = 4 mA$ | V_{CEsat}^* | All types <i>Tous types</i> | | | 0,5 | V |
| Base-emitter saturation voltage <i>Tension de saturation base-émetteur</i> | $I_C = 50 mA$ $I_B = 4 mA$ | V_{BEsat}^* | All types <i>Tous types</i> | | | 1,3 | V |
| Second breakdown collector current <i>Courant collecteur de second claquage</i> | $V_{CE} = 200 V$ $t = 1 s$ | $I_{S/B}$ | All types <i>Tous types</i> | 50 | | | mA |

DYNAMIC CHARACTERISTICS (for small signals)**CARACTÉRISTIQUES DYNAMIQUES (pour petits signaux)**

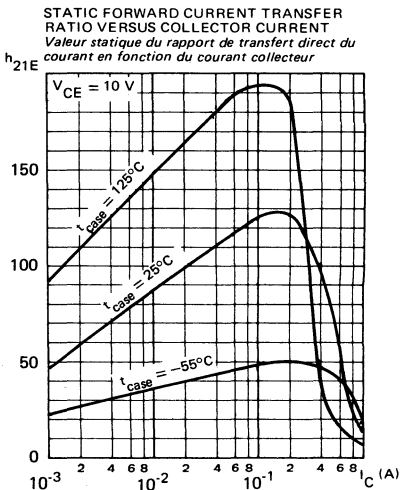
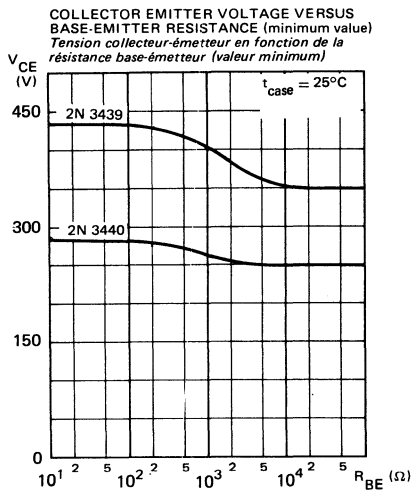
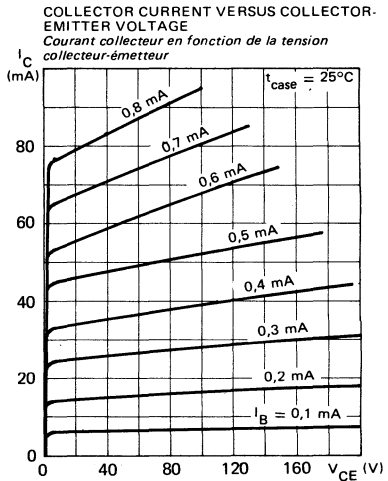
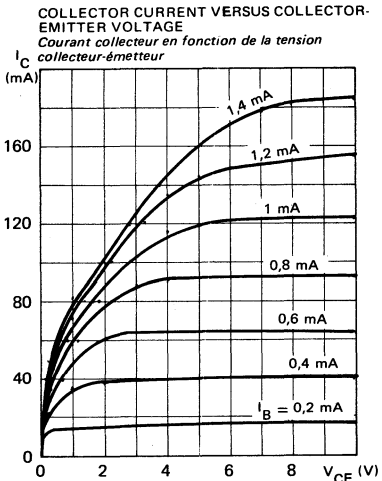
| | | | | | | | |
|--|--|-----------|--------------------------------|----|--|----|-------|
| Transition frequency <i>Fréquence de transition</i> | $V_{CE} = 10 V$ $I_C = 0,01 A$ $f = 5 \text{ MHz}$ | f_T | All types <i>Tous types</i> | 15 | | | MHz |
| Output capacitance <i>Capacité de sortie</i> | $V_{CB} = 10 V$ $f = 1 \text{ MHz}$ | C_{22b} | All types <i>Tous types</i> | | | 20 | pF |

* Pulsed
Impulsions $t_p = 300 \mu s$ $\delta \leq 2\%$

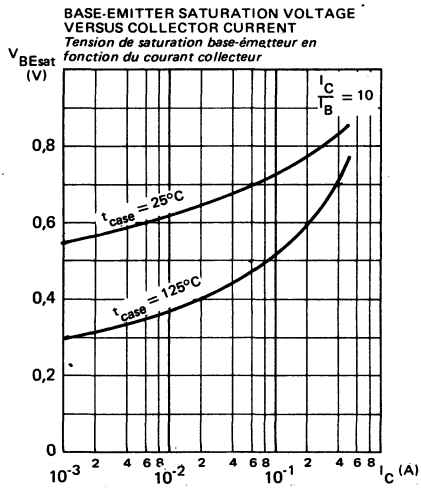
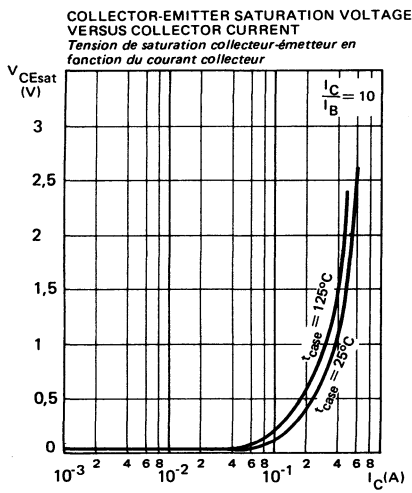
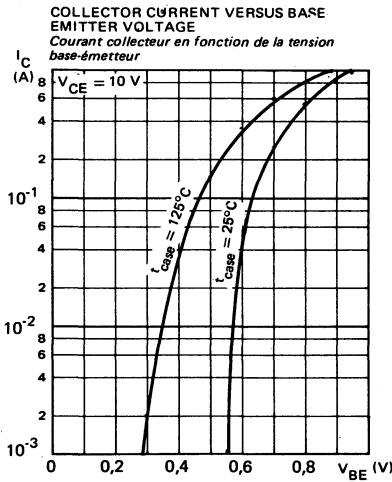
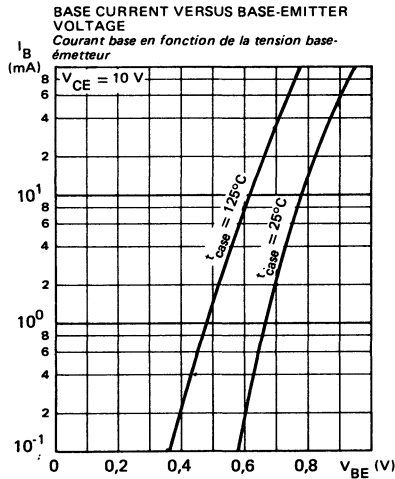
SAFE OPERATING AREA
Aire de fonctionnement de sécurité



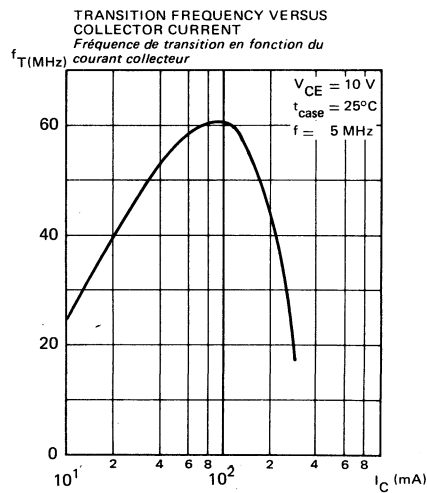
TYPICAL CHARACTERISTICS
CARACTÉRISTIQUES TYPIQUES



TYPICAL CHARACTERISTICS
CARACTÉRISTIQUES TYPHIQUES



TYPICAL CHARACTERISTICS
CARACTERISTIQUES TYPIQUES



2N 3441 compl. of BDX 16

LF large signal power amplification

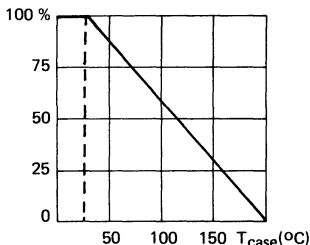
Amplification BF grands signaux de puissance

High current switching

Commutation fort courant

Dissipation derating

Variation de dissipation



V_{CCEO} { 140 V 2N 3441
120 V BDY 72

I_C 3 A

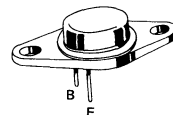
P_{tot} 25 W

R_{th(j-c)} 7 °C/W max

h_{21E}(0,5 A) { 20 - 80 2N 3441
60 - 180 BDY 72

f_T 0,8 MHz min

Case
Boîtier TO 66 (CB 72)



ABSOLUTE RATINGS (LIMITING VALUES)

VALEURS LIMITES ABSOLUES D'UTILISATION

| | | 2N 3441 | BDY 72 | |
|---|--------------------------------|------------------|---------------|----|
| Collector-base voltage <i>Tension collecteur-base</i> | V _{CBO} | 160 | 150 | V |
| Collector-emitter voltage <i>Tension collecteur-émetteur</i> | V _{CEO} | 140 | 120 | V |
| Collector-emitter voltage <i>Tension collecteur-émetteur</i> | R _{BE} = 100 Ω | V _{CER} | 150 | V |
| Collector-emitter voltage <i>Tension collecteur-émetteur</i> | V _{BE} = - 1,5 V | V _{CEX} | 160 | V |
| Emitter-base voltage <i>Tension émetteur-base</i> | V _{EBO} | 7 | 7 | V |
| Collector current <i>Courant collecteur</i> | I _C | 3 | 3 | A |
| Collector current <i>Courant collecteur</i> | t _p = 1 s | I _{CM} | 4 | |
| Base current <i>Courant base</i> | I _B | 2 | 2 | A |
| Power dissipation <i>Dissipation de puissance</i> | P _{tot} | 25 | 25 | W |
| Storage and junction temperature <i>Température de jonction et de stockage</i> | T _{case} 25 °C max | t _j | 200 | °C |
| | | T _{stg} | - 65 + 200 | |
| | | | - 65 + 200 | |

Junction-case thermal resistance
Résistance thermique jonction boîtier max

R_{th(j-c)}

7

7

°C/W

STATIC CHARACTERISTICS
CARACTÉRISTIQUES STATIQUES
 $T_{case} = 25^\circ C$ (Unless otherwise stated)
(Sauf indications contraires)

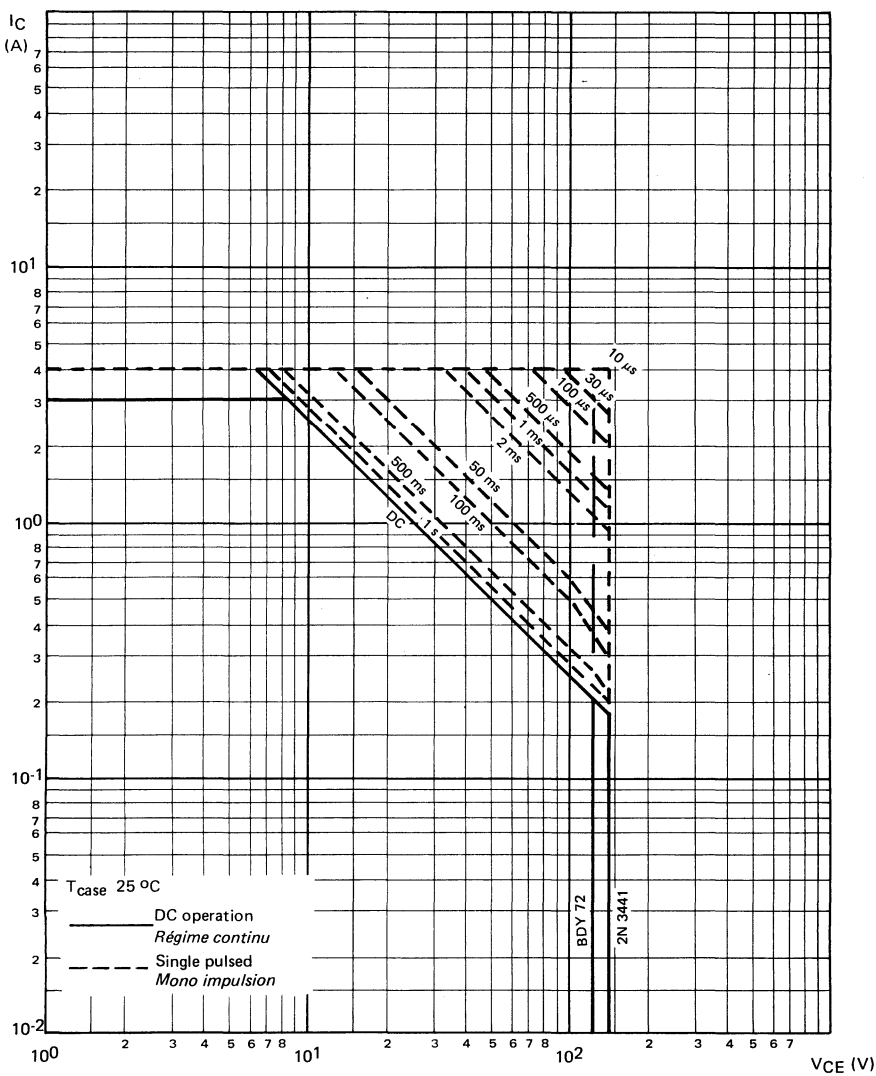
| | Test conditions Conditions de mesure | | | min | typ | max | |
|---|---|-----------------|--------------------------------|------------|-----|-----------|----|
| Collector-emitter cut-off current <i>Courant résiduel collecteur-émetteur</i> | $V_{CE} = 140 \text{ V}$ | ICEX | 2N 3441 | | | 1 | mA |
| | $V_{BE} = -1,5 \text{ V}$ | | | | | 5 | |
| | $V_{CE} = 140 \text{ V}$ | BDY 72 | BDY 72 | | | 1 | |
| | $V_{BE} = -1,5 \text{ V}$ | | | | | 5 | |
| Emitter-base cut-off current <i>Courant résiduel émetteur-base</i> | $V_{EB} = 7 \text{ V}$ $I_C = 0$ | IEBO | All types <i>Tous types</i> | | | 1 | mA |
| Collector-emitter breakdown voltage <i>Tension de claquage collecteur-émetteur</i> | $I_C = 100 \text{ mA}$ $I_B = 0$ | $V_{(BR)CEO}^*$ | 2N 3441 BDY 72 | 140 120 | | | v |
| Collector-emitter breakdown voltage <i>Tension de claquage collecteur-émetteur</i> | $I_C = 100 \text{ mA}$ $R_{BE} = 100 \Omega$ | $V_{(BR)CER}^*$ | 2N 3441 BDY 72 | 150 130 | | | v |
| Collector-emitter breakdown voltage <i>Tension de claquage collecteur-émetteur</i> | $I_C = 100 \text{ mA}$ $V_{BE} = -1,5 \text{ V}$ | $V_{(BR)CEX}^*$ | 2N 3441 BDY 72 | 160 150 | | | v |
| Static forward current transfer ratio <i>Valeur statique du rapport de transfert direct du courant</i> | $V_{CE} = 4 \text{ V}$ $I_C = 0,5 \text{ A}$ | h_{21E}^* | 2N 3441 BDY 72 | 20 60 | | 80 180 | |
| Collector-emitter saturation voltage <i>Tension de saturation collecteur-émetteur</i> | $I_C = 0,5 \text{ A}$ $I_B = 0,05 \text{ A}$ | V_{CEsat}^* | All types <i>Tous types</i> | | | 1 | v |
| Base-emitter voltage <i>Tension base-émetteur</i> | $V_{CE} = 4 \text{ V}$ $I_C = 0,5 \text{ A}$ | V_{BE}^* | All types <i>Tous types</i> | | | 1,7 | v |

* Pulsed
Impulsions $t_p = 300 \mu\text{s}$ $\delta \leq 2\%$

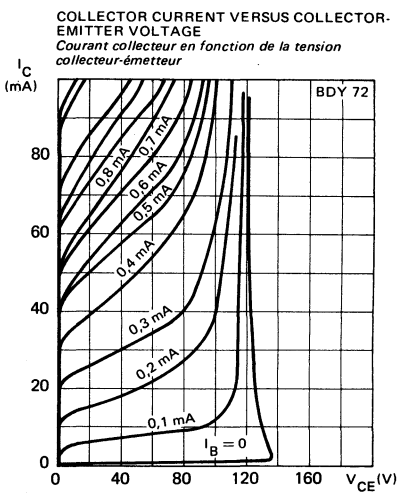
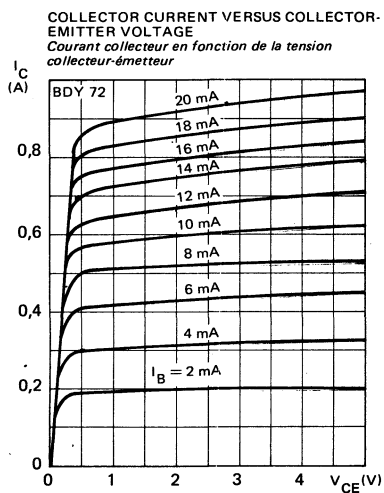
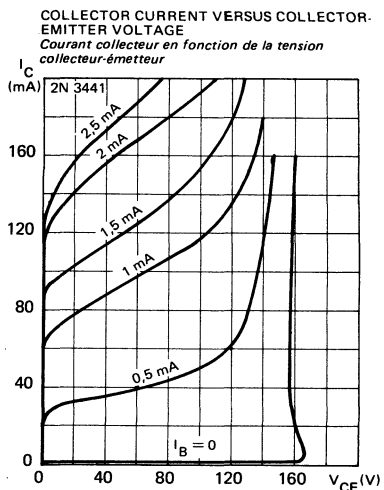
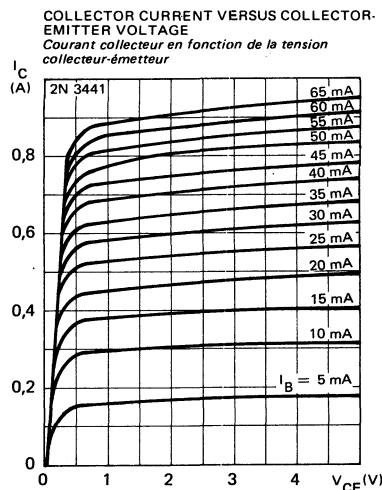
DYNAMIC CHARACTERISTICS (for small signals)**CARACTÉRISTIQUES DYNAMIQUES (pour petits signaux)** $T_{case} = 25^\circ C$ (Unless otherwise stated)
(Sauf indications contraires)

| | Test conditions Conditions de mesure | | | min | typ | max | |
|--|---|-------|--|-----|-----|-----|-----|
| Transition frequency <i>Fréquence de transition</i> | $V_{CE} = 10 \text{ V}$ $I_C = 0,2 \text{ A}$ $f = 1 \text{ MHz}$ | f_T | | 0,8 | | | MHz |

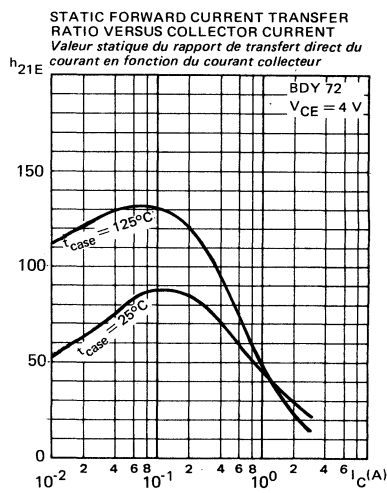
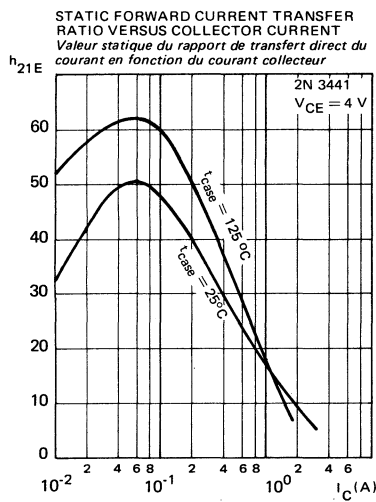
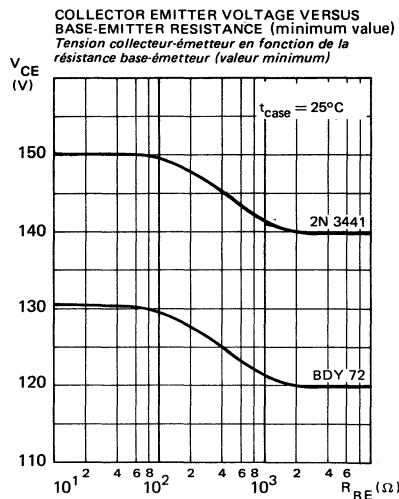
SAFE OPERATING AREA
AIRE DE SECURITE



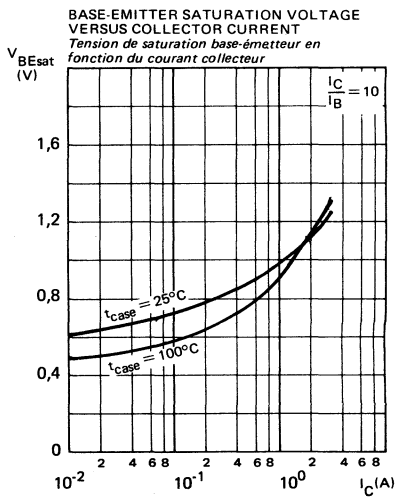
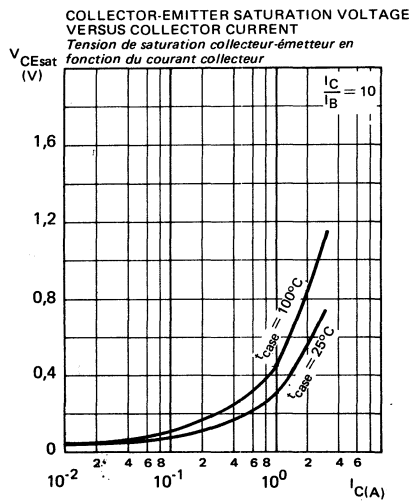
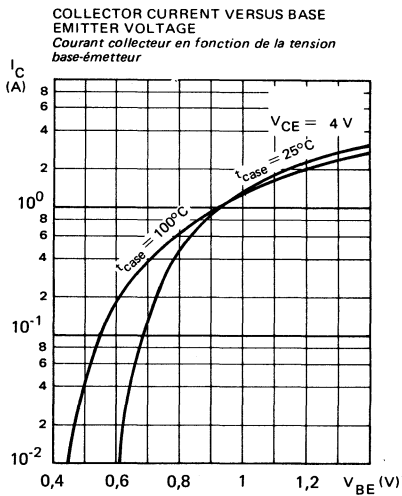
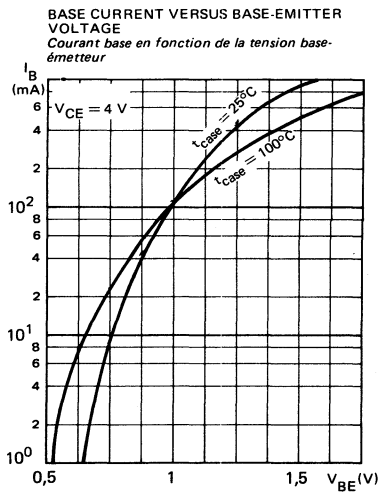
TYPICAL CHARACTERISTICS
CARACTÉRISTIQUES TYPIQUES



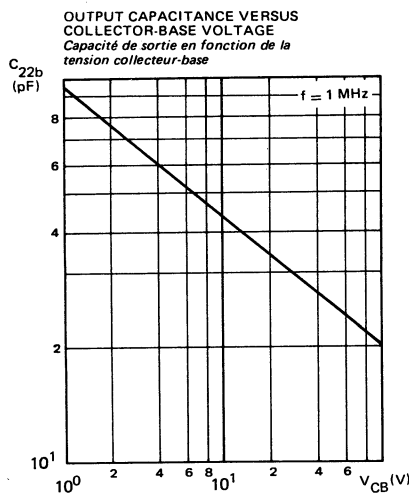
TYPICAL CHARACTERISTICS
CARACTÉRISTIQUES TYPIQUES



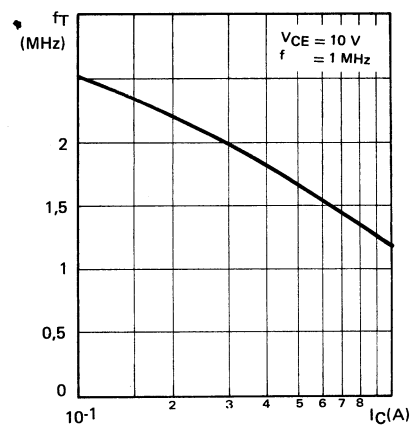
TYPICAL CHARACTERISTICS CARACTÉRISTIQUES TYPIQUES



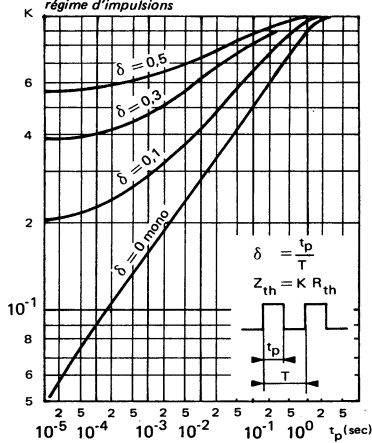
TYPICAL CHARACTERISTICS
CARACTÉRISTIQUES TYPHIQUES



TRANSITION FREQUENCY VERSUS
COLLECTOR CURRENT
Fréquence de transition en fonction du courant collecteur



TRANSIENT THERMAL RESISTANCE DERATING
FACTOR UNDER PULSES CONDITIONS
Facteur de réduction de la résistance thermique en régime d'impulsions





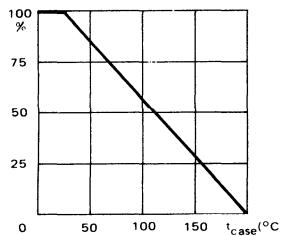
2N 3442 compl. of BDX 20

LF large signal power amplifier
Amplificateur BF grands signaux de puissance

High current switching
Commutation fort courant

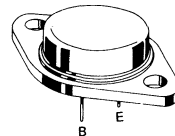
Thermal fatigue inspection
Contrôle en fatigue thermique

Dissipation derating
Variation de dissipation



| | |
|----------------------|----------|
| V _{CEO} | 140 V |
| I _C | 10 A |
| P _{tot} | 117 W |
| R _{th(j-c)} | 1,5 °C/W |
| h _{21E} | 20-70 |
| f _T min | 0,8 MHz |

Case TO 3
Boîtier



ABSOLUTE RATINGS (LIMITING VALUES)
VALEURS LIMITES ABSOLUES D'UTILISATION

| | | | |
|---|------------------|------------|----|
| Collector-base voltage <i>Tension collecteur-base</i> | V _{CBO} | 160 | V |
| Collector-emitter voltage <i>Tension collecteur-émetteur</i> | V _{CEO} | 140 | V |
| Collector-emitter voltage <i>Tension collecteur-émetteur</i> | V _{CER} | 150 | V |
| Collector-emitter voltage <i>Tension collecteur-émetteur</i> | V _{CEX} | 160 | V |
| Emitter-base voltage <i>Tension émetteur-base</i> | V _{EBO} | 7 | V |
| Collector current <i>Courant collecteur</i> | I _C | 10 | A |
| Collector current <i>Courant collecteur</i> | I _{CM} | 15 | A |
| Base current <i>Courant base</i> | I _B | 7 | A |
| Power dissipation <i>Dissipation de puissance</i> | P _{tot} | 117 | W |
| Junction temperature <i>Température de jonction</i> | t _j | - 65 + 200 | °C |

| | | | | |
|--|-----|----------------------|-----|------|
| Junction-case thermal resistance <i>Résistance thermique jonction-boîtier</i> | max | R _{th(j-c)} | 1,5 | °C/W |
|--|-----|----------------------|-----|------|

STATIC CHARACTERISTICS
CARACTÉRISTIQUES STATIQUES

 $T_{case} = 25^\circ C$ (Unless otherwise stated)
(Sauf indications contraires)

| | Test conditions <i>Conditions de mesure</i> | | | min | typ | max | |
|---|---|-----------------------|--|-----|-----|-----|----|
| Collector-base cut-off current <i>Courant résiduel collecteur-base</i> | V _{CB} = 140 V I _B = 0 | I _{CBO} | | | | 1 | mA |
| | | | | | | | |
| Collector-emitter cut-off current <i>Courant résiduel collecteur-émetteur</i> | V _{CE} = 140 V V _{BE} = -1,5 V | I _{CEX} | | | | 5 | mA |
| | V _{CE} = 140 V V _{BE} = -1,5 V T _{case} = 150 °C | | | | | 30 | |
| | | | | | | | |
| | | | | | | | |
| Collector-emitter cut-off current <i>Courant résiduel collecteur-émetteur</i> | V _{CE} = 110 V I _B = 0 | I _{CEO} | | | | 200 | mA |
| Emitter-base cut-off current <i>Courant résiduel émetteur-base</i> | V _{EB} = 7 V I _C = 0 | I _{EBO} | | | | 5 | mA |
| Collector-emitter breakdown voltage <i>Tension de claquage collecteur-émetteur</i> | I _C = 200 mA I _B = 0 | V _{CEOSus} * | | 140 | | | V |
| | | | | | | | |
| Collector-emitter breakdown voltage <i>Tension de claquage collecteur-émetteur</i> | I _C = 200 mA R _{BE} = 100 Ω | V _{CERSus} * | | 150 | | | V |
| Collector-emitter breakdown voltage <i>Tension de claquage collecteur-émetteur</i> | I _C = 100 mA V _{BE} = -1,5 V | V _{CEXsus} * | | 160 | | | V |
| Static forward current transfer ratio <i>Valeur statique du rapport de transfert direct du courant</i> | V _{CE} = 4 V I _C = 3 A | h _{21E} * | | 20 | | 70 | |
| | V _{CE} = 4 V I _C = 10 A | | | 7,5 | | | |
| Collector-emitter saturation voltage <i>Tension de saturation collecteur-émetteur</i> | I _C = 3 A I _B = 0,3 A | V _{CESat} * | | | | 1 | V |
| | I _C = 10 A I _B = 2 A | | | | | 5 | |

* Pulsed
Impulsions t_p = 300 μs δ ≤ 2 %

STATIC CHARACTERISTICS
CARACTÉRISTIQUES STATIQUES

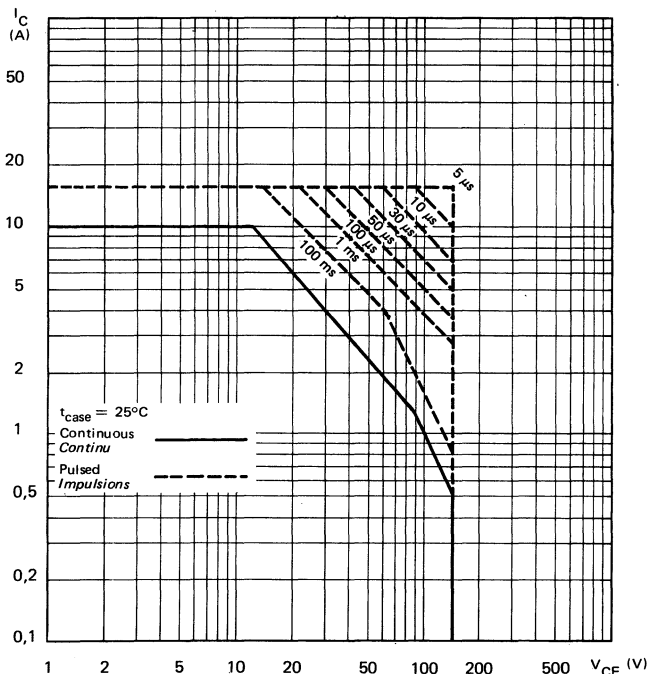
 $T_{case} 25^\circ C$ (Unless otherwise stated)
(Sauf indications contraires)

| | Test conditions <i>Conditions de mesure</i> | | | | | | |
|--|--|------------|--|-----|-----|---|---|
| Base-emitter voltage <i>Tension base-émetteur</i> | $I_C = 3 A$ $V_{CE} = 4 V$ | V_{BE}^* | | | 1,7 | V | |
| | $I_C = 10 A$ $V_{CE} = 4 V$ | | | | | | |
| Second breakdown collector current <i>Courant collecteur de second claquage</i> | $V_{CE} = 60 V$ $t = 1 s$ $T_{case} = 100^\circ C$ | $I_{S/B}$ | | 1,1 | | | A |

DYNAMIC CHARACTERISTICS (for small signals)**CARACTÉRISTIQUES DYNAMIQUES (pour petits signaux)**

| | | | | | | | |
|--|---|-------|--|-----|--|--|-----|
| Transition frequency <i>Fréquence de transition</i> | $V_{CE} = 10 V$ $I_C = 1 A$ $f = 1 MHz$ | f_T | | 0,8 | | | MHz |
|--|---|-------|--|-----|--|--|-----|

SAFE OPERATING AREA
Aire de fonctionnement de sécurité



THERMAL FATIGUE INSPECTION

CONTROLE EN FATIGUE THERMIQUE

Permanent inspection of soldering quality between silicon chip and header provides maximum insurance against thermal fatigue.

Le contrôle permanent de la qualité de la soudure entre la pastille de silicium et l'embase confère au transistor un maximum de garantie contre la fatigue thermique.

Pulsed test :

Contrôle cyclique :

10 000 cycles

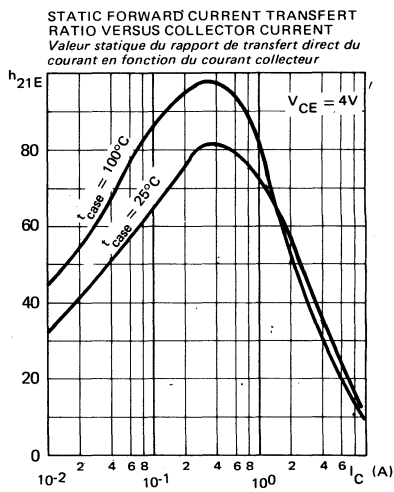
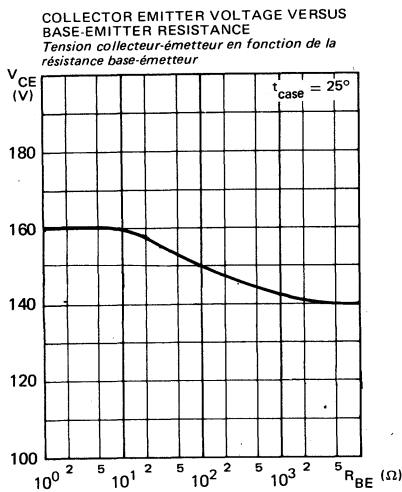
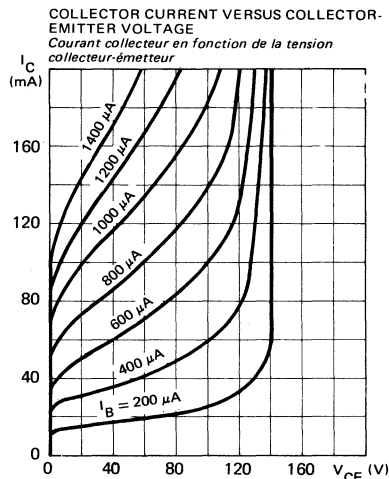
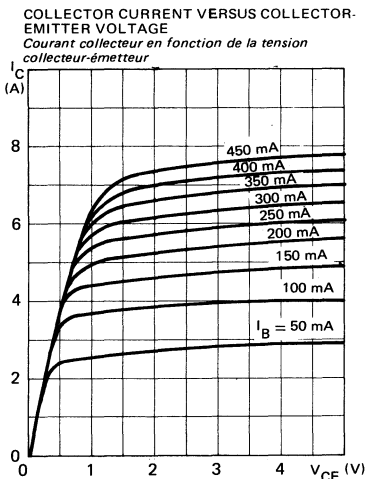
"on" : 2 minutes ($0 \rightarrow 48\text{ W}$)

"off" : 1 minute ($48 \rightarrow 0\text{ W}$)

$t_{case} = 100^\circ\text{C}$ max

$\Delta t_{case} = 85^\circ\text{C}$ max

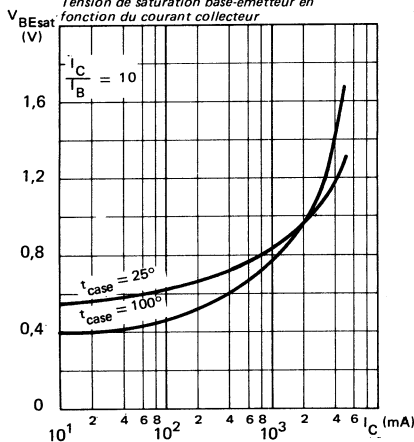
TYPICAL CHARACTERISTICS
CARACTÉRISTIQUES TYPHIQUES



TYPICAL CHARACTERISTICS CARACTÉRISTIQUES TYPIQUES

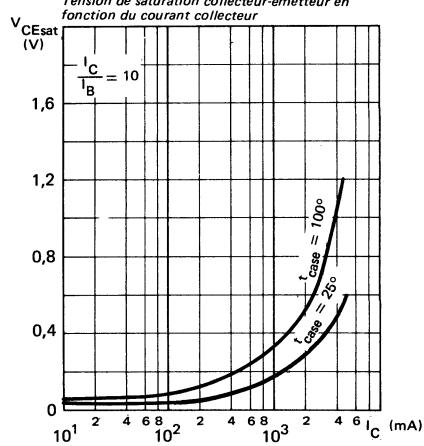
BASE-EMITTER SATURATION VOLTAGE
VERSUS COLLECTOR CURRENT

*Tension de saturation base-émetteur en
fonction du courant collecteur*



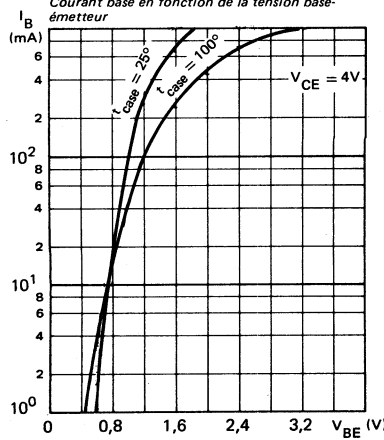
COLLECTOR-EMITTER SATURATION VOLTAGE
VERSUS COLLECTOR CURRENT

*Tension de saturation collecteur-émetteur en
fonction du courant collecteur*



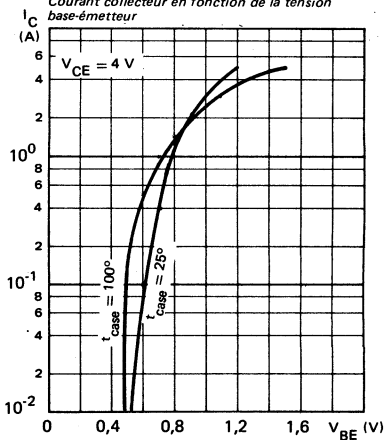
BASE CURRENT VERSUS BASE-EMITTER
VOLTAGE

Courant base en fonction de la tension base-émetteur

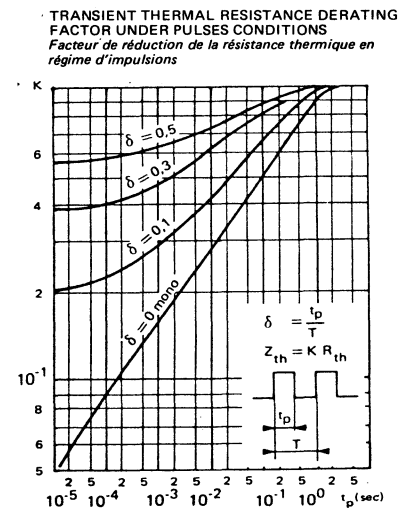
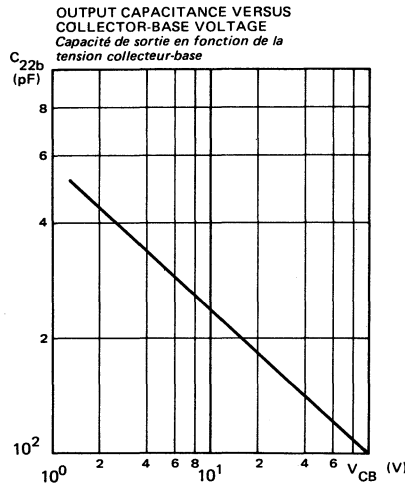


COLLECTOR CURRENT VERSUS BASE
EMITTER VOLTAGE

Courant collecteur en fonction de la tension base-émetteur



TYPICAL CHARACTERISTICS
CARACTÉRISTIQUES TYPIQUES



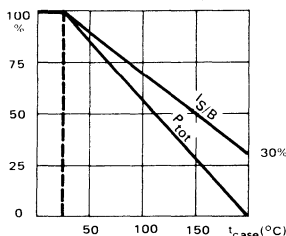


NPN TRANSISTORS TRIPLE DIFFUSED MESA
TRANSISTORS NPN MESA TRIPLE DIFFUSES

High voltage linear power amplifier
Amplification linéaire de puissance forte tension

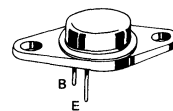
High voltage fast switching
Commutation rapide forte tension

Dissipation and I_S/B derating
Variation de dissipation et de I_S/B



| | 2N 3583 | 2N 3584 | 2N 3585 |
|----------------------|---------|------------|---------|
| V _{CEO} | 175 V | 250 V | 300 V |
| I _C | 1 A | 2 A | 2 A |
| R _{th(j-c)} | | max 5 °C/W | |
| f _T | | min 10 MHz | |

Case
Boîtier TO 66



ABSOLUTE RATINGS (LIMITING VALUES)
VALEURS LIMITES ABSOLUES D'UTILISATION

| | | 2N 3583 | 2N 3584 | 2N 3585 | |
|---|--|------------------|------------|------------|----|
| Collector-base voltage <i>Tension collecteur-base</i> | V _{CBO} | 250 | 375 | 500 | V |
| Collector-emitter voltage <i>Tension collecteur-émetteur</i> | V _{CEO} | 175 | 250 | 300 | V |
| Emitter-base voltage <i>Tension émetteur-base</i> | V _{EBO} | 6 | 6 | 6 | V |
| Collector current <i>Courant collecteur</i> | I _C t _p = 10 ms | I _{CM} | 1 5 | 2 5 | A |
| Base current <i>Courant base</i> | I _B | 1 | 1 | 1 | A |
| Power dissipation <i>Dissipation de puissance</i> | T _{case} 25 °C | P _{tot} | 35 | 35 | W |
| Junction temperature <i>Température de jonction</i> | t _j | - 65 + 200 | - 65 + 200 | - 65 + 200 | °C |

| Junction case thermal resistance <i>Résistance thermique jonction boîtier</i> | R _{th(j-c)} | 5 | 5 | 5 | °C/W |
|--|----------------------|---|---|---|------|
| | | | | | |

STATIC CHARACTERISTICS
CARACTÉRISTIQUES STATIQUES

 $T_{case} = 25^\circ C$ (Unless otherwise stated)
(Sauf indications contraires)

| | Test conditions Conditions de mesure | | | min | typ | max | |
|---|---|--------------|--------------------------------|-------------------|--------------|-----------------|----|
| Collector-emitter cut-off current <i>Courant résiduel collecteur-émetteur</i> | $V_{CE} = 150 \text{ V}$ $I_B = 0$ | I_{CEO} | 2N 3583 2N 3584 2N 3585 | | 10 5 5 | | mA |
| Collector-emitter cut-off current <i>Courant résiduel collecteur-émetteur</i> | $V_{CE} = 225 \text{ V}$ $V_{BE} = -1,5 \text{ V}$ | | 2N 3583 | | | 1 | mA |
| | $V_{CE} = 225 \text{ V}$ $V_{BE} = -1,5 \text{ V}$ $T_{case} = 150^\circ C$ | | 2N 3583 | | | 3 | |
| | $V_{CE} = 340 \text{ V}$ $V_{BE} = -1,5 \text{ V}$ | | 2N 3584 | | | 1 | |
| | $V_{CE} = 450 \text{ V}$ $V_{BE} = -1,5 \text{ V}$ | | 2N 3585 | | | 1 | |
| | $V_{CE} = 300 \text{ V}$ $V_{BE} = -1,5 \text{ V}$ $T_{case} = 150^\circ C$ | | 2N 3584 2N 3585 | | | 3 3 | |
| | $V_{EB} = 6 \text{ V}$ $I_C = 0$ | I_{EBO} | 2N 3583 2N 3584 2N 3585 | | | 5 0,5 0,5 | mA |
| Emitter-base cut-off current <i>Courant résiduel émetteur-base</i> | | | | | | | |
| Collector-emitter breakdown voltage <i>Tension de claquage collecteur-émetteur</i> | $I_C = 200 \text{ mA}$ $I_B = 0$ $L = 20 \text{ mH}$ | V_{CEOsus} | 2N 3583 2N 3584 2N 3585 | 175 250 300 | | | V |
| Static forward current transfer ratio <i>Valeur statique du rapport de transfert direct du courant</i> | $V_{CE} = 10 \text{ V}$ $I_C = 0,75 \text{ A}$ | | 2N 3583 | 40 | | 200 | |
| | $V_{CE} = 10 \text{ V}$ $I_C = 1 \text{ A}$ | | | 10 | | | |
| | $V_{CE} = 2 \text{ V}$ $I_C = 1 \text{ A}$ | h_{21E}^* | 2N 3584 2N 3585 | 8 | | 80 | |
| | $V_{CE} = 10 \text{ V}$ $I_C = 1 \text{ A}$ | | 2N 3584 2N 3585 | 25 | | 100 | |
| | $V_{CE} = 10 \text{ V}$ $I_C = 0,1 \text{ A}$ | | All types <i>Tous types</i> | 40 | | | |

* Pulsed
Impulsions $t_p = 300 \mu\text{s}$ $\delta \leq 2\%$

STATIC CHARACTERISTICS
CARACTÉRISTIQUES STATIQUES

T_{case} 25 °C(Unless otherwise stated)
(Sauf indications contraires)

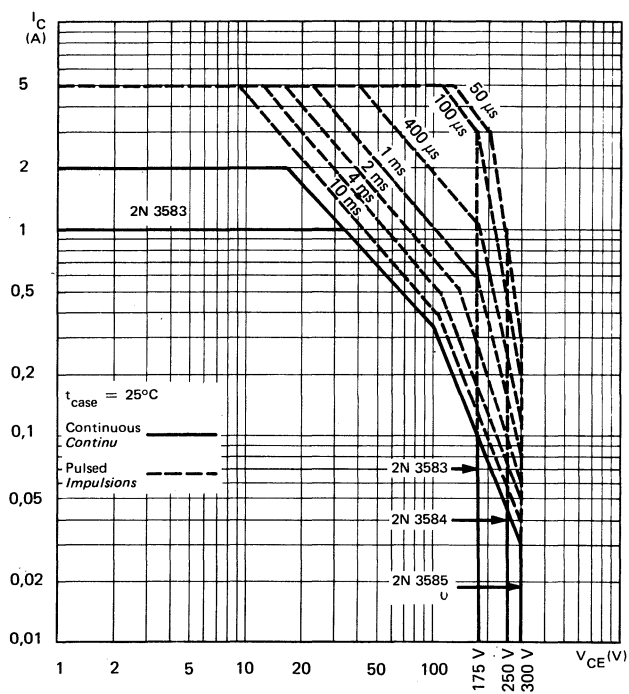
| | Test conditions Conditions de mesure | | | min | typ | max | |
|--|---|----------------------|--------------------------------|------|-----|------|---|
| Collector-emitter saturation voltage <i>Tension de saturation collecteur-émetteur</i> | I _C = 1 A | V _{CEsat} * | 2N 3583 2N 3584 2N 3585 | | | 5 | V |
| | I _B = 0,125 A | | | | | 0,75 | |
| Base-emitter saturation voltage <i>Tension de saturation base-émetteur</i> | I _C = 1 A | V _{BEsat} * | 2N 3583 2N 3584 2N 3585 | | | 1,4 | V |
| | I _B = 0,1 A | | | | | | |
| Second breakdown collector current | V _{CE} = 100 V | I _{S/B} | All types <i>Tous types</i> | 0,35 | | | A |
| <i>Courant collecteur de second claquage</i> | t = 1 s | | | | | | |

DYNAMIC CHARACTERISTICS (for small signals)**CARACTÉRISTIQUES DYNAMIQUES (pour petits signaux)**

| | | | | | | | |
|---|--------------------------|----------------|-------------------------------|----|--|---|-----|
| Transition frequency <i>Fréquence de transition</i> | V _{CE} = 10 V | f _T | 2N 3583 2N 3584 2N 3585 | 10 | | | MHz |
| | I _C = 0,2 A | | | | | | |
| Rise time <i>Temps de montée</i> | I _C = 1 A | t _r | 2N 3584 2N 3585 | | | 3 | μs |
| | I _B = 0,1 A | | | | | | |
| Fall time <i>Temps de décroissance</i> | I _C = 1 A | t _f | 2N 3584 2N 3585 | | | 3 | μs |
| | I _B = ± 0,1 A | | | | | | |
| Carrier storage time <i>Retard à la décroissance</i> | I _C = 1 A | t _s | 2N 3584 2N 3585 | | | 4 | μs |
| | I _B = ± 0,1 A | | | | | | |

* Pulsed
Impulsions t_p = 300 μs δ ≤ 2 %

SAFE OPERATING AREA
Aire de fonctionnement de sécurité



LF large signal power amplification

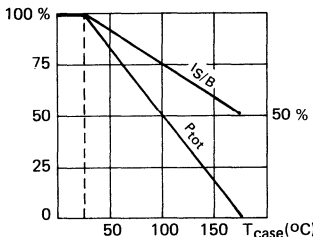
Amplification BF grands signaux de puissance

High voltage switching

Commutation haute tension

Dissipation and I_S/B derating

Variation de dissipation et de I_S/B



V_{CCEO} 225 V

I_C 3 A

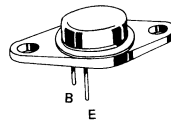
P_{tot} 20 W

R_{th(j-c)} 7,5 °C/W max

h_{21E} (0,1 A) 40 - 200

f_T 10 MHz min

Case TO 66 (CB 72)
Botier



ABSOLUTE RATINGS (LIMITING VALUES)
VALEURS LIMITES ABSOLUES D'UTILISATION

| | | | |
|---|------------------------------------|-------------------|----|
| Collector-base voltage <i>Tension collecteur-base</i> | V _{CBO} | 250 | V |
| Collector-emitter voltage <i>Tension collecteur-émetteur</i> | V _{CCEO} | 225 | V |
| Collector-emitter voltage <i>Tension collecteur-émetteur</i> | V _{CEX} | 250 | V |
| Emitter-base voltage <i>Tension émetteur-base</i> | V _{EBO} | 6 | V |
| Collector current <i>Courant collecteur</i> | I _C | 3 | A |
| Base current <i>Courant base</i> | I _B | 1 | A |
| Power dissipation <i>Dissipation de puissance</i> | P _{tot} | 20 | W |
| Storage and junction temperature <i>Température de jonction et de stockage</i> | t _j T _{stg} | 175 - 65 + 175 | °C |

Junction-case thermal resistance
Résistance thermique jonction boîtier

max

R_{th(j-c)}

7,5

°C/W

STATIC CHARACTERISTICS
CARACTÉRISTIQUES STATIQUES

 $T_{case} = 25^\circ C$

(Unless otherwise stated)

(Sauf indications contraires)

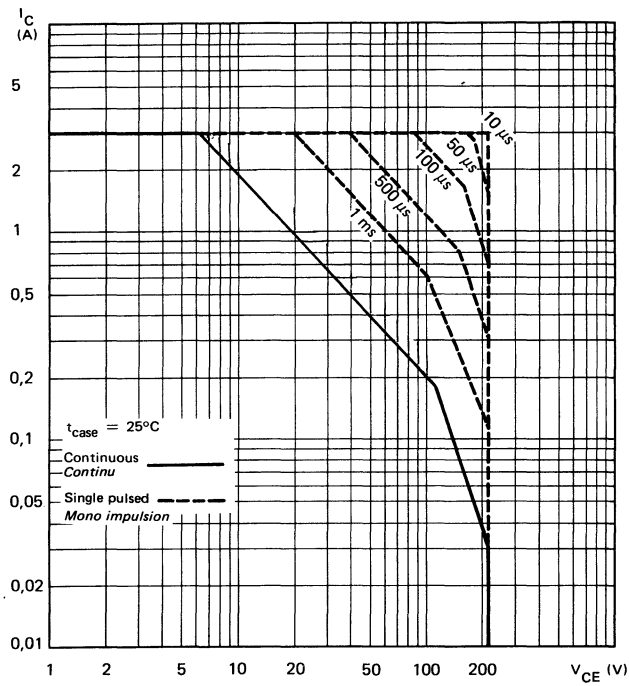
| | Test conditions Conditions de mesure | | min | typ | max | |
|---|---|-----------------|-----|-----|------|----|
| Collector-emitter cut-off current <i>Courant résiduel collecteur-émetteur</i> | $V_{CE} = 125 V$ $I_B = 0$ | I_{CEO} | | | 0,25 | mA |
| Collector-emitter cut-off current <i>Courant résiduel collecteur-émetteur</i> | $V_{CE} = 250 V$ $V_{BE} = -1,5 V$ | I_{CEX} | | | 0,5 | mA |
| | $V_{CE} = 125 V$ $V_{BE} = -1,5 V$ $T_{case} = 100^\circ C$ | | | | 1 | |
| Collector-base cut-off current <i>Courant résiduel collecteur-base</i> | $V_{CB} = 250 V$ $I_E = 0$ | I_{CBO} | | | 0,1 | mA |
| Emitter-base cut-off current <i>Courant résiduel émetteur-base</i> | $V_{EB} = 6 V$ $I_C = 0$ | I_{EBO} | | | 0,1 | mA |
| Collector-emitter breakdown voltage <i>Tension de claquage collecteur-émetteur</i> | $I_C = 5 mA$ $I_B = 0$ | $V_{(BR)CEO}^*$ | 225 | | | V |
| Static forward current transfer ratio <i>Valeur statique du rapport de transfert direct du courant</i> | $V_{CE} = 10 V$ $I_C = 0,05 A$ | h_{21E} | 30 | | | |
| | $V_{CE} = 10 V$ $I_C = 0,1 A$ | | 40 | | 200 | |
| | $V_{CE} = 10 V$ $I_C = 0,25 A$ | | 25 | | | |
| Collector-emitter saturation voltage <i>Tension de saturation collecteur-émetteur</i> | $I_C = 0,25 A$ $I_B = 0,025 A$ | V_{CEsat} | | | 2,5 | V |
| Base-emitter voltage <i>Tension base-émetteur</i> | $V_{CE} = 10 V$ $I_C = 0,1 A$ | V_{BE} | | | 1 | V |

DYNAMIC CHARACTERISTICS (for small signals)**CARACTÉRISTIQUES DYNAMIQUES (pour petits signaux)**

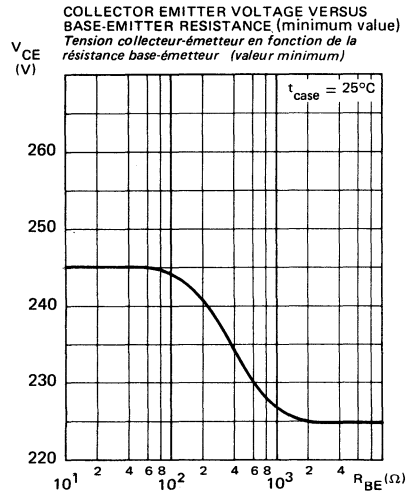
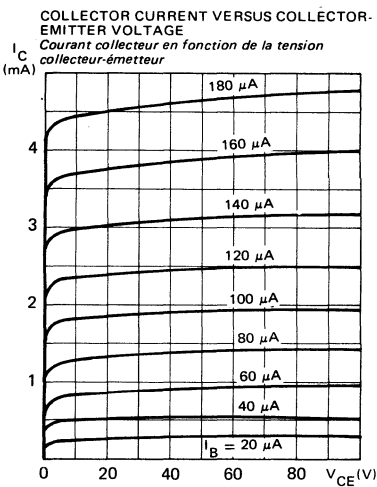
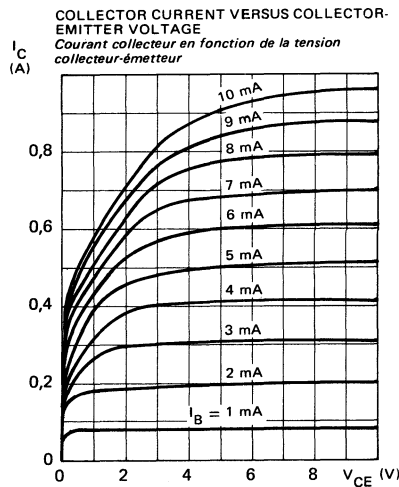
| | | | | | | |
|---|--|-----------|----|--|----|-----|
| Forward current transfer ratio <i>Rapport de transfert direct du courant</i> | $V_{CE} = 20 V$ $I_C = 100 mA$ $f = 1 \text{ KHz}$ | h_{21e} | 35 | | | |
| Transition frequency <i>Fréquence de transition</i> | $V_{CE} = 10 V$ $I_C = 0,1 A$ $f = 10 \text{ MHz}$ | f_T | 10 | | | MHz |
| Output capacitance <i>Capacité de sortie</i> | $V_{CB} = 100 V$ $f = 1 \text{ MHz}$ | C_{22b} | | | 20 | pF |

* Pulsed
Impulsions $t_p = 300 \mu s$ $\delta \leq 2\%$

SAFE OPERATING AREA
Aire de fonctionnement de sécurité

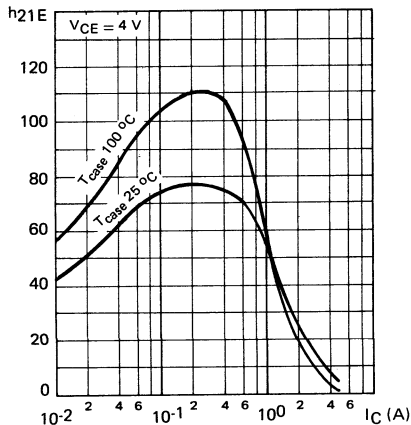


TYPICAL CHARACTERISTICS
CARACTÉRISTIQUES TYPIQUES

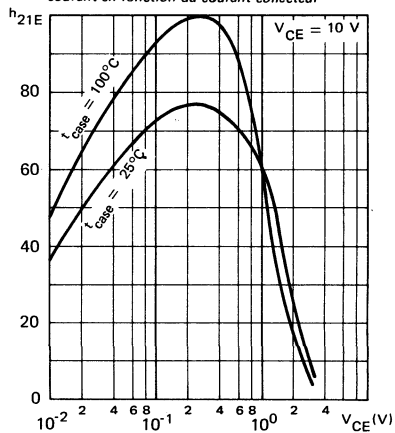


TYPICAL CHARACTERISTICS
CARACTÉRISTIQUES TYPIQUES

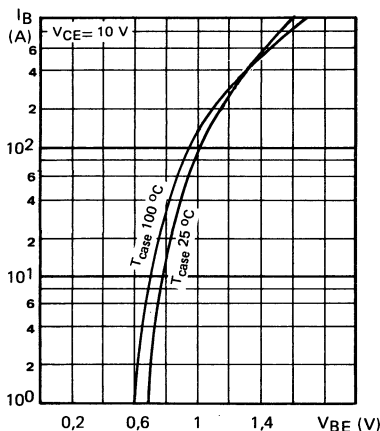
STATIC FORWARD CURRENT TRANSFER RATIO VERSUS COLLECTOR CURRENT
Valeur statique du rapport de transfert direct du courant en fonction du courant collecteur



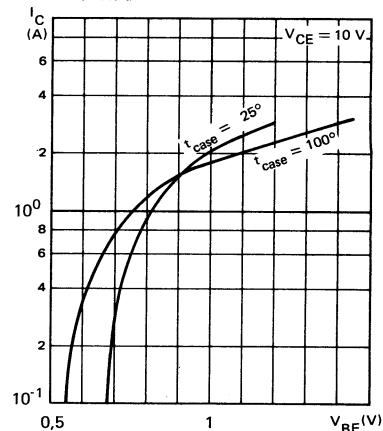
STATIC FORWARD CURRENT TRANSFER RATIO VERSUS COLLECTOR CURRENT
Valeur statique du rapport de transfert direct du courant en fonction du courant collecteur



BASE CURRENT VERSUS BASE-EMITTER VOLTAGE
Courant base en fonction de la tension base-émetteur

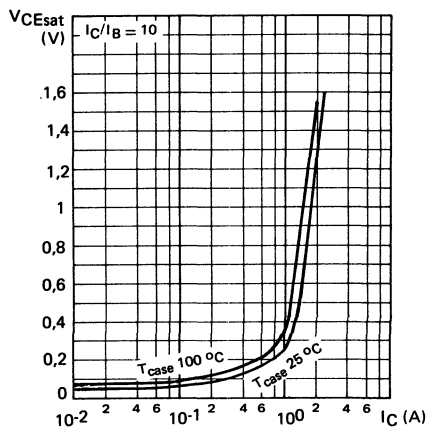


COLLECTOR CURRENT VERSUS BASE-EMITTER VOLTAGE
Courant collecteur en fonction de la tension base-émetteur

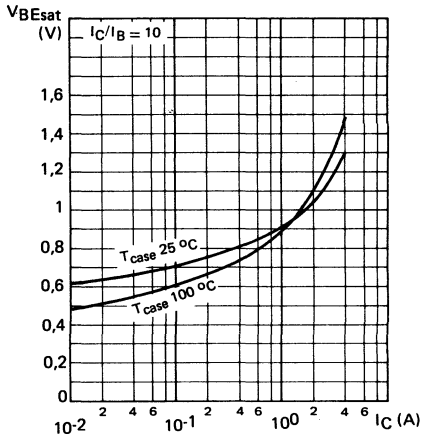


TYPICAL CHARACTERISTICS
CARACTÉRISTIQUES TYPIQUES

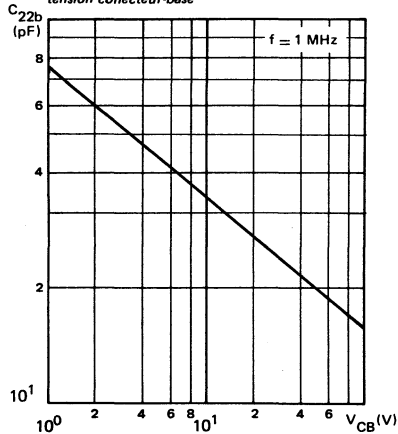
COLLECTOR-EMITTER SATURATION VOLTAGE
VERSUS COLLECTOR CURRENT
Tension de saturation collecteur-émetteur en fonction du courant collecteur



BASE-EMITTER SATURATION VOLTAGE
VERSUS COLLECTOR CURRENT
Tension de saturation base-émetteur en fonction du courant collecteur



OUTPUT CAPACITANCE VERSUS
COLLECTOR-BASE VOLTAGE
Capacité de sortie en fonction de la tension collecteur-base

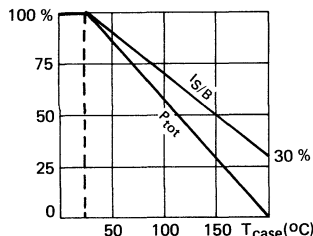


LF large signal power amplification
Amplification BF grands signaux de puissance

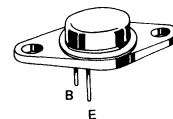
Medium current switching
Commutation courant moyen

| | | |
|--------------------|---|---------|
| V_{CEO} | $\left\{ \begin{array}{l} -60 \text{ V} \\ -80 \text{ V} \end{array} \right.$ | 2N 3740 |
| I_C | -4 A | 2N 3741 |
| P_{tot} | 25 W | |
| $R_{th(j-c)}$ | 7 °C/W | max |
| h_{21E} (0,25 A) | 30 - 100 | |
| f_T | 4 MHz | min |

Dissipation and I_S/B derating
Variation de dissipation et de I_S/B



Case
Boîtier TO 66 (CB 72)



ABSOLUTE RATINGS (LIMITING VALUES)
VALEURS LIMITES ABSOLUES D'UTILISATION

| | | 2N 3740 | 2N 3741 | |
|---|-----------------------------|-----------|------------------|------------------|
| Collector-base voltage <i>Tension collecteur-base</i> | V_{CBO} | -60 | -80 | V |
| Collector-emitter voltage <i>Tension collecteur-émetteur</i> | V_{CEO} | -60 | -80 | V |
| Emitter-base voltage <i>Tension émetteur-base</i> | V_{EBO} | -7 | -7 | V |
| Collector current <i>Courant collecteur</i> | I_C $t_p 5 \text{ ms}$ | -4 -7 | -4 -7 | A |
| Base current <i>Courant base</i> | I_B | -2 | -2 | A |
| Power dissipation <i>Dissipation de puissance</i> | $T_{case} 25 \text{ °C}$ | P_{tot} | 25 | W |
| Storage and junction temperature <i>Température de jonction et de stockage</i> | max | T_{stg} | 200 -65 + 200 | 200 -65 + 200 |
| | | | | °C |

| Junction-case thermal resistance <i>Résistance thermique jonction boîtier</i> | max | $R_{th(j-c)}$ | 7 | 7 | °C/W |
|--|-----|---------------|---|---|------|
| | | | | | |

STATIC CHARACTERISTICS
CARACTÉRISTIQUES STATIQUES

T_{case} 25 °C

(Unless otherwise stated)
(Sauf indications contraires)

| | Test conditions Conditions de mesure | | | min | typ | max | |
|---|---|----------------------|--------------------|--------------|-----|-------|----|
| Collector-emitter cut-off current <i>Courant résiduel collecteur-émetteur</i> | V _{CE} = - 40 V I _B = 0 | I _{CEO} | 2N 3740 | | | - 1 | mA |
| | V _{CE} = - 60 V I _B = 0 | | 2N 3741 | | | - 1 | |
| Collector-emitter cut-off current <i>Courant résiduel collecteur-émetteur</i> | V _{CE} = - 60 V V _{BE} = + 1,5 V | I _{CEx} | 2N 3740 | | | - 0,1 | mA |
| | V _{CE} = - 40 V V _{BE} = + 1,5 V T _{case} = 150 °C | | | | | - 1 | |
| | V _{CE} = - 80 V V _{BE} = + 1,5 V | | 2N 3741 | | | - 0,1 | |
| | V _{CE} = - 60 V V _{BE} = + 1,5 V T _{case} = 150 °C | | | | | - 1 | |
| | V _{CB} = - 60 V I _E = 0 | I _{CBO} | 2N 3740 | | | - 0,1 | mA |
| Collector-base cut-off current <i>Courant résiduel collecteur-base</i> | V _{CB} = - 80 V I _E = 0 | | 2N 3741 | | | - 0,1 | |
| Emitter-base cut-off current <i>Courant résiduel émetteur-base</i> | V _{EB} = - 7 V I _C = 0 | I _{EBO} | | | | - 0,5 | mA |
| Collector-emitter breakdown voltage <i>Tension de claquage collecteur-émetteur</i> | I _C = 100 mA I _B = 0 | V(BR)CEO* | 2N 3740 2N 3741 | - 60 - 80 | | | V |
| Static forward current transfer ratio <i>Valeur statique du rapport de transfert direct du courant</i> | V _{CE} = - 1 V I _C = - 0,1 A | h21E* | | | 40 | | |
| | V _{CE} = - 1 V I _C = - 0,25 A | | | | 30 | 100 | |
| | V _{CE} = - 1 V I _C = - 0,5 A | | | | 20 | | |
| | V _{CE} = - 1 V I _C = - 1 A | | | | 10 | | |
| Collector-emitter saturation voltage <i>Tension de saturation collecteur-émetteur</i> | I _C = - 1 A I _B = - 0,125 A | V _{CESat} * | | | | - 0,6 | V |
| Base-emitter voltage <i>Tension base-émetteur</i> | V _{CE} = - 1 V I _C = - 0,25 A | V _{BE} * | | | | - 1 | V |

* Pulsed
Impulsions t_p = 300 μs δ ≤ 2 %

DYNAMIC CHARACTERISTICS (for small signals)

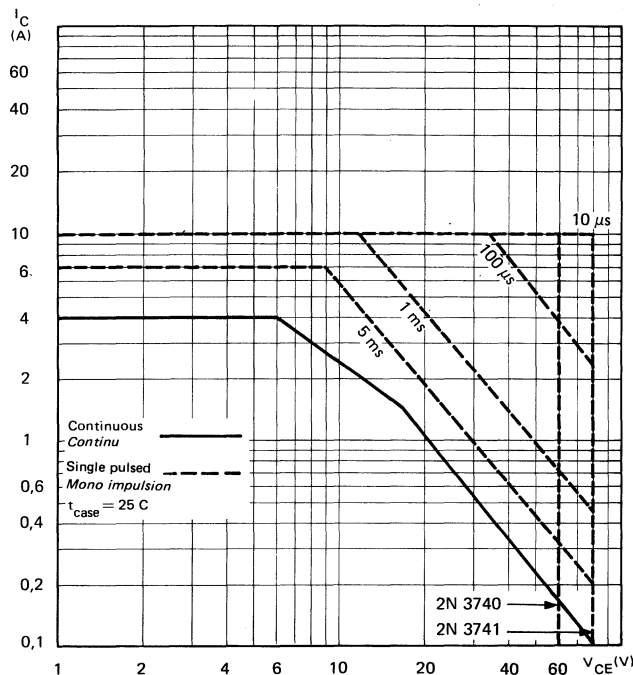
CARACTÉRISTIQUES DYNAMIQUES (pour petits signaux)

 $T_{case} = 25^\circ C$

(Unless otherwise stated)

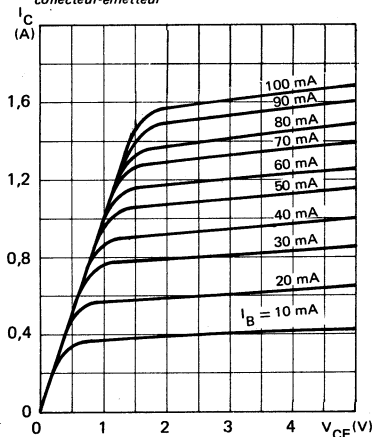
(Sauf indications contraires)

| | Test conditions Conditions de mesure | | | min | typ | max | |
|---|---|-----------|--|-----|-----|-----|-----|
| Transition frequency Fréquence de transition | $V_{CE} = -10 V$ $I_C = -0,1 A$ $f = 1 MHz$ | f_T | | 4 | | | MHz |
| Output capacitance Capacité de sortie | $V_{CB} = -10 V$ $f = 1 MHz$ | C_{22b} | | | | 100 | pF |

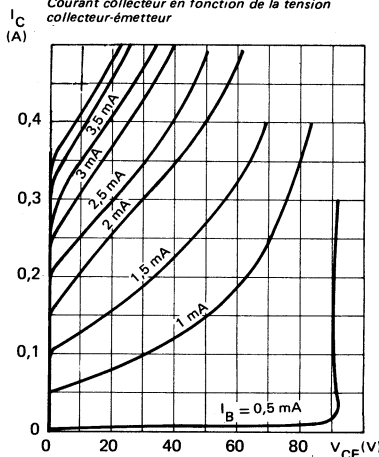
SAFE OPERATING AREA
Aire de fonctionnement de sécurité

TYPICAL CHARACTERISTICS
CARACTÉRISTIQUES TYPHIQUES

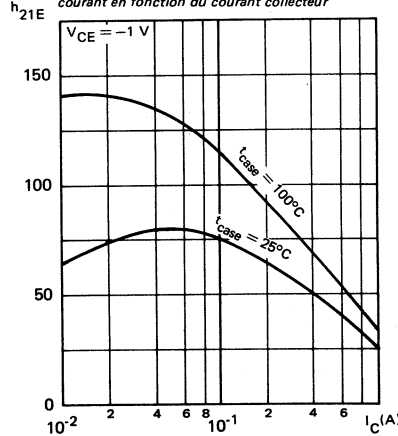
COLLECTOR CURRENT VERSUS COLLECTOR-
EMITTER VOLTAGE
*Courant collecteur en fonction de la tension
collecteur-émetteur*



COLLECTOR CURRENT VERSUS COLLECTOR-
EMITTER VOLTAGE
*Courant collecteur en fonction de la tension
collecteur-émetteur*

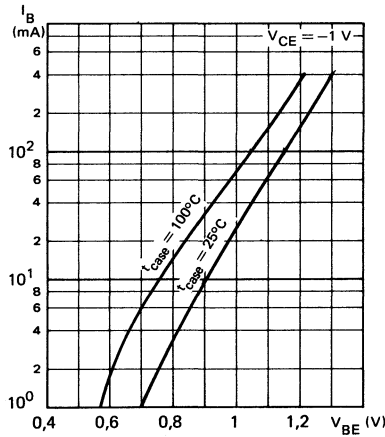


STATIC FORWARD CURRENT TRANSFER
RATIO VERSUS COLLECTOR CURRENT
*Valeur statique du rapport de transfert direct du
courant en fonction du courant collecteur*

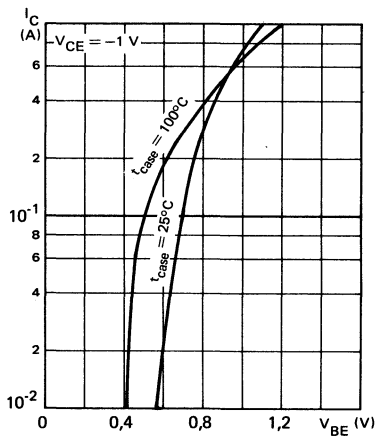


TYPICAL CHARACTERISTICS
CARACTÉRISTIQUES TYPHIQUES

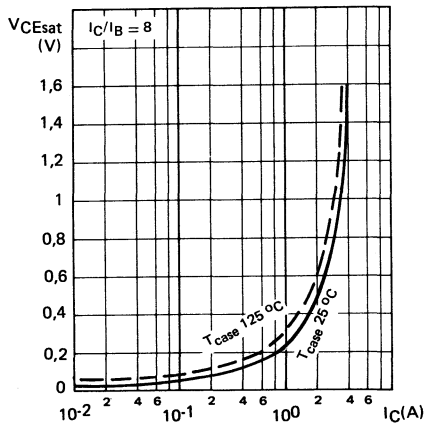
BASE CURRENT VERSUS BASE-EMITTER VOLTAGE
Courant base en fonction de la tension base-émetteur



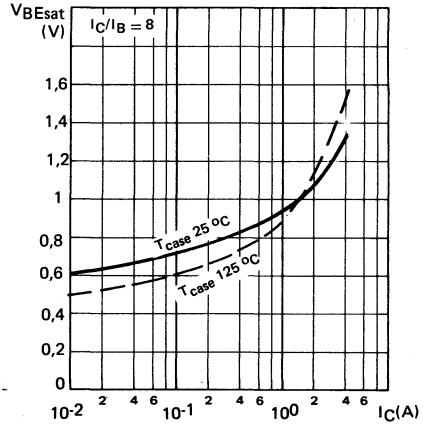
COLLECTOR CURRENT VERSUS BASE-EMITTER VOLTAGE
Courant collecteur en fonction de la tension base-émetteur



COLLECTOR-EMITTER SATURATION VOLTAGE VERSUS COLLECTOR CURRENT
Tension de saturation collecteur-émetteur en fonction du courant collecteur

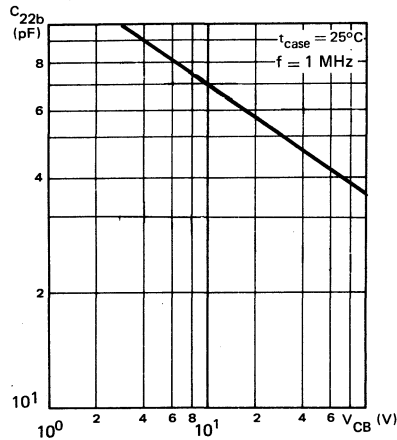


BASE-EMITTER SATURATION VOLTAGE VERSUS COLLECTOR CURRENT
Tension de saturation base-émetteur en fonction du courant collecteur

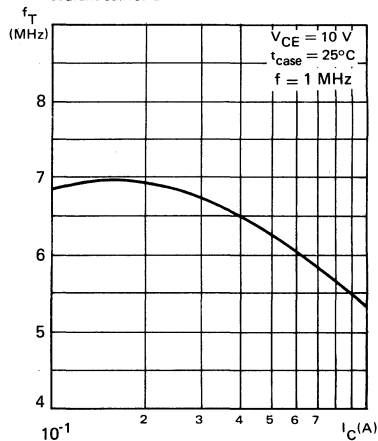


TYPICAL CHARACTERISTICS
CARACTÉRISTIQUES TYPHIQUES

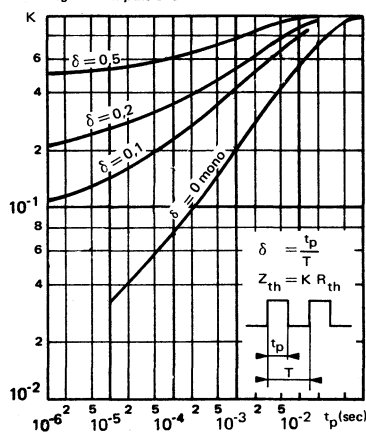
OUTPUT CAPACITANCE VERSUS
COLLECTOR-BASE VOLTAGE
*Capacité de sortie en fonction de la
tension collecteur-base*



TRANSITION FREQUENCY VERSUS
COLLECTOR CURRENT
*Fréquence de transition en fonction du
courant collecteur*



TRANSIENT THERMAL RESISTANCE DERATING
FACTOR UNDER PULSES CONDITIONS
*Facteur de réduction de la résistance thermique en
régime d'impulsions*

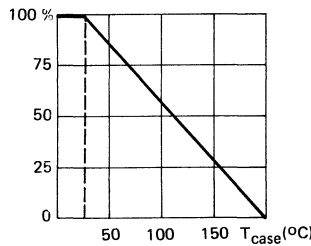


LF large signal power amplification
Amplification BF grands signaux de puissance

High current switching
Commutation fort courant

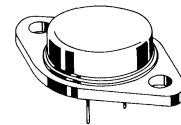
Thermal fatigue inspection
Contrôle en fatigue thermique

Dissipation derating
Variation de dissipation



| | 2N 3771 | 2N 3772 |
|------------------------|----------------|----------------|
| V_{CBO} | 40 V | 60 V |
| I_C | 20 A | 30 A |
| P_{tot} | 150 W | 150 W |
| h_{21E} | (15 A) | (10 A) |
| | 15-60 | 15-60 |
| f_T | min 0,8 MHz | |

Case
Boîtier **TO 3**



ABSOLUTE RATINGS (LIMITING VALUES)
VALEURS LIMITES ABSOLUES D'UTILISATION

| | | 2N 3771 | 2N 3772 | |
|---|---------------------------|------------------|----------------|----|
| Collector-base voltage <i>Tension collecteur-base</i> | V _{CBO} | 50 | 100 | V |
| Collector-emitter voltage <i>Tension collecteur-émetteur</i> | V _{CEO} | 40 | 60 | V |
| Collector-emitter voltage <i>Tension collecteur-émetteur</i> | R _{BE} 100 Ω | V _{CER} | 45 | V |
| Collector-emitter voltage <i>Tension collecteur-émetteur</i> | V _{BE} = - 1,5 V | V _{CEx} | 50 | V |
| Emitter-base voltage <i>Tension émetteur-base</i> | V _{EBO} | 5 | 7 | V |
| Collector current <i>Courant collecteur</i> | I _C | 30 | 20 | A |
| Collector current <i>Courant collecteur</i> | t _p ≤ 5 ms | I _{CM} | 30 | A |
| Base current <i>Courant base</i> | I _B | 7,5 | 5 | A |
| Power dissipation <i>Dissipation de puissance</i> | T _{case} 25 °C | P _{tot} | 150 | W |
| Junction temperature <i>Température de jonction</i> | t _j | - 65 + 200 | - 65 + 200 | °C |

Junction-case thermal resistance
Résistance thermique jonction boîtier ^{max}

R_{th(j-c)}

1,17

1,17

°C/W

STATIC CHARACTERISTICS
CARACTÉRISTIQUES STATIQUES

 $T_{case} = 25^\circ C$ (Unless otherwise stated)
(Sauf indications contraires)

| | Test conditions <i>Conditions de mesure</i> | | | min | typ | max | |
|---|--|--------------|---------|-----|-----|-----|----|
| Collector-emitter cut-off current <i>Courant résiduel collecteur-émetteur</i> | $V_{CE} = 30 V$ $I_B = 0$ | I_{CEO} | 2N 3771 | | | 10 | mA |
| | $V_{CE} = 50 V$ $I_B = 0$ | | 2N 3772 | | | 10 | |
| Collector-emitter cut-off current <i>Courant résiduel collecteur-émetteur</i> | $V_{CE} = 50 V$ $V_{BE} = -1,5 V$ | I_{CEX} | 2N 3771 | | | 2 | mA |
| | $V_{CE} = 30 V$ $V_{BE} = -1,5 V$ $T_{case} = 150^\circ C$ | | 2N 3771 | | | 10 | |
| | $V_{CE} = 100 V$ $V_{BE} = -1,5 V$ | | 2N 3772 | | | 5 | |
| | $V_{CE} = 30 V$ $V_{BE} = -1,5 V$ $T_{case} = 150^\circ C$ | | 2N 3772 | | | 10 | |
| Collector-base cut-off current <i>Courant résiduel collecteur-base</i> | $V_{CB} = 50 V$ $I_E = 0$ | I_{CBO} | 2N 3771 | | | 2 | mA |
| | $V_{CB} = 30 V$ $I_E = 0$ $T_{case} = 150^\circ C$ | | 2N 3771 | | | 10 | |
| | $V_{CB} = 100 V$ $I_E = 0$ | | 2N 3772 | | | 5 | |
| | $V_{CB} = 30 V$ $I_E = 0$ $T_{case} = 150^\circ C$ | | 2N 3772 | | | 10 | |
| Emitter-base cut-off current <i>Courant résiduel émetteur-base</i> | $V_{EB} = 5 V$ $I_C = 0$ | I_{EBO} | 2N 3771 | | | 5 | mA |
| | $V_{EB} = 7 V$ $I_C = 0$ | | 2N 3772 | | | 5 | |
| Collector-emitter breakdown voltage <i>Tension de claquage collecteur-émetteur</i> | $I_C = 200 mA$ $I_B = 0$ | $V(BR)CEO^*$ | 2N 3771 | 40 | | | V |
| | | | 2N 3772 | 60 | | | |
| Collector-emitter breakdown voltage <i>Tension de claquage collecteur-émetteur</i> | $I_C = 200 mA$ $R_{BE} = 100 \Omega$ | $V(BR)CER^*$ | 2N 3771 | 45 | | | V |
| | | | 2N 3772 | 70 | | | |
| Collector-emitter breakdown voltage <i>Tension de claquage collecteur-émetteur</i> | $I_C = 200 mA$ $V_{BE} = -1,5 V$ | $V(BR)CEX^*$ | 2N 3771 | 50 | | | V |
| | | | 2N 3772 | 80 | | | |

* Pulsed
Impulsions $t_p = 300 \mu s$ $\delta \leq 2\%$

STATIC CHARACTERISTICS
CARACTÉRISTIQUES STATIQUES

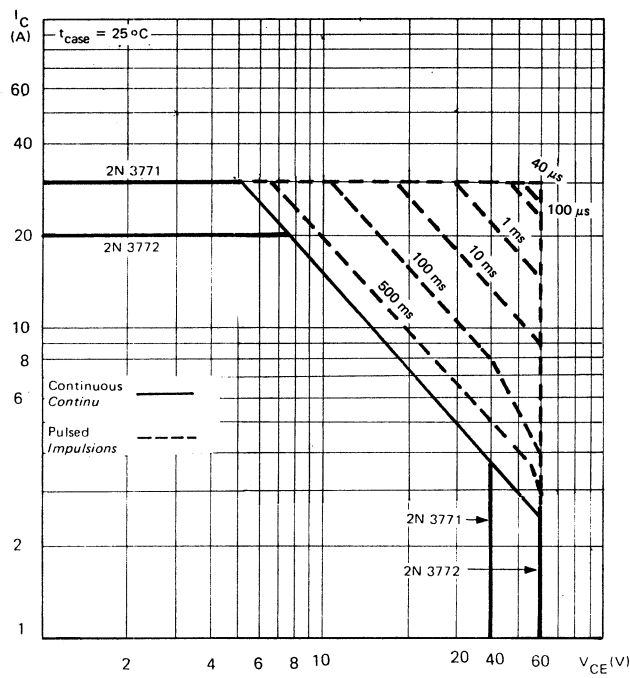
 $T_{case} 25^\circ C$ (Unless otherwise stated)
(Sauf indications contraires)

| | Test conditions <i>Conditions de mesure</i> | | min | typ | max | |
|---|--|---------|---------|------|-----|-----|
| Static forward current transfer ratio <i>Valeur statique du rapport de transfert direct du courant</i> | $V_{CE} = 4 V$ $I_C = 15 A$ | h21E* | 2N 3771 | 15 | | 60 |
| | $V_{CE} = 4 V$ $I_C = 30 A$ | | 2N 3771 | 5 | | |
| | $V_{CE} = 4 V$ $I_C = 10 A$ | | 2N 3772 | 15 | | 60 |
| Collector-emitter saturation voltage <i>Tension de saturation collecteur-émetteur</i> | $I_C = 15 A$ $I_B = 1,5 A$ | VCEsat* | 2N 3771 | | | 2 |
| | $I_C = 30 A$ $I_B = 6 A$ | | 2N 3771 | | | 4 |
| | $I_C = 10 A$ $I_B = 1 A$ | | 2N 3772 | | | 1,4 |
| Base-emitter voltage <i>Tension base-émetteur</i> | $V_{CE} = 4 V$ $I_C = 15 A$ | VBE* | 2N 3771 | | | 2,7 |
| | $V_{CE} = 4 V$ $I_C = 10 A$ | | 2N 3772 | | | 2,2 |
| Second breakdown collector current <i>Courant collecteur de second claquage</i> | $V_{CE} = 40 V$ $t = 1 s$ | IS/B | 2N 3771 | 3,75 | | |
| | $V_{CE} = 60 V$ $t = 1 s$ | | 2N 3772 | 1,4 | | |

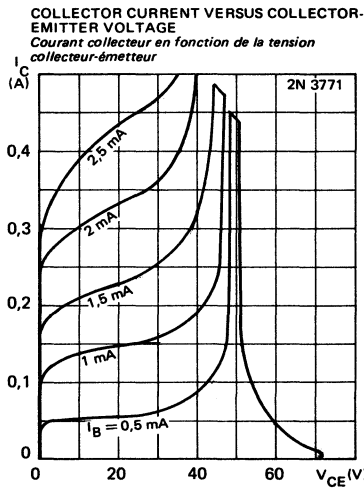
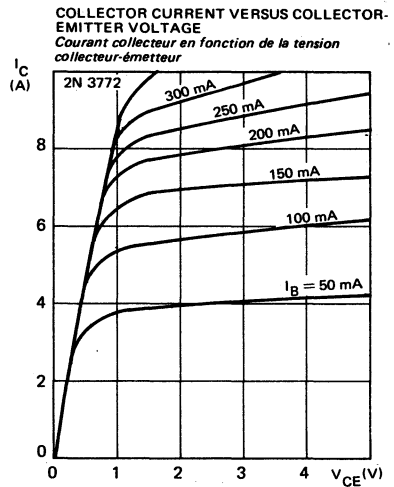
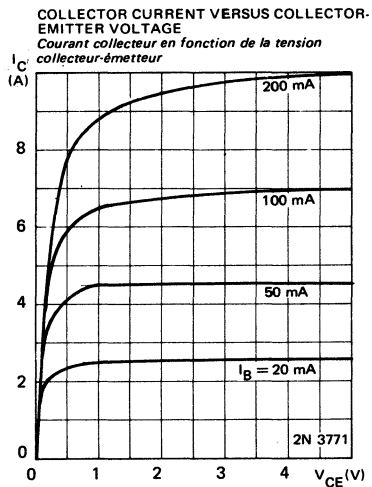
DYNAMIC CHARACTERISTICS (for small signals)**CARACTÉRISTIQUES DYNAMIQUES (pour petits signaux)**

| | | | | | | |
|--|-------------------------------|-------|--|-----|--|-----|
| Transition frequency <i>Fréquence de transition</i> | $V_{CE} = 4 V$ $I_C = 1 A$ | f_T | | 0,8 | | MHz |
|--|-------------------------------|-------|--|-----|--|-----|

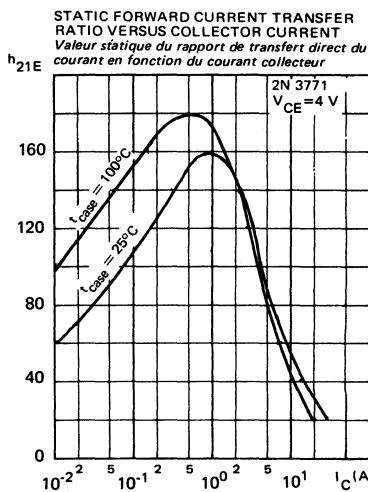
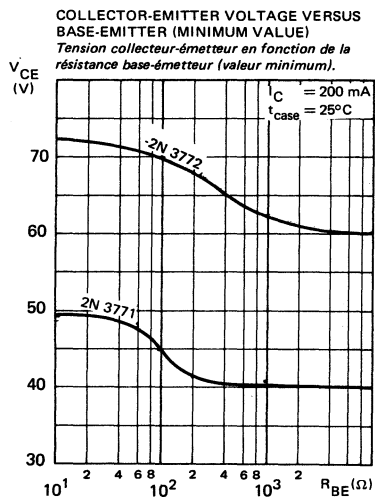
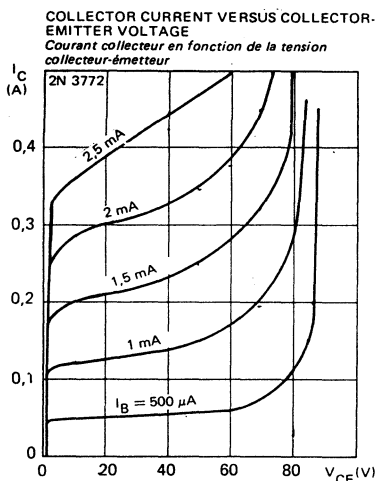
SAFE OPERATING AREA
Aire de fonctionnement de sécurité



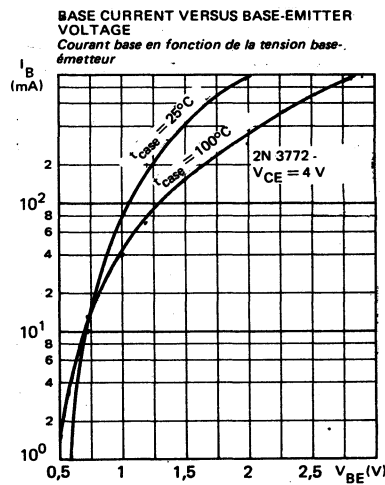
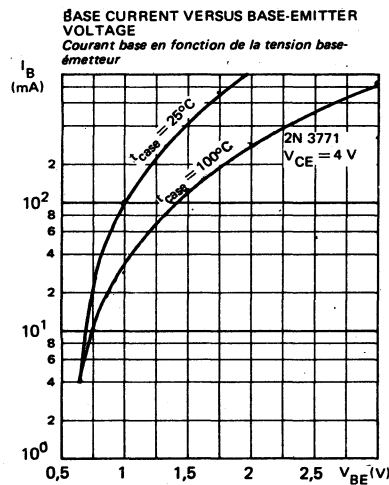
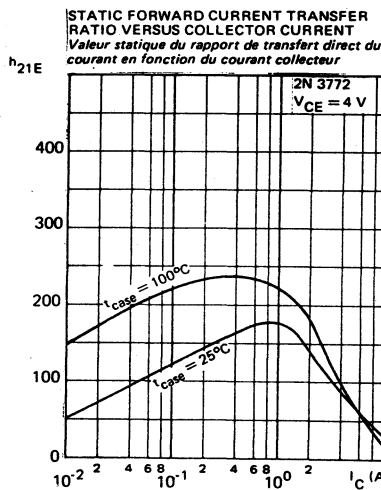
TYPICAL CHARACTERISTICS
CARACTÉRISTIQUES TYPHIQUES



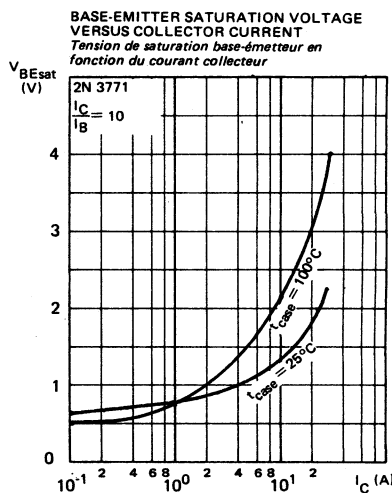
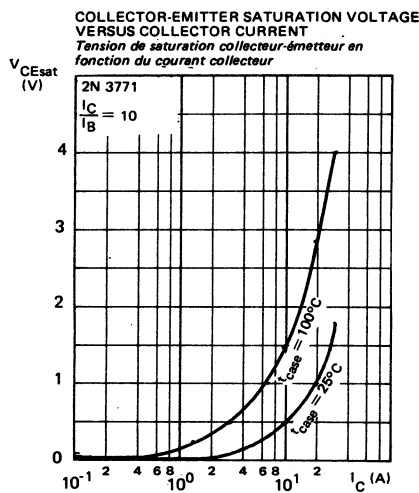
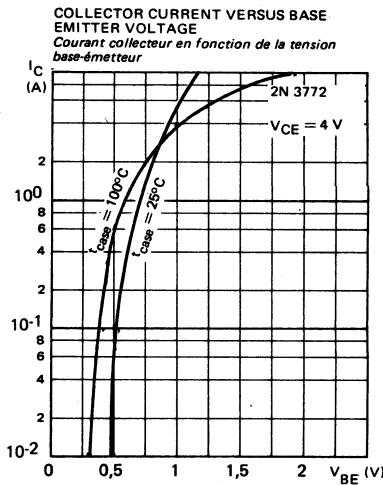
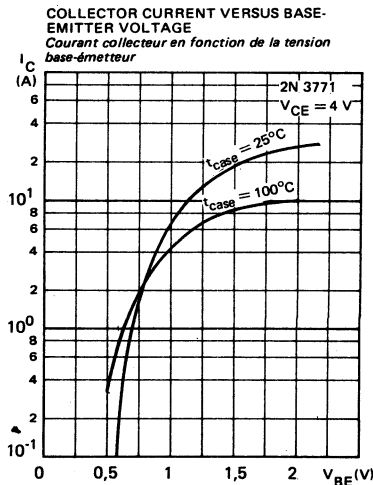
TYPICAL CHARACTERISTICS
CARACTÉRISTIQUES TYPIQUES



TYPICAL CHARACTERISTICS
CARACTÉRISTIQUES TYPIQUES

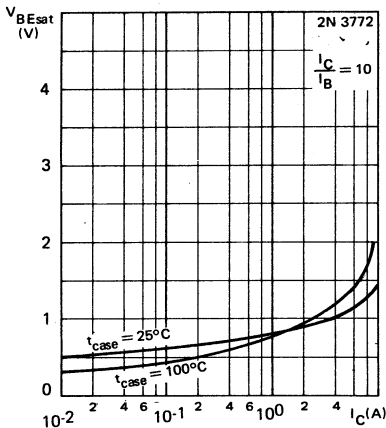


TYPICAL CHARACTERISTICS CARACTÉRISTIQUES TYPHIQUES

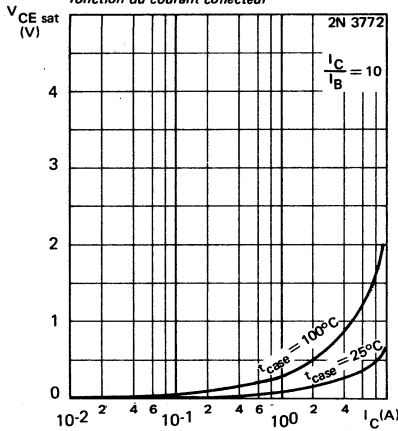


TYPICAL CHARACTERISTICS CARACTÉRISTIQUES TYPIQUES

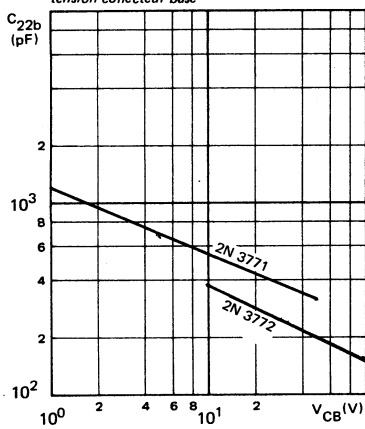
BASE-EMITTER SATURATION VOLTAGE
VERSUS COLLECTOR CURRENT
*Tension de saturation base-émetteur en
fonction du courant collecteur*



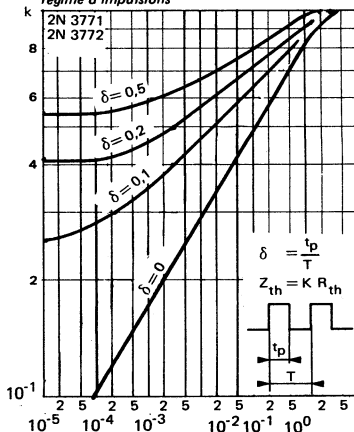
COLLECTOR-EMITTER SATURATION VOLTAGE
VERSUS COLLECTOR CURRENT
*Tension de saturation collecteur-émetteur en
fonction du courant collecteur*

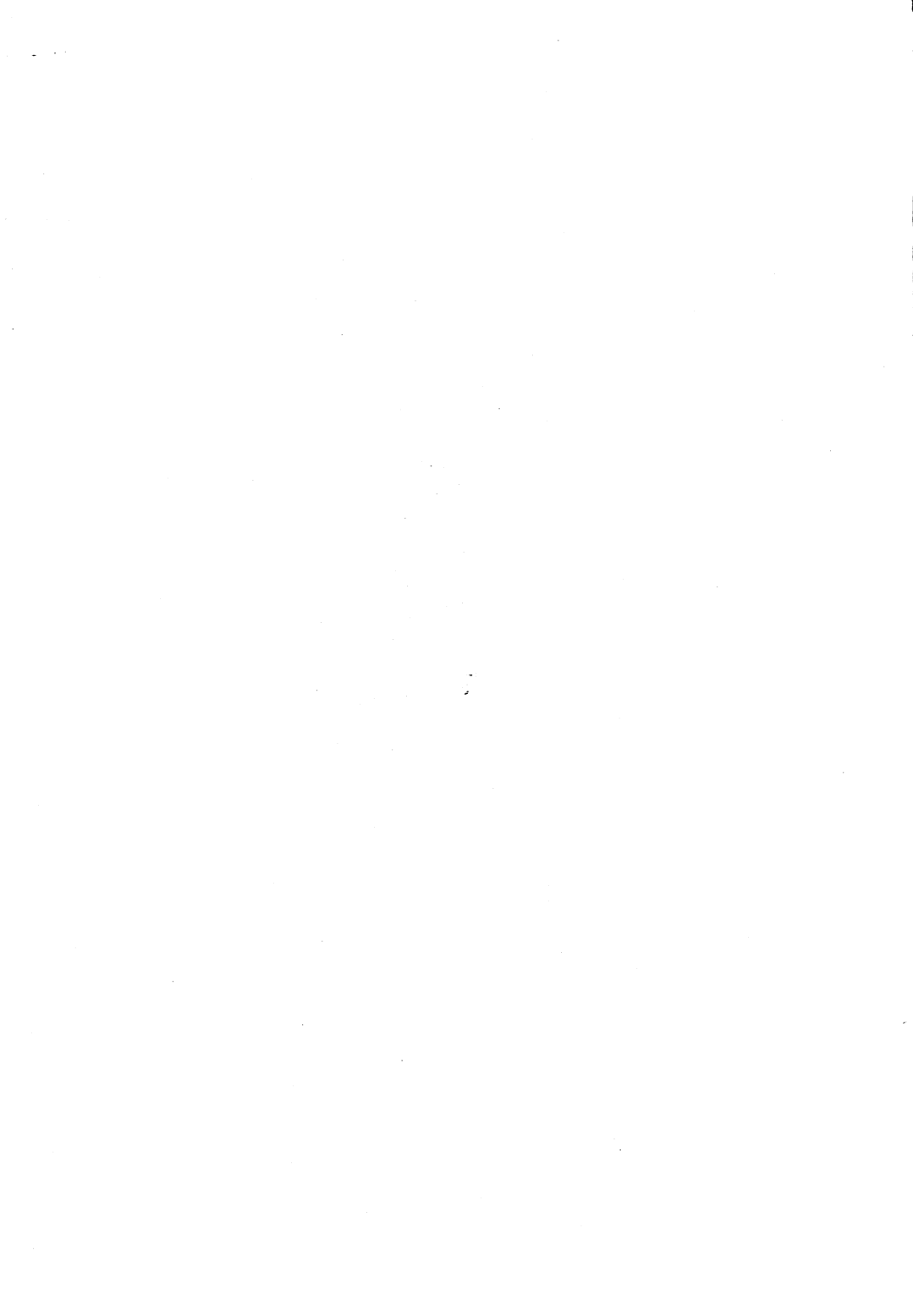


OUTPUT CAPACITANCE VERSUS
COLLECTOR-BASE VOLTAGE
*Capacité de sortie en fonction de la
tension collecteur-base*



TRANSIENT THERMAL RESISTANCE DERATING
FACTOR UNDER PULSES CONDITIONS
*Facteur de réduction de la résistance thermique en
régime d'impulsions*



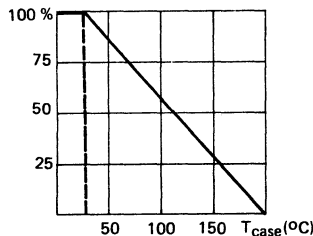


LF large signal power amplification
Amplification BF grands signaux de puissance

High current switching
Commutation fort courant

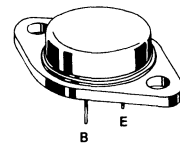
Thermal fatigue inspection
Contrôle en fatigue thermique

Dissipation derating
Variation de dissipation



| | |
|----------------------|-----------|
| V _{CEO} | 140 V |
| I _C | 16 A |
| P _{tot} | 150 W |
| R _{th(j-c)} | 1,17 °C/W |
| f _T min | 0,8 MHz |

Case
Boîtier TO 3



ABSOLUTE RATINGS (LIMITING VALUES)
VALEURS LIMITES ABSOLUES D'UTILISATION

| | | | |
|---|-----------------------------------|------------|----|
| Collector-base voltage <i>Tension collecteur-base</i> | V _{CBO} | 160 | V |
| Collector-emitter voltage <i>Tension collecteur-émetteur</i> | V _{CEO} | 140 | V |
| Collector-emitter voltage <i>Tension collecteur-émetteur</i> | V _{CEx} | 160 | V |
| Emitter-base voltage <i>Tension émetteur-base</i> | V _{EBO} | 7 | V |
| Collector current <i>Courant collecteur</i> | I _C I _{CM} | 16 30 | A |
| Base current <i>Courant base</i> | I _B | 4 | A |
| Power dissipation <i>Dissipation de puissance</i> | P _{tot} | 150 | W |
| Junction temperature <i>Température de jonction</i> | t _j | - 65 + 200 | °C |

| | | | | |
|--|-----|----------------------|------|------|
| Junction-case thermal resistance <i>Résistance thermique jonction-boîtier</i> | max | R _{th(j-c)} | 1,17 | °C/W |
|--|-----|----------------------|------|------|

STATIC CHARACTERISTICS
CARACTÉRISTIQUES STATIQUES

 $T_{case} = 25^\circ C$ (Unless otherwise stated)
(Sauf indications contraires)

| | Test conditions Conditions de mesure | | | min | typ | max | |
|--|---|------------------|---------|---------|-----|-----|----|
| Collector-emitter cut-off current <i>Courant résiduel collecteur-émetteur</i> | V _{CE} = 120 V I _B = 0 | I _{CEO} | 2N 3773 | | | 10 | mA |
| | | | | | | | |
| Collector-emitter cut-off current <i>Courant résiduel collecteur-émetteur</i> | V _{CE} = 140 V V _{BE} = -1,5 V | I _{CEX} | 2N 3773 | | | 2 | mA |
| | V _{CE} = 140 V V _{BE} = -1,5 V T _{case} = 150 °C | | | 2N 3773 | | 10 | |
| | | | | | | | |
| | | | | | | | |

| | | | | | | | |
|---|--|------------------------|---------|-----|--|---|----|
| Collector-base cut-off current <i>Courant résiduel collecteur-base</i> | V _{CB} = 140 V I _E = 0 | I _{CBO} | 2N 3773 | | | 2 | mA |
| Emitter-base cut-off current <i>Courant résiduel émetteur-base</i> | V _{EB} = 7 V I _C = 0 | I _{EBO} | 2N 3773 | | | 5 | mA |
| Collector-emitter breakdown voltage <i>Tension de claquage collecteur-émetteur</i> | I _C = 200 mA I _B = 0 | V _{(BR)CEO} * | 2N 3773 | 140 | | | V |
| Collector-emitter breakdown voltage <i>Tension de claquage collecteur-émetteur</i> | I _C = 200 mA R _{BE} = 100 Ω | V _{(BR)CER} * | 2N 3773 | 150 | | | V |

| | | | | | | | |
|---|--|--------------------|---------|----|--|----|--|
| Static forward current transfer ratio <i>Valeur statique du rapport de transfert direct du courant</i> | V _{CE} = 4 V I _C = 8 A | h _{21E} * | 2N 3773 | 15 | | 60 | |
| | V _{CE} = 4 V I _C = 16 A | | 2N 3773 | 5 | | | |
| | | | | | | | |
| | | | | | | | |
| | | | | | | | |

* Pulsed
Impulsions t_p = 300 μs δ ≤ 2 %

STATIC CHARACTERISTICS
CARACTÉRISTIQUES STATIQUES
T_{case} 25 °C(Unless otherwise stated)
(Sauf indications contraires)

| | Test conditions Conditions de mesure | | | min | typ | max | |
|--|---|----------------------|---------|-----|-----|-----|---|
| Collector-emitter saturation voltage <i>Tension de saturation collecteur-émetteur</i> | I _C = 8 A | V _{CESat} * | 2N 3773 | | | 1,4 | |
| | I _B = 0,8 A | | | | | 4 | |
| | I _C = 16 A | | | | | | V |
| | I _B = 3,2 A | | | | | | |

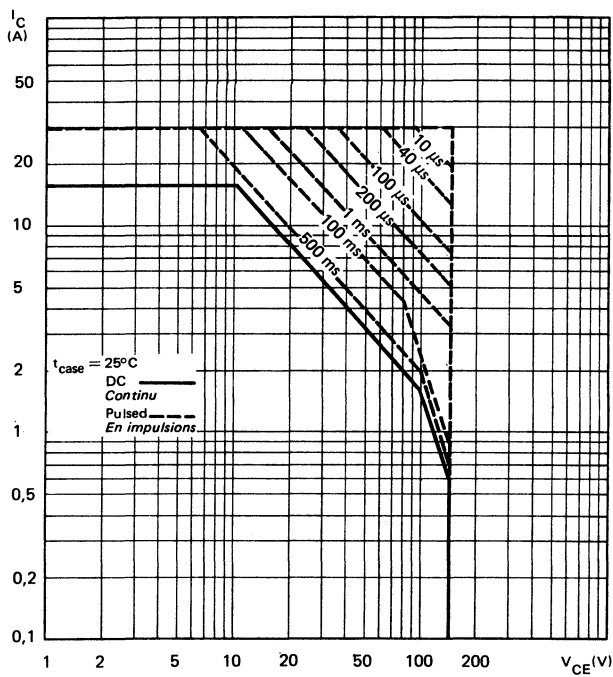
| | | | | | | | |
|--|------------------------------------|-------------------|---------|-----|--|-----|---|
| Base-emitter voltage <i>Tension base-émetteur</i> | V _{CE} = 4 V | V _{BE} * | 2N 3773 | | | 2,2 | |
| | I _C = 8 A | | | | | | V |
| Second breakdown collector current <i>Courant collecteur de second claquage</i> | | I _{S/B} | | | | | |
| | V _{CE} = 100 V t = 1 s | | 2N 3773 | 1,5 | | | A |

DYNAMIC CHARACTERISTICS (for small signals)**CARACTÉRISTIQUES DYNAMIQUES (pour petits signaux)**

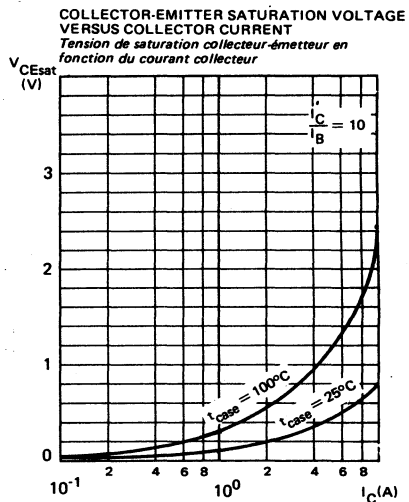
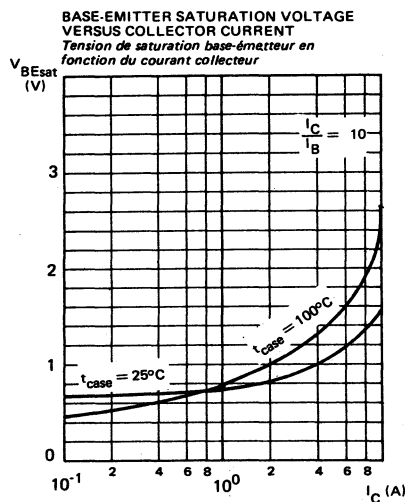
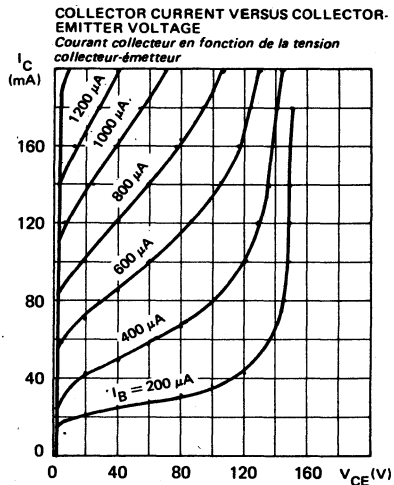
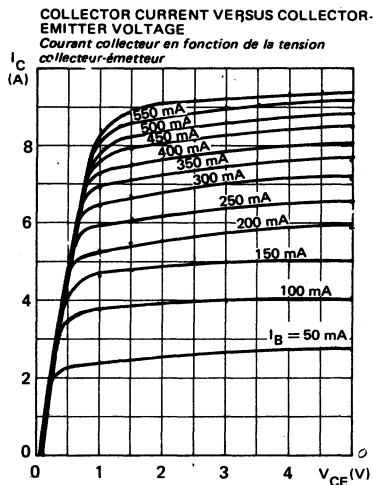
| | | | | | | | |
|--|---|----------------|--|-----|--|--|-----|
| Transition frequency <i>Fréquence de transition</i> | V _{CE} = 4 V I _C = 1 A | f _T | | 0,8 | | | MHz |
|--|---|----------------|--|-----|--|--|-----|

* Pulsed
Impulsions t_p = 300 μs δ ≤ 2 %

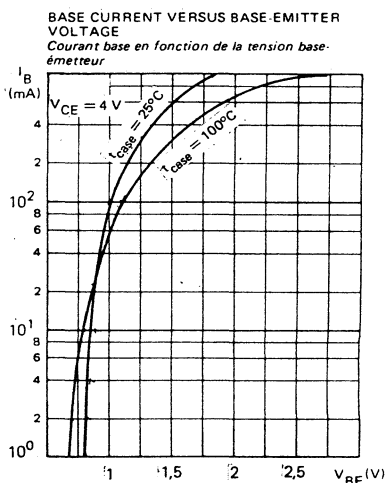
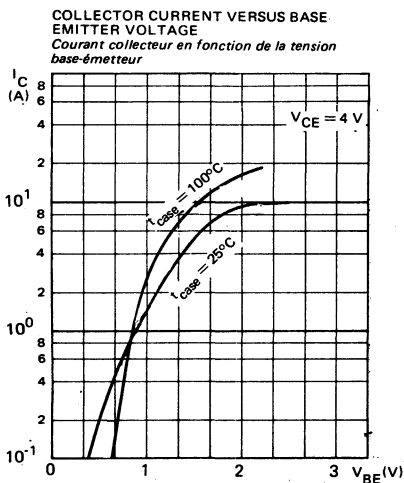
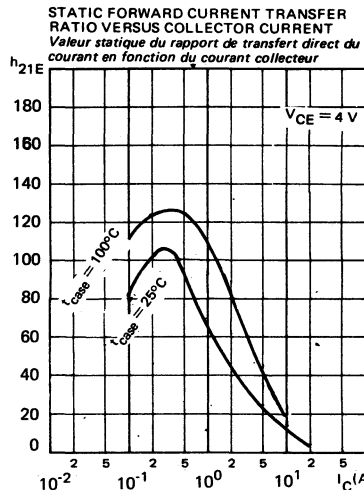
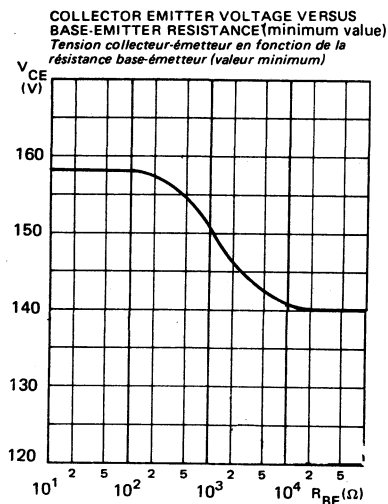
SAFE OPERATING AREA
Aire de fonctionnement de sécurité



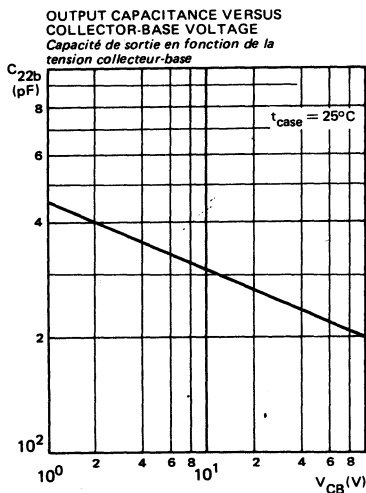
TYPICAL CHARACTERISTICS
CARACTÉRISTIQUES TYPHIQUES



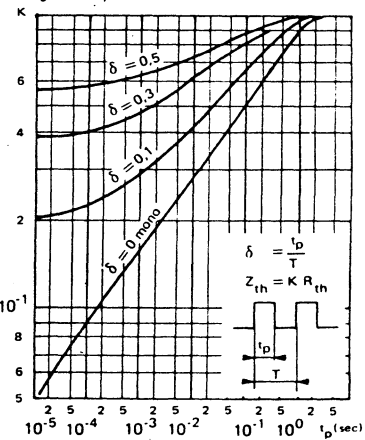
TYPICAL CHARACTERISTICS CARACTÉRISTIQUES TYPIQUES



TYPICAL CHARACTERISTICS
CARACTERISTIQUES TYPHIQUES



TRANSIENT THERMAL RESISTANCE DERATING
FACTOR UNDER PULSES CONDITIONS
Facteur de réduction de la résistance thermique en
régime d'impulsions



Complementary power amplification stages

Amplification de puissance à symétrie complémentaire

Medium power switching

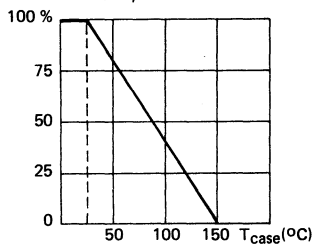
Commutation moyenne puissance

Regulation

Régulation

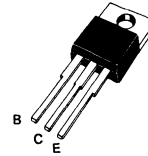
Dissipation derating

Variation de dissipation



| | | |
|----------------------|----------|---------|
| V _{CCEO} | 70 V | 2N 5294 |
| | 40 V | 2N 5296 |
| | 60 V | 2N 5298 |
| I _C | 4 A | |
| P _{tot} | 36 W | |
| R _{th(j-c)} | 3,5 °C/W | max |
| f _T | 0,8 MHz | min |

Plastic case TO 220 AB (CB 117)
Boîtier plastique



ABSOLUTE RATINGS (LIMITING VALUES)
VALEURS LIMITES ABSOLUES D'UTILISATION

| | | 2N 5294 | 2N 5296 | 2N 5298 | | |
|---|---------------------------|------------------------------------|-------------------|-------------------|-------------------|----|
| Collector-base voltage <i>Tension collecteur-base</i> | V _{CBO} | 80 | 60 | 80 | V | |
| Collector-emitter voltage <i>Tension collecteur-émetteur</i> | V _{CCEO} | 70 | 40 | 60 | V | |
| Collector-emitter voltage <i>Tension collecteur-émetteur</i> | R _{BE} = 100 Ω | V _{CER} | 75 | 50 | 70 | V |
| Collector-emitter voltage <i>Tension collecteur-émetteur</i> | V _{BE} = - 1,5 V | V _{CEx} | 80 | 60 | 80 | V |
| Emitter-base voltage <i>Tension émetteur-base</i> | V _{EBO} | 7 | 5 | 5 | V | |
| Collector current <i>Courant collecteur</i> | I _C | 4 | 4 | 4 | A | |
| Base current <i>Courant base</i> | I _B | 2 | 2 | 2 | A | |
| Power dissipation <i>Dissipation de puissance</i> | T _{case} 25 °C | P _{tot} | 36 | 36 | 36 | W |
| Storage and junction temperature <i>Température de jonction et de stockage</i> | max | t _j T _{stg} | 150 - 65 + 150 | 150 - 65 + 150 | 150 - 65 + 150 | °C |

| | | | | | | |
|--|-----|----------------------|-----|-----|-----|------|
| Junction-case thermal resistance <i>Résistance thermique jonction boîtier</i> | max | R _{th(j-c)} | 3,5 | 3,5 | 3,5 | °C/W |
|--|-----|----------------------|-----|-----|-----|------|

STATIC CHARACTERISTICS
CARACTÉRISTIQUES STATIQUES
 $T_{case} = 25^\circ C$ (Unless otherwise stated)
(Sauf indications contraires)

| | Test conditions Conditions de mesure | | | min | typ | max | |
|---|--|-----------------------|-------------------------------|----------------|-----|-----|----|
| Collector-emitter cut-off current <i>Courant résiduel collecteur-émetteur</i> | V _{CE} = 65 V V _{BE} = -1,5 V | I _{CEX} | 2N 5294 2N 5298 | | | 0,5 | mA |
| | V _{CE} = 65 V V _{BE} = -1,5 V $T_{case} = 150^\circ C$ | | | | | 3 | |
| | V _{CE} = 35 V V _{BE} = -1,5 V | | 2N 5296 | | | 2 | |
| | V _{CE} = 35 V V _{BE} = -1,5 V $T_{case} = 150^\circ C$ | | | | | 5 | |
| Collector-emitter cut-off current <i>Courant résiduel collecteur-émetteur</i> | V _{CE} = 50 V R _{BE} = 100 Ω $T_{case} = 25^\circ C$ | I _{CER} | 2N 5294 2N 5298 | | | 0,5 | mA |
| | V _{CE} = 50 V R _{BE} = 100 Ω $T_{case} = 150^\circ C$ | | | | | 2 | |
| | V _{EB} = 7 V I _C = 0 | I _{EBO} | 2N 5294 | | | 1 | |
| | V _{EB} = 5 V I _C = 0 | | 2N 5296 2N 5298 | | | 1 | |
| Collector-emitter breakdown voltage <i>Tension de claquage collecteur-émetteur</i> | I _C = 100 mA I _B = 0 | V _{CEOsus} * | 2N 5294 2N 5296 2N 5298 | 70 40 60 | | | V |
| Collector-emitter breakdown voltage <i>Tension de claquage collecteur-émetteur</i> | I _C = 100 mA R _{BE} = 100 Ω | V _{CERSus} * | 2N 5294 2N 5296 2N 5298 | 75 50 70 | | | V |
| Collector-emitter breakdown voltage <i>Tension de claquage collecteur-émetteur</i> | I _C = 100 mA V _{BE} = -1,5 V | V _{CEXsus} * | 2N 5294 2N 5296 2N 5298 | 80 60 80 | | | V |
| Static forward current transfer ratio <i>Valeur statique du rapport de transfert direct du courant</i> | V _{CE} = 4 V I _C = 0,5 A | h _{21E} * | 2N 5294 | 30 | | 120 | |
| | V _{CE} = 4 V I _C = 1 A | | 2N 5296 | 30 | | 120 | |
| | V _{CE} = 4 V I _C = 1,5 A | | 2N 5298 | 20 | | 80 | |

* Pulsed
Impulsions $t_p = 300 \mu s$ $\delta < 2\%$

STATIC CHARACTERISTICS
CARACTÉRISTIQUES STATIQUES
 $T_{case} = 25^\circ C$ (Unless otherwise stated)
(Sauf indications contraires)

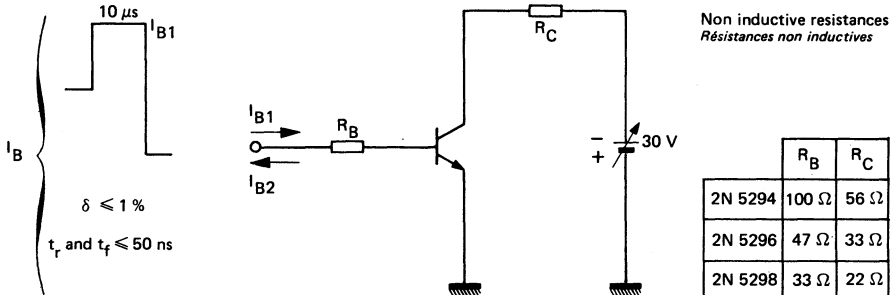
| | Test conditions Conditions de mesure | | | min | typ | max | |
|--|---|----------------------|---------|-----|-----|-----|---|
| Collector-emitter saturation voltage <i>Tension de saturation collecteur-émetteur</i> | $I_C = 0,5 \text{ A}$ $I_B = 0,05 \text{ A}$ | V _{CEsat} * | 2N 5294 | | | 1 | V |
| | $I_C = 1 \text{ A}$ $I_B = 0,1 \text{ A}$ | | 2N 5296 | | | 1 | |
| | $I_C = 1,5 \text{ A}$ $I_B = 0,15 \text{ A}$ | | 2N 5298 | | | 1 | |
| Base-emitter voltage <i>Tension base-émetteur</i> | $V_{CE} = 4 \text{ V}$ $I_C = 0,5 \text{ A}$ | V _{BE} * | 2N 5294 | | | 1,1 | V |
| | $V_{CE} = 4 \text{ V}$ $I_C = 1 \text{ A}$ | | 2N 5296 | | | 1,3 | |
| | $V_{CE} = 4 \text{ V}$ $I_C = 1,5 \text{ A}$ | | 2N 5298 | | | 1,5 | |

DYNAMIC CHARACTERISTICS (for small signals)**CARACTÉRISTIQUES DYNAMIQUES (pour petits signaux)**

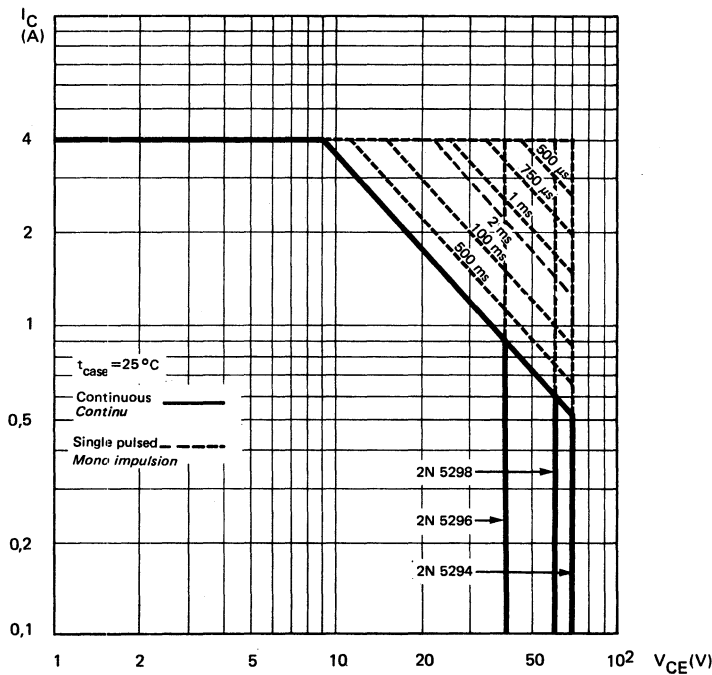
| | | | | | | | |
|--|---|-----------|---------|-----|--|----|---------------|
| Transition frequency <i>Fréquence de transition</i> | $V_{CE} = 4 \text{ V}$ $I_C = 0,2 \text{ A}$ $f = 1 \text{ MHz}$ | f_T | | 0,8 | | | MHz |
| Turn-on time <i>Temps total d'établissement</i> | $I_C = 0,5 \text{ A}$ $I_B = 0,05 \text{ A}$ | t_{on} | 2N 5294 | | | 5 | μs |
| | $I_C = 1 \text{ A}$ $I_B = 0,1 \text{ A}$ | | 2N 5296 | | | 5 | |
| | $I_C = 1,5 \text{ A}$ $I_B = 0,15 \text{ A}$ | | 2N 5298 | | | 5 | |
| Turn-off time <i>Temps total de coupure</i> | $V_{CC} = 30 \text{ V}$ $I_C = 0,5 \text{ A}$ $I_{B1} = 0,05 \text{ A}$ $I_{B2} = -0,05 \text{ A}$ | t_{off} | 2N 5294 | | | 15 | μs |
| | $V_{CC} = 30 \text{ V}$ $I_C = 1 \text{ A}$ $I_{B1} = 0,1 \text{ A}$ $I_{B2} = -0,1 \text{ A}$ | | 2N 5296 | | | 15 | |
| | $V_{CC} = 30 \text{ V}$ $I_C = 1,5 \text{ A}$ $I_{B1} = 0,15 \text{ A}$ $I_{B2} = -0,15 \text{ A}$ | | 2N 5298 | | | 15 | |

* Pulsed
Impulsions $t_p = 300 \mu\text{s}$ $\delta \leq 2\%$

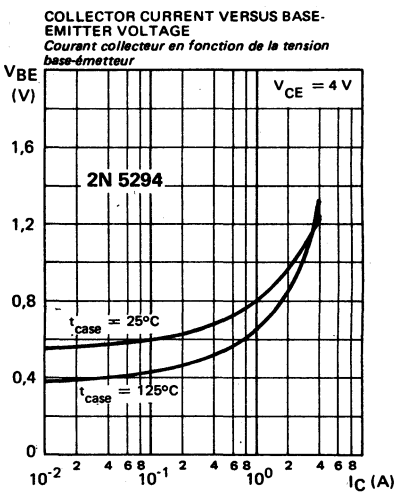
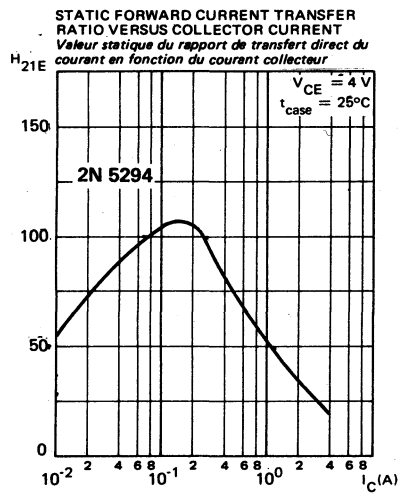
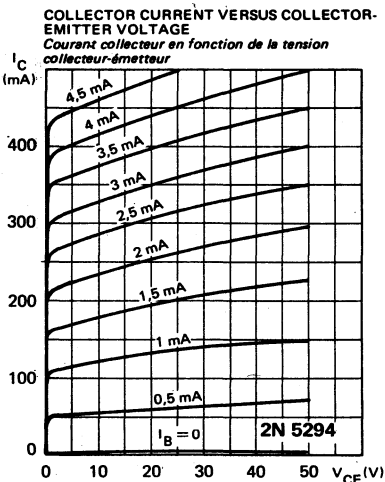
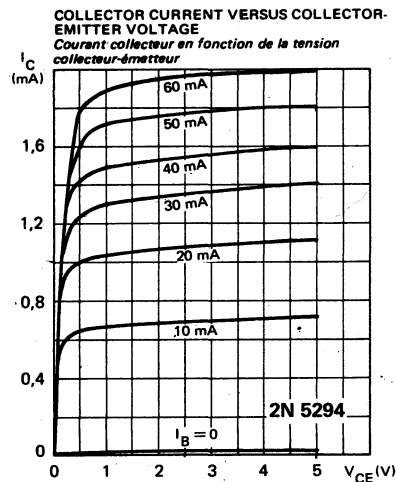
SWITCHING TIMES TEST CIRCUIT
SCHEMA DE MESURE DES TEMPS DE COMMUTATION



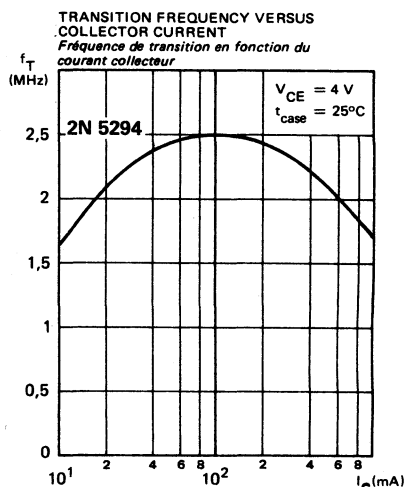
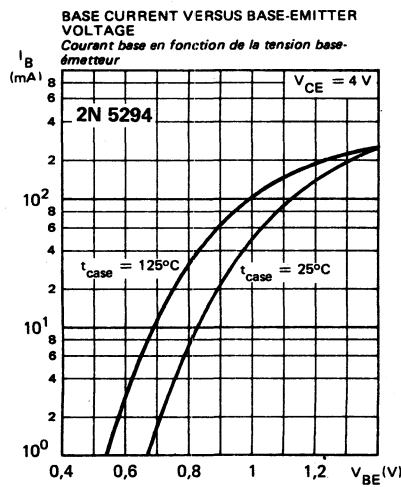
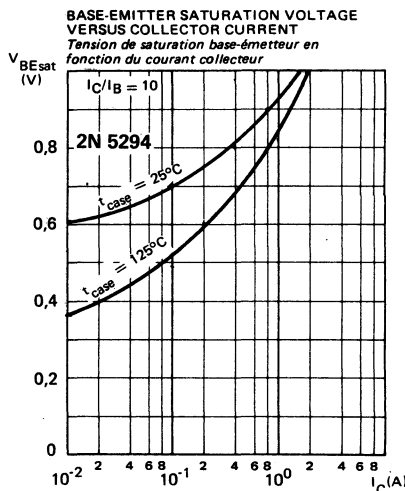
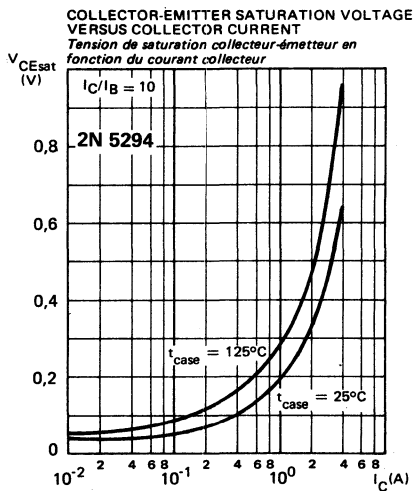
SAFE OPERATING AREA
AIRE DE FONCTIONNEMENT DE SECURITE



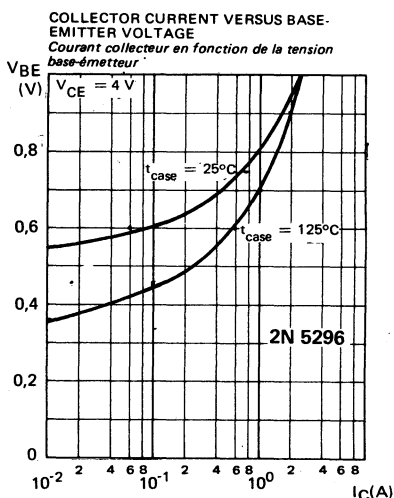
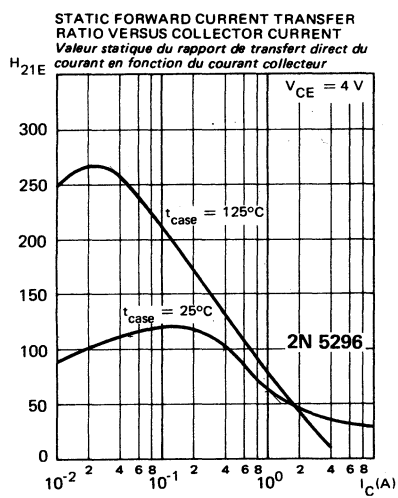
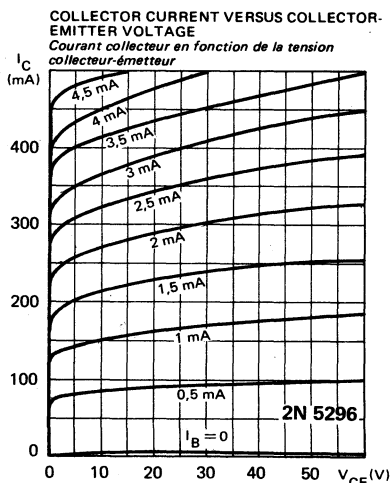
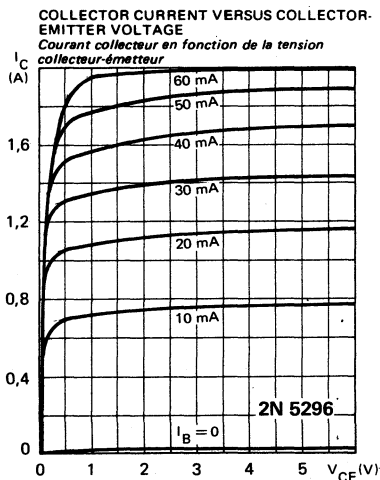
TYPICAL CHARACTERISTICS
CARACTÉRISTIQUES TYPIQUES



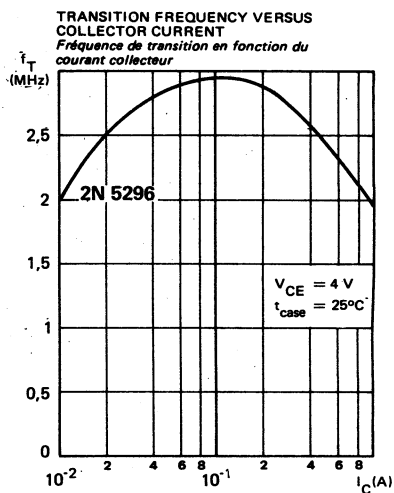
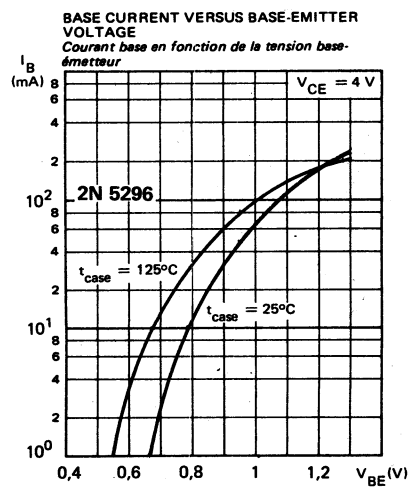
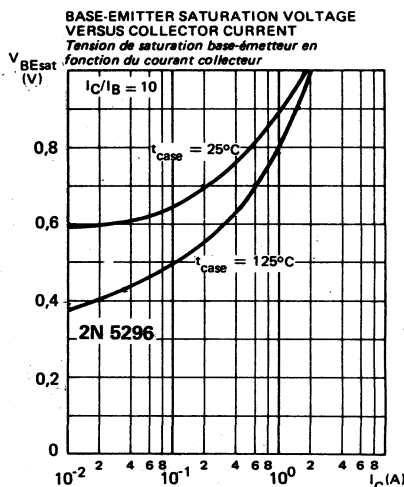
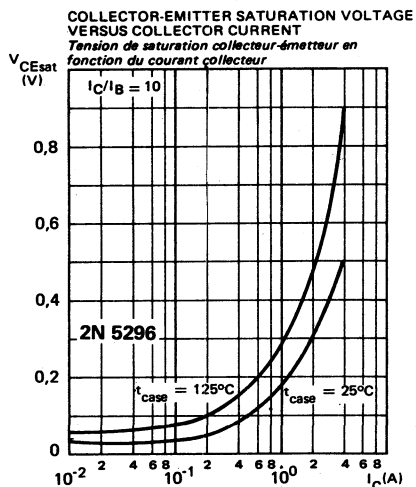
TYPICAL CHARACTERISTICS
CARACTÉRISTIQUES TYPHIQUES



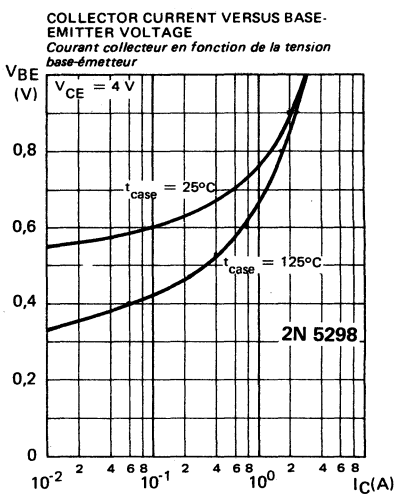
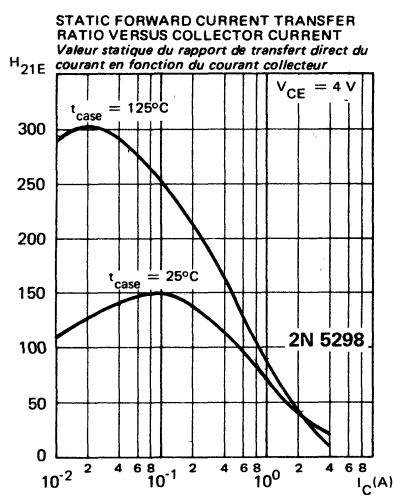
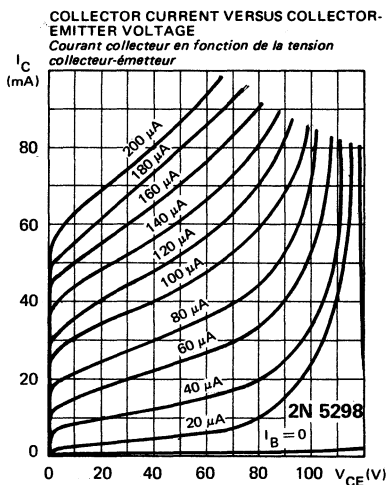
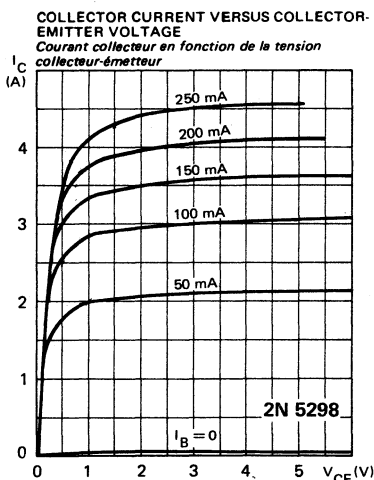
TYPICAL CHARACTERISTICS
CARACTÉRISTIQUES TYPHIQUES



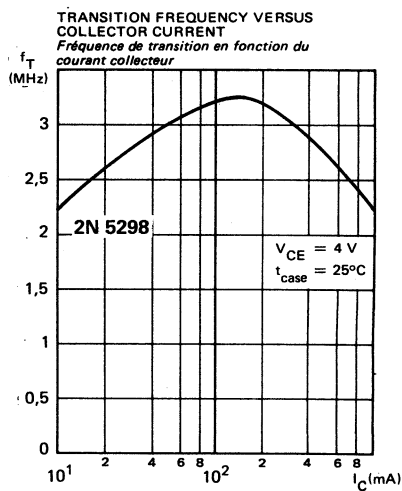
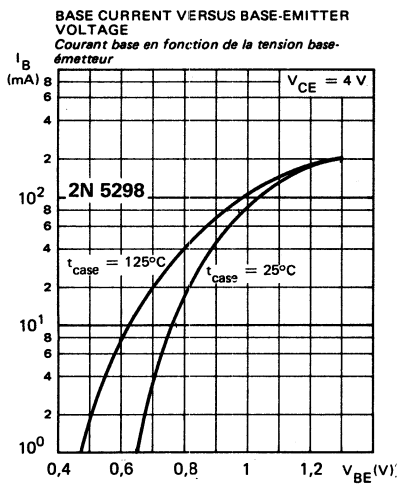
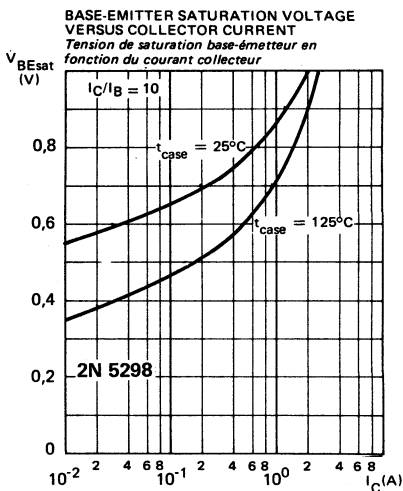
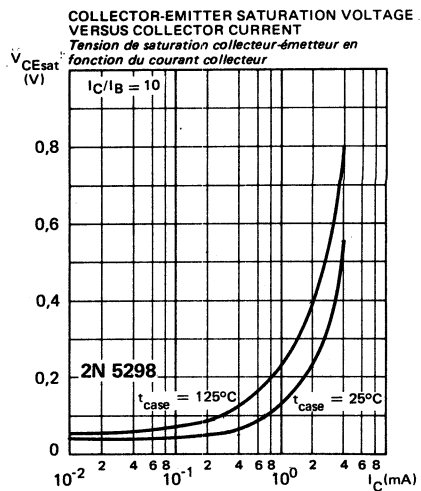
TYPICAL CHARACTERISTICS
CARACTÉRISTIQUES TYPIQUES



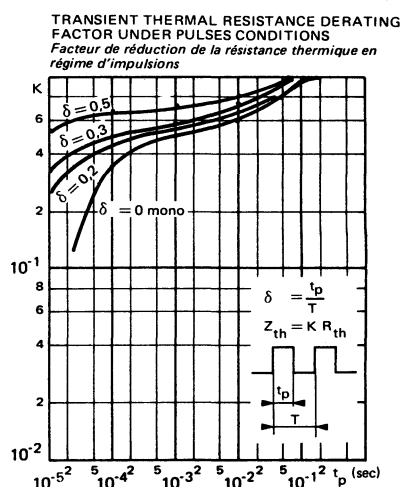
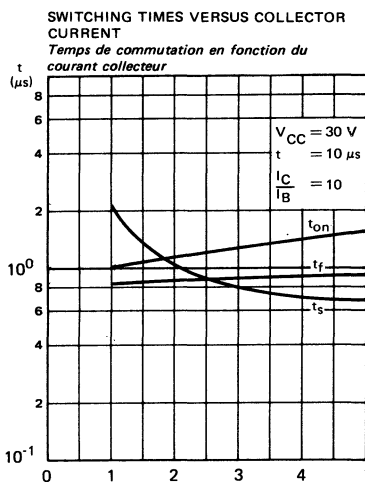
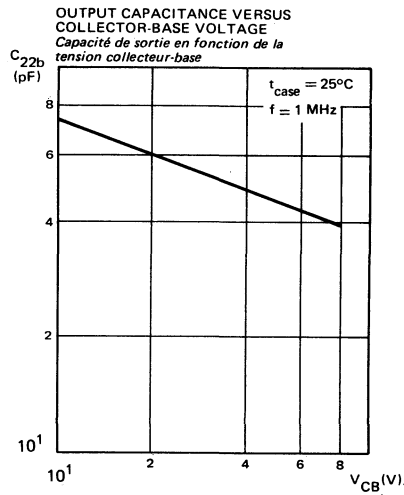
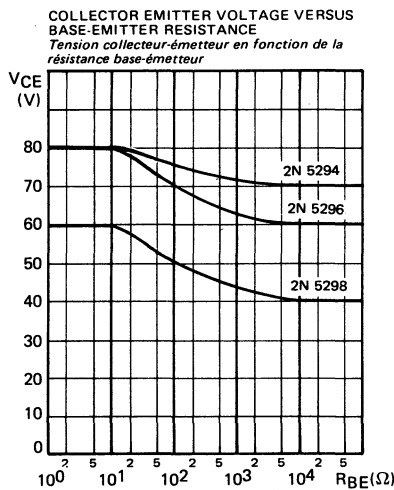
TYPICAL CHARACTERISTICS
CARACTÉRISTIQUES TYPIQUES



TYPICAL CHARACTERISTICS
CARACTÉRISTIQUES TYPHIQUES



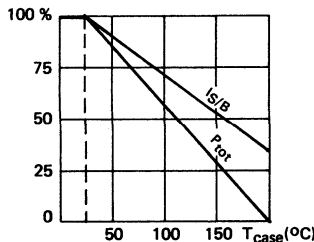
TYPICAL CHARACTERISTICS CARACTÉRISTIQUES TYPIQUES





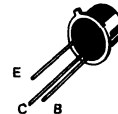
High voltage fast switching and amplifying
Commutation rapide et amplification sous forte tension

Maximum power dissipation and I_S/B
Dissipation de puissance maximale et de I_S/B



| | | |
|---------------------------|----------------------|--------------------|
| V _{CEO} | { - 200 V - 300 V | 2N 5415 2N 5416 |
| I _C | - 1 A | |
| P _{tot} | 10 W | |
| R _{th(j-c)} | 17,5 °C/W | max |
| h _{21E} (-50 mA) | 30-150 30-120 | 2N 5415 2N 5416 |

Case TO 39 (CB 7)
Boîtier



ABSOLUTE RATINGS (LIMITING VALUES)
VALEURS LIMITES ABSOLUES D'UTILISATION

| | | 2N 5415 | 2N 5416 | |
|---|-------------------------|------------------------------------|-------------------|------------------|
| Collector-base voltage <i>Tension collecteur-base</i> | V _{CBO} | - 200 | - 350 | V |
| Collector-emitter voltage <i>Tension collecteur-émetteur</i> | V _{CEO} | - 200 | - 300 | V |
| Collector-emitter voltage <i>R_{BE} = 50 Ω</i> | V _{CER} | | - 350 | V |
| Collector-emitter voltage <i>V_{BE} = - 1,5 V</i> | V _{CEX} | - 200 | - 350 | V |
| Emitter-base voltage <i>Tension émetteur-base</i> | V _{EBO} | - 4 | - 6 | V |
| Collector current <i>Courant collecteur</i> | I _C | - 1 | - 1 | A |
| Base current <i>Courant base</i> | I _B | - 0,5 | - 0,5 | A |
| Power dissipation <i>Dissipation de puissance</i> | T _{case} 25 °C | P _{tot} | 10 | W |
| Storage and junction temperature <i>Température de jonction et de stockage</i> | max | t _j T _{stg} | 200 - 65 + 200 | °C - 65 + 200 |

| Junction-case thermal resistance <i>Résistance thermique jonction boîtier</i> | max | R _{th(j-c)} | 17,5 | 17,5 | °C/W |
|--|-----|----------------------|------|------|------|
| | | | | | |

| STATIC CHARACTERISTICS CARACTÉRISTIQUES STATIQUES | Test conditions Conditions de mesure | | | $T_{case} = 25^\circ\text{C}$ | | |
|---|--|--------------------------------|---------------|-------------------------------|------|----------|
| | | | | min | typ | max |
| Collector-emitter cut-off current <i>Courant résiduel collecteur-émetteur</i> | $V_{CE} = -150\text{ V}$ $I_B = 0$ | 2N 5415 | I_{CEO} | | | -0,05 mA |
| | $V_{CE} = -250\text{ V}$ $I_B = 0$ | 2N 5416 | | | | -0,05 mA |
| Collector-emitter cut-off current <i>Courant résiduel collecteur-émetteur</i> | $V_{CE} = -200\text{ V}$ $V_{BE} = +1,5\text{ V}$ | 2N 5415 | I_{CEX} | | | -0,05 mA |
| | $V_{CE} = -300\text{ V}$ $V_{BE} = +1,5\text{ V}$ | 2N 5416 | | | | -0,05 mA |
| Collector-base cut-off current <i>Courant résiduel collecteur-base</i> | $V_{CE} = -175\text{ V}$ $V_{CE} = -280\text{ V}$ | 2N 5415 2N 5416 | I_{CBO} | | | -0,05 mA |
| | | | | | | -0,05 mA |
| Emitter-base cut-off current <i>Courant résiduel émetteur-base</i> | $V_{EB} = +4\text{ V}$ $I_C = 0$ | 2N 5415 | I_{EBO} | | | -0,02 mA |
| | $V_{EB} = +6\text{ V}$ $I_C = 0$ | 2N 5416 | | | | -0,02 mA |
| Collector-emitter voltage FIGURE 1 <i>Tension collecteur-émetteur</i> | $I_C = -50\text{ mA}$ $I_B = 0$ $L = 25\text{ mH}$ | 2N 5415 2N 5416 | V_{CEOus} | -200 | | |
| | | | | -300 | | |
| | | | | | | V |
| Collector-emitter voltage FIGURE 1 <i>Tension collecteur-émetteur</i> | $R_{BE} = 50\Omega$ $I_C = -50\text{ mA}$ $L = 25\text{ mH}$ | 2N 5416 | V_{CERus} | -350 | | |
| | | | | | | V |
| | | | | | | |
| Static forward current transfer ratio <i>Valeur statique du rapport de transfert direct du courant</i> | $V_{CE} = -10\text{ V}$ $I_C = -50\text{ mA}$ | 2N 5415 2N 5416 | h_{21E}^* | 30 | 150 | |
| | | | | 30 | 120 | |
| Collector-emitter saturation voltage <i>Tension de saturation collecteur-émetteur</i> | $I_C = -50\text{ mA}$ $I_B = -5\text{ mA}$ | 2N 5415 2N 5416 | V_{CEsat}^* | | -2,5 | V |
| | | | | | -2 | V |
| Base-emitter voltage <i>Tension base-émetteur</i> | $I_C = -50\text{ mA}$ $V_{CE} = -10\text{ V}$ | All types <i>Tous types</i> | V_{BE}^* | | -1,5 | V |
| Second breakdown collector current <i>Courant collecteur de second claquage</i> | $V_{CE} = -100\text{ V}$ $t = 1\text{ s}$ | All types <i>Tous types</i> | $I_{S/B}$ | -0,1 | | A |

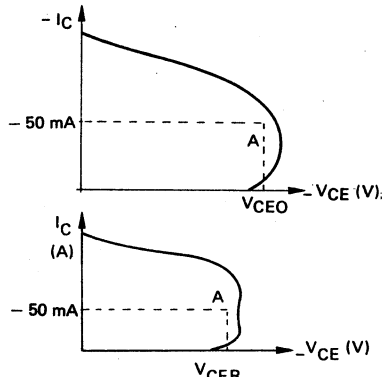
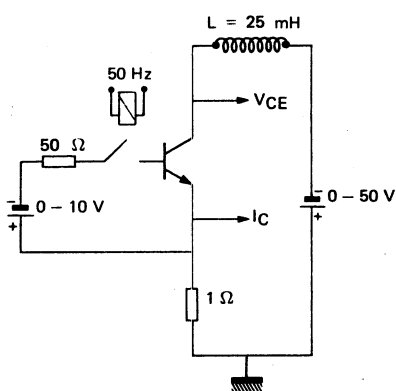
* Pulsed $t_p = 300\mu\text{s}$ $\delta = 2\%$
Impulsions

DYNAMIC CHARACTERISTICS (for small signals)*CARACTÉRISTIQUES DYNAMIQUES (pour petits signaux)***T_{case} = 25 °C**

| | | | | min | typ | max | |
|---|--|--------------------------------|------------------|-----|-----|-----|-----|
| Transition frequency <i>Fréquence de transition</i> | V _{CB} = -10 V I _C = -10 mA f = 5 MHz | All types <i>Tous types</i> | f _T | 15 | | | MHz |
| Output capacitance <i>Capacité de sortie</i> | V _{CB} = -10 V f = 1 MHz | All types <i>Tous types</i> | C _{22b} | | | 15 | pF |
| Input capacitance <i>Capacité d'entrée</i> | V _{EB} = -5 V f = 1 MHz I _C = 0 | All types <i>Tous types</i> | C _{11b} | | | 75 | pF |
| Carrier storage time <i>Retard à la décroissance</i> | I _C = 50 mA I _{B1} = -5 mA I _{B2} = 5 mA | All types <i>Tous types</i> | t _s | | 2 | | μs |
| Fall time <i>Temps de décroissance</i> | I _C = -50 mA I _{B1} = -5 mA I _{B2} = 5 mA | All types <i>Tous types</i> | t _f | | 0,5 | | μs |

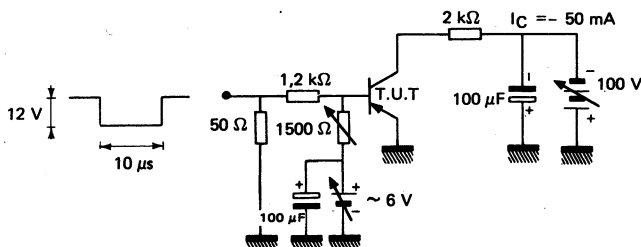
V_{CEO}sus , V_{CER}sus test circuit (and oscillogram)
FIGURE 1 : Circuit de mesure V_{CEO}sus, V_{CER}sus et oscillogramme 2N 5416

V_{CEO}sus test circuit (and oscillogram)
Circuit de mesure V_{CEO}sus et oscillogramme 2N 5415



The sustaining voltage V_{CEO} sus is acceptable when the trace falls to the right and above point A.
La tension V_{CEO} sus est acceptable lorsque la trace passe au delà du point A.

SWITCHING TIMES TEST CIRCUIT
Schéma de mesure des temps de commutation



$$\begin{aligned} V_{CE} &= \sim 100 \text{ V} \\ I_C &= -50 \text{ mA} \\ I_{B2} &= -I_{B1} = -5 \text{ mA} \end{aligned}$$

SAFE OPERATING AREA
AIRE DE SECURITE

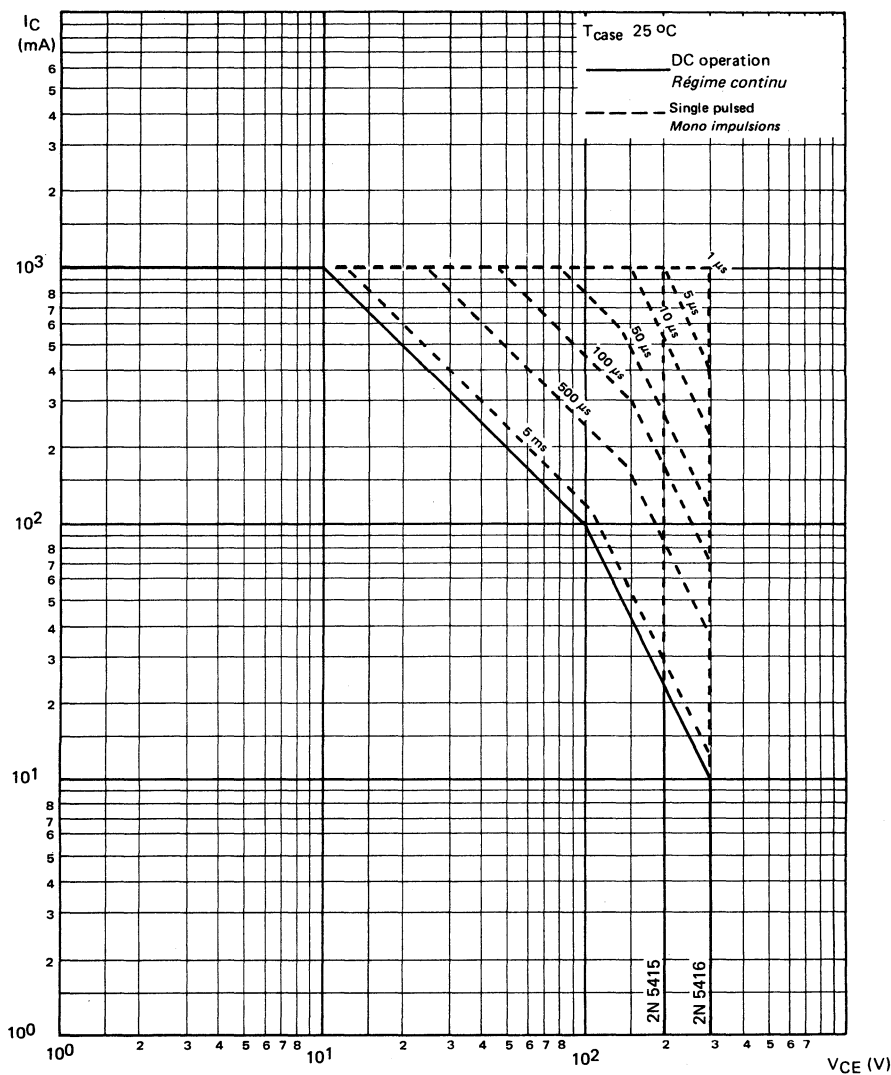


FIGURE 3

STATIC FORWARD CURRENT TRANSFERT
RATIO VERSUS COLLECTOR CURRENT
*Valeur statique du rapport de transfert direct du
courant en fonction du courant collecteur*

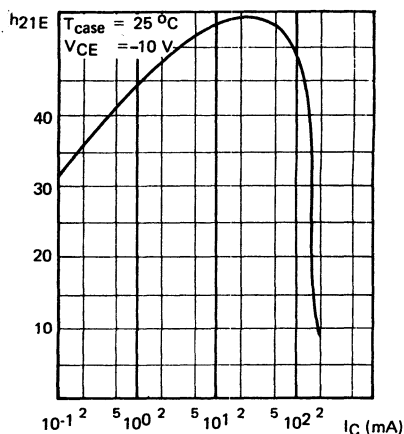


FIGURE 4

BASE-EMITTER VOLTAGE VERSUS
COLLECTOR CURRENT
*Tension base-émetteur en fonction du
courant collecteur.*

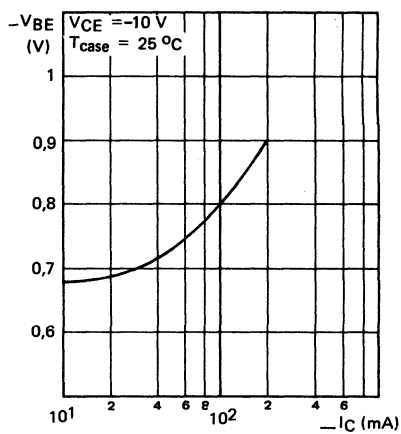
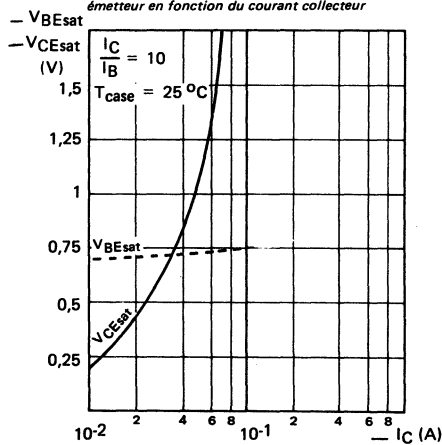


FIGURE 5

COLLECTOR-EMITTER AND BASE-EMITTER
SATURATION VOLTAGE VERSUS COLLECTOR
CURRENT

*Tension de saturation collecteur-émetteur et base-
émetteur en fonction du courant collecteur*



2N 5490 - 2N 5492 2N 5494 - 2N 5496

NPN SILICON TRANSISTORS

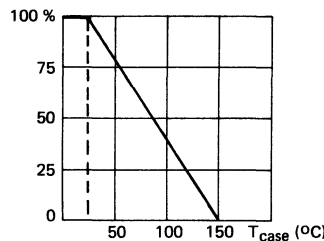
TRANSISTORS NPN SILICIUM

Compl. of 2N 6107 series

LF large signal power amplification
Amplification BF grands signaux de puissance

High current switching
Commutation fort courant

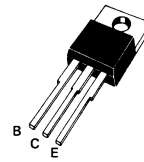
Dissipation derating
Variation de dissipation



| | | |
|------------------------------------|----------|---------|
| V _{CEO} | 40 V | 2N 5490 |
| | 55 V | 2N 5494 |
| I _C P _{tot} | 55 V | 2N 5492 |
| | 70 V | 2N 5496 |
| h _{21E} | 7 A | 2N 5490 |
| | (2,5 A) | 2N 5492 |
| R _{th(j-c)} | (3 A) | 2N 5494 |
| | (3,5 A) | 2N 5496 |
| | 2,5 °C/W | |

Plastic case
Boîtier plastique

TO 220 AB (CB 117)



ABSOLUTE RATINGS (LIMITING VALUES) VALEURS LIMITES ABSOLUES D'UTILISATION

| | | 2N 5490 | 2N 5492 | 2N 5494 | 2N 5496 | | |
|---|--------------------------|------------------------------------|-------------------|-------------------|-------------------|-------------------|----|
| Collector-base voltage <i>Tension collecteur-base</i> | V _{CBO} | 60 | 75 | 60 | 90 | V | |
| Collector-emitter voltage <i>Tension collecteur-émetteur</i> | V _{CEO} | 40 | 55 | 40 | 70 | V | |
| Collector-emitter voltage <i>Tension collecteur-émetteur</i> | R _{BE} = 100 Ω | V _{CER} | 50 | 65 | 50 | 80 | V |
| Collector-emitter voltage <i>Tension collecteur-émetteur</i> | V _{BE} = -1,5 V | V _{CEx} | 60 | 75 | 60 | 90 | V |
| Emitter-base voltage <i>Tension émetteur-base</i> | V _{EBO} | 5 | 5 | 5 | 5 | V | |
| Collector current <i>Courant collecteur</i> | I _C | 7 | 7 | 7 | 7 | A | |
| Base current <i>Courant base</i> | I _B | 3 | 3 | 3 | 3 | A | |
| Power dissipation <i>Dissipation de puissance</i> | T _{case} 25 °C | P _{tot} | 50 | 50 | 50 | 50 | W |
| Storage and junction temperature <i>Température de jonction et de stockage</i> | max | t _j T _{stg} | 150 - 65 + 150 | °C |

| | | | | | | | |
|--|-----|----------------------|-----|-----|-----|-----|------|
| Junction-case thermal resistance <i>Résistance thermique jonction boîtier</i> | max | R _{th(j-c)} | 2,5 | 2,5 | 2,5 | 2,5 | °C/W |
|--|-----|----------------------|-----|-----|-----|-----|------|

2N 5490, 2N 5492, 2N 5494, 2N 5496

STATIC CHARACTERISTICS
CARACTÉRISTIQUES STATIQUES

T_{case} 25 °C

(Unless otherwise stated)
(Sauf indications contraires)

| | Test conditions Conditions de mesure | | min | typ | max | |
|---|--|------------------------|--|----------------------|------|----------|
| Collector-emitter cut-off current <i>Courant résiduel collecteur-émetteur</i> | V _{CE} = 70 V V _{BE} = -1,5 V | I _{CEX} | 2N 5492 | | | 1 |
| | V _{CE} = 70 V V _{BE} = -1,5 V T _{case} = 150 °C | | | | | 5 |
| | V _{CE} = 55 V V _{BE} = -1,5 V | | 2N 5494 | | | 1 |
| | V _{CE} = 55 V V _{BE} = -1,5 V T _{case} = 150 °C | I _{CER} | | | | 5 |
| | V _{CE} = 85 V V _{BE} = -1,5 V | | 2N 5496 | | | 1 |
| | V _{CE} = 85 V V _{BE} = -1,5 V T _{case} = 150 °C | | | | | 5 |
| Collector-emitter cut-off current <i>Courant résiduel collecteur-émetteur</i> | V _{CE} = 40 V R _{BE} = 100 Ω | I _{CER} | 2N 5490 2N 5494 | | | 2 0,5 |
| | V _{CE} = 40 V R _{BE} = 100 Ω T _{case} = 150 °C | | 2N 5490 2N 5494 | | | 5 3,5 |
| | V _{CE} = 55 V R _{BE} = 100 Ω | | 2N 5492 | | | 0,5 |
| | V _{CE} = 55 V R _{BE} = 100 Ω T _{case} = 150 °C | I _{EBO} | | | | 3,5 |
| | V _{CE} = 70 V R _{BE} = 100 Ω | 2N 5496 | | | 0,5 | |
| | V _{CE} = 70 V R _{BE} = 100 Ω T _{case} = 150 °C | | | | 3,5 | |
| Emitter-base cut-off current <i>Courant résiduel émetteur-base</i> | V _{EB} = 5 V I _C = 0 | | | | 1 mA | |
| Collector-emitter breakdown voltage <i>Tension de claquage collecteur-émetteur</i> | I _C = 100 mA I _B = 0 | V _{CEOSus} * | 2N 5490 2N 5492 2N 5494 2N 5496 | 40 55 40 70 | | |
| Collector-emitter breakdown voltage <i>Tension de claquage collecteur-émetteur</i> | I _C = 100 mA R _{BE} = 100 Ω | V _{VCERSus} * | 2N 5490 2N 5492 2N 5494 2N 5496 | 50 65 50 80 | | |

* Pulsed - Impulsions t_p = 300 μs δ ≤ 2 %

STATIC CHARACTERISTICS

CARACTÉRISTIQUES STATIQUES

 $T_{case} = 25^\circ C$

(Unless otherwise stated)

(Sauf indications contraires)

| | Test conditions Conditions de mesure | | min | typ | max | |
|--|---|----------------|--|----------------------|-----|---|
| Collector-emitter breakdown voltage <i>Tension de claquage collecteur-émetteur</i> | $I_C = 100 \text{ mA}$ $V_{BE} = -1,5 \text{ V}$ | V_{CEXsus}^* | 2N 5490 2N 5492 2N 5494 2N 5406 | 60 75 60 90 | | V |
| Static forward current transfert ratio <i>Valeur statique du rapport de transfert direct du courant</i> | $V_{CE} = 4 \text{ V}$ $I_C = 2 \text{ A}$ | h_{21E}^* | 2N 5490 | 20 | 100 | |
| | $V_{CE} = 4 \text{ V}$ $I_C = 2,5 \text{ A}$ | | 2N 5492 | 20 | 100 | |
| | $V_{CE} = 4 \text{ V}$ $I_C = 3 \text{ A}$ | | 2N 5494 | 20 | 100 | |
| | $V_{CE} = 4 \text{ V}$ $I_C = 3,5 \text{ A}$ | | 2N 5496 | 20 | 100 | |
| Collector-emitter saturation voltage <i>Tension de saturation collecteur-émetteur</i> | $I_C = 2 \text{ A}$ $I_B = 0,2 \text{ A}$ | V_{CEsat}^* | 2N 5490 | | 1 | |
| | $I_C = 2,5 \text{ A}$ $I_B = 0,25 \text{ A}$ | | 2N 5492 | | 1 | |
| | $I_C = 3 \text{ A}$ $I_B = 0,3 \text{ A}$ | | 2N 5494 | | 1 | |
| | $I_C = 3,5 \text{ A}$ $I_B = 0,35 \text{ A}$ | | 2N 5496 | | 1 | |
| Base-emitter voltage <i>Tension base-émetteur</i> | $V_{CE} = 4 \text{ V}$ $I_C = 2 \text{ A}$ | V_{BE}^* | 2N 5490 | | 1,1 | |
| | $V_{CE} = 4 \text{ V}$ $I_C = 2,5 \text{ A}$ | | 2N 5492 | | 1,3 | |
| | $V_{CE} = 4 \text{ V}$ $I_C = 3 \text{ A}$ | | 2N 5494 | | 1,5 | |
| | $V_{CE} = 4 \text{ V}$ $I_C = 3,5 \text{ A}$ | | 2N 5496 | | 1,7 | |

DYNAMIC CHARACTERISTICS (for small signals)

CARACTÉRISTIQUES DYNAMIQUES (pour petits signaux)

| | | | | | | |
|--|--|-------|--|-----|--|-----|
| Transition frequency <i>Fréquence de transition</i> | $V_{CE} = 4 \text{ V}$ $I_C = 0,5 \text{ A}$ $f = 1 \text{ MHz}$ | f_T | | 0,8 | | MHz |
|--|--|-------|--|-----|--|-----|

* Pulsed
Impulsions $t_p = 300 \mu\text{s}$ $\delta \leq 2\%$

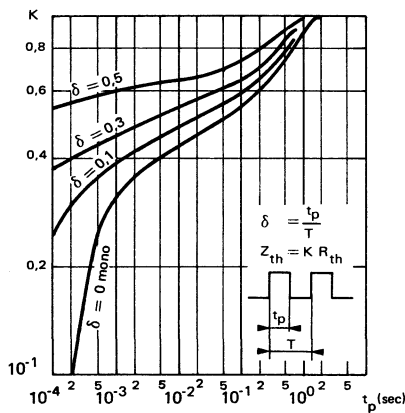
2N 5490, 2N 5492, 2N 5494, 2N 5496

DYNAMIC CHARACTERISTICS
CARACTÉRISTIQUES DYNAMIQUES

T_{case} 25 °C

(Unless otherwise stated)
(Sauf indications contraires)

| | Test conditions Conditions de mesure | | min | typ | max | |
|--|--|---------------------------------|---------|-----|-----|----|
| Turn-on time <i>Temps total d'établissement</i> | V _{CC} = 30 V I _C = 2 A I _{B1} = I _{B2} = 0,2 A | t _d + t _r | 2N 5490 | | 5 | μs |
| | V _{CC} = 30 V I _C = 2,5 A I _{B1} = I _{B2} = 0,25 A | | 2N 5492 | | 5 | |
| | V _{CC} = 30 V I _C = 3 A I _{B1} = I _{B2} = 0,3 A | | 2N 5494 | | 5 | |
| | V _{CC} = 30 V I _C = 3,5 A I _{B1} = I _{B2} = 0,35 A | | 2N 5496 | | 5 | |
| Turn-off time <i>Temps total de coupure</i> | V _{CC} = 30 V I _C = 2 A I _{B1} = I _{B2} = 0,2 A | t _s + t _f | 2N 5490 | | 15 | μs |
| | V _{CC} = 30 V I _C = 2,5 A I _{B1} = I _{B2} = 0,25 A | | 2N 5492 | | 15 | |
| | V _{CC} = 30 V I _C = 3 A I _{B1} = I _{B2} = 0,3 A | | 2N 5494 | | 15 | |
| | V _{CC} = 30 V I _C = 3,5 A I _{B1} = I _{B2} = 0,35 A | | 2N 5496 | | 15 | |

TRANSIENT THERMAL RESISTANCE DERATING
FACTOR UNDER PULSES CONDITIONS*Facteur de réduction de la résistance thermique en
régime d'impulsions*

18

LF large signal power amplification

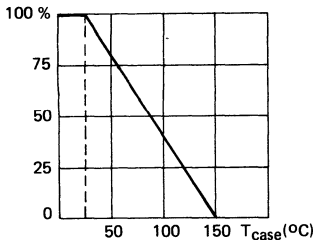
Amplification BF grands signaux de puissance

High current switching

Commutation fort courant

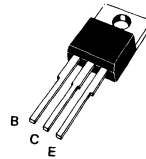
Dissipation derating

Variation de dissipation



| | | | |
|----------------------------|-------|---------------|---------|
| V_{CEO} | { | 60 V | 2N 6099 |
| | | 70 V | 2N 6101 |
| I_C | | 10 A | |
| P_{tot} | | 75 W | |
| R_{th(j-c)} | | 1,67 °C/W max | |
| h_{21E} | (4 A) | 20-80 | 2N 6099 |
| | (5 A) | 20-80 | 2N 6101 |

Plastic case TO 220 AB (CB 117)
Boîtier plastique



ABSOLUTE RATINGS (LIMITING VALUES)
VALEURS LIMITES ABSOLUES D'UTILISATION

| | | 2N 6099 | 2N 6101 | |
|---|-------------------------|------------------|----------------|----|
| Collector-base voltage <i>Tension collecteur-base</i> | V _{CBO} | 70 | 80 | V |
| Collector-emitter voltage <i>Tension collecteur-émetteur</i> | V _{CEO} | 60 | 70 | V |
| Collector-emitter voltage <i>Tension collecteur-émetteur</i> | V _{CER} | 65 | 75 | V |
| Emitter-base voltage <i>Tension émetteur-base</i> | V _{EBO} | 8 | 8 | V |
| Collector current <i>Courant collecteur</i> | I _C | 10 | 10 | A |
| Base current <i>Courant base</i> | I _B | 4 | 4 | A |
| Power dissipation <i>Dissipation de puissance</i> | T _{case} 25 °C | P _{tot} | 75 | W |
| Storage and junction temperature <i>Température de jonction et de stockage</i> | max | t _j | 150 | °C |
| | | T _{stg} | - 65 + 150 | |
| | | | 150 | |
| | | | - 65 + 150 | |
| | | | | °C |

Junction-case thermal resistance
Résistance thermique jonction boîtier max

R_{th(j-c)}

1,67

1,67

°C/W

STATIC CHARACTERISTICS
CARACTÉRISTIQUES STATIQUES

 $T_{case} = 25^\circ C$

(Unless otherwise stated)

(Sauf indications contraires)

| | Test conditions Conditions de mesure | | | min | typ | max | |
|---|--|----------------------|--------------------|----------|-----|-----|----|
| Collector-emitter cut-off current <i>Courant résiduel collecteur-émetteur</i> | V _{CE} = 50 V I _B = 0 | I _{CEO} | 2N 6099 | | | 2 | mA |
| | V _{CE} = 60 V I _B = 0 | | 2N 6101 | | | 2 | |
| Collector-emitter cut-off current <i>Courant résiduel collecteur-émetteur</i> | V _{CE} = 65 V V _{BE} = -1,5 V | I _{CEx} | 2N 6099 | | | 2 | mA |
| | V _{CE} = 65 V V _{BE} = -1,5 V T _{case} = 150 °C | | 2N 6099 | | | 10 | |
| | V _{CE} = 75 V V _{BE} = -1,5 V | | 2N 6101 | | | 2 | |
| | V _{CE} = 75 V V _{BE} = -1,5 V T _{case} = 150 °C | | 2N 6101 | | | 10 | |
| Emitter-base cur-off current <i>Courant résiduel émetteur-base</i> | V _{EB} = 8 V I _C = 0 | I _{EBO} | | | | 1 | mA |
| Collector-emitter breakdown voltage <i>Tension de claquage collecteur-émetteur</i> | I _C = 200 mA I _B = 0 | V _{CEOus} * | 2N 6099 2N 6101 | 60 70 | | | V |
| Collector-emitter breakdown voltage <i>Tension de claquage collecteur-émetteur</i> | I _C = 200 mA R _{BE} = 100 Ω | V _{CERus} * | 2N 6099 2N 6101 | 65 75 | | | V |
| Static forward current transfer ratio <i>Valeur statique du rapport de transfert direct du courant</i> | V _{CE} = 4 V I _C = 4 A | h _{21E} * | 2N 6099 | 20 | | 80 | |
| | V _{CE} = 4 V I _C = 5 A | | 2N 6101 | 20 | | 80 | |
| | V _{CE} = 4 V I _C = 10 A | | | 5 | | | |
| Collector-emitter saturation voltage <i>Tension de saturation collecteur-émetteur</i> | I _C = 10 A I _B = 2 A | V _{CEsat} * | | | | 2,5 | V |
| Base-emitter voltage <i>Tension base-émetteur</i> | V _{CE} = 4 V I _C = 4 A | V _{BE} * | 2N 6099 | | | 1,7 | V |
| | V _{CE} = 4 V I _C = 5 A | | 2N 6101 | | | 1,7 | |

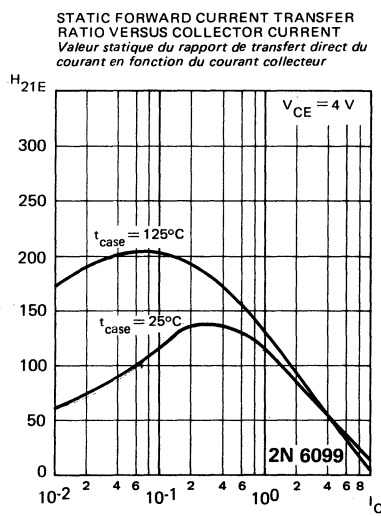
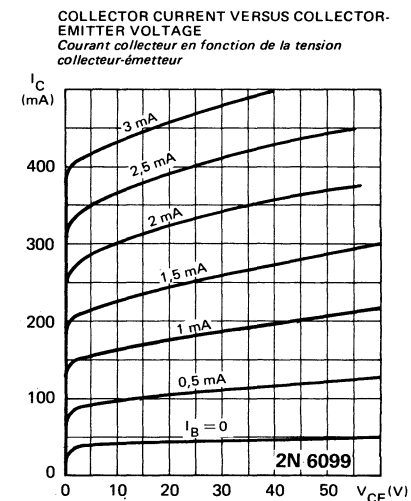
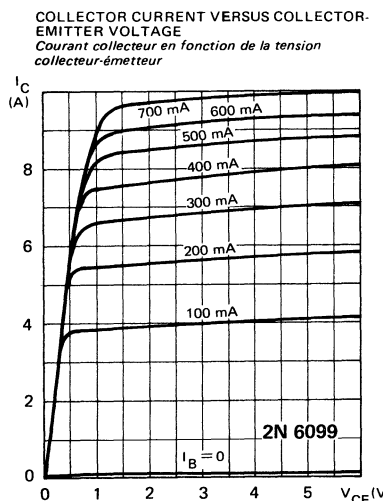
* Pulsed
Impulsions t_p = 300 μs δ ≤ 2 %

DYNAMIC CHARACTERISTICS (for small signals)*CARACTÉRISTIQUES DYNAMIQUES (pour petits signaux)***T_{case} 25 °C**

(Unless otherwise stated)

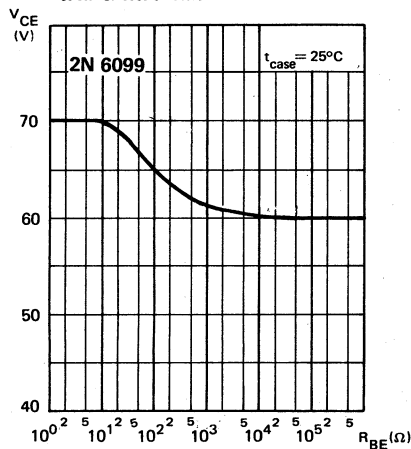
(Sauf indications contraires)

| | Test conditions <i>Conditions de mesure</i> | | | min | typ | max | |
|--|--|--|------------------|-----|-----|-----|-----|
| Forward current transfer ratio <i>Rapport de transfert direct du courant</i> | V _{CE} = 4 V I _C = 0,5 A f = 1 kHz | | h _{21e} | | 15 | | |
| Transition frequency <i>Fréquence de transition</i> | V _{CE} = 4 V I _C = 0,5 A f = 0,1 MHz | | f _T | | 0,8 | | MHz |

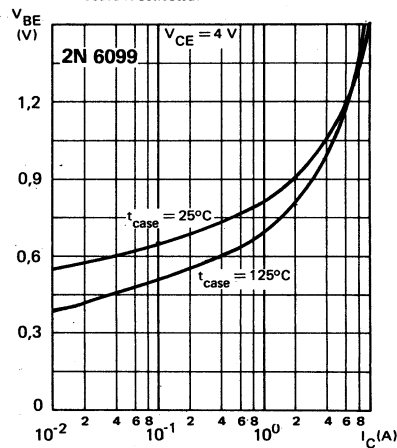


TYPICAL CHARACTERISTICS
CARACTÉRISTIQUES TYPIQUES

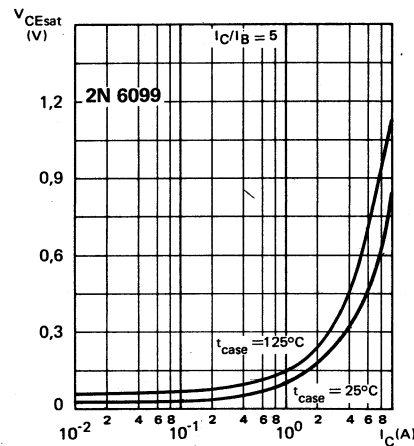
COLLECTOR Emitter VOLTAGE VERSUS
 BASE-EMITTER RESISTANCE
*Tension collecteur-émetteur en fonction de la
 résistance base-émetteur*



BASE Emitter VOLTAGE VERSUS
 COLLECTOR CURRENT
*Tension base-émetteur en fonction du
 courant collecteur*

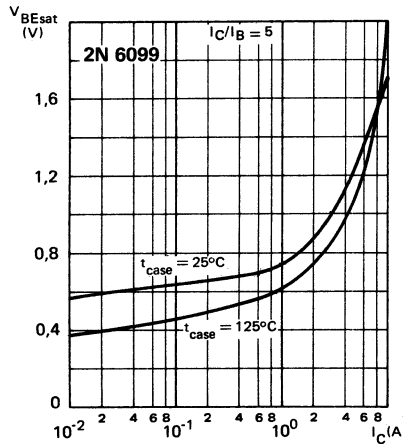


COLLECTOR-EMITTER SATURATION VOLTAGE
 VERSUS COLLECTOR CURRENT
*Tension de saturation collecteur-émetteur en
 fonction du courant collecteur*

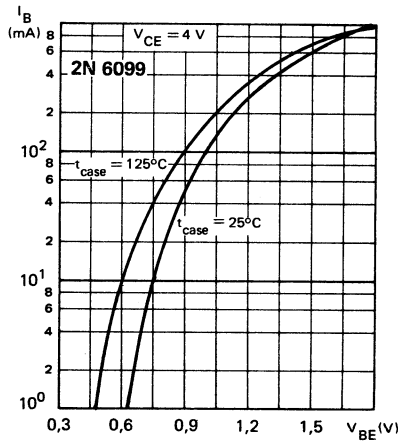


TYPICAL CHARACTERISTICS
CARACTERISTIQUES TYPHIQUES

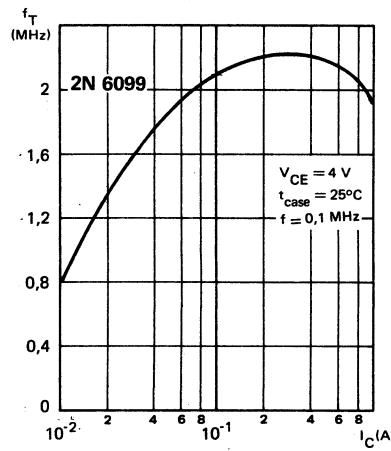
BASE-EMITTER SATURATION VOLTAGE
VERSUS COLLECTOR CURRENT
*Tension de saturation base-émetteur en
fonction du courant collecteur*



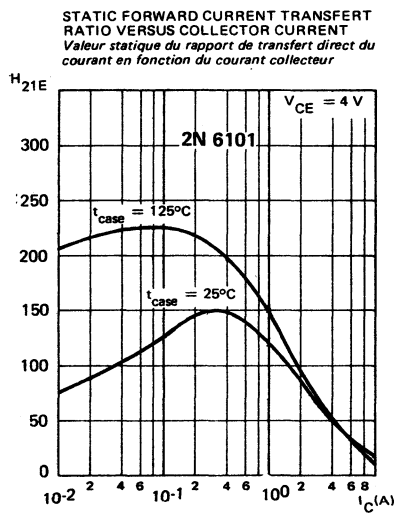
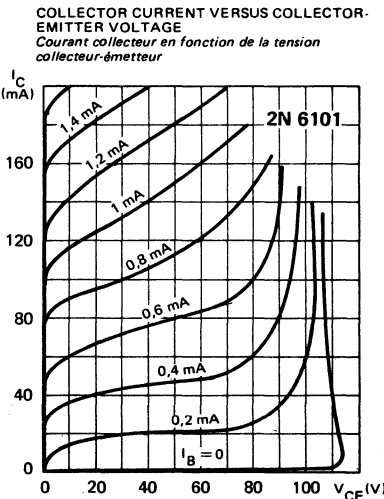
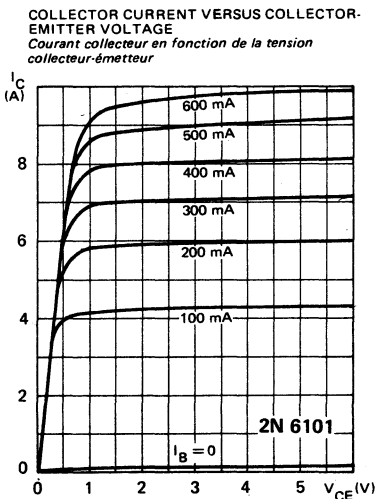
BASE CURRENT VERSUS BASE-EMITTER
VOLTAGE
*Courant base en fonction de la tension base-
émetteur*



TRANSITION FREQUENCY VERSUS
COLLECTOR CURRENT
*Fréquence de transition en fonction du
courant collecteur*

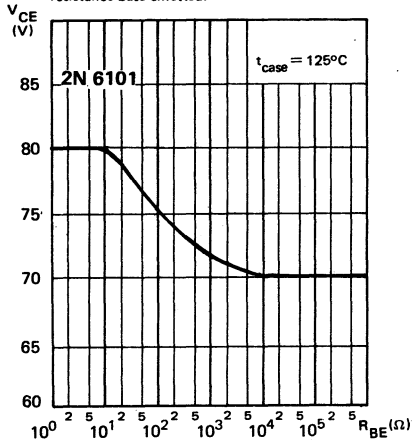


TYPICAL CHARACTERISTICS
CARACTÉRISTIQUES TYPIQUES

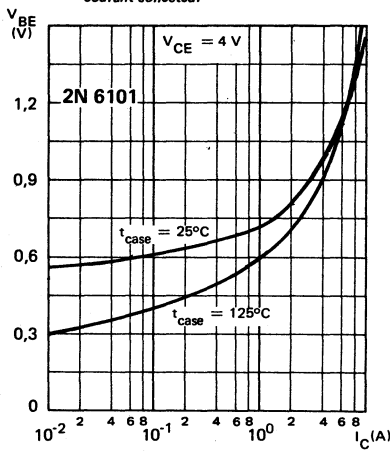


TYPICAL CHARACTERISTICS
CARACTÉRISTIQUES TYPIQUES

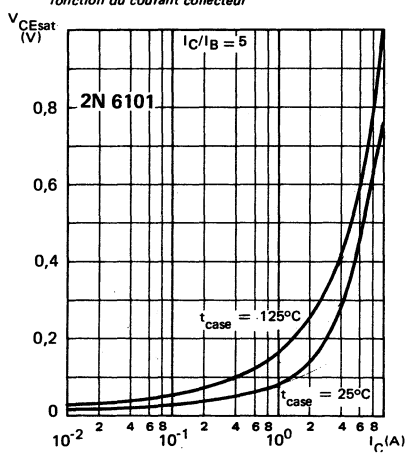
COLLECTOR Emitter VOLTAGE VERSUS
BASE-EMITTER RESISTANCE
*Tension collecteur-émetteur en fonction de la
résistance base-émetteur*



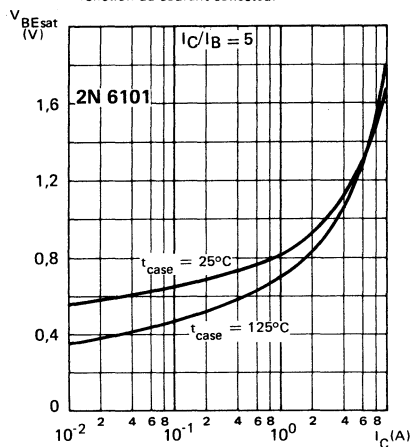
BASE Emitter VOLTAGE VERSUS
COLLECTOR CURRENT
*Tension base-émetteur en fonction du
courant collecteur*



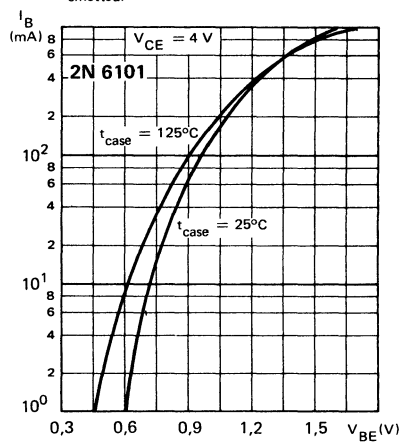
COLLECTOR-EMITTER SATURATION VOLTAGE
VERSUS COLLECTOR CURRENT
*Tension de saturation collecteur-émetteur en
fonction du courant collecteur*



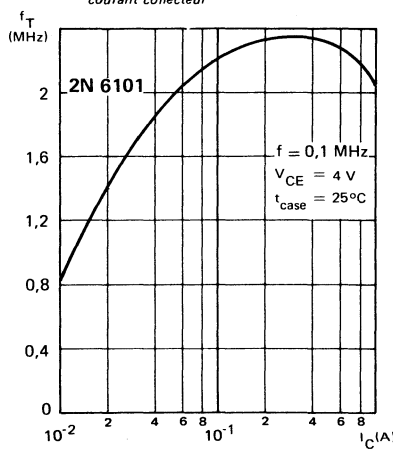
BASE-EMITTER SATURATION VOLTAGE
VERSUS COLLECTOR CURRENT
*Tension de saturation base-émetteur en
fonction du courant collecteur*



BASE CURRENT VERSUS BASE-EMITTER
VOLTAGE
*Courant base en fonction de la tension base-
émetteur*

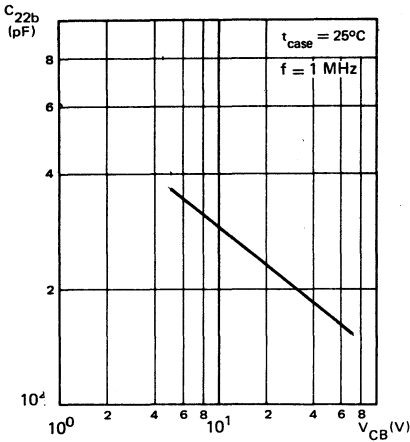


TRANSITION FREQUENCY VERSUS
COLLECTOR CURRENT
*Fréquence de transition en fonction du
courant collecteur*



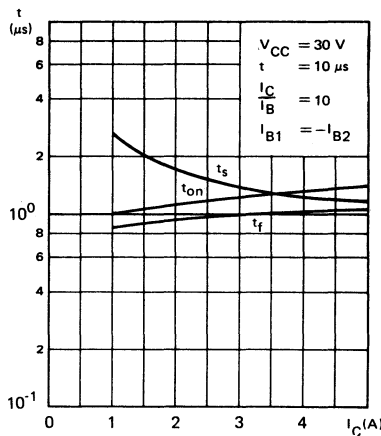
TYPICAL CHARACTERISTICS
CARACTÉRISTIQUES TYPIQUES

OUTPUT CAPACITANCE VERSUS
COLLECTOR-BASE VOLTAGE
*Capacité de sortie en fonction de la
tension collecteur-base*



SWITCHING TIMES VERSUS COLLECTOR
CURRENT

*Temps de commutation en fonction du
courant collecteur*



PNP SILICON TRANSISTORS, EPITAXIAL BASE
TRANSISTORS SILICIUM PNP, BASE ÉPITAXIÉE

Compl. of 2N 5490 series

LF large signal power amplification

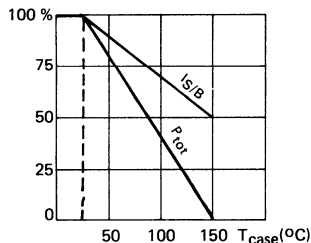
Amplification BF grands signaux de puissance

High current switching

Commutation à fort courant

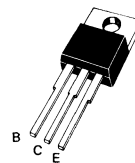
Dissipation and I_S/B derating

Variation de dissipation et de I_S/B



| | | |
|----------------------|---|-------------------------------|
| VCEO | -30 V | 2N 6111 |
| | -50 V | 2N 6109 |
| | -70 V | 2N 6107 |
| I _C | -7 A | |
| P _{tot} | 40 W | |
| R _{th(j-c)} | 3,13 °C/W | max |
| h _{21E} | (-3 A) 30-150 (-2,5 A) 30-150 (-2 A) 30-150 | 2N 6111 2N 6109 2N 6107 |

Plastic case
Boîtier plastique TO 220 AB (CB 117)



ABSOLUTE RATINGS (LIMITING VALUES)
VALEURS LIMITES ABSOLUES D'UTILISATION

| | | 2N 6107 | 2N 6109 | 2N 6111 | |
|---|------------------------------------|-------------------|-------------------|-------------------|----|
| Collector-base voltage <i>Tension collecteur-base</i> | V _{CBO} | - 80 | - 60 | - 40 | V |
| Collector-emitter voltage <i>Tension collecteur-émetteur</i> | V _{CEO} | - 70 | - 50 | - 30 | V |
| Collector-emitter voltage <i>Tension collecteur-émetteur</i> | V _{CER} | - 80 | - 60 | - 40 | V |
| Emitter-base voltage <i>Tension émetteur-base</i> | V _{EBO} | - 5 | - 5 | - 5 | V |
| Collector current <i>Courant collecteur</i> | I _C | - 7 | - 7 | - 7 | A |
| Base current <i>Courant base</i> | I _B | - 3 | - 3 | - 3 | A |
| Power dissipation <i>Dissipation de puissance</i> | P _{tot} | 40 | 40 | 40 | W |
| Storage and junction temperature <i>Température de jonction et de stockage</i> | t _j T _{stg} | 150 - 65 + 150 | 150 - 65 + 150 | 150 - 65 + 150 | °C |

| | | | | | | |
|--|-----|----------------------|------|------|------|------|
| Junction-case thermal resistance <i>Résistance thermique jonction boîtier</i> | max | R _{th(j-c)} | 3,13 | 3,13 | 3,13 | °C/W |
|--|-----|----------------------|------|------|------|------|

STATIC CHARACTERISTICS
CARACTÉRISTIQUES STATIQUES

 $T_{case} = 25^\circ C$ (Unless otherwise stated)
(Sauf indications contraires)

| | Test conditions Conditions de mesure | | | min | typ | max | |
|--|---|------------------|---------|-----|-----|-------|----|
| Collector-emitter cut-off current <i>Courant résiduel collecteur-émetteur</i> | VCE = - 60 V $I_B = 0$ | I _{CEO} | 2N 6107 | | | - 1 | mA |
| | VCE = - 40 V $I_B = 0$ | | 2N 6109 | | | - 1 | |
| | VCE = - 20 V $I_B = 0$ | | 2N 6111 | | | - 1 | |
| Collector-emitter cut-off current <i>Courant résiduel collecteur-émetteur</i> | VCE = - 75 V $V_{BE} = 1,5\text{ V}$ | I _{CEx} | 2N 6107 | | | - 0,1 | mA |
| | VCE = - 70 V $V_{BE} = 1,5\text{ V}$ $T_{case} = 150^\circ C$ | | | | | - 2 | |
| | VCE = - 56 V $V_{BE} = 1,5\text{ V}$ | | 2N 6109 | | | - 0,1 | |
| | VCE = - 50 V $V_{BE} = 1,5\text{ V}$ $T_{case} = 150^\circ C$ | | | | | - 2 | |
| | VCE = - 37,5 V $V_{BE} = 1,5\text{ V}$ | | 2N 6111 | | | - 0,1 | |
| | VCE = - 30 V $V_{BE} = 1,5\text{ V}$ $T_{case} = 150^\circ C$ | | | | | - 2 | |
| Collector-emitter cut-off current <i>Courant résiduel collecteur-émetteur</i> | VCE = - 75 V $R_{BE} = 100\ \Omega$ | I _{CER} | 2N 6107 | | | - 0,1 | mA |
| | VCE = - 70 V $R_{BE} = 100\ \Omega$ $T_{case} = 150^\circ C$ | | | | | - 2 | |
| | VCE = - 55 V $R_{BE} = 100\ \Omega$ | | 2N 6109 | | | - 0,1 | |
| | VCE = - 50 V $R_{BE} = 100\ \Omega$ $T_{case} = 150^\circ C$ | | | | | - 2 | |
| | VCE = - 35 V $R_{BE} = 100\ \Omega$ | | 2N 6111 | | | - 0,1 | |
| | VCE = - 30 V $R_{BE} = 100\ \Omega$ $T_{case} = 150^\circ C$ | | | | | - 2 | |
| Emitter-base cut-off current <i>Courant résiduel émetteur-base</i> | $V_{EB} = - 5\text{ V}$ $I_C = 0$ | I _{EBO} | | | | - 1 | mA |

(Unless otherwise stated)

(Sauf indications contraires)

STATIC CHARACTERISTICS**CARACTÉRISTIQUES STATIQUES****T_{case} 25 °C**

| | Test conditions Conditions de mesure | | | min | typ | max | |
|---|---|-----------------------|-------------------------------|-------------------|-----|------|---|
| Collector-emitter breakdown voltage <i>Tension de claquage collecteur-émetteur</i> | I _C = -100 mA I _B = 0 | V _{CEOsus} * | 2N 6107 2N 6109 2N 6111 | -70 -50 -30 | | | V |
| Collector-emitter breakdown voltage <i>Tension de claquage collecteur-émetteur</i> Fig. 1 | I _C = -100 mA R _{BE} = 100 Ω L = 2 mH | V _{CERsus} * | 2N 6107 2N 6109 2N 6111 | -80 -60 -40 | | | V |
| Static forward current transfer ratio <i>Valeur statique du rapport de transfert direct du courant</i> | V _{CE} = -4 V I _C = -2 A | h21E* | 2N 6107 | 30 | | 150 | |
| | V _{CE} = -4 V I _C = -2,5 A | | 2N 6109 | 30 | | 150 | |
| | V _{CE} = -4 V I _C = -3 A | | 2N 6111 | 30 | | 150 | |
| | V _{CE} = -4 V I _C = -6,5 A | | | 5 | | | |
| Collector-emitter saturation voltage <i>Tension de saturation collecteur-émetteur</i> | I _C = -2 A I _B = -0,2 A | V _{CESat} * | 2N 6107 | | | -1 | |
| | I _C = -2,5 A I _B = -0,25 A | | 2N 6109 | | | -1 | V |
| | I _C = -3 A I _B = -0,3 A | | 2N 6111 | | | -1 | |
| | I _C = -6,5 A I _B = -1,63 A | | | | | -2 | |
| Base-emitter voltage <i>Tension base-émetteur</i> | V _{CE} = -4 V I _C = -2 A | V _{BE} * | 2N 6107 | | | -1,5 | |
| | V _{CE} = -4 V I _C = -2,5 A | | 2N 6109 | | | -1,5 | V |
| | V _{CE} = -4 V I _C = -3 A | | 2N 6111 | | | -1,5 | |

DYNAMIC CHARACTERISTICS (for small signals)**CARACTÉRISTIQUES DYNAMIQUE (pour petits signaux)**

| | | | | | | | |
|---|---|------|--|----|--|--|--|
| Forward current transfer ratio <i>Rapport de transfert direct du courant</i> | V _{CE} = -4 V I _C = -0,5 A f = 50 KHz | h21e | | 20 | | | |
|---|---|------|--|----|--|--|--|

* Pulsed
Impulsions t_p = 300 μs δ ≤ 2 %

DYNAMIC CHARACTERISTICS (for small signals)

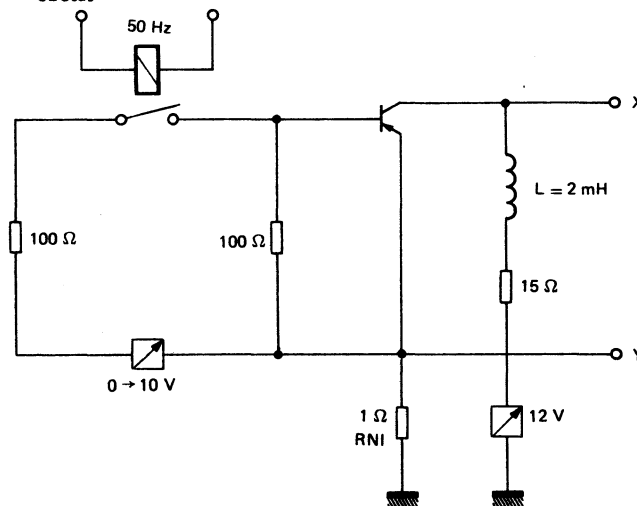
CARACTÉRISTIQUES DYNAMIQUES (pour petits signaux)

T_{case} 25 °C

(Unless otherwise stated)

(Sauf indications contraires)

| | Test conditions Conditions de mesure | | min | typ | max | |
|---|--|------------------|-----|-----|-----|-----|
| Transition frequency Fréquence de transition | V _{CE} = - 4 V I _C = - 0,5 A f = 1 MHz | f _T | | 10 | | MHz |
| Output capacitance Capacité de sortie | V _{CB} = - 10 V f = 1 MHz | C _{22b} | | | 250 | pF |

V_{CEO}sus test circuitCircuit de mesure de V_{CEO}sus

2N 6671 - 2N 6672 - 2N 6673

NPN HIGH-VOLTAGE POWER TRANSISTORS
TRANSISTORS DE PUISSANCE NPN HAUTE TENSION

ADVANCE INFORMATION

HIGH-VOLTAGE, HIGH-SPEED, SWITCHING POWER TRANSISTORS SUITED FOR USE ON THE 220 AND 380 V MAINS

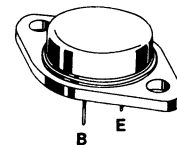
APPLICATIONS :

- SWITCHING REGULATORS
- INVERTERS
- SOLENOID AND RELAY DRIVERS
- MOTORS CONTROLS
- DEFLECTION CIRCUITS

2N 6671 2N 6672 2N 6673

| | | | |
|-----------------|-------|-------|----------|
| V_{CEO} (sus) | 300 V | 350 V | 400 V |
| V_{CEV} | 450 V | 550 V | 650 V |
| I_C sat | | 5 A | |
| t_f (125°C) | | | ≤ 800 ns |

Case : TO-3 (CB - 19)
Boîtier



ABSOLUTE RATINGS (LIMITING VALUES)

VALEURS LIMITES ABSOLUES D'UTILISATION

$T_{case} = 25^\circ\text{C}$

2N 6671 2N 6672 2N 6673

| | | | | | |
|---|-------------------|-----|-------------|-----|----|
| Collector-emitter voltage <i>Tension collecteur-émetteur</i> | V_{CEO} | 300 | 350 | 400 | V |
| Collector-emitter voltage <i>Tension collecteur-émetteur</i> | V_{CEV} | 450 | 550 | 650 | V |
| Collector-emitter voltage* <i>Tension collecteur-émetteur*</i> | V_{CEX} | 350 | 400 | 450 | V |
| Emitter-base voltage <i>Tension émetteur-base</i> | V_{EBO} | | 8 | | V |
| Collector current <i>Courant collecteur</i> | I_C I_{CM} | | 8 | 10 | A |
| Base current <i>Courant de base</i> | I_B | | 4 | | A |
| Power dissipation <i>Dissipation de puissance</i> | P_{tot} | | 150 | | W |
| Junction temperature <i>Température de jonction</i> | T_j | | - 65 to 200 | | °C |

Junction-case thermal resistance
Résistance thermique jonction-boîtier

$R_{th(j-c)}$

1,17

°C/W

*Clamped

50, rue Jean-Pierre Timbaud - B.P. 5
 F - 92403 Courbevoie Cedex FRANCE
 Tel.: (1) 788-50-01 Telex : 610560 F

September 1982 - 1/2

ELECTRICAL CHARACTERISTICS - CARACTÉRISTIQUES ÉLECTRIQUES**

| SYMBOLS | Min. | Typ. | Max. | UNITS | TEST CONDITIONS - CONDITIONS DE MESURE | |
|---|-------------|-------------|-------------|--------------|---|---|
| OFF CHARACTERISTICS - CARACTÉRISTIQUES A L'ÉTAT BLOQUE | | | | | | |
| V _{C EO} (sus) | 300 | | | V | 2N 6671 | $\left. \begin{array}{l} I_B = 0, I_C = 0,2 \text{ A}, L_C = 25 \mu\text{H} \\ I_B1 = - I_B2 = 1 \text{ A}, I_C = 5 \text{ A} \end{array} \right\}$ |
| | 350 | | | | 2N 6672 | |
| | 400 | | | | 2N 6673 | |
| V _{C EX} clamped | 350 | | | V | 2N 6671 | $\left. \begin{array}{l} I_B1 = - I_B2 = 1 \text{ A}, I_C = 5 \text{ A} \\ V_{BB} = - 5 \text{ V}, \\ L_C = 170 \mu\text{H}, \\ R_{BB} = 5 \Omega \end{array} \right\}$ |
| | 400 | | | | 2N 6672 | |
| | 450 | | | | 2N 6673 | |
| | 200 | | | | 2N 6671 | |
| | 250 | | | | 2N 6672 | |
| | 300 | | | | 2N 6673 | |
| I _{CEV} | | 0,1 | | mA | T _j = 125°C | $\left. \begin{array}{l} V_{CE} = V_{CEV}, V_{EB} = 1,5 \text{ V} \\ I_C = 0, V_{EB} = 8 \text{ V} \end{array} \right\}$ |
| | | 1 | | | | |
| I _{EBO} | | | 2 | | | |

ON CHARACTERISTICS - CARACTÉRISTIQUES A L'ÉTAT CONDUCTEUR

| | | | | | | |
|------------------------|----|-----|---|------------------------|---|--|
| V _{C E} sat * | | 1 | V | | I _C = 5 A, I _B = 1 A | |
| | | 2 | | T _j = 125°C | | |
| | | 2 | | | I _C = 8 A, I _B = 4 A | |
| V _{B E} sat * | | 1,6 | | | I _C = 5 A, I _B = 1 A | |
| h _{F E} * | 10 | 40 | | | V _{CE} = 3 V, I _C = 5 A | |
| h _{f e} | 3 | 12 | | | V _{CE} = 10 V, I _C = 0,2 A, f = 1 MHz | |

SWITCHING CHARACTERISTICS - CARACTÉRISTIQUES DE COMMUTATION

| Resistive load - Charge résistive | | | | | | | |
|--|--|-----|----|------------------------|---|--|--|
| t _d | | 0,1 | μs | | $\left. \begin{array}{l} V_{CC} = 125 \text{ V}, I_C = 5 \text{ A}, \\ I_{B1} = 1 \text{ A}, V_{BB} = - 6 \text{ V}, \\ t_p = 20 \mu\text{s} \end{array} \right\}$ | | |
| t _r | | 0,5 | | T _j = 125°C | | | |
| | | 0,8 | | | | | |
| t _s | | 2,5 | μs | T _j = 125°C | $\left. \begin{array}{l} V_{CC} = 125 \text{ V}, I_C = 5 \text{ A}, \\ I_{B1} = - I_{B2} = 1 \text{ A}, \\ V_{BB} = - 6 \text{ V}, t_p = 20 \mu\text{s} \end{array} \right\}$ | | |
| | | 4 | | | | | |
| t _f | | 0,4 | | T _j = 125°C | | | |
| | | 0,8 | | | | | |

Inductive load - Charge inductive

| | | | | | | |
|----------------|--|-----|----|------------------------|---|--|
| t _c | | 0,4 | μs | | $\left. \begin{array}{l} V_{CC} = 125 \text{ V}, I_C = 5 \text{ A}, \\ R_C = 25 \Omega, \text{ collector clamped to } V_{CEX} \end{array} \right\}$ | |
| | | 0,8 | | T _j = 125°C | | |

*Pulse Impulsions : $t_p = 300 \mu\text{s}, \delta \leq 2\%$

** $T_j = 25^\circ\text{C}$ unless otherwise stated
sauf indications contraires

NPN HIGH-VOLTAGE POWER TRANSISTORS
TRANSISTORS DE PUISSANCE NPN HAUTE TENSION

ADVANCE INFORMATION

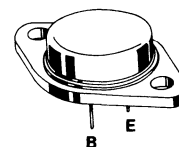
HIGH-VOLTAGE, HIGH-SPEED, SWITCHING
POWER TRANSISTORS SUITED FOR USE ON
THE 220 AND 380 V MAINS

APPLICATIONS :

- SWITCHING REGULATORS
- INVERTERS
- SOLENOID AND RELAY DRIVERS
- MOTORS CONTROLS
- DEFLECTION CIRCUITS

| | 2N 6674 | 2N 6675 |
|--|------------------|---------|
| V _{CEO} (sus) | 300 V | 400 V |
| V _{C EV} | 450 V | 650 V |
| I _{C sat} t _f (100°C) | 10 A ≤ 800 ns | |

Case : TO-3 (CB - 19)
Boîtier



ABSOLUTE RATINGS (LIMITING VALUES)

VALEURS LIMITES ABSOLUES D'UTILISATION

T_{case} = 25°C

2N 6674

2N 6675

| | | | | |
|--|-----------------------------------|-------------|-----|----|
| Collector-emitter voltage Tension collecteur-émetteur | V _{CEO} | 300 | 400 | V |
| Collector-emitter voltage* Tension collecteur-émetteur* | V _{C EV} | 450 | 650 | V |
| Collector-emitter voltage Tension collecteur-émetteur | V _{C EX} | 350 | 450 | V |
| Emitter-base voltage Tension émetteur-base | V _{EBO} | 7 | | V |
| Collector current Courant collecteur | I _C I _{CM} | 15 20 | | A |
| Base current Courant de base | I _B | 5 | | A |
| Power dissipation Dissipation de puissance | P _{tot} | 175 | | W |
| Junction temperature Température de jonction | T _j | – 65 to 200 | | °C |

Junction-case thermal resistance
Résistance thermique jonction-boîtier

R_{th(j-c)}

1

°C/W

*Clamped

50, rue Jean-Pierre Timbaud - B.P. 5
F - 92403 Courbevoie Cedex FRANCE
Tél. : (1) 788-50-01 Telex : 610560 F

September 1982 - 1/2

ELECTRICAL CHARACTERISTICS - CARACTÉRISTIQUES ÉLECTRIQUES**

| SYMBOLS | Min. | Typ. | Max. | UNITS | TEST CONDITIONS - CONDITIONS DE MESURE |
|---------|------|------|------|-------|--|
|---------|------|------|------|-------|--|

OFF CHARACTERISTICS - CARACTÉRISTIQUES A L'ÉTAT BLOQUE

| | | | | | |
|-------------------------|-----|-----|--|----|--|
| V _{CCEO} (sus) | 300 | | | V | 2N 6674 2N 6675 |
| | 400 | | | | $I_B = 0, I_C = 0,2 \text{ A}, L_C = 25 \text{ mH}$ |
| V _{CEx} | 350 | | | mA | 2N 6674 2N 6675 |
| | 450 | | | | $I_B = 2 \text{ A}, I_C = 10 \text{ A}, V_{BB} = - 4 \text{ V}$ $L_C = 50 \mu\text{H}, R_{BB} = 2 \Omega$ |
| I _{CEV} | | 0,1 | | mA | $T_j = 100^\circ\text{C}$ |
| | | 1 | | | $V_{CE} = V_{CEV}, V_{EB} = 1,5 \text{ V}$ |
| I _{EBO} | | 2 | | | $I_C = 0, V_{EB} = 7 \text{ V}$ |

ON CHARACTERISTICS - CARACTÉRISTIQUES A L'ÉTAT CONDUCTEUR

| | | | | |
|------------------------|---|-----|---|---|
| V _{CEx} sat * | | 1 | V | $I_C = 10 \text{ A}, I_B = 2 \text{ A}$ |
| | | 2 | | $T_j = 100^\circ\text{C}$ |
| | | 5 | | $I_C = 15 \text{ A}, I_B = 5 \text{ A}$ |
| V _{BE} sat * | | 1,5 | | $I_C = 10 \text{ A}, I_B = 2 \text{ A}$ |
| h_{FE} * | 8 | 20 | | $V_{CE} = 2 \text{ V}, I_C = 10 \text{ A}$ |
| h_{fe} | 3 | 10 | | $V_{CE} = 10 \text{ V}, I_C = 1 \text{ A}, f = 5 \text{ MHz}$ |

SWITCHING CHARACTERISTICS - CARACTÉRISTIQUES DE COMMUTATION

| Resistive load - Charge résistive | | | | | |
|-----------------------------------|--|-----|---------------|--|---|
| t_d | | 0,1 | μs | $V_{CC} = 135 \text{ V}, I_C = 10 \text{ A},$ | |
| | | 0,6 | | $I_{B1} = 2 \text{ A}, V_{BB} = - 6 \text{ V},$ | |
| | | 1 | | $T_j = 100^\circ\text{C}, t_p = 20 \mu\text{s}$ | |
| t_s | | 2,5 | μs | $T_j = 100^\circ\text{C}$ | |
| | | 4 | | $V_{CC} = 135 \text{ V}, I_C = 10 \text{ A},$ | |
| | | 0,5 | | $I_{B1} = - I_{B2} = 2 \text{ A},$ | |
| t_f | | 1 | | $V_{BB} = - 6 \text{ V}, t_p = 20 \mu\text{s}$ | |
| | | | | $T_j = 100^\circ\text{C}$ | |
| Inductive load - Charge inductive | | | | | |
| t_c | | 0,5 | μs | $V_{CC} = 135 \text{ V}, I_C = 10 \text{ A},$ | |
| | | 0,8 | | $R_C = 13,5 \Omega, \text{ collector clamped to } V_{CEX}$ | |
| | | | | $T_j = 100^\circ\text{C}$ | $I_{B1} = - I_{B2} = 2 \text{ A}, L_C = 50 \mu\text{H}$ |

*Pulse
Impulsions : $t_p = 300 \mu\text{s}, \delta \leq 2 \%$

** $T_j = 25^\circ\text{C}$ unless otherwise stated
sauf indications contraires

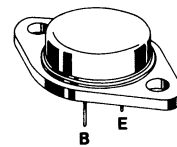
ADVANCE INFORMATION

HIGH-VOLTAGE, HIGH-SPEED, SWITCHING POWER TRANSISTORS SUITED FOR USE ON THE 220 AND 380 V MAINS

APPLICATIONS :

- SWITCHING REGULATORS
- INVERTERS
- SOLENOID AND RELAY DRIVERS
- MOTORS CONTROLS
- DEFLECTION CIRCUITS

| | 2N 6676 | 2N 6677 | 2N 6678 |
|--|----------------|----------------|----------------|
| V_{CEO} (sus) | 300 V | 350 V | 400 V |
| V_{CEV} | 450 V | 550 V | 650 V |
| I_{C sat} t_f (100°C) | 15 A | $\leq 1\mu s$ | |

Case : TO-3 (CB - 19)
Boîtier

ABSOLUTE RATINGS (LIMITING VALUES)
VALEURS LIMITES ABSOLUES D'UTILISATION
T_{case} = 25°C**2N 6676 2N 6677 2N 6678**

| | | | | | |
|--|---|-------------|-----|-----|----|
| Collector-emitter voltage <i>Tension collecteur-émetteur</i> | V_{CEO} | 300 | 350 | 400 | V |
| Collector-emitter voltage V _{BE} = - 1,5 V <i>Tension collecteur-émetteur</i> | V_{CEV} | 450 | 550 | 650 | V |
| Collector-emitter voltage* <i>Tension collecteur-émetteur*</i> | V_{CEX} | 350 | 400 | 450 | V |
| Emitter-base voltage <i>Tension émetteur-base</i> | V_{EBO} | | 8 | | V |
| Collector current <i>Courant collecteur</i> | I_C I_{CM} | | 15 | 20 | A |
| Base current <i>Courant de base</i> | I_B | | 5 | | A |
| Power dissipation <i>Dissipation de puissance</i> | P_{tot} | | 175 | | W |
| Junction temperature <i>Température de jonction</i> | T_j | - 65 to 200 | | | °C |

 Junction-case thermal resistance
Résistance thermique jonction-boîtier
R_{th(j-cl)}

1

°C/W

*Clamped

 50, rue Jean-Pierre Timbaud - B.P. 5
 F - 92403 Courbevoie Cedex FRANCE
 Tél. : (1) 788-50-01 Telex : 610560 F

September 1982 - 1/2

ELECTRICAL CHARACTERISTICS - CARACTÉRISTIQUES ÉLECTRIQUES**

| SYMBOLS | Min. | Typ. | Max. | UNITS | TEST CONDITIONS - CONDITIONS DE MESURE |
|---|-------------|-------------|-------------|--------------|--|
| OFF CHARACTERISTICS - CARACTÉRISTIQUES A L'ÉTAT BLOQUÉ | | | | | |
| V _{CEO} (sus) | 300 | | | V | 2N 6676 2N 6677 2N 6678 |
| | 350 | | | | $I_B = 0, I_C = 0,2 \text{ A}, L_C = 25 \mu\text{H}$ |
| | 400 | | | | |
| V _{CEx} | 350 | | | V | 2N 6676 2N 6677 2N 6678 |
| | 400 | | | | $I_B = 3 \text{ A}, I_C = 15 \text{ A}, V_{BB} = -6 \text{ V}, L_C = 50 \mu\text{H}, R_{BB} = 2\Omega$ |
| | 450 | | | | |
| I _{CEV} | | 0,1 | | mA | $T_j = 100^\circ\text{C}$ $V_{CE} = V_{CEV}, V_{EB} = 1,5 \text{ V}$ |
| | | 1 | | | |
| I _{EBO} | | | 2 | | $I_C = 0, V_{EB} = 8 \text{ V}$ |

ON CHARACTERISTICS - CARACTÉRISTIQUES A L'ÉTAT CONDUCTEUR

| | | | | | |
|-----------------------|---|-----|---|--|---|
| V _{CE} sat * | | 1 | V | | $I_C = 15 \text{ A}, I_B = 3 \text{ A}$ |
| | | 2 | | | $T_j = 100^\circ\text{C}$ |
| V _{BE} sat * | | 1,5 | V | | $I_C = 15 \text{ A}, I_B = 3 \text{ A}$ |
| h_{FE} * | 8 | | | | $V_{CE} = 3 \text{ V}, I_C = 15 \text{ A}$ |
| h_{fe} | 3 | 10 | | | $V_{CE} = 10 \text{ V}, I_C = 1 \text{ A}, f = 5 \text{ MHz}$ |

SWITCHING CHARACTERISTICS - CARACTÉRISTIQUES DE COMMUTATION

| Resistive load - Charge résistive | | | | | |
|--|--|-----|---------------|--|--|
| t _d | | 0,1 | μs | | $V_{CC} = 200 \text{ V}, I_C = 15 \text{ A}, I_{B1} = 3 \text{ A}, V_{BB} = -6 \text{ V}, T_j = 100^\circ\text{C}, t_p = 20 \mu\text{s}$ |
| | | 0,6 | | | |
| t _r | | 1 | | | |
| | | | | | |
| t _s | | 2,5 | μs | | $V_{CC} = 200 \text{ V}, I_C = 15 \text{ A}, I_{B1} = -I_{B2} = 3 \text{ A}, V_{BB} = -6 \text{ V}, T_j = 100^\circ\text{C}, t_p = 20 \mu\text{s}$ |
| | | 4 | | | |
| t _f | | 0,5 | μs | | $T_j = 100^\circ\text{C}$ |
| | | 1 | | | |

Inductive load - Charge inductive

| | | | | | |
|----------------|--|-----|---------------|--|---|
| t _c | | 0,5 | μs | | $V_{CC} = 200 \text{ V}, I_C = 15 \text{ A}, R_C = 13,5 \Omega, \text{collector clamped to } V_{CEX}$ |
| | | 0,8 | | | $T_j = 100^\circ\text{C}, I_{B1} = -I_{B2} = 3 \text{ A}, L_C = 50 \mu\text{H}$ |

*Pulse Impulsions : $t_p = 300 \mu\text{s}, \delta \leq 2 \%$

** $T_j = 25^\circ\text{C}$ unless otherwise stated
sauf indications contraires

SUPERSWITCH

ADVANCE INFORMATION

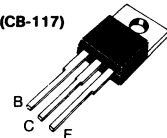
- Complementary symmetry stages amplifiers
Etages amplificateurs à symétrie complémentaire

- General purpose transistors designed for low frequency switching applications
Transistors à usage général adaptés pour la commutation à basse fréquence

Comp. of BD 242, A, B, C

| | | |
|-----------|-------|----------|
| V_{CEO} | 45 V | BD 241 |
| | 60 V | BD 241 A |
| | 80 V | BD 241 B |
| | 100 V | BD 241 C |
| I_C | 3 A | |
| P_{tot} | 40 W | |

Case
Boîtier TO-220 AB (CB-117)



Collector is connected to case
Le collecteur est relié au boîtier

ABSOLUTE RATINGS (LIMITING VALUES) VALEURS LIMITES ABSOLUES D'UTILISATION

$T_{case} = 25^\circ\text{C}$ (Unless otherwise stated)
(Sauf indication contraire)

| | | BD 241 | BD 241 A | BD 241 B | BD 241 C | | |
|--|---|-----------|----------|-------------|----------|-----|------------------|
| Collector-emitter voltage Tension collecteur-émetteur | V_{CEO} | 45 | 60 | 80 | 100 | V | |
| Collector-emitter voltage Tension collecteur-émetteur | $R_{BE} = 100 \Omega$ | V_{CER} | 50 | 70 | 90 | 115 | V |
| Emitter-base voltage Tension émetteur-base | | V_{EBO} | | 5 | | | V |
| Collector current Courant collecteur | | I_C | | 3 | | | A |
| Base current Courant de base | | I_B | | 1 | | | A |
| Power dissipation Dissipation de puissance | $T_{amb} = 25^\circ\text{C}$ $T_{case} = 25^\circ\text{C}$ | P_{tot} | | 2 | | | W |
| Junction temperature Température de jonction | | T_j | | - 65, + 150 | | | $^\circ\text{C}$ |

| | | | |
|--|---------------|------|--------------------|
| Junction-ambient thermal resistance <i>Résistance thermique jonction-ambiante</i> | $R_{th(j-a)}$ | 62,5 | $^\circ\text{C/W}$ |
| Junction-case thermal resistance <i>Résistance thermique jonction-boîtier</i> | $R_{th(j-c)}$ | 3,1 | |

BD 241, BD 241 A, BD 241 B, BD 241 C

STATIC CHARACTERISTICS
CARACTERISTIQUES STATIQUES

$t_{amb} = 25^\circ C$

(Unless otherwise stated)
(Sauf indications contraires)

| | Test conditions Conditions de mesure | | | Min. | Typ. | Max. |
|---|---|------------------|----------|------|------|------|
| Collector-emitter cut-off current <i>Courant résiduel collecteur-émetteur</i> | $V_{CE} = 30 V$ $I_B = 0$ | I_{CEO} | | 0,5 | | mA |
| Collector-emitter cut-off current <i>Courant résiduel collecteur-émetteur</i> | $V_{CE} = 45 V$ $V_{BE} = 0$ | I_{CES} | BD 241 | | 0,3 | mA |
| | $V_{CE} = 60 V$ $V_{BE} = 0$ | | BD 241 A | | 0,3 | mA |
| | $V_{CE} = 80 V$ $V_{BE} = 0$ | | BD 241 B | | 0,3 | mA |
| | $V_{CE} = 100 V$ $V_{BE} = 0$ | | BD 241 C | | 0,3 | mA |
| Emitter-base cut-off current <i>Courant résiduel émetteur-base</i> | $V_{EB} = 5 V$ $I_C = 0$ | I_{EBO} | | 1 | | mA |
| Collector-emitter breakdown voltage <i>Tension de claquage collecteur-émetteur</i> | $I_C = 100 mA$ $I_B = 0$ | $V_{CEO(sus)}^*$ | BD 241 | 45 | | V |
| | | | BD 241 A | 60 | | V |
| | | | BD 241 B | 80 | | V |
| | | | BD 241 C | 100 | | V |
| Static forward current transfer ratio <i>Valeur statique du rapport de transfert direct du courant</i> | $V_{CE} = 4 V$ $I_C = 1 A$ | h_{21E}^* | | 20 | | V |
| | $V_{CE} = 4 V$ $I_C = 3 A$ | | | 8 | | V |
| Collector-emitter saturation voltage <i>Tension de saturation collecteur-émetteur</i> | $I_C = 3 A$ $I_B = 0,6 A$ | V_{CEsat}^* | | 1,2 | | V |
| Base-emitter voltage <i>Tension base-émetteur</i> | $V_{CE} = 4 V$ $I_C = 3 A$ | V_{BE}^* | | 1,8 | | V |

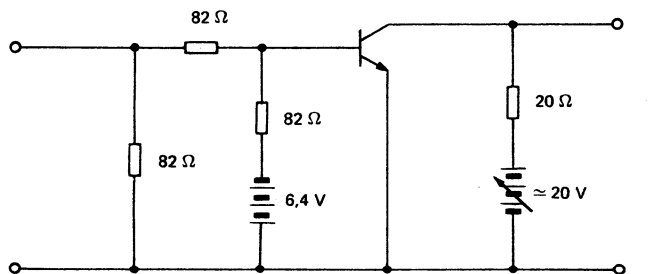
* Pulsed
Impulsions $t_p = 300 \mu s$ $\delta \leq 2 \%$

DYNAMIC CHARACTERISTICS (for small signals)
CARACTÉRISTIQUES DYNAMIQUES (pour petits signaux)
 $t_{case} = 25^\circ\text{C}$ (Unless otherwise stated)
(Sauf indications contraires)

| | Test conditions Conditions de mesure | | | Min. | Typ. | Max. |
|---|--|-------------|--|------|------|---------------|
| Forward current transfer ratio <i>Rapport de transfert direct du courant</i> | $V_{CE} = 10 \text{ V}$ $I_C = 0,5 \text{ A}$ $f = 1 \text{ kHz}$ | h_{21e} | | 20 | | |
| Transition frequency <i>Fréquence de transition</i> | $V_{CE} = 10 \text{ V}$ $I_C = 0,5 \text{ A}$ $f = 1 \text{ MHz}$ | f_T | | 3 | | MHz |
| Turn-on time <i>Temps total d'établissement</i> | $I_C = 1 \text{ A}$ $I_{B1} = 0,1 \text{ A}$ | $t_d + t_r$ | | 0,3 | | μs |
| Turn-off time <i>Temps total de coupure</i> | $I_C = 1 \text{ A}$ $I_{B1} = 0,1 \text{ A}$ $I_{B2} = -0,1 \text{ A}$ | $t_s + t_f$ | | 1 | | μs |

THERMAL CHARACTERISTICS
CARACTÉRISTIQUES THERMIQUES

| | | | | | |
|--|--|---------------|--|------|--------------------|
| Junction-case thermal resistance <i>Résistance thermique (jonction-boîtier)</i> | | $R_{th(j-c)}$ | | 3,1 | $^\circ\text{C/W}$ |
| Junction-ambient thermal resistance <i>Résistance thermique (jonction-ambiance)</i> | | $R_{th(j-a)}$ | | 62,5 | $^\circ\text{C/W}$ |

SWITCHING TIMES TEST CIRCUIT
SCHEMA DE MESURE DES TEMPS DE COMMUTATION
All resistances are non inductive
Toutes les résistances de type non inductif

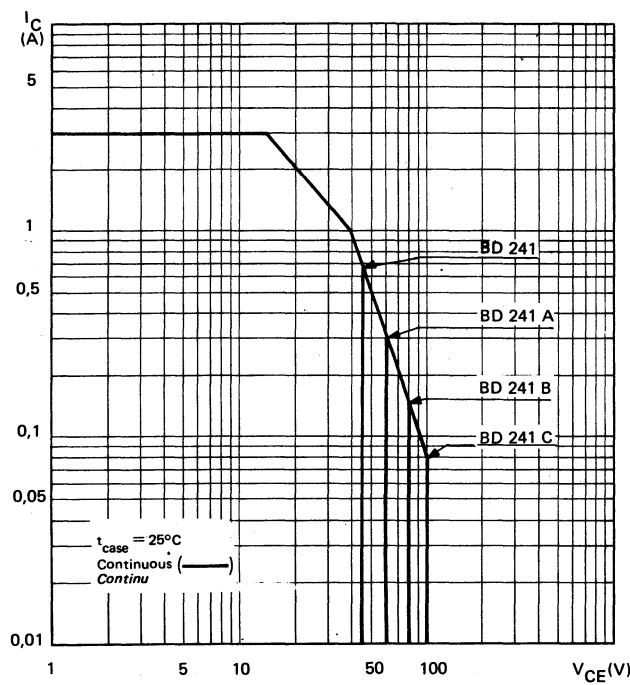
Oscilloscope
Oscilloscope
 $t_r \leqslant 15 \text{ ns}$
 $R_I \geqslant 10 \text{ M}\Omega$
 $C_I \leqslant 11,5 \text{ pF}$

$t_f \leqslant 15 \text{ ns}$
 $t_p \leqslant 15 \text{ ns}$
 $R_O = 50 \Omega$
 $t_{p0} = 10 \mu\text{s}$
 $\delta \leqslant 2 \%$

* Pulsed Impulses $t_p = 300 \mu\text{s}$ $\delta \leqslant 2 \%$

BD 241, BD 241 A, BD 241 B, BD 241 C

SAFE OPERATING AREA
AIRE DE FONCTIONNEMENT DE SECURITE



SUPERSWITCH

PNP SILICON TRANSISTORS
TRANSISTORS PNP SILICIUM

ADVANCE INFORMATION

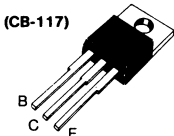
Comp. of BD 241, A, B, C

- Complementary symmetry stages amplifiers
Etages amplificateurs à symétrie complémentaire
- General purpose transistors designed for low frequency switching applications
Transistors à usage général adaptés pour la commutation à basse fréquence

V_{CEO} {
 - 45 V BD 242
 - 60 V BD 242 A
 - 80 V BD 242 B
 - 100 V BD 242 C
 }

I_C -3 A
 P_{tot} 40 W

Case
Boîtier TO-220 AB (CB-117)



Collector is connected to case
Le collecteur est relié au boîtier

ABSOLUTE RATINGS (LIMITING VALUES)
VALEURS LIMITES ABSOLUES D'UTILISATION

$T_{case} = 25^\circ\text{C}$ (Unless otherwise stated)
(Sauf indication contraire)

| | | BD 242 | BD 242 A | BD 242 B | BD 242 C | | |
|---|---|---------------|-----------------|-----------------|-----------------|-------|------------------|
| Collector-emitter voltage <i>Tension collecteur-émetteur</i> | V_{CEO} | - 45 | - 60 | - 80 | - 100 | V | |
| Collector-emitter voltage <i>Tension collecteur-émetteur</i> | $R_{BE} = 100 \Omega$ | V_{CER} | - 50 | - 70 | - 90 | - 115 | V |
| Emitter-base voltage <i>Tension émetteur-base</i> | | V_{EBO} | | - 5 | | | V |
| Collector current <i>Courant collecteur</i> | | I_C | | - 3 | | | A |
| Base current <i>Courant de base</i> | | I_B | | - 1 | | | A |
| Power dissipation <i>Dissipation de puissance</i> | $T_{amb} = 25^\circ\text{C}$ $T_{case} = 25^\circ\text{C}$ | P_{tot} | | 2 40 | | | W |
| Junction temperature <i>température de jonction</i> | | T_J | | - 65, + 150 | | | $^\circ\text{C}$ |

| | | | |
|--|---------------|------|--------------------|
| Junction-ambient thermal resistance <i>Résistance thermique jonction-ambiente</i> | $R_{th(j-a)}$ | 62,5 | $^\circ\text{C/W}$ |
| Junction-case thermal resistance <i>Résistance thermique jonction-boîtier</i> | $R_{th(j-c)}$ | 3,1 | |

BD 242, BD 242 A, BD 242 B, BD 242 C

STATIC CHARACTERISTICS
CARACTÉRISTIQUES STATIQUES

$t_{amb} = 25^\circ C$

(Unless otherwise stated)
(Sauf indications contraires)

| | Test conditions Conditions de mesure | | | Min. | Typ. | Max. | |
|---|---|------------------|--------------|------|------|------|----|
| Collector-emitter cut-off current <i>Courant résiduel collecteur-émetteur</i> | $V_{CE} = -30 V$ $I_B = 0$ | I_{CEO} | | | -0,5 | | mA |
| Collector-emitter cut-off current <i>Courant résiduel collecteur-émetteur</i> | $V_{CE} = -45 V$ $V_{BE} = 0$ | I_{CES} | $BD\ 242$ | | -0,3 | | mA |
| | $V_{CE} = -60 V$ $V_{BE} = 0$ | | $BD\ 242\ A$ | | -0,3 | | mA |
| | $V_{CE} = -80 V$ $V_{BE} = 0$ | | $BD\ 242\ B$ | | -0,3 | | mA |
| | $V_{CE} = -100 V$ $V_{BE} = 0$ | | $BD\ 242\ C$ | | -0,3 | | mA |
| Emitter-base cut-off current <i>Courant résiduel émetteur-base</i> | $V_{EB} = 5 V$ $I_C = -5 V$ | I_{EBO} | | | -1 | | mA |
| Collector-emitter breakdown voltage <i>Tension de claquage collecteur-émetteur</i> | $I_C = -100\ mA$ $I_B = 0$ | $V_{CEO(sus)}^*$ | $BD\ 242$ | -45 | | | V |
| | | | $BD\ 242\ A$ | -60 | | | V |
| | | | $BD\ 242\ B$ | -80 | | | V |
| | | | $BD\ 242\ C$ | -100 | | | V |
| Static forward current transfer ratio <i>Valeur statique du rapport de transfert direct du courant</i> | $V_{CE} = -4 V$ $I_C = -1 A$ | h_{21E}^* | | | -20 | | V |
| | $V_{CE} = -4 V$ $I_C = -3 A$ | | | | -8 | | V |
| Collector-emitter saturation voltage <i>Tension de saturation collecteur-émetteur</i> | $I_C = -3 A$ $I_B = -0,6 A$ | V_{CEsat}^* | | | -1,2 | | V |
| Base-emitter voltage <i>Tension base-émetteur</i> | $V_{CE} = -4 V$ $I_C = -3 A$ | V_{BE}^* | | | -1,8 | | V |

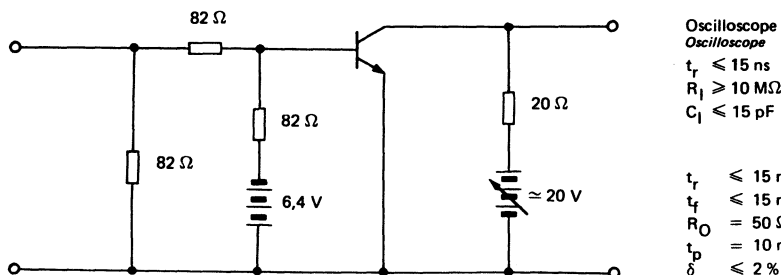
* Pulsed
Impulsions $t_p = 300\ \mu s$ $\delta \leq 2\ %$

DYNAMIC CHARACTERISTICS (for small signals)
CARACTÉRISTIQUES DYNAMIQUES (pour petits signaux)
 $t_{case} = 25^\circ\text{C}$ (Unless otherwise stated)
(Sauf indications contraires)

| | Test conditions Conditions de mesure | | | Min. | Typ. | Max. |
|---|--|-------------|--|------|------|---------------|
| Forward current transfer ratio <i>Rapport de transfert direct du courant</i> | $V_{CE} = -10 \text{ V}$ $I_C = -0,5 \text{ A}$ $f = 1 \text{ kHz}$ | h_{21e} | | 20 | | |
| Transition frequency <i>Fréquence de transition</i> | $V_{CE} = -10 \text{ V}$ $I_C = -0,5 \text{ A}$ $f = 1 \text{ MHz}$ | f_T | | 3 | | MHz |
| Turn-on time <i>Temps total d'établissement</i> | $I_C = -1 \text{ A}$ $I_{B1} = -0,1 \text{ A}$ | $t_d + t_r$ | | 0,3 | | μs |
| Turn-off time <i>Temps total de coupure</i> | $I_C = -1 \text{ A}$ $I_{B1} = -0,1 \text{ A}$ $I_{B2} = +0,1 \text{ A}$ | $t_s + t_f$ | | 1 | | μs |

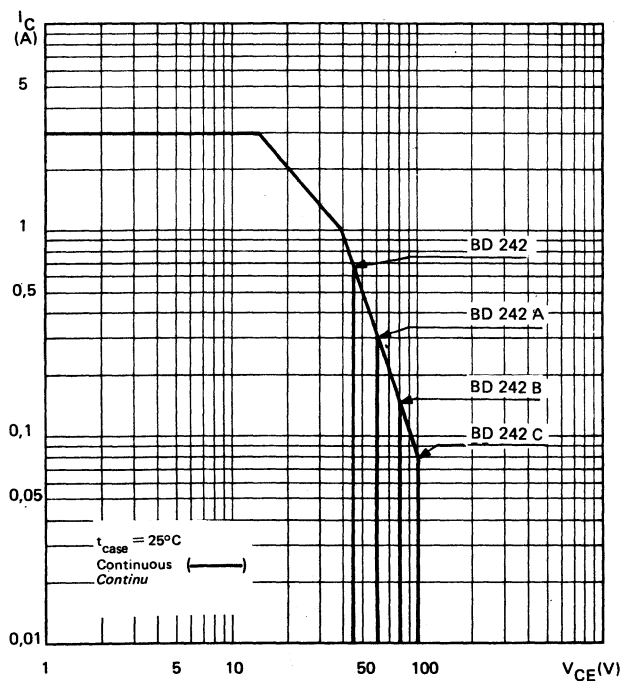
THERMAL CHARACTERISTICS
CARACTÉRISTIQUES THERMIQUES

| | | | | | |
|--|--|---------------|--|------|--------------------|
| Junction-case thermal resistance <i>Résistance thermique (jonction-boîtier)</i> | | $R_{th(j-c)}$ | | 3,1 | $^\circ\text{C/W}$ |
| Junction-ambient thermal resistance <i>Résistance thermique (jonction-ambiance)</i> | | $R_{th(j-a)}$ | | 62,5 | $^\circ\text{C/W}$ |

SWITCHING TIMES TEST CIRCUIT
SCHEMA DE MESURE DES TEMPS DE COMMUTATION
All resistances are non inductive
Toutes les résistances de type non inductif

* Pulsed Impulsions $t_p = 300 \mu\text{s}$ $\delta \leq 2 \%$

SAFE OPERATING AREA
AIRE DE FONCTIONNEMENT DE SECURITE



SUPERSWITCH

NPN SILICON TRANSISTORS
TRANSISTORS NPN SILICIUM

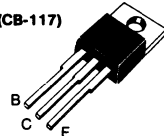
ADVANCE INFORMATION

Comp. of BD 244, A, B, C

- Complementary symmetry stages amplifiers
Etages amplificateurs à symétrie complémentaire
- General purpose transistors designed for low frequency switching applications
Transistors à usage général adaptés pour la commutation à basse fréquence

| | | |
|-----------|-------|----------|
| V_{CEO} | 45 V | BD 243 |
| | 60 V | BD 243 A |
| | 80 V | BD 243 B |
| | 100 V | BD 243 C |
| I_C | 6 A | |
| P_{tot} | 65 W | |

Case
Boîtier TO-220 AB (CB-117)



Collector is connected to case
Le collecteur est relié au boîtier

ABSOLUTE RATINGS (LIMITING VALUES)
VALEURS LIMITES ABSOLUES D'UTILISATION

$T_{case} = 25^\circ\text{C}$ (Unless otherwise stated)
(Sauf indication contraire)

| | | BD 243 | BD 243 A | BD 243 B | BD 243 C | |
|---|--|---------------|-----------------|-----------------|-----------------|------------------|
| Collector-emitter voltage <i>Tension collecteur-émetteur</i> | V_{CEO} | 45 | 60 | 80 | 100 | V |
| Collector voltage <i>Tension collecteur</i> | V_{CE} – 100 Ω | 55 | 70 | 90 | 115 | V |
| Emitter-base voltage <i>Tension émetteur-base</i> | V_{EB} | | 5 | | | V |
| Collector current <i>Courant collecteur</i> | I_C (RMS) I_{CM} $t_p = 300 \mu\text{s}$ | | 6 | 10 | | A |
| Base current <i>Courant de base</i> | I_B | | 2 | | | A |
| Power dissipation <i>Dissipation de puissance</i> | $T_{case} = 25^\circ\text{C}$ | P_{tot} | | 65 | | W |
| Junction temperature <i>Température de jonction</i> | T_j | | – 65, + 150 | | | $^\circ\text{C}$ |

| | | | |
|---|---------------|------|--------------------|
| Junction-case thermal resistance <i>Resistance thermique jonction-boîtier</i> | $R_{th(j-c)}$ | 1,92 | $^\circ\text{C/W}$ |
|---|---------------|------|--------------------|

STATIC CHARACTERISTICS
CARACTÉRISTIQUES STATIQUES
 $T_{case} = 25^\circ\text{C}$ (Unless otherwise stated)
(Sauf indications contraires)

| | Test conditions Conditions de mesure | | | min | typ | max | |
|---|---|--------------------------------|-----------------------|-----|-----|-----|-----|
| Collector-emitter cut-off current <i>Courant résiduel collecteur-émetteur</i> | V _{CE} = 30 V I _B = 0 | BD 243 BD 243 A | I _{CEO} | | | 0,7 | mA |
| | V _{CE} = 60 V I _B = 0 | BD 243 B BD 243 C | | | | 0,7 | |
| Collector-emitter cut-off current <i>Courant résiduel collecteur-émetteur</i> | V _{CE} = 45 V | BD 243 | I _{CES} | | | 0,4 | mA |
| | V _{CE} = 60 V | BD 243 A | | | | | |
| | V _{CE} = 80 V | BD 243 B | | | | | |
| | V _{CE} = 100 V | BD 243 C | | | | | |
| Emitter-base cut-off current <i>Courant résiduel émetteur-base</i> | V _{EB} = 5 V I _C = 0 | All types <i>Tous types</i> | I _{EBO} | | | 1 | mA |
| Collector-emitter breakdown voltage <i>Tension de claquage collecteur-émetteur</i> | I _C = 30 mA I _B = 0 | BD 243 | V _{CEOsus} * | 45 | | | V |
| | | BD 243 A | | 60 | | | |
| | | BD 243 B | | 80 | | | |
| | | BD 243 C | | 100 | | | |
| Static forward current transfer ratio <i>Valeur statique du rapport de transfert direct du courant</i> | V _{CE} = 4 V I _C = 0,3 A | All types <i>Tous types</i> | h _{21E} * | 30 | | | V |
| | V _{CE} = 4 V I _C = 3 A | | | 15 | | | |
| | | | | | | | |
| Emitter-base voltage <i>Tension émetteur-base</i> | I _C = 6 A V _{CE} = 4 V | All types <i>Tous types</i> | V _{BE} * | | | 2 | V |
| Collector-emitter saturation voltage <i>Tension de saturation collecteur-émetteur</i> | I _C = 6 A I _B = 1 A | All types <i>Tous types</i> | V _{CESat} * | | | 1,5 | V |
| Transition frequency <i>Fréquence de transition</i> | V _{CE} = 10 V I _C = 0,5 A f = 1 MHz | All types <i>Tous types</i> | f _T | 3 | | | MHz |
| Forward current transfert ratio <i>Rapport de transfert direct du courant</i> | V _{CE} = 10 V I _C = 0,5 A f = 1 kHz | All types <i>Tous types</i> | h _{21e} | 20 | | | |

THERMAL CHARACTERISTICS**CARACTÉRISTIQUES THERMIQUES**

| | | | | | | | |
|--|--|--------------------------------|----------------------|--|--|------|------|
| Junction case thermal resistance <i>Résistance thermique fonction boîtier</i> | | All types <i>Tous types</i> | R _{th(j-c)} | | | 1,92 | °C/W |
|--|--|--------------------------------|----------------------|--|--|------|------|

* Pulsed
Impulsions t_p = 300 μs δ ≤ 2 %

SUPERSWITCH

PNP SILICON TRANSISTORS
TRANSISTORS PNP SILICIUM

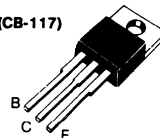
ADVANCE INFORMATION

Comp. of BD 243, A B, C

- Complementary symmetry stages amplifiers
Etages amplificateurs à symétrie complémentaire
- General purpose transistors designed for low frequency switching applications
Transistors à usage général adaptés pour la commutation à basse fréquence

| | | |
|------------------------|---------|-----------------|
| V_{CEO} | - 45 V | BD 244 |
| | - 60 V | BD 244 A |
| | - 80 V | BD 244 B |
| | - 100 V | BD 244 C |
| I_C | - 6 A | |
| P_{tot} | 65 W | |

Case Boîtier TO-220 AB (CB-117)



Collector is connected to case
Le collecteur est relié au boîtier

ABSOLUTE RATINGS (LIMITING VALUES)

VALEURS LIMITES ABSOLUES D'UTILISATION

T_{case} = 25 °C (Unless otherwise stated)
(Sauf indication contraire)

| | | BD 244 | BD 244 A | BD 244 B | BD 244 C | | |
|---|---------------------------|--|-----------------|-----------------|-----------------|-------|----|
| Collector-emitter voltage <i>Tension collecteur-émetteur</i> | V _{CEO} | - 45 | - 60 | - 80 | - 100 | V | |
| Collector voltage <i>Tension collecteur</i> | R _{BE} = 100 Ω | V _{CER} | - 55 | - 70 | - 90 | - 115 | V |
| Emitter-base voltage <i>Tension émetteur-base</i> | | V _{EBO} | | - 5 | | | V |
| Collector current <i>Courant collecteur</i> | t _p = 300 μs | I _{C(RMS)} I _{CM} | | - 6 - 10 | | | A |
| Base current <i>Courant de base</i> | | I _B | | - 2 | | | A |
| Power dissipation <i>Dissipation de puissance</i> | T _{case} = 25 °C | P _{tot} | | 65 | | | W |
| Junction temperature <i>Température de jonction</i> | | T _j | | - 65, + 150 | | | °C |

Junction-case thermal resistance
Resistance thermique jonction-boîtier

R_{th(j-c)}

1,92

°C/W

STATIC CHARACTERISTICS
CARACTÉRISTIQUES STATIQUES
 $T_{case} = 25^\circ\text{C}$ (Unless otherwise stated)
(Sauf indications contraires)

| | Test conditions Conditions de mesure | | | min | typ | max | |
|---|---|--------------------------------|----------------------|------|-----|------|-----|
| Collector-emitter cut-off current <i>Courant résiduel collecteur-émetteur</i> | V _{CE} = -30 V I _B = 0 | BD 244 BD 244 A | I _{CEO} | | | -0,7 | mA |
| | V _{CE} = -60 V I _B = 0 | BD 244 B BD 244 C | | | | -0,7 | |
| Collector-emitter cut-off current <i>Courant résiduel collecteur-émetteur</i> | V _{CE} = -45 V | BD 244 | I _{CES} | | | -0,4 | mA |
| | V _{CE} = -60 V | BD 244 A | | | | | |
| | V _{CE} = -80 V | BD 244 B | | | | | |
| | V _{CE} = -100 V | BD 244 C | | | | | |
| Emitter-base cut-off current <i>Courant résiduel émetteur-base</i> | V _{EB} = -5 V I _C = 0 | All types <i>Tous types</i> | I _{EBO} | | | -1 | mA |
| Collector-emitter breakdown voltage <i>Tension de claquage collecteur-émetteur</i> | I _C = -30 mA I _B = 0 | BD 244 | V _{CEOus} * | -45 | | | V |
| | | BD 244 A | | -60 | | | |
| | | BD 244 B | | -80 | | | |
| | | BD 244 C | | -100 | | | |
| Static forward current transfer ratio <i>Valeur statique du rapport de transfert direct du courant</i> | V _{CE} = -4 V I _C = -0,3 A | All types <i>Tous types</i> | h _{21E} * | 30 | | | V |
| | V _{CE} = -4 V I _C = -3 A | | | 15 | | | |
| Emitter-base voltage <i>Tension émetteur-base</i> | I _C = -6 A V _{CE} = -4 V | All types <i>Tous types</i> | V _{BE} * | | | -2 | V |
| Collector-emitter saturation voltage <i>Tension de saturation collecteur-émetteur</i> | I _C = -6 A I _B = -1 A | All types <i>Tous types</i> | V _{CESat} * | | | -1,5 | V |
| Transition frequency <i>Fréquence de transition</i> | V _{CE} = -10 V I _C = -0,5 A f = 1 MHz | All types <i>Tous types</i> | f _T | 3 | | | MHz |
| Forward current transfert ratio <i>Rapport de transfert direct du courant</i> | V _{CE} = -10 V I _C = -0,5 A f = 1 kHz | All types <i>Tous types</i> | h _{21e} | 20 | | | |

THERMAL CHARACTERISTICS
CARACTÉRISTIQUES THERMIQUES

| | | | | | | |
|--|--|--------------------------------|----------------------|--|------|------|
| Junction case thermal resistance <i>Résistance thermique jonction boîtier</i> | | All types <i>Tous types</i> | R _{th(j-c)} | | 1,92 | °C/W |
|--|--|--------------------------------|----------------------|--|------|------|

* Pulsed
Impulsions t_p = 300 μs δ ≤ 2 %

NPN POWER TRANSISTOR
TRANSISTOR DE PUISSANCE NPN

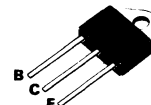
Compl. of BD 250,A,B,C

ADVANCE INFORMATION

General purpose transistor
designed for power amplifier
and switching application.

*Transistor à usage général,
adapté pour l'amplification
de puissance et pour
la commutation.*

| | |
|----------------------------|-------------------|
| V_{CEO sus} | 45 V BD 249 |
| | 60 V BD 249 A |
| | 80 V BD 249 B |
| | 100 V BD 249 C |
| I_C | 25 A |
| I_{CM} | 40 A |

Case
Boîtier TOP 3 (CB 244)**ABSOLUTE RATINGS (LIMITING VALUES)**T_{case} = 25 °C**VALEURS LIMITES ABSOLUES D'UTILISATION**

| | | BD 249 | BD 249 A | BD 249 B | BD 249 C | |
|--|---------------------------------|-----------------|-----------------|-----------------|-----------------|----|
| Collector-emitter voltage Tension collecteur-émetteur | V _{CEO} | 45 | 60 | 80 | 100 | V |
| Collector-base voltage Tension collecteur-base | V _{CBO} | 55 | 70 | 90 | 115 | V |
| Emitter-base voltage Tension émetteur-base | V _{EBO} | 5 | 5 | 5 | 5 | V |
| Collector current Courant collecteur | I _C I _{CM} | 25 40 | 25 40 | 25 40 | 25 40 | A |
| Base current Courant base | I _B | 5 | 5 | 5 | 5 | A |
| Power dissipation Dissipation de puissance | P _{tot} | 125 | 125 | 125 | 125 | W |
| Storage and junction temperature Température de jonction et de stockage | T _j T _{stg} | 175 -65 +175 | 175 -65 +175 | 175 -65 +175 | 175 -65 +175 | °C |

Junction case thermal resistance
Resistance thermique jonction boîtier

R_{th(j-c)}

1,2

°C/W

ELECTRICAL CHARACTERISTICS - CARACTÉRISTIQUES ÉLECTRIQUES

| SYMBOLS | MIN. | TYP. | MAX. | UNIT | | TEST CONDITIONS - CONDITIONS DE MESURE |
|---------|------|------|------|------|--|--|
|---------|------|------|------|------|--|--|

OFF CHARACTERISTICS - CARACTÉRISTIQUES A L'ÉTAT BLOQUÉ

| | | | | | | |
|------------------|-----------------------|-----|----|--|---|------------------------|
| V(BR) CEO | 45 60 80 100 | | | V | BD 249 BD 249 A BD 249 B BD 249 C | I _C = 30 mA |
| I _{CEO} | | 1 | mA | BD 249 BD 249 A | V _{CE} = 30 V | I _B = 0 |
| | | | | BD 249 B BD 249 C | V _{CE} = 60 V | I _B = 0 |
| I _{CES} | | 0,7 | mA | BD 249 BD 249 A BD 249 B BD 249 C | V _{CE} = 45 V V _{CE} = 60 V V _{CE} = 80 V V _{CE} = 100 V | V _{BE} = 0 |
| I _{EBO} | | -1 | mA | | V _{EB} = 5 V | I _C = 0 |

ON CHARACTERISTICS - CARACTÉRISTIQUES A L'ÉTAT CONDUCTEUR

| | | | | | | |
|----------------------|----|-----|---|--|------------------------|------------------------|
| h _{21E} | 25 | | | | V _{CE} = 4 V | I _C = 1,5 A |
| | 10 | | | | V _{CE} = 4 V | I _C = 15 A |
| | 5 | | | | V _{CE} = 4 V | I _C = 25 A |
| V _{CE} sat* | | 1,8 | V | | I _C = -15 A | I _B = 1,5 A |
| | | 4 | V | | I _C = 25 A | I _B = 5 A |
| V _{BE} * | | 2 | | | V _{CE} = 4 V | I _C = 15 A |
| | | 4 | | | V _{CE} = 4 V | I _C = 25 A |

SWITCHING CHARACTERISTICS - CARACTÉRISTIQUES DE COMMUTATION

| | | | | | | |
|----------------|--|---|--|-----|--|---|
| f _T | | 3 | | MHz | | V _{CE} = -10 V I _C = -1 A f = 1 MHz |
|----------------|--|---|--|-----|--|---|

* Pulses
Impulsions t_p = 300 µs $\Delta \leq 2\%$ Unless otherwise stated
Sauf indications contraires T_{case} = 25 °C

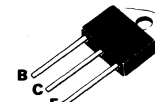
PNP POWER TRANSISTOR
TRANSISTOR DE PUISSANCE PNP
Compl. of BD 249 A,B,C

ADVANCE INFORMATION

General purpose transistor
designed for power amplifier
and switching application.

*Transistor à usage général,
adapté pour l'amplification
de puissance et pour
la commutation.*

| | |
|----------------------------|--|
| V_{CEO sus} | - 45 V BD 250 - 60 V BD 250 A - 80 V BD 250 B -100 V BD 250 C |
| I_C | - 25 A |
| I_{CM} | - 40 A |



Case
Boîtier TOP 3 (CB 244)

ABSOLUTE RATINGS (LIMITING VALUES)

T_{case} = 25 °C

| VALEURS LIMITES ABSOLUES D'UTILISATION | | BD 250 | BD 250 A | BD 250 B | BD 250 C | |
|--|---------------------------------|-----------------|-----------------|-----------------|-----------------|----|
| Collector-emitter voltage Tension collecteur-émetteur | V _{CEO} | -45 | -60 | -80 | -100 | V |
| Collector-base voltage Tension collecteur-base | V _{CBO} | -55 | -70 | -90 | -115 | V |
| Emitter-base voltage Tension émetteur-base | V _{EBO} | -5 | -5 | -5 | -5 | V |
| Collector current Courant collecteur | I _C I _{CM} | -25 -40 | -25 -40 | -25 -40 | -25 -40 | A |
| Base current Courant base | I _B | -5 | -5 | -5 | -5 | A |
| Power dissipation Dissipation de puissance | P _{tot} | 125 | 125 | 125 | 125 | W |
| Storage and junction temperature Température de jonction et de stockage | T _j T _{stg} | 175 -65 +175 | 175 -65 +175 | 175 -65 +175 | 175 -65 +175 | °C |

| | | | |
|---|----------------------|-----|------|
| Junction case thermal resistance Resistance thermique jonction boîtier | R _{th(j-c)} | 1,2 | °C/W |
|---|----------------------|-----|------|

BD 250,A,B,C
ELECTRICAL CHARACTERISTICS - CARACTÉRISTIQUES ÉLECTRIQUES

| SYMBOLS | MIN. | TYP. | MAX. | UNIT | | TEST CONDITIONS - CONDITIONS DE MESURE |
|---------|------|------|------|------|--|--|
|---------|------|------|------|------|--|--|

OFF CHARACTERISTICS - CARACTÉRISTIQUES A L'ÉTAT BLOQUÉ

| | | | | | | |
|------------------|------------------------------|------|----|--|---|-------------------------|
| V(BR) CEO | - 45 - 60 - 80 -100 | | | V | BD 250 BD 250 A BD 250 B BD 250 C | I _C = -30 mA |
| I _{CEO} | | -1 | mA | BD 250 BD 250 A | V _{CE} = -30 V I _B = 0 | |
| | | | | BD 250 B BD 250 C | V _{CE} = -60 V I _B = 0 | |
| I _{CES} | | -0,7 | mA | BD 250 BD 250 A BD 250 B BD 250 C | V _{CE} = -45 V V _{CE} = -60 V V _{CE} = -80 V V _{BE} = 0 V _{CE} = -100 V | |
| I _{EBO} | | -1 | mA | | V _{EB} = -5 V I _C = 0 | |

ON CHARACTERISTICS - CARACTÉRISTIQUES A L'ÉTAT CONDUCTEUR

| | | | | | | |
|----------------------|----|------|---|--|--|--|
| h _{21E} | 25 | | | | V _{CE} = -4 V I _C = -1,5 A | |
| | 10 | | | | V _{CE} = -4 V I _C = -15 A | |
| | 5 | | | | V _{CE} = -4 V I _C = -25 A | |
| V _{CE} sat* | | -1,8 | V | | I _C = -25 A I _B = -1,5 A | |
| | | -4 | V | | I _C = -25 A I _B = -5 A | |
| V _{BE} * | | -2 | | | V _{CE} = -4 V I _C = -15 A | |
| | | -4 | | | V _{CE} = -4 V I _C = -25 A | |

SWITCHING CHARACTERISTICS - CARACTÉRISTIQUES DE COMMUTATION

| | | | | | | |
|----------------|--|---|--|-----|--|---|
| f _T | | 3 | | MHz | | V _{CE} = -10 V I _C = -1 A f = 1 MHz |
|----------------|--|---|--|-----|--|---|

* Pulses t_p = 300 µs <= 2 % Unless otherwise stated
Impulsions *Sauf indications contraires* T_{case} = 25 °C

SUPERSWITCH

NPN SILICON TRANSISTORS
TRANSISTORS NPN SILICIUM

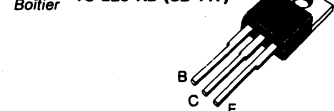
ADVANCE INFORMATION

- These transistors are intended for complementary symmetry amplifiers : audio output stages up to 25 W, vertical deflection circuits in color TV receivers.
- Ces transistors sont destinés aux amplificateurs à symétrie complémentaire ou quasi-complémentaire : étages de sortie BF jusqu'à 25 W, circuits de déviation verticale en télévision couleur.

Comp. of BD 302 and BD 304, A, B

| | | |
|------------------|-------|----------|
| V _{CEO} | 45 V | BD 301 |
| | 60 V | BD 303 |
| | 80 V | BD 303 A |
| | 100 V | BD 303 B |
| I _C | 8 A | |
| P _{tot} | 55 W | |

Case TO-220 AB (CB-117)



Collector is connected to case
Le collecteur est relié au boîtier

ABSOLUTE RATINGS (LIMITING VALUES)
VALEURS LIMITES ABSOLUES D'UTILISATION

T_{case} = 25 °C (Unless otherwise stated)
(Sauf indication contraire)

| | | BD 301 | BD 303 | BD 303 A | BD 303 B | | |
|--|---|------------------|--------|-------------|----------|-----|---|
| Collector-emitter voltage Tension collecteur-émetteur | V _{CEO} | 45 | 60 | 80 | 100 | V | |
| Collector voltage Tension collecteur | V _{CEV} = 1.5 V | V _{CEV} | 60 | 60 | 80 | 100 | V |
| Emitter-base voltage Tension émetteur-base | V _{EBO} | | | 5 | | V | |
| Collector current Courant collecteur | I _C (RMS) I _{CM} tp = 10 ms | | | 8 12 | | A | |
| Base current Courant de base | I _B | | | 2 | | A | |
| Power dissipation Dissipation de puissance | T _{case} = 25 °C | P _{tot} | | 55 | | W | |
| Junction temperature Température de jonction | T _j | | | - 65, + 150 | | °C | |

| | | | |
|---|----------------------|-----|------|
| Junction-case thermal resistance Resistance thermique jonction-boîtier | R _{th(j-c)} | 2,3 | °C/W |
|---|----------------------|-----|------|

| ELECTRICAL CHARACTERISTICS CARACTÉRISTIQUES ÉLECTRIQUES | Test conditions Conditions de mesure | T_{case} 25 °C | unless otherwise stated sauf indication contraire | | | |
|---|--|------------------|--|-----------------------|-----|----|
| | | | min | typ | max | |
| Collector-emitter cut-off current <i>Courant résiduel collecteur-émetteur</i> | $V_{CE} = 30 \text{ V}$ $I_B = 0$ | I_{CEO} | All types <i>Tous types</i> | | 1 | mA |
| Collector-base cut-off current <i>Courant résiduel collecteur-base</i> | $V_{CB} = 40 \text{ V}$ $I_E = 0$ $T(vj) = 150 \text{ °C}$ | I_{CBO} | All types <i>Tous types</i> | | 1 | mA |
| Emitter-base cut-off current <i>Courant résiduel émetteur-base</i> | $V_{EB} = 5 \text{ V}$ $I_C = 0$ | I_{EBO} | All types <i>Tous types</i> | | 5 | mA |
| Collector-emitter breakdown voltage <i>Tension de claquage collecteur-émetteur</i> | $I_C = 200 \text{ mA}$ $I_B = 0$ | $V_{(BR)CEO}$ | BD 301 BD 303 BD 303 A BD 303 B | 45 60 80 100 | | V |
| Static forward current transfer ratio <i>Valeur statique du rapport de transfert direct du courant</i> | $V_{CE} = 2 \text{ V}$ $I_C = 3 \text{ A}$ | h_{21E} | BD 301 | 30 | | V |
| | $V_{CE} = 2 \text{ V}$ $I_C = 2 \text{ A}$ | | BD 303,A,B | 30 | | V |
| Collector-emitter saturation voltage <i>Tension de saturation collecteur-émetteur</i> | $I_C = 3 \text{ A}$ $I_B = 0,3 \text{ A}$ | V_{CEsat}^* | All types <i>Tous types</i> | | 1 | V |
| Base-emitter saturation voltage <i>Tension de saturation base-émetteur</i> | $I_C = 3 \text{ A}$ $I_B = 0,3 \text{ A}$ | V_{BEsat}^* | All types <i>Tous types</i> | | 1,5 | V |

* Pulsed

* Impulsion $t_p = 300 \mu\text{s}$, $\delta \leq 2 \%$

DYNAMIC CHARACTERISTICS (for small signals)

CARACTÉRISTIQUES DYNAMIQUES (pour petits signaux)

 T_{case} 25 °C

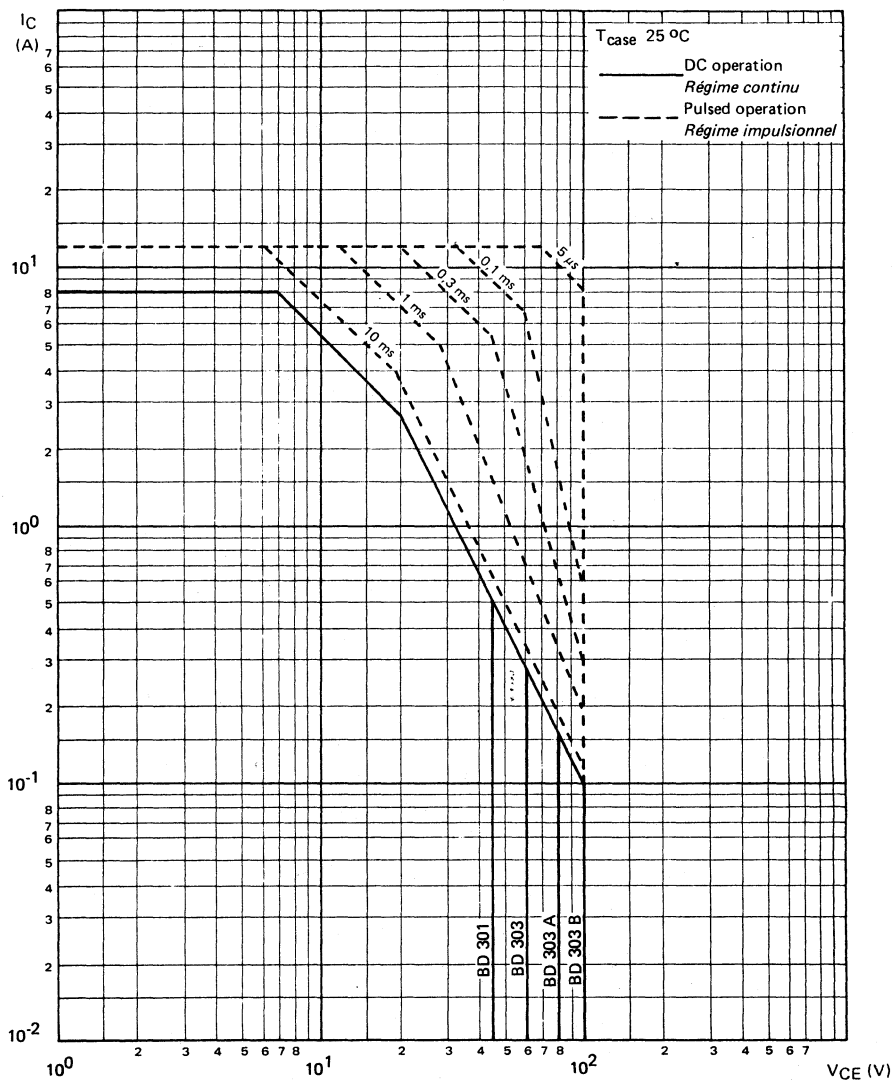
| | | | | | | |
|--|---|-------|--------------------------------|---|--|-----|
| Transition frequency <i>Fréquence de transition</i> | $V_{CE} = 3 \text{ V}$ $I_C = 0,3 \text{ A}$ | f_T | All types <i>Tous types</i> | 3 | | MHz |
|--|---|-------|--------------------------------|---|--|-----|

THERMAL CHARACTERISTICS

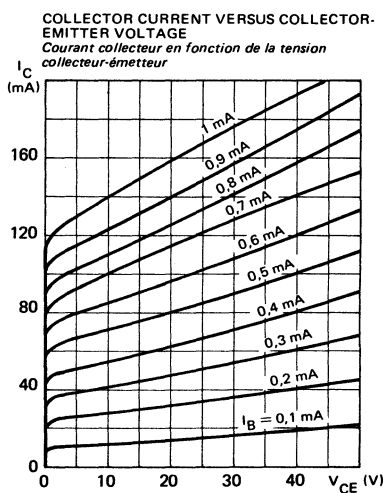
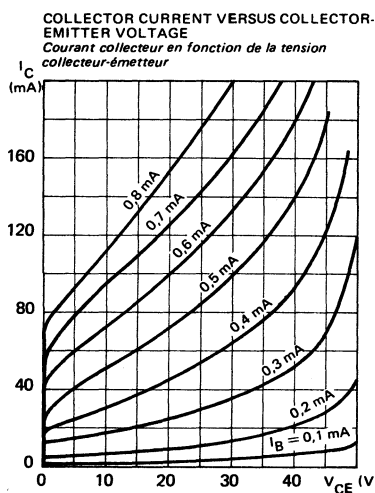
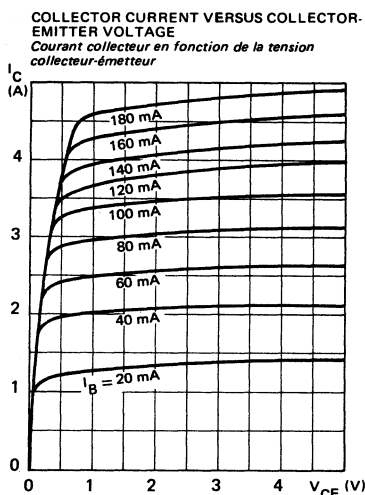
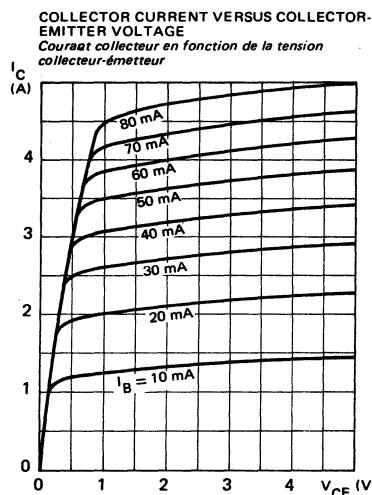
CARACTÉRISTIQUES THERMIQUES

| | | | | | | |
|---|--|---------------|--------------------------------|--|-----|------|
| Junction to case thermal resistance <i>Résistance thermique jonction-boîtier</i> | | $R_{th(j-c)}$ | All types <i>Tous types</i> | | 2,3 | °C/W |
|---|--|---------------|--------------------------------|--|-----|------|

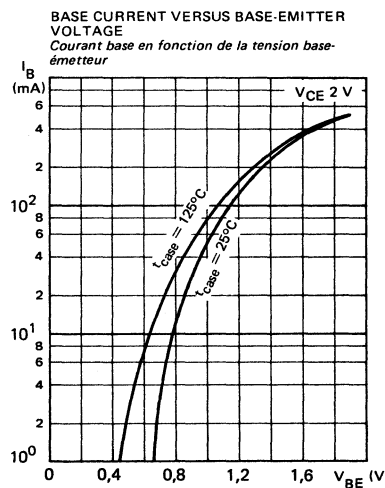
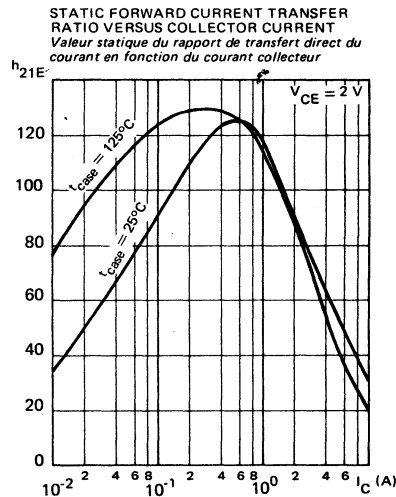
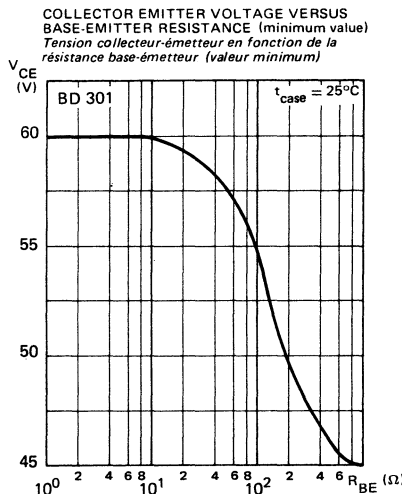
SAFE OPERATING AREA
AIRE DE SECURITE



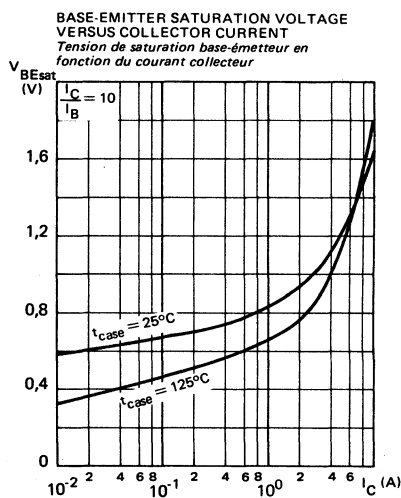
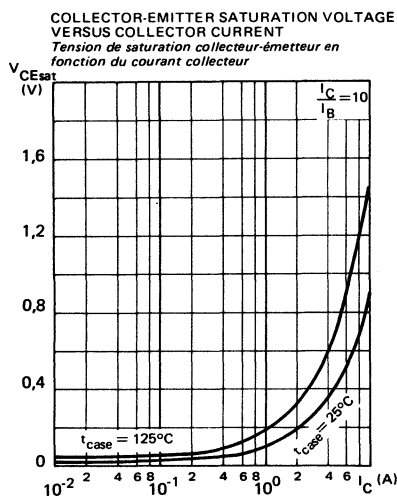
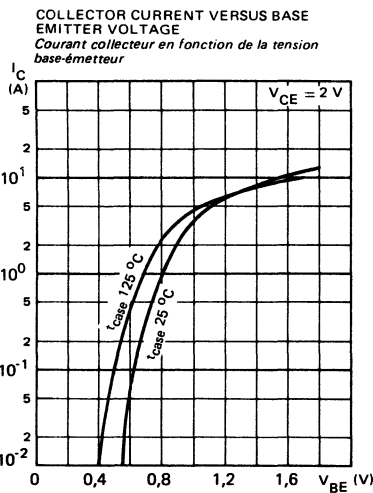
TYPICAL CHARACTERISTICS
CARACTÉRISTIQUES TYPHIQUES



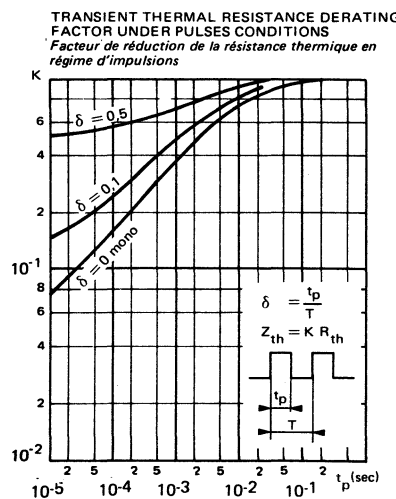
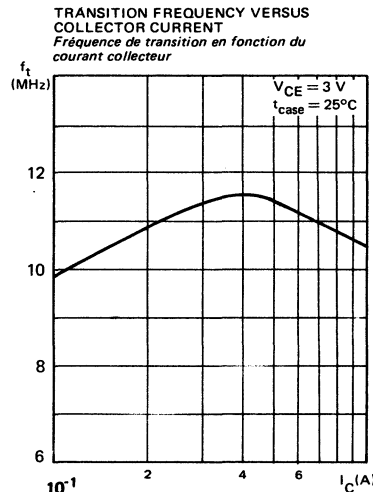
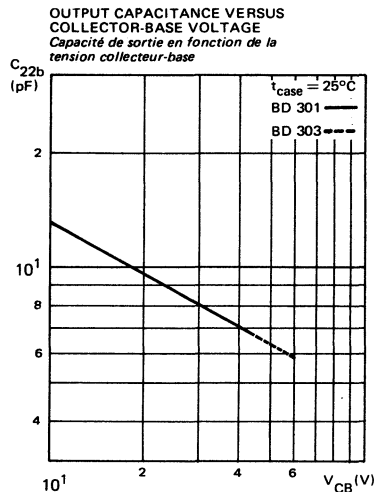
TYPICAL CHARACTERISTICS
CARACTÉRISTIQUES TYPIQUES

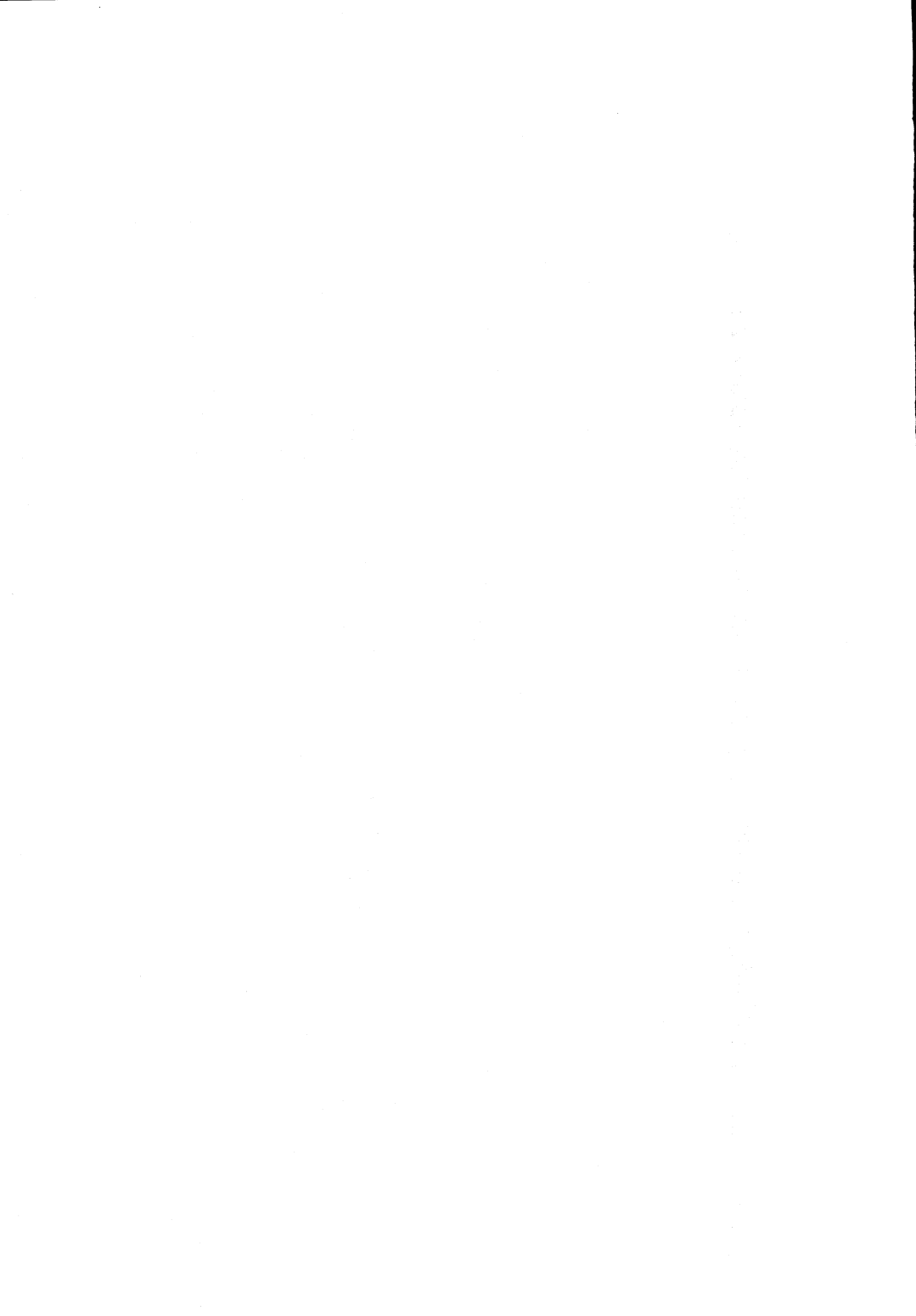


TYPICAL CHARACTERISTICS
CARACTÉRISTIQUES TYPIQUES



TYPICAL CHARACTERISTICS
CARACTERISTIQUES TYPHIQUES





SUPERSWITCH

ADVANCE INFORMATION

PNP SILICON TRANSISTORS
TRANSISTORS PNP SILICIUM

Comp. of BD 301 and BD 303, A, B

— These transistors are intended for complementary symmetry amplifiers :
audio output stages up to 25 W, vertical deflection circuits in color TV receivers.

— Ces transistors sont destinés aux amplificateurs à symétrie complémentaire ou quasi-complémentaire :
étages de sortie BF jusqu'à 25 W, circuits de déviation verticale en télévision couleur.

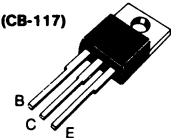
V_{CEO}

} — 45 V BD 302
— 60 V BD 304
— 80 V BD 304 A
— 100 V BD 304 B

I_C — 8 A

P_{tot} 55 W

Case
Boîtier TO-220 AB (CB-117)



Collector is connected to case
Le collecteur est relié au boîtier

ABSOLUTE RATINGS (LIMITING VALUES)

VALEURS LIMITES ABSOLUES D'UTILISATION

$T_{case} = 25^\circ\text{C}$ (Unless otherwise stated)
(Sauf indication contraire)

| | | BD 302 | BD 304 | BD 304 A | BD 304 B | | |
|--|-------------------------------|-------------------------------|--------|-------------|----------|-------|------------------|
| Collector-emitter voltage Tension collecteur-émetteur | V_{CEO} | - 45 | - 60 | - 80 | - 100 | V | |
| Collector voltage Tension collecteur | $V_{BE} = 1,5 \text{ V}$ | V_{CEV} | - 60 | - 60 | - 80 | - 100 | V |
| Emitter-base voltage Tension émetteur-base | | V_{EBO} | | - 5 | | | V |
| Collector current Courant collecteur | tp = 10 ms | $I_C(\text{RMS})$ I_{CM} | | - 8 - 12 | | | A |
| Base current Courant de base | | I_B | | - 2 | | | A |
| Power dissipation Dissipation de puissance | $T_{case} = 25^\circ\text{C}$ | P_{tot} | | 55 | | | W |
| Junction temperature Température de jonction | | T_j | | - 65, + 150 | | | $^\circ\text{C}$ |

Junction-case thermal resistance
Resistance thermique jonction-boîtier

$R_{th(j-c)}$

2,3

$^\circ\text{C/W}$

| ELECTRICAL CHARACTERISTICS CARACTÉRISTIQUES ELECTRIQUES | Test conditions Conditions de mesure | $T_{case} = 25^\circ\text{C}$ | unless otherwise stated sauf indication contraire | | | | |
|---|---|-------------------------------|--|---------------------------|-----|------|----|
| | | | min | typ | max | mA | |
| Collector-emitter cut-off current <i>Courant résiduel collecteur-émetteur</i> | $V_{CE} = -30\text{ V}$ $I_B = 0$ | I_{CEO} | All types <i>Tous types</i> | | | -1 | |
| Collector base cut-off current <i>Courant résiduel collecteur-base</i> | $V_{CB} = -40\text{ V}$ $I_E = 0$ $T(vj) = 150^\circ\text{C}$ | I_{CBO} | All types <i>Tous types</i> | | | -1 | mA |
| Emitter-base cut-off current <i>Courant résiduel émetteur-base</i> | $V_{EB} = -5\text{ V}$ $I_C = 0$ | I_{EBO} | All types <i>Tous types</i> | | | -5 | mA |
| Collector-emitter breakdown voltage <i>Tension de claquage collecteur-émetteur</i> | $I_C = -0,2\text{ A}$ $I_B = 0$ | $V_{(BR)CEO}$ | BD 302 BD 304 BD 304 A BD 304 B | -45 -60 -80 -100 | | | V |
| Static forward current transfer ratio <i>Valeur statique du rapport de transfert direct du courant</i> | $V_{CE} = -2\text{ V}$ $I_C = -3\text{ A}$ | h_{21E} | BD 302 | 30 | | | |
| | $V_{CE} = -2\text{ V}$ $I_C = -2\text{ A}$ | | BD 304,A,B | 30 | | | |
| Collector-emitter saturation voltage <i>Tension de saturation collecteur émetteur</i> | $I_C = -3\text{ A}$ $I_B = -0,3\text{ A}$ | V_{CEsat}^* | All types <i>Tous types</i> | | | -1 | V |
| Base-emitter saturation voltage <i>Tension de saturation base-émetteur</i> | $I_C = -3\text{ A}$ $I_B = -0,3\text{ A}$ | V_{BEsat}^* | All types <i>Tous types</i> | | | -1,5 | V |

* Pulsed

* Impulsion $t_p = 300\text{ }\mu\text{s}, \delta \leq 2\%$

DYNAMIC CHARACTERISTICS CARACTÉRISTIQUES DYNAMIQUES

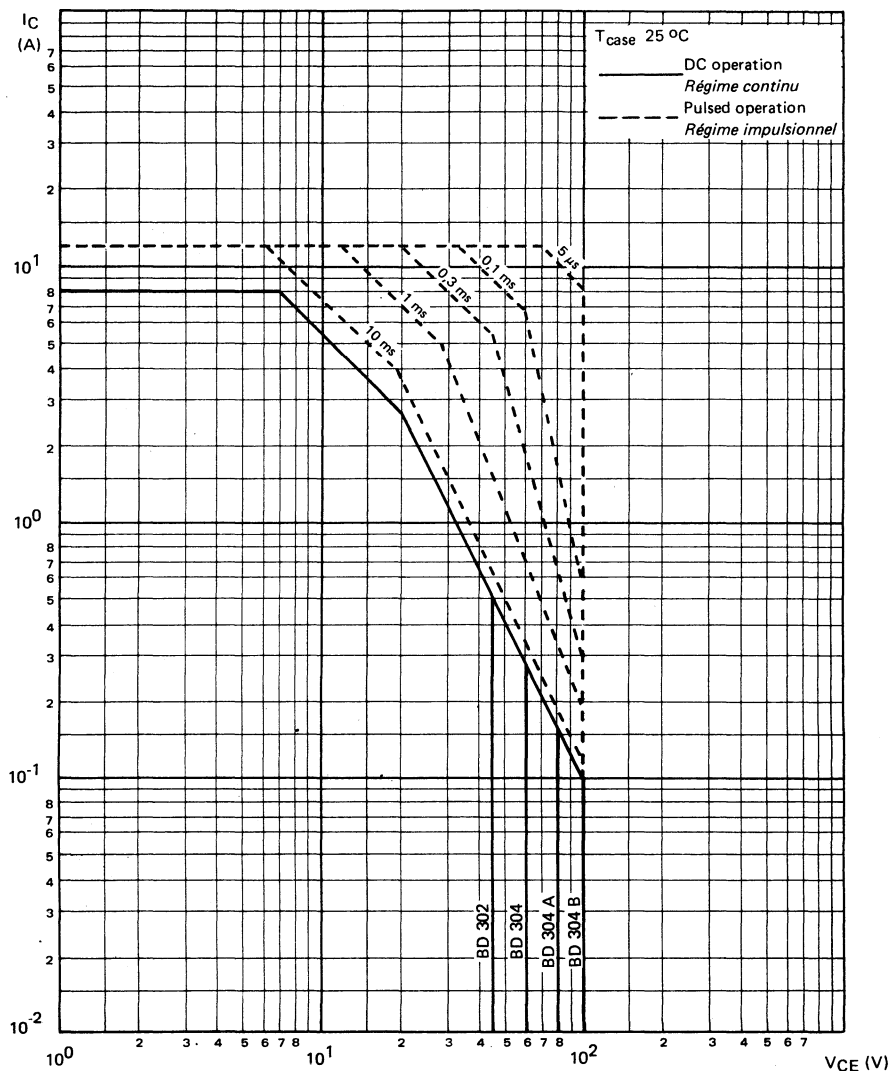
 $T_{case} = 25^\circ\text{C}$

| | | | | | | | |
|--|---|-------|--------------------------------|---|--|--|-----|
| Transition frequency <i>Fréquence de transition</i> | $V_{CE} = -3\text{ V}$ $I_C = -0,3\text{ A}$ | f_T | All types <i>Tous types</i> | 3 | | | MHz |
|--|---|-------|--------------------------------|---|--|--|-----|

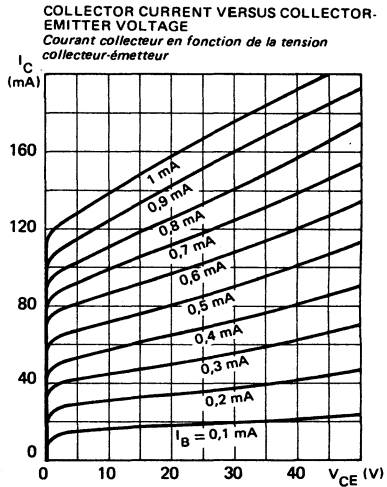
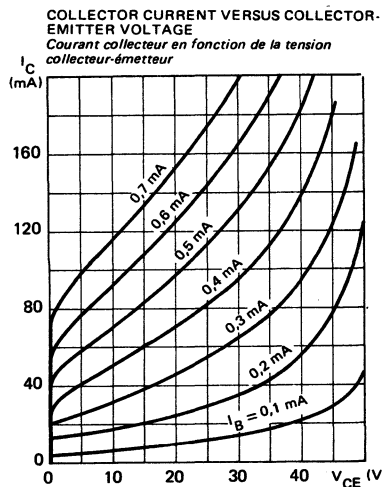
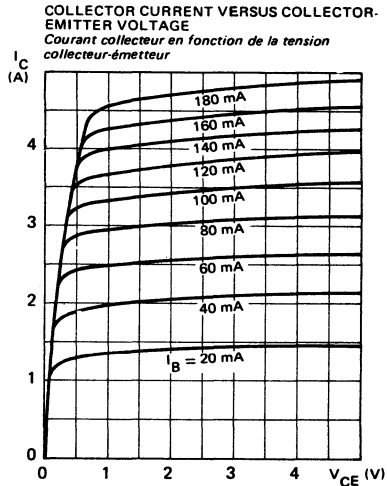
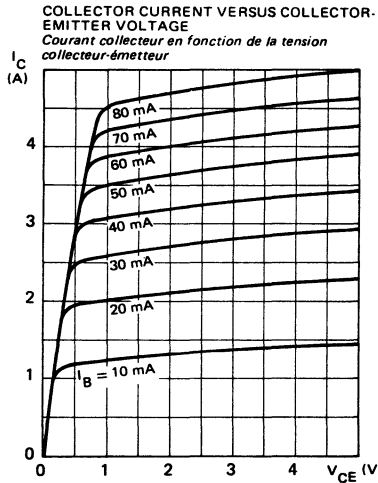
THERMAL CHARACTERISTICS CARACTÉRISTIQUES THERMIQUES

| | | | | | | | |
|---|--|---------------|--------------------------------|--|--|-----|--------------------|
| Junction to case thermal resistance <i>Résistance thermique jonction-boîtier</i> | | $R_{th(j-c)}$ | All types <i>Tous types</i> | | | 2,3 | $^\circ\text{C/W}$ |
|---|--|---------------|--------------------------------|--|--|-----|--------------------|

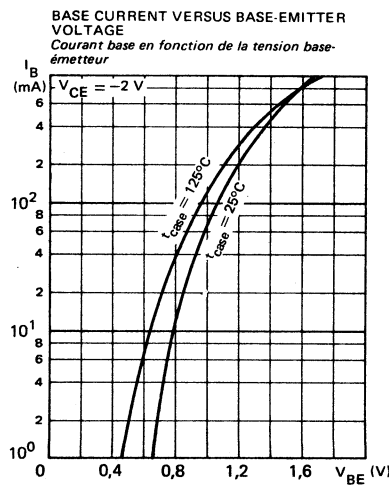
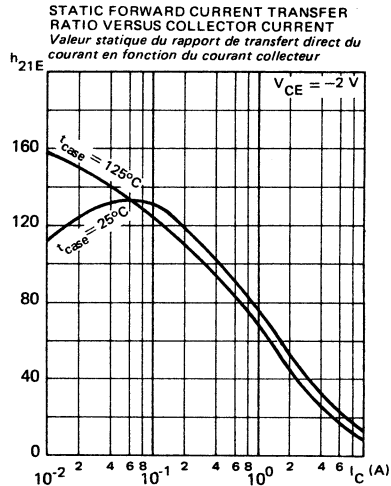
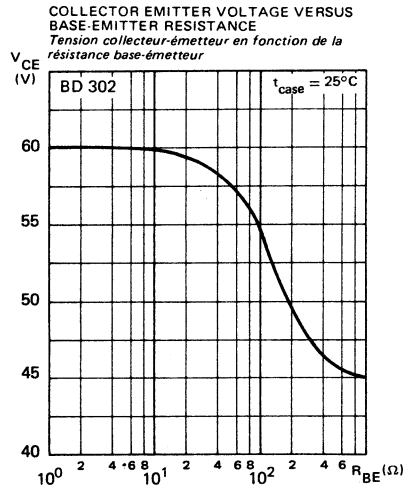
SAFE OPERATING AREA
AIRE DE SECURITE



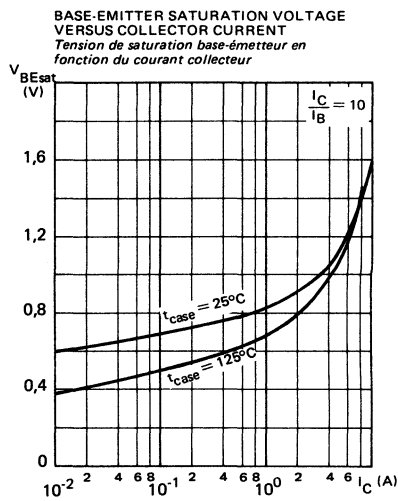
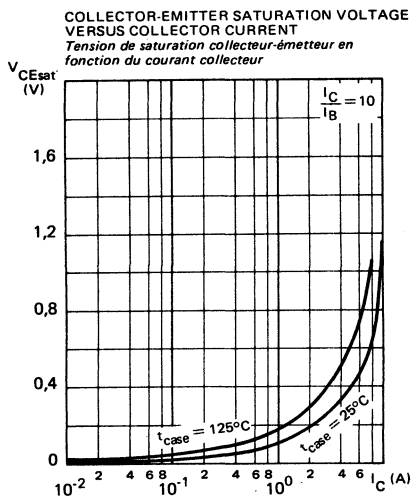
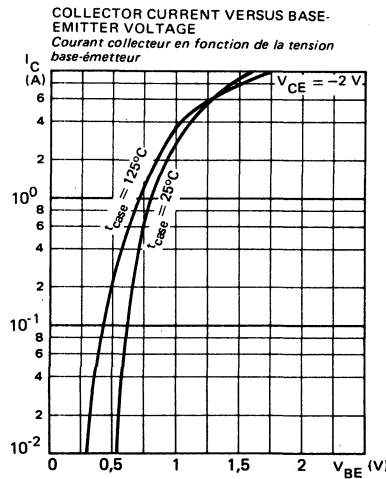
TYPICAL CHARACTERISTICS
CARACTÉRISTIQUES TYPIQUES



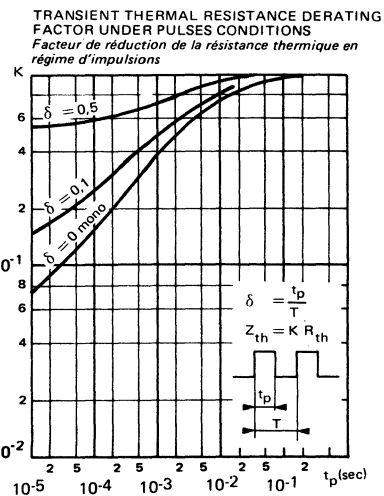
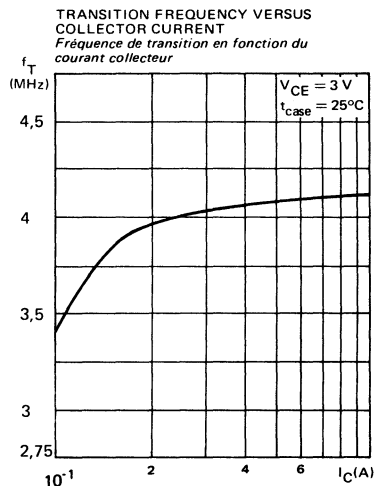
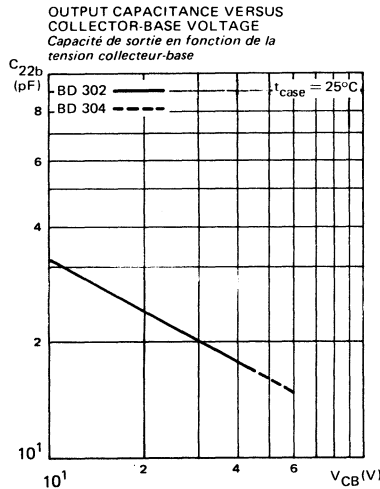
TYPICAL CHARACTERISTICS
CARACTÉRISTIQUES TYPHIQUES



TYPICAL CHARACTERISTICS
CARACTÉRISTIQUES TYPIQUES



TYPICAL CHARACTERISTICS
CARACTÉRISTIQUES TYPIQUES





SUPERSWITCH

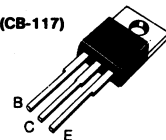
NPN SILICON TRANSISTORS
TRANSISTORS NPN SILICIUM

ADVANCE INFORMATION

- Complementary symmetry stages amplifiers
Etages amplificateurs à symétrie complémentaire
- General purpose transistors designed for low frequency switching applications
Transistors à usage général adaptés pour la commutation à basse fréquence

Comp. of BD 706, BD 708, BD 710, BD 712

| | | |
|-----------|-------|--------|
| V_{CEO} | 45 V | BD 705 |
| | 60 V | BD 707 |
| | 80 V | BD 709 |
| | 100 V | BD 711 |
| I_C | 12 A | |
| P_{tot} | 75 W | |

Case
Boîtier TO-220 AB (CB-117)Collector is connected to case
Le collecteur est relié au boîtier

ABSOLUTE RATINGS (LIMITING VALUES)

VALEURS LIMITES ABSOLUES D'UTILISATION

 $T_{case} = 25^\circ\text{C}$ (Unless otherwise stated)
(Sauf indication contraire)

| | | BD 705 | BD 707 | BD 709 | BD 711 | | |
|--|-------------------------------|-----------|--------|-------------|--------|------------------|---|
| Collector-emitter voltage Tension collecteur-émetteur | V_{CEO} | 45 | 60 | 80 | 100 | V | |
| Collector-emitter voltage Tension collecteur-émetteur | $V_{BE} = 0 \text{ V}$ | V_{CES} | 45 | 60 | 80 | 100 | V |
| Emitter-base voltage Tension émetteur-base | | V_{EBO} | | 5 | | V | |
| Collector current Courant collecteur | | I_C | | 12 | | A | |
| Base current Courant de base | | I_B | | 5 | | A | |
| Power dissipation Dissipation de puissance | $T_{case} = 25^\circ\text{C}$ | P_{tot} | | 75 | | W | |
| Junction temperature Température de jonction | | T_j | | - 65, + 150 | | $^\circ\text{C}$ | |

Junction-case thermal resistance
Resistance thermique jonction-boîtier $R_{th(j-c)}$

1,67

 $^\circ\text{C/W}$

STATIC CHARACTERISTICS
CARACTÉRISTIQUES STATIQUES

 $T_{case} = 25^\circ C$ (Unless otherwise stated)
(Sauf indications contraires)

| | Test conditions Conditions de mesure | | | min | typ | max | | |
|--|--|--------------------------------|-------------------------|-----|-----|-----|----|--|
| Collector-emitter breakdown voltage <i>Tension de claquage collecteur-émetteur</i> | $I_C = 0,1 A$ $I_B = 0$ | BD 705 | $V_{CEO} \text{ sus}^*$ | 45 | | | V | |
| | | BD 707 | | 60 | | | | |
| | | BD 709 | | 80 | | | | |
| | | BD 711 | | 100 | | | | |
| Collector-base cut-off current <i>Courant résiduel collecteur-base</i> | $V_{CB} = 45 V$ $V_{CB} = 45 V$ $T_{case} = 150^\circ C$ | BD 705 | I_{CBO} | | | 0,1 | mA | |
| | | | | | | 1 | | |
| | $V_{CB} = 60 V$ | BD 707 | | | | 0,1 | | |
| | $V_{CB} = 60 V$ $T_{case} = 150^\circ C$ | | | | | 1 | | |
| | $V_{CB} = 80 V$ | BD 709 | | | | 0,1 | | |
| | $V_{CB} = 80 V$ $T_{case} = 150^\circ C$ | | | | | 1 | | |
| | $V_{CB} = 100 V$ | BD 711 | | | | 0,1 | | |
| | $V_{CB} = 100 V$ $T_{case} = 150^\circ C$ | | | | | 1 | | |
| Collector-emitter cut-off current <i>Courant résiduel collecteur-émetteur</i> | $V_{CE} = 22 V$ | BD 705 | I_{CEO} | | | mA | | |
| | $V_{CE} = 30 V$ | BD 707 | | | | | | |
| | $V_{CE} = 40 V$ | BD 709 | | | | | | |
| | $V_{CE} = 50 V$ | BD 711 | | | | | | |
| Emitter-base cut-off current <i>Courant résiduel émetteur-base</i> | $V_{EB} = 5 V$ $I_C = 0$ | All types <i>Tous types</i> | I_{EBO} | | | 1 | mA | |
| Collector-emitter saturation voltage <i>Tension de saturation collecteur-émetteur</i> | $I_C = 4 A$ $I_B = 0,4 A$ | All types <i>Tous types</i> | V_{CEsat}^* | | | 1 | V | |
| Base-emitter voltage <i>Tension base-émetteur</i> | $V_{CE} = 4 V$ $I_C = 4 A$ | All types <i>Tous types</i> | V_{BE}^* | | | 1,5 | V | |
| Knee voltage <i>Tension coude</i> | $I_C = 3 A$ $I_B = **$ | All types <i>Tous types</i> | V_{CEK}^* | | 0,4 | | V | |

** Value for which $I_C = 3,3 A$ at $V_{CE} = 2 V$ Valeur à laquelle $I_C = 3,3 A$ à $V_{CE} = 2 V$

* Pulsed
Impulsions $t_p = 300 \mu s$ $\delta \leq 1,5\%$

STATIC CHARACTERISTICS
CARACTÉRISTIQUES STATIQUES

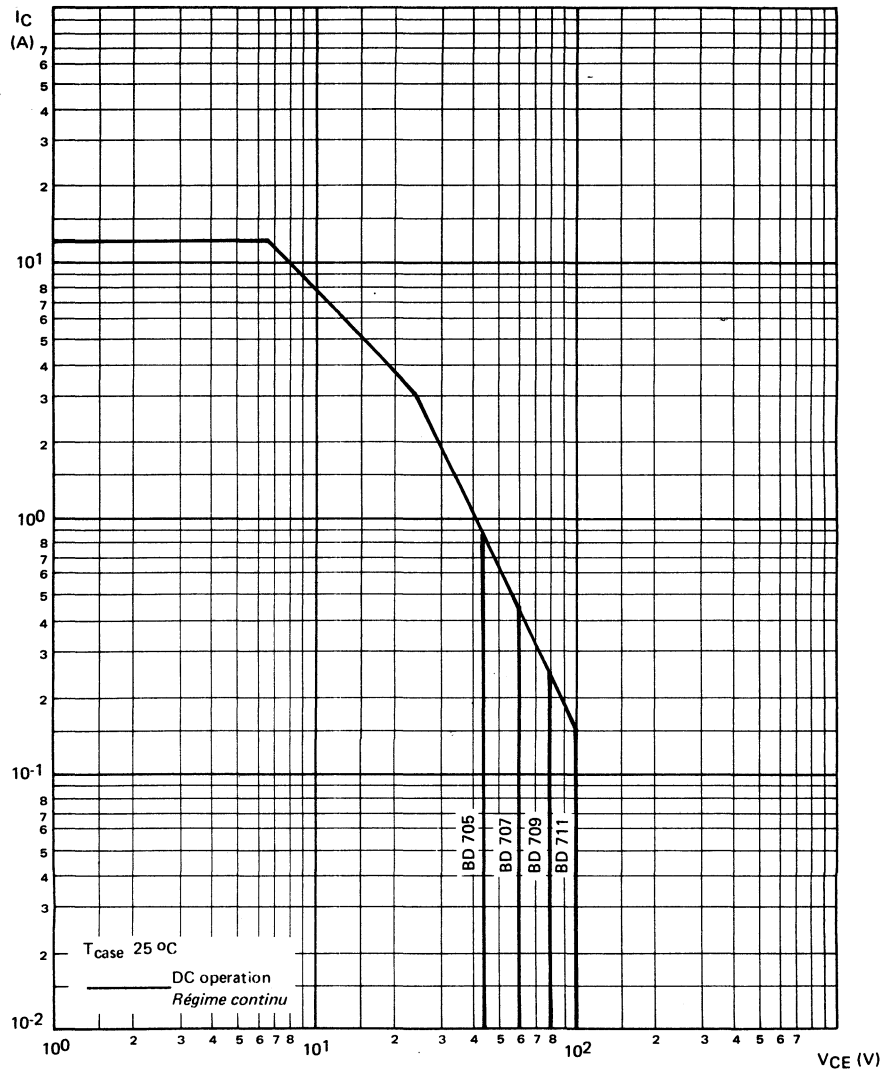
 $T_{case} = 25^\circ C$ (Unless otherwise stated)
(Sauf indications contraires)

| | Test conditions Conditions de mesure | | | min | typ | max |
|---|---|--------------------------------|----------------|-----|-----|-----|
| Static forward current transfer ratio <i>Valeur statique du rapport de transfert direct du courant</i> | V _{CE} = 2 V I _C = 0,5 A | All types <i>Tous types</i> | h21E* | 40 | | 400 |
| | V _{CE} = 2 V I _C = 2 A | BD 705 BD 707 BD 709 | | 30 | | |
| | V _{CE} = 4 V I _C = 4 A | BD 705 | | 20 | | 150 |
| | | BD 707 | | 15 | | 150 |
| | | BD 709 | | 15 | | 150 |
| | | BD 711 | | 15 | | 150 |
| | V _{CE} = 4 V I _C = 10 A | BD 705 | | 5 | | |
| | | BD 707 | | 5 | | |
| | | BD 709 | | | 8 | |
| | | BD 711 | | | 8 | |
| Transition frequency <i>Fréquence de transition</i> | V _{CE} = 3 V I _C = 300 mA f = 1 MHz | All types <i>Tous types</i> | f _T | 3 | | MHz |

THERMAL CHARACTERISTICS
CARACTÉRISTIQUES THERMIQUES

| | | | | | | |
|--|--------------------------------|----------------------|--|--|------|------|
| Junction-case thermal resistance <i>Résistance thermique jonction boîtier</i> | All types <i>Tous types</i> | R _{th(j-c)} | | | 1,67 | °C/W |
|--|--------------------------------|----------------------|--|--|------|------|

SAFE OPERATING AREA
AIRE DE SECURITE

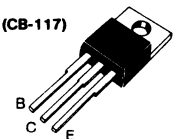


SUPERSWITCH
PNP SILICON TRANSISTORS
TRANSISTORS PNP SILICIUM
ADVANCE INFORMATION

- Complementary symmetry stages amplifiers
Etages amplificateurs à symétrie complémentaire
- General purpose transistors designed for low frequency switching applications
Transistors à usage général adaptés pour la commutation à basse fréquence

Comp. of BD 705, BD 707, BD 709, BD 711

| | | |
|-----------|---------|--------|
| V_{CEO} | - 45 V | BD 706 |
| | - 60 V | BD 708 |
| | - 80 V | BD 710 |
| | - 100 V | BD 712 |
| I_C | - 12 A | |
| P_{tot} | 75 W | |

Case Boîtier TO-220 AB (CB-117)

 Collector is connected to case
Le collecteur est relié au boîtier
ABSOLUTE RATINGS (LIMITING VALUES)
VALEURS LIMITES ABSOLUES D'UTILISATION
 $T_{case} = 25^\circ\text{C}$ (Unless otherwise stated)
(Sauf indication contraire)

| | | BD 706 | BD 708 | BD 710 | BD 712 | |
|--|-------------------------------|---------------|---------------|---------------|---------------|------------------|
| Collector-emitter voltage Tension collecteur-émetteur | V_{CEO} | - 45 | - 60 | - 80 | - 100 | V |
| Collector-emitter voltage Tension collecteur-émetteur | V_{CES} | - 45 | - 60 | - 80 | - 100 | V |
| Emitter-base voltage Tension émetteur-base | V_{EBO} | | | - 5 | | V |
| Collector current Courant collecteur | I_C | | | - 12 | | A |
| Base current Courant de base | I_B | | | - 5 | | A |
| Power dissipation Dissipation de puissance | $T_{case} = 25^\circ\text{C}$ | P_{tot} | | 75 | | W |
| Junction temperature Température de jonction | T_j | | | - 65, + 150 | | $^\circ\text{C}$ |

 Junction-case thermal resistance
Resistance thermique jonction-boîtier
 $R_{th(j-c)}$

1,67

 $^\circ\text{C/W}$

STATIC CHARACTERISTICS
CARACTÉRISTIQUES STATIQUES

 $T_{case} = 25^\circ C$ (Unless otherwise stated)
(Sauf indications contraires)

| | Test conditions Conditions de mesure | | | min | typ | max | | |
|---|---|--------------------------------|-----------------------|------|------|-----|----|--|
| Collector-emitter breakdown voltage <i>Tension de claquage collecteur-émetteur</i> | $I_C = -0,1 A$ | BD 706 | $V_{CEO} \text{ sus}$ | -45 | | | V | |
| | $I_B = 0$ | BD 708 | | -60 | | | | |
| | | BD 710 | | -80 | | | | |
| | | BD 712 | | -100 | | | | |
| Collector-base cut-off current <i>Courant résiduel collecteur-base</i> | $V_{CB} = -45 V$ | BD 706 | I_{CBO} | | -0,1 | | mA | |
| | $V_{CB} = -45 V$ $T_{case} = 150^\circ C$ | | | | -1 | | | |
| | $V_{CB} = -60 V$ | | | | -0,1 | | | |
| | $V_{CB} = -60 V$ $T_{case} = 150^\circ C$ | BD 708 | I_{CBO} | | -1 | | | |
| | $V_{CB} = -80 V$ | BD 710 | | | -0,1 | | | |
| | $V_{CB} = -80 V$ $T_{case} = 150^\circ C$ | | | | -1 | | | |
| | $V_{CB} = -100 V$ | BD 712 | I_{CEO} | | -0,1 | | | |
| | $V_{CB} = -100 V$ $T_{case} = 150^\circ C$ | | | | -1 | | | |
| Collector-emitter cut-off current <i>Courant résiduel collecteur-émetteur</i> | $V_{CE} = -22 V$ | BD 706 | I_{CEO} | | | | mA | |
| | $V_{CE} = -30 V$ | BD 708 | | | | | | |
| | $V_{CE} = -40 V$ | BD 710 | | | | | | |
| | $V_{CE} = -50 V$ | BD 712 | | | | | | |
| | $V_{EB} = -5 V$ $I_C = 0$ | All types <i>Tous types</i> | I_{EBO} | | -1 | | mA | |
| Emitter-base cut-off current <i>Courant résiduel émetteur-base</i> | $I_C = -4 A$ $I_B = -0,4 A$ | All types <i>Tous types</i> | V_{CEsat}^* | | -1 | | V | |
| Base-emitter voltage <i>Tension base-émetteur</i> | $V_{CE} = -4 V$ $I_C = -4 A$ | All types <i>Tous types</i> | V_{BE}^* | | -1,5 | | V | |
| Knee voltage <i>Tension coude</i> | $I_C = -3 A$ $I_B = **$ | All types <i>Tous types</i> | V_{CEK}^* | -0,4 | | | V | |

** Value for which $I_C = -3,3 A$ at $V_{CE} = -2 V$ Valeur à laquelle $I_C = -3,3 A$ à $V_{CE} = -2 V$

* Pulsed

Impulsions $t_p = 300 \mu s$ $\delta \leq 1,5\%$

STATIC CHARACTERISTICS

CARACTÉRISTIQUES STATIQUES

 $T_{case} = 25^\circ C$

(Unless otherwise stated)

(Sauf indications contraires)

| | Test conditions Conditions de mesure | | | min | typ | max | |
|---|---|--------------------------------|-------|-----|-----|-----|-----|
| Static forward current transfer ratio <i>Valeur statique du rapport de transfert direct du courant</i> | $V_{CE} = -2 V$ $I_C = -0,5 A$ | All types <i>Tous types</i> | h21E* | 40 | | 400 | |
| | $V_{CE} = -2 V$ $I_C = -2 A$ | BD 706 BD 708 BD 710 | | 30 | | | |
| | | BD 706 | | 20 | | 150 | |
| | $V_{CE} = -4 V$ $I_C = -4 A$ | BD 708 BD 710 BD 712 | | 15 | | 150 | |
| | | BD 706 | | 15 | | 150 | |
| | $V_{CE} = -4 V$ $I_C = -10 A$ | BD 708 BD 710 BD 712 | | 15 | | 150 | |
| | | BD 706 | | 5 | | | |
| | | BD 708 | | 5 | | | |
| | | BD 710 | | | 8 | | |
| | | BD 712 | | | 8 | | |
| Transition frequency <i>Fréquence de transition</i> | $V_{CE} = -3 V$ $I_C = -300 mA$ $f = 1 MHz$ | All types <i>Tous types</i> | f_T | 3 | | | MHz |

THERMAL CHARACTERISTICS

CARACTÉRISTIQUES THERMIQUES

| | | | | | |
|--|--------------------------------|---------------|--|------|--------------|
| Junction-case thermal resistance <i>Résistance thermique jonction boîtier</i> | All types <i>Tous types</i> | $R_{th(j-c)}$ | | 1,67 | $^\circ C/W$ |
|--|--------------------------------|---------------|--|------|--------------|

SUPERSWITCH

NPN SILICON TRANSISTORS
TRANSISTORS NPN SILICIUM

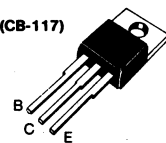
ADVANCE INFORMATION

- Complementary symmetry stages amplifiers
Etages amplificateurs à symétrie complémentaire
- General purpose transistors designed for low frequency switching applications
Transistors à usage général adaptés pour la commutation à basse fréquence

Comp. of BD 906, BD 908, BD 910, BD 912

| | | |
|------------------|-------|--------|
| V _{CEO} | 45 V | BD 905 |
| | 60 V | BD 907 |
| | 80 V | BD 909 |
| | 100 V | BD 911 |
| I _C | 15 A | |
| P _{tot} | 90 W | |

Case
Boîtier TO-220 AB (CB-117)



Collector is connected to case
Le collecteur est relié au boîtier

ABSOLUTE RATINGS (LIMITING VALUES) VALEURS LIMITES ABSOLUES D'UTILISATION

T_{case} = 25 °C (Unless otherwise stated)
(Sauf indication contraire)

| | | BD 905 | BD 907 | BD 909 | BD 911 | |
|--|---------------------------|------------------|-------------|--------|--------|----|
| Collector-emitter voltage Tension collecteur-émetteur | V _{CEO} | 45 | 60 | 80 | 100 | V |
| Collector-base voltage Tension collecteur-base | V _{CBO} | 45 | 60 | 80 | 100 | V |
| Emitter-base voltage Tension émetteur-base | V _{EBO} | | 5 | | | V |
| Collector current Courant collecteur | I _C | | 15 | | | A |
| Base current Courant de base | I _B | | 5 | | | A |
| Power dissipation Dissipation de puissance | T _{case} = 25 °C | P _{tot} | | 90 | | W |
| Junction temperature Température de jonction | T _j | | – 65, + 150 | | | °C |

| | | | |
|---|----------------------|-----|------|
| Junction-case thermal resistance Resistance thermique jonction-boîtier | R _{th(j-c)} | 1,4 | °C/W |
|---|----------------------|-----|------|

STATIC CHARACTERISTICS
CARACTÉRISTIQUES STATIQUES
 $T_{case} = 25^\circ C$ (Unless otherwise stated)
(Sauf indications contraires)

| | Test conditions Conditions de mesure | | | min | typ | max | |
|--|--|--------------------------------------|-----------------------|-----------------------|--|--------|----|
| Collector-emitter breakdown voltage <i>Tension de claquage collecteur-émetteur</i> | $I_C = 0,1 \text{ A}$ $I_B = 0$ | BD 905 BD 907 BD 909 BD 911 | V _{CEO} sus* | 45 60 80 100 | | | V |
| Collector-base cut-off current <i>Courant résiduel collecteur-base</i> | $V_{CB} = 45 \text{ V}$ $V_{CB} = 45 \text{ V}$ $T_{case} = 150^\circ C$ $V_{CB} = 60 \text{ V}$ $V_{CB} = 60 \text{ V}$ $T_{case} = 150^\circ C$ $V_{CB} = 80 \text{ V}$ $V_{CB} = 80 \text{ V}$ $T_{case} = 150^\circ C$ $V_{CB} = 100 \text{ V}$ $V_{CB} = 100 \text{ V}$ $T_{case} = 150^\circ C$ | BD 905 BD 907 BD 909 BD 911 | I _{CBO} | | 0,5 5 0,5 5 0,5 5 0,5 5 | | mA |
| Collector-emitter cut-off current <i>Courant résiduel collecteur-émetteur</i> | $V_{CE} = 30 \text{ V}$ $V_{CE} = 40 \text{ V}$ $V_{CE} = 50 \text{ V}$ | BD 905 BD 907 BD 909 BD 911 | I _{CEO} | | 1 1 1 | | mA |
| Emitter-base cut-off current <i>Courant résiduel émetteur-base</i> | $V_{EB} = 5 \text{ V}$ $I_C = 0$ | All types <i>Tous types</i> | I _{EBO} | | | 1 | mA |
| Collector-emitter saturation voltage <i>Tension de saturation collecteur-émetteur</i> | $I_C = 5 \text{ A}$ $I_B = 0,5 \text{ A}$ $I_C = 10 \text{ A}$ $I_B = 2,5 \text{ A}$ | All types <i>Tous types</i> | V _{CEsat} * | | | 1 3 | V |
| Base-emitter saturation voltage <i>Tension de saturation base-émetteur</i> | $I_C = 10 \text{ A}$ $I_B = 2,5 \text{ A}$ | All types <i>Tous types</i> | V _{BEsat} * | | | 2,5 | V |
| Base-emitter voltage <i>Tension base-émetteur</i> | $V_{CE} = 4 \text{ V}$ $I_C = 5 \text{ A}$ | All types <i>Tous types</i> | V _{BE} * | | | 1,5 | V |

* Pulsed
Impulsions $t_p = 300 \mu s$ $\delta \leq 1,5\%$

STATIC CHARACTERISTICS**CARACTÉRISTIQUES STATIQUES****T_{case} 25 °C**

(Unless otherwise stated)

(Sauf indications contraires)

| | Test conditions Conditions de mesure | | | min | typ | max | |
|---|---|--------------------------------|----------------|-----|-----|-----|-----|
| Static forward current transfer ratio <i>Valeur statique du rapport de transfert direct du courant</i> | VCE = 4 V IC = 0,5 A | All types <i>Tous types</i> | h21E* | 40 | | 250 | |
| | VCE = 4 V IC = 5 A | | | 15 | | 150 | |
| | VCE = 4 V IC = 10 A | | | 5 | | | |
| Transition frequency <i>Fréquence de transition</i> | VCE = 4 V IC = 0,5 A f = 1 MHz | All types <i>Tous types</i> | f _T | 3 | | | MHz |

THERMAL CHARACTERISTICS**CARACTÉRISTIQUES THERMIQUES**

| | | | | | | |
|--|--------------------------------|----------------------|--|--|-----|------|
| Junction-case thermal resistance <i>Résistance thermique jonction-boîtier</i> | All types <i>Tous types</i> | R _{th(j-c)} | | | 1,4 | °C/W |
|--|--------------------------------|----------------------|--|--|-----|------|

* Pulsed
Impulsions t_p = 300 μs δ ≤ 1,5%



SUPERSWITCH

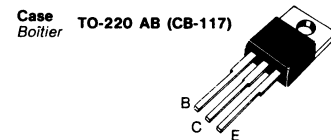
PNP SILICON TRANSISTORS
TRANSISTORS PNP SILICIUM

ADVANCE INFORMATION

- Complementary symmetry stages amplifiers
Etages amplificateurs à symétrie complémentaire
- General purpose transistors designed for low frequency switching applications
Transistors à usage général adaptés pour la commutation à basse fréquence

Comp. of BD 905, BD 907, BD 909, BD 711

| | | | |
|------------------------|---|---------|---------------|
| V_{CEO} | } | - 45 V | BD 906 |
| | | - 60 V | BD 908 |
| | | - 80 V | BD 910 |
| | | - 100 V | BD 912 |
| I_C | | - 15 A | |
| P_{tot} | | 90 W | |



Case
Boîtier **TO-220 AB (CB-117)**
Collector is connected to case
Le collecteur est relié au boîtier

ABSOLUTE RATINGS (LIMITING VALUES)
VALEURS LIMITES ABSOLUES D'UTILISATION

T_{case} = 25 °C **(Unless otherwise stated)**
'(Sauf indication contraire)

| | | BD 906 | BD 908 | BD 910 | BD 912 | |
|---|---------------------------------|------------------------|---------------|---------------|---------------|----|
| Collector-emitter voltage <i>Tension collecteur-émetteur</i> | V_{CEO} | - 45 | - 60 | - 80 | - 100 | V |
| Collector-base voltage <i>Tension collecteur-base</i> | V_{CBO} | - 45 | - 60 | - 80 | - 100 | V |
| Emitter-base voltage <i>Tension émetteur-base</i> | V_{EBO} | | | - 5 | | V |
| Collector current <i>Courant collecteur</i> | I_C | | | - 15 | | A |
| Base current <i>Courant de base</i> | I_B | | | - 5 | | A |
| Power dissipation <i>Dissipation de puissance</i> | T_{case} = 25 °C | P_{tot} | | 90 | | W |
| Junction temperature <i>Température de jonction</i> | T_j | | | - 65, + 150 | | °C |

| | | | |
|---|----------------------------|-----|-------------|
| Junction-case thermal resistance <i>Resistance thermique jonction-boîtier</i> | R_{th(j-c)} | 1.4 | oC/W |
|---|----------------------------|-----|-------------|

STATIC CHARACTERISTICS
CARACTÉRISTIQUES STATIQUES

 $T_{case} = 25^\circ C$ (Unless otherwise stated)
(Sauf indications contraires)

| | Test conditions <i>Conditions de mesure</i> | | | min | typ | max | | |
|--|---|--------------------------------|----------------------|------|-----|------|----|--|
| Collector-emitter breakdown voltage <i>Tension de claquage collecteur-émetteur</i> | $I_C = -0,1 \text{ A}$ | BD 906 | VCEO sus* | -45 | | | V | |
| | $I_B = 0$ | BD 908 | | -60 | | | | |
| | | BD 910 | | -80 | | | | |
| | | BD 912 | | -100 | | | | |
| Collector-base cut-off current <i>Courant résiduel collecteur-base</i> | $V_{CB} = -45 \text{ V}$ | BD 906 | I _{CBO} | | | -0,5 | mA | |
| | $V_{CB} = -45 \text{ V}$ $T_{case} = 150^\circ C$ | | | | | -5 | | |
| | $V_{CB} = -60 \text{ V}$ | BD 908 | | | | -0,5 | | |
| | $V_{CB} = -60 \text{ V}$ $T_{case} = 150^\circ C$ | | | | | -5 | | |
| | $V_{CB} = -80 \text{ V}$ | BD 910 | | | | -0,5 | | |
| | $V_{CB} = -80 \text{ V}$ $T_{case} = 150^\circ C$ | | | | | -5 | | |
| | $V_{CB} = -100 \text{ V}$ | BD 912 | | | | -0,5 | | |
| | $V_{CB} = -100 \text{ V}$ $T_{case} = 150^\circ C$ | | | | | -5 | | |
| Collector-emitter cut-off current <i>Courant résiduel collecteur-émetteur</i> | $V_{CE} = -30 \text{ V}$ | BD 906 BD 908 | I _{CEO} | | | -1 | mA | |
| | $V_{CE} = -40 \text{ V}$ | BD 910 | | | | -1 | | |
| | $V_{CE} = -50 \text{ V}$ | BD 912 | | | | -1 | | |
| Emitter-base cut-off current <i>Courant résiduel émetteur-base</i> | $V_{EB} = -5 \text{ V}$ $I_C = 0$ | All types <i>Tous types</i> | I _{EBO} | | | -1 | mA | |
| Collector-emitter saturation voltage <i>Tension de saturation collecteur-émetteur</i> | $I_C = -5 \text{ A}$ $I_B = -0,5 \text{ A}$ | All types <i>Tous types</i> | V _{CESat} * | | | -1 | V | |
| | $I_C = -10 \text{ A}$ $I_B = -2,5 \text{ A}$ | | | | | -3 | | |
| Base-emitter saturation voltage <i>Tension de saturation base-émetteur</i> | $I_C = -10 \text{ A}$ $I_B = -2,5 \text{ A}$ | All types <i>Tous types</i> | V _{BESat} * | | | -2,5 | V | |
| Base-emitter voltage <i>Tension base-émetteur</i> | $V_{CE} = -4 \text{ V}$ $I_C = -5 \text{ A}$ | All types <i>Tous types</i> | V _{BE} * | | | -1,5 | V | |

* Pulsed
Impulsions $t_p = 300 \mu\text{s}$ $\delta \leq 1,5\%$

STATIC CHARACTERISTICS
CARACTÉRISTIQUES STATIQUES
T_{case} 25 °C(Unless otherwise stated)
(Sauf indications contraires)

| | Test conditions Conditions de mesure | | | min | typ | max | |
|---|--|--------------------------------|----------------|-----|-----|-----|-----|
| Static forward current transfer ratio <i>Valeur statique du rapport de transfert direct du courant</i> | V _{CE} = -4 V I _C = -0,5 A | All types <i>Tous types</i> | h21E* | 40 | | 250 | |
| | V _{CE} = -4 V I _C = -5 A | | | 15 | | 150 | |
| | V _{CE} = -4 V I _C = -10 A | | | 5 | | | |
| Transition frequency <i>Fréquence de transition</i> | V _{CE} = -4 V I _C = -0,5 A f = 1 MHz | All types <i>Tous types</i> | f _T | 3 | | | MHz |

THERMAL CHARACTERISTICS
CARACTÉRISTIQUES THERMIQUES

| | | | | | | |
|--|--------------------------------|----------------------|--|--|-----|------|
| Junction-case thermal resistance <i>Résistance thermique jonction-boîtier</i> | All types <i>Tous types</i> | R _{th(j-c)} | | | 1,4 | °C/W |
|--|--------------------------------|----------------------|--|--|-----|------|

* Pulsed
Impulsions t_p = 300 μs δ ≤ 1,5%



PNP SILICON DARLINGTON TRANSISTOR
TRANSISTOR DARLINGTON SILICIUM PNP
Compl. of BDV 65 A-B

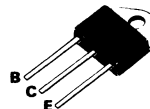
ADVANCE INFORMATION

High current power darlington
designed for power amplification
and switching application.

*Darlington fort courant adapté
pour l'amplification de puissance
et la commutation.*

V_{CEO sus} { - 60 V BDV 64
- 80 V BDV 64 A
- 100 V BDV 64 B

I_C 12 A



Case
Boîtier TOP 3 (CB 244)

ABSOLUTE RATINGS (LIMITING VALUES)

VALEURS LIMITES ABSOLUES D'UTILISATION

T_{case} = 25 °C

| | | BDV 64 | BDV 64 A | BDV 64 B | |
|--|---------------------------------|--------|-----------------|----------|----|
| Collector-emitter voltage Tension collecteur-émetteur | V _{CEO} | -60 | -80 | -100 | V |
| Collector-base voltage Tension collecteur-base | V _{CBO} | -60 | -80 | -100 | V |
| Emitter-base voltage Tension émetteur base | V _{EBO} | | -5 | | V |
| Collector current Courant collecteur | I _C I _{CM} | | -12 -16 | | A |
| Base current Courant base | I _B | | -0,2 | | A |
| Power dissipation Dissipation de puissance | P _{tot} | | 100 | | W |
| Storage and junction temperature Température de jonction et de stockage | T _j T _{stg} | | 175 -65 +175 | | °C |

Junction case thermal resistance
Résistance thermique jonction boîtier

R_{th(j-c)}

1,5

°C/W

BDV 64 A-B

ELECTRICAL CHARACTERISTICS - CARACTÉRISTIQUES ÉLECTRIQUES

| SYMBOLS | MIN. | TYP. | MAX. | UNIT | | TEST CONDITIONS - CONDITIONS DE MESURE |
|---------|------|------|------|------|--|--|
|---------|------|------|------|------|--|--|

OFF CHARACTERISTICS - CARACTÉRISTIQUES A L'ÉTAT BLOQUÉ

| | | | | | | |
|------------------|----------------------|--|------------|----|--------------------------------|---|
| VCEO sus* | - 60 - 80 -100 | | | V | BDV 64 BDV 64 A BDV 64 B | I _C = 0,1 A L = 25 mH |
| I _{CBO} | | | -0,4 -3 | mA | BDV 64 BDV 64 A BDV 64 B | V _{CE} = -60 V T _{case} = 25 °C V _{CE} = -80 V V _{CE} = -100 V T _{case} = 150 °C |
| I _{CEO} | | | -1 | mA | BDV 64 BDV 64 A BDV 64 B | V _{CE} = -30 V V _{CE} = -40 V V _{CE} = -50 V |
| I _{EBO} | | | -5 | mA | | V _{EB} = -5 V |

ON CHARACTERISTICS - CARACTÉRISTIQUES A L'ÉTAT CONDUCTEUR

| | | | | | | |
|----------------------|--|-----|----|---|--|--|
| V _{CE} sat* | | | -2 | V | | I _C = -5 A I _B = - 0,02 A |
| V _F | | 1,5 | | V | | I _F = 5 A |

DYNAMIC CHARACTERISTICS - CARACTÉRISTIQUES DYNAMIQUES

| | | | | | | |
|------------------|--|-----|--|-----|--|---|
| f _T | | 80 | | kHz | | f = 10 kHz V _{CE} = -3 V I _C = -5 A |
| C _{22b} | | 200 | | pF | | f = 1 MHz V _{CB} = -10 V |

SWITCHING CHARACTERISTICS - CARACTÉRISTIQUES DE COMMUTATION

On resistive load - Sur charge résistive

| | | | | | | |
|------------------|--|-----|--|----|--|---|
| t _{on} | | 1 | | μs | | V _{CC} = 16 V |
| t _{off} | | 2,5 | | | | I _C = 5 A I _{B1} = -I _{B2} = 0,02 A |

* Pulses Impulsions t_p = 300 μs ≤ 2% Unless otherwise stated Sauf indications contraires T_{case} = 25 °C

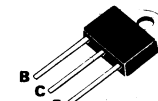
NPN SILICON DARLINGTON TRANSISTOR
TRANSISTOR DARLINGTON SILICIUM NPN
Compl. of BDV 64 A-B

ADVANCE INFORMATION

High current power darlington
designed for power amplification
and switching application.

*Darlington fort courant adapté
pour l'amplification de puissance
et la commutation.*

| | |
|----------------------------|-----------------------|
| V_{CEO sus} | 60 V BDV 65 |
| | 80 V BDV 65 A |
| | 100 V BDV 65 B |
| I_C | 12 A |



Case
Boîtier TOP 3 (CB 244)

ABSOLUTE RATINGS (LIMITING VALUES)

VALEURS LIMITES ABSOLUES D'UTILISATION

T_{case} = 25 °C

| | | BDV 65 | BDV 65 A | BDV 65 B | |
|--|------------------|------------------|-----------------|-----------------|----|
| Collector-emitter voltage Tension collecteur-émetteur | V _{CEO} | 60 | 80 | 100 | V |
| Collector-base voltage Tension collecteur-base | V _{CBO} | 80 | 100 | 120 | V |
| Emitter-base voltage Tension émetteur-base | V _{EBO} | | 5 | | V |
| Collector current Courant collecteur | I _C | I _{CM} | | 12 16 | A |
| Base current Courant base | I _B | | | 0,2 | A |
| Power dissipation Dissipation de puissance | P _{tot} | | | 100 | W |
| Storage and junction temperature Température de jonction et de stockage | T _j | T _{stg} | | 175 -65 +175 | °C |

Junction case thermal resistance
Résistance thermique jonction boîtier

R_{th(j-c)}

1,5

°C/W

BDV 65 A,B**ELECTRICAL CHARACTERISTICS - CARACTÉRISTIQUES ÉLECTRIQUES**

| SYMBOLS | MIN. | TYP. | MAX. | UNIT | | TEST CONDITIONS - CONDITIONS DE MESURE |
|---------|------|------|------|------|--|--|
|---------|------|------|------|------|--|--|

OFF CHARACTERISTICS - CARACTÉRISTIQUES A L'ÉTAT BLOQUÉ

| | | | | | | |
|------------------------|-----------------|----------|----|--------------------------------|---|---|
| V _{C EO sus*} | 60 80 100 | | | V | BDV 65 BDV 65 A BDV 65 B | I _C = 0,1 A L = 25 mH |
| I _{C EO} | | | 1 | mA | BDV 65 BDV 65 A BDV 65 B | V _{C E} = 30 V V _{C E} = 40 V I _B = 0 V _{C E} = 50 V |
| I _{C BO} | | 0,4 3 | mA | BDV 65 BDV 65 A BDV 65 B | T _{case} = 25 °C V _{C E} = 40 V | V _{C E} = 50 V |
| | | | | | T _{case} = 150 °C V _{C E} = 60 V | |
| I _{E BO} | | 5 | mA | | V _{E B} = 5 V | I _C = 0 |

ON CHARACTERISTICS - CARACTÉRISTIQUES A L'ÉTAT CONDUCTEUR

| | | | | | | |
|-----------------------|--|-----|---|--|--|-----------|
| V _{C E sat*} | | 2 | V | | V _{C E} = 3 V I _C = 5 A f = 10 kHz | |
| V _F | | 1,5 | V | | V _{CB} = 10 V | f = 1 MHz |

DYNAMIC CHARACTERISTICS - CARACTÉRISTIQUES DYNAMIQUES

| | | | | | | |
|------------------|--|-----|-----|--|--|--|
| f _C | | 50 | kHz | | f = 10 KHz V _{C E} = 3 V I _C = 5 A | |
| C _{22b} | | 200 | pF | | f = 1 MHz V _{CB} = 10 V | |

SWITCHING CHARACTERISTICS - CARACTÉRISTIQUES DE COMMUTATION

On resistive load - Sur charge résistive

| | | | | | | |
|-----------------|--|---|--|------------------|--|--|
| t _{on} | | 1 | | t _{off} | | V _{C C} = 16 V I _C = 5 A I _{B1} = -I _{B2} = 0,02 A |
| | | | | | | |

* Pulses Impulsions t_p = 300 µs n ≤ 2 % Unless otherwise stated
Sauf indications contraires T_{case} = 25 °C

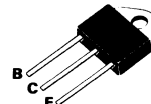
PNP SILICON DARLINGTON TRANSISTOR
TRANSISTOR DARLINGTON SILICIUM PNP
Compl. of BDV 67 A-B

ADVANCE INFORMATION

High current power darlington
designed for power amplification
and switching application.

*Darlington fort courant adapté
pour l'amplification de puissance
et la commutation.*

| | |
|----------------|-----------------|
| $V_{CEO\ sus}$ | - 60 V BDV 66 |
| | - 80 V BDV 66 A |
| | -100 V BDV 66 B |
| I_C | - 16 A |



Case
Boîtier
TOP 3 (CB 244)

ABSOLUTE RATINGS (LIMITING VALUES)

VALEURS LIMITES ABSOLUES D'UTILISATION

$T_{case} = 25^\circ\text{C}$

| | | BDV 66 | BDV 66 A | BDV 66 B | |
|--|-----------|-----------|----------|-----------------|------------------|
| Collector-emitter voltage Tension collecteur-émetteur | V_{CEO} | -60 | -80 | -100 | V |
| Collector-base voltage Tension collecteur-base | V_{CBO} | -60 | -80 | -100 | V |
| Emitter-base voltage Tension émetteur base | V_{EBO} | | -5 | | V |
| Collector current Courant collecteur | I_C | I_{CM} | | -16 -20 | A |
| Base current Courant base | I_B | | -0,25 | | A |
| Power dissipation Dissipation de puissance | P_{tot} | | 125 | | W |
| Storage and junction temperature Température de jonction et de stockage | T_j | T_{stg} | | 175 -65 +175 | $^\circ\text{C}$ |

Junction case thermal resistance
Résistance thermique jonction boîtier

$R_{th(j-c)}$

1,2

$^\circ\text{C/W}$

BDV 66,A,B
ELECTRICAL CHARACTERISTICS - CARACTÉRISTIQUES ÉLECTRIQUES

| SYMBOLS | MIN. | TYP. | MAX. | UNIT | | TEST CONDITIONS - CONDITIONS DE MESURE |
|---------|------|------|------|------|--|--|
|---------|------|------|------|------|--|--|

OFF CHARACTERISTICS - CARACTÉRISTIQUES A L'ÉTAT BLOQUÉ

| | | | | | | |
|------------------------|----------------------|--|----------|----|--------------------------------|--|
| V _{C EO sus*} | - 60 - 80 -100 | | | V | BDV 66 BDV 66 A BDV 66 B | I _C = -0,1 A L = 25 mH |
| I _{C EO} | | | -3 | mA | BDV 66 BDV 66 A BDV 66 B | V _{C E} = -30 V I _B = 0 V _{C E} = -40 V I _B = 0 V _{C E} = -50 V I _B = 0 |
| I _{C BO} | | | -1 -6 | mA | BDV 66 BDV 66 A BDV 66 B | T _{case} = 25 °C V _{C B} = -40 V V _{C B} = -50 V T _{case} = 150 °C V _{C B} = -60 V |
| I _{E BO} | | | -5 | mA | | V _{E B} = -5 V I _C = 0 |

ON CHARACTERISTICS - CARACTÉRISTIQUES A L'ÉTAT CONDUCTEUR

| | | | | | |
|-----------------------|--|----|---|--|--|
| V _{C E sat*} | | -2 | V | | I _C = -10 A I _B = -0,04 A |
|-----------------------|--|----|---|--|--|

DYNAMIC CHARACTERISTICS - CARACTÉRISTIQUES DYNAMIQUES

| | | | | |
|------------------|------|-----|--|---|
| f _C | 0,06 | MHz | | V _{C E} = -3 V I _C = -5 A f = 1 kHz |
| C _{22b} | 300 | pF | | V _{C B} = -10 V f = 1 MHz |

SWITCHING CHARACTERISTICS - CARACTÉRISTIQUES DE COMMUTATION

On resistive load - Sur charge resistive

| | | | | |
|------------------|-----|----|--|--|
| t _{on} | 1 | | | V _{C C} = 12 V I _C = 10 A |
| t _{off} | 3,5 | μs | | I _{B1} = -I _{B2} = 0,04 A |

* Pulses
Impulsions t_p = 300 μs Δ ≤ 2 % Unless otherwise stated
Sauf indications contraires

T_{case} = 25 °C

**NPN SILICON DARLINGTON TRANSISTOR
TRANSISTOR DARLINGTON SILICIUM NPN**
Compl. of BDV 66 A-B

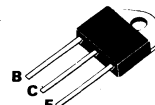
ADVANCE INFORMATION

High current power darlington
designed for power amplification
and switching application.

*Darlington fort courant adapté
pour l'amplification de puissance
et la commutation.*

| | | | |
|----------|---|-------|----------|
| VCEO sus | { | 60 V | BDV 67 |
| | | 80 V | BDV 67 A |
| | | 100 V | BDV 67 B |

IC 16A



Case
Boîtier TOP 3 (CB 244)

ABSOLUTE RATINGS (LIMITING VALUES)

VALEURS LIMITES ABSOLUES D'UTILISATION

T_{case} = 25 °C

| | | BDV 67 | BDV 67 A | BDV 67 B | |
|--|------------------|------------------|----------|----------|----|
| Collector-emitter voltage Tension collecteur-émetteur | V _{CEO} | 60 | 80 | 100 | V |
| Collector-base voltage Tension collecteur-base | V _{CBO} | 60 | 80 | 100 | V |
| Emitter-base voltage Tension émetteur-base | V _{EBO} | | 5 | | V |
| Collector current Courant collecteur | I _C | I _{CM} | 16 20 | | A |
| Base current Courant base | I _B | | 0,25 | | A |
| Power dissipation Dissipation de puissance | P _{tot} | | 125 | | W |
| Storage and junction temperature Température de jonction et de stockage | T _j | T _{stg} | -55 +175 | 175 | °C |

Junction case thermal resistance
Resistance thermique jonction boîtier

R_{th(j-c)}

1,2

°C/W

BDV 67,A,B**ELECTRICAL CHARACTERISTICS - CARACTÉRISTIQUES ÉLECTRIQUES**

| SYMBOLS | MIN. | TYP. | MAX. | UNIT | | TEST CONDITIONS - CONDITIONS DE MESURE |
|---------|------|------|------|------|--|--|
|---------|------|------|------|------|--|--|

OFF CHARACTERISTICS - CARACTÉRISTIQUES A L'ÉTAT BLOQUÉ

| | | | | | | |
|------|-----------------|---|----|--------------------------------|--|--|
| VCEO | 60 80 100 | | V | BDV 67 BDV 67 A BDV 67 B | I _C = 0,1 A L = 25 mH | |
| ICEO | | 3 | mA | BDV 67 BDV 67 A BDV 67 B | V _{CE} = 30 V I _B = 0 V _{CE} = 40 V V _{CE} = 50 V I _B = 0 | |
| ICBO | | 1 | mA | BDV 67 BDV 67 A BDV 67 B | T _{case} = 25 °C V _{CB} = 40 V V _{CB} = 50 V | |
| | | 6 | | BDV 67 BDV 67 A BDV 67 B | T _{case} = 150 °C V _{CB} = 60 V | |
| IEBO | | 5 | mA | | V _{EB} = 5 V I _C = 0 | |

ON CHARACTERISTICS - CARACTÉRISTIQUES A L'ÉTAT CONDUCTEUR

| | | | | | | |
|----------------------|--|---|---|--|-----------------------|-------------------------|
| V _{CE} sat* | | 2 | V | | I _C = 10 A | I _B = 0,04 A |
|----------------------|--|---|---|--|-----------------------|-------------------------|

DYNAMIC CHARACTERISTICS - CARACTÉRISTIQUES DYNAMIQUES

| | | | | | | |
|------------------|------|-----|--|------------------------|----------------------|-----------|
| f _C | 0,05 | MHz | | V _{CE} = 3 V | I _C = 5 A | f = 1 kHz |
| C _{22b} | 300 | pF | | V _{CB} = 10 V | | f = 1 MHz |

SWITCHING CHARACTERISTICS - CARACTÉRISTIQUES DE COMMUTATION

On resistive load - Sur charge résistive

| | | | | | | |
|------------------|-----|--|--------|--|--|--|
| t _{on} | 1 | | / s | V _{CC} = 12 V | | |
| t _{off} | 3,5 | | | I _C = 10 A I _{B1} = -I _{B2} = 0,04 A | | |

* Pulses Impulsions t_p = 300 µs $\Delta \leq 2\%$ Unless otherwise stated Sauf indications contraires

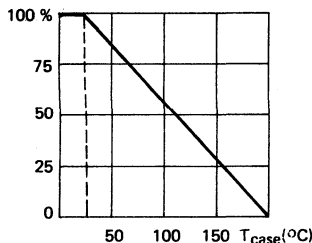
T_{case} = 25 °C

Compl. of 2N 3054

LF large signal power amplification
Amplification BF grands signaux de puissance

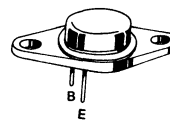
Medium current switching
Commutation courant moyen

Dissipation derating
Variation de dissipation



| | |
|--------------------------|------------|
| V _{CEO} | - 55 V |
| I _C | - 4 A |
| P _{tot} | 29 W |
| R _{th(j-c)} | 6 °C/W max |
| h _{21E} (0,5 A) | 25 - 100 |
| f _T | 4 MHz min |

Case TO 66 (CB 72)
Boîtier



ABSOLUTE RATINGS (LIMITING VALUES)
VALEURS LIMITES ABSOLUES D'UTILISATION

| | | | |
|---|------------------------------------|-------------------|----|
| Collector-base voltage <i>Tension collecteur-base</i> | V _{CBO} | - 90 | V |
| Collector-emitter voltage <i>Tension collecteur-émetteur</i> | V _{CEO} | - 55 | V |
| Collector-emitter voltage <i>Tension collecteur-émetteur</i> | V _{CER} | - 60 | V |
| Collector-emitter voltage <i>Tension collecteur-émetteur</i> | V _{CEX} | - 90 | V |
| Emitter-base voltage <i>Tension émetteur-base</i> | V _{EBO} | - 7 | V |
| Collector current <i>Courant collecteur</i> | I _C | - 4 | A |
| Base current <i>Courant base</i> | I _B | - 2 | A |
| Power dissipation <i>Dissipation de puissance</i> | P _{tot} | 29 | W |
| Storage and junction temperature <i>Température de jonction et de stockage</i> | t _j T _{stg} | 200 - 65 + 200 | °C |

| | | | | |
|--|-----|----------------------|---|------|
| Junction-case thermal resistance <i>Résistance thermique jonction boîtier</i> | max | R _{th(j-c)} | 6 | °C/W |
|--|-----|----------------------|---|------|

STATIC CHARACTERISTICS
CARACTÉRISTIQUES STATIQUES
 $T_{case} = 25^\circ\text{C}$ (Unless otherwise stated)
(Sauf indications contraires)

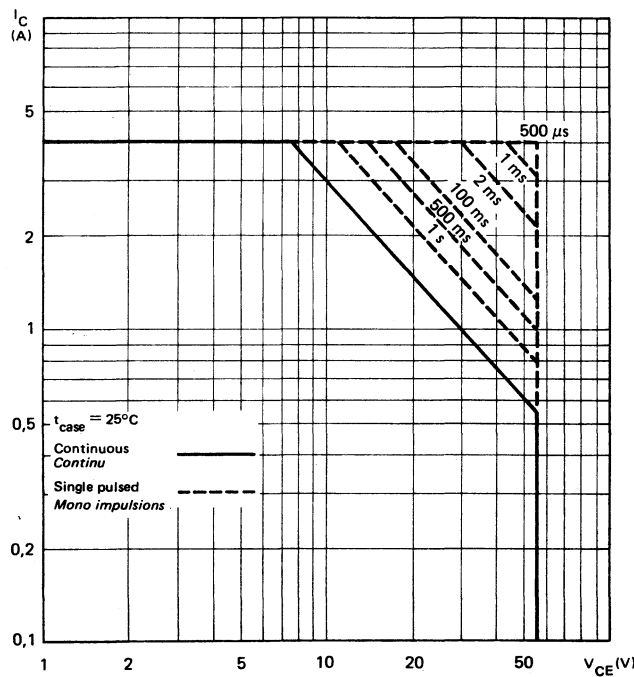
| | Test conditions Conditions de mesure | | min | typ | max | |
|---|---|-----------------------|-----|-----|------|----|
| Collector-emitter cut-off current <i>Courant résiduel collecteur-émetteur</i> | $V_{CE} = -90\text{ V}$ | ICEX | | | -1 | mA |
| | $V_{BE} = +1,5\text{ V}$ | | | | -5 | |
| Collector-emitter breakdown voltage <i>Tension de claquage collecteur-émetteur</i> | $I_C = -100\text{ mA}$ $I_B = 0$ | $V_{CEO}\text{sus}^*$ | -55 | | | V |
| Collector-emitter breakdown voltage <i>Tension de claquage collecteur-émetteur</i> | $I_C = -100\text{ mA}$ $R_{BE} = 100\Omega$ | $V_{CER}\text{sus}^*$ | -60 | | | V |
| Emitter-base breakdown voltage <i>Tension de claquage émetteur-base</i> | $I_E = -1\text{ mA}$ $I_C = 0$ | $V_{(BR)EBO}^*$ | -7 | | | V |
| Static forward current transfer ratio <i>Valeur statique du rapport de transfert direct du courant</i> | $V_{CE} = -4\text{ V}$ $I_C = -0,5\text{ A}$ | h_{21E}^* | 25 | | 100 | |
| Collector-emitter saturation voltage <i>Tension de saturation collecteur-émetteur</i> | $I_C = -0,5\text{ A}$ $I_B = -0,05\text{ A}$ | $V_{CE}\text{sat}^*$ | | | -1 | V |
| Base-emitter voltage <i>Tension base-émetteur</i> | $V_{CE} = -4\text{ V}$ $I_C = -0,5\text{ A}$ | V_{BE}^* | | | -1,7 | V |

DYNAMIC CHARACTERISTICS (for small signals)**CARACTÉRISTIQUES DYNAMIQUES (pour petits signaux)**

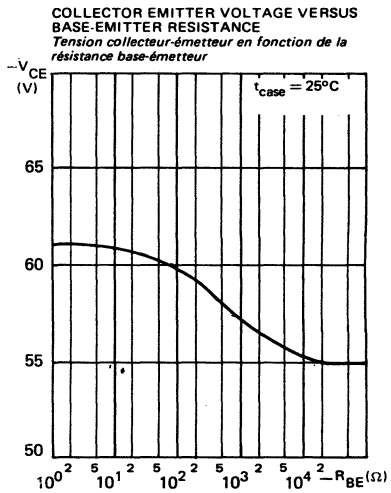
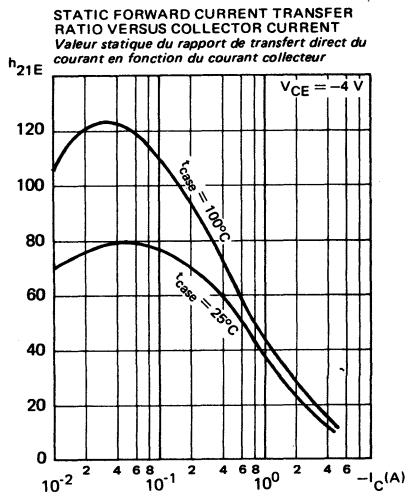
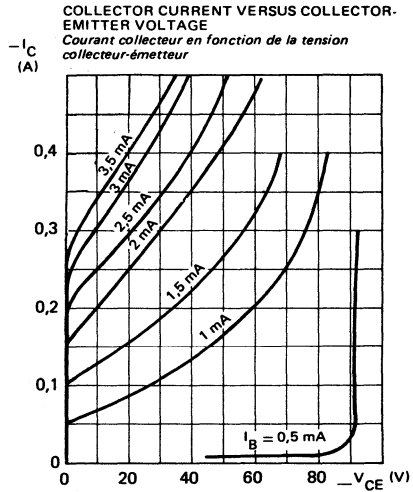
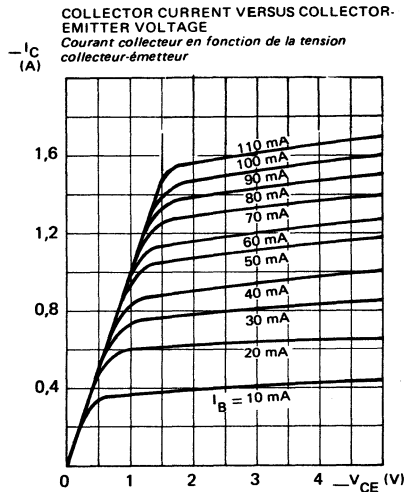
| | | | | | | |
|--|--|-------|---|--|--|-----|
| Transition frequency <i>Fréquence de transition</i> | $V_{CE} = -10\text{ V}$ $I_C = -0,2\text{ A}$ $f = 1\text{ MHz}$ | f_T | 4 | | | MHz |
|--|--|-------|---|--|--|-----|

* Pulsed
Impulsions $t_p = 300 \mu\text{s}$ $\delta \leq 2\%$

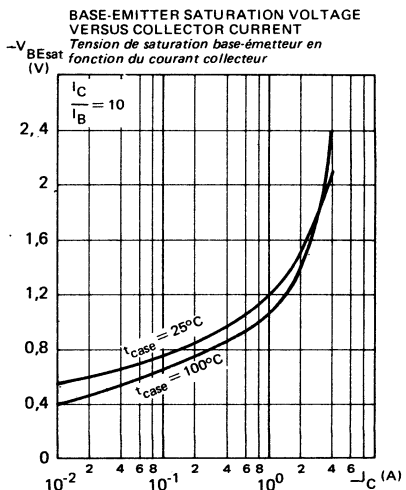
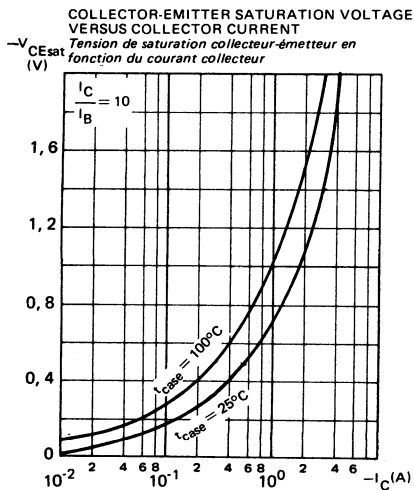
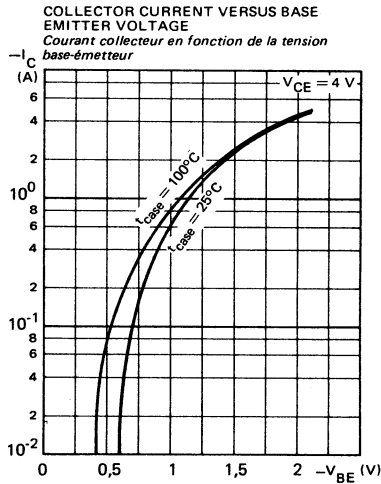
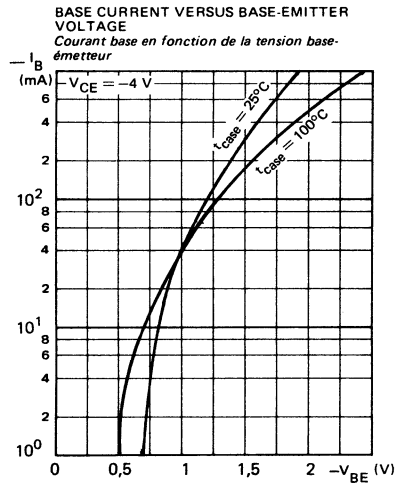
SAFE OPERATING AREA
Aire de fonctionnement de sécurité



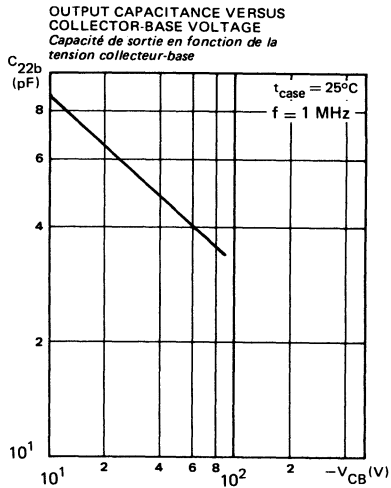
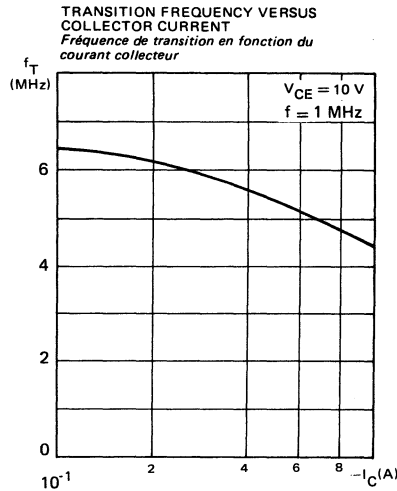
TYPICAL CHARACTERISTICS
CARACTÉRISTIQUES TYPIQUES



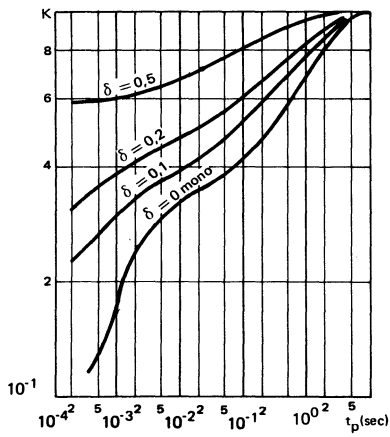
TYPICAL CHARACTERISTICS CARACTÉRISTIQUES TYPIQUES



TYPICAL CHARACTERISTICS
CARACTÉRISTIQUES TYPIQUES



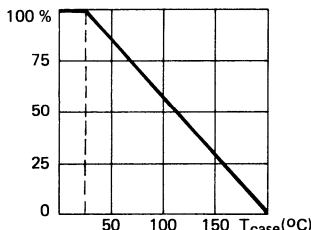
**TRANSIENT THERMAL RESISTANCE DERATING
FACTOR UNDER PULSES CONDITIONS**
Facteur de réduction de la résistance thermique en régime d'impulsions



Compl. of 2N 3441

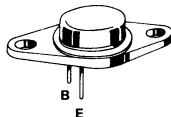
LF large signal power amplification
Amplification BF grands signaux de puissance

Dissipation derating
Variation de dissipation



| | | |
|--------------------------|---------|-----|
| V _{CEO} | – 140 V | |
| I _C | – 3 A | |
| P _{tot} | 25 W | |
| R _{th(j-c)} | 7 °C/W | max |
| h _{21E} (0,5 A) | 20 - 80 | |
| f _T | 0,8 MHz | min |

Case TO 66 (CB 72)
 Boîtier



ABSOLUTE RATINGS (LIMITING VALUES)
 VALEURS LIMITES ABSOLUES D'UTILISATION

| | | | | |
|---|------------------------------------|-------------------|-------|---|
| Collector-base voltage <i>Tension collecteur-base</i> | V _{CBO} | – 160 | V | |
| Collector-emitter voltage <i>Tension collecteur-émetteur</i> | V _{CEO} | – 140 | V | |
| Collector-emitter voltage <i>Tension collecteur-émetteur</i> | R _{BE} = 100 Ω | V _{CER} | – 150 | V |
| Collector-emitter voltage <i>Tension collecteur-émetteur</i> | V _{BE} = 1,5 V | V _{CEx} | – 160 | V |
| Emitter-base voltage <i>Tension émetteur-base</i> | V _{EBO} | – 7 | V | |
| Collector current <i>Courant collecteur</i> | I _C I _{CM} | – 3 – 4 | A | |
| Base current <i>Courant base</i> | I _B | – 2 | A | |
| Power dissipation <i>Dissipation de puissance</i> | P _{tot} | 25 | W | |
| Storage and junction temperature <i>Température de jonction et de stockage</i> | t _j T _{stg} | 200 – 65 + 200 | °C | |

| | | | | |
|--|-----|----------------------|---|------|
| Junction-case thermal resistance <i>Résistance thermique jonction boîtier</i> | max | R _{th(j-c)} | 7 | °C/W |
|--|-----|----------------------|---|------|

STATIC CHARACTERISTICS
CARACTÉRISTIQUES STATIQUES
 $T_{case} = 25^\circ C$

(Unless otherwise stated)

(Sauf indications contraires)

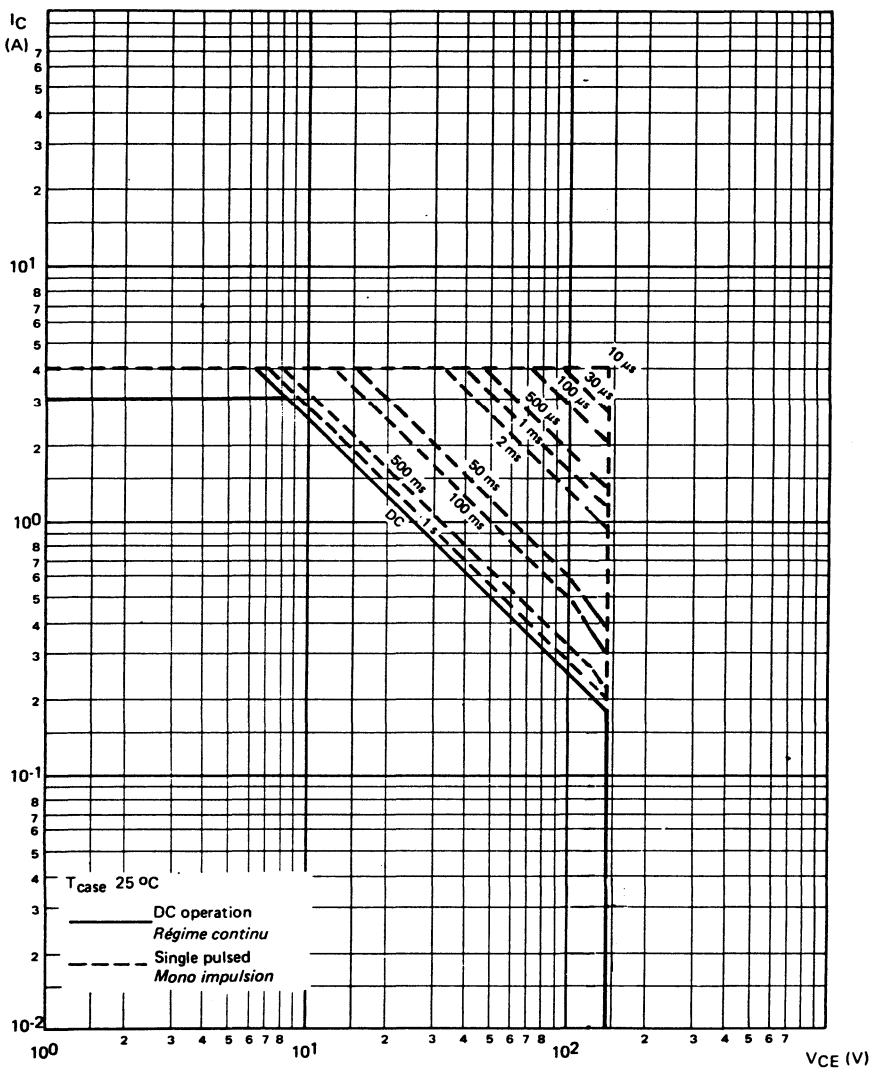
| | Test conditions Conditions de mesure | | min | typ | max | |
|---|---|------------------|------|-----|------|----|
| Collector-emitter cut-off current <i>Courant résiduel collecteur-émetteur</i> | $V_{CE} = -140 V$ $V_{BE} = 1,5 V$ | I _{CEX} | | | -1 | mA |
| | $V_{CE} = -140 V$ $V_{BE} = 1,5 V$ $T_{case} = 150^\circ C$ | | | | -5 | |
| Emitter-base cut-off current <i>Courant résiduel émetteur-base</i> | $V_{EB} = -7 V$ $I_C = 0$ | I _{EBO} | | | -1 | mA |
| Collector-emitter breakdown voltage <i>Tension de claquage collecteur-émetteur</i> | $I_C = -100 \text{ mA}$ $I_B = 0$ | $V_{(BR)CEO}^*$ | -140 | | | V |
| Collector-emitter breakdown voltage <i>Tension de claquage collecteur-émetteur</i> | $I_C = -100 \text{ mA}$ $R_{BE} = 100 \Omega$ | $V_{(BR)CER}^*$ | -150 | | | V |
| Collector-emitter breakdown voltage <i>Tension de claquage collecteur-émetteur</i> | $I_C = -100 \text{ mA}$ $V_{BE} = 1,5 V$ | $V_{(BR)CEX}^*$ | -160 | | | V |
| Static forward current transfer ratio <i>Valeur statique du rapport de transfert direct du courant</i> | $V_{CE} = -4 V$ $I_C = -0,5 A$ | h_{21E}^* | 20 | | 80 | |
| Collector-emitter saturation voltage <i>Tension de saturation collecteur-émetteur</i> | $I_C = -0,5 A$ $I_B = -0,05 A$ | V_{CEsat} | | | -1 | V |
| Base-emitter voltage <i>Tension base-émetteur</i> | $V_{CE} = -4 V$ $I_C = -0,5 A$ | V_{BE} | | | -1,7 | V |

DYNAMIC CHARACTERISTICS (for small signals)**CARACTÉRISTIQUES DYNAMIQUES (pour petits signaux)**

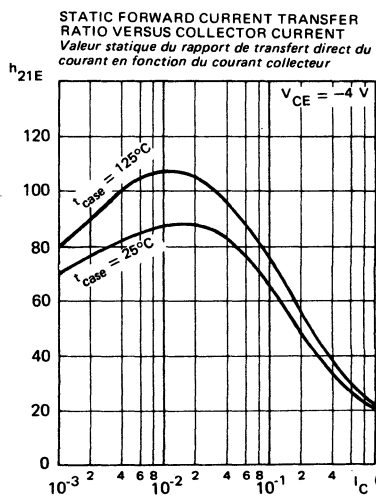
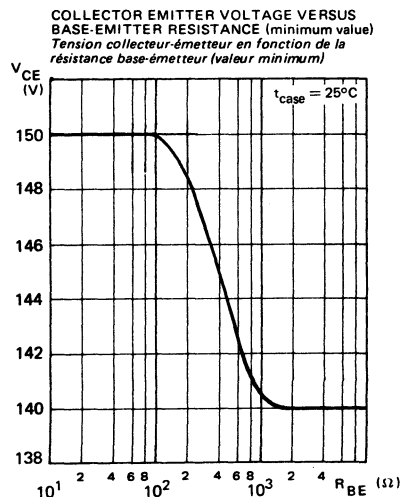
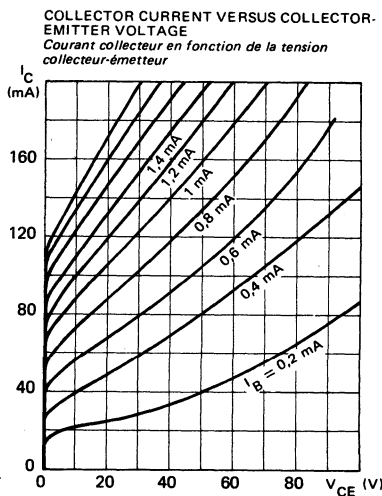
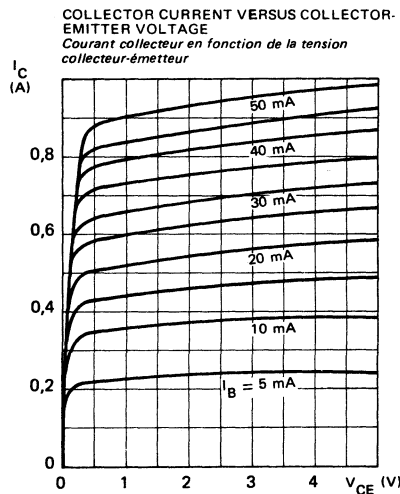
| | | | | | | |
|--|---|-------|--|---|--|-----|
| Transition frequency <i>Fréquence de transition</i> | $V_{CE} = -10 V$ $I_C = -0,2 A$ $f = 1 \text{ MHz}$ | f_T | | 4 | | MHz |
|--|---|-------|--|---|--|-----|

* Pulsed
Impulsions $t_p = 300 \mu s$ $\delta \leq 2\%$

SAFE OPERATING AREA
AIRE DE SECURITE



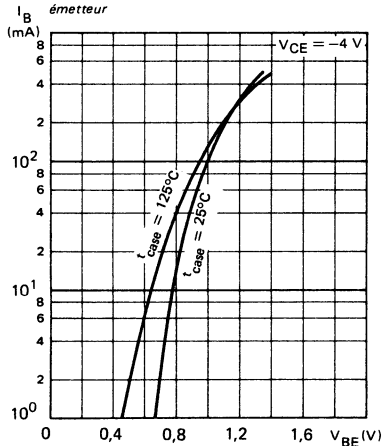
TYPICAL CHARACTERISTICS
CARACTÉRISTIQUES TYPIQUES



TYPICAL CHARACTERISTICS
CARACTÉRISTIQUES TYPIQUES

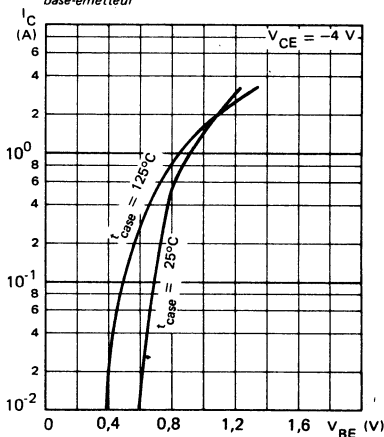
BASE CURRENT VERSUS BASE-EMITTER VOLTAGE

Courant base en fonction de la tension base-émetteur



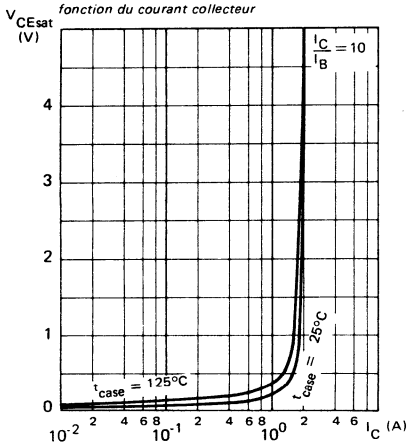
COLLECTOR CURRENT VERSUS BASE-EMITTER VOLTAGE

Courant collecteur en fonction de la tension base-émetteur



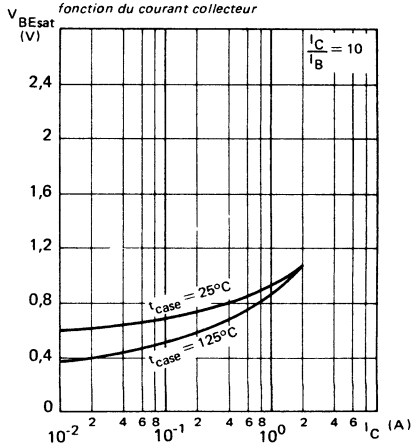
COLLECTOR-EMITTER SATURATION VOLTAGE VERSUS COLLECTOR CURRENT

Tension de saturation collecteur-émetteur en fonction du courant collecteur

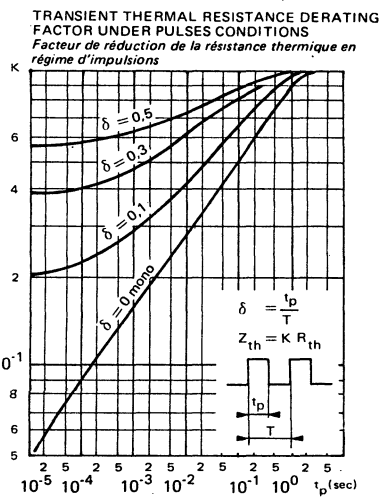
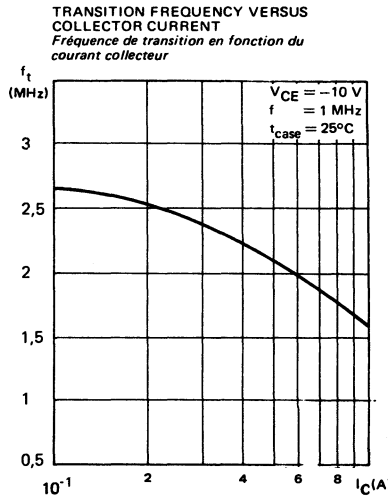
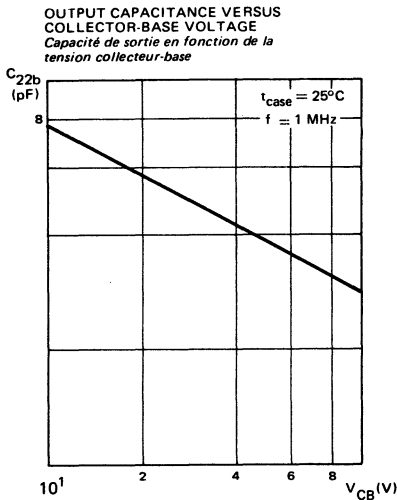


BASE-EMITTER SATURATION VOLTAGE VERSUS COLLECTOR CURRENT

Tension de saturation base-émetteur en fonction du courant collecteur



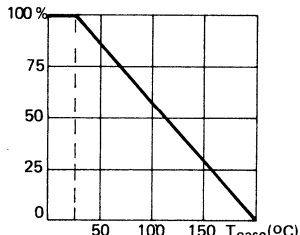
TYPICAL CHARACTERISTICS
CARACTÉRISTIQUES TYPIQUES



BDX 18 - BDX 18N

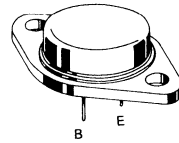
PNP SILICON TRANSISTORS, EPITAXIAL BASE
TRANSISTORS PNP SILICIUM, BASE ÉPITAXIÉE

Compl. of 2N 3055

LF large signal power amplification*Amplification BF grands signaux de puissance***High current switching***Commutation fort courant***Dissipation derating***Variation de dissipation*

| | |
|------------------------|--------------|
| V _{CEO} | - 60 V |
| I _C | - 15 A |
| P _{tot} | 117 W |
| R _{th(j-c)} | 1,5 °C/W max |
| h _{21E} (4 A) | 20 - 70 |
| f _T | 4 MHz min |

Case
Boîtier TO 3 (CB 19)


ABSOLUTE RATINGS (LIMITING VALUES)
VALEURS LIMITES ABSOLUES D'UTILISATION

| | | BDX 18 | BDX 18 N | |
|---|------------------------------------|-------------------|-------------------|----|
| Collector-base voltage <i>Tension collecteur-base</i> | V _{CBO} | - 100 | - 70 | V |
| Collector-emitter voltage <i>Tension collecteur-émetteur</i> | V _{CEO} | - 60 | - 60 | V |
| Collector-emitter voltage <i>Tension collecteur-émetteur</i> | R _{BE} = 100 Ω | V _{CER} | - 70 | V |
| Collector-emitter voltage <i>Tension collecteur-émetteur</i> | V _{BE} = + 1,5 V | V _{CEX} | - 90 | V |
| Emitter-base voltage <i>Tension émetteur-base</i> | V _{EBO} | - 7 | - 7 | V |
| Collector current <i>Courant collecteur</i> | I _C | - 15 | - 15 | A |
| Base current <i>Courant base</i> | I _B | - 7 | - 7 | A |
| Power dissipation <i>Dissipation de puissance</i> | T _{case} 25 °C | P _{tot} | 117 | W |
| Storage and junction temperature max <i>Température de jonction et de stockage</i> | t _j T _{stg} | 200 - 65 + 200 | 200 - 65 + 200 | °C |

Junction-case thermal resistance
Température thermique jonction boîtier max

R_{th(j-c)}

1,5

1,5

°C/W

BDX 18, BDX 18 N

STATIC CHARACTERISTICS CARACTÉRISTIQUES STATIQUES

$t_{case} = 25^\circ\text{C}$

(Unless otherwise stated)
(Sauf indications contraires)

| | Test conditions Conditions de mesure | | | Min. | Typ. | Max. |
|---|---|------------------|----------|------|------|------|
| Collector-emitter cut-off current <i>Courant résiduel collecteur-émetteur</i> | $V_{CE} = -90 \text{ V}$ $V_{BE} = +1,5 \text{ V}$ | I_{CEX} | BDX 18 | | -5 | mA |
| | $V_{CE} = -60 \text{ V}$ $V_{BE} = +1,5 \text{ V}$ $t_{case} = 150^\circ\text{C}$ | | BDX 18 | | -10 | mA |
| | $V_{CE} = -70 \text{ V}$ $V_{BE} = +1,5 \text{ V}$ | | BDX 18 N | | -5 | mA |
| | $V_{CE} = -60 \text{ V}$ $V_{BE} = +1,5 \text{ V}$ $t_{case} = 150^\circ\text{C}$ | | BDX 18 N | | -10 | mA |
| Emitter-base cut-off current <i>Courant résiduel émetteur-base</i> | $V_{EB} = -7 \text{ V}$ $I_C = 0$ | I_{EBO} | | | -5 | mA |
| Collector-emitter breakdown voltage <i>Tension de claquage collecteur-émetteur</i> | $I_C = 200 \text{ mA}$ $I_B = 0$ | $V_{CEO(sus)}^*$ | BDX 18 | -60 | | V |
| | $I_C = 200 \text{ mA}$ $I_B = 0$ | | BDX 18 N | -60 | | V |
| Collector-emitter breakdown voltage <i>Tension de claquage collecteur-émetteur</i> | $I_C = -200 \text{ mA}$ $R_{BE} = 100 \Omega$ | $V_{CER(sus)}^*$ | BDX 18 | -70 | | V |
| | $I_C = -200 \text{ mA}$ $R_{BE} = 100 \Omega$ | | BDX 18 N | -65 | | V |
| Collector-emitter breakdown voltage <i>Tension de claquage collecteur-émetteur</i> | $I_C = -100 \text{ mA}$ $V_{BE} = +1,5 \text{ V}$ | $V_{CEX(sus)}^*$ | BDX 18 | -90 | | V |
| | $I_C = -100 \text{ mA}$ $V_{BE} = +1,5 \text{ V}$ | | BDX 18 N | -70 | | V |
| Static forward current transfer ratio <i>Valeur statique du rapport de transfert direct du courant</i> | $V_{CE} = -4 \text{ V}$ $I_C = -4 \text{ A}$ | h_{21E}^* | | 20 | '70 | |
| Collector-emitter saturation voltage <i>Tension de saturation collecteur-émetteur</i> | $I_C = -4 \text{ A}$ $I_B = -0,4 \text{ A}$ | V_{CEsat}^* | | | -1,1 | V |
| Base-emitter voltage <i>Tension base-émetteur</i> | $V_{CE} = -4 \text{ V}$ $I_C = -4 \text{ A}$ | V_{BE}^* | | | -1,8 | V |

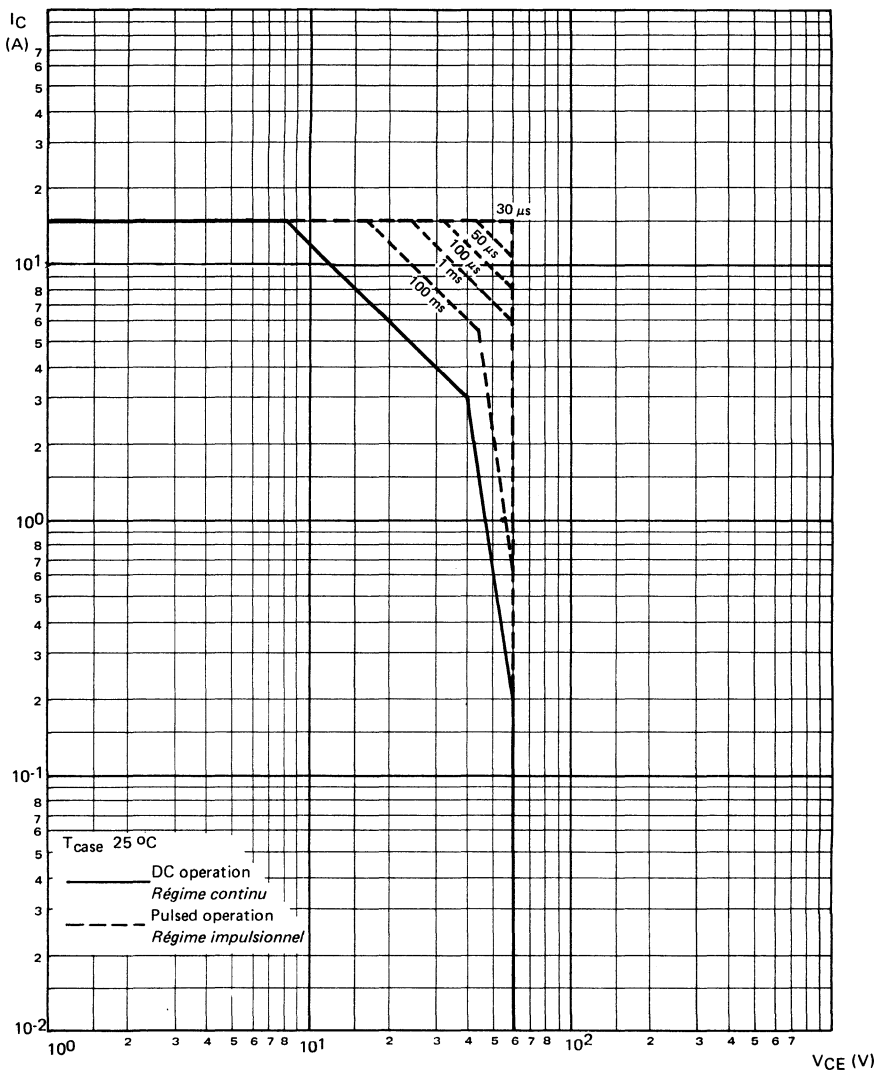
* Pulsed
Impulsions $t_p = 300 \mu\text{s}$ $\delta \leq 2 \%$

DYNAMIC CHARACTERISTICS (for small signals)
CARACTÉRISTIQUES DYNAMIQUES (pour petits signaux)

 $t_{case} = 25^\circ C$ (Unless otherwise stated)
(Sauf indications contraires)

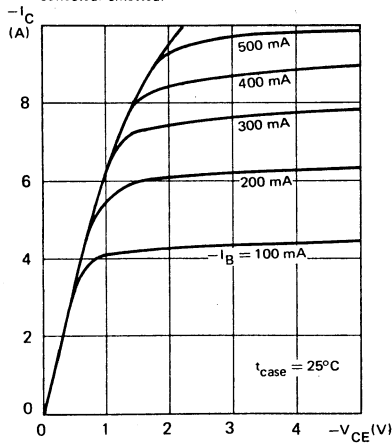
| | Test conditions <i>Conditions de mesure</i> | | | Min. | Typ. | Max. |
|--|---|-------|--|------|------|------|
| Transition frequency <i>Fréquence de transition</i> | $V_{CE} = -10 V$ $I_C = -1 A$ $f = 1 \text{ MHz}$ | f_T | | 4 | | MHz |

SAFE OPERATING AREA
AIRE DE SECURITE

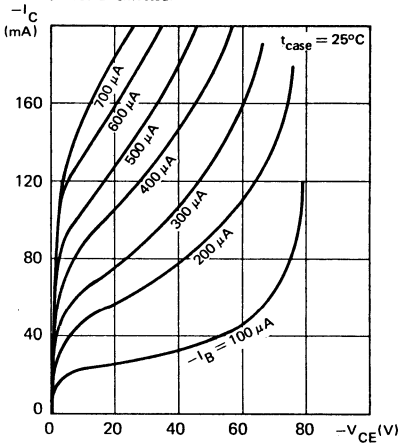


TYPICAL CHARACTERISTICS
CARACTÉRISTIQUES TYPIQUES

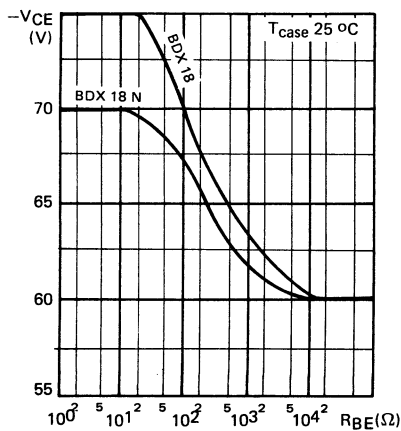
COLLECTOR CURRENT VERSUS COLLECTOR-EMITTER VOLTAGE
Courant collecteur en fonction de la tension collecteur-émetteur



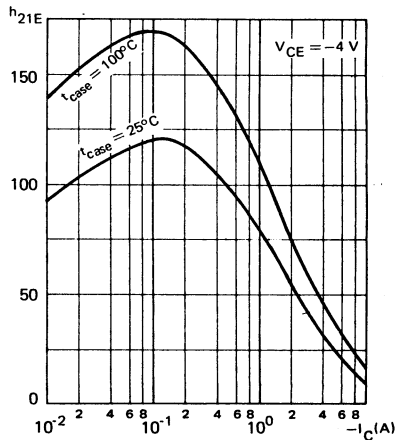
COLLECTOR CURRENT VERSUS COLLECTOR-EMITTER VOLTAGE
Courant collecteur en fonction de la tension collecteur-émetteur



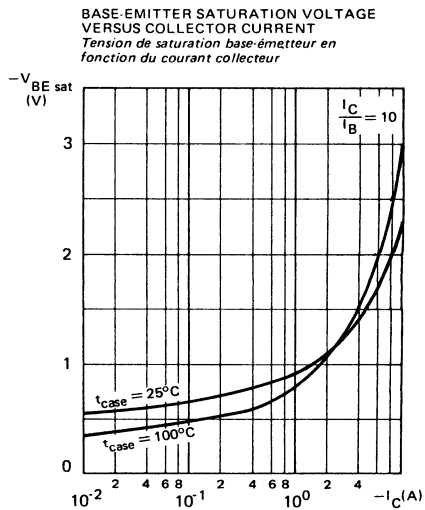
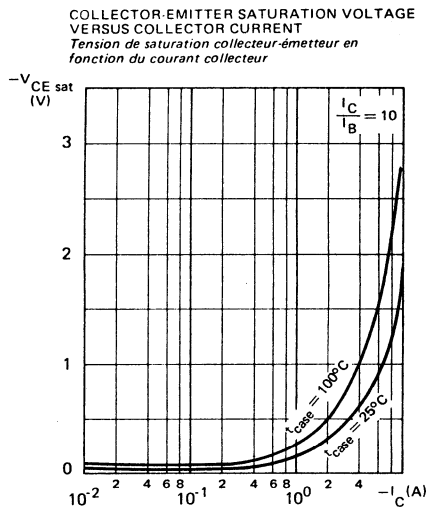
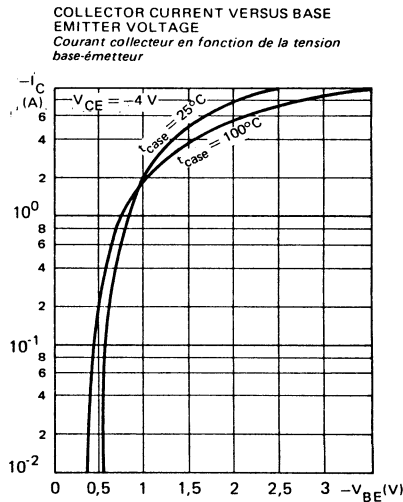
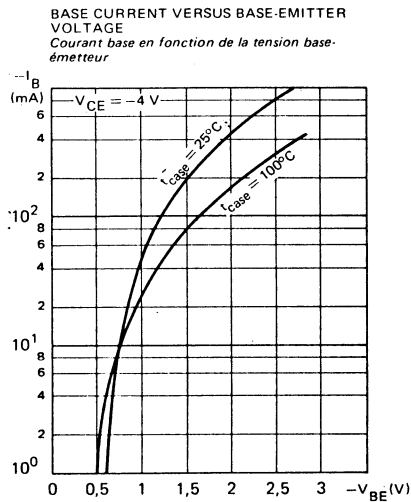
COLLECTOR EMMITTER VOLTAGE VERSUS BASE-EMITTER RESISTANCE
Tension collecteur-émetteur en fonction de la résistance base émetteur



STATIC FORWARD CURRENT TRANSFER RATIO VERSUS COLLECTOR CURRENT
Valeur statique du rapport de transfert direct du courant en fonction du courant collecteur

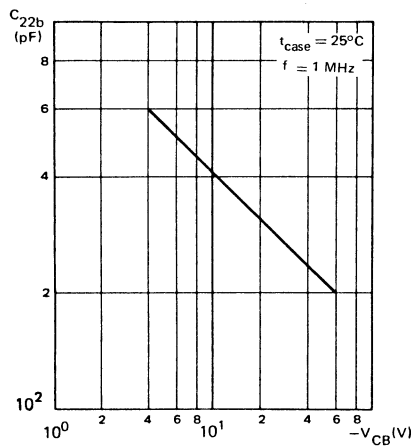


TYPICAL CHARACTERISTICS
CARACTÉRISTIQUES TYPIQUES

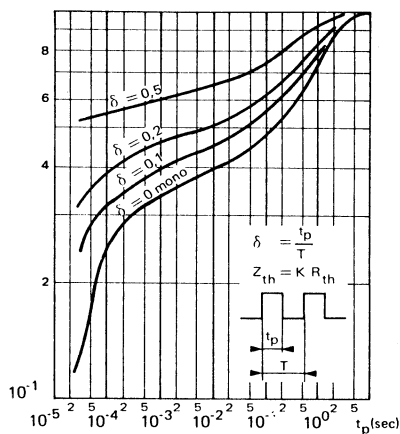


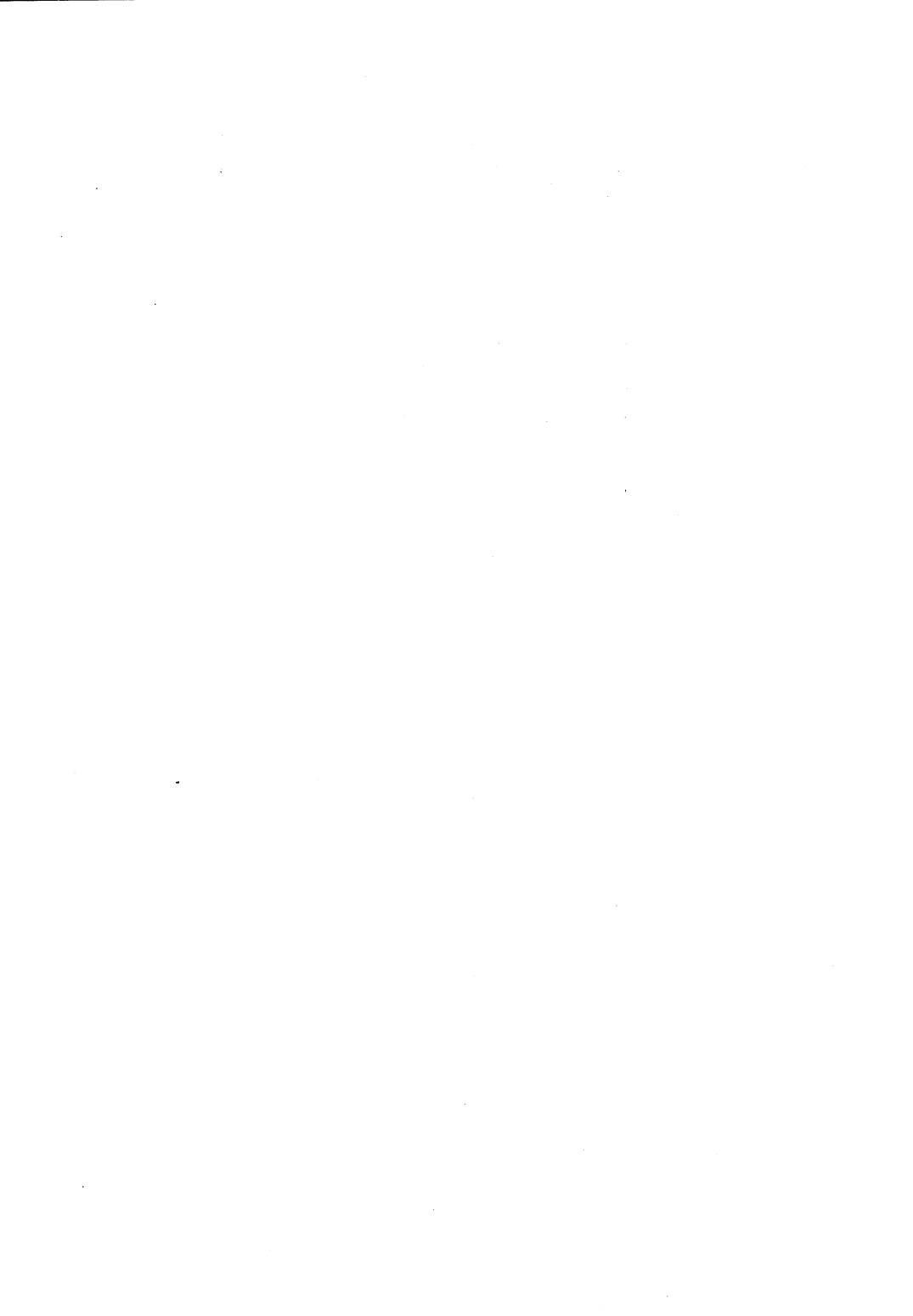
TYPICAL CHARACTERISTICS
CARACTÉRISTIQUES TYPIQUES

OUTPUT CAPACITANCE VERSUS
COLLECTOR-BASE VOLTAGE
Capacité de sortie en fonction de la
tension collecteur-base



TRANSIENT THERMAL RESISTANCE DERATING
FACTOR UNDER PULSES CONDITIONS
Facteur de réduction de la résistance thermique en
régime d'impulsions





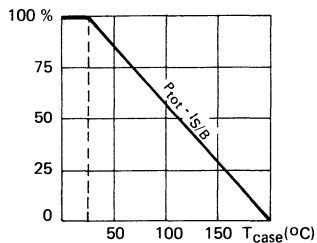
Compl. of 2 N 3442

LF large signal power amplification
Amplification BF grands signaux de puissance

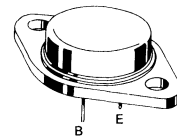
High current fast switching
Commutation rapide fort courant

| | |
|-----------------|--------------|
| V_{CEO} | - 140 V |
| I_C | - 10 A |
| P_{tot} | 117 W |
| $R_{th(j-c)}$ | 1,5 °C/W max |
| h_{21E} (3 A) | 20 - 70 |
| f_T | 0,8 MHz min |

Dissipation and I_S/B derating
Variation de dissipation et de I_S/B



Case
Boîtier TO 3 (CB 19)



ABSOLUTE RATINGS (LIMITING VALUES)
VALEURS LIMITES ABSOLUES D'UTILISATION

| | | | |
|---|--------------------|-------------------|----|
| Collector-base voltage <i>Tension collecteur-base</i> | V_{CBO} | - 160 | V |
| Collector-emitter voltage <i>Tension collecteur-émetteur</i> | V_{CEO} | - 140 | V |
| Collector-emitter voltage <i>Tension collecteur-émetteur</i> | V_{CEX} | - 160 | V |
| Emitter-base voltage <i>Tension émetteur-base</i> | V_{EBO} | - 7 | V |
| Collector current <i>Courant collecteur</i> | I_C | - 10 | A |
| Base current <i>Courant base</i> | I_B | - 7 | A |
| Power dissipation <i>Dissipation de puissance</i> | P_{tot} | 117 | W |
| Storage and junction temperature <i>Température de jonction et de stockage</i> | T_j T_{stg} | 200 - 65 + 200 | °C |

Junction-case thermal resistance
Résistance thermique jonction-boîtier

max

 $R_{th(j-c)}$

1,5

°C/W

STATIC CHARACTERISTICS
CARACTÉRISTIQUES STATIQUES
 $T_{case} = 25^\circ C$ (Unless otherwise stated)
(Sauf indications contraires)

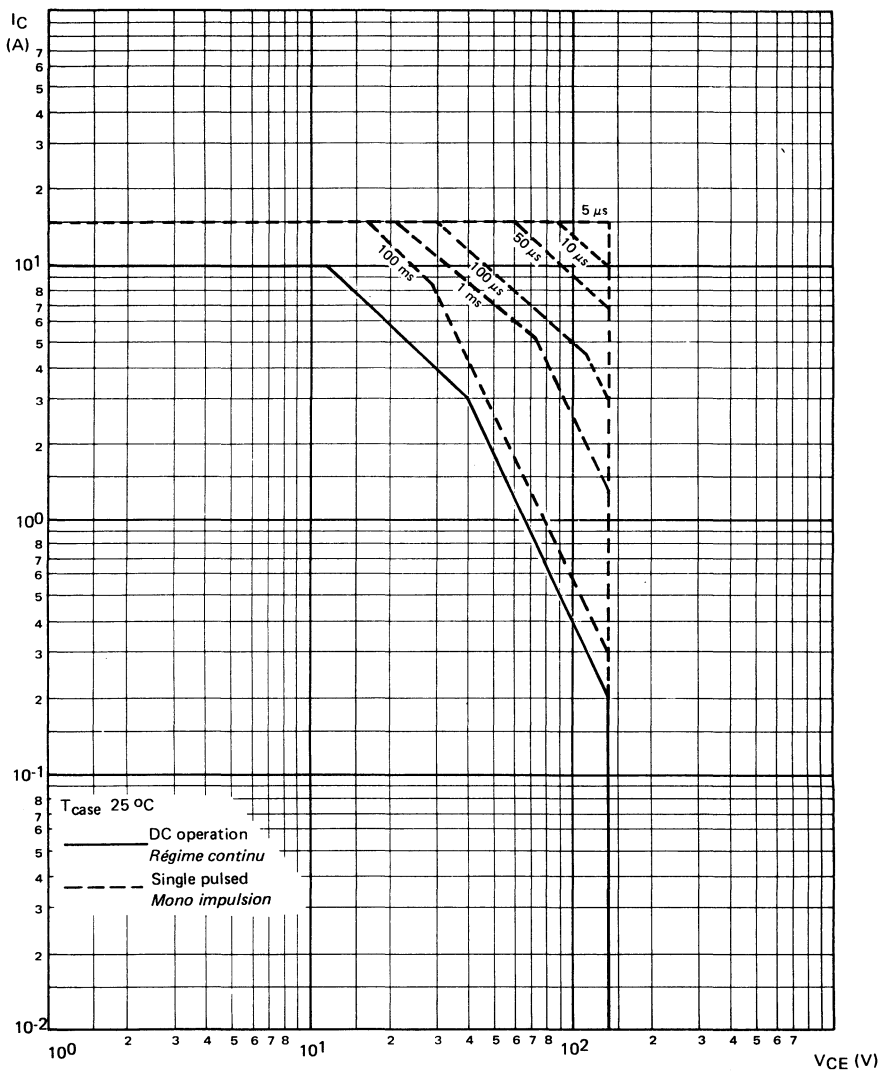
| | Test conditions Conditions de mesure | | min | typ | max | |
|---|---|----------------|------|-----|------|----|
| Collector-base cut-off current <i>Courant résiduel collecteur-base</i> | $V_{CB} = -140 V$ $I_E = 0$ | I_{CBO} | | | -1 | mA |
| Collector-emitter cut-off current <i>Courant résiduel collecteur-émetteur</i> | $V_{CE} = -140 V$ $V_{BE} = 1,5 V$ | I_{CEX} | | | -1 | mA |
| | $V_{CE} = -140 V$ $V_{BE} = 1,5 V$ $T_{case} = 150^\circ C$ | | | | -10 | |
| Emitter-base cut-off current <i>Courant résiduel émetteur-base</i> | $V_{EB} = -7 V$ $I_C = 0$ | I_{EBO} | | | -5 | mA |
| Collector-emitter breakdown voltage <i>Tension de claquage collecteur-émetteur</i> | $I_C = -200 mA$ $I_B = 0$ | V_{CEOsus}^* | -140 | | | V |
| Collector-emitter breakdown voltage <i>Tension de claquage collecteur-émetteur</i> | $I_C = -100 mA$ $V_{BE} = +1,5 V$ | V_{CEXsus}^* | -160 | | | V |
| Static forward current transfer ratio <i>Valeur statique du rapport de transfert direct du courant</i> | $V_{CE} = -4 V$ $I_C = -3 A$ | h_{21E}^* | 20 | | 70 | |
| | $V_{CE} = -4 V$ $I_C = -10 A$ | | | | 10 | |
| Collector-emitter saturation voltage <i>Tension de saturation collecteur-émetteur</i> | $I_C = -3 A$ $I_B = -0,3 A$ | V_{CEsat}^* | | | -1 | V |
| | $I_C = -10 A$ $I_B = -2 A$ | | | | -5 | |
| Base-emitter voltage <i>Tension base-émetteur</i> | $V_{CE} = -4 V$ $I_C = -3 A$ | V_{BE}^* | | | -1,7 | V |
| | $V_{CE} = -4 V$ $I_C = -10 A$ | | | | -5,7 | |

DYNAMIC CHARACTERISTICS (for small signals)**CARACTÉRISTIQUES DYNAMIQUES (pour petits signaux)**

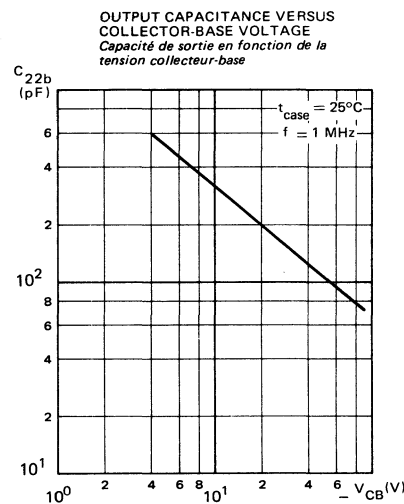
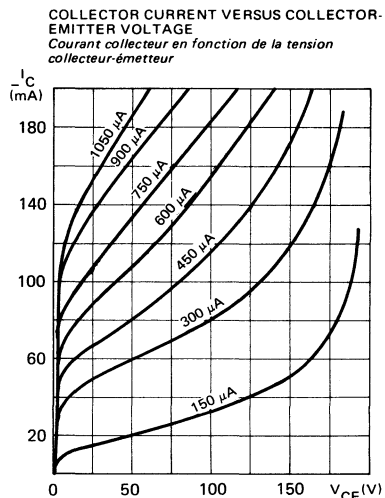
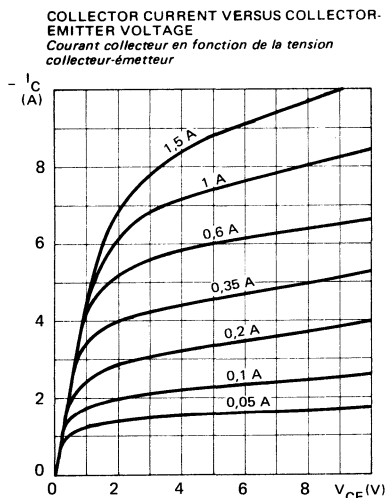
| | | | | | | |
|--|---|-------|---|--|--|-----|
| Transition frequency <i>Fréquence de transition</i> | $V_{CE} = -10 V$ $I_C = -1 A$ $f = 1 \text{ MHz}$ | f_T | 4 | | | MHz |
|--|---|-------|---|--|--|-----|

* Pulsed
Impulsions $t_p = 300 \mu s$ $\delta \leq 2\%$

SAFE OPERATING AREA
AIRE DE SECURITE

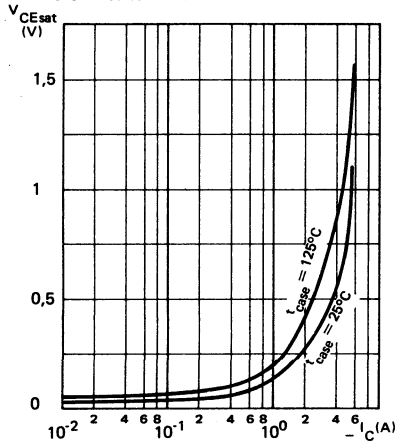


TYPICAL CHARACTERISTICS
CARACTÉRISTIQUES TYPIQUES

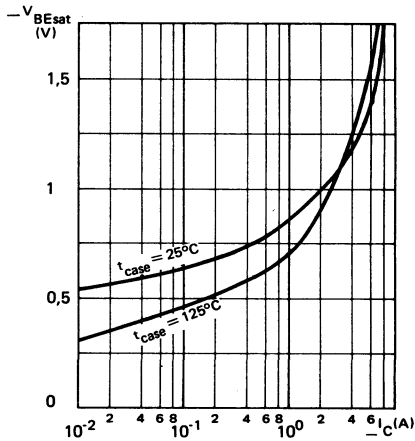


TYPICAL CHARACTERISTICS
CARACTÉRISTIQUES TYPIQUES

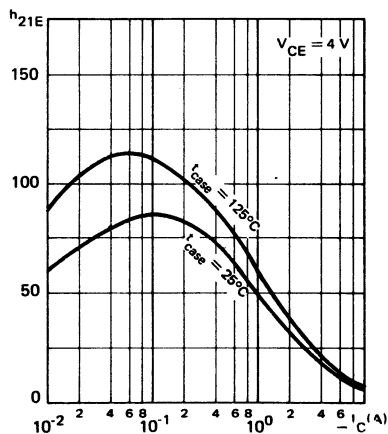
COLLECTOR-EMITTER SATURATION VOLTAGE
 VERSUS COLLECTOR CURRENT
*Tension de saturation collecteur-émetteur en
 fonction du courant collecteur*



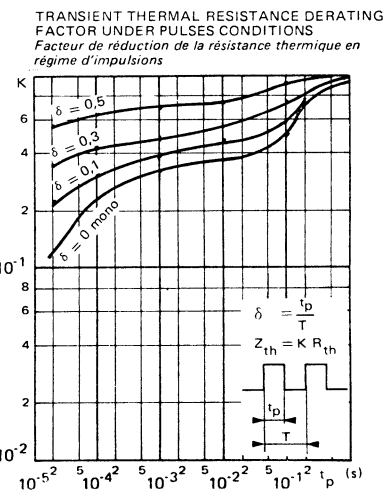
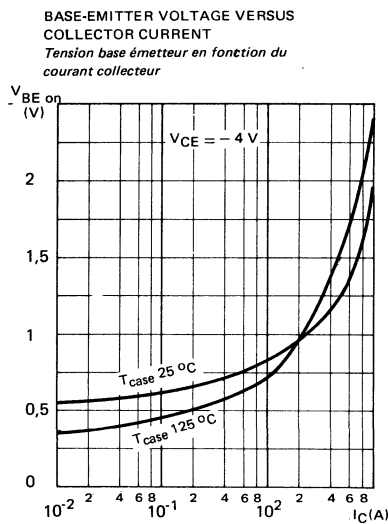
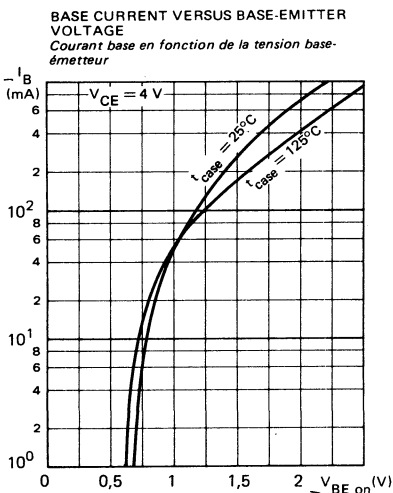
BASE-EMITTER SATURATION VOLTAGE
 VERSUS COLLECTOR CURRENT
*Tension de saturation base-émetteur en
 fonction du courant collecteur*



STATIC FORWARD CURRENT TRANSFER
 RATIO VERSUS COLLECTOR CURRENT
*Valeur statique du rapport du transfert direct du
 courant en fonction du courant collecteur*



TYPICAL CHARACTERISTICS
CARACTÉRISTIQUES TYPIQUES



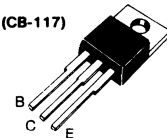
SUPERSWITCH
NPN SILICON DARLINGTONS
DARLINGTONS NPN SILICIUM
ADVANCE INFORMATION

General purpose darlingtons designed for power amplifier and switching application.

Darlingtons à usage général adaptés pour l'amplification de puissance et la commutation.

Comp. of BDX 34, A, B, C, D

| | | |
|------------------------|-------|-----------------|
| V_{CEO} | 45 V | BDX 33 |
| | 60 V | BDX 33 A |
| | 80 V | BDX 33 B |
| | 100 V | BDX 33 C |
| | 120 V | BDX 33 D |
| I_C | 10 A | |
| P_{tot} | 70 W | |

Case Boîtier TO-220 AB (CB-117)

 Collector is connected to case
Le collecteur est relié au boîtier
ABSOLUTE RATINGS (LIMITING VALUES)

VALEURS LIMITES ABSOLUES D'UTILISATION

 T_{case} = 25 °C (Unless otherwise stated)
(Sauf indication contraire)

| | | BDX 33 | BDX 33 A | BDX 33 B | BDX 33 C | BDX 33 D | |
|---|---------------------------|------------------|-----------------|-----------------|-----------------|-----------------|----|
| Collector-emitter voltage <i>Tension collecteur-émetteur</i> | V _{CEO} | 45 | 60 | 80 | 100 | 120 | V |
| Collector-emitter voltage V _{BE} = -1.5 V | V _{CEV} | 45 | 60 | 80 | 100 | 120 | V |
| Emitter-base voltage <i>Tension émetteur-base</i> | V _{EBO} | | | 5 | | | V |
| Collector current <i>Courant collecteur</i> | I _C | | | 10 | | | A |
| Base current <i>Courant de base</i> | I _B | | | 0,25 | | | A |
| Power dissipation <i>Dissipation de puissance</i> | T _{case} = 25 °C | P _{tot} | | 70 | | | W |
| Junction temperature <i>Température de jonction</i> | T _j | | | - 65, + 150 | | | °C |

 Junction-case thermal resistance
Resistance thermique jonction-boîtier
R_{th(j-c)}

1,78

°C/W

BDX 33 - BDX 33 A - BDX 33 B - BDX 33 C - BDX 33 D

STATIC CHARACTERISTICS
CARACTÉRISTIQUES STATIQUES

T_{case} 25°C

(Unless otherwise stated)
(Sauf indications contraires)

| | Test conditions <i>Conditions de mesure</i> | min | typ | max | |
|--|---|----------|-----|-----|----|
| Collector-emitter cut-off current <i>Courant résiduel collecteur-émetteur</i> | V _{CE} = 20 V I _B = 0 | BDX 33 | | 0,5 | mA |
| | V _{CE} = 20 V I _B = 0 T _{case} = 100 °C | | | 10 | |
| | V _{CE} = 30 V I _B = 0 | BDX 33 A | | 0,5 | |
| | V _{CE} = 30 V I _B = 0 T _{case} = 100 °C | | | 10 | |
| | V _{CE} = 40 V I _B = 0 | BDX 33 B | | 0,5 | |
| | V _{CE} = 40 V I _B = 0 T _{case} = 100 °C | | | 10 | |
| | V _{CE} = 50 V I _B = 0 | BDX 33 C | | 0,5 | |
| | V _{CE} = 50 V I _B = 0 T _{case} = 100 °C | | | 10 | |
| | V _{CE} = 60 V I _B = 0 | BDX 33 D | | 0,5 | |
| | V _{CE} = 60 V I _B = 0 T _{case} = 100 °C | | | 10 | |
| Collector-base cut-off current <i>Courant résiduel collecteur-base</i> | V _{CB} = 45 V I _E = 0 | BDX 33 | | 1 | mA |
| | V _{CB} = 45 V I _E = 0 T _{case} = 100 °C | | | 5 | |
| | V _{CB} = 60 V I _E = 0 | BDX 33 A | | 1 | |
| | V _{CB} = 60 V I _E = 0 T _{case} = 100 °C | | | 5 | |
| | V _{CB} = 80 V I _E = 0 | BDX 33 B | | 1 | |
| | V _{CB} = 80 V I _E = 0 T _{case} = 100 °C | | | 5 | |
| | V _{CB} = 100 V I _E = 0 | BDX 33 C | | 1 | |
| | V _{CB} = 100 V I _E = 0 T _{case} = 100 °C | | | 5 | |
| | V _{CB} = 120 V I _E = 0 | BDX 33 D | | 1 | |
| | V _{CB} = 120 V I _E = 0 T _{case} = 100 °C | | | 5 | |

STATIC CHARACTERISTICS (following)

CARACTÉRISTIQUES STATIQUES (suite)

 $T_{case} = 25^\circ\text{C}$

(Unless otherwise stated)

(Sauf indications contraires)

| | Test conditions Conditions de mesure | | | min | typ | max | |
|---|--|----------------|--|------------------------------|-----|-----|----|
| Emitter-base cut-off current <i>Courant résiduel émetteur-base</i> | $V_{EB} = 5\text{ V}$ $I_C = 0$ | I_{EBO} | All types <i>Tous types</i> | | | 10 | mA |
| Collector-emitter breakdown voltage <i>Tension de claquage collecteur-émetteur</i> | $I_C = 0,1\text{ A}$ $I_B = 0$ | V_{CEOsus}^* | BDX 33 BDX 33 A BDX 33 B BDX 33 C BDX 33 D | 45 60 80 100 120 | | | V |
| Collector-emitter breakdown voltage <i>Tension de claquage collecteur-émetteur</i> | $I_C = 0,1\text{ A}$ $R_{BE} = 100\Omega$ | V_{CERsus}^* | BDX 33 BDX 33 A BDX 33 B BDX 33 C BDX 33 D | 45 60 80 100 120 | | | V |
| Collector-emitter breakdown voltage <i>Tension de claquage collecteur-émetteur</i> | $V_{BE} = -1,5\text{ V}$ $I_C = 0,1\text{ A}$ | V_{CEXsus}^* | BDX 33 BDX 33 A BDX 33 B BDX 33 C BDX 33 D | 45 60 80 100 120 | | | V |
| Static forward current transfer ratio <i>Valeur statique du rapport de transfert direct du courant</i> | $V_{CE} = 3\text{ V}$ $I_C = 4\text{ A}$ | h_{21E}^* | BDX 33 BDX 33 A | 750 | | | |
| | $V_{CE} = 3\text{ V}$ $I_C = 3\text{ A}$ | | BDX 33 B BDX 33 C BDX 33 D | 750 | | | |
| Base-emitter voltage <i>Tension base-émetteur</i> | $V_{CE} = 3\text{ V}$ $I_C = 4\text{ A}$ | V_{BE}^* | BDX 33 BDX 33 A | | | 2,5 | |
| | $V_{CE} = 3\text{ V}$ $I_C = 3\text{ A}$ | | BDX 33 B BDX 33 C BDX 33 D | | | 2,5 | V |
| Collector-emitter saturation voltage <i>Tension de saturation collecteur-émetteur</i> | $I_C = 4\text{ A}$ $I_B = 0,008\text{ A}$ | V_{CEsat}^* | BDX 33 BDX 33 A | | | 2,5 | |
| | $I_C = 3\text{ A}$ $I_B = 0,006\text{ A}$ | | BDX 33 B BDX 33 C BDX 33 D | | | 2,5 | V |
| DC forward voltage <i>Tension directe</i> | $I_F = 8\text{ A}$ | V_F | All types <i>Tous types</i> | | | 4 | V |

* Pulsed
Impulsions $t_p = 300\text{ }\mu\text{s}$ $\delta \leq 1,8\%$

BDX 33 - BDX 33 A - BDX 33 B - BDX 33 C - BDX 33 D

STATIC CHARACTERISTICS (following)

CARACTÉRISTIQUES STATIQUES (suite)

T_{case} 25 °C

(Unless otherwise stated)

(*Sauf indications contraires*)

| | Test conditions <i>Conditions de mesure</i> | | | min | typ | max | |
|--|--|------------------|--------------------------------|-----|-----|-----|---|
| Second breakdown collector current <i>Courant collecteur de second claquage</i> | V _{CE} = 25 V | I _{S/B} | All types <i>Tous types</i> | 2,8 | | | A |
| | t _p = 0,5 s | | All types <i>Tous types</i> | 1 | | | |

DYNAMIC CHARACTERISTICS (for small signals)

CARACTÉRISTIQUES DYNAMIQUES (pour petits signaux)

T_{case} 25 °C

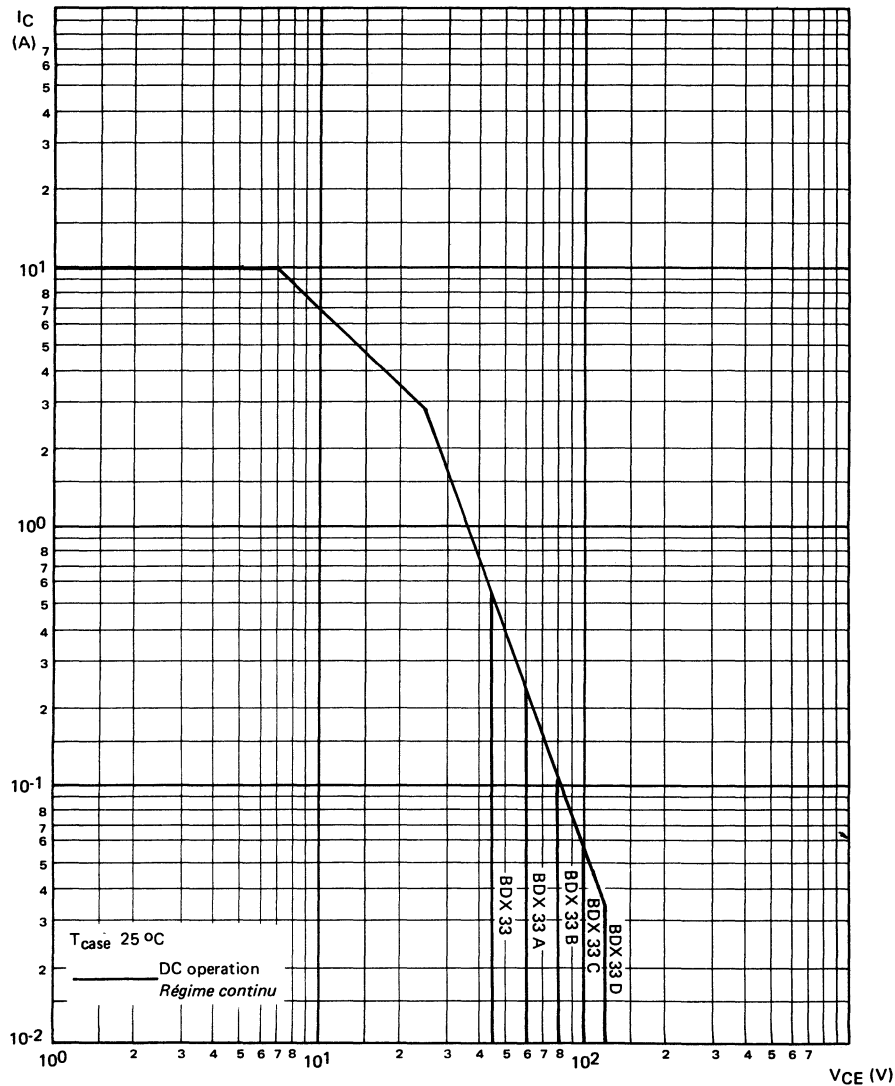
| | | | | | | | |
|---|-----------------------------------|------------------|--------------------------------|------|--|--|--|
| Forward current transfer ratio <i>Rapport de transfert direct du courant</i> | V _{CE} = 5 V | h _{21e} | All types <i>Tous types</i> | 1000 | | | |
| | I _C = 1 A f = 1 kHz | | All types <i>Tous types</i> | 20 | | | |

THERMAL CHARACTERISTICS

CARACTÉRISTIQUES THERMIQUES

| | | | | | | | |
|--|--|----------------------|--------------------------------|--|--|------|------|
| Junction-case thermal resistance <i>Résistance thermique (jonction-boîtier)</i> | | R _{th(j-c)} | All types <i>Tous types</i> | | | 1,78 | °C/W |
|--|--|----------------------|--------------------------------|--|--|------|------|

**SAFE OPERATING AREA
AIRE DE SECURITE**



BDX 34, A, B, C, D

SUPERSWITCH

PNP SILICON DARLINGTONS
DARLINGTONS PNP SILICIUM

ADVANCE INFORMATION

General purpose darlingtons designed for power amplifier and switching application.

Darlingtons à usage général adaptés pour l'amplification de puissance et la commutation.

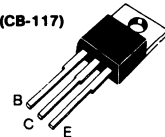
Comp. of BDX 33, A, B, C, D

| | | |
|------------------------|---------|-----------------|
| V_{CEO} | - 45 V | BDX 34 |
| | - 60 V | BDX 34 A |
| | - 80 V | BDX 34 B |
| | - 100 V | BDX 34 C |
| | - 120 V | BDX 34 D |

I_C - 10 A

P_{tot} 70 W

Case Boîtier TO-220 AB (CB-117)



Collector is connected to case
Le collecteur est relié au boîtier

ABSOLUTE RATINGS (LIMITING VALUES)

VALEURS LIMITES ABSOLUES D'UTILISATION

T_{case} = 25 °C

(Unless otherwise stated)
(Sauf indication contraire)

| | | BDX 34 | BDX 34 A | BDX 34 B | BDX 34 C | BDX 34 D | |
|--|---------------------------|------------------|-----------------|-----------------|-----------------|-----------------|----|
| Collector-emitter voltage Tension collecteur-émetteur | V _{CEO} | - 45 | - 60 | - 80 | - 100 | - 120 | V |
| Collector-emitter voltage Tension collecteur-émetteur | V _{CEV} | - 45 | - 60 | - 80 | - 100 | - 120 | V |
| Emitter-base voltage Tension émetteur-base | V _{EBO} | | | - 5 | | | V |
| Collector current Courant collecteur | I _C | | | - 10 | | | A |
| Base current Courant de base | I _B | | | - 0,25 | | | A |
| Power dissipation Dissipation de puissance | T _{case} = 25 °C | P _{tot} | | | 70 | | W |
| Junction temperature Température de jonction | T _j | | | - 65, + 150 | | | °C |

| | | | | |
|---|----------------------|------|--|------|
| Junction-case thermal resistance Resistance thermique jonction-boîtier | R _{th(j-c)} | 1,78 | | °C/W |
|---|----------------------|------|--|------|

BDX 34 - BDX 34 A - BDX 34 B - BDX 34 C - BDX 34 D
STATIC CHARACTERISTICS
CARACTÉRISTIQUES STATIQUES
T_{case} 25°C

 (Unless otherwise stated)
 (Sauf indications contraires)

| | Test conditions <i>Conditions de mesure</i> | min | typ | max | |
|--|--|-----|-----|------|----|
| Collector-emitter cut-off current <i>Courant-résiduel collecteur-émetteur</i> | V _{CE} = -20 V I _B = 0 | | | -0,5 | mA |
| | V _{CE} = -20 V I _B = 0 T _{case} = 100 °C | | | -10 | |
| | V _{CE} = -30 V I _B = 0 | | | -0,5 | |
| | V _{CE} = -30 V I _B = 0 T _{case} = 100 °C | | | -10 | |
| | V _{CE} = -40 V I _B = 0 | | | -0,5 | |
| | V _{CE} = -40 V I _B = 0 T _{case} = 100 °C | | | -10 | |
| | V _{CE} = -50 V I _B = 0 | | | -0,5 | |
| | V _{CE} = -50 V I _B = 0 T _{case} = 100 °C | | | -10 | |
| | V _{CE} = -60 V I _B = 0 | | | -0,5 | |
| | V _{CE} = -60 V I _B = 0 T _{case} = 100 °C | | | -10 | |
| Collector-base cut-off current <i>Courant résiduel collecteur-base</i> | V _{CB} = -45 V I _E = 0 | | | -1 | mA |
| | V _{CB} = -45 V I _E = 0 T _{case} = 100 °C | | | -5 | |
| | V _{CB} = -60 V I _E = 0 | | | -1 | |
| | V _{CB} = -60 V I _E = 0 T _{case} = 100 °C | | | -5 | |
| | V _{CB} = -80 V I _E = 0 | | | -1 | |
| | V _{CB} = -80 V I _E = 0 T _{case} = 100 °C | | | -5 | |
| | V _{CB} = -100 V I _E = 0 | | | -1 | |
| | V _{CB} = -100 V I _E = 0 T _{case} = 100 °C | | | -5 | |
| | V _{CB} = -120 V I _E = 0 | | | -1 | |
| | V _{CB} = -120 V I _E = 0 T _{case} = 100 °C | | | -5 | |

STATIC CHARACTERISTICS (following)

CARACTÉRISTIQUES STATIQUES (suite)

 $T_{case} = 25^\circ\text{C}$

(Unless otherwise stated)

(Sauf indications contraires)

| | Test conditions Conditions de mesure | | | min | typ | max | | |
|---|--|----------------|--------------------------------|------|-----|------|----|--|
| Emitter-base cut-off current <i>Courant résiduel émetteur-base</i> | $V_{EB} = -5\text{ V}$ $I_C = 0$ | I_{EBO} | All types <i>Tous types</i> | | | -10 | mA | |
| Collector-emitter voltage <i>Tension collecteur-émetteur</i> | $I_C = -0,1\text{ A}$ $I_B = 0$ | V_{CEOsus}^* | BDX 34 | -45 | | | V | |
| | | | BDX 34 A | -60 | | | | |
| | | | BDX 34 B | -80 | | | | |
| | | | BDX 34 C | -100 | | | | |
| | | | BDX 34 D | -120 | | | | |
| Collector-emitter voltage <i>Tension collecteur-émetteur</i> | $I_C = -0,1\text{ A}$ $R_{BE} = 100\Omega$ | V_{CERsus}^* | BDX 34 | -45 | | | V | |
| | | | BDX 34 A | -60 | | | | |
| | | | BDX 34 B | -80 | | | | |
| | | | BDX 34 C | -100 | | | | |
| | | | BDX 34 D | -120 | | | | |
| Collector-emitter voltage <i>Tension collecteur-émetteur</i> | $V_{BE} = 1,5\text{ V}$ $I_C = -0,1\text{ A}$ | V_{CEXsus}^* | BDX 34 | -45 | | | V | |
| | | | BDX 34 A | -60 | | | | |
| | | | BDX 34 B | -80 | | | | |
| | | | BDX 34 C | -100 | | | | |
| | | | BDX 34 D | -120 | | | | |
| Static forward current transfer ratio <i>Valeur statique du rapport de transfert direct du courant</i> | $V_{CE} = -3\text{ V}$ $I_C = -4\text{ A}$ | h_{21E}^* | BDX 34 | | | | V | |
| | | | BDX 34 A | 750 | | | | |
| | $V_{CE} = -3\text{ V}$ $I_C = -3\text{ A}$ | | BDX 34 B | | | | | |
| | | | BDX 34 C | 750 | | | | |
| Base-emitter voltage <i>Tension base-émetteur</i> | $V_{CE} = -3\text{ V}$ $I_C = -4\text{ A}$ | V_{BE}^* | BDX 34 | | | -2,5 | V | |
| | | | BDX 34 A | | | | | |
| | $V_{CE} = -3\text{ V}$ $I_C = -3\text{ A}$ | | BDX 34 B | | | -2,5 | | |
| | | | BDX 34 C | | | | | |
| Collector-emitter saturation voltage <i>Tension de saturation collecteur-émetteur</i> | $I_C = -4\text{ A}$ $I_B = -0,008\text{ A}$ | V_{CEsat}^* | BDX 34 | | | -2,5 | V | |
| | | | BDX 34 A | | | | | |
| | $I_C = -3\text{ A}$ $I_B = -0,006\text{ A}$ | | BDX 34 B | | | -2,5 | | |
| | | | BDX 34 C | | | | | |
| DC forward voltage <i>Tension directe</i> | $I_F = 8\text{ A}$ | V_F | All types <i>Tous types</i> | | | 4 | V | |
| | | | | | | | | |

* Pulsed
Impulsions $t_p = 300\text{ }\mu\text{s}$ $\delta \leqslant 1,8\%$

STATIC CHARACTERISTICS (following)

CARACTÉRISTIQUES STATIQUES (suite)

T_{case} 25 °C

(Unless otherwise stated)

(Sauf indications contraires)

| | Test conditions Conditions de mesure | | | min | typ | max | |
|--|--|------|--------------------------------|------|-----|-----|---|
| Second breakdown collector current <i>Courant collecteur de second claquage</i> | V _{CE} = - 20 V t _p = 0,5 s | IS/B | All types <i>Tous types</i> | -3,5 | | | A |
| | V _{CE} = - 33 V t _p = 0,5 s | | All types <i>Tous types</i> | -1 | | | |

DYNAMIC CHARACTERISTICS (for small signals)

CARACTÉRISTIQUES DYNAMIQUES (pour petits signaux)

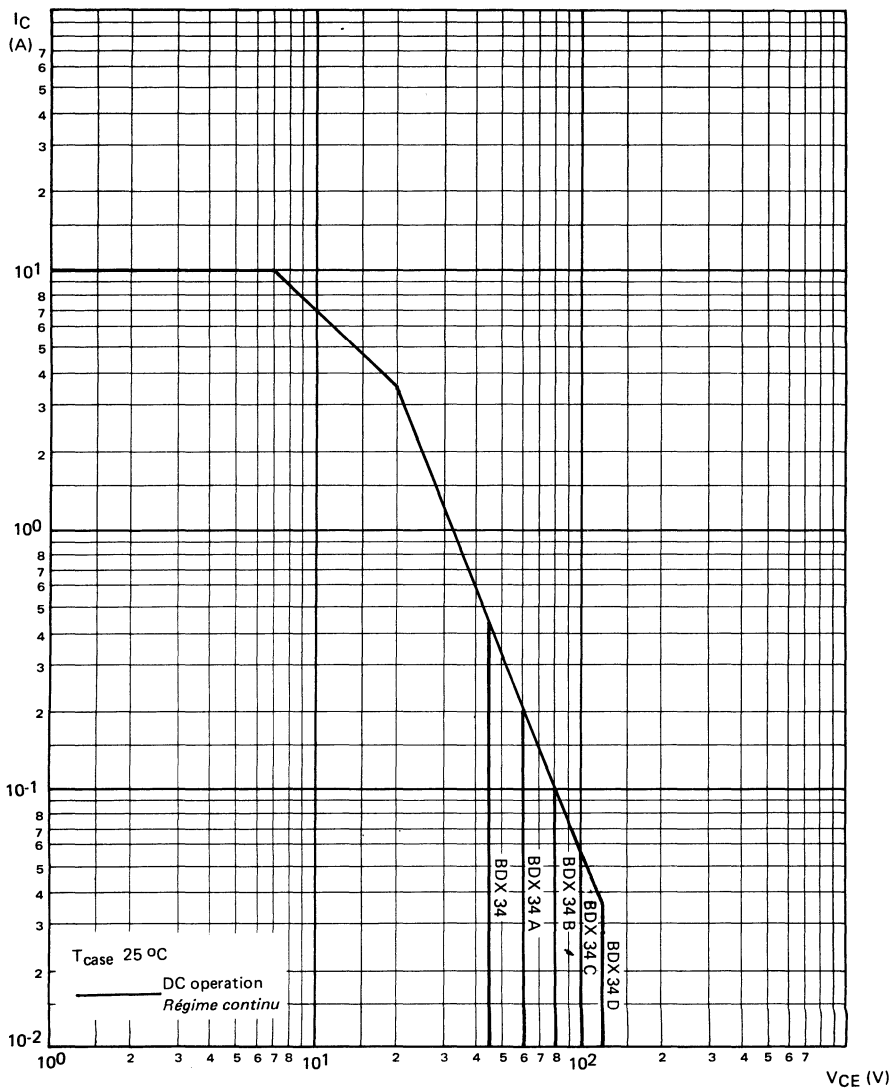
| | | | | | | | |
|---|--|------------------|--------------------------------|------|--|--|--|
| Farward current transfer ratio <i>Rapport de transfert direct du courant</i> | V _{CE} = - 5 V I _C = - 1 A f = 1 kHz | h _{21e} | All types <i>Tous types</i> | 1000 | | | |
| | V _{CE} = - 5 V I _C = - 1 A f = 1 MHz | | All types <i>Tous types</i> | 20 | | | |

THERMAL CHARACTERISTICS

CARACTÉRISTIQUES THERMIQUES

| | | | | | | |
|--|----------------------|--------------------------------|--|--|------|------|
| Junction-case thermal resistance <i>Résistance thermique (jonction-boîtier)</i> | R _{th(j-c)} | All types <i>Tous types</i> | | | 1,78 | °C/W |
|--|----------------------|--------------------------------|--|--|------|------|

SAFE OPERATING AREA
AIRE DE SECURITE





SUPERSWITCH

BDX 53, A, B, C, D

NPN SILICON DARLINGTONS
DARLINGTONS NPN SILICIUM

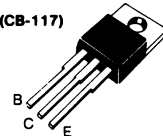
ADVANCE INFORMATION

General purpose darlingtons designed for power amplifier and switching application.

Darlingtons à usage général adaptés pour l'amplification de puissance et la commutation.

Comp. of BDX 54, A, B, C, D

| | | |
|------------------|--|--|
| V _{CEO} | 45 V 60 V 80 V 100 V 120 V | BDX 53 BDX 53 A BDX 53 B BDX 53 C BDX 53 D |
| I _C | 8 A | |
| P _{tot} | 60 W | |

Case
Boîtier TO-220 AB (CB-117)Collector is connected to case
Le collecteur est relié au boîtierABSOLUTE RATINGS (LIMITING VALUES)
VALEURS LIMITES ABSOLUES D'UTILISATIONT_{case} = 25 °C
(Unless otherwise stated)
(Sauf indication contraire)

| | | BDX 53 | BDX 53 A | BDX 53 B | BDX 53 C | BDX 53 D | |
|---|---|--------|----------|-----------|----------|----------|----|
| Collector-emitter voltage Tension collecteur-émetteur | V _{CEO} | 45 | 60 | 80 | 100 | 120 | V |
| Collector-emitter voltage Tension collecteur-émetteur V _{BE} = -1,5 V | V _{CEV} | 45 | 60 | 80 | 100 | 120 | V |
| Emitter-base voltage Tension émetteur-base | V _{EBO} | | | 5 | | | V |
| Collector current Courant collecteur | I _C (RMS) I _{CM} | | | 8 12 | | | A |
| Base current Courant de base | I _B | | | 0,2 | | | A |
| Power dissipation Dissipation de puissance T _{case} = 25 °C | P _{tot} | | | 60 | | | W |
| Junction temperature Température de jonction | T _j | | | -55, +150 | | | °C |

| | | | |
|---|----------------------|------|------|
| Junction-ambient thermal resistance Résistance thermique jonction-ambiente | R _{th(j-a)} | 70 | °C/W |
| Junction-case thermal resistance Résistance thermique jonction-boîtier | R _{th(j-c)} | 2,08 | |

BDX 53 - BDX 53 A - BDX 53 B - BDX 53 C - BDX 53 D
STATIC CHARACTERISTICS
CARACTÉRISTIQUES STATIQUES
T_{case} 25°C

 (Unless otherwise stated)
(Sauf indications contraires)

| | Test conditions <i>Conditions de mesure</i> | | | min | typ | max | |
|---|--|----------------------|--------------------------------|-----|-----|-----|---------------|
| Collector-emitter cut-off current <i>Courant résiduel collecteur-émetteur</i> | V _{CE} = 22 V I _B = 0 | I _{CEO} | BDX 53 | | | 500 | μA |
| | V _{CE} = 30 V I _B = 0 | | BDX 53 A | | | 500 | |
| | V _{CE} = 40 V I _B = 0 | | BDX 53 B | | | 500 | |
| | V _{CE} = 50 V I _B = 0 | | BDX 53 C | | | 500 | |
| | V _{CE} = 60 V I _B = 0 | | BDX 53 D | | | 500 | |
| Collector-base cut-off current <i>Courant résiduel collecteur-base</i> | V _{CB} = 45 V I _E = 0 | I _{CBO} | BDX 53 | | | 200 | μA |
| | V _{CB} = 60 V I _E = 0 | | BDX 53 A | | | 200 | |
| | V _{CB} = 80 V I _E = 0 | | BDX 53 B | | | 200 | |
| | V _{CB} = 100 V I _E = 0 | | BDX 53 C | | | 200 | |
| | V _{CB} = 120 V I _E = 0 | | BDX 53 D | | | 200 | |
| Emitter-base cut off current <i>Courant résiduel émetteur-base</i> | V _{EB} = 5 V I _B = 0 | I _{EBO} | All types <i>Tous types</i> | | | | |
| Collector-emitter voltage <i>Tension collecteur-émetteur</i> | I _C = 100 mA I _B = 0 | V _{CEOsus*} | BDX 53 | 45 | | | V |
| | | | BDX 53 A | 60 | | | |
| | | | BDX 53 B | 80 | | | |
| | | | BDX 53 C | 100 | | | |
| | | | BDX 53 D | 120 | | | |
| Collector-emitter saturation voltage <i>Tension de saturation collecteur-émetteur</i> | I _C = 3 A I _B = 12 A | V _{CEsat*} | All types <i>Tous types</i> | | | 2 | V |
| Base-emitter saturation voltage <i>Tension de saturation base-émetteur</i> | I _C = 3 A I _B = 12 mA | V _{BEsat*} | All types <i>Tous types</i> | | | 2,5 | V |
| Static forward current transfer ratio <i>Valeur statique du rapport de transfert direct du courant</i> | I _C = 3 A V _{CE} = 3 V | h_{21E}^* | All types <i>Tous types</i> | 750 | | | |
| Parallel-diode forward voltage <i>Tension directe de la diode en parallèle</i> | I _F = 3 A | V _F | All types <i>Tous types</i> | | 1,8 | | V |

* Pulsed
Impulsions t_p = 300 μs $\delta \leq 1,5\%$

THERMAL CHARACTERISTICS**CARACTÉRISTIQUES THERMIQUES****T_{case} 25 °C**

(Unless otherwise stated)

(Sauf indications contraires)

| | Test conditions <i>Conditions de mesure</i> | | | min | typ | max |
|---|--|------------------------|--------------------------------|-----|------|------|
| Junction-case thermal resistance <i>Résistance thermique (jonction-boîtier)</i> | | R _{th(j-c)} | All types <i>Tous types</i> | | 2,08 | °C/W |
| Junction-ambient thermal resistance <i>Résistance thermique (jonction-am-biente)</i> | | R _{th(j-amb)} | All types <i>Tous types</i> | | 70 | °C/W |

SUPERSWITCH

PNP SILICON DARLINGTONS
DARLINGTONS PNP SILICIUM

ADVANCE INFORMATION

General purpose darlingtons designed for power amplifier and switching application.

Darlingtons à usage général adaptés pour l'amplification de puissance et la commutation.

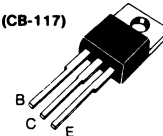
Comp. of BDX 53, A, B, C, D

| | | |
|-----------|---------|----------|
| V_{CEO} | - 45 V | BDX 54 |
| | - 60 V | BDX 54 A |
| | - 80 V | BDX 54 B |
| | - 100 V | BDX 54 C |
| | - 120 V | BDX 54 D |

I_C - 8 A

P_{tot} 60 W

Case Boîtier TO-220 AB (CB-117)



Collector is connected to case
Le collecteur est relié au boîtier

ABSOLUTE RATINGS (LIMITING VALUES)

VALEURS LIMITES ABSOLUES D'UTILISATION

$T_{case} = 25^\circ\text{C}$ (Unless otherwise stated)
(Sauf indication contraire)

| | | BDX 54 | BDX 54 A | BDX 54 B | BDX 54 C | BDX 54 D | |
|---|-------------------------------|-----------|----------|-------------|----------|----------|----|
| Collector-emitter voltage <i>Tension collecteur-émetteur</i> | V_{CEO} | - 45 | - 60 | - 80 | - 100 | - 120 | V |
| Collector-base voltage <i>Tension collecteur-base</i> | V_{CBO} | - 45 | - 60 | - 80 | - 100 | - 120 | V |
| Emitter-base voltage <i>Tension émetteur-base</i> | V_{EBO} | | | - 5 | | | V |
| Collector current <i>Courant collecteur</i> | $I_C(\text{RMS})$ I_{CM} | | | - 8 - 12 | | | A |
| Base current <i>Courant de base</i> | I_B | | | - 0,2 | | | A |
| Power dissipation <i>Dissipation de puissance</i> | $T_{case} = 25^\circ\text{C}$ | P_{tot} | | 60 | | | W |
| Junction temperature <i>Température de jonction</i> | T_J | | | - 55, + 150 | | | °C |

| | | | |
|--|---------------|------|--------------------|
| Junction-ambient thermal resistance <i>Résistance thermique jonction-ambiance</i> | $R_{th(j-a)}$ | 70 | $^\circ\text{C/W}$ |
| Junction-case thermal resistance <i>Résistance thermique jonction-boîtier</i> | $R_{th(j-c)}$ | 2,08 | |

BDX 54 - BDX 54 A - BDX 54 B - BDX 54 C - BDX 54 D
STATIC CHARACTERISTICS
CARACTÉRISTIQUES STATIQUES
T_{case} 25°C

 (Unless otherwise stated)
(Sauf indications contraires)

| | Test conditions <i>Conditions de mesure</i> | | | min | typ | max | |
|---|--|----------------------|--------------------------------|------|-----|------|----|
| Collector-emitter cut-off current <i>Courant résiduel collecteur-émetteur</i> | V _{CE} = -22 V I _B = 0 | I _{CEO} | BDX 54 | | | -500 | μA |
| | V _{CE} = -30 V I _B = 0 | | BDX 54 A | | | -500 | |
| | V _{CE} = -40 V I _B = 0 | | BDX 54 B | | | -500 | |
| | V _{CE} = -50 V I _B = 0 | | BDX 54 C | | | -500 | |
| | V _{CE} = -60 V I _B = 0 | | BDX 54 D | | | -500 | |
| Collector-base cut-off current <i>Courant résiduel collecteur-base</i> | V _{CB} = -45 V I _E = 0 | I _{CBO} | BDX 54 | | | -200 | μA |
| | V _{CB} = -60 V I _E = 0 | | BDX 54 A | | | -200 | |
| | V _{CB} = -80 V I _E = 0 | | BDX 54 B | | | -200 | |
| | V _{CB} = -100 V I _E = 0 | | BDX 54 C | | | -200 | |
| | V _{CB} = -120 V I _E = 0 | | BDX 54 D | | | -200 | |
| Emitter-base cut-off current <i>Courant résiduel émetteur-base</i> | V _{EB} = -5 V I _B = 0 | I _{EBO} | All types <i>Tous types</i> | | | -2 | mA |
| Collector-emitter voltage <i>Tension collecteur-émetteur</i> | I _C = -100 mA I _B = 0 | V _{CEOsus*} | BDX 54 | -45 | | | V |
| | | | BDX 54 A | -60 | | | |
| | | | BDX 54 B | -80 | | | |
| | | | BDX 54 C | -100 | | | |
| | | | BDX 54 D | -120 | | | |
| Collector-emitter saturation voltage <i>Tension de saturation collecteur-émetteur</i> | I _C = -3 A I _B = -12 A | V _{CESat*} | All types <i>Tous types</i> | | | -2 | V |
| Base-emitter saturation voltage <i>Tension de saturation base-émetteur</i> | I _C = -3 A I _B = -12 mA | V _{BESat*} | All types <i>Tous types</i> | | | -2,5 | V |
| Static forward current transfer ratio <i>Valeur statique du rapport de transfert direct du courant</i> | I _C = -3 A V _{CE} = -3 V | I _{21E*} | All types <i>Tous types</i> | 750 | | | |
| Parallel-diode forward voltage <i>Tension directe de la diode en parallèle</i> | I _F = 3 A | V _F | All types <i>Tous types</i> | | 1,8 | | V |

* Pulsed
Impulsion t_p = 300 μs δ ≤ 1,5 %

THERMAL CHARACTERISTICS**CARACTÉRISTIQUES THERMIQUES****T_{case} 25 °C**

(Unless otherwise stated)

(*Sauf indications contraires*)

| | Test conditions <i>Conditions de mesure</i> | | | min | typ | max | |
|--|--|------------------------|--------------------------------|-----|-----|------|------|
| Junction-case thermal resistance <i>Résistance thermique (jonction-boîtier)</i> | | R _{th(j-c)} | All types <i>Tous types</i> | | | 2,08 | °C/W |
| Junction-ambient thermal resistance <i>Résistance thermique (jonction-ambiante)</i> | | R _{th(j-amb)} | All types <i>Tous types</i> | | | 70 | °C/W |

SUPERSWITCH

**PNP SILICON DARLINGTONS
DARLINGTONS PNP SILICIUM**

ADVANCE INFORMATION

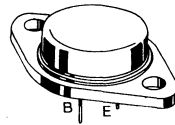
General purpose darlingtons designed for power amplifier and switching application.

Darlingtons à usage général adaptés pour l'amplification de puissance et la commutation.

Comp. of BDX 63, A, B, C

| | | |
|------------------------|---------|-----------------|
| V_{CEO} | - 60 V | BDX 62 |
| | - 80 V | BDX 62 A |
| | - 100 V | BDX 62 B |
| | - 120 V | BDX 62 C |
| I_C | - 8 A | |
| P_{tot} | 90 W | |

Case Boîtier TO-3 (CB-19)



Collector is connected to case
Le collecteur est relié au boîtier

**ABSOLUTE RATINGS (LIMITING VALUES)
VALEURS LIMITES ABSOLUES D'UTILISATION**

T_{case} = 25 °C (Unless otherwise stated)
(Sauf indication contraire)

| | | BDX 62 | BDX 62 A | BDX 62 B | BDX 62 C | | |
|---|---|------------------|-----------------|-----------------|-----------------|-------|---|
| Collector-emitter voltage <i>Tension collecteur-émetteur</i> | V _{CEO} | - 60 | - 80 | - 100 | - 120 | V | |
| Collector-emitter voltage <i>Tension collecteur-émetteur</i> | V _{BE} = - 1,5 V | V _{CEV} | - 60 | - 80 | - 100 | - 120 | V |
| Emitter-base voltage <i>Tension émetteur-base</i> | V _{EBO} | | | - 5 | | V | |
| Collector current <i>Courant collecteur</i> | I _C (RMS) I _{CM} | | | - 8 - 12 | | A | |
| Base current <i>Courant de base</i> | I _B | | | - 0,15 | | A | |
| Power dissipation <i>Dissipation de puissance</i> | T _{case} = 25 °C | P _{tot} | | 90 | | W | |
| Junction temperature <i>Température de jonction</i> | T _j | | | - 55, + 200 | | °C | |

Junction-case thermal resistance
Resistance thermique jonction-boîtier

R_{th(j-c)}

1,94

°C/W

BDX 62 - BDX 62 A - BDX 62 B - BDX 62 C
STATIC CHARACTERISTICS
CARACTÉRISTIQUES STATIQUES
T_{case} 25°C

 (Unless otherwise stated)
 (Sauf indications contraires)

| | Test conditions <i>Conditions de mesure</i> | | | min | typ | max | |
|---|--|--|----------------------|----------------------------|------|------|----|
| Collector-emitter breakdown voltage <i>Tension de claquage collecteur-émetteur</i> | I _C = -0,1 A I _B = 0 L = 25 mH | BDX 62 BDX 62 A BDX 62 B BDX 62 C | V _{CEO} s* | -60 -80 -100 -120 | | | V |
| See note 1 — Voir note 1 | | | | | | | |
| Collector-base cut-off current <i>Courant résiduel collecteur-base</i> | V _{CBO} = -60 V V _{CBO} = -60 V T _{case} = 150°C | BDX 62 | | | -0,2 | | |
| | V _{CBO} = -80 V V _{CBO} = -80 V T _{case} = 150°C | BDX 62 A | | | -2 | | |
| | V _{CBO} = -100 V V _{CBO} = -100 V T _{case} = 150°C | BDX 62 B | ICBO | | -0,2 | | mA |
| | V _{CBO} = -120 V V _{CBO} = -120 V T _{case} = 150°C | BDX 62 C | | | -2 | | |
| Collector-emitter cut-off current <i>Courant résiduel collecteur-émetteur</i> | V _{CE} = -30 V V _{CE} = -40 V V _{CE} = -50 V V _{CE} = -60 V | BDX 62 BDX 62 A BDX 62 B BDX 62 C | ICEO | | | -0,5 | mA |
| Emitter-base cut-off current <i>Courant-résiduel émetteur-base</i> | V _{EB} = -5 V | All types <i>Tous types</i> | IEBO | | | -5 | mA |
| Collector-emitter saturation voltage <i>Tension de saturation collecteur-émetteur</i> | I _C = -3 A I _B = -12 mA | All types <i>Tous types</i> | V _{CESat} * | | | -2 | V |
| Base-emitter voltage <i>Tension base-émetteur</i> | V _{CE} = -3 V I _C = -3 A | All types <i>Tous types</i> | V _{BE} * | | | -2,5 | V |
| Static forward current transfer ratio <i>Valeur statique du rapport de transfert direct du courant</i> | V _{CE} = -3 V I _C = -0,5 A | All types <i>Tous types</i> | h21E* | | 1500 | | |
| | V _{CE} = -3 V I _C = -3 A | All types <i>Tous types</i> | | 1000 | | | |
| | V _{CE} = -3 V I _C = -8 A | All types <i>Tous types</i> | | | 750 | | |
| Forward voltage (pulse method) <i>Chute de tension directe</i> | I _F = 3 A | All types <i>Tous types</i> | V _F | | 1,8 | | V |

 * Pulsed
Impulsions t_p = 300 μs δ ≤ 2 %

 Note 1 Collector-emitter voltage limited et V_{CEcl} = V_{rated} by an auxiliary circuit
Limitation de la tension V_{CEcl} = V_{spécifié par système d'écrêtage}

DYNAMIC CHARACTERISTICS (for small signals)*CARACTÉRISTIQUES DYNAMIQUES (pour petits signaux)* $T_{case} = 25^{\circ}\text{C}$

(Unless otherwise stated)

(Sauf indications contraires)

| | Test conditions <i>Conditions de mesure</i> | | | min | typ | max | |
|--|--|--------------------------------|------------|-----|-----|-----|-----|
| Transition frequency <i>Fréquence de transition</i> | $V_{CE} = -3\text{V}$ $I_C = -3\text{A}$ $f = 1 \text{ MHz}$ | All types <i>Tous types</i> | f_T | | 7 | | MHz |
| Forward current transfer ratio cut off frequency <i>Fréquence de coupure</i> | $V_{CE} = 3 \text{ V}$ $I_C = 3 \text{ A}$ | All types <i>Tous types</i> | f_{h21e} | | 60 | | kHz |

THERMAL CHARACTERISTICS*CARACTÉRISTIQUES THERMIQUES*

| | | | | | | |
|---|--------------------------------|---------------|--|--|------|----------------------|
| Junction to case thermal resistance <i>Résistance thermique jonction boîtier</i> | All types <i>Tous types</i> | $R_{th(j-c)}$ | | | 1,94 | $^{\circ}\text{C/W}$ |
|---|--------------------------------|---------------|--|--|------|----------------------|

SUPERSWITCH

NPN SILICON DARLINGTONS
DARLINGTONS NPN SILICIUM

ADVANCE INFORMATION

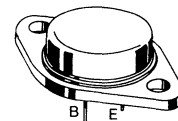
General purpose darlingtons designed for power amplifier and switching application.

Darlingtons à usage général adaptés pour l'amplification de puissance et la commutation.

Comp. of BDX 62, A, B, C

| | | | |
|-----------|---|-------|----------|
| V_{CEO} | { | 60 V | BDX 63 |
| | | 80 V | BDX 63 A |
| | | 100 V | BDX 63 B |
| | | 120 V | BDX 63 C |
| I_C | | 8 A | |
| P_{tot} | | 90 W | |

Case TO-3 (CB-19)
Boîtier



Collector is connected to case
Le collecteur est relié au boîtier

ABSOLUTE RATINGS (LIMITING VALUES)

VALEURS LIMITES ABSOLUES D'UTILISATION

$T_{case} = 25^\circ\text{C}$ (Unless otherwise stated)
(Sauf indication contraire)

| | | BDX 63 | BDX 63 A | BDX 63 B | BDX 63 C | |
|--|-------------------------------|-----------|-------------|----------|----------|------------------|
| Collector-emitter voltage Tension collecteur-émetteur | V_{CEO} | 60 | 80 | 100 | 120 | V |
| Collector-emitter voltage Tension collecteur-émetteur | V_{CEV} | 60 | 80 | 100 | 120 | V |
| Emitter-base voltage Tension émetteur-base | V_{EBO} | | 5 | | | V |
| Collector current Courant collecteur | $I_C(\text{RMS})$ I_{CM} | | 8 | 12 | | A |
| Base current Courant de base | I_B | | 0,15 | | | A |
| Power dissipation Dissipation de puissance | $T_{case} = 25^\circ\text{C}$ | P_{tot} | | 90 | | W |
| Junction temperature Température de jonction | T_j | | - 55, + 200 | | | $^\circ\text{C}$ |

Junction-case thermal resistance
Resistance thermique jonction-boîtier

$R_{th(j-c)}$

1,94

$^\circ\text{C/W}$

BDX 63 - BDX 63 A - BDX 63 B - BDX 63 C
STATIC CHARACTERISTICS
CARACTÉRISTIQUES STATIQUES
T_{case} 25°C
(Unless otherwise stated)
(Sauf indications contraires)

| | Test conditions <i>Conditions de mesure</i> | | | min | typ | max | |
|---|--|--|-----------------------|------------------------|------|-----|----|
| Collector-emitter breakdown voltage <i>Tension de claquage collecteur-émetteur</i> | I _C = 0,1 A I _B = 0 L = 25 mH | BDX 63 BDX 63 A BDX 63 B BDX 63 C | V _{CEO} sus* | 60 80 100 120 | | | V |
| Collector-base cut-off current <i>Courant résiduel collecteur-base</i> | V _{CBO} = 60 V V _{CBO} = 60 V T _{case} = 150°C | BDX 63 | I _{CBO} | | | 0,2 | mA |
| | V _{CBO} = 80 V | BDX 63 A | | | | 0,2 | |
| | V _{CBO} = 80 V T _{case} = 150°C | BDX 63 A | | | | 2 | |
| | V _{CBO} = 100 V | BDX 63 B | | | | 0,2 | |
| | V _{CBO} = 100 V T _{case} = 150°C | BDX 63 B | | | | 2 | |
| | V _{CBO} = 120 V | BDX 63 C | | | | 0,2 | |
| | V _{CBO} = 120 V T _{case} = 150°C | BDX 63 C | | | | 2 | |
| Collector-emitter cut-off current <i>Courant résiduel collecteur-émetteur</i> | V _{CE} = 30 V V _{CE} = 40 V V _{CE} = 50 V V _{CE} = 60 V | BDX 63 BDX 63 A BDX 63 B BDX 63 C | I _{CEO} | | | 0,5 | mA |
| Emitter-base cut-off current <i>Courant résiduel émetteur-base</i> | V _{EB} = 5 V | All types <i>Tous types</i> | I _{EBO} | | | 5 | mA |
| Collector-emitter saturation voltage <i>Tension de saturation collecteur-émetteur</i> | I _C = 3 A I _B = 12 mA | All types <i>Tous types</i> | V _{CESat} * | | | 2 | V |
| Base-emitter voltage <i>Tension base-émetteur</i> | V _{CE} = 3 V I _C = 3 A | All types <i>Tous types</i> | V _{BE} * | | | 2,5 | V |
| Static forward current transfer ratio <i>Valeur statique du rapport de transfert direct du courant</i> | V _{CE} = 3 V I _C = 0,5 A | All types <i>Tous types</i> | h _{21E} * | | 1500 | | |
| | V _{CE} = 3 V I _C = 3 A | | | | 1000 | | |
| | V _{CE} = 3 V I _C = 8 A | | | | 750 | | |
| Forward voltage (pulse method) <i>Chute de tension directe</i> | I _F = 3 A | All types <i>Tous types</i> | V _F | | | 1,8 | V |

* Pulsed
Impulsions t_p = 300 μs δ ≤ 2 %

DYNAMIC CHARACTERISTICS (for small signals)**CARACTÉRISTIQUES DYNAMIQUES (pour petits signaux)****T_{case} 25 °C**

(Unless otherwise stated)

(Sauf indications contraires)

| | Test conditions Conditions de mesure | | | min | typ | max | |
|--|--|--------------------------------|-------------------|-----|-----|-----|-----|
| Transition frequency <i>Fréquence de transition</i> | V _{CE} = 3 V I _C = 3 A f = 1 MHz | All types <i>Tous types</i> | f _T | | 7 | | MHz |
| Forward current transfer ratio cut off frequency <i>Fréquence de coupure</i> | V _{CE} = 3 V I _C = 3 A | All types <i>Tous types</i> | f _{h21e} | | 60 | | kHz |

THERMAL CHARACTERISTICS**CARACTÉRISTIQUES THERMIQUES**

| | | | | | | |
|---|--------------------------------|----------------------|--|--|------|------|
| Junction to case thermal resistance <i>Résistance thermique jonction boîtier</i> | All types <i>Tous types</i> | R _{th(j-c)} | | | 1,94 | °C/W |
|---|--------------------------------|----------------------|--|--|------|------|



SUPERSWITCH

**PNP SILICON DARLINGTONS
DARLINGTONS PNP SILICIUM**

ADVANCE INFORMATION

General purpose darlingtons designed for power amplifier and switching application.

Darlingtons à usage général adaptés pour l'amplification de puissance et la commutation.

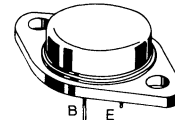
Comp. of BDX 65, A, B, C

| | | |
|------------------------|---------|-----------------|
| V_{CEO} | - 60 V | BDX 64 |
| | - 80 V | BDX 64 A |
| | - 100 V | BDX 64 B |
| | - 120 V | BDX 64 C |

I_C - 12 A

P_{tot} 117 W

**Case
Boîtier** TO-3 (CB-19)



Collector is connected to case
Le collecteur est relié au boîtier

ABSOLUTE RATINGS (LIMITING VALUES) **T_{case} = 25 °C** **(Unless otherwise stated)**
VALEURS LIMITES ABSOLUES D'UTILISATION **(Sauf indication contraire)**

| | | BDX 64 | BDX 64 A | BDX 64 B | BDX 64 C | | |
|--|---------------------------------|--|-----------------|-----------------|-----------------|----------|-----------|
| Collector-emitter voltage Tension collecteur-émetteur | V_{CEO} | - 60 | - 80 | - 100 | - 120 | V | |
| Collector-emitter voltage Tension collecteur-émetteur | V_{BE} = - 1,5 V | V_{CEV} | - 60 | - 80 | - 100 | - i20 | V |
| Emitter-base voltage Tension émetteur-base | | V_{EBO} | | - 5 | | | V |
| Collector current Courant collecteur | | I_{C(RMS)} I_{CM} | | - 12 - 16 | | | A |
| Base current Courant de base | I_B | . | | - 0,2 | | | A |
| Power dissipation Dissipation de puissance | T_{case} = 25 °C | P_{tot} | | 117 | | | W |
| Junction temperature Température de jonction | | T_j | | - 55, + 200 | | | °C |

| | | | |
|---|----------------------------|-----|-------------|
| Junction-case thermal resistance Résistance thermique jonction-boîtier | R_{th(j-c)} | 1,5 | °C/W |
|---|----------------------------|-----|-------------|

BDX 64 - BDX 64 A - BDX 64 B - BDX 64 C
**STATIC CHARACTERISTICS
CARACTÉRISTIQUES STATIQUES**
T_{case} 25°C

(Unless otherwise stated)
(Sauf indications contraires)

| | Test conditions Conditions de mesure | | | min | typ | max | |
|---|--|--|-------------------|----------------------------|------|------|----|
| Collector-emitter breakdown voltage <i>Tension de claquage collecteur-émetteur</i> See note 1 — Voir note 1 | I _C = -0,1 A I _B = 0 L = 25 mH | BDX 64 BDX 64 A BDX 64 B BDX 64 C | VCEOus* | -60 -80 -100 -120 | | | V |
| Collector-base cut-off current <i>Courant résiduel collecteur-base</i> | V _{CBO} = -60 V V _{CBO} = -60 V T _{case} = 150°C | BDX 64 | ICBO | | | -0,4 | mA |
| | V _{CBO} = -80 V V _{CBO} = -80 V T _{case} = 150°C | BDX 64 A | | | | -0,4 | |
| | V _{CBO} = -100 V V _{CBO} = -100 V T _{case} = 150°C | BDX 64 B | | | | -0,4 | |
| | V _{CBO} = -120 V V _{CBO} = -120 V T _{case} = 150°C | BDX 64 C | | | | -0,4 | |
| | V _{CBO} = -100 V V _{CBO} = -100 V T _{case} = 150°C | | | | | -3 | |
| | V _{CBO} = -120 V V _{CBO} = -120 V T _{case} = 150°C | | | | | -3 | |
| Collector-emitter cut-off current <i>Courant résiduel collecteur-émetteur</i> | V _{CE} = -30 V V _{CE} = -40 V V _{CE} = -50 V V _{CE} = -60 V | BDX 64 BDX 64 A BDX 64 B BDX 64 C | ICEO | | | -1 | mA |
| Emitter-base cut-off current <i>Courant résiduel émetteur-base</i> | V _{EB} = -5 V | All types <i>Tous types</i> | IEBO | | | -5 | mA |
| Collector-emitter saturation voltage <i>Tension de saturation collecteur-émetteur</i> | I _C = -5 A I _B = -20 mA | All types <i>Tous types</i> | VCESat* | | | -2 | V |
| Base-emitter voltage <i>Tension base-émetteur</i> | V _{CE} = -3 V I _C = -5 A | All types <i>Tous types</i> | V _{BE} * | | | -2,5 | V |
| Static forward current transfer ratio <i>Valeur statique du rapport de transfert direct du courant</i> | V _{CE} = -3 V I _C = -1 A V _{CE} = -3 V I _C = -5 A V _{CE} = -3 V I _C = -12 A | All types <i>Tous types</i> | h21E* | | 1500 | | |
| | | | | 1000 | | | |
| | | | | | 750 | | |
| Forward voltage (pulse method) <i>Chute de tension directe</i> | I _F = 5 A | All types <i>Tous types</i> | V _F | | 1,8 | | V |

* Pulsed
Impulsions t_p = 300 µs δ ≤ 2 %

Note 1 Collector-emitter voltage limited et V_{CEcl} = V_{rated} by an auxiliary circuit
Limitation de la tension V_{CEcl} = V_{spécifié par système d'écrêtage}

DYNAMIC CHARACTERISTICS (for small signals)**CARACTÉRISTIQUES DYNAMIQUES (pour petits signaux)****T_{case} 25 °C**

(Unless otherwise stated)

(Sauf indications contraires)

| | Test conditions Conditions de mesure | | | min | typ | max | |
|--|--|--------------------------------|-------------------|-----|-----|-----|-----|
| Transition frequency <i>Fréquence de transition</i> | V _{CE} = -3V I _C = -5A f = 1 MHz | All types <i>Tous types</i> | f _T | | 7 | | MHz |
| Forward current transfer ratio cut off frequency <i>Fréquence de coupure</i> | V _{CE} = 3 V I _C = 5 A | All types <i>Tous types</i> | f _{h21e} | | 60 | | kHz |

THERMAL CHARACTERISTICS**CARACTÉRISTIQUES THERMIQUES**

| | | | | | | |
|---|--------------------------------|----------------------|--|--|-----|------|
| Junction to case thermal resistance <i>Résistance thermique jonction boîtier</i> | All types <i>Tous types</i> | R _{th(j-c)} | | | 1,5 | °C/W |
|---|--------------------------------|----------------------|--|--|-----|------|

SUPERSWITCH

NPN SILICON DARLINGTONS
DARLINGTONS NPN SILICIUM

ADVANCE INFORMATION

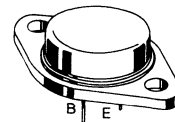
Comp. of BDX 64, A, B, C

General purpose darlingtons designed for power amplifier and switching application.

| | | | |
|------------------------|---|----------|--------|
| V_{CEO} | { | 60 V | BDX 65 |
| 80 V | | BDX 65 A | |
| 100 V | | BDX 65 B | |
| 120 V | | BDX 65 C | |
| I_C | | 12 A | |
| P_{tot} | | 117 W | |

Darlingtons à usage général adaptés pour l'amplification de puissance et la commutation.

**Case
Boîtier** TO-3 (CB-19)



Collector is connected to case
Le collecteur est relié au boîtier

ABSOLUTE RATINGS (LIMITING VALUES)
VALEURS LIMITES ABSOLUES D'UTILISATION

T_{case} = 25 °C **(Unless otherwise stated)**
(Sauf indication contraire)

| | | BDX 65 | BDX 65 A | BDX 65 B | BDX 65 C | |
|--|--|------------------|-----------------|-----------------|-----------------|----|
| Collector-emitter voltage Tension collecteur-émetteur | V _{CEO} | 60 | 80 | 100 | 120 | V |
| Collector-emitter voltage Tension collecteur-émetteur | V _{BE} = -1,5 V | V _{CEV} | 80 | 100 | 120 | V |
| Emitter-base voltage Tension émetteur-base | V _{EBO} | | | 5 | | V |
| Collector current Courant collecteur | I _{C(RMS)} I _{CM} | | | 12 16 | | A |
| Base current Courant de base | I _B | | | 0,2 | | A |
| Power dissipation Dissipation de puissance | T _{case} = 25 °C | P _{tot} | | 117 | | W |
| Junction temperature Température de jonction | T _j | | | -55, +200 | | °C |

Junction-case thermal resistance
Resistance thermique jonction-boîtier

R_{th(j-c)}

1,5

°C/W

BDX 65 - BDX 65 A - BDX 65 B - BDX 65 C
STATIC CHARACTERISTICS
CARACTÉRISTIQUES STATIQUES
T_{case} 25°C

 (Unless otherwise stated)
 (Sauf indications contraires)

| | Test conditions <i>Conditions de mesure</i> | | | min | typ | max | |
|---|--|--|-----------------------|------------------------|-----|-----|----|
| Collector-emitter breakdown voltage <i>Tension de claquage collecteur-émetteur</i> | I _C = 0,1 A I _B = 0 L = 25 mH | BDX 65 BDX 65 A BDX 65 B BDX 65 C | V _{CEOsus} * | 60 80 100 120 | | | V |
| Collector-base cut-off current <i>Courant résiduel collecteur-base</i> | V _{CBO} = 60 V V _{CBO} = 60 V T _{case} = 150°C | BDX 65 | I _{CBO} | | 0,4 | | mA |
| | V _{CBO} = 80 V V _{CBO} = 80 V T _{case} = 150°C | BDX 65 A | | | 3 | | |
| | V _{CBO} = 100 V V _{CBO} = 100 V T _{case} = 150°C | BDX 65 B | | | 0,4 | | |
| | V _{CBO} = 120 V V _{CBO} = 120 V T _{case} = 150°C | BDX 65 C | | | 3 | | |
| Collector-emitter cut-off current <i>Courant résiduel collecteur-émetteur</i> | V _{CE} = 30 V V _{CE} = 40 V V _{CE} = 50 V V _{CE} = 60 V | BDX 65 BDX 65 A BDX 65 B BDX 65 C | I _{CEO} | | 1 | | mA |
| Emitter-base cut-off current <i>Courant résiduel émetteur-base</i> | V _{EBO} = 5 V | All types <i>Tous types</i> | I _{EBO} | | 5 | | mA |
| Collector-emitter saturation voltage <i>Tension de saturation collecteur-émetteur</i> | I _C = 5 A I _B = 20 mA | All types <i>Tous types</i> | V _{CEsat} * | | 2 | | V |
| Base-emitter voltage <i>Tension base-émetteur</i> | V _{CE} = 3 V I _C = 5 A | All types <i>Tous types</i> | V _{BE} * | | 3 | | V |
| Static forward current transfer ratio <i>Valeur statique du rapport de transfert direct du courant</i> | V _{CE} = 3 V I _C = 1 A V _{CE} = 3 V I _C = 5 A V _{CE} = 3 V I _C = 10 A | All types <i>Tous types</i> | h _{21E} * | 1000 1500 1500 | | | |
| Forward voltage (pulse method) <i>Chute de tension directe</i> | I _F = 5 A | All types <i>Tous types</i> | V _F | | 1,8 | | V |

* Pulsed
 Impulsions t_p = 300 μs δ ≤ 2 %

DYNAMIC CHARACTERISTICS (for small signals)**CARACTÉRISTIQUES DYNAMIQUES (pour petits signaux)****T_{case} 25 °C**

(Unless otherwise stated)

(Sauf indications contraires)

| | Test conditions <i>Conditions de mesure</i> | | | min | typ | max | |
|--|---|--------------------------------|-------------------|-----|-----|-----|-----|
| Transition frequency <i>Fréquence de transition</i> | V _{CE} = 3V I _C = 5A f = 1MHz | All types <i>Tous types</i> | f _T | | 7 | | MHz |
| Forward current transfer ratio cut off frequency <i>Fréquence de coupure</i> | V _{CE} = 3 V I _C = 5 A | All types <i>Tous types</i> | f _{h21e} | | 60 | | kHz |

THERMAL CHARACTERISTICS**CARACTÉRISTIQUES THERMIQUES**

| | | | | | | |
|---|--------------------------------|----------------------|--|--|-----|------|
| Junction to case thermal resistance <i>Résistance thermique jonction boîtier</i> | All types <i>Tous types</i> | R _{th(j-c)} | | | 1,5 | °C/W |
|---|--------------------------------|----------------------|--|--|-----|------|



PNP SILICON DARLINGTON TRANSISTOR
TRANSISTOR DARLINGTON SILICIUM PNP

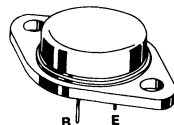
Compl. of BDX 67 A-B

ADVANCE INFORMATION

High current power darlington
designed for power amplification
and switching applications.

*Darlington fort courant adapté
pour l'amplification de puissance
et la commutation.*

| | | |
|------------------------|--------|-----------------|
| V_{CEO} | - 60V | BDX 66 |
| | - 80V | BDX 66 A |
| | -100 V | BDX 66 B |
| I_C | - 16 A | |

Case
Boîtier TO 3 (CB 19)**ABSOLUTE RATINGS (LIMITING VALUES)** $T_{case} = 25^\circ C$

VALEURS LIMITES ABSOLUES D'UTILISATION

| | | BDX 66 | BDX 66A | BDX 66B | |
|---|------------------------|------------------------|----------------|----------------|-----------|
| Collector-emitter voltage <i>Tension collecteur-émetteur</i> | V_{CEO} | -60 | -80 | -100 | V |
| Collector-base voltage <i>Tension collecteur-base</i> | V_{CBO} | -60 | -80 | -100 | V |
| Emitter-base voltage <i>Tension émetteur-base</i> | V_{EBO} | | -5 | | V |
| Collector current <i>Courant collecteur</i> | I_C | I_{CM} | | -16 -20 | A |
| Base current <i>Courant base</i> | I_B | | -0,25 | | A |
| Power dissipation <i>Dissipation de puissance</i> | P_{tot} | | 150 | | W |
| Storage and junction temperature <i>Température de jonction et de stockage</i> | T_j | T_{stg} | -55 +200 | 200 | °C |

Junction case thermal temperature
Résistance thermique jonction boîtier

R_{th(j-c)}

1,17

°C/W

BDX 66,A,B**ELECTRICAL CHARACTERISTICS - CARACTÉRISTIQUES ÉLECTRIQUES**

| SYMBOLS | MIN. | TYP. | MAX. | UNIT | | TEST CONDITIONS - CONDITIONS DE MESURE |
|---------|------|------|------|------|--|--|
|---------|------|------|------|------|--|--|

OFF CHARACTERISTICS - CARACTÉRISTIQUES A L'ÉTAT BLOQUÉ

| | | | | | | |
|-----------------------|----------------------|----|----|--------------------------------|--|--|
| V _{C EO sus} | - 60 - 80 -100 | | V | BDX 66 BDX 66 A BDX 66 B | I _C = -0,1 A | L = 25 mH |
| I _{CBO} | | -1 | mA | BDX 66 BDX 66 A BDX 66 B | T _{case} = 25 °C | V _{CB} = -40 V |
| | | -5 | | | T _{case} = 150 °C | V _{CB} = -50 V V _{CB} = -60 V |
| I _{CEO} | | -3 | mA | BDX 66 BDX 66 A BDX 66 B | V _{C E} = -30 V V _{C E} = -40 V V _{C E} = -50 V | I _B = 0 |
| I _{EBO} | | -5 | mA | | V _{E B} = -5 V | I _C = 0 |

ON CHARACTERISTICS - CARACTÉRISTIQUES A L'ÉTAT CONDUCTEUR

| | | | | | | |
|-----------------------|--|----|---|--|------------------------|-------------------------|
| V _{C E sat*} | | -2 | V | | I _C = -10 A | I _B = -40 mA |
|-----------------------|--|----|---|--|------------------------|-------------------------|

DYNAMIC CHARACTERISTICS - CARACTÉRISTIQUES DYNAMIQUES

| | | | | | | |
|------------------|-----|-----|--|-------------------------|-----------------------|-----------|
| f _C | 60 | kHz | | V _{C E} = -3 V | I _C = -5 A | f = 1 kHz |
| C _{22b} | 300 | pF | | V _{CB} = -10 V | I _E = 0 | f = 1 MHz |

SWITCHING CHARACTERISTICS - CARACTÉRISTIQUES DE COMMUTATION

On resistive load - Sur charge résistive

| | | | | | |
|------------------|-----|---------|--|------------------------|---|
| t _{on} | 1 | μ s | | V _{CC} = 12 V | |
| t _{off} | 3,5 | | | I _C = 10 A | I _{B1} = -I _{B2} = 0,04 A |

* Pulses Impulsions t_p = 300 μ s $\lambda \leq 2\%$ Unless otherwise stated Sauf indications contraires T_{case} = 25 °C

**NPN SILICON DARLINGTON TRANSISTOR
TRANSISTOR DARLINGTON SILICIUM NPN**

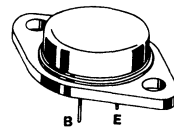
Compl. of BDX 66 A-B

ADVANCE INFORMATION

High current power darlington
designed for power amplification
and switching applications.

*Darlington fort courant adapté
pour l'amplification de puissance
et la commutation.*

| | | |
|-------------|-------|-----------------|
| VCEO | 60 V | BDX 67 |
| | 80 V | BDX 67 A |
| | 100 V | BDX 67 B |
| IC | 16 A | |



Case
Boîtier TO 3 (CB 19)

ABSOLUTE RATINGS (LIMITING VALUES)

$T_{case} = 25^\circ C$

VALEURS LIMITES ABSOLUES D'UTILISATION

| | | BDX 67 | BDX 67 A | BDX 67 B | |
|---|------------------------|------------------------|-----------------|-----------------|-----------|
| Collector-emitter voltage <i>Tension collecteur-émetteur</i> | V_{CEO} | 60 | 80 | 100 | V |
| Collector-base voltage <i>Tension collecteur-base</i> | V_{CBO} | 80 | 100 | 120 | V |
| Emitter-base voltage <i>Tension émetteur-base</i> | V_{EBO} | | 5 | | V |
| Collector current <i>Courant collecteur</i> | I_C | I_{CM} | | 16 20 | A |
| Base current <i>Courant base</i> | I_B | | | 0,25 | A |
| Power dissipation <i>Dissipation de puissance</i> | | P_{tot} | | 150 | W |
| Storage and junction temperature <i>Température de jonction et de stockage</i> | T_j | T_{stg} | | 200 55 +200 | °C |

Junction case thermal temperature
Résistance thermique jonction boîtier

R_{th(j-c)}

1,17

°C/W

BDX 67,A,B**ELECTRICAL CHARACTERISTICS - CARACTÉRISTIQUES ÉLECTRIQUES**

| SYMBOLS | MIN. | TYP. | MAX. | UNIT | | TEST CONDITIONS - CONDITIONS DE MESURE |
|---------|------|------|------|------|--|--|
|---------|------|------|------|------|--|--|

OFF CHARACTERISTICS - CARACTÉRISTIQUES A L'ÉTAT BLOQUÉ

| | | | | | | |
|----------------------|-----------------|---|----|--------------------------------|--|--|
| V _{CEO sus} | 60 80 100 | | | V | BDX 67 BDX 67 A BDX 67 B | I _C = 0,1 A L = 25 mH |
| I _{CBO} | | 1 | mA | BDX 67 BDX 67 A BDX 67 B | T _{case} = 25 °C | V _{CB} = 40V |
| | | | | | T _{case} = 150 °C | V _{CB} = 50 V V _{CB} = 60 V |
| I _{CEO} | | 3 | mA | BDX 67 BDX 67 A BDX 67 B | V _{CE} = 30 V V _{CE} = 40 V V _{CE} = 50 V | I _B = 0 |
| I _{EBO} | | 5 | mA | | V _{EB} = 5 V | I _C = 0 |

ON CHARACTERISTICS - CARACTÉRISTIQUES A L'ÉTAT CONDUCTEUR

| | | | | | | |
|----------------------|--|---|---|--|-----------------------|------------------------|
| V _{CE} sat* | | 2 | V | | I _C = 10 A | I _B = 40 mA |
|----------------------|--|---|---|--|-----------------------|------------------------|

DYNAMIC CHARACTERISTICS - CARACTÉRISTIQUES DYNAMIQUES

| | | | | | | |
|------------------|-----|--|-----|--|------------------------|-----------------------------------|
| f _C | 50 | | kHz | | V _{CE} = 3 V | I _C = 5 A f = 1 kHz |
| C _{22b} | 300 | | pF | | V _{CB} = 10 V | I _E = 0 f = 1 MHz |

SWITCHING CHARACTERISTICS - CARACTÉRISTIQUES DE COMMUTATION

On resistive load - Sur charge résistive

| | | | | | | |
|------------------|-----|--|-----|--|------------------------|---|
| t _{on} | 1 | | | | V _{CC} = 12 V | |
| t _{off} | 3,5 | | μ s | | I _C = 10 A | I _{B1} = -I _{B2} = 0,04 A |

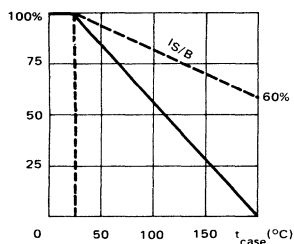
* Pulses Impulsions t_p = 300 μs Δ ≤ 2 % Unless otherwise stated
Sauf indications contraires

T_{case} = 25 °C

LF large signal power amplification
Amplification BF grands signaux de puissance

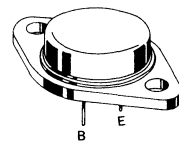
High current fast switching
Commutation rapide fort courant

Dissipation and I_S/B derating
Variation de dissipation et de I_S/B



| | | |
|-------------------|--------------------------|----------------------------------|
| V_{CEO} | 60 V 90 V 140 V | BDY 23 BDY 24 BDY 25 |
| I_C | 6 A | |
| P_{tot} | 87,5 W | |
| $R_{th(j-c)}$ | 2 °C/W | max |
| h21E (2 A) | 15-45 30-90 75-180 | modèle A modèle B modèle C |

Case
Boîtier TO 3



ABSOLUTE RATINGS (LIMITING VALUES)
VALEURS LIMITES ABSOLUES D'UTILISATION

| | | BDY 23 | BDY 24 | BDY 25 | |
|---|------------------|------------|------------|------------|----|
| Collector-base voltage <i>Tension collecteur-base</i> | V_{CBO} | 60 | 100 | 200 | V |
| Collector-emitter voltage <i>Tension collecteur-émetteur</i> | V_{CEO} | 60 | 90 | 140 | V |
| Emitter-base voltage <i>Tension émetteur-base</i> | V_{EBO} | 10 | 10 | 10 | V |
| Collector current <i>Courant collecteur</i> | I_C | 6 | 6 | 6 | A |
| Base current <i>Courant base</i> | I_B | 3 | 3 | 3 | A |
| Power dissipation <i>Dissipation de puissance</i> | $T_{case} 25$ °C | P_{tot} | 87,5 | 87,5 | W |
| Junction temperature <i>Température de jonction</i> | t_j | - 65 + 200 | - 65 + 200 | - 65 + 200 | °C |

| | | | | | |
|--|---------------|---|---|---|------|
| Junction-case thermal resistance <i>Résistance thermique jonction boîtier</i> max | $R_{th(j-c)}$ | 2 | 2 | 2 | °C/W |
|--|---------------|---|---|---|------|

BDY 23 - BDY 24 - BDY 25

STATIC CHARACTERISTICS
CARACTÉRISTIQUES STATIQUES

$t_{case} = 25^\circ C$

(Unless otherwise stated)
(Sauf indications contraires)

| | Test conditions Conditions de mesure | | | Min. | Typ. | Max. |
|---|---|-----------------|--------|------|------|------|
| Collector-emitter cut-off current <i>Courant résiduel collecteur-émetteur</i> | $V_{CE} = 60 V$ $I_B = 0$ | I_{CEO} | BDY 23 | | 1 | mA |
| | $V_{CE} = 90 V$ $I_B = 0$ | | BDY 24 | | 1 | mA |
| | $V_{CE} = 140 V$ $I_B = 0$ | | BDY 25 | | 1 | mA |
| Collector-emitter cut-off current <i>Courant résiduel collecteur-émetteur</i> | $V_{CE} = 60 V$ $V_{BE} = 0$ | I_{CES} | BDY 23 | | 0,5 | mA |
| | $V_{CE} = 100 V$ $V_{BE} = 0$ | | BDY 24 | | 1 | mA |
| | $V_{CE} = 180 V$ $V_{BE} = 0$ | | BDY 25 | | 1 | mA |
| Emitter-base cut-off current <i>Courant résiduel émetteur-base</i> | $V_{EB} = 10 V$ $I_C = 0$ | I_{EBO} | | | 1 | mA |
| Collector-emitter breakdown voltage <i>Tension de claquage collecteur-émetteur</i> | $I_C = 50 mA$ $I_B = 0$ | $V_{(BR)CEO}^*$ | BDY 23 | 60 | | V |
| | | | BDY 24 | 90 | | V |
| | | | BDY 25 | 140 | | V |
| Collector-base breakdown voltage <i>Tension de claquage collecteur-base</i> | $I_C = 3 mA$ $I_E = 0$ | $V_{(BR)CBO}^*$ | BDY 23 | 60 | | V |
| | | | BDY 24 | 100 | | V |
| | | | BDY 25 | 200 | | V |

* Pulsed $t_p = 300 \mu s$ 2 %
Impulsions

STATIC CHARACTERISTICS
CARACTÉRISTIQUES STATIQUES
 $t_{case} = 25^\circ C$ (Unless otherwise stated)
(Sauf indications contraires)

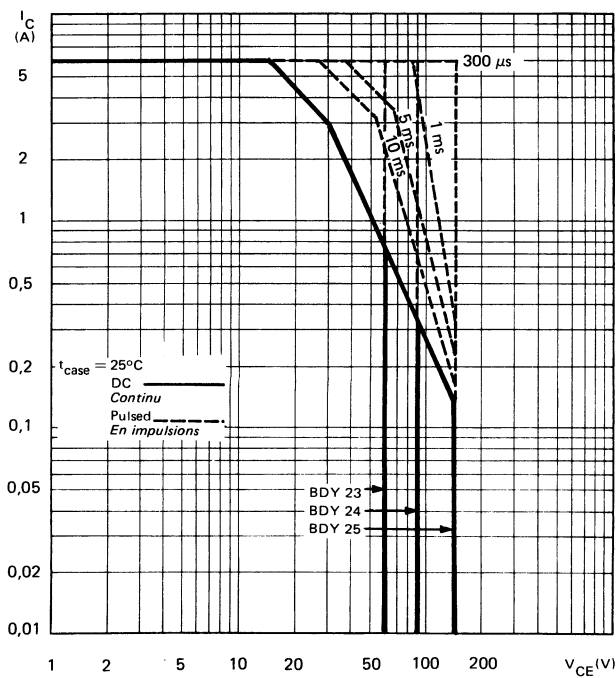
| | Test conditions Conditions de mesure | | | Min. | Typ. | Max. |
|---|---|---------------|--------|------|------|------|
| Static forward current transfer ratio <i>Valeur statique du rapport de transfert direct du courant</i> | $V_{CE} = 4 V$ $I_C = 1 A$ | h_{21E}^* | A | 55 | | |
| | $V_{CE} = 4 V$ $I_C = 2 A$ | | B | 65 | | |
| Collector-emitter saturation voltage <i>Tension de saturation collecteur-émetteur</i> | $I_C = 2 A$ $I_B = 0,25 A$ | V_{CEsat}^* | C | 90 | | |
| | | | BDY 23 | | 1 | V |
| Base-emitter saturation voltage <i>Tension de saturation base-émetteur</i> | $I_C = 2 A$ $I_B = 0,25 A$ | V_{BEsat}^* | BDY 24 | | 0,6 | V |
| | | | BDY 25 | | 0,6 | V |
| DYNAMIC CHARACTERISTICS (for small signals) <i>CARACTÉRISTIQUES DYNAMIQUES (pour petits signaux)</i> | | | BDY 23 | | 2 | V |
| | | | BDY 24 | | 1,2 | V |
| | | | BDY 25 | | 1,2 | V |

DYNAMIC CHARACTERISTICS (for small signals)
CARACTÉRISTIQUES DYNAMIQUES (pour petits signaux)

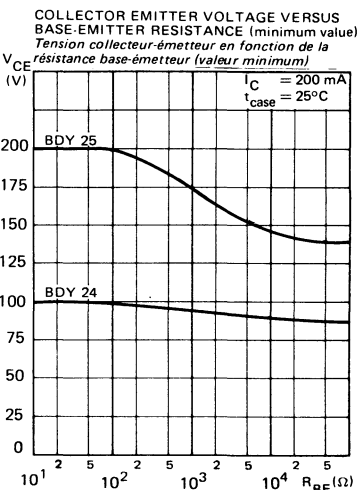
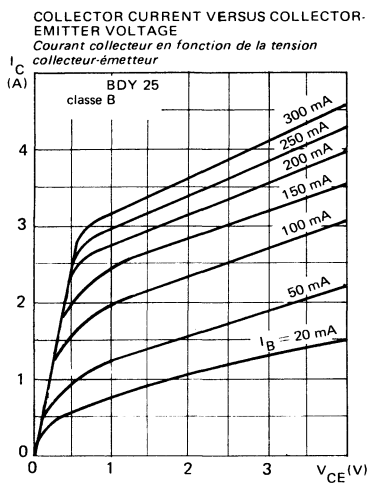
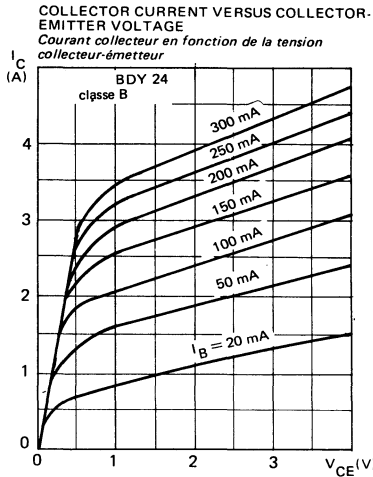
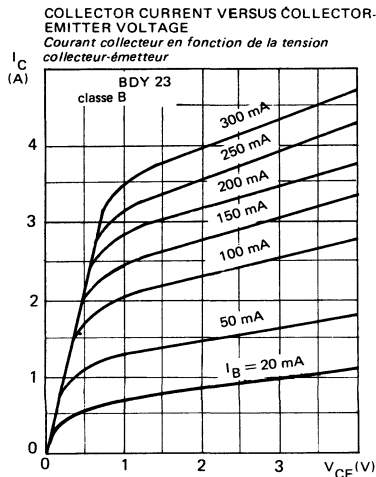
| | | | | | | |
|--|--|-------------|-------------|---------------|---|---------|
| Transition frequency <i>Fréquence de transition</i> | $V_{CE} = 15 V$ $I_C = 0,5 A$ $f = 10 \text{ MHz}$ | f_T | | 10 | | MHz |
| Turn-on time <i>Temps total d'établissement</i> | $I_C = 5 A$ $I_B = 1 A$ | $t_d + t_r$ | | | 1 | μs |
| Turn-off time <i>Temps total de coupure</i> | $I_C = 5 A$ $I_{B1} = 1 A$ $I_{B2} = -1 A$ | $t_s + t_f$ | A B C | 2 3,5 6 | | |

* Pulsed $t_p = 300 \mu s$ 2 %
Impulsions

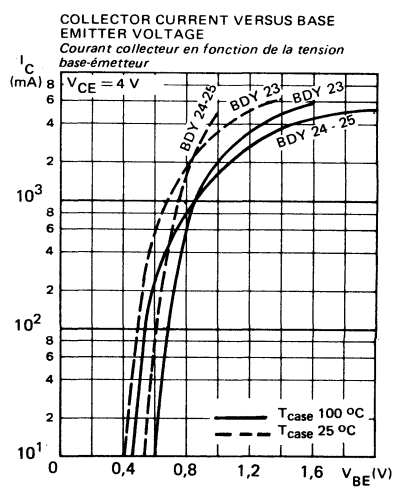
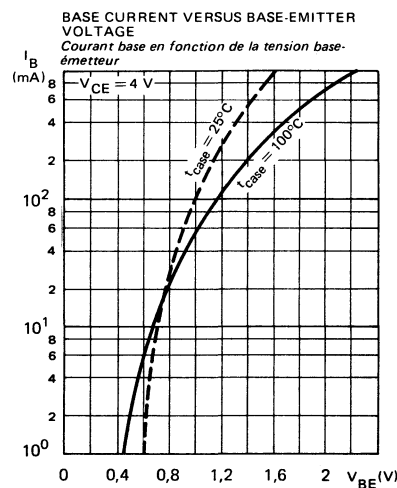
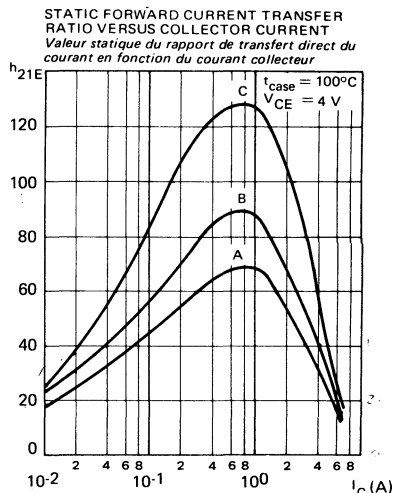
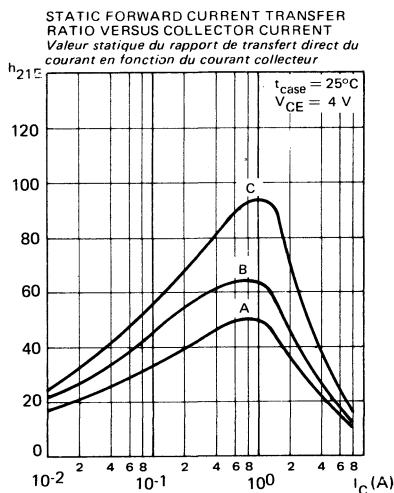
SAFE OPERATING AREA
Aire de fonctionnement de sécurité



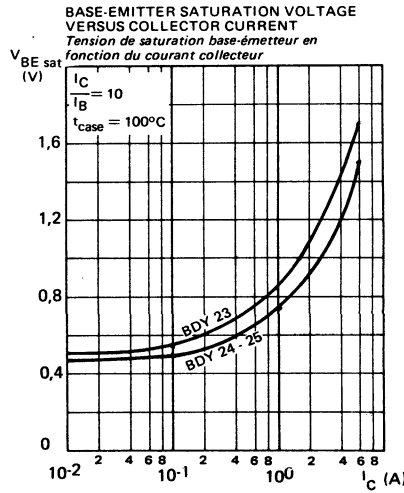
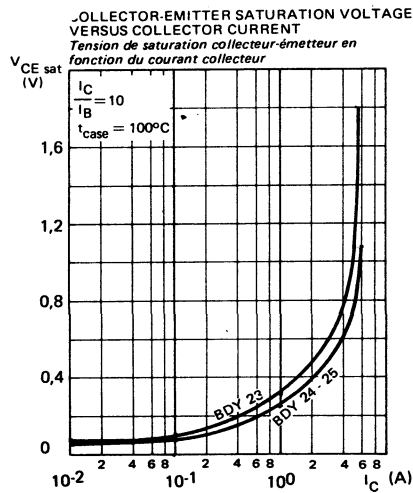
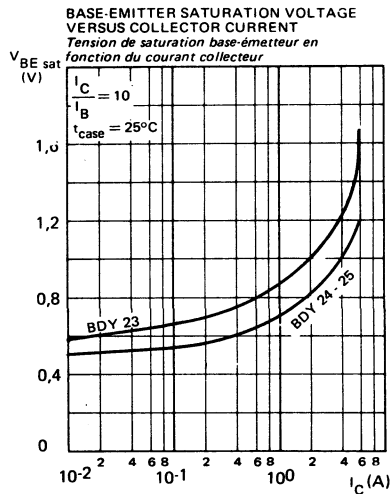
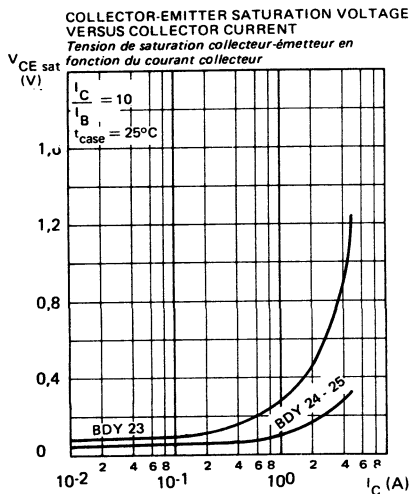
TYPICAL CHARACTERISTICS
CARACTÉRISTIQUES TYPIQUES



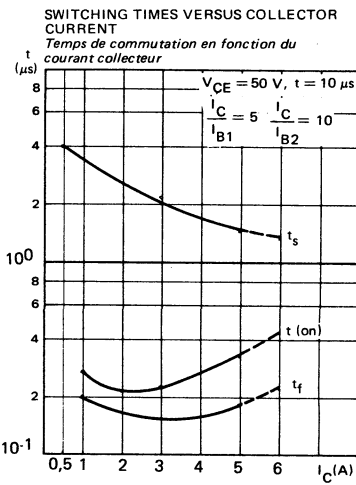
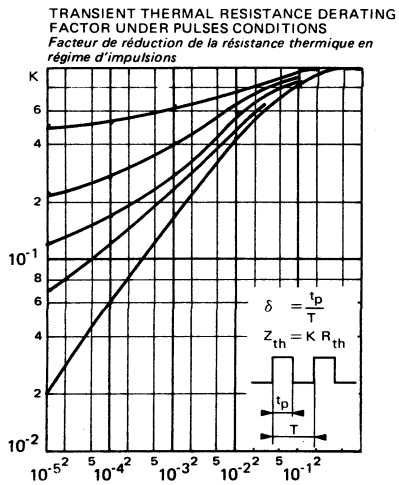
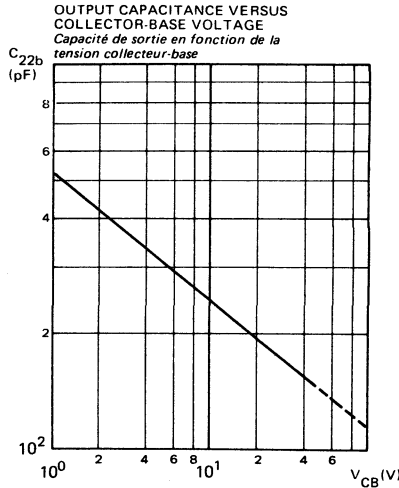
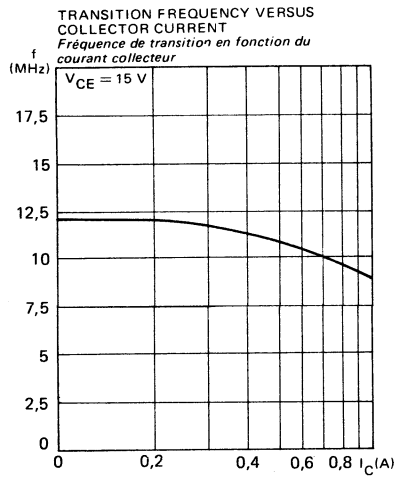
TYPICAL CHARACTERISTICS
CARACTÉRISTIQUES TYPHIQUES



TYPICAL CHARACTERISTICS
CARACTÉRISTIQUES TYPIQUES



TYPICAL CHARACTERISTICS
CARACTÉRISTIQUES TYPHIQUES



BDY 26

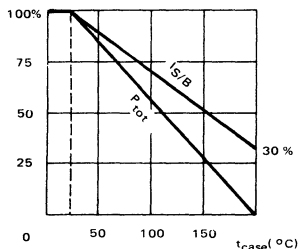
BDY 27 - BDY 28

NPN TRANSISTORS DIFFUSED MESA
TRANSISTORS NPN MESA DIFFUSÉS

LF large signal power amplification
Amplification BF grands signaux de puissance

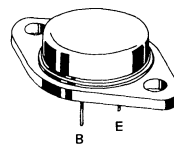
High current fast switching
Commutation rapide fort courant

Dissipation and I_S/B derating
Variation de dissipation et de I_S/B



| | | |
|-----------------|--------|-----------|
| V_{CEO} | 180 V | BDY 26 |
| | 200 V | BDY 27 |
| | 250 V | BDY 28 |
| I_C | 6 A | |
| P_{tot} | 87,5 W | |
| $R_{th(j-c)}$ | 2 °C/W | max |
| h_{21E} (2 A) | 15-45 | modèles A |
| | 30-90 | modèles B |
| | 75-180 | modèles C |

Case
Boîtier TO 3



ABSOLUTE RATINGS (LIMITING VALUES)
VALEURS LIMITES ABSOLUES D'UTILISATION

| | | BDY 26 | BDY 27 | BDY 28 | |
|---|-----------|---------------|---------------|---------------|----|
| Collector-base voltage <i>Tension collecteur-base</i> | V_{CBO} | 300 | 400 | 500 | V |
| Collector-emitter voltage <i>Tension collecteur-émetteur</i> | V_{CEO} | 180 | 200 | 250 | V |
| Emitter-base voltage <i>Tension émetteur-base</i> | V_{EBO} | 10 | 10 | 10 | V |
| Collector current <i>Courant collecteur</i> | I_C | 6 | 6 | 6 | A |
| Base current <i>Courant base</i> | I_B | 3 | 3 | 3 | A |
| Power dissipation <i>Dissipation de puissance</i> | P_{tot} | 87,5 | 87,5 | 87,5 | W |
| Junction temperature <i>Température de jonction</i> | t_j | - 65 + 200 | - 65 + 200 | - 65 + 200 | °C |

Junction-case thermal resistance
Résistance thermique jonction-boîtier^{max}

$R_{th(j-c)}$

2

2

2

°C/W

STATIC CHARACTERISTICS
CARACTÉRISTIQUES STATIQUES $t_{case} = 25^\circ C$ (Unless otherwise stated)
(Sauf indications contraires)

| | Test conditions Conditions de mesure | | | Min. | Typ. | Max. |
|---|---|-----------------|----------|------|------|------|
| Collector-emitter cut-off current <i>Courant résiduel collecteur-émetteur</i> | $V_{CE} = 180 V$ $I_B = 0$ | I_{CEO} | BDY 26 | | 1 | mA |
| | $V_{CE} = 200 V$ $I_B = 0$ | | BDY 27 | | 1 | mA |
| | $V_{CE} = 250 V$ $I_B = 0$ | | BDY 28 | | 1 | mA |
| Collector-emitter cut-off current <i>Courant résiduel collecteur-émetteur</i> | $V_{BE} = 250 V$ $V_{BE} = 0$ | I_{CES} | BDY 26 | | 1 | mA |
| | $V_{CE} = 300 V$ $V_{BE} = 0$ | | BDY 27 | | 1 | mA |
| | $V_{CE} = 400 V$ $V_{BE} = 0$ | | BDY 28 | | 1 | mA |
| Emitter-base cut-off current <i>Courant résiduel émetteur-base</i> | $V_{EB} = 10 V$ $I_C = 0$ | I_{EBO} | | | 1 | mA |
| Collector-emitter breakdown voltage <i>Tension de claquage collecteur-émetteur</i> | $I_C = 50 mA$ $I_B = 0$ | $V_{(BR)CEO}^*$ | BDY 26 | 180 | | |
| | | | BDY 27 | 200 | | |
| | | | BDY 28 A | 250 | | |
| | | | BDY 28 B | 250 | | |
| | | | BDY 28 C | 220 | | |
| Collector-base breakdown voltage <i>Tension de claquage collecteur-base</i> | $I_C = 3 mA$ $I_E = 0$ | $V_{(BR)CBO}^*$ | BDY 26 | 300 | | |
| | | | BDY 27 | 400 | | |
| | | | BDY 28 | 500 | | |

* Pulsed
Impulsions $t_p = 300 \mu s$ 2 %

STATIC CHARACTERISTICS
CARACTÉRISTIQUES STATIQUES $t_{case} = 25^\circ C$ (Unless otherwise stated)
(Sauf indications contraires)

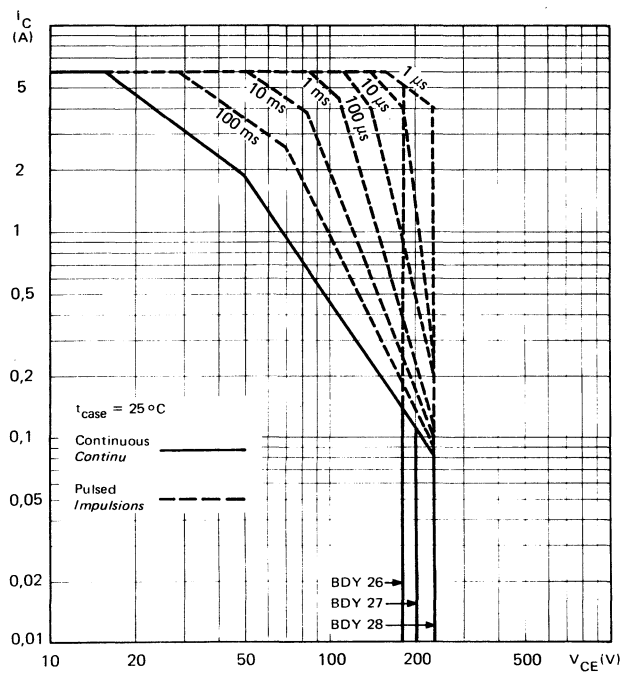
| | Test conditions Conditions de mesure | | | Min. | Typ. | Max. |
|--|---|---------------|--------|------|------|------|
| Static forward current transfer ratio Valeur statique du rapport de transfert direct du courant | $V_{CE} = 4 V$ $I_C = 1 A$ | h_{21E} * | A | 55 | | |
| | $V_{CE} = 4 V$ $I_C = 2 A$ | | B | 65 | | |
| | | V_{CEsat} * | C | 90 | | |
| | | | A | 15 | 20 | 45 |
| Collector-emitter saturation voltage Tension de saturation collecteur-émetteur | $I_C = 2 A$ $I_B = 0,25 A$ | V_{CEsat} * | B | 30 | 45 | 90 |
| | | | C | 75 | 82 | 180 |
| Base-emitter saturation voltage Tension de saturation base-émetteur | $I_C = 2 A$ $I_B = 0,25 A$ | V_{BEsat} * | BDY 26 | | 0,6 | V |
| | | | BDY 27 | | 0,6 | V |
| | | | BDY 28 | | 0,6 | V |
| | | | BDY 26 | | 1,2 | V |
| | | | BDY 27 | | 1,2 | V |
| | | | BDY 28 | | 1,2 | V |

DYNAMIC CHARACTERISTICS (for small signals)
CARACTÉRISTIQUES DYNAMIQUES (pour petits signaux)

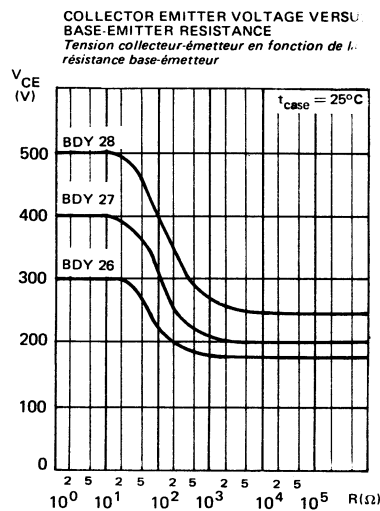
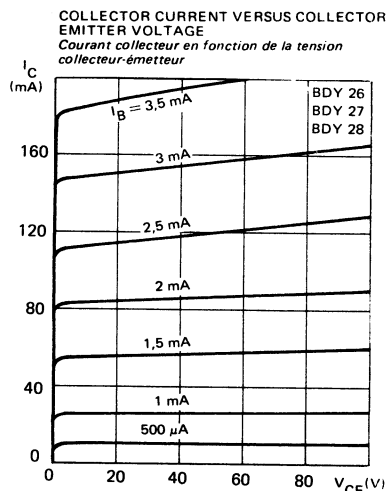
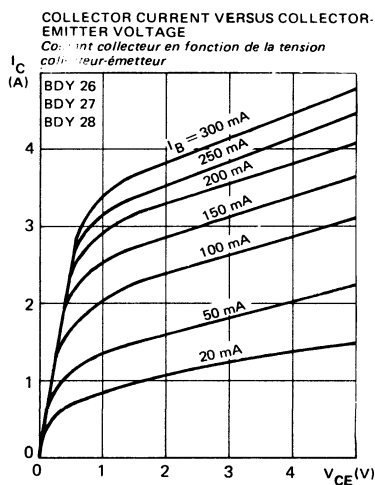
| | | | | | | |
|---|--|-------------|-------------------------|---------------|--|---------|
| Transition frequency Fréquence de transition | $V_{CE} = 15 V$ $I_C = 0,5 A$ $f = 10 MHz$ | f_T | | 10 | | MHz |
| Turn-on time Temps total d'établissement | $I_C = 5 A$ $I_B = 1 A$ | $t_d + t_r$ | All types Tous types | 1 | | μs |
| Turn-off time Temps total de coupure | $I_C = 5 A$ $I_{B1} = 1 A$ $I_{B2} = -1 A$ | $t_s + t_f$ | A B C | 2 3,5 6 | | μs |

* Pulsed
Impulsions $t_p = 300 \mu s$ 2 %

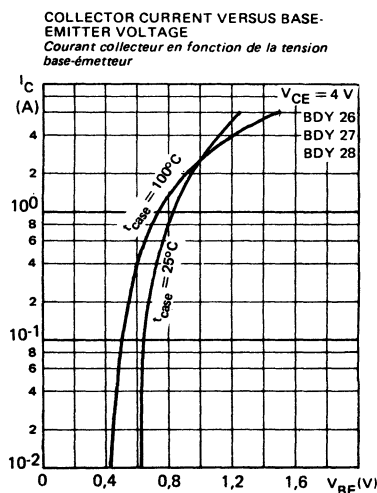
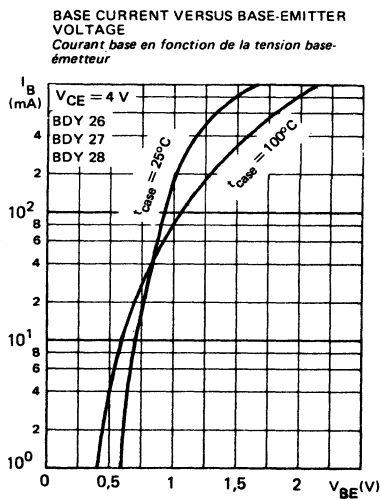
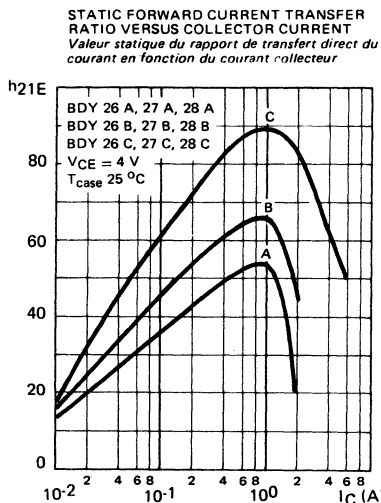
SAFE OPERATING AREA
AIRE DE FONCTIONNEMENT DE SECURITE



TYPICAL CHARACTERISTICS
CARACTÉRISTIQUES TYPIQUES

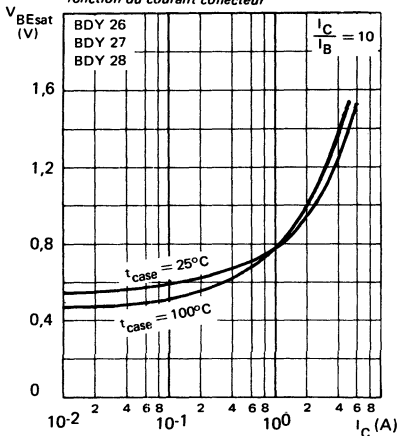


TYPICAL CHARACTERISTICS
CARACTÉRISTIQUES TYPHIQUES

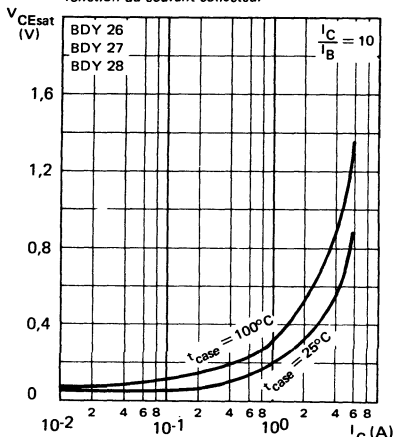


TYPICAL CHARACTERISTICS
CARACTÉRISTIQUES TYPIQUES

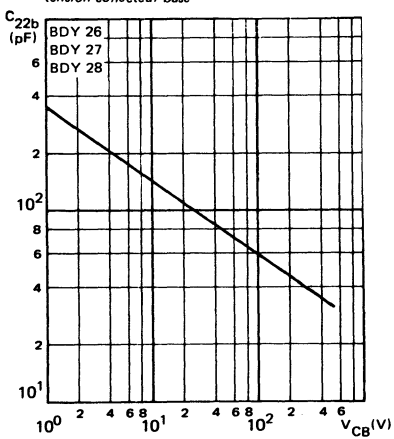
BASE-EMITTER SATURATION VOLTAGE
 VERSUS COLLECTOR CURRENT
Tension de saturation base-émetteur en fonction du courant collecteur



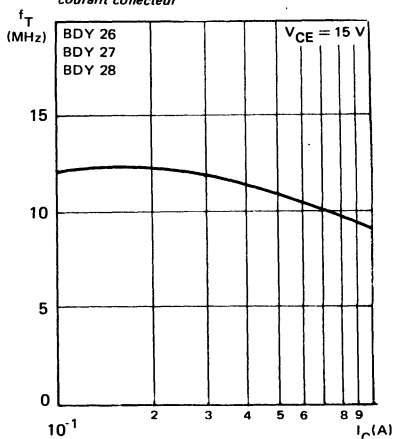
COLLECTOR-EMITTER SATURATION VOLTAGE
 VERSUS COLLECTOR CURRENT
Tension de saturation collecteur-émetteur en fonction du courant collecteur

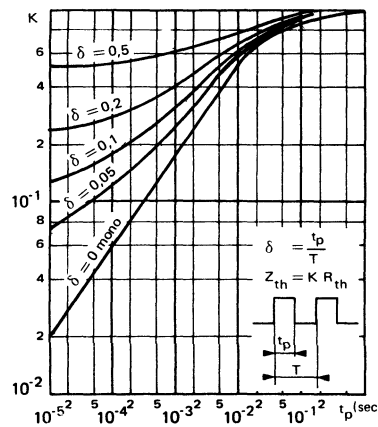


OUTPUT CAPACITANCE VERSUS
 COLLECTOR-BASE VOLTAGE
Capacité de sortie en fonction de la tension collecteur-base



TRANSITION FREQUENCY VERSUS
 COLLECTOR CURRENT
Fréquence de transition en fonction du courant collecteur





BDY 55-BDY 56

NPN SILICON TRANSISTORS TRIPLE DIFFUSED MESA
TRANSISTORS NPN SILICIUM, MESA TRIPLE DIFFUSE

LF large signal power amplification

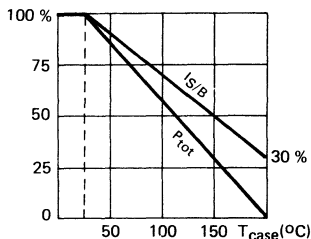
Amplification BF grands signaux de puissance

High current fast switching

Commutation rapide fort courant

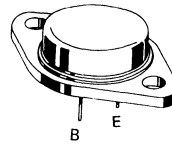
Dissipation and I_S/B derating

Variation de dissipation et de I_S/B



| | | |
|------------------------|----------|--------|
| V _{CEO} | 60 V | BDY 55 |
| | 120 V | BDY 56 |
| I _C | 15 A | |
| P _{tot} | 117 W | |
| R _{th(j-c)} | 1,5 °C/W | max |
| h _{21E} (4 A) | 20 - 70 | |
| f _T | 10 MHz | min |

Case TO 3 (CB 19)
Boîtier



ABSOLUTE RATINGS (LIMITING VALUES)
VALEURS LIMITES ABSOLUES D'UTILISATION

| | | BDY 55 | BDY 56 | |
|--|-------------------------|------------------------------------|---------------------|------------------------|
| Collector-base voltage Tension collecteur-base | V _{CBO} | 100 | 150 | V |
| Collector-emitter voltage Tension collecteur-émetteur | V _{CEO} | 60 | 120 | V |
| Emitter-base voltage Tension émetteur-base | V _{EBO} | 7 | 7 | V |
| Collector current Courant collecteur | I _C | 15 | 15 | A |
| Base current Courant base | I _B | 7 | 7 | A |
| Power dissipation Dissipation de puissance | T _{case} 25 °C | P _{tot} | 117 | W |
| Storage and junction temperature Température de jonction et de stockage | max | t _j T _{stg} | - 200 - 65 + 200 | - 200 - 65 + 200 °C |

| Junction-case thermal resistance Résistance thermique jonction-boîtier | max | R _{th(j-c)} | 1,5 | 1,5 | °C/W |
|---|-----|----------------------|-----|-----|------|
| | | | | | |

STATIC CHARACTERISTICS
CARACTÉRISTIQUES STATIQUES
 $T_{case} = 25^\circ\text{C}$ (Unless otherwise stated)
(Sauf indications contraires)

| | Test conditions Conditions de mesure | | | min | typ | max | |
|---|---|-----------------------|------------------|-----------|-----|--------|----|
| Collector-emitter cut-off current <i>Courant résiduel collecteur-émetteur</i> | V _{CE} = 30 V I _B = 0 | I _{CEO} | BDY 55 | | | 0,7 | mA |
| | V _{CE} = 60 V I _B = 0 | | BDY 56 | | | 0,5 | |
| Collector-emitter cut-off current <i>Courant résiduel collecteur-émetteur</i> | V _{CE} = 100 V V _{BE} = -1,5 V | I _{CEX} | BDY 55 | | | 5 | mA |
| | V _{CE} = 100 V V _{BE} = -1,5 V $T_{case} = 150^\circ\text{C}$ | | | | | 30 | |
| | V _{CE} = 150 V V _{BE} = -1,5 V | I _{CEX} | BDY 56 | | | 3 | |
| | V _{CE} = 150 V V _{BE} = -1,5 V $T_{case} = 150^\circ\text{C}$ | | | | | 30 | |
| Emitter-base cut-off current <i>Courant résiduel émetteur-base</i> | V _{EB} = 7 V I _C = 0 | I _{EBO} | BDY 55 BDY 56 | | | 5 3 | mA |
| Collector-emitter breakdown voltage <i>Tension de claquage collecteur-émetteur</i> | I _C = 200 mA I _B = 0 | V _{CEOsus} * | BDY 55 BDY 56 | 60 120 | | | V |
| Static forward current transfer ratio <i>Valeur statique du rapport de transfert direct du courant</i> | V _{CE} = 4 V I _C = 4 A | h _{21E} * | | | 20 | 70 | V |
| | V _{CE} = 4 V I _C = 10 A | | | | 10 | | |
| Collector-emitter saturation voltage <i>Tension de saturation collecteur-émetteur</i> | I _C = 4 A I _B = 0,4 A | V _{CESat} * | | | | 1,1 | V |
| | I _C = 10 A I _B = 3,3 A | | | | | 2,5 | |
| Base-emitter saturation voltage <i>Tension de saturation base-émetteur</i> | I _C = 10 A I _B = 3,3 A | V _{BESat} * | | | | 4 | V |
| Base-emitter voltage <i>Tension base-émetteur</i> | V _{CE} = 4 V I _C = 4 A | V _{BE} * | | | | 1,8 | V |

* Pulsed
Impulsions $t_p = 300 \mu\text{s}$ $\delta \leq 2\%$

DYNAMIC CHARACTERISTICS (for small signals)

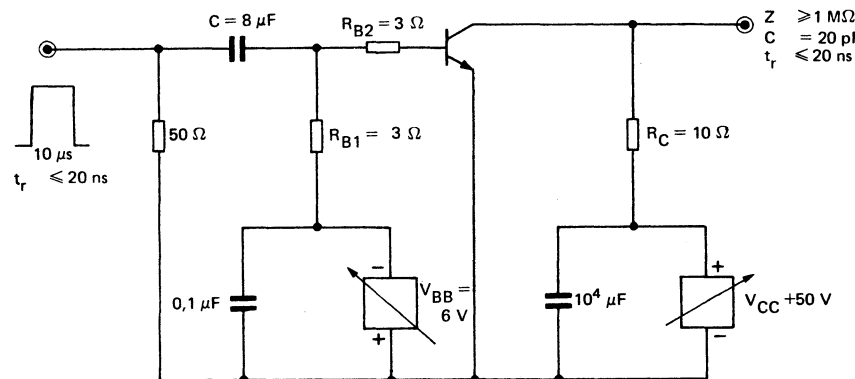
CARACTÉRISTIQUES DYNAMIQUES (pour petits signaux)

 $T_{case} 25^\circ C$

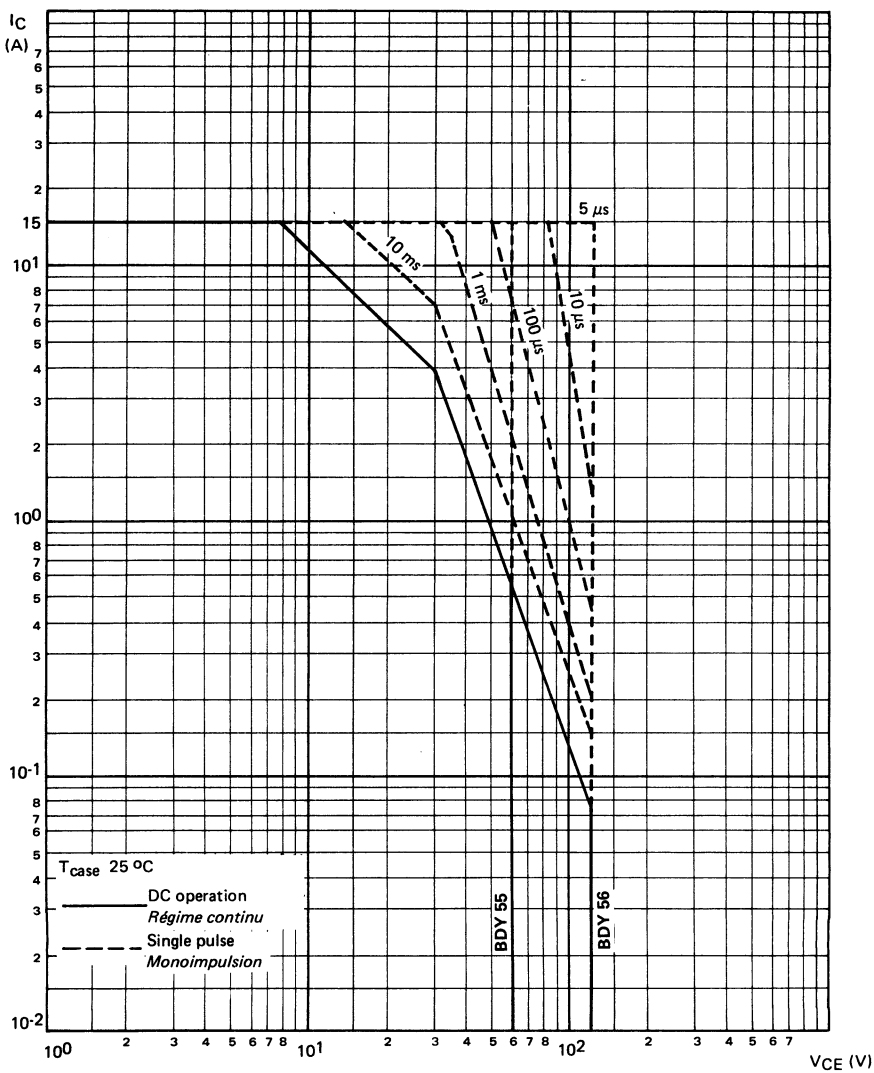
(Unless otherwise stated)

(Sauf indications contraires)

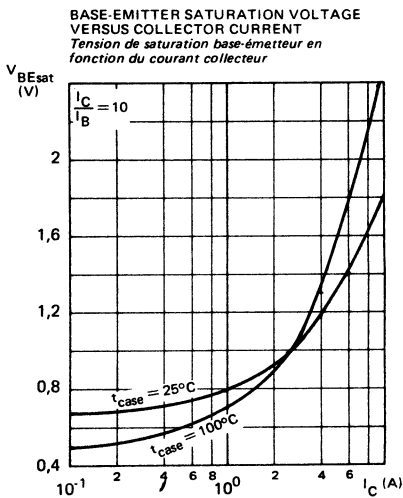
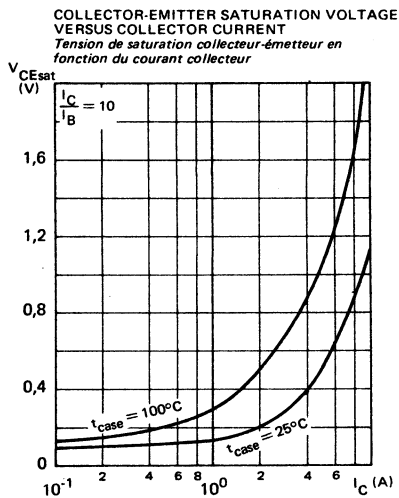
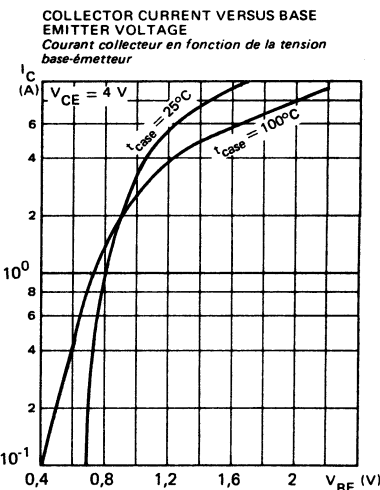
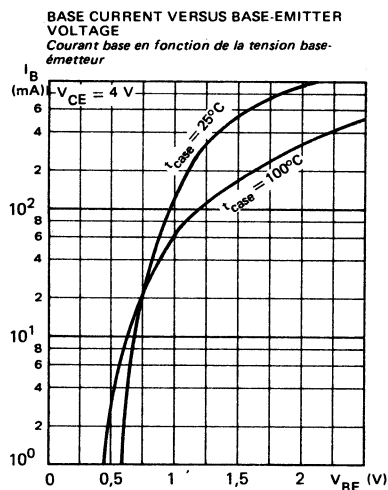
| | Test conditions Conditions de mesure | | | min | typ | max | |
|--|---|-------------|--|-----|-----|---------------|-----|
| Transition frequency <i>Fréquence de transition</i> | $V_{CE} = 4 V$ $I_C = 1 A$ $f = 10 \text{ MHz}$ | f_T | | 10 | | | MHz |
| Turn-on time <i>Temps total d'établissement</i> | $I_C = 5 A$ $I_{B1} = 1 A$ | $t_d + t_r$ | | | 0,5 | μs | |
| Turn-off time <i>Temps total de coupure</i> | $I_C = 5 A$ $I_{B1} = 1 A$ $I_{B2} = -1 A$ | $t_s + t_f$ | | | 2 | μs | |

SWITCHING TIMES TEST CIRCUIT
SCHEMA DE MESURE DES TEMPS DE COMMUTATIONGenerator
GénérateurRepetition frequency $\leq 500 \text{ Hz}$
*Fréquence répétition*Oscilloscope
Oscilloscope $Z \geq 1 \text{ M}\Omega$
 $C = 20 \text{ pF}$
 $t_r \leq 20 \text{ ns}$  I_{B1} abd I_{B2} mesured with Tektronix probe P 6021 and Amplifier type 134
 I_{B1} et I_{B2} sont mesurés avec une sonde Tektronix P 6021 et Amplificateur type 134

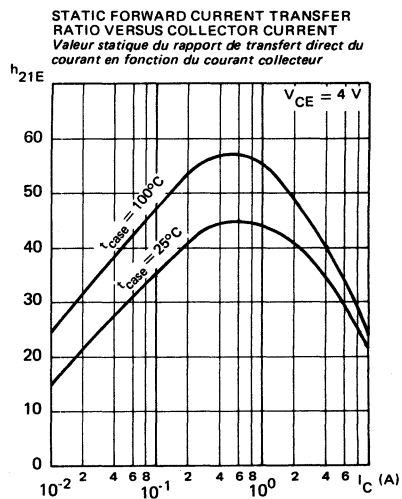
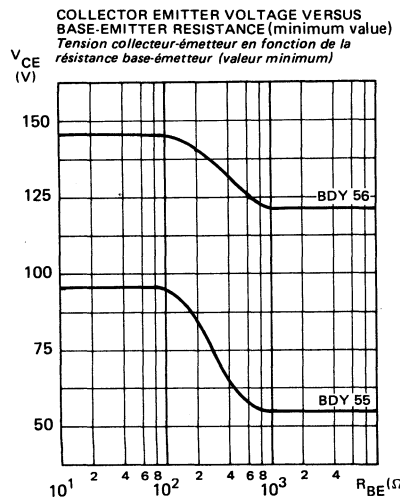
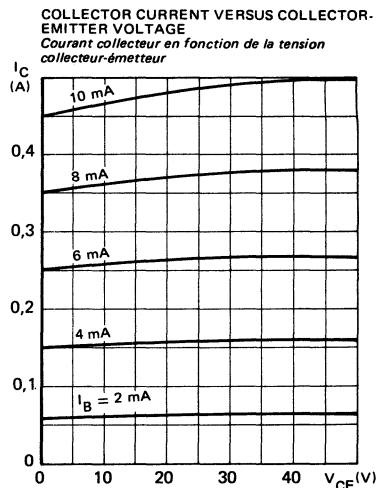
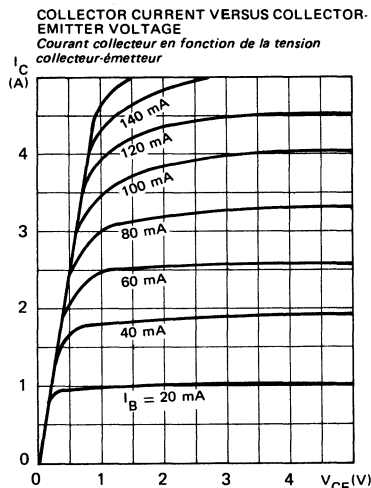
SAFE OPERATING AREA
AIRE DE SECURITE



TYPICAL CHARACTERISTICS
CARACTÉRISTIQUES TYPIQUES



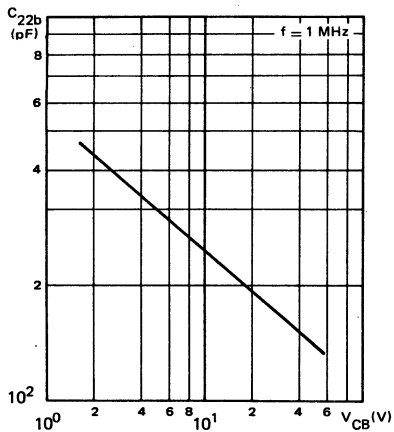
TYPICAL CHARACTERISTICS
CARACTÉRISTIQUES TYPHIQUES



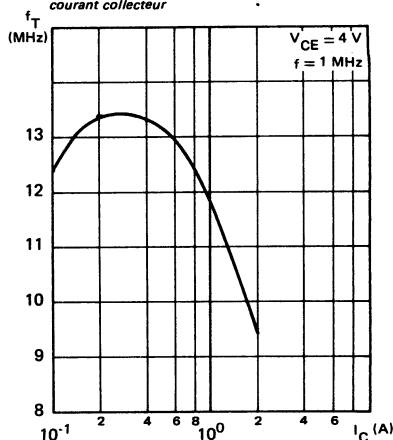


TYPICAL CHARACTERISTICS
CARACTÉRISTIQUES TYPHIQUES

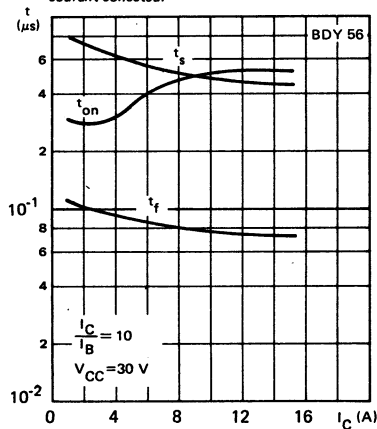
OUTPUT CAPACITANCE VERSUS
COLLECTOR-BASE VOLTAGE
*Capacité de sortie en fonction de la
tension collecteur-base*



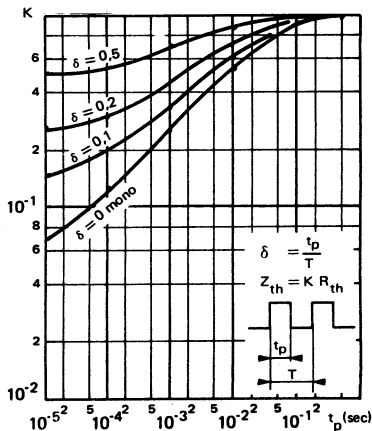
TRANSITION FREQUENCY VERSUS
COLLECTOR CURRENT
*Fréquence de transition en fonction du
courant collecteur*



SWITCHING TIMES VERSUS COLLECTOR
CURRENT
*Temps de commutation en fonction du
courant collecteur*



TRANSIENT THERMAL RESISTANCE DERATING
FACTOR UNDER PULSES CONDITIONS
*Facteur de réduction de la résistance thermique en
régime d'impulsions*



LF large signal power amplification

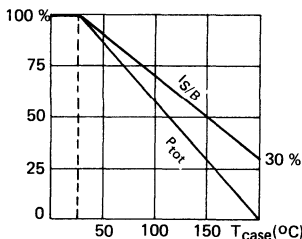
Amplification BF grands signaux de puissance

High current fast switching

Commutation rapide fort courant

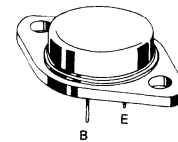
Dissipation and I_S/B derating

Variation de dissipation et de I_S/B



| | | |
|--------------------------|--------|--------|
| V _{CEO} | 80 V | BDY 57 |
| | 125 V | BDY 58 |
| I _C | 25 A | |
| P _{tot} | 175 W | |
| R _{th(j-c)} | 1 °C/W | max |
| h _{21E} (10 A) | 20-60 | |
| f _T | 7 MHz | min |

Case TO 3 (CB 19)
Boîtier



ABSOLUTE RATINGS (LIMITING VALUES)
VALEURS LIMITES ABSOLUES D'UTILISATION

| | | BDY 57 | BDY 58 | |
|---|-------------------------|------------------------------------|-------------------|---------------|
| Collector-base voltage <i>Tension collecteur-base</i> | V _{CBO} | 120 | 160 | V |
| Collector-emitter voltage <i>Tension collecteur-émetteur</i> | V _{CEO} | 80 | 125 | V |
| Emitter-base voltage <i>Tension émetteur-base</i> | V _{EBO} | 10 | 10 | V |
| Collector current <i>Courant collecteur</i> | I _C | 25 | 25 | A |
| Base current <i>Courant base</i> | I _B | 6 | 6 | A |
| Power dissipation <i>Dissipation de puissance</i> | T _{case} 25 °C | P _{tot} | 175 | W |
| Storage and junction temperature <i>Température de jonction et de stockage</i> | max | t _j T _{stg} | 200 - 65 + 200 | - 65 + 200 °C |

| Junction-case thermal resistance <i>Résistance thermique jonction-boîtier</i> | max | R _{th(j-c)} | 1 | 1 °C/W |
|--|-----|----------------------|---|--------|
| | | | | |

STATIC CHARACTERISTICS
CARACTÉRISTIQUES STATIQUES

 $T_{case} = 25^\circ C$ (Unless otherwise stated)
(Sauf indications contraires)

| | Test conditions <i>Conditions de mesure</i> | | | min | typ | max | |
|---|---|-----------------|------------------|------------|-----|-----|----|
| Collector-base cut-off current <i>Courant résiduel collecteur-base</i> | $V_{CB} = 120 V$ $I_E = 0$ | I_{CBO} | | | 0,5 | 1 | mA |
| Collector-emitter cut-off current <i>Courant résiduel collecteur-émetteur</i> | $V_{CE} = 80 V$ $R_{BE} = 10 \Omega$ $T_{case} = 100^\circ C$ | I_{CER} | | | | 10 | mA |
| Emitter-base cut-off current <i>Courant résiduel émetteur-base</i> | $V_{EB} = 10 V$ $I_C = 0$ | I_{EBO} | | | 0,5 | | mA |
| Collector-emitter breakdown voltage <i>Tension de claquage collecteur-émetteur</i> | $I_C = 100 mA$ $I_B = 0$ | V_{CEOsus}^* | BDY 57 BDY 58 | 80 125 | | | V |
| Collector-base breakdown voltage <i>Tension de claquage collecteur-base</i> | $I_C = 5 mA$ $I_E = 0$ | $V_{(BR)CBO}^*$ | BDY 57 BDY 58 | 120 160 | | | V |
| Emitter-base breakdown voltage <i>Tension de claquage émetteur-base</i> | $I_E = 5 mA$ $I_C = 0$ | $V_{(BR)EBO}^*$ | | 10 | | | V |
| Static forward current transfer ratio <i>Valeur statique du rapport de transfert direct du courant</i> | $V_{CE} = 4 V$ $I_C = 10 A$ | h_{21E}^* | | 20 | | 60 | |
| | $V_{CE} = 4 V$ $I_C = 20 A$ | | | | 15 | | |
| | $V_{CE} = 4 V$ $I_C = 10 A$ $T_{case} = -30^\circ C$ | | | 10 | | | |
| | | | | | | | |
| Collector-emitter saturation voltage <i>Tension de saturation collecteur-émetteur</i> | $I_C = 10 A$ $I_B = 1 A$ | V_{CEsat}^* | | | 0,5 | 1,4 | V |
| Base-emitter saturation voltage <i>Tension de saturation base-émetteur</i> | $I_C = 10 A$ $I_B = 1 A$ | V_{BEsat}^* | | | 1,4 | 2 | V |

DYNAMIC CHARACTERISTICS (for small signals)**CARACTÉRISTIQUES DYNAMIQUES (pour petits signaux)**

* Pulsed

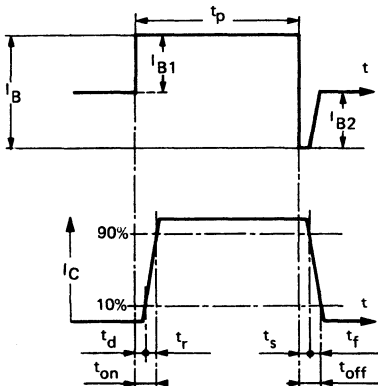
Impulsions

 $t_p = 300 \mu s$ $\delta \leq 2\%$

| | | | | | | | |
|--|---|-------------|--|---|------|---|---------|
| Transition frequency <i>Fréquence de transition</i> | $V_{CE} = 15 V$ $I_C = 1 A$ $f = 10 MHz$ | f_T | | 7 | | | MHz |
| Turn-on time <i>Temps total d'établissement</i> | $I_C = 15 A$ $I_B = 1,5 A$ | $t_d + t_r$ | | | 0,25 | 1 | μs |
| Turn-off time <i>Temps total de coupure</i> | $I_C = 15 A$ $I_B1 = 1,5 A$ $I_B2 = -1,5 A$ | $t_s + t_f$ | | | 1 | 2 | μs |

SWITCHING TIMES TEST CIRCUITS (and oscilloscopes)

CIRCUITS DE MESURE DES TEMPS DE COMMUTATION (et oscilloscopes)

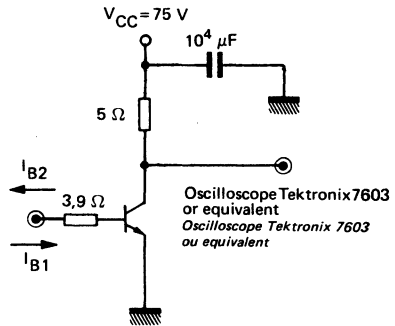


R_C - R_B : non inductive resistances
 t_p : Pulse width = 10 μ s

Form factor $\leq 1\%$
 Rise and pulse time ≤ 50 ns

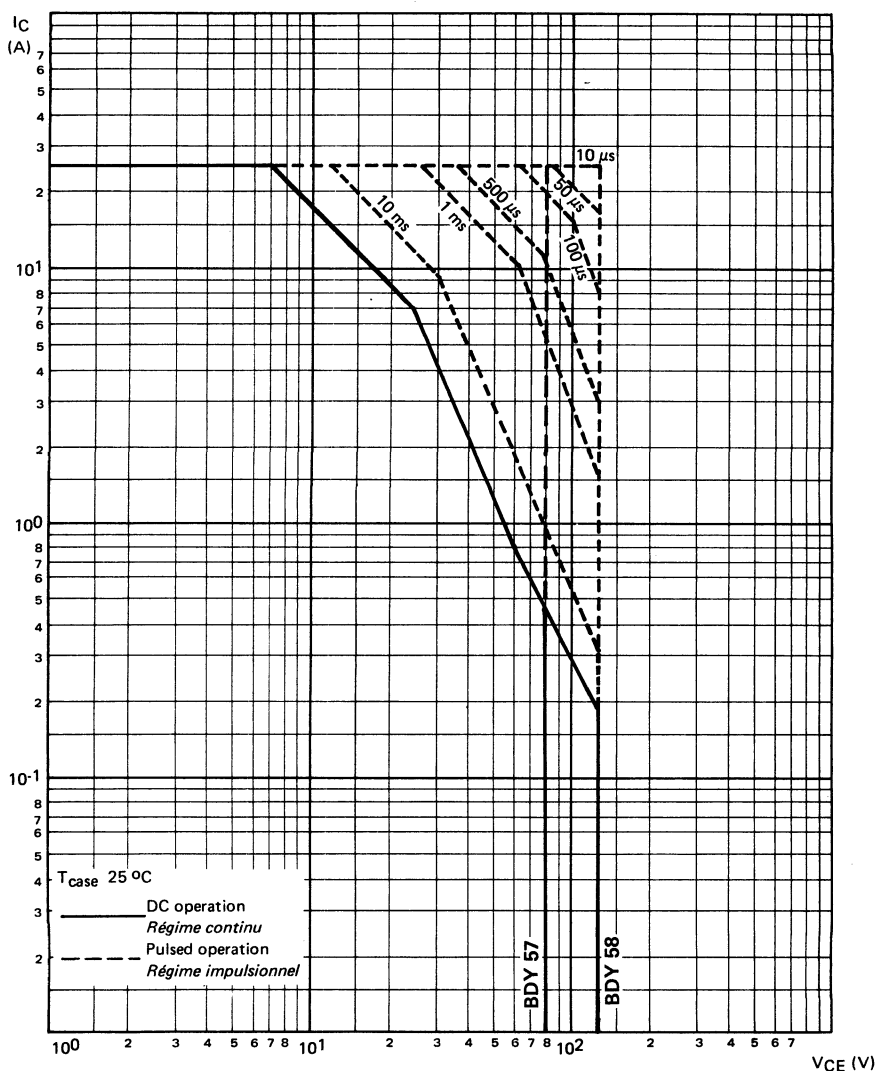
R_C - R_B : résistances non inductives

t_p : Largeur d'impulsion = 10 μ s
 Facteur de forme $\leq 1\%$
 Temps de montée et descente ≤ 50 ns



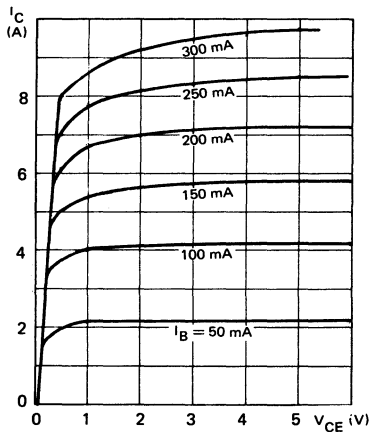
I_{B1} and I_{B2} measured with Tektronix probe P 6021 and Amplifier type 134

I_{B1} et I_{B2} sont mesurés avec une sonde Tektronix P 6021 et Amplificateur type 134

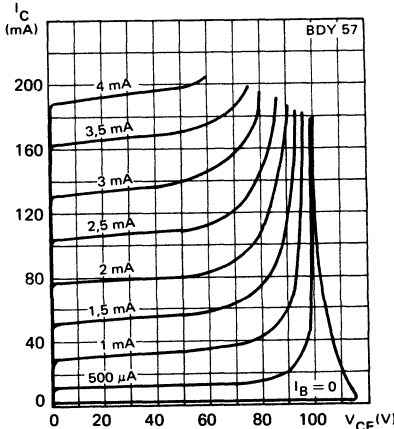
SAFE OPERATING AREA
AIRE DE SECURITE

TYPICAL CHARACTERISTICS
CARACTÉRISTIQUES TYPIQUES

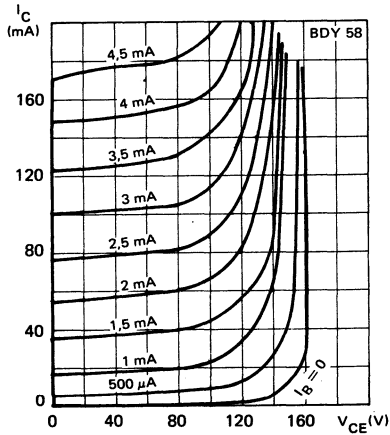
COLLECTOR CURRENT VERSUS COLLECTOR-
 Emitter Voltage
*Courant collecteur en fonction de la tension
 collecteur-émetteur*



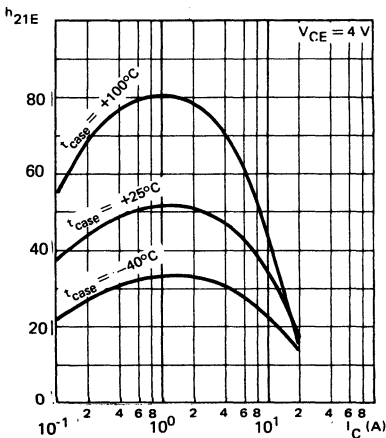
COLLECTOR CURRENT VERSUS COLLECTOR-
 Emitter Voltage
*Courant collecteur en fonction de la tension
 collecteur-émetteur*



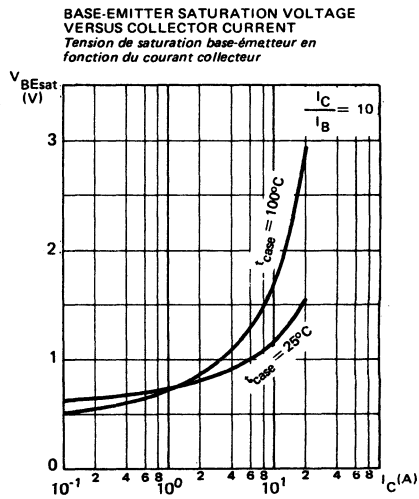
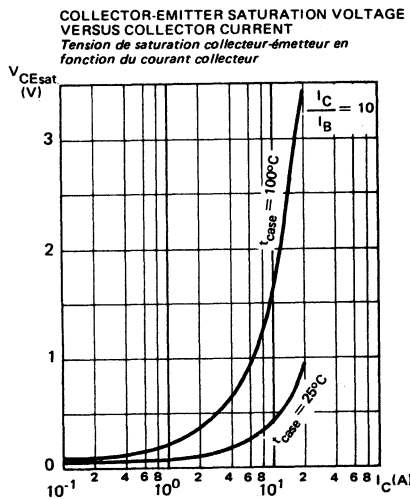
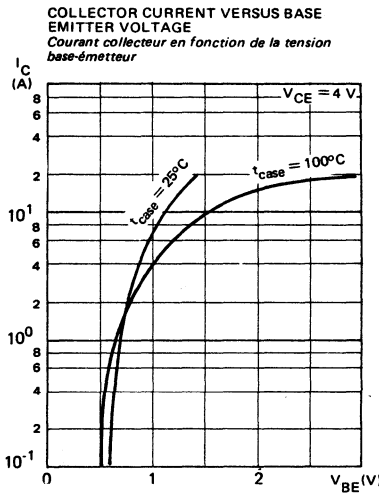
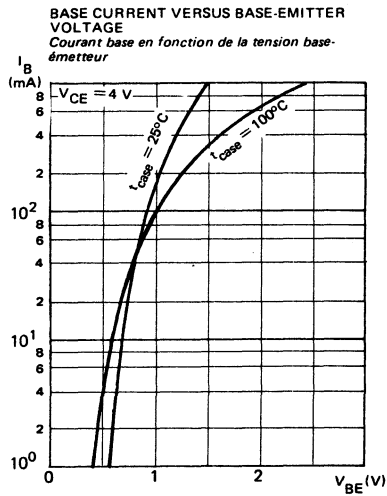
COLLECTOR CURRENT VERSUS COLLECTOR-
 Emitter Voltage
*Courant collecteur en fonction de la tension
 collecteur-émetteur*



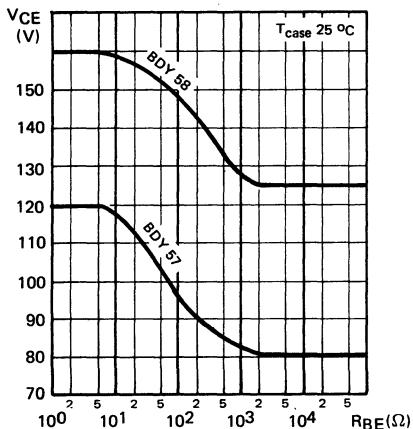
STATIC FORWARD CURRENT TRANSFER
 RATIO VERSUS COLLECTOR CURRENT
*Valeur statique du rapport de transfert direct du
 courant en fonction du courant collecteur*



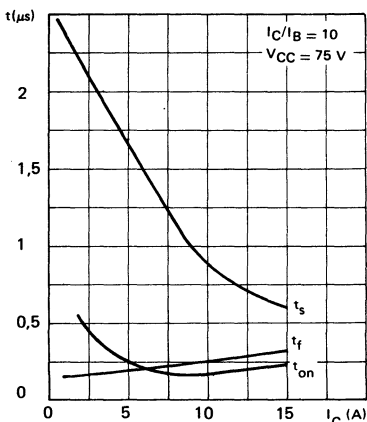
TYPICAL CHARACTERISTICS
CARACTÉRISTIQUES TYPIQUES



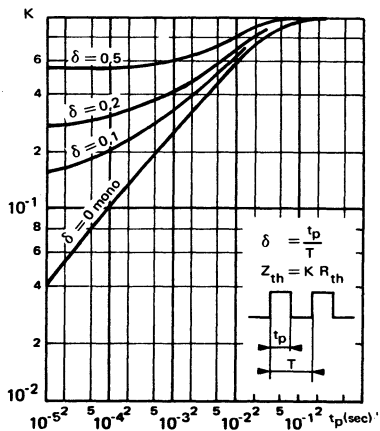
COLLECTOR Emitter VOLTAGE VERSUS
BASE-EMITTER RESISTANCE (minimum value)
*Tension collecteur-émetteur en fonction de la
résistance base-émetteur (valeur minimum)*



SWITCHING TIMES VERSUS COLLECTOR CURRENT
Temps de commutation en fonction du courant collecteur



TRANSIENT THERMAL RESISTANCE DERATING FACTOR UNDER PULSES CONDITIONS
Facteur de réduction de la résistance thermique en régime d'impulsions



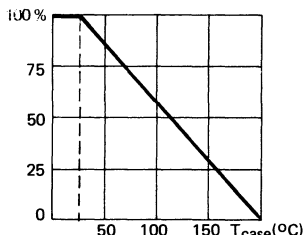
BDY 78 - BDY 79

NPN SILICON TRANSISTORS, TRIPLE DIFFUSED MESA
TRANSISTORS NPN SILICIUM, MESA TRIPLE DIFFUSÉ

LF large signal power amplification
Amplification BF grands signaux de puissance

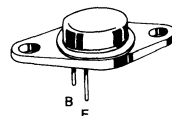
Switching application
Application en commutation

Dissipation derating
Variation de dissipation



| | | |
|--------------------------|---------------|------------------|
| V _{CBO} | 55 V 120 V | BDY 78 BDY 79 |
| I _C | 4 A | |
| P _{tot} | 25 W | |
| R _{th(j-c)} | 7 °C/W | max |
| h _{21E} (0,5 A) | 25 - 100 | |
| f _T | 8 MHz | min |

Case TO 66 (CB 72)
Boîtier



ABSOLUTE RATINGS (LIMITING VALUES)
VALEURS LIMITES ABSOLUES D'UTILISATION

| | | BDY 78 | BDY 79 | |
|---|-------------------------|------------------------------------|-------------------|----|
| Collector-base voltage <i>Tension collecteur-base</i> | V _{CBO} | 90 | 150 | V |
| Collector-emitter voltage <i>Tension collecteur-émetteur</i> | V _{CEO} | 55 | 120 | V |
| Collector-emitter voltage <i>Tension collecteur-émetteur</i> | V _{CEX} | 90 | 150 | V |
| Emitter-base voltage <i>Tension émetteur-base</i> | V _{EBO} | 7 | 7 | V |
| Collector current <i>Courant collecteur</i> | I _C | 4 | 4 | A |
| Base current <i>Courant base</i> | I _B | 2 | 2 | A |
| Power dissipation <i>Dissipation de puissance</i> | T _{case} 25 °C | P _{tot} | 25 | W |
| Storage and junction temperature <i>Température de jonction et de stockage</i> | max | T _j T _{stg} | 200 - 65 + 200 | °C |

| Junction-case thermal resistance <i>Résistance thermique jonction-boîtier</i> | max | R _{th(j-c)} | 7 | 7 | °C/W |
|--|-----|----------------------|---|---|------|
| | | | | | |

STATIC CHARACTERISTICS
CARACTÉRISTIQUES STATIQUES
 $T_{case} = 25^\circ C$ (Unless otherwise stated)
(Sauf indications contraires)

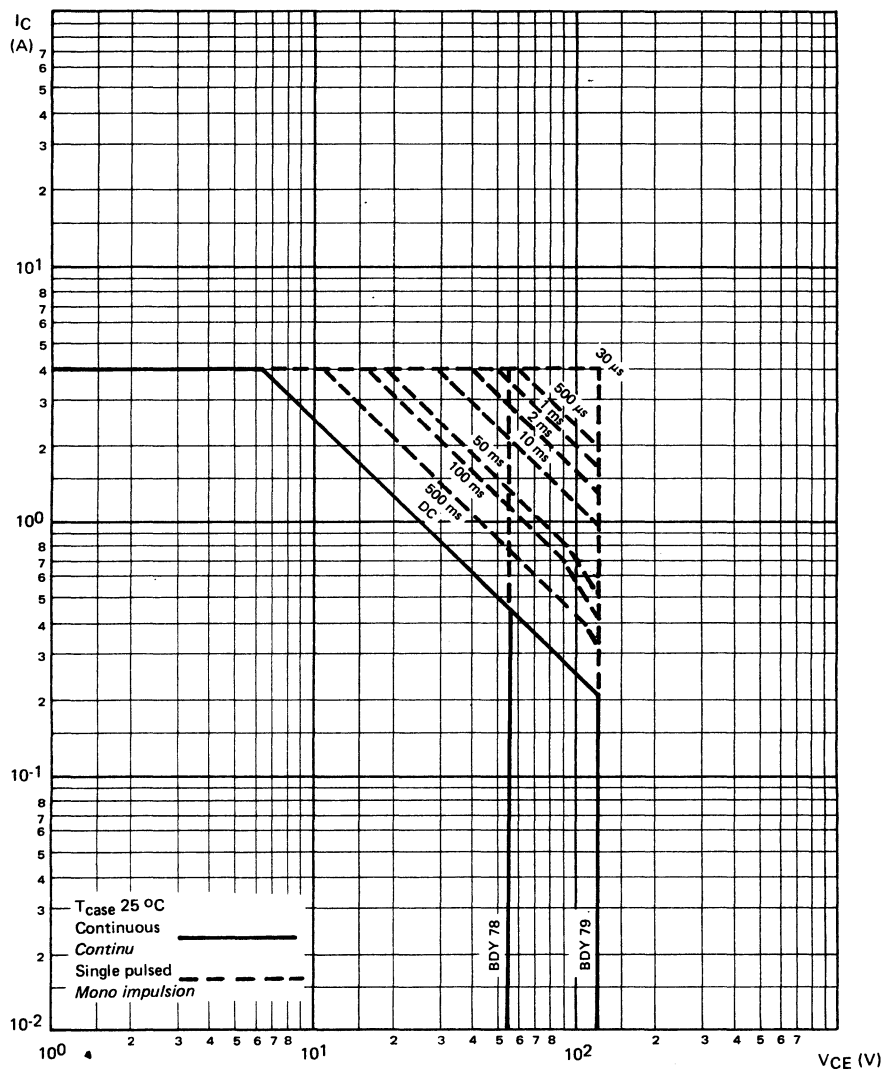
| | Test conditions Conditions de mesure | | | min | typ | max | |
|---|---|-----------------|------------------|-----------|-----|-----|----|
| Collector-emitter cut-off current <i>Courant résiduel collecteur-émetteur</i> | $V_{CE} = 90 \text{ V}$ $V_{BE} = -1,5 \text{ V}$ | I_{CEX} | BDY 78 | | | 1 | mA |
| | $V_{CE} = 90 \text{ V}$ $V_{BE} = -1,5 \text{ V}$ $T_{case} = 150^\circ C$ | | | | | 5 | |
| | $V_{CE} = 150 \text{ V}$ $V_{BE} = -1,5 \text{ V}$ | I_{EBO} | BDY 79 | | | 1 | |
| | $V_{CE} = 150 \text{ V}$ $V_{BE} = -1,5 \text{ V}$ $T_{case} = 150^\circ C$ | | | | | 5 | |
| Emitter-base cut-off current <i>Courant résiduel émetteur-base</i> | $V_{EB} = 7 \text{ V}$ $I_C = 0$ | I_{EBO} | | | | 1 | mA |
| Collector-emitter breakdown voltage <i>Tension de claquage collecteur-émetteur</i> | $I_C = 100 \text{ mA}$ $I_B = 0$ | $V_{(BR)CEO}^*$ | BDY 78 BDY 79 | 55 120 | | | V |
| Collector-base breakdown voltage <i>Tension de claquage collecteur-base</i> | $I_C = 1 \text{ mA}$ $I_E = 0$ | $V_{(BR)CBO}^*$ | BDY 78 BDY 79 | 90 150 | | | V |
| Static forward current transfer ratio <i>Valeur statique du rapport de transfert direct du courant</i> | $V_{CE} = 4 \text{ V}$ $I_C = 0,5 \text{ A}$ | h_{21E}^* | | 25 | | 100 | |
| | $V_{CE} = 4 \text{ V}$ $I_C = 3 \text{ A}$ | | | 5 | | | |
| Collector-emitter saturation voltage <i>Tension de saturation collecteur-émetteur</i> | $I_C = 0,5 \text{ A}$ $I_B = 0,05 \text{ A}$ | V_{CEsat}^* | | | | 1 | V |
| | $I_C = 3 \text{ A}$ $I_B = 1 \text{ A}$ | | | | | 3 | |
| Base-emitter voltage <i>Tension base-émetteur</i> | $V_{CE} = 4 \text{ V}$ $I_C = 0,5 \text{ A}$ | V_{BE}^* | | | | 2 | V |

DYNAMIC CHARACTERISTICS (for small signals)**CARACTÉRISTIQUES DYNAMIQUES (pour petits signaux)**

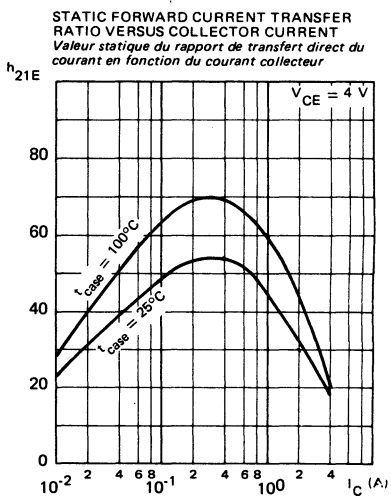
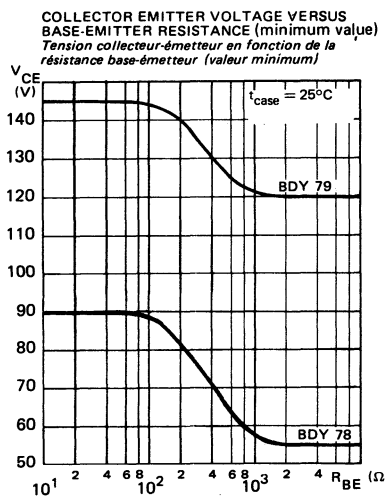
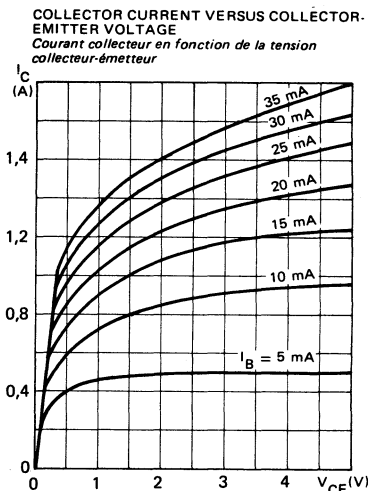
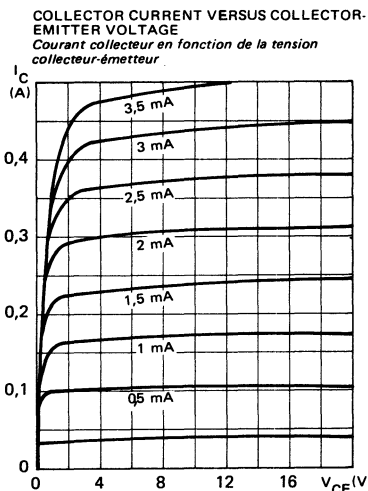
| | | | | | | | |
|--|--|-------|--|---|--|--|-----|
| Transition frequency <i>Fréquence de transition</i> | $V_{CE} = 10 \text{ V}$ $I_C = 0,2 \text{ A}$ | f_T | | 8 | | | MHz |
|--|--|-------|--|---|--|--|-----|

* Pulsed
Impulsions $t_p = 300 \mu\text{s}$ $\delta \leq 2 \%$

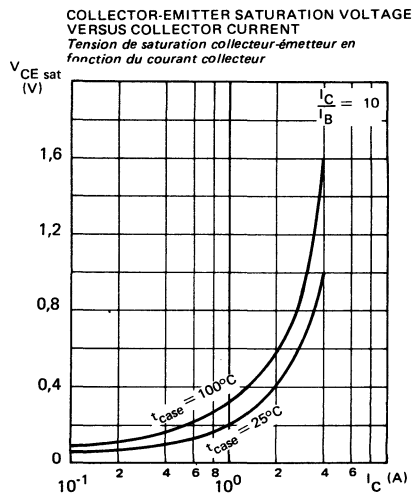
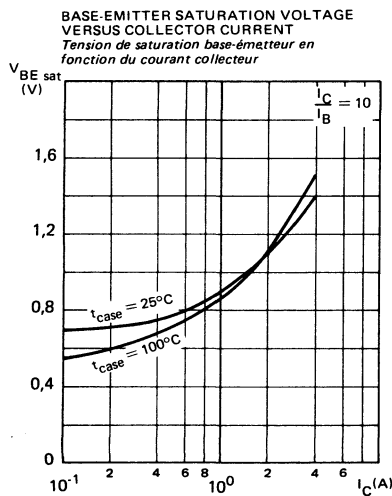
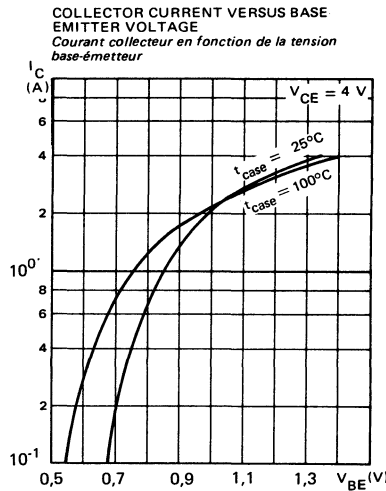
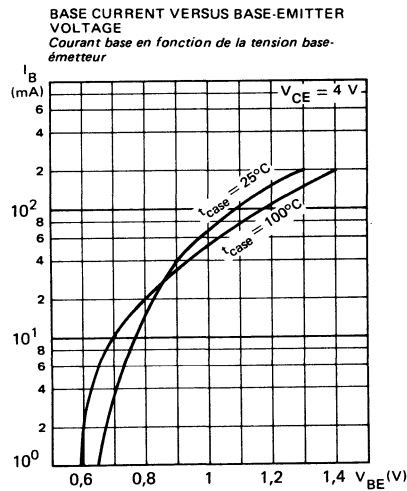
SAFE OPERATING AREA
AIRE DE SECURITE



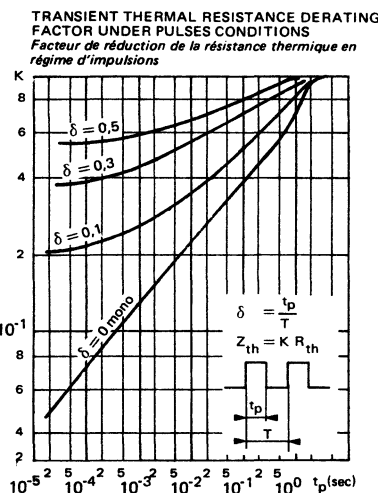
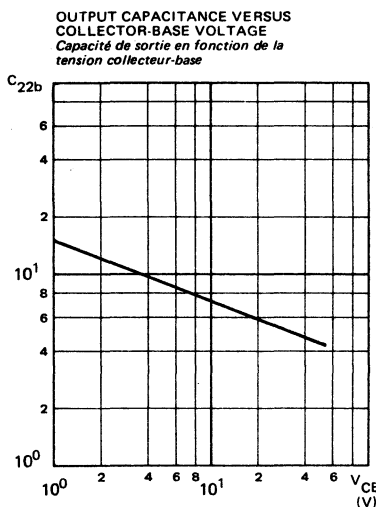
TYPICAL CHARACTERISTICS
CARACTÉRISTIQUES TYPIQUES



TYPICAL CHARACTERISTICS
CARACTÉRISTIQUES TYPHIQUES



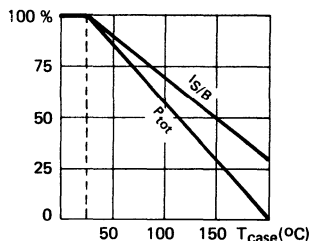
TYPICAL CHARACTERISTICS
CARACTÉRISTIQUES TYPIQUES



High voltage transistors, primarily intended for use in horizontal deflection output stage of black and white TV receivers fitted with 110 ° picture tube.

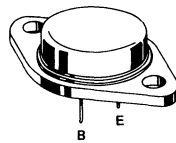
Transistors rapides haute tension particulièrement destinés aux étages de sortie de balayage horizontal des téléviseurs noir et blanc 110 °

Dissipation and I_S/B derating
Variation de dissipation et de I_S/B



| | | |
|------------------------|-----------------------|------------------|
| V _{CEX} | { 400 V 330 V | BU 104 BU 109 |
| I _C | { 7 A 10 A | BU 104 BU 109 |
| P _{tot} | 85 W | |
| R _{th(j-c)} | 2 °C/W | |
| h _{21E} (5 A) | { 10 - 50 15 - min | BU 104 BU 109 |
| t _f | 1 µs | max |

Case
Boîtier TO 3 (CB 19)



ABSOLUTE RATINGS (LIMITING VALUES)
VALEURS LIMITES ABSOLUES D'UTILISATION

| | | BU 104 | BU 109 | |
|---|------------------------------------|---------------------|---------------------|----|
| Collector-base voltage <i>Tension collecteur-base</i> | V _{CBO} | 400 | 330 | V |
| Collector-emitter voltage <i>Tension collecteur-émetteur</i> | V _{CEO} | 150 | 120 | V |
| Collector-emitter voltage <i>Tension collecteur-émetteur</i> | V _{CEX} | 400 | 330 | V |
| Emitter-base voltage <i>Tension émetteur-base</i> | V _{EBO} | 10 | 10 | V |
| Collector current <i>Courant collecteur</i> | I _C | 7 | 10 | A |
| Base current <i>Courant base</i> | I _{CM} | 15 | 15 | A |
| Power dissipation <i>Dissipation de puissance</i> | P _{tot} | 85 | 85 | W |
| Storage and junction temperature max <i>Température de jonction et de stockage</i> | t _j T _{stg} | - 200 - 65 + 200 | - 200 - 65 + 200 | °C |

Junction-case thermal resistance
R_{th(j-c)}^{max}

R_{th(j-c)}

2

2

°C/W

ELECTRICAL CHARACTERISTICS - CARACTÉRISTIQUES ÉLECTRIQUES **

| SYMBOL | Min | Typ | Max | UNIT | | TEST CONDITIONS - CONDITIONS DE MESURE |
|--------|-----|-----|-----|------|--|--|
|--------|-----|-----|-----|------|--|--|

OFF CHARACTERISTICS - CARACTÉRISTIQUES A L'ÉTAT BLOQUÉ

| | | | | | | |
|---------------|-----|--|--------|----|------------------|--|
| V_{CEOus} * | 120 | | | V | | $I_B = 0, I_C = 50 \text{ mA}$ |
| I_{CEX} | | | 1 1 | mA | BU 104 BU 109 | $V_{CE} = 400 \text{ V}, V_{BE} = -5 \text{ V}$ $V_{CE} = 330 \text{ V}, V_{BE} = -5 \text{ V}$ |
| I_{CBO} | | | 0,5 | mA | | $V_{CB} = 250 \text{ V}, I_E = 0$ |
| I_{EBO} | | | 10 | mA | | $I_C = 0, V_{EB} = 10 \text{ V}$ |

ON CHARACTERISTICS - CARACTÉRISTIQUES A L'ÉTAT BLOQUÉ

| | | | | | | |
|-----------------|----|----------|--|--------|--|--|
| V_{CEset} * | | 2,5 2 | | V | BU 104 BU 109 | $I_C = 7 \text{ A}, I_B = 1 \text{ A}$ |
| V_{BESet} * | | 2,5 2 | | V | BU 104 BU 109 | $I_C = 7 \text{ A}, I_B = 1 \text{ A}$ |
| β_{21E} * | 10 | 50 | | BU 104 | $V_{CE} = 1,75 \text{ V}, I_C = 5 \text{ A}$ | |
| | 15 | | | BU 109 | $V_{CE} = 1,5 \text{ V}, I_C = 5 \text{ A}$ | |
| | 15 | | | BU 104 | $V_{CE} = 4 \text{ V}, I_C = 7 \text{ A}$ | |
| | 20 | | | BU 109 | | |

DYNAMIC CHARACTERISTICS - CARACTÉRISTIQUES DYNAMIQUES

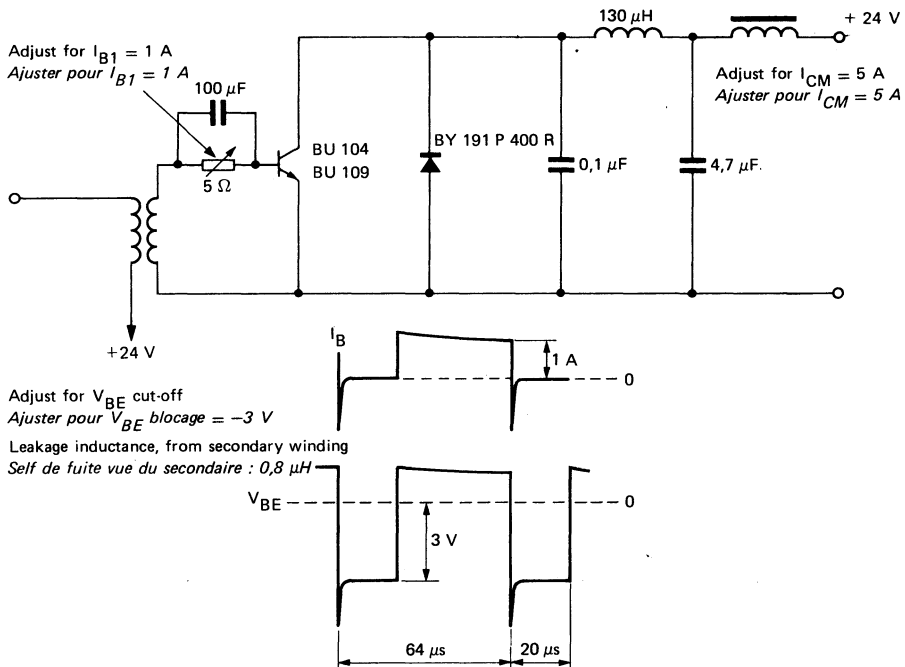
| | | | | | | |
|-------|--|----|--|-----|--|--|
| f_T | | 10 | | MHz | | $V_{CE} = 10 \text{ V}, I_C = 0,5 \text{ A}, f = 10 \text{ MHz}$ |
|-------|--|----|--|-----|--|--|

SWITCHING CHARACTERISTICS - CARACTÉRISTIQUES DE COMMUTATION

| | | | | | | |
|-------|--|---|---------------|--|--|---|
| t_f | | 1 | μs | | | $I_C = 5 \text{ A}, I_{B1} = 1 \text{ A}, V_{BE2} = -3 \text{ V}$ |
|-------|--|---|---------------|--|--|---|

* Pulses - Impulsions $t_p = 300 \mu\text{s}, \delta \leq 2 \%$ ** $T_{case} = 25^\circ\text{C}$ Unless otherwise stated - Sauf indications contraires

CIRCUIT DE MESURE DU TEMPS DE DECROISSANCE
COLLECTOR CURRENT FALL TIME TEST CIRCUIT

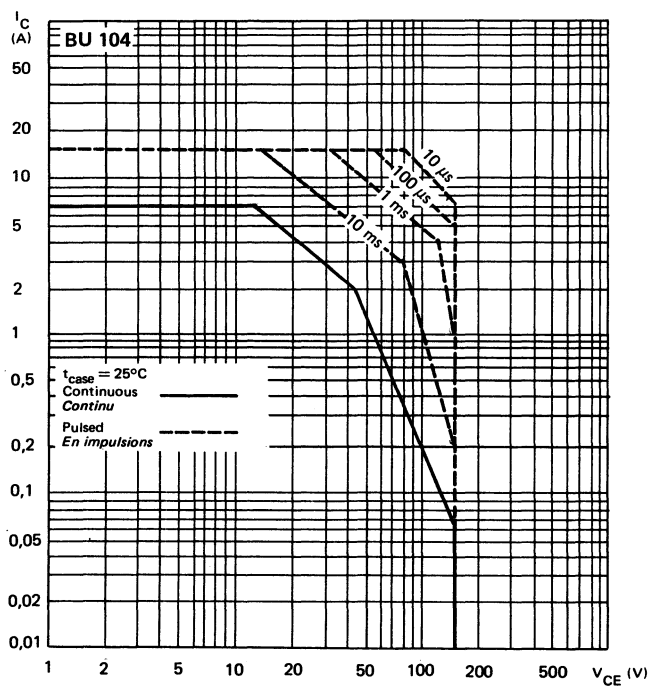
**Driver transformer**

Ferrite core : LTT ref. FN 1034
Core area : 7,7 mm² Air-gap : 0,4 mm
Ratio : $n = 7,7/1$
Primary winding : 200 turns 28/100 wound on 16 mm wide in 4 layers
Secondary winding : 26 turns 55/100 (wound in one layer between the two halves of the primary winding)
Primary resistance : $r = 4 \Omega$
Secondary resistance : $r = 75 \text{ m}\Omega$
Leakage inductance, from secondary winding : 0,8 μH
(if necessary, add an external coil to obtain 0,8 μH).

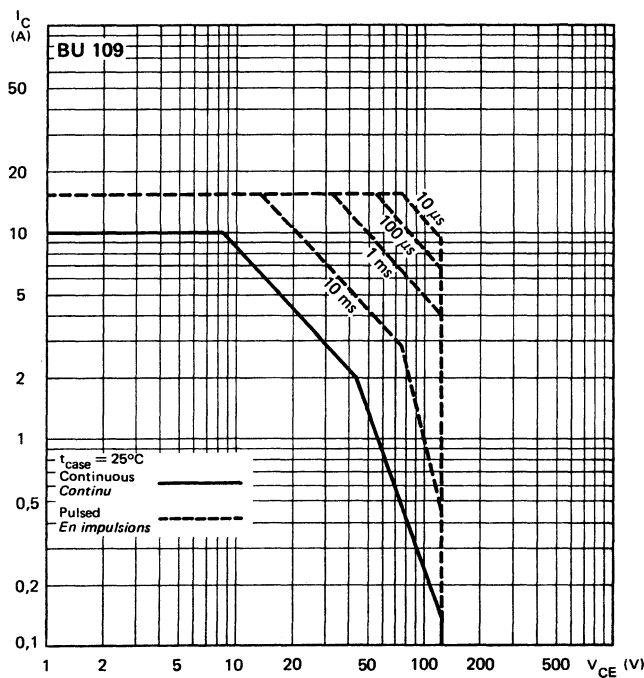
Transfo driver

Noyau ferrite LTT réf. FN 1034
Section : 7x7 mm² Entreferré : 0,4 mm
Rapport : $n = 7,7/1$
Primaire : 200 tours 28/100e en 4 couches bobiné sur 16 mm de large
Secondaire : 26 tours 55/100e (1 couche bobinée entre les 2 moitiés du primaire)
 r primaire : 4Ω
 r secondaire : $75 \text{ m}\Omega$
Self de fuite vue du secondaire : 0,8 μH
(si besoin est, ajouter une self extérieure pour avoir 0,8 μH)

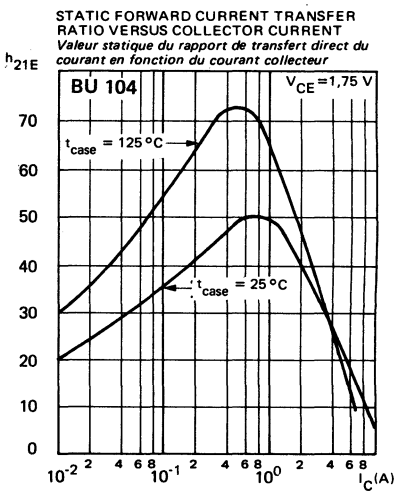
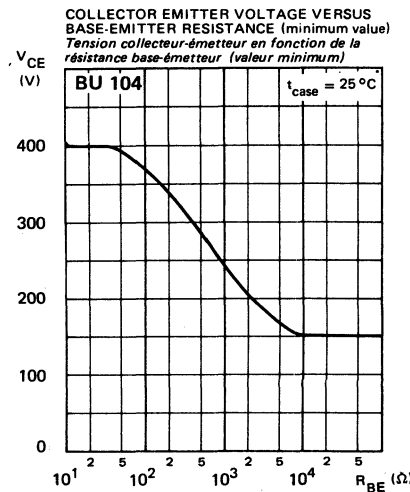
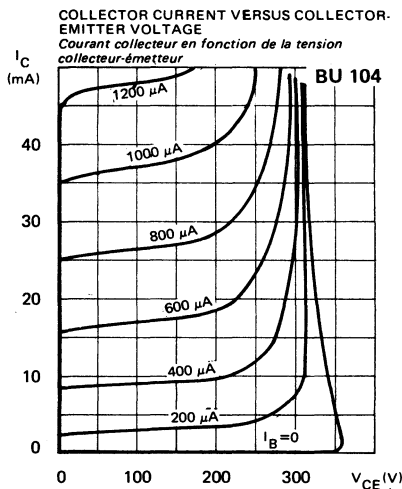
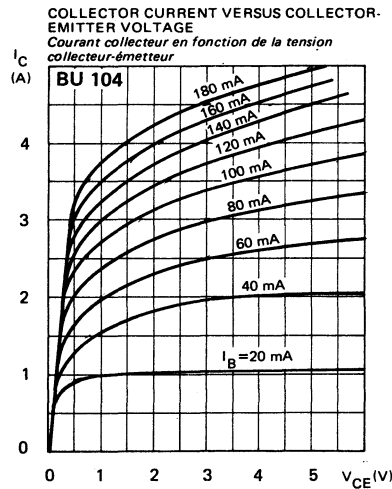
SAFE OPERATING AREA
Aire de fonctionnement de sécurité



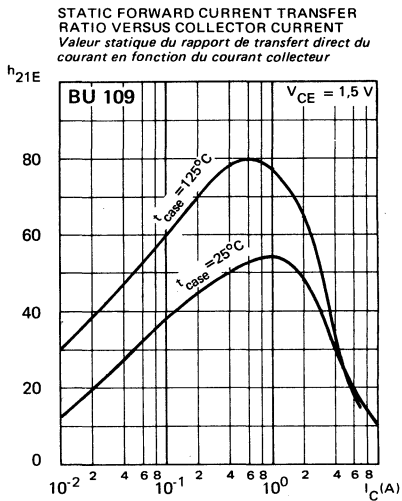
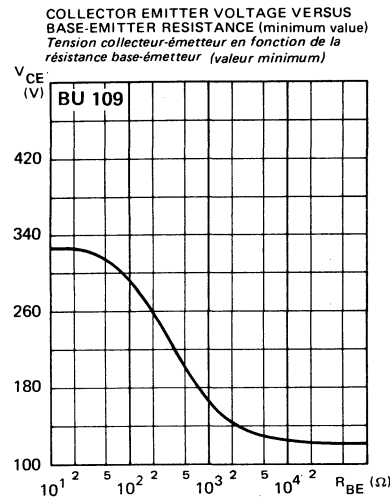
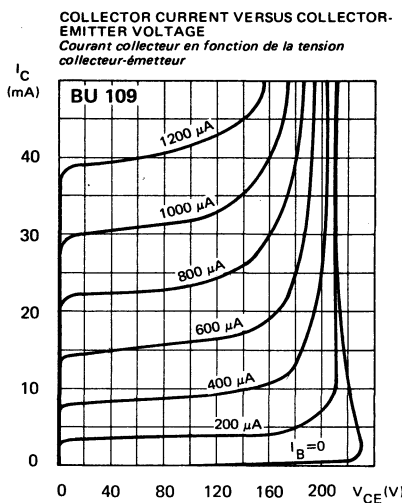
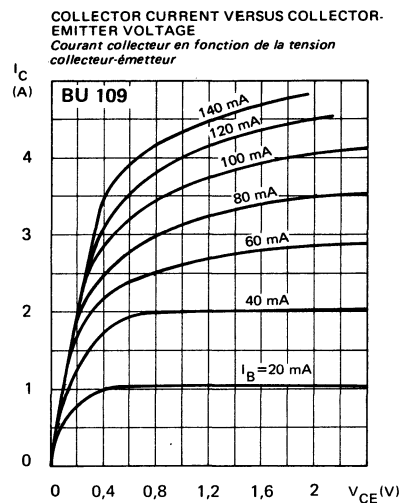
SAFE OPERATING AREA
Aire de fonctionnement de sécurité

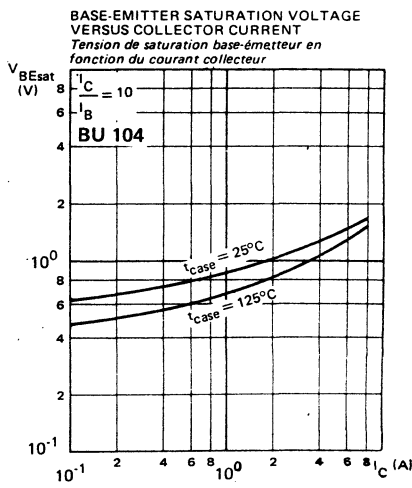
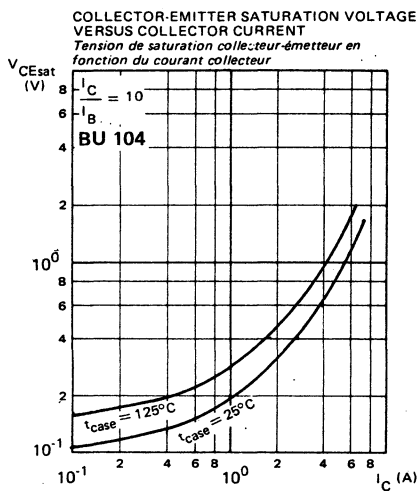
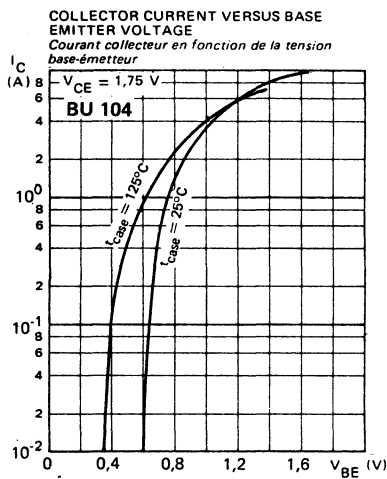
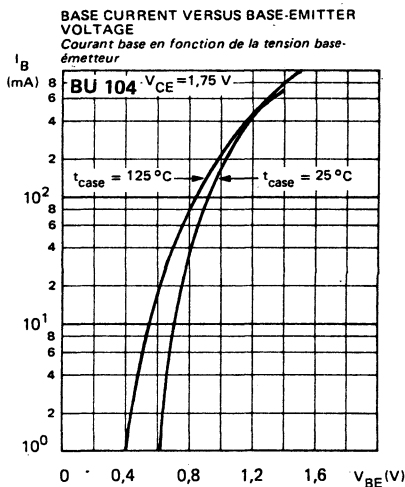


TYPICAL CHARACTERISTICS
CARACTÉRISTIQUES TYPHIQUES

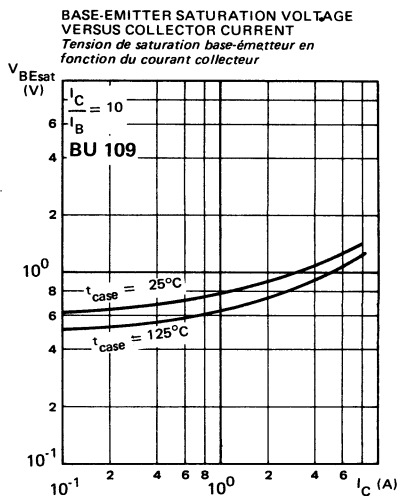
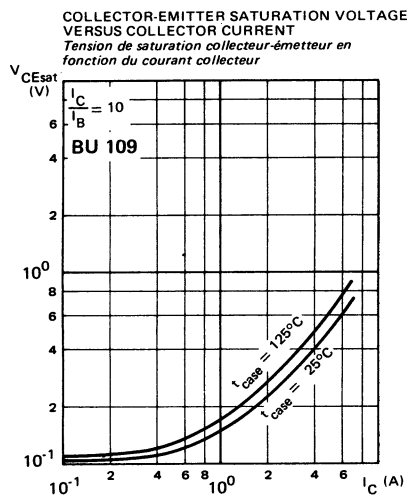
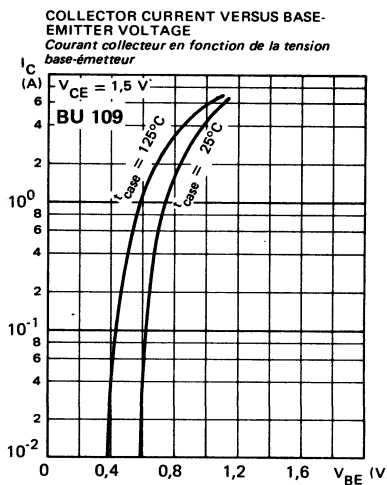
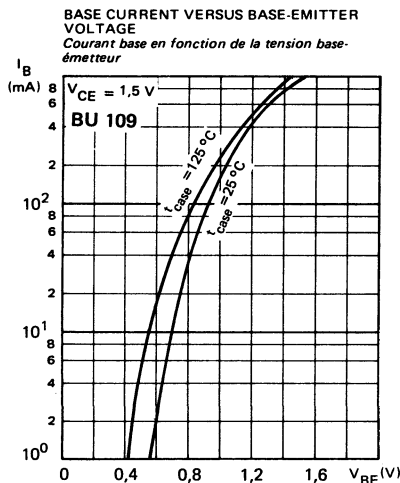


TYPICAL CHARACTERISTICS
CARACTÉRISTIQUES TYPIQUES

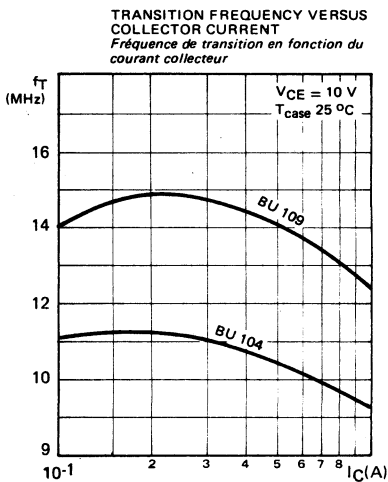
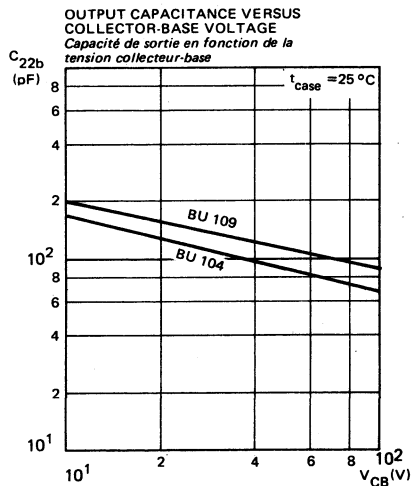




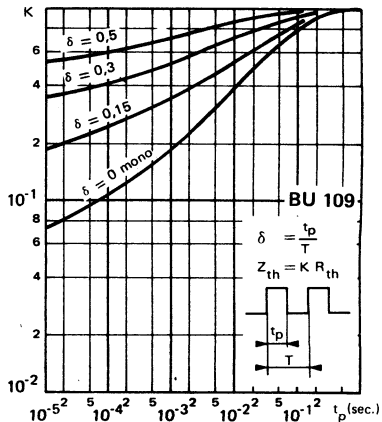
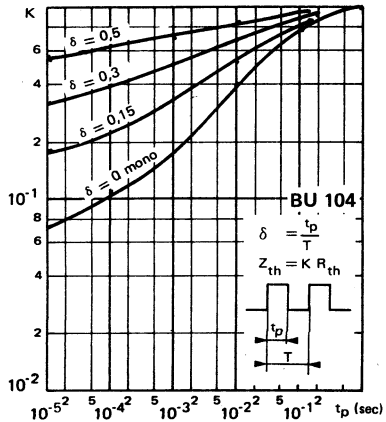
TYPICAL CHARACTERISTICS
CARACTÉRISTIQUES TYPIQUES



TYPICAL CHARACTERISTICS
CARACTÉRISTIQUES TYPIQUES



TRANSIENT THERMAL RESISTANCE DERATING
FACTOR UNDER PULSES CONDITIONS
Facteur de réduction de la résistance thermique en régime d'impulsions

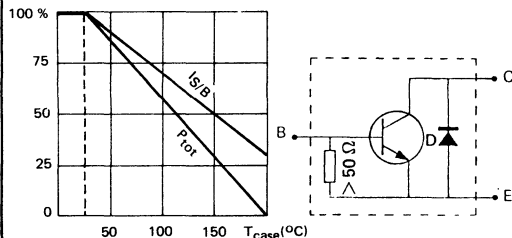


High voltage transistors with integrated damper diode, primarily intended for use in horizontal deflexion output stage of black and white TV receivers fitted with 110 ° picture tube.

Transistors rapides haute tension avec diode damper intégrée, particulièrement destinés aux étages de sortie de balayage horizontal des téléviseurs noir et blanc 110 °.

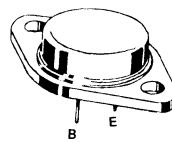
Dissipation and I_S/B derating

Variation de dissipation et de I_S/B



| | | |
|--------------------------|------------------|----------------------|
| V _{CEx} | { 400 V 330 V | BU 104 D BU 109 D |
| I _C | { 7 A 10 A | BU 104 D BU 109 D |
| P _{tot} (25 °C) | 85 W | |
| R _{th(j-c)} | 2 °C/W | |
| t _f (5 A) | ≤ 0,8 µs | |

Case TO 3 (CB 19)
Boîtier



ABSOLUTE RATINGS (LIMITING VALUES)

VALEURS LIMITES ABSOLUES D'UTILISATION

| | | BU 104 D | BU 109 D | | |
|---|---|-------------------|-------------------|-----|---|
| Collector-emitter voltage <i>Tension collecteur-émetteur</i> | V _{CEO} | 150 | 120 | V | |
| Collector-emitter voltage <i>Tension collecteur-émetteur</i> | V _{BE} = -5 V | V _{CEx} | 400 | 330 | V |
| Emitter-base voltage <i>Tension émetteur-base</i> | V _{EBO} | 7 | 7 | V | |
| Collector current <i>Courant collecteur</i> | I _C t _p = 1 ms | 7 15 | 10 15 | A | |
| Base current <i>Courant base</i> | I _B | 3 | 3 | A | |
| Mean forward diode current <i>Courant moyen de la diode</i> | I _O | 3,5 | 5 | A | |
| Repetitive peak forward diode current <i>Courant de pointe répétitif</i> | I _{FRM} t _p = 100 µs | 10 | 10 | A | |
| Power dissipation <i>Dissipation de puissance</i> | P _{tot} T _{case} 25 °C | 85 | 85 | W | |
| Storage and junction temperature <i>Température de jonction et de stockage</i> | t _j T _{stg} | 200 - 55 + 200 | 200 - 55 + 200 | °C | |

| Junction to case transistor thermal resistance <i>Résistance thermique jonction boîtier du transistor</i> | R _{th(j-c)} | 2 | 2 | °C/W |
|--|----------------------|---|---|------|
| Junction to case diode thermal resistance <i>Résistance thermique jonction boîtier de la diode</i> | R _{th(j-c)} | 8 | 8 | °C/W |

STATIC CHARACTERISTICS
CARACTÉRISTIQUES STATIQUES

 $T_{case} = 25^\circ\text{C}$ (Unless otherwise stated)
(Sauf indications contraires)

| | Test conditions <i>Conditions de mesure</i> | | min | typ | max | |
|---|--|---------------|-----|-----|----------|----|
| Collector-base cut-off current <i>Courant résiduel collecteur-base</i> | $I_B = 0$ All types $V_{CE} = 250\text{ V}$ <i>Tous types</i> | I_{CBO} | | | 0,5 | mA |
| Collector-emitter cut-off current <i>Courant résiduel collecteur-émetteur</i> | $V_{BE} = -5\text{ V}$ BU 104 D $V_{CE} = 400\text{ V}$ | I_{CEX} | | | 1 | mA |
| | $V_{BE} = -5\text{ V}$ BU 109 D $V_{CE} = 330\text{ V}$ | | | | 1 | |
| Emitter-base cut-off current <i>Courant résiduel émetteur-base</i> | $I_C = 0$ All types $V_{EB} = 5\text{ V}$ <i>Tous types</i> | I_{EBO} | | | 100 | mA |
| Collector-emitter cut-off current <i>Courant résiduel collecteur-émetteur</i> | $V_{CE} = 150\text{ V}$ BU 104 D $I_B = 0$ | I_{CEO} | | | 1 | mA |
| | $V_{CE} = 120\text{ V}$ BU 109 D $I_B = 0$ | | | | 1 | |
| Static forward current transfer ratio <i>Valeur statique du rapport de transfert direct du courant</i> | $V_{CE} = 2,5\text{ V}$ BU 104 D $I_C = 7\text{ A}$ | h_{21E}^* | 7 | | | V |
| | $V_{CE} = 2\text{ V}$ BU 109 D $I_C = 7\text{ A}$ | | 7 | | | |
| Collector-emitter saturation voltage <i>Tension de saturation collecteur-émetteur</i> | $I_C = 7\text{ A}$ BU 104 D $I_B = 1\text{ A}$ | V_{CEsat}^* | | | 2,5 | V |
| | $I_C = 7\text{ A}$ BU 109 D $I_B = 1\text{ A}$ | | | | 2 | |
| Base-emitter saturation voltage <i>Tension de saturation base-émetteur</i> | $I_C = 7\text{ A}$ All types $I_B = 1\text{ A}$ <i>Tous types</i> | V_{BEsat}^* | | | 2 | V |
| Diode forward voltage <i>Tension directe de la diode</i> | $I_C = 5\text{ A}$ $I_C = 7\text{ A}$ | VF | | | 2 2,4 | V |

*pulsed
 *impulsions $t_p = 300\text{ }\mu\text{s}$ $\delta \leq 2\%$

DYNAMIC CHARACTERISTICS (for small signals)**CARACTÉRISTIQUES DYNAMIQUES (pour petits signaux)**

| | Test conditions Conditions de mesure | | min | typ | max | |
|--|--|-------|-----|-----|-----|---------------|
| Transition frequency <i>Fréquence de transition</i> | $V_{CE} = 10 \text{ V}$ $I_C = 0,5 \text{ A}$ $f = 10 \text{ MHz}$ | f_T | | 10 | | MHz |
| Fall time <i>Temps de décroissance</i> Figure 1 | $I_C = 5 \text{ A}$ $I_B1 = 1 \text{ A}$ $V_{BE2} = -3 \text{ V}$ | t_f | | | 0,8 | μs |

Maximum junction temperature calculation under operating conditions

$$T_j \text{ max} = T_{case} + \Delta T_{j1} + \Delta T_{j2}$$

ΔT_{j1} : rise temperature due to transistor mode operating. ΔT_{j1} is calculated knowing the transistor power dissipation and $R_{th(j-c)} 1 = 2 \text{ }^{\circ}\text{C/W}$

ΔT_{j2} : rise temperature due to diode mode operation. ΔT_{j2} is calculated knowing the diode power dissipation and $R_{th(j-c)} 2 = 8 \text{ }^{\circ}\text{C/W}$

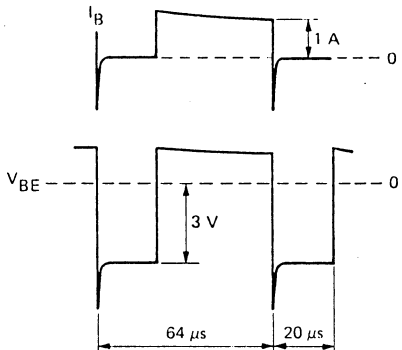
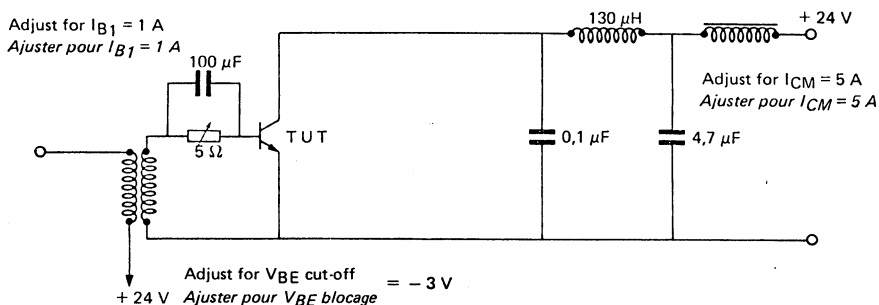
Détermination de la température maximale de jonction atteinte en fonctionnement

$$T_j \text{ max} = T_{case} + \Delta T_{j1} + \Delta T_{j2}$$

ΔT_{j1} : élévation de température due au fonctionnement en transistor. ΔT_{j1} se calcule à partir de la puissance dissipée en fonctionnement transistor avec $R_{th(j-c)} 1 = 2 \text{ }^{\circ}\text{C/W}$

ΔT_{j2} : élévation de température due au fonctionnement en diode. ΔT_{j2} se calcule à partir de la puissance dissipée en fonctionnement diode avec $R_{th(j-c)} 2 = 8 \text{ }^{\circ}\text{C/W}$

FIGURE 1
COLLECTOR CURRENT FALL TIME TEST CIRCUIT
CIRCUIT DE MESURE DU TEMPS DE DÉCROISSANCE

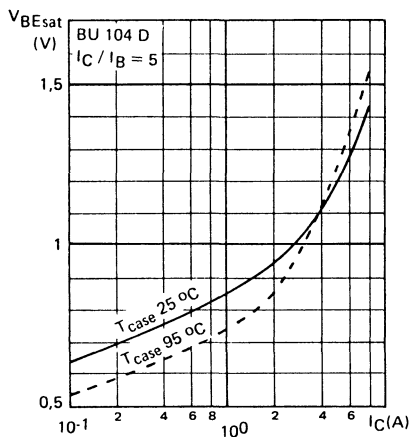
**DRIVER TRANSFORMER**

Ferrite core LTT FN 1034
 Area $7 \times 7 \text{ mm}^2$, air gap 0,4 mm, ratio $n = 7,7/1$
 Primary 200 turns 28/100 (4 layers of 16 mm)
 Secondary 26 turns 55/100. One layer within the two sections of primary
 R primary 4Ω – R secondary $75 \text{ m}\Omega$
 Leakage inductance referred to secondary $0,8 \mu\text{H}$
 (If necessary, add an external coil to obtain $0,8 \mu\text{H}$).

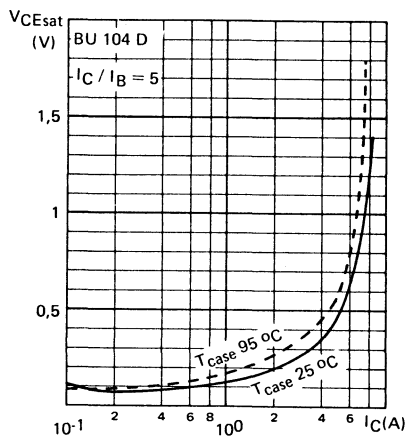
TRANSFORMATEUR DRIVER

Noyau ferrite LTT FN 1034
 Section $7 \times 7 \text{ mm}^2$, entrefer 0,4 mm, rapport $n = 7,7/1$
 Primaire : 200 tours 28/100 en 4 couches de 16 mm
 Secondaire : 26 tours 55/100. Une couche entre les deux moitiés du primaire.
 R primaire 4Ω – R secondaire $75 \text{ m}\Omega$
 Inductance de fuite ramenée au secondaire $0,8 \mu\text{H}$
 (Si besoin est, ajouter une self extérieure pour avoir $0,8 \mu\text{H}$).

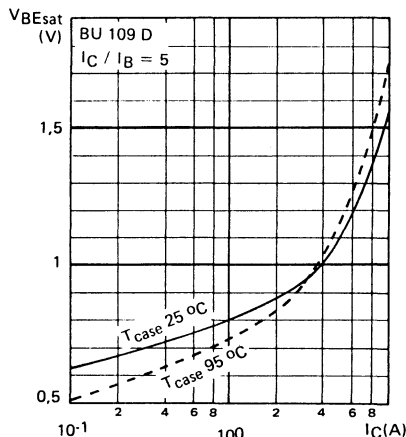
BASE-EMITTER SATURATION VOLTAGE
VERSUS COLLECTOR CURRENT
Tension de saturation base-émetteur en fonction du courant collecteur



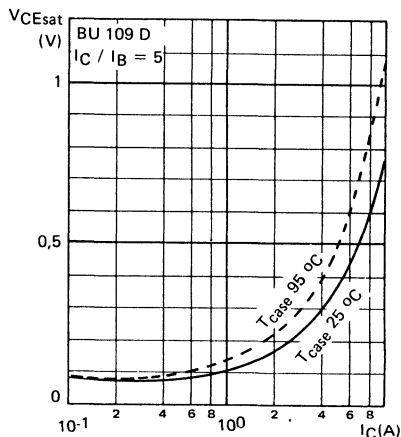
COLLECTOR-EMITTER SATURATION VOL-
TAGE VERSUS COLLECTOR CURRENT
Tension de saturation collecteur-émetteur en fonction du courant collecteur



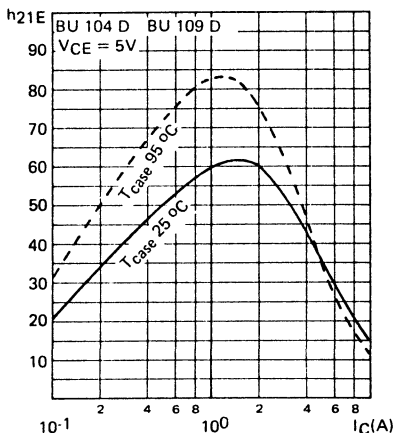
BASE-EMITTER SATURATION VOLTAGE
VERSUS COLLECTOR CURRENT
Tension de saturation base-émetteur en fonction du courant collecteur



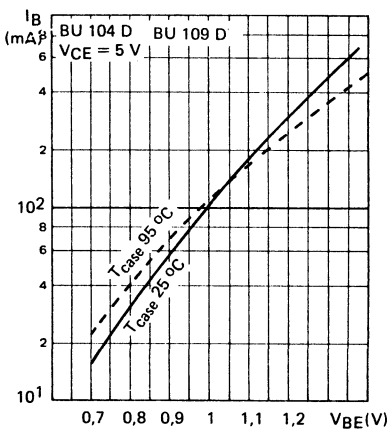
COLLECTOR-EMITTER SATURATION VOL-
TAGE VERSUS COLLECTOR CURRENT
Tension de saturation collecteur-émetteur en fonction du courant collecteur



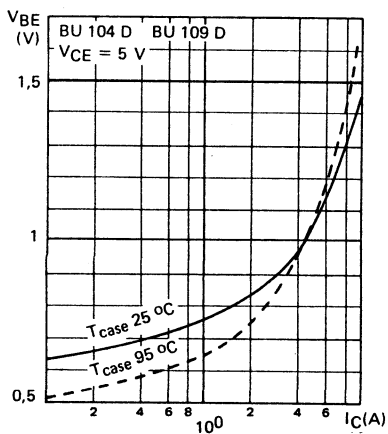
STATIC FORWARD CURRENT TRANSFER
RATIO VERSUS COLLECTOR CURRENT
*Valeur statique du rapport de transfert direct du
courant en fonction du courant collecteur*



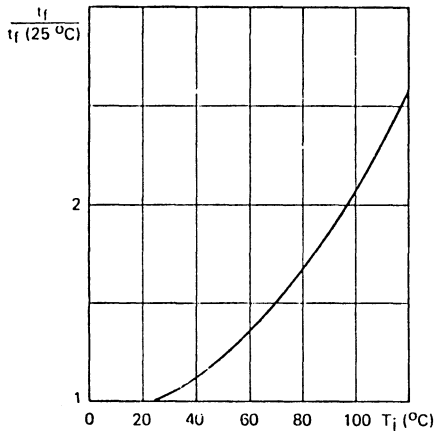
BASE CURRENT VERSUS BASE-EMITTER
VOLTAGE
*Courant base en fonction de la tension base-
émetteur*



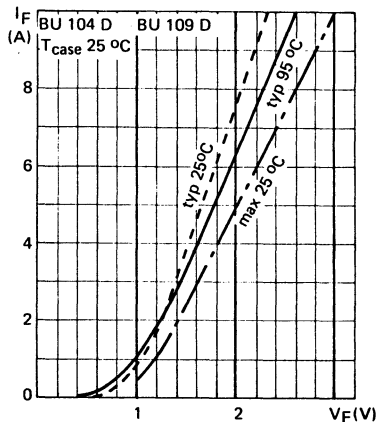
BASE-EMITTER VOLTAGE VERSUS
COLLECTOR CURRENT
*Tension base-émetteur en fonction du
courant collecteur*



RELATIVE VARIATION OF t_f TIME VERSUS
JUNCTION TEMPERATURE
*Variation relative du temps t_f en fonction de la
température*

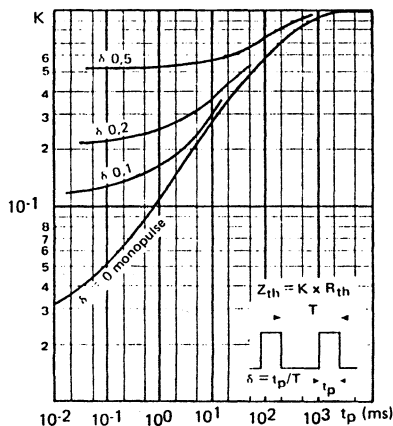


DIODE FORWARD VOLTAGE DROP V_F
VERSUS FORWARD CURRENT I_F
*Chute de tension directe V_F de la diode en fonc-
tion du courant direct I_F*

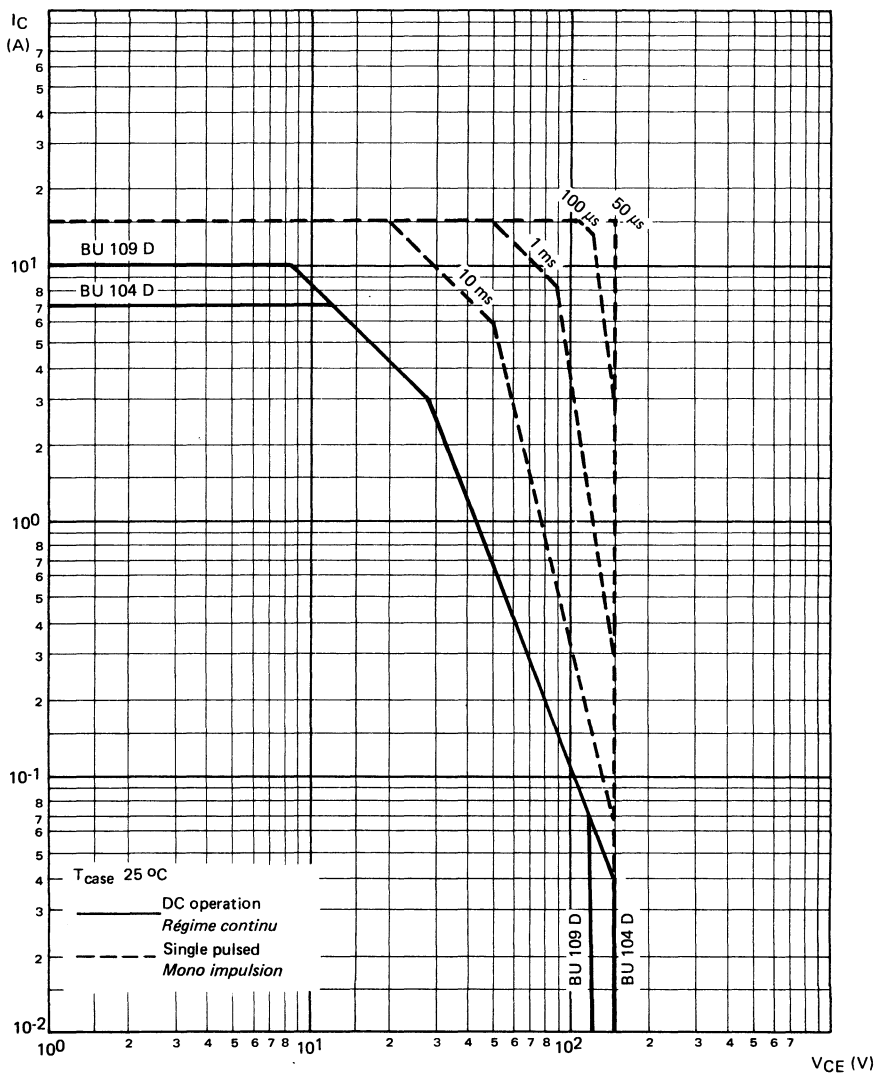


TRANSIENT THERMAL RESISTANCE
DERATING FACTOR UNDER PULSES
CONDITIONS

*Facteur de réduction de la résistance thermique
en régime d'impulsions*



SAFE OPERATING AREA
AIRE DE SECURITE



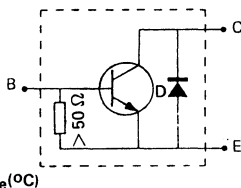
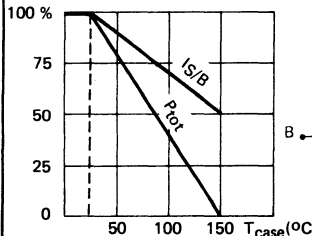
BU104 DP BU109 DP

NPN SILICON TRANSISTORS, TRIPLE DIFFUSED MESA

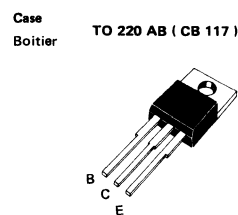
TRANSISTORS SILICIUM NPN, MESA TRIPLE DIFFUSÉ

High voltage transistors with integrated damper diode, primarily intended for use in horizontal deflexion output stage of black and white TV receivers fitted with 110 ° picture tube.

Transistors rapides haute tension avec diode damper intégrée, particulièrement destinés aux étages de sortie de balayage horizontal des téléviseurs noir et blanc 110 °.

Dissipation and I_S/B deratingVariation de dissipation et de I_S/B 

| | | |
|------------------------------|---|-----------|
| V_{CEX} | $\left\{ \begin{array}{l} 400 \text{ V} \\ 330 \text{ V} \end{array} \right.$ | BU 104 DP |
| | $\left\{ \begin{array}{l} 330 \text{ V} \\ 300 \text{ V} \end{array} \right.$ | BU 109 DP |
| I_C | $\left\{ \begin{array}{l} 7 \text{ A} \\ 10 \text{ A} \end{array} \right.$ | BU 104 DP |
| | $\left\{ \begin{array}{l} 10 \text{ A} \\ 12 \text{ A} \end{array} \right.$ | BU 109 DP |
| $P_{tot} (25^\circ\text{C})$ | 50 W | |
| $R_{th(j-c)}$ | 2,5 °C/W | |
| $t_f (5 \text{ A})$ | $\leq 0,8 \mu\text{s}$ | |

ABSOLUTE RATINGS (LIMITING VALUES)
VALEURS LIMITES ABSOLUES D'UTILISATION

| | | BU 104 DP | BU 109 DP | |
|---|-----------|-------------------|-------------------|----|
| Collector-emitter voltage <i>Tension collecteur-émetteur</i> | V_{CEO} | 150 | 120 | V |
| Collector-emitter voltage <i>Tension collecteur-émetteur</i> | V_{CEX} | 400 | 330 | V |
| Emitter-base voltage <i>Tension émetteur-base</i> | V_{EB0} | 7 | 7 | V |
| Collector current <i>Courant collecteur</i> | I_C | 7 | 10 | |
| Collector current $t_p = 1 \text{ ms}$ | I_{CM} | 15 | 15 | A |
| Base current <i>Courant base</i> | I_B | 3 | 3 | A |
| Mean forward diode current <i>Courant moyen de la diode</i> | I_0 | 3,5 | 5 | A |
| Repetitive peak forward diode current <i>Courant de pointe répétitif de la diode</i> | I_{FRM} | 10 | 10 | A |
| Power dissipation <i>Dissipation de puissance</i> | P_{tot} | 50 | 50 | W |
| Storage and junction temperature <i>Température de jontion et de stockage</i> | T_{stg} | 150 - 55 + 150 | 150 - 55 + 150 | °C |

| | | | | |
|---|---------------|-----|-----|------|
| Junction to case transistor thermal resistance <i>Résistance thermique jontion boîtier du transistor</i> | $R_{th(j-c)}$ | 2,5 | 2,5 | °C/W |
| Junction to case diode thermal resistance <i>Résistance thermique jontion boîtier de la diode</i> | $R_{th(j-c)}$ | 9 | 9 | °C/W |

STATIC CHARACTERISTICS
CARACTÉRISTIQUES STATIQUES

 $T_{case} = 25^\circ\text{C}$ (Unless otherwise stated)
(Sauf indications contraires)

| | Test conditions <i>Conditions de mesure</i> | | min | typ | max | |
|---|--|---------------|-----|-----|----------|----|
| Collector-base cut-off current <i>Courant résiduel collecteur-base</i> | $I_B = 0$ All types $V_{CE} = 250\text{ V}$ <i>Tous types</i> | I_{CBO} | | | 0,5 | mA |
| Collector-emitter cut-off current <i>Courant résiduel collecteur-émetteur</i> | $V_{BE} = -5\text{ V}$ BU 104 DP $V_{CE} = 400\text{ V}$ | I_{CEX} | | | 1 | mA |
| | $V_{BE} = -5\text{ V}$ BU 109 DP $V_{CE} = 330\text{ V}$ | | | | 1 | |
| Emitter-base cut-off current <i>Courant résiduel émetteur-base</i> | $I_C = 0$ All types $V_{EB} = 5\text{ V}$ <i>Tous types</i> | I_{EBO} | | | 100 | mA |
| Collector-emitter cut-off current <i>Courant résiduel collecteur-émetteur</i> | $V_{CE} = 150\text{ V}$ BU 104 DP $I_B = 0$ | I_{CEO} | | | 1 | mA |
| | $V_{CE} = 120\text{ V}$ BU 109 DP $I_B = 0$ | | | | 1 | |
| Static forward current transfer ratio <i>Valeur statique du rapport de transfert direct du courant</i> | $V_{CE} = 2,5\text{ V}$ BU 104 DP $I_C = 7\text{ A}$ | h_{21E}^* | 7 | | | V |
| | $V_{CE} = 2\text{ V}$ BU 109 DP $I_C = 7\text{ A}$ | | 7 | | | |
| Collector-emitter saturation voltage <i>Tension de saturation collecteur-émetteur</i> | $I_C = 7\text{ A}$ BU 104 DP $I_B = 1\text{ A}$ | V_{CEsat}^* | | | 2,5 | V |
| | $I_C = 7\text{ A}$ BU 109 DP $I_B = 1\text{ A}$ | | | | 2 | |
| Base-emitter saturation voltage <i>Tension de saturation base-émetteur</i> | $I_C = 7\text{ A}$ All types $I_B = 1\text{ A}$ <i>Tous types</i> | V_{BEsat}^* | | | 2 | V |
| Diode forward voltage <i>Tension directe de la diode</i> | $I_C = 5\text{ A}$ $I_C = 7\text{ A}$ | V_F^* | | | 2 2,4 | V |

*pulsed

 $t_p = 300\text{ }\mu\text{s } \delta \leq 2\%$

DYNAMIC CHARACTERISTICS (for small signals)
CARACTÉRISTIQUES DYNAMIQUES (pour petits signaux)

| | Test conditions Conditions de mesure | | min | typ | max | |
|--|---|-------|-----|-----|-----|---------------|
| Transition frequency <i>Fréquence de transition</i> | $V_{CE} = 10 \text{ V}$ $I_C = 0,5 \text{ A}$ $f = 10 \text{ MHz}$ | f_T | | 10 | | MHz |
| Fall time <i>Temps de décroissance</i> Figure 1 | $I_C = 5 \text{ A}$ $I_{B1} = 1 \text{ A}$ $V_{BE2} = -3 \text{ V}$ | t_f | | | 0,8 | μs |

Maximum junction temperature calculation under operating conditions

$$T_j \text{ max} = T_{case} + \Delta T_{j1} + \Delta T_{j2}$$

ΔT_{j1} : rise temperature due to transistor mode operating. ΔT_{j1} is calculated knowing the transistor power dissipation and $R_{th(j-c)} 1 = 2,5 \text{ }^{\circ}\text{C/W}$.

ΔT_{j2} : rise temperature due to diode mode operation. ΔT_{j2} is calculated knowing the diode power dissipation and $R_{th(j-c)} 2 = 9 \text{ }^{\circ}\text{C/W}$

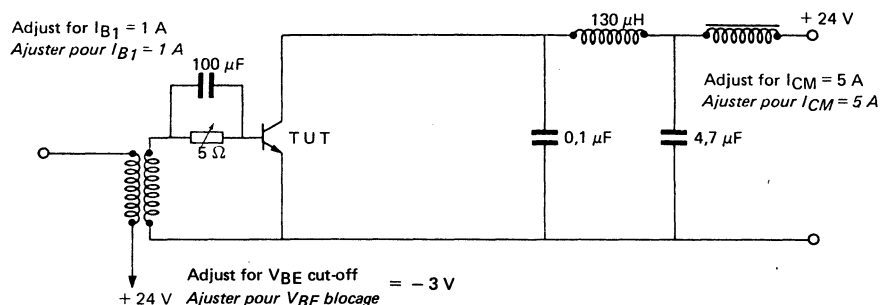
Détermination de la température maximale de jonction atteinte en fonctionnement

$$T_j \text{ max} = T_{case} + \Delta T_{j1} + \Delta T_{j2}$$

ΔT_{j1} : élévation de température due au fonctionnement en transistor. ΔT_{j1} se calcule à partir de la puissance dissipée en fonctionnement transistor avec $R_{th(j-c)} 1 = 2,5 \text{ }^{\circ}\text{C/W}$.

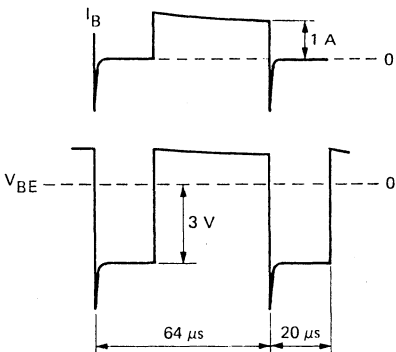
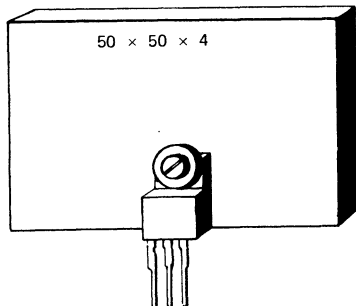
ΔT_{j2} : élévation de température due au fonctionnement en diode. ΔT_{j2} se calcule à partir de la puissance dissipée en fonctionnement diode avec $R_{th(j-c)} 2 = 9 \text{ }^{\circ}\text{C/W}$.

FIGURE 1
COLLECTOR CURRENT FALL TIME TEST CIRCUIT
CIRCUIT DE MESURE DU TEMPS DE DÉCROISSANCE



During the test, the device should be mounted on a copper heatsink

Pour la mesure, le transistor doit être monté sur un radiateur en cuivre



DRIVER TRANSFORMER

Ferrite core LTT FN 1034

Area $7 \times 7 \text{ mm}^2$, air gap 0,4 mm, ratio $n = 7,7/1$

Primary 200 turns 28/100 (4 layers of 16 mm)
Secondary 26 turns 55/100. One layer within the two sections of primary
 R primary 4Ω – R secondary $75 \text{ m}\Omega$
Leakage inductance referred to secondary $0.8 \mu\text{H}$
(If necessary, add an external coil to obtain $0.8 \mu\text{H}$).

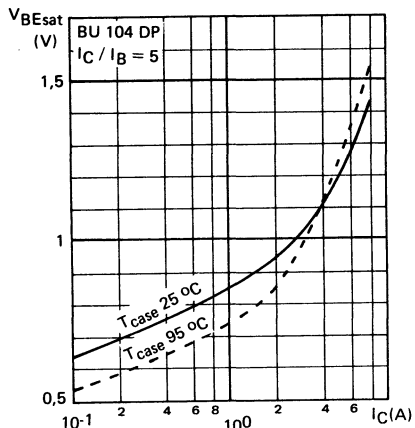
TRANSFORMATEUR DRIVER

Noyau ferrite LTT FN 1034

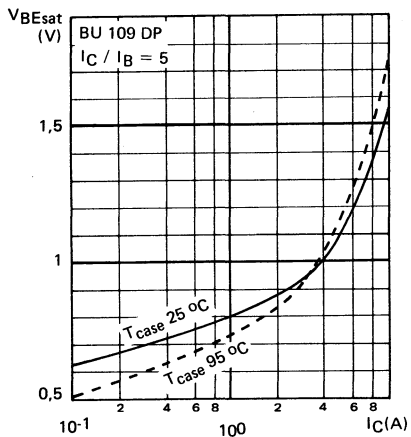
Section $7 \times 7 \text{ mm}^2$, entrefer 0,4 mm, rapport $n = 7,7/1$

Primaire : 200 tours 28/100 en 4 couches de 16 mm
Secondaire : 26 tours 55/100. Une couche entre les deux moitiés du primaire.
 R primaire 4Ω – R secondaire $75 \text{ m}\Omega$
Inductance de fuite ramenée au secondaire $0.8 \mu\text{H}$
(Si besoin est, ajouter une self extérieure pour avoir $0.8 \mu\text{H}$).

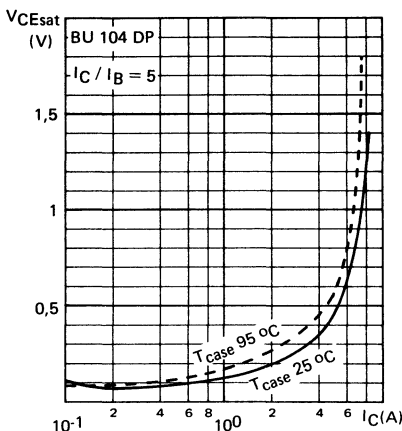
**BASE-EMITTER SATURATION VOLTAGE
VERSUS COLLECTOR CURRENT**
Tension de saturation base-émetteur en fonction du courant collecteur



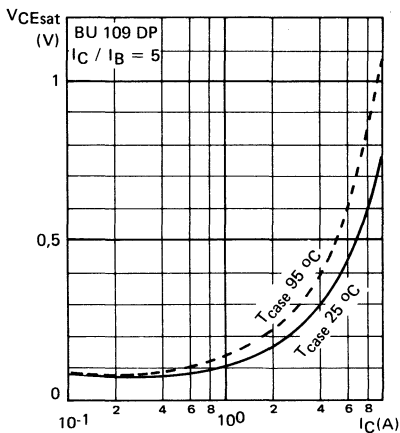
**BASE-EMITTER SATURATION VOLTAGE
VERSUS COLLECTOR CURRENT**
Tension de saturation base-émetteur en fonction du courant collecteur



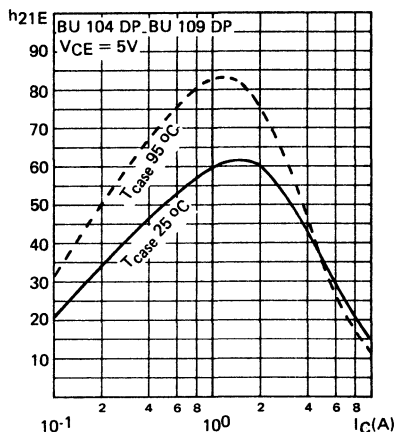
**COLLECTOR-EMITTER SATURATION VOL-
TAGE VERSUS COLLECTOR CURRENT**
Tension de saturation collecteur-émetteur en fonction du courant collecteur



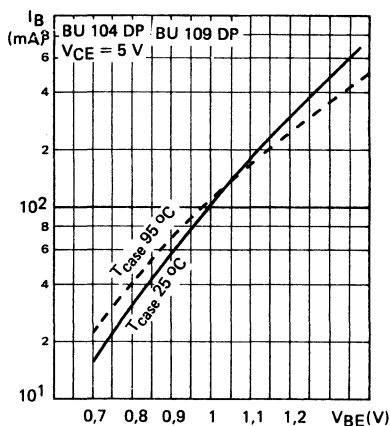
**COLLECTOR-EMITTER SATURATION VOL-
TAGE VERSUS COLLECTOR CURRENT**
Tension de saturation collecteur-émetteur en fonction du courant collecteur



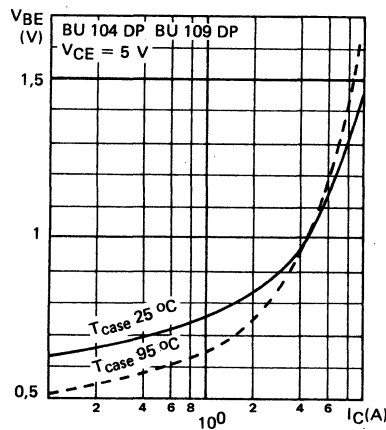
STATIC FORWARD CURRENT TRANSFER RATIO VERSUS COLLECTOR CURRENT
Valeur statique du rapport de transfert direct du courant en fonction du courant collecteur



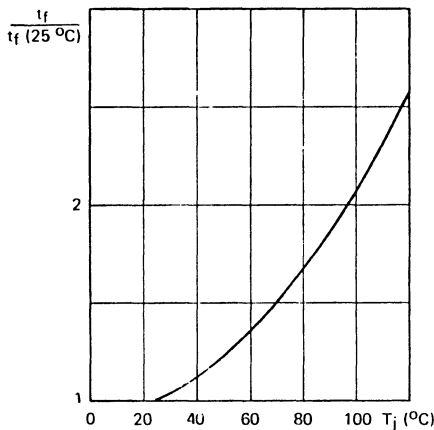
BASE CURRENT VERSUS BASE-EMITTER VOLTAGE
Courant base en fonction de la tension base-émetteur



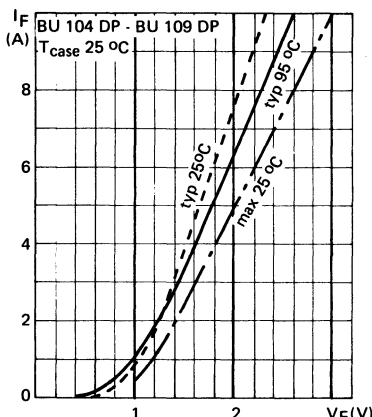
BASE-EMITTER VOLTAGE VERSUS COLLECTOR CURRENT
Tension base-émetteur en fonction du courant collecteur



RELATIVE VARIATION OF t_f TIME VERSUS JUNCTION TEMPERATURE
Variation relative du temps t_f en fonction de la température

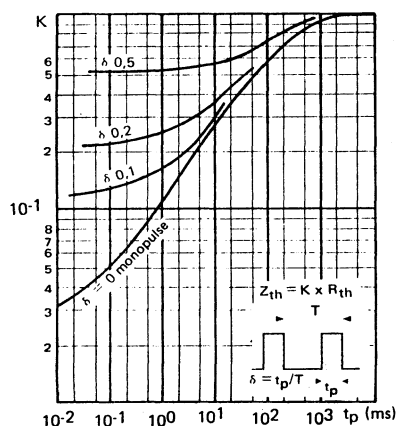


DIODE FORWARD VOLTAGE DROP V_F VERSUS FORWARD CURRENT I_F
Chute de tension directe V_F de la diode en fonction du courant direct I_F

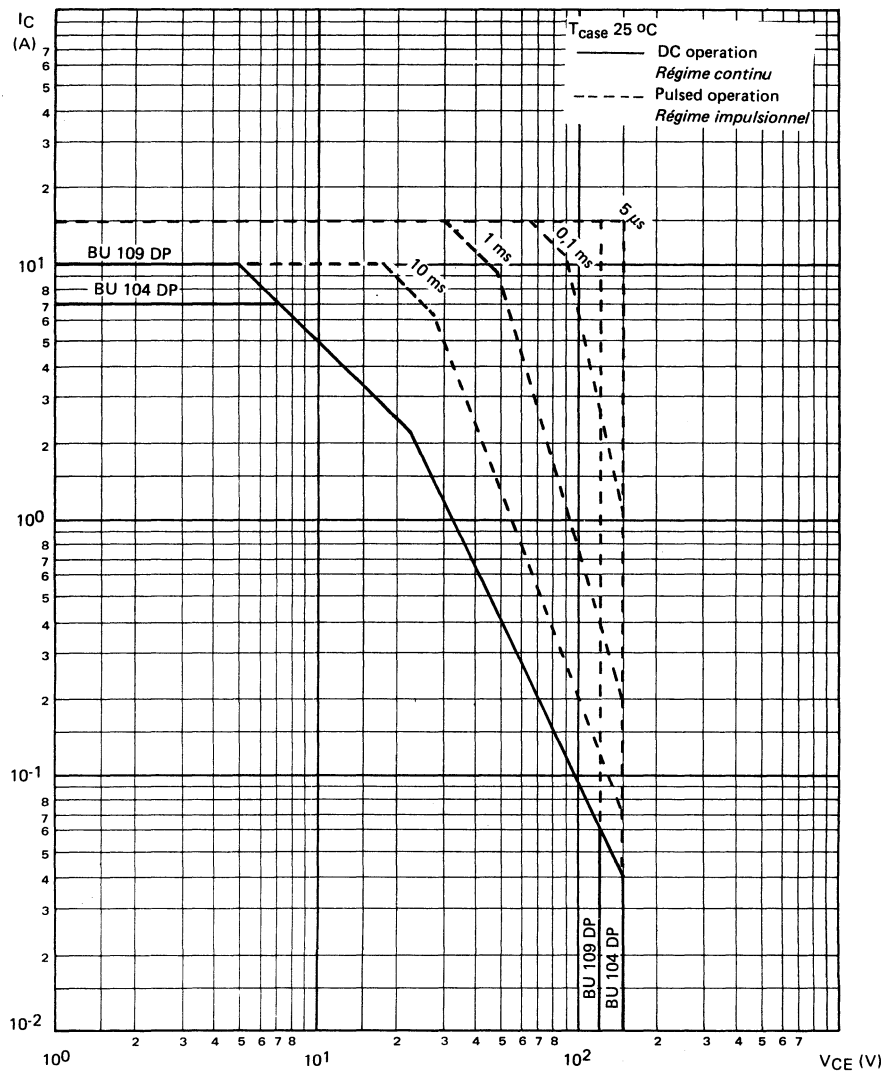


TRANSIENT THERMAL RESISTANCE DERATING FACTOR UNDER PULSES CONDITIONS

Facteur de réduction de la résistance thermique en régime d'impulsions



SAFE OPERATING AREA
AIRE DE SECURITE



BU104 P-BU109 P

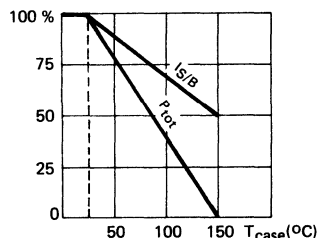
NPN SILICON TRANSISTOR, TRIPLE DIFFUSED MESA

TRANSISTOR SILICIUM NPN, MESA TRIPLE DIFFUSE

High voltage transistors, primarily intended for use in horizontal deflection output stage of black and white TV receivers fitted with 110 ° picture tube.

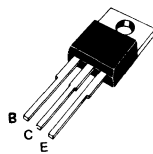
Transistors rapides haute tension particulièrement destinés aux étages de sortie de balayage horizontal des téléviseurs noir et blanc 110 °.

Maximum power dissipation and $I_{S/B}$
Dissipation de puissance maximale et de $I_{S/B}$



| | | |
|----------------------|------------------|----------------------|
| V _{CEx} | { 400 V 330 V | BU 104 P BU 109 P |
| I _C | { 7 A 10 A | BU 104 P BU 109 P |
| P _{tot} | 50 W | |
| R _{th(j-c)} | 2,5 °C/W | |
| t _f (5 A) | ≤ 1 µs | |

Case
Boîtier TO 220 AB (CB 117)



ABSOLUTE RATINGS (LIMITING VALUES)
VALEURS LIMITES ABSOLUES D'UTILISATION

| | | BU 104 P | BU 109 P | |
|---|---|-------------------|-------------------|------|
| Collector-base voltage <i>Tension collecteur-base</i> | V _{CBO} | 400 | 330 | V |
| Collector-emitter voltage <i>Tension collecteur-émetteur</i> | V _{CEO} | 150 | 120 | V |
| Collector-emitter voltage <i>Tension collecteur-émetteur</i> | V _{CEx} | 400 | 330 | V |
| Emitter-base voltage <i>Tension émetteur-base</i> | V _{EBO} | 7 | 7 | V |
| Collector current <i>Courant collecteur</i> | I _C t _p = 1 ms | 7 | 10 | A |
| Collector current <i>Courant collecteur</i> | I _{CM} | 15 | 15 | A |
| Base current <i>Courant base</i> | I _B | 3 | 3 | A |
| Power dissipation <i>Dissipation de puissance</i> | P _{tot} | 50 | 50 | W |
| Storage and junction temperature <i>Température de jonction et de stockage</i> | t _j max | 150 - 55 + 150 | 150 - 55 + 150 | °C |
| Junction-case thermal resistance <i>Résistance thermique jonction boîtier</i> | R _{th(j-c)} | 2,5 | 2,5 | °C/W |

STATIC CHARACTERISTICS
CARACTÉRISTIQUES STATIQUES
 $T_{case} = 25^\circ\text{C}$ (Unless otherwise stated)
(Sauf indications contraires)

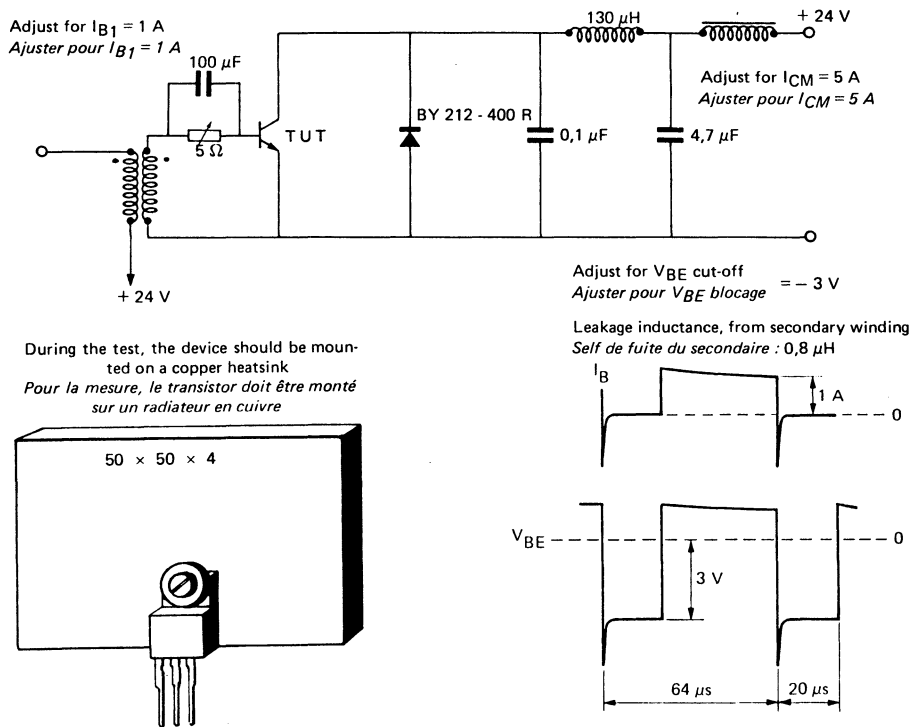
| | Test conditions Conditions de mesure | | min | typ | max | |
|--|--|---------------|-----|-----|-----|----|
| Collector-base cut-off current <i>Courant résiduel collecteur-base</i> | $I_B = 0$ All types $V_{CE} = 250 \text{ V}$ <i>Tous types</i> | I_{CBO} | | | 0,5 | mA |
| Collector-emitter cut-off current <i>Courant résiduel collecteur-émetteur</i> | $V_{BE} = -5 \text{ V}$ BU 104 P $V_{CE} = 400 \text{ V}$ | I_{CEX} | | | 1 | mA |
| | $V_{BE} = -5 \text{ V}$ BU 109 P $V_{CE} = 330 \text{ V}$ | I_{CEX} | | | 1 | mA |
| Emitter-base cut-off current <i>Courant résiduel émetteur-base</i> | $I_C = 0$ All types $V_{EB} = 7 \text{ V}$ <i>Tous types</i> | I_{EBO} | | | 5 | mA |
| Collector-emitter breakdown voltage <i>Tension de claquage collecteur-émetteur</i> | $I_B = 0$ BU 104 P $I_C = 50 \text{ mA}$ | V_{CEOus} * | 150 | | | V |
| | $I_B = 0$ BU 109 P $I_C = 50 \text{ mA}$ | V_{CEOus} * | 120 | | | V |
| Static forward current transfert ratio <i>Valeur statique du rapport de transfert direct du courant</i> | $V_{CE} = 1,75 \text{ V}$ BU 104 P $I_C = 5 \text{ A}$ | h_{21E}^* | 10 | | | |
| | $V_{CE} = 4 \text{ V}$ BU 104 P $I_C = 7 \text{ A}$ | h_{21E}^* | | 15 | | |
| | $V_{CE} = 1,5 \text{ V}$ BU 109 P $I_C = 5 \text{ A}$ | h_{21E}^* | 15 | | | |
| | $V_{CE} = 4 \text{ V}$ BU 109 P $I_C = 7 \text{ A}$ | h_{21E}^* | | 20 | | |
| Collector-emitter saturation voltage <i>Tension de saturation collecteur-émetteur</i> | $I_C = 7 \text{ A}$ BU 104 P $I_B = 1 \text{ A}$ | V_{CEsat} * | | | 2,5 | V |
| | $I_C = 7 \text{ A}$ BU 109 P $I_B = 1 \text{ A}$ | V_{CEsat} * | | | 2 | V |
| Base-emitter saturation voltage <i>Tension de saturation base-émetteur</i> | $I_C = 7 \text{ A}$ All types $I_B = 1 \text{ A}$ <i>Tous types</i> | V_{BEsat} * | | | 2 | V |

* Pulsed
Impulsions $t_p = 300 \mu\text{s}$ $\delta \leq 2\%$

DYNAMIC CHARACTERISTICS (for small signals)*CARACTÉRISTIQUES DYNAMIQUES (pour petits signaux)*

| | | | typ | max |
|--|---|-------|-----|---------------|
| Transition frequency <i>Fréquence de transition</i> | $V_{CE} = 10 \text{ V}$ $I_C = 0,5 \text{ A}$ $f = 10 \text{ MHz}$ | f_T | 10 | |
| Fall time <i>Temps de décroissance</i> Figure 1 | $I_C = 5 \text{ A}$ $I_{B1} = 1 \text{ A}$ $V_{BE2} = -3 \text{ V}$ | t_f | 1 | μs |

FIGURE 1
COLLECTOR CURRENT FALL TIME TEST CIRCUIT
CIRCUIT DE MESURE DU TEMPS DE DÉCROISSANCE



DRIVER TRANSFORMER T

Ferrite core LTT FN 1034
Area $7 \times 7 \text{ mm}^2$, air gap 0,4 mm, ratio $n = 7,7/1$

Primary 200 turns 28/100 (4 layers of 16 mm)
Secondary 26 turns 55/100. One layer within the two section of primary.
R primary 4Ω – R secondary $75 \text{ m}\Omega$
Leakage inductance referred to secondary $0,8 \mu\text{H}$
(If necessary, add an external coil to obtain $0,8 \mu\text{H}$).

TRANSFORMATEUR DRIVER T

Noyau ferrite LTT FN 1034
Section $7 \times 7 \text{ mm}^2$, entrefer 0,4 mm, rapport $n = 7,7/1$

Primaire : 200 tours 28/100 en 4 couches de 16 mm
Secondaire : 26 tours 55/100. Une couche entre les deux moitiés du primaire.
R primaire 4Ω – R secondaire $75 \text{ m}\Omega$
Inductance de fuite ramenée au secondaire $0,8 \mu\text{H}$
(Si besoin est, ajouter une self extérieure pour avoir $0,8 \mu\text{H}$).

SAFE OPERATING AREA
AIRE DE SECURITE

FIGURE 2

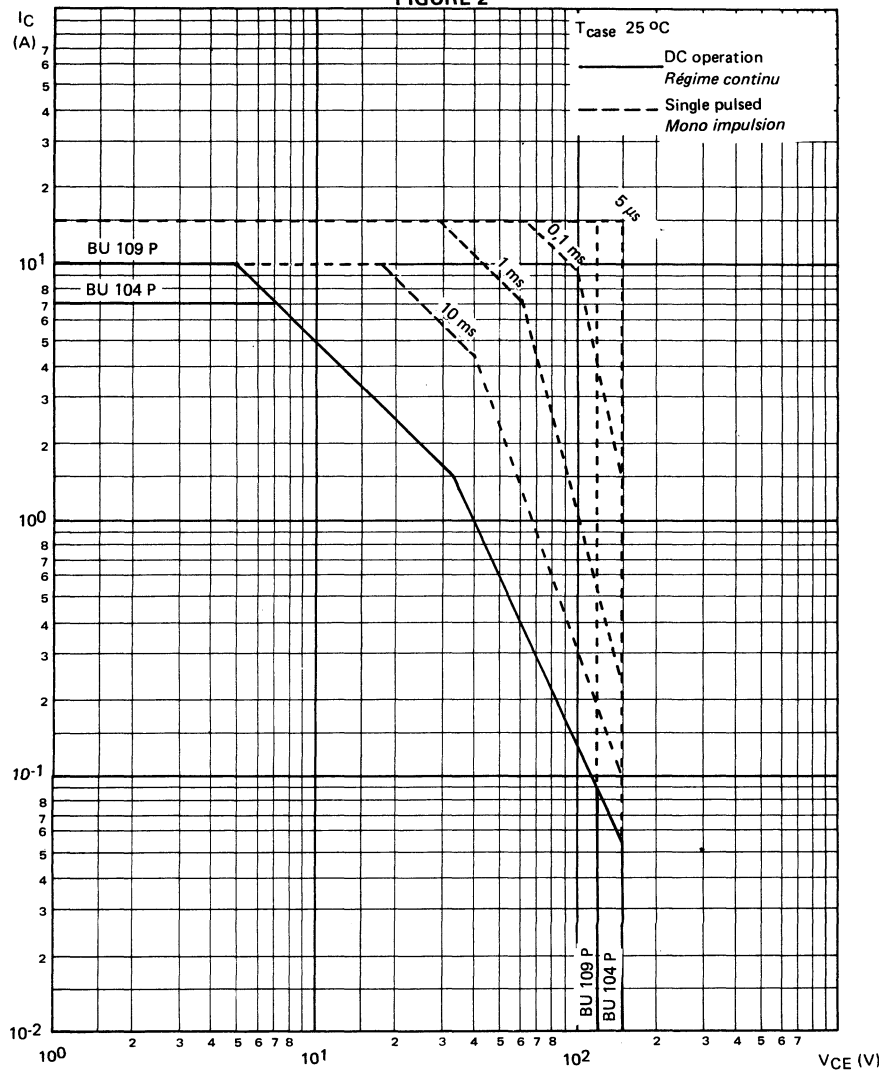


FIGURE 3

STATIC FORWARD CURRENT TRANSFER
RATIO VERSUS COLLECTOR CURRENT
*Valeur statique du rapport de transfert direct du
courant en fonction du courant collecteur*

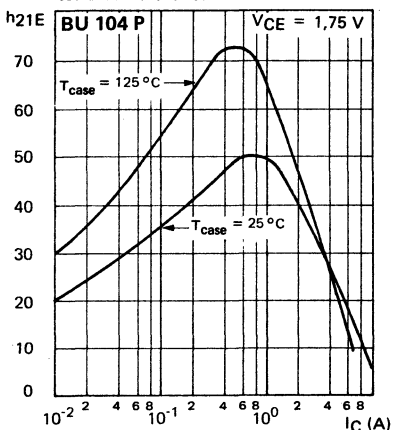


FIGURE 4

STATIC FORWARD CURRENT TRANSFER
RATIO VERSUS COLLECTOR CURRENT
*Valeur statique du rapport de transfert direct du
courant en fonction du courant collecteur*

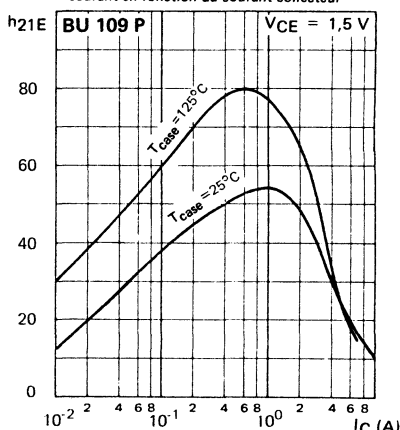


FIGURE 5

BASE CURRENT VERSUS BASE-EMITTER
VOLTAGE
*Courant de base en fonction de la tension
base-émetteur*

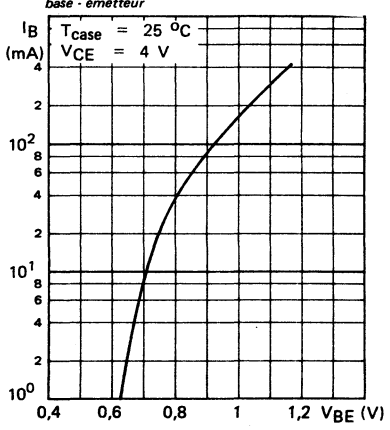


FIGURE 6

BASE Emitter VOLTAGE VERSUS
COLLECTOR CURRENT
*Tension base-émetteur en fonction du
courant collecteur*

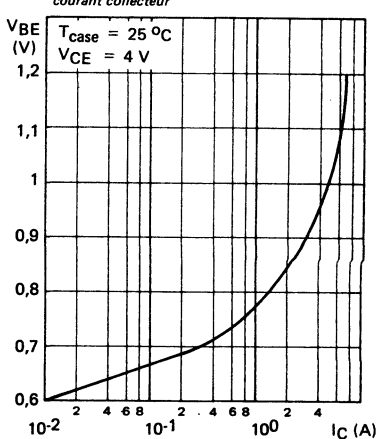
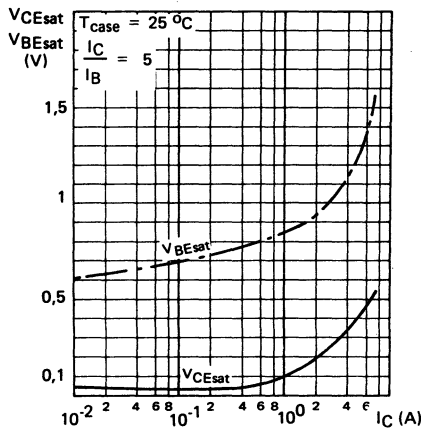
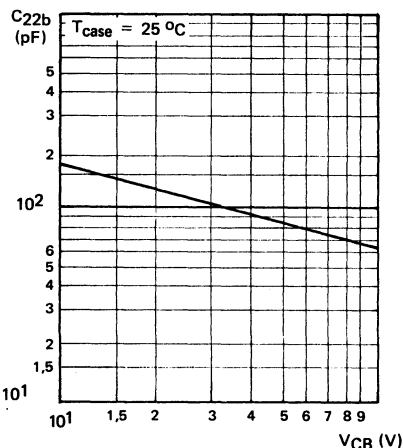


FIGURE 7

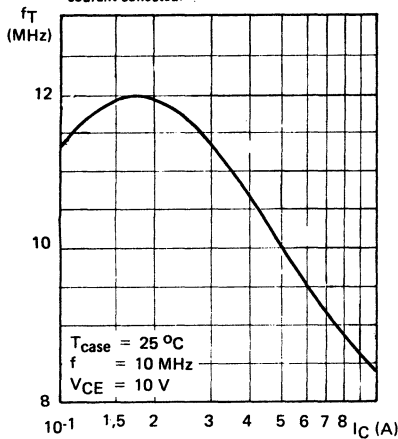
COLLECTOR-EMITTER AND BASE-EMITTER
SATURATION VOLTAGE VERSUS COLLECTOR
CURRENT
*Tension de saturation collecteur-émetteur et base-
émetteur en fonction du courant collecteur.*

**FIGURE 8**

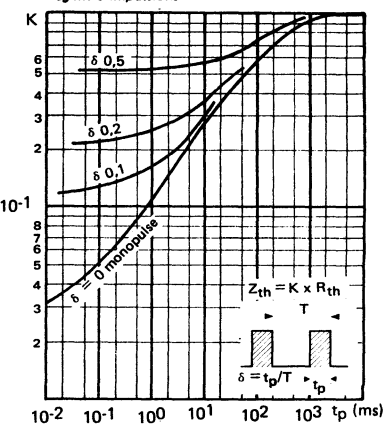
OUTPUT CAPACITANCE VERSUS
COLLECTOR-BASE VOLTAGE
*Capacité de sortie en fonction de la
tension collecteur-base*

**FIGURE 9**

TRANSITION FREQUENCY VERSUS
COLLECTOR CURRENT
*Fréquence de transition en fonction du
courant collecteur*

**FIGURE 10**

TRANSIENT THERMAL RESISTANCE DERATING
FACTOR UNDER PULSES CONDITIONS
*Facteur de réduction de la résistance thermique en
régime d'impulsions*



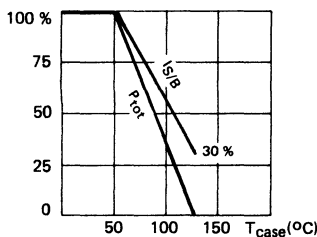
2000
1999
1998

The BU 126 type is a fast switching high voltage transistor, more specially intended for operating in color TV receivers chopper supplies.

Le BU 126 est un transistor rapide haute tension plus particulièrement destiné aux alimentations à découpage dans les récepteurs TV couleurs.

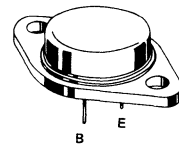
Dissipation and I_S/B derating

Variation de dissipation et de I_S/B



| | |
|----------------------------------|---------------------------------|
| V_{CEO} | 300 V |
| V_{CEX} | 750 V |
| I_{CM} | 6 A |
| $P_{tot} (< 50^{\circ}\text{C})$ | 30 W |
| $R_{th(j-c)}$ | 2,5 $^{\circ}\text{C}/\text{W}$ |
| $t_f (2,5 \text{ A})$ | 0,2 μs |
| V_{CEsat} | 2,5 A |
| | max |
| | Typ |

Case TO 3 (CB 19)
Boîtier



ABSOLUTE RATINGS (LIMITING VALUES) VALEURS LIMITES ABSOLUES D'UTILISATION

| | | | |
|---|--------------------|-------------------|--------------------|
| Collector-base voltage <i>Tension collecteur-base</i> | V_{CBO} | 750 | V |
| Collector-emitter voltage <i>Tension collecteur-émetteur</i> | V_{CEO} | 300 | V |
| Collector-emitter voltage <i>Tension collecteur-émetteur</i> | V_{CEX} | 750 | V |
| Emitter-base voltage <i>Tension émetteur-base</i> | V_{EBO} | 6 | V |
| Collector current <i>Courant collecteur</i> | I_C I_{CM} | 3 6 | A |
| Base current <i>Courant base</i> | I_B | 2 | A |
| Power dissipation <i>Dissipation de puissance</i> | P_{tot} | 30 | W |
| Junction and storage temperature <i>Température de jonction et de stockage</i> | T_j T_{stg} | 125 - 65 + 125 | $^{\circ}\text{C}$ |

| | | | | |
|--|-----|---------------|-----|-----------------------------|
| Junction-case thermal resistance <i>Résistance thermique jonction boîtier</i> | max | $R_{th(j-c)}$ | 2,5 | $^{\circ}\text{C}/\text{W}$ |
|--|-----|---------------|-----|-----------------------------|

STATIC CHARACTERISTICS
CARACTÉRISTIQUES STATIQUES
 $T_{case} = 25^\circ\text{C}$ (Unless otherwise stated)
(Sauf indications contraires)

| | Test conditions Conditions de mesure | | min | typ | max | |
|---|--|----------------|-----|-----|-----|----|
| Collector-emitter cut-off current <i>Courant résiduel collecteur-émetteur</i> | $V_{CE} = 750 \text{ V}$ $V_{BE} = 0 \text{ V}$ | I_{CES} | | | 0,5 | mA |
| | $V_{CE} = 750 \text{ V}$ $V_{BE} = 0 \text{ V}$ $T_{case} = 125^\circ\text{C}$ | | | | 2 | |
| Emitter-base cut-off current <i>Courant résiduel émetteur-base</i> | $V_{EB} = 6 \text{ V}$ $I_C = 0$ | I_{EBO} | | | 5 | mA |
| Collector-emitter breakdown voltage <i>Tension de claquage collecteur-émetteur</i> Figure 1 | $I_C = 0,1 \text{ A}$ $I_B = 0$ $L = 25 \text{ mH}$ | $V_{CEO(sus)}$ | 300 | | | V |
| Static forward current transfer ratio <i>Valeur statique de rapport de transfert direct du courant</i> | $V_{CE} = 5 \text{ V}$ $I_C = 1 \text{ A}$ | h_{21E^*} | 15 | | 60 | |
| Collector-emitter saturation voltage <i>Tension de saturation collecteur-émetteur</i> | $I_C = 2,5 \text{ A}$ $I_B = 0,25 \text{ A}$ | V_{CEsat}^* | | 1 | 10 | V |
| | $I_C = 4 \text{ A}$ $I_B = 1 \text{ A}$ | | | 0,5 | 5 | |
| Base-emitter saturation voltage <i>Tension de saturation base-émetteur</i> | $I_C = 4 \text{ A}$ $I_B = 1 \text{ A}$ | V_{BEsat}^* | | 1,2 | 1,5 | V |
| Second breakdown collector current <i>Courant collecteur de second claquage</i> | $V_{CE} = 32 \text{ V}$ $t = 1 \text{ s}$ | $I_{S/B}$ | 0,5 | | | A |

DYNAMIC CHARACTERISTICS
CARACTÉRISTIQUES DYNAMIQUES

| | | | | | | |
|--|--|-----------|--|-----|--|---------------|
| Transition frequency <i>Fréquence de transition</i> | $V_{CE} = 10 \text{ V}$ $f = 1 \text{ MHz}$ $I_C = 200 \text{ mA}$ | f_T | | 4 | | MHz |
| Output capacitance <i>Capacité de sortie</i> | $f = 1 \text{ MHz}$ $V_{CB} = 10 \text{ V}$ | C_{22b} | | 100 | | pF |
| Carrier storage time <i>Temps de stockage</i> | $I_C = 2,5 \text{ A}$ $I_{B1} = -I_{B2} = 0,2 \text{ A}$ Figures 2 - 3 | t_S | | 2 | | μs |
| Fall time <i>Temps de décroissance</i> | | t_f | | 0,2 | | μs |

* Pulsed
Impulsions $t_p = 300 \mu\text{s}$ $\delta \leq 2\%$

FIGURE 1 : V_{CEOsus} test circuit (and oscillogram)
Circuit de mesure de V_{CEOsus} et oscillogramme

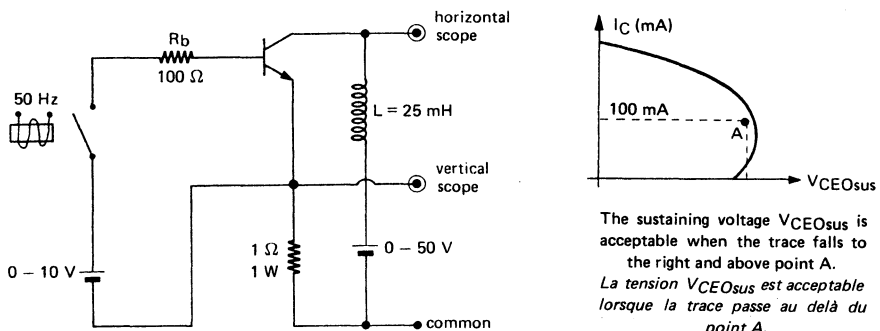


FIGURE 2 : Current and voltage waveforms with switching measurement test circuit
Formes d'ondes du courant et de la tension avec le circuit test de commutation

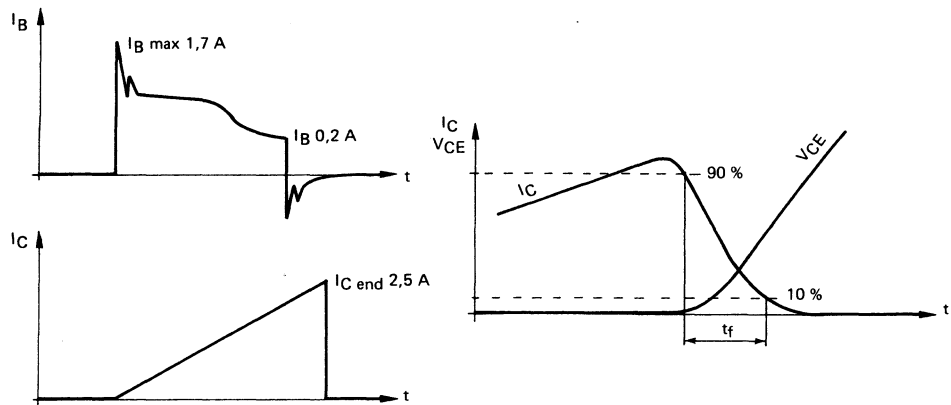
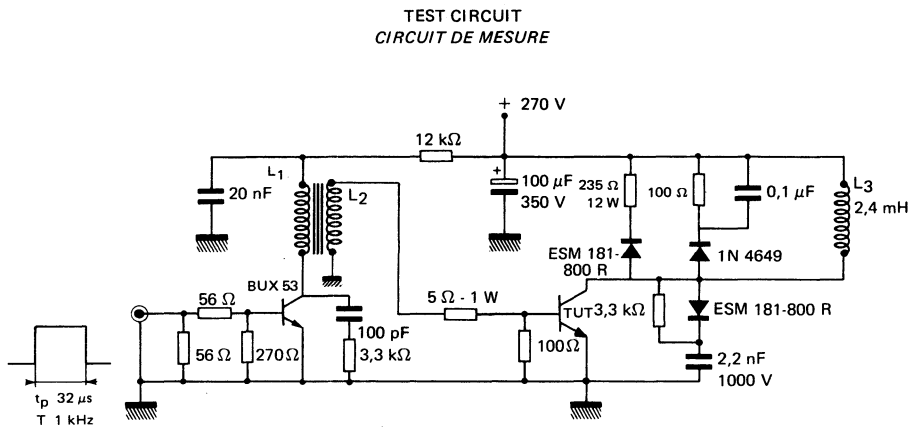


FIGURE 3 : Switching time measurement
Mesure des temps de commutation



$V_{CC} = 270 \text{ V}$

$I_{Cend} = 2,5 \text{ A}$

$I_{Bmax} = 1,7 \text{ A}$

$I_{Bend} = 0,2 \text{ A}$

TRANSFORMER
TRANSFORMATEUR

$L_1 = 350 \text{ turns}$

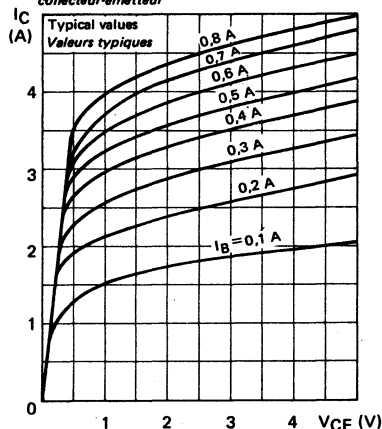
$L_2 = 32 \text{ turns}$

$L_3 = 100 \text{ turns, magnetic circuit B 42 material}$
tours, circuit magnétique en matériau B 42

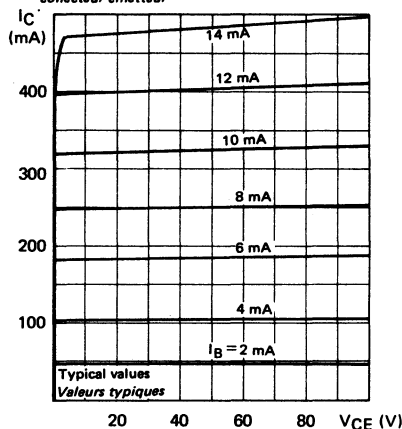
Magnetic circuit COFELEC, double E broken, $80 \times 26 \times 8$, B 42 material.
Circuit magnétique COFELEC, E double cassé, 80 × 26 × 8, matériau B 42

FIGURE 4

COLLECTOR CURRENT VERSUS COLLECTOR-
EMITTER VOLTAGE
*Courant collecteur en fonction de la tension
collecteur-émetteur*

**FIGURE 5**

COLLECTOR CURRENT VERSUS COLLECTOR-
EMITTER VOLTAGE
*Courant collecteur en fonction de la tension
collecteur-émetteur*

**FIGURE 6**

TRANSIENT THERMAL RESISTANCE DERATING
FACTOR UNDER PULSES CONDITIONS (Typical)
*Facteur de réduction de la résistance thermique en
régime d'impulsions (Typique)*

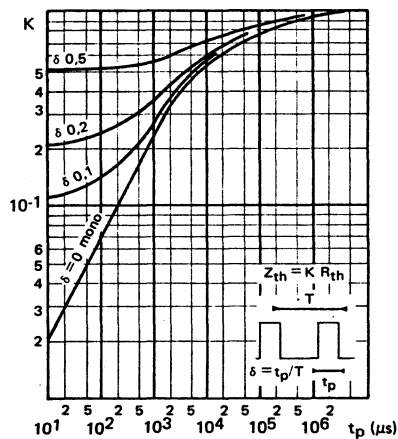
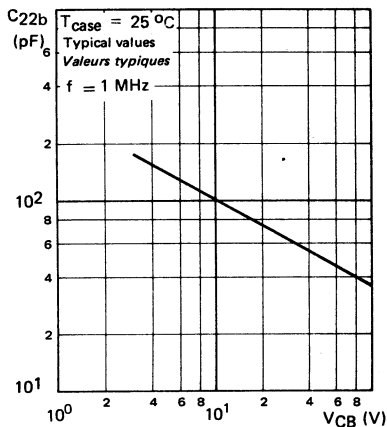
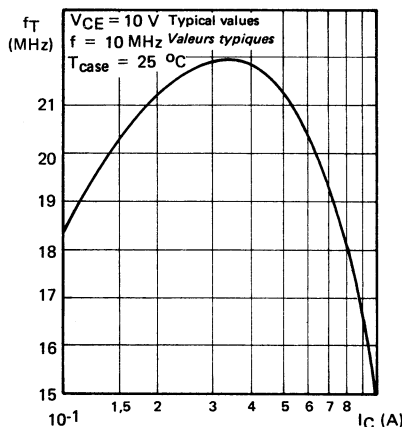


FIGURE 7

OUTPUT CAPACITANCE VERSUS
COLLECTOR-BASE VOLTAGE
*Capacité de sortie en fonction de la
tension collecteur-base*

**FIGURE 8**

TRANSITION FREQUENCY VERSUS
COLLECTOR CURRENT
*Fréquence de transition en fonction du
courant collecteur*

**FIGURE 9**

RELATIVE VARIATION OF t_f TIME VERSUS
JUNCTION TEMPERATURE

*Variation relative du temps t_f en fonction de la
température*

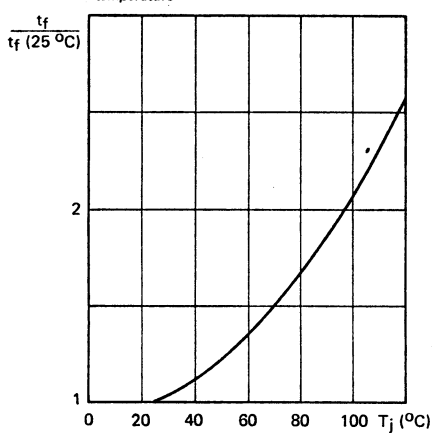
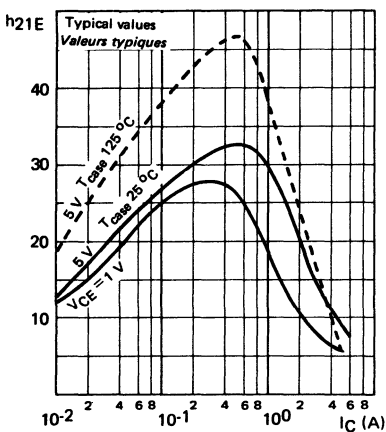
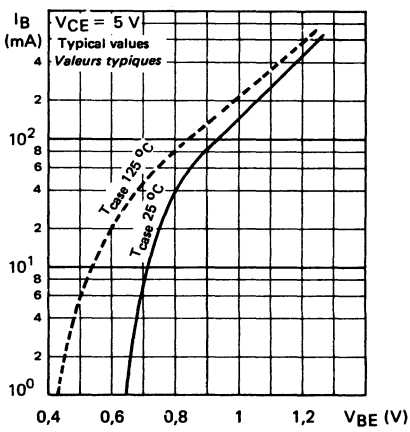


FIGURE 10

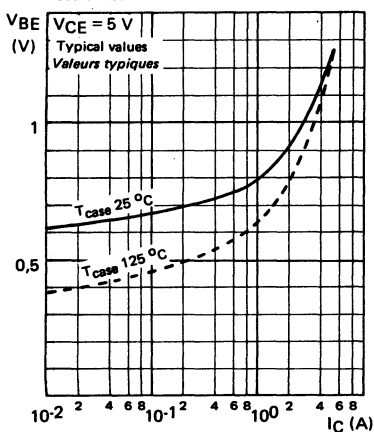
STATIC FORWARD CURRENT TRANSFER RATIO VERSUS COLLECTOR CURRENT
Valeur statique du rapport de transfert direct du courant en fonction du courant collecteur

**FIGURE 11**

BASE CURRENT VERSUS BASE-EMITTER VOLTAGE
Courant base en fonction de la tension base-émetteur

**FIGURE 12**

BASE-EMITTER VOLTAGE VERSUS COLLECTOR CURRENT
Tension base-émetteur en fonction du courant collecteur

**FIGURE 13**

BASE-EMITTER VOLTAGE VERSUS COLLECTOR CURRENT
Tension base-émetteur en fonction du courant collecteur

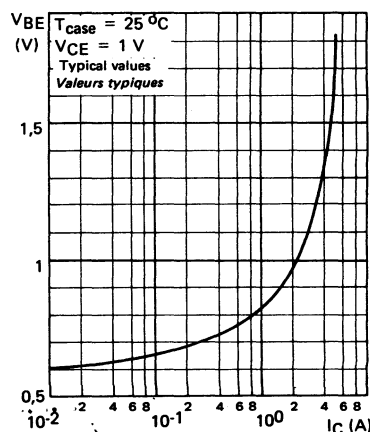
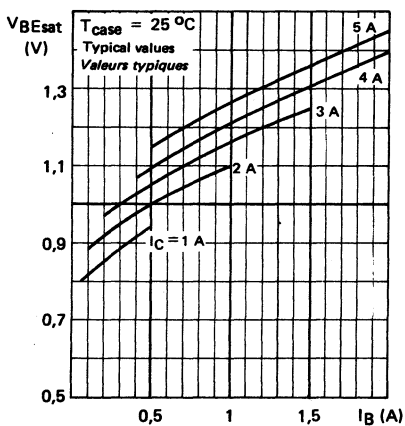
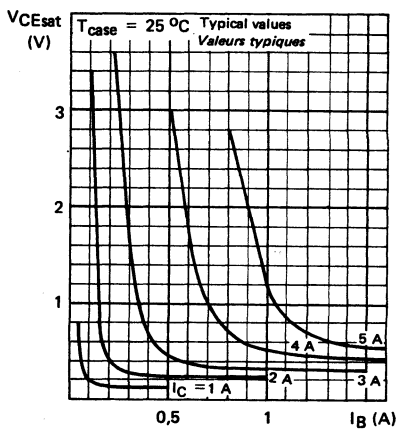


FIGURE 14

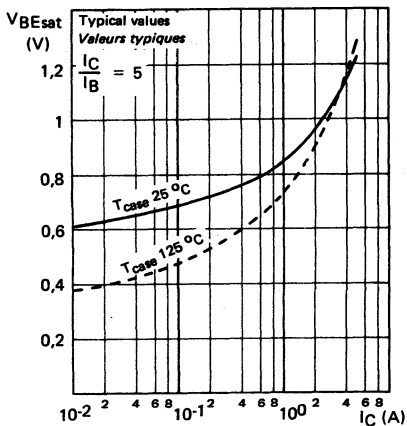
BASE-EMITTER SATURATION VOLTAGE
VERSUS BASE CURRENT
*Tension de saturation base-émetteur en fonction
du courant base*

**FIGURE 15**

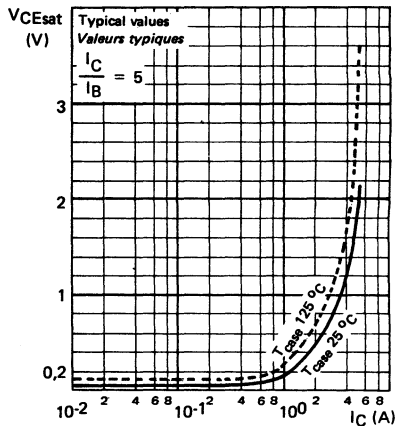
COLLECTOR-EMITTER SATURATION VOLTAGE
VERSUS BASE CURRENT
*Tension de saturation collecteur-émetteur en fonction
du courant base*

**FIGURE 16**

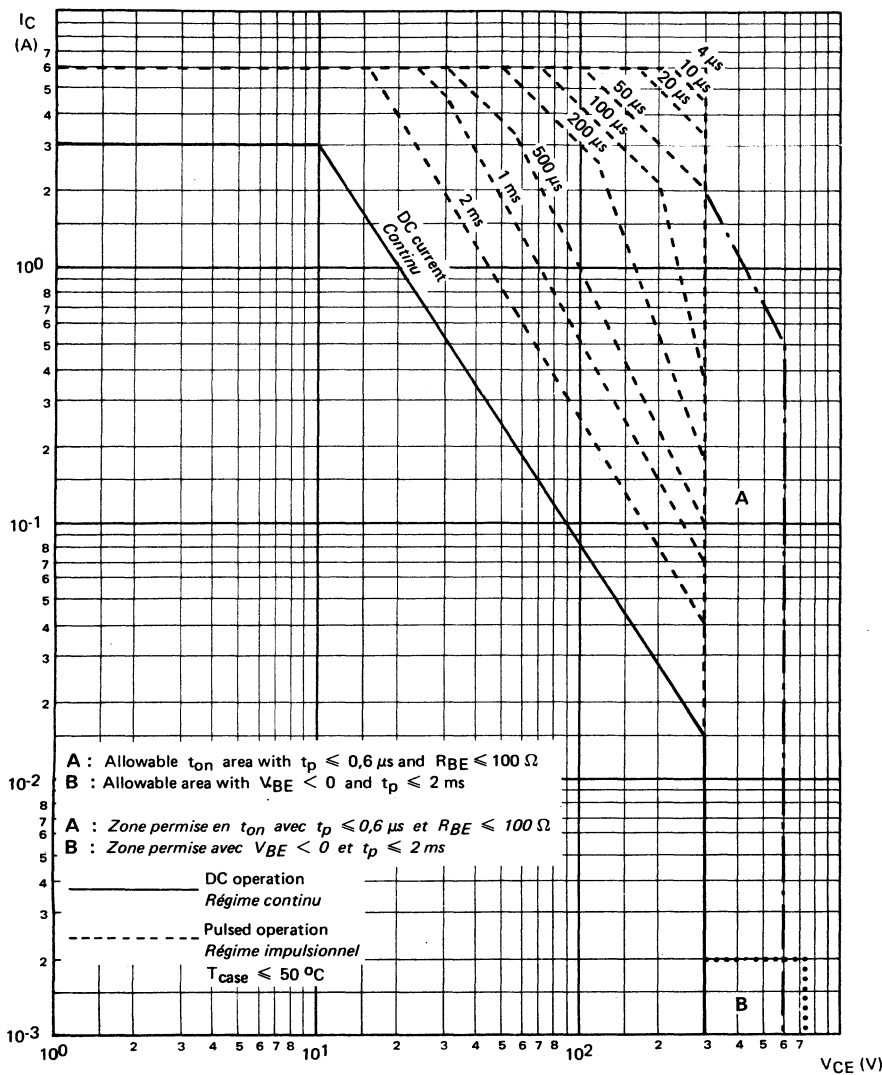
BASE-EMITTER SATURATION VOLTAGE
VERSUS COLLECTOR CURRENT
*Tension de saturation base-émetteur en
fonction du courant collecteur*

**FIGURE 17**

COLLECTOR-EMITTER SATURATION VOLTAGE
VERSUS COLLECTOR CURRENT
*Tension de saturation collecteur-émetteur en
fonction du courant collecteur*



SAFE OPERATING AREA
AIRE DE SECURITE



[Signature]

NPN SWITCHING DARLINGTON

DARLINGTON NPN DE COMMUTATION

SUPERSWITCH

MONOLITHIC DARLINGTON WITH INTEGRATED SPEED UP DIODE AND DAMPER DIODE, SUITED FOR TV APPLICATIONS

- * Horizontal deflection
- * Switchmode power supply
- * Linear power supply

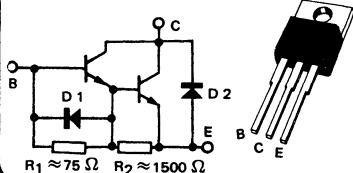
DARLINGTON MONOLITHIQUE AVEC DIODE DE DÉSTOCKAGE ET DIODE DAMPER INTEGRIÉES, ADAPTE AUX APPLICATIONS TV.

- * Baleyage horizontal
- * Alimentation à découpage
- * Alimentation ballast

BU 184 BU 189

| | | |
|----------------------|--------|--------|
| V _{CEOsus} | 200 V | 150 V |
| V _{CEx} | 400 V | 330 V |
| I _{Csat} | 5 A | 5 A |
| t _f (max) | 0,5 µs | 0,5 µs |

Case TO-220 AB (CB.117)
Boîtier



ABSOLUTE RATINGS (LIMITING VALUES)

VALEURS LIMITES ABSOLUES D'UTILISATION

| | | BU 184 | BU 189 | |
|---|---|---------------|---------------|----|
| Collector-emitter voltage <i>Tension collecteur-émetteur</i> | V _{CEx} | 400 | 330 | V |
| Collector-base voltage <i>Tension collecteur-base</i> | V _{CBO} | 400 | 330 | V |
| Emitter-base voltage <i>Tension émetteur-base</i> | V _{EBO} | 8 | 8 | V |
| Collector current <i>Courant collecteur</i> | I _C I _{CM} t _p ≤ 10 ms | 8 15 | 8 15 | A |
| Base current <i>Courant base</i> | I _B I _{BM} t _p ≤ 10 ms | 2 4 | 2 4 | A |
| Power dissipation <i>Dissipation de puissance</i> | P _{tot} | 60 | 60 | W |
| Junction temperature <i>Température de jonction</i> | T _j | - 65 + 150 | - 65 + 150 | °C |

Junction-case thermal resistance
Résistance thermique jonction-boîtier

R_{th(j-c)}

2,08

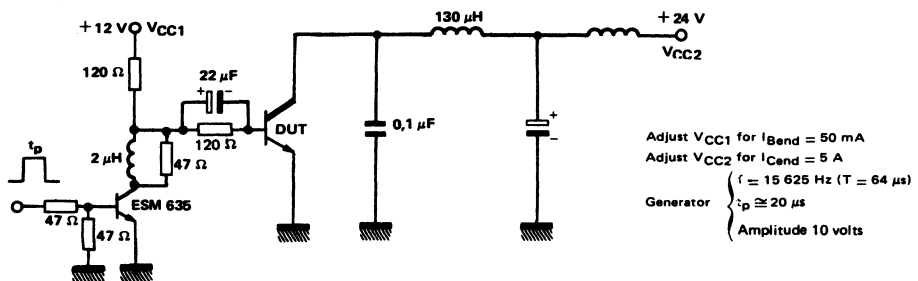
2,08

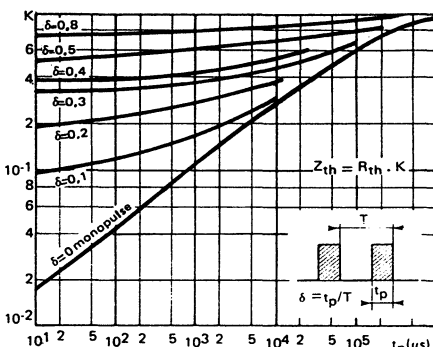
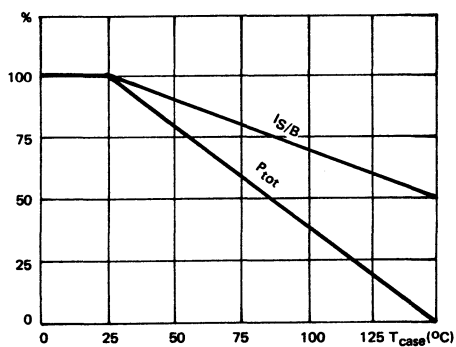
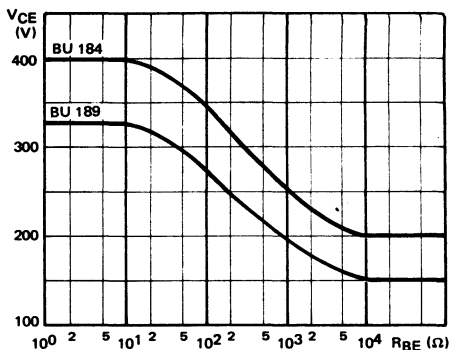
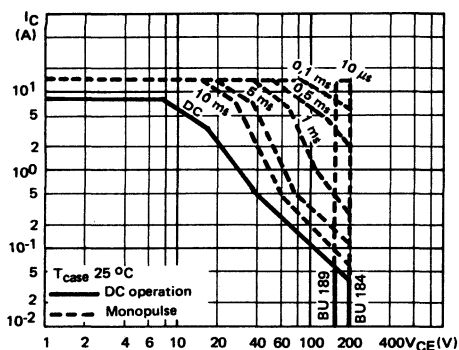
°C/W

ELECTRICAL CHARACTERISTICS - CARACTÉRISTIQUES ÉLECTRIQUES **

| SYMBOLS | Min | Typ | Max | UNITS | | TEST CONDITIONS - CONDITIONS DE MESURE |
|--|------------|-----|-----|---------------|------------------|--|
| OFF CHARACTERISTICS - CARACTÉRISTIQUES A L'ÉTAT BLOQUÉ | | | | | | |
| V_{CEO} _{sus} | 200 150 | | | V | BU 184 BU 189 | $V_{BE} = 0$, $I_C = 3 \text{ A}$, $L = 15 \text{ mH}$ |
| I_{CEX} | | 100 | | μA | | $V_{CE} = V_{CEX}$, $V_{BE} = -6 \text{ V}$ |
| I_{EBO} | | 10 | | mA | | $V_{EB} = 8 \text{ V}$, $I_C = 0$ |
| ON CHARACTERISTICS - CARACTÉRISTIQUES A L'ÉTAT CONDUCTEUR | | | | | | |
| V_{CESat} * | | 1,5 | | V | | $I_C = 5 \text{ A}$, $I_B = 50 \text{ mA}$ |
| V_{BESat} * | | 2,2 | | V | | $I_C = 5 \text{ A}$, $I_B = 50 \text{ mA}$ |
| V_F _{diode} | | 1,8 | 2,3 | V | | $I_F = 4 \text{ A}$ |
| SWITCHING CHARACTERISTICS - CARACTÉRISTIQUES DE COMMUTATION | | | | | | |
| On inductive load - Sur charge inductive | | | | | | |
| t_f | | 0,3 | 0,5 | μs | | See figure below |

* Measured with pulses $t_p = 300 \mu\text{s}$ $\delta \leq 2\%$ ** $T_j = 25^\circ\text{C}$





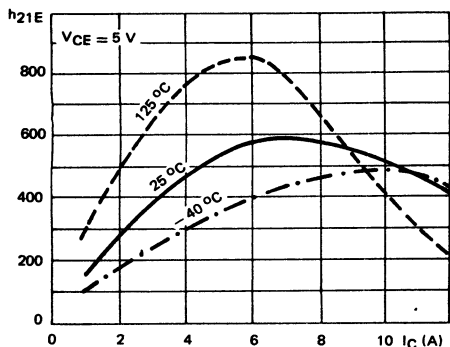


FIGURE 6 : DC current gain

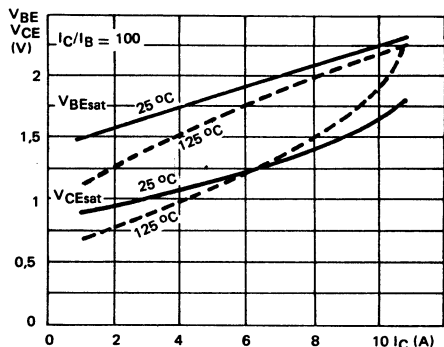
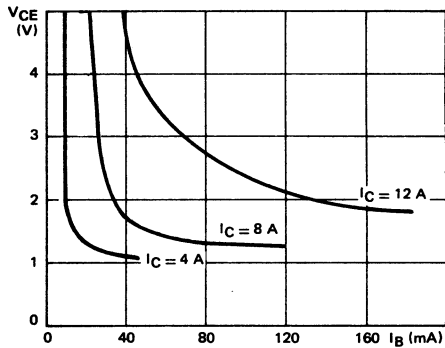
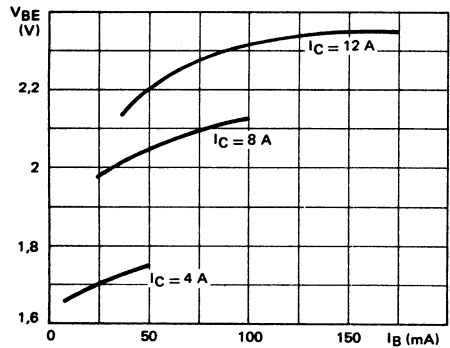


FIGURE 7 : Saturation voltage

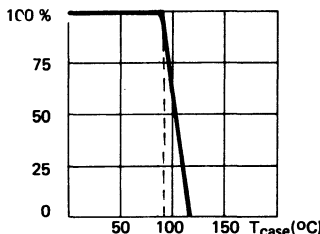


Horizontal deflection circuits of 110° large screen color television receivers. High voltage switching on inductive load.

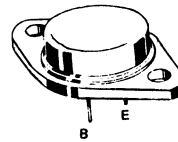
Balayage horizontal des téléviseurs couleur 110°. Commutation haute tension sur charge inductive.

| | | |
|-------------------|--------------|--------|
| V_{CES} | 1300 V | BU 204 |
| | 1500 V | BU 205 |
| | 1700 V | BU 206 |
| I_C | 2,5 A | |
| P_{tot} (90 °C) | 10 W | |
| t_f (2 A) | 0,75 μ s | Typ |

Maximum power dissipation
Dissipation de puissance maximale



Case Boîtier TO 3 (CB 19)



ABSOLUTE RATINGS (LIMITING VALUES)
VALEURS LIMITES ABSOLUES D'UTILISATION

| | | BU 204 | BU 205 | BU 206 | |
|---|--------------------|-------------------|-------------------|-------------------|----|
| Collector-emitter voltage <i>Tension collecteur-émetteur</i> | V_{CEO} | 600 | 700 | 800 | V |
| Collector-emitter voltage $R_{BE} = 100 \Omega$ | V_{CER} | 1300 | 1500 | 1700 | V |
| Collector-emitter voltage $V_{BE} = 0$ | V_{CES} | 1300 | 1500 | 1700 | V |
| Collector current <i>Courant collecteur</i> | I_C I_{CM} | 2,5 3 | 2,5 3 | 2,5 3 | A |
| Base current <i>Courant base</i> | I_B I_{BM} | 0,1 2,5 | 0,1 2,5 | 0,1a 2,5 | A |
| Power dissipation <i>Dissipation de puissance</i> | P_{tot} | 10 | 10 | 10 | W |
| Storage and junction temperature max <i>Température de jonction et de stockage</i> | t_j T_{stg} | 115 - 65 + 115 | 115 - 65 + 115 | 115 - 65 + 115 | °C |

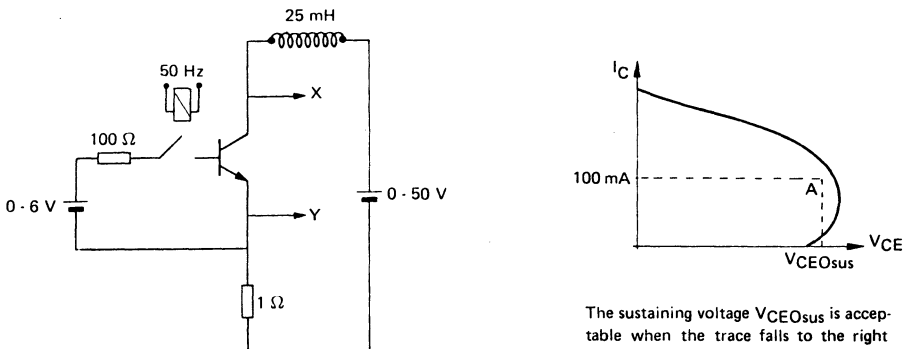
| Junction-case thermal resistance <i>Résistance thermique jonction boîtier</i> ^{max} | $R_{th(j-c)}$ | 2,5 | 2,5 | 2,5 | °C/W |
|---|---------------|-----|-----|-----|------|
| | | | | | |

| STATIC CHARACTERISTICS CARACTÉRISTIQUES STATIQUES | Test conditions Conditions de mesure | | | $T_{case} = 25^{\circ}\text{C}$ | (unless otherwise stated) (sauf indication contraire) | | |
|---|--|--------------------------------|---------------|---------------------------------|---|-----|---------------|
| | | | | | min | typ | max |
| Collector emitter cut off current <i>Courant résiduel collecteur émetteur</i> | $R_{BE} = 0$ $V_{CE} = 1300 \text{ V}$ | BU 204 | I_{CES} | | | 1 | mA |
| | $R_{BE} = 0$ $V_{CE} = 1500 \text{ V}$ | BU 205 | | | | 1 | mA |
| | $R_{BE} = 0$ $V_{CE} = 1700 \text{ V}$ | BU 206 | | | | 1 | mA |
| Emitter base breakdown voltage <i>Tension de claquage émetteur base</i> | $I_C = 0$ $I_E = 10 \text{ mA}$ | All types <i>Tous types</i> | $V_{(BR)EBO}$ | 5 | 7 | | V |
| Collector emitter breakdown voltage <i>Tension de claquage émetteur base</i> | $L = 25 \text{ mH}$ $I_C = 100 \text{ mA}$ $I_B = 0$ | BU 204 BU 205 BU 206 | V_{CEOsus} | 600 700 800 | | | V V V |
| Static forward current transfer ratio <i>Valeur statique du rapport de transfert direct du courant</i> | $V_{CE} = 5 \text{ V}$ $I_C = 2 \text{ A}$ | BU 204 BU 205 | h_{21E}^* | 2 | | | |
| | $V_{CE} = 5 \text{ V}$ $I_C = 2 \text{ A}$ | BU 206 | | 1,8 | | | |
| Collector emitter saturation voltage <i>Tension de saturation collecteur émetteur</i> | $I_C = 2 \text{ A}$ $I_B = 1 \text{ A}$ | BU 204 BU 205 | V_{CEsat}^* | | | 5 | V |
| | $I_C = 2 \text{ A}$ $I_B = 1,1 \text{ A}$ | BU 206 | | | | 5 | V |
| Base emitter saturation voltage <i>Tension de saturation base émetteur</i> | $I_C = 2 \text{ A}$ $I_B = 1 \text{ A}$ | BU 204 BU 205 | V_{BEsat}^* | | | 1,5 | V |
| | $I_C = 2 \text{ A}$ $I_B = 1,1 \text{ A}$ | BU 206 | | | | 1,5 | V |
| DYNAMIC CHARACTERISTICS (for small signals) CARACTÉRISTIQUES DYNAMIQUES (pour petits signaux) | | | | $T_{case} = 25^{\circ}\text{C}$ | | | |
| Transition frequency <i>Fréquence de transition</i> | $V_{CE} = 5 \text{ V}$ $I_C = 0,1 \text{ A}$ $f = 5 \text{ MHz}$ | All types <i>Tous types</i> | f_T | | 7,5 | | MHz |
| Fall time <i>Temps de décroissance</i> | $I_C = 2 \text{ A}$ $I_{B1} = 1 \text{ A}$ | All types <i>Tous types</i> | t_f | | 0,75 | | μs |
| Carrier storage time <i>Retard à la décroissance</i> | $I_C = 2 \text{ A}$ $I_B = 10 \mu\text{A}$ figure 2 | All types <i>Tous types</i> | t_s | | 10 | | μs |

* Pulsed

* Impulsion $t_p = 0,3 \text{ ms}$, $\delta \leq 2 \%$

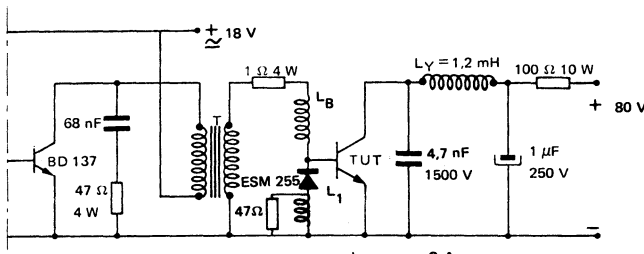
FIGURE 1 - V_{CEOsus} test circuit and oscillogram
Circuit de mesure de V_{CEOsus} et oscilloscopogramme



The sustaining voltage V_{CEOsus} is acceptable when the trace falls to the right and above point A.

La tension V_{CEOsus} est acceptable quand la trace passe au delà du point A.

FIGURE 2 - Switching times test circuit
Circuit de mesure des temps de commutation



Adjust the voltages to specified values
Ajuster les tensions aux valeurs indiquées

$$L_1 = 3 \text{ à } 15 \mu\text{H}$$

Driver transformer T

Magnetic circuit

COFELEC 2 x E adjusted 27 x 7 x 30 - B 30

Secondary (first winding) : 23 turns 60/100, one layer
 Primary : 160 turns 40/100, 5 layers

L_B : base inductance 10 μH , including the leakage inductance referred to the secondary
 (add about 17 turns 80/100, Ferrite core COFELEC 6 x 2 x 30 - B 30)

Transistor mounted on dissipator $R_{th(\text{rad})} \leq 3 \text{ }^{\circ}\text{C/W}$

$$L_1 = 3 \text{ à } 15 \mu\text{H}$$

Transformateur driver T

Circuit magnétique

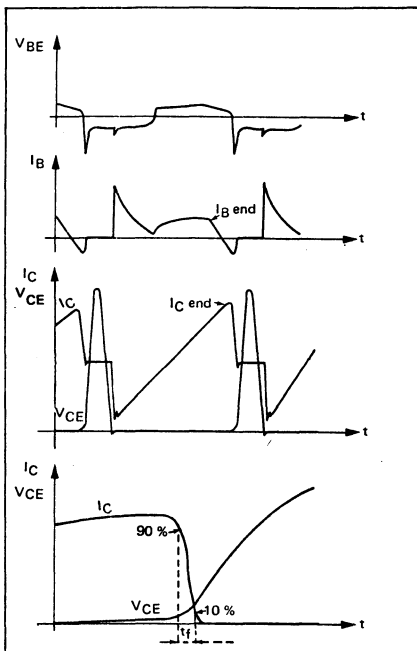
COFELEC 2 x E rectifiés 26 x 7 x 30 - B 30

Bobiné secondaire d'abord : 23 tours 60/100, une couche
 Primaire : 160 tours 40/100, 5 couches

L_B : inductance de base 10 μH , y compris l'inductance de fuite vue du secondaire du transformateur
 ! ajouter environ 17 tours 80/100 sur Ferrite COFELEC 6 x 2 x 30 - B 30)

Transistor monté sur radiateur $R_{th(\text{rad})} \leq 3 \text{ }^{\circ}\text{C/W}$

FIGURE 3



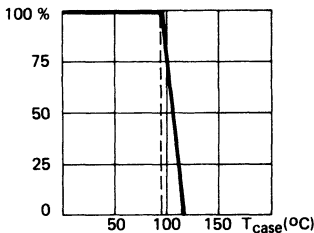
Voltage and current waveforms applied to the transistors
Formes d'ondes des courants et tensions appliquées aux transistors

Supersedes BU 207 N, BU 208 N, 09-1975 data sheet
Annule et remplace la notice BU 207 N, BU 208 N, 09-1975

Horizontal deflection circuits of 110 ° large screen color television receivers. High voltage switching on inductive load.

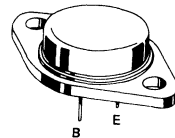
Balayage horizontal des téléviseurs couleur 110 °. Commutation haute tension sur charge inductive.

Dissipation derating
Variation de dissipation



| | | |
|--------------------------|---------------------------------------|----------------------------|
| V _{CES} | { 1300 V 1500 V 1700 V | BU 207 BU 208 BU 209 |
| I _C | { 5 A 4 A | BU 207 BU 208 BU 209 |
| P _{tot} (95 °C) | 12,5 W | |
| t _f (4,5 A) | { 0,9 µs typ. 0,7 µs typ. (3 A) | BU 207 BU 208 BU 209 |

Case TO 3 (CB 19)
Boîtier



ABSOLUTE RATINGS (LIMITING VALUES)
VALEURS LIMITES ABSOLUES D'UTILISATION

| | | BU 207 | BU 208 | BU 209 | | |
|---|------------------------------------|-----------------------------------|-------------------|-------------------|----------|---|
| Collector-emitter voltage <i>Tension collecteur-émetteur</i> | V _{CEO} | 600 | 700 | 800 | V | |
| Collector-emitter voltage <i>Tension collecteur-émetteur</i> | R _{BE} = 100 Ω | V _{CER} | 1300 | 1500 | 1700 | V |
| Collector-emitter voltage <i>Tension collecteur-émetteur</i> | V _{BE} = 0 | V _{CES} | 1300 | 1500 | 1700 | V |
| Collector current <i>Courant collecteur</i> | I _p = 10 ms | I _C I _{CM} | 5 7,5 | 5 7,5 | 4 6 | A |
| Base current <i>Courant base</i> | I _p = 10 ms | I _B I _{BM} | 2,5 4 | 2,5 4 | 2,5 4 | A |
| Power dissipation <i>Dissipation de puissance</i> | T _{case} ≤ 95 °C | P _{tot} | 12,5 | 12,5 | 12,5 | W |
| Junction and storage temperature max <i>Température de jonction et de stockage</i> | T _j T _{stg} | 115 - 65 + 115 | 115 - 65 + 115 | 115 - 65 + 115 | °C | |

| Junction-case thermal resistance max <i>Résistance thermique jonction boîtier</i> | R _{th(j-c)} | .1,6 | 1,6 | 1,6 | °C/W |
|--|----------------------|------|-----|-----|------|
| | | | | | |

| STATIC CHARACTERISTICS CARACTÉRISTIQUES STATIQUES | Test conditions Conditions de mesure | | | $T_{case} = 25^\circ\text{C}$ | (unless otherwise stated) (sauf indication contraire) | | |
|---|--|--------------------------------|---------------|-------------------------------|---|-----|-----|
| | | | | | min | typ | max |
| Collector emitter cut off current <i>Courant résiduel collecteur émetteur</i> | $I_{BE} = 0$ $V_{CE} = 1300 \text{ V}$ | BU 207 | I_{CES} | | | 1 | mA |
| | $I_{BE} = 0$ $V_{CE} = 1500 \text{ V}$ | BU 208 | | | | 1 | mA |
| | $I_{BE} = 0$ $V_{CE} = 1700 \text{ V}$ | BU 209 | | | | 1 | mA |
| Emitter base breakdown voltage <i>Tension de claquage émetteur base</i> | $I_C = 0$ $I_E = 10 \text{ mA}$ | All types <i>Tous types</i> | $V_{(BR)EBO}$ | 5 | | | V |
| Collector emitter breakdown voltage <i>Tension de claquage collecteur-émetteur</i> | $L = 25 \text{ mH}$ $I_C = 100 \text{ mA}$ $I_B = 0$ Figure 1 | BU 207 BU 208 BU 209 | | | 600 | | V |
| | | | | | 700 | | V |
| | | | | | 800 | | V |
| Static forward current transfer ratio <i>Valeur statique du rapport de transfert direct du courant</i> | $V_{CE} = 5 \text{ V}$ $I_C = 4,5 \text{ A}$ | BU 207 BU 208 | h_{21E}^* | 2,25 | | | |
| | $V_{CE} = 5 \text{ V}$ $I_C = 3 \text{ A}$ | BU 209 | | | 2,25 | | |
| | | | | | | | |
| Collector emitter saturation voltage <i>Tension de saturation collecteur émetteur</i> | $I_C = 4,5 \text{ A}$ $I_B = 2 \text{ A}$ | BU 207 BU 208 | V_{CEsat}^* | | | 5 | V |
| | $I_C = 3 \text{ A}$ $I_B = 1,3 \text{ A}$ | BU 209 | | | | 5 | V |
| | | | | | | | |
| Base emitter saturation voltage <i>Tension de saturation base émetteur</i> | $I_C = 4,5 \text{ A}$ $I_B = 2 \text{ A}$ | BU 207 BU 208 | V_{BEsat}^* | | | 1,5 | V |
| | $I_C = 3 \text{ A}$ $I_B = 1,3 \text{ A}$ | BU 209 | | | | 1,5 | V |
| | | | | | | | |

DYNAMIC CHARACTERISTICS (for small signals)
CARACTÉRISTIQUES DYNAMIQUES (pour petits signaux)

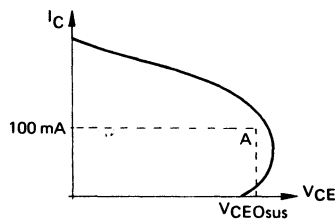
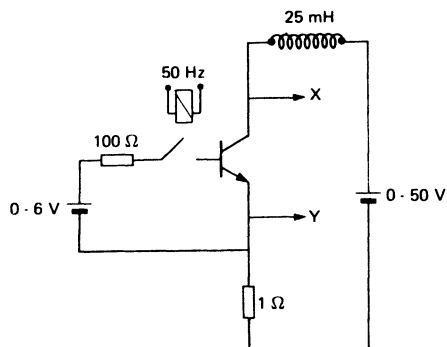
| | | | | $T_{case} = 25^\circ\text{C}$ |
|--|--|--------------------------------|-------|-------------------------------|
| Transition frequency <i>Fréquence de transition</i> | $V_{CE} = 5 \text{ V}$ $I_C = 0,1 \text{ A}$ $f = 5 \text{ MHz}$ | All types <i>Tous types</i> | f_T | 3 MHz |
| Fall time <i>Temps de décroissance</i> | $I_{Cend} = 4,5 \text{ A}$ $I_{Bend} = 1,8 \text{ A}$ Figure 2 | BU 207 BU 208 | t_f | 0,9 0,7 μs |
| | $I_{Cend} = 3 \text{ A}$ $I_{Bend} = 1,3 \text{ A}$ Figure 2 | BU 209 | | 0,7 μs |

* Pulsed
* Impulsion $t_p = 300 \mu\text{s}, \delta \leq 2 \%$

Note 1 : The high voltage transistors fall time is directly related to the circuit design of the transistor base control (dI_B/dt at turn off; maximale negative applied voltage V_{BE}; shape of the base reverse current).
For further informations , please contact Sescosem Sales Office.

Note 1 : Le temps de décroissance des transistors haute tension est lié directement à la réalisation de la commande de base (dI_B/dt à la coupure; tension négative V_{BEmax} appliquée ; forme du courant inverse de base).
Informations sur demande au service commercial Sescosem.

**FIGURE 1 - V_{CEOsus}, test circuit and oscillogram
Circuit de mesure de V_{CEOsus} et oscillogramme**

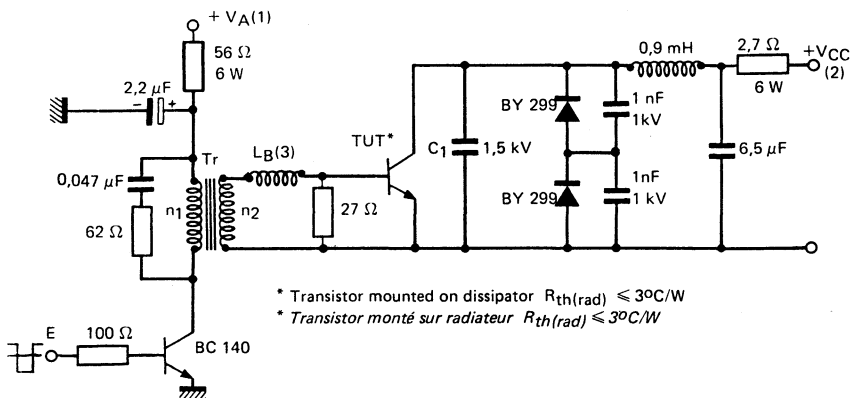


The sustaining voltage V_{CEOsus} is acceptable when the trace falls to the right and above point A.

La tension V_{CEOsus} est acceptable quand la trace passe au delà du point A.

FIGURE 2: SWITCHING TIMES TEST CIRCUIT

CIRCUIT DE MESURE DES TEMPS DE COMMUTATION

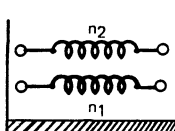


| | BU 207 | BU 208 | BU 209 | |
|------------------------|---------|---------|---------|----------------------------|
| 1) Ajust to I_{Bend} | 1,8 A | 1,8 A | 1,3 A | 1) Ajuster pour I_{Bend} |
| 2) Ajust to I_{Cend} | 4,5 A | 4,5 A | 3 A | 2) Ajuster pour I_{Cend} |
| 3) Ajust to t_s | 10 μs | 10 μs | 14 μs | 3) Ajuster pour t_s |
| V_A | ≈ 24 V | ≈ 24 V | ≈ 14 V | |
| V_{CC} | ≈ 140 V | ≈ 140 V | ≈ 90 V | |
| $L_B + L_f^*$ | ≈ 10 μH | ≈ 10 μH | ≈ 14 μH | |
| C_1 | 15 nF | 10 nF | 10 nF | |

* $L_B + L_f$ is the total of the secondary leakage inductance L_f (of the driver transformer) and the series inductance (L_B).
 * $L_B + L_f$ est la somme de l'inductance de fuite secondaire L_f du transformateur driver et de l'inductance série (L_B).

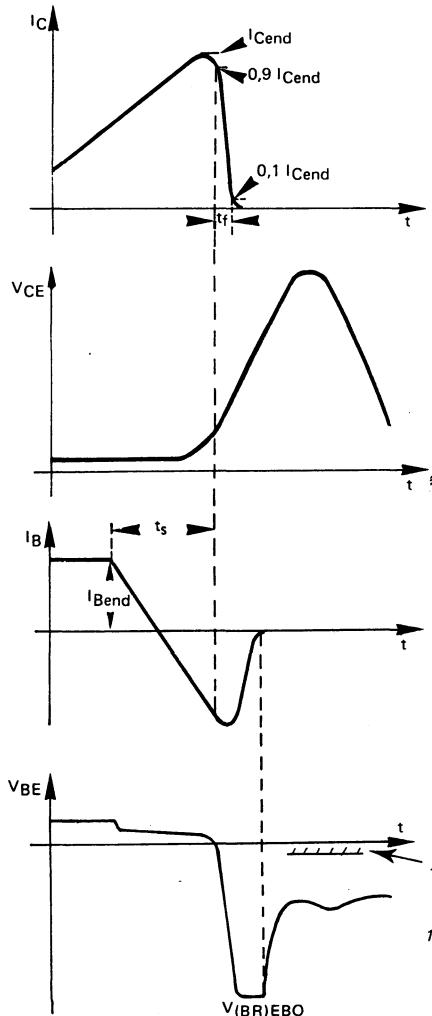
DRIVER TRANSFORMER

Magnetic circuit LCC B50 GER 30 x 13 x 8
 Primary winding $n_1 = 120$ spires ; $\phi = 0,35$ mm
 Secondary winding $n_2 = 25$ spires ; $\phi = 0,8$ mm
 Air gap $\delta = 0,2$ mm

TRANSFORMATEUR DRIVER

Circuit magnétique
 Enroulement primaire
 Enroulement secondaire
 Entrefer

FIGURE 3 : WAVEFORMS DURING SWITCHING WHEN THE TRANSISTOR TURNS OFF
FORMES D'ONDE PENDANT LA COMMUTATION A L'OUVERTURE DU TRANSISTOR



- 1) When the trace returns, the base emitter voltage must stay negative.
- 1) Pendant le retour de la trace, la tension base - émetteur doit rester négative.

FIGURE 4

Static forward current transfer ratio versus collector current.

Valeur statique du rapport de transfert direct du courant en fonction du courant collecteur

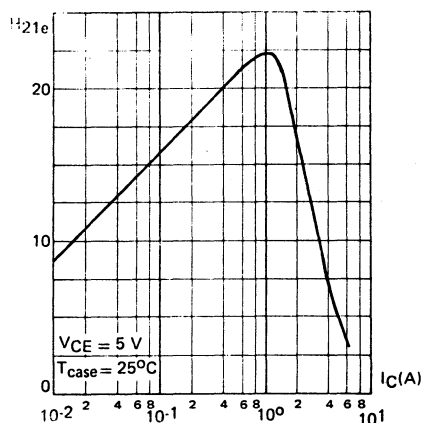


FIGURE 5

Relative variation of t_f time versus junction temperature.

Variation relative du t_f en fonction de la température de jonction.

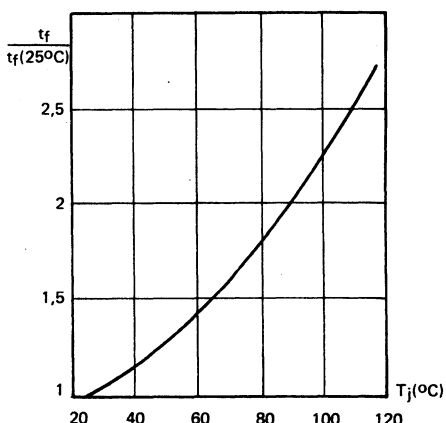
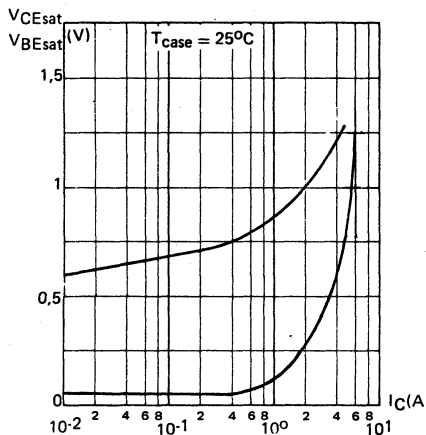


FIGURE 6

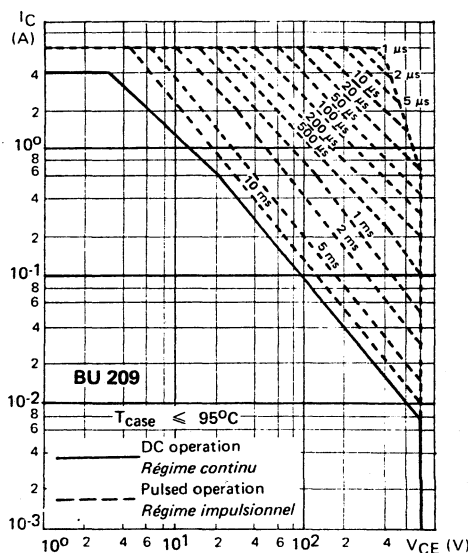
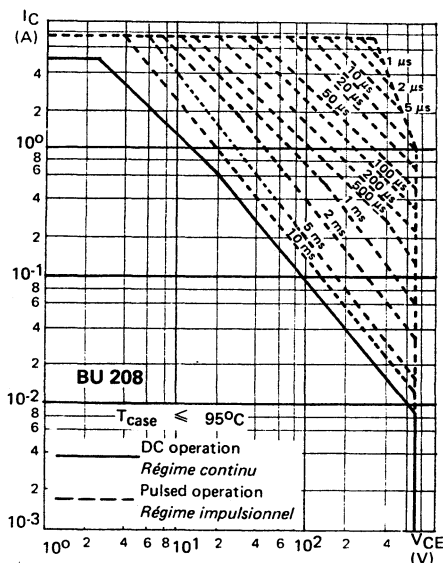
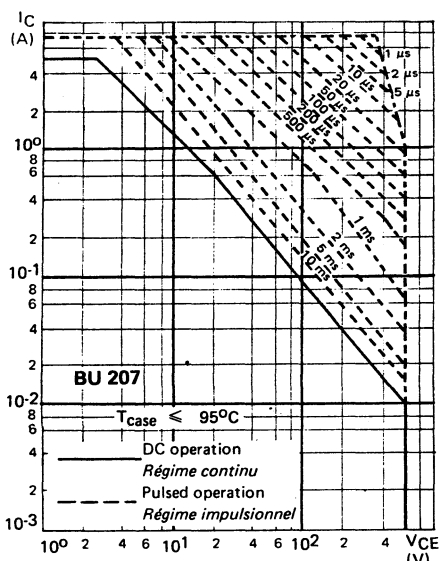
Collector-emitter saturation voltage and base-emitter saturation voltage versus collector current.

Tension de saturation collecteur-émetteur et tension de saturation base émetteur en fonction du courant collecteur.



SAFE OPERATING AREAS

AIRES DE SECURITE





SUPERSWITCH**BU 284****BU 289**

NPN SWITCHING DARLINGTON

DARLINGTON NPN DE COMMUTATION

SUPERSWITCH

MONOLITHIC DARLINGTON WITH INTEGRATED SPEED UP DIODE AND DAMPER DIODE, SUITED FOR TV APPLICATIONS

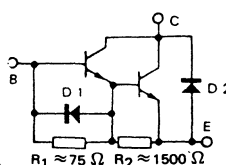
- * Horizontal deflection
- * Switchmode power supply
- * Linear power supply

DARLINGTON MONOLITHIQUE AVEC DIODE DE DÉ-STOCKAGE ET DIODE DAMPER INTEGREGES, ADAPTE AUX APPLICATIONS TV.

- * Balyage horizontal
- * Alimentation à découpage
- * Alimentation ballast

| | BU 284 | BU 289 |
|----------------------------|---------------|---------------|
| V_{CEO} | 200 V | 150 V |
| V_{CEx} | 400 V | 330 V |
| I_{Csat} | 5 A | 5 A |
| t_f (max) | 0,5 µs | 0,5 µs |

Case
Boîtier TOP 3



ABSOLUTE RATINGS (LIMITING VALUES)
VALEURS LIMITES ABSOLUES D'UTILISATION

| | | BU 284 | BU 289 | |
|---|---|---------------|---------------|----|
| Collector-emitter voltage <i>Tension collecteur-émetteur</i> | V_{CEO} | 200 | 150 | V |
| Collector-base voltage <i>Tension collecteur-base</i> | V_{CBO} | 400 | 330 | V |
| Emitter-base voltage <i>Tension émetteur-base</i> | V_{EBO} | 8 | 8 | V |
| Collector current <i>Courant collecteur</i> | I_C I_{CM} | 8 15 | 8 15 | A |
| Base current <i>Courant base</i> | I_B I_{BM} | 2 4 | 2 4 | A |
| Power dissipation <i>Dissipation de puissance</i> | P_{tot} | 90 | 90 | W |
| Junction temperature <i>Température de jonction</i> | T_j | -65 + 150 | -65 + 150 | °C |

Junction-case thermal resistance
Résistance thermique jonction-boîtier max

R_{th(j-c)}

1,39

1,39

°C/W

ELECTRICAL CHARACTERISTICS - CARACTÉRISTIQUES ÉLECTRIQUES **

| SYMBOLS | Min | Typ | Max | UNITS | | TEST CONDITIONS - CONDITIONS DE MESURE |
|---------|-----|-----|-----|-------|--|--|
|---------|-----|-----|-----|-------|--|--|

OFF CHARACTERISTICS - CARACTÉRISTIQUES A L'ÉTAT BLOQUÉ

| | | | | | | |
|---------------|------------|--|-----|---------------|------------------|--|
| V_{CEO} cl. | 200 150 | | | V | BU 284 BU 289 | $L = 15 \text{ mH}, I_B = 0, I_C = 3 \text{ mA}, V_{CE} \text{ cl.} = V_{CEO}$ |
| I_{CEX} | | | 100 | μA | | $V_{CE} = V_{CEX}, V_{BE} = -6 \text{ V}$ |
| I_{EBO} | | | 10 | mA | | $V_{EB} = 8 \text{ V}, I_C = 0$ |

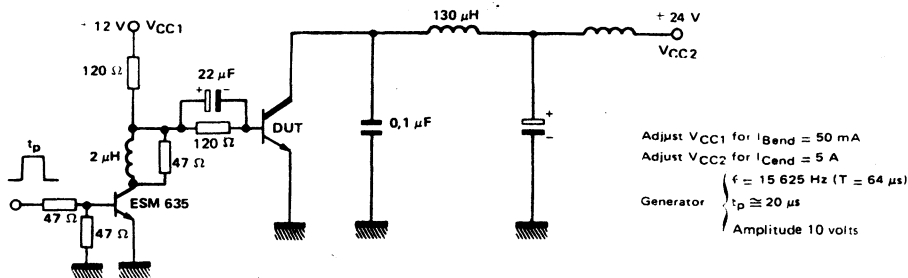
ON CHARACTERISTICS - CARACTÉRISTIQUES A L'ÉTAT CONDUCTEUR

| | | | | | |
|---------------|--|-----|---|--|--|
| V_{CEsat}^* | | 1,5 | V | | $I_C = 5 \text{ A}, I_B = 50 \text{ mA}$ |
| V_{BEsat}^* | | 2,2 | V | | $I_C = 5 \text{ A}, I_B = 50 \text{ mA}$ |
| V_F (diode) | | 2 | V | | $I_F = 4 \text{ A}$ |

SWITCHING CHARACTERISTICS - CARACTÉRISTIQUES DE COMMUTATION

| | | | | | |
|--|--|-----|-----|---------------|------------------|
| On inductive load - Sur charge inductive | | | | | |
| t_f | | 0,3 | 0,5 | μs | See figure below |

* Measured with pulses $t_p = 300 \mu\text{s}$ $\delta \leq 2\%$ ** $T_{case} = 25^\circ\text{C}$



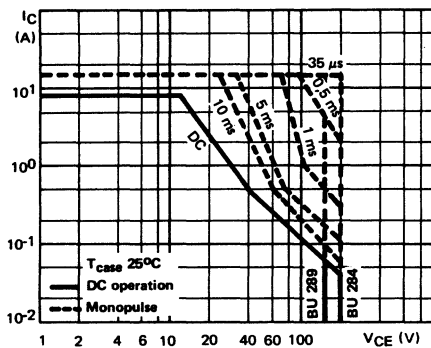


FIGURE 1 : DC and pulse area

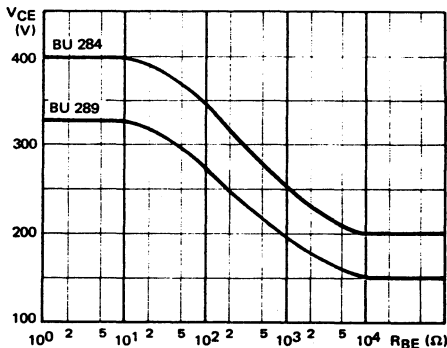


FIGURE 2 : Collector-emitter voltage vs base-emitter resistance

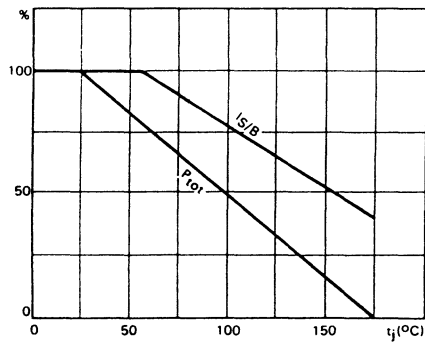
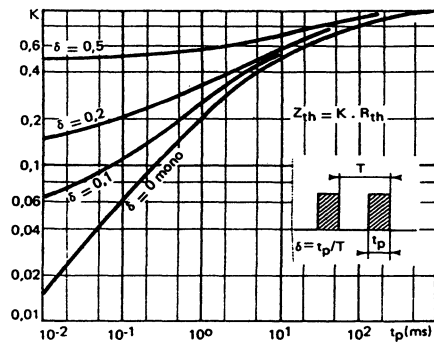
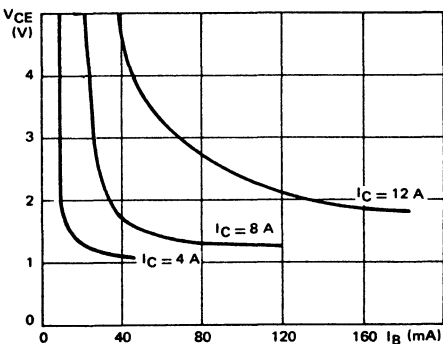
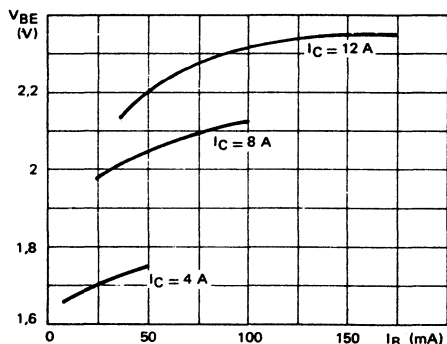
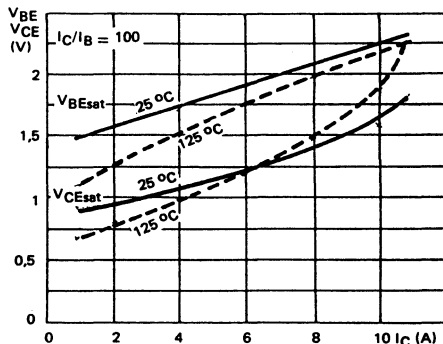
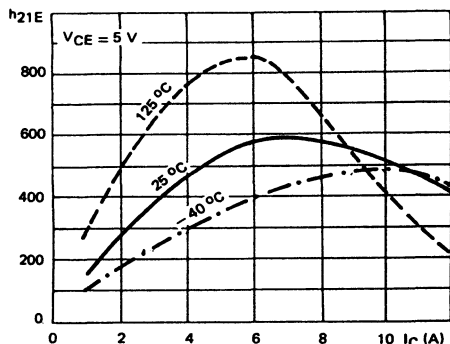
FIGURE 3 : Power and I_S/B derating vs case temperature

FIGURE 4 : Transient thermal response

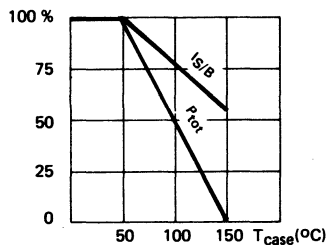


High voltage, fast switching power transistor primarily intended for switching mode power supply operating direct by from a rectified 220 V power line in consumer applications.

Transistor de puissance haute tension de commutation rapide, spécialement adapté aux alimentations à découpage, fonctionnant directement sur le secteur 220 V redressé pour les applications Grand Public.

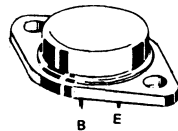
Dissipation and I_S/B derating

Variation de dissipation et de I_S/B



| | |
|-------------------|--------------|
| V_{CES} | 800 V |
| I_{CM} | 8 A |
| P_{tot} | 60 W |
| V_{CEsat} (4 A) | ≤ 3 V |
| t_f (4 A) | 0,25 μ s |

Case
Boîtier TO 3 (CB 19)



ABSOLUTE RATINGS (LIMITING VALUES)

VALEURS LIMITES ABSOLUES D'UTILISATION

| | | | |
|---|-----------|-------------|----|
| Collector-emitter voltage <i>Tension collecteur-émetteur</i> | V_{CEO} | 375 | V |
| Collector-emitter voltage <i>Tension collecteur-émetteur</i> | V_{CES} | 800 | V |
| Emitter-base voltage <i>Tension émetteur-base</i> | V_{EBO} | 10 | V |
| Collector current <i>Courant collecteur</i> | I_C | 6 | A |
| Collector current <i>Courant collecteur</i> | I_{CM} | 8 | A |
| Base current <i>Courant base</i> | I_B | 2 | A |
| Base current <i>Courant base</i> | I_{BM} | 3 | A |
| Average reverse base current <i>Courant base de crête moyenne</i> | $-I_B$ | 100 | mA |
| Peak reverse base current <i>Courant base de crête inverse</i> | $-I_{BM}$ | 3 | A |
| Power dissipation <i>Dissipation de puissance</i> | P_{tot} | 60 | W |
| Storage and junction temperature <i>Température de jonction et de stockage</i> | t_j | 150 | °C |
| | T_{stg} | $-65 + 150$ | °C |

| | | | | |
|--|-----|---------------|------|------|
| Junction-case thermal resistance <i>Résistance thermique jonction boîtier</i> | max | $R_{th(j-c)}$ | 1,67 | °C/W |
|--|-----|---------------|------|------|

STATIC CHARACTERISTICS
CARACTÉRISTIQUES STATIQUES

 $T_{case} = 25^\circ C$ (Unless otherwise stated)
(Sauf indications contraires)

| | Test conditions <i>Conditions de mesure</i> | | min | typ | max | |
|--|--|----------------------|-----|-----|-----|----|
| Collector-emitter cut-off cur. ent <i>Courant résiduel collecteur-émetteur</i> | V _{CE} = 800 V V _{BE} = 0 T _{case} = 25 °C | I _{CES} | | | 1 | mA |
| | V _{CE} = 800 V V _{BE} = 0 T _{case} = 125 °C | | | | 2 | |
| Emitter-base cut-off current <i>Courant résiduel émetteur-base</i> | V _{EB} = 10 V I _C = 0 | I _{EBO} | | | 10 | mA |
| Collector-emitter breakdown voltage <i>Tension de claquage collecteur-émetteur</i> Figure 1 | I _C = 100 mA I _B = 0 L = 25 mH | V _{CEOsus} | 375 | | | V |
| Static forward current transfert ratio <i>Valeur statique du rapport de transfert direct du courant</i> | V _{CE} = 10 V I _C = 2,5 A | h_{21E}^* | | 15 | | |
| Collector-emitter saturation voltage <i>Tension de saturation collecteur-émetteur</i> | I _C = 2,5 A I _B = 0,25 A | V _{CESat} * | | | 10 | V |
| | I _C = 4 A I _B = 1,25 A | | | | 3 | |
| Base-emitter saturation voltage <i>Tension de saturation base-émetteur</i> | I _C = 2,5 A I _B = 0,25 A | V _{BESat} * | | | 1,4 | V |
| | I _C = 4 A I _B = 1,25 A | | | | 1,6 | |

* Pulsed
Impulsions $t_p = 300 \mu s$ $\delta \leq 2\%$

DYNAMIC CHARACTERISTICS (for small signals)*CARACTÉRIQUE DYNAMIQUES (pour petits signaux)*T_{case} 25 °C

(Unless otherwise stated)

(Sauf indications contraires)

| | Test conditions <i>Conditions de mesure</i> | | min | typ | max | |
|---|---|---|---------------------------------|-----|-----|-----|
| Transition frequency <i>Fréquence de transition</i> | I _C = 0,2 A V _{CE} = 10 V f = 1 MHz | f _T | | 4 | | MHz |
| Turn-on time <i>Temps total d'établissement</i> | Fig. 2 | | t _d + t _r | | 0,5 | μs |
| Fall time <i>Temps de décroissance</i> | Fig. 2 | I _C = 2,5 A I _{B1} = 0,5 A I _{B2} = - 1 A V _{CC} = 250 V | t _f | | 0,5 | μs |
| Carrier storage time <i>Retard à la décroissance</i> | Fig. 2 | | t _s | | 3,5 | μs |

FIGURE 1 - $V_{(BR)}CEO$ - $V_{(BR)}CEX$ - $V_{(BR)}CER$ test circuit (and oscillograms)
Circuit de mesure des $V_{(BR)}CEO$ - $V_{(BR)}CEX$ - $V_{(BR)}CER$ et oscillogramme

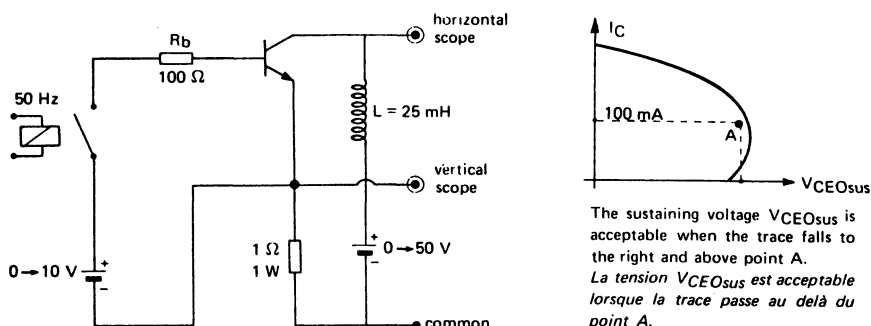
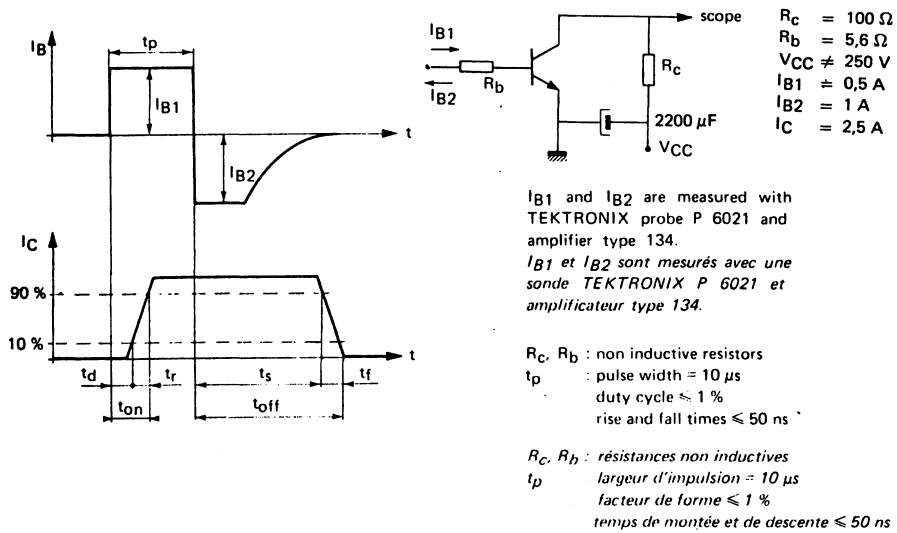


FIGURE 2 - Switching times test circuit (and oscillograms)
Circuit de mesure des temps de commutation et oscillogrammes



SAFE OPERATING AREA IN THE SWITCHING MODE

In the switching mode, the transistor is either in an on state or in an off one; when it is conducting, the collector-emitter voltage remains low (V_{CEsat}). The switching from the off state to the on one (and vice-versa) occurs during a time (t_r or t_f) closed to the values guaranteed in the data sheets.

In the switching mode, the SOAR is specified for junction temperatures below or equal to 125°C .

During the off state switching, the SOAR is defined by the zone 1. In order to make the transistor capable of sustaining a voltage higher than V_{CEOsus} (then the operating point remains along the segment MN) it is obligatory that :

- the emitter-base junction should be reverse biased ($V_{BE} \geq 0$)
- the collector current of the transistor should be below or equal to the maximum leakage current specified

During the on state switching, the SOAR is defined by the zone 2. The operating point may move within the hatched area provided that :

- the moving time within this area is below than $0,25\ \mu\text{s}$
- the emitter-base junction is forward biased (by a voltage higher than the threshold conduction)

AIRE DE SÉCURITÉ EN RÉGIME DE COMMUTATION

En régime de commutation, le transistor est soit bloqué, soit conducteur. Quand il est conducteur la tension collecteur-émetteur est faible (V_{CEsat}). La commutation de l'état bloqué à l'état passant (et vice-versa) a lieu avec un temps de commutation (t_r ou t_f) voisin des valeurs garanties dans les notices.

L'aire de sécurité en régime de commutation est définie pour des températures de jonction inférieures ou égales à 125°C .

Pendant la commutation à l'ouverture, l'aire de sécurité est définie par la zone 1. Pour que le transistor soit capable de supporter une tension supérieure à V_{CEOsus} (le point de fonctionnement se trouve alors sur le segment MN), il est indispensable :

- que la jonction émetteur-base soit polarisée en inverse ($V_{BE} \geq 0$)
- que le courant collecteur du transistor soit au plus égal au courant de fuite maximum spécifié

Pendant la commutation à la fermeture, l'aire de sécurité est définie par la zone 2. Mais le point de fonctionnement ne peut traverser la zone hachurée que si :

- le temps de parcours dans cette zone est inférieur à $0,25\ \mu\text{s}$
- la jonction émetteur-base est polarisée en direct (au dessus du seuil de conduction).

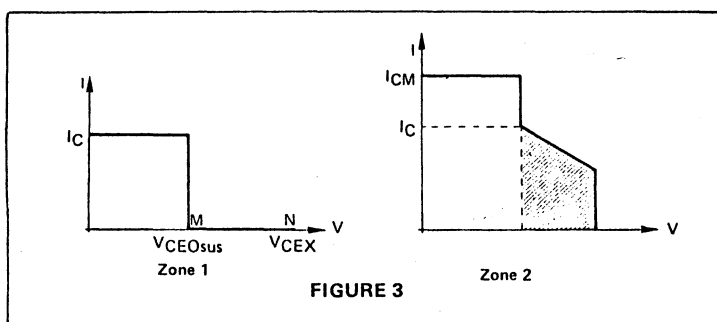


FIGURE 3

FIGURE 4

SAFE OPERATING AREA-OFF STATE
SWITCHING-SEE ALSO FIGURE 3
Aire de sécurité à la commutation à l'ouverture. Voir aussi figure 3

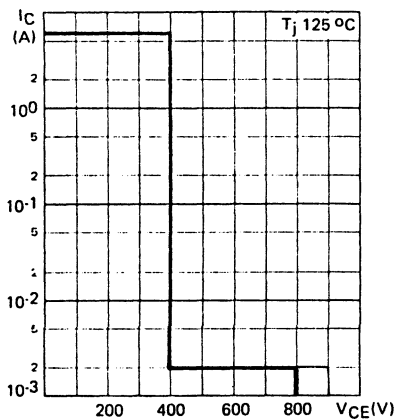


FIGURE 5

SAFE OPERATING AREA-ON STATE
SWITCHING-SEE ALSO FIGURE 3
Aire de sécurité à la commutation à la fermeture. Voir aussi figure 3

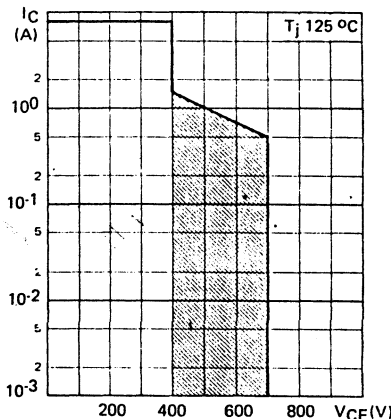


FIGURE 6

BASE Emitter VOLTAGE VERSUS BASE CURRENT
Tension base-émetteur en fonction du courant base

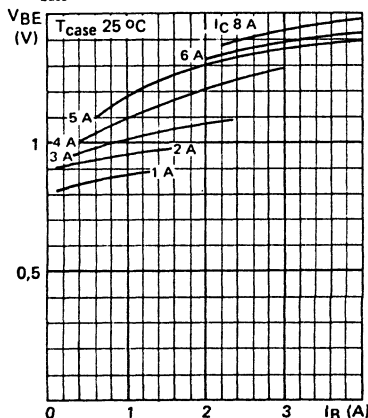


FIGURE 7

COLLECTOR Emitter VOLTAGE VERSUS BASE CURRENT
Tension collecteur émetteur en fonction du courant base

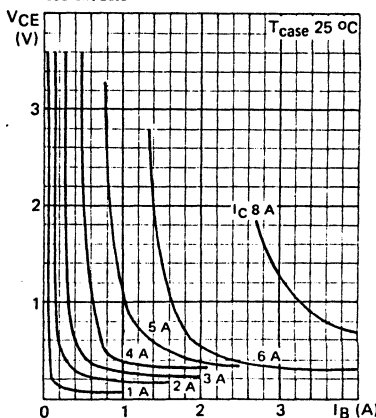


FIGURE 8

STATIC FORWARD CURRENT TRANSFER RATIO VERSUS COLLECTOR CURRENT
Valeur statique du rapport de transfert direct du courant en fonction du courant collecteur

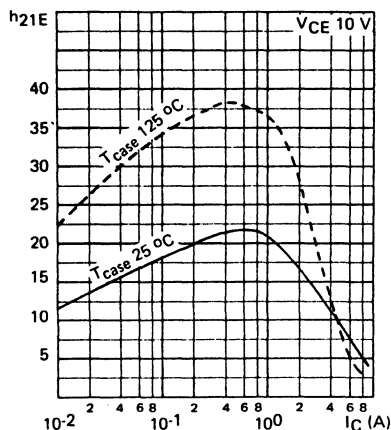


FIGURE 9

RELATIVE VARIATION OF t_f TIME VERSUS JUNCTION TEMPERATURE
Variation relative du temps t_f en fonction de la température

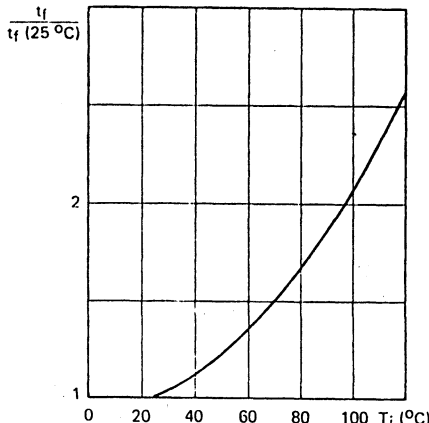
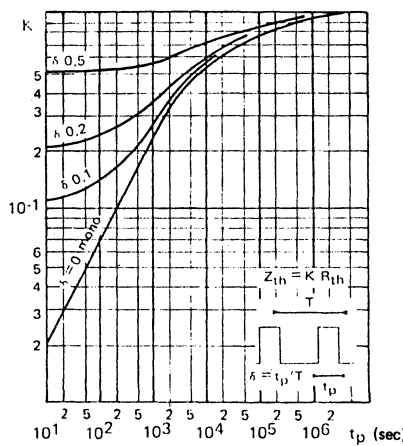
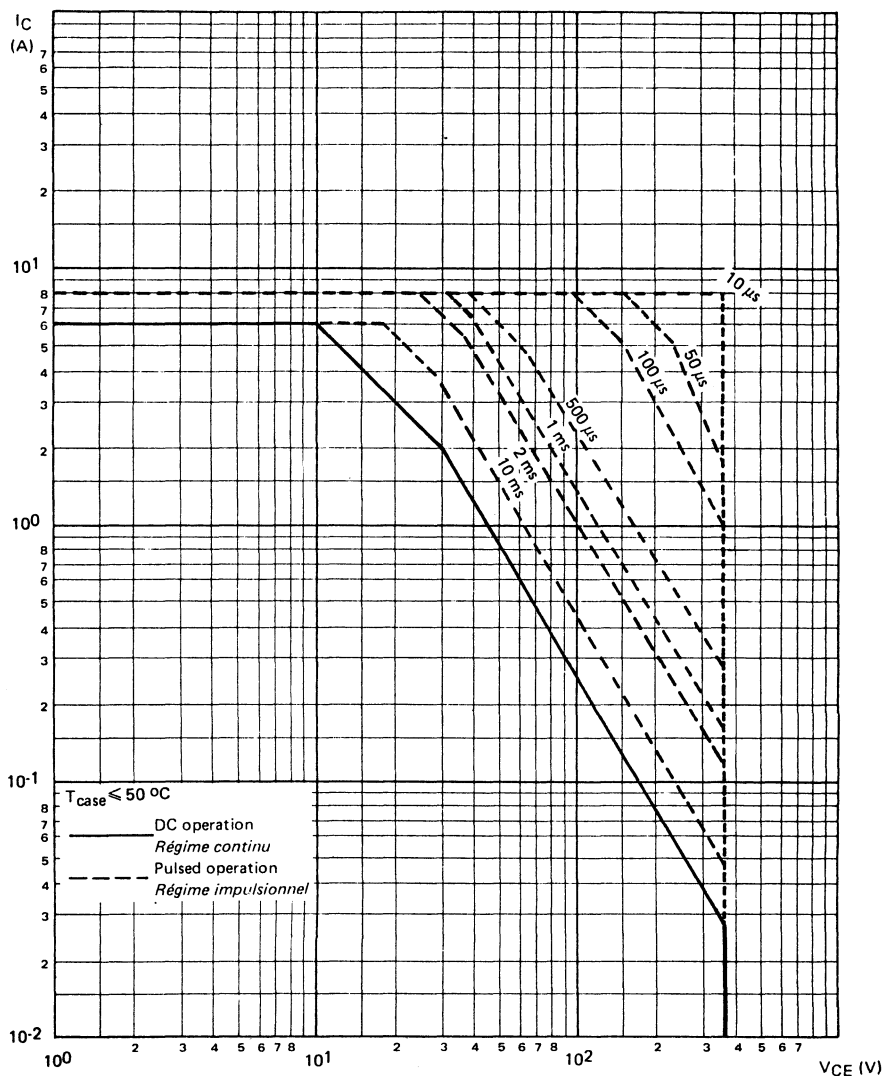


FIGURE 10

TRANSIENT THERMAL RESISTANCE DERATING FACTOR UNDER PULSES CONDITIONS (Typical)
Facteur de réduction de la résistance thermique en régime d'impulsions (Typique)



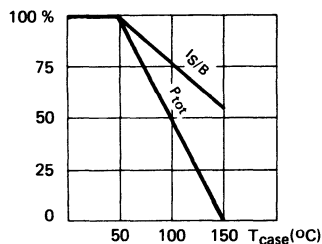
SAFE OPERATING AREA
AIRE DE SECURITE



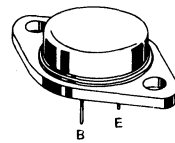
**NPN SILICON TRANSISTOR, TRIPLE DIFFUSED MESA
TRANSISTOR SILICIUM NPN, MESA TRIPLE DIFFUSE**

High voltage, fast switching power transistor primarily intended for switching mode power supply operating direct by from a rectified 220 V power line in consumer applications.

Transistor de puissance haute tension de commutation rapide, spécialement adapté aux alimentations à découpage, fonctionnant directement sur le secteur 220 V redressé pour les applications Grand Public

Dissipation and $I_{S/B}$ derating
Variation de dissipation et de $I_{S/B}$


| | |
|----------------------------|--------|
| V _{CES} | 900 V |
| I _{CM} | 8 A |
| P _{tot} | 60 W |
| V _{CESat} (4 A) | ≤ 3 V |
| t _f (2,5 A) max | 0,5 µs |

**Case
Boîtier TO 3 (CB 19)**

**ABSOLUTE RATINGS (LIMITING VALUES)
VALEURS LIMITES ABSOLUES D'UTILISATION**

| | | | |
|---|------------------------------------|-------------------|----|
| Collector-emitter voltage <i>Tension collecteur-émetteur</i> | V _{CEO} | 400 | V |
| Collector-emitter voltage <i>Tension collecteur-émetteur</i> | V _{CES} | 900 | V |
| Emitter-base voltage <i>Tension émetteur-base</i> | V _{EBO} | 10 | V |
| Collector current <i>Courant collecteur</i> | I _C | 6 | |
| Courant collecteur | I _{CM} | 8 | A |
| Base current <i>Courant base</i> | I _B | 2 | |
| Courant base | I _{BM} | 3 | A |
| Average reverse base current <i>Courant base de crête moyenne</i> | -I _B | 100 | mA |
| Peak reverse base current <i>Courant base de crête inverse</i> | -I _{BM} | 3 | A |
| Power dissipation <i>Dissipation de puissance</i> | P _{tot} | 60 | W |
| Storage and junction temperature <i>Température de jonction et de stockage</i> | t _j T _{stg} | 150 - 65 + 150 | °C |

| | | | | |
|--|-----|----------------------|------|------|
| Junction-case thermal resistance <i>Résistance thermique jonction boîtier</i> | max | R _{th(j-c)} | 1,67 | °C/W |
|--|-----|----------------------|------|------|

STATIC CHARACTERISTICS
CARACTÉRISTIQUES STATIQUES
 $T_{case} = 25^\circ C$ (Unless otherwise stated)
(Sauf indications contraires)

| | Test conditions <i>Conditions de mesure</i> | | min | typ | max | |
|--|--|---------------|-----|-----|-----|----|
| Collector-emitter cut-off current <i>Courant résiduel collecteur-émetteur</i> | $V_{CE} = 900 \text{ V}$ $V_{BE} = 0$ $T_{case} = 25^\circ C$ | I_{CES} | | 1 | | mA |
| | $V_{CE} = 900 \text{ V}$ $V_{BE} = 0$ $T_{case} = 125^\circ C$ | | | | 2 | |
| Emitter-base cut-off current <i>Courant résiduel émetteur-base</i> | $V_{EB} = 10 \text{ V}$ $I_C = 0$ | I_{EBO} | | 10 | | mA |
| Collector-emitter breakdown voltage <i>Tension de claquage collecteur-émetteur</i> Figure 1 | $I_C = 100 \text{ mA}$ $I_B = 0$ $L = 25 \text{ mH}$ | V_{CEOus} | 400 | | | V |
| Static forward current transfert ratio <i>Valeur statique du rapport de transfert direct du courant</i> | $V_{CE} = 10 \text{ V}$ $I_C = 2,5 \text{ A}$ | h_{21E}^* | | 15 | | |
| Collector-emitter saturation voltage <i>Tension de saturation collecteur-émetteur</i> | $I_C = 2,5 \text{ A}$ $I_B = 0,25 \text{ A}$ | V_{CEsat}^* | | 10 | | V |
| | $I_C = 4 \text{ A}$ $I_B = 1,25 \text{ A}$ | | | | 3 | |
| Base-emitter saturation voltage <i>Tension de saturation base-émetteur</i> | $I_C = 2,5 \text{ A}$ $I_B = 0,25 \text{ A}$ | V_{BEsat}^* | | 1,4 | | V |
| | $I_C = 4 \text{ A}$ $I_B = 1,25 \text{ A}$ | | | | 1,6 | |

* Pulsed
Impulsions $t_p = 300 \mu\text{s}$ $\delta \leq 2\%$

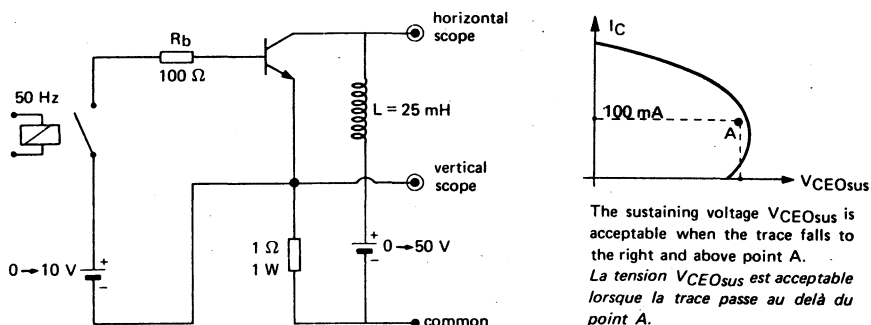
DYNAMIC CHARACTERISTICS (for small signals)*CARACTERISTIQUE DYNAMIQUES (pour petits signaux)* $T_{case} 25^{\circ}\text{C}$

(Unless otherwise stated)

(Sauf indications contraires)

| | Test conditions <i>Conditions de mesure</i> | | min | typ | max | | |
|---|---|--|-------------|------|-----|---------------|---------------|
| Transition frequency <i>Fréquence de transition</i> | $I_C = 0,2 \text{ A}$ $V_{CE} = 10 \text{ V}$ $f = 1 \text{ MHz}$ | f_T | | 4 | | MHz | |
| Turn-on time <i>Temps total d'établissement</i> | Fig. 2 | | $t_d + t_r$ | 0,3 | 0,5 | μs | |
| Fall time <i>Temps de décroissance</i> | Fig. 2 | $I_C = 2,5 \text{ A}$ $I_{B1} = 0,5 \text{ A}$ $I_{B2} = -1 \text{ A}$ $V_{CC} = 250 \text{ V}$ | t_f | 0,25 | 0,5 | μs | |
| Carrier storage time <i>Retard à la décroissance</i> | Fig. 2 | | t_s | | 1,5 | 3,5 | μs |

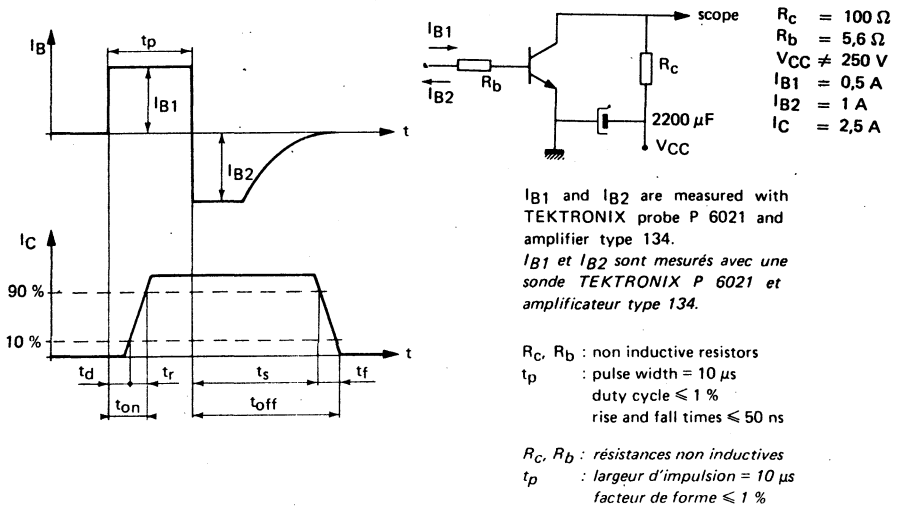
FIGURE 1 - $V_{(BR)CEO}$ - $V_{(BR)CEX}$ - $V_{(BR)CER}$ test circuit (and oscillograms)
Circuit de mesure des $V_{(BR)CEO}$ - $V_{(BR)CEX}$ - $V_{(BR)CER}$ et oscillogramme



The sustaining voltage V_{CEO} is acceptable when the trace falls to the right and above point A.

La tension V_{CEO} est acceptable lorsque la trace passe au delà du point A.

FIGURE 2 - Switching times test circuit (and oscillograms)
Circuit de mesure des temps de commutation et oscillogrammes



SAFE OPERATING AREA IN THE SWITCHING MODE

In the switching mode, the transistor is either in an on state or in an off one; when it is conducting, the collector-emitter voltage remains low (V_{CEsat}). The switching from the off state to the on one (and conversely) occurs during a time (t_r or t_f) closed to the values guaranteed in the data sheets.

In the switching mode, the SOAR is specified for junction temperatures below or equal to 125 °C.

During the off state switching, the SOAR is defined by the zone 1. In order to make the transistor capable of sustaining a voltage higher to V_{CEOsus} (then the operating point remains along the segment MN) it is obligatory that :

- the emitter-base junction should be reverse biased ($V_{BE} \geq 0$)
- the collector current of the transistor should be below or equal to the maximum leakage current specified

During the on state switching, the SOAR is defined by the zone 2. The operating point may move within the hatched area provided that :

- the moving time within this area is below than 0,25 µs
- the emitter-base junction is forward biased (by a voltage higher than the threshold conduction)

AIRE DE SÉCURITÉ EN RÉGIME DE COMMUTATION

En régime de commutation, le transistor est soit bloqué, soit conducteur. Quand il est conducteur la tension collecteur-émetteur est faible (V_{CEsat}). La commutation de l'état bloqué à l'état passant (et vice-versa) a lieu avec un temps de commutation (t_r ou t_f) voisin des valeurs garanties dans les notices.

L'aire de sécurité en régime de commutation est définie pour des températures de jonction inférieures ou égales à 125°C.

Pendant la commutation à l'ouverture, l'aire de sécurité est définie par la zone 1. Pour que le transistor soit capable de supporter une tension supérieure à V_{CEOsus} (le point de fonctionnement se trouve alors sur le segment MN), il est indispensable :

- que la jonction émetteur-base soit polarisée en inverse ($V_{BE} \geq 0$)
- que le courant collecteur du transistor soit au plus égal au courant de fuite maximum spécifié

Pendant la commutation à la fermeture, l'aire de sécurité est définie par la zone 2. Mais le point de fonctionnement ne peut traverser la zone hachurée que si :

- le temps de parcours dans cette zone est inférieur à 0,25 µs
- la jonction émetteur-base est polarisée en direct (au dessus du seuil de conduction).

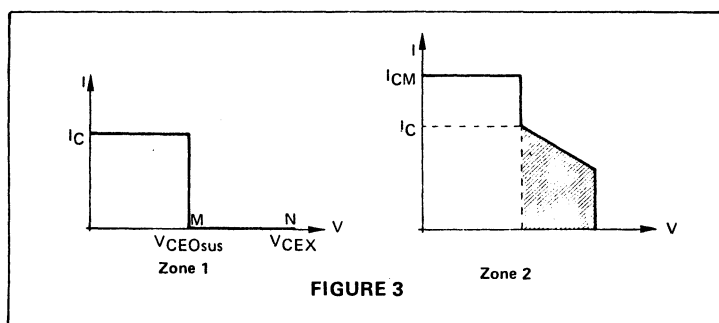


FIGURE 3

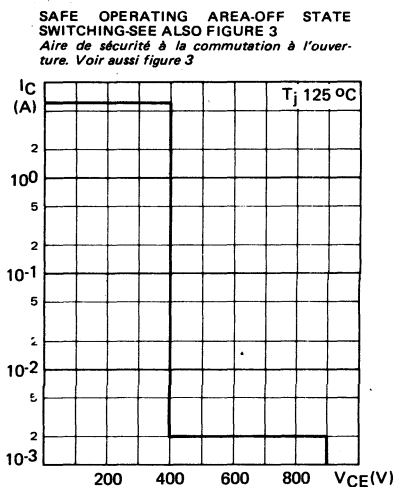
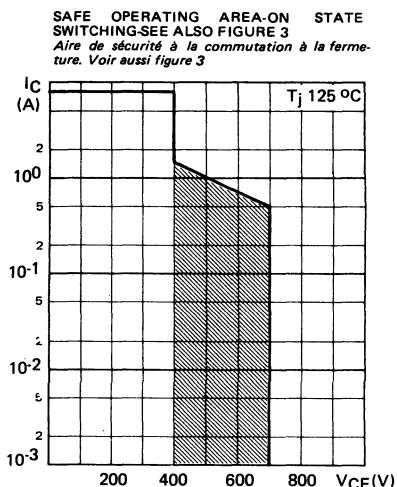
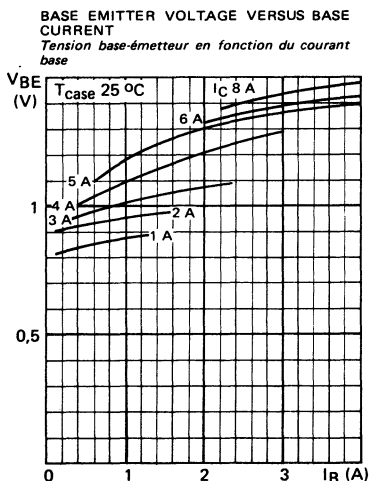
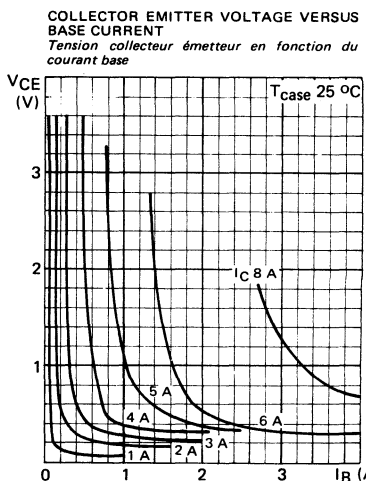
FIGURE 4**FIGURE 5****FIGURE 6****FIGURE 7**

FIGURE 8

STATIC FORWARD CURRENT TRANSFER RATIO VERSUS COLLECTOR CURRENT
Valeur statique du rapport de transfert direct du courant en fonction du courant collecteur

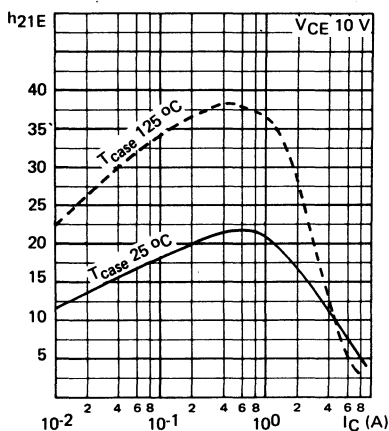


FIGURE 9

RELATIVE VARIATION OF t_f TIME VERSUS JUNCTION TEMPERATURE
Variation relative du temps t_f en fonction de la température

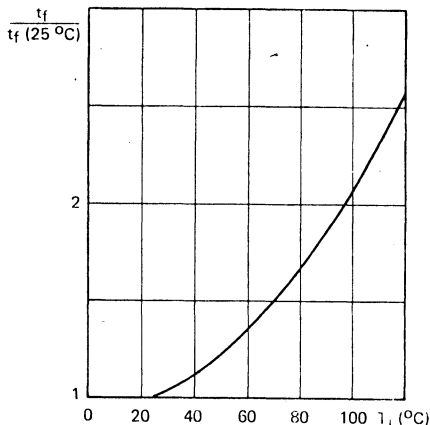
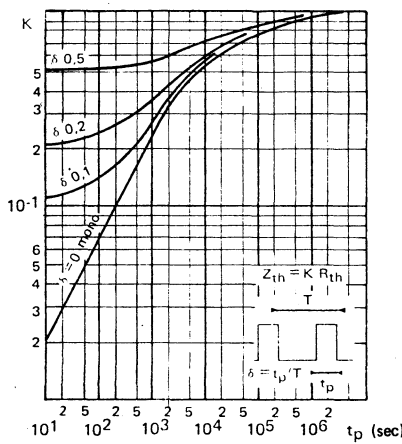


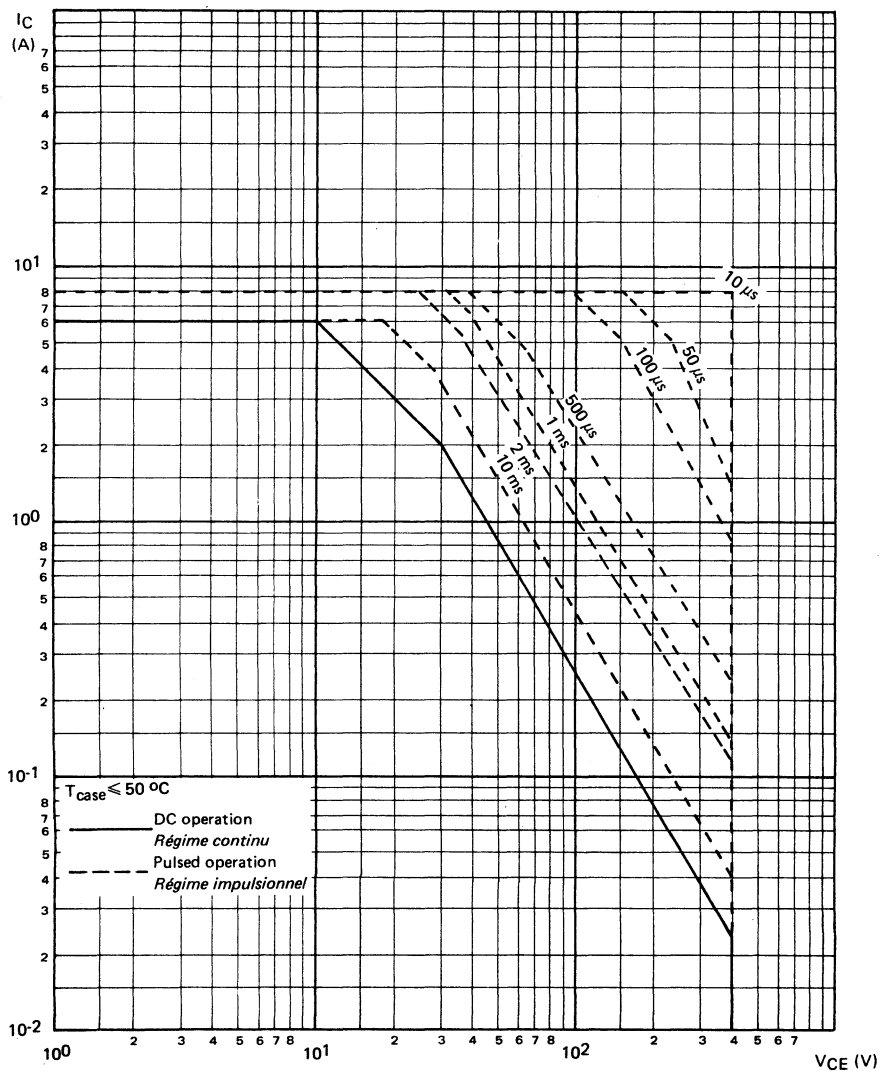
FIGURE 10

TRANSIENT THERMAL RESISTANCE DE-RATING FACTOR UNDER PULSES CONDITIONS (Typical)

Facteur de réduction de la résistance thermique en régime d'impulsions (Typique)



SAFE OPERATING AREA
AIRE DE SECURITE



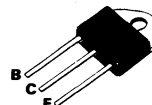
HIGH VOLTAGE AND SWITCHING NPN TRANSISTOR
TRANSISTOR NPN HAUTE TENSION DE COMMUTATION

ADVANCE INFORMATION

High voltage, high speed transistor
suited for TV applications :
- Switchmode power supply

*Transistor rapide haute tension
adapté aux applications télévision :
- Alimentation à découpage*

V_{CEO} sus 400 V
V_{CEX} 900 V
I_{C sat} 2,5 A
t_f 0,25 µs



Case
Boîtier

TOP 3 (CB 244)

ABSOLUTE RATINGS (LIMITING VALUES)

VALEURS LIMITES ABSOLUES D'UTILISATION

T case = 25°C

| | | | |
|--|------------------------------------|-------------------|----|
| Collector-emitter voltage Tension collecteur-émetteur | V _{CEO} | 400 | |
| Collector-base voltage Tension collecteur-base | V _{CBO} | 900 | V |
| Emitter-base voltage Tension émetteur-base | V _{EBO} | 8 | V |
| Collector current Courant collecteur | I _C I _{CM} | 6 8 | A |
| Base current Courant base | I _B I _{BM} | 2 3 | A |
| Power dissipation case temperature 25 °C Dissipation de puissance | P _{tot} | 110 | W |
| Storage and junction temperature Température de jonction et de stockage | T _j T _{stg} | 175 - 65 + 175 | °C |

| | | | |
|---|----------------------|------|------|
| Junction case thermal resistance Résistance thermique jonction boîtier | R _{th(j-c)} | 1,36 | °C/W |
|---|----------------------|------|------|

ELECTRICAL CHARACTERISTICS - CARACTÉRISTIQUES ÉLECTRIQUES

| SYMBOLS | MIN. | TYP. | MAX. | UNIT | | TEST CONDITIONS - CONDITIONS DE MESURE |
|---------|------|------|------|------|--|--|
|---------|------|------|------|------|--|--|

OFF CHARACTERISTICS - CARACTÉRISTIQUES A L'ÉTAT BLOQUÉ

| | | | | | | |
|----------------------|-----|-----|----|---|--|--|
| V _{CEO} sus | 400 | | | V | | I _C = 100 mA I _B = 0 L = 25 mH |
| I _{CES} | | 0,5 | mA | | | V _{CE} = 900 V V _{BE} = 0 |
| I _{EBO} | | 10 | mA | | | V _{EB} = 8 V I _C = 0 |

ON CHARACTERISTICS - CARACTÉRISTIQUES A L'ÉTAT CONDUCTEUR

| | | | | | | |
|----------------------|--|-----|---|--|------------------------|-------------------------|
| V _{CE} sat* | | 1,5 | V | | I _C = 2,5 A | I _B = 0,5 A |
| | | 3 | V | | I _C = 4 A | I _B = 1,25 A |
| V _{BE} sat* | | 1,4 | V | | I _C = 2,5 A | I _B = 0,5 A |
| | | 1,6 | | | I _C = 4 A | I _B = 1,25 A |

DYNAMIC CHARACTERISTICS - CARACTÉRISTIQUES DYNAMIQUES

| | | | | | | |
|----------------|--|---|--|-----|--|--|
| f _T | | 6 | | MHz | | V _{CE} = 10 V I _C = 0,2 A f = 10 MHz |
|----------------|--|---|--|-----|--|--|

SWITCHING CHARACTERISTICS - CARACTÉRISTIQUES DE COMMUTATION

On resistive load - Sur charge résistive

| | | | | | | |
|-----------------|--|------|-----|----|--|--|
| t _{on} | | 0,3 | 0,5 | μs | | V _{CC} = 250 V V _{BE} = - 6 V |
| t _s | | 1,5 | 3 | | | I _C = 2,5 A R _{B2} = 6 Ω |
| t _f | | 0,25 | 0,5 | | | I _{B1} = 0,5 A |

* Pulses
Impulsions t_p = 300 μs < 2 % Unless otherwise stated
 Sauf indications contraires

T_{case} ~ 25 °C

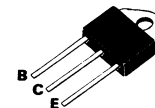
**HIGH VOLTAGE AND SWITCHING NPN TRANSISTOR
TRANSISTOR NPN HAUTE TENSION DE COMMUTATION**

ADVANCE INFORMATION

High voltage, high speed transistor
suited for TV applications :
– Switchmode power supply

*Transistor rapide haute tension
adapté aux applications télévision :
– Alimentation à découpage*

V_{CEO sus} 375 V
V_{CEx} 800 V
I_{C sat} 2,5 A
t_f 0,25 µs



Case.
Boîtier TOP 3 (CB 244)

**ABSOLUTE RATINGS (LIMITING VALUES)
VALEURS LIMITES ABSOLUES D'UTILISATION**

T case = 25°C

| | | | |
|--|---------------------------------|------------|----|
| Collector-emitter voltage Tension collecteur-émetteur | V _{CEO sus} | 375 | V |
| Collector-base voltage Tension collecteur-base | V _{CBO} | 800 | V |
| Emitter-base voltage Tension émetteur-base | V _{EBO} | 8 | V |
| Collector current Courant collecteur | I _C I _{CM} | 6 8 | A |
| Base current Courant base | I _B I _{BM} | 2 3 | A |
| Power dissipation Dissipation de puissance | P _{tot} | 110 | W |
| Storage and junction temperature Température de jonction et de stockage | T _j T _{stg} | - 65 + 175 | °C |

| | | | |
|---|----------------------|------|------|
| Junction case thermal resistance Résistance thermique jonction boîtier | R _{th(j-c)} | 1,36 | °C/W |
|---|----------------------|------|------|

ELECTRICAL CHARACTERISTICS - CARACTÉRISTIQUES ÉLECTRIQUES

| SYMBOLS | MIN. | TYP. | MAX. | UNIT | | TEST CONDITIONS - CONDITIONS DE MESURE |
|---------|------|------|------|------|--|--|
|---------|------|------|------|------|--|--|

OFF CHARACTERISTICS - CARACTÉRISTIQUES A L'ÉTAT BLOQUÉ

| | | | | | | | | |
|----------------|-----|-----|-------------|-----|--|-------------------------|--------------|--------------------|
| $V_{CEO\ sus}$ | 375 | | | V | | $I_C = 100\text{ mA}$ | $I_B = 0$ | $L = 25\text{ mH}$ |
| I_{CES} | | 0,5 | mA | | | $V_{CE} = 800\text{ V}$ | $V_{BE} = 0$ | |
| I_{EBO} | | 10 | mA | | | $V_{EB} = 8\text{ V}$ | $I_C = 0$ | |

ON CHARACTERISTICS - CARACTÉRISTIQUES A L'ÉTAT CONDUCTEUR

| | | | | | | |
|----------------------|--|-----|---|--|------------------------|-------------------------|
| V _{CE} sat* | | 1,5 | V | | I _C = 2,5 A | I _B = 0,5 A |
| | | 3 | V | | I _C = 4 A | I _B = 1,25 A |
| V _{BE} sat* | | 1,4 | V | | I _C = 2,5 A | I _B = 0,5 A |
| | | 1,6 | | | I _C = 4 A | I _B = 1,25 A |

DYNAMIC CHARACTERISTICS - CARACTÉRISTIQUES DYNAMIQUES

$$f_T = 6 \text{ MHz}, V_{CE} = 10 \text{ V}, I_C = 0.2 \text{ A}, f = 10 \text{ MHz}$$

SWITCHING CHARACTERISTICS - CARACTÉRISTIQUES DE COMMUTATION

On resistive load - Sur charge résistive

| | | | | | |
|----------|------|-----|---------|--------------------------|-------------------------|
| t_{on} | 0,3 | 0,5 | μs | $V_{CC} = 250 \text{ V}$ | $V_{BE} = -6 \text{ V}$ |
| t_s | 1,5 | 3 | | $I_C = 2,5 \text{ A}$ | $R_{B2} = 6 \Omega$ |
| t_f | 0,25 | 0,5 | | $I_{B1} = 0,5 \text{ A}$ | |

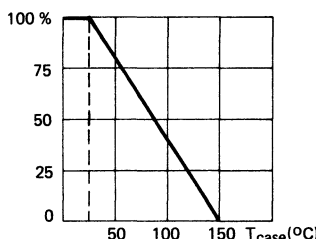
* Pulses $t_p = 300 \mu s$ $\delta \leq 2\%$ Unless otherwise stated
Impulsions *Sauf indications contraires*

T_{case} = 25 °C

Horizontal deflection circuits of television receivers
fitted with a monochrome picture tube 110 °.

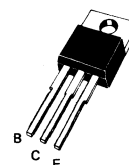
Transistors de balayage horizontal pour téléviseurs
équipés d'un tube monochrome 110 °.

Dissipation derating
Variation de dissipation



| | | |
|----------------------------|--------------|--------|
| V _{CEx} | 400 V | BU 406 |
| | 330 V | BU 407 |
| I _{CM} | 15 A | |
| P _{tot} (25 °C) | 60 W | |
| t _f (5 A) | 0,75 µs max | |
| R _{th(j-c)} | 2,1 °C/W max | |

Case Boîtier TO 220 AB (CB 117)



ABSOLUTE RATINGS (LIMITING VALUES)
VALEURS LIMITES ABSOLUES D'UTILISATION

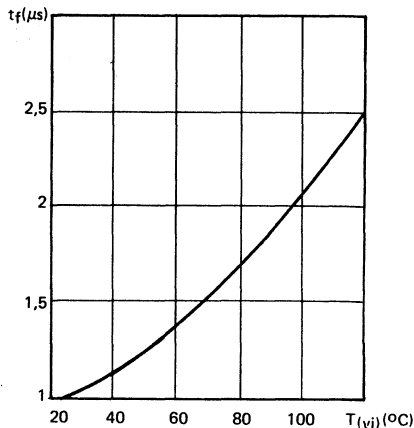
| | | BU 406 | BU 407 | | |
|---|---|------------------------------------|-------------------|-------------------|----|
| Collector-base voltage <i>Tension collecteur-base</i> | V _{CB0} | 400 | 330 | V | |
| Collector-emitter breakdown voltage <i>Tension de claquage collecteur-émetteur</i> | V _{(BR)CEO} | 200 | 150 | V | |
| Collector-emitter breakdown voltage <i>Tension de claquage collecteur-émetteur</i> | V _{CE0sus} | 150 | 120 | V | |
| Collector-emitter voltage <i>Tension collecteur-émetteur</i> | V _{BE} = - 1,5 V | V _{CEx} | 400 | 330 | V |
| Emitter-base voltage <i>Tension émetteur-base</i> | V _{EBO} | 6 | 6 | V | |
| Collector current <i>Courant collecteur</i> | I _C t _p ≤ 100 µs | I _{CM} | 7 15 | 7 15 | A |
| Base current <i>Courant base</i> | I _B | | 4 | 4 | A |
| Power dissipation <i>Dissipation de puissance</i> | T _{case} ≤ 25 °C | P _{tot} | 60 | 60 | W |
| Storage and junction temperature <i>Température de jonction et de stockage</i> | max | I _j T _{stg} | 150 - 65 + 150 | 150 - 65 + 150 | °C |

| Junction-case thermal resistance <i>Résistance thermique jonction boîtier</i> | max | R _{th(j-c)} | 2,1 | 2,1 | °C/W |
|--|-----|----------------------|-----|-----|------|
| | | | | | |

| STATIC CHARACTERISTICS CARACTÉRISTIQUES STATIQUES | | Test conditions Conditions de mesure | | | $T_{case} = 25^\circ\text{C}$ | | |
|--|---|---|----------------------|-----|-------------------------------|------|-----|
| | | | | | min | typ | max |
| Collector-emitter cut-off current <i>Courant résiduel collecteur-émetteur</i> | V _{CE} = 400 V V _{BE} = -1,5 V | BU 406 | ICEX | | | 15 | mA |
| | V _{CE} = 330 V V _{BE} = -1,5 V | BU 407 | | | | 15 | mA |
| Emitter-base cut-off current <i>Courant résiduel émetteur-base</i> | V _{EB} = 6 V I _C = 0 | All types <i>Tous types</i> | I _{EBO} | | | 1 | mA |
| Collector-emitter saturation voltage <i>Tension de saturation collecteur-émetteur</i> | I _C = 5 A I _B = 0,5 A | All types <i>Tous types</i> | V _{CEsat} * | | | 1 | V |
| Base-emitter saturation voltage <i>Tension de saturation base-émetteur</i> | I _C = 5 A I _B = 0,5 A | All types <i>Tous types</i> | V _{BEsat} * | | | 1,2 | V |
| Breakdown collector-emitter voltage <i>Tension de claquage collecteur-émetteur</i> | I _C = 200 mA I _B = 0 L = 25 mH | BU 406 | V _{CEOsus} | 150 | | | |
| | | BU 407 | | 120 | | | |
| DYNAMIC CHARACTERISTICS (for small signals) CARACTÉRISTIQUES DYNAMIQUES (pour petits signaux) | | | | | | | |
| Transition frequency <i>Fréquence de transition</i> | V _{CE} = 10 V I _C = 0,5 A f = 1 MHz | All types <i>Tous types</i> | f _T | | 10 | | MHz |
| Fall time <i>Temps de décroissance</i> (Figures 1 et 2) | I _C = 5 A I _{B1} = 0,5 A V _{BE} = -3 V | All types <i>Tous types</i> | t _f | | | 0,75 | μs |

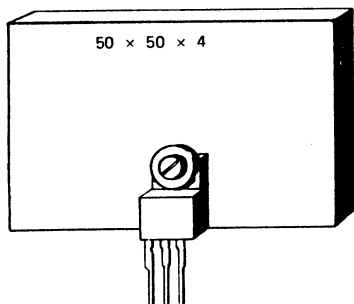
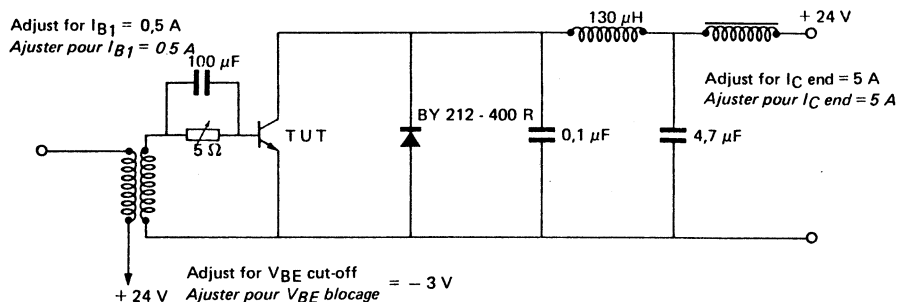
FIGURE 1

FALL TIME VERSUS JUNCTION TEMPERATURE
*Temps de décroissance en fonction de la température
de jonction*

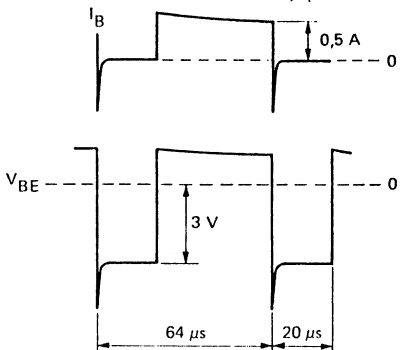


* Pulsed
Impulsions t_p = 300 μs δ ≤ 2 %

FIGURE 2
COLLECTOR CURRENT FALL TIME TEST CIRCUIT
CIRCUIT DE MESURE DU TEMPS DE DÉCROISSANCE



Leakage inductance, from secondary winding
Self de fuite du secondaire : 0,8 μH



DRIVER TRANSFORMER T

Ferrite core LTT FN 1034
 Area $7 \times 7 \text{ mm}^2$, air gap 0,4 mm, ratio n = 7,7/1

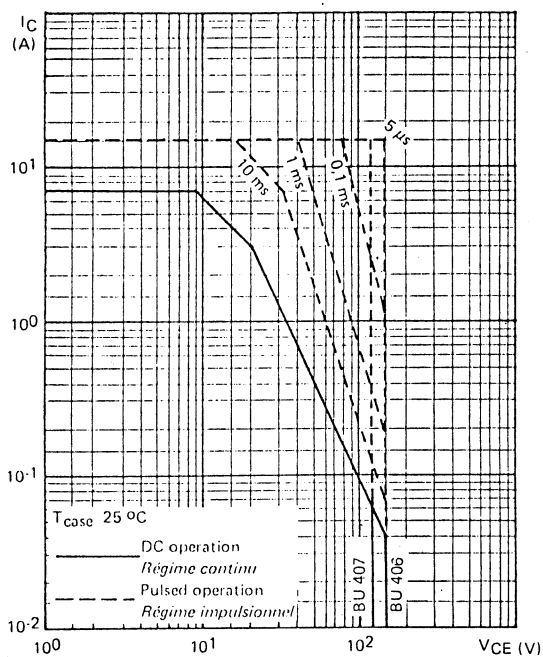
Primary 200 turns 28/100 (4 layers of 16 mm)
 Secondary 26 turns 55/100. One layer within the two sections of primary.
 R primary 4Ω – R secondary $75 \text{ m}\Omega$
 Leakage inductance referred to secondary $0,8 \mu\text{H}$
 (If necessary, add an external coil to obtain $0,8 \mu\text{H}$).

TRANSFORMATEUR DRIVER T

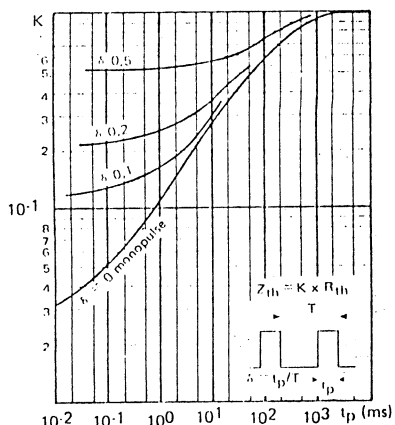
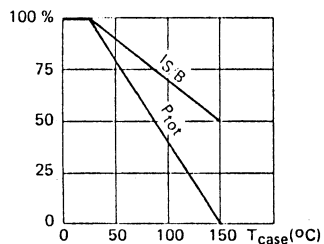
Noyau ferrite LTT FN 1034
 Section $7 \times 7 \text{ mm}^2$, entrefer 0,4 mm, rapport n = 7,7/1

Primaire : 200 tours 28/100 en 4 couches de 16 mm
 Secondaire : 26 tours 55/100. Une couche entre les deux moitiés du primaire.
 R primaire 4Ω – R secondaire $75 \text{ m}\Omega$
 Inductance de fuite ramenée au secondaire $0,8 \mu\text{H}$
 (Si besoin est, ajouter une self extérieure pour avoir $0,8 \mu\text{H}$).

SAFE OPERATING AREA
AIRE DE SÉCURITÉ



Dissipation and I_S/B derating
Variation de puissance et de I_S/B

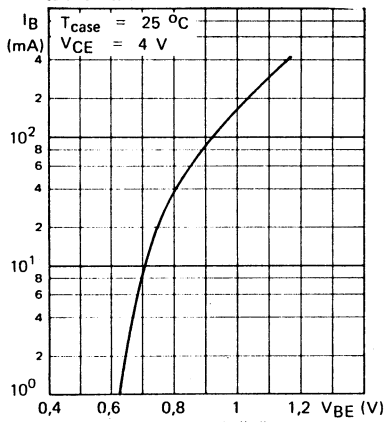


TRANSIENT THERMAL RESISTANCE DERATING
FACTOR UNDER PULSES CONDITIONS
Facteur de réduction de la résistance thermique en
régime d'impulsions

FIGURE 3

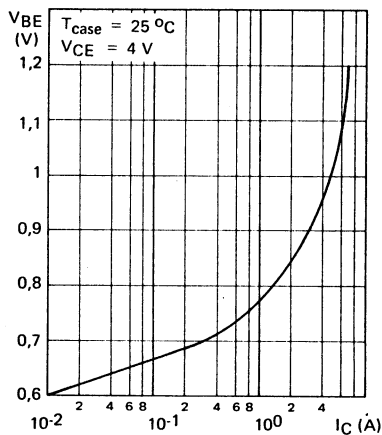
BASE CURRENT VERSUS BASE-EMITTER VOLTAGE

Courant de base en fonction de la tension base - émetteur

**FIGURE 4**

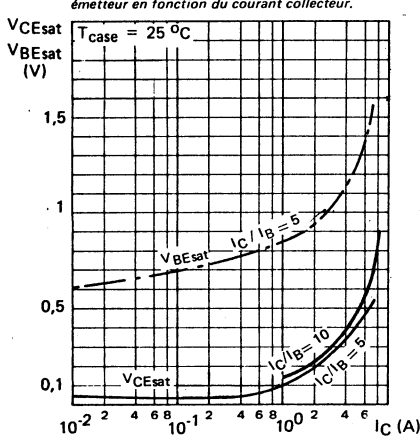
BASE Emitter VOLTAGE VERSUS COLLECTOR CURRENT

Tension base-émetteur en fonction du courant collecteur

**FIGURE 5**

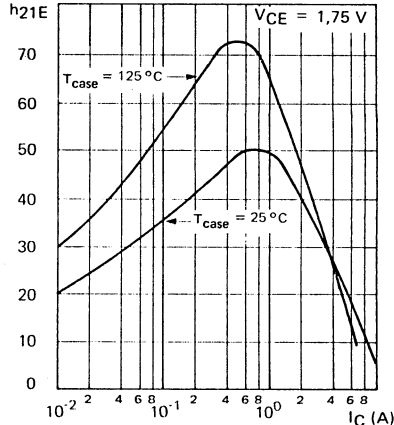
COLLECTOR-EMITTER AND BASE-EMITTER SATURATION VOLTAGE VERSUS COLLECTOR CURRENT

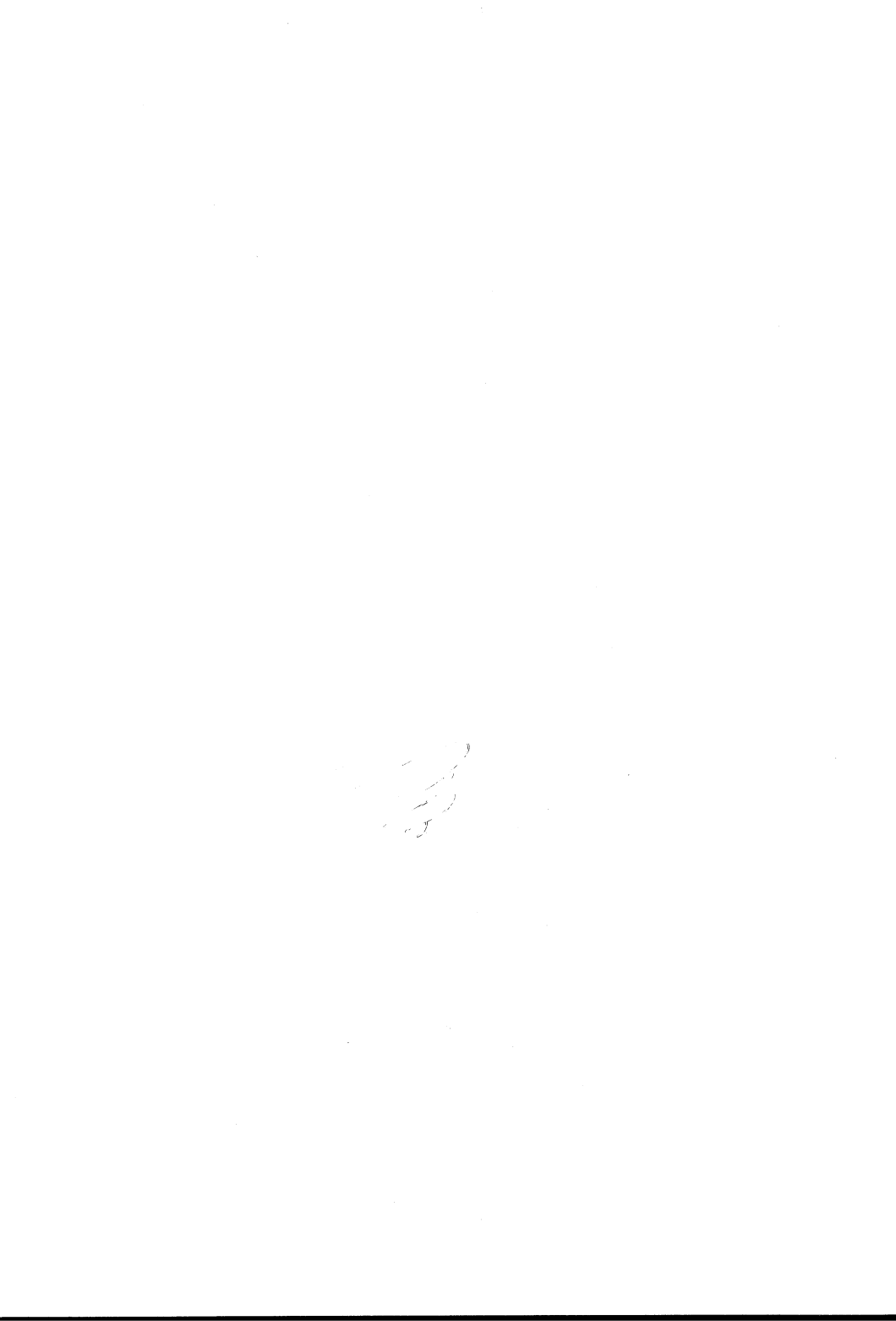
Tension de saturation collecteur-émetteur et base-émetteur en fonction du courant collecteur.

**FIGURE 6**

STATIC FORWARD CURRENT TRANSFER RATIO VERSUS COLLECTOR CURRENT

Valeur statique du rapport de transfert direct du courant en fonction du courant collecteur

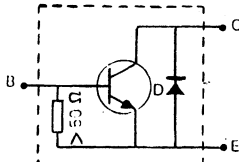




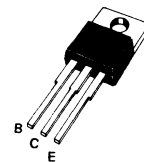
High voltage transistors with integrated damper diode, primarily intended for use in horizontal deflexion output stage of black and white TV receivers fitted with 110 ° picture tube.

Transistors rapides haute tension avec diode damper intégrée, particulièrement destinés aux étages de sortie de balayage horizontal des téléviseurs noir et blanc 110 °.

| | |
|----------------------------|------------------------------------|
| V _{CEx} | { 400 V BU 406 D 330 V BU 407 D |
| I _C | 7 A |
| P _{tot} (25 °C) | 60 W |
| R _{th(j-c)} | 2,1 °C/W |
| t _f (5 A) | ≤ 0,75 µs |



**Case
Boîtier** TO 220 AB (CB 117)



**ABSOLUTE RATINGS (LIMITING VALUES)
VALEURS LIMITES ABSOLUES D'UTILISATION**

| | | BU 406 D | BU 407 D | |
|--|---|-------------------|-------------------|----|
| Collector-base voltage <i>Tension collecteur-base</i> | V _{CBO} | 400 | 330 | V |
| Collector-emitter voltage <i>Tension collecteur-émetteur</i> | V _{CEx} | 400 | 330 | V |
| Collector-emitter breakdown voltage <i>Tension de claquage collecteur-émetteur</i> | V _{(BR)CEO} | 200 | 150 | V |
| Collector-emitter breakdown voltage <i>Tension de claquage collecteur-émetteur</i> | V _{CEOsus} | 150 | 120 | V |
| Emitter-base voltage <i>Tension émetteur-base</i> | V _{EBO} | 6 | 6 | V |
| Collector current <i>Courant collecteur</i> | I _C t _p = 10 ms | 7 | 7 | A |
| Base current <i>Courant base</i> | I _{CM} | 15 | 15 | |
| Repetitive peak forward diode current <i>Courant de pointe répétitif de la diode</i> | I _B t _p = 100 µs | 4 | 4 | A |
| Power dissipation <i>Dissipation de puissance</i> | I _{FRM} T _{case} 25 °C | 10 | 10 | A |
| Storage and junction temperature <i>Température de jonction et de stockage</i> | P _{tot} | 60 | 60 | W |
| Junction to case temperature <i>Résistance thermique jonction boîtier du transistor</i> | t _j T _{stg} | 150 - 65 + 150 | 150 - 65 + 150 | °C |

Junction to case transistor thermal resistance
Résistance thermique jonction boîtier du transistor

max R_{th(j-c)} 2,1 °C/W

Junction to case diode thermal resistance

max R_{th(j-c)} 9 °C/W

ELECTRICAL CHARACTERISTICS
CARACTÉRISTIQUES ÉLECTRIQUES
T_{case} 25 °C(Unless otherwise stated)
(Sauf indications contraires)

| | Test conditions Conditions de mesure | | | min | typ | max | |
|--|---|------------------------|--------------------------------|-----|-----|-----|----|
| Collector-emitter cut-off current <i>Courant résiduel collecteur-émetteur</i> | V _{BE} = - 1,5 V | I _{CEX} | BU 406 D | | | 1 | mA |
| | V _{CE} = 400 V | | | | | 1 | |
| Emitter-base cut-off current <i>Courant résiduel émetteur-base</i> | I _C = 0 | I _{EBO} | All types <i>Tous types</i> | | | 400 | mA |
| | V _{EB} = 6 V | | | | | | |
| Collector-emitter breakdown voltage <i>Tension de claquage collecteur-émetteur</i> | I _C = 200 mA | V _{CEO} us(1) | BU 406 D | 150 | | | V |
| | I _B = 0 | | | | | | |
| | L = 25 mH | | | | | | |
| | V _{CEcl.} = BU 406 D 150 V BU 407 D 120 V | | | | | | |
| Collector-emitter saturation voltage <i>Tension de saturation collecteur-émetteur</i> | I _C = 5 A | V _{CEsat} * | All types <i>Tous types</i> | | | 1 | V |
| | I _B = 0,65 A | | | | | | |
| Base-emitter saturation voltage <i>Tension de saturation base-émetteur</i> | I _C = 5 A | V _{BEsat} * | All types <i>Tous types</i> | | | 1,3 | V |
| | I _B = 0,65 A | | | | | | |
| Diode forward voltage <i>Tension directe de la diode</i> | I _C = 5 A | V _F * | All types <i>Tous types</i> | | 2 | | V |

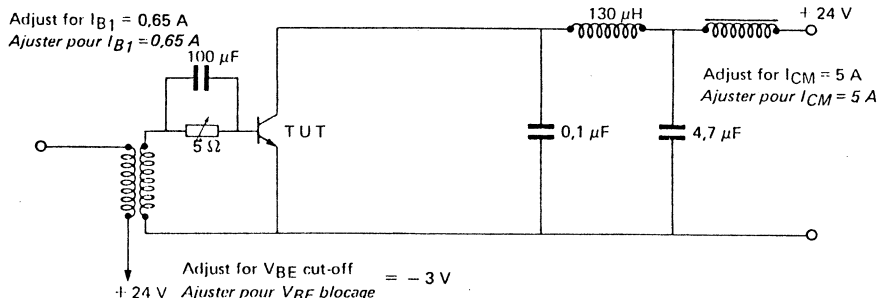
DYNAMIC CHARACTERISTICS (for small signals)**CARACTÉRISTIQUES DYNAMIQUES (pour petits signaux)**

| | | | | | | | |
|--|--|----------------|--------------------------------|--|----|------|-----|
| Transition frequency <i>Fréquence de transition</i> | V _{CE} = 10 V I _C = 0,5 A f = 10 MHz | f _T | All types <i>Tous types</i> | | 10 | | MHz |
| Fall time <i>Temps de décroissance</i> | I _C = 5 A I _{B1} = 0,65 A V _{BE2} = - 3 V | t _f | All types <i>Tous types</i> | | | 0,75 | μs |

* Pulsed
Impulsions t_p = 300 μs δ ≤ 2 %

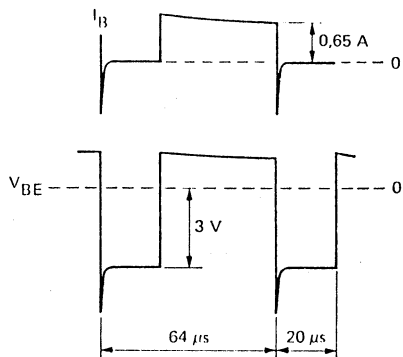
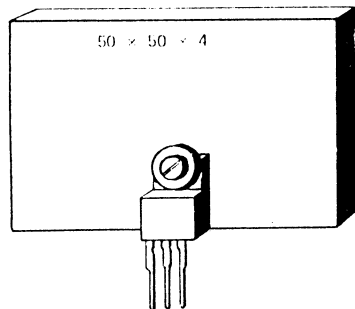
(1) Collector-emitter voltage limited at V_{CEcl.} = BU 406 D 150 V, BU 407 D 120 V by an auxiliary clamping circuit.
(1) Limitation de la tension collecteur-émetteur V_{CEcl.} = BU 406 D 150 V, BU 407 D 120 V par système d'écrêtage.

FIGURE 1
COLLECTOR CURRENT FALL TIME TEST CIRCUIT
CIRCUIT DE MESURE DU TEMPS DE DÉCROISSANCE



During the test, the device should be mounted on a copper heatsink.

Pour la mesure, le transistor doit être monté sur un radiateur en cuivre.



DRIVER TRANSFORMER

Ferrite core LTT FN 1034

Area $7 \times 7 \text{ mm}^2$, air gap 0,4 mm, ratio $n \approx 7,7/1$

Primary 200 turns 28/100 (4 layers of 16 mm)

Secondary 26 turns 55/100. One layer within the two sections of primary

R primary 4Ω - R secondary $75 \text{ m}\Omega$

Leakage inductance referred to secondary $0.8 \mu\text{H}$

(If necessary, add an external coil to obtain $0.8 \mu\text{H}$).

TRANSFORMATEUR DRIVER

Noyau ferrite LTT FN 1034

Section $7 \times 7 \text{ mm}^2$, entrefer 0,4 mm, rapport $n = 7,7/1$

Primaire : 200 tours 28/100 en 4 couches de 16 mm

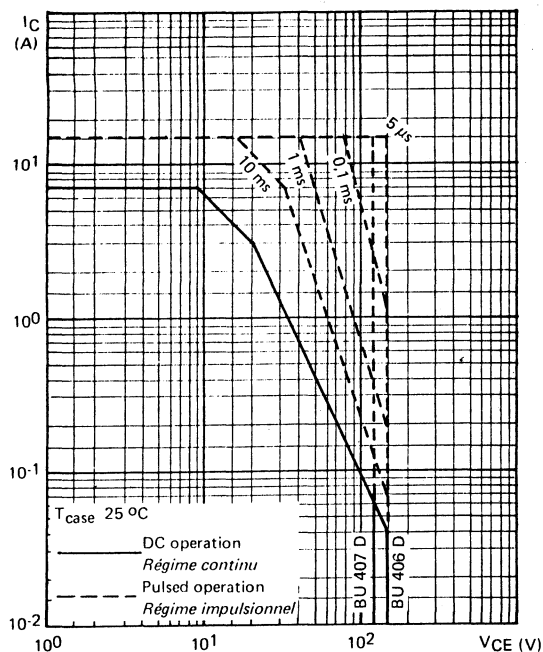
Secondaire : 26 tours 55/100. Une couche entre les deux moitiés du primaire.

R primaire 4Ω - R secondaire $75 \text{ m}\Omega$

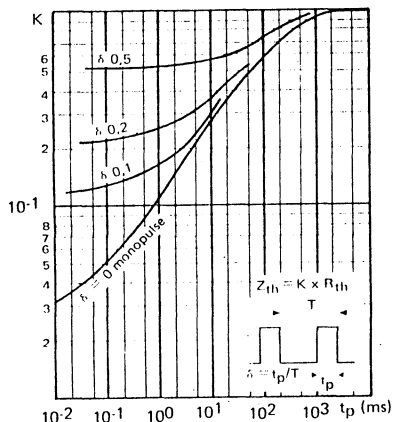
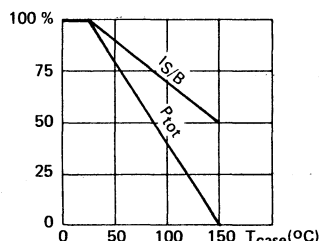
Inductance de fuite ramenée au secondaire $0.8 \mu\text{H}$

(Si besoin est, ajouter une self extérieure pour avoir $0.8 \mu\text{H}$).

SAFE OPERATING AREA
AIRE DE SÉCURITÉ



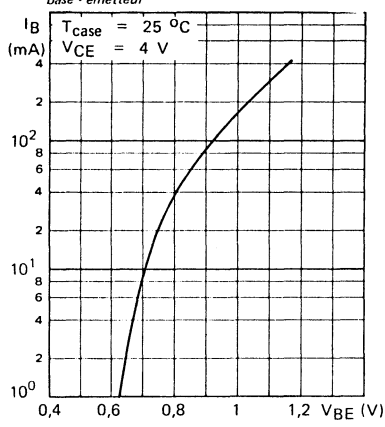
Dissipation and I_S/B derating
Variation de puissance et de I_S/B



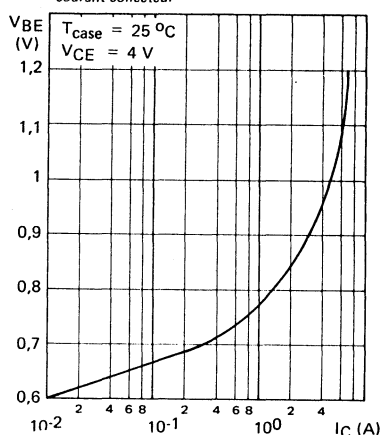
TRANSIENT THERMAL RESISTANCE DERATING FACTOR UNDER PULSES CONDITIONS
Facteur de réduction de la résistance thermique en régime d'impulsions

FIGURE 2

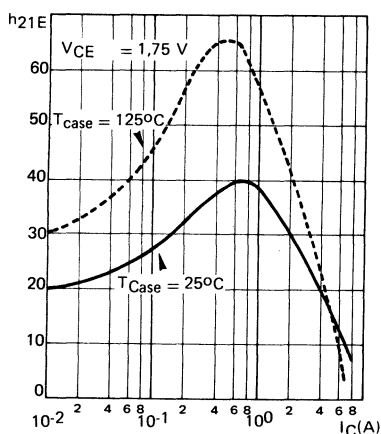
BASE CURRENT VERSUS BASE-EMITTER VOLTAGE
Courant de base en fonction de la tension base-émetteur

**FIGURE 3**

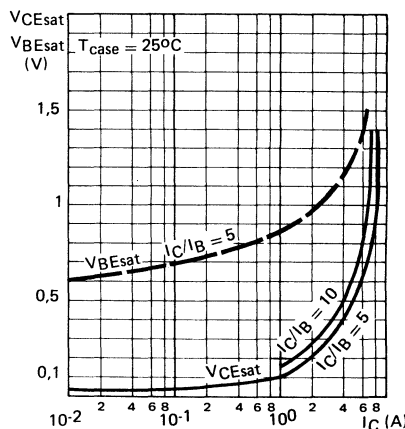
BASE Emitter VOLTAGE VERSUS COLLECTOR CURRENT
Tension base-émetteur en fonction du courant collecteur

**FIGURE 4**

STATIC FORWARD CURRENT TRANSFER RATIO VERSUS COLLECTOR CURRENT
Valeur statique du rapport de transfert direct du courant en fonction du courant collecteur

**FIGURE 5**

COLLECTOR-EMITTER AND BASE-EMITTER SATURATION VOLTAGE VERSUS COLLECTOR CURRENT
Tension de saturation collecteur-émetteur et base-émetteur en fonction du courant collecteur.



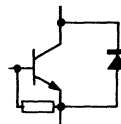
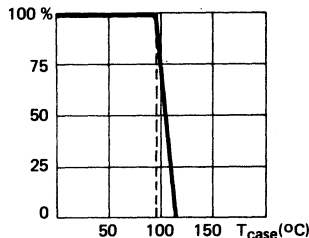


Formerly SESCOSEM number ESM 2808
Ancien numéro SESCOSEM ESM 2808

Transistor with integrated damper diode intended for horizontal deflection of screen color television receivers:

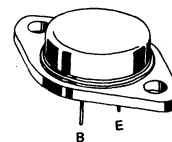
Transistor à diode damper intégrée pour balayage horizontal des téléviseurs couleur.

Dissipation derating
Variation de dissipation



| | |
|------------------------------|------------|
| V_{CES} | 1500 V |
| V_{CEO} | 700 V |
| I_{Csat} | 4,5 A |
| I_{CM} | 10 A |
| t_f (4,5 A) | typ 0,6 µs |

Case
Boîtier TO 3 (CB 19)



ABSOLUTE RATINGS (LIMITING VALUES)
VALEURS LIMITES ABSOLUES D'UTILISATION

| | | | | |
|---|-------------------------|------------------------------------|-------------------|----|
| Collector-emitter voltage <i>Tension collecteur-émetteur</i> | | V _{CES} | 1500 | V |
| Collector-emitter voltage <i>Tension collecteur-émetteur</i> | | V _{CEO} | 700 | V |
| Collector current <i>Courant collecteur</i> | t _p = 10 ms | I _C I _{CM} | 5 10 | A |
| Base current <i>Courant base</i> | t _p = 10 ms | I _B I _{BM} | 2,5 4 | A |
| Power dissipation <i>Dissipation de puissance</i> | T _{case} 25 °C | P _{tot} | 12,5 | W |
| Storage and junction temperature <i>Température de jonction et de stockage</i> | max | t _j T _{stg} | 115 - 65 + 115 | °C |

| | | | | |
|--|-----|----------------------|-----|------|
| Junction-case thermal resistance <i>Résistance thermique jonction boîtier</i> | max | R _{th(j-c)} | 1,6 | °C/W |
|--|-----|----------------------|-----|------|

ELECTRICAL CHARACTERISTICS
CARACTÉRISTIQUES ÉLECTRIQUES
T_{case} 25 °C
 (Unless otherwise stated)
 (Sauf indication contraires)

| Test conditions Conditions de mesure | | | min | typ | max | |
|--|---|-----------------------------------|-----|-----|-----|----|
| Collector-emitter cut-off current <i>Courant résiduel collecteur-émetteur</i> | V _{CE} = 1500 V R _{BE} = 0 | I _{CES} | | | 1 | mA |
| Emitter-base cut-off current <i>Courant résiduel émetteur-base</i> | I _C = 0 V _{EB} = 5 V | I _{EBO} | | | 300 | mA |
| Collector-emitter voltage <i>Tension collecteur-émetteur</i> | I _B = 0 I _C = 100 mA L = 25 mH V _{CE} cl. = 700 V | V _{CEOus} ⁽¹⁾ | 700 | | | V |
| Collector-emitter saturation voltage <i>Tension de saturation collecteur-émetteur</i> | I _C = 4,5 A I _B = 2 A | V _{CEsat} * | | | 5 | V |
| Base-emitter saturation voltage <i>Tension de saturation émetteur-base</i> | I _C = 4,5 A I _B = 2 A | V _{BEsat} | | | 1,5 | V |
| Diode forward voltage <i>Tension directe de la diode</i> | I _C = -4,5 A | V _F | | 1,4 | | V |

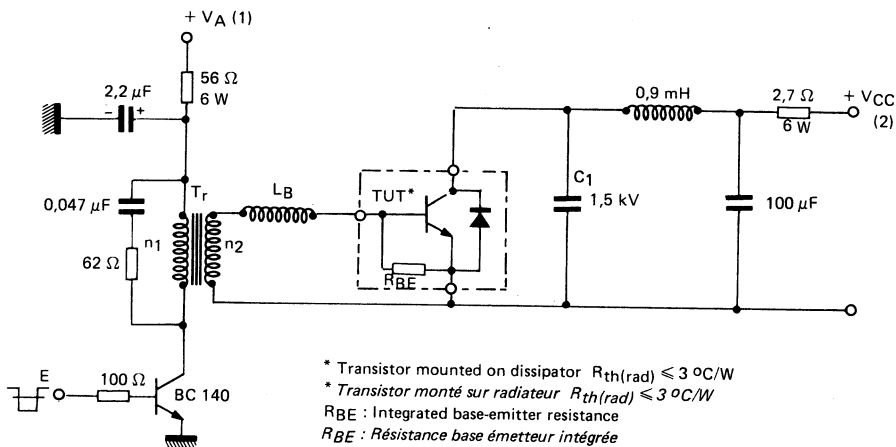
SWITCHING TIMES ON INDUCTIVE LOAD**TEMPS DE COMMUTATION SUR CHARGE INDUCTIVE**

| | | | | | | | |
|---|--------|--|----------------|--|-----|--|----|
| Fall time <i>Temps de décroissance</i> | Fig. 1 | I _{Cend} = 4,5 A I _{Bend} = 1,8 A | t _f | | 0,6 | | μs |
|---|--------|--|----------------|--|-----|--|----|

 * Pulsed
Impulsions t_p = 300 μs δ ≤ 2 %
(1) Collector-emitter voltage limited at V_{CE} cl. = 700 V by an auxiliary clamping circuit.(1) Limitation de la tension V_{CE} cl. = 700 V par système d'écrêtage.

FIGURE 1

SWITCHING TIMES TEST CIRCUIT
CIRCUIT DE MESURE DES TEMPS DE COMMUTATION



* Transistor mounted on dissipator $R_{th}(rad) \leq 3 \text{ }^{\circ}\text{C/W}$

* Transistor monté sur radiateur $R_{th}(rad) \leq 3 \text{ }^{\circ}\text{C/W}$

R_{BE} : Integrated base-emitter resistance

R_{BE} : Résistance base émetteur intégrée

1) Ajust tp I_{Bend}

2) Ajust to I_{Cend}

$L_B + L_f^*$

V_A

V_{CC}

t_s

C_1

1,8 A

4,5 A

10 μH

$\approx 24 \text{ V}$

$\approx 140 \text{ V}$

$\approx 10 \mu\text{s}$

10 nF

1) Ajuster pour I_{Bend}

2) Ajuster pour I_{Cend}

$L_B + L_f^*$

V_A

V_{CC}

t_s

C_1

* $L_B + L_f$ is the total of the secondary leakage inductance L_f (of the driver transformer) and the series inductance (L_B)

* $L_B + L_f$ est la somme de l'inductance de fuite secondaire L_f du transformateur driver et de l'inductance série (L_B).

DRIVER TRANSFORMER

Magnetic circuit

Primary winding

Secondary winding

Air gap

LCC B50 GER 30 x 13 x 8

$n_1 = 120$ spires ; $\phi = 0,35 \text{ mm}$

$n_2 = 25$ spires ; $\phi = 0,8 \text{ mm}$

$\delta = 0,2 \text{ mm}$

TRANSFORMATEUR DRIVER

Circuit magnétique

Enroulement primaire

Enroulement secondaire

Entrefer

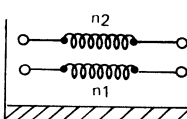
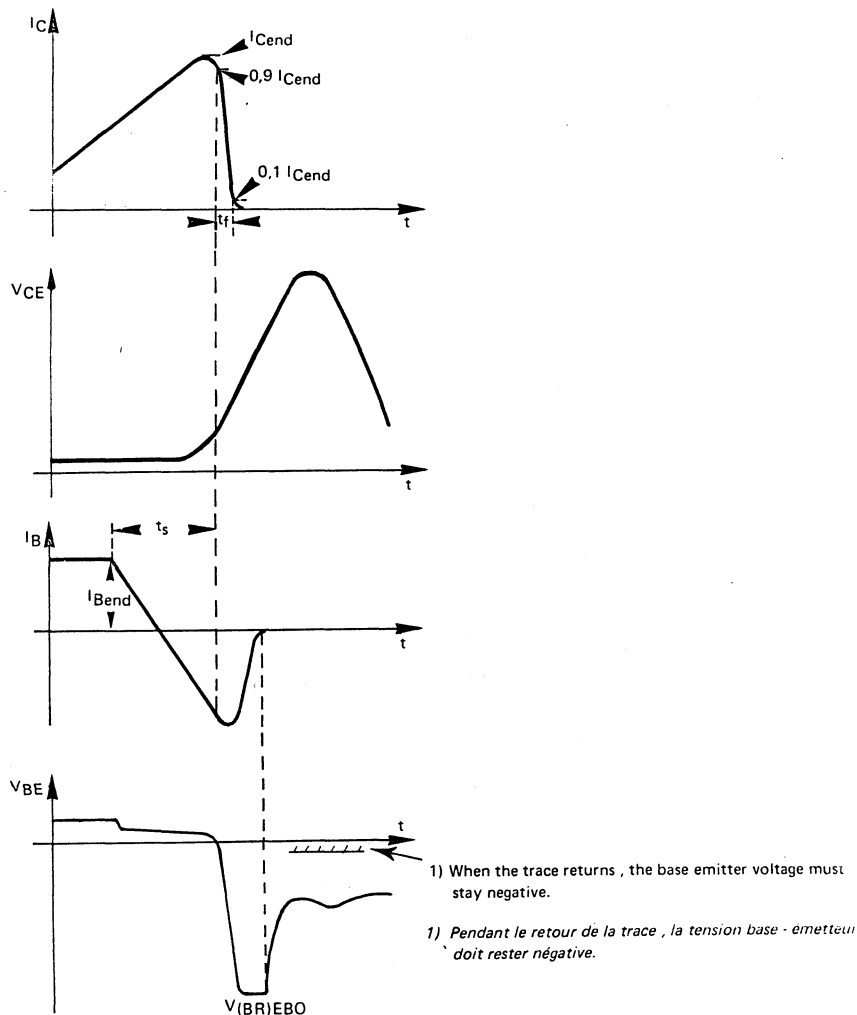
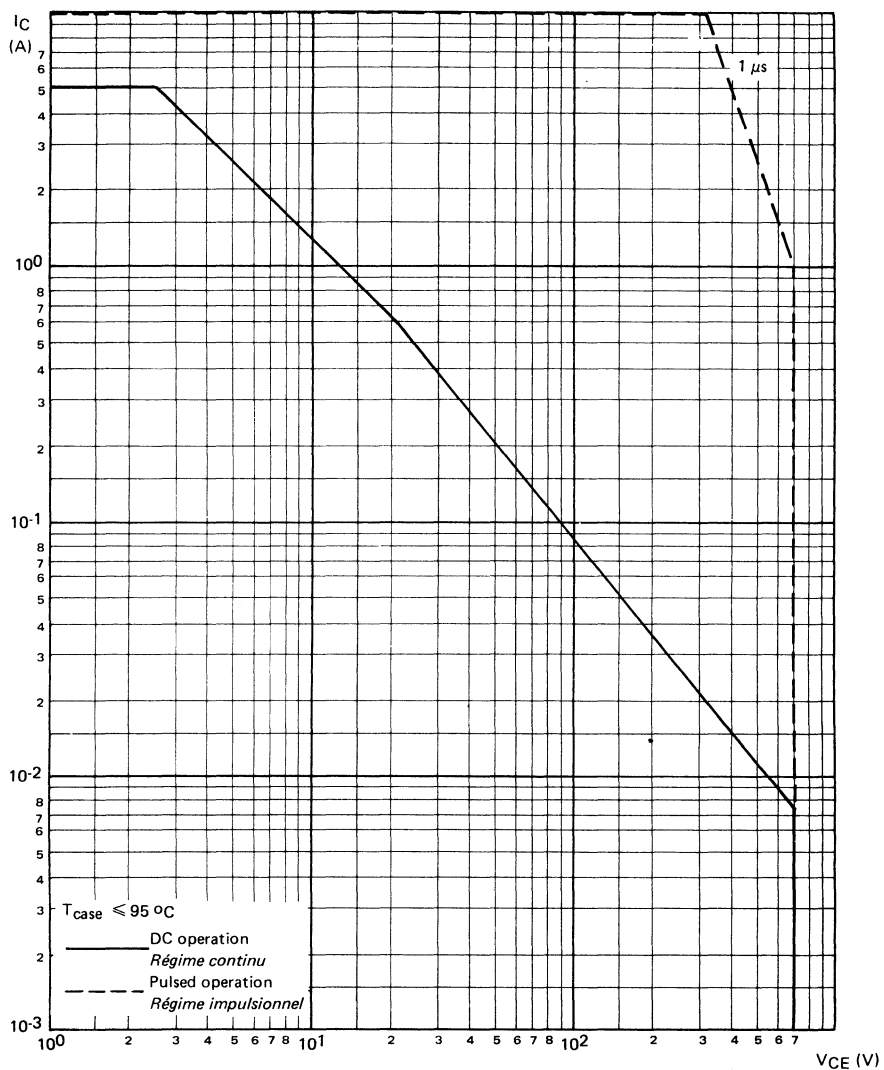


FIGURE 2

WAVEFORMS DURING SWITCHING WHEN THE TRANSISTOR TURNS OFF
 FORMES D'ONDE PENDANT LA COMMUTATION A L'OUVERTURE DU TRANSISTOR



SAFE OPERATING AREA
AIRE DE SECURITE





ADVANCE INFORMATION

SUPERSWITCH

High voltage, high speed transistor suited for
TV applications :

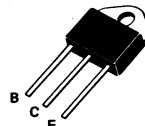
- * Switchmode power supplies

*Transistor rapide haute tension adapté aux
applications télévision :*

- * Alimentations à découpage

| | |
|---------------------------------|--------|
| V _{CEO} (sust) | 400 V |
| V _{CEx} | 850 V |
| I _{Csat} | 5 A |
| t _f (max) (100°C) | 0,4 µs |

Case
Boîtier TOP 3



ABSOLUTE RATINGS (LIMITING VALUES)
VALEURS LIMITES ABSOLUES D'UTILISATION

| | | | |
|---|-----------------------------------|------------|----|
| Collector-emitter voltage <i>Tension collecteur-émetteur</i> | V _{CEO} | 400 | V |
| Collector-base voltage <i>Tension collecteur-base</i> | V _{CBO} | 850 | V |
| Emitter-base voltage <i>Tension émetteur-base</i> | V _{EBO} | 7 | V |
| Collector current <i>Courant collecteur</i> t _p ≤ 5 ms | I _C I _{CM} | 8 10 | A |
| Base current <i>Courant base</i> t _p ≤ 5 ms | I _B I _{BM} | 2 3 | A |
| Power dissipation <i>Dissipation de puissance</i> T _{case} 25 °C | P _{tot} | 120 | W |
| Junction temperature <i>Température de jonction</i> | T _j | - 65 + 175 | °C |

| | | | | |
|--|-----|----------------------|------|------|
| Junction-case thermal resistance <i>Résistance thermique jonction boîtier</i> | max | R _{th(j-c)} | 1,25 | °C/W |
|--|-----|----------------------|------|------|

ELECTRICAL CHARACTERISTICS - CARACTÉRISTIQUES ÉLECTRIQUES **

| SYMBOLS | Min | Typ | Max | UNITS | TEST CONDITIONS – CONDITIONS DE MESURE |
|---------|-----|-----|-----|-------|--|
|---------|-----|-----|-----|-------|--|

OFF CHARACTERISTICS – CARACTÉRISTIQUES A L'ETAT BLOQUE

| | | | | | |
|-------------|-----|-----|--|----|--|
| V_{CEOus} | 400 | | | V | $I_C = 100 \text{ mA}, I_B = 0, L = 25 \text{ mH}$ |
| I_{CEX} | | 0,5 | | mA | $T_{case} = 25^\circ\text{C}$ |
| | | 2 | | | $T_{case} = 100^\circ\text{C}$ |
| I_{EBO} | | 1 | | mA | $V_{BE} = 7 \text{ V}, I_C = 0$ |

ON CHARACTERISTICS – CARACTÉRISTIQUES A L'ETAT CONDUCTEUR

| | | | | | |
|---------------|--|-----|--|---|--|
| V_{CEsat}^* | | 1,5 | | V | $I_C = 5 \text{ A}, I_B = 1 \text{ A}$ |
| | | 5 | | | $I_C = 8 \text{ A}, I_B = 2 \text{ A}$ |
| V_{BESat}^* | | 1,6 | | V | $I_C = 5 \text{ A}, I_B = 1 \text{ A}$ |

DYNAMIC CHARACTERISTICS - CARACTÉRISTIQUES DYNAMIQUES

| | | | | | |
|-------|--|---|--|-----|---|
| f_T | | 6 | | MHz | $f = 1 \text{ MHz}, V_{CE} = 10 \text{ V}, I_C = 0,2 \text{ A}$ |
|-------|--|---|--|-----|---|

SWITCHING CHARACTERISTICS - CARACTÉRISTIQUES DE COMMUTATION

| | | | | | |
|--|--|-----|---------------|---|--|
| On resistive load - Sur charge résistive | | | | | |
| t_{on} | | 1 | μs | | $V_{CC} = 250 \text{ V}, I_C = 5 \text{ A}$ $ I_{B1} = I_{B2} = 1 \text{ A}$ |
| t_s | | 3,2 | | | |
| t_f | | 0,8 | | | |
| On inductive load - Sur charge inductive | | | | | |
| t_f | | 0,4 | μs | $V_{CC} = 300 \text{ V}, I_C = 5 \text{ A}, I_{B1} = 1 \text{ A}$ $V_{BE} = -5 \text{ V}, L_B = 3 \mu\text{H}$ | $T_j = 100^\circ\text{C}$ |

* Measured with pulses $t_p = 300 \mu\text{s}$ $\delta \leq 2\%$ ** $T_{case} 25^\circ\text{C}$ Unless otherwise stated

NPN HIGH-VOLTAGE POWER TRANSISTORS
TRANSISTORS DE PUISSANCE NPN HAUTE TENSION

ADVANCE INFORMATION

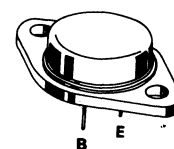
HIGH-VOLTAGE, HIGH-SPEED, SWITCHING POWER TRANSISTOR SUITED FOR USE ON THE 220 AND 380 V MAINS

APPLICATIONS :

- SWITCHING REGULATORS
- INVERTERS
- SOLENOID AND RELAY DRIVERS
- MOTOR CONTROLS
- DEFLECTION CIRCUITS

| | |
|------------------|----------|
| V_{CEO} (sus) | 450 V |
| V_{CEV} | 850 V |
| I_C sat | 6 A |
| t_{fj} (100°C) | ≤ 350 ns |

Case : TO-3 (CB - 19)
Boîtier



ABSOLUTE RATINGS (LIMITING VALUES)
VALEURS LIMITES ABSOLUES D'UTILISATION

$T_{case} = 25^\circ\text{C}$

| | | | |
|---|-------------------|-------------|----|
| Collector-emitter voltage <i>Tension collecteur-émetteur</i> | V_{CEO} | 450 | V |
| Collector-emitter voltage <i>Tension collecteur-émetteur</i> | V_{CEV} | 850 | V |
| Emitter-base voltage <i>Tension émetteur-base</i> | V_{EBO} | 6 | V |
| Collector current <i>Courant collecteur</i> | I_C I_{CM} | 9 12 | A |
| Base current <i>Courant de base</i> | I_B I_{BM} | 3 6 | A |
| Power dissipation <i>Dissipation de puissance</i> | P_{tot} | 150 | W |
| Junction temperature <i>Température de jonction</i> | T_j | - 65 to 200 | °C |

| | | | |
|--|---------------|------|------|
| Junction-case thermal resistance <i>Résistance thermique jonction-boîtier</i> | $R_{th(j-c)}$ | 1,17 | °C/W |
|--|---------------|------|------|

BUS 47

ELECTRICAL CHARACTERISTICS - CARACTÉRISTIQUES ÉLECTRIQUES**

| SYMBOLS | Min. | Typ. | Max. | UNITS | TEST CONDITIONS - CONDITIONS DE MESURE |
|---|------|------|------|-------|---|
| OFF CHARACTERISTICS - CARACTÉRISTIQUES A L'ÉTAT BLOQUÉ | | | | | |
| V _{C EO} (sus) | 450 | | | V | I _B = 0, I _C = 100 mA, L _C = 25 mH |
| I _{CEV} | | 0,5 | 2,5 | mA | T _j = 100°C } V _{CE} = V _{CEV} , V _{EB} = 1,5 V |
| I _{CER} | | 3 | | | V _{CE} = V _{CEV} , R _{BE} = 50 Ω, T _j = 100°C |
| I _{EBO} | | 1 | | | V _{EB} = 6 V, I _C = 0 |

ON CHARACTERISTICS - CARACTÉRISTIQUES A L'ÉTAT CONDUCTEUR

| | | | | |
|----------------------|---|-----|---|---|
| V _{CE} sat* | | 1,5 | V | I _C = 6 A, I _B = 1,2 A |
| | | 3 | | I _C = 9 A, I _B = 3 A |
| | | 2,5 | | I _C = 6 A, I _B = 1,2 A, T _j = 100°C |
| V _{BE} sat* | | 1,6 | | I _C = 6 A, I _B = 1,2 A } T _j = 100°C |
| | | 1,6 | | I _C = 6 A, I _B = 1,2 A |
| h _{FE} * | 7 | | | I _C = 6 A, V _{CE} = 5 V |

DYNAMIC CHARACTERISTIC - CHARACTÉRISTIQUE DYNAMIQUE

| | | | | |
|-----------------|--|-----|----|---|
| C _{ob} | | 300 | pF | V _{CB} = 10 V, I _E = 0, f = 1 MHz |
|-----------------|--|-----|----|---|

SWITCHING CHARACTERISTICS - CARACTÉRISTIQUES DE COMMUTATION

| Resistive load - Charge résistive | | | | | |
|---|--|-------|------|----|--|
| t _d | | 0,025 | 0,05 | μs | |
| t _r | | 0,1 | 0,5 | | |
| t _s | | 0,5 | 1,5 | | |
| t _f | | 0,1 | 0,4 | | |
| Inductive load - Charge inductive | | | | | |
| t _{sv} | | 0,4 | | μs | |
| | | 0,75 | 2,2 | | |
| t _{ci} | | 0,15 | | | |
| | | 0,2 | 0,4 | | |
| t _{fi} | | 0,17 | 0,35 | | |
| T _j = 100°C } I _C = 6 A, I _{B1} = 0,9 A, V _{BB} = - 5 V, V _{CC} = 250 V, L _C = 2 mH | | | | | |
| T _j = 100°C } I _C = 6 A, I _{B1} = 0,9 A, V _{BB} = - 5 V, V _{CC} = 250 V, L _C = 2 mH | | | | | |

* Pulse : t_p = 300 μs, δ ≤ 2 % ** T_j = 25°C unless otherwise stated
Impulsions : t_p = 300 μs, δ ≤ 2 % *sauf indications contraires*

**NPN HIGH-VOLTAGE POWER TRANSISTORS
TRANSISTORS DE PUISSANCE NPN HAUTE TENSION**

ADVANCE INFORMATION

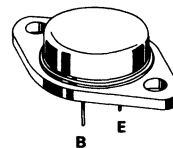
**HIGH-VOLTAGE, HIGH-SPEED, SWITCHING
POWER TRANSISTOR SUITED FOR USE ON
THE 220 AND 380 V MAINS**

APPLICATIONS :

- SWITCHING REGULATORS
- INVERTERS
- SOLENOID AND RELAY DRIVERS
- MOTOR CONTROLS
- DEFLECTION CIRCUITS

| | |
|-------------------------------|-----------------|
| V_{CEO} (sus) | 450 V |
| V_{CEV} | 850 V |
| I_{C sat} | 10 A |
| t_{f1} (100°C) | ≤ 300 ns |

**Case : TO-3 (CB - 19)
Boîtier**



ABSOLUTE RATINGS (LIMITING VALUES)

VALEURS LIMITES ABSOLUES D'UTILISATION

T_{case} = 25°C

| | | | |
|---|-----------------------------------|-------------|----|
| Collector-emitter voltage <i>Tension collecteur-émetteur</i> | V _{CEO} | * 450 | V |
| Collector-emitter voltage <i>Tension collecteur-émetteur</i> | V _{CEV} | 850 | V |
| Emitter-base voltage <i>Tension émetteur-base</i> | V _{EBO} | 6 | V |
| Collector current <i>Courant collecteur</i> | I _C I _{CM} | 15 20 | A |
| Base current <i>Courant de base</i> | I _B I _{BM} | 5 10 | A |
| Power dissipation <i>Dissipation de puissance</i> | P _{tot} | 175 | W |
| Junction temperature <i>Température de jonction</i> | T _j | - 65 to 200 | °C |

| | | | |
|--|----------------------|---|------|
| Junction-case thermal resistance <i>Résistance thermique jonction-boîtier</i> | R _{th(j-c)} | 1 | °C/W |
|--|----------------------|---|------|

BUS 48

ELECTRICAL CHARACTERISTICS - CARACTÉRISTIQUES ÉLECTRIQUES**

| SYMBOLS | Min. | Typ. | Max. | UNITS | TEST CONDITIONS - CONDITIONS DE MESURE |
|---------|------|------|------|-------|--|
|---------|------|------|------|-------|--|

OFF CHARACTERISTICS - CARACTÉRISTIQUES A L'ÉTAT BLOQUÉ

| | | | | | | | | |
|------------------------|-----|--|----|------------------------|---|--|--|--|
| V _{CEO} (sus) | 450 | | | V | I _B = 0, I _C = 100 mA, L _C = 25 mH | | | |
| I _{CEV} | 0,5 | 2,5 | mA | T _j = 100°C | V _{CE} = V _{CEV} , V _{EB} = 1,5 V | | | |
| | | | | | | | | |
| | 3 | V _{CE} = V _{CEV} , R _{BE} = 50Ω, T _j = 100°C | | | | | | |
| | | | | | | | | |
| I _{EBO} | 1 | | | | V _{EB} = 6 V, I _C = 0 | | | |

ON CHARACTERISTICS - CARACTÉRISTIQUES A L'ÉTAT CONDUCTEUR

| | | | | |
|----------------------|-----------------|---|---|--|
| V _{CE} sat* | 1,5 5 2,5 | V | I _C = 10 A, I _B = 2 A | |
| | | | I _C = 15 A, I _B = 3 A | |
| | | | I _C = 10 A, I _B = 2 A, T _j = 100°C | |
| V _{BE} sat* | 1,6 1,6 | | I _C = 10 A, I _B = 2 A T _j = 100°C | |
| | | | | |
| h _{FE} * | 8 | | I _C = 10 A, V _{CE} = 5 V | |

DYNAMIC CHARACTERISTIC - CHARACTÉRISTIQUE DYNAMIQUE

| | | | | |
|-----------------|--|-----|----|---|
| C _{ob} | | 350 | pF | V _{CB} = 10 V, I _E = 0, f = 1 MHz |
|-----------------|--|-----|----|---|

SWITCHING CHARACTERISTICS - CARACTÉRISTIQUES DE COMMUTATION

| Resistive load - Charge résistive | | | | |
|--|-------|------|----|--|
| t _d | 0,03 | 0,05 | μs | |
| t _r | 0,13 | 0,5 | | |
| t _s | 0,55 | 2 | | |
| t _f | 0,1 | 0,4 | | |
| V _{CC} = 250 V, I _C = 10 A, I _{B1} = 1,25 A, V _{BB} = - 5 V, t _p = 30 μs, δ ≤ 2 % | | | | |
| Inductive load - Charge inductive | | | | |
| t _{sv} | 0,5 | | μs | |
| | 0,8 | 2,5 | | |
| t _{ci} | 0,15 | | | |
| | 0,175 | 0,4 | | |
| t _{fi} | 0,15 | 0,3 | | |
| | | | | |
| I _C = 10 A, I _{B1} = 1,25 A, V _{BB} = - 5 V, V _{CC} = 250 V, LC = 1,25 mH | | | | |
| T _j = 100°C | | | | |

* Pulse : t_p = 300 μs, δ ≤ 2 % ** T_j = 25°C unless otherwise stated
Impulsions : t_p = 300 μs, δ ≤ 2 % *sauf indications contraires*

SUPERSWITCH

HIGH CURRENT, HIGH SPEED TRANSISTOR SUITED FOR
POWER CONVERSION APPLICATIONS:

HIGH EFFICIENCY CONVERTERS
MOTORS CONTROLS

HIGHER EFFICIENCY DUE TO:

- Very low R_{ONsat}
- Less base current requirements

DATA SHEET FOR WORST CASE DESIGN

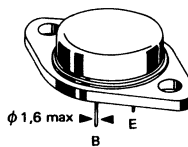
- Characteristics specified at 100°C
- Overload and switching operating areas

DATA SHEET FOR OPTIMAL DESIGN

- Base drive specified for different values of I_C
- Information for parallel mounting

| | |
|-----------------------|------------------------|
| $V_{CEO}(\text{sus})$ | 125 V |
| V_{CEV} | 200 V |
| $I_{C\text{sat}}$ | 70 A |
| $I_{C\text{SM}}$ | 200 A |
| t_f (100 °C) | $\leq 0,5 \mu\text{s}$ |
| R_{ONsat} | 0,012 Ω |

Case
Boîtier



ABSOLUTE RATINGS (LIMITING VALUES)

VALEURS LIMITES ABSOLUES D'UTILISATION

| | | | |
|---|-------------------------------|------------|----|
| Collector-emitter voltage <i>Tension collecteur-émetteur</i> | V_{CEO} | 125 | V |
| Collector-emitter voltage <i>Tension collecteur-émetteur</i> | V_{CEV} | 200 | V |
| Emitter-base voltage <i>Tension émetteur-base</i> | V_{EBO} | 10 | V |
| Collector current <i>Courant collecteur</i> | $I_C(\text{RMS})$ I_{CM} | 50 120 | A |
| Base current <i>Courant base</i> | $I_B(\text{RMS})$ I_{BM} | 12 32 | A |
| Power dissipation <i>Dissipation de puissance</i> | P_{tot} | 250 | W |
| Junction temperature <i>Température de jonction</i> | T_j | - 65 + 200 | °C |

| | | | | |
|--|-----|---------------|-----|------|
| Thermal resistance junction-case <i>Résistance thermique jonction-boîtier</i> | max | $R_{th(j-c)}$ | 0,7 | °C/W |
|--|-----|---------------|-----|------|

ELECTRICAL CHARACTERISTICS - CARACTÉRISTIQUES ÉLECTRIQUES **

| SYMBOLS | Min | Typ | Max | UNITS | TEST CONDITIONS - CONDITIONS DE MESURE |
|---------|-----|-----|-----|-------|--|
|---------|-----|-----|-----|-------|--|

OFF CHARACTERISTICS - CARACTÉRISTIQUES A L'ÉTAT BLOQUÉ

| | | | | | |
|--------------------------|-----|----------|--|----|---|
| V_{CEO} _{off} | 125 | | | V | $I_B = 0, I_C = 0,2 \text{ A}, L = 25 \text{ mH}$ |
| $V_{(BR)EBO}$ | 10 | | | V | $I_C = 0, I_E = 50 \text{ mA}$ |
| I_{CEV} | | 0,2 2 | | mA | $T_j = 25^\circ\text{C}$ $T_j = 100^\circ\text{C}$ } $V_{CE} = V_{CEV}, V_{BE} = -1,5 \text{ V}$ |
| I_{CER} | | 0,4 4 | | mA | $T_j = 25^\circ\text{C}$ $T_j = 100^\circ\text{C}$ } $V_{CE} = V_{CEV}, R_{BE} = 10 \Omega$ |
| I_{EBO} | | 1 | | mA | $I_C = 0, V_{BE} = -7 \text{ V}$ |

ON CHARACTERISTICS - CARACTÉRISTIQUES A L'ÉTAT CONDUCTEUR

| | | | | | |
|---------------------------|--|--------------|------------|---|--|
| V_{CE} _{sat} * | | 0,8 1,2 | 1,2 2 | V | $T_j = 25^\circ\text{C}$ $T_j = 100^\circ\text{C}$ } $I_C = 70 \text{ A}, I_B = 7 \text{ A}$ |
| | | 0,55 0,75 | 0,9 1,4 | V | $T_j = 25^\circ\text{C}$ $T_j = 100^\circ\text{C}$ } $I_C = 35 \text{ A}, I_B = 1,75 \text{ A}$ |
| V_{BE} _{sat} * | | 1,45 1,65 | 1,8 2 | V | $T_j = 25^\circ\text{C}$ $T_j = 100^\circ\text{C}$ } $I_C = 70 \text{ A}, I_B = 7 \text{ A}$ |
| | | 1 1 | 1,3 1,4 | V | $T_j = 25^\circ\text{C}$ $T_j = 100^\circ\text{C}$ } $I_C = 35 \text{ A}, I_B = 1,75 \text{ A}$ |

SWITCHING CHARACTERISTICS - CARACTÉRISTIQUES DE COMMUTATION

| SWITCHING TIMES ON RESISTIVE LOAD - TEMPS DE COMMUTATION SUR CHARGE RÉSISTIVE | | | | | | |
|---|--|------------|------------|---------------|---|---|
| t_r | | 0,8 1,1 | 1,2 1,6 | μs | $T_j = 25^\circ\text{C}$ $T_j = 100^\circ\text{C}$ | $V_{CC} = 100 \text{ V}, I_C = 70 \text{ A},$ $ I_{B1} = - I_{B2} = 7 \text{ A}$ $t_p = 30 \mu\text{s}$ |
| t_s | | 0,9 1,2 | 1,5 2 | | $T_j = 25^\circ\text{C}$ $T_j = 100^\circ\text{C}$ | |
| t_f | | 0,2 0,3 | 0,4 0,6 | | $T_j = 25^\circ\text{C}$ $T_j = 100^\circ\text{C}$ | |

SWITCHING TIMES ON INDUCTIVE LOAD - TEMPS DE COMMUTATION SUR CHARGE INDUCTIVE

| | | | | | | |
|-------|--|--------------|------------|---------------|---|--|
| t_s | | 1,25 1,5 | 2 2,3 | μs | $T_j = 25^\circ\text{C}$ $T_j = 100^\circ\text{C}$ | $I_C = 70 \text{ A}, I_{B1} = - I_{B2} = 7 \text{ A}$ |
| t_f | | 0,16 0,25 | 0,3 0,5 | | $T_j = 25^\circ\text{C}$ $T_j = 100^\circ\text{C}$ | $V_{CC} = 100 \text{ V}, V_{clamp.} = 125 \text{ V}$ $L_C = 70 \mu\text{H}$ |

** $T_j = 25^\circ\text{C}$ Unless otherwise stated * Pulsed Impulsions $t_p \leq 300 \mu\text{s}$ $\delta \leq 2\%$

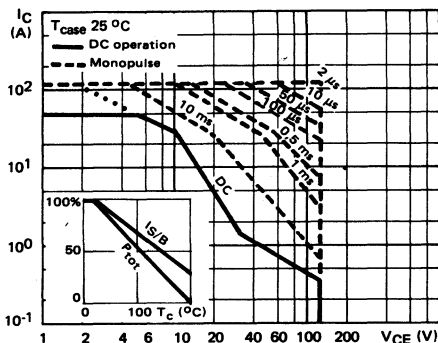


FIGURE 1 : DC and pulse area

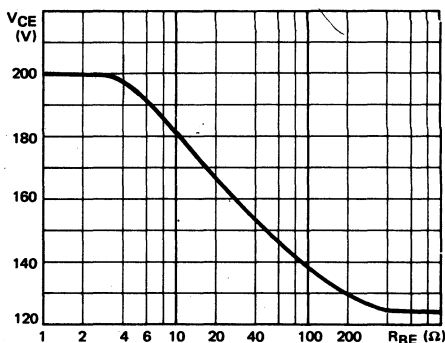


FIGURE 2 : Collector-emitter voltage vs base-emitter resistance

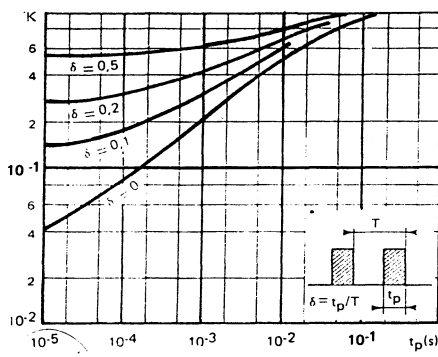


FIGURE 3 : Transient thermal response

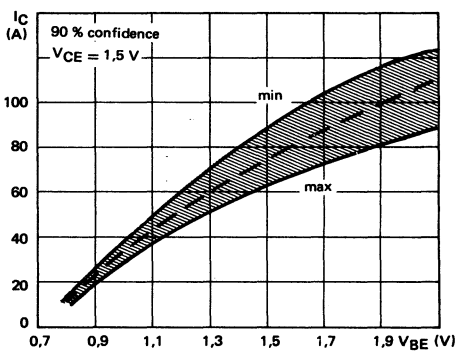


FIGURE 4 : Collector current spread vs base-emitter voltage

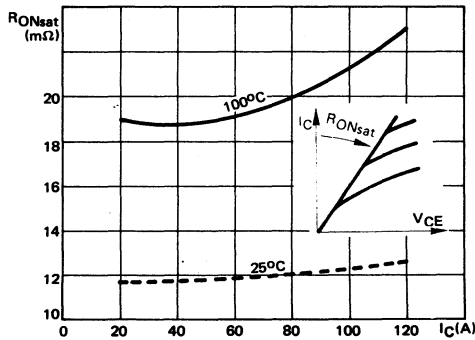


FIGURE 5 : Saturation resistance versus collector current

BUT 90

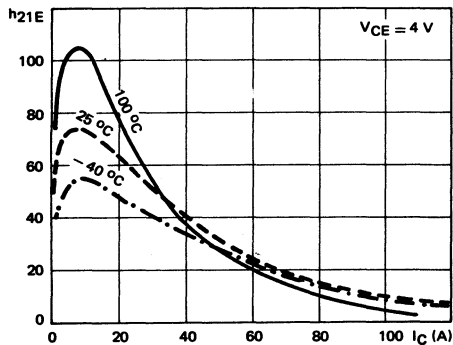


FIGURE 6 : DC current gain

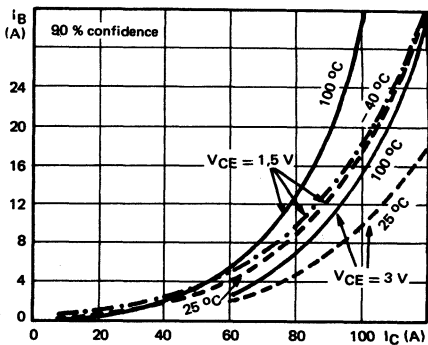


FIGURE 7 : Minimum base current to saturate the transistor

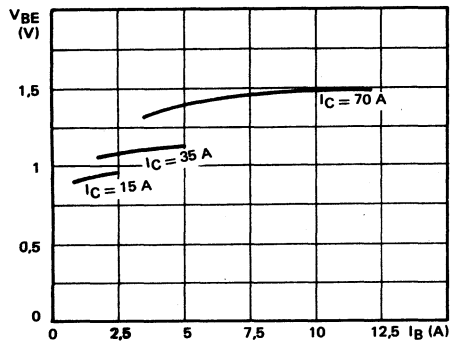


FIGURE 8 : Base characteristics

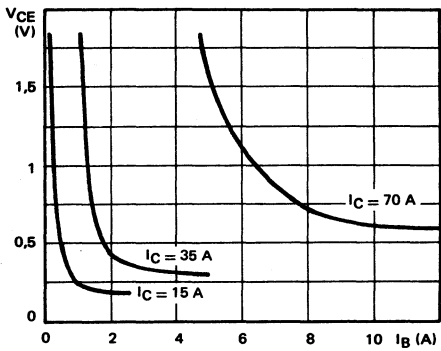


FIGURE 9 : Collector saturation region

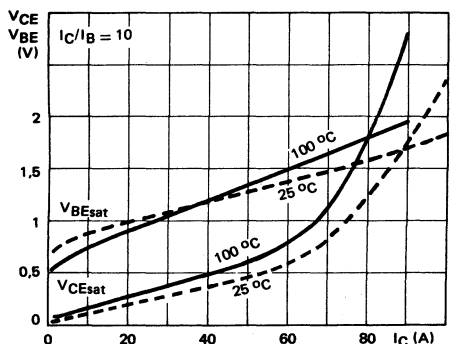


FIGURE 10 : Saturation voltage low gain

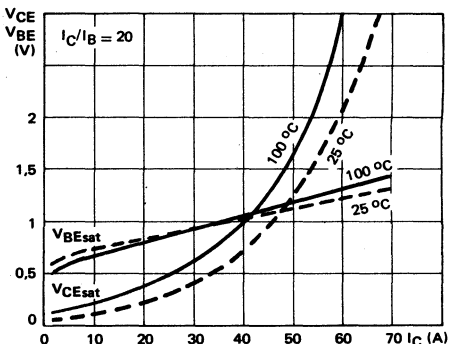
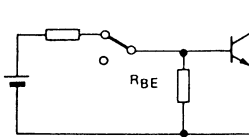


FIGURE 11 : Saturation voltage high gain

SWITCHING OPERATING AND OVERLOAD AREAS



TRANSISTOR FORWARD BIASED

- During the turn on
- During the turn off without negative base-emitter voltage and $R_{BE} \leq 50 \Omega$

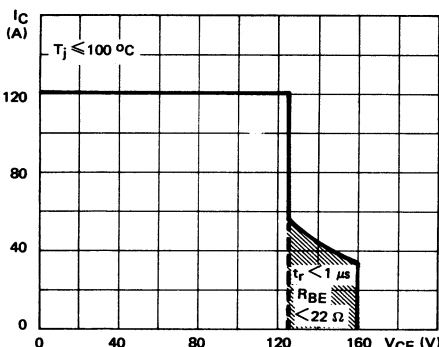
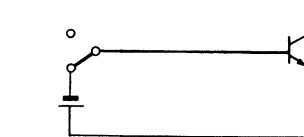


FIGURE 12 : Forward biased safe operating area (FBSOA)



TRANSISTOR REVERSE BIASED

- During the turn off with negative base-emitter voltage

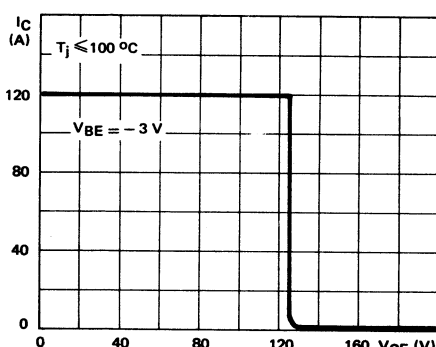


FIGURE 13 : Reverse biased safe operating area (RBSOA)

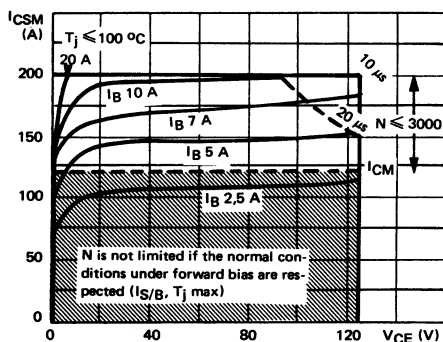


FIGURE 14 : Forward biased accidental overload area (FBAOA)

Figure 12 : The hatched zone can only be used for turn on.

Figures 14 and 15 : High accidental surge currents ($I > I_{CM}$) are allowed if they are non repetitive and applied less than 3000 times during the component life.

Figure 14 : The Kellogg network (heavy point) allows the calculation of the maximum value of the short-circuit current for a given base current I_B (90 % confidence).

Figure 15 : After the accidental overload current, the RBAOA has to be used for the turn off.

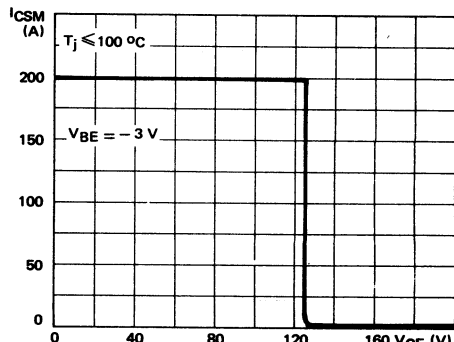


FIGURE 15 : Reverse biased accidental overload area (RBAOA)

Figure 12 : La zone hachurée ne doit être utilisée que pour la mise en conduction.

Figures 14 et 15 : De forts courants de surcharge ($I > I_{CM}$) sont permis s'ils sont non répétitifs et appliqués moins de 3000 fois dans la vie du composant.

Figure 14 : Le réseau de Kellogg (trait gras) permet le calcul de la valeur maximale du courant de court-circuit pour un courant de base donné I_B (90 % de confiance).

Figure 15 : Après le passage du courant de surcharge accidentelle on doit utiliser l'aire de surcharge accidentelle en polarisation inverse pour l'ouverture.

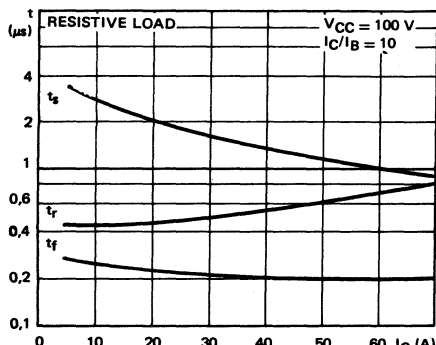


FIGURE 16 : Switching times vs collector current
(resistive load)

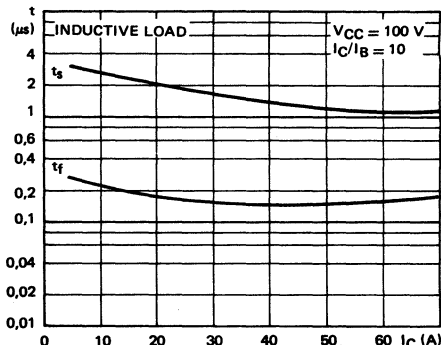


FIGURE 17 : Switching times vs collector current
(inductive load)

SWITCHING TIMES AT CONSTANT GAIN

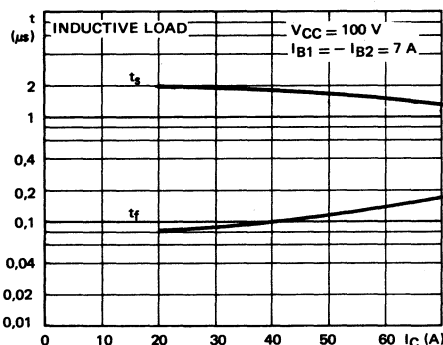


FIGURE 18 : Inductive load with negative base drive

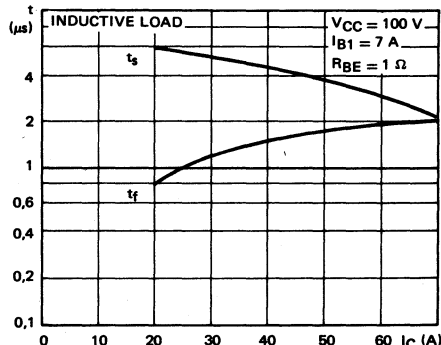


FIGURE 19 : Inductive load without negative base drive

SWITCHING TIMES AT CONSTANT DRIVE

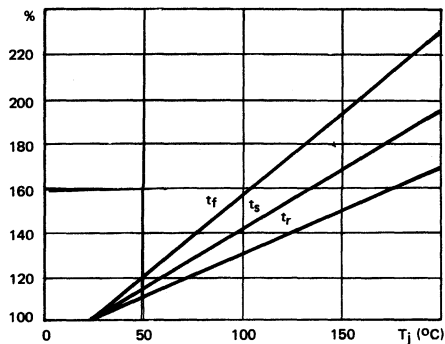


FIGURE 20 : Switching times vs junction temperature

FAST SWITCHING POWER TRANSISTOR*TRANSISTOR DE PUISSANCE DE COMMUTATION RAPIDE***SUPERSWITCH**

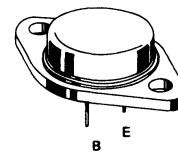
**HIGH CURRENT HIGH SPEED
TRANSISTOR SUITED
FOR LOW VOLTAGE APPLICATIONS**

**Data sheet tailored
for switching applications**

- ***High current capability**
- ***Low saturation voltage**
- ***Fast turn-on and turn-off**

| | |
|-------------------------------|-----------------|
| V_{CEOsus} | 200 V |
| V_{CEV} | 300 V |
| I_{Csat} | 40 A |
| I_{CSM} | 150 A |
| t_{fj} (100°C) | ≤ 0,4 µs |
| R_{on sat} | 0,0135 Ω |

Case CB 159 (TO 3 modified)
Boîtier



ABSOLUTE RATINGS (LIMITING VALUES)
VALEURS LIMITES ABSOLUES D'UTILISATION

| | | | | |
|--|---|------------------------|-------------------|-----------|
| Collector-emitter voltage <i>Tension collecteur-émetteur</i> | V_{CEO} | 200 | V | |
| Collector-base voltage <i>Tension collecteur-base</i> | V_{CEV} | 300 | V | |
| Emitter-base voltage <i>Tension émetteur-base</i> | V_{EBO} | 10 | V | |
| Collector current <i>Courant collecteur</i> | I_C (RMS) I_{CM} | 50 70 | A | |
| Base current <i>Courant base</i> | I_B (RMS) I_{BM} | 10 15 | A | |
| Power dissipation <i>Dissipation de puissance</i> | T_{case} 25 °C | P_{tot} | 250 | W |
| Junction temperature <i>Température de jonction</i> | | T_j | - 65 + 200 | °C |

| | | | | |
|---|------------|----------------------------|------------|-------------|
| Junction-case thermal resistance <i>Résistance thermique jonction boîtier</i> | max | R_{th(j-c)} | 0,7 | °C/W |
|---|------------|----------------------------|------------|-------------|

ELECTRICAL CHARACTERISTIC - CARACTÉRISTIQUES ÉLECTRIQUES

| SYMBOLS | Min | Typ | Max | UNITS | TEST CONDITIONS - CONDITIONS DE MESURE |
|---------|-----|-----|-----|-------|--|
|---------|-----|-----|-----|-------|--|

OFF CHARACTERISTICS - CARACTÉRISTIQUES À L'ÉTAT BLOQUÉ

| | | | | | |
|-------------------------|-----|----------|----|---|--|
| V_{CEO} _{us} | 200 | | | V | $I_B = 0, I_C = 0,2A, L = 25\text{ mH}$ |
| $V_{(B)EBO}$ | 10 | | | V | $I_C = 0, I_E = 50\text{ mA}$ |
| I_{CEV} | | 0,2 2 | mA | $T_j = 25^\circ\text{C}$ $T_j = 100^\circ\text{C}$ | $\left. \begin{array}{l} V_{CE} = V_{CEV}, V_{BE} = -1,5\text{ V} \\ V_{CE} = V_{CEV}, R_{BE} = 10\Omega \end{array} \right\}$ |
| | | | | | |
| I_{CER} | | 0,4 4 | mA | $T_j = 25^\circ\text{C}$ $T_j = 100^\circ\text{C}$ | $\left. \begin{array}{l} V_{CE} = V_{CEV}, R_{BE} = 10\Omega \end{array} \right\}$ |
| | | | | | |
| I_{EBO} | | 1 | mA | $I_C = 0, V_{BE} = -7\text{ V}$ | |

ON CHARACTERISTICS - CARACTÉRISTIQUES À L'ÉTAT CONDUCTEUR

| | | | | | |
|--------------------------|-------------|------------|---|---|---------------------------------------|
| V_{CE} _{sat*} | 0,7 0,95 | 1,2 1,8 | V | $T_j = 25^\circ\text{C}$ $T_j = 100^\circ\text{C}$ | $I_C = 40\text{ A}, I_B = 4\text{ A}$ |
| | | | | | |
| V_{BE} _{sat*} | 0,55 0,7 | 1 1,4 | V | $T_j = 25^\circ\text{C}$ $T_j = 100^\circ\text{C}$ | $I_C = 20\text{ A}, I_B = 1\text{ A}$ |
| | | | | | |
| | 1,25 1,3 | 1,8 1,9 | V | $T_j = 25^\circ\text{C}$ $T_j = 100^\circ\text{C}$ | $I_C = 40\text{ A}, I_B = 4\text{ A}$ |
| | | | | | |
| | 0,95 0,9 | 1,3 1,3 | V | $T_j = 25^\circ\text{C}$ $T_j = 100^\circ\text{C}$ | $I_C = 20\text{ A}, I_B = 1\text{ A}$ |
| | | | | | |

SWITCHING CHARACTERISTICS - CARACTÉRISTIQUES DE COMMUTATION

| SWITCHING TIMES ON RESISTIVE LOAD - TEMPS DE COMMUTATION SUR CHARGE RÉSISTIVE | | | | | | | |
|---|--------------|-------------|---------------|---|---------------------------------------|--|-------------------------------|
| t_r | 0,5 0,7 | 0,8 1,2 | | $T_j = 25^\circ\text{C}$ $T_j = 100^\circ\text{C}$ | $I_C = 40\text{ A}, I_B = 4\text{ A}$ | $V_{CC} = 150\text{ V}, I_B1 = -I_B2 = 4\text{ A}$ | $t_p = 30\text{ }\mu\text{s}$ |
| | | | | | | | |
| | | | | | | | |
| t_s | 0,65 0,85 | 1,2 1,5 | μs | $T_j = 25^\circ\text{C}$ $T_j = 100^\circ\text{C}$ | $I_C = 40\text{ A}, I_B = 4\text{ A}$ | $V_{CC} = 150\text{ V}, V_{clamp} = 200\text{ V}$ | $t_p = 30\text{ }\mu\text{s}$ |
| | | | | | | | |
| t_f | 0,15 0,32 | 0,3 0,65 | | $T_j = 25^\circ\text{C}$ $T_j = 100^\circ\text{C}$ | $I_C = 40\text{ A}, I_B = 4\text{ A}$ | $V_{CC} = 150\text{ V}, V_{clamp} = 200\text{ V}$ | $L_C = 70\text{ }\mu\text{H}$ |

SWITCHING TIMES ON INDUCTIVE LOAD - TEMPS DE COMMUTATION SUR CHARGE INDUCTIVE

| | | | | | | | |
|-------|--------------|------------|---------------|---|--|---|-------------------------------|
| t_s | 0,7 1,1 | 1,5 1,8 | μs | $T_j = 25^\circ\text{C}$ $T_j = 100^\circ\text{C}$ | $I_C = 40\text{ A}, I_B1 = -I_B2 = 4\text{ A}$ | $V_{CC} = 150\text{ V}, V_{clamp} = 200\text{ V}$ | $L_C = 70\text{ }\mu\text{H}$ |
| | | | | | | | |
| t_f | 0,08 0,18 | 0,2 0,4 | | $T_j = 25^\circ\text{C}$ $T_j = 100^\circ\text{C}$ | | | |

** $T_j = 25^\circ\text{C}$ Unless otherwise stated* Pulsed
impulsions $t_p \leq 300\text{ }\mu\text{s}$ $\delta \leq 2\%$

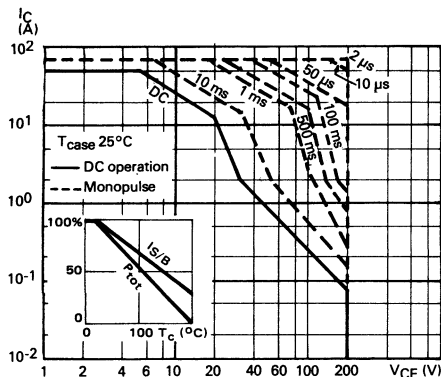


FIGURE 1 - DC and pulse area

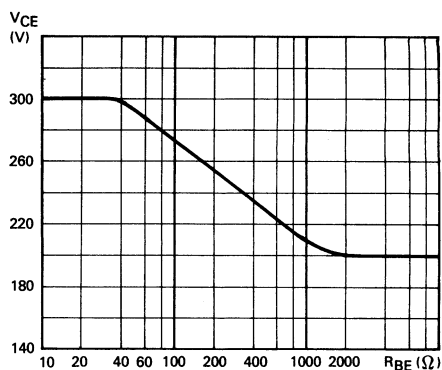


FIGURE 2 - Collector-emitter voltage vs base emitter resistance

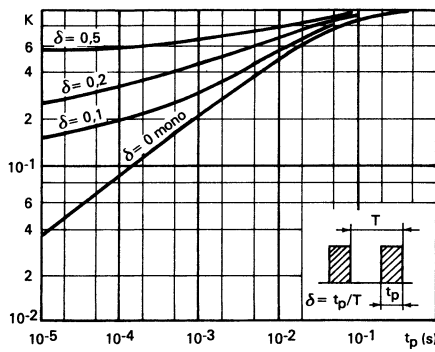


FIGURE 3 - Transient thermal response

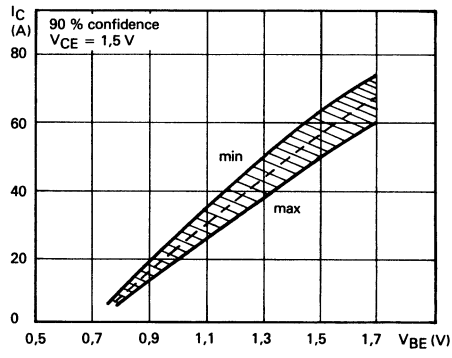


FIGURE 4 - Collector current spread vs base-emitter voltage

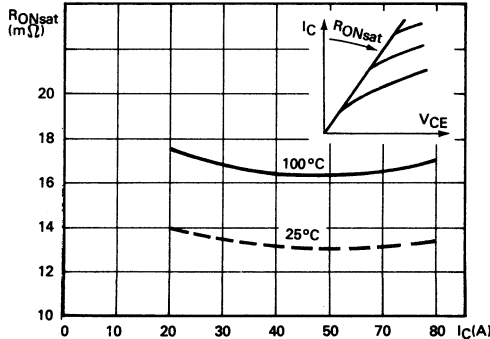


FIGURE 5 — Saturation resistance versus collector current

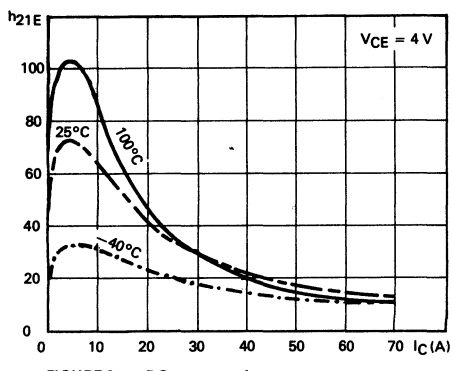


FIGURE 6 — DC current gain

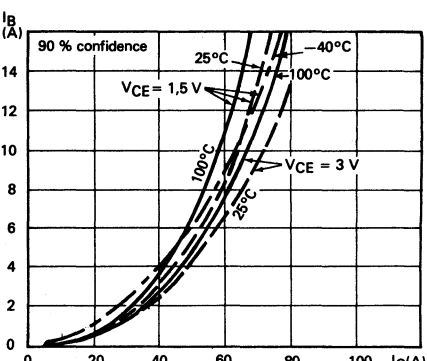


FIGURE 7 — Minimum base current to saturate the transistor

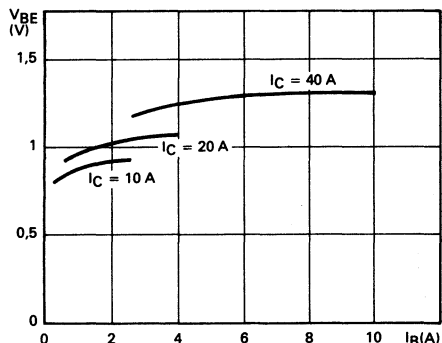


FIGURE 8 — Base characteristics

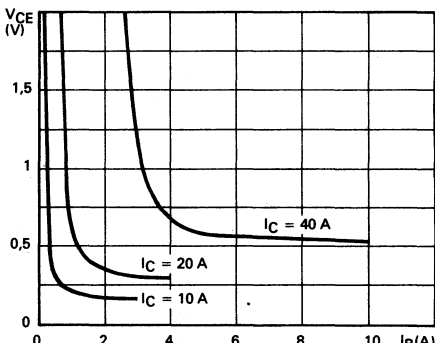


FIGURE 9 — Collector saturation region

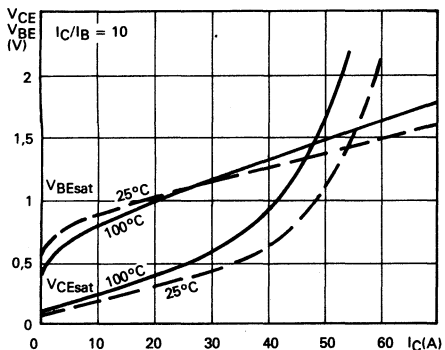


FIGURE 10 — Saturation voltage low gain

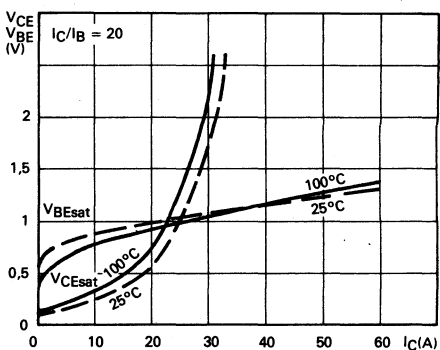
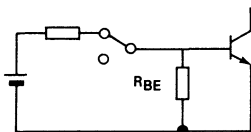


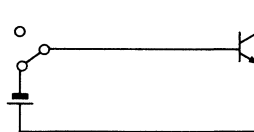
FIGURE 11 — Saturation voltage high gain

SWITCHING OPERATING AND OVERLOAD AREAS



TRANSISTOR FORWARD BIASED

- During the turn-on
- During the turn-off without negative base-emitter voltage and $R_{BE} \leq 50\Omega$



TRANSISTOR REVERSE BIASED

- During the turn-off with negative base-emitter voltage

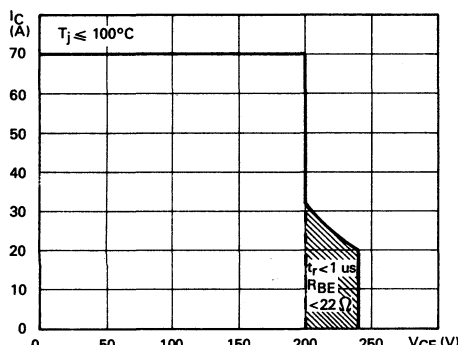


FIGURE 12 — Forward biased safe operating area (FBSOA)

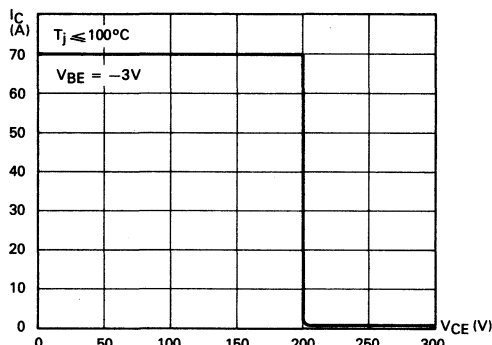


FIGURE 13 — Reverse biased safe operating area (RBSOA)

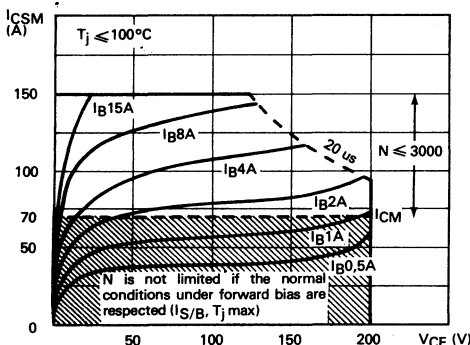


FIGURE 14 — Forward biased accidental overload area (FBAOA)

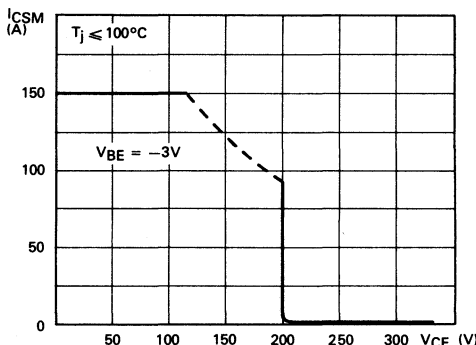


FIGURE 15 — Reverse biased accidental overload area (RBAOA)

Figure 12 : La zone hachurée ne doit être utilisée que pour la mise en conduction.

Figures 14 et 15 : De forts courants de surcharge ($I > I_{CM}$) sont permis s'ils sont non répétitifs et appliqués moins de 3000 fois dans la vie du composant.

Figure 14 : Le réseau de Kellogg (trait gras) permet le calcul de la valeur maximale du courant de court-circuit pour un courant de base donné (I_B 90 % de confiance).

Figure 15 : Après le passage du courant de surcharge accidentelle on doit utiliser l'aire de surcharge accidentelle en polarisation inverse pour l'ouverture.

Figure 12 : The hatched zone can only be used for turn-on.

Figure 14 and 15 : High accidental surge currents ($I > I_{CM}$) are allowed if they are non repetitive and applied less than 3000 times during the component life.

Figure 14 : The Kellogg network (heavy point) allows the calculation of the maximum value of the short-circuit current for a given base current I_B (90 % confidence).

Figure 15 : After the accidental overload current, the RBAOA has to be used for turn-off.

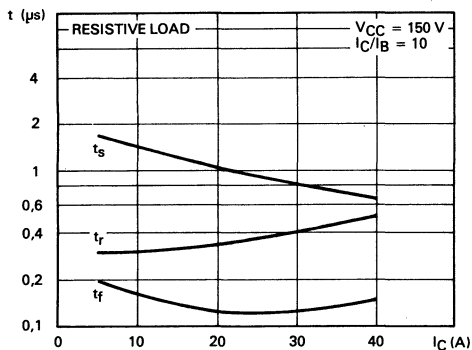


FIGURE 16 — Switching times vs collector current (resistive load)

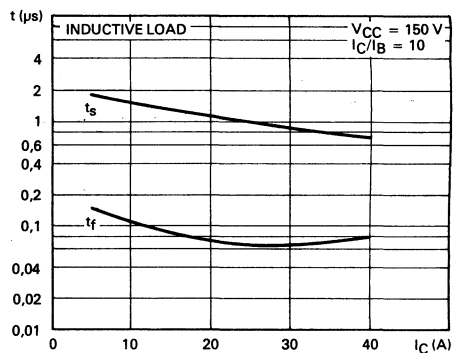


FIGURE 17 — Switching times vs collector current (inductive load)

SWITCHING TIMES AT CONSTANT GAIN

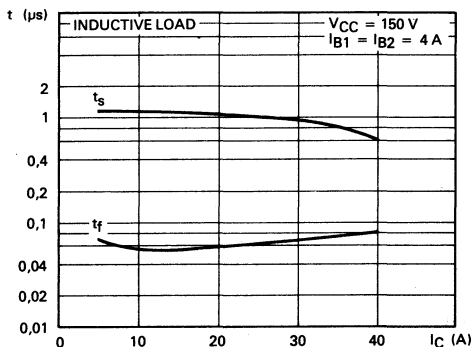


FIGURE 18 — Inductive load with negative base drive

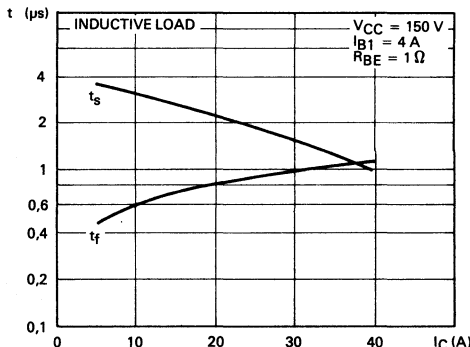


FIGURE 19 — Inductive load without negative base drive

SWITCHING TIMES AT CONSTANT DRIVE

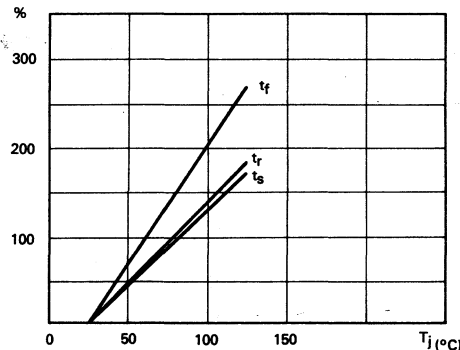
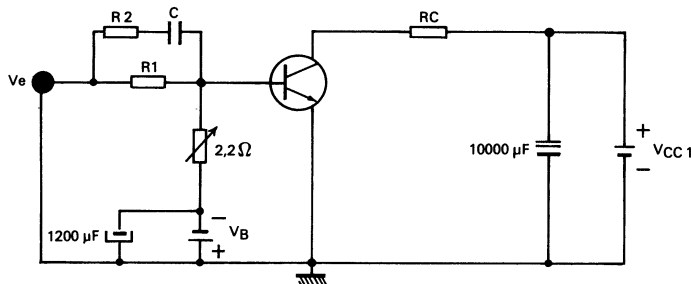
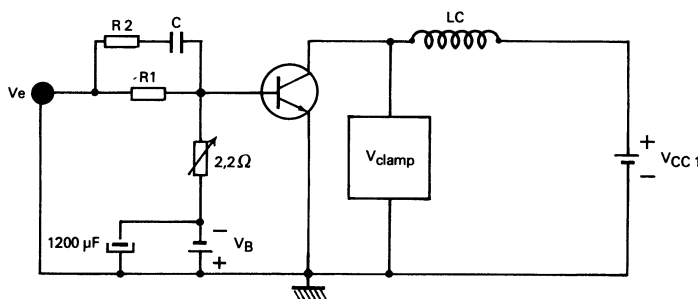


FIGURE 20 — Switching times vs junction temperature

SWITCHING ON RESISTIVE LOAD
COMMUTATION SUR CHARGE RÉSISTIVE



SWITCHING ON INDUCTIVE LOAD
COMMUTATION SUR CHARGE INDUCTIVE



$$\left. \begin{array}{l} R_C = 37,5\Omega \\ R_1 = 2,2\Omega \\ R_2 = 3,3\Omega \\ C = 60\ nF \end{array} \right\} \begin{array}{l} \text{Résistance} \\ \text{non} \\ \text{inductif} \end{array}$$

$$\begin{array}{ll} I_C & = 40\ A \\ I_{B1} & = -I_{B2} = 4\ A \\ V_{CC\ 1} & = 150\ V \\ V_{CC\ clamp} & = 200\ V \\ V_B & = 6\ V \\ V_e & = 25\ V \\ L_C & = 190\ \mu H \\ D_1 & \end{array} \quad \frac{dI_{B1}}{dt} \geq 10\ A/\mu s \quad \frac{dI_{B2}}{dt} \geq 40\ A/\mu s$$

Switching on resistive load
Commutation sur charge résistive

$$\begin{array}{l} t_p \approx 20\ \mu s \\ \delta \leq 1\% \end{array}$$

Switching on inductive load
Commutation sur charge inductive

$$\begin{array}{l} t_p \approx 50\ \mu s \\ \delta \leq 1\% \end{array}$$



ADVANCE INFORMATION

SUPERSWITCH

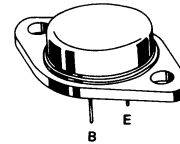
HIGH CURRENT HIGH SPEED TRANSISTOR SUITED
FOR LOW VOLTAGE APPLICATIONS

Data sheet tailored for switching applications

- * High current capability
- * Low saturation voltage
- * Fast turn-on and turn-off

| | |
|-------------------|-------------|
| V_{CEO} | 250 V |
| V_{CBO} | 350 V |
| I_{Csat} | 35 A |
| $t_f \text{ max}$ | 0,3 μ s |

Case CB 159 (TO 3 modified)
Boîtier



ABSOLUTE RATINGS (LIMITING VALUES)

VALEURS LIMITES ABSOLUES D'UTILISATION

| | | | |
|--|------------------------|---------------|----------|
| Collector-emitter voltage <i>Tension collecteur-émetteur</i> | V_{CEO} | 250 | V |
| Collector-base voltage <i>Tension collecteur-base</i> | V_{CBO} | 350 | V |
| Emitter-base voltage <i>Tension émetteur-base</i> | V_{EBO} | 10 | V |
| Collector current <i>Courant collecteur</i> | I_{Ceff} I_{CM} | 50 70 | A |
| Base current <i>Courant base</i> | I_B I_{BM} | 8 12 | A |
| Power dissipation <i>Dissipation de puissance</i> | P_{tot} | 250 | W |
| Junction temperature <i>Température de jonction</i> | T_j | - 65 + 200 | °C |
| Junction-case thermal resistance <i>Résistance thermique jonction boîtier</i> | max | $R_{th(j-c)}$ | 0,7 °C/W |

ELECTRICAL CHARACTERISTICS - CARACTÉRISTIQUES ÉLECTRIQUES **

| SYMBOLS | Min | Typ | Max | UNITS | TEST CONDITIONS - CONDITIONS DE MESURE |
|--|-----|-----|-----|---------------|--|
| OFF CHARACTERISTICS - CARACTÉRISTIQUES A L'ÉTAT BLOQUÉ | | | | | |
| V_{CEO} _{us} | 250 | | | V | $I_B = 0, I_C = 200 \text{ mA}, L = 25 \text{ mH}$ |
| $V_{(BR)EBO}$ | 10 | | | V | $I_{EB} = 10 \text{ mA}$ |
| I_{CBO} | | 200 | | μA | $T_{case} = 25^\circ\text{C}$ |
| | | 2 | | mA | $T_{case} = 125^\circ\text{C}$ |
| I_{CEO} | | 1 | | mA | $V_{CE} = 250 \text{ V}$ |
| I_{EBO} | | 1 | | mA | $V_{EB} = 7 \text{ V}, I_C = 0$ |
| ON CHARACTERISTICS - CARACTÉRISTIQUES A L'ÉTAT CONDUCTEUR | | | | | |
| h_{21E} | 20 | | 120 | | $I_C = 5 \text{ A}$ |
| | 15 | | | | $I_C = 35 \text{ A}$ |
| V_{CEsat}^* | | 1,2 | | V | $I_C = 35 \text{ A}, I_B = 3,5 \text{ A}$ |
| V_{BESat}^* | | 1,5 | | V | $I_C = 35 \text{ A}, I_B = 3,5 \text{ A}$ |
| DYNAMIC CHARACTERISTICS - CARACTÉRISTIQUES DYNAMIQUES | | | | | |
| f_T | 8 | | | MHz | $f = 10 \text{ MHz}, I_C = 2 \text{ A}, V_{CE} = 15 \text{ V}$ |
| SWITCHING CHARACTERISTICS - CARACTÉRISTIQUES DE COMMUTATION | | | | | |
| Resistive load - Charge résistive | | | | | |
| t_{on} | | 1 | | μs | $V_{CC} = 150 \text{ V}, I_C = 35 \text{ A}, I_{B1} = 3,5 \text{ A}$ |
| Inductive load - Charge inductive | | | | | |
| t_s | | 2 | | μs | $V_{CC} = 150 \text{ V}, I_C = 35 \text{ A}$ |
| t_f | | 0,3 | | | $I_{B1} = -I_{B2} = 3,5 \text{ A}, L_C = 0,2 \text{ mH}$ |

* Measured with pulses $t_p = 300 \mu\text{s}$ $\delta \leq 2\%$ ** $T_{case} 25^\circ\text{C}$ Unless otherwise stated

SUPERSWITCH

NPN HIGH CURRENT SWITCHING TRANSISTOR

TRANSISTOR NPN FORT COURANT DE COMMUTATION

SUPERSWITCH

HIGH CURRENT, HIGH SPEED TRANSISTORS SUITED FOR LOW VOLTAGE APPLICATIONS: HIGH EFFICIENCY CONVERTERS, MOTOR CONTROLS

Data sheet tailored for switching applications

- * High current capability
- * Very low saturation voltage at 40 A
- * Fast turn off and turn on
- * Base drive specified for different values of I_C
 - * Wide surge area 60 V – 200 A
- * Information for parallel mounting

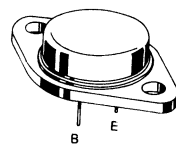
TRANSISTORS FORT COURANT, RAPIDES ADAPTES AUX APPLICATIONS BASSE TENSION: CONVERTISSEURS A HAUT RENDEMENT – COMMANDE DE MOTEURS –

Spécifications spécialement étudiées pour la commutation

- * Possibilités élevées en courant
- * Très faible tension de saturation à 40 A
- * Mise en conduction et blocage rapide
- * Commande de base spécifiée pour différentes valeurs de I_C
 - * Aire de surcharge étendue 60 V – 200 A
- * Caractérisation pour le montage en parallèle

| | BUV 18 | BUV 19 |
|-----------------|--------------------|--------------------|
| V_{CEO} us | 60 V | 80 V |
| V_{CEX} | 120 V | 160 V |
| I_{Csat} | 80 A | 60 A |
| I_{CSM} | 200 A | 200 A |
| t_f (125°C) | ≤ 0,5 µs (80 A) | ≤ 0,5 µs (60 A) |

Case
Boîtier CB 159



TO 3 modified
TO 3 modifié

ABSOLUTE RATINGS (LIMITING VALUES)
VALEURS LIMITES ABSOLUES D'UTILISATION

| | | BUV 18 | BUV 19 | |
|---|---------------------------------------|---------------|---------------|----|
| Collector-emitter voltage <i>Tension collecteur-émetteur</i> | V_{CEO} | 60 | 80 | V |
| Collector-base voltage <i>Tension collecteur-base</i> | V_{CBO} | 120 | 160 | V |
| Emitter-base voltage <i>Tension émetteur-base</i> | V_{EBO} | 7 | 7 | V |
| Collector current <i>Courant collecteur</i> | I_{Ceff} $t_p \leq 5 \text{ ms}$ | 50 | 50 | |
| | I_{CM} | 90 | 70 | A |
| Base current <i>Courant base</i> | I_B $t_p \leq 5 \text{ ms}$ | 16 | 12 | |
| | I_{BM} | 40 | 30 | A |
| Power dissipation <i>Dissipation de puissance</i> | $T_{case} 25^\circ\text{C}$ | P_{tot} | 250 | W |
| Junction temperature <i>Température de jonction</i> | t_j | - 65 + 200 | - 65 + 200 | °C |

Junction-case thermal resistance
Résistance thermique jonction boîtier \max

$R_{th(j-c)}$

0,7

0,7

°C/W

ELECTRICAL CHARACTERISTICS - CARACTÉRISTIQUES ÉLECTRIQUES **

| SYMBOLS | Min | Typ | Max | UNIT | | TEST CONDITIONS - CONDITIONS DE MESURE |
|---------|-----|-----|-----|------|--|--|
|---------|-----|-----|-----|------|--|--|

OFF CHARACTERISTICS - CARACTÉRISTIQUES A L'ÉTAT BLOQUÉ

| | | | | | | |
|---------------|----------|--------|----|---|------------------|---|
| V_{CEOus} | 60 80 | | | V | BUV 18 BUV 19 | $I_B = 0, I_C = 0,2 \text{ A}, L = 25 \text{ mH}$ |
| $V_{(BR)EBO}$ | 7 | | | V | | $I_C = 0, I_E = 50 \text{ mA}$ |
| I_{CEX} | | 1 3 | mA | | | $T_{case} 25^\circ\text{C} \quad V_{CE} = V_{CEX}, V_{BE} = -1,5 \text{ V}$ $T_{case} 125^\circ\text{C}$ |
| I_{EBO} | | 1 | mA | | | $I_C = 0, V_{BE} = 5 \text{ V}$ |

ON CHARACTERISTICS - CARACTÉRISTIQUES A L'ÉTAT CONDUCTEUR

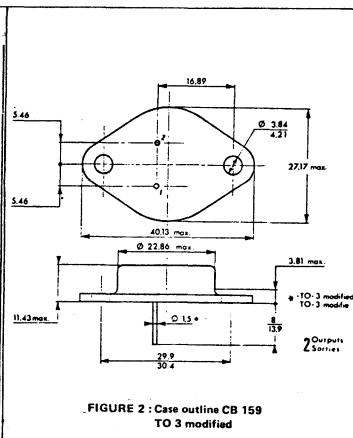
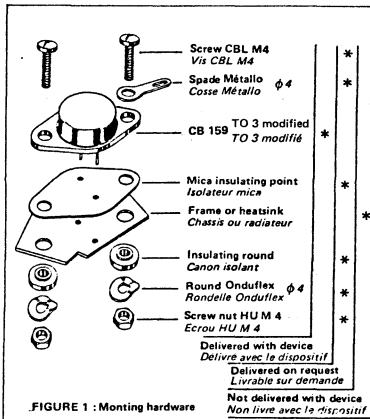
| | | | | | |
|---------------|--|------------|---|------------------|--|
| V_{CEsat^*} | | 0,6 1,5 | V | BUV 18 | $I_C = 40 \text{ A}, I_B = 4 \text{ A}$ $I_C = 80 \text{ A}, I_B = 8 \text{ A}$ |
| | | 0,6 1,2 | V | BUV 19 | $I_C = 30 \text{ A}, I_B = 3 \text{ A}$ $I_C = 60 \text{ A}, I_B = 6 \text{ A}$ |
| V_{BEsat^*} | | 2,2 2 | V | BUV 18 BUV 19 | $I_C = 80 \text{ A}, I_B = 8 \text{ A}$ $I_C = 60 \text{ A}, I_B = 6 \text{ A}$ |

DYNAMIC CHARACTERISTICS - CARACTÉRISTIQUES DYNAMIQUES

| | | | | | |
|-------|---|--|-----|--|--|
| f_T | 8 | | MHz | | $f = 10 \text{ MHz}, V_{CE} = 15 \text{ A}, I_C = 2 \text{ A}$ |
|-------|---|--|-----|--|--|

SWITCHING CHARACTERISTICS - CARACTÉRISTIQUES DE COMMUTATION

| | | | | | | |
|-----------------------------------|--|--------------|-------------|----|------------------|--|
| Resistive load - Charge résistive | | | | | | |
| t_{on} | | 1,2 0,9 | 1,5 1,3 | | BUV 18 BUV 19 | |
| t_s | | 0,6 | 1,1 1,7 | μs | | $V_{CC} = 60 \text{ V}, I_C = 80 \text{ A} \quad \left. I_{B1} = -I_{B2} = 8 \text{ A} \right\} \text{BUV 18}$ |
| | | | | | | $T_{case} 25^\circ\text{C}$ $T_{case} 125^\circ\text{C}$ |
| t_f | | 0,18 0,17 | 0,25 0,5 | | BUV 18 | $V_{CC} = 80 \text{ V}, I_C = 60 \text{ A} \quad \left. I_{B1} = -I_{B2} = 6 \text{ A} \right\} \text{BUV 19}$ |
| | | | | | | $T_{case} 25^\circ\text{C}$ $T_{case} 125^\circ\text{C}$ |
| | | 0,17 | 0,25 | | BUV 19 | $V_{CC} = 60 \text{ V}, I_C = 80 \text{ A} \quad \left. I_{B1} = -I_{B2} = 8 \text{ A} \right\} \text{BUV 18}$ |
| | | | 0,5 | | | $T_{case} 25^\circ\text{C}$ $T_{case} 125^\circ\text{C}$ |

* Measured with pulses $t_p = 300 \mu\text{s}$ $\delta \leq 2\%$ ** $T_{case} 25^\circ\text{C}$ Unless otherwise stated

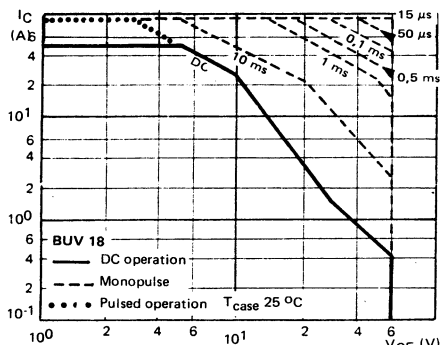


FIGURE 3 : DC and AC pulse area.

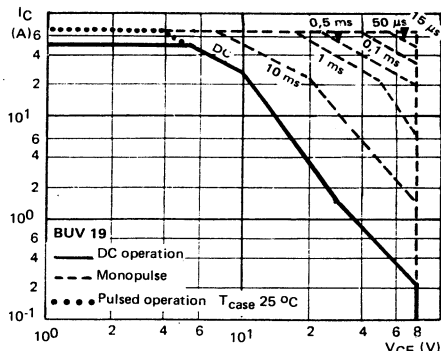


FIGURE 4 : DC and AC pulse area

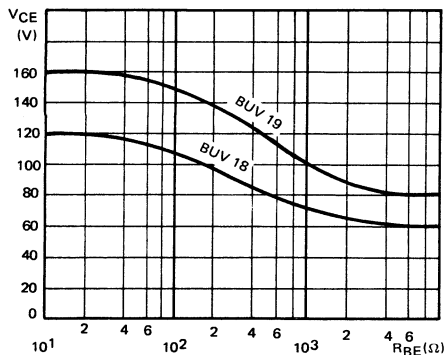


FIGURE 5 : Collector-emitter voltage vs base-emitter resistance.

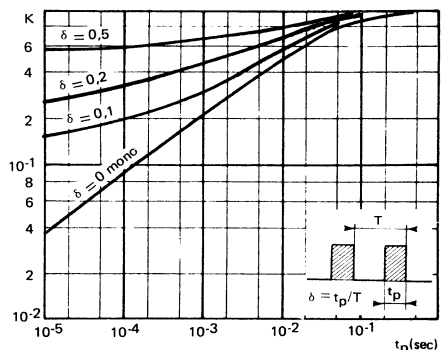
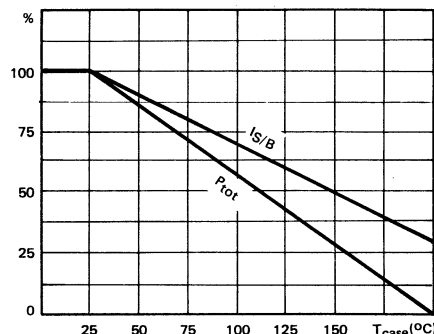


FIGURE 6 : Transient thermal response

FIGURE 7 : Power and I_{S/B} derating vs case temperature.

BUV 18 - BUV 19

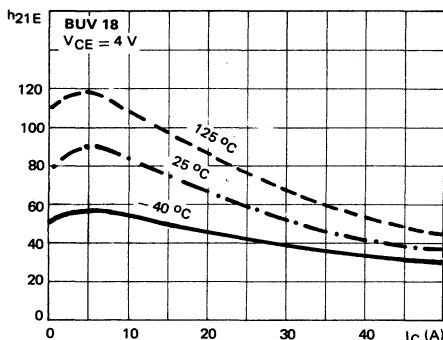


FIGURE 8 : DC current gain

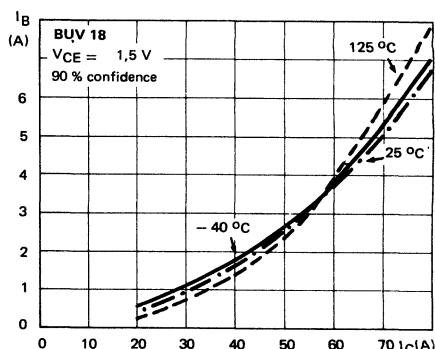


FIGURE 9 : Minimum base current to saturate the transistor

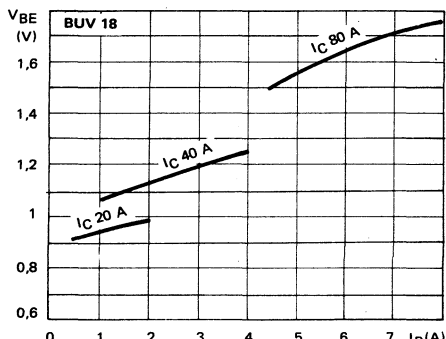


FIGURE 10: Base characteristics

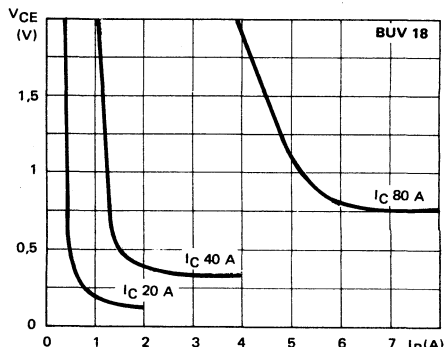


FIGURE 11: Collector saturation region

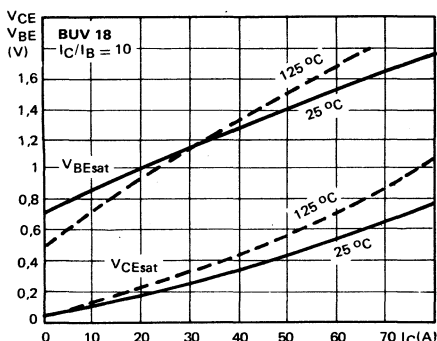


FIGURE 12 : Saturation voltage

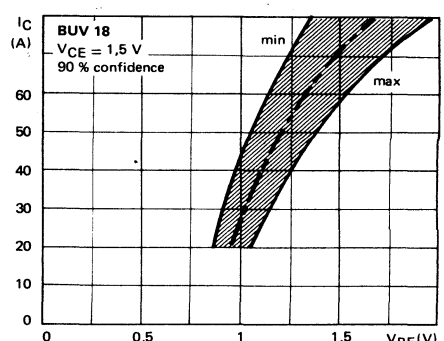


FIGURE 13 : Collector current spread vs base emitter voltage

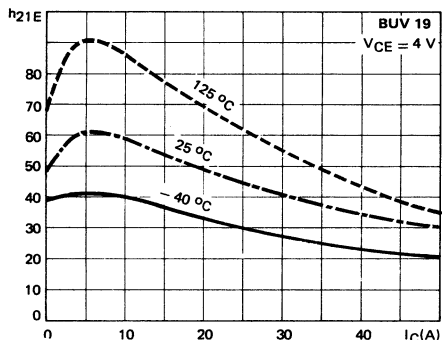


FIGURE 14: DC current gain

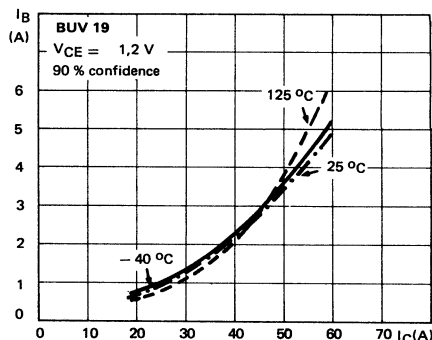


FIGURE 15: Minimum base current to saturate the transistor

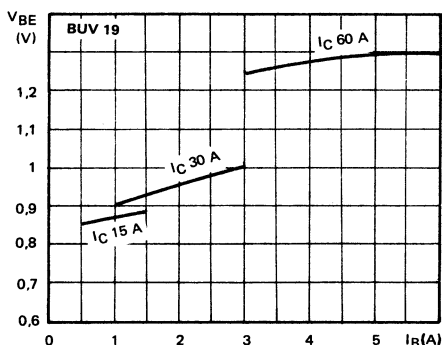


FIGURE 16: Base characteristics

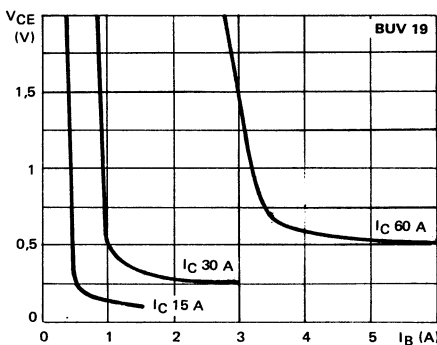


FIGURE 17: Collector saturation region

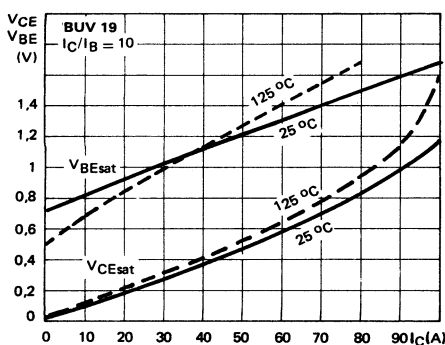


FIGURE 18 :Saturation voltage

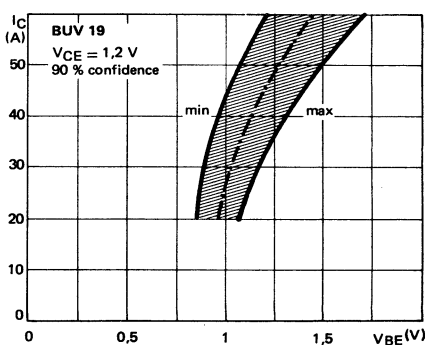
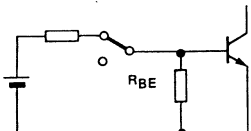


FIGURE 19 :Collector current spread vs base emitter voltage

SWITCHING OPERATING AND OVERLOAD AREAS



TRANSISTOR FORWARD BIASED

- During the turn on
- During the turn off without negative base-emitter voltage and $R_{BE} \geq 3 \Omega$

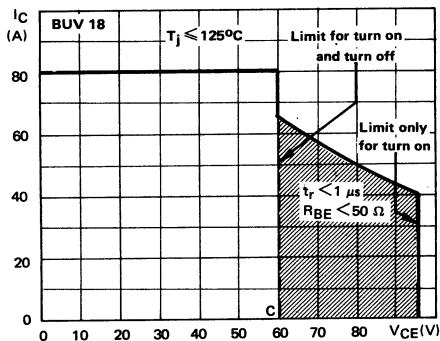
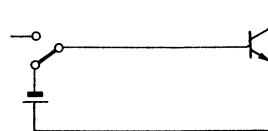


FIGURE 20 : Forward biased safe operating area (FBSOAR)



TRANSISTOR REVERSE BIASED

- During the turn off with negative base-emitter voltage

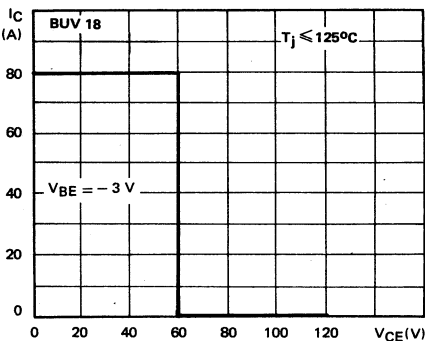


FIGURE 21 : Reverse biased safe operating area (RBSOAR)

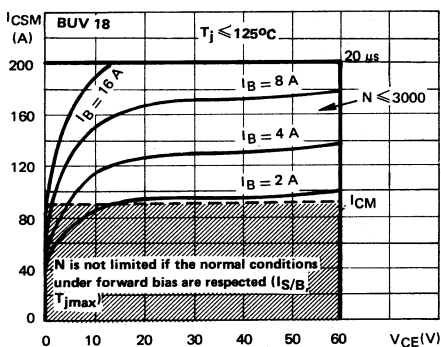


FIGURE 22 : Forward biased accidental overload area (FBAOA)

Figure 20 : The hatched zone can only be used for turn on.

Figures 22 and 23 : High accidental surge currents ($I > I_{CM}$) are allowed if they are non repetitive and applied less than 3000 times during the component life.

Figure 22 : The Kellogg network (heavy print) allows the calculation of the maximum value of the short-circuit current for a given base current I_B (90 % confidence).

Figure 23 : After the accidental overload current, the RBAOA has to be used for the turn off.

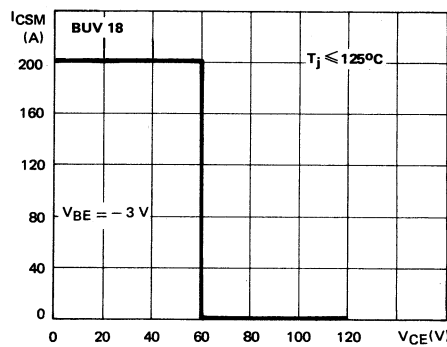


FIGURE 23 : Reverse biased accidental overload area (RBAOA)

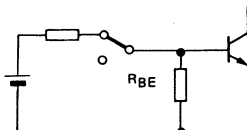
Figure 20 : La zone hachurée ne doit être utilisée que pour la mise en conduction.

Figures 22 et 23 : De forts courants de surcharge ($I > I_{CM}$) sont permis s'ils sont non répétitifs et appliqués moins de 3000 fois dans la vie du composant.

Figure 22 : Le réseau de Kellogg (trait gras) permet le calcul de la valeur maximale du courant de court-circuit pour un courant de base donné I_B (90 % de confiance).

Figure 23 : Après le passage du courant de surcharge accidentelle, on doit utiliser l'aire de surcharge accidentelle en polarisation inverse pour l'ouverture.

SWITCHING OPERATING AND OVERLOAD AREAS



TRANSISTOR FORWARD BIASED

- During the turn on
- During the turn off without negative base-emitter voltage and $R_{BE} \geq 3\ \Omega$

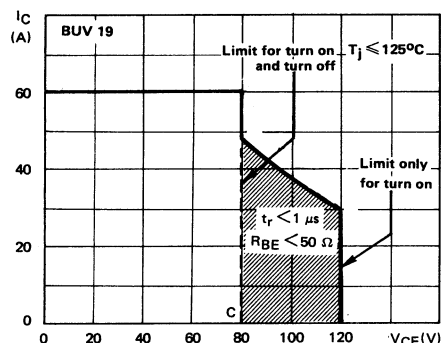
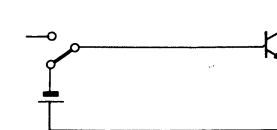


FIGURE 24 : Forward biased safe operating area (FBSOAR)



TRANSISTOR REVERSE BIASED

- During the turn off with negative base-emitter voltage

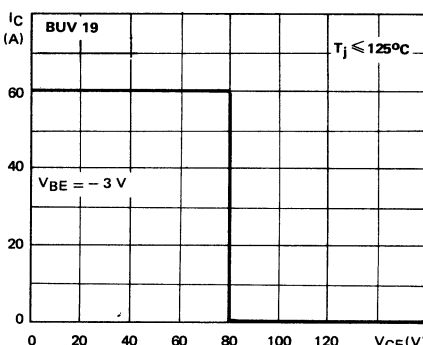


FIGURE 25 : Reverse biased safe operating area (RBSOAR)

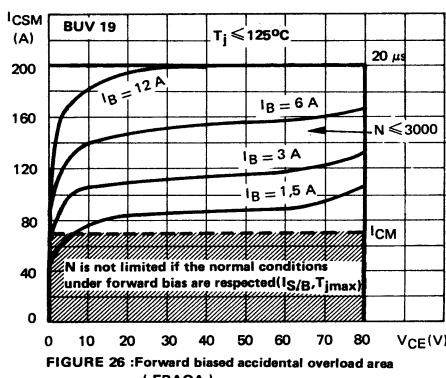


FIGURE 26 : Forward biased accidental overload area (FBAOA)

Figure 24 : The hatched zone can only be used for turn on.

Figures 26 and 27 : High accidental surge currents ($I > I_{CM}$) are allowed if they are non repetitive and applied less than 3000 times during the component life.

Figure 26 : The Kellogg network (heavy print) allows the calculation of the maximum value of the short-circuit current for a given base current I_B (90% confidence).

Figure 27 : After the accidental overload current, the RBAOA has to be used for the turn off.

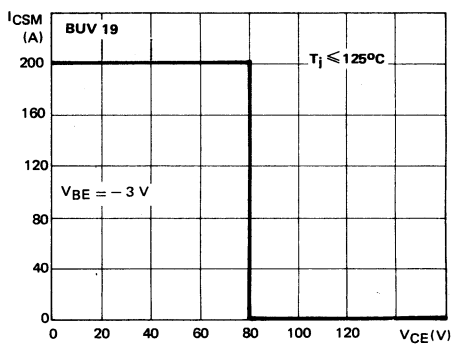


FIGURE 27 : Reverse biased accidental overload area (RBAOA)

Figure 24 : La zone hachurée ne doit être utilisée que pour la mise en conduction.

Figures 26 et 27 : De forts courants de surcharge ($I > I_{CM}$) sont permis s'ils sont non répétitifs et appliqués moins de 3000 fois dans la vie du composant.

Figure 26 : Le réseau de Kellogg (trait gras) permet le calcul de la valeur maximale du courant de court-circuit pour un courant de base donné I_B (90 % de confiance).

Figure 27 : Après le passage du courant de surcharge accidentelle, on doit utiliser l'aire de surcharge accidentelle en polarisation inverse pour l'ouverture.

BUV 18 - BUV 19

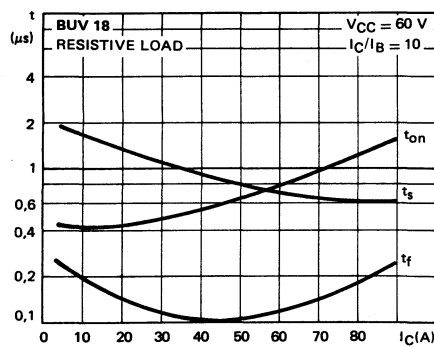


FIGURE 28 : Switching times vs collector current
(resistive load)

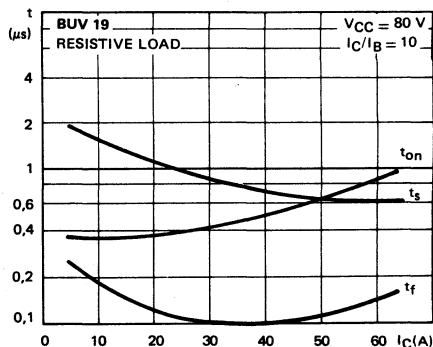


FIGURE 29 : Switching times vs collector current
(resistive load)

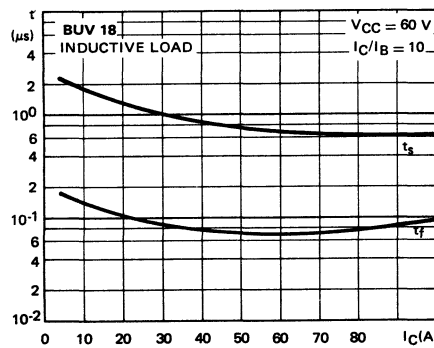


FIGURE 30 : Switching times vs collector current .

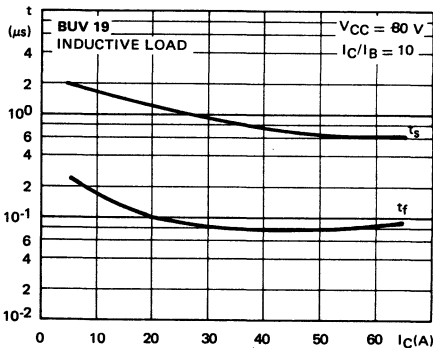


FIGURE 31 : Switching times vs collector current .

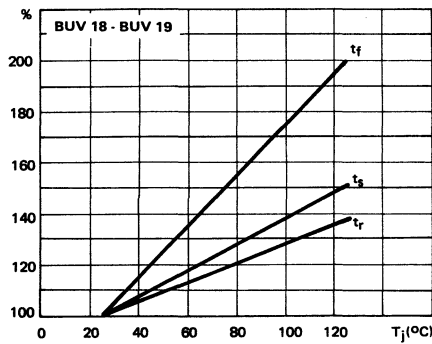


FIGURE 32 : Switching times vs junction temperature

◆ applications ◆

BASE DRIVE – COMMANDE DE BASE

Base drive of BUV 18/19 is not very critical because of their relatively low voltage . The designer can use simple circuits for applications with medium speeds or high performing circuits for high or very high switching speeds.

For example , base drive with antisaturation circuit and – 5 V blocking voltage generator allows fall times below 0,1 µs.

La commande de base des BUV 18/19 n'est pas très critique, car leur tension est relativement basse . Le concepteur peut utiliser :

– soit des circuits simples dans le cas d'applications à vitesses de commutation moyennes,

– soit des circuits plus performants dans le cas où une commutation plus rapide est nécessaire.

Par exemple, une commande de base avec un circuit antisaturation et un générateur de tension de blocage de – 5 V, permet d'avoir des temps de décroissance au dessous de 0,1 µs.

HIGH EFFICIENCY OPERATING

When the transistor is operating at collector current smaller than $I_C(SAT)$, its gain is higher and its $V_{CE}(sat)$ is smaller.

This leads to the following advantages:

- Lower conduction losses.
- Lower base drive power.
- Shorter switching times.

The minimum base current necessary to reach saturation can be determined with the aid of figures 9 and 15.

FONCTIONNEMENT A FORT RENDEMENT

Quand le transistor fonctionne à un courant collecteur inférieur à $I_C(sat)$, son gain est plus élevé et sa tension de saturation est plus faible. Cela entraîne les avantages suivants:

- Des pertes de conduction plus faibles
- Une puissance de commande de base plus faible.
- Des temps de commutation plus faibles.

Le courant base minimum nécessaire pour saturer le transistor, peut être déterminé à l'aide des figures 9 et 15.

| | | | |
|-----------|----------------------|---------------------|--|
| EXAMPLE : | $I_C = 60 \text{ A}$ | $I_B = 4 \text{ A}$ | Forced gain : 15 ($T_j = 25^\circ\text{C}$) |
| (BUV 18) | $I_C = 30 \text{ A}$ | $I_B = 1 \text{ A}$ | Forced gain : 30 ($T_j = 125^\circ\text{C}$) |

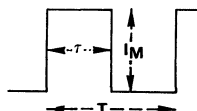
RMS CURRENT LIMIT – LIMITE DU COURANT EFFICACE

It's necessary to have $I_{RMS}(\text{circuit}) < 50 \text{ A}$

La limite du courant efficace est < 50 A

EXAMPLE : $I_M = 60 \text{ A}$, $\tau / T = 0,5$, $I_{RMS} = 42 \text{ A}$
 $I_M = 80 \text{ A}$, $\tau / T = 0,4$, $I_{RMS} = 50 \text{ A}$

$$I_{RMS} = \sqrt{\tau / T} \cdot I_M$$



OVERLOAD PROTECTION – PROTECTION CONTRE LES SURCHARGES

The BUV 18/19 in the switching mode are operating under an accidental overload when the collector current is superior to the rating I_{CM} . The new concept « ACCIDENTAL OVERLOAD AREA » completes the absolute maximum ratings of power transistors. This concept allows:

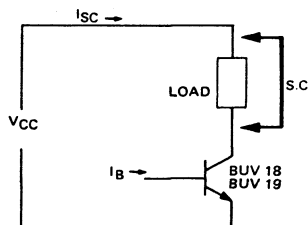
- to calculate a maximum value of the collector current under short-circuit conditions (for this a Kellogg network is given with the FBSOA)
- to find the maximum permissible duration of an overcurrent (with the aid of the FBAAO),
- to find the maximum permissible voltage during the turn off under overload (with the aid of the RBAAO).

Les BUV 18/19 en régime de commutation fonctionnent en surcharge accidentelle lorsque le courant collecteur est supérieur à la limite I_{CM} . Le nouveau concept « AIRE DE SURCHARGE ACCIDENTELLE » complète les limites absolues d'utilisation des transistors de puissance.

Ce concept permet :

- de calculer une valeur maximale du courant collecteur dans les conditions de court-circuit (pour cela nous donnons un réseau de Kellogg avec l'aire FBAAO).
- de trouver la durée maximale admissible d'une surcharge en courant (FBAAO)
- de trouver la valeur maximale admissible de la tension réappliquée pendant le blocage du transistor après la surcharge.

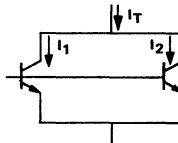
| | SHORT CIRCUIT CURRENT | PERMISSIBLE DURATION |
|---------------------|---|---|
| EXAMPLE (BUV 18) | $V_{CC} = 50 \text{ V}$, $I_B = 8 \text{ A}$ | $I_{SC} \leq 175 \text{ A}$ $\leq 20 \mu\text{s}$ |
| EXAMPLE (BUV 19) | $V_{CC} = 60 \text{ V}$, $I_B = 4 \text{ A}$ | $I_{SC} \leq 130 \text{ A}$ $\leq 20 \mu\text{s}$ |



PARALLELING – MONTAGE EN PARALLELE

Figures 11 and 17 enable the designer to calculate the worse case of collector current sharing between two BUV 18 or two BUV 19 in parallel.

Les figures 11 et 17 permettent au concepteur de calculer, dans le cas le plus défavorable, la répartition du courant collecteur entre deux BUV 18 ou deux BUV 19 en parallèle.



EXAMPLE : BUV 18 : $I_T = 110 \text{ A}$, $I_1 \geq 39 \text{ A}$, $I_2 \leq 71 \text{ A}$

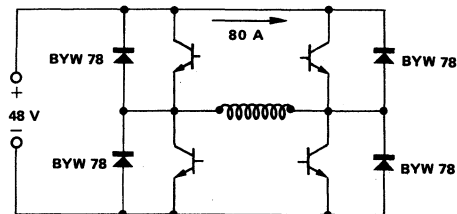
LINEAR APPLICATIONS

The good thermal resistance of BUV 18/19 allows their use in low voltage high current linear applications with power handling ability up to 250 W in the less than 10 volts V_{CE} range.

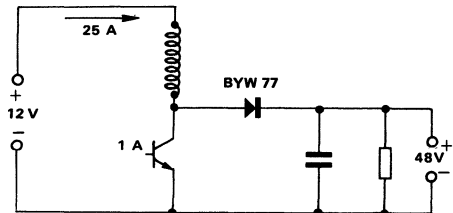
APPLICATIONS LINEAIRES

La résistance thermique des BUV 18/19 permet leur utilisation dans des applications linéaires à basse tension et fort courant jusqu'à des puissances de 250 W pour des tensions V_{CE} de moins de 10 V

STANDARD APPLICATIONS – APPLICATIONS STANDARD



2 KW - DC/DC CONVERTER



HIGH EFFICIENCY 300 W DC/DC CONVERTER

CONSULT THE THOMSON CSF HANDBOOK

*Le transistor de puissance dans son environnement *

* The power transistor in its environment *

* Handbuch Schalttransistoren *

SUPERSWITCH

HIGH CURRENT , HIGH SPEED TRANSISTOR SUITED FOR LOW VOLTAGE AND HIGH EFFICIENCY APPLICATIONS:

DC/AC CONVERTERS
DC/DC CONVERTERS
MOTORS CONTROL
HIGH FREQUENCY INVERTERS

- * Very high current capabilities
- * Fast turn-on and turn-off
- * S.O.A.R specified for: linear mode, switching mode, accidental surge

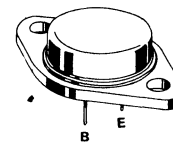
TRANSISTOR TRES RAPIDE , A FORT COURANT ADAPTE AUX APPLICATIONS BASSE TENSION ET A HAUT RENDEMENT:

CONVERTISSEURS CONTINU-ALTERNATIF
CONVERTISSEURS CONTINU-CONTINU
COMMANDE DE MOTEURS
GENERATEURS HAUTE FREQUENCE

- * Possibilités très élevées en courant
- * Mise en conduction et blocage rapides
- * Aire de sécurité définie: en régime linéaire, en régime de commutation en régime de surcharge accidentelle

| | |
|----------------|------------------|
| V_{CEO} us | 125 V |
| V_{CEX} | 160 V |
| I_{Csat} | 50 A |
| I_{CSM} | 150 A |
| t_f (50 A) | $\leq 0,3 \mu s$ |

Case
Boîtier CB 159



ABSOLUTE RATINGS (LIMITING VALUES) VALEURS LIMITES ABSOLUES D'UTILISATION

| | | | |
|---|-------------------|------------|----|
| Collector-base voltage <i>Tension collecteur-base</i> | V_{CBO} | 160 | V |
| Collector-emitter voltage <i>Tension collecteur-émetteur</i> | V_{CEO} | 125 | V |
| Collector-emitter voltage <i>Tension collecteur-émetteur</i> | V_{CER} | 150 | V |
| Collector-emitter voltage <i>Tension collecteur-émetteur</i> | V_{CEX} | 160 | V |
| Emitter-base voltage <i>Tension émetteur-base</i> | V_{EBO} | 7 | V |
| Collector current <i>Courant collecteur</i> | I_C I_{CM} | 50 60 | A |
| Base current <i>Courant base</i> | I_B | 10 | A |
| Power dissipation <i>Dissipation de puissance</i> | P_{tot} | 250 | W |
| Junction temperature <i>Température de jonction</i> | T_j | - 65 + 200 | °C |

Junction-case thermal resistance
Résistance thermique jonction-boîtier

max

$R_{th(j-c)}$

0,7

°C/W

STATIC CHARACTERISTICS
CARACTÉRISTIQUES STATIQUES
(Unless otherwise stated)
(Sauf indications contraires)

| | Test conditions <i>Conditions de mesure</i> | | | Min | Typ | Max | |
|---|---|--|---------------|-----|-----|-----|----|
| Collector emitter cut-off current <i>Courant résiduel collecteur-émetteur</i> | $V_{CE} = 100 \text{ V}$ $I_B = 0$ | | I_{CEO} | | | 3 | mA |
| Collector emitter cut-off current <i>Courant résiduel collecteur-émetteur</i> | $V_{CE} = 160 \text{ V}$ $V_{BE} = -1,5 \text{ V}$ | | I_{CEX} | | | 3 | mA |
| | $V_{CE} = 160 \text{ V}$ $V_{BE} = -1,5 \text{ V}$ $t_{case} = 125^\circ\text{C}$ | | | | | 12 | mA |
| Emitter base cut-off current <i>Courant résiduel émetteur-base</i> | $V_{EB} = 5 \text{ V}$ $I_C = 0$ | | I_{EBO} | | | 1 | mA |
| Collector emitter breakdown voltage <i>Tension de claquage collecteur-émetteur</i> (figure 1) | $I_C = 200 \text{ mA}$ $I_B = 0$ $L = 25 \text{ mH}$ | | V_{CEOus} | 125 | | | V |
| Emitter base breakdown voltage <i>Tension de claquage émetteur base</i> | $I_E = 50 \text{ mA}$ $I_C = 0$ | | $V_{(BR)EBO}$ | 7 | | | V |
| Static forward current transfer ratio <i>Valeur statique du rapport de transfert direct du courant</i> | $V_{CE} = 2 \text{ V}$ $I_C = 25 \text{ A}$ | | h_{21E}^* | 20 | | 60 | |
| | $V_{CE} = 4 \text{ V}$ $I_C = 50 \text{ A}$ | | | 10 | | | |
| Collector emitter saturation voltage <i>Tension de saturation collecteur-émetteur</i> | $I_C = 25 \text{ A}$ $I_B = 2,5 \text{ A}$ | | V_{CEsat} | | 0,3 | 0,6 | V |
| | $I_C = 50 \text{ A}$ $I_B = 5 \text{ A}$ | | | | 0,7 | 1,2 | V |
| Base emitter saturation voltage <i>Tension de saturation base-émetteur</i> | $I_C = 50 \text{ A}$ $I_B = 5 \text{ A}$ | | V_{BEsat}^* | | 1,4 | 2 | V |
| Second breakdown collector current <i>Courant collecteur de second claquage</i> | $V_{CE} = 40 \text{ V}$ $t = 1 \text{ s}$ | | $I_{S/B}$ | 1,5 | | | A |
| | $V_{CE} = 20 \text{ V}$ $t = 1 \text{ s}$ | | | 12 | | | A |

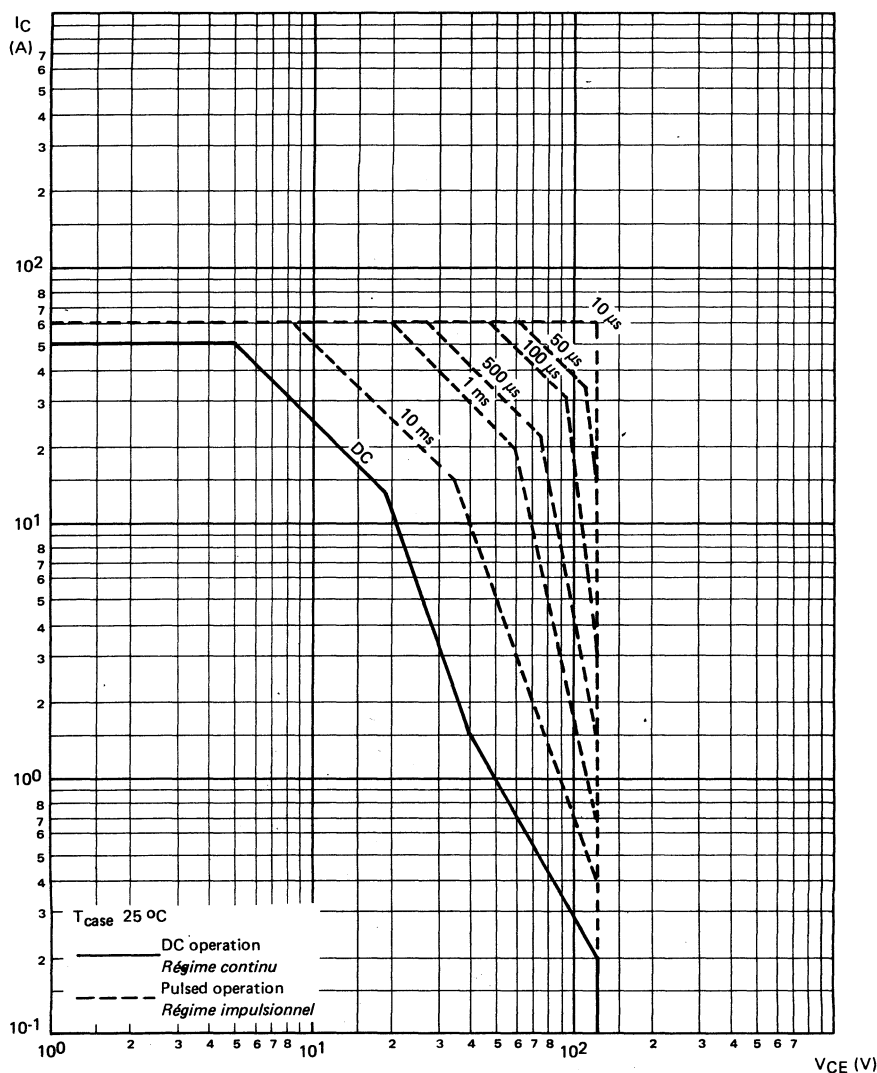
* Pulsed
*Impulsions $t_p = 300 \mu\text{s}$ $\delta \leq 2\%$

DYNAMIC CHARACTERISTICS (for small signals)
CARACTÉRISTIQUES DYNAMIQUES (pour petits signaux)

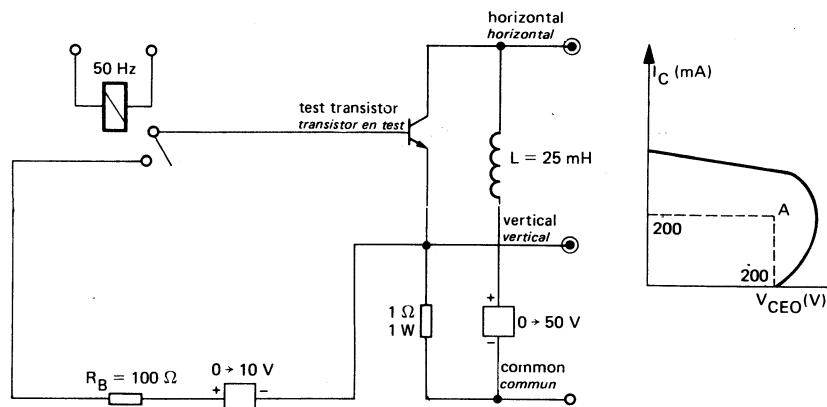
(Unless otherwise stated)
(Sauf indications contraires)

| | Test conditions <i>Conditions de mesure</i> | | Min. | Typ. | Max | |
|--|---|-------------|------|------|-----|---------------|
| Transition frequency <i>Fréquence de transition</i> | $V_{CE} = 15 \text{ V}$ $I_C = 2 \text{ A}$ $f = 10 \text{ MHz}$ | f_T | 8 | | | MHz |
| Turn-on time <i>Temps total d'établissement</i> (fig. 2) | $I_C = 50 \text{ A}$ $I_B = 5 \text{ A}$ | $t_d + t_r$ | | 0,9 | 1,5 | μs |
| Fall time <i>Temps de décroissance</i> (fig. 2) | $I_C = 50 \text{ A}$ $I_{B1} = 5 \text{ A}$ $I_{B2} = -5 \text{ A}$ | t_f | | 0,15 | 0,3 | μs |
| Carrier storage time <i>Retard à la décroissance</i> | $I_C = 50 \text{ A}$ $I_{B1} = 5 \text{ A}$ $I_{B2} = -5 \text{ A}$ | t_s | | 0,7 | 1,2 | μs |

SAFE OPERATING AREA
AIRE DE SECURITE



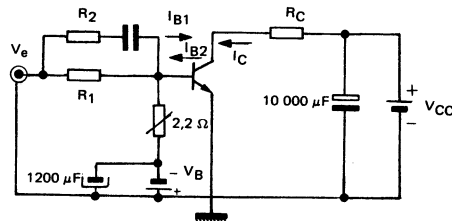
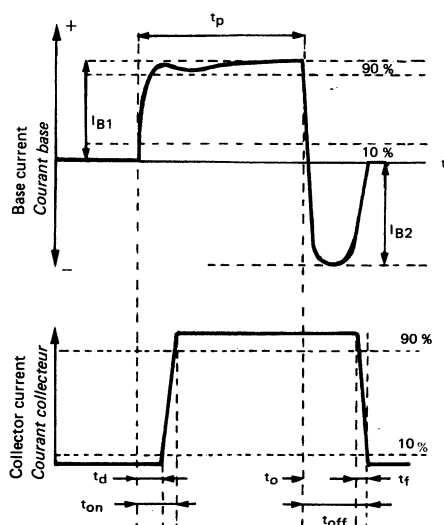
TEST CIRCUIT
MONTAGE DE TEST $V_{CEO(sus)}$ (fig. 1)



Note :

The sustaining voltage V_{CEO} is acceptable when the trace falls to the right and above point "A".
Les tensions V_{CEO} sont acceptables lorsque la trace passe au-delà du point A.

SWITCHING TIMES TEST CIRCUITS (and oscillograms)
CIRCUITS DE MESURE DES TEMPS DE COMMUTATION (et oscilloscopes) (fig. 2)

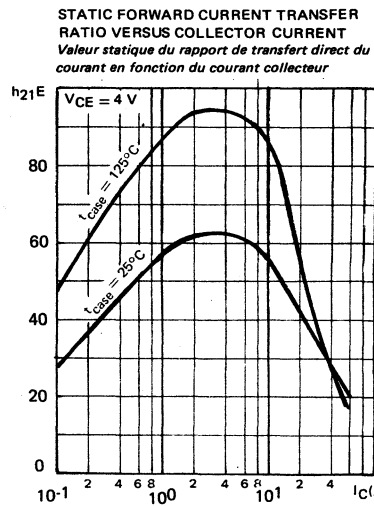
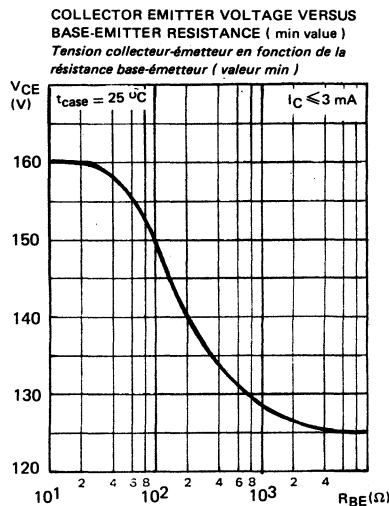
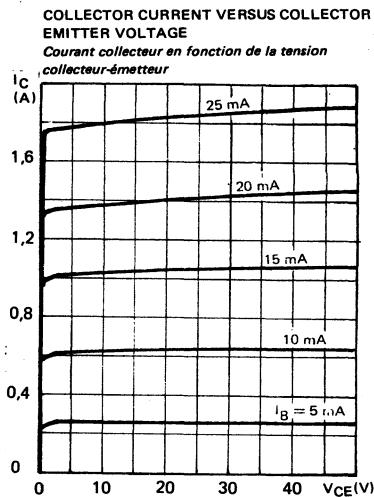
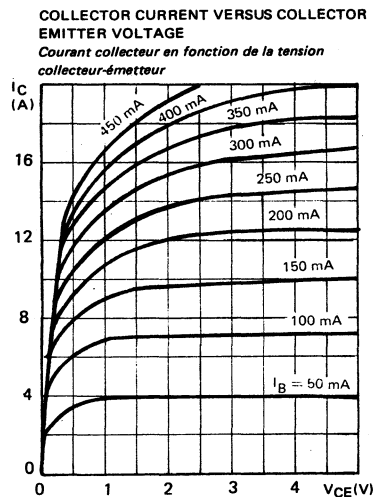


I_{B1} and I_{B2} are measured with Tektronix probe P 6021 and amplifier type 134
 I_{B1} et I_{B2} sont mesurés avec une sonde Tektronix P 6021 et amplificateur type 134

t_p pulse width = $10 \mu s$
duty cycle $\leq 1\%$

t_r $I_{B} \leq 0,5 \mu s$
 t_f $I_{B} \leq 0,1 \mu s$

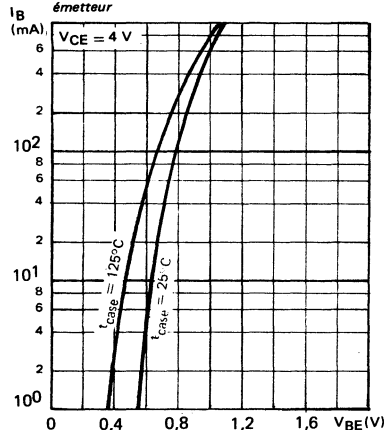
TYPICAL CHARACTERISTICS
CARACTÉRISTIQUES TYPIQUES



TYPICAL CHARACTERISTICS
CARACTÉRISTIQUES TYPIQUES

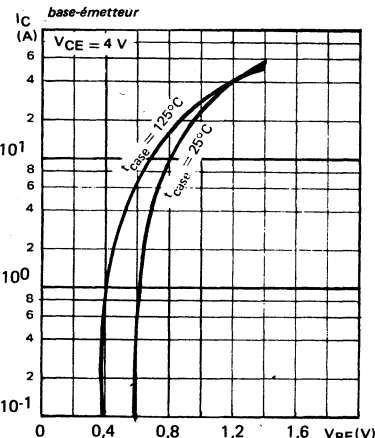
BASE CURRENT VERSUS BASE-EMITTER VOLTAGE

Courant base en fonction de la tension base-émetteur



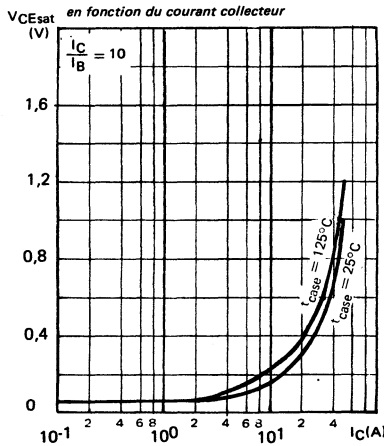
COLLECTOR CURRENT VERSUS BASE EMMITTER VOLTAGE

Courant collecteur en fonction de la tension base-émetteur



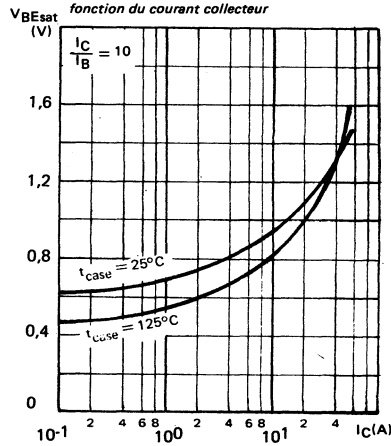
COLLECTOR-EMITTER SATURATION VOLTAGE VERSUS COLLECTOR CURRENT

Tension de saturation collecteur-émetteur en fonction du courant collecteur

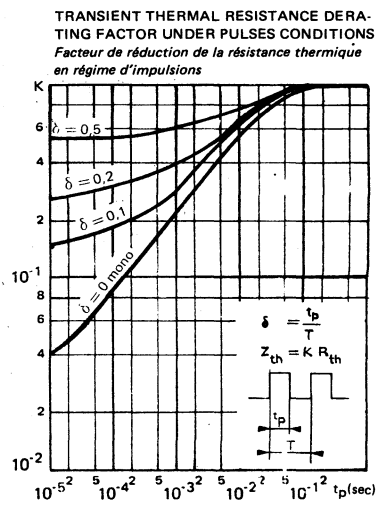
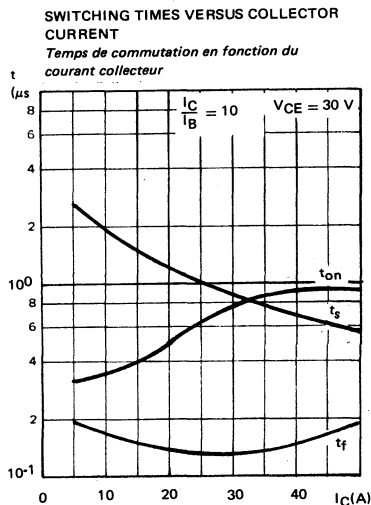
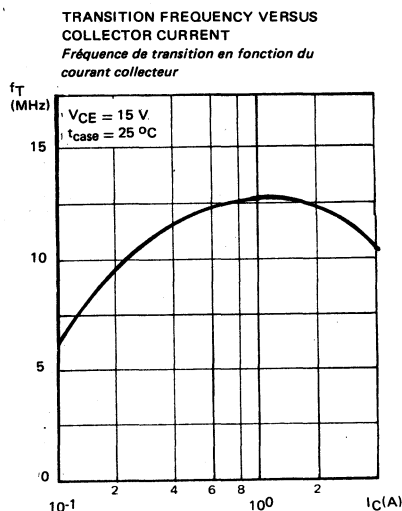
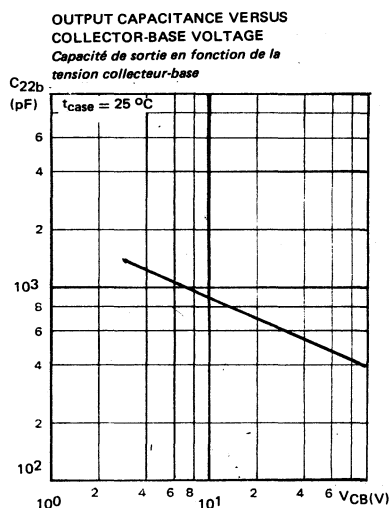


BASE-EMITTER SATURATION VOLTAGE VERSUS COLLECTOR CURRENT

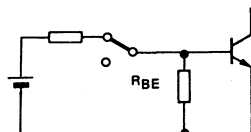
Tension de saturation base-émetteur en fonction du courant collecteur



TYPICAL CHARACTERISTICS
CARACTÉRISTIQUES TYPIQUES



SWITCHING OPERATING AND OVERLOAD AREAS



TRANSISTOR FORWARD BIASED

- During the turn on
- During the turn off without negative base-emitter voltage and $R_{BE} \geq 3 \Omega$

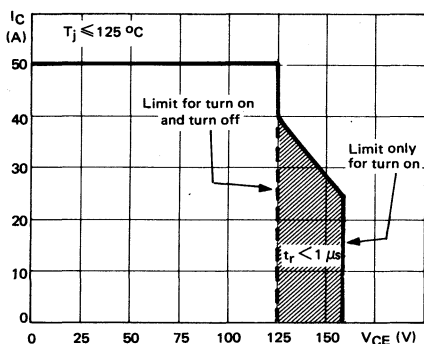
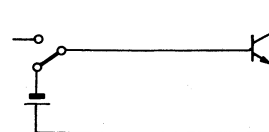


FIGURE 1 : Forward biased safe operating area (FBSOA)



TRANSISTOR REVERSE BIASED

- During the turn off with negative base-emitter voltage

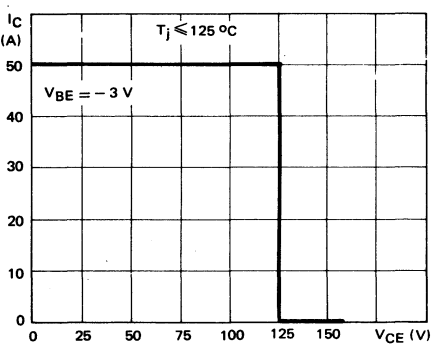


FIGURE 2 : Reverse biased safe operating area (RBSOA)

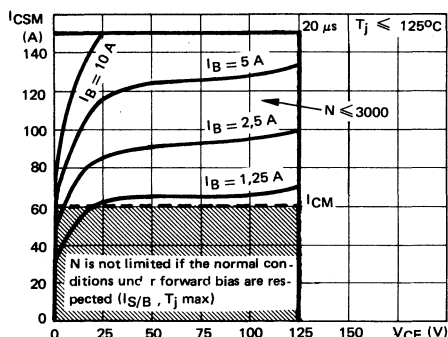


FIGURE 3 : Forward biased accidental overload area (FBAAO)

Figure 1 : The hatched zone can only be used for turn on.

Figures 3 and 4 : High accidental surge currents ($I > I_{CM}$) are allowed if they are non repetitive and applied less than 3000 times during the component life.

Figure 3 : The Kellogg network (heavy print) allows the calculation of the maximum value of the short-circuit current for a given base current I_B (90% confidence).

Figure 4 : After the accidental overload current, the RBAOA has to be used for the turn off.

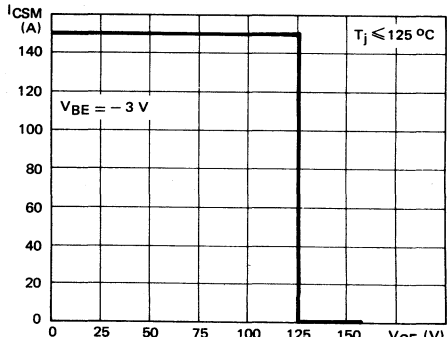


FIGURE 4 : Reverse biased accidental overload area (RBAOA)

Figure 1 : La zone hachurée ne doit être utilisée que pour la mise en conduction.

Figures 3 et 4 : De forts courants de surcharge ($I > I_{CM}$) sont permis s'ils sont non répétitifs et appliqués moins de 3000 fois dans la vie du composant.

Figure 3 : Le réseau de Kellogg (trait gras) permet le calcul de la valeur maximale du courant de court-circuit pour un courant de base donné I_B (90 % de confiance).

Figure 4 : Après le passage du courant de surcharge accidentelle, on doit utiliser l'aire de surcharge accidentelle en polarisation inverse pour l'ouverture.



SUPERSWITCH

HIGH CURRENT , HIGH SPEED TRANSISTOR SUITED FOR LOW VOLTAGE AND HIGH EFFICIENCY APPLICATIONS:

DC/AC CONVERTERS
DC/DC CONVERTERS
MOTORS CONTROL
HIGH FREQUENCY INVERTERS

- * Very high current capabilities
- * Fast turn-on and turn-off
- * S.O.J.R specified for : linear mode, switching mode, accidental surge

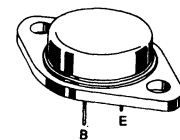
TRANSISTOR TRES RAPIDE , A FORT COURANT ADAPTE AUX APPLICATIONS BASSE TENSION ET A HAUT RENDEMENT:

CONVERTISSEURS CONTINU-ALTERNATIF
CONVERTISSEURS CONTINU-CONTINU
COMMANDE DE MOTEURS
GENERATEURS HAUTE FREQUENCE

- * Possibilités très élevées en courant
- * Mise en conduction et blocage rapides
- * Aire de sécurité définie: en régime linéaire, en régime de commutation en régime de surcharge accidentelle

| | |
|----------------|------------------|
| $V_{CEOSSUS}$ | 200 V |
| V_{CEX} | 250 V |
| I_{Csat} | 25 A |
| I_{CSM} | 120 A |
| t_f (25 A) | $\leq 0,4 \mu s$ |

Case
Boîtier CB 159



ABSOLUTE RATINGS (LIMITING VALUES) VALEURS LIMITES ABSOLUES D'UTILISATION

| | | | |
|---|-------------------|------------|----|
| Collector-base voltage <i>Tension collecteur-base</i> | V_{CBO} | 250 | V |
| Collector-emitter voltage <i>Tension collecteur-émetteur</i> | V_{CEO} | 200 | V |
| Collector-emitter voltage <i>Tension collecteur-émetteur</i> | V_{CER} | 240 | V |
| Collector-emitter voltage <i>Tension collecteur-émetteur</i> | V_{CEX} | 250 | V |
| Emitter-base voltage <i>Tension émetteur-base</i> | V_{EBO} | 7 | V |
| Collector current <i>Courant collecteur</i> | I_C I_{CM} | 40 50 | A |
| Base current <i>Courant Lisse</i> | I_B | 8 | A |
| Power dissipation <i>Dissipation de puissance</i> | P_{tot} | 250 | W |
| Junction temperature <i>Température de jonction</i> | t_j | - 65 + 200 | °C |

| | | | | |
|--|-----|---------------|-----|------|
| Junction-case thermal resistance <i>Résistance thermique jonction-boîtier</i> | max | $R_{th(j-c)}$ | 0,7 | °C/W |
|--|-----|---------------|-----|------|

STATIC CHARACTERISTICS
CARACTÉRISTIQUES STATIQUES
(Unless otherwise stated)
(Sauf indications contraires)

| | Test conditions Conditions de mesure | | | Min | Typ | Max | |
|---|---|--|---------------|------|-----|-----|----|
| Collector emitter cut-off current <i>Courant résiduel collecteur-émetteur</i> | $V_{CE} = 160 \text{ V}$ $I_B = 0$ | | I_{CEO} | | | 3 | mA |
| Collector emitter cut-off current <i>Courant résiduel collecteur-émetteur</i> | $V_{CE} = 250 \text{ V}$ $V_{BE} = -1,5 \text{ V}$ | | I_{CEX} | | | 3 | mA |
| | $V_{CE} = 250 \text{ V}$ $V_{BE} = -1,5 \text{ V}$ $t_{case} = 125^\circ\text{C}$ | | | | | 12 | mA |
| Emitter base cut-off current <i>Courant résiduel émetteur-base</i> | $V_{EB} = 5 \text{ V}$ $I_C = 0$ | | I_{EBO} | | | 1 | mA |
| Collector emitter breakdown voltage <i>Tension de claquage collecteur-émetteur</i> (figure 1) | $I_C = 200 \text{ mA}$ $I_B = 0$ $L = 25 \text{ mH}$ | | V_{CEOsus} | 200 | | | V |
| Emitter base breakdown voltage <i>Tension de claquage émetteur base</i> | $I_E = 50 \text{ mA}$ $I_C = 0$ | | $V_{(BR)EBO}$ | 7 | | | V |
| Static forward current transfer ratio <i>Valeur statique du rapport de transfert direct du courant</i> | $V_{CE} = 2 \text{ V}$ $I_C = 12 \text{ A}$ | | h_{21E}^* | 20 | | 60 | |
| | $V_{CE} = 4 \text{ V}$ $I_C = 25 \text{ A}$ | | | 10 | | | |
| Collector emitter saturation voltage <i>Tension de saturation collecteur-émetteur</i> | $I_C = 12 \text{ A}$ $I_B = 1,2 \text{ A}$ | | V_{CEsat}^* | | 0,2 | 0,6 | V |
| | $I_C = 25 \text{ A}$ $I_B = 3 \text{ A}$ | | | | 0,9 | 1,5 | V |
| Base emitter saturation voltage <i>Tension de saturation base-émetteur</i> | $I_C = 25 \text{ A}$ $I_B = 3 \text{ A}$ | | V_{BEsat}^* | | 1,2 | 1,5 | V |
| Second breakdown collector current <i>Courant collecteur de second claquage</i> | $V_{CE} = 140 \text{ V}$ $t = 1 \text{ s}$ | | $I_{S/B}$ | 0,15 | | | A |
| | $V_{CE} = 20 \text{ V}$ $t = 1 \text{ s}$ | | | 12 | | | A |

* Pulsed
*Impulsions $t_p = 300 \mu\text{s}$ $\delta \leq 2 \%$

DYNAMIC CHARACTERISTICS (for small signals)**CARACTÉRISTIQUES DYNAMIQUES (pour petits signaux)**

(Unless otherwise stated)

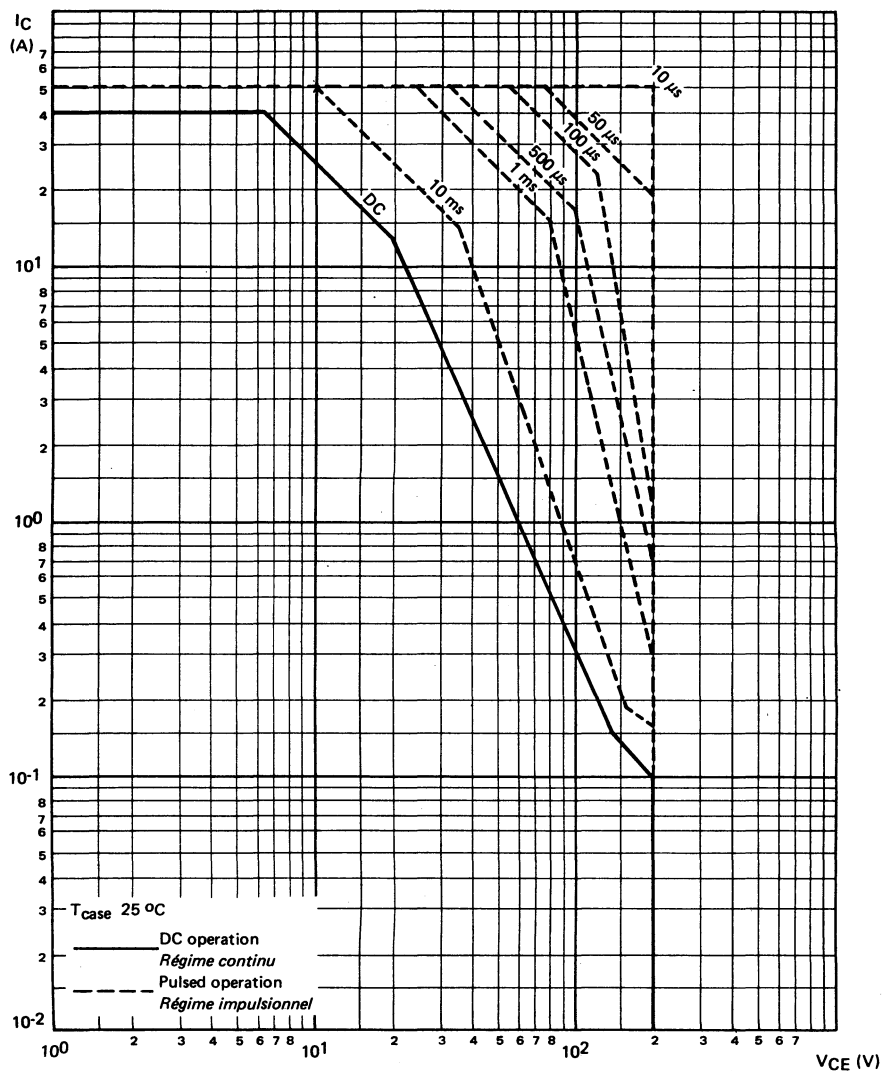
(Sauf indications contraires)

| | Test conditions <i>Conditions de mesure</i> | | Min. | Typ. | Max | |
|---|---|-------------|------|------|-----|---------------|
| Transition frequency <i>Fréquence de transition</i> | $V_{CE} = 15 \text{ V}$ $I_C = 2 \text{ A}$ $f = 10 \text{ MHz}$ | f_T | 8 | | | MHz |
| Turn-on time <i>Temps total d'établissement</i> (fig.2) | $I_C = 25 \text{ A}$ $I_B = 3 \text{ A}$ | $t_d + t_r$ | | 0,85 | 1,2 | μs |
| Fall time: <i>Temps de décroissance</i> (fig. 2) | $I_C = 25 \text{ A}$ $I_{B1} = 3 \text{ A}$ $I_{B2} = -3 \text{ A}$ | t_f | | 0,2 | 0,4 | μs |
| Carrier storage time <i>Retard à la décroissance</i> | $I_C = 25 \text{ A}$ $I_{B1} = 3 \text{ A}$ $I_{B2} = -3 \text{ A}$ | - t_s | | 1 | 1,8 | μs |

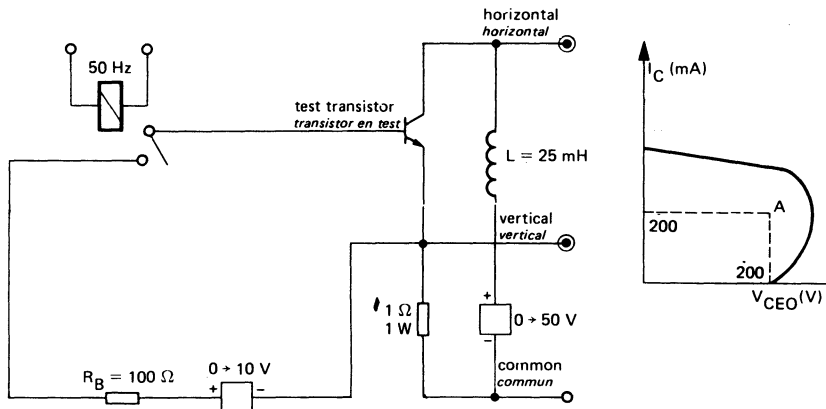
THERMAL CHARACTERISTICS**CARACTÉRISTIQUES THERMIQUES**

| | | | | | | |
|--|--|---------------|--|--|-----|----------------------|
| Junction case thermal resistance <i>Résistance thermique (jonction-boîtier)</i> | | $R_{th(j-c)}$ | | | 0,7 | $^{\circ}\text{C/W}$ |
|--|--|---------------|--|--|-----|----------------------|

SAFE OPERATING AREA
AIRE DE SECURITE



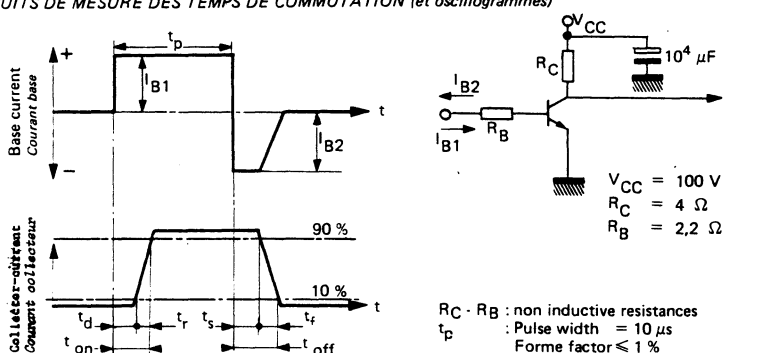
TEST CIRCUIT
MONTAGE DE TEST $V_{CEO}(\text{sus})$ (fig. 1)



Note :

The sustaining voltage V_{CEO} is acceptable when the trace falls to the right and above point "A".
Les tensions V_{CEO} sont acceptables lorsque la trace passe au-delà du point A.

SWITCHING TIMES TEST CIRCUITS (and oscillograms)
CIRCUITS DE MESURE DES TEMPS DE COMMUTATION (et oscilloscopes) (fig. 2)



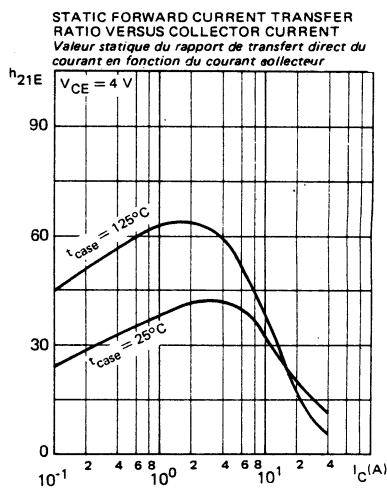
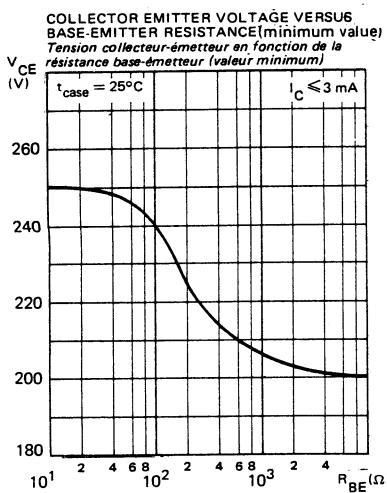
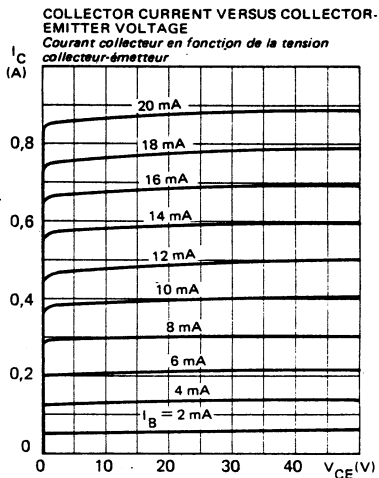
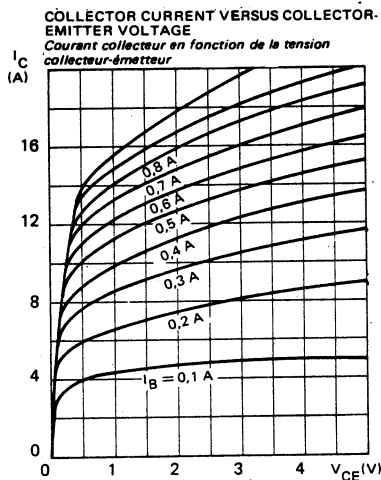
I_{B1} and I_{B2} measured with Tektronix probe P 6021 and Amplifier type 134

I_{B1} et I_{B2} sont mesurés avec une sonde Tektronix P 6021 et Amplificateur type 134

$R_C - R_B$: non inductive resistances
 t_p : Pulse width = $10\ \mu\text{s}$
 Forme factor $\leqslant 1\%$
 Rise and fall time $\leqslant 100\ \text{ns}$

$R_C - R_B$: résistances non inductives
 t_p : Largeur d'impulsion = $10\ \mu\text{s}$
 Facteur de forme $\leqslant 1\%$
 Temps de montée et descente $\leqslant 100\ \text{ns}$

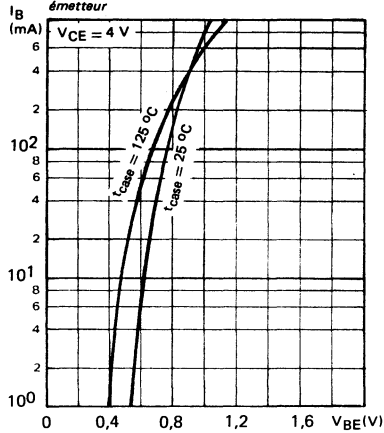
TYPICAL CHARACTERISTICS
CARACTÉRISTIQUES TYPIQUES



TYPICAL CHARACTERISTICS
CARACTÉRISTIQUES TYPIQUES

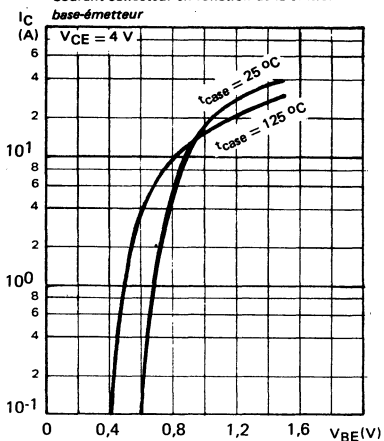
BASE CURRENT VERSUS BASE-EMITTER VOLTAGE

Courant base en fonction de la tension base-émetteur



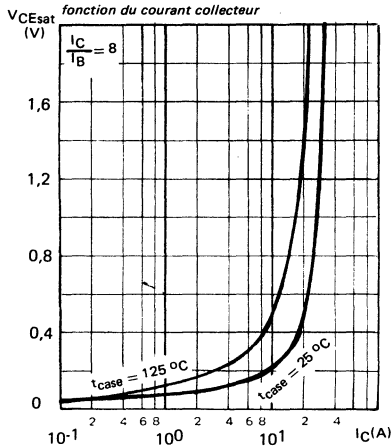
COLLECTOR CURRENT VERSUS BASE EMITTER VOLTAGE

Courant collecteur en fonction de la tension base-émetteur



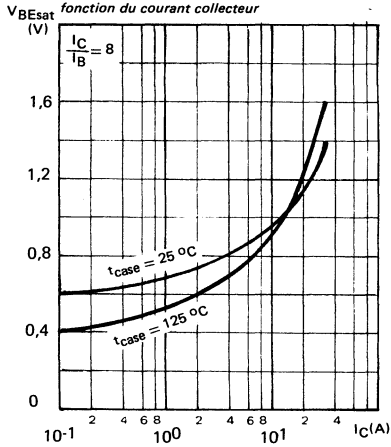
COLLECTOR-EMITTER SATURATION VOLTAGE VERSUS COLLECTOR CURRENT

Tension de saturation collecteur-émetteur en fonction du courant collecteur

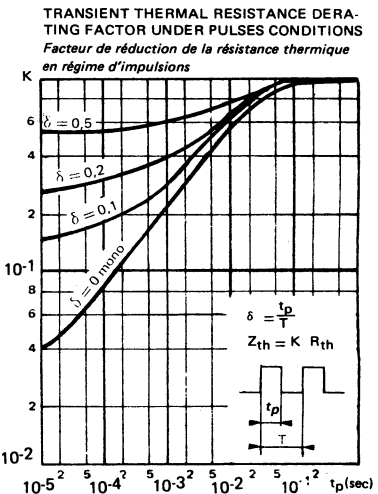
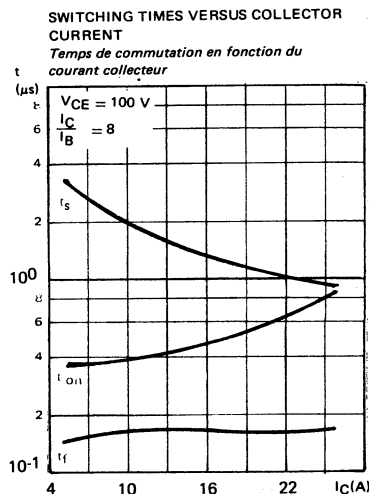
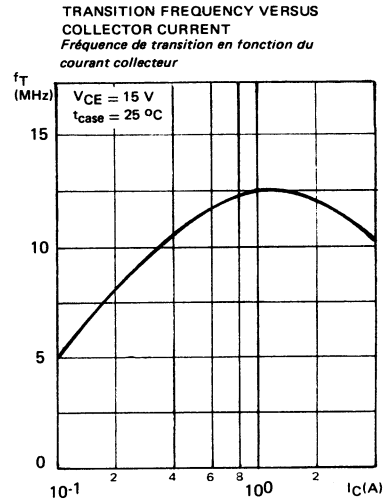
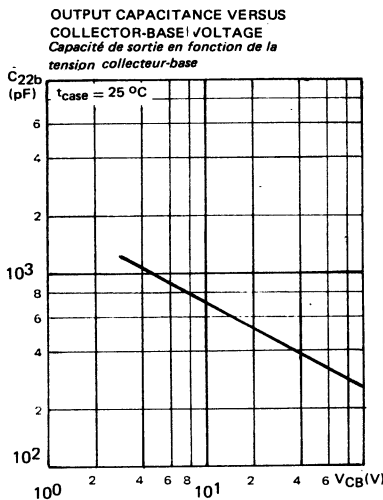


BASE-EMITTER SATURATION VOLTAGE VERSUS COLLECTOR CURRENT

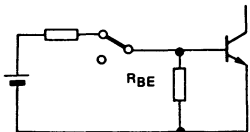
Tension de saturation base-émetteur en fonction du courant collecteur



TYPICAL CHARACTERISTICS
CARACTÉRISTIQUES TYPIQUES



SWITCHING OPERATING AND OVERLOAD AREAS



TRANSISTOR FORWARD BIASED

- During the turn on
- During the turn off without negative base-emitter voltage and $R_{BE} \geq 3 \Omega$

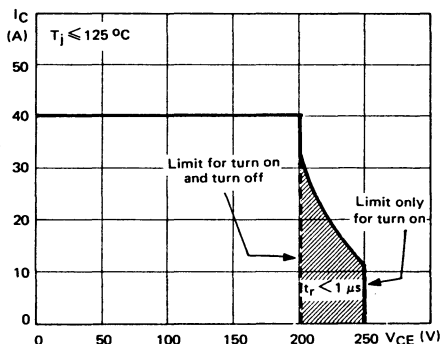
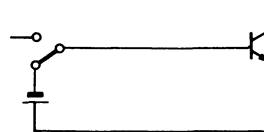


FIGURE 1 : Reverse biased safe operating area (RBSOA)



TRANSISTOR REVERSE BIASED

- During the turn off with negative base-emitter voltage

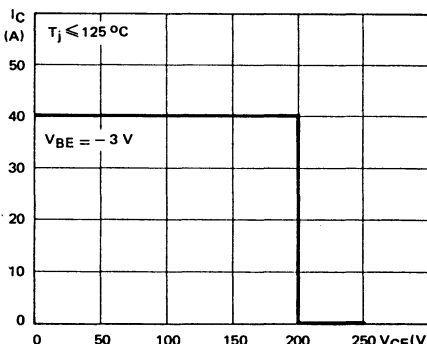


FIGURE 2 : Forward biased safe operating area (FBSOA)

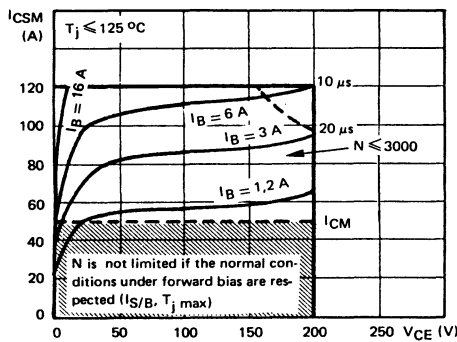


FIGURE 3 : Forward biased accidental overload area (FBAOA)

Figure 1 : The hatched zone can only be used for turn on.

Figures 3 and 4 : High accidental surge currents ($I > I_{CM}$) are allowed if they are non repetitive and applied less than 3000 times during the component life.

Figure 3 : The Kellogg network (heavy print) allows the calculation of the maximum value of the short-circuit current for a given base current I_B (90 % confidence).

Figure 4 : After the accidental overload current, the RBAOA has to be used for the turn off.

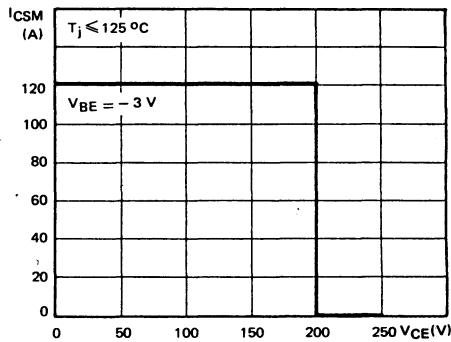


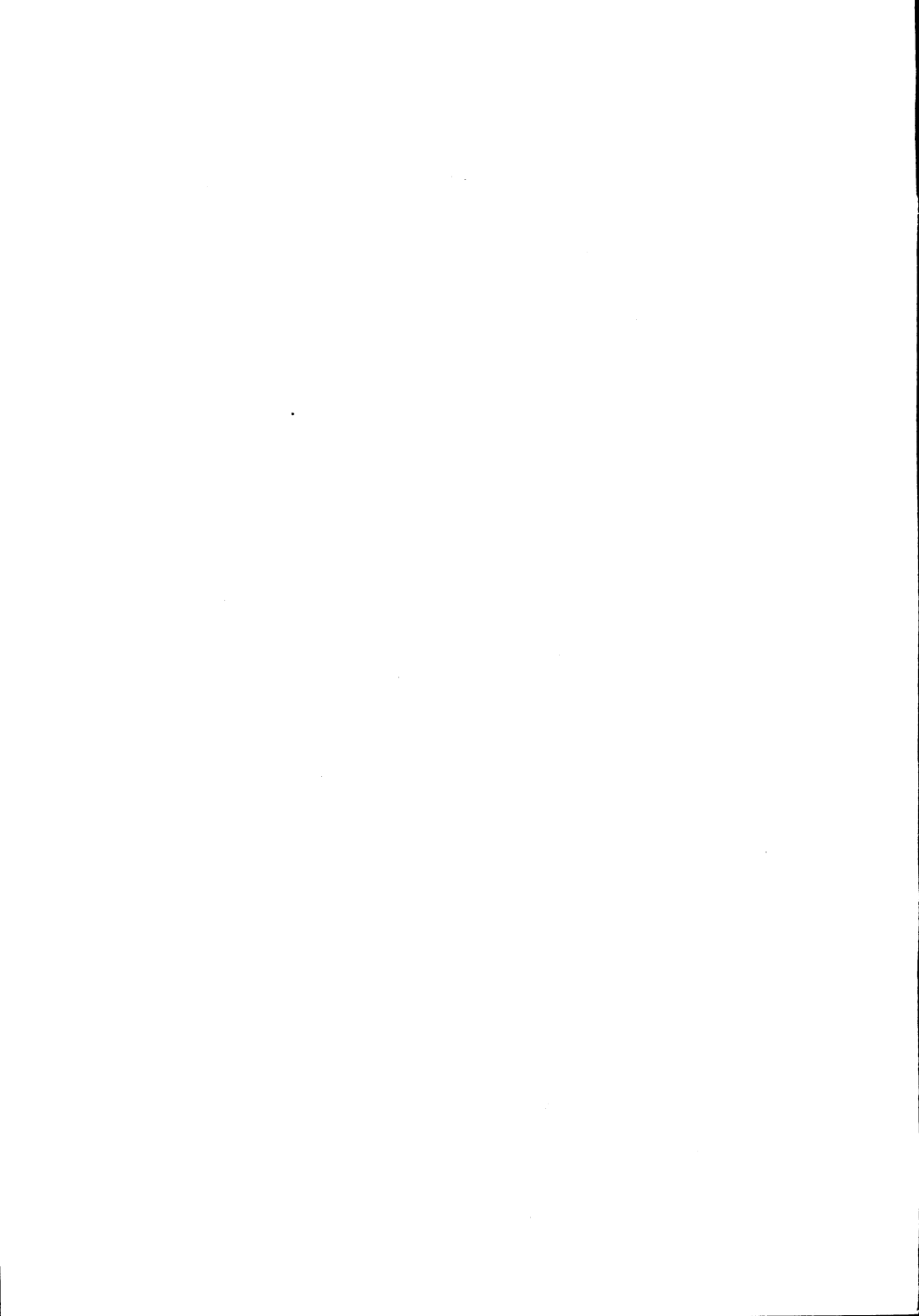
FIGURE 4 : Reverse biased accidental overload area (RBAOA)

Figure 1 : La zone hachurée ne doit être utilisée que pour la mise en conduction.

Figures 3 et 4 : De forts courants de surcharge ($I > I_{CM}$) sont permis s'ils sont non répétitifs et appliqués moins de 3000 fois dans la vie du composant.

Figure 3 : Le réseau de Kellogg (trait gras), permet le calcul de la valeur maximale du courant de court-circuit pour un courant de base donné I_B (90 % de confiance).

Figure 4 : Après le passage du courant de surcharge accidentelle, on doit utiliser l'aire de surcharge accidentelle en polarisation inverse pour l'ouverture.



SUPERSWITCH

HIGH CURRENT , HIGH SPEED TRANSISTOR SUITED FOR LOW VOLTAGE AND HIGH EFFICIENCY APPLICATIONS:

DC/AC CONVERTERS
DC/DC CONVERTERS
MOTORS CONTROL
HIGH FREQUENCY INVERTERS

- * Very high current capabilities
- * Fast turn-on and turn-off
- * S.O.A.R specified for : linear mode, switching mode, accidental surge

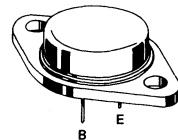
TRANSISTOR TRES RAPIDE , A FORT COURANT ADAPTE AUX APPLICATIONS BASSE TENSION ET A HAUT RENDEMENT:

CONVERTISSEURS CONTINU-ALTERNATIF
CONVERTISSEURS CONTINU-CONTINU
COMMANDE DE MOTEURS
GENERATEURS HAUTE FREQUENCE

- * Possibilités très élevées en courant
- * Mise en conduction et blocage rapides
- * Aire de sécurité définie : en régime linéaire, en régime de commutation en régime de surcharge accidentelle

| | |
|-------------------------|----------|
| V _{CEOsus} | 250 V |
| V _{CEx} | 300 V |
| I _{Csat} | 20 A |
| I _{CSM} | 120 A |
| t _f (20 A) | ≤ 0,5 µs |

Case CB 159
Boîtier



ABSOLUTE RATINGS (LIMITING VALUES)

VALEURS LIMITES ABSOLUES D'UTILISATION

| | | | |
|---|-----------------------------------|------------|----|
| Collector-base voltage <i>Tension collecteur-base</i> | V _{CBO} | 300 | V |
| Collector-emitter voltage <i>Tension collecteur-émetteur</i> | V _{Ceo} | 250 | V |
| Collector-emitter voltage <i>Tension collecteur-émetteur</i> | V _{Cer} | 290 | V |
| Collector-emitter voltage <i>Tension collecteur-émetteur</i> | V _{CEx} | 300 | V |
| Emitter-base voltage <i>Tension émetteur-base</i> | V _{EBO} | 7 | V |
| Collector current <i>Courant collecteur</i> | I _C I _{CM} | 40 50 | A |
| Base current <i>Courant base</i> | I _B | 8 | A |
| Power dissipation <i>Dissipation de puissance</i> | P _{tot} | 250 | W |
| Junction temperature <i>Température de jonction</i> | t _j | - 65 + 200 | °C |

| | | | | |
|--|-----|----------------------|-----|------|
| Junction-case thermal resistance <i>Résistance thermique jonction-boîtier</i> | max | R _{th(j-c)} | 0,7 | °C/W |
|--|-----|----------------------|-----|------|

STATIC CHARACTERISTICS
CARACTÉRISTIQUES STATIQUES

 (Unless otherwise stated)
(Sauf indications contraires)

| | Test conditions <i>Conditions de mesure</i> | | | Min | Typ | Max | |
|---|---|--|---------------|------|-----|-----|----|
| Collector emitter cut-off current <i>Courant résiduel collecteur-émetteur</i> | $V_{CE} = 200 \text{ V}$ $I_B = 0$ | | I_{CEO} | | | 3 | mA |
| Collector emitter cut-off current <i>Courant résiduel collecteur-émetteur</i> | $V_{CE} = 300 \text{ V}$ $V_{BE} = -1,5 \text{ V}$ | | I_{CEX} | | | 3 | mA |
| | $V_{CE} = 300 \text{ V}$ $V_{BE} = -1,5 \text{ V}$ $t_{case} = 125^\circ\text{C}$ | | | | | 12 | mA |
| Emitter base cut-off current <i>Courant résiduel émetteur-base</i> | $V_{EB} = 5 \text{ V}$ $I_C = 0$ | | I_{EBO} | | | 1 | mA |
| Collector emitter breakdown voltage <i>Tension de claquage collecteur-émetteur</i> (figure 1) | $I_C = 200 \text{ mA}$ $I_B = 0$ $L = 25 \text{ mH}$ | | V_{CEOsus} | 250 | | | V |
| Emitter base breakdown voltage <i>Tension de claquage émetteur base</i> | $I_E = 50 \text{ mA}$ $I_C = 0$ | | $V_{(BR)EBO}$ | 7 | | | V |
| Static forward current transfer ratio <i>Valeur statique du rapport de transfert direct du courant</i> | $V_{CE} = 4 \text{ V}$ $I_C = 10 \text{ A}$ | | h_{21E}^* | 20 | | 60 | |
| | $V_{CE} = 4 \text{ V}$ $I_C = 20 \text{ A}$ | | | 10 | | | |
| Collector emitter saturation voltage <i>Tension de saturation collecteur-émetteur</i> | $I_C = 10 \text{ A}$ $I_B = 1 \text{ A}$ | | V_{CEsat}^* | | 0,2 | 1 | V |
| | $I_C = 20 \text{ A}$ $I_B = 2,5 \text{ A}$ | | | | 0,5 | 1,5 | V |
| Base emitter saturation voltage <i>Tension de saturation base-émetteur</i> | $I_C = 40 \text{ A}$ $I_B \leq 4 \text{ A}$ | | V_{BEsat}^* | | 1,2 | 1,5 | V |
| Second breakdown collector current <i>Courant collecteur de second claquage</i> | $V_{CE} = 140 \text{ V}$ $t = 1 \text{ s}$ | | $I_{S/B}$ | 0,15 | | | A |
| | $V_{CE} = 20 \text{ V}$ $t = 1 \text{ s}$ | | | 12 | | | A |

 * Pulsed
 *Impulsions $t_p = 300 \mu\text{s}$ $\delta \leq 2\%$

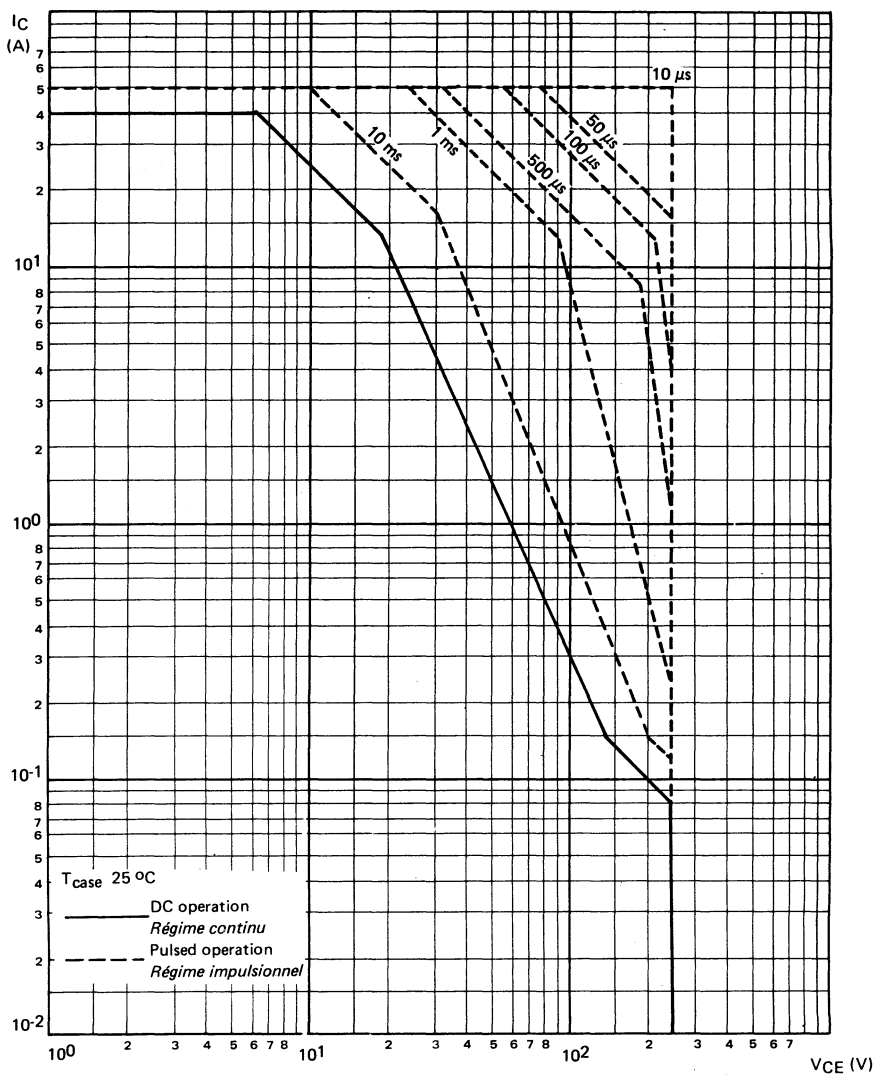
DYNAMIC CHARACTERISTICS (for small signals)**CARACTÉRISTIQUES DYNAMIQUES (pour petits signaux)**

(Unless otherwise stated)

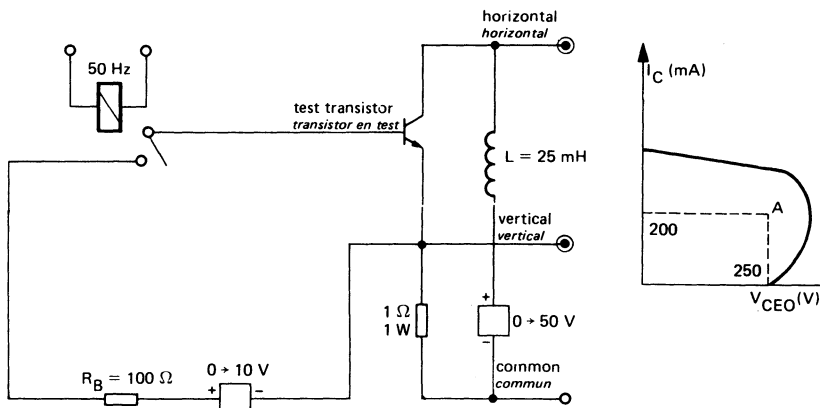
(Sauf indications contraires)

| | Test conditions <i>Conditions de mesure</i> | | Min. | Typ. | Max | |
|--|---|-------------|------|------|-----|---------------|
| Transition frequency <i>Fréquence de transition</i> | $V_{CE} = 15 \text{ V}$ $I_C = 2 \text{ A}$ $f = 10 \text{ MHz}$ | f_T | 8 | | | MHz |
| Turn-on time <i>Temps total d'établissement</i> (fig.2) | $I_C = 20 \text{ A}$ $I_B = 2,5 \text{ A}$ | $t_d + t_r$ | | 0,75 | 1,3 | μs |
| Fall time <i>Temps de décroissance</i> (fig. 2) | $I_C = 20 \text{ A}$ $I_{B1} = 2,5 \text{ A}$ $I_{B2} = -2,5 \text{ A}$ | t_f | | 0,2 | 0,5 | μs |
| Carrier storage time <i>Retard à la décroissance</i> | $I_C = 20 \text{ A}$ $I_{B1} = 2,5 \text{ A}$ $I_{B2} = -2,5 \text{ A}$ | t_s | | 1,25 | 2 | μs |

SAFE OPERATING AREA
AIRE DE SECURITE



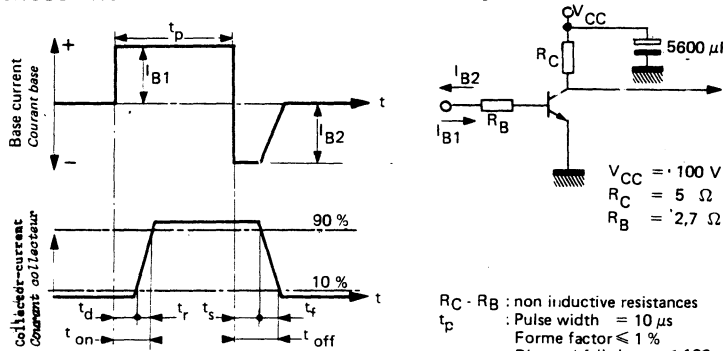
TEST CIRCUIT
MONTAGE DE TEST $V_{CEO}(\text{sus})$ (fig. 1)



Note :

The sustaining voltage V_{CEO} is acceptable when the trace falls to the right and above point "A".
Les tensions V_{CEO} sont acceptables lorsque la trace passe au-delà du point A.

SWITCHING TIMES TEST CIRCUITS (and oscillograms)
CIRCUITS DE MESURE DES TEMPS DE COMMUTATION (et oscilloscopes) (fig. 2)

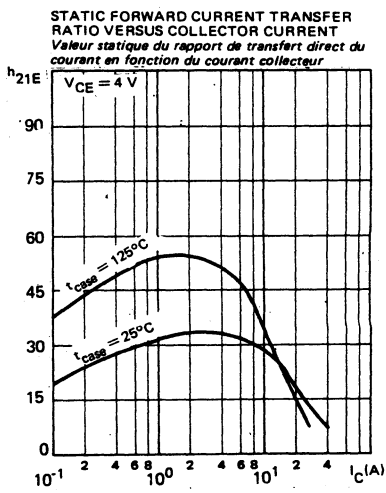
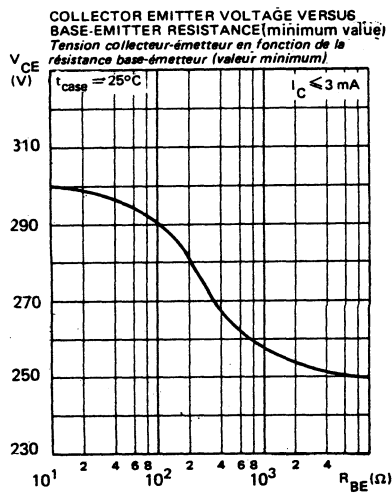
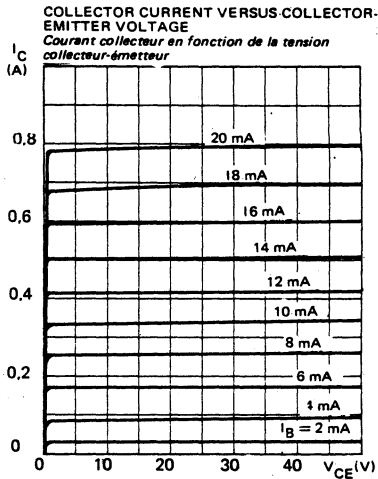
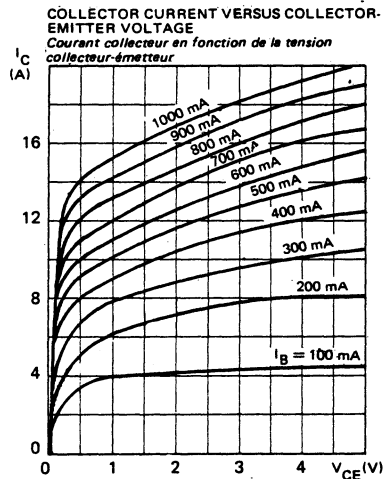


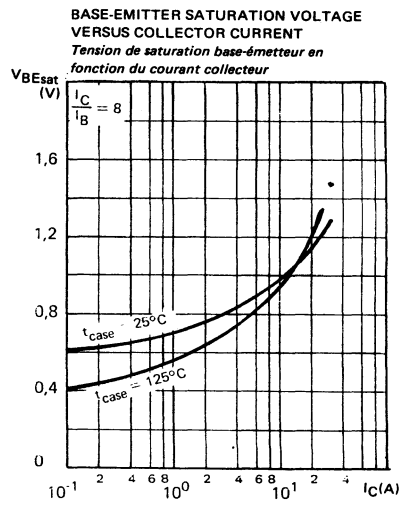
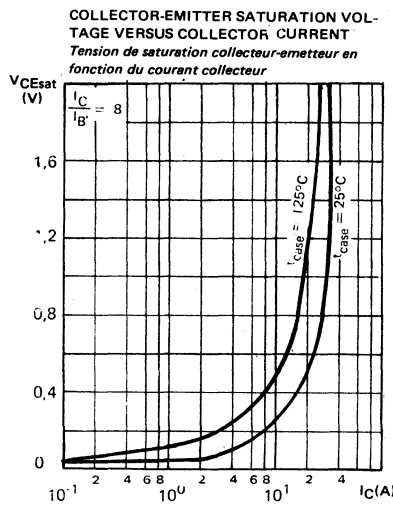
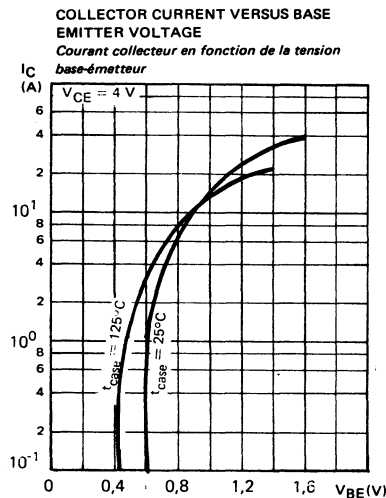
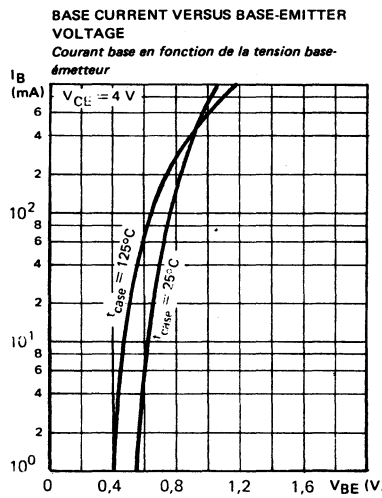
I_{B1} and I_{B2} mesured with Tektronix probe
 P 6021 and Amplifier type 134

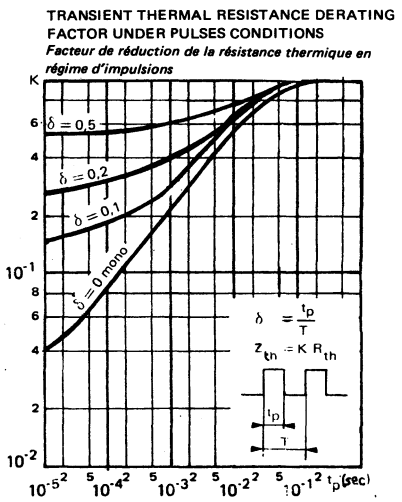
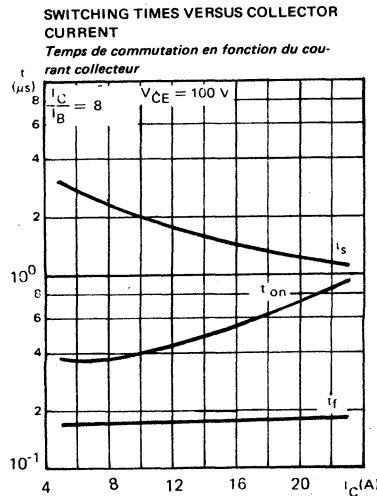
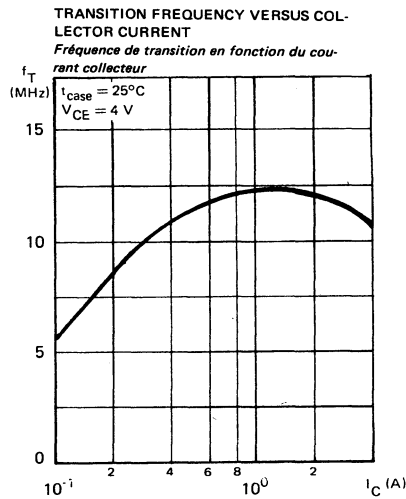
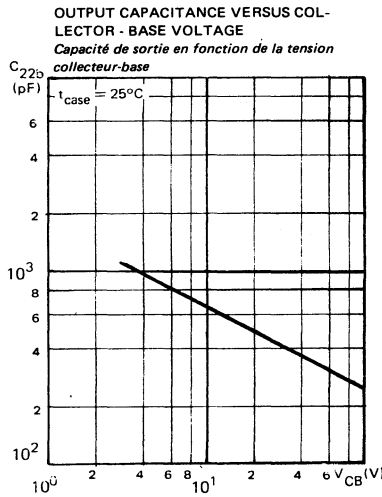
I_{B1} et I_{B2} sont mesurés avec une sonde Tektronix
 P 6021 et Amplificateur type 134

$R_C - R_B$: non inductive resistances
 t_p : Pulse width = 10 μs
 Forme factor $\leq 1\%$
 Rise and fall time ≤ 100 ns
 $R_C - R_B$: résistances non inductives
 t_p : Largeur d'impulsion = 10 μs
 Facteur de forme $\leq 1\%$
 Temps de montée et descente ≤ 100 ns

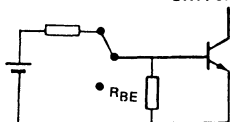
TYPICAL CHARACTERISTICS
CARACTÉRISTIQUES TYPIQUES







SWITCHING OPERATING AND OVERLOAD AREAS



TRANSISTOR FORWARD BIASED

- During the turn on
- During the turn off without negative base-emitter voltage and $R_{BE} \geq 3 \Omega$

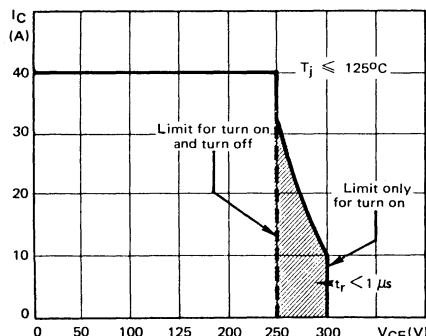


FIGURE 1 : Forward biased safe operating area (FBSOA)

TRANSISTOR REVERSE BIASED

- During the turn off with negative base-emitter voltage

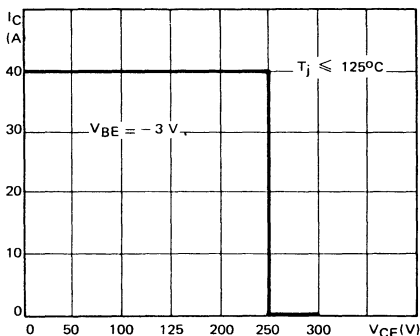


FIGURE 2 : Reverse biased safe operating area (RBSOA)

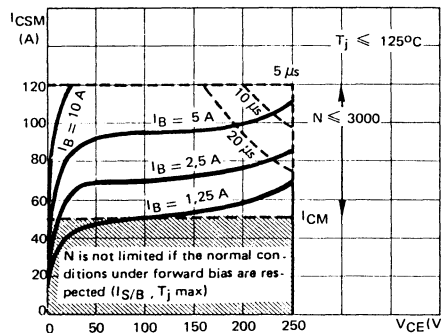


FIGURE 3 : Forward biased accidental overload area (FBAOA)

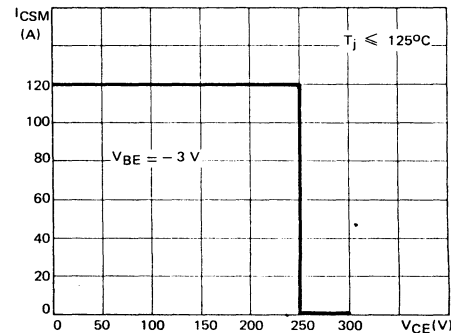


FIGURE 4 : Reverse biased accidental overload area (RBAOA)

Figure 1 : The hatched zone can only be used for turn on.

Figures 3 and 4 : High accidental surge currents ($I > I_{CM}$) are allowed if they are non repetitive and applied less than 3000 times during the component life.

Figure 3 : The Kellogg network (heavy print) allows the calculation of the maximum value of the short-circuit current for a given base current I_B (90 % confidence).

Figure 4 : After the accidental overload current, the RBAOA has to be used for the turn off.

Figure 1 : La zone hachurée ne doit être utilisée que pour la mise en conduction.

Figures 3 et 4 : De forts courants de surcharge ($I > I_{CM}$) sont permis s'ils sont non répétitifs et appliqués moins de 3000 fois dans la vie du composant.

Figure 3 : Le réseau de Kellogg (trait gras) permet le calcul de la valeur maximale du courant de court-circuit pour un courant de base donné I_B (90 % de confiance).

Figure 4 : Après le passage du courant de surcharge accidentelle, on doit utiliser l'aire de surcharge accidentelle en polarisation inverse pour l'ouverture.

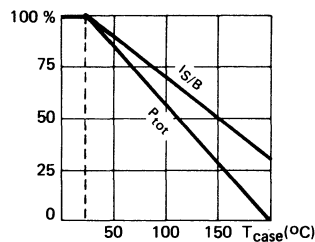


High speed, high current, high power transistor
Transistor de puissance rapide, fort courant

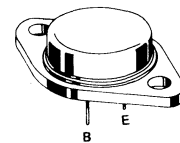
Switching and amplifier transistor
Transistor d'amplification et de commutation

| | |
|---------------------------|---------|
| V _{CCEO} | 325 V |
| I _C | 30 A |
| P _{tot} | 250 W |
| V _{CESat} (16 A) | ≤1 V |
| t _f (16 A) | ≤1,2 µs |

Dissipation and I_{S/B} derating
Variation de dissipation et de I_{S/B}



Case TO 3 (CB 19)
Boîtier



ABSOLUTE RATINGS (LIMITING VALUES)
VALEURS LIMITES ABSOLUES D'UTILISATION

| | | | |
|---|-------------------|-------------------|----|
| Collector-base voltage <i>Tension collecteur-base</i> | V _{CBO} | 400 | V |
| Collector-emitter voltage <i>Tension collecteur-émetteur</i> | V _{CCEO} | 325 | V |
| Collector-emitter voltage <i>Tension collecteur-émetteur</i> | V _{CER} | 390 | V |
| Collector-emitter voltage <i>Tension collecteur-émetteur</i> | V _{CEx} | 400 | V |
| Collector-emitter voltage <i>Tension collecteur-émetteur</i> | V _{EBO} | 7 | V |
| Emitter-base voltage <i>Tension émetteur-base</i> | I _C | 30 | A |
| Collector current <i>Courant collecteur</i> | I _{CM} | 40 | A |
| Base current <i>Courant base</i> | I _B | 6 | A |
| Power dissipation <i>Dissipation de puissance</i> | P _{tot} | 250 | W |
| Storage and junction temperature <i>Température de jonction et de stockage</i> | T _{stg} | 200 - 65 + 200 | °C |

Junction-case thermal resistance
Résistance thermique jonction boîtier

max R_{th(j-c)} 0,7 °C/W

STATIC CHARACTERISTICS
CARACTÉRISTIQUES STATIQUES $t_{case} = 25^\circ\text{C}$ (Unless otherwise stated)
(Sauf indications contraires)

| | Test conditions Conditions de mesure | | | Min. | Typ. | Max. |
|---|---|----------------|--|------|------|------|
| Collector-emitter cut-off current <i>Courant résiduel collecteur-émetteur</i> | $V_{CE} = 260 \text{ V}$ $I_B = 0$ | I_{CEO} | | 3 | | mA |
| Collector-emitter cut-off current <i>Courant résiduel collecteur-émetteur</i> | $V_{CE} = 400 \text{ V}$ $V_{BE} = -1,5 \text{ V}$ | I_{CEX} | | 3 | | mA |
| | $V_{CE} = 400 \text{ V}$ $V_{BE} = -1,5 \text{ V}$ $t_{case} = 125^\circ\text{C}$ | | | 12 | | mA |
| Emitter-base cut-off current <i>Courant résiduel émetteur-base</i> | $V_{EB} = 5 \text{ V}$ $I_C = 0$ | I_{EBO} | | 1 | | mA |
| Collector-emitter breakdown voltage <i>Tension de claquage collecteur-émetteur</i> (fig. 1) | $I_C = 200 \text{ mA}$ $I_B = 0$ $L = 25 \text{ mH}$ | $V_{CEO(sus)}$ | | 325 | | V |
| Emitter-base breakdown voltage <i>Tension de claquage émetteur-base</i> | $I_E = 50 \text{ mA}$ $I_C = 0$ | | | 7 | | V |
| Static forward current transfer ratio <i>Valeur statique du rapport de transfert direct du courant</i> | $V_{CE} = 4 \text{ V}$ $I_C = 8 \text{ A}$ | h_{21E}^* | | 15 | 60 | |
| | $V_{CE} = 4 \text{ V}$ $I_C = 16 \text{ A}$ | | | 8 | | |
| Collector-emitter saturation voltage <i>Tension de saturation collecteur-émetteur</i> | $I_C = 8 \text{ A}$ $I_B = 1,6 \text{ A}$ | V_{CEsat}^* | | 0,2 | 0,8 | V |
| | $I_C = 16 \text{ A}$ $I_B = 3,2 \text{ A}$ | | | 0,35 | 1 | V |
| Base-emitter saturation voltage <i>Tension de saturation base-émetteur</i> | $I_C = 16 \text{ A}$ $I_B = 3,2 \text{ A}$ | V_{BEsat}^* | | 1,15 | 1,5 | V |
| Second breakdown collector current <i>Courant collecteur de second claquage</i> | $V_{CE} = 140 \text{ V}$ $t = 1 \text{ s}$ | $I_{S/B}$ | | 0,15 | | A |
| | $V_{CE} = 20 \text{ V}$ $t = 1 \text{ s}$ | | | 12 | | A |

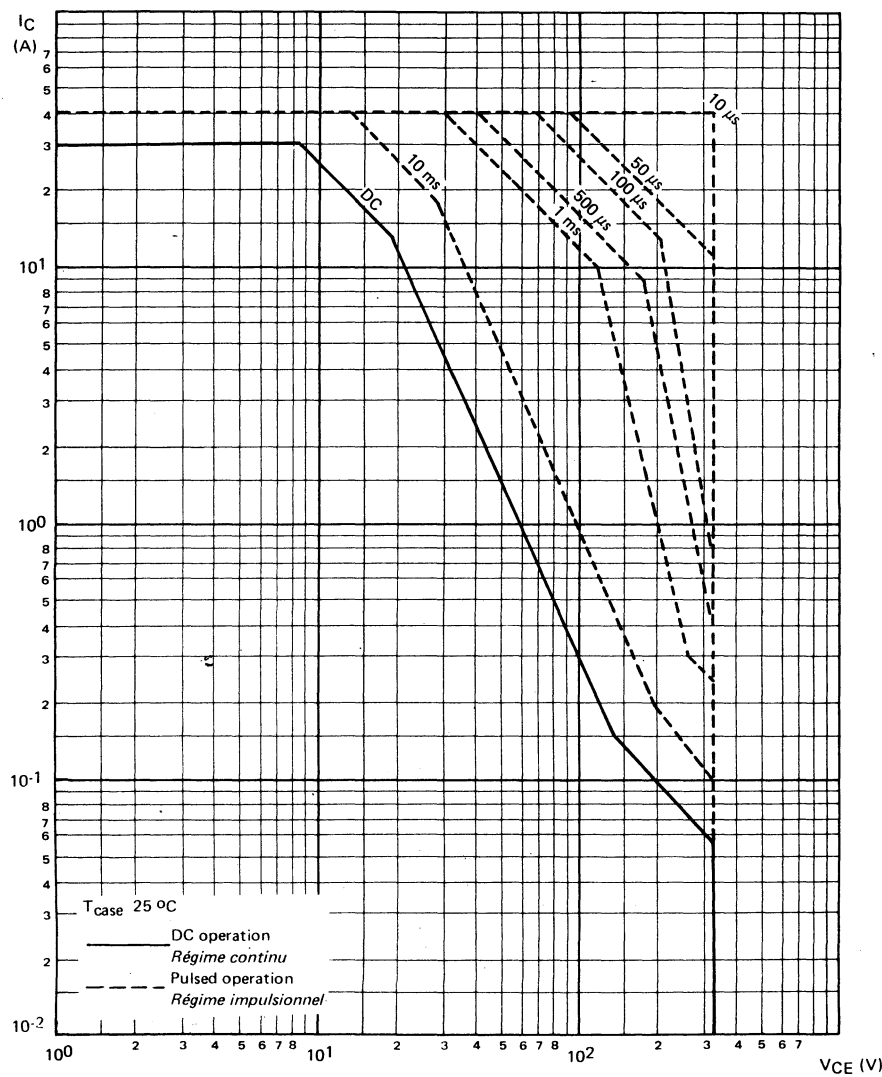
* Pulsed Impulses $t_p = 300 \mu\text{s}$ $\delta \leq 2\%$

DYNAMIC CHARACTERISTICS (for small signals)
CARACTÉRISTIQUES DYNAMIQUES (pour petits signaux)

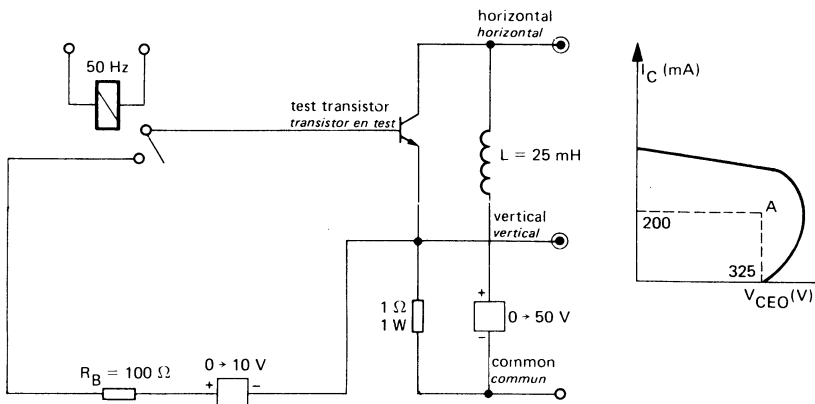
(Unless otherwise stated)
(Sauf indications contraires)

| | Test conditions <i>Conditions de mesure</i> | | | Min. | Typ. | Max. | |
|---|--|---|-------------|------|------|------|---------------|
| Transition frequency <i>Fréquence de transition</i> | $V_{CE} = 15 \text{ V}$ $I_C = 2 \text{ A}$ $f = 10 \text{ MHz}$ | f_T | | 8 | | | MHz |
| Turn-on time <i>Temps total d'établissement</i> | (fig. 2) | $I_C = 16 \text{ A}$ $I_B = 3,2 \text{ A}$ | $t_d + t_r$ | | 0,55 | 1,3 | μs |
| Fall time <i>Temps de décroissance</i> | (fig. 2) | $I_C = 16 \text{ A}$ $I_{B1} = 3,2 \text{ A}$ $I_{B2} = -3,2 \text{ A}$ | t_f | | 0,26 | 1,2 | μs |
| Carrier storage time <i>Retard à la décroissance</i> | (fig. 2) | $I_C = 16 \text{ A}$ $I_{B1} = 3,2 \text{ A}$ $I_{B2} = -3,2 \text{ A}$ | t_s | | 1,7 | 2,5 | μs |

SAFE OPERATING AREA
AIRE DE SECURITE



TEST CIRCUIT $V_{CEO(sus)}$ (fig. 1)

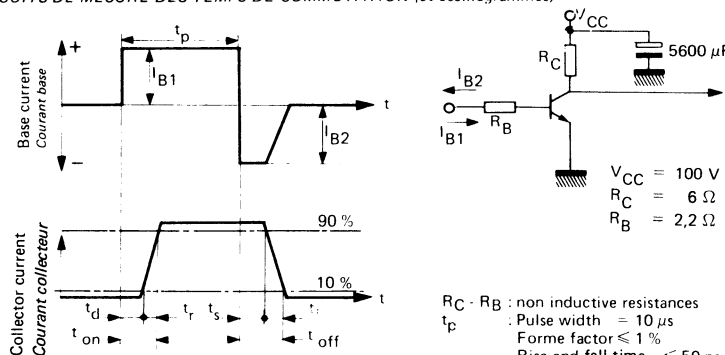


Note :

The sustaining voltage V_{CEO} is acceptable when the trace falls to the right and above point "A".
 Les tensions V_{CEO} sont acceptables lorsque la trace passe au-delà du point A.

SWITCHING TIMES TEST CIRCUITS (and oscillograms) (fig. 2)

CIRCUITS DE MESURE DES TEMPS DE COMMUTATION (et oscilloscopes)



I_{B1} and I_{B2} measured with Tektronix probe P 6021 and Amplifier type 134

I_{B1} et I_{B2} sont mesurés avec une sonde Tektronix P 6021 et Amplificateur type 134

$R_C - R_B$: non inductive resistances

t_p : Pulse width = 10 μs

Forme factor ≤ 1 %

Rise and fall time ≤ 50 ns

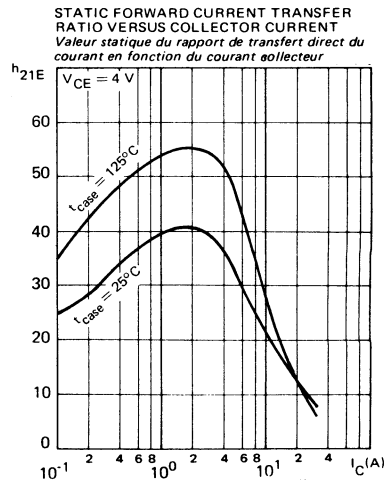
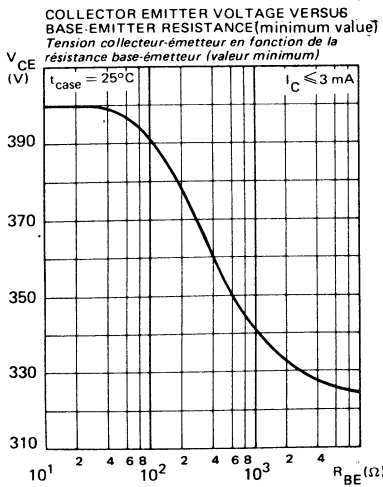
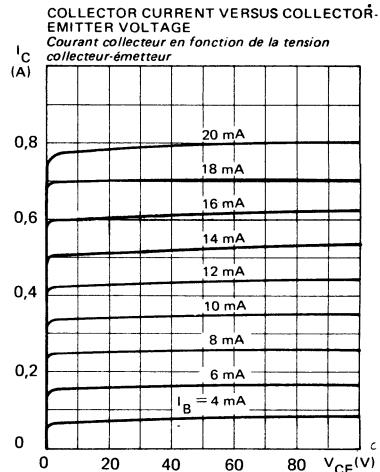
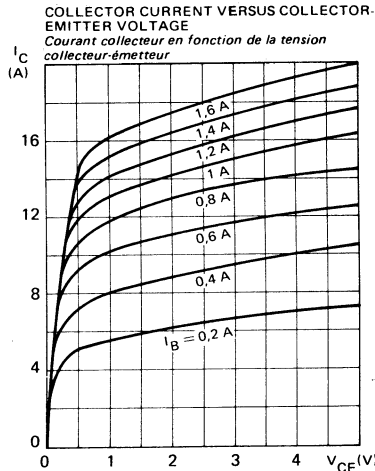
$R_C - R_B$: résistances non inductives

t_p : Largeur d'impulsion = 10 μs

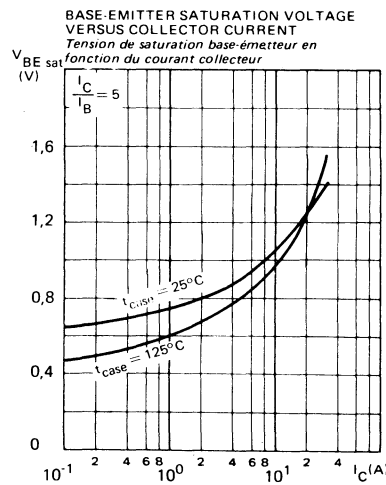
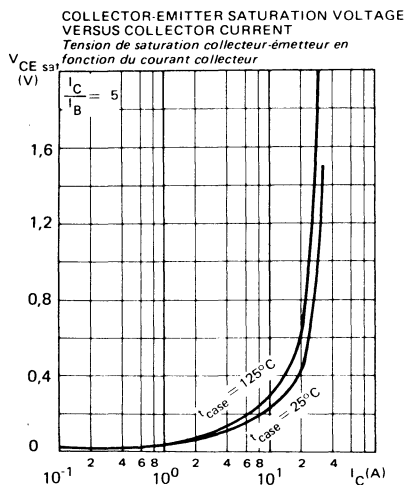
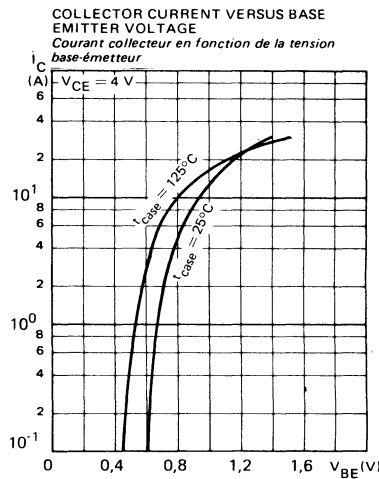
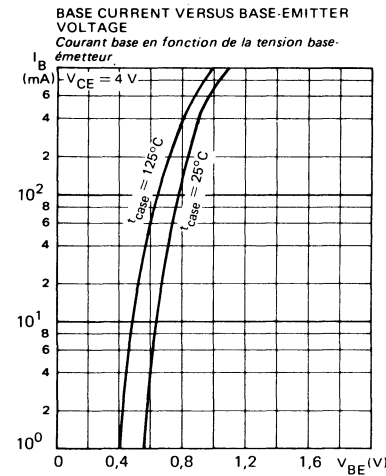
Facteur de forme ≤ 1 %

Temps de montée et descente ≤ 50 ns

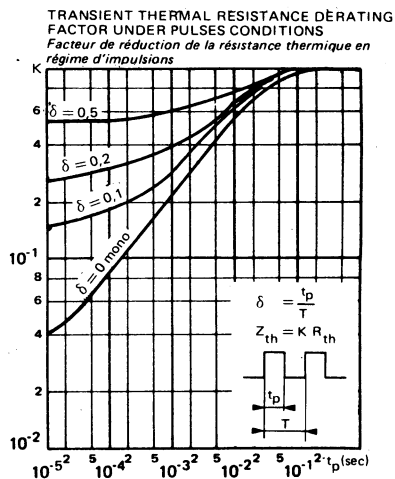
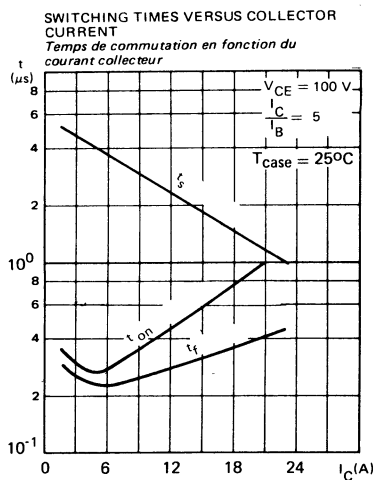
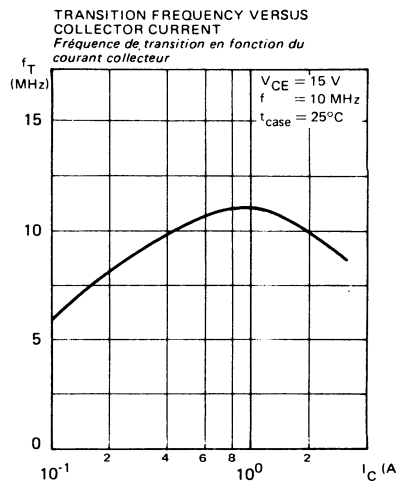
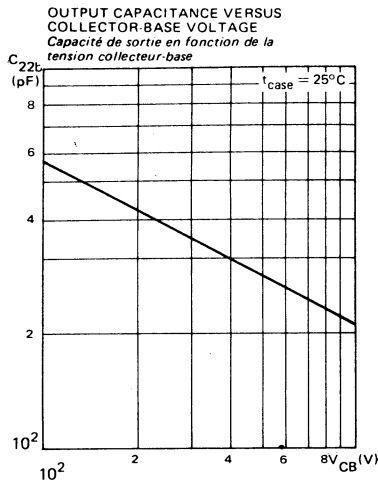
TYPICAL CHARACTERISTICS
CARACTÉRISTIQUES TYPIQUES



TYPICAL CHARACTERISTICS
CARACTÉRISTIQUES TYPHIQUES



TYPICAL CHARACTERISTICS
CARACTÉRISTIQUES TYPIQUES



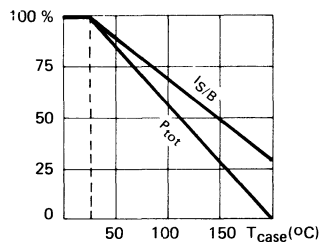
NPN SILICON TRANSISTOR, TRIPLE DIFFUSED MESA
TRANSISTOR SILICIUM NPN, MESA TRIPLE DIFFUSE

High speed, high current, high power transistor
Transistor de puissance rapide, fort courant

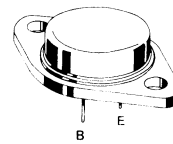
Switching and amplifier transistor
Transistor d'amplification et de commutation

| | |
|--------------------|------------------|
| V_{CEO} | 400 V |
| I_C | 20 A |
| P_{tot} | 250 W |
| V_{CEsat} (12 A) | ≤ 1 V |
| t_f (12 A) | $\leq 1,4 \mu s$ |

Dissipation and I_S/B derating
Variation de dissipation et de I_S/B



Case TO 3 (CB 19)
Boîtier



ABSOLUTE RATINGS (LIMITING VALUES)
VALEURS LIMITES ABSOLUES D'UTILISATION

| | | | | |
|---|-----------------------|-----------|-----------|----|
| Collector-base voltage <i>Tension collecteur-base</i> | V_{CBO} | 450 | V | |
| Collector-emitter voltage <i>Tension collecteur-émetteur</i> | V_{CEO} | 400 | V | |
| Collector-emitter voltage <i>Tension collecteur-émetteur</i> | $R_{BE} = 100 \Omega$ | V_{CER} | 440 | V |
| Collector-emitter voltage <i>Tension collecteur-émetteur</i> | $V_{BE} = -1,5$ V | V_{CEX} | 450 | V |
| Emitter-base voltage <i>Tension émetteur-base</i> | V_{EBO} | 7 | V | |
| Collector current <i>Courant collecteur</i> | I_C | 20 | A | |
| Base current <i>Courant base</i> | I_{CM} | 30 | A | |
| Power dissipation <i>Dissipation de puissance</i> | $t_p = 10$ ms | I_B | 4 | A |
| Power dissipation <i>Dissipation de puissance</i> | $T_{case} 25$ °C | P_{tot} | 250 | W |
| Storage and junction temperature <i>Température de jonction et de stockage</i> | max | t_j | 200 | °C |
| | | T_{stg} | -65 + 200 | |

| | | | | |
|--|-----|---------------|-----|------|
| Junction-case thermal resistance <i>Résistance thermique jonction boîtier</i> | max | $R_{th}(j-c)$ | 0,7 | °C/W |
|--|-----|---------------|-----|------|

STATIC CHARACTERISTICS
CARACTÉRISTIQUES STATIQUES $t_{case} = 25^\circ C$ (Unless otherwise stated)
(Sauf indications contraires)

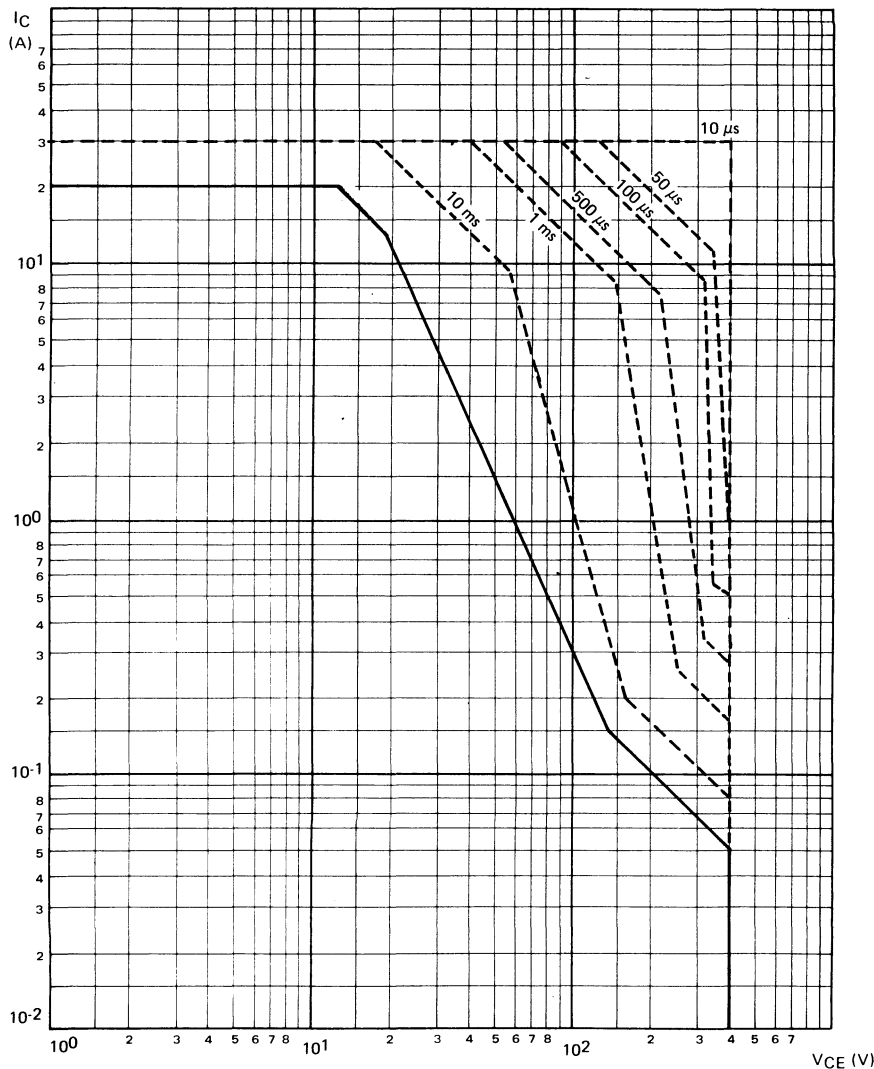
| | Test conditions Conditions de mesure | | | Min. | Typ. | Max. | |
|---|---|----------------|--|------|------|------|----|
| Collector-emitter cut-off current <i>Courant résiduel collecteur-émetteur</i> | $V_{CE} = 320 V$ $I_B = 0$ | I_{CEO} | | | 3 | | mA |
| Collector-emitter cut-off current <i>Courant résiduel collecteur-émetteur</i> | $V_{CE} = 450 V$ $V_{BE} = -1,5 V$ | I_{CEX} | | | 3 | | mA |
| | $V_{CE} = 450 V$ $V_{BE} = -1,5 V$ $t_{case} = 125^\circ C$ | | | | 12 | | mA |
| Emitter-base cut-off current <i>Courant résiduel émetteur-base</i> | $V_{EB} = 5 V$ $I_C = 0$ | I_{EBO} | | | 1 | | mA |
| Collector-emitter breakdown voltage <i>Tension de claquage collecteur-émetteur</i> (fig. 1) | $I_C = 200 mA$ $I_B = 0$ $L = 25 mH$ | $V_{CEO(sus)}$ | | 400 | | | V |
| Emitter-base breakdown voltage <i>Tension de claquage émetteur-base</i> | $I_E = 50 mA$ $I_C = 0$ | $V_{(BR)EBO}$ | | 7 | | | V |
| Static forward current transfer ratio <i>Valeur statique du rapport de transfert direct du courant</i> | $V_{CE} = 4 V$ $I_C = 6 A$ | h_{21E}^* | | | 15 | 60 | |
| | $V_{CE} = 4 V$ $I_C = 12 A$ | | | | 8 | | |
| Collector-emitter saturation voltage <i>Tension de saturation collecteur-émetteur</i> | $I_C = 6 A$ $I_B = 1,2 A$ | V_{CEsat}^* | | | 0,15 | 0,6 | V |
| | $I_C = 12 A$ $I_B = 2,4 A$ | | | | 0,3 | 1 | V |
| Base-emitter saturation voltage <i>Tension de saturation base-émetteur</i> | $I_C = 12 A$ $I_B = 2,4 A$ | V_{BEsat}^* | | | 1 | 1,5 | V |
| Second breakdown collector current <i>Courant collecteur de second claquage</i> | $V_{CE} = 140 V$ $t = 1 s$ | $I_{S/B}$ | | | 0,15 | | A |
| | $V_{CE} = 20 V$ $t \dots = 1 s$ | | | | 12 | | A |

* Pulsed $t_p = 300 \mu s$ $\delta \leq 2\%$
Impulsions

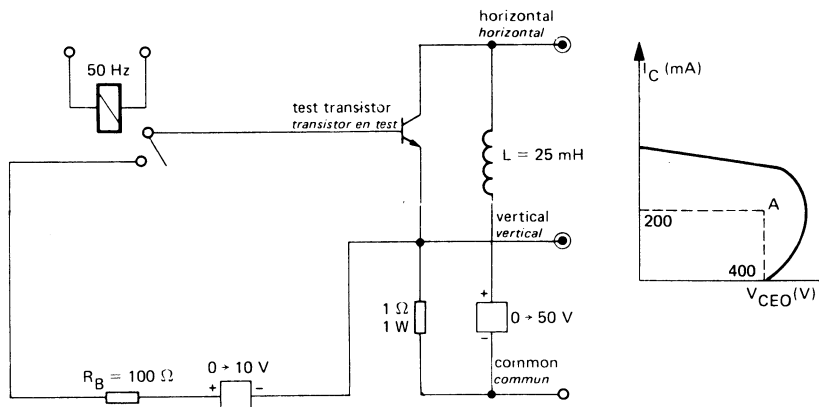
DYNAMIC CHARACTERISTICS (for small signals)
CARACTÉRISTIQUES DYNAMIQUES (pour petits signaux)

(Unless otherwise stated)
(Sauf indications contraires)

| | Test conditions <i>Conditions de mesure</i> | | | Min. | Typ. | Max. |
|--|---|-------------|--|------|------|---------|
| Transition frequency <i>Fréquence de transition</i> | $V_{CE} \approx 15$ V $I_C = 2$ A $f = 10$ MHz | f_T | | 8 | | MHz |
| Turn-on time <i>Temps total d'établissement:</i> (fig. 2) | $I_C = 12$ A $I_B = 2,4$ A | $t_d + t_r$ | | 0,6 | 1,6 | μs |
| Fall time <i>Temps de décroissance</i> | (fig. 2) $I_C = 12$ A $I_{B1} = 2,4$ A $I_{B2} = -2,4$ A | t_f | | 0,6 | 1,4 | μs |
| Carrier storage time <i>Retard à la décroissance</i> | (fig. 2) $I_C = 12$ A $I_{B1} = 2,4$ A $I_{B2} = -2,4$ A | t_s | | 1,5 | 3 | μs |

SAFE OPERATING AREA
AIRE DE SECURITE

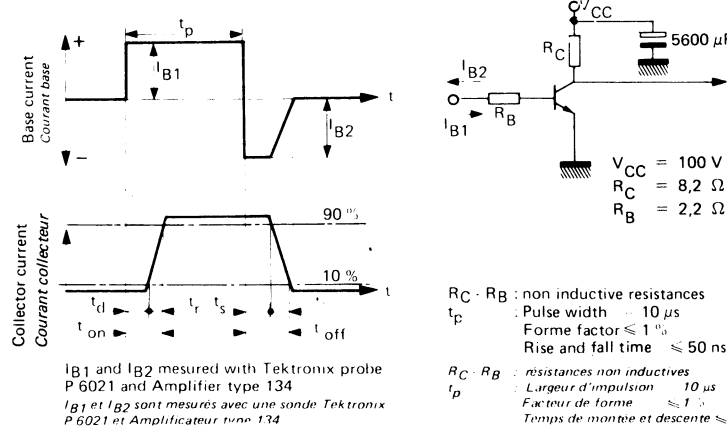
TEST CIRCUIT
MONTAGE DE TEST $V_{CEO(sus)}$ (fig. 1)



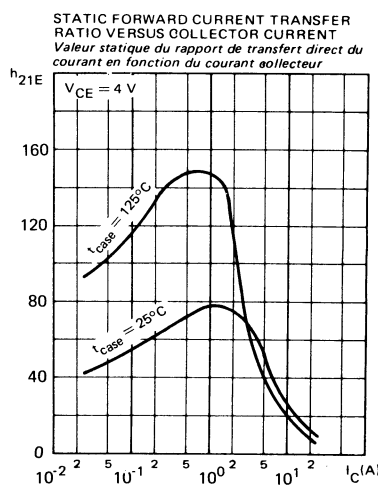
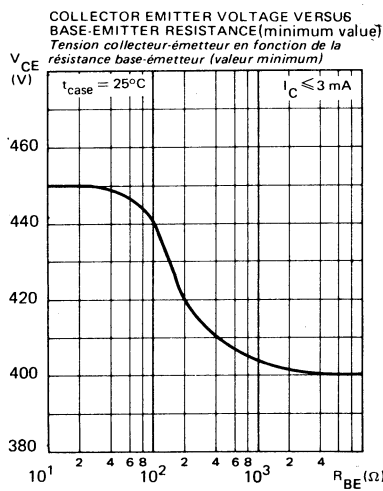
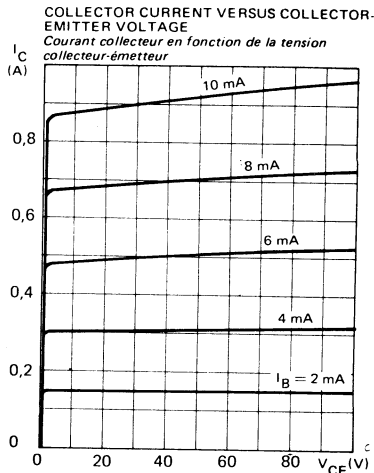
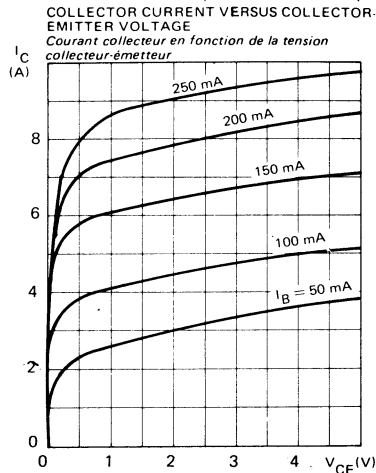
Note :

The sustaining voltage V_{CEO} is acceptable when the trace falls to the right and above point "A".
 Les tensions V_{CEO} sont acceptables lorsque la trace passe au-delà du point A.

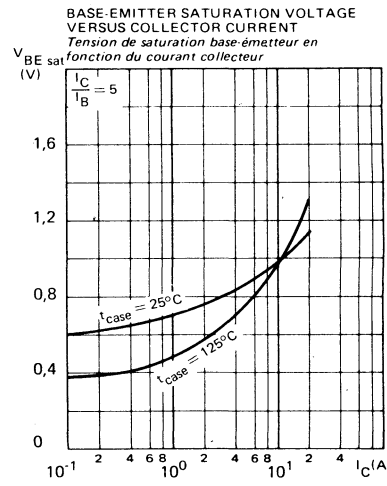
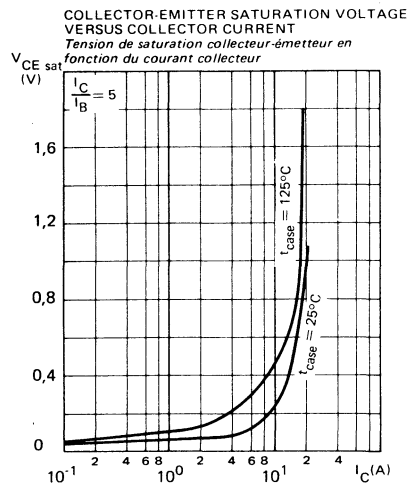
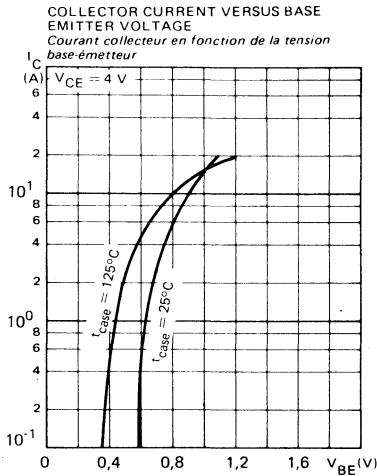
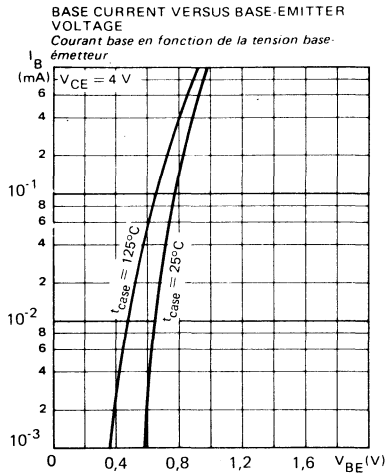
SWITCHING TIMES TEST CIRCUITS (and oscillograms)
CIRCUITS DE MESURE DES TEMPS DE COMMUTATION (et oscilloscopes) (fig. 2)



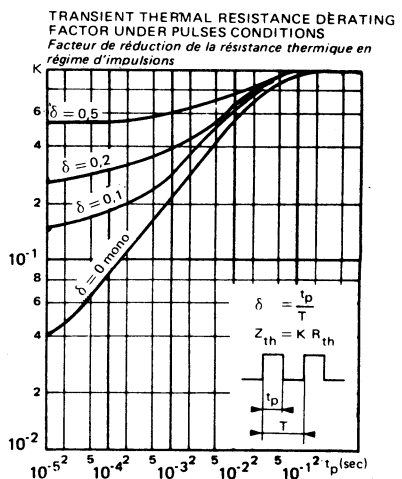
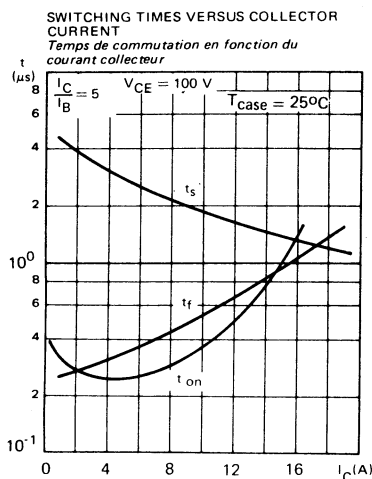
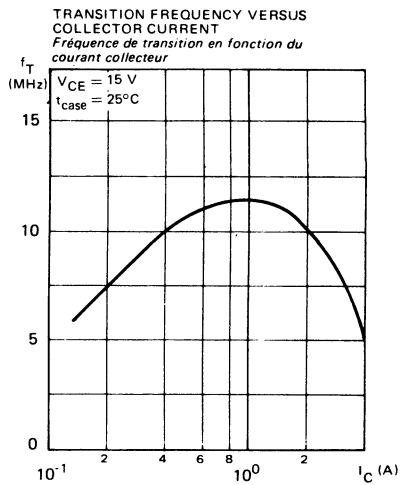
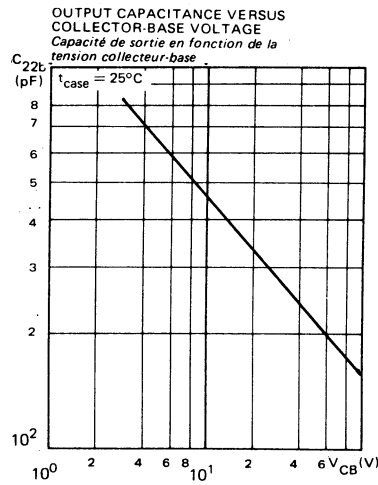
TYPICAL CHARACTERISTICS
CARACTÉRISTIQUES TYPHIQUES



TYPICAL CHARACTERISTICS
CARACTÉRISTIQUES TYPIQUES



TYPICAL CHARACTERISTICS
CARACTÉRISTIQUES TYPIQUES

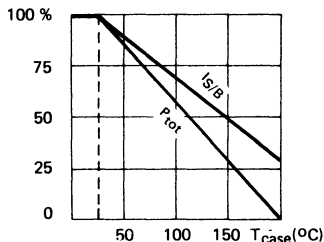


High speed, high voltage, high power transistor
Transistor de puissance rapide, haute tension

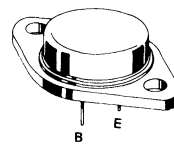
Switching and amplifier transistor
Transistor d'amplification et de commutation

| | |
|--------------------------------|-----------------|
| V_{CEO} | 500 V |
| I_C | 15 A |
| P_{tot} | 250 W |
| V_{CESat} (8 A) | ≤ 1 V |
| t_f (8 A) | ≤ 1,6 µs |

Dissipation and I_{S/B} derating
Variation de dissipation et de I_{S/B}



Case TO 3 (CB 19)
Boitier



ABSOLUTE RATINGS (LIMITING VALUES)
VALEURS LIMITES ABSOLUES D'UTILISATION

T_{case} = 25°C

| | | | | |
|---|------------------------------------|------------------|-----|---|
| Collector-base voltage <i>Tension collecteur-base</i> | V _{CBO} | 500 | V | |
| Collector-emitter voltage <i>Tension collecteur-émetteur</i> | V _{CEO} | 500 | V | |
| Collector-emitter voltage <i>Tension collecteur-émetteur</i> | R _{BE} = 100 Ω | V _{CER} | 500 | V |
| Collector-emitter voltage <i>Tension collecteur-émetteur</i> | V _{BE} = -1,5 V | V _{CEX} | 500 | V |
| Emitter-base voltage <i>Tension émetteur-base</i> | V _{EBO} | 7 | V | |
| Collector current <i>Courant collecteur</i> | I _C I _{CM} | 15 20 | A | |
| Base current <i>Courant base</i> | I _B | 3 | A | |
| Power dissipation <i>Dissipation de puissance</i> | P _{tot} | 250 | W | |
| Storage and junction temperature <i>Température de jonction et de stockage</i> | t _j T _{stg} | 200 -65 + 200 | °C | |

| | | | | |
|--|-----|----------------------|-----|------|
| Junction-case thermal resistance <i>Résistance thermique jonction boîtier</i> | max | R _{th(j-c)} | 0,7 | °C/W |
|--|-----|----------------------|-----|------|

STATIC CHARACTERISTICS
CARACTÉRISTIQUES STATIQUES $t_{case} = 25^\circ\text{C}$ (Unless otherwise stated)
(Sauf indications contraires)

| | Test conditions Conditions de mesure | | | Min. | Typ. | Max. |
|--|---|----------------|--|------|------|------|
| Collector-emitter cut-off current <i>Courant résiduel collecteur-émetteur</i> | $V_{CE} = 400 \text{ V}$ $I_B = 0$ | I_{CEO} | | 3 | | mA |
| Collector-emitter cut-off current <i>Courant résiduel collecteur-émetteur</i> | $V_{CE} = 500 \text{ V}$ $V_{BE} = -1,5 \text{ V}$ | I_{CEX} | | 3 | | mA |
| | $V_{CE} = 500 \text{ V}$ $V_{BE} = -1,5 \text{ V}$ $t_{case} = 125^\circ\text{C}$ | | | 12 | | mA |
| Emitter-base cut-off current <i>Courant résiduel émetteur-base</i> | $V_{EB} = 5 \text{ V}$ $I_C = 0$ | I_{EBO} | | 1 | | mA |
| Collector-emitter breakdown voltage <i>Tension de claquage collecteur-émetteur</i> (fig. 1) | $I_C = 200 \text{ mA}$ $I_B = 0$ $L = 25 \text{ mH}$ | $V_{CEO(sus)}$ | | 500 | | v |
| Emitter-base breakdown voltage <i>Tension de claquage émetteur-base</i> | $I_E = 50 \text{ mA}$ $I_C = 0$ | $V_{(BR)EBO}$ | | 7 | | v |
| Static forward current transfer ratio <i>Value statique du rapport de transfert direct du courant</i> | $V_{CE} = 4 \text{ V}$ $I_C = 4 \text{ A}$ | h_{21E}^* | | 15 | 60 | |
| | $V_{CE} = 4 \text{ V}$ $I_C = 8 \text{ A}$ | | | 8 | | |
| Collector-emitter saturation voltage <i>Tension de saturation collecteur-émetteur</i> | $I_C = 4 \text{ A}$ $I_B = 0,8 \text{ A}$ | V_{CEsat}^* | | 0,2 | 0,6 | v |
| | $I_C = 8 \text{ A}$ $I_B = 1,6 \text{ A}$ | | | 0,6 | 1 | v |
| Base-emitter saturation voltage <i>Tension de saturation base-émetteur</i> | $I_C = 8 \text{ A}$ $I_B = 1,6 \text{ A}$ | V_{BEsat}^* | | 1,2 | 1,5 | v |
| Second breakdown collector current <i>Courant collecteur de second claquage</i> | $V_{CE} = 140 \text{ V}$ $t = 1 \text{ s}$ | $I_{S/B}$ | | 0,15 | | A |
| | $V_{CE} = 20 \text{ V}$ $t = 1 \text{ s}$ | | | 12 | | A |

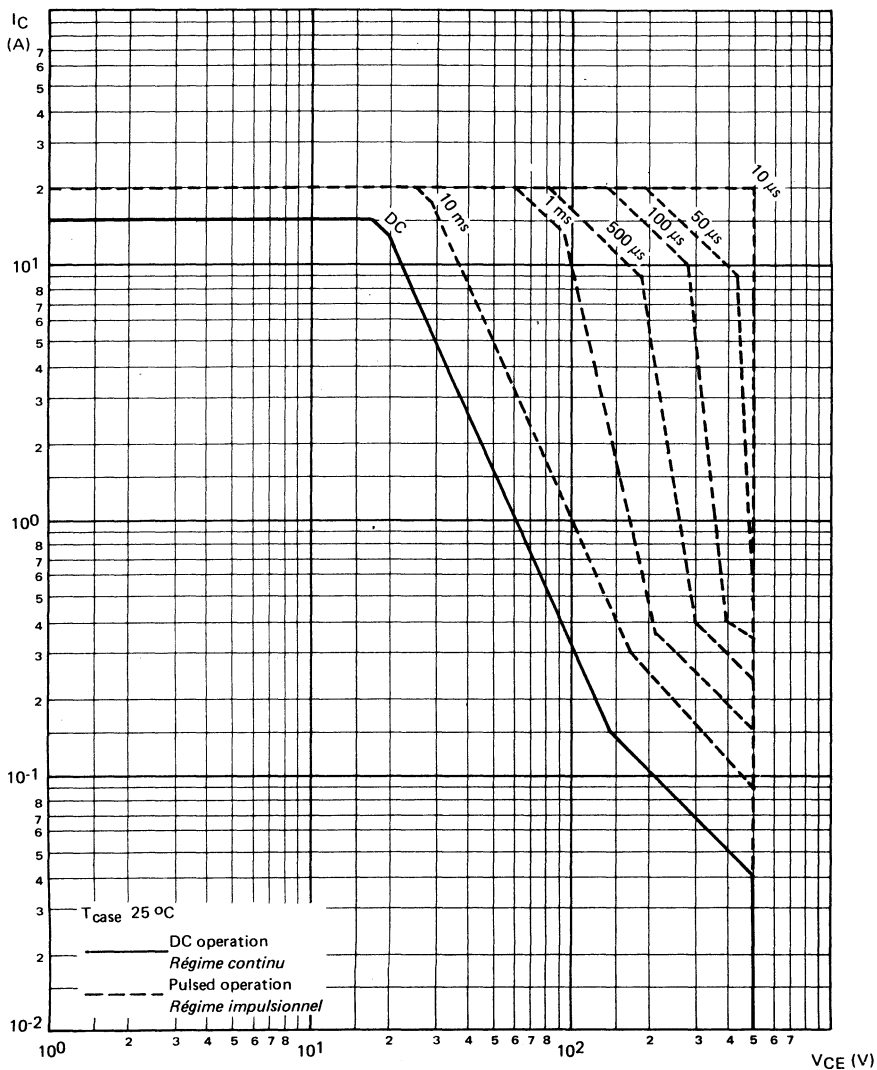
* Pulsed $t_p = 300 \mu\text{s}$ $\delta \leq 2\%$

DYNAMIC CHARACTERISTICS (for small signals)
CARACTÉRISTIQUES DYNAMIQUES (pour petits signaux)

(Unless otherwise stated)
(Sauf indications contraires)

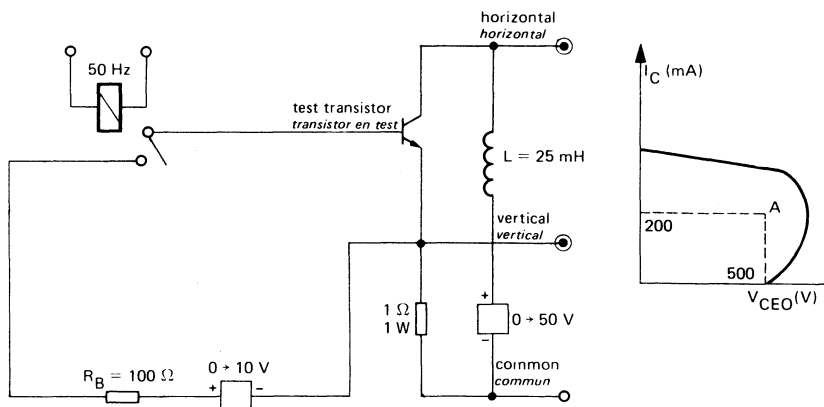
| | Test conditions <i>Conditions de mesure</i> | | | Min. | Typ. | Max. | |
|---|--|-------------|--|------|------|------|---------------|
| Transition frequency <i>Fréquence de transition</i> | $V_{CE} = 15 \text{ V}$ $I_C = 2 \text{ A}$ $f = 10 \text{ MHz}$ | f_T | | 8 | | | MHz |
| Turn-on time <i>Temps total d'établissement:</i> (fig. 2) | $I_C = 8 \text{ A}$ $I_B = 1,6 \text{ A}$ | $t_d + t_r$ | | 0,9 | 1,8 | | μs |
| Fall time <i>Temps de décroissance</i> | $I_C = 8 \text{ A}$ $I_{B1} = 1,6 \text{ A}$ $I_{B2} = -1,6 \text{ A}$ | t_f | | 0,9 | 1,6 | | μs |
| Carrier storage time <i>Retard à la décroissance</i> | $I_C = 8 \text{ A}$ $I_{B1} = 1,6 \text{ A}$ $I_{B2} = -1,6 \text{ A}$ | t_s | | 3,5 | 5 | | μs |

SAFE OPERATING AREA
AIRE DE SECURITE



TEST CIRCUIT $V_{CEO(sus)}$ (fig. 1)

MONTAGE DE TEST

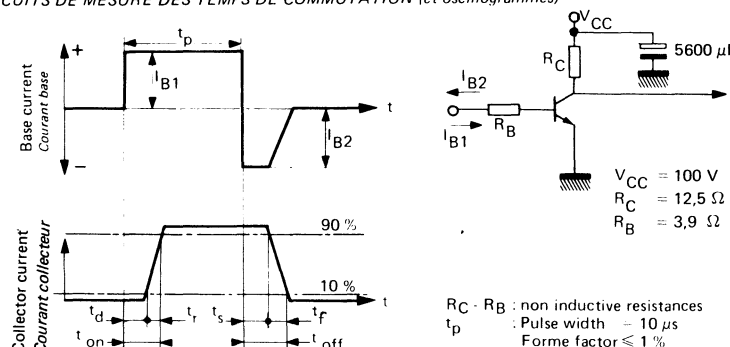


Note :

The sustaining voltage V_{CEO} is acceptable when the trace falls to the right and above point "A".
Les tensions V_{CEO} sont acceptables lorsque la trace passe au-delà du point A.

SWITCHING TIMES TEST CIRCUITS (and oscillograms) (fig. 2)

CIRCUITS DE MESURE DES TEMPS DE COMMUTATION (et oscilloscopes)



I_{B1} et I_{B2} mesured with Tektronix probe
P 6021 et Amplifier type 134

I_{B1} et I_{B2} sont mesurés avec une sonde Tektronix
P 6021 et Amplificateur type 134

R_C - R_B : non inductive resistances

t_p : Pulse width = 10 μs

: Forme factor ≤ 1 %

: Rise and fall time ≤ 50 ns

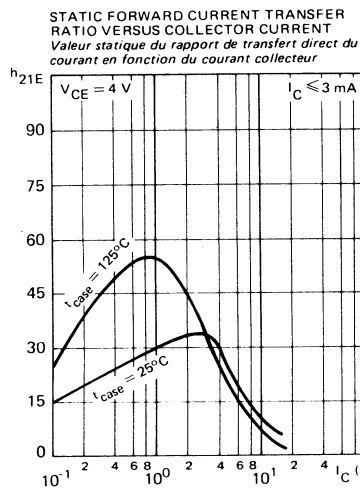
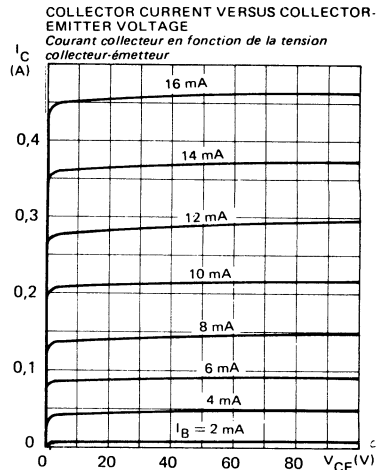
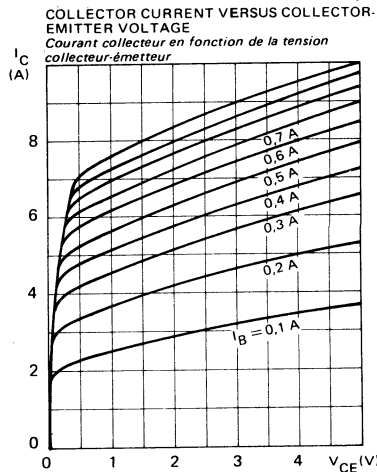
R_C - R_B : résistances non induktives

t_p : Largeur d'impulsion = 10 μs

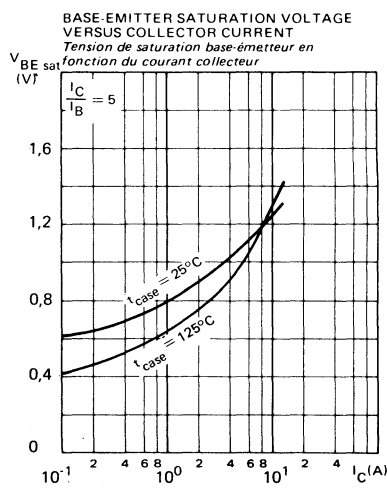
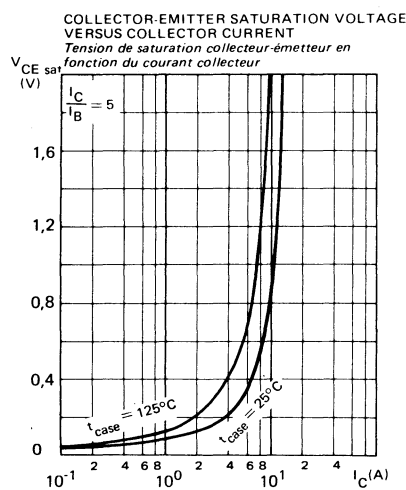
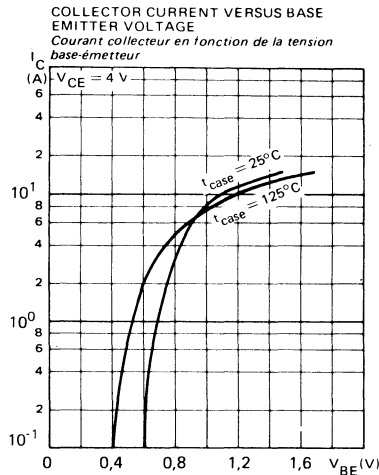
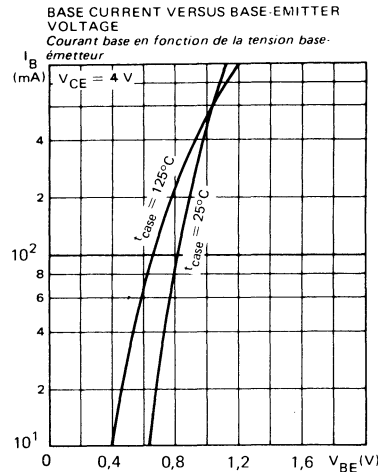
: Facteur de forme ≤ 1 %

: Temps de montée et descente ≤ 50 ns

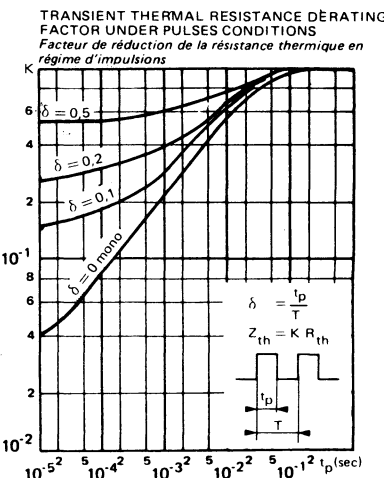
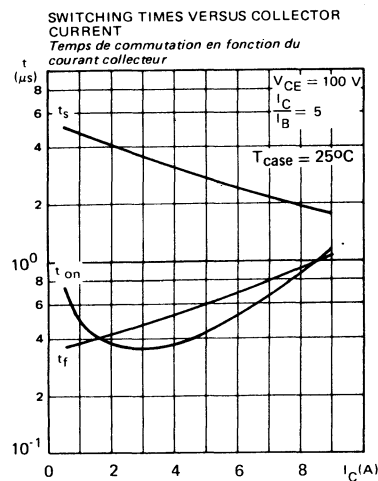
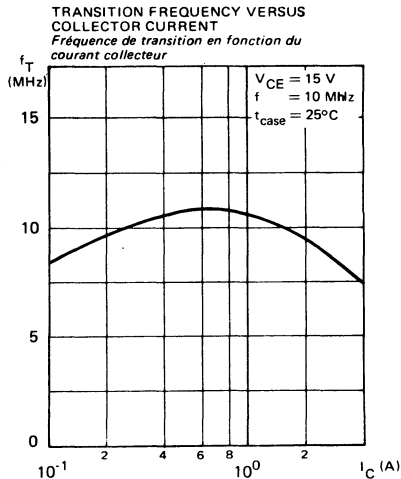
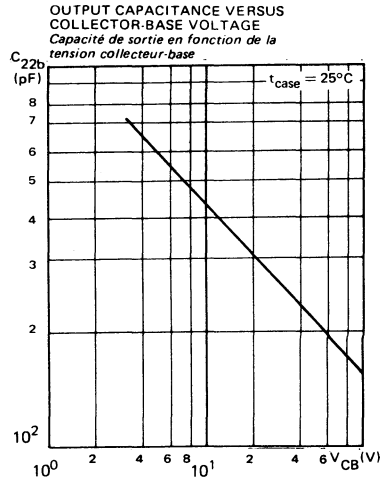
TYPICAL CHARACTERISTICS
CARACTÉRISTIQUES TYPIQUES



TYPICAL CHARACTERISTICS
CARACTÉRISTIQUES TYPIQUES



TYPICAL CHARACTERISTICS CARACTÉRISTIQUES TYPIQUES



FAST NPN SWITCHING TRANSISTOR

TRANSISTOR NPN DE COMMUTATION RAPIDE

TENTATIVE DATA

SUPERSWITCH

HIGH SPEED TRANSISTOR SUITED FOR LOW VOLTAGE APPLICATIONS:

HIGH FREQUENCY AND EFFICIENCY CONVERTERS
SWITCHING REGULATORS
MOTOR CONTROL

Data sheet tailored for switching applications

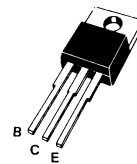
- *Low saturation voltage
- *Fast turn-on and turn-off
- *Base drive specified for different values of I_C
- *Wide surge area

**TRANSISTOR TRES RAPIDE , ADAPTE AUX APPLICATIONS BASSE TENSION:
CONVERTISSEURS HAUTE FREQUENCE ET A HAUT TRENDEMENT
REGULATEURS A DECOUPAGE
COMMANDE DE MOTEUR**

Spécifications spécialement étudiées pour la commutation

- *Faible tension de saturation
- *Mise en conduction et blocage rapide
- *Commande de base spécifiée pour différentes valeurs de I_C
- *Aire de surcharge étendue

| | |
|----------------------|--------------|
| V_{CEO} sus | 90 V |
| V_{CEX} | 180 V |
| I_{Csat} | 12 A |
| I_{CSM} | 50 A |
| t_f (125 °C) max | 0,15 μ s |

Case
Boîtier TO 220 AB (CB 117)ABSOLUTE RATINGS (LIMITING VALUES)
VALEURS LIMITES ABSOLUES D'UTILISATION

| | | | |
|---|---|------------|----|
| Collector-emitter voltage <i>Tension collecteur-émetteur</i> | V_{CEO} | 90 | V |
| Collector-base voltage <i>Tension collecteur-base</i> | V_{CBO} | 180 | V |
| Emitter-base voltage <i>Tension émetteur-base</i> | V_{EBO} | 7 | V |
| Collector current <i>Courant collecteur</i> | I_C $t_p \leqslant 10 \text{ ms}$ | 14 25 | A |
| Base current <i>Courant base</i> | I_B $t_p \leqslant 10 \text{ ms}$ | 4 6 | A |
| Power dissipation <i>Dissipation de puissance</i> | P_{tot} $T_{case} 25^\circ\text{C}$ $T_{case} 60^\circ\text{C}$ | 85 65 | W |
| Junction temperature <i>Température de jonction</i> | T_j | - 65 + 175 | °C |

| | | | | |
|--|-----|---------------|------|------|
| Junction-case thermal resistance <i>Résistance thermique jonction-boîtier</i> | max | $R_{th(j-c)}$ | 1,76 | °C/W |
|--|-----|---------------|------|------|

Mai 1981 1/6

ELECTRICAL CHARACTERISTICS - CARACTÉRISTIQUES ÉLECTRIQUES **

| SYMBOLS | Min | Typ | Max | UNITS | TEST CONDITIONS - CONDITIONS DE MESURE |
|---------|-----|-----|-----|-------|--|
|---------|-----|-----|-----|-------|--|

OFF CHARACTERISTICS - CARACTÉRISTIQUES A L'ÉTAT BLOQUÉ

| | | | | | |
|-----------------|----|--|----|----|--|
| V_{CEOus} | 90 | | | V | $I_C = 0,2 \text{ A}, I_B = 0, L = 25 \text{ mH}$ |
| $V_{(BR)EBO}^*$ | 7 | | 30 | V | $I_C = 0, I_E = 0,05 \text{ A}$ |
| I_{CEX} | | | 1 | mA | $V_{CE} = 180 \text{ V}, V_{BE} = 1,5 \text{ V}, T_{case} = 125^\circ\text{C}$ |
| I_{CER} | | | 3 | mA | $V_{CE} = 180 \text{ V}, R_{BE} = 50 \Omega, T_{case} = 125^\circ\text{C}$ |
| I_{EBO} | | | 1 | mA | $V_{EB} = 5 \text{ V}, I_C = 0$ |

ON CHARACTERISTICS - CARACTÉRISTIQUES A L'ÉTAT CONDUCTEUR

| | | | | |
|---------------|--|-----|---|---|
| V_{CEsat}^* | | 0,6 | V | $I_C = 6 \text{ A}, I_B = 0,6 \text{ A}$ |
| | | 1,5 | | $I_C = 12 \text{ A}, I_B = 1,2 \text{ A}$ |
| V_{BESat}^* | | 2 | V | $I_C = 12 \text{ A}, I_B = 1,2 \text{ A}$ |

SWITCHING CHARACTERISTICS - CARACTÉRISTIQUES DE COMMUTATION

| On resistive load - Sur charge résistive | | | | | |
|--|------|------|---------------|---------------------------|---|
| t_{on} | | 0,4 | 0,6 | μs | $V_{CC} = 50 \text{ V}, I_C = 12 \text{ A}, I_{B1} = -I_{B2} = 1,2 \text{ A}$ $V_{BE} = -6 \text{ V}, R_{B2} = 2,5 \Omega$ |
| t_s | | 0,45 | 1 | | |
| t_f | | 0,12 | 0,25 | | |
| On inductive load - Sur charge inductive | | | | | |
| t_s | 0,5 | 2 | μs | $T_j = 25^\circ\text{C}$ | $V_{CC} = 50 \text{ V}, I_C = I_{Csat}, I_{Bend} = I_{Bsat}$ |
| | | | | $T_j = 125^\circ\text{C}$ | |
| t_f | 0,04 | 0,15 | μs | $T_j = 25^\circ\text{C}$ | $V_B = -5 \text{ V}, L_B = 0,5 \mu\text{H}$ |
| | | | | $T_j = 125^\circ\text{C}$ | |

* Measured with pulses $t_p = 300 \mu\text{s}$ $\delta \leq 2\%$ ** $T_{case} 25^\circ\text{C}$ Unless otherwise stated

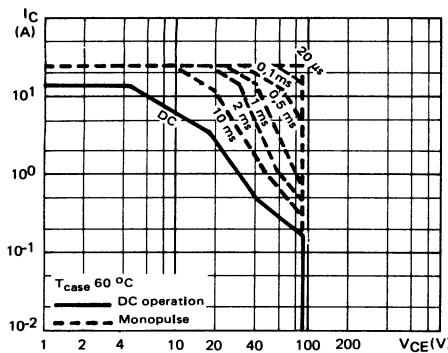


FIGURE 1 : DC and pulse area

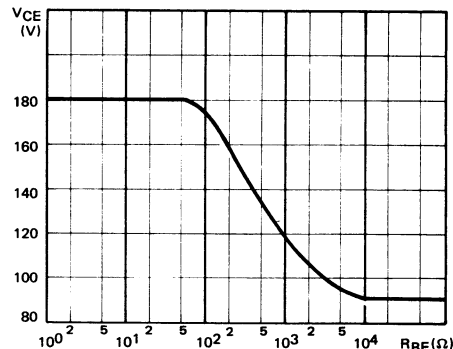


FIGURE 2 : Collector-emitter voltage vs base-emitter resistance

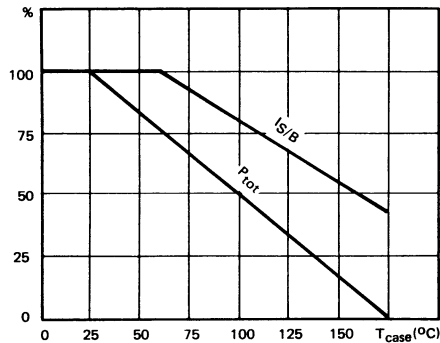
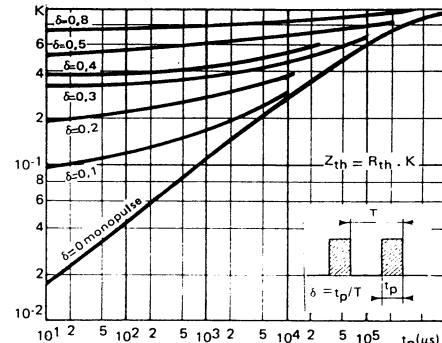
FIGURE 3 : Power and $I_{S/B}$ derating vs case temperature

FIGURE 4 : Transient thermal response

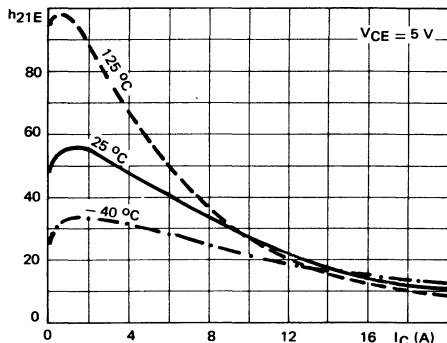


FIGURE 6 : DC current gain

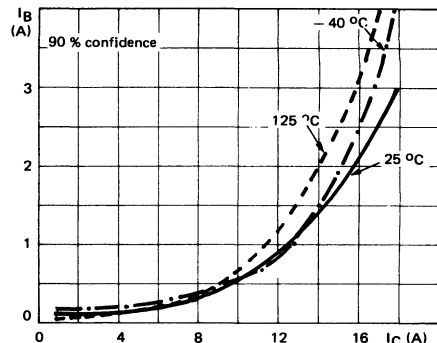


FIGURE 7 : Minimum base current to saturate the transistor

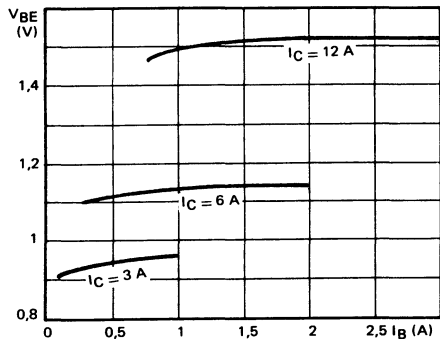


FIGURE 8 : Base characteristics

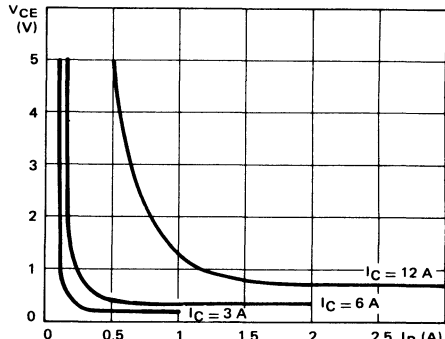


FIGURE 9 : Collector saturation region

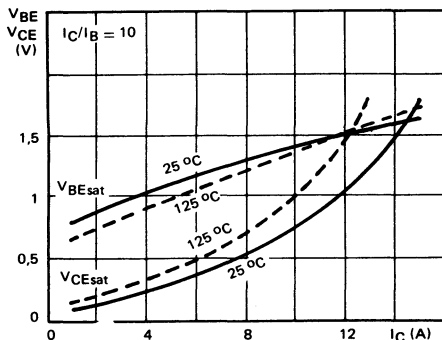


FIGURE 10 : Saturation voltage

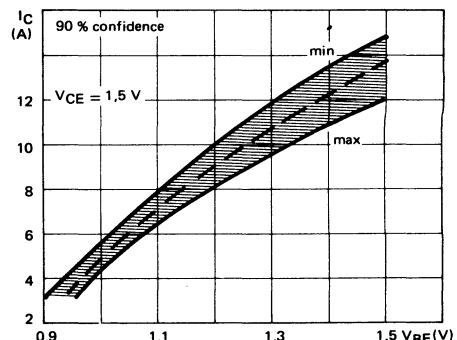
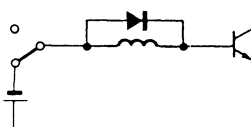
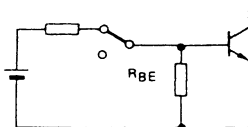


FIGURE 11 : Collector current spread vs base-emitter voltage

SWITCHING OPERATING AND OVERLOAD AREAS



TRANSISTOR FORWARD BIASED

- During the turn on
- During the turn off without negative base-emitter voltage and $R_{BE} \leq 100 \Omega$

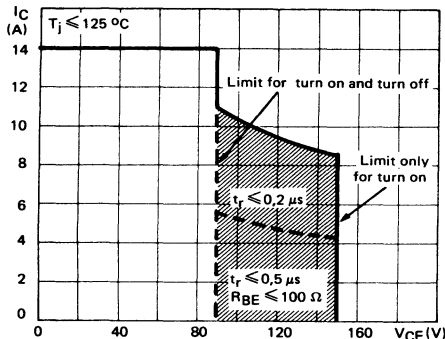


FIGURE 12 :Forward biased safe operating area (FBSOA)

TRANSISTOR REVERSE BIASED

- During the turn off with negative base-emitter voltage

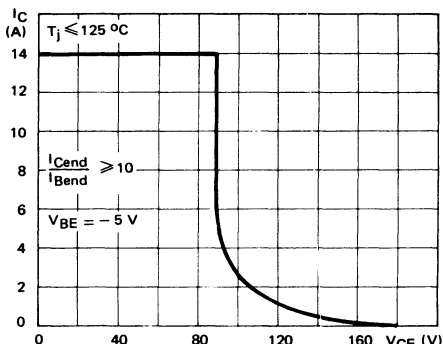


FIGURE 13 :Reverse biased safe operating area (RBSOA)

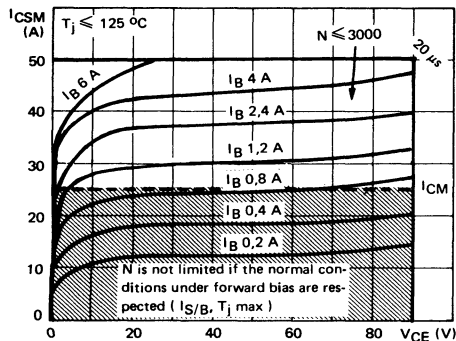


FIGURE 14 : Forward biased accidental overload area (FBAOA)

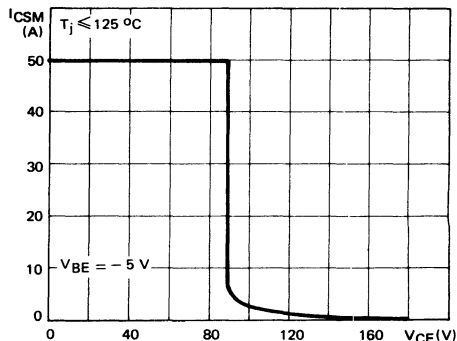


FIGURE 15 :Reverse biased accidental overload area (RBAOA)

Figure 12 : The hatched zone can only be used for turn on.

Figures 14 and 15 : High accidental surge currents ($I > I_{CM}$) are allowed if they are non repetitive and applied less than 3000 times during the component life.

Figure 14 : The Kellogg network (heavy point) allows the calculation of the maximum value of the short-circuit current for a given base current I_B (90 % confidence).

Figure 15 : After the accidental overload current, the RBAOA has to be used for the turn off

Figure 12 : La zone hachurée ne doit être utilisée que pour la mise en conduction.

Figures 14 et 15 : De forts courants de surcharge ($I > I_{CM}$) sont permis s'ils sont non répétitifs et appliqués moins de 3000 fois dans la vie du composant.

Figure 14 : Le réseau de Kellogg (trait gras) permet le calcul de la valeur maximale du courant de court-circuit pour un courant de base donné I_B (90 % de confiance).

Figure 15 : Après le passage du courant de surcharge accidentelle on doit utiliser l'aire de surcharge accidentelle en polarisation inverse pour l'ouverture.

BUV 26

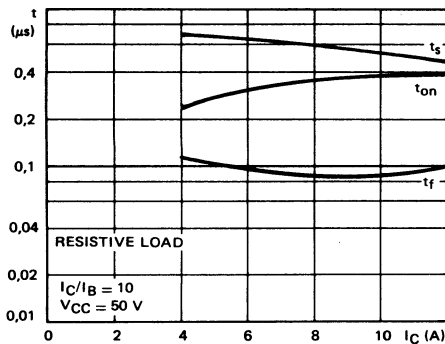


FIGURE 16 : Switching times vs collector current
(resistive load)

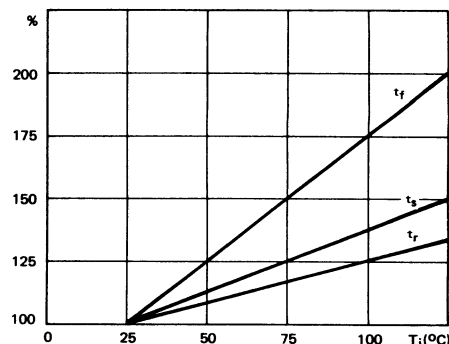


FIGURE 17 : Switching times vs junction temperature

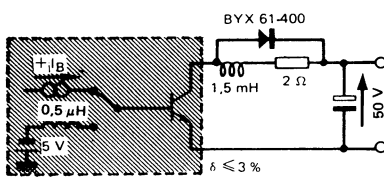


FIGURE 18 : Switching times test circuit on inductive load

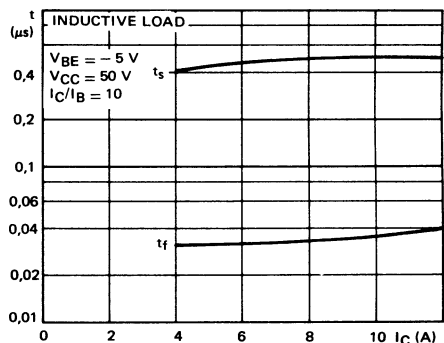


FIGURE 19 : Switching times vs collector current

FAST NPN SWITCHING TRANSISTOR

TRANSISTOR NPN DE COMMUTATION RAPIDE

TENTATIVE DATA

SUPERSWITCH

HIGH SPEED TRANSISTOR SUITED FOR LOW VOLTAGE APPLICATIONS:

HIGH FREQUENCY AND EFFICIENCY CONVERTERS
SWITCHING REGULATORS
MOTOR CONTROL

Data sheet tailored for switching applications

- *Low saturation voltage
- *Fast turn-on and turn-off
- *Base drive specified for different values of I_C
- *Wide surge area

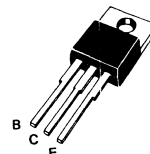
TRANSISTOR TRES RAPIDE, ADAPTE AUX APPLICATIONS BASSE TENSION:

CONvertisseurs HAUTE FREQUENCE ET A HAUSTRÉMENT
REGULATEURS A DÉCOUPAGE
COMMANDÉ DE MOTEUR

Spécifications spécialement étudiées pour la commutation

- *Faible tension de saturation
- *Mise en conduction et blocage rapide
- *Commande de base spécifiée pour différentes valeurs de I_C
- *Aire de surcharge étendue

| | |
|----------------------|--------------|
| V_{CEO} us | 120 V |
| V_{CEX} | 240 V |
| I_{Csat} | 8 A |
| I_{CSM} | 40 A |
| t_f (125 °C) max | 0,15 μ s |

Case TO 220 AB (CB 117)
BoîtierABSOLUTE RATINGS (LIMITING VALUES)
VALEURS LIMITES ABSOLUES D'UTILISATION

| | | | |
|---|-------------------|------------|----|
| Collector-emitter voltage <i>Tension collecteur-émetteur</i> | V_{CEO} | 120 | V |
| Collector-base voltage <i>Tension collecteur-base</i> | V_{CBO} | 240 | V |
| Emitter-base voltage <i>Tension émetteur-base</i> | V_{EBO} | 7 | V |
| Collector current <i>Courant collecteur</i> | I_C I_{CM} | 12 20 | A |
| Base current <i>Courant base</i> | I_B I_{BM} | 4 6 | A |
| Power dissipation <i>Dissipation de puissance</i> | P_{tot} | 85 65 | W |
| Junction temperature <i>Température de jonction</i> | T_j | - 65 + 175 | °C |

| | | | | |
|--|-----|---------------|------|------|
| Junction-case thermal resistance <i>Résistance thermique jonction-boîtier</i> | max | $R_{th(j-c)}$ | 1,75 | °C/W |
|--|-----|---------------|------|------|

ELECTRICAL CHARACTERISTICS - CARACTÉRISTIQUES ÉLECTRIQUES **

| SYMBOLS | Min | Typ | Max | UNITS | TEST CONDITIONS - CONDITIONS DE MESURE |
|---------|-----|-----|-----|-------|--|
|---------|-----|-----|-----|-------|--|

OFF CHARACTERISTICS - CARACTÉRISTIQUES A L'ÉTAT BLOQUE

| | | | | | |
|--------------------------|-----|--|----|----|--|
| V_{CEO} _{sat} | 120 | | | V | $I_C = 0,2 \text{ A}, I_B = 0, L = 25 \text{ mH}$ |
| $V_{(BR)EBO}^*$ | 7 | | 30 | V | $I_C = 0, I_E = 0,05 \text{ A}$ |
| I_{CEX} | | | 1 | mA | $V_{CE} = 240 \text{ V}, V_{BE} = -1,5 \text{ V}, T_{case} = 125 \text{ }^\circ\text{C}$ |
| I_{CER} | | | 3 | mA | $V_{CE} = 240 \text{ V}, R_{BE} = 50 \Omega, T_{case} = 125 \text{ }^\circ\text{C}$ |
| I_{EBO} | | | 1 | mA | $V_{EB} = 5 \text{ V}, I_C = 0$ |

ON CHARACTERISTICS - CARACTÉRISTIQUES A L'ÉTAT CONDUCTEUR

| | | | | |
|--------------------------------------|--|-----|---|--|
| V_{CE} _{sat} [*] | | 0,7 | V | $I_C = 4 \text{ A}, I_B = 0,4 \text{ A}$ |
| | | 1,5 | | $I_C = 8 \text{ A}, I_B = 0,8 \text{ A}$ |
| V_{BE} _{sat} [*] | | 2 | V | $I_C = 8 \text{ A}, I_B = 0,8 \text{ A}$ |

SWITCHING CHARACTERISTICS - CARACTÉRISTIQUES DE COMMUTATION

| | | | | | |
|---|--|------|------|---------------|---|
| On resistive load - Sur charge résistive | | | | | |
| t_{on} | | 0,4 | 0,8 | μs | $V_{CC} = 90 \text{ V}, I_C = 8 \text{ A}, I_B1 = 0,8 \text{ A}$ $V_{BE} = -6 \text{ V}$ |
| t_s | | 0,5 | 1,2 | | |
| t_f | | 0,12 | 0,25 | | |
| On inductive load - Sur charge inductive | | | | | |
| t_s | | 0,6 | | μs | $T_j = 25 \text{ }^\circ\text{C}$ |
| | | | 2 | | $T_j = 125 \text{ }^\circ\text{C}$ |
| t_f | | 0,04 | | | $T_j = 25 \text{ }^\circ\text{C}$ |
| | | | 0,15 | | $T_j = 125 \text{ }^\circ\text{C}$ |
| $\left. \begin{array}{l} V_{CC} = 90 \text{ V}, I_C = I_{C\text{sat}}, I_{B\text{end}} = I_{B\text{sat}} \\ V_B = -5 \text{ V}, L_B = 1 \mu\text{H} \end{array} \right\}$ | | | | | |

* Measured with pulses $t_p = 300 \mu\text{s}$ $\delta \leq 2 \%$ ** $T_{case} 25 \text{ }^\circ\text{C}$ Unless otherwise stated

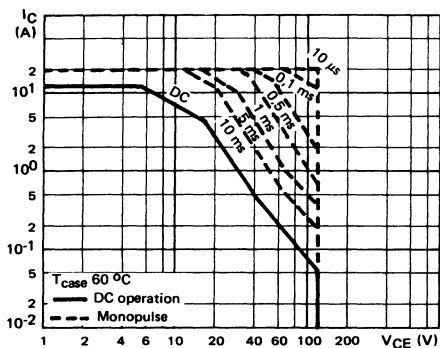


FIGURE 1 : DC and pulse area

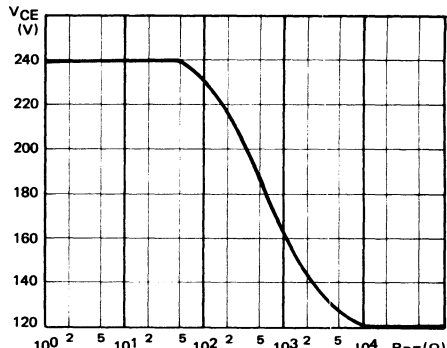


FIGURE 2 : Collector-emitter voltage vs base-emitter resistance

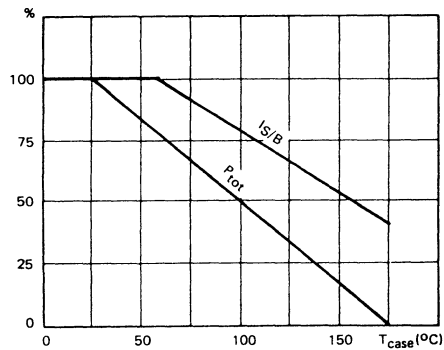
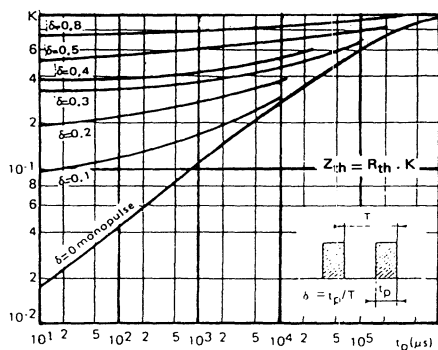
FIGURE 3 : Power and $I_{S/B}$ derating vs case temperature

FIGURE 4 : Transient thermal response

BUV 27

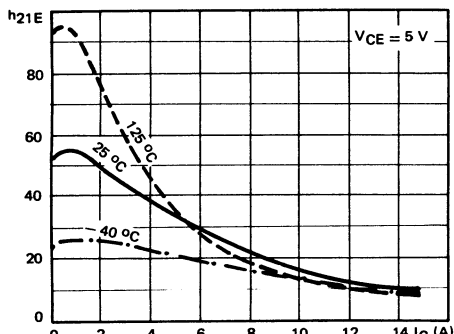


FIGURE 6 : DC current gain

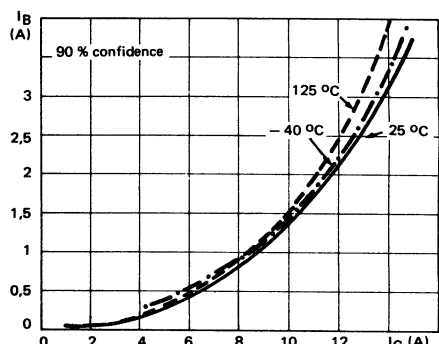


FIGURE 7 : Minimum base current to saturate the transistor

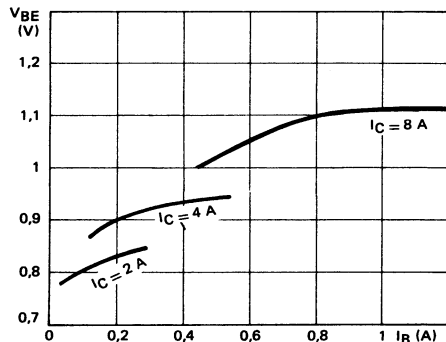


FIGURE 8 : Base characteristics

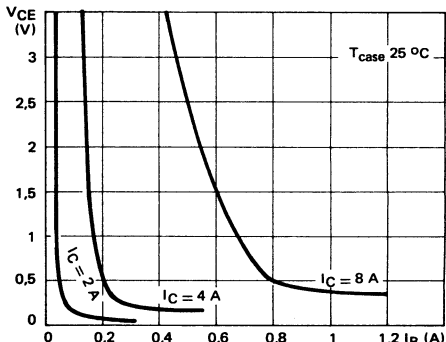


FIGURE 9 : Collector saturation region

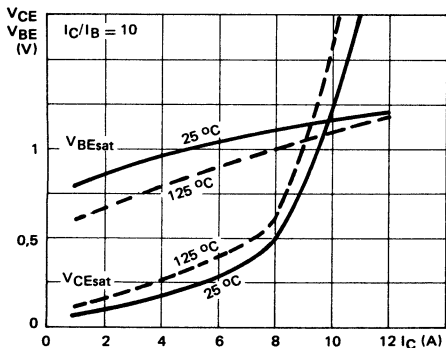


FIGURE 10 : Saturation voltage

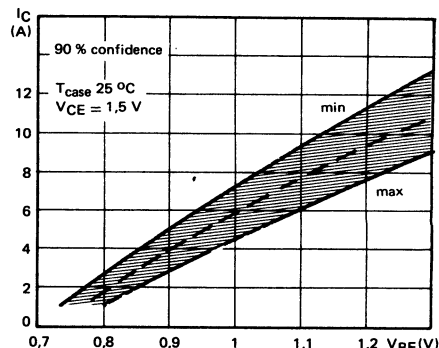
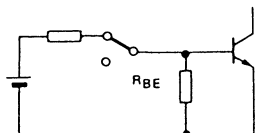


FIGURE 11 : Collector current spread vs base-emitter voltage

SWITCHING OPERATING AND OVERLOAD AREAS



TRANSISTOR FORWARD BIASED

- During the turn on
- During the turn off without negative base-emitter voltage and $R_{BE} \leq 100 \Omega$

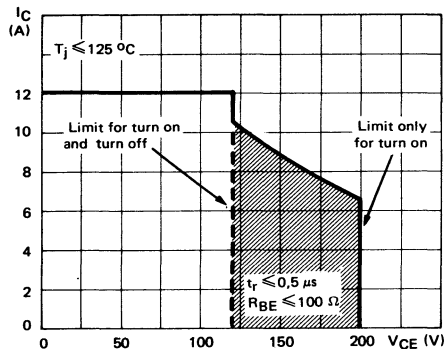
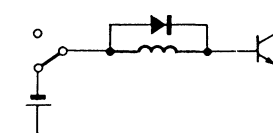


FIGURE 12 :Forward biased safe operating area (FBSOA)



TRANSISTOR REVERSE BIASED

- During the turn off with negative base-emitter voltage

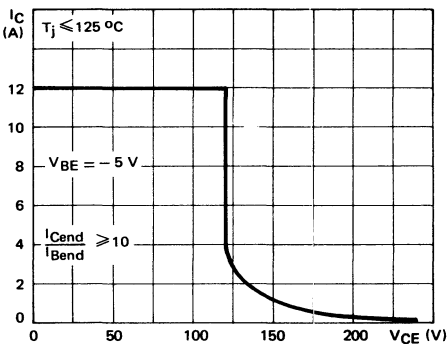


FIGURE 13 : Reverse biased safe operating area (RBSOA)

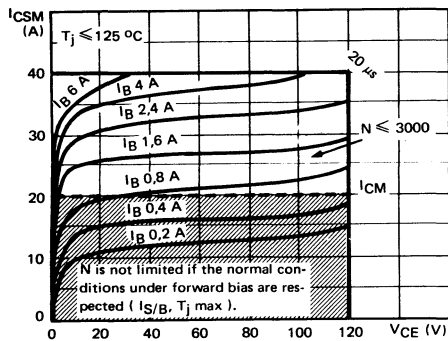


FIGURE 14 : Forward biased accidental overload area (FBAOA)

Figure 12 : The hatched zone can only be used for turn on.

Figures 14 and 15 : High accidental surge currents ($I > I_{CM}$) are allowed if they are non repetitive and applied less than 3000 times during the component life.

Figure 14 : The Kellogg network (heavy point) allows the calculation of the maximum value of the short-circuit current for a given base current I_B (90 % confidence).

Figure 15 : After the accidental overload current, the RBAOA has to be used for the turn off.

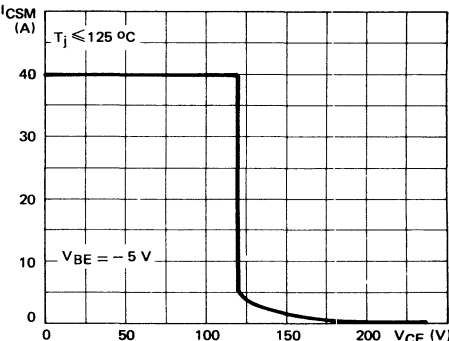


FIGURE 15 : Reverse biased accidental overload area (RBAOA)

Figure 12 : La zone hachurée ne doit être utilisée que pour la mise en conduction.

Figures 14 et 15 : De forts courants de surcharge ($I > I_{CM}$) sont permis s'ils sont non répétitifs et appliqués moins de 3000 fois dans la vie du composant.

Figure 14 : Le réseau de Kellogg (trait gras) permet le calcul de la valeur maximale du courant de court-circuit pour un courant de base donné I_B (90 % de confiance).

Figure 15 : Après le passage du courant de surcharge accidentelle on doit utiliser l'aire de surcharge accidentelle en polarisation inverse pour l'ouverture.

BUV 27

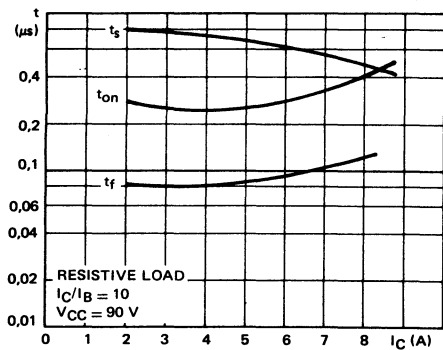


FIGURE 16 : Switching times vs collector current (resistive load)

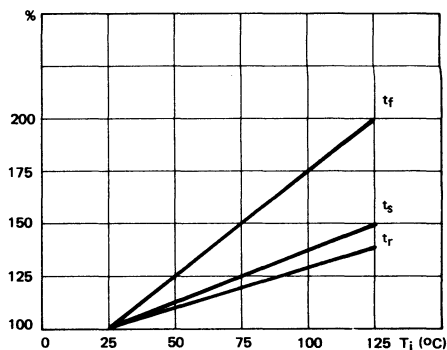


FIGURE 17 : Switching times vs junction temperature

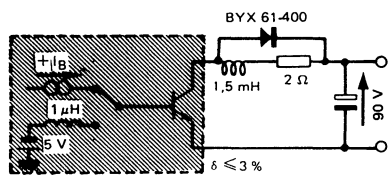


FIGURE 18 : Switching times test circuit on inductive load

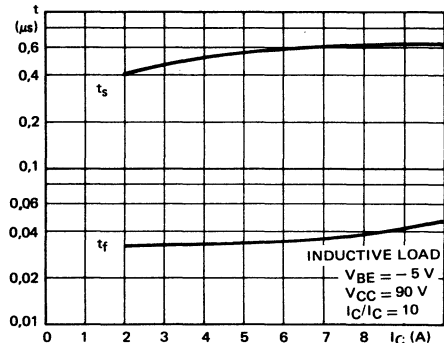


FIGURE 19 : Switching times vs junction temperature (inductive load)

TENTATIVE DATA**SUPERSWITCH**

HIGH SPEED TRANSISTOR SUITED FOR LOW VOLTAGE APPLICATIONS:

**HIGH FREQUENCY AND EFFICIENCY CONVERTERS
SWITCHING REGULATORS
MOTOR CONTROL**

Data sheet tailored for switching applications

- *Low saturation voltage
- *Fast turn-on and turn-off
- *Base drive specified for different values of I_C
- *Wide surge area

TRANSISTOR TRES RAPIDE , ADAPTE AUX APPLICATIONS BASSE TENSION:

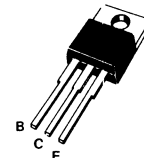
**CONvertisseurs HAUTE FREQUENCE ET A HAUT RENDEMENT
REGULATEURS A DECOUPAGE
COMMANDE DE MOTEUR**

Spécifications spécialement étudiées pour la commutation

- *Faible tension de saturation
- *Mise en conduction et blocage rapide
- *Commande de base spécifiée pour différentes valeurs de I_C
- *Aire de surcharge étendue

| | |
|--------------------|-------------|
| V_{CEO} | 200 V |
| V_{CEX} | 400 V |
| I_{Csat} | 6 A |
| I_{CSM} | 25 A |
| t_f (125 °C) max | 0,2 μ s |

Case TO 220 AB (CB 117)
Boîtier



ABSOLUTE RATINGS (LIMITING VALUES)
VALEURS LIMITES ABSOLUES D'UTILISATION

| | | | |
|---|-------------------|------------|----|
| Collector-emitter voltage <i>Tension collecteur-émetteur</i> | V_{CEO} | 200 | V |
| Collector-base voltage <i>Tension collecteur-base</i> | V_{CBO} | 400 | V |
| Emitter-base voltage <i>Tension émetteur-base</i> | V_{EBO} | 7 | V |
| Collector current <i>Courant collecteur</i> | I_C I_{CM} | 10 15 | A |
| Base current <i>Courant base</i> | I_B I_{BM} | 2 4 | A |
| Power dissipation <i>Dissipation de puissance</i> | P_{tot} | 85 65 | W |
| Junction temperature <i>Température de jonction</i> | T_j | - 65 + 175 | °C |

| | | | | |
|--|-----|---------------|------|------|
| Junction-case thermal resistance <i>Résistance thermique jonction-boîtier</i> | max | $R_{th(j-c)}$ | 1,76 | °C/W |
|--|-----|---------------|------|------|

ELECTRICAL CHARACTERISTICS - CARACTÉRISTIQUES ÉLECTRIQUES **

| SYMBOLS | Min | Typ | Max | UNITS | TEST CONDITIONS - CONDITIONS DE MESURE |
|---------|-----|-----|-----|-------|--|
|---------|-----|-----|-----|-------|--|

OFF CHARACTERISTICS - CARACTÉRISTIQUES A L'ÉTAT BLOQUÉ

| | | | | | |
|-------------------------|-----|--|----|----|--|
| V_{CEO} _{us} | 200 | | | V | $I_C = 0,2 \text{ A}, I_B = 0, L = 25 \text{ mH}$ |
| $V_{(BR)EBO}^*$ | 7 | | 30 | V | $I_C = 0, I_E = 0,05 \text{ A}$ |
| I_{CEX} | | | 1 | mA | $V_{CE} = 400 \text{ V}, V_{BE} = -1,5 \text{ V}, T_{case} = 125 \text{ }^\circ\text{C}$ |
| I_{CER} | | | 3 | mA | $V_{CE} = 400 \text{ V}, R_{BE} = 50 \Omega, T_{case} = 125 \text{ }^\circ\text{C}$ |
| I_{EBO} | | | 1 | mA | $V_{EB} = 5 \text{ V}, I_C = 0$ |

ON CHARACTERISTICS - CARACTÉRISTIQUES A L'ÉTAT CONDUCTEUR

| | | | | |
|---------------------------|--|-----|---|--|
| V_{CE} _{sat} * | | 1,5 | V | $I_C = 6 \text{ A}, I_B = 0,6 \text{ A}$ |
| | | 0,7 | | $I_C = 3 \text{ A}, I_B = 0,3 \text{ A}$ |
| V_{BE} _{sat} * | | 2 | V | $I_C = 6 \text{ A}, I_B = 0,6 \text{ A}$ |

SWITCHING CHARACTERISTICS - CARACTÉRISTIQUES DE COMMUTATION

| On resistive load - Sur charge résistive | | | | | |
|--|--|------|------|---------------|---|
| t_{on} | | 0,3 | 1 | μs | $V_{CC} = 150 \text{ V}, I_C = 6 \text{ A}, I_{B1} = 0,6 \text{ A}$ $V_{BE} = -6 \text{ V}, R_{B2} = 5 \Omega$ |
| t_s | | 0,5 | 1,5 | | |
| t_f | | 0,1 | 0,25 | | |
| On inductive load - Sur charge inductive | | | | | |
| t_s | | 1 | | μs | $T_j = 25 \text{ }^\circ\text{C}$ |
| | | | 3 | | $T_j = 125 \text{ }^\circ\text{C}$ |
| t_f | | 0,04 | | | $T_j = 25 \text{ }^\circ\text{C}$ |
| | | | 0,2 | | $T_j = 125 \text{ }^\circ\text{C}$ |

* Measured with pulses $t_p = 300 \mu\text{s}$ $\delta \leqslant 2 \%$ ** $T_{case} 25 \text{ }^\circ\text{C}$ Unless otherwise stated

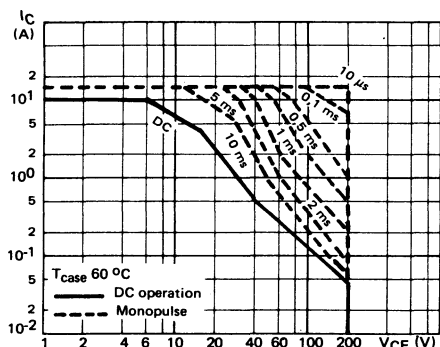


FIGURE 1 : DC and pulse area

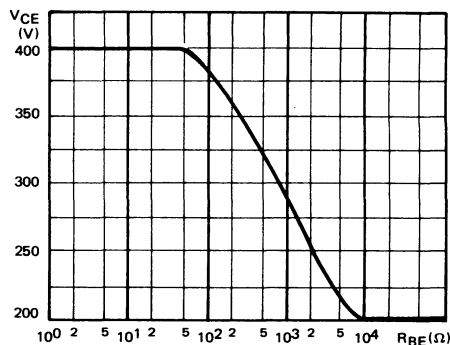


FIGURE 2 : Collector-emitter voltage vs base-emitter resistance

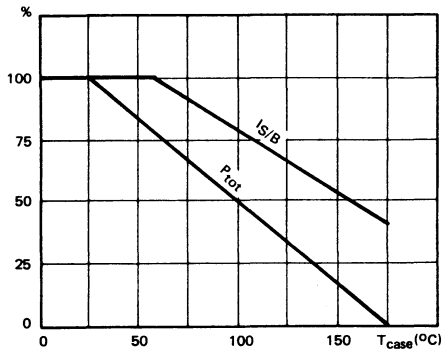
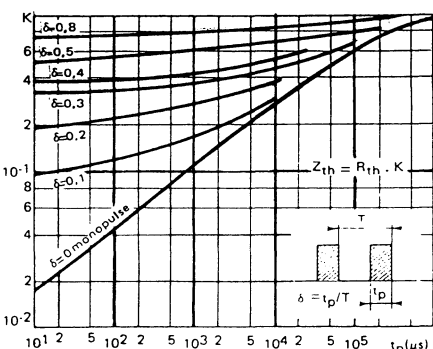
FIGURE 3 : Power and $I_{S/B}$ derating vs case temperature

FIGURE 4 : Transient thermal response

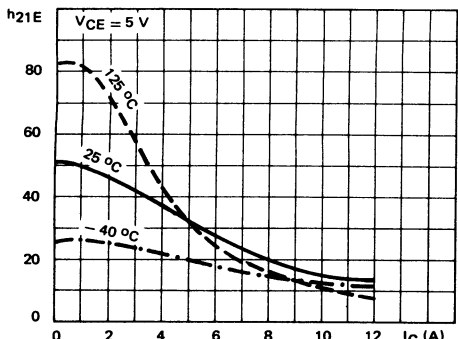


FIGURE 6 : DC current gain

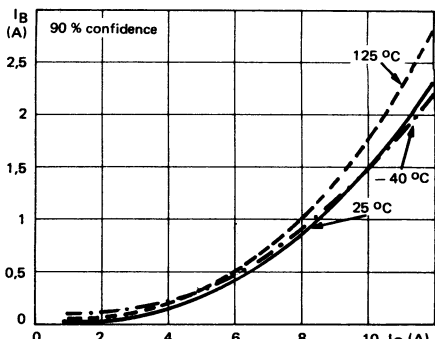


FIGURE 7 : Minimum base current to saturate the transistor

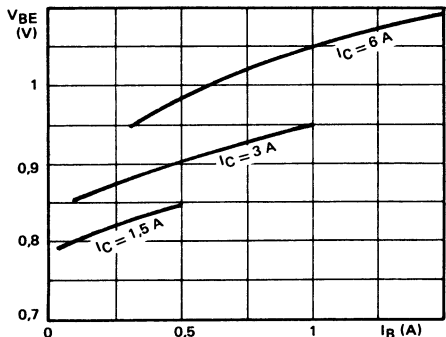


FIGURE 8 : Base characteristics

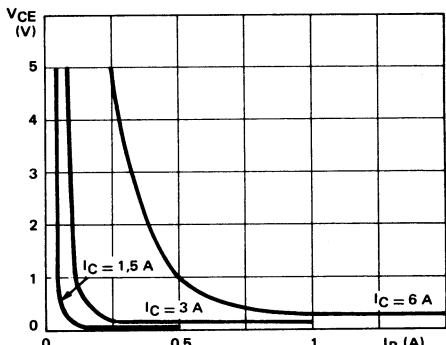


FIGURE 9 : Collector saturation region

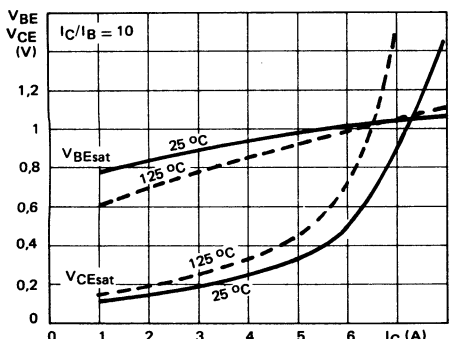


FIGURE 10 : Saturation voltage

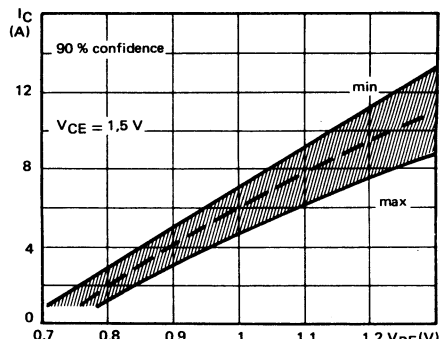
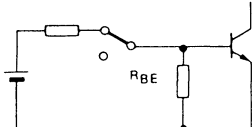


FIGURE 11 : Collector current spread vs base-emitter voltage

SWITCHING OPERATING AND OVERLOAD AREAS



TRANSISTOR FORWARD BIASED

- During the turn on
- During the turn off without negative base-emitter voltage and $R_{BE} \leq 100 \Omega$

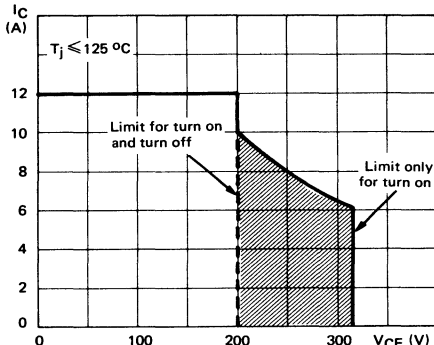
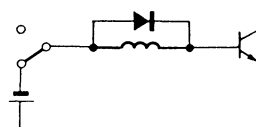


FIGURE 12 :Forward biased safe operating area (FBSOA)



TRANSISTOR REVERSE BIASED

- During the turn off with negative base-emitter voltage

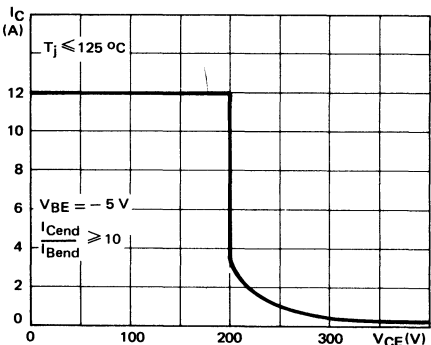


FIGURE 13 : Reverse biased safe operating area (RBSOA)

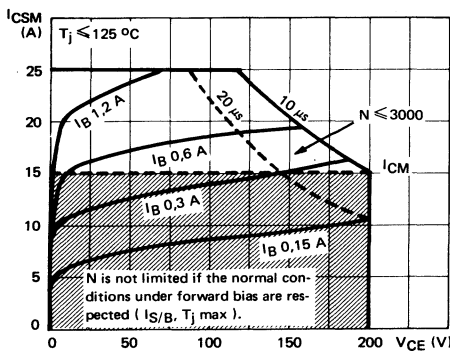


FIGURE 14 : Forward biased accidental overload area (FBAOA)

Figure 12 : The hatched zone can only be used for turn on.

Figures 14 and 15 : High accidental surge currents ($I > I_{CM}$) are allowed if they are non repetitive and applied less than 3000 times during the component life.

Figure 14 : The Kellogg network (heavy point) allows the calculation of the maximum value of the short-circuit current for a given base current I_B (90 % confidence).

Figure 15 : After the accidental overload current, the RBAOA has to be used for the turn off.

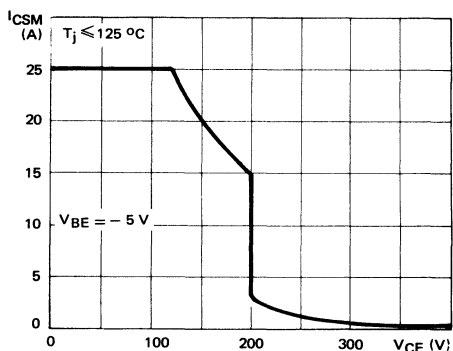


FIGURE 15 : Reverse biased accidental overload area (RBAOA)

Figure 12 : La zone hachurée ne doit être utilisée que pour la mise en conduction.

Figures 14 et 15 : De forts courants de surcharge ($I > I_{CM}$) sont permis s'ils sont non répétitifs et appliqués moins de 3000 fois dans la vie du composant.

Figure 14 : Le réseau de Kellogg (trait gras) permet le calcul de la valeur maximale du courant de court-circuit pour un courant de base donné I_B (90 % de confiance).

Figure 15 : Après le passage du courant de surcharge accidentelle on doit utiliser l'aire de surcharge accidentelle en polarisation inverse pour l'ouverture.

BUV 28

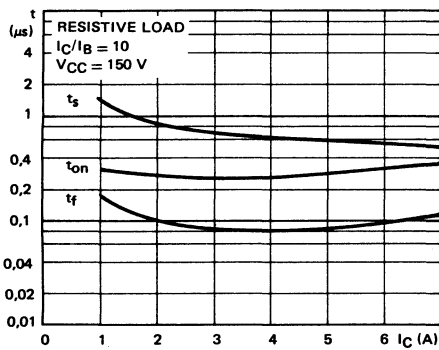


FIGURE 16 : Switching times vs collector current
(resistive load)

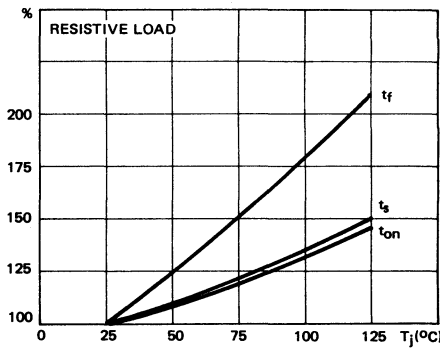


FIGURE 17 : Switching times vs junction temperature
(resistive load)

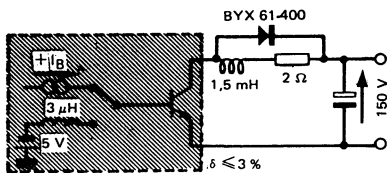


FIGURE 18 : Switching times test circuit on inductive load

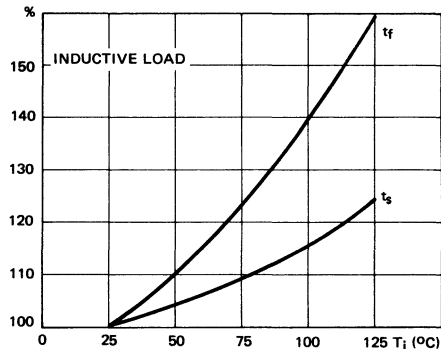


FIGURE 19 : Switching times vs junction temperature
(inductive load)

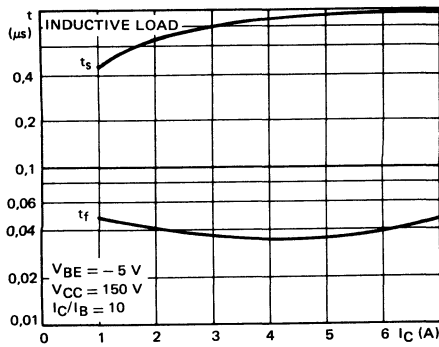


FIGURE 20 : Switching times vs collector current

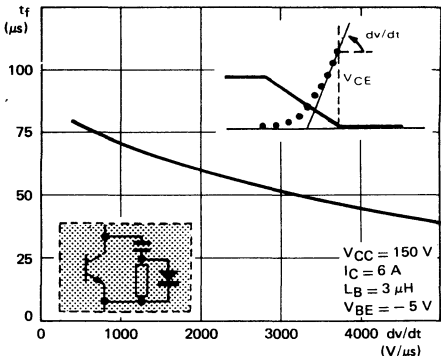


FIGURE 21 : Fall times vs reapply voltage slope

ADVANCE INFORMATION

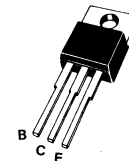
SUPERSWITCH

HIGH VOLTAGE , HIGH SPEED SWITCHING NPN POWER TRANSISTOR IN TO 220 CASE.

DESIGNED FOR USE IN CONVERTERS, INVERTERS, SWITCHING REGULATORS AND POWER SWITCHING APPLICATIONS.

| | |
|------------------|-------------|
| V_{CEO} (sust) | 400 V |
| V_{CEX} | 800 V |
| I_{Csat} | 1 A |
| t_f (max) | 0,4 μ s |

Case
Boîtier TO 220



ABSOLUTE RATINGS (LIMITING VALUES)
VALEURS LIMITES ABSOLUES D'UTILISATION

| | | | |
|---|-------------------|-------------|----|
| Collector-emitter voltage <i>Tension collecteur-émetteur</i> | V_{CEO} | 400 | V |
| Collector-emitter voltage <i>Tension collecteur-émetteur</i> | V_{CEX} | 800 | V |
| Emitter-base voltage <i>Tension émetteur-base</i> | V_{EBO} | 7 | V |
| Collector current <i>Courant collecteur</i> | I_C I_{CM} | 2 3 | A |
| Base current <i>Courant base</i> | I_B I_{BM} | 0,75 1,5 | A |
| Power dissipation <i>Dissipation de puissance</i> | P_{tot} | 50 | W |
| Junction temperature <i>Température de jonction</i> | T_j | - 65 + 175 | °C |

| | | | | |
|--|-----|---------------|-----|------|
| Junction-case thermal resistance <i>Résistance thermique jonction boîtier</i> | max | $R_{th(j-c)}$ | 2,5 | °C/W |
|--|-----|---------------|-----|------|

ELECTRICAL CHARACTERISTICS - CARACTÉRISTIQUES ÉLECTRIQUES **

| SYMBOLS | Min | Typ | Max | UNITS | TEST CONDITIONS - CONDITIONS DE MESURE |
|---------|-----|-----|-----|-------|--|
|---------|-----|-----|-----|-------|--|

OFF CHARACTERISTICS - CARACTÉRISTIQUES A L'ÉTAT BLOQUÉ

| | | | | | |
|-------------------------|-----|-----|---------------|---|--|
| V_{CEO} _{us} | 400 | | | V | $I_C = 0,2 \text{ A}, I_B = 0, L = 25 \text{ mH}$ |
| I_{CES} | | 200 | μA | | $T_{case} 25^\circ\text{C}$ $T_{case} 125^\circ\text{C}$ } $V_{CE} = 800 \text{ V}$ |
| I_{EBO} | | 1 | mA | | $V_{EB} = 5 \text{ V}, I_C = 0$ |

ON CHARACTERISTICS - CARACTÉRISTIQUES A L'ÉTAT CONDUCTEUR

| | | | | | |
|---------------|--|-----|---|---|---|
| h_{21E} | | 50 | | | $V_{CE} = 5 \text{ V}, I_C = 0,1 \text{ A}$ |
| V_{CEsat}^* | | 1 | | V | $I_C = 1 \text{ A}, I_B = 0,2 \text{ A}$ |
| | | 0,5 | | | $I_C = 300 \text{ mA}, I_B = 30 \text{ mA}$ |
| V_{BEsat}^* | | 1,1 | V | | $I_C = 1 \text{ A}, I_B = 0,2 \text{ A}$ |

DYNAMIC CHARACTERISTICS - CARACTÉRISTIQUES DYNAMIQUES

| | | | | | |
|-------|--|---|--|-----|--|
| f_T | | 6 | | MHz | $f = 1 \text{ MHz}, I_C = 200 \text{ mA}, V_{CE} = 10 \text{ V}$ |
|-------|--|---|--|-----|--|

SWITCHING CHARACTERISTICS - CARACTÉRISTIQUES DE COMMUTATION

| Resistive load - Charge résistive | | | | | |
|-----------------------------------|--|-----|-----|---------------|--|
| t_{on} | | 0,2 | 0,5 | | |
| t_s | | 1,7 | 2,5 | μs | $V_{CC} = 250 \text{ V}, I_C = 1 \text{ A}$ |
| t_f | | | 0,4 | | $I_{B1} = 0,2 \text{ A}, I_{B2} = 0,4 \text{ A}$ |

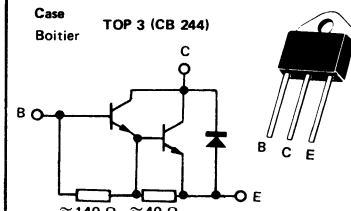
* Measured with pulses $t_p = 300 \mu\text{s}$ $\delta \leq 2\%$ ** $T_{case} 25^\circ\text{C}$ Unless otherwise stated

NPN HIGH VOLTAGE DARLINGTON
DARLINGTON NPN HAUTE TENSION

Power monolithic Darlington, specially intended for use in automotive ignition circuits.

Darlington monolithique de puissance spécialement conçu pour l'allumage électronique automobile

| | |
|---------------------|------------|
| V_{CEO} us | 400 V |
| V_{CE} sat (10 A) | ≤ 2 V |
| I_C | 15 A |
| P_{tot} (25°C) | 100 W |

ABSOLUTE RATINGS (LIMITING VALUES)
VALEURS LIMITES ABSOLUES D'UTILISATION

| | | | |
|--|-------------------|------------|------|
| Collector-emitter voltage <i>Tension collecteur-émetteur</i> | V_{CEO} us | 400 | V |
| Collector current <i>Courant collecteur</i> | I_C I_{CM} | 15 30 | A |
| Base current <i>Courant base</i> | I_B | 4 | A |
| Power dissipation <i>Dissipation de puissance</i> | P_{tot} | 100 | W |
| Junction temperature <i>Température de jonction</i> | T_j | - 65 + 150 | °C |
| Junction-case thermal resistance <i>Résistance thermique jonction-boîtier</i> | $R_{th(j-c)}$ | 1,25 | °C/W |

ELECTRICAL CHARACTERISTICS - CARACTÉRISTIQUES ÉLECTRIQUES **

| SYMBOLS | Min | Typ | Max | UNITS | TEST CONDITIONS - CONDITIONS DE MESURE |
|---------|-----|-----|-----|-------|--|
|---------|-----|-----|-----|-------|--|

OFF CHARACTERISTICS - CARACTÉRISTIQUES A L'ÉTAT BLOQUÉ

| | | | | | |
|-----------------------------------|-----|--|------|----|--|
| $V_{CEO}^{\text{sus}}\text{ (1)}$ | 400 | | | V | $I_C = 5 \text{ A}, I_B = 0, L = 15 \text{ mH}, V_{CEcl.} = 400 \text{ V}$ |
| I_{CEO} | | | 0,25 | mA | $I_B = 0, V_{CE} = 400 \text{ V}$ |

ON CHARACTERISTICS - CARACTÉRISTIQUES A L'ÉTAT CONDUCTEUR

| | | | | | |
|---------------|----|-----|---|--|---|
| h_{21E}^* | 20 | | | | $V_{CE} = 5 \text{ V}, I_C = 15 \text{ A}$ |
| V_{CEsat}^* | | 2 | V | | $I_C = 10 \text{ A}, I_B = 0,15 \text{ A}$ |
| | | 1,5 | | | $I_C = 7 \text{ A}, I_B = 0,07 \text{ A}$ |
| | | 2,9 | | | $T_{case} = -40 \text{ }^\circ\text{C}, I_C = 10 \text{ A}, I_B = 0,15 \text{ A}$ |
| | | 2,7 | | | $T_{case} = 25 \text{ }^\circ\text{C}$ |
| V_{BEsat}^* | | 3,5 | V | | $T_{case} = -40 \text{ }^\circ\text{C}$ |
| | | | | | $\left. \begin{array}{l} T_{case} = 25 \text{ }^\circ\text{C} \\ T_{case} = -40 \text{ }^\circ\text{C} \end{array} \right\} I_C = 10 \text{ A}, I_B = 0,15 \text{ A}$ |

(1)Collector-emitter voltage limited at $V_{CEcl.} = 400 \text{ V}$ by an auxiliary clamping circuit.*Limitation de la tension $V_{CEcl.} = 400 \text{ V}$ par système d'écrêtage.*** $T_{case} 25 \text{ }^\circ\text{C}$ Unless otherwise stated

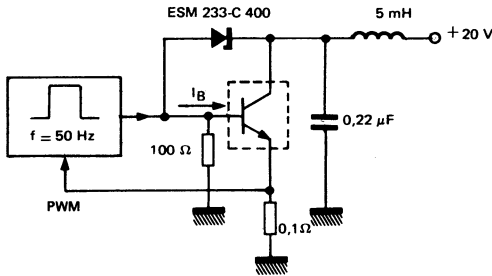


FIGURE 2 : Second breakdown fonctionnal test

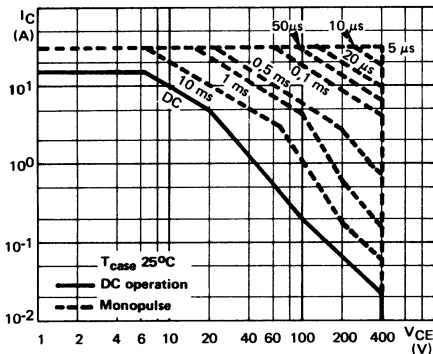


FIGURE 3 : DC and pulse area

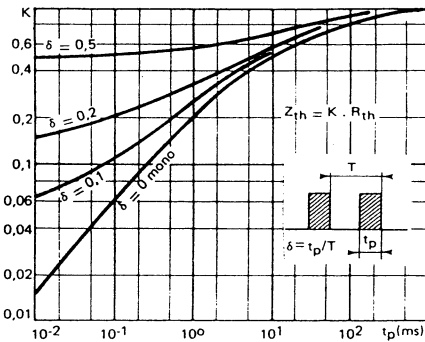


FIGURE 4 : Transient thermal response

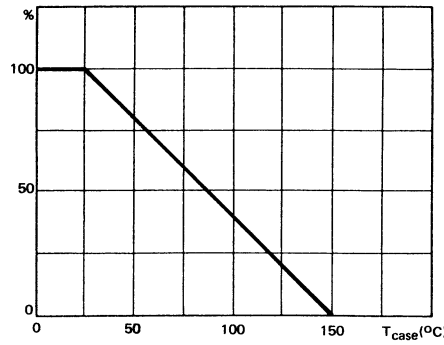


FIGURE 5 : Power derating vs case temperature



ADVANCE INFORMATION



HIGHER EFFICIENCY DUE TO :

- Faster switching times
- Lower switching losses
- Lower on state voltage drop
- Base current requirements

NEW DATA FOR WORST CASE DESIGN

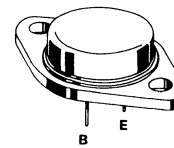
— Characteristics specified at 100 °C

NEW DATA FOR OPTIMAL DESIGN

- Very low saturation voltage and high gain for reduced load operation
- Turn-on and turn-off tail specifications
- Turn-on dI/dt for better rectifier choice
- Switching times specified with and without negative base drive

| | |
|---------------------|------------------|
| $V_{CEO(sus)}$ | 90 V |
| V_{CEV} | 160 V |
| V_{CEsat} | $\leq 0,9$ V |
| I_{Csat} | 15 A |
| I_{CSM} | 70 A |
| t_{fi} (100 °C) | $\leq 0,3 \mu s$ |

Case
Boîtier TO 3 (CB 19)

ABSOLUTE RATINGS (LIMITING VALUES)
VALEURS LIMITES ABSOLUES D'UTILISATION

| | | | |
|---|------------------------|------------|----|
| Collector-emitter voltage <i>Tension collecteur-émetteur</i> | V_{CEO} | 90 | V |
| Collector-emitter voltage <i>Tension collecteur-émetteur</i> | V_{CEV} | 160 | V |
| Emitter-base voltage <i>Tension émetteur-base</i> | V_{EBO} | 7 | V |
| Reverse bias base power dissipation (B-E junction in avalanche) <i>Dissipation de puissance base-émetteur en avalanche</i> | P_{base} | 1 | W |
| Collector current <i>Courant collecteur</i> | $I_C(RMS)$ I_{CM} | 25 45 | A |
| Base current <i>Courant base</i> | $I_B(RMS)$ I_{BM} | 6 9 | A |
| Power dissipation <i>Dissipation de puissance</i> | P_{tot} | 120 | W |
| Junction temperature <i>Température de jonction</i> | T_j | - 65 + 200 | °C |

| | | | | |
|--|-----|---------------|------|------|
| Thermal resistance junction-case <i>Résistance thermique jonction-boîtier</i> | max | $R_{th(j-c)}$ | 1,46 | °C/W |
|--|-----|---------------|------|------|

Novembre 1981 1/4

ELECTRICAL CHARACTERISTICS - CARACTÉRISTIQUES ÉLECTRIQUES **

| SYMBOLS | Min | Typ | Max | UNITS | TEST CONDITIONS - CONDITIONS DE MESURE |
|---------|-----|-----|-----|-------|--|
|---------|-----|-----|-----|-------|--|

OFF CHARACTERISTICS - CARACTÉRISTIQUES A L'ÉTAT BLOQUÉ

| | | | | | |
|---------------|----|--------|--|----|---|
| V_{CEO} | 90 | | | V | $I_B = 0, I_C = 0,2 \text{ A}, L = 25 \text{ mH}$ |
| $V_{(BR)EBO}$ | 7 | | | V | $I_C = 0, I_E = 50 \text{ mA}$ |
| I_{CEV} | | 1 5 | | mA | $T_j = 25^\circ\text{C}$ $T_j = 100^\circ\text{C}$ |
| I_{CER} | | 1 5 | | mA | $T_j = 25^\circ\text{C}$ $T_j = 100^\circ\text{C}$ |
| I_{EBO} | | 1 | | mA | $I_C = 0, V_{BE} = -5 \text{ V}$ |

ON CHARACTERISTICS - CARACTÉRISTIQUES A L'ÉTAT CONDUCTEUR

| | | | | | |
|---------------|-------------|------------|---|---|--|
| V_{CEsat}^* | 0,85 1,1 | 1,2 1,9 | V | $T_j = 25^\circ\text{C}$ $T_j = 100^\circ\text{C}$ | $I_C = 20 \text{ A}, I_B = 2,5 \text{ A}$ |
| V_{CEsat}^* | 0,65 0,8 | 0,9 1,5 | V | $T_j = 25^\circ\text{C}$ $T_j = 100^\circ\text{C}$ | $I_C = 15 \text{ A}, I_B = 1,5 \text{ A}$ |
| V_{CEsat}^* | 0,5 | 0,8 | V | $T_j = 25^\circ\text{C}$ $T_j = 100^\circ\text{C}$ | $I_C = 7,5 \text{ A}, I_B = 0,375 \text{ A}$ |
| V_{BEsat}^* | 1,6 1,7 | 1,9 2,1 | V | $T_j = 25^\circ\text{C}$ $T_j = 100^\circ\text{C}$ | $I_C = 20 \text{ A}, I_B = 2,5 \text{ A}$ |
| V_{BEsat}^* | 1,4 1,45 | 1,7 1,8 | V | $T_j = 25^\circ\text{C}$ $T_j = 100^\circ\text{C}$ | $I_C = 15 \text{ A}, I_B = 1,5 \text{ A}$ |

SWITCHING CHARACTERISTICS - CARACTÉRISTIQUES DE COMMUTATION **

SWITCHING TIMES ON RESISTIVE LOAD - TEMPS DE COMMUTATION SUR CHARGE RÉSISTIVE (fig.1)

| | | | | |
|-------|------|------|---------------|--|
| t_r | 0,75 | 1,1 | μs | $V_{CC} = 72 \text{ V}, I_C = 20 \text{ A}, I_B1 = 2,5 \text{ A}$ $R_B2 = 1 \Omega, V_{BB} = 5 \text{ V}, t_p = 30 \mu\text{s}$ |
| t_s | 0,55 | 1 | | |
| t_f | 0,12 | 0,25 | | |

TURN-ON SWITCHING CHARACTERISTICS - CARACTÉRISTIQUES DE COMMUTATION A LA MISE EN CONDUCTION (fig.2)

| | | | | | |
|--------------------------|------------|--|------------------|---|--|
| d_i/dt | 50 45 | | A/ μs | $T_j = 25^\circ\text{C}$ $T_j = 100^\circ\text{C}$ | $R_C = 0, V_{CC} = 72 \text{ V},$ $I_B1 = 2,25 \text{ A}$ |
| $V_{CE} (2 \mu\text{s})$ | 1,7 2 | | V | $T_j = 25^\circ\text{C}$ $T_j = 100^\circ\text{C}$ | $R_C = 4,8 \Omega$ |
| $V_{CE} (4 \mu\text{s})$ | 1,0 1,5 | | V | $T_j = 25^\circ\text{C}$ $T_j = 100^\circ\text{C}$ | $V_{CC} = 72 \text{ V}$ $I_B1 = 1,5 \text{ A}$ |

TURN-OFF SWITCHING CHARACTERISTICS - CARACTÉRISTIQUES DE COMMUTATION A L'OUVERTURE (fig.3)

ON INDUCTIVE LOAD - SUR CHARGE INDUCTIVE

| With negative bias - Avec polarisation négative | | | | | |
|---|--------------|------------|---------------|---|--|
| t_{si} | 0,75 0,95 | 1,2 1,4 | μs | $T_j = 25^\circ\text{C}$ $T_j = 100^\circ\text{C}$ | $I_C = 15 \text{ A}$ $I_B = 1,5 \text{ A}$ |
| t_{fi} | 0,09 0,15 | 0,2 0,3 | μs | $T_j = 25^\circ\text{C}$ $T_j = 100^\circ\text{C}$ | $V_{BB} = -5 \text{ V}$ $R_B2 = 1,7 \Omega$ |
| t_{ti} | 0,03 0,06 | | μs | $T_j = 25^\circ\text{C}$ $T_j = 100^\circ\text{C}$ | $V_{CC} = 72 \text{ V}$ $V_{clamp.} = 90 \text{ V}$ |
| t_c | 0,14 0,3 | | μs | $T_j = 25^\circ\text{C}$ $T_j = 100^\circ\text{C}$ | $L_C = 0,25 \text{ mH}$ |

Without negative bias - Sans polarisation négative

| | | | | | |
|----------|--------------|--|---------------|---|---|
| t_{si} | 1,4 1,85 | | μs | $T_j = 25^\circ\text{C}$ $T_j = 100^\circ\text{C}$ | $I_C = 15 \text{ A}$ $I_B = 1,5 \text{ A}$ |
| t_{fi} | 0,7 1 | | μs | $T_j = 25^\circ\text{C}$ $T_j = 100^\circ\text{C}$ | $V_{BB} = 0 \text{ V}$ $R_B2 = 3,9 \Omega$ |
| t_{ti} | 0,22 0,44 | | μs | $T_j = 25^\circ\text{C}$ $T_j = 100^\circ\text{C}$ | $V_{CC} = 72 \text{ V}$ $V_{clamp.} = 90 \text{ V}$ $L_C = 0,25 \text{ mH}$ |

** $T_j = 25^\circ\text{C}$ Unless otherwise stated* Pulsed Impulsions $t_p \leq 300 \mu\text{s}$ $\delta \leq 2\%$

FIGURE 1 : SWITCHING TIMES TEST CIRCUIT (RESISTIVE LOAD)

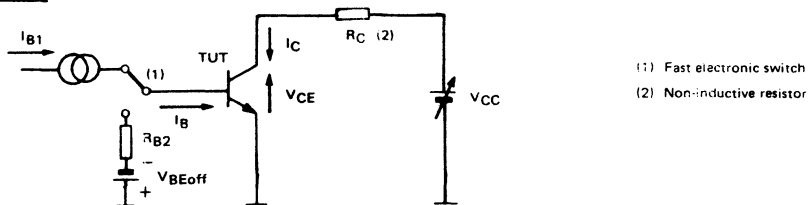


FIGURE 2 : TURN-ON SWITCHING WAVEFORMS

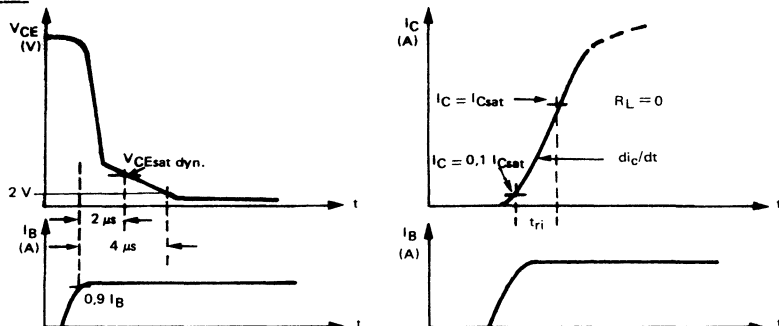


FIGURE 3 a : TURN-OFF SWITCHING TEST CIRCUIT

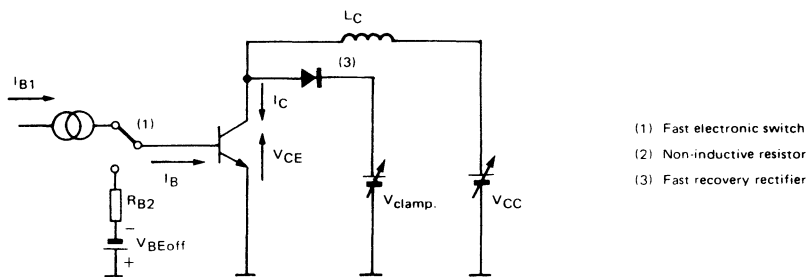
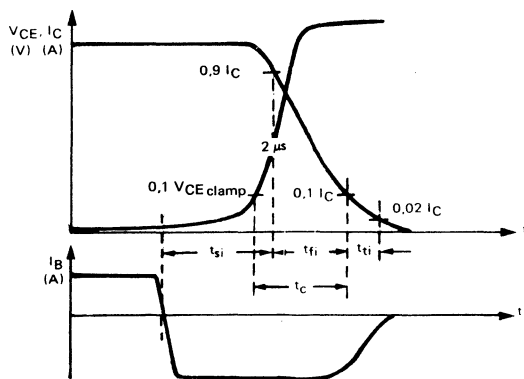
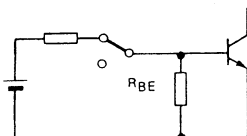
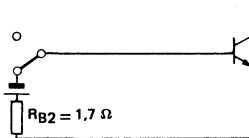


FIGURE 3 b : TURN-OFF SWITCHING WAVEFORMS (INDUCTIVE LOAD)

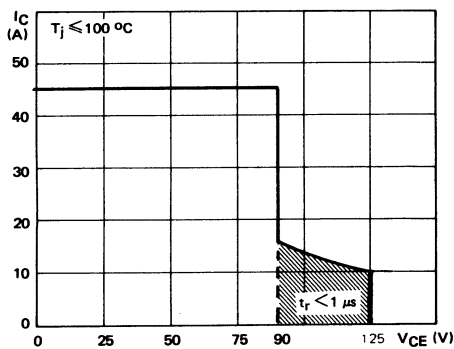


**TRANSISTOR FORWARD BIASED**

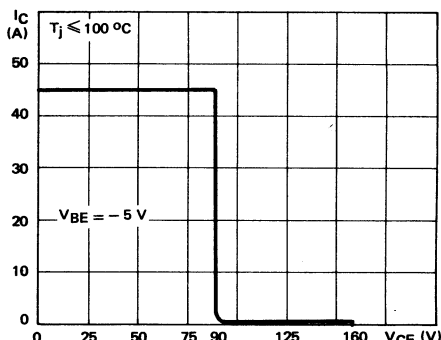
- During the turn on
- During the turn off without negative base-emitter voltage and $3,9 \Omega \leq R_{BE} \leq 50 \Omega$

**TRANSISTOR REVERSE BIASED**

- During the turn off with negative base-emitter voltage

**FIGURE 4 : Forward biased safe operating area (FBSOA)**

The hatched zone can only be used for turn-on
La zone hachurée ne doit être utilisée que pour la mise en conduction

**FIGURE 5 : Reverse biased safe operating area (RBSOA)**

ADVANCE INFORMATION



HIGHER EFFICIENCY DUE TO :

- Faster switching times
- Lower switching losses
- Lower on state voltage drop
- Base current requirements

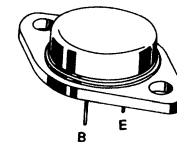
NEW DATA FOR WORST CASE DESIGN

- Characteristics specified at 100 °C

NEW DATA FOR OPTIMAL DESIGN

- Very low saturation voltage and high gain for reduced load operation
- Turn-on and turn-off tail specifications
- Turn-on dI/dt for better rectifier choice
- Switching times specified with and without negative base drive

| | |
|----------------------------|----------|
| V _{CEO} ous | 125 V |
| V _{CEV} | 250 V |
| V _{CEsat} | ≤ 0,9 V |
| I _{Csat} | 11 A |
| I _{CSM} | 50 A |
| t _{fi} (100 °C) | ≤ 0,3 µs |

Case
Boîtier TO 3 (CB 19)ABSOLUTE RATINGS (LIMITING VALUES)
VALEURS LIMITES ABSOLUES D'UTILISATION

| | | | |
|--|--|------------|----|
| Collector-emitter voltage <i>Tension collecteur-émetteur</i> | V _{CEO} | 125 | V |
| Collector-emitter voltage <i>Tension collecteur-émetteur</i> | V _{CEV} | 250 | V |
| Emitter-base voltage <i>Tension émetteur-base</i> | V _{EBO} | 7 | V |
| Collector current <i>Courant collecteur</i> | I _{C(RMS)} I _{CM} | 20 30 | A |
| Base current <i>Courant base</i> | I _{B(RMS)} I _{BM} | 4 6 | A |
| Reverse bias base power dissipation (B.E. junction in avalanche) <i>Dissipation de puissance base-émetteur en avalanche</i> | P _{base} | 1 | W |
| Power dissipation <i>Dissipation de puissance</i> | P _{tot} | 120 | W |
| Junction temperature <i>Température de jonction</i> | T _j | - 65 + 200 | °C |

| | | | |
|--|----------------------|------|------|
| Thermal resistance junction-case <i>Résistance thermique jonction-boîtier</i> | R _{th(j-c)} | 1,46 | °C/W |
|--|----------------------|------|------|

ELECTRICAL CHARACTERISTICS - CARACTÉRISTIQUES ÉLECTRIQUES **

| SYMBOLS | Min | Typ | Max | UNITS | TEST CONDITIONS - CONDITIONS DE MESURE |
|---|-----|-----|--------|-------|---|
| OFF CHARACTERISTICS - CARACTÉRISTIQUES A L'ÉTAT BLOQUÉ | | | | | |
| V_{CEO} | 125 | | | V | $I_B = 0, I_C = 0,2 \text{ A}, L = 25 \text{ mH}$ |
| $V_{(BR)EBO}$ | 7 | | | V | $I_C = 0, I_E = 50 \text{ mA}$ |
| I_{CEV} | | | 1 5 | mA | $T_j = 25^\circ\text{C}$ $T_j = 100^\circ\text{C}$ |
| I_{CEV} | | | 1 5 | mA | $T_j = 25^\circ\text{C}$ $T_j = 100^\circ\text{C}$ |
| I_{EBO} | | | 1 | mA | $I_C = 0, V_{BE} = -5 \text{ V}$ |

ON CHARACTERISTICS - CARACTÉRISTIQUES A L'ÉTAT CONDUCTEUR

| | | | | | | |
|---------------|--|-------------|------------|---|---|--|
| V_{CEsat} * | | 0,9 1,1 | 1,3 1,9 | V | $T_j = 25^\circ\text{C}$ $T_j = 100^\circ\text{C}$ | $I_C = 15 \text{ A}, I_B = 1,875 \text{ A}$ |
| V_{CEsat} * | | 0,65 0,8 | 0,9 1,5 | V | $T_j = 25^\circ\text{C}$ $T_j = 100^\circ\text{C}$ | $I_C = 11 \text{ A}, I_B = 1,1 \text{ A}$ |
| V_{CEsat} * | | 0,5 0,5 | 0,8 0,8 | V | $T_j = 25^\circ\text{C}$ $T_j = 100^\circ\text{C}$ | $I_C = 5,5 \text{ A}, I_B = 0,275 \text{ A}$ |
| V_{BEsat} * | | 1,5 1,6 | 1,9 2 | V | $T_j = 25^\circ\text{C}$ $T_j = 100^\circ\text{C}$ | $I_C = 15 \text{ A}, I_B = 1,875 \text{ A}$ |
| V_{BEsat} * | | 1,3 1,35 | 1,6 1,7 | V | $T_j = 25^\circ\text{C}$ $T_j = 100^\circ\text{C}$ | $I_C = 11 \text{ A}, I_B = 1,1 \text{ A}$ |

SWITCHING CHARACTERISTICS - CARACTÉRISTIQUES DE COMMUTATION

SWITCHING TIMES ON RESISTIVE LOAD - TEMPS DE COMMUTATION SUR CHARGE RÉSISTIVE (fig.1)

| | | | | | |
|-------|--|------|-----|---------------|--|
| t_r | | 0,65 | 1 | μs | $V_{CC} = 100 \text{ V}, I_C = 15 \text{ A}, I_{B1} = 1,8 \text{ A}$ $R_{B2} = 1,3 \Omega, V_{BB} = -5 \text{ V}, t_p = 30 \mu\text{s}$ |
| t_s | | 0,6 | 1 | | |
| t_f | | 0,14 | 0,3 | | |

TURN-ON SWITCHING CHARACTERISTICS - CARACTÉRISTIQUES DE COMMUTATION A LA MISE EN CONDUCTION (fig.2)

| | | | | | | |
|-----------------------------|--|------------|--|------------------|---|---|
| dI_c/dt | | 45 40 | | A/ μs | $T_j = 25^\circ\text{C}$ $T_j = 100^\circ\text{C}$ | $R_C = 0, V_{CC} = 100 \text{ V},$ $I_{B1} = 1,65 \text{ A}$ |
| V_{CE} (2 μs) | | 2 2,6 | | V | $T_j = 25^\circ\text{C}$ $T_j = 100^\circ\text{C}$ | $R_C = 9 \Omega$ $V_{CC} = 100 \text{ V}$ |
| V_{CE} (4 μs) | | 1,1 1,6 | | V | $T_j = 25^\circ\text{C}$ $T_j = 100^\circ\text{C}$ | $I_{B1} = 1,1 \text{ A}$ |

TURN-OFF SWITCHING CHARACTERISTICS - CARACTÉRISTIQUES DE COMMUTATION A L'OUVERTURE (fig. 3)

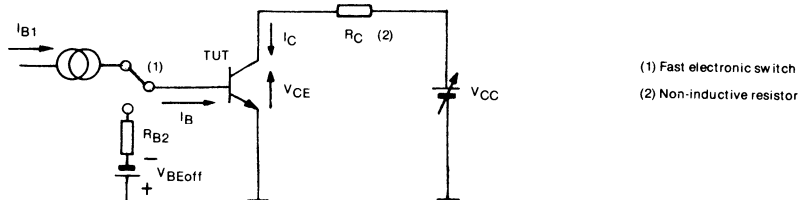
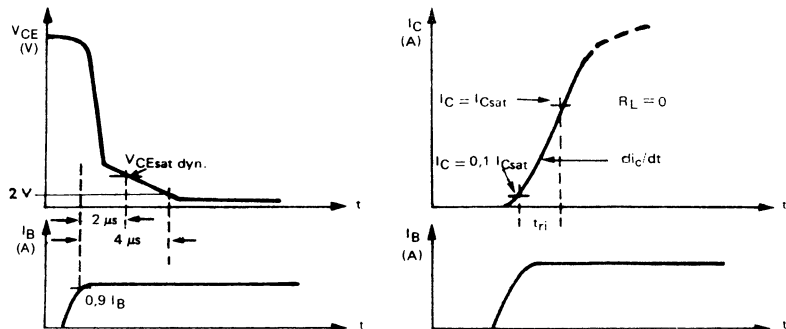
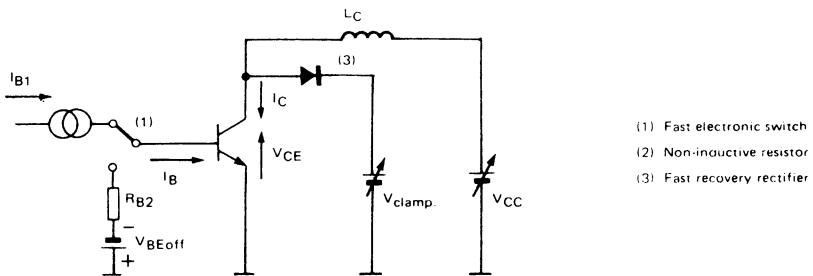
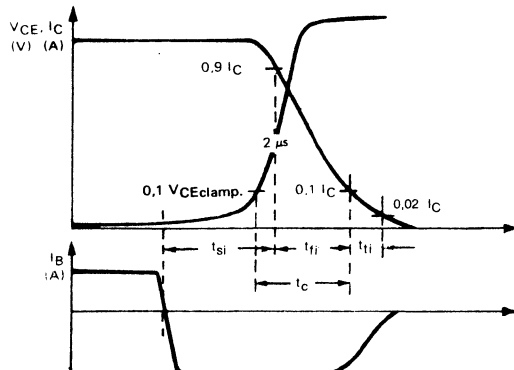
ON INDUCTIVE LOAD - SUR CHARGE INDUCTIVE

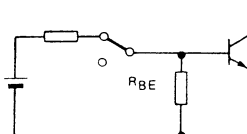
| | | | | | |
|--|--|--------------|------------|---------------|---|
| With negative bias - Avec polarisation négative | | | | | |
| t_{si} | | 0,75 0,95 | 1,2 1,4 | μs | $T_j = 25^\circ\text{C}$ $T_j = 100^\circ\text{C}$ |
| t_{fi} | | 0,08 0,14 | 0,2 0,3 | μs | $T_j = 25^\circ\text{C}$ $T_j = 100^\circ\text{C}$ |
| t_{ti} | | 0,02 0,04 | | μs | $T_j = 25^\circ\text{C}$ $T_j = 100^\circ\text{C}$ |
| t_c | | 0,15 0,3 | | μs | $T_j = 25^\circ\text{C}$ $T_j = 100^\circ\text{C}$ |

Without negative bias - Sans polarisation négative

| | | | | | | |
|----------|--|------------|--|---------------|---|--|
| t_{si} | | 1,8 2,5 | | μs | $T_j = 25^\circ\text{C}$ $T_j = 100^\circ\text{C}$ | $I_C = 11 \text{ A}$ $I_{B1} = 1,1 \text{ A}$ $V_{BB} = 0 \text{ V}$ $R_{B2} = 4,7 \Omega$ $V_{CC} = 100 \text{ V}$ $V_{clamp.} = 125 \text{ V}$ $L_C = 0,25 \text{ mH}$ |
| t_{fi} | | 0,7 1 | | μs | $T_j = 25^\circ\text{C}$ $T_j = 100^\circ\text{C}$ | |
| t_{ti} | | 0,2 0,4 | | μs | $T_j = 25^\circ\text{C}$ $T_j = 100^\circ\text{C}$ | |

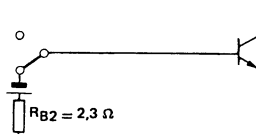
** $T_j = 25^\circ\text{C}$ Unless otherwise stated* Pulsed Impulsions $t_p \leq 300 \mu\text{s}$ $\delta \leq 2 \%$

FIGURE 1 : SWITCHING TIMES TEST CIRCUIT (RESISTIVE LOAD)FIGURE 2: TURN-ON SWITCHING WAVEFORMSFigure 3 a : TURN-OFF SWITCHING TEST CIRCUITFigure 3 b : TURN-OFF SWITCHING WAVEFORMS (INDUCTIVE LOAD)



TRANSISTOR FORWARD BIASED

- During the turn on
- During the turn off without negative base-emitter voltage and $4.7 \Omega \leq R_{BE} \leq 50 \Omega$



TRANSISTOR REVERSE BIASED

- During the turn off with negative base-emitter voltage

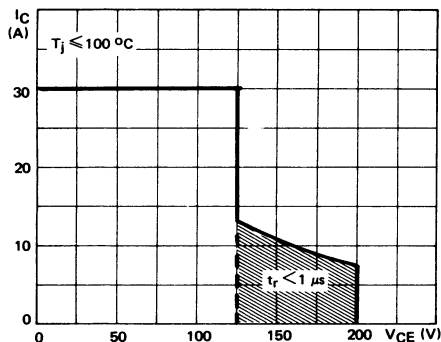


FIGURE 4 : Forward biased safe operating area (FBSOA)

The hatched zone can only be used for turn-on
La zone hachurée ne doit être utilisée que pour la mise en conduction

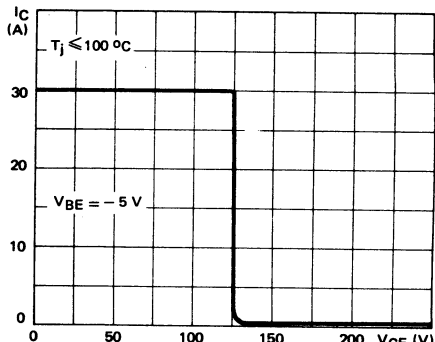


FIGURE 5 : Reverse biased safe operating area (RBSOA)

ADVANCE INFORMATION



HIGHER EFFICIENCY DUE TO :

- Faster switching times
- Lower switching losses
- Lower on state voltage drop
- Less base current requirements

NEW DATA FOR WORST CASE DESIGN

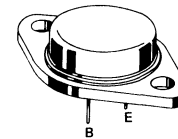
— Characteristics specified at 100°C

NEW DATA FOR OPTIMAL DESIGN

- Very low saturation voltage and high gain for reduced load operation
- Turn-on and turn-off tail specifications
- Turn-on dI/dt for better rectifier choice
- Switching times specified with and without negative base drive

| | |
|-----------------------------|---------------|
| $V_{CEO(sus)}$ | 200 V |
| V_{CEV} | 300 V |
| V_{CESat} | $\leq 0,9$ V |
| I_{CSat} | 6 A |
| I_{CSM} | 45 A |
| $t_{fj}(100^\circ\text{C})$ | ≤ 250 ns |

Case
Boîtier TO 3 (CB 19)

ABSOLUTE RATINGS (LIMITING VALUES)
VALEURS LIMITES ABSOLUES D'UTILISATION

| | | | |
|--|-------------------------------|-------------|----|
| Collector-emitter voltage <i>Tension collecteur-émetteur</i> | V_{CEO} | 200 | V |
| Collector-emitter voltage <i>Tension collecteur-émetteur</i> | V_{CEV} | 300 | V |
| Emitter-base voltage <i>Tension émetteur-base</i> | V_{EBO} | 7 | V |
| Collector current <i>Courant collecteur</i> | $I_C(\text{RMS})$ I_{CM} | 15 20 | A |
| Base current <i>Courant base</i> | $I_B(\text{RMS})$ I_{BM} | 3 5 | A |
| Reverse bias base power dissipation(B-E junction in avalanche) <i>Dissipation de puissance base-émetteur en avalanche</i> | P_{base} | 1 | W |
| Power dissipation <i>Dissipation de puissance</i> | P_{tot} | 120 | W |
| Junction temperature <i>Température de jonction</i> | T_j | $-65 + 200$ | °C |

| | | | | |
|--|-----|---------------|------|------|
| Thermal resistance junction-case <i>Résistance thermique jonction-boîtier</i> | max | $R_{th(j-c)}$ | 1,46 | °C/W |
|--|-----|---------------|------|------|

ELECTRICAL CHARACTERISTICS - CARACTERISTIQUES ELECTRIQUES

| SYMBOLS | Min | Typ | Max | UNITS | TEST CONDITIONS - CONDITIONS DE MESURE |
|---|-----|-----|------------|-------|--|
| OFF CHARACTERISTICS - CARACTERISTIQUES A L'ETAT BLOQUE | | | | | |
| $V_{CEO_{sus}}$ | 200 | | | V | $I_B = 0$, $I_C = 0,2 \text{ A}$, $L = 25 \text{ mH}$ |
| $V_{(BR)EBO}$ | 7 | | | V | $I_C = 0$, $I_E = 50 \text{ mA}$ |
| I_{CEV} | | | 0,5 2 | mA | $T_j = 25^\circ\text{C}$ $T_j = 100^\circ\text{C}$ $V_{CE} = V_{CEV}$, $V_{BE} = -1,5 \text{ V}$ |
| I_{CER} | | | 0,5 2,5 | mA | $T_j = 25^\circ\text{C}$ $T_j = 100^\circ\text{C}$ $V_{CE} = V_{CEV}$, $R_{BE} = 10 \Omega$ |
| I_{EBO} | | 1 | | mA | $I_C = 0$, $V_{BE} = -5 \text{ V}$ |

ON CHARACTERISTICS - CARACTERISTIQUES A L'ETAT CONDUCTEUR

| | | | | | |
|------------------|--------------|------------|--|---|--|
| $V_{CE_{sat}}^*$ | 0,55 0,65 | 1,2 1,3 | | V | $T_j = 25^\circ\text{C}$ $T_j = 100^\circ\text{C}$ $I_C = 8 \text{ A}$, $I_B = 1 \text{ A}$ |
| $V_{CE_{sat}}^*$ | 0,45 0,55 | 0,9 1 | | V | $T_j = 25^\circ\text{C}$ $T_j = 100^\circ\text{C}$ $I_C = 6 \text{ A}$, $I_B = 0,6 \text{ A}$ |
| $V_{CE_{sat}}^*$ | 0,3 0,3 | 0,6 0,6 | | V | $T_j = 25^\circ\text{C}$ $T_j = 100^\circ\text{C}$ $I_C = 3 \text{ A}$, $I_B = 0,15 \text{ A}$ |
| $V_{BE_{sat}}^*$ | 1,3 1,3 | 1,8 1,8 | | V | $T_j = 25^\circ\text{C}$ $T_j = 100^\circ\text{C}$ $I_C = 8 \text{ A}$, $I_B = 1 \text{ A}$ |
| $V_{BE_{sat}}^*$ | 1,15 1,15 | 1,6 1,6 | | V | $T_j = 25^\circ\text{C}$ $T_j = 100^\circ\text{C}$ $I_C = 6 \text{ A}$, $I_B = 0,6 \text{ A}$ |

SWITCHING CHARACTERISTICS - CARACTERISTIQUES DE COMMUTATION**

SWITCHING TIMES ON RESISTIVE LOAD - TEMPS DE COMMUTATION SUR CHARGE RESISTIVE

| | | | | | |
|-------|--|------|-----|---------------|--|
| t_r | | 0,3 | 0,5 | μs | $V_{CC} = 160 \text{ V}$, $I_C = 8 \text{ A}$, $I_B = 1 \text{ A}$, $V_{BB} = -5 \text{ V}$, $R_{B2} = 2,5 \Omega$, $t_p = 30 \mu\text{s}$ |
| t_s | | 0,6 | 1,2 | μs | |
| t_f | | 0,12 | 0,3 | μs | |

TURN-ON SWITCHING CHARACTERISTICS - CARACTERISTIQUES DE COMMUTATION A LA MISE EN CONDUCTION

| | | | | | |
|-------------------------|--------------|--|------------------|---|--|
| di/dt | 33 28 | | A/ μs | $T_j = 25^\circ\text{C}$ $T_j = 100^\circ\text{C}$ | $V_{CC} = 160 \text{ V}$, $R_C = 0$, $I_B = 0,9 \text{ A}$ |
| $V_{CE}(2 \mu\text{s})$ | 1,05 1,53 | | V | $T_j = 25^\circ\text{C}$ $T_j = 100^\circ\text{C}$ | $V_{CC} = 160 \text{ V}$, $R_C = 27 \Omega$, $I_B = 0,6 \text{ A}$ |
| $V_{CE}(4 \mu\text{s})$ | 0,75 0,95 | | V | $T_j = 25^\circ\text{C}$ $T_j = 100^\circ\text{C}$ | |

TURN-OFF SWITCHING CHARACTERISTICS - CARACTERISTIQUES DE COMMUTATION A L'OUVERTURE

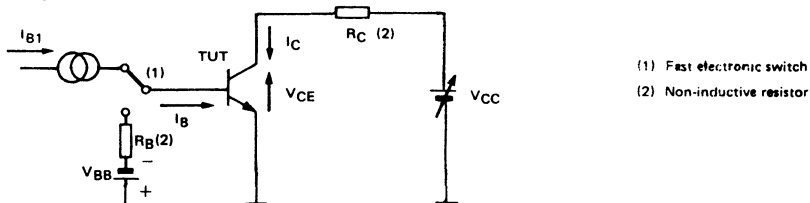
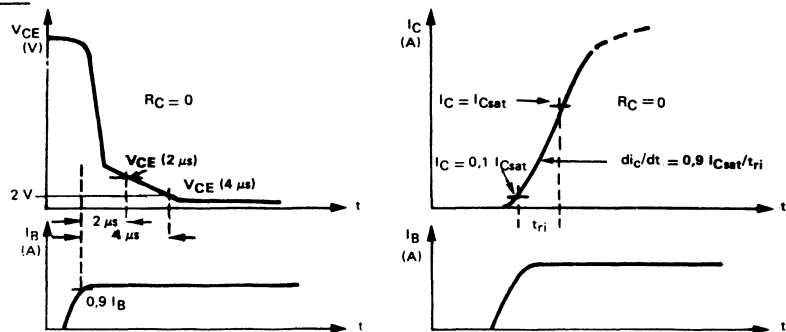
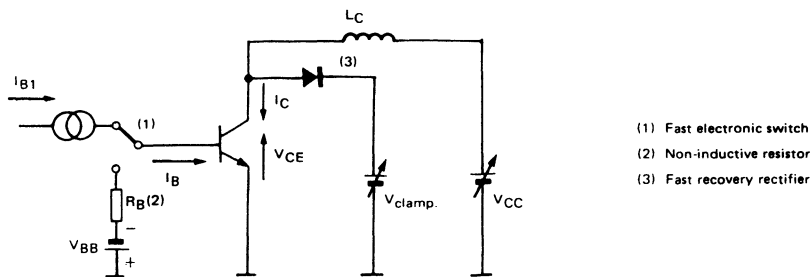
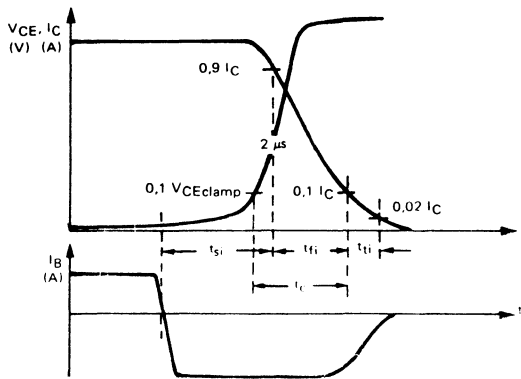
ON INDUCTIVE LOAD - SUR CHARGE INDUCTIVE

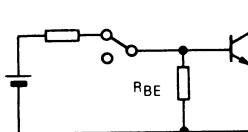
| | | | | | |
|---|--------------|-------------|---------------|---|---|
| With negative bias - Avec polarisation négative | | | | | |
| t_{si} | 0,75 1,2 | 1,2 1,7 | μs | $T_j = 25^\circ\text{C}$ $T_j = 100^\circ\text{C}$ | $I_C = 6 \text{ A}$ $I_B = 0,6 \text{ A}$ |
| t_{fi} | 0,08 0,12 | 0,2 0,25 | μs | $T_j = 25^\circ\text{C}$ $T_j = 100^\circ\text{C}$ | $V_{BB} = -5 \text{ V}$ $R_B = 4,2 \Omega$ |
| t_{ti} | 0,01 0,03 | | μs | $T_j = 25^\circ\text{C}$ $T_j = 100^\circ\text{C}$ | $V_{CC} = 160 \text{ V}$ $V_{clamp} = 200 \text{ V}$ |
| t_c | 0,12 0,22 | | μs | $T_j = 25^\circ\text{C}$ $T_j = 100^\circ\text{C}$ | $L_C = 1,3 \text{ mH}$ |

Without negative base - Sans polarisation négative

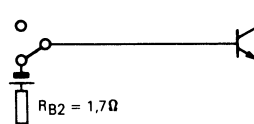
| | | | | | |
|----------|--------------|--|---------------|---|---|
| t_{si} | 1,8 3,3 | | μs | $T_j = 25^\circ\text{C}$ $T_j = 100^\circ\text{C}$ | $I_C = 6 \text{ A}$ $I_B = 0,6 \text{ A}$ |
| t_{fi} | 0,45 0,8 | | μs | $T_j = 25^\circ\text{C}$ $T_j = 100^\circ\text{C}$ | $V_{BB} = 0 \text{ V}$ $R_B = 6,8 \Omega$ |
| t_{ti} | 0,15 0,44 | | μs | $T_j = 25^\circ\text{C}$ $T_j = 100^\circ\text{C}$ | $V_{CC} = 160 \text{ V}$ $V_{clamp} = 200 \text{ V}$ $L_C = 1,3 \text{ mH}$ |

** $T_j = 25^\circ\text{C}$ Unless otherwise stated* Pulses
Impulsions

FIGURE 1 : SWITCHING TIMES TEST CIRCUIT (RESISTIVE LOAD)FIGURE 2 : TURN-ON SWITCHING WAVEFORMSFIGURE 3 a : TURN-OFF SWITCHING TEST CIRCUITFIGURE 3 b : TURN-OFF SWITCHING WAVEFORMS (INDUCTIVE LOAD)

**TRANSISTOR FORWARD BIASED**

- During the turn-on
- During the turn-off without negative base-emitter voltage and $6.8\Omega < R_{BE} < 50\Omega$

**TRANSISTOR REVERSE BIASED**

- During the turn-off with negative base-emitter voltage

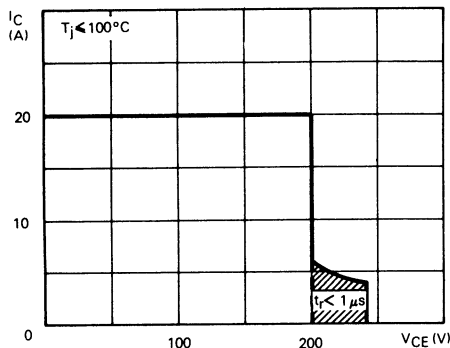


FIGURE 4 : Forward biased safe operating area (FBSOA)

The hatched zone can only be used for turn-on
La zone hachurée ne doit être utilisée que pour la mise en conduction

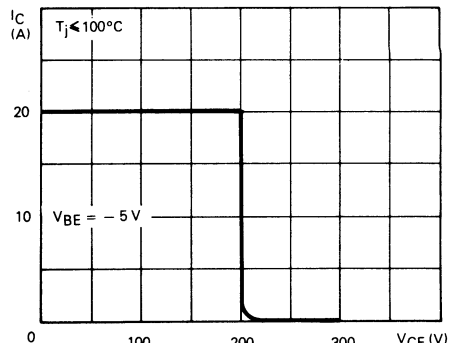


FIGURE 5 : Reverse biased safe operating area (RBSOA)

ADVANCE INFORMATION



HIGHER EFFICIENCY DUE TO :

- Faster switching times
- Lower switching losses
- Lower on state voltage drop
- Less base current requirements

NEW DATA FOR WORST CASE DESIGN

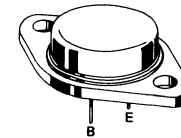
- Characteristics specified at 100°C

NEW DATA FOR OPTIMAL DESIGN

- Very low saturation voltage and high gain for reduced load operation
- Turn-on and turn-off tail specifications
- Turn-on dI_c/dt for better rectifier choice
- Switching times specified with and without negative base drive

| | |
|-----------------------------|---------------|
| V_{CEO}^{sus} | 250 V |
| V_{CEV} | 350 V |
| V_{CEsat} | $\leq 0,9$ V |
| I_{Csat} | 4 A |
| I_{CSM} | 35 A |
| $t_{fj}(100^\circ\text{C})$ | ≤ 400 ns |

Case
Boîtier TO 3 (CB 19)



ABSOLUTE RATINGS (LIMITING VALUES)

VALEURS LIMITES ABSOLUES D'UTILISATION

| | | | |
|--|----------------------------------|-----------|----|
| Collector-emitter voltage <i>Tension collecteur-émetteur</i> | V_{CEO} | 250 | V |
| Collector-emitter voltage <i>Tension collecteur-émetteur</i> | V_{CEV} | 350 | V |
| Emitter-base voltage <i>Tension émetteur-base</i> | V_{EBO} | 7 | V |
| Collector current <i>Courant collecteur</i> | $I_C^{(\text{RMS})}$ I_{CM} | 12 18 | A |
| Base current <i>Courant base</i> | $I_B^{(\text{RMS})}$ I_{BM} | 2,5 4 | A |
| Reverse bias base power dissipation(B.E junction in avalanche) <i>Dissipation de puissance base-émetteur en avalanche</i> | P_{base} | 1 | W |
| Power dissipation <i>Dissipation de puissance</i> | P_{tot} | 120 | W |
| Junction temperature <i>Température de jonction</i> | T_j | -65 + 200 | °C |

Thermal resistance junction-case
Résistance thermique jonction-boîtier

max

$R_{th(j-c)}$

1,46

°C/W

June 1982 1/4

BUV 42

ELECTRICAL CHARACTERISTICS - CARACTERISTIQUES ELECTRIQUES

| SYMBOLS | Min | Typ | Max | UNITS | TEST CONDITIONS - CONDITIONS DE MESURE |
|---------|-----|-----|-----|-------|--|
|---------|-----|-----|-----|-------|--|

OFF CHARACTERISTICS - CARACTERISTIQUES A L'ETAT BLOQUE

| | | | | | |
|---------------|-----|--|------------|----|--|
| V_{CEO} | 250 | | | V | $I_B = 0$, $I_C = 0,2 \text{ A}$, $L = 25 \text{ mH}$ |
| $V_{(BR)EBO}$ | 7 | | | V | $I_C = 0$, $I_E = 50 \text{ mA}$ |
| I_{CEV} | | | 0,5 2 | mA | $T_j = 25^\circ\text{C}$ $T_j = 100^\circ\text{C}$ $V_{CE} = V_{CEV}$, $V_{BE} = -1,5 \text{ V}$ |
| I_{CER} | | | 0,5 2,5 | mA | $T_j = 25^\circ\text{C}$ $T_j = 100^\circ\text{C}$ $V_{CE} = V_{CEV}$, $R_{BE} = 10 \Omega$ |
| I_{EBO} | | | 1 | mA | $I_C = 0$, $V_{BE} = -5 \text{ V}$ |

ON CHARACTERISTICS - CARACTERISTIQUES A L'ETAT CONDUCTEUR

| | | | | | |
|---------------|--------------|------------|---|---|--|
| V_{CESat}^* | 0,5 0,6 | 1,2 1,3 | V | $T_j = 25^\circ\text{C}$ $T_j = 100^\circ\text{C}$ | $I_C = 6 \text{ A}$, $I_B = 0,75 \text{ A}$ |
| V_{CESat}^* | 0,4 0,45 | 0,9 1 | V | $T_j = 25^\circ\text{C}$ $T_j = 100^\circ\text{C}$ | $I_C = 4 \text{ A}$, $I_B = 0,4 \text{ A}$ |
| V_{CESat}^* | 0,25 0,25 | 0,6 0,6 | V | $T_j = 25^\circ\text{C}$ $T_j = 100^\circ\text{C}$ | $I_C = 2 \text{ A}$, $I_B = 0,13 \text{ A}$ |
| V_{BESat}^* | 1,1 1,1 | 1,5 1,5 | V | $T_j = 25^\circ\text{C}$ $T_j = 100^\circ\text{C}$ | $I_C = 6 \text{ A}$, $I_B = 0,75 \text{ A}$ |
| V_{BESat}^* | 1 0,9 | 1,3 1,3 | V | $T_j = 25^\circ\text{C}$ $T_j = 100^\circ\text{C}$ | $I_C = 4 \text{ A}$, $I_B = 0,4 \text{ A}$ |

SWITCHING CHARACTERISTICS - CARACTERISTIQUES DE COMMUTATION**

SWITCHING TIMES ON RESISTIVE LOAD - TEMPS DE COMMUTATION SUR CHARGE RESISTIVE

| | | | | | |
|-------|--|------|-----|---------------|--|
| t_r | | 0,3 | 0,6 | μs | $V_{CC} = 200 \text{ V}$, $I_C = 6 \text{ A}$, $I_{B1} = 0,75 \text{ A}$ $V_{BB} = -5 \text{ V}$, $R_{B2} = 3,3 \Omega$, $t_p = 30 \mu\text{s}$ |
| t_s | | 1 | 1,6 | μs | |
| t_f | | 0,15 | 0,3 | μs | |

TURN-ON SWITCHING CHARACTERISTICS - CARACTERISTIQUES DE COMMUTATION A LA MISE EN CONDUCTION

| | | | | | |
|-------------------------|------------|--|------------------|---|---|
| dI_c/dt | 40 35 | | A/ μs | $T_j = 25^\circ\text{C}$ $T_j = 100^\circ\text{C}$ | $V_{CC} = 200 \text{ V}$, $R_C = 0$, $I_{B1} = 0,6 \text{ A}$ |
| $V_{CE}(2 \mu\text{s})$ | 1,7 2,5 | | V | $T_j = 25^\circ\text{C}$ $T_j = 100^\circ\text{C}$ | $V_{CC} = 200 \text{ V}$, $R_C = 50 \Omega$, $I_{B1} = 0,4 \text{ A}$ |
| $V_{CE}(4 \mu\text{s})$ | 0,9 1,1 | | V | $T_j = 25^\circ\text{C}$ $T_j = 100^\circ\text{C}$ | |

TURN-OFF SWITCHING CHARACTERISTICS - CARACTERISTIQUES DE COMMUTATION A L'OUVERTURE

ON INDUCTIVE LOAD - SUR CHARGE INDUCTIVE

| With negative bias - Avec polarisation négative | | | | | |
|---|--|--------------|------------|---------------|---|
| t_{si} | | 1,2 1,8 | 1,8 2,4 | μs | $T_j = 25^\circ\text{C}$ $T_j = 100^\circ\text{C}$ $I_C = 4 \text{ A}$ $I_B = 0,4 \text{ A}$ |
| t_{fi} | | 0,08 0,2 | 0,2 0,4 | μs | $T_j = 25^\circ\text{C}$ $T_j = 100^\circ\text{C}$ $V_{BB} = -5 \text{ V}$ $R_{B2} = 6,3 \Omega$ |
| t_{ti} | | 0,03 0,08 | | μs | $T_j = 25^\circ\text{C}$ $T_j = 100^\circ\text{C}$ $V_{CC} = 200 \text{ V}$ $V_{clamp} = 250 \text{ V}$ |
| t_c | | 0,15 0,4 | | μs | $T_j = 25^\circ\text{C}$ $T_j = 100^\circ\text{C}$ $L_C = 2,5 \text{ mH}$ |

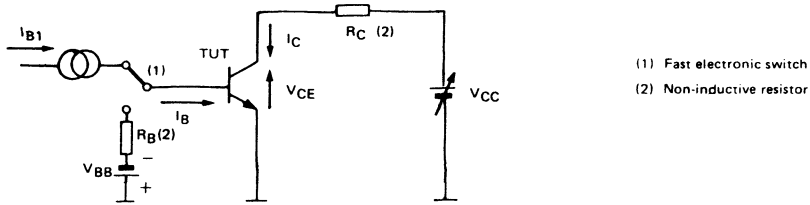
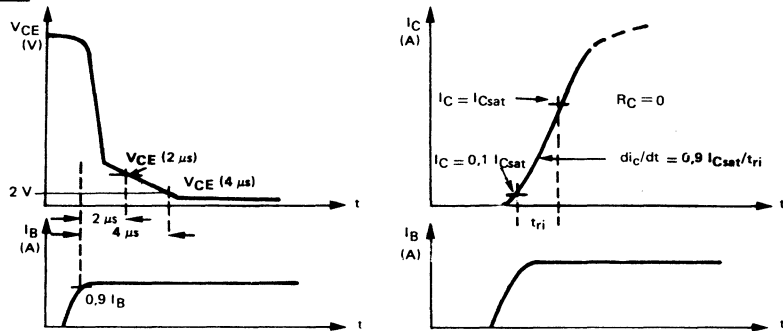
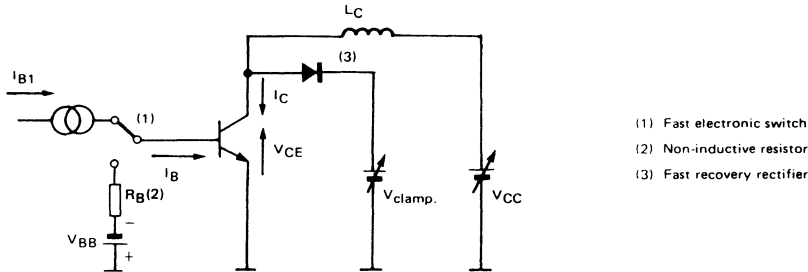
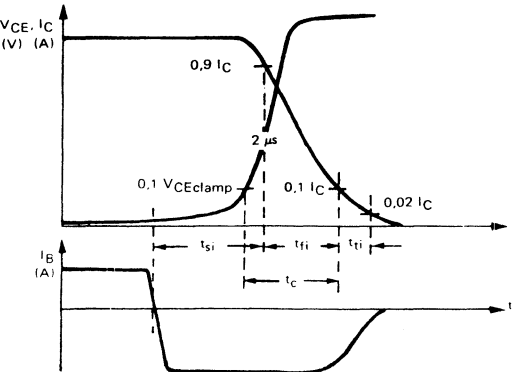
Without negative bias - Sans polarisation négative

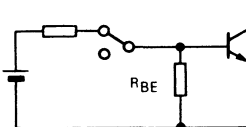
| | | | | | |
|----------|--|-------------|--|---------------|---|
| t_{si} | | 2,5 4,8 | | μs | $T_j = 25^\circ\text{C}$ $T_j = 100^\circ\text{C}$ $I_C = 4 \text{ A}$ $I_B = 0,4 \text{ A}$ |
| t_{fi} | | 0,4 0,7 | | μs | $T_j = 25^\circ\text{C}$ $T_j = 100^\circ\text{C}$ $V_{BB} = 0$ $R_{B2} = 7,5 \Omega$ |
| t_{ti} | | 0,15 0,4 | | μs | $T_j = 25^\circ\text{C}$ $T_j = 100^\circ\text{C}$ $V_{CC} = 200 \text{ V}$ $V_{clamp} = 250 \text{ V}$ $L_C = 2,5 \text{ mH}$ |

2/4 ** $T_j = 25^\circ\text{C}$ Unless otherwise stated

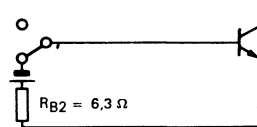
*Pulses

Impulsions $t_p \leqslant 300 \mu\text{s}$ $\delta \leqslant 2 \%$

FIGURE 1 : SWITCHING TIMES TEST CIRCUIT (RESISTIVE LOAD)FIGURE 2 : TURN-ON SWITCHING WAVEFORMSFIGURE 3 a : TURN-OFF SWITCHING TEST CIRCUITFIGURE 3 b : TURN-OFF SWITCHING WAVEFORMS (INDUCTIVE LOAD)

**TRANSISTOR FORWARD BIASED**

- During the turn-on
- During the turn-off without negative base-emitter voltage and $7,5 \Omega < R_{BE} \leq 50 \Omega$

**TRANSISTOR REVERSE BIASED**

- During the turn-off with negative base-emitter voltage

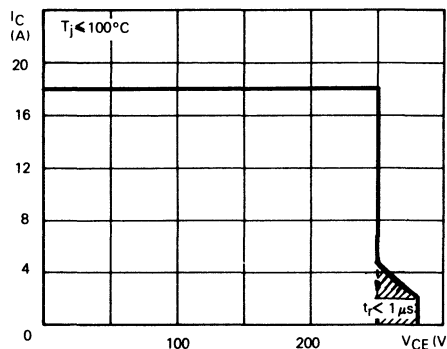


FIGURE 4 : Forward biased safe operating area (FBSOA)

The hatched zone can only be used for turn-on
La zone hachurée ne doit être utilisée que pour la mise en conduction

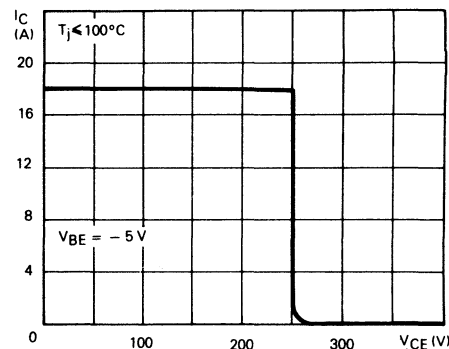


FIGURE 5 : Reverse biased safe operating area (RBSOA)

NPN HIGH VOLTAGE SWITCHING TRANSISTORS
TRANSISTORS NPN HAUTE TENSION DE COMMUTATION

SUPERSWITCH

HIGH VOLTAGE, HIGH SPEED TRANSISTOR SUITED FOR USE
ON THE 220 V MAINS.

SWITCHMODE POWER SUPPLY
DC MOTOR CONTROL

Data sheet tailored for switching applications

- * Key parameters characterized at 25 and 100 °C
 - * High blocking capability 850 V and 1000 V
 - * Wide surge area 16 A - 400 V
 - * Base drive specified for different values of I_C

TRANSISTOR HAUTE TENSION RAPIDE ADAPTÉ À L'UTILISATION SUR LE RÉSEAU 220 V.

ALIMENTATIONS A DÉCOUPAGE
COMMANDE DE MOTEURS CONTINUS, ALTERNATIFS

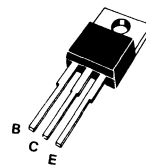
Spécifications spécialement étudiées pour la commutation

- * Paramètres principaux caractérisés à 25 et 100 °C
 - * Possibilités élevées en tension 850 et 1000 V
 - * Aire de surcharge étendue 16 A - 400 V
 - * Commande de base spécifiée pour différentes valeurs de I_C

BUV 46 BUV 46 A

| | | |
|--------------------|-------------|-------------|
| $V_{CEO(sus)}$ | 400 V | 450 V |
| V_{CEX} | 850 V | 1000 V |
| I_{Csat} | 2,5 A | 2 A |
| I_{CSM} | 16 A | 16 A |
| t_f (100 °C) max | 0,4 μ s | 0,4 μ s |

Case TO 220 AB (CB 117)
Boîtier



ABSOLUTE RATINGS (LIMITING VALUES)

VALEURS LIMITES ABSOLUES D'UTILISATION

| | | BUV 46 | BUV 46 A | |
|--|---|------------|------------|--------------------|
| Collector-emitter current Tension collecteur-émetteur | V_{CEO} | 400 | 450 | V |
| Collector-emitter voltage Tension collecteur-émetteur | V_{CEX} | 850 | 1000 | V |
| Emitter-base voltage Tension émetteur-base | V_{EBO} | 7 | 7 | V |
| Collector current Courant collecteur | I_C I_{CM} $t_p \leqslant 10 \text{ ms}$ | 6 8 | 6 8 | A |
| Base current Courant base | I_B I_{BM} $t_p \leqslant 10 \text{ ms}$ | 2 4 | 2 4 | A |
| Power dissipation Dissipation de puissance | P_{tot} $T_{case} 25 \text{ }^{\circ}\text{C}$ $T_{case} 60 \text{ }^{\circ}\text{C}$ | 85 65 | 85 65 | W |
| Junction temperature Température de jonction | T_j | - 65 + 175 | - 65 + 175 | $^{\circ}\text{C}$ |

| | | | | | |
|---|-----|---------------|------|------|----------------------|
| Junction-case thermal resistance Résistance thermique jonction-boîtier | max | $R_{th(j-c)}$ | 1,76 | 1,76 | $^{\circ}\text{C/W}$ |
|---|-----|---------------|------|------|----------------------|

BUV 46 - BUV 46 A

ELECTRICAL CHARACTERISTICS - CARACTÉRISTIQUES ÉLECTRIQUES **

| SYMBOLS | Min | Typ | Max | UNITS | | TEST CONDITIONS - CONDITIONS DE MESURE |
|---------|-----|-----|-----|-------|--|--|
|---------|-----|-----|-----|-------|--|--|

OFF CHARACTERISTICS - CARACTÉRISTIQUES A L'ÉTAT BLOQUÉ

| | | | | | | |
|-------------------------|------------|--|----------|----|--------------------|--|
| V_{CEO} _{us} | 400 450 | | | V | BUV 46 BUV 46 A | $I_B = 0, I_C = 0,2 \text{ A}, L = 25 \text{ mH}$ |
| $V_{(BR)}EBO$ | 7 | | 30 | V | | $I_C = 0, I_E = 0,05 \text{ A}$ |
| I_{CEX} | | | 0,1 1 | mA | | $T_j = 25^\circ\text{C}$ $T_j = 125^\circ\text{C}$ $\left\{ \begin{array}{l} V_{CE} = V_{CEX}, V_{BE} = -2,5 \text{ V} \\ V_{CE} = V_{CEX}, R_{BE} \leqslant 10 \Omega \end{array} \right.$ |
| I_{CER} | | | 0,3 2 | mA | | $T_j = 25^\circ\text{C}$ $T_j = 125^\circ\text{C}$ $\left\{ \begin{array}{l} V_{CE} = V_{CEX}, R_{BE} \leqslant 10 \Omega \\ V_{CE} = V_{CEX}, V_{BE} = -2,5 \text{ V} \end{array} \right.$ |
| I_{EBO} | | | 1 | mA | | $I_C = 0, V_{EB} = 5 \text{ V}$ |

ON CHARACTERISTICS - CARACTÉRISTIQUES A L'ÉTAT CONDUCTEUR

| | | | | | | |
|--------------------------|--|-----|----------|---|--------------------|--|
| V_{CE} _{sat*} | | 0,4 | 1,5 5 | V | BUV 46 | $I_C = 2,5 \text{ A}, I_B = 0,5 \text{ A}$ $I_C = 3,5 \text{ A}, I_B = 0,7 \text{ A}$ |
| | | 0,4 | 1,5 5 | V | BUV 46 A | $I_C = 2 \text{ A}, I_B = 0,4 \text{ A}$ $I_C = 3 \text{ A}, I_B = 0,6 \text{ A}$ |
| V_{BE} _{sat*} | | | 1,3 | V | BUV 46 BUV 46 A | $I_C = 2,5 \text{ A}, I_B = 0,5 \text{ A}$ $I_C = 2 \text{ A}, I_B = 0,4 \text{ A}$ |

SWITCHING CHARACTERISTICS - CARACTÉRISTIQUES DE COMMUTATION

| On resistive load - Sur charge résistive | | | | | | |
|--|--|------|-----|---------------|---------------------------|--|
| t_{on} | | 0,47 | 1 | μs | BUV 46 | $V_{CC} = 150 \text{ V}, I_C = 2,5 \text{ A}, I_{B1} = -I_{B2} = 0,5 \text{ A}$ |
| t_s | | 1,75 | 3 | | BUV 46 A | $V_{CC} = 150 \text{ V}, I_C = 2 \text{ A}, I_{B1} = -I_{B2} = 0,4 \text{ A}$ |
| t_f | | 0,34 | 0,8 | | | |
| On inductive load - Sur charge inductive | | | | | | |
| t_s | | 1,5 | | μs | $T_j = 25^\circ\text{C}$ | $V_{CC} = 300 \text{ V}, I_C = 2,5 \text{ A}, L_B = 3 \mu\text{H}, I_{Bend} = I_{Bsat}, V_{BE} = -5 \text{ V}$ BUV 46 |
| | | | 3 | | $T_j = 100^\circ\text{C}$ | |
| t_f | | 0,06 | | | $T_j = 25^\circ\text{C}$ | $V_{CC} = 300 \text{ V}, I_C = 2 \text{ A}, L_B = 3 \mu\text{H}, I_{Bend} = I_{Bsat}, V_{BE} = -5 \text{ V}$ BUV 46 A |
| | | | 0,4 | | $T_j = 100^\circ\text{C}$ | |

Measured with pulses $t_p = 300 \mu\text{s}$ $\delta \leqslant 2\%$ ** $T_j = 25^\circ\text{C}$ Unless otherwise stated

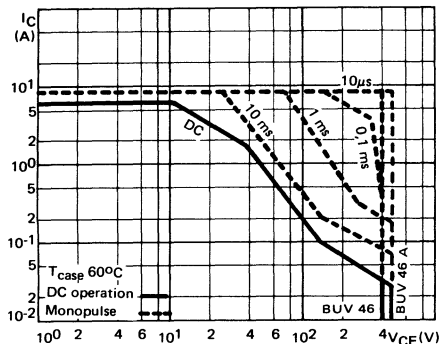


FIGURE 1 : DC and pulse area

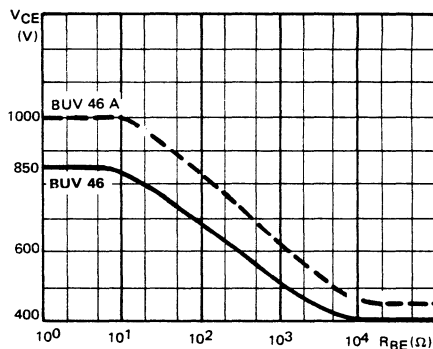


FIGURE 2 : Collector-emitter voltage vs base-emitter resistance

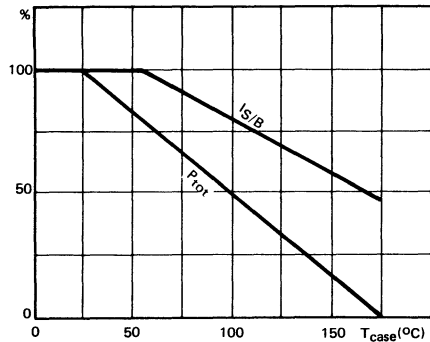
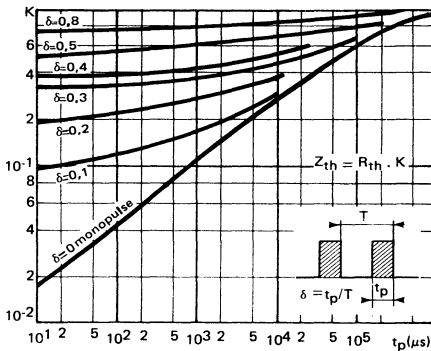
FIGURE 3 : Power and I_S/B derating vs case temperature

FIGURE 4 : Transient thermal response

BUV 46 - BUV 46 A

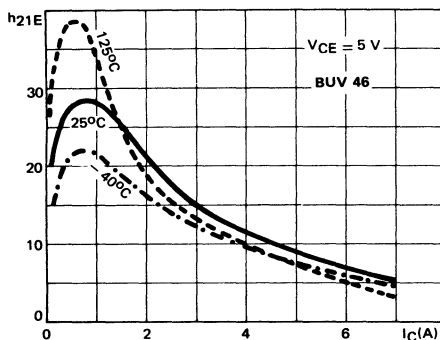


FIGURE 6 : DC current gain

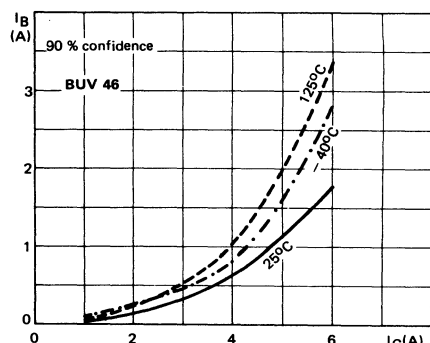


FIGURE 7 : Minimum base current to saturate the transistor

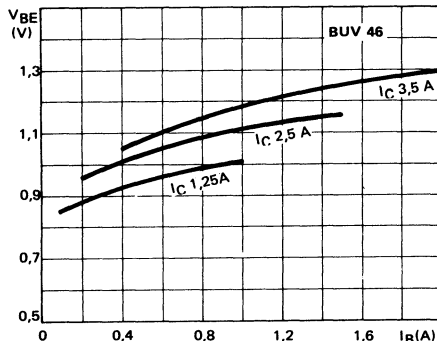


FIGURE 8 : Base characteristics

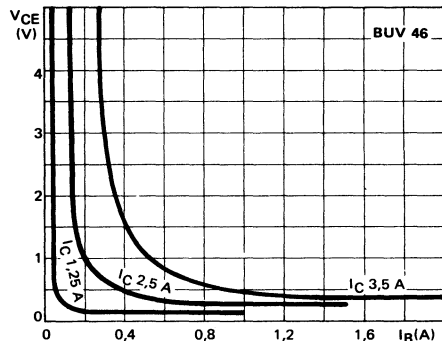


FIGURE 9 : Collector saturation region

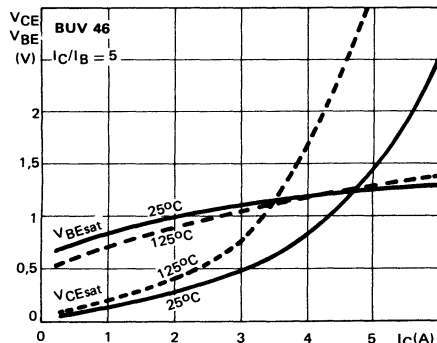


FIGURE 10 : Saturation voltage

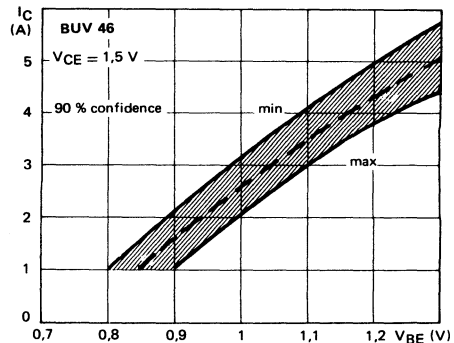
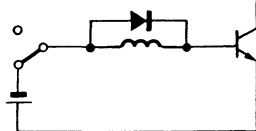
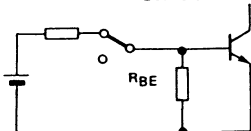


FIGURE 11 : Collector current spread vs base-emitter voltage

SWITCHING OPERATING AND OVERLOAD AREAS



TRANSISTOR FORWARD BIASED

- During the turn on
- During the turn off without negative base-emitter voltage and $R_{BE} \leq 100 \Omega$

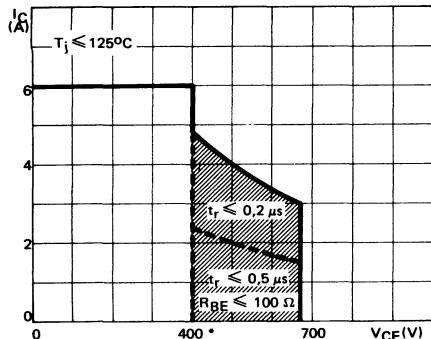


FIGURE 12 :Forward biased safe operating area (FBSOA)

TRANSISTOR REVERSE BIASED

- During the turn off with negative base-emitter voltage

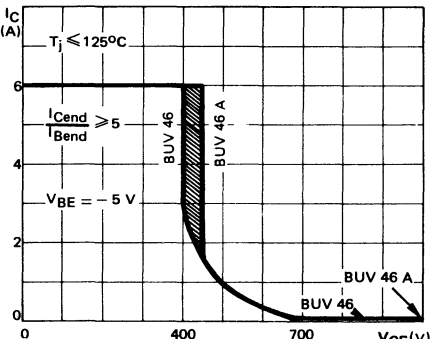


FIGURE 13 : Reverse biased safe operating area (RBSOA)

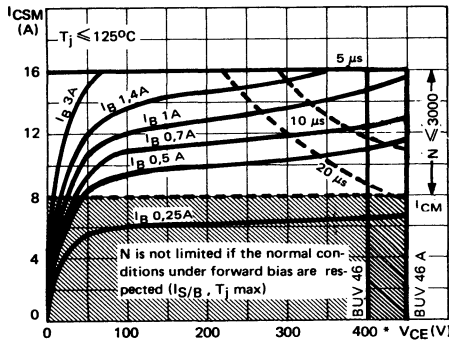


FIGURE 14 : Forward biased accidental overload area (FBAOA)

*** BUV 46 A : 450 V**

Figure 12 : The hatched zone can only be used for turn on.

Figures 14 and 15 : High accidental surge currents ($I > I_{CM}$) are allowed if they are non repetitive and applied less than 3000 times during the component life.

Figure 14 : The Kellogg network (heavy point) allows the calculation of the maximum value of the short-circuit current for a given base current I_B (90 % confidence).

Figure 15 : After the accidental overload current, the RBAOA has to be used for the turn off. As in traffic regulation one is allowed to cross the broken line before the continuous line.

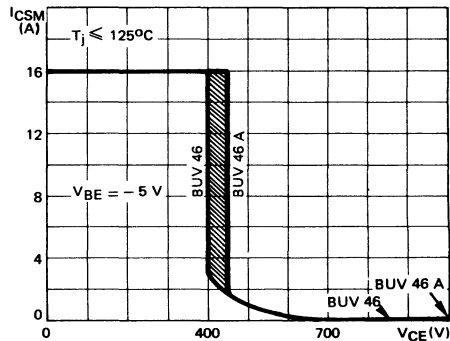


FIGURE 15 : Reverse biased accidental overload area (RBAOA)

Figure 12 : La zone hachurée ne doit être utilisée que pour la mise en conduction.

Figures 14 et 15 : De forts courants de surcharge ($I > I_{CM}$) sont permis s'ils sont non répétitifs et appliqués moins de 3000 fois dans la vie du composant.

Figure 14 : Le réseau de Kellogg (trait gras) permet le calcul de la valeur maximale du courant de court-circuit pour un courant de base donné I_B (90 % de confiance).

Figure 15 : Après le passage du courant de surcharge accidentelle on doit utiliser l'aire de surcharge accidentelle en polarisation inverse pour l'ouverture.

BUV 46 - BUV 46 A

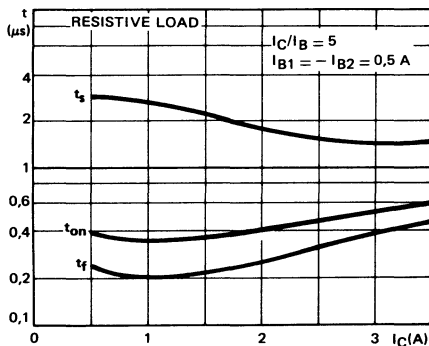


FIGURE 16 : Switching times vs collector current
(resistive load)

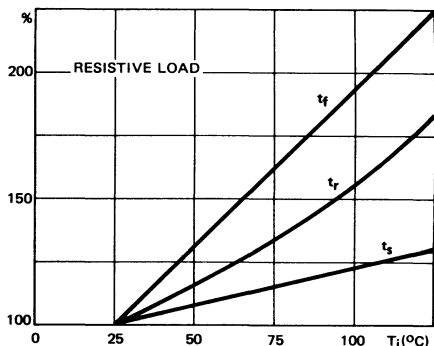


FIGURE 17 : Switching times vs junction temperature
(resistive load)

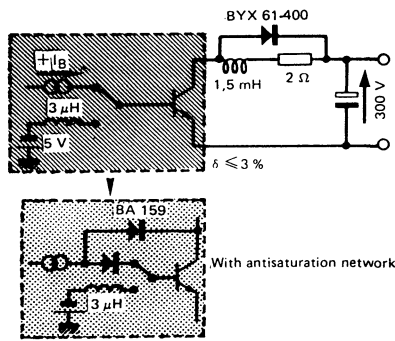


FIGURE 18 : Switching times test circuit on inductive load
(with and without antisaturation network)

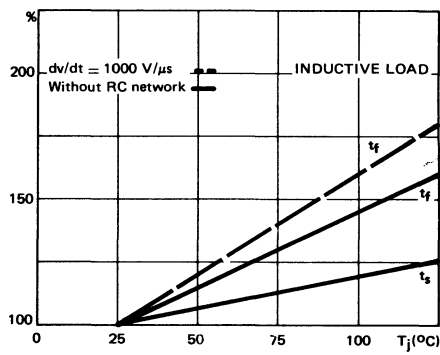


FIGURE 19 : Switching times vs junction temperature
(inductive load)

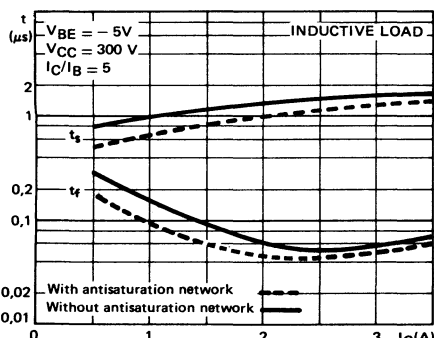


FIGURE 20 : Switching times vs collector current
(with and without antisaturation network)

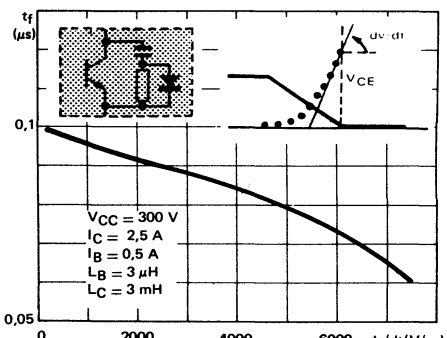


FIGURE 21 : Fall times vs reapply voltage slope

SUPERSWITCH

NPN HIGH VOLTAGE SWITCHING TRANSISTORS
TRANSISTORS NPN HAUTE TENSION DE COMMUTATION

SUPERSWITCH

**HIGH VOLTAGE, HIGH SPEED TRANSISTOR SUITED FOR USE
ON THE 220 V MAINS:**

SWITCHMODE POWER SUPPLY, DC AND AC MOTOR CONTROL

Data sheet tailored for switching applications

*Key parameters characterized at 25 and 100°C

*High blocking capability 850 V-1000 V

*Wide surge area 32 A-275 V

*Base drive specified for different values of I_C

TRANSISTOR HAUTE TENSION, RAPIDE ADAPTE A L'UTILISATION SUR LE RESEAU 220 V:

ALIMENTATIONS A DECOUPAGE, COMMANDE DE MOTEURS CONTINUS, ALTERNATIFS

Spécifications spécialement étudiées pour la commutation

*Paramètres principaux caractérisés à 25 et 100°C

*Possibilités élevées en tension 850 et 1000 V

*Aire de surcharge étendue 32 A -275 V

*Commande de base spécifiée pour différentes valeurs de I_C

| | BUV 47 | BUV 47 A | BUV 47 B |
|--|-----------|-------------|-------------|
|--|-----------|-------------|-------------|

| | | | |
|--------------|-------|-------|-------|
| V_{CEO} us | 400 V | 450 V | 400 V |
|--------------|-------|-------|-------|

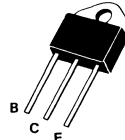
| | | | |
|-----------|-------|--------|-------|
| V_{CEX} | 850 V | 1000 V | 850 V |
|-----------|-------|--------|-------|

| | | | |
|------------|-----|-----|-----|
| I_{Csat} | 5 A | 5 A | 6 A |
|------------|-----|-----|-----|

| | | | |
|-----------|------|------|------|
| I_{CSM} | 32 A | 32 A | 32 A |
|-----------|------|------|------|

| | | | |
|----------------------|-------------|-------------|-------------|
| t_f (100°C) max | 0,4 μ s | 0,4 μ s | 0,4 μ s |
|----------------------|-------------|-------------|-------------|

Case
Boîtier TOP 3 (CB 244)



ABSOLUTE RATINGS (LIMITING VALUES)
VALEURS LIMITES ABSOLUES D'UTILISATION

| | | BUV 47 BUV 47 B | BUV 47 A | |
|---|--|--------------------|-----------|----|
| Collector-emitter voltage <i>Tension collecteur-émetteur</i> | V_{CEO} | 400 | 450 | V |
| Collector-base voltage <i>Tension collecteur-base</i> | V_{CBO} | 850 | 1000 | V |
| Emitter-base voltage <i>Tension émetteur-base</i> | V_{EBO} | 7 | 7 | V |
| Collector current <i>Courant collecteur</i> | I_C I_{CM} | 9 15 | 9 15 | A |
| Base current <i>Courant base</i> | I_B I_{BM} | 3 6 | 3 6 | A |
| Power dissipation <i>Dissipation de puissance</i> | P_{tot} $T_{case} 60^\circ\text{C};$ $T_{case} 25^\circ\text{C}$ | 90 120 | 90 120 | W |
| Junction temperature <i>Température de jonction</i> | t_j max | 175 | 175 | °C |

| Junction-case thermal resistance <i>Résistance thermique jonction boîtier</i> | max | $R_{th(j-c)}$ | 1,25 | 1,25 | °C/W |
|--|-----|---------------|------|------|------|
| | | | | | |

BUV 47 - BUV 47 A - BUV 47 B

ELECTRICAL CHARACTERISTICS - CARACTÉRISTIQUES ÉLECTRIQUES **

| SYMBOLS | Min | Typ | Max | UNIT | | TEST CONDITIONS - CONDITIONS DE MESURE |
|---|-----|------|-----|------|---------------|---|
| OFF CHARACTERISTICS - CARACTÉRISTIQUES A L'ÉTAT BLOQUÉ | | | | | | |
| V_{CEOsus} | 400 | | | V | BUV 47 - 47 B | $I_B = 0, I_C = 0,2 \text{ A}, L = 25 \text{ mH}$ |
| | 450 | | | | BUV 47 A | |
| $V(BR)EBO^*$ | 7 | | 30 | V | | $I_C = 0, I_E = 0,05 \text{ A}$ |
| I_{CEX} | | 0,15 | | mA | BUV 47 - 47 B | $T_{case} = 25^\circ\text{C}$ $V_{CE} = 850 \text{ V}, V_{BE} = -2,5 \text{ V}$ |
| | | 1,5 | | | BUV 47 A | $T_{case} = 125^\circ\text{C}$ $V_{CE} = 1000 \text{ V}, V_{BE} = -2,5 \text{ V}$ |
| | | 0,15 | | mA | BUV 47 - 47 B | $T_{case} = 25^\circ\text{C}$ $V_{CE} = 850 \text{ V}, R_{BE} = 10 \Omega$ |
| | | 1,5 | | | BUV 47 A | $T_{case} = 125^\circ\text{C}$ $V_{CE} = 1000 \text{ V}, R_{BE} = 10 \Omega$ |
| I_{CER} | | 0,4 | | mA | BUV 47 - 47 B | $T_{case} = 25^\circ\text{C}$ $V_{CE} = 850 \text{ V}, R_{BE} = 10 \Omega$ |
| | | 3 | | | BUV 47 A | $T_{case} = 125^\circ\text{C}$ $V_{CE} = 1000 \text{ V}, R_{BE} = 10 \Omega$ |
| | | 0,4 | | mA | BUV 47 - 47 B | $T_{case} = 25^\circ\text{C}$ $V_{CE} = 850 \text{ V}, R_{BE} = 10 \Omega$ |
| | | 3 | | | BUV 47 A | $T_{case} = 125^\circ\text{C}$ $V_{CE} = 1000 \text{ V}, R_{BE} = 10 \Omega$ |
| I_{EBO} | | | 1 | mA | | $I_C = 0, V_{EB} = 5 \text{ V}$ |

ON CHARACTERISTICS - CARACTÉRISTIQUES A L'ÉTAT CONDUCTEUR

| | | | | | | |
|---------------|--|-----|-----|---|---------------|--|
| V_{CEsat}^* | | 0,6 | 1,5 | V | BUV 47 - 47 A | $I_C = 5 \text{ A}, I_B = 1 \text{ A}$ |
| | | | 3 | | BUV 47 B | $I_C = 6 \text{ A}, I_B = 1,2 \text{ A}$ |
| | | | | | BUV 47 - 47 A | $I_C = 8 \text{ A}, I_B = 2,5 \text{ A}$ |
| | | | | | BUV 47 B | $I_C = 9 \text{ A}, I_B = 3 \text{ A}$ |
| V_{BEsat}^* | | | 1,6 | V | BUV 47 - 47 A | $I_C = 5 \text{ A}, I_B = 1 \text{ A}$ |
| | | | | | BUV 47 B | $I_C = 6 \text{ A}, I_B = 1,2 \text{ A}$ |

SWITCHING CHARACTERISTICS - CARACTÉRISTIQUES DE COMMUTATION

| | | | | | | | |
|---|--|------|-----|---------------|---------------|---|---|
| t_{on} | | 0,34 | 1 | μs | BUV 47 - 47 A | $I_C = 5 \text{ A}, I_{B1} = -I_{B2} = 1 \text{ A}$ | $V_{CC} = 150 \text{ V}$ |
| t_s | | 1,75 | 3 | | BUV 47 B | $I_C = 6 \text{ A}, I_{B1} = -I_{B2} = 1,2 \text{ A}$ | |
| t_f | | 0,36 | 0,8 | | | | |
| On resistive load - Sur charge résistive | | | | | | | |
| t_s | | 2,5 | | μs | | $T_j = 25^\circ\text{C}$ | $I_C = I_{Csat}, I_{Bend} = I_{Bsat}, V_{CC} = 300 \text{ V}$ $V_{BE} = -5 \text{ V}, L_B = 3 \mu\text{H}$ |
| | | | 4 | | | $T_j = 100^\circ\text{C}$ | |
| t_f | | 0,09 | | μs | | $T_j = 25^\circ\text{C}$ | |
| | | | 0,4 | | | $T_j = 100^\circ\text{C}$ | |

* Measured with pulses $t_p = 300 \mu\text{s}$ $\delta \leqslant 2\%$ ** $T_{case} 25^\circ\text{C}$ Unless otherwise stated

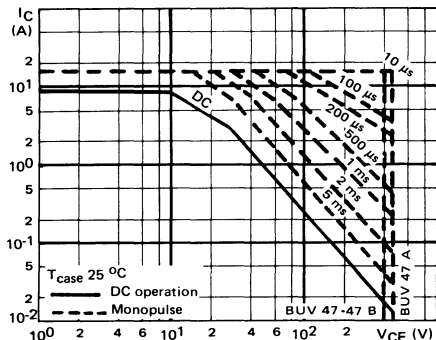


FIGURE 1 : DC and pulse area



FIGURE 2 : Collector-emitter voltage vs base-emitter resistance

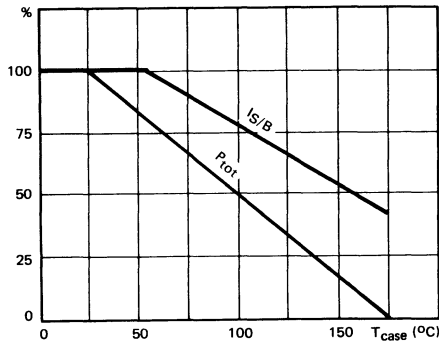
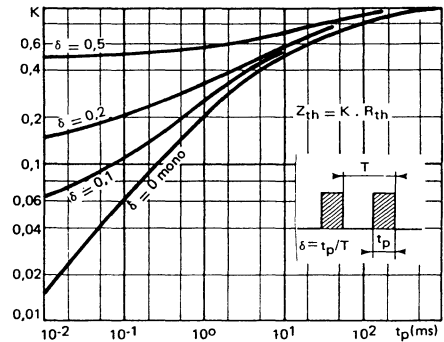
FIGURE 3 : Power and $I_{S/B}$ derating vs case temperature

FIGURE 4 : Transient thermal response

BUV 47 - BUV 47 A - BUV 47 B

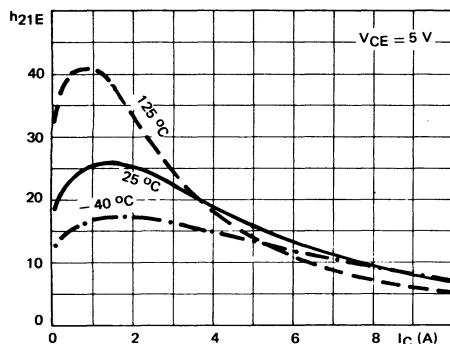


FIGURE 6 : DC current gain

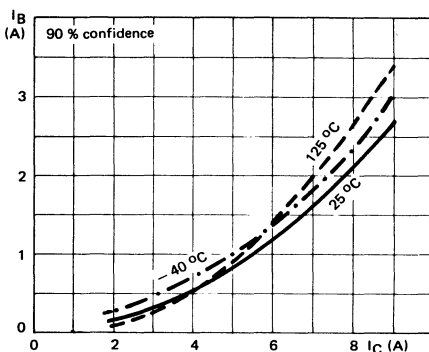


FIGURE 7 : Minimum base current to saturate the transistor

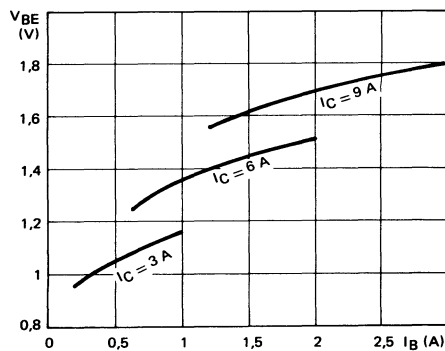


FIGURE 8 : Base characteristics

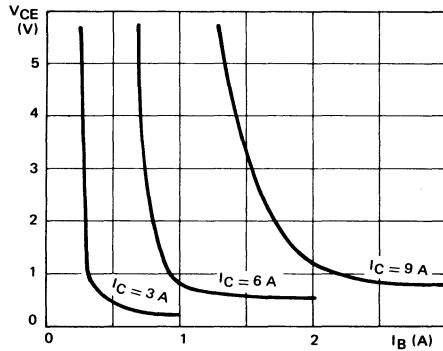


FIGURE 9 : Collector saturation region

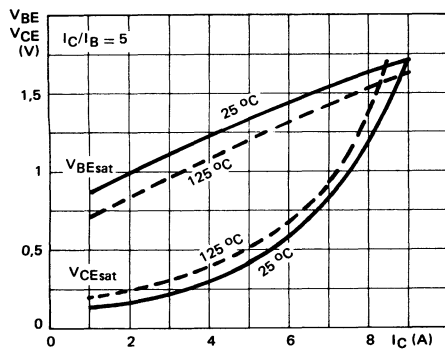


FIGURE 10 : Saturation voltage

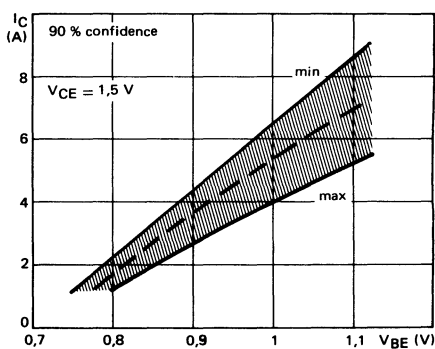
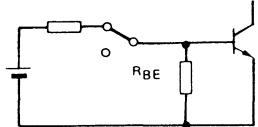


FIGURE 11 : Collector current spread vs base-emitter voltage

SWITCHING OPERATING AND OVERLOAD AREAS



TRANSISTOR FORWARD BIASED

- During the turn on
- During the turn off without negative base-emitter voltage and $R_{BE} \leq 100 \Omega$

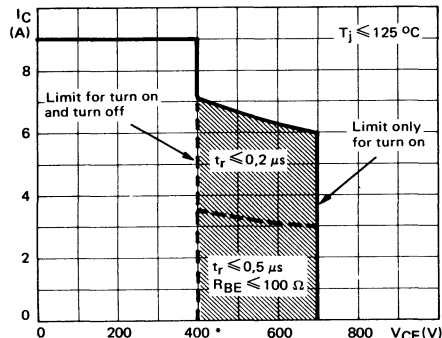
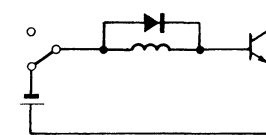


FIGURE 12 : Forward biased safe operating area (FBSOA)



TRANSISTOR REVERSE BIASED

During the turn off with negative base-emitter voltage.

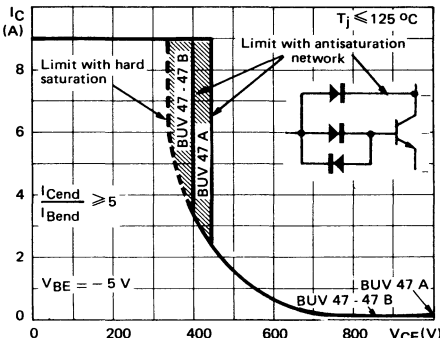


FIGURE 13 : Reverse biased safe operating area (RBSOA)

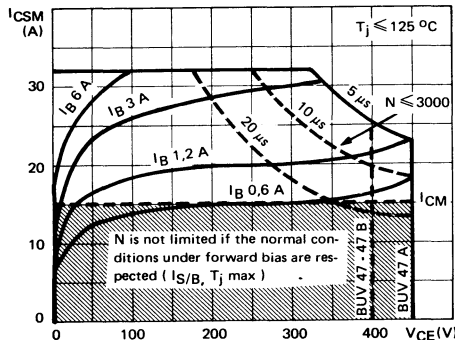


FIGURE 14 : Forward biased accidental overload area (FBAOA)

* BUV 47 A = 450 V

Figure 12 : The hatched zone can only be used for turn on.

Figures 13 and 15 : Switch off starting from the quasi saturated state ($V_{CE} \geq 1,5 V$) allows to extend the RBSOA and the RBAOA to the hatched zone.Figures 14 and 15 : High accidental surge currents ($I > I_{CM}$) are allowed if they are non repetitive and applied less than 3000 times during the component life.Figure 14 : The Kellogg network (heavy point) allows the calculation of the maximum value of the short-circuit current for a given base current I_B (90 % confidence).

Figure 15 : After the accidental overload current, the RBAOA is allowed to be used for the turn off. As in traffic regulation one is allowed to cross the broken line before the continuous line. One is forbidden to cross the single continuous line.

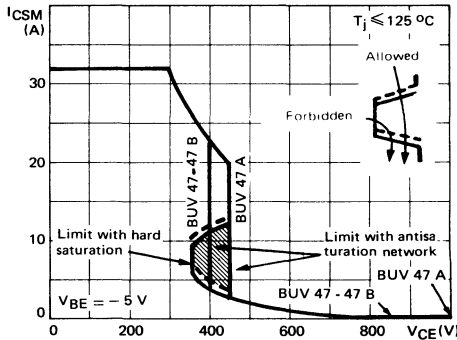


FIGURE 15 : Reverse biased accidental overload area (RBAOA)

Figure 12 : La zone hachurée ne doit être utilisée que pour la mise en conduction.

Figures 13 et 15 : Le blocage à partir de l'état quasi-saturé ($V_{CE} \geq 1,5 V$) permet d'étendre les aires de fonctionnement et de surcharge en inverse jusqu'à la zone hachurée.Figures 14 et 15 : De forts courants de surcharge ($I > I_{CM}$) sont permis s'ils sont non répétitifs et appliqués moins de 3000 fois dans la vie du composant.Figure 14 : Le réseau de Kellogg (trait gras) permet le calcul de la valeur maximale du courant de court-circuit pour un courant de base donné I_B (90 % de confiance).

Figure 15 : Après le passage du courant de surcharge accidentelle on doit utiliser l'aire de surcharge accidentelle en polarisation inverse pour l'ouverture. Il est permis de traverser la ligne continue à condition de traverser d'abord la ligne pointillée.

BUV 47 - BUV 47 A - BUV 47 B

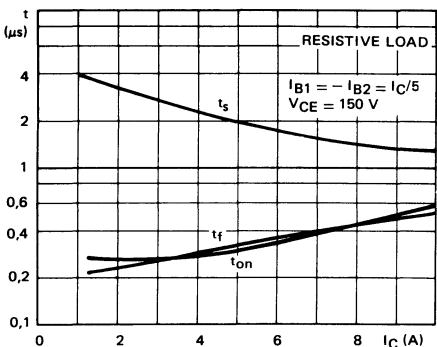


FIGURE 16 : Switching times vs collector current
(resistive load)

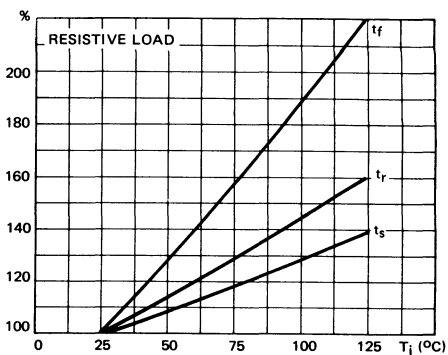


FIGURE 17 : Switching times vs junction temperature
(resistive load)

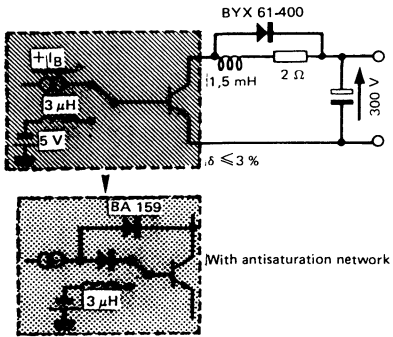


FIGURE 18 : Switching times test circuit on inductive load
(with and without antisaturation network)

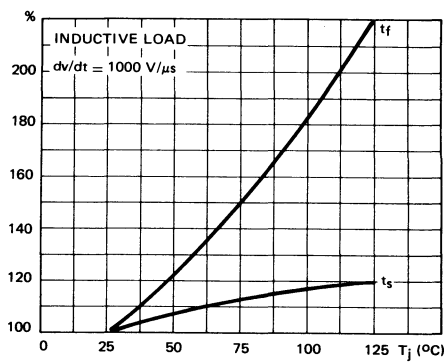


FIGURE 19 : Switching times vs junction temperature
(inductive load)

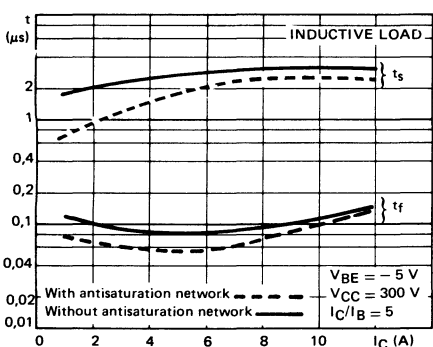


FIGURE 20 : Switching times vs collector current
(with and without antisaturation network)

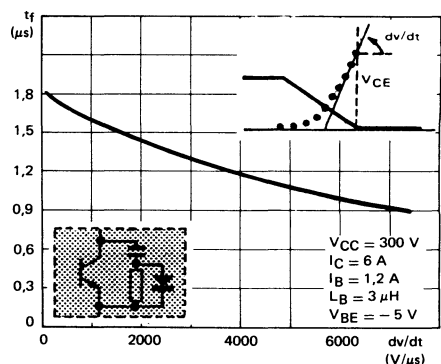


FIGURE 21 : Fall times vs reapply voltage slope

NPN HIGH VOLTAGE SWITCHING TRANSISTORS
TRANSISTORS NPN HAUTE TENSION DE COMMUTATION

ADVANCE INFORMATION

ISOLATED SUPERSWITCH

ISOLATED COLLECTOR TOP-3 PACKAGE
COLLECTOR TO CASE CAPACITANCE : 15 pF
HIGH VOLTAGE, HIGH SPEED TRANSISTOR SUITED FOR
USE ON THE 220 V MAINS :
SWITCHMODE POWER SUPPLY, DC AND AC MOTOR
CONTROL

- *Data sheet tailored for switching applications
- *Key parameters characterized at 25 and 100°C
 - *High blocking capability 850 V-1000 V
 - *Wide surge area 32 A-275 V
 - *Base drive specified for different values of I_C

COLLECTEUR ISOLE DU BOITIER TOP-3
CAPACITE COLLECTEUR-EMBASE : 15 pF
TRANSISTOR HAUTE TENSION, RAPIDE ADAPTE A
L'UTILISATION SUR LE RESEAU 220 V :
ALIMENTATIONS A DECOUPAGE, COMMANDE DE MOTEURS
CONTINUS, ALTERNATIFS

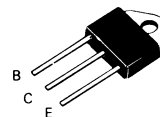
Spécifications spécialement étudiées pour la commutation

- *Paramètres principaux caractérisés à 25 et 100 °C
- *Possibilités élevées en tension 850 et 1000 V
- *Aire de surcharge étendue 32 A-275 V

*Commande de base spécifiée pour différentes valeurs de I_C

| | |
|--------------------------|----------|
| V_{CEO} (sus) | 400 V |
| V_{CEV} | 850 V |
| I_{Csat} | 5 A |
| I_{CSM} | 32 A |
| $t_f(100^\circ\text{C})$ | ≤ 400 ns |

Case Boîtier TOP-3 (CB - 244)



Isolation voltage : 2 kV_(RMS)

ABSOLUTE RATINGS (LIMITING VALUES)
VALEURS LIMITES ABSOLUES D'UTILISATION

| | | | |
|---|-------------------|------------|----|
| Collector-emitter voltage <i>Tension collecteur-émetteur</i> | V_{CEO} | 400 | V |
| Collector-emitter voltage <i>Tension collecteur-émetteur</i> | V_{CEV} | 850 | V |
| Emitter-base voltage <i>Tension émetteur-base</i> | V_{EBO} | 7 | V |
| Collector current <i>Courant collecteur</i> | I_C I_{CM} | 9 15 | A |
| Base current <i>Courant base</i> | I_B I_{BM} | 3 6 | A |
| Power dissipation <i>Dissipation de puissance</i> | P_{tot} | 75 57,5 | W |
| Junction temperature <i>Température de jonction</i> | T_J | 175 | °C |

| | | | |
|---|---------------|---|------|
| Junction-case thermal resistance <i>Résistance thermique jonction-boîtier</i> max. | $R_{th(j-c)}$ | 2 | °C/W |
|---|---------------|---|------|

ELECTRICAL CHARACTERISTICS - CARACTÉRISTIQUES ÉLECTRIQUES ..

| SYMBOLS | Min | Typ | Max | UNITS | TEST CONDITIONS - CONDITIONS DE MESURE |
|----------------|------------|------------|------------|--------------|---|
|----------------|------------|------------|------------|--------------|---|

OFF CHARACTERISTICS - CARACTÉRISTIQUES A L'ÉTAT BLOQUE

| | | | | | |
|-----------------|-----|--|-------------|----|--|
| V_{CEO} (sus) | 400 | | | V | $I_B = 0 \text{ A}, I_C = 0,2 \text{ A}, L = 25 \text{ mH}$ $I_C = 0, I_E = 0,05 \text{ A}$ |
| $V_{(B)IEBO}^*$ | 7 | | 30 | V | |
| I_{CEV} | | | 0,15 1,5 | mA | $T_{case} 25^\circ\text{C}$ $T_{case} 125^\circ\text{C}$ } $V_{CE} = V_{CEV}, V_{BE} = - 2,5 \text{ V}$ |
| I_{CER} | | | 0,4 3 | mA | $T_{case} 25^\circ\text{C}$ $T_{case} 125^\circ\text{C}$ } $V_{CE} = V_{CEV}, R_{BE} \leq 10 \Omega$ |
| I_{EBO} | | | 1 | mA | $I_C = 0, V_{EB} = 5 \text{ V}$ |

ON CHARACTERISTICS - CARACTÉRISTIQUES A L'ÉTAT CONDUCTEUR

| | | | | | |
|---------------|--|-----|----------|---|--|
| V_{CE} sat* | | 0,6 | 1,5 3 | V | $I_C = 5 \text{ A}, I_B = 1 \text{ A}$ $I_C = 8 \text{ A}, I_B = 2,5 \text{ A}$ |
| V_{BE} sat* | | | 1,6 | V | $I_C = 5 \text{ A}, I_B = 1 \text{ A}$ |

SWITCHING CHARACTERISTICS - CARACTÉRISTIQUES DE COMMUTATION**On resistive load - Sur charge résistive**

| | | | | | |
|----------|--|------|-----|---------------|--|
| t_{on} | | 0,34 | 1 | μs | $V_{CC} = 150 \text{ V}, I_C = 5 \text{ A}, I_B1 = - I_B2 = 1 \text{ A}$ |
| t_s | | 1,75 | 3 | | |
| t_f | | 0,36 | 0,8 | | |

On inductive load - Sur charge induktive

| | | | | | |
|-------|------|-----|---------------|---------------------------|--|
| t_s | 2,5 | | μs | $T_j = 25^\circ\text{C}$ | $V_{CC} = 300 \text{ V}, V_{BE} = - 5 \text{ V},$ $L_B = 3 \mu\text{H}, I_{Bend} = I_{Bsat},$ $I_C = I_{Csat}$ |
| | | 4 | | $T_j = 100^\circ\text{C}$ | |
| t_f | 0,09 | | | $T_j = 25^\circ\text{C}$ | |
| | | 0,4 | | $T_j = 100^\circ\text{C}$ | |

*Measured with pulses $t_p = 300 \mu\text{s}$, $\delta \leq 2\%$ ** $T_{case} 25^\circ\text{C}$ Unless otherwise stated.

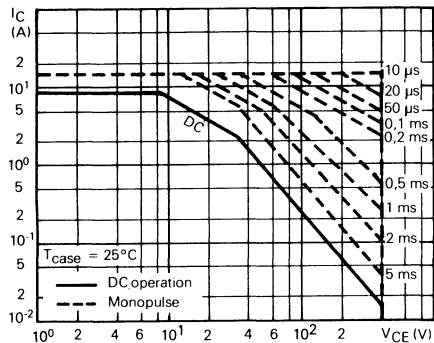


FIGURE 1 : DC and pulse area.

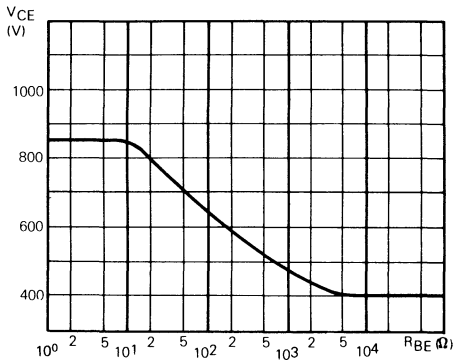


FIGURE 2 : Collector-emitter voltage versus base-emitter resistance.

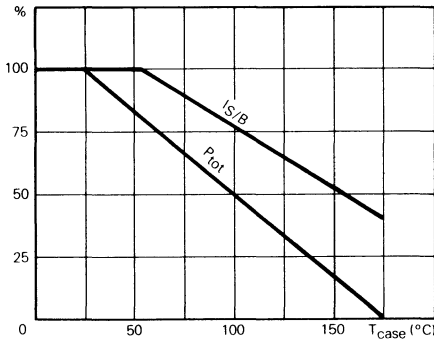
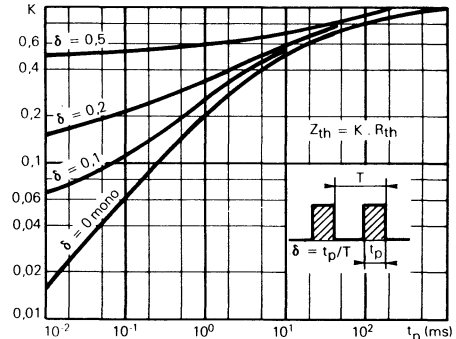
FIGURE 3 : Power and I_S/B derating versus case temperature.

FIGURE 4 : Transient thermal response.

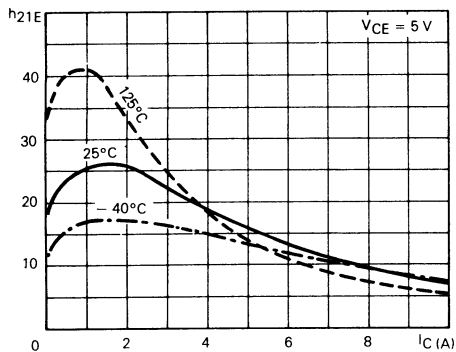


FIGURE 6 : DC current gain.

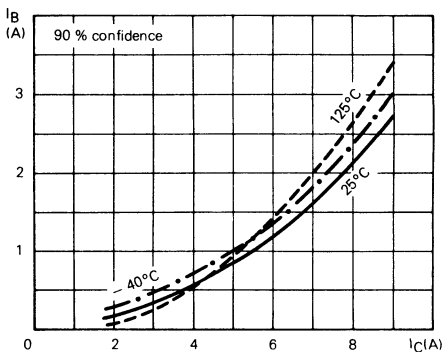


FIGURE 7 : Minimum base current to saturate the transistor.

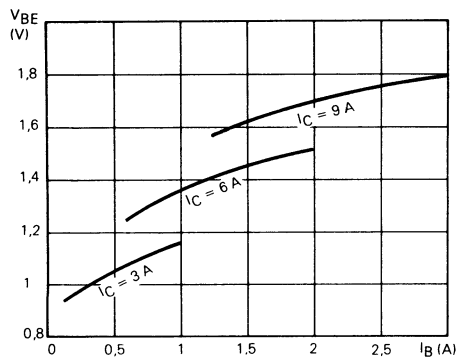


FIGURE 8 : Base characteristics.

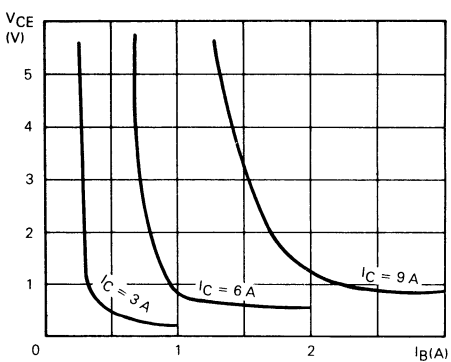


FIGURE 9 : Collector saturation region.

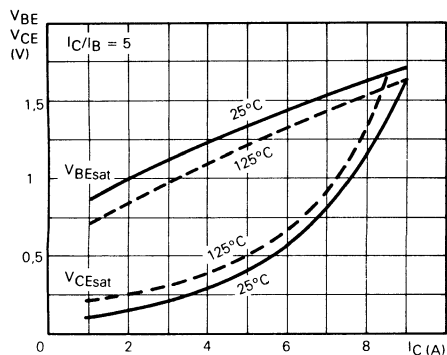


FIGURE 10 : Saturation voltage.

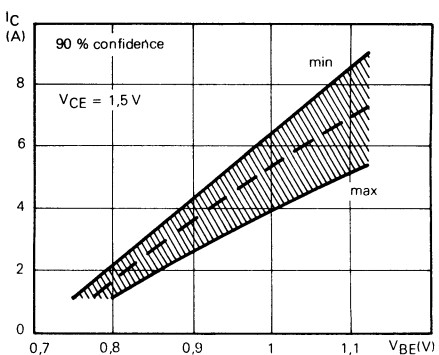
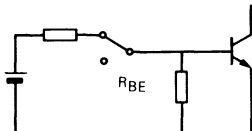


FIGURE 11 : Collector current spread versus base-emitter voltage.

SWITCHING OPERATING AND OVERLOAD AREAS


TRANSISTOR FORWARD BIASED

- During the turn-on
- During the turn-off without negative base-emitter voltage and $R_{BE} \leq 100\Omega$

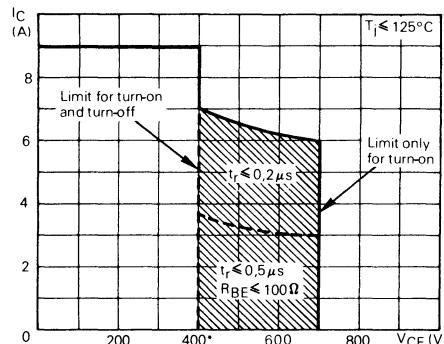
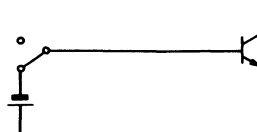


FIGURE 12 : Forward biased safe operating area (FBSOA).


TRANSISTOR REVERSE BIASED

- During the turn-off with negative base-emitter voltage

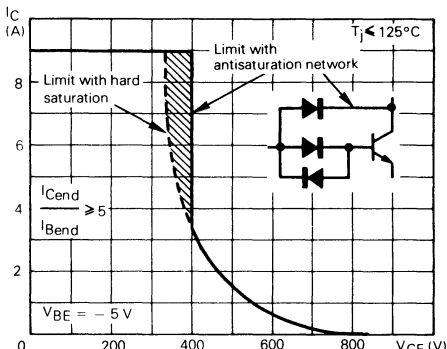


FIGURE 13 : Reverse biased safe operating area (RBSOA).

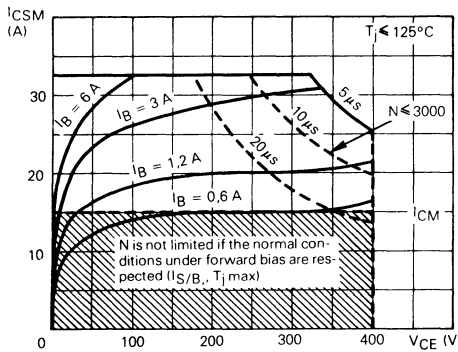


FIGURE 14 : Forward biased accidental overload area (FBAOA).

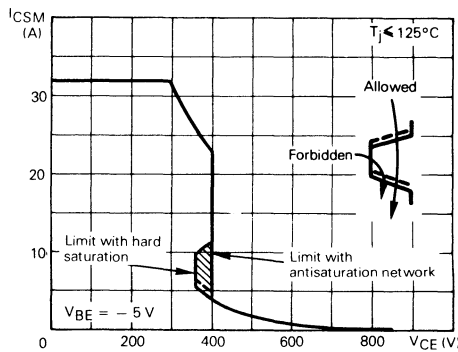


FIGURE 15 : Reverse biased accidental overload area (RBAOA).

Figure 12 : The hatched zone can only be used for turn-on

Figures 13 and 15 : Switch off starting from the quasi-saturated state ($V_{CE} \geq 1.5$ V) allows to extend the RBSOA and the RBAOA to the hatched zone.

Figures 14 and 15 : High accidental surge currents ($I > I_{CM}$) are allowed if they are non repetitive and applied less than 3000 times during the component life.

Figure 14 : The Kellogg network (heavy point) allows the calculation of the maximum value of the short-circuit current for a given base current I_B (90 % confidence).

Figure 15 : After the accidental overload current, the RBAOA has to be used for the turn-off. As in traffic regulation one is allowed to cross the broken line before the continuous line. One is forbidden to cross the single continuous line.

Figure 12 : La zone hachurée ne doit être utilisée que pour la mise en conduction.

Figures 13 et 15 : Le blocage à partir de l'état quasi-saturé ($V_{CE} \geq 1.5$ V) permet d'étendre les aires de fonctionnement et de surcharge en inverse jusqu'à la zone hachurée.

Figures 14 et 15 : De fort courants de surcharge ($I > I_{CM}$) sont permis s'ils sont non répétitifs et appliqués moins de 3000 fois dans la vie du composant.

Figure 14 : Le réseau de Kellogg (trait gras) permet le calcul de la valeur maximale du courant de court-circuit pour un courant de base donné I_B (90 % de confiance).

Figure 15 : Après le passage du courant de surcharge accidentelle on doit utiliser l'aire de surcharge accidentelle en polarisation inverse pour l'ouverture. Il est permis de traverser la ligne continue à condition de traverser d'abord la ligne pointillée.

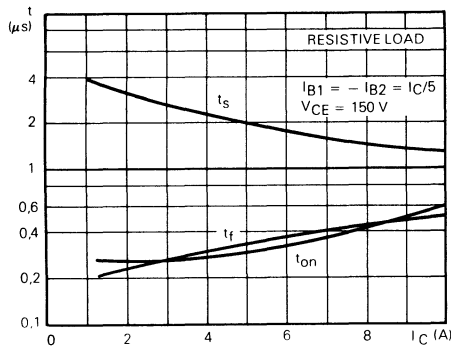


FIGURE 16 : Switching times versus collector current.

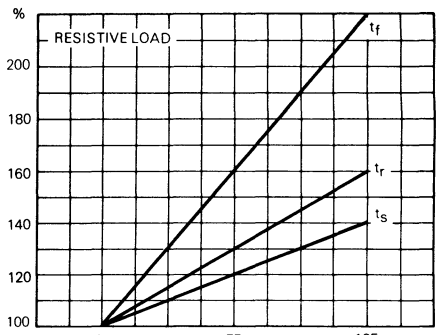


FIGURE 17 : Switching times versus junction temperature.

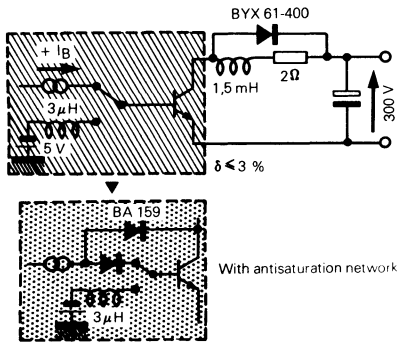


FIGURE 18 : Switching times test circuit on inductive load (with and without antisaturation network).

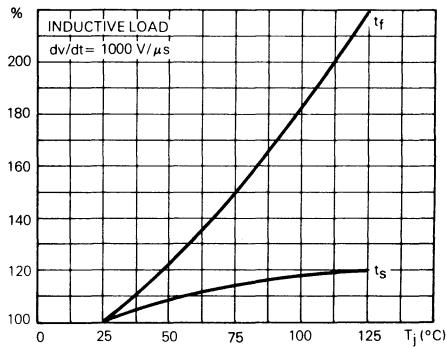


FIGURE 19 : Switching times versus junction temperature.

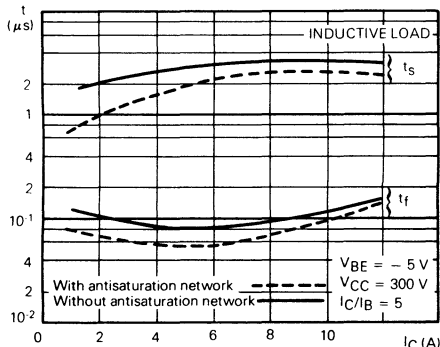


FIGURE 20 : Switching times versus collector current (with and without antisaturation network).

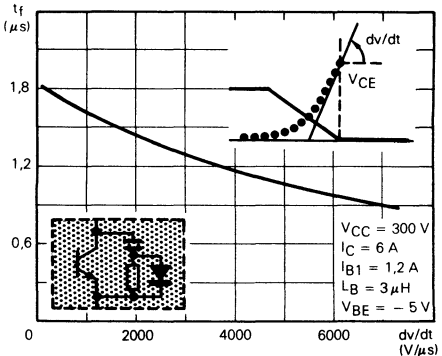


FIGURE 21 : Fall times versus reapply voltage slope.

SUPERSWITCH

HIGH VOLTAGE, HIGH SPEED TRANSISTOR SUITED FOR USE ON THE 220 AND 380 V MAINS: SWITCH MODE POWER SUPPLY, DC AND AC MOTOR CONTROL

Data sheet tailored for switching applications

- Key parameters characterized at 25 and 100°C
 - * High blocking capability 850 V - 1000 V
 - * Wide surge area 55 A - 350 V
 - * Base drive specified for different values of I_C
 - * Information for parallel mounting

TRANSISTOR HAUTE TENSION, RAPIDE ADAPTE A L'UTILISATION SUR LES RESEAUX 220 V ET 380 V:

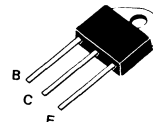
ALIMENTATIONS A DECOUPEAGE, COMMANDE DE MOTEURS CONTINUS, ALTERNATIFS

Spécifications spécialement étudiées pour la commutation

- Paramètres principaux caractérisés à 25 et 100°C
 - * Possibilités élevées en tension 850 V - 1000 V
 - * Aire de surcharge étendue 55 A - 350 V
 - * Commande de base spécifiée pour différentes valeurs de I_C
 - * Caractérisation pour le montage en parallèle

| | BUV 48 | BUV 48 A |
|---|-------------------|-------------------|
| $V_{CEO}(\text{sus})$ | 400 V | 450 V |
| V_{CEX} | 850 V | 1000 V |
| I_{Csat} | 10 A | 8 A |
| I_{CSM} | 55 A | 55 A |
| $t_f(100\text{ }^{\circ}\text{C})$ (max) | 0,4 μs | 0,4 μs |

Case TOP 3
Boîtier



ABSOLUTE RATINGS (LIMITING VALUES)
VALEURS LIMITES ABSOLUES D'UTILISATION

| | | BUV 48 | BUV 48 A | |
|--|--------------------------------------|---------------|------------|------|
| Collector-emitter voltage <i>Tension collecteur-émetteur</i> | V_{CEO} | 400 | 450 | V |
| Collector-emitter voltage <i>Tension collecteur-émetteur</i> | V_{CEX} | 850 | 1000 | V |
| Emitter-base voltage <i>Tension émetteur-base</i> | V_{EBO} | 7 | 7 | V |
| Collector current <i>Courant collecteur</i> | I_C I_{CM} | 15 30 | 15 30 | A |
| Base current <i>Courant base</i> | I_B I_{BM} | 4 20 | 4 20 | A |
| Power dissipation <i>Dissipation de puissance</i> | T_{case} 25 °C T_{case} 60 °C | 150 115 | 150 115 | W |
| Junction temperature <i>Température de jonction</i> | T_j | - 65 + 175 | - 65 + 175 | °C |
| Junction-case thermal resistance <i>Résistance thermique jonction-boîtier</i> | max | $R_{th(j-c)}$ | 1 | 1 |
| | | | | °C/W |

BUV 48 - BUV 48 A

ELECTRICAL CHARACTERISTICS – CARACTÉRISTIQUES ÉLECTRIQUES **

| SYMBOLS | Min | Typ | Max | UNIT | | TEST CONDITIONS – CONDITIONS DE MESURE |
|---------|-----|-----|-----|------|--|--|
|---------|-----|-----|-----|------|--|--|

OFF CHARACTERISTICS – CARACTÉRISTIQUES A L'ÉTAT BLOQUÉ

| | | | | | | |
|---------------|------------|--|----------|----|--------------------|---|
| V_{CEO}^* | 400 450 | | | V | BUV 48 BUV 48 A | $I_B = 0, I_C = 0,2 \text{ A}, L = 25 \text{ mH}$ |
| $V_{(BR)EBO}$ | 7 | | 30 | V | | $I_C = 0, I_B = 0,05 \text{ A}$ |
| I_{CEX} | | | 0,2 2 | mA | | $T_{case} = 25^\circ\text{C}$ $T_{case} = 125^\circ\text{C}$ } $V_{CE} = V_{CEX}, V_{BE} = -2,5 \text{ V}$ |
| I_{CER} | | | 0,5 4 | mA | | $T_{case} = 25^\circ\text{C}$ $T_{case} = 125^\circ\text{C}$ } $V_{CE} = V_{CEX}, R_{BE} \leq 10 \Omega$ |
| I_{EBO} | | | 1 | mA | | $I_C = 0, V_{EB} = 5 \text{ V}$ |

ON CHARACTERISTICS – CARACTÉRISTIQUES A L'ÉTAT CONDUCTEUR

| | | | | | |
|---------------|--|------------|---|--------------------|---|
| V_{CEsat}^* | | 1,5 3,5 | V | BUV 48 | $I_C = 10 \text{ A}, I_B = 2 \text{ A}$ $I_C = 15 \text{ A}, I_B = 4 \text{ A}$ |
| | | 1,5 5 | V | BUV 48 A | $I_C = 8 \text{ A}, I_B = 1,6 \text{ A}$ $I_C = 12 \text{ A}, I_B = 2,4 \text{ A}$ |
| V_{BEsat}^* | | 1,6 | V | BUV 48 BUV 48 A | $I_C = 10 \text{ A}, I_B = 2 \text{ A}$ $I_C = 8 \text{ A}, I_B = 1,6 \text{ A}$ |

SWITCHING CHARACTERISTICS – CARACTÉRISTIQUES DE COMMUTATION

Resistive load – Charge résistive

| | | | | | | |
|----------|--|------|-----|---------------|----------|---|
| t_{on} | | 0,55 | 1 | μs | BUV 48 | $V_{CC} = 150 \text{ V}, I_C = 10 \text{ A}, I_{B1} = -I_{B2} = 2 \text{ A}$ |
| t_s | | 1,5 | 3 | | BUV 48 A | $V_{CC} = 150 \text{ V}, I_C = 8 \text{ A}, I_{B1} = -I_{B2} = 1,6 \text{ A}$ |
| t_f | | 0,3 | 0,8 | | | |

Inductive load – Charge inductive

| | | | | | | |
|-------|--|------|--|---------------|--|---|
| t_s | | 3,5 | | μs | | BUV 48 |
| | | 5 | | | | $T_j = 25^\circ\text{C}$ $T_j = 100^\circ\text{C}$ } $V_{CC} = 300 \text{ V}, I_C = 10 \text{ A}, L_B = 3 \mu\text{H}$ $- V_B = 5 \text{ V}, I_{Bend} = 2 \text{ A}$ |
| t_f | | 0,08 | | μs | | BUV 48 A |
| | | 0,4 | | | | $T_j = 25^\circ\text{C}$ $T_j = 100^\circ\text{C}$ } $V_{CC} = 300 \text{ V}, I_C = 8 \text{ A}, L_B = 3 \mu\text{H}$ $- V_B = 5 \text{ V}, I_{Bend} = 1,6 \text{ A}$ |

* Pulse - Impulsions $t_p = 300 \mu\text{s}$, $\delta \leq 2\%$ ** $T_{case} 25^\circ\text{C}$ Unless otherwise stated - Sauf indications contraires

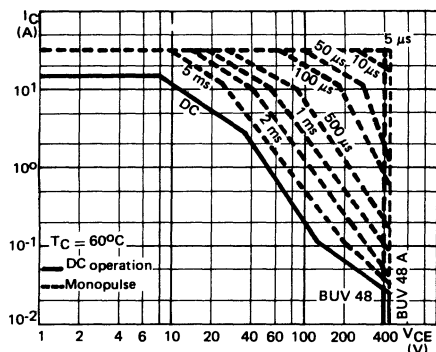


FIGURE 1 : DC and pulse area

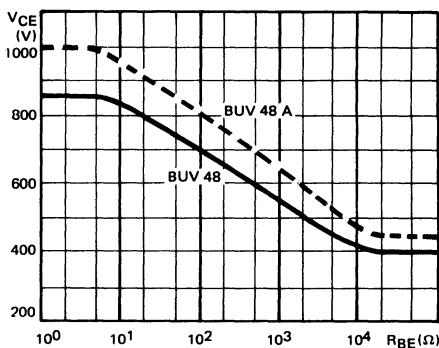


FIGURE 2 : Collector-emitter voltage vs base-emitter resistance.

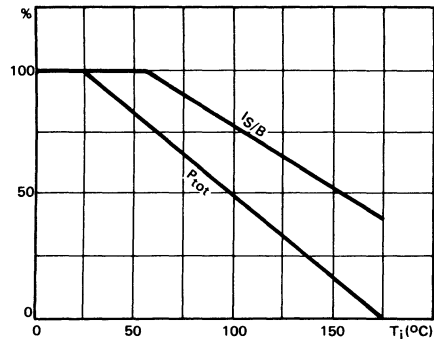
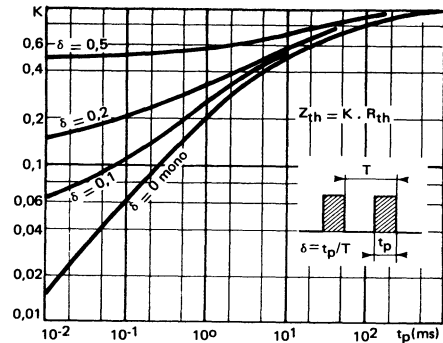
FIGURE 3 : Power and I_S/B derating vs case temperature.

FIGURE 4 : Transient thermal response

BUV 48 - BUV 48 A

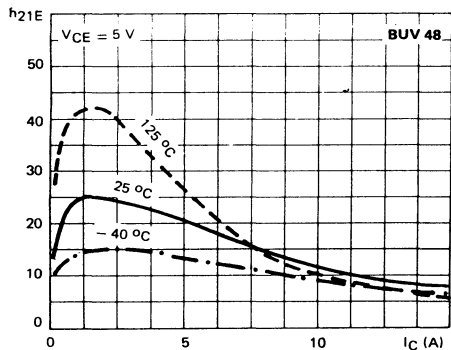


FIGURE 6 : DC current gain

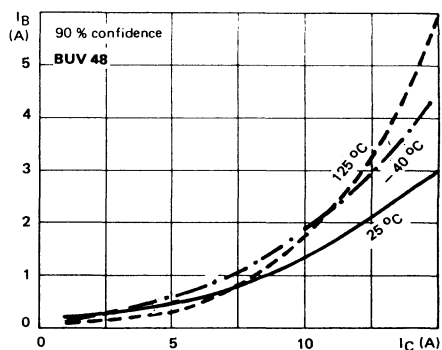


FIGURE 7 : Minimum base current to saturate the transistor

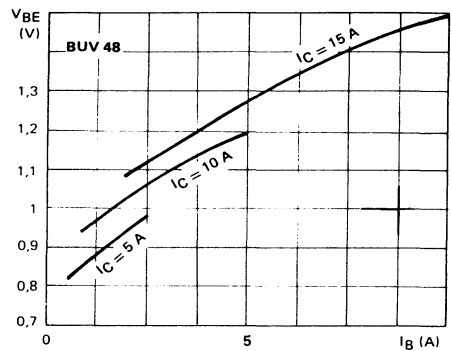


FIGURE 8 : Base characteristics

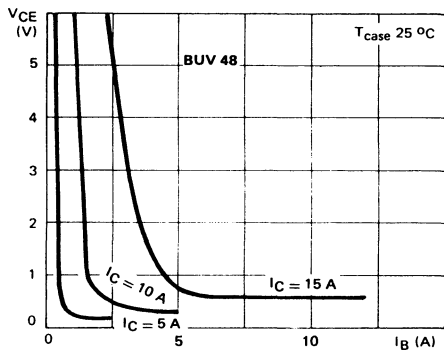


FIGURE 9 : Collector saturation region

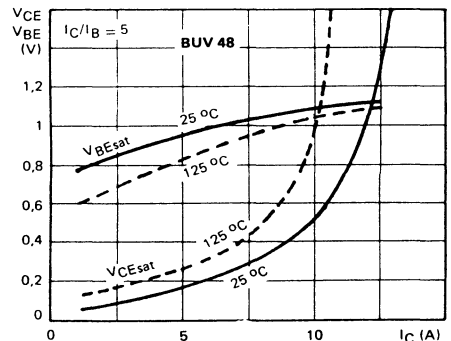


FIGURE 10 : Saturation voltage

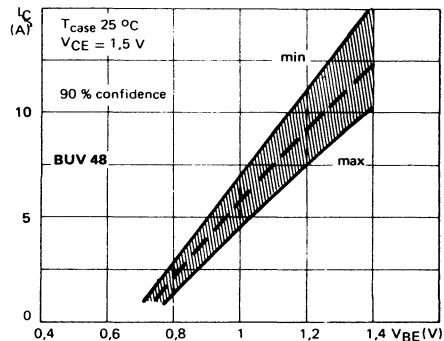
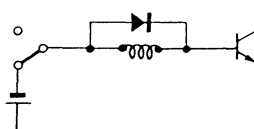
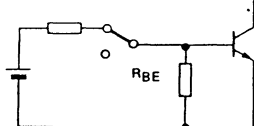


FIGURE 11 : Collector current spread vs base-emitter voltage

SWITCHING OPERATING AND OVERLOAD AREAS



TRANSISTOR FORWARD BIASED

- During the turn on
- During the turn off without negative base-emitter voltage and $R_{BE} \geq 100 \Omega$

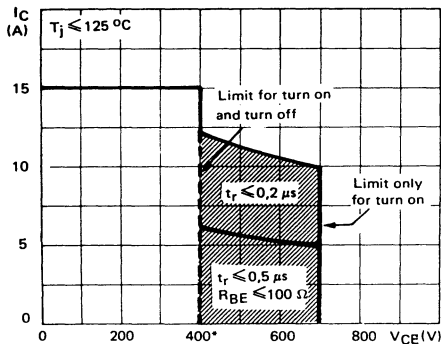


FIGURE 12 : Forward biased safe operating area (FBSOA)

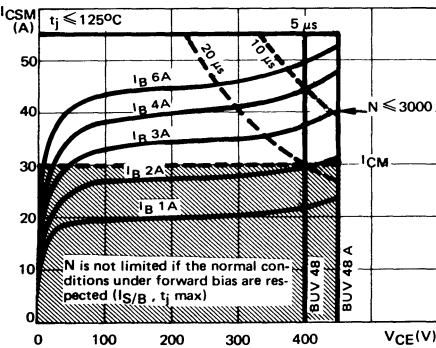


FIGURE 14 : Forward biased accidental overload area (FBAOA)

Figure 12 : The hatched zone can only be used for turn on.

Figures 13 and 15 : Switch off starting from the quasi saturated state ($V_{CE} \geq 1.5$ V) allows to extend the RBSOA and the RBAOA to the hatched zone.

Figures 14 and 15 : High accidental surge currents ($I > I_{CM}$) are allowed if they are non repetitive and applied less than 3000 times during the component life.

Figure 14 : The Kellogg network (heavy point) allows the calculation of the maximum value of the short-circuit current for a given base current I_B (90 % confidence).

Figure 15 : After the accidental overload current, the RBAOA has to be used for the turn off. As in traffic regulation one is allowed to cross the broken line before the continuous line. One is forbidden to cross the single continuous line.

* BUV 48 A : 450 V

TRANSISTOR REVERSE BIASED

- During the turn off with negative base-emitter voltage

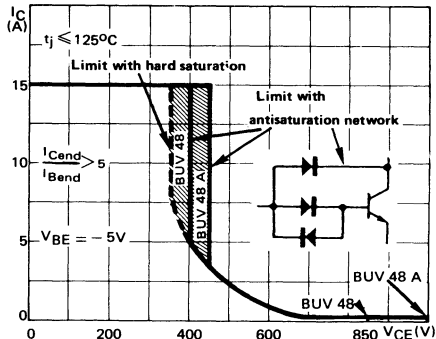


FIGURE 13 : Reverse biased safe operating area (RBSOA)

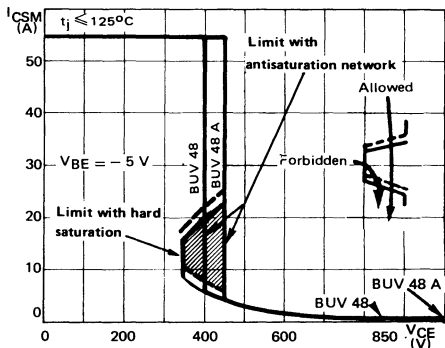


FIGURE 15 : Reverse biased accidental overload area (RBAOA)

Figure 12 : La zone hachurée ne doit être utilisée que pour la mise en conduction.

Figures 13 et 15 : Le blocage à partir de l'état quasi-saturé ($V_{CE} \geq 1.5$ V) permet d'étendre les zones de fonctionnement et de surcharge en inverse jusqu'à la zone hachurée.

Figures 14 et 15 : De forts courants de surcharge ($I > I_{CM}$) sont permis s'ils sont non répétitifs et appliqués moins de 3000 fois dans la vie du composant.

Figure 14 : Le réseau de Kellogg (trait gras) permet le calcul de la valeur maximale du courant de court-circuit pour un courant de base donné I_B (90 % de confiance).

Figure 15 : Après le passage du courant de surcharge accidentelle on doit utiliser l'aire de surcharge accidentelle en polarisation inverse pour l'ouverture. Il est permis de traverser la ligne continue à condition de traverser d'abord la ligne pointillée.

BUV 48 - BUV 48 A

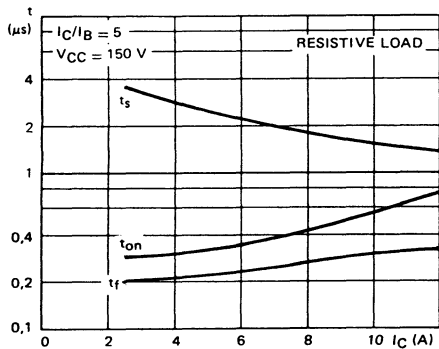


FIGURE 16 : Switching times vs collector current
(resistive load)

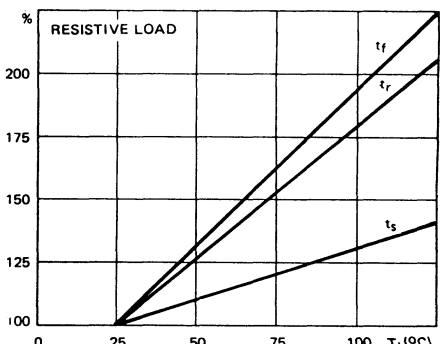


FIGURE 17 : Switching times vs junction temperature
(resistive load)

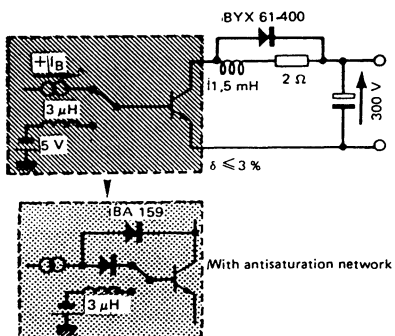


FIGURE 18 : Switching times test circuit on inductive load
(with and without antisaturation network)

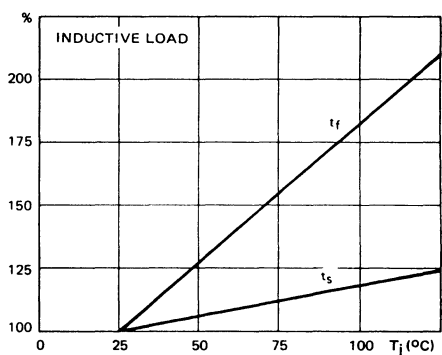


FIGURE 19 : Switching times vs junction temperature
(inductive load)

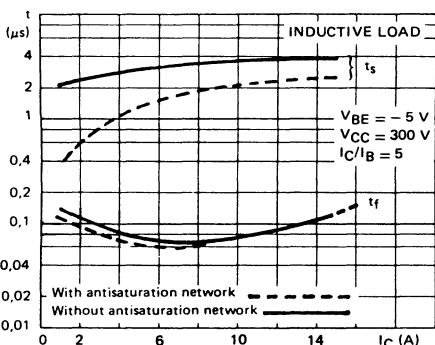


FIGURE 20 : Switching times vs collector current
(with and without antisaturation network)

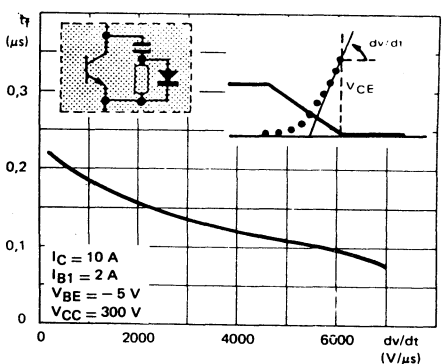


FIGURE 21 : Fall times vs reapply voltage slope

NPN HIGH VOLTAGE SWITCHING TRANSISTORS
TRANSISTORS NPN HAUTE TENSION DE COMMUTATION
ADVANCE INFORMATION**ISOLATED SUPERSWITCH**

ISOLATED COLLECTOR TOP-3 PACKAGE
COLLECTOR TO CASE CAPACITANCE : 15 pF
HIGH VOLTAGE, HIGH SPEED TRANSISTOR SUITED FOR
USE ON THE 220 and 380 V MAINS :
SWITCHMODE POWER SUPPLY, DC AND AC MOTOR
CONTROL

Data sheet tailored for switching applications

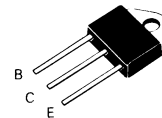
- *Key parameters characterized at 25 and 100°C
- *High blocking capability 850 V-1000 V
- *Wide surge area 55 A-350 V
- *Base drive specified for different values of I_C
- *Information for parallel mounting

COLLECTEUR ISOLE DU BOITIER TOP-3
CAPACITE COLLECTEUR-EMBASE : 15 pF
TRANSISTOR HAUTE TENSION, RAPIDE ADAPTE A
L'UTILISATION SUR LES RESEAUX 220 V ET 380 V.
ALIMENTATIONS A DECOUPAGE, COMMANDE DE MOTEURS
CONTINUS, ALTERNATIFS

Spécifications spécialement étudiées pour la commutation

- *Paramètres principaux caractérisés à 25 et 100°C
- *Possibilités élevées en tension 850 et 1000 V
- *Aire de surcharge étendue 55 A-350 V
- *Commande de base spécifiée pour différentes valeurs de I_C
- *Caractérisation pour le montage en parallèle

| | |
|--------------------------|----------|
| V_{CEO} (sus) | 400 V |
| V_{CEV} | 850 V |
| I_{Csat} | 10 A |
| I_{CSM} | 55 A |
| $t_f(100^\circ\text{C})$ | ≤ 400 ns |

**Case
Boîtier TOP-3 (CB - 244)**

 Isolation voltage : 2 kV_(RMS)
ABSOLUTE RATINGS (LIMITING VALUES)
VALEURS LIMITES ABSOLUES D'UTILISATION

| | | | |
|---|-------------------|-------------|----|
| Collector-emitter voltage <i>Tension collecteur-émetteur</i> | V_{CEO} | 400 | V |
| Collector-emitter voltage <i>Tension collecteur-émetteur</i> | V_{CEV} | 850 | V |
| Emitter-base voltage <i>Tension émetteur-base</i> | V_{EBO} | 7 | V |
| Collector current <i>Courant collecteur</i> | I_C I_{CM} | 15 30 | A |
| Base current <i>Courant base</i> | I_B I_{BM} | 4 20 | A |
| Power dissipation <i>Dissipation de puissance</i> | P_{tot} | 100 76 | W |
| Junction temperature <i>Température de jonction</i> | T_j | - 65, + 175 | °C |

| | | | |
|---|---------------|-----|------|
| Junction-case thermal resistance <i>Résistance thermique jonction-boîtier</i> max. | $R_{th(j-c)}$ | 1,5 | °C/W |
|---|---------------|-----|------|

ELECTRICAL CHARACTERISTICS - CARACTÉRISTIQUES ÉLECTRIQUES **

| SYMBOLS | Min | Typ | Max | UNITS | TEST CONDITIONS - CONDITIONS DE MESURE |
|----------------|------------|------------|------------|--------------|---|
|----------------|------------|------------|------------|--------------|---|

OFF CHARACTERISTICS - CARACTÉRISTIQUES A L'ÉTAT BLOQUÉ

| | | | | | |
|-----------------|-----|--|----------|----|--|
| V_{CEO} (sus) | 400 | | | V | $I_B = 0 \text{ A}, I_C = 0,2 \text{ A}, L = 25 \text{ mH}$ |
| $V_{(B)EBO}$ | 7 | | 30 | V | $I_C = , I_E = 0,05 \text{ A}$ |
| I_{CEV} | | | 0,2 2 | mA | $T_{case} 25^\circ\text{C}$ $T_{case} 125^\circ\text{C}$ } $V_{CE} = V_{CEV}, V_{BE} = - 2,5 \text{ V}$ |
| I_{CER} | | | 0,5 4 | mA | $T_{case} 25^\circ\text{C}$ $T_{case} 125^\circ\text{C}$ } $V_{CE} = V_{CEV}, R_{BE} \leq 10 \Omega$ |
| I_{EBO} | | | 1 | mA | $I_C = 0, V_{EB} = 5 \text{ V}$ |

ON CHARACTERISTICS - CARACTÉRISTIQUES A L'ÉTAT CONDUCTEUR

| | | | | |
|---------------|--|------------|---|---|
| V_{CE} sat* | | 1,5 3,5 | V | $I_C = 10 \text{ A}, I_B = 2 \text{ A}$ $I_C = 15 \text{ A}, I_B = 4 \text{ A}$ |
| V_{BE} sat* | | 1,6 | V | $I_C = 10 \text{ A}, I_B = 2 \text{ A}$ $I_C = 8 \text{ A}, I_B = 1,6 \text{ A}$ |

SWITCHING CHARACTERISTICS - CARACTÉRISTIQUES DE COMMUTATION**On resistive load - Sur charge résistive**

| | | | | | |
|----------|--|------|-----|---------------|---|
| t_{on} | | 0,55 | 1 | μs | $V_{CC} = 150 \text{ V}, I_C = 10 \text{ A}, I_{B1} = I_{B2} = 2 \text{ A}$ |
| t_s | | 1,5 | 3 | | |
| t_f | | 0,3 | 0,8 | | |

On inductive load - Sur charge inductive

| | | | | | |
|-------|--|------|---|---------------|---|
| t_s | | 3,5 | 5 | μs | $T_j = 25^\circ\text{C}$ $T_j = 100^\circ\text{C}$ } $V_{CC} = 300 \text{ V}, V_{BE} = - 5 \text{ V},$ $L_B = 3 \mu\text{H}, I_{Bend} = 2 \text{ A},$ $T_j = 25^\circ\text{C}$ $T_j = 100^\circ\text{C}$ } $I_C = 10 \text{ A}$ |
| t_f | | 0,08 | | | |
| | | 0,4 | | | |

*Measured with pulses $t_p = 300 \mu\text{s}, \delta \leq 2 \%$ ** $T_{case} 25^\circ\text{C}$ Unless otherwise stated.

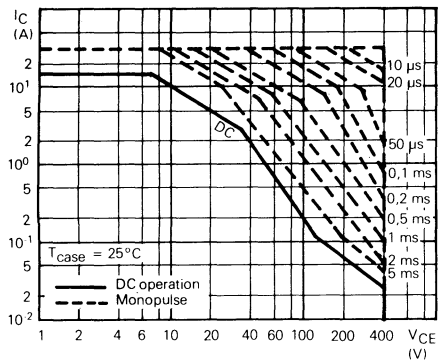


FIGURE 1 : DC and pulse area.

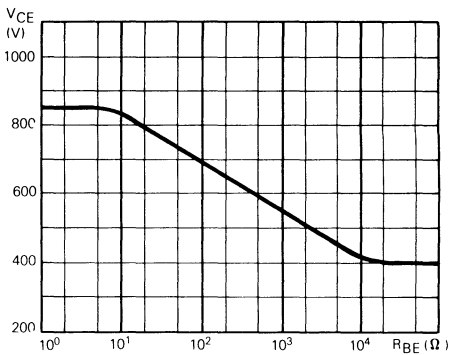


FIGURE 2 : Collector-emitter voltage versus base-emitter resistance.

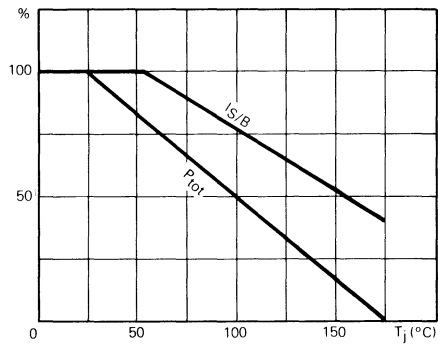


FIGURE 3 : Power and $I_{S/B}$ derating versus case temperature.

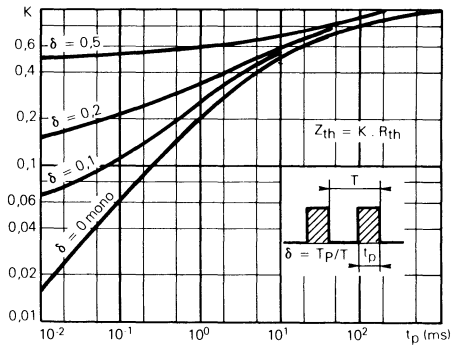


FIGURE 4 : Transient thermal response.

BUV 48 i

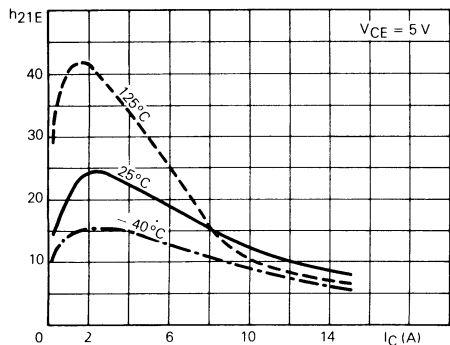


FIGURE 6 : DC current gain.

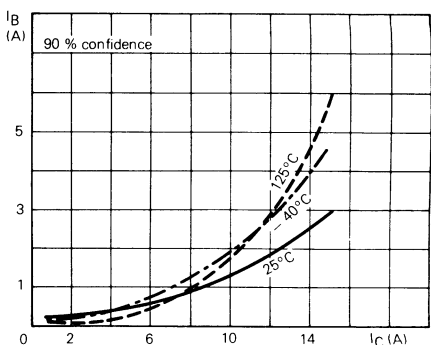


FIGURE 7 : Minimum base current to saturate the transistor.

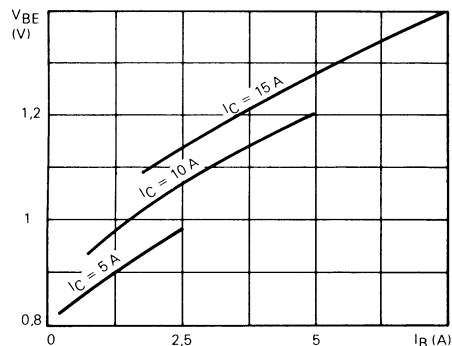


FIGURE 8 : Base characteristics.

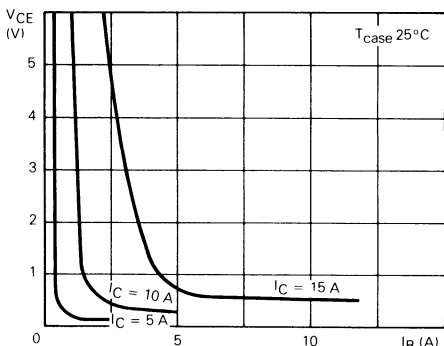


FIGURE 9 : Collector saturation region.

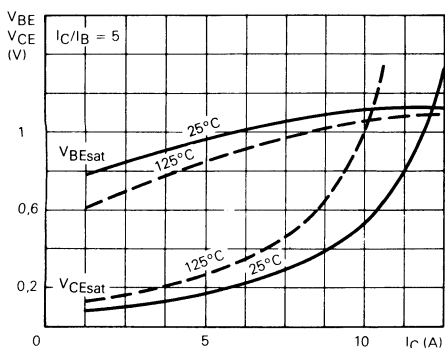


FIGURE 10 : Saturation voltage.

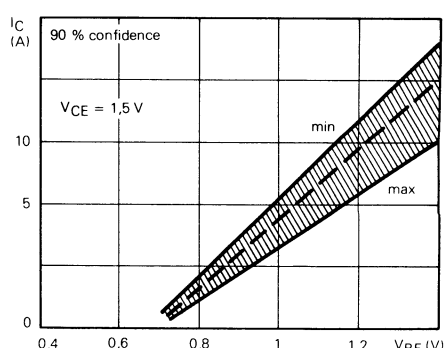
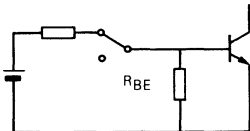


FIGURE 11 : Collector current spread versus base-emitter voltage.

SWITCHING OPERATING AND OVERLOAD AREAS


TRANSISTOR FORWARD BIASED

- During the turn-on
- During the turn-off without negative base-emitter voltage and $R_{BE} \geq 100 \Omega$

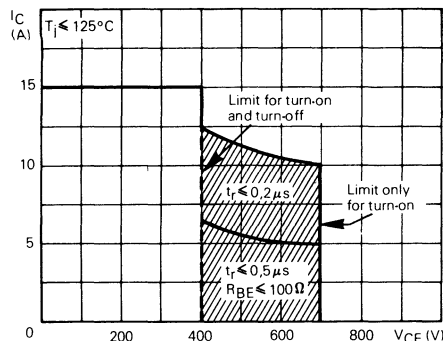
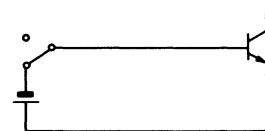


FIGURE 12 : Forward biased safe operating area (FBSOA).


TRANSISTOR REVERSE BIASED

- During the turn-off with negative base-emitter voltage

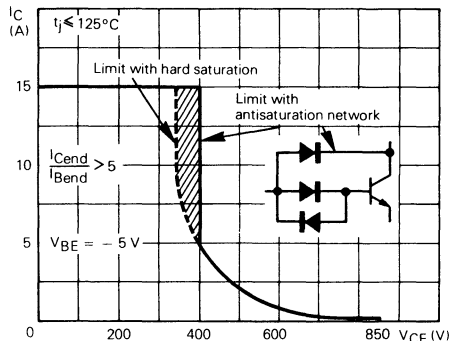


FIGURE 13 : Reverse biased safe operating area (RBSOA).

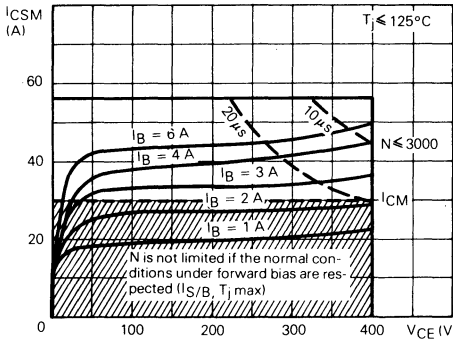


FIGURE 14 : Forward biased accidental overload area (FBAOA).

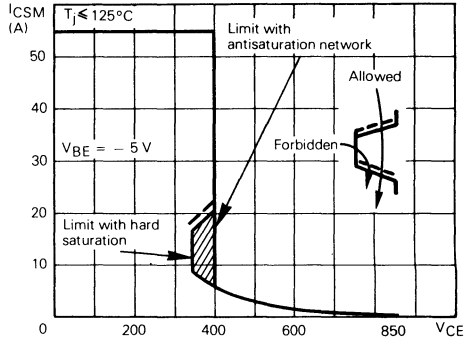


FIGURE 15 : Reverse biased accidental overload area (RBAOA).

Figure 12 : The hatched zone can only be used for turn-on.

Figures 13 and 15 : Switch off starting from the quasi-saturated state ($V_{CE} \geq 1.5$ V) allows to extend the RBSOA and the RBAOA to the hatched zone.

Figures 14 and 15 : High accidental surge currents ($I > I_{CM}$) are allowed if they are non repetitive and applied less than 3000 times during the component life.

Figure 14 : The Kellogg network (heavy point) allows the calculation of the maximum value of the short-circuit current for a given base current I_B (90 % confidence).

Figure 15 : After the accidental overload current, the RBAOA has to be used for the turn-off. As in traffic regulation one is allowed to cross the broken line before the continuous line. One is forbidden to cross the single continuous line.

Figure 12 : La zone hachurée ne doit être utilisée que pour la mise en conduction.

Figures 13 et 15 : Le blocage à partir de l'état quasi-saturé ($V_{CE} \geq 1.5$ V) permet d'étendre les aires de fonctionnement et de surcharge en inverse jusqu'à la zone hachurée.

Figures 14 et 15 : Des forts courants de surcharge ($I > I_{CM}$) sont permis s'ils sont non répétitifs et appliqués de 3000 fois dans la vie du composant.

Figure 14 : Le réseau de Kellogg (trait gras) permet le calcul de la valeur maximale du courant de court-circuit pour un courant de base donné I_B (90 % de confiance).

Figure 15 : Après le passage du courant de surcharge accidentelle on doit utiliser l'aire de surcharge accidentelle en polarisation inverse pour l'ouverture. Il est permis de traverser la ligne continue à condition de traverser d'abord la ligne pointillée.

BUV 48 i

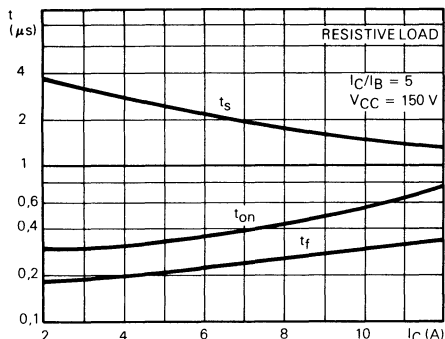


FIGURE 16 : Switching times versus collector current.

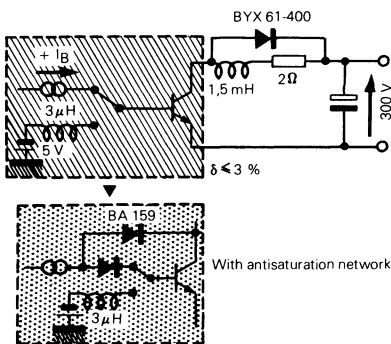


FIGURE 18 : Switching times test circuit on inductive load (with and without antisaturation network).

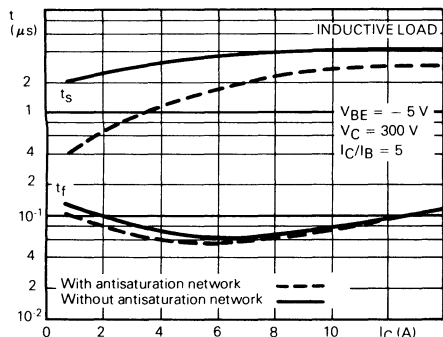


FIGURE 20 : Switching times versus collector current (with and without antisaturation network).

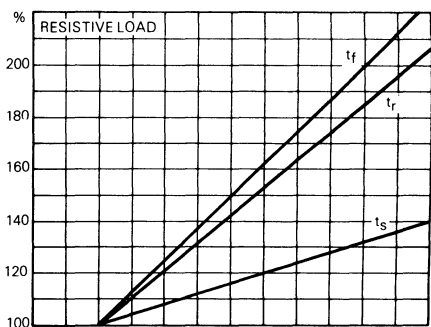


FIGURE 17 : Switching times versus junction temperature.

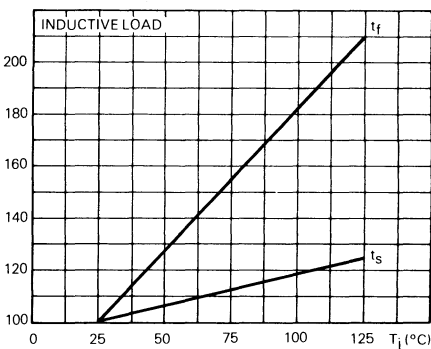


FIGURE 19 : Switching times versus junction temperature.

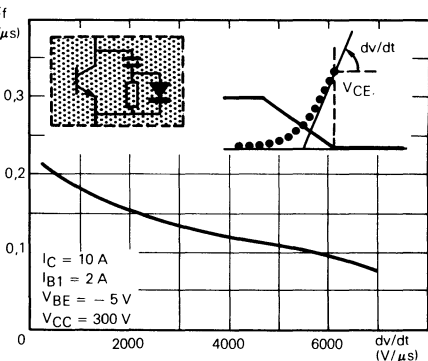


FIGURE 21 : Fall times versus reapply voltage slope.

ADVANCE INFORMATION



HIGHER EFFICIENCY DUE TO :

- Faster switching times
- Lower switching losses
- Lower on state voltage drop
- Base current requirements

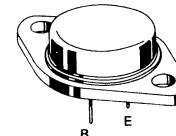
NEW DATA FOR WORST CASE DESIGN

- Characteristics specified at 100 °C

NEW DATA FOR OPTIMAL DESIGN

- Very low saturation voltage and high gain for reduced load operation
- Turn-on and turn-off tail specifications
- Turn-on dIc/dt for better rectifier choice
- Switching times specified with and without negative base drive

| | |
|---------------------|---------------------|
| $V_{CEO(sat)}$ | 125 V |
| V_{CEV} | 250 V |
| V_{CEsat} | $\leq 0,9$ V |
| I_{Csat} | 20 A |
| I_{CSM} | 75 A |
| t_{fj} (100 °C)) | $\leq 0,35$ μ s |

Case
Boîtier TO 3 (CB 19)ABSOLUTE RATINGS (LIMITING VALUES)
VALEURS LIMITES ABSOLUES D'UTILISATION

| | | | | |
|--|------------------------|--------------|-----|---|
| Collector-emitter voltage <i>Tension collecteur-émetteur</i> | V_{CEO} | 125 | V | |
| Collector-emitter voltage <i>Tension collecteur-émetteur</i> | V_{CEV} | 250 | V | |
| Emitter-base voltage <i>Tension émetteur-base</i> | V_{EBO} | 7 | V | |
| Collector current <i>Courant collecteur</i> | $I_C(RMS)$ I_{CM} | 25 50 | A | |
| Base current <i>Courant base</i> | $I_B(RMS)$ I_{BM} | 6 12 | A | |
| Reverse bias base power dissipation (B.E. junction in avalanche) <i>Dissipation de puissance base-émetteur en avalanche</i> | P_{base} | 2 | W | |
| Power dissipation <i>Dissipation de puissance</i> | $T_{case} 25$ °C | P_{tot} | 150 | W |
| Junction temperature <i>Température de jonction</i> | T_j | $- 65 + 200$ | °C | |

| | | | |
|--|---------------|------|------|
| Thermal resistance junction-case <i>Résistance thermique jonction-boîtier</i> | $R_{th(j-c)}$ | 1,17 | °C/W |
|--|---------------|------|------|

ELECTRICAL CHARACTERISTICS - CARACTÉRISTIQUES ÉLECTRIQUES **

| SYMBOLS | Min | Typ | Max | UNITS | TEST CONDITIONS - CONDITIONS DE MESURE |
|---|-----|--------|-----|-------|---|
| OFF CHARACTERISTICS - CARACTÉRISTIQUES A L'ÉTAT BLOQUÉ | | | | | |
| V_{CEO} | 125 | | | V | $I_B = 0, I_C = 0,2 \text{ A}, L = 25 \text{ mH}$ |
| $V_{(BR)EBO}$ | 7 | | | V | $I_C = 0, I_E = 50 \text{ mA}$ |
| I_{CEV} | | 1 5 | | mA | $T_j = 25^\circ\text{C}$ $T_j = 100^\circ\text{C}$ |
| I_{CER} | | 1 5 | | mA | $T_j = 25^\circ\text{C}$ $T_j = 100^\circ\text{C}$ |
| I_{EBO} | | 1 | | mA | $I_C = 0, V_{BE} = -5 \text{ V}$ |

ON CHARACTERISTICS - CARACTÉRISTIQUES A L'ÉTAT CONDUCTEUR

| | | | | | | |
|---------------|--|--------------|------------|---|---|---|
| V_{CEsat}^* | | 0,7 0,9 | 1,2 1,8 | V | $T_j = 25^\circ\text{C}$ $T_j = 100^\circ\text{C}$ | $I_C = 24 \text{ A}, I_B = 3 \text{ A}$ |
| V_{CEsat}^* | | 0,6 0,75 | 0,9 1,5 | V | $T_j = 25^\circ\text{C}$ $T_j = 100^\circ\text{C}$ | $I_C = 20 \text{ A}, I_B = 2 \text{ A}$ |
| V_{CEsat}^* | | 0,4 0,5 | 0,7 0,8 | V | $T_j = 25^\circ\text{C}$ $T_j = 100^\circ\text{C}$ | $I_C = 10 \text{ A}, I_B = 0,5 \text{ A}$ |
| V_{BEsat}^* | | 1,35 1,45 | 1,7 1,9 | V | $T_j = 25^\circ\text{C}$ $T_j = 100^\circ\text{C}$ | $I_C = 24 \text{ A}, I_B = 3 \text{ A}$ |
| V_{BEsat}^* | | 1,25 1,25 | 1,6 1,7 | V | $T_j = 25^\circ\text{C}$ $T_j = 100^\circ\text{C}$ | $I_C = 20 \text{ A}, I_B = 2 \text{ A}$ |

SWITCHING CHARACTERISTICS - CARACTÉRISTIQUES DE COMMUTATION **

SWITCHING TIMES ON RESISTIVE LOAD - TEMPS DE COMMUTATION SUR CHARGE RÉSISTIVE (fig. 1)

| | | | | | |
|-------|--|------|-----|---------------|---|
| t_r | | 0,33 | 0,6 | μs | $V_{CC} = 100 \text{ V}, I_C = 24 \text{ A}, I_{B1} = 3 \text{ A}, R_{B2} = 0,83 \Omega, V_{BB} = -5 \text{ V}, t_p = 30 \mu\text{s}$ |
| t_s | | 0,75 | 1,2 | | |
| t_f | | 0,15 | 0,3 | | |

TURN-ON SWITCHING CHARACTERISTICS - CARACTÉRISTIQUES DE COMMUTATION A LA MISE EN CONDUCTION (fig. 2)

| | | | | | | |
|--------------------------|--|------------|--|------------------------|---|--|
| dI_c/dt | | 100 85 | | $\text{A}/\mu\text{s}$ | $T_j = 25^\circ\text{C}$ $T_j = 100^\circ\text{C}$ | $V_{CC} = 100 \text{ V}, R_C = 0, I_{B1} = 3 \text{ A}$ |
| $V_{CE} (2 \mu\text{s})$ | | 1,4 2,1 | | V | $T_j = 25^\circ\text{C}$ $T_j = 100^\circ\text{C}$ | $V_{CC} = 100 \text{ V}$ $R_C = 5 \Omega$ $I_{B1} = 2 \text{ A}$ |
| $V_{CE} (4 \mu\text{s})$ | | 1,1 1,5 | | V | $T_j = 25^\circ\text{C}$ $T_j = 100^\circ\text{C}$ | |

TURN-OFF SWITCHING CHARACTERISTICS - CARACTÉRISTIQUES DE COMMUTATION A L'OUVERTURE (fig.3)

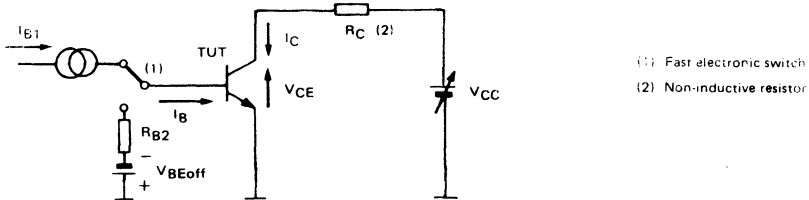
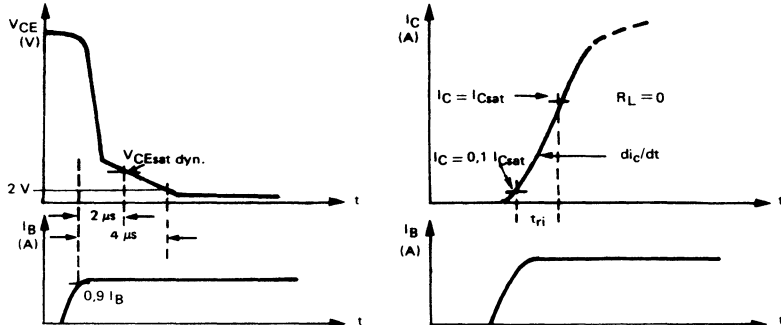
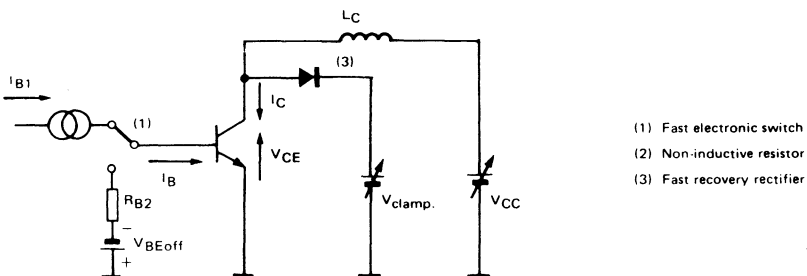
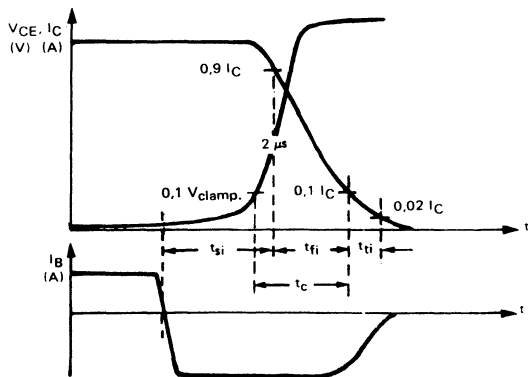
ON INDUCTIVE LOAD - SUR CHARGE INDUCTIVE

| | | | | | |
|--|--|--------------|-------------|---------------|---|
| With negative bias - Avec polarisation négative | | | | | |
| t_{si} | | 0,85 1,2 | 1,4 1,9 | μs | $T_j = 25^\circ\text{C}$ $T_j = 100^\circ\text{C}$ |
| t_{fi} | | 0,09 0,17 | 0,2 0,35 | μs | $T_j = 25^\circ\text{C}$ $T_j = 100^\circ\text{C}$ |
| t_{ti} | | 0,04 0,07 | | μs | $T_j = 25^\circ\text{C}$ $T_j = 100^\circ\text{C}$ |
| t_c | | 0,16 0,3 | | μs | $T_j = 25^\circ\text{C}$ $T_j = 100^\circ\text{C}$ |
| $I_C = 20 \text{ A}$ $I_B = 2 \text{ A}$ $V_{BB} = -5 \text{ V}$ $R_{B2} = 1,3 \Omega$ $V_{CC} = 100 \text{ V}$ $V_{clamp.} = 125 \text{ V}$ $L_C = 0,25 \text{ mH}$ | | | | | |

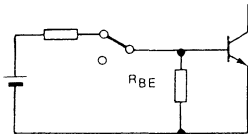
Without negative bias - Sans polarisation négative

| | | | | | | |
|----------|--|--------------|--|---------------|---|---|
| t_{si} | | 2,1 3,2 | | μs | $T_j = 25^\circ\text{C}$ $T_j = 100^\circ\text{C}$ | $I_C = 20 \text{ A}$ $I_B = 2 \text{ A}$ $V_{BB} = 0 \text{ V}$ $R_{B2} = 4,7 \Omega$ $V_{CC} = 100 \text{ V}$ $V_{clamp.} = 125 \text{ V}$ $L_C = 0,25 \text{ mH}$ |
| t_{fi} | | 0,7 1,2 | | μs | $T_j = 25^\circ\text{C}$ $T_j = 100^\circ\text{C}$ | |
| t_{ti} | | 0,28 0,55 | | μs | $T_j = 25^\circ\text{C}$ $T_j = 100^\circ\text{C}$ | |

** $T_j = 25^\circ\text{C}$ Unless otherwise stated* Pulsed Impulsions $t_p \leq 300 \mu\text{s}$ $\delta \leq 2\%$

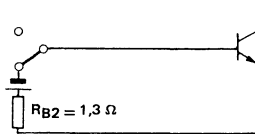
FIGURE 1 : SWITCHING TIMES TEST CIRCUIT (RESISTIVE LOAD)**FIGURE 2 : TURN-ON SWITCHING WAVEFORMS****FIGURE 3 a : TURN-OFF SWITCHING TEST CIRCUIT****FIGURE 3 b : TURN-OFF SWITCHING WAVEFORMS (INDUCTIVE LOAD)**

BUV 50



TRANSISTOR FORWARD BIASED

- During the turn on
- During the turn off without negative base-emitter voltage and $4,7 \Omega \leq R_{BE} \leq 50 \Omega$



TRANSISTOR REVERSE BIASED

- During the turn off with negative base-emitter voltage

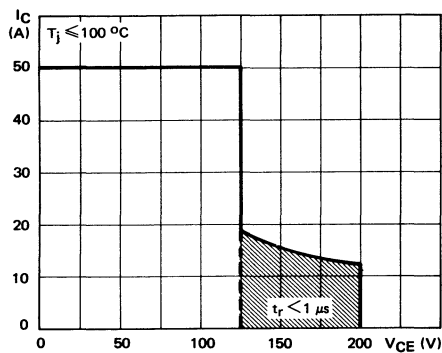


FIGURE 4 : Forward biased safe operating area (FBSOA)

The hatched zone can only be used for turn-on
La zone hachurée ne doit être utilisée que pour la mise en conduction

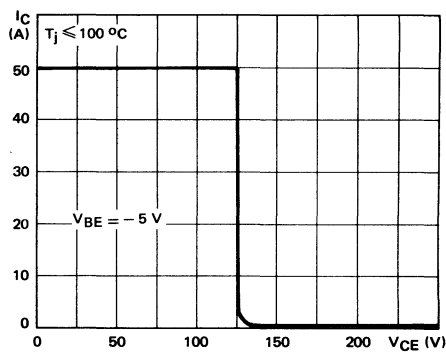


FIGURE 5 : Reverse biased safe operating area (RBSOA)

ADVANCE INFORMATION



HIGHER EFFICIENCY DUE TO :

- Faster switching times
- Lower switching losses
- Lower on state voltage drop
- Less base current requirements

NEW DATA FOR WORST CASE DESIGN

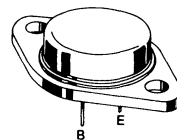
- Characteristics specified at 100°C

NEW DATA FOR OPTIMAL DESIGN

- Very low saturation voltage and high gain for reduced load operation
- Turn-on and turn-off tail specifications
- Turn-on dI/dt for better rectifier choice
- Switching times specified with and without negative base drive

| | |
|-----------------------------|---------------|
| V_{CEO} us | 200 V |
| V_{CEV} | 300 V |
| V_{CEsat} | $\leq 0,9$ V |
| I_{Csat} | 10 A |
| I_{CSM} | 70 A |
| $t_{fj}(100^\circ\text{C})$ | ≤ 250 ns |

Case Boîtier TO 3 (CB 19)



ABSOLUTE RATINGS (LIMITING VALUES)

VALEURS LIMITES ABSOLUES D'UTILISATION

| | | | | |
|---|-------------------------|-----------|----------------|---|
| Collector-emitter voltage Tension collecteur-émetteur | V_{CEO} | 200 | V | |
| Collector-emitter voltage Tension collecteur-émetteur | V_{CEV} | 300 | V | |
| Emitter-base voltage Tension émetteur base | V_{EBO} | 7 | V | |
| Collector current Courant collecteur | I_C (RMS) I_{CM} | 20 28 | A | |
| Base current Courant base | I_B (RMS) I_{BM} | 4 7 | A | |
| Reverse bias base power dissipation(B.E junction in avalanche) Dissipation de puissance base-émetteur en avalanche | P_{base} | 1 | W | |
| Power dissipation Dissipation de puissance | T_{case} 25°C | P_{tot} | 150 | W |
| Junction temperature Température de jonction | | T_j | $-65 + 200$ °C | |

| | | | | |
|---|-----|---------------|------|------|
| Thermal resistance junction-case Résistance thermique jonction-boîtier | max | $R_{th(j-c)}$ | 1,17 | °C/W |
|---|-----|---------------|------|------|

ELECTRICAL CHARACTERISTICS - CARACTERISTIQUES ELECTRIQUES

| SYMBOLS | Min | Typ | Max | UNITS | TEST CONDITIONS - CONDITIONS DE MESURE |
|---|-----|-----|------------|-------|---|
| OFF CHARACTERISTICS - CARACTERISTIQUES A L'ETAT BLOQUE | | | | | |
| V_{CEOus} | 200 | | | V | $I_B = 0, I_C = 0.2 \text{ A}, L = 25 \text{ mH}$ |
| $V_{(BR)EBO}$ | 7 | | | V | $I_C = 0, I_E = 50 \text{ mA}$ |
| I_{CEV} | | | 0,5 2 | mA | $T_J = 25^\circ\text{C}$ $T_J = 100^\circ\text{C}$ $V_{CE} = V_{CEV}, V_{BE} = -1,5 \text{ V}$ |
| I_{CER} | | | 0,5 2,5 | mA | $T_J = 25^\circ\text{C}$ $T_J = 100^\circ\text{C}$ $V_{CE} = V_{CEV}, R_{BE} = 10 \Omega$ |
| I_{EBO} | | | 1 | mA | $I_C = 0, V_{BE} = -5 \text{ V}$ |

ON CHARACTERISTICS - CARACTERISTIQUES A L'ETAT CONDUCTEUR

| | | | | | |
|---------------|--|-------------|------------|---|--|
| V_{CEsat}^* | | 0,68 0,9 | 1,2 1,9 | V | $T_J = 25^\circ\text{C}$ $T_J = 100^\circ\text{C}$ $I_C = 14 \text{ A}, I_B = 1,75 \text{ A}$ |
| V_{CEsat}^* | | 0,45 0,6 | 0,9 1,2 | V | $T_J = 25^\circ\text{C}$ $T_J = 100^\circ\text{C}$ $I_C = 10 \text{ A}, I_B = 1 \text{ A}$ |
| V_{CEsat}^* | | 0,4 0,4 | 0,8 0,8 | V | $T_J = 25^\circ\text{C}$ $T_J = 100^\circ\text{C}$ $I_C = 5 \text{ A}, I_B = 0,25 \text{ A}$ |
| V_{BEsat}^* | | 1,3 1,2 | 1,7 1,7 | V | $T_J = 25^\circ\text{C}$ $T_J = 100^\circ\text{C}$ $I_C = 14 \text{ A}, I_B = 1,75 \text{ A}$ |
| V_{BEsat}^* | | 1,1 1 | 1,4 1,4 | V | $T_J = 25^\circ\text{C}$ $T_J = 100^\circ\text{C}$ $I_C = 10 \text{ A}, I_B = 1 \text{ A}$ |

SWITCHING CHARACTERISTICS - CARACTERISTIQUES DE COMMUTATION**

SWITCHING TIMES ON RESISTIVE LOAD - TEMPS DE COMMUTATION SUR CHARGE RESISTIVE

| | | | | | |
|-------|--|------|-----|---------------|--|
| t_r | | 0,3 | 0,6 | μs | $V_{CC} = 160 \text{ V}, I_C = 14 \text{ A}, I_{B1} = 1,7 \text{ A}$ |
| t_s | | 0,6 | 1,2 | μs | $V_{BB} = -5 \text{ V}, R_{B2} = 1,4 \Omega, t_p = 30 \mu\text{s}$ |
| t_f | | 0,12 | 0,3 | μs | |

TURN-ON SWITCHING CHARACTERISTICS - CARACTERISTIQUES DE COMMUTATION A LA MISE EN CONDUCTION

| | | | | | |
|--------------------------|--|------------|--|------------------|---|
| di_c/dt | | 75 65 | | A/ μs | $T_J = 25^\circ\text{C}$ $T_J = 100^\circ\text{C}$ $V_{CC} = 160 \text{ V}, R_C = 0, I_{B1} = 1,5 \text{ A}$ |
| $V_{CE} (2 \mu\text{s})$ | | 1,8 3 | | V | $T_J = 25^\circ\text{C}$ $T_J = 100^\circ\text{C}$ $V_{CC} = 160 \text{ V}, R_C = 16 \Omega, I_{B1} = 1 \text{ A}$ |
| $V_{CE} (4 \mu\text{s})$ | | 1,1 1,4 | | V | $T_J = 25^\circ\text{C}$ $T_J = 100^\circ\text{C}$ $V_{CC} = 160 \text{ V}, R_C = 16 \Omega, I_{B1} = 1 \text{ A}$ |

TURN-OFF SWITCHING CHARACTERISTICS - CARACTERISTIQUES DE COMMUTATION A L'OUVERTURE

ON INDUCTIVE LOAD - SUR CHARGE INDUCTIVE

| | | | | | |
|---|--|--------------|--------------|---------------|---|
| With negative bias - Avec polarisation négative | | | | | |
| t_{si} | | 0,7 1,1 | 1,2 1,7 | μs | $T_J = 25^\circ\text{C}$ $T_J = 100^\circ\text{C}$ $I_C = 10 \text{ A}$ |
| t_{fi} | | 0,06 0,12 | 0,15 0,25 | μs | $T_J = 25^\circ\text{C}$ $T_J = 100^\circ\text{C}$ $I_B = 1 \text{ A}$ |
| t_{ti} | | 0,01 0,03 | | μs | $T_J = 25^\circ\text{C}$ $T_J = 100^\circ\text{C}$ $V_{BB} = -5 \text{ V}$ |
| t_c | | 0,13 0,24 | | μs | $T_J = 25^\circ\text{C}$ $T_J = 100^\circ\text{C}$ $R_{B2} = 2,5 \Omega$ |

Without negative bias - Sans polarisation négative

| | | | | | |
|----------|--|--------------|--|---------------|---|
| t_{si} | | 1,5 2,7 | | μs | $T_J = 25^\circ\text{C}$ $T_J = 100^\circ\text{C}$ $I_C = 10 \text{ A}$ |
| t_{fi} | | 0,5 0,85 | | μs | $T_J = 25^\circ\text{C}$ $T_J = 100^\circ\text{C}$ $V_{BB} = 0$ |
| t_{ti} | | 0,12 0,25 | | μs | $T_J = 25^\circ\text{C}$ $T_J = 100^\circ\text{C}$ $R_{B2} = 4,7 \Omega$ |

** $T_J = 25^\circ\text{C}$ Unless otherwise stated* Pulses
Impulsions $t_p \leq 300 \mu\text{s}$ $\delta \leq 2\%$

FIGURE 1 : SWITCHING TIMES TEST CIRCUIT (RESISTIVE LOAD)

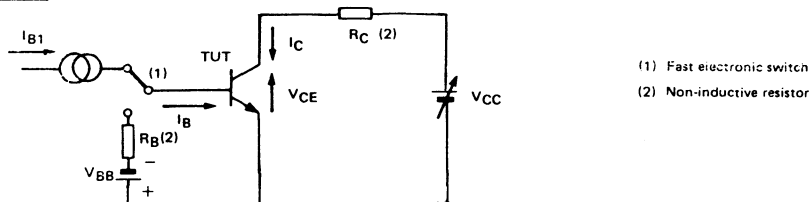


FIGURE 2 : TURN-ON SWITCHING WAVEFORMS

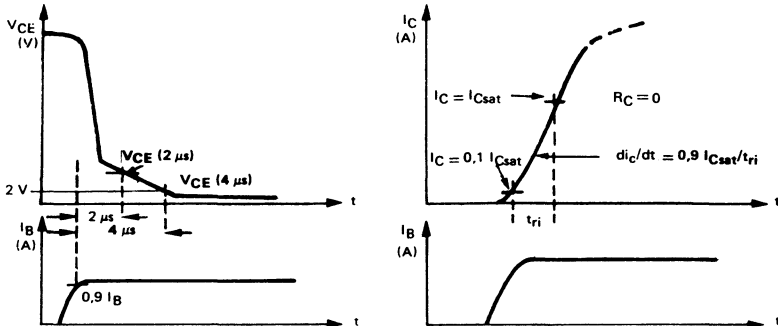


FIGURE 3 a : TURN-OFF SWITCHING TEST CIRCUIT

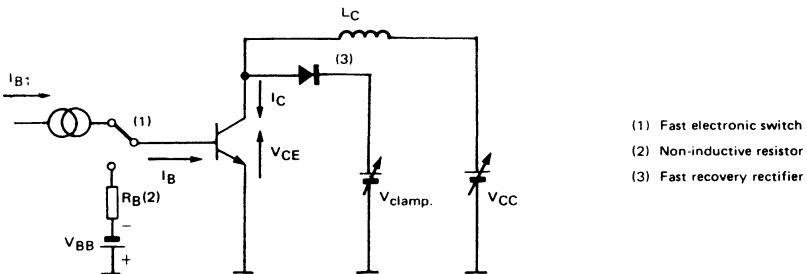
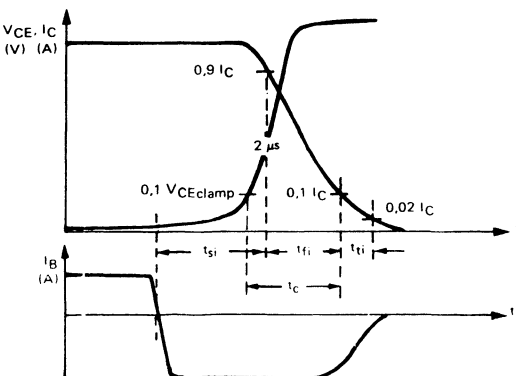
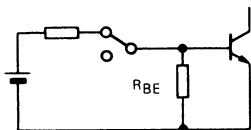
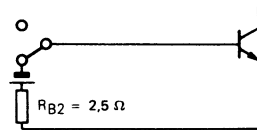


FIGURE 3 b : TURN-OFF SWITCHING WAVEFORMS (INDUCTIVE LOAD)



**TRANSISTOR FORWARD BIASED**

- During the turn-on
- During the turn-off without negative base-emitter voltage and $4,7\Omega \leq R_{BE} \leq 50\Omega$

**TRANSISTOR REVERSE BIASED**

- During the turn-off with negative base-emitter voltage

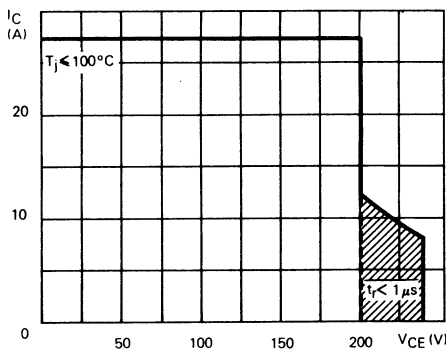


FIGURE 4 : Forward biased safe operating area (FBSOA)

The hatched zone can only be used for turn-on
La zone hachurée ne doit être utilisée que pour la mise en conduction

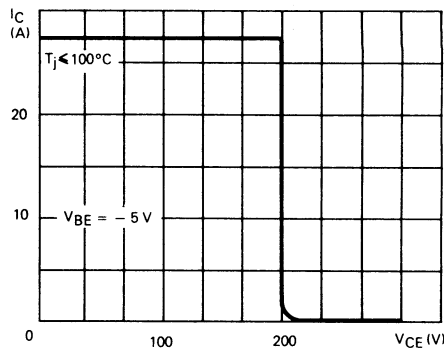


FIGURE 5 : Reverse biased safe operating area (RBSOA)

ADVANCE INFORMATION



HIGHER EFFICIENCY DUE TO :

- Faster switching times
- Lower switching losses
- Lower on state voltage drop
- Less base current requirements

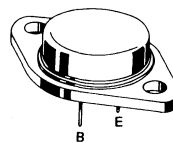
NEW DATA FOR WORST CASE DESIGN

- Characteristics specified at 100°C

NEW DATA FOR OPTIMAL DESIGN

- Very low saturation voltage and high gain for reduced load operation
- Turn-on and turn-off tail specifications
- Turn-on dI/dt for better rectifier choice
- Switching times specified with and without negative base drive

| | |
|-----------------------------|---------------|
| V_{CEOus} | 250 V |
| V_{CEV} | 350 V |
| V_{CEsat} | $\leq 0,9$ V |
| I_{Csat} | 8 A |
| I_{CSM} | 60 A |
| $t_{fi}(100^\circ\text{C})$ | ≤ 400 ns |

Case
Boîtier TO 3 (CB 19)

ABSOLUTE RATINGS (LIMITING VALUES)

VALEURS LIMITES ABSOLUES D'UTILISATION

| | | | | |
|--|-------------------------------|-------------|-----|---|
| Collector-emitter voltage <i>Tension collecteur-émetteur</i> | V_{CEO} | 250 | V | |
| Collector-emitter voltage <i>Tension collecteur-émetteur</i> | V_{CEV} | 350 | V | |
| Emitter-base voltage <i>Tension émetteur-base</i> | V_{EBO} | 7 | V | |
| Collector current <i>Courant collecteur</i> | $I_C(\text{RMS})$ I_{CM} | 20 30 | A | |
| Base current <i>Courant base</i> | $I_B(\text{RMS})$ I_{BM} | 4 6 | A | |
| Reverse bias base power dissipation(B.E junction in avalanche) <i>Dissipation de puissance base-émetteur en avalanche</i> | P_{base} | 1 | W | |
| Power dissipation <i>Dissipation de puissance</i> | $T_{case} 25^\circ\text{C}$ | P_{tot} | 150 | W |
| Junction temperature <i>Température de jonction</i> | T_j | $-65 + 200$ | °C | |

Thermal resistance junction-case
Résistance thermique jonction-boîtier

max

 $R_{th(j-c)}$

1,17

°C/W

ELECTRICAL CHARACTERISTICS - CARACTERISTIQUES ELECTRIQUES

| SYMBOLS | Min | Typ | Max | UNITS | TEST CONDITIONS - CONDITIONS DE MESURE |
|---------|-----|-----|-----|-------|--|
|---------|-----|-----|-----|-------|--|

OFF CHARACTERISTICS - CARACTERISTIQUES A L'ETAT BLOQUE

| | | | | | |
|---------------|-----|------------|--|----|---|
| V_{CEO} | 250 | | | V | $I_B = 0$, $I_C = 0,2 \text{ A}$, $L = 25 \text{ mH}$ |
| $V_{(BR)EBO}$ | 7 | | | V | $I_C = 0$, $I_E = 50 \text{ mA}$ |
| I_{CEV} | | 0,5 2 | | mA | $T_j = 25^\circ\text{C}$ $T_j = 100^\circ\text{C}$ $V_{CE} = V_{CEV}$, $V_{BE} = -1,5 \text{ V}$ |
| I_{CER} | | 0,5 2,5 | | mA | $T_j = 25^\circ\text{C}$ $T_j = 100^\circ\text{C}$ $V_{CE} = V_{CEV}$, $R_{BE} = 10 \Omega$ |
| I_{EBO} | | 1 | | mA | $I_C = 0$, $V_{BE} = -5 \text{ V}$ |

ON CHARACTERISTICS - CARACTERISTIQUES A L'ETAT CONDUCTEUR

| | | | | | |
|---------------|--------------|------------|---|---|--|
| V_{CEsat}^* | 0,6 0,9 | 1,2 1,9 | V | $T_j = 25^\circ\text{C}$ $T_j = 100^\circ\text{C}$ | $I_C = 12 \text{ A}$, $I_B = 1,5 \text{ A}$ |
| V_{CEsat}^* | 0,45 0,6 | 0,9 1,2 | V | $T_j = 25^\circ\text{C}$ $T_j = 100^\circ\text{C}$ | $I_C = 8 \text{ A}$, $I_B = 0,8 \text{ A}$ |
| V_{CEsat}^* | 0,35 0,35 | 0,7 0,7 | V | $T_j = 25^\circ\text{C}$ $T_j = 100^\circ\text{C}$ | $I_C = 4 \text{ A}$, $I_B = 0,27 \text{ A}$ |
| V_{BEsat}^* | 1,2 1,2 | 1,5 1,5 | V | $T_j = 25^\circ\text{C}$ $T_j = 100^\circ\text{C}$ | $I_C = 12 \text{ A}$, $I_B = 1,5 \text{ A}$ |
| V_{BEsat}^* | 1 0,9 | 1,3 1,3 | V | $T_j = 25^\circ\text{C}$ $T_j = 100^\circ\text{C}$ | $I_C = 8 \text{ A}$, $I_B = 0,8 \text{ A}$ |

SWITCHING CHARACTERISTICS - CARACTERISTIQUES DE COMMUTATION**

SWITCHING TIMES ON RESISTIVE LOAD - TEMPS DE COMMUTATION SUR CHARGE RESISTIVE

| | | | | |
|-------|------|-----|---------------|--|
| t_r | 0,3 | 0,6 | μs | $V_{CC} = 200 \text{ V}$, $I_C = 12 \text{ A}$, $I_B1 = 1,5 \text{ A}$ |
| t_s | 1 | 1,6 | μs | $V_{BB} = -5 \text{ V}$, $R_{B2} = 1,7 \Omega$, $t_p = 30 \mu\text{s}$ |
| t_f | 0,15 | 0,3 | μs | |

TURN-ON SWITCHING CHARACTERISTICS - CARACTERISTIQUES DE COMMUTATION A LA MISE EN CONDUCTION

| | | | | | |
|-------------------------|------------|--|------------------|---|---|
| dI_c/dt | 70 60 | | A/ μs | $T_j = 25^\circ\text{C}$ $T_j = 100^\circ\text{C}$ | $V_{CC} = 200 \text{ V}$, $R_C = 0$, $I_B1 = 1,2 \text{ A}$ |
| $V_{CE}(2 \mu\text{s})$ | 1,8 2,8 | | V | $T_j = 25^\circ\text{C}$ $T_j = 100^\circ\text{C}$ | $V_{CC} = 200 \text{ V}$, $R_C = 25 \Omega$, $I_B1 = 0,8 \text{ A}$ |
| $V_{CE}(4 \mu\text{s})$ | 1,1 1,5 | | V | $T_j = 25^\circ\text{C}$ $T_j = 100^\circ\text{C}$ | |

TURN-OFF SWITCHING CHARACTERISTICS - CARACTERISTIQUES DE COMMUTATION A L'OUVERTURE

ON INDUCTIVE LOAD - SUR CHARGE INDUCTIVE

| With negative bias - Avec polarisation négative | | | | | |
|---|--------------|------------|---------------|---|--|
| t_{si} | 1,2 1,8 | 1,8 2,4 | μs | $T_j = 25^\circ\text{C}$ $T_j = 100^\circ\text{C}$ | $I_C = 8 \text{ A}$ |
| t_{fi} | 0,08 0,2 | 0,2 0,4 | μs | $T_j = 25^\circ\text{C}$ $T_j = 100^\circ\text{C}$ | $I_B = 0,8 \text{ A}$ $V_{BB} = -5 \text{ V}$ |
| t_{ti} | 0,03 0,08 | | μs | $T_j = 25^\circ\text{C}$ $T_j = 100^\circ\text{C}$ | $R_{B2} = 3,1 \Omega$ $V_{CC} = 200 \text{ V}$ $V_{clamp} = 250 \text{ V}$ |
| t_c | 0,15 0,35 | | μs | $T_j = 25^\circ\text{C}$ $T_j = 100^\circ\text{C}$ | $L_C = 1,3 \text{ mH}$ |

Without negative bias - Sans polarisation négative

| | | | | | |
|----------|-------------|--|---------------|---|--|
| t_{si} | 2,8 4,5 | | μs | $T_j = 25^\circ\text{C}$ $T_j = 100^\circ\text{C}$ | $I_C = 8 \text{ A}$ $I_B = 0,8 \text{ A}$ |
| t_{fi} | 0,5 0,8 | | μs | $T_j = 25^\circ\text{C}$ $T_j = 100^\circ\text{C}$ | $V_{BB} = 0$ $R_{B2} = 5,6 \Omega$ $V_{CC} = 200 \text{ V}$ $V_{clamp} = 250 \text{ V}$ |
| t_{ti} | 0,15 0,4 | | μs | $T_j = 25^\circ\text{C}$ $T_j = 100^\circ\text{C}$ | $L_C = 1,3 \text{ mH}$ |

2/4 ** $T_j = 25^\circ\text{C}$ Unless otherwise stated*Pulses
 $t_p \leqslant 300 \mu\text{s}$ $\delta \leqslant 2 \%$

FIGURE 1 : SWITCHING TIMES TEST CIRCUIT (RESISTIVE LOAD)

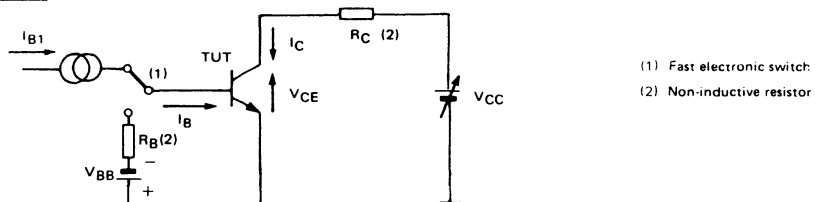


FIGURE 2 : TURN-ON SWITCHING WAVEFORMS

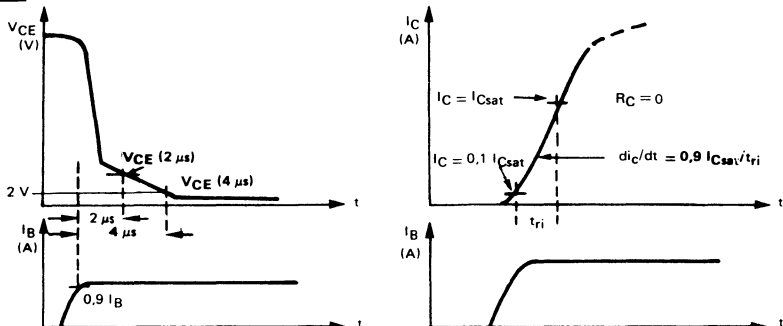


FIGURE 3 a : TURN-OFF SWITCHING TEST CIRCUIT

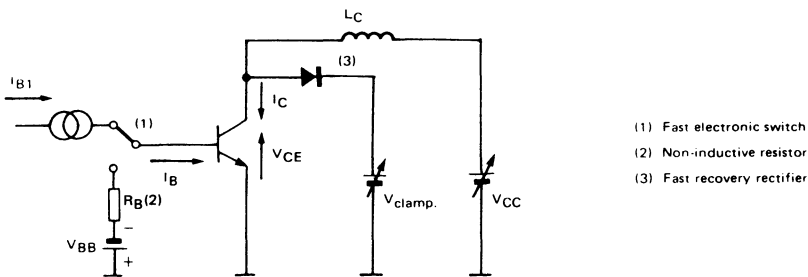
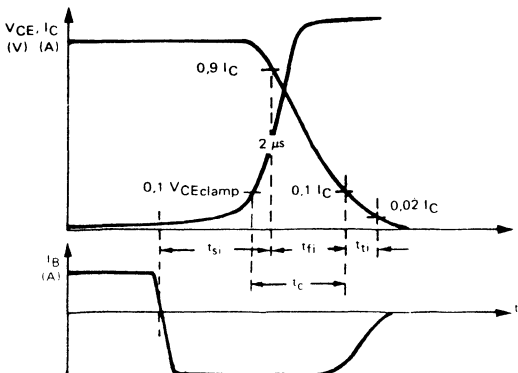
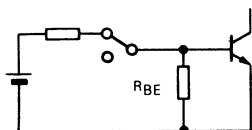
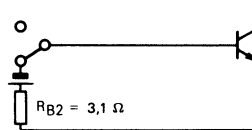


FIGURE 3 b : TURN-OFF SWITCHING WAVEFORMS (INDUCTIVE LOAD)



**TRANSISTOR FORWARD BIASED**

- During the turn-on
- During the turn-off without negative base-emitter voltage and $5,6 \Omega < R_{BE} < 50 \Omega$

**TRANSISTOR REVERSE BIASED**

- During the turn-off with negative base-emitter voltage

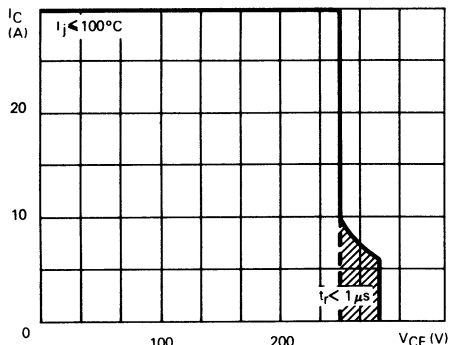


FIGURE 4 : Forward biased safe operating area (FBSOA)

The hatched zone can only be used for turn-on
La zone hachurée ne doit être utilisée que pour la mise en conduction

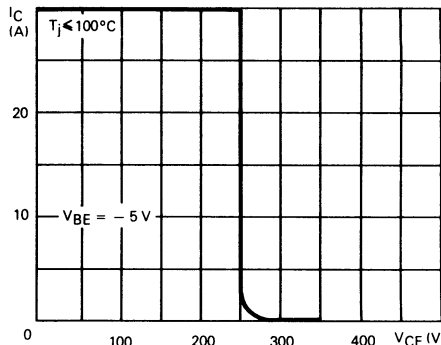


FIGURE 5 : Reverse biased safe operating area (RBSOA)

ADVANCE INFORMATION

SUPERSWITCH

HIGH VOLTAGE, FAST SWITCHING DARLINGTON SUITED FOR
MOTOR SPEED CONTROL, INVERTERS, SWITCHED MODE POWER
SUPPLIES WITH SWITCHING FREQUENCIES UP TO 50 kHz.

- *Very fast switching

- *Wide safe operating area

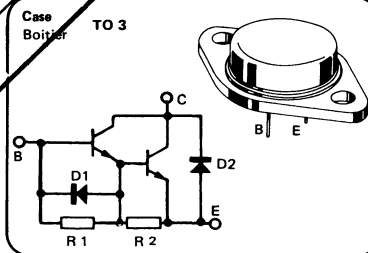
- *High current gain

- *Design orientated specifications

- *Switching times specified with inductive load

DATA SHEET UNDER REVISION
NOTICE EN COURS DE MODIFICATION

| | |
|---------------|-------------------|
| V_{CEOus} | 400 V |
| V_{CEX} | 600 V |
| I_{Csat} | 12 A |
| t_f (100°C) | $\leq 0,25 \mu s$ |

ABSOLUTE RATINGS (LIMITING VALUES)
VALEURS LIMITES ABSOLUES D'UTILISATION

| | | | |
|---|----------------------------------|------------|----|
| Collector-emitter voltage <i>Tension collecteur-émetteur</i> | V_{CEO} | 400 | V |
| Collector-base voltage <i>Tension collecteur-base</i> | V_{CBO} | 600 | V |
| Emitter-base voltage <i>Tension émetteur-base</i> | V_{EBO} | 8 | V |
| Collector current <i>Courant collecteur</i> | I_C $t_p \leq 5 \text{ ms}$ | 18 35 | A |
| Base current <i>Courant base</i> | I_B $t_p \leq 5 \text{ ms}$ | 6 10 | A |
| Power dissipation <i>Dissipation de puissance</i> | P_{tot} | 150 | W |
| Junction temperature <i>Température de jonction</i> | T_j | - 65 + 200 | °C |

| | | | | |
|--|-----|---------------|------|------|
| Junction-case thermal resistance <i>Résistance thermique jonction boîtier</i> | max | $R_{th(j-c)}$ | 1,17 | °C/W |
|--|-----|---------------|------|------|



ADVANCE INFORMATION



HIGHER EFFICIENCY DUE TO :

- Faster switching times
- Lower switching losses
- Lower on state voltage drop
- Less base current requirements

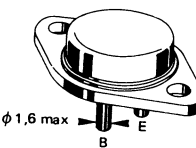
NEW DATA FOR WORST CASE DESIGN

- Characteristics specified at 100°C

NEW DATA FOR OPTIMAL DESIGN

- Very low saturation voltage and high gain for reduced load operation
- Turn-on and turn-off tail specifications
- Turn-on dI/dt for better rectifier choice
- Switching times specified with and without negative base drive

| | |
|---------------------|---------------|
| V_{CEOus} | 125 V |
| V_{CEV} | 250 V |
| V_{CEsat} | $\leq 0,9$ V |
| I_{Csat} | 50 A |
| I_{CSM} | 150 A |
| t_{f1} (100 °C) | ≤ 250 ns |

Case CB 159
BoîtierABSOLUTE RATINGS (LIMITING VALUES)
VALEURS LIMITES ABSOLUES D'UTILISATION

| | | | |
|--|--------------------------|------------|----|
| Collector-emitter voltage <i>Tension collecteur-émetteur</i> | V_{CEO} | 125 | V |
| Collector-emitter voltage <i>Tension collecteur-émetteur</i> | V_{CEV} | 250 | V |
| Emitter-base voltage <i>Tension émetteur-base</i> | V_{EBO} | 7 | V |
| Collector current <i>Courant collecteur</i> | I_C (RMS). I_{CM} | 50 80 | A |
| Base current <i>Courant base</i> | I_B (RMS) I_{BM} | 10 18 | A |
| Reverse bias base power dissipation (B.E. junction in avalanche) <i>Dissipation de puissance base-émetteur en avalanche</i> | P_{base} | 3 | W |
| Power dissipation <i>Dissipation de puissance</i> | P_{tot} | 250 | W |
| Junction temperature <i>Température de jonction</i> | T_j | - 65 + 200 | °C |

| | | | | |
|--|-----|---------------|-----|------|
| Thermal resistance junction-case <i>Résistance thermique jonction-boîtier</i> | max | $R_{th(j-c)}$ | 0,7 | °C/W |
|--|-----|---------------|-----|------|

ELECTRICAL CHARACTERISTICS - CARACTÉRISTIQUES ÉLECTRIQUES **

| SYMBOLS | Min | Typ | Max | UNITS | TEST CONDITIONS - CONDITIONS DE MESURE |
|---------|-----|-----|-----|-------|--|
|---------|-----|-----|-----|-------|--|

OFF CHARACTERISTICS - CARACTÉRISTIQUES A L'ÉTAT BLOQUÉ

| | | | | | |
|---------------|-----|--------|--|----|---|
| V_{CEO} us | 125 | | | V | $I_B = 0, I_C = 0,2 \text{ A}, L = 25 \text{ mH}$ |
| $V_{(BR)EBO}$ | 7 | | | V | $I_C = 0, I_E = 50 \text{ mA}$ |
| I_{CEV} | | 1 4 | | mA | $T_j = 25^\circ\text{C}$ $T_j = 100^\circ\text{C}$ |
| I_{CEV} | | 1 5 | | mA | $T_j = 25^\circ\text{C}$ $T_j = 100^\circ\text{C}$ |
| I_{EBO} | | 1 | | mA | $I_C = 0, V_{BE} = -5 \text{ V}$ |

ON CHARACTERISTICS - CARACTÉRISTIQUES A L'ÉTAT CONDUCTEUR

| | | | | | |
|---------------|--------------|--------------|---|---|--|
| V_{CEsat} * | 0,75 0,9 | 1,2 1,8 | V | $T_j = 25^\circ\text{C}$ $T_j = 100^\circ\text{C}$ | $I_C = 60 \text{ A}, I_B = 7,5 \text{ A}$ |
| V_{CEsat} * | 0,65 0,7 | 0,9 1,2 | V | $T_j = 25^\circ\text{C}$ $T_j = 100^\circ\text{C}$ | $I_C = 50 \text{ A}, I_B = 5 \text{ A}$ |
| V_{CEsat} * | 0,45 0,45 | 0,75 0,75 | V | $T_j = 25^\circ\text{C}$ $T_j = 100^\circ\text{C}$ | $I_C = 25 \text{ A}, I_B = 1,25 \text{ A}$ |
| V_{BEsat} * | 1,55 1,65 | 1,8 1,9 | V | $T_j = 25^\circ\text{C}$ $T_j = 100^\circ\text{C}$ | $I_C = 60 \text{ A}, I_B = 7,5 \text{ A}$ |
| V_{BEsat} * | 1,40 1,45 | 1,6 1,7 | V | $T_j = 25^\circ\text{C}$ $T_j = 100^\circ\text{C}$ | $I_C = 50 \text{ A}, I_B = 5 \text{ A}$ |

SWITCHING CHARACTERISTICS - CARACTÉRISTIQUES DE COMMUTATION **

SWITCHING TIMES ON RESISTIVE LOAD - TEMPS DE COMMUTATION SUR CHARVE RÉSISTIVE (fig. 1)

| | | | | |
|-------|------|------|---------------|---|
| t_r | 0,5 | 0,8 | μs | $V_{CC} = 100 \text{ V}, I_C = 60 \text{ A}, I_B1 = 7,5 \text{ A}$ $R_{B2} = 0,33 \Omega, V_{BB} = -5 \text{ V}, t_p = 30 \mu\text{s}$ |
| t_s | 0,5 | 1,1 | | |
| t_f | 0,06 | 0,15 | | |

TURN-ON SWITCHING CHARACTERISTICS - CARACTÉRISTIQUES DE COMMUTATION A LA MISE EN CONDUCTION (fig.2)

| | | | | | |
|-----------------------------|------------|--|-----------------|---|--|
| di_c/dt | 160 150 | | $A/\mu\text{s}$ | $T_j = 25^\circ\text{C}$ $T_j = 100^\circ\text{C}$ | $V_{CC} = 100 \text{ V}, R_C = 0, I_B1 = 7,5 \text{ A}$ $R_{B2} = 2 \Omega, I_B1 = 5 \text{ A}$ |
| V_{CE} (2 μs) | 2,5 3 | | | $T_j = 25^\circ\text{C}$ $T_j = 100^\circ\text{C}$ | |
| V_{CE} (4 μs) | 1,8 1,9 | | | $T_j = 25^\circ\text{C}$ $T_j = 100^\circ\text{C}$ | |

TURN-ON SWITCHING CHARACTERISTICS - CARACTÉRISTIQUES DE COMMUTATION A L'OUVERTURE (fig.3)

ON INDUCTIVE LOAD - SUR CHARGE INDUCTIVE

| | | | | | |
|---|--------------|-------------|---------------|---|--|
| With negative bias - Avec polarisation négative | | | | | |
| t_{si} | 0,50 0,85 | 1,2 1,7 | μs | $T_j = 25^\circ\text{C}$ $T_j = 100^\circ\text{C}$ | $I_C = 50 \text{ A}$ $I_B = 5 \text{ A}$ $V_{BB} = -5 \text{ V}$ $R_{B2} = 0,5 \Omega$ $V_{CC} = 100 \text{ V}$ $V_{clamp_p} = 125 \text{ V}$ $L_C = 0,1 \text{ mH}$ |
| t_{fi} | 0,05 0,12 | 0,1 0,25 | μs | $T_j = 25^\circ\text{C}$ $T_j = 100^\circ\text{C}$ | |
| t_{ti} | 0,01 0,04 | | μs | $T_j = 25^\circ\text{C}$ $T_j = 100^\circ\text{C}$ | |
| t_c | 0,09 0,2 | | μs | $T_j = 25^\circ\text{C}$ $T_j = 100^\circ\text{C}$ | |

Without negative bias - Sans polarisation négative

| | | | | | |
|----------|------------|--|---------------|---|---|
| t_{si} | 1,5 2,7 | | μs | $T_j = 25^\circ\text{C}$ $T_j = 100^\circ\text{C}$ | $I_C = 50 \text{ A}$ $I_B = 5 \text{ A}$ $V_{BB} = 0 \text{ V}$ $R_{B2} = 1,5 \Omega$ $V_{CC} = 100 \text{ V}$ $V_{clamp_p} = 125 \text{ V}$ $L_C = 0,1 \text{ mH}$ |
| t_{fi} | 1,3 1,8 | | μs | $T_j = 25^\circ\text{C}$ $T_j = 100^\circ\text{C}$ | |
| t_{ti} | 0,4 0,6 | | μs | $T_j = 25^\circ\text{C}$ $T_j = 100^\circ\text{C}$ | |

** $T_j = 25^\circ\text{C}$ Unless otherwise stated* Pulsed
Impulsions $t_p \leq 300 \mu\text{s}$ $\delta \leq 2\%$

FIGURE 1 : SWITCHING TIMES TEST CIRCUIT (RESISTIVE LOAD)

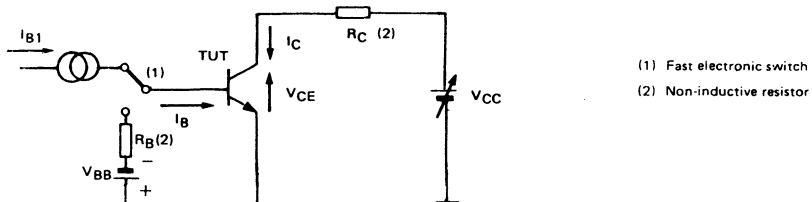


FIGURE 2 : TURN-ON SWITCHING WAVEFORMS

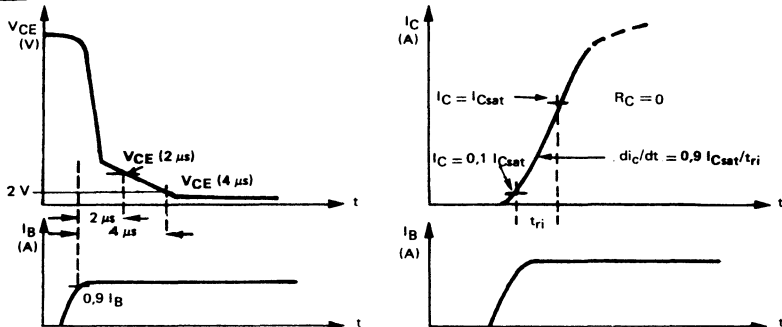


FIGURE 3 a : TURN-OFF SWITCHING TEST CIRCUIT

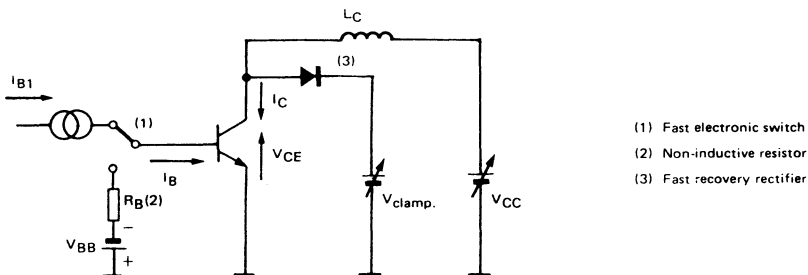
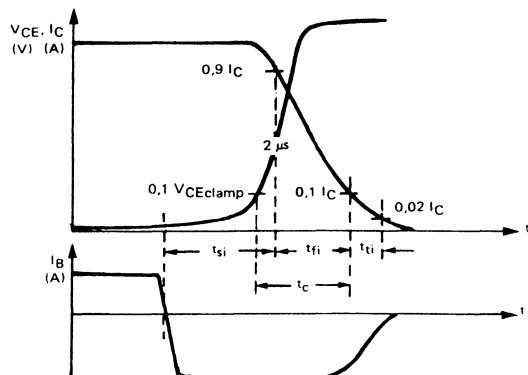
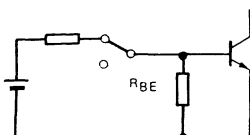
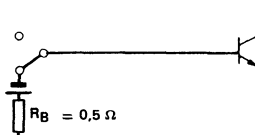


FIGURE 3 b : TURN-OFF SWITCHING WAVEFORMS (INDUCTIVE LOAD)



**TRANSISTOR FORWARD BIASED**

- During the turn on
- During the turn off without negative base-emitter voltage and $1,5 \Omega \leq R_{BE} \leq 50 \Omega$

**TRANSISTOR REVERSE BIASED**

- During the turn off with negative base-emitter voltage

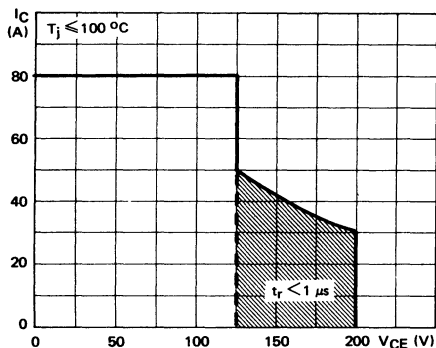


FIGURE 4 : Forward biased safe operating area (FBSOA)

The hatched zone can only be used for turn-on

La zone hachurée ne doit être utilisée que pour la mise en conduction

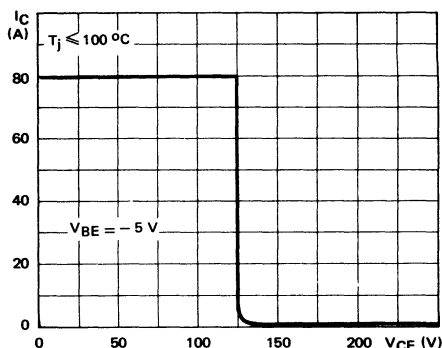


FIGURE 5 : Reverse biased safe operating area (RBSOA)

ADVANCE INFORMATION



HIGHER EFFICIENCY DUE TO :

- Faster switching times
- Lower switching losses
- Lower on state voltage drop
- Less base current requirements

NEW DATA FOR WORST CASE DESIGN

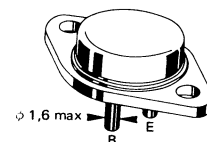
- Characteristics specified at 100°C

NEW DATA FOR OPTIMAL DESIGN

- Very low saturation voltage and high gain for reduced load operation
- Turn-on and turn-off tail specifications
- Turn-on dI_c/dt for better rectifier choice
- Switching times specified with and without negative base drive

| | |
|-----------------------------|---------------|
| $V_{CEO(sus)}$ | 200 V |
| V_{CEV} | 300 V |
| V_{CEsat} | $\leq 0,9$ V |
| I_{Csat} | 25 A |
| I_{CSM} | 120 A |
| $t_{fj}(100^\circ\text{C})$ | ≤ 200 ns |

Case Boîtier CB 159 (TO 3 modifié)

ABSOLUTE RATINGS (LIMITING VALUES)
VALEURS LIMITES ABSOLUES D'UTILISATION

| | | | | |
|--|-------------------------------|-----------|-----|---|
| Collector-emitter voltage <i>Tension collecteur-émetteur</i> | V_{CEO} | 200 | V | |
| Collector-emitter voltage <i>Tension collecteur-émetteur</i> | V_{CEV} | 300 | V | |
| Emitter-base voltage <i>Tension émetteur-base</i> | V_{EBO} | 7 | V | |
| Collector current <i>Courant collecteur</i> | $I_C(\text{RMS})$ I_{CM} | 50 75 | A | |
| Base current <i>Courant base</i> | $I_B(\text{RMS})$ I_{BM} | 8 15 | A | |
| Reverse bias base power dissipation(B.E junction in avalanche) <i>Dissipation de puissance base-émetteur en avalanche</i> | P_{base} | 2 | W | |
| Power dissipation <i>Dissipation de puissance</i> | $T_{case} 25^\circ\text{C}$ | P_{tot} | 250 | W |
| Junction temperature <i>Température de jonction</i> | T_j | -65 + 200 | °C | |

| | | | | |
|--|-----|---------------|-----|------|
| Thermal resistance junction-case <i>Résistance thermique jonction-boîtier</i> | max | $R_{th(j-c)}$ | 0,7 | °C/W |
|--|-----|---------------|-----|------|

ELECTRICAL CHARACTERISTICS - CARACTERISTIQUES ELECTRIQUES

| SYMBOLS | Min | Typ | Max | UNITS | TEST CONDITIONS - CONDITIONS DE MESURE |
|---------|-----|-----|-----|-------|--|
|---------|-----|-----|-----|-------|--|

OFF CHARACTERISTICS - CARACTERISTIQUES A L'ETAT BLOQUE

| | | | | | |
|---------------|-----|--------|--|----|---|
| V_{CEO} | 200 | | | V | $I_B = 0, I_C = 0,2 \text{ A}, L = 25 \text{ mH}$ |
| $V_{(BR)}EBO$ | 7 | | | V | $I_C = 0, I_E = 50 \text{ mA}$ |
| I_{CEV} | | 1 4 | | mA | $T_j = 25^\circ\text{C}$ $T_j = 100^\circ\text{C}$ $V_{CE} = V_{CEV}, V_{BE} = -1,5 \text{ V}$ |
| I_{CER} | | 1 5 | | mA | $T_j = 25^\circ\text{C}$ $T_j = 100^\circ\text{C}$ $V_{CE} = V_{CEV}, R_{BE} = 10 \Omega$ |
| I_{EBO} | | 1 | | mA | $I_C = 0, V_{BE} = -5 \text{ V}$ |

ON CHARACTERISTICS - CARACTERISTIQUES A L'ETAT CONDUCTEUR

| | | | | | |
|---------------|--|--------------|------------|---|---|
| V_{CESat}^* | | 0,6 0,75 | 1,2 1,9 | V | $T_j = 25^\circ\text{C}$ $T_j = 100^\circ\text{C}$ $I_C = 40 \text{ A}, I_B = 5 \text{ A}$ |
| V_{CEsat}^* | | 0,4 0,5 | 0,9 1,2 | V | $T_j = 25^\circ\text{C}$ $T_j = 100^\circ\text{C}$ $I_C = 25 \text{ A}, I_B = 2,5 \text{ A}$ |
| V_{CEsat}^* | | 0,65 0,5 | 0,8 0,9 | V | $T_j = 25^\circ\text{C}$ $T_j = 100^\circ\text{C}$ $I_C = 12,5 \text{ A}, I_B = 0,625 \text{ A}$ |
| V_{BEsat}^* | | 1,35 1,35 | 1,7 1,8 | V | $T_j = 25^\circ\text{C}$ $T_j = 100^\circ\text{C}$ $I_C = 40 \text{ A}, I_B = 5 \text{ A}$ |
| V_{BEsat}^* | | 1,1 1,05 | 1,4 1,4 | V | $T_j = 25^\circ\text{C}$ $T_j = 100^\circ\text{C}$ $I_C = 25 \text{ A}, I_B = 2,5 \text{ A}$ |

SWITCHING CHARACTERISTICS - CARACTERISTIQUES DE COMMUTATION**

SWITCHING TIMES ON RESISTIVE LOAD - TEMPS DE COMMUTATION SUR CHARGE RESISTIVE

| | | | | | |
|-------|--|------|-----|---------------|--|
| t_r | | 0,55 | 0,9 | μs | $V_{CC} = 160 \text{ V}, I_C = 40 \text{ A}, I_B1 = 5 \text{ A}$ $V_{BB} = -5 \text{ V}, R_{B2} = 0,5 \Omega, t_p = 30 \mu\text{s}$ |
| t_s | | 0,6 | 1,2 | μs | |
| t_f | | 0,12 | 0,3 | μs | |

TURN-ON SWITCHING CHARACTERISTICS - CARACTERISTIQUES DE COMMUTATION A LA MISE EN CONDUCTION

| | | | | | |
|-------------------------|--|-------------|--|-----------------|--|
| dI/dt | | 130 110 | | $A/\mu\text{s}$ | $T_j = 25^\circ\text{C}$ $T_j = 100^\circ\text{C}$ $V_{CC} = 160 \text{ V}, R_C = 0, I_B1 = 3,75 \text{ A}$ |
| $V_{CE}(2 \mu\text{s})$ | | 1,3 1,8 | | V | $T_j = 25^\circ\text{C}$ $T_j = 100^\circ\text{C}$ $V_{CC} = 160 \text{ V}, R_C = 6,4 \Omega, I_B1 = 2,5 \text{ A}$ |
| $V_{CE}(4 \mu\text{s})$ | | 0,95 1,1 | | V | $T_j = 25^\circ\text{C}$ $T_j = 100^\circ\text{C}$ $V_{CC} = 160 \text{ V}, R_C = 6,4 \Omega, I_B1 = 2,5 \text{ A}$ |

TURN-OFF SWITCHING CHARACTERISTICS - CARACTERISTIQUES DE COMMUTATION A L'OUVERTURE

ON INDUCTIVE LOAD - SUR CHARGE INDUCTIVE

| With negative bias - Avec polarisation négative | | | | | | |
|---|--|--------------|-------------|---------------|---|--|
| t_{si} | | 0,85 1,1 | 1,4 1,9 | μs | $T_j = 25^\circ\text{C}$ $T_j = 100^\circ\text{C}$ | $I_C = 25 \text{ A}$ |
| t_{fi} | | 0,06 0,08 | 0,12 0,2 | μs | $T_j = 25^\circ\text{C}$ $T_j = 100^\circ\text{C}$ | $I_B = 2,5 \text{ A}$ $V_{BB} = -5 \text{ V}$ |
| t_{ti} | | 0,01 0,02 | | μs | $T_j = 25^\circ\text{C}$ $T_j = 100^\circ\text{C}$ | $R_{B2} = 1 \Omega$ $V_{CC} = 160 \text{ V}$ $V_{clamp} = 200 \text{ V}$ |
| t_c | | 0,11 0,15 | | μs | $T_j = 25^\circ\text{C}$ $T_j = 100^\circ\text{C}$ | $L_C = 0,32 \text{ mH}$ |

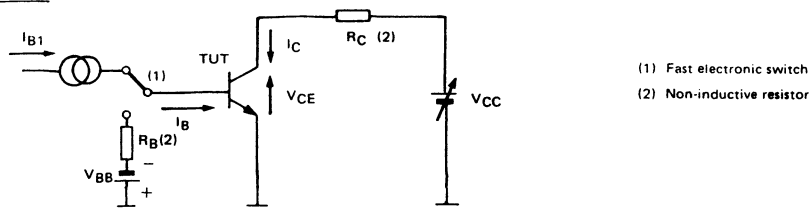
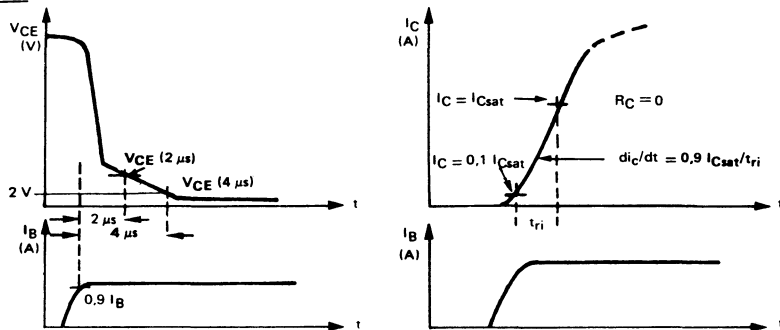
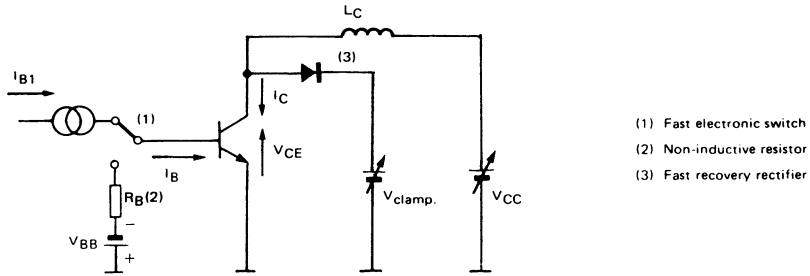
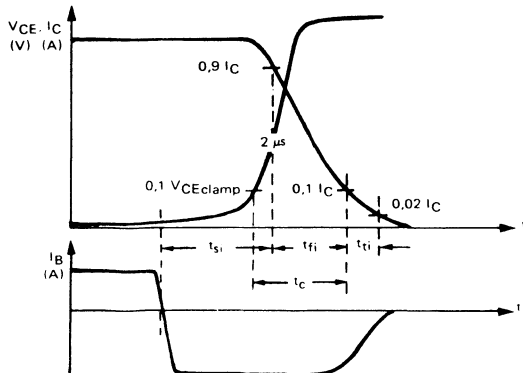
Without negative bias - Sans polarisation négative

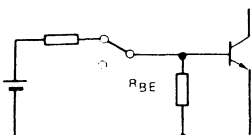
| | | | | | | |
|----------|--|------------|--|---------------|---|--|
| t_{si} | | 1,6 2,7 | | μs | $T_j = 25^\circ\text{C}$ $T_j = 100^\circ\text{C}$ | $I_C = 25 \text{ A}$ $I_B = 2,5 \text{ A}$ |
| t_{fi} | | 0,7 1 | | μs | $T_j = 25^\circ\text{C}$ $T_j = 100^\circ\text{C}$ | $V_{BB} = 0$ $R_{B2} = 2,7 \Omega$ $V_{CC} = 160 \text{ V}$ $V_{clamp} = 200 \text{ V}$ |
| t_{ti} | | 0,2 0,3 | | μs | $T_j = 25^\circ\text{C}$ $T_j = 100^\circ\text{C}$ | $L_C = 0,32 \text{ mH}$ |

** $T_j = 25^\circ\text{C}$ Unless otherwise stated

2/4

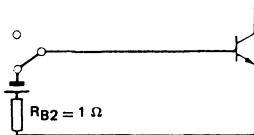
*Pulses
Impulsions $t_p \leq 300 \mu\text{s}$ $\delta \leq 2 \%$

FIGURE 1 : SWITCHING TIMES TEST CIRCUIT (RESISTIVE LOAD)FIGURE 2 : TURN-ON SWITCHING WAVEFORMSFIGURE 3 a : TURN-OFF SWITCHING TEST CIRCUITFIGURE 3 b : TURN-OFF SWITCHING WAVEFORMS (INDUCTIVE LOAD)



TRANSISTOR FORWARD BIASED

- During the turn on
- During the turn off without negative base-emitter voltage and $2,7 \Omega \leqslant R_{BE} \leqslant 50 \Omega$



TRANSISTOR REVERSE BIASED

- During the turn off with negative base-emitter voltage

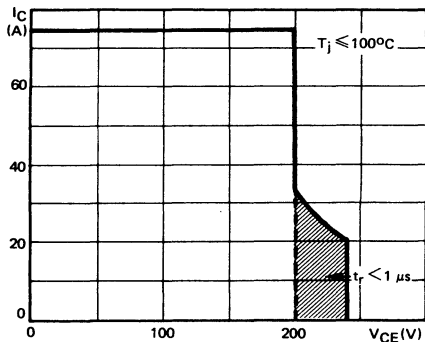


FIGURE 4 : Forward biased safe operating area (FBSOA)

The hatched zone can only be used for turn-on
La zone hachurée ne doit être utilisée que pour la mise en conduction

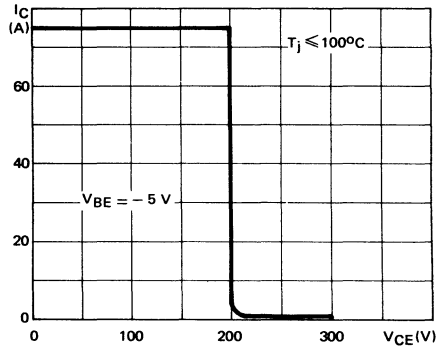


FIGURE 5 : Reverse biased safe operating area (RBSOA)

ADVANCE INFORMATION



HIGHER EFFICIENCY DUE TO :

- Faster switching times
- Lower switching losses
- Lower on state voltage drop
- Less base current requirements

NEW DATA FOR WORST CASE DESIGN

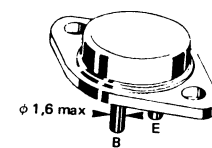
- Characteristics specified at 100°C

NEW DATA FOR OPTIMAL DESIGN

- Very low saturation voltage and high gain for reduced load operation
- Turn-on and turn-off tail specifications
- Turn-on dI/dt for better rectifier choice
- Switching times specified with and without negative base drive

| | |
|-----------------------|----------------|
| V_{CEO} sus | 250 V |
| V_{CEV} | 350 V |
| V_{CEsat} | $\leq 0,9$ V |
| I_{Csat} | 16 A |
| I_{CSM} | 120 A |
| $t_{f(100^{\circ}C)}$ | $\leq 400.$ ns |

Case
Boîtier CB 159



ABSOLUTE RATINGS (LIMITING VALUES)

VALEURS LIMITES ABSOLUES D'UTILISATION

T case = 25°C

| | | | |
|--|------------------------|-----------|----|
| Collector-emitter voltage <i>Tension collecteur-émetteur</i> | V_{CEO} | 250 | V |
| Collector-emitter voltage <i>Tension collecteur-émetteur</i> | V_{CEV} | 350 | V |
| Emitter-base voltage <i>Tension émetteur-base</i> | V_{EBO} | 7 | V |
| Collector current <i>Courant collecteur</i> | $I_C(RMS)$ I_{CM} | 40 60 | A |
| Base current <i>Courant base</i> | $I_B(RMS)$ I_{BM} | 7 12 | A |
| Reverse bias base power dissipation(B.E junction in avalanche) <i>Dissipation de puissance base-émetteur en avalanche</i> | P_{base} | 2 | W |
| Power dissipation <i>Dissipation de puissance</i> | P_{tot} | 250 | W |
| Junction temperature <i>Température de jonction</i> | T_j | -65 + 200 | °C |

| | | | | |
|--|-----|---------------|-----|------|
| Thermal resistance junction-case <i>Résistance thermique jonction-boîtier</i> | max | $R_{th(j-c)}$ | 0,7 | °C/W |
|--|-----|---------------|-----|------|

ELECTRICAL CHARACTERISTICS - CARACTERISTIQUES ELECTRIQUES

| SYMBOLS | Min | Typ | Max | UNITS | TEST CONDITIONS - CONDITIONS DE MESURE |
|---------|-----|-----|-----|-------|--|
|---------|-----|-----|-----|-------|--|

OFF CHARACTERISTICS - CARACTERISTIQUES A L'ETAT BLOQUE

| | | | | | |
|---------------|-----|--------|--|----|--|
| V_{CEO} | 250 | | | V | $I_B = 0$, $I_C = 0,2 \text{ A}$, $L = 25 \text{ mH}$ |
| $V_{(BR)EBO}$ | 7 | | | V | $I_C = 0$, $I_E = 50 \text{ mA}$ |
| I_{CEV} | | 1 4 | | mA | $T_j = 25^\circ\text{C}$ $T_j = 100^\circ\text{C}$ $V_{CE} = V_{CEV}$, $V_{BE} = -1.5 \text{ V}$ |
| I_{CER} | | 1 5 | | mA | $T_j = 25^\circ\text{C}$ $T_j = 100^\circ\text{C}$ $V_{CE} = V_{CEV}$, $R_{BE} = 10 \Omega$ |
| I_{EBO} | | 1 | | mA | $I_C = 0$, $V_{BE} = -5 \text{ V}$ |

ON CHARACTERISTICS - CARACTERISTIQUES A L'ETAT CONDUCTEUR

| | | | | | |
|---------------|--|--------------|------------|---|--|
| V_{CEsat}^* | | 0,6 0,9 | 1,2 1,9 | V | $T_j = 25^\circ\text{C}$ $T_j = 100^\circ\text{C}$ $I_C = 24 \text{ A}$, $I_B = 3 \text{ A}$ |
| V_{CEsat}^* | | 0,45 0,6 | 0,9 1,2 | V | $T_j = 25^\circ\text{C}$ $T_j = 100^\circ\text{C}$ $I_C = 16 \text{ A}$, $I_B = 1,6 \text{ A}$ |
| V_{CEsat}^* | | 0,35 0,35 | 0,7 0,7 | V | $T_j = 25^\circ\text{C}$ $T_j = 100^\circ\text{C}$ $I_C = 8 \text{ A}$, $I_B = 0,53 \text{ A}$ |
| V_{BEsat}^* | | 1,2 1,2 | 1,5 1,5 | V | $T_j = 25^\circ\text{C}$ $T_j = 100^\circ\text{C}$ $I_C = 24 \text{ A}$, $I_B = 3 \text{ A}$ |
| V_{BEsat}^* | | 1 0,9 | 1,3 1,3 | V | $T_j = 25^\circ\text{C}$ $T_j = 100^\circ\text{C}$ $I_C = 16 \text{ A}$, $I_B = 1,6 \text{ A}$ |

SWITCHING CHARACTERISTICS - CARACTERISTIQUES DE COMMUTATION**

| SWITCHING TIMES ON RESISTIVE LOAD - TEMPS DE COMMUTATION SUR CHARGE RESISTIVE | | | | | |
|---|--|------|-----|---------------|---|
| t_r | | 0,3 | 0,6 | μs | $V_{CC} = 200 \text{ V}$, $I_C = 24 \text{ A}$, $I_{B1} = 3 \text{ A}$ $V_{BB} = -5 \text{ V}$, $R_{B2} = 0,83 \Omega$, $t_p = 30 \mu\text{s}$ |
| t_s | | 1,2 | 1,8 | μs | |
| t_f | | 0,15 | 0,3 | μs | |

TURN-ON SWITCHING CHARACTERISTICS - CARACTERISTIQUES DE COMMUTATION A LA MISE EN CONDUCTION

| | | | | | |
|-------------------------|--|------------|--|------------------|--|
| dI_c/dt | | 130 120 | | A/ μs | $T_j = 25^\circ\text{C}$ $T_j = 100^\circ\text{C}$ $V_{CC} = 200 \text{ V}$, $R_C = 0$, $I_{B1} = 2,4 \text{ A}$ |
| $V_{CE}(2 \mu\text{s})$ | | 1,8 2,8 | | V | $T_j = 25^\circ\text{C}$ $T_j = 100^\circ\text{C}$ $V_{CC} = 200 \text{ V}$, $R_C = 13 \Omega$, $I_B = 1,6 \text{ A}$ |
| $V_{CE}(4 \mu\text{s})$ | | 1,1 1,5 | | V | $T_j = 25^\circ\text{C}$ $T_j = 100^\circ\text{C}$ |

TURN-OFF SWITCHING CHARACTERISTICS - CARACTERISTIQUES DE COMMUTATION A L'OUVERTURE

ON INDUCTIVE LOAD - SUR CHARGE INDUCTIVE

| With negative bias - Avec polarisation négative | | | | | | |
|---|--|--------------|------------|---------------|---|---|
| t_{si} | | 1,2 1,8 | 1,8 2,4 | μs | $T_j = 25^\circ\text{C}$ $T_j = 100^\circ\text{C}$ | $I_C = 16 \text{ A}$ |
| t_{fi} | | 0,08 0,2 | 0,2 0,4 | μs | $T_j = 25^\circ\text{C}$ $T_j = 100^\circ\text{C}$ | $I_B = 1,6 \text{ A}$ $V_{BB} = -5 \text{ V}$ $R_{B2} = 1,6 \Omega$ |
| t_{ti} | | 0,03 0,08 | | μs | $T_j = 25^\circ\text{C}$ $T_j = 100^\circ\text{C}$ | $V_{CC} = 200 \text{ V}$ $V_{clamp} = 250 \text{ V}$ |
| t_c | | 0,15 0,3 | | μs | $T_j = 25^\circ\text{C}$ $T_j = 100^\circ\text{C}$ | $L_C = 0,63 \text{ mH}$ |

Without negative bias - Sans polarisation négative

| | | | | | | |
|----------|--|-------------|--|---------------|---|---|
| t_{si} | | 3 5 | | μs | $T_j = 25^\circ\text{C}$ $T_j = 100^\circ\text{C}$ | $I_C = 16 \text{ A}$ $I_B = 1,6 \text{ A}$ $V_{BB} = 0$ |
| t_{fi} | | 0,6 1 | | μs | $T_j = 25^\circ\text{C}$ $T_j = 100^\circ\text{C}$ | $R_{B2} = 3,3 \Omega$ $V_{CC} = 200 \text{ V}$ |
| t_{ti} | | 0,2 0,45 | | μs | $T_j = 25^\circ\text{C}$ $T_j = 100^\circ\text{C}$ | $V_{clamp} = 250 \text{ V}$ $L_C = 0,63 \text{ mH}$ |

** $T_j = 25^\circ\text{C}$ Unless otherwise stated* Pulses
Impulsions $t_p \leq 300 \mu\text{s}$ $\delta \leq 2 \%$

FIGURE 1 : SWITCHING TIMES TEST CIRCUIT (RESISTIVE LOAD)

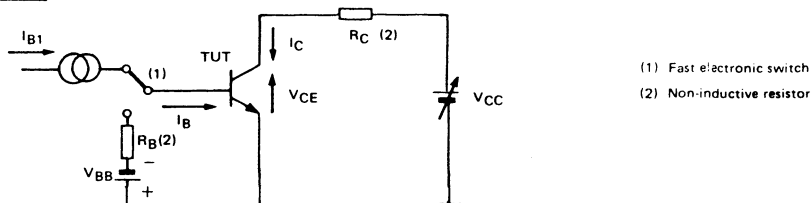


FIGURE 2 : TURN-ON SWITCHING WAVEFORMS

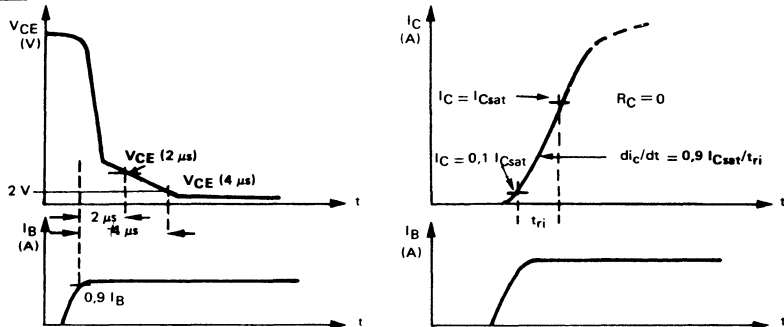


FIGURE 3 a : TURN-OFF SWITCHING TEST CIRCUIT

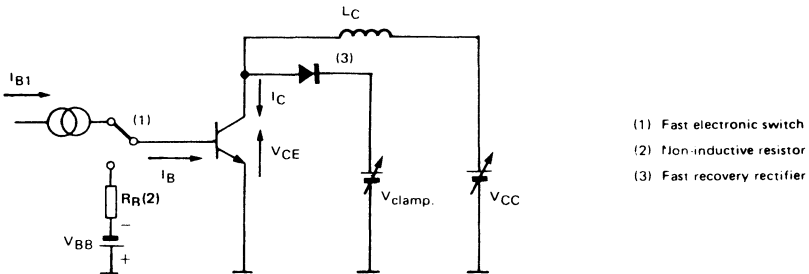
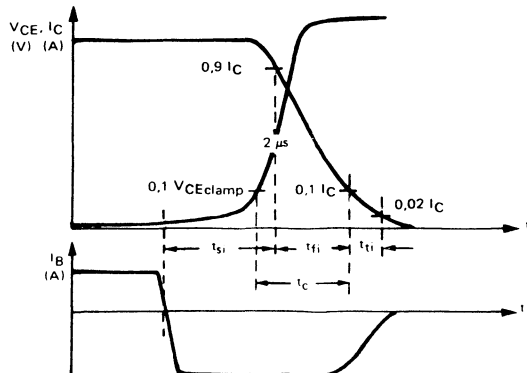
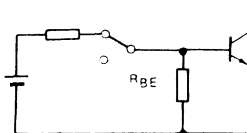


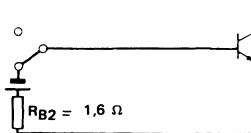
FIGURE 3 b : TURN-OFF SWITCHING WAVEFORMS (INDUCTIVE LOAD)





TRANSISTOR FORWARD BIASED

- During the turn on
- During the turn off without negative base-emitter voltage and $3,3 \Omega \leq R_{BE} \leq 50 \Omega$



TRANSISTOR REVERSE BIASED

- During the turn off with negative base-emitter voltage

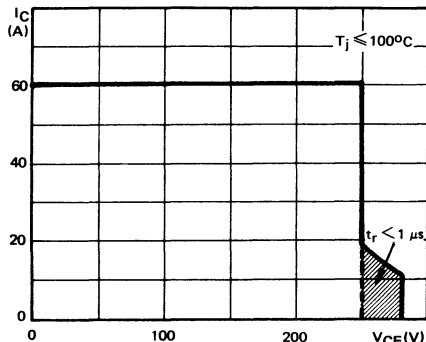


FIGURE 4 : Forward biased safe operating area (FBSOA)

The hatched zone can only be used for turn-on
La zone hachurée ne doit être utilisée que pour la mise en conduction

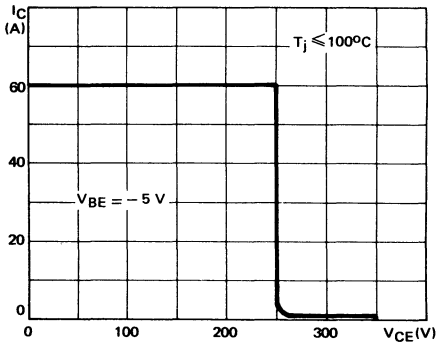


FIGURE 5 : Reverse biased safe operating area (RBSOA)

ADVANCE INFORMATION

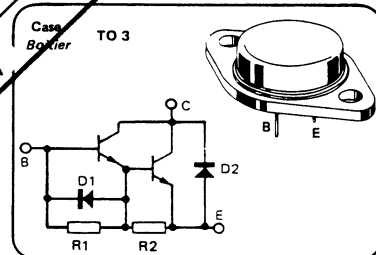
SUPERSWITCH

HIGH VOLTAGE, FAST SWITCHING DARLINGTON SUITED FOR
MOTOR SPEED CONTROL, INVERTERS, SWITCHED MODE POWER
SUPPLIES WITH SWITCHING FREQUENCIES UP TO 50 kHz.

- *Very fast switching
- *Wide safe operating area
- *High current gain
- *Design orientated specifications
- *Switching times specified with inductive load

DATA SHEET UNDER REVISION
NOTICE EN COURS DE MODIFICATION

| | |
|---------------|-------------------|
| V_{CEO} us | 400 V |
| V_{CEX} | 600 V |
| I_{Csat} | 14 A |
| t_f (100°C) | $\leq 0,25 \mu s$ |



ABSOLUTE RATINGS (LIMITING VALUES) VALEURS LIMITES ABSOLUES D'UTILISATION

| | | | |
|---|-------------------|----------|----|
| Collector-emitter voltage <i>Tension collecteur-émetteur</i> | V_{CEO} | 400 | V |
| Collector-base voltage <i>Tension collecteur-base</i> | V_{CBO} | 600 | V |
| Emitter-base voltage <i>Tension émetteur-base</i> | V_{EBO} | 8 | V |
| Collector current <i>Courant collecteur</i> | I_C I_{CM} | 36 70 | A |
| Base current <i>Courant base</i> | I_B I_{BM} | 12 20 | A |
| Power dissipation <i>Dissipation de puissance</i> | P_{tot} | 250 | W |
| Junction temperature <i>Température de jonction</i> | T_j | -65 +200 | °C |

| | | | | |
|--|-----|---------------|-----|------|
| Junction-case thermal resistance <i>Résistance thermique jonction boîtier</i> | max | $R_{th(j-c)}$ | 0,7 | °C/W |
|--|-----|---------------|-----|------|

Mars 1981 1/3

50, rue Jean-Pierre Timbaud - B.P. 5
F - 92403 Courbevoie Cedex FRANCE
Tél. : (1) 788-50-01 Telex : 610560 F



SUPERSWITCH

BUV 98, (V)
BUV 98 A, (V)NPN HIGH VOLTAGE SWITCHING TRANSISTORS
TRANSISTORS NPN HAUTE TENSION DE COMMUTATION

SUPERSWITCH

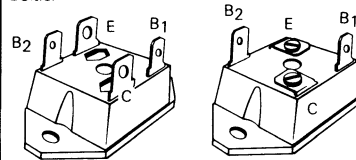
HIGH VOLTAGE, HIGH CURRENT AND HIGH SPEED
TRANSISTOR SUITED FOR :

- THE 220/380 V MAINS
- THE PARALLEL AND DARLINGTON CONFIGURATIONS
- DC/DC AND DC/AC CONVERTERS
- MOTOR CONTROL

Data sheet tailored for switching applications

- ISOTOP : isolated collector package
- Key parameters characterized at 100°C
- High blocking capability - 1000 V
- Information for parallel mounting
- Information for use in darlington configuration

| | BUV 98, (V) | BUV 98 A, (V) |
|--------------------------------|-------------|---------------|
| V _{CEO} us | 400 V | 450 V |
| V _{CEx} | 850 V | 1000 V |
| I _{CSat} | 20 A | 16 A |
| I _{CSM} | | 110 A |
| t _f (100 °C) max | | 400 ns |

Case
Boîtier : ISOTOPBUV 98 - BUV 98 A - BUV 98, (V) - BUV 98A(V)
CB-285 CB-416

Isolation voltage : 2,5 kV(RMS)

ABSOLUTE RATINGS (LIMITING VALUES)
VALEURS LIMITES ABSOLUES D'UTILISATION

| | | BUV 98, (V) | BUV 98 A, (V) | |
|--|--|------------------|---------------|----|
| Collector-emitter voltage Tension collecteur-émetteur | V _{CEO} | 400 | 450 | V |
| Collector-emitter voltage Tension collecteur-émetteur | V _{CEx} V _{BE} = - 2,5 V | 850 | 1000 | V |
| Emitter-base voltage Tension émetteur-base | V _{EBO} | | 7 | V |
| Collector current Courant collecteur | I _C I _{CM} t _p ≤ 5 ms | 30 60 | | A |
| Base current Courant base | I _B I _{BM} t _p ≤ 5 ms | 8 30 | | A |
| Power dissipation Dissipation de puissance | T _{case} 25 °C | P _{tot} | 150 | W |
| Junction temperature Température de jonction | max | T _j | 150 | °C |

| Junction-case thermal resistance Résistance thermique jonction-boîtier | max | R _{th(j-c)} | 0,83 | °C/W |
|---|-----|----------------------|------|------|
| | | | | |

ELECTRICAL CHARACTERISTICS – CARACTÉRISTIQUES ÉLECTRIQUES **

| SYMBOLS | Min | Typ | Max | UNIT | | TEST CONDITIONS – CONDITIONS DE MESURE |
|---------|-----|-----|-----|------|--|--|
|---------|-----|-----|-----|------|--|--|

OFF CHARACTERISTICS – CARACTÉRISTIQUES A L'ETAT BLOQUÉ

| | | | | | | |
|--------------------------|------------|----------|----|----|------------------------------|---|
| V_{CEO} _{sus} | 400 450 | | | V | BUV 98, (V) BUV 98 A, (V) | $I_B = 0, I_C = 0,2 \text{ A}, L = 25 \mu\text{H}$ |
| $V_{(B)EBO}$ | 7 | | 30 | V | | $I_C = 0, I_B = 0,1 \text{ A}$ |
| I_{CEX} | | 0,4 4 | | mA | | $T_{case} = 25^\circ\text{C}$ $T_{case} = 125^\circ\text{C}$ $V_{CE} = V_{CEX}, V_{BE} = -2,5 \text{ V}$ |
| I_{CER} | | 1 8 | | mA | | $T_{case} = 25^\circ\text{C}$ $T_{case} = 125^\circ\text{C}$ $V_{CE} = V_{CEX}, R_{BE} \leq 5 \Omega$ |
| I_{EBO} | | 2 | | mA | | $I_C = 0, V_{EB} = 5 \text{ V}$ |

ON CHARACTERISTICS – CARACTÉRISTIQUES A L'ETAT CONDUCTEUR

| | | | | | |
|---------------------------|--|------------|---|------------------------------|--|
| V_{CE} _{sat} * | | 1,5 3,5 | V | BUV 98, (V) | $I_C = 20 \text{ A}, I_B = 4 \text{ A}$ $I_C = 30 \text{ A}, I_B = 8 \text{ A}$ |
| | | 1,5 5 | V | BUV 98 A, (V) | $I_C = 16 \text{ A}, I_B = 3,2 \text{ A}$ $I_C = 24 \text{ A}, I_B = 5 \text{ A}$ |
| V_{BE} _{sat} * | | 1,6 | V | BUV 98, (V) BUV 98 A, (V) | $I_C = 20 \text{ A}, I_B = 4 \text{ A}$ $I_C = 16 \text{ A}, I_B = 3,2 \text{ A}$ |

DYNAMIC CHARACTERISTICS – CARACTÉRISTIQUES DYNAMIQUES

| | | | | | | |
|-----------|--|-----|--|-----|--|---|
| f_T | | 5 | | MHz | | $f = 1 \text{ MHz}, I_C = 1 \text{ A}, V_{CE} = 10 \text{ V}$ |
| C_{22b} | | 500 | | pF | | $f = 1 \text{ MHz}, V_{CE} = 10 \text{ V}$ |

SWITCHING CHARACTERISTICS – CARACTÉRISTIQUES DE COMMUTATION

Resistive load – Charge résistive

| | | | | | | |
|----------|--|------|-----|---------------|---------------|--|
| t_{on} | | 0,55 | 1 | μs | BUV 98, (V) | $V_{CC} = 150 \text{ V}, I_C = 20 \text{ A}, I_{B1} = -I_{B2} = 4 \text{ A}$ |
| t_s | | 1,5 | 3 | | BUV 98 A, (V) | $V_{CC} = 150 \text{ V}, I_C = 16 \text{ A}, I_{B1} = -I_{B2} = 3,2 \text{ A}$ |
| t_f | | 0,3 | 0,8 | | | |

Inductive load – Charge inductive

| | | | | | | |
|-------|--|------|--|---------------|---|---|
| t_s | | 3,5 | | μs | $T_J = 25^\circ\text{C}$ $T_J = 100^\circ\text{C}$ | $BUV 98, (V)$ $V_{CC} = 300 \text{ V}, I_C = 20 \text{ A}, L_B = 1,5 \mu\text{H}$ $- V_B = 5 \text{ V}, I_{Bend} = 4 \text{ A}$ |
| | | 5 | | | | |
| t_f | | 0,08 | | μs | $T_J = 25^\circ\text{C}$ $T_J = 100^\circ\text{C}$ | $BUV 98 A, (V)$ $V_{CC} = 300 \text{ V}, I_C = 16 \text{ A}, L_B = 1,5 \mu\text{H}$ $- V_B = 5 \text{ V}, I_{Bend} = 3,2 \text{ A}$ |
| | | 0,4 | | | | |

* Pulse - Impulsions $t_p = 300 \mu\text{s}$ $\delta \leq 2\%$ ** $T_{case} 25^\circ\text{C}$ Unless otherwise stated - Sauf indications contraires

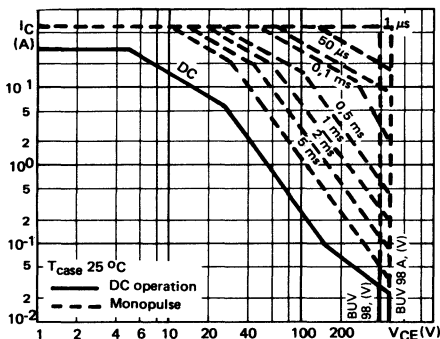


FIGURE 1 : DC and pulse area

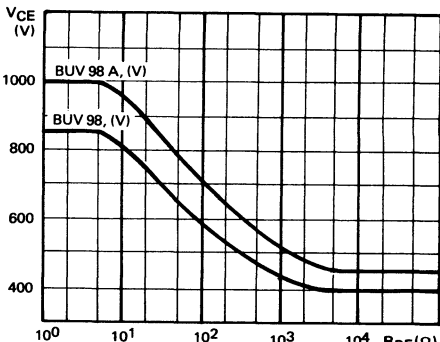


FIGURE 2 : Collector-emitter voltage vs base-emitter resistance

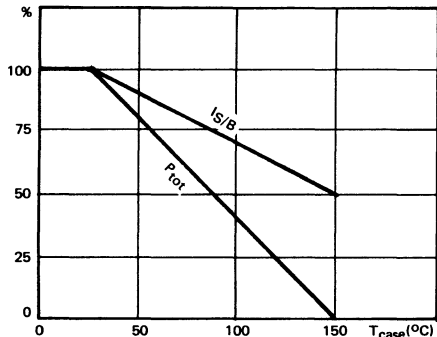
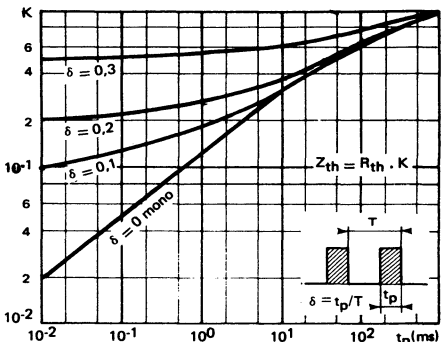
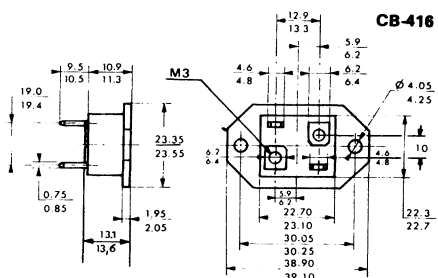
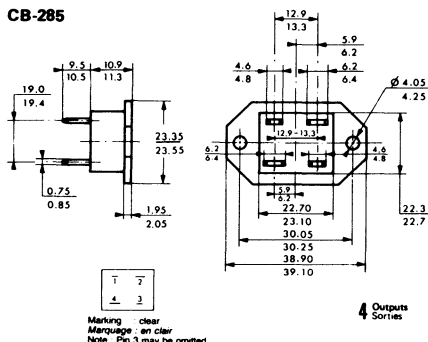
FIGURE 3 : Power and $I_{S/B}$ derating vs case temperature

FIGURE 4 : Transient thermal response

CASE OUTLINES



BUV 98, (V) - BUV 98 A, (V)

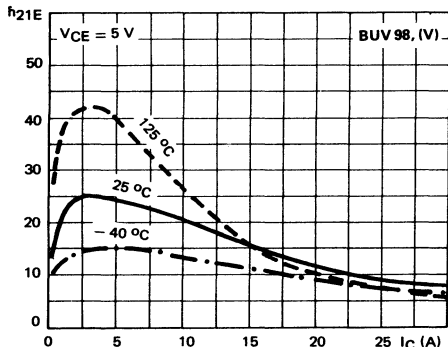


FIGURE 6 : DC current gain

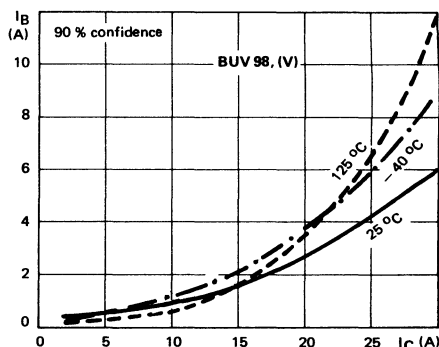


FIGURE 7 : Minimum base current to saturate the transistor

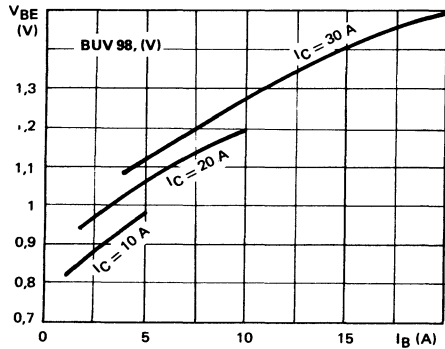


FIGURE 8 : Base characteristics

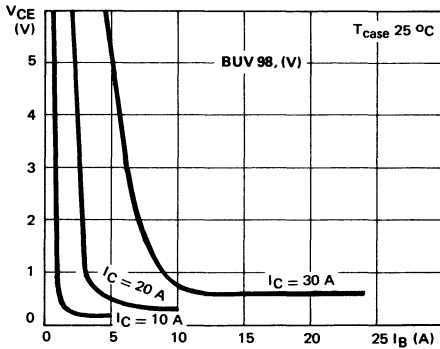


FIGURE 9 : Collector saturation region

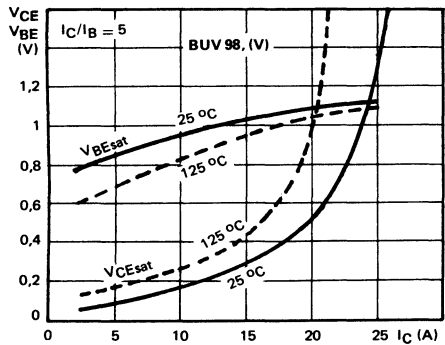


FIGURE 10 : Saturation voltage

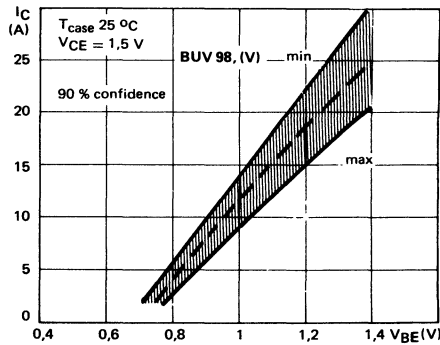
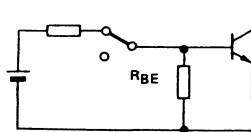


FIGURE 11 : Collector current spread vs base-emitter voltage

SWITCHING OPERATING AND OVERLOAD AREAS



TRANSISTOR FORWARD BIASED

- During the turn on
- During the turn off without negative base-emitter voltage and $R_{BE} \leq 50 \Omega$

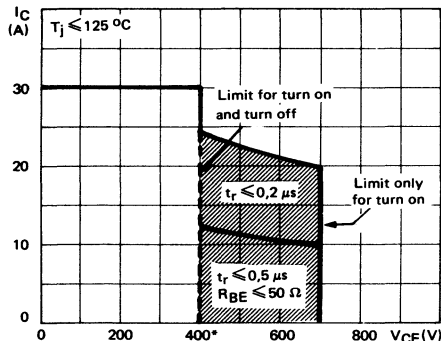
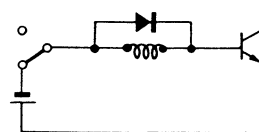


FIGURE 12 :Forward biased safe operating area (FBSOA)



TRANSISTOR REVERSE BIASED

- During the turn off with negative base-emitter voltage

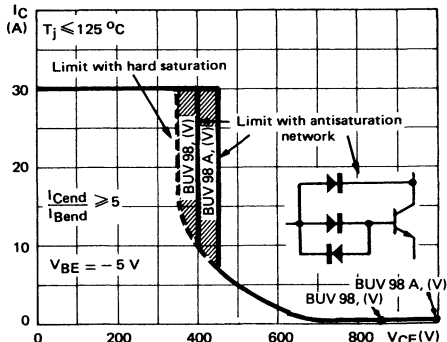


FIGURE 13 : Reverse biased safe operating area (RBSOA)

* BUV 98 A, (V) : 450 V

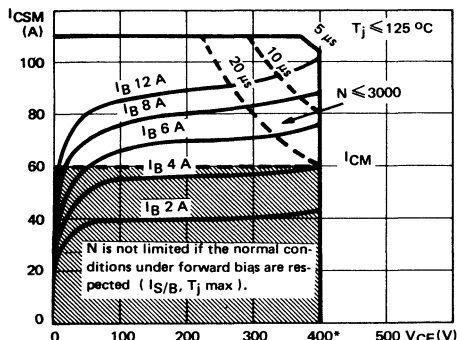


FIGURE 14 : Forward biased accidental overload area (FBAOA)

* BUV 98 A, (V) : 450 V

Figure 12 : The hatched zone can only be used for turn on.

Figures 13 and 15 : Switch off starting from the quasi saturated state ($VCE \geq 1.5$ V) allows to extend the RBSOA and the RBAOA to the hatched zone.

Figures 14 and 15 : High accidental surge currents ($|I| > |ICM|$) are allowed if they are non repetitive and applied less than 3000 times during the component life.

Figure 14 : The Kellogg network (heavy point) allows the calculation of the maximum value of the short-circuit current for a given base current I_B (90 % confidence).

Figure 15 : After the accidental overload current, the RBAOA has to be used for the turn off. As in traffic regulation one is allowed to cross the broken line before the continuous line. One is forbidden to cross the single continuous line.

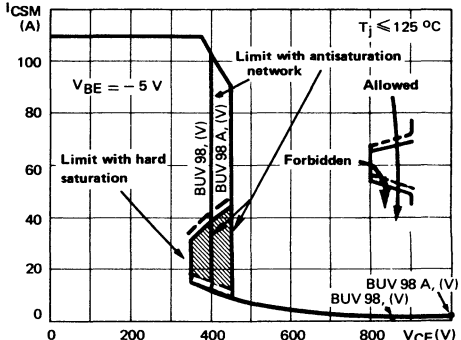


FIGURE 15 : Reverse biased accidental overload area (RBAOA)

Figure 12 : La zone hachurée ne doit être utilisée que pour la mise en conduction.

Figures 13 et 15 : Le blocage à partir de l'état quasi-saturé ($VCE \geq 1.5$ V) permet d'étendre les aires de fonctionnement et de surcharge en inverse jusqu'à la zone hachurée.

Figures 14 et 15 : De forts courants de surcharge ($|I| > |ICM|$) sont permis s'ils sont non répétitifs et appliqués moins de 3000 fois dans la vie du composant.

Figure 14 : Le réseau de Kellogg (trait gras) permet le calcul de la valeur maximale du courant de court-circuit pour un courant de base donné I_B (90 % de confiance).

Figure 15 : Après le passage du courant de surcharge accidentelle on doit utiliser l'aire de surcharge accidentelle en polarisation inverse pour l'ouverture. Il est permis de traverser la ligne continue à condition de traverser d'abord la ligne pointillée.

BUV 98, (V) - BUV 98 A, (V)

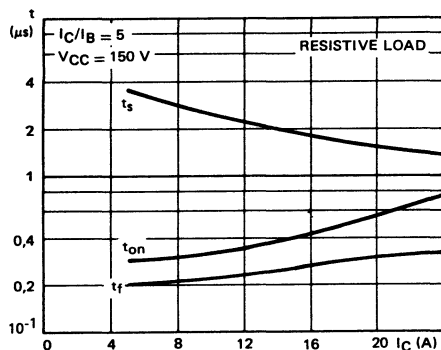


FIGURE 16 : Switching times vs collector current
(resistive load)

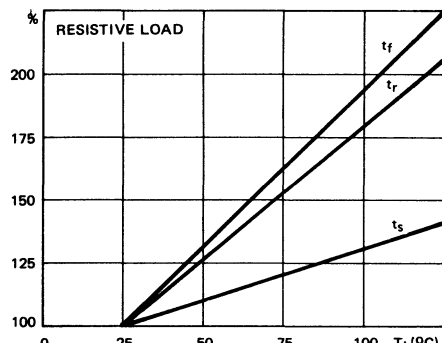


FIGURE 17 : Switching times vs junction temperature
(resistive load)

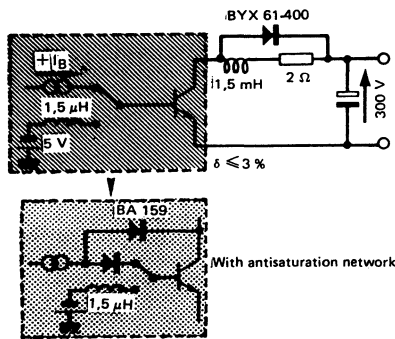


FIGURE 18 : Switching times test circuit on inductive load
(with and without antisaturation network)

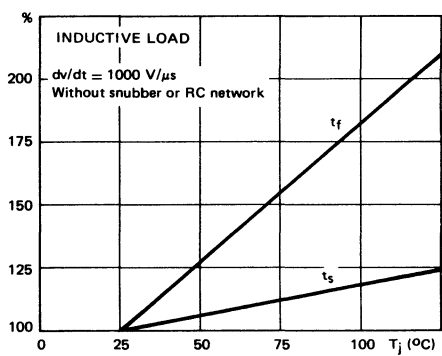


FIGURE 19 : Switching times vs junction temperature
(inductive load)

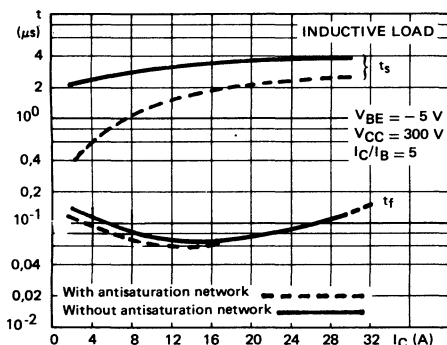


FIGURE 20 : Switching times vs collector current
(with and without antisaturation network)

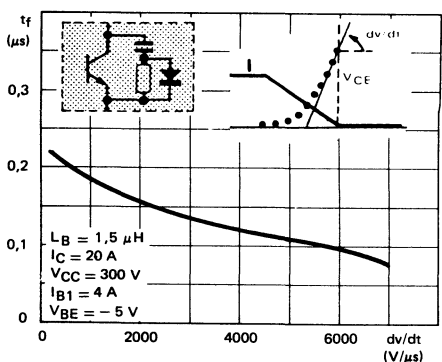


FIGURE 21 : Fall times vs reapply voltage slope

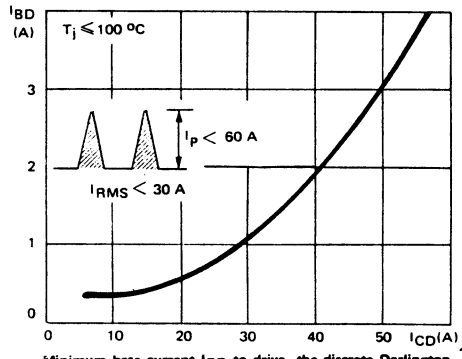
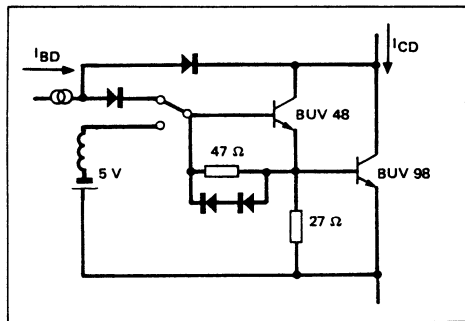
applications

The BUV 98 is designed for high voltage (220/380 V mains) and high current applications.

| | |
|----------------------------------|--|
| $I_{C\text{sat}} = 20 \text{ A}$ | $P_S \text{ switchable power} = V_{\text{CEO}} \cdot I_{C\text{sat}} = 8 \text{ KW}$ |
|----------------------------------|--|

To increase its power switching capability, it can be used in discrete Darlington configurations.

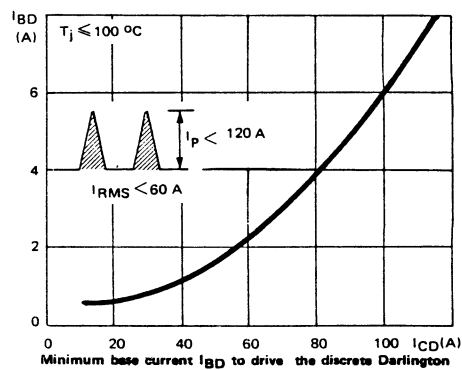
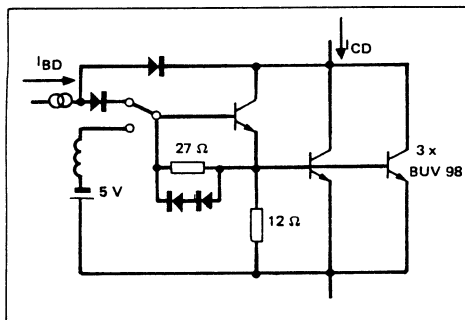
EXAMPLE 1 :



In this configuration the discrete Darlington can switch:

| | | |
|-------------------------|------|--------------------------|
| $I_{CD} = 40 \text{ A}$ | with | $I_{BD} = 2 \text{ A}$ |
| $I_{CD} = 20 \text{ A}$ | with | $I_{BD} = 0,4 \text{ A}$ |

EXAMPLE 2 :



In this configuration the discrete Darlington can switch :

| | | |
|-------------------------|------|------------------------|
| $I_{CD} = 80 \text{ A}$ | with | $I_{BD} = 4 \text{ A}$ |
| $I_{CD} = 40 \text{ A}$ | with | $I_{BD} = 1 \text{ A}$ |



NPN POWER TRANSISTORS
TRANSISTORS DE PUISSANCE NPN
ADVANCE INFORMATION

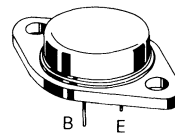
HIGH-VOLTAGE, HIGH SPEED, SWITCHING POWER TRANSISTORS SUITED FOR USE ON THE 220 V MAINS

APPLICATIONS :

- SWITCHMODE POWER SUPPLY
- MOTOR CONTROL
- CONVERTERS

| | BUW 34 | BUW 35 | BUW 36 |
|-----------------------------|---------------|---------------|---------------|
| V_{CEO(sus)} | 400 V | 400 V | 450 V |
| V_{CES} | 500 V | 800V | 900 V |
| I_{Csat} | | 5 A | |
| t_{f max} | | | 800 ns |

Case
Boîtier : TO-3 (CB-19)



Collector connected to case

ABSOLUTE RATINGS (LIMITING VALUES)
VALEURS LIMITES ABSOLUES D'UTILISATION

T_{case} = 25°C

| | | BUW 34 | BUW 35 | BUW 36 | | |
|---|--|------------------|---------------|---------------|-----|---|
| Collector-emitter voltage <i>Tension collecteur-émetteur</i> | V _{CEO} | 400 | 400 | 450 | V | |
| Collector-emitter voltage <i>Tension collecteur-émetteur</i> | V _{BE} = 0 V | V _{CES} | 500 | 800 | 900 | V |
| Emitter-base voltage <i>Tension émetteur base</i> | V _{EBO} | | 7 | | V | |
| Collector current <i>Courant collecteur</i> | I _C I _{CM} t _p ≤ 5 ms | | 10 15 | | A | |
| Base current <i>Courant base</i> | I _B | | 5 | | A | |
| Power dissipation <i>Dissipation de puissance</i> | P _{tot} | | 125 | | W | |
| Junction temperature <i>Température de jonction</i> | T _j | | – 65 to 200 | | °C | |

| | | | | |
|--|-----|----------------------|-----|------|
| Jonction-case thermal resistance <i>Résistance thermique jonction-boîtier</i> | max | R _{th(j-c)} | 1,4 | °C/W |
|--|-----|----------------------|-----|------|

ELECTRICAL CHARACTERISTICS - CARACTÉRISTIQUES ÉLECTRIQUES**

| SYMBOLS | Min. | Typ. | Max. | UNITS | TEST CONDITIONS - CONDITIONS DE MESURE |
|---------|------|------|------|-------|--|
|---------|------|------|------|-------|--|

OFF CHARACTERISTICS - CARACTÉRISTIQUES A L'ÉTAT BLOQUÉ

| | | | | | |
|----------------|-----|-----|--|----|---|
| $V_{CEO(sus)}$ | 400 | | | V | $\left. \begin{array}{l} V_{CEO(sus)} \\ V_{CES} \\ V_{EB0} \end{array} \right\} I_B = 0, I_C = 100 \text{ mA}$ $\left. \begin{array}{l} V_{CE} = V_{CES}, V_{BE} = 0 \\ T_J = 125^\circ\text{C} \end{array} \right\} I_C = 8 \text{ A}, I_B = 2,5 \text{ A}$ $V_{EB} = 7 \text{ V}, I_C = 0$ |
| | 400 | | | | |
| | 450 | | | | |
| I_{CES} | | 0,5 | | mA | $\left. \begin{array}{l} V_{CE} = V_{CES}, V_{BE} = 0 \\ T_J = 125^\circ\text{C} \end{array} \right\} I_C = 8 \text{ A}, I_B = 2,5 \text{ A}$ $V_{EB} = 7 \text{ V}, I_C = 0$ |
| | | 3 | | | |
| | | 1 | | | |

ON CHARACTERISTICS - CARACTÉRISTIQUES A L'ÉTAT CONDUCTEUR

| | | | | |
|----------------|----|-----|---------------|--|
| $V_{CE sat^*}$ | | 1,5 | V | $I_C = 5 \text{ A}, I_B = 1 \text{ A}$ |
| | | 1,5 | | $\left. \begin{array}{l} V_{CE sat^*} \\ V_{BE sat^*} \end{array} \right\} I_C = 8 \text{ A}, I_B = 2,5 \text{ A}$ |
| | | 3 | | $I_C = 5 \text{ A}, I_B = 1 \text{ A}$ |
| $V_{BE sat^*}$ | | 1,5 | μs | $\left. \begin{array}{l} V_{CE sat^*} \\ V_{BE sat^*} \end{array} \right\} I_C = 8 \text{ A}, I_B = 2,5 \text{ A}$ |
| | | 1,8 | | $I_C = 1 \text{ A}, V_{CE} = 5 \text{ V}$ |
| h_{21E^*} | 15 | | | |

SWITCHING CHARACTERISTICS - CARACTÉRISTIQUES DE COMMUTATION

| On resistive load - Sur charge résistive | | | | |
|--|--|------|---------------|--|
| t_{on} | | 0,75 | μs | $I_C = 5 \text{ A}, I_{B1} = 1 \text{ A}, V_{CC} = 250 \text{ V}$ |
| t_s | | 3 | | $I_C = 5 \text{ A}, I_{B1} = - I_{B2} = 1 \text{ A}, V_{CC} = 250 \text{ V}$ |
| t_f | | 0,8 | | |

* $t_p = 300 \mu\text{s}, \delta \leq 1,5 \%$ ** $T_j = 25^\circ\text{C}$ unless otherwise stated

SUPERSWITCH

NPN HIGH CURRENT SWITCHING TRANSISTOR

TRANSISTOR NPN FORT COURANT DE COMMUTATION

SUPERSWITCH

HIGH CURRENT , HIGH SPEED TRANSISTORS SUITED FOR LOW VOLTAGE APPLICATIONS: HIGH FREQUENCY AND EFFICIENCY CONVERTERS —SWITCHING REGULATORS —MOTOR CONTROLS

Data sheet tailored for switching applications

- * High current capability
- * Very low saturation voltage at 20 A
- * Fast turn off and turn on
- * Base drive specified for different values of I_C
- * Wide surge area 60 V — 100 A

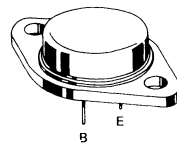
TRANSISTORS FORT COURANT , RAPIDES ADAPTES AUX APPLICATIONS BASSE TENSION: CONVERTISSEURS A HAUT RENDEMENT ET A HAUTE FREQUENCE — REGULATEURS A DECOUPAGE — COMMANDE DE MOTEURS —

Spécifications spécialement étudiées pour la commutation

- * Possibilités élevées en courant
- * Très faible tension de saturation à 20 A
- * Mise en conduction et blocage rapide
- * Commande de base spécifiée pour différentes valeurs de I_C
- * Aire de surcharge étendue 60 V — 100 A

| | BUW 38 | BUW 39 |
|--------------------------------------|----------------------------------|----------------------------------|
| $V_{CEO}(\text{sat})$ | 60 V | 80 V |
| V_{CEX} | 120 V | 160 V |
| I_{Csat} | 40 A | 30 A |
| I_{CSM} | 100 A | 100 A |
| $t_f \text{ (} 125^\circ\text{C) }$ | $\leq 0,5 \mu\text{s}$ (40 A) | $\leq 0,5 \mu\text{s}$ (30 A) |

Case
Boîtier TO 3 (CB 19)



ABSOLUTE RATINGS (LIMITING VALUES)

VALEURS LIMITES ABSOLUES D'UTILISATION

| | | BUW 38 | BUW 39 | | |
|---|-----------------------------------|------------------------|----------|--------------------|---|
| Collector-emitter voltage <i>Tension collecteur-émetteur</i> | V_{CEO} | 60 | 80 | V | |
| Collector-base voltage <i>Tension collecteur-base</i> | V_{CBO} | 120 | 160 | V | |
| Emitter-base voltage <i>Tension émetteur-base</i> | V_{EBO} | 7 | 7 | V | |
| Collector current <i>Courant collecteur</i> | I_C $t_p \leq 10 \text{ ms}$ | I_{Ceff} I_{CM} | 30 45 | 30 40 | A |
| Base current <i>Courant base</i> | I_B $t_p \leq 10 \text{ ms}$ | I_B I_{BM} | 8 20 | 6 15 | A |
| Power dissipation <i>Dissipation de puissance</i> | $T_{case} 25^\circ\text{C}$ | P_{tot} | 150 | 150 | W |
| Junction temperature <i>Température de jonction</i> | t_j | $-65 + 200$ | | $^{\circ}\text{C}$ | |

| Junction-case thermal resistance <i>Résistance thermique jonction-boîtier</i> | max | $R_{th(j-c)}$ | 1,17 | 1,17 | $^{\circ}\text{C/W}$ |
|--|-----|---------------|------|------|----------------------|
| | | | | | |

BUW 38 - BUW 39

ELECTRICAL CHARACTERISTICS - CARACTÉRISTIQUES ÉLECTRIQUES **

| SYMBOL | Min | Typ | Max | UNIT | | TEST CONDITIONS - CONDITIONS DE MESURE |
|--------|-----|-----|-----|------|--|--|
|--------|-----|-----|-----|------|--|--|

OFF CHARACTERISTICS - CARACTÉRISTIQUES A L'ÉTAT BLOQUE

| | | | | | | |
|----------------------|----------|--------|----|----|------------------|---|
| V _{CEO} us | 60 80 | | | V | BUW 38 BUW 39 | I _B = 0, I _C = 0,2 A, L = 25 mH |
| V _{(BR)EBO} | 7 | | | V | | I _C = 0, I _E = 50 mA |
| I _{CEx} | | 1 3 | | mA | | T _{case} 25 °C V _{CE} = V _{CEx} ; V _{BE} = - 1,5 V T _{case} 125 °C |
| I _{EBO} | | 1 | mA | | | I _C = 0, V _{BE} = 5 V |

ON CHARACTERISTICS - CARACTÉRISTIQUES A L'ÉTAT CONDUCTEUR

| | | | | | |
|----------------------|--|------------|---|------------------|--|
| V _{CESat} * | | 0,6 1,4 | V | BUW 38 | I _C = 20 A, I _B = 2 A I _C = 40 A, I _B = 4 A |
| | | 0,5 1,2 | V | BUW 39 | I _C = 15 A, I _B = 1,5 A I _C = 30 A, I _B = 3 A |
| V _{BESat} * | | 2,1 2 | V | BUW 38 BUW 39 | I _C = 40 A, I _B = 4 A I _C = 30 A, I _B = 3 A |

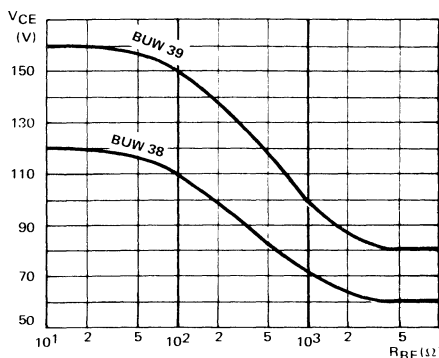
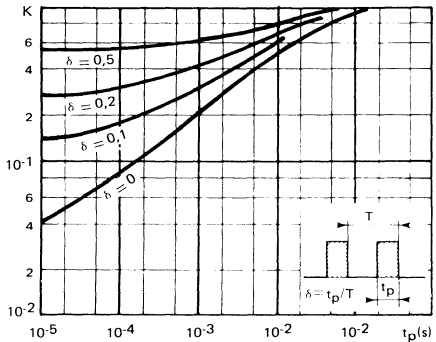
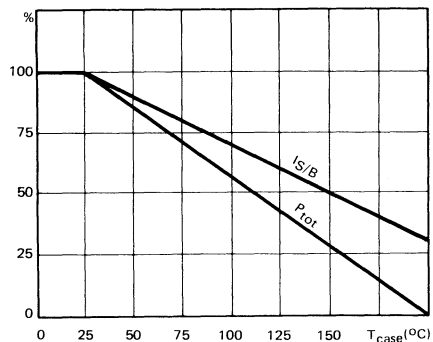
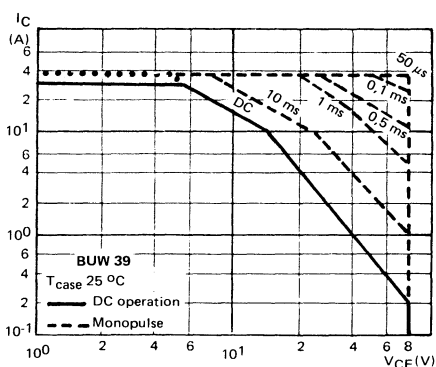
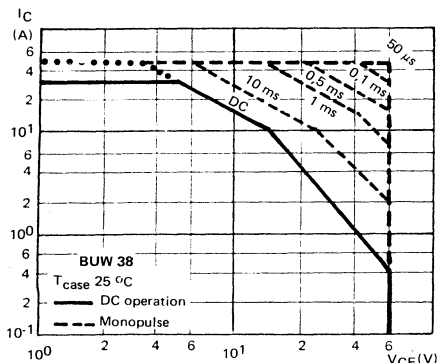
DYNAMIC CHARACTERISTICS - CARACTÉRISTIQUES DYNAMIQUES

| | | | | | |
|----------------|---|--|-----|--|--|
| f _T | 8 | | MHz | | f = 10 MHz, V _{CE} = 15 V, I _C = 1 A |
|----------------|---|--|-----|--|--|

SWITCHING CHARACTERISTICS - CARACTÉRISTIQUES DE COMMUTATION

| Resistive load - Charge résistive | | | | | | |
|-----------------------------------|--|------------|-------------|----|------------------|--|
| t _{on} | | 1,2 0,8 | 1,5 1,2 | μs | BUW 38 BUW 39 | V _{CC} = 60 V, I _C = 40 A IB1 = - IB2 = 4 A } BUW 38 |
| t _s | | 0,6 | 1,1 1,65 | | | |
| t _f | | 0,17 | 0,25 0,5 | | BUW 38 | T _{case} 25°C T _{case} 125°C |
| | | 0,15 | 0,25 0,5 | | BUW 39 | V _{CC} = 80 V, I _C = 30 A IB1 = - IB2 = 3 A } BUW 39 T _{case} 25°C T _{case} 125°C |

* Measured with pulses t_p = 300 μs δ ≤ 2 % ** T_{case} 25 °C Unless otherwise stated



BUW 38 - BUW 39

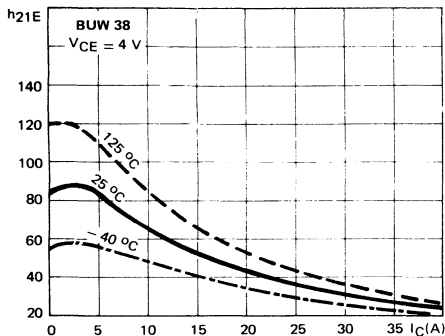


FIGURE 8 : DC current gain

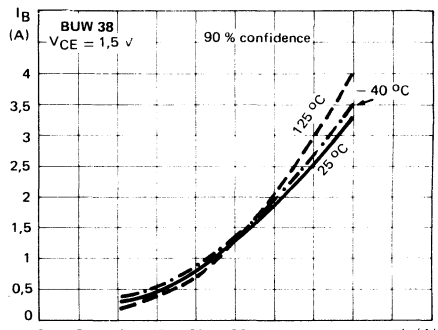


FIGURE 9 : Minimum base current to saturate the transistor

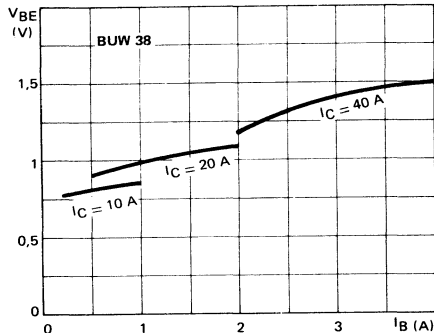


FIGURE 10: Base characteristics

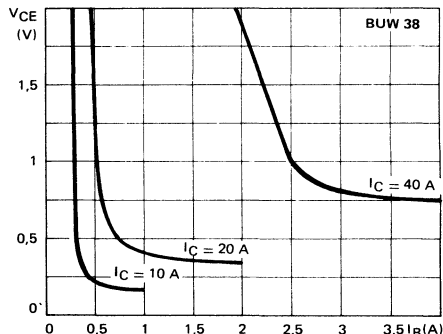


FIGURE 11: Collector saturation region

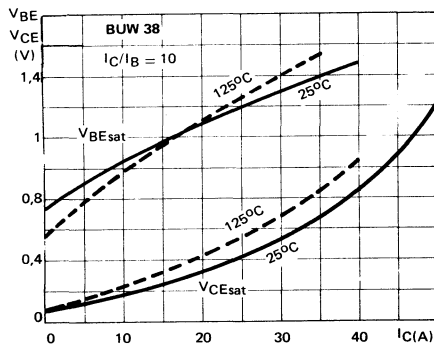


FIGURE 12 : Saturation voltages

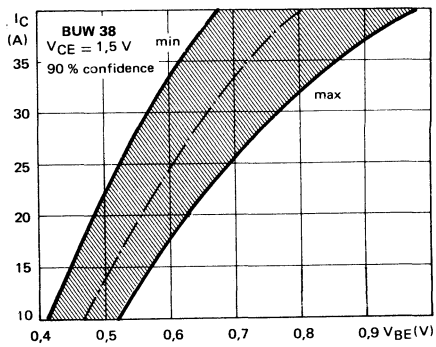


FIGURE 13 : Collector current spread vs base emitter voltage

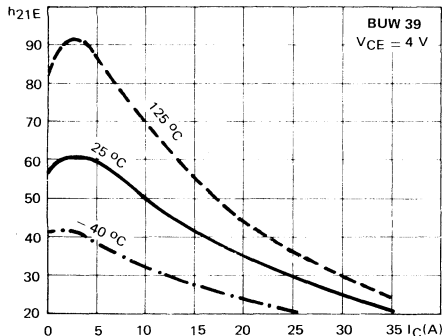


FIGURE 14: DC current gain

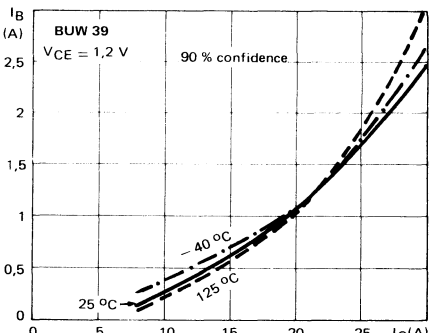


FIGURE 15 Minimum base current to saturate the transistor

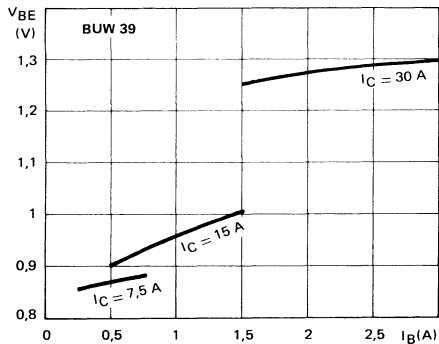


FIGURE 16: Base characteristics

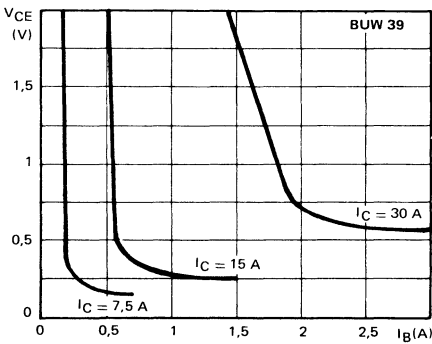


FIGURE 17: Collector saturation region

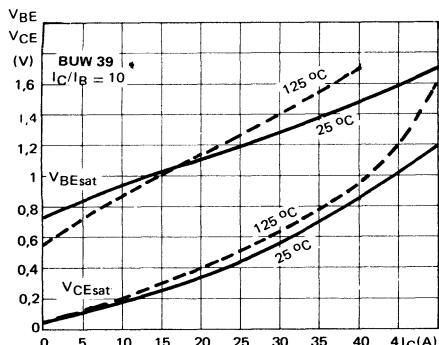


FIGURE 18 :Saturation voltages

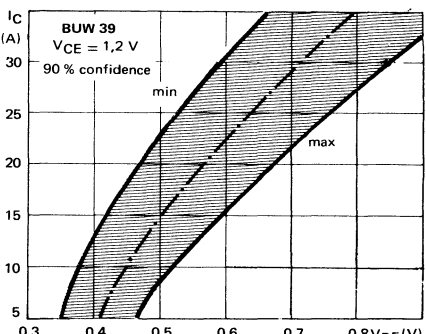
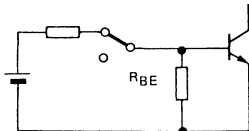


FIGURE 19 :Collector current spread vs base emitter voltage

SWITCHING OPERATING AND OVERLOAD AREAS



TRANSISTOR FORWARD BIASED

- During the turn on
- During the turn off without negative base-emitter voltage and $R_{BE} \geq 5 \Omega$

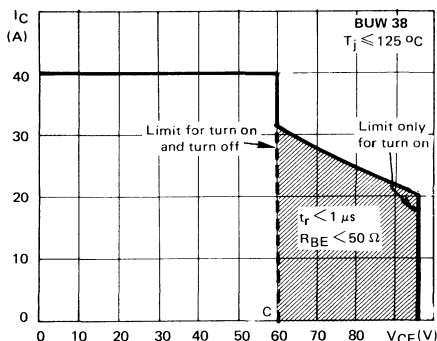
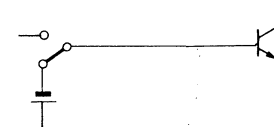


FIGURE 20 : Forward biased safe operating area (FBSOA)



TRANSISTOR REVERSE BIASED

- During the turn off with negative base-emitter voltage

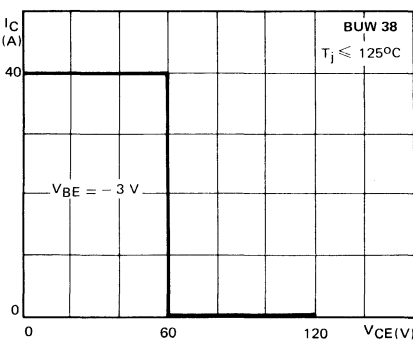


FIGURE 21 : Reverse biased safe operating area (RBSOA)

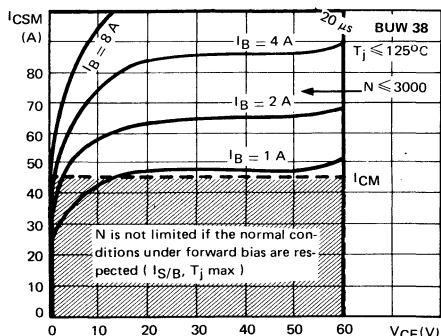


FIGURE 22 : Forward biased accidental overload area (FBAOA)

Figure 20 : The hatched zone can only be used for turn on.

Figures 22 and 23 : High accidental surge currents ($I > I_{CM}$) are allowed if they are non repetitive and applied less than 3000 times during the component life.

Figure 22 : The Kellogg network (heavy print) allows the calculation of the maximum value of the short-circuit current for a given base current I_B (90 % confidence).

Figure 23 : After the accidental overload current, the RBAOA has to be used for the turn off.

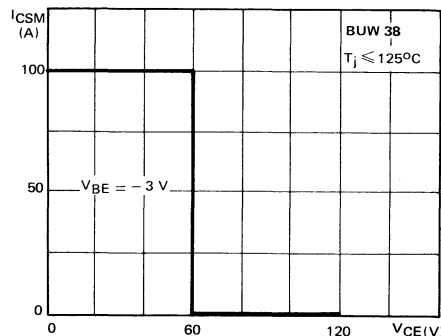


FIGURE 23 : Reverse biased accidental overload area (RBAOA)

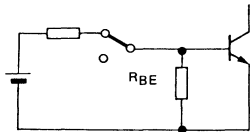
Figure 20 : La zone hachurée ne doit être utilisée que pour la mise en conduction.

Figure 22 et 23 : De forts courants de surcharge ($I > I_{CM}$) sont permis s'ils sont non répétitifs et appliqués moins de 3000 fois dans la vie du composant.

Figure 22 : Le réseau de Kellogg (traité gras) permet le calcul de la valeur maximale du courant de court-circuit pour un courant de base donné I_B (90 % de confiance).

Figure 23 : Après le passage du courant de surcharge accidentelle, on doit utiliser l'aire de surcharge accidentelle en polarisation inverse pour l'ouverture.

SWITCHING OPERATING AND OVERLOAD AREAS



TRANSISTOR FORWARD BIASED

- During the turn on
- During the turn off without negative base-emitter voltage and $R_{BE} \geq 5 \Omega$

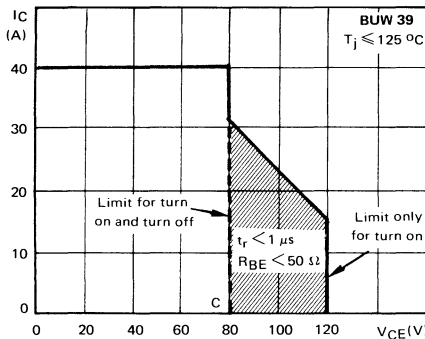
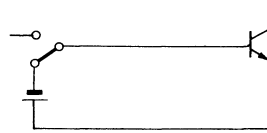


FIGURE 24 : Forward biased safe operating area (FBSOA)



TRANSISTOR REVERSE BIASED

- During the turn off with negative base-emitter voltage

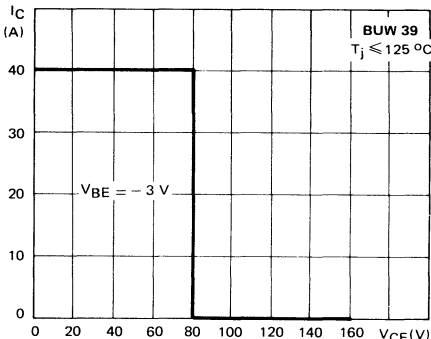


FIGURE 25 : Reverse biased safe operating area (RBSOA)

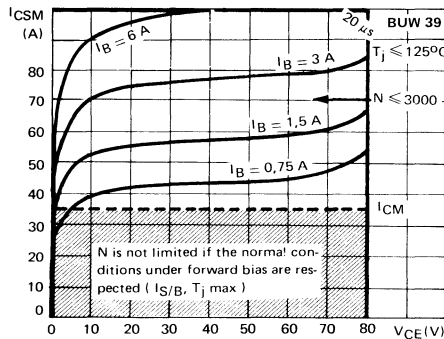


FIGURE 26 : Forward biased accidental overload area (FBAOA)

Figure 24 : The hatched zone can only be used for turn on.

Figures 26 and 27 : High accidental surge currents ($I > I_{CM}$) are allowed if they are non repetitive and applied less than 3000 times during the component life.

Figure 26 : The Kellogg network (heavy print) allows the calculation of the maximum value of the short-circuit current for a given base current I_B (90 % confidence).

Figure 27 : After the accidental overload current, the RBAOA has to be used for the turn off.

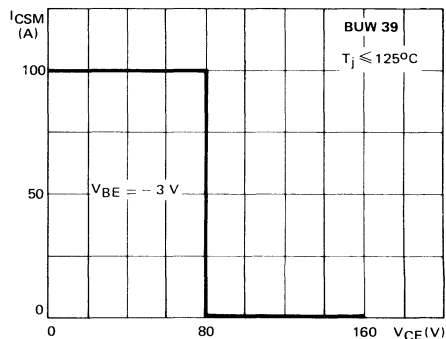


FIGURE 27 : Reverse biased accidental overload area (RBAOA)

Figure 24 : La zone hachurée ne doit être utilisée que pour la mise en conduction.

Figure 26 et 27 : De forts courants de surcharge ($I > I_{CM}$) sont permis s'ils sont non répétitifs et appliqués moins de 3000 fois dans la vie du composant.

Figure 26 : Le réseau de Kellogg (trait gras) permet le calcul de la valeur maximale du courant de court-circuit pour un courant de base donné I_B (90 % de confiance).

Figure 27 : Après le passage du courant de surcharge accidentelle, on doit utiliser l'aire de surcharge accidentelle en polarisation inverse pour l'ouverture.

BUW 38 - BUW 39

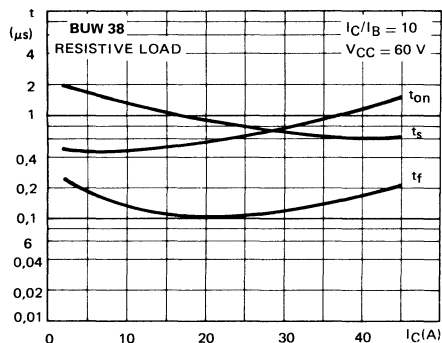


FIGURE 28 : Switching times vs collector current
(resistive load)

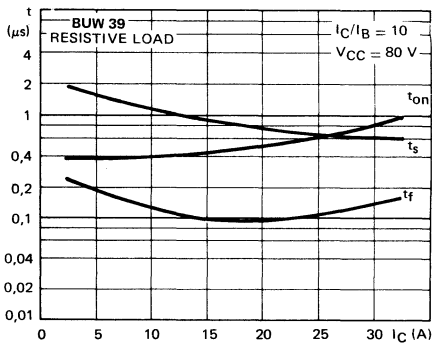


FIGURE 29 : Switching times vs collector current
(resistive load)

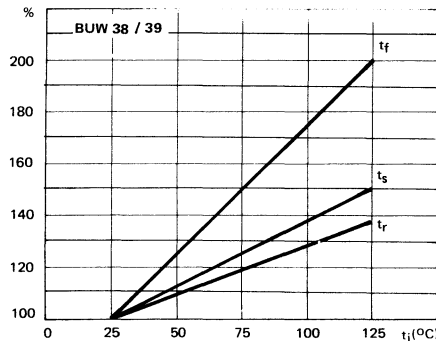


FIGURE 30 : Switching times vs junction temperature

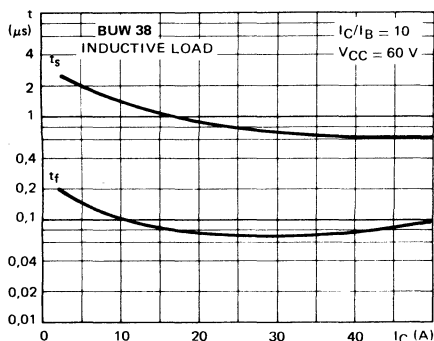


FIGURE 31 : Switching times vs collector current
(inductive load)

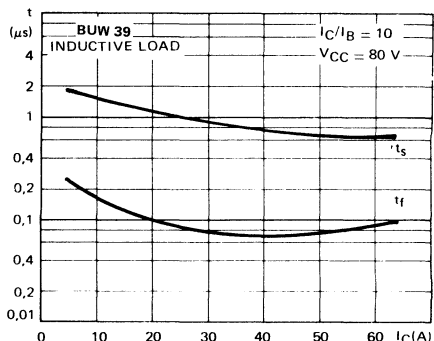
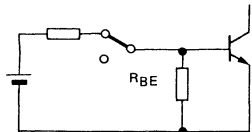


FIGURE 32 : Switching times vs collector current
(inductive load)

SWITCHING OPERATING AND OVERLOAD AREAS



TRANSISTOR FORWARD BIASED

- During the turn on
- During the turn off without negative base-emitter voltage and $R_{BE} \geq 5 \Omega$

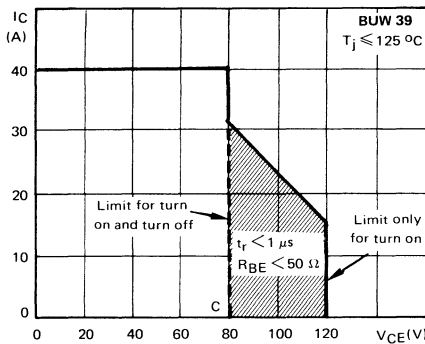
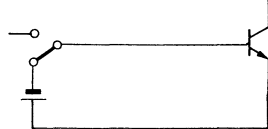


FIGURE 24 : Forward biased safe operating area
(FBSOA)



TRANSISTOR REVERSE BIASED

- During the turn off with negative base-emitter voltage

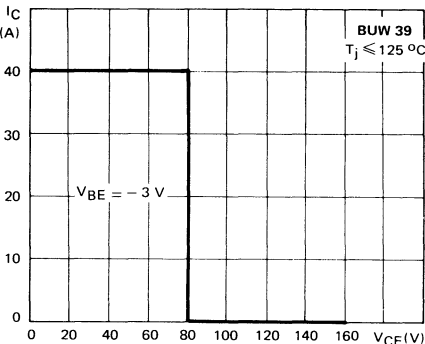


FIGURE 25 : Reverse biased safe operating area
(RBSOA)

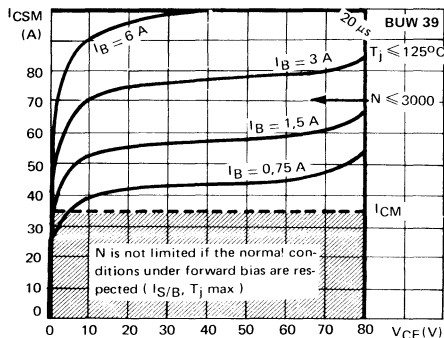


FIGURE 26 : Forward biased accidental overload area
(FBAOA)

Figure 24 : The hatched zone can only be used for turn on.

Figures 26 and 27 : High accidental surge currents ($I > I_{CM}$) are allowed if they are non repetitive and applied less than 3000 times during the component life.

Figure 26 : The Kellogg network (heavy print) allows the calculation of the maximum value of the short-circuit current for a given base current I_B (90 % confidence).

Figure 27 : After the accidental overload current, the RBAOA has to be used for the turn off.

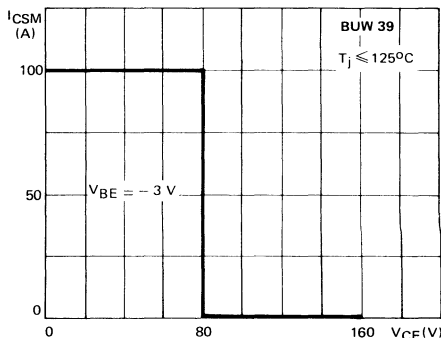


FIGURE 27 : Reverse biased accidental overload area
(RBAOA)

Figure 24 : La zone hachurée ne doit être utilisée que pour la mise en conduction.

Figure 26 et 27 : De forts courants de surcharge ($I > I_{CM}$) sont permis s'ils sont non répétitifs et appliqués moins de 3000 fois dans la vie du composant.

Figure 26 : Le réseau de Kellogg (trait gras) permet le calcul de la valeur maximale du courant de court-circuit pour un courant de base donné I_B (90 % de confiance).

Figure 27 : Après le passage du courant de surcharge accidentelle, on doit utiliser l'aire de surcharge accidentelle en polarisation inverse pour l'ouverture.

BUW 38 - BUW 39

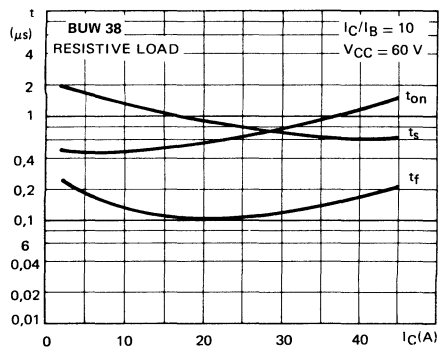


FIGURE 28 : Switching times vs collector current
(resistive load)

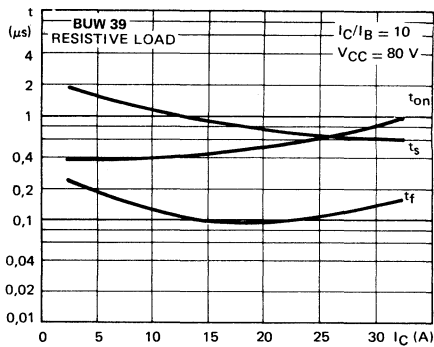


FIGURE 29 : Switching times vs collector current
(resistive load)

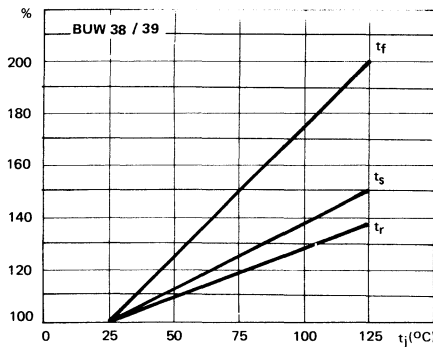


FIGURE 30 : Switching times vs junction temperature

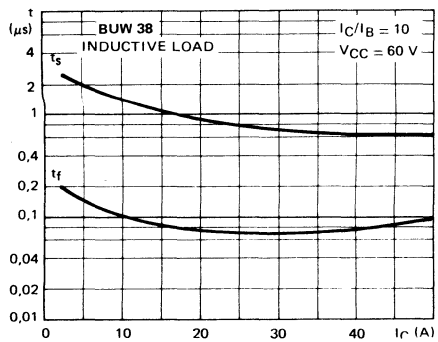


FIGURE 31 : Switching times vs collector current
(inductive load)

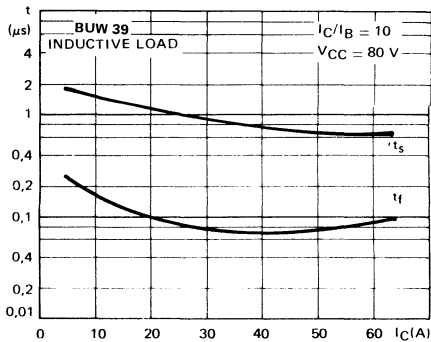
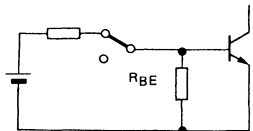


FIGURE 32 : Switching times vs collector current
(inductive load)

SWITCHING OPERATING AND OVERLOAD AREAS



TRANSISTOR FORWARD BIASED

- During the turn on
- During the turn off without negative base-emitter voltage and $R_{BE} \geq 5 \Omega$

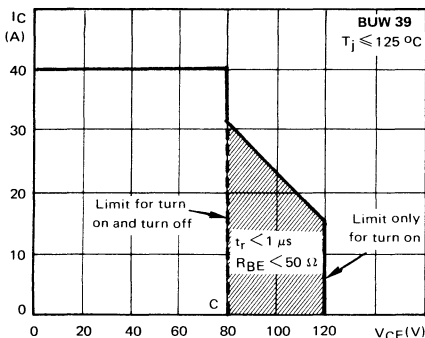
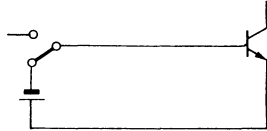


FIGURE 24 : Forward biased safe operating area (FBSOA)



TRANSISTOR REVERSE BIASED

- During the turn off with negative base-emitter voltage

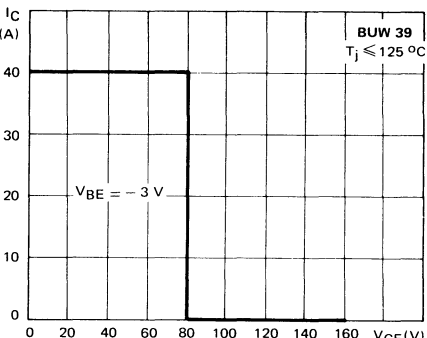


FIGURE 25 : Reverse biased safe operating area (RBSOA)

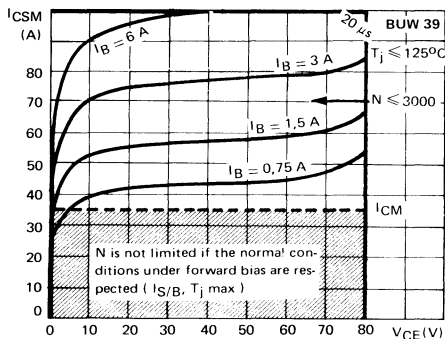


FIGURE 26 : Forward biased accidental overload area (FBAOA)

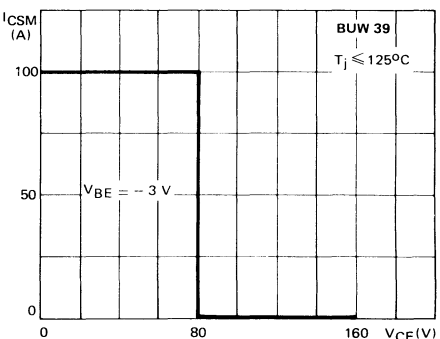


FIGURE 27 : Reverse biased accidental overload area (RBAOA)

Figure 24 : The hatched zone can only be used for turn on.

Figures 26 and 27 : High accidental surge currents ($I > I_{CM}$) are allowed if they are non repetitive and applied less than 3000 times during the component life.

Figure 26 : The Kellogg network (heavy print) allows the calculation of the maximum value of the short-circuit current for a given base current I_B (90 % confidence).

Figure 27 : After the accidental overload current, the RBAOA has to be used for the turn off.

Figure 24 : La zone hachurée ne doit être utilisée que pour la mise en conduction.

Figure 26 et 27 : De forts courants de surcharge ($I > I_{CM}$) sont permis s'ils sont non répétitifs et appliqués moins de 3000 fois dans la vie du composant.

Figure 26 : Le réseau de Kellogg (trait gras) permet le calcul de la valeur maximale du courant de court-circuit pour un courant de base donné I_B (90 % de confiance).

Figure 27 : Après le passage du courant de surcharge accidentelle, on doit utiliser l'aire de surcharge accidentelle en polarisation inverse pour l'ouverture.

BWU 38 - BWU 39

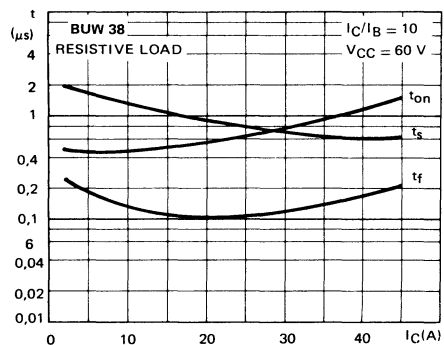


FIGURE 28 : Switching times vs collector current
(resistive load)

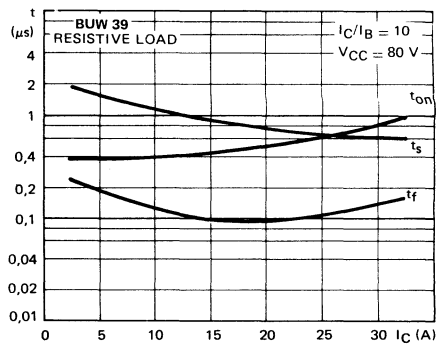


FIGURE 29 : Switching times vs collector current
(resistive load)

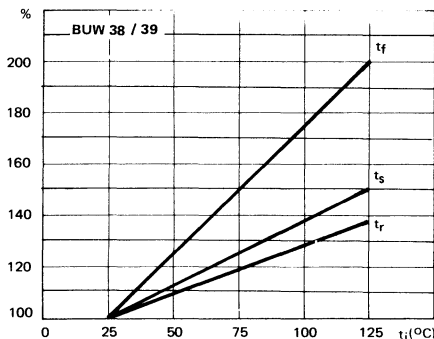


FIGURE 30 : Switching times vs junction temperature

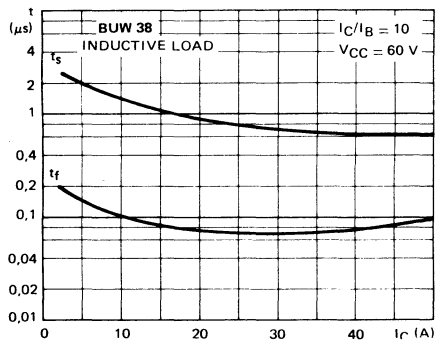


FIGURE 31 : Switching times vs collector current
(inductive load)

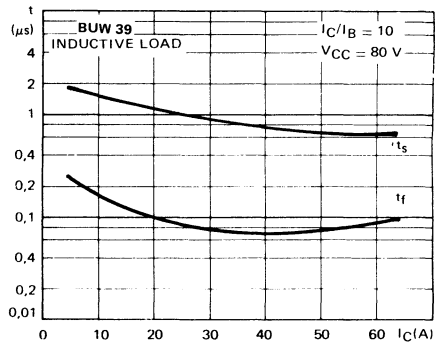


FIGURE 32 : Switching times vs collector current
(inductive load)

♦ applications ♦

BASE DRIVE – COMMANDE DE BASE –

Base drive of BUW 38/39 is not very critical because of their relatively low voltage . The designer can use simple circuits for applications with medium speeds or high performing circuits for high or very high switching speeds.

For example , base drive with antisaturation circuit and – 5 V blocking voltage generator allows fall times below 0,1 µs.

La commande de base des BUW 38/39 n'est pas très critique, car leur tension est relativement basse . Le concepteur peut utiliser :

– soit des circuits simples dans le cas d'applications à vitesses de commutation moyennes,

– soit des circuits plus performants dans le cas où une commutation plus rapide est nécessaire.

Par exemple, une commande de base avec un circuit antisaturation et un générateur de tension de blocage de – 5 V, permet d'avoir des temps de décroissance au dessous de 0,1 µs.

HIGH EFFICIENCY OPERATING

When the transistor is operating at collector current smaller than $I_{C(SAT)}$, its gain is higher and its $V_{CE(sat)}$ is smaller.

This leads to the following advantages:

- Lower conduction losses.
- Lower base drive power.
- Shorter switching times.

The minimum base current necessary to reach saturation can be determined with the aid of figures 9 and 15 .

FONCTIONNEMENT A FORT RENDEMENT

Quand le transistor fonctionne à un courant collecteur inférieur à $I_{C(sat)}$, son gain est plus élevé et sa tension de saturation est plus faible. Celà entraîne les avantages suivants :

- Des pertes de conduction plus faibles
- Une puissance de commande de base plus faible.
- Des temps de commutation plus faibles.

Le courant base minimum nécessaire pour saturer le transistor, peut être déterminé à l'aide des figures 9 et 15 .

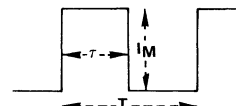
$$\begin{array}{lll} \text{EXAMPLE : } I_C = 30 \text{ A} & I_B = 2 \text{ A} & \text{Forced gain : 15 } (T_C = 125^\circ\text{C}) \\ (\text{BUW 38}) & I_C = 15 \text{ A} & I_B = 0,5 \text{ A} \quad \text{Forced gain : 30 } (T_C = 25^\circ\text{C}) \end{array}$$

RMS CURRENT LIMIT – LIMITE DU COURANT EFFICACE

BUW 38/39 RMS current limit is

La limite du courant efficace des BUW 38/39 est :

$$\text{EXAMPLE : } I_M = 40 \text{ A}, \tau / T = 0,5, I_{RMS} = 28 \text{ A} \quad I_{RMS} = \sqrt{\tau / T} \cdot I_M$$



OVERLOAD PROTECTION – PROTECTION CONTRE LES SURCHARGES –

The BUW 38/39 in the switching mode are operating under an accidental overload when the collector current is superior to the rating I_{CM} .

The new concept «ACCIDENTAL OVERLOAD AREA» completes the absolute maximum ratings of power transistors. This concept allows:

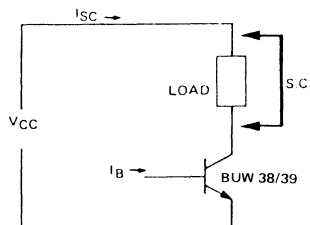
- to calculate a maximum value of the collector current under short-circuit conditions (for this a Kellogg network is given with the FBSOA)
- to find the maximum permissible duration of an overcurrent (with the aid of the FBAAO),
- to find the maximum permissible voltage during the turn off under overload (with the aid of the RBAOA).

Le BUW 38/39 en régime de commutation fonctionne en surcharge accidentelle lorsque le courant collecteur est supérieur à la limite I_{CM} . Le nouveau concept «AIRE DE SURCHARGE ACCIDENTELLE» complète les limites absolues d'utilisation des transistors de puissance.

Ce concept permet :

- de calculer une valeur maximale du courant collecteur dans les conditions de court-circuit (pour cela nous donnons un réseau de Kellogg avec l'aire FBAAO),
- de trouver la durée maximale admissible d'une surcharge en courant (FBAAO)
- de trouver la valeur maximale admissible de la tension réappliquée pendant le blocage du transistor après la surcharge.

| | SHORT CIRCUIT CURRENT | PERMISSIBLE DURATION |
|-----------------------------|--|---|
| EXAMPLE (BUW 38) | $V_{CC} = 40 \text{ V}, I_B = 4 \text{ A}$ | $I_{SC} \leq 85 \text{ A}$ $\leq 20 \mu\text{s}$ |
| EXAMPLE (BUW 39) | $V_{CC} = 60 \text{ V}, I_B = 3 \text{ A}$ | $I_{SC} \leq 78 \text{ A}$ $\leq 20 \mu\text{s}$ |



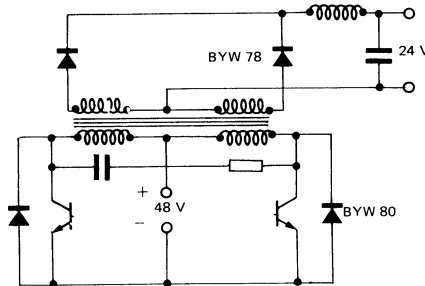
LINEAR APPLICATIONS

The good thermal resistance of BUW 38/39 allows their use in low voltage high current linear applications with power handling ability up to 150 W in the less than 10 volts V_{CE} range.

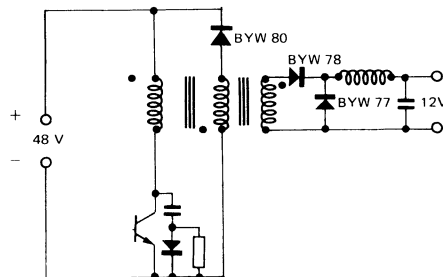
APPLICATIONS LINEAIRES

La résistance thermique des BUW 38/39 permet leur utilisation dans des applications linéaires à basse tension et fort courant jusqu'à des puissances de 150 W pour des tensions V_{CE} de moins de 10 V

STANDARD APPLICATIONS - APPLICATIONS STANDARD



100 KHz, 400 W DC / DC converter



Economical 500 W, DC / DC converter

CONSULT THE THOMSON CSF HANDBOOK

*Le transistor de puissance dans son environnement *
* The power transistor in its environment *
* Handbuch Schaltransistoren *

SUPERSWITCH

HIGH CURRENT , HIGH SPEED TRANSISTORS SUITED FOR LOW VOLTAGE APPLICATIONS : HIGH FREQUENCY AND EFFICIENCY CONVERTERS – SWITCHING REGULATORS – MOTOR CONTROLS

Data sheet tailored for switching applications

- * High current capability
- * Very low saturation voltage at 20 A
- * Fast turn off and turn on
- * Base drive specified for different values of I_C
- * Wide surge area 60 V – 100 A

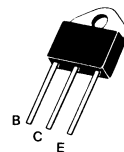
TRANSISTORS FORT COURANT , RAPIDES ADAPTES AUX APPLICATIONS BASSE TENSION: CONVERTISSEURS A HAUT RENDEMENT ET A HAUTE FREQUENCE – REGULATEURS A DECOUPAGE – COMMANDE DE MOTEURS –

Spécifications spécialement étudiées pour la commutation

- * Possibilités élevées en courant
- * Très faible tension de saturation à 20 A
- * Mise en conduction et blocage rapide
- * Commande de base spécifiée pour différentes valeurs de I_C
- * Aire de surcharge étendue 60 V – 100 A

| | BUW 48 | BUW 49 |
|------------------------------|-------------------|-------------------|
| $V_{CEO}(\text{osus})$ | 60 V | 80 V |
| V_{CEX} | 120 V | 160 V |
| $I_{C\text{sat}}$ | 40 A | 30 A |
| I_{CSM} | 100 A | 100 A |
| $t_f(100^\circ\text{C})$ max | 0,5 μs | 0,5 μs |

Case TOP 3 (CB 244)
Boîtier



ABSOLUTE RATINGS (LIMITING VALUES)
VALEURS LIMITES ABSOLUES D'UTILISATION

| | | BUW 48 | BUW 49 | |
|---|---|------------------|------------|----|
| Collector-emitter voltage <i>Tension collecteur-émetteur</i> | V_{CEO} | 60 | 80 | V |
| Collector-base voltage <i>Tension collecteur-base</i> | V_{CBO} | 120 | 160 | V |
| Emitter-base voltage <i>Tension émetteur-base</i> | V_{EBO} | 7 | 7 | V |
| Collector current <i>Courant collecteur</i> | $I_{C\text{eff}}$ $t_p \leq 10 \text{ ms}$ | 30 45 | 30 40 | A |
| Base current <i>Courant base</i> | I_B $t_p \leq 10 \text{ ms}$ | 8 12 | 6 10 | A |
| Power dissipation <i>Dissipation de puissance</i> | $T_{\text{case}} 25^\circ\text{C}$ | P_{tot} | 150 | W |
| Junction temperature <i>Température de jonction</i> | t_j | - 65 + 175 | - 65 + 175 | °C |

| Junction-case thermal resistance <i>Résistance thermique jonction-boîtier</i> | max | $R_{\text{th(j-c)}}$ | 1 | 1 | $^\circ\text{C/W}$ |
|--|-----|----------------------|---|---|--------------------|
| | | | | | |

ELECTRICAL CHARACTERISTICS - CARACTÉRISTIQUES ÉLECTRIQUES **

| SYMBOL | Min | Typ | Max | UNIT | | TEST CONDITIONS - CONDITIONS DE MESURE |
|--------|-----|-----|-----|------|--|--|
|--------|-----|-----|-----|------|--|--|

OFF CHARACTERISTICS - CARACTÉRISTIQUES A L'ÉTAT BLOQUÉ

| | | | | | | |
|--------------|----------|--------|--|----|------------------|---|
| V_{CEOus} | 60 80 | | | V | BUW 48 BUW 49 | $I_B = 0, I_C = 0,2 \text{ A}, L = 25 \text{ mH}$ |
| $V_{(B)EBO}$ | 7 | | | V | | $I_C = 0, I_E = 50 \text{ mA}$ |
| I_{CEX} | | 1 3 | | mA | | $T_j = 25^\circ\text{C}$ $T_j = 125^\circ\text{C}$ } $V_{CE} = V_{CEX}, V_{BE} = -1,5 \text{ V}$ |
| I_{EBO} | | 1 | | mA | | $I_C = 0, V_{BE} = 5 \text{ V}$ |

ON CHARACTERISTICS - CARACTÉRISTIQUES A L'ÉTAT CONDUCTEUR

| | | | | | |
|---------------|--|------------|---|------------------|--|
| V_{CEsat^*} | | 0,6 1,4 | V | BUW 48 | $I_C = 20 \text{ A}, I_B = 2 \text{ A}$ $I_C = 40 \text{ A}, I_B = 4 \text{ A}$ |
| | | 0,5 1,2 | V | BUW 49 | $I_C = 15 \text{ A}, I_B = 1,5 \text{ A}$ $I_C = 30 \text{ A}, I_B = 3 \text{ A}$ |
| V_{BEsat^*} | | 2,1 2 | V | BUW 48 BUW 49 | $I_C = 40 \text{ A}, I_B = 4 \text{ A}$ $I_C = 30 \text{ A}, I_B = 3 \text{ A}$ |

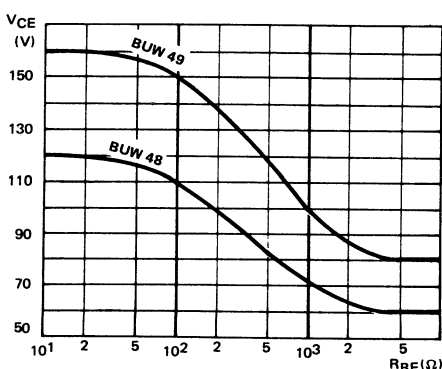
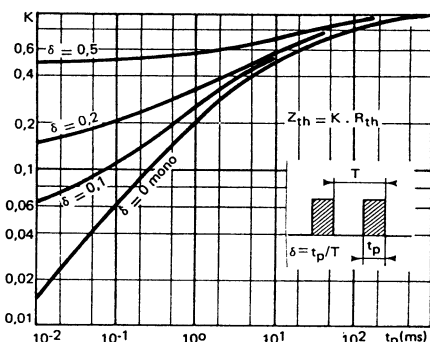
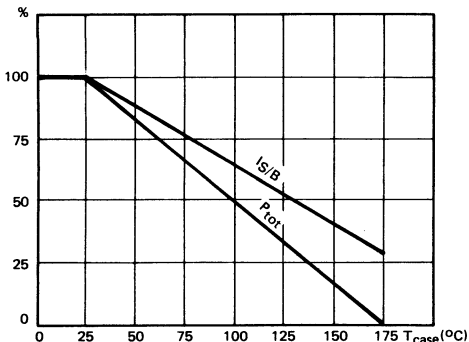
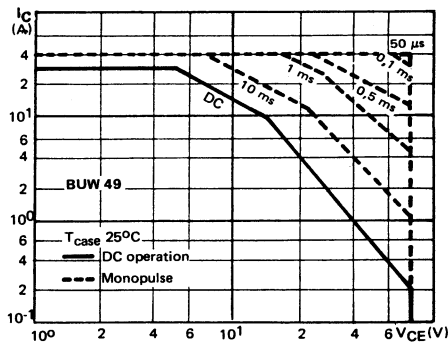
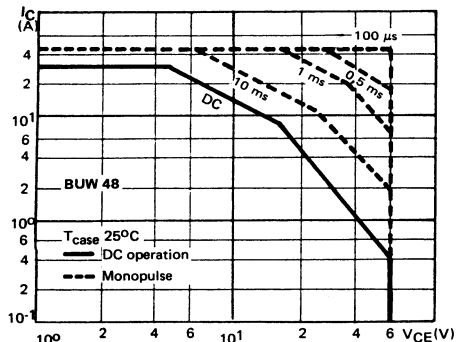
DYNAMIC CHARACTERISTICS - CARACTÉRISTIQUES DYNAMIQUES

| | | | | | |
|-------|--|---|-----|--|--|
| t_T | | 8 | MHz | | $f = 10 \text{ MHz}, V_{CE} = 15 \text{ V}, I_C = 1 \text{ A}$ |
|-------|--|---|-----|--|--|

SWITCHING CHARACTERISTICS - CARACTÉRISTIQUES DE COMMUTATION

| Resistive load - Charge résistive | | | | | | |
|-----------------------------------|--|------------|-------------|---------------|---|--|
| t_{on} | | 1,2 0,8 | 1,5 1,2 | μs | BUW 48 BUW 49 | |
| t_s | | 0,6 | 1,1 1,65 | | $T_j = 25^\circ\text{C}$ $T_j = 100^\circ\text{C}$ | $V_{CC} = 60 \text{ V}, I_C = 40 \text{ A}$ } BUW 48 $I_{B1} = -I_{B2} = 4 \text{ A}$ |
| t_f | | 0,17 | 0,25 0,5 | | BUW 48 | $T_j = 25^\circ\text{C}$ $T_j = 100^\circ\text{C}$ |
| | | 0,15 | 0,25 0,5 | | BUW 49 | $T_j = 25^\circ\text{C}$ $T_j = 100^\circ\text{C}$ |
| | | | | | | $V_{CC} = 80 \text{ V}, I_C = 30 \text{ A}$ } BUW 49 $I_{B1} = -I_{B2} = 3 \text{ A}$ |
| | | | | | | |

* Measured with pulses $t_p = 300 \mu\text{s}$ $\delta \leqslant 2 \%$ ** $T_j = 25^\circ\text{C}$ Unless otherwise stated



BUW 48 - BUW 49

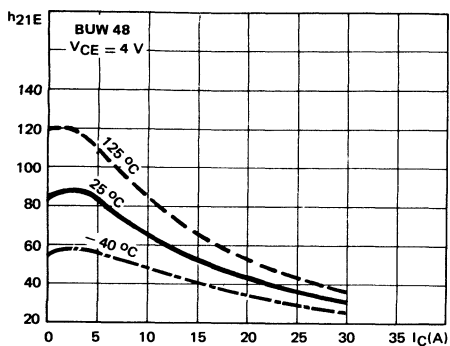


FIGURE 7 : DC current gain

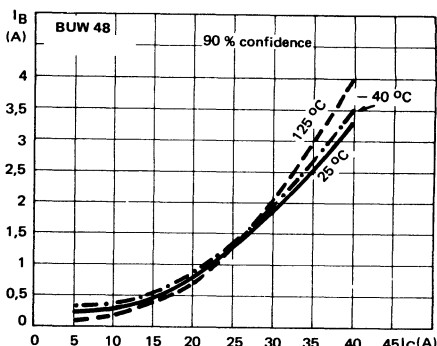


FIGURE 8 : Minimum base current to saturate the transistor

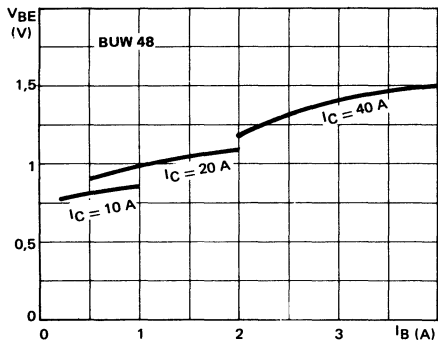


FIGURE 9 : Base characteristics

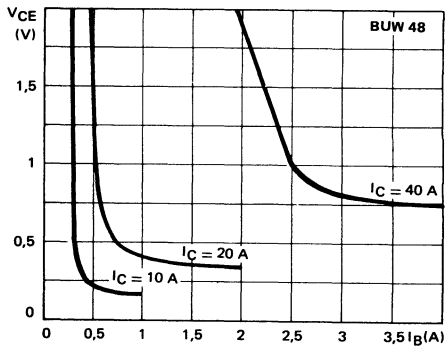


FIGURE 10: Collector saturation region

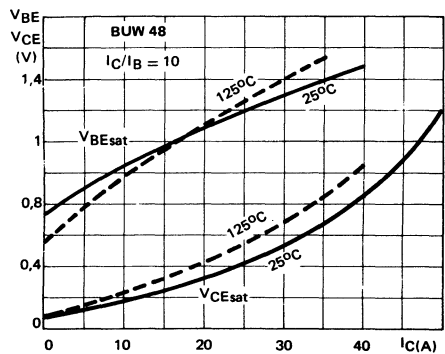


FIGURE 11 : Saturation voltage

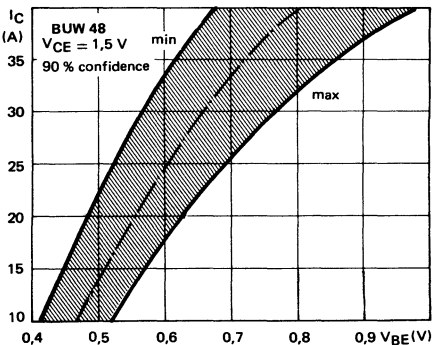


FIGURE 12 : Collector current spread vs base emitter voltage

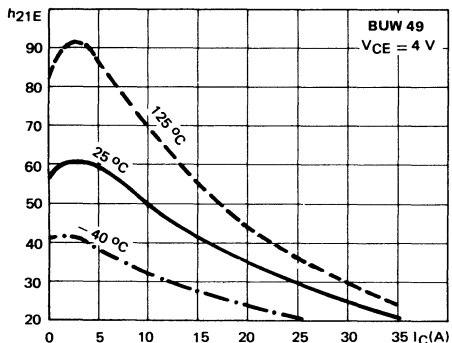


FIGURE 13: DC current gain

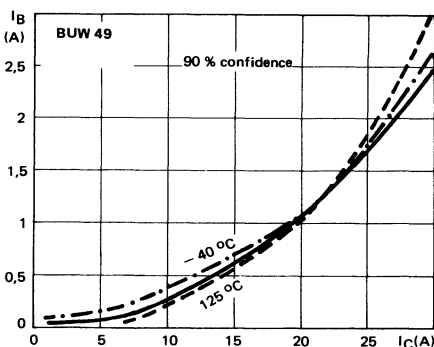


FIGURE 14 Minimum base current to saturate the transistor

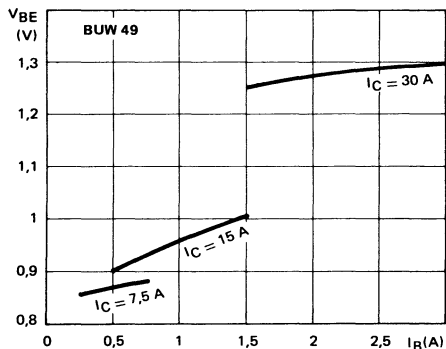


FIGURE 15: Base characteristics

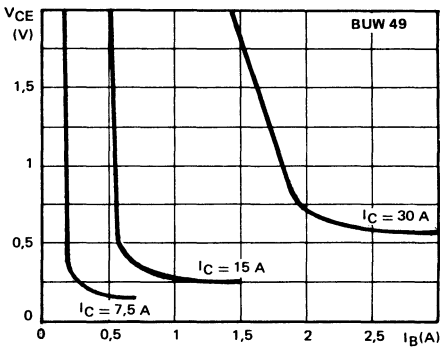


FIGURE 16: Collector saturation region

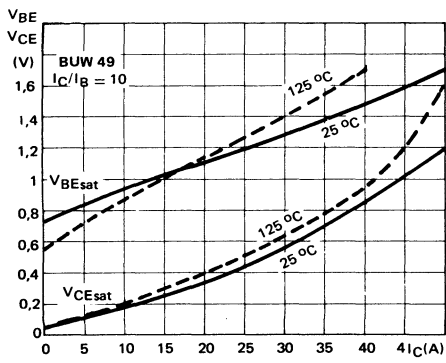


FIGURE 17 :Saturation voltage

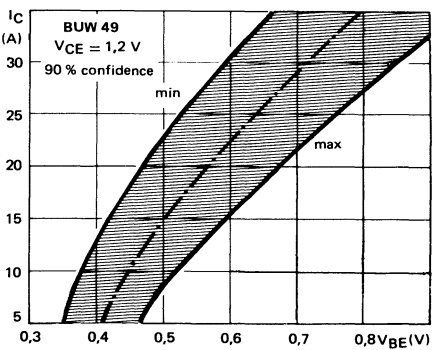
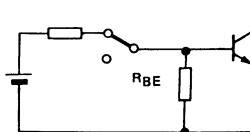


FIGURE 18 :Collector current spread vs base emitter voltage

SWITCHING OPERATING AND OVERLOAD AREAS



TRANSISTOR FORWARD BIASED

- During the turn on
- During the turn off without negative base-emitter voltage and $R_{BE} \geq 5 \Omega$

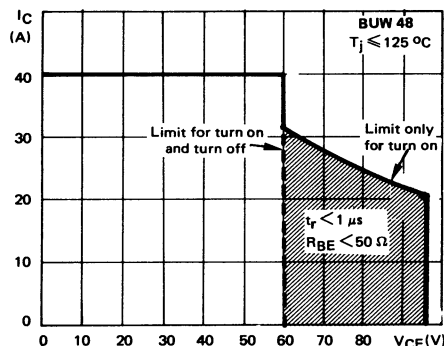


FIGURE 19 : Forward biased safe operating area (FBSOA)

TRANSISTOR REVERSE BIASED

- During the turn off with negative base-emitter voltage

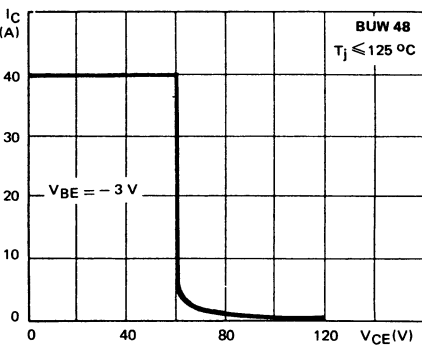


FIGURE 20 : Reverse biased safe operating area (RBSOA)

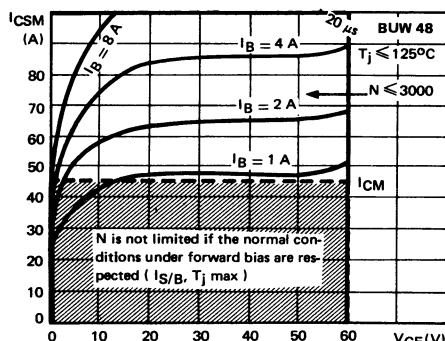


FIGURE 21 : Forward biased accidental overload area (FBAOA)

Figure 19 : The hatched zone can only be used for turn on.

Figures 21 and 22 : High accidental surge currents ($I > I_{CM}$) are allowed if they are non repetitive and applied less than 3000 times during the component life.

Figure 21 : The Kellogg network (heavy print) allows the calculation of the maximum value of the short-circuit current for a given base current I_B (90 % confidence).

Figure 22 : After the accidental overload current, the RBAOA has to be used for the turn off.

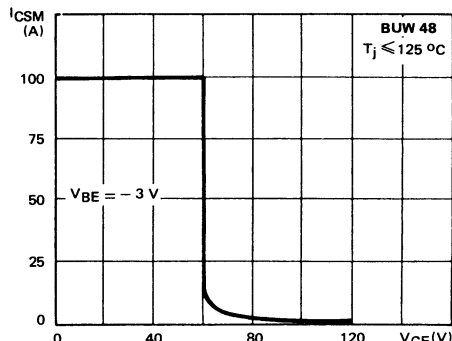


FIGURE 22 : Reverse biased accidental overload area (RBAOA)

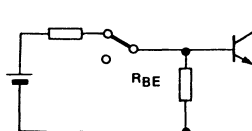
Figure 19 : La zone hachurée ne doit être utilisée que pour la mise en conduction.

Figure 21 et 22 : De forts courants de surcharge ($I > I_{CM}$) sont permis s'ils sont non répétitifs et appliqués moins de 3000 fois dans la vie du composant.

Figure 21 : Le réseau de Kellogg (trait gras) permet le calcul de la valeur maximale du courant de court-circuit pour un courant de base donné I_B (90 % de confiance).

Figure 22 : Après le passage du courant de surcharge accidentelle, on doit utiliser l'aire de surcharge accidentelle en polarisation inverse pour l'ouverture.

SWITCHING OPERATING AND OVERLOAD AREAS



TRANSISTOR FORWARD BIASED

- During the turn on
- During the turn off without negative base-emitter voltage and $R_{BE} \geq 5 \Omega$

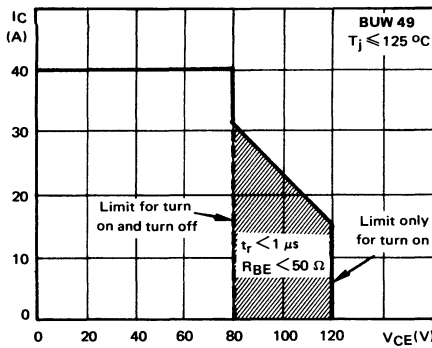
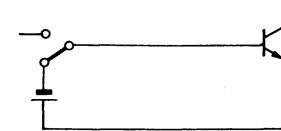


FIGURE 23 : Forward biased safe operating area (FBSOA)



TRANSISTOR REVERSE BIASED

- During the turn off with negative base-emitter voltage

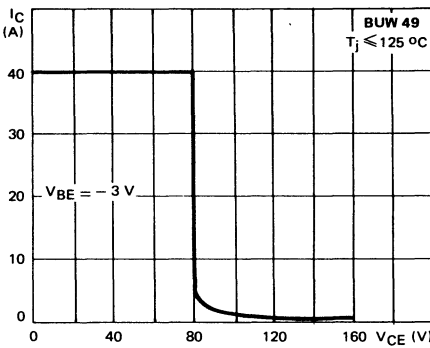


FIGURE 24 : Reverse biased safe operating area (RBSOA)

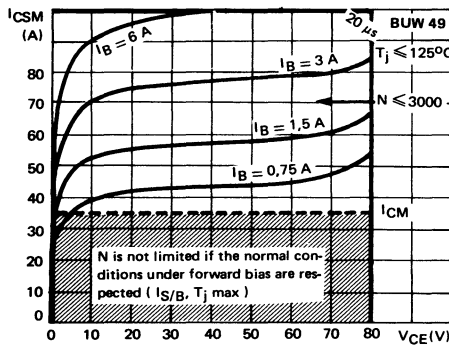


FIGURE 25 : Forward biased accidental overload area (FBAOA)

Figure 23 : The hatched zone can only be used for turn on.

Figures 25 and 26 : High accidental surge currents ($I > I_{CM}$) are allowed if they are non repetitive and applied less than 3000 times during the component life.

Figure 25 : The Kellogg network (heavy print) allows the calculation of the maximum value of the short-circuit current for a given base current I_B (90 % confidence).

Figure 26 : After the accidental overload current, the RBAOA has to be used for the turn off.

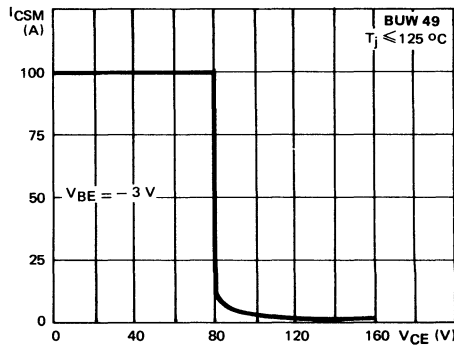


FIGURE 26 : Reverse biased accidental overload area (RBAOA)

Figure 23 : La zone hachurée ne doit être utilisée que pour la mise en conduction.

Figure 25 et 26 : De forts courants de surcharge ($I > I_{CM}$) sont permis s'ils sont non répétitifs et appliqués moins de 3000 fois dans la vie du composant.

Figure 25 : Le réseau de Kellogg (trait gras) permet le calcul de la valeur maximale du courant de court-circuit pour un courant de base donné I_B (90 % de confiance).

Figure 26 : Après le passage du courant de surcharge accidentelle, on doit utiliser l'aire de surcharge accidentelle en polarisation inverse pour l'ouverture.

BUW 48 - BUW 49

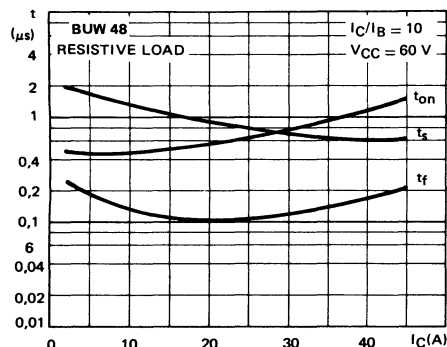


FIGURE 27 : Switching times vs collector current
(resistive load)

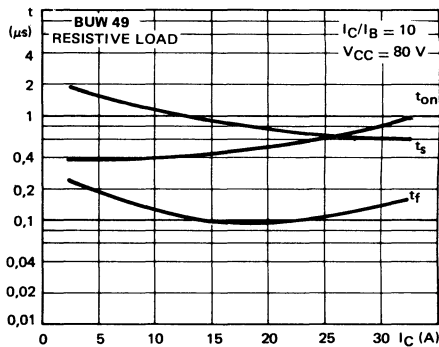


FIGURE 28 : Switching times vs collector current
(resistive load)

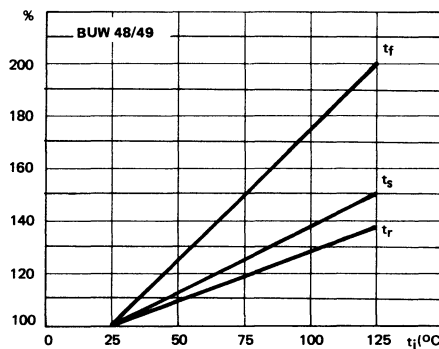


FIGURE 29 : Switching times vs junction temperature

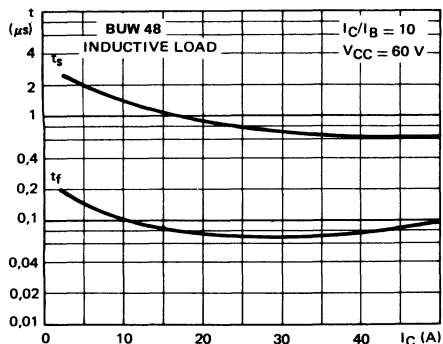


FIGURE 30 : Switching times vs collector current
(inductive load)

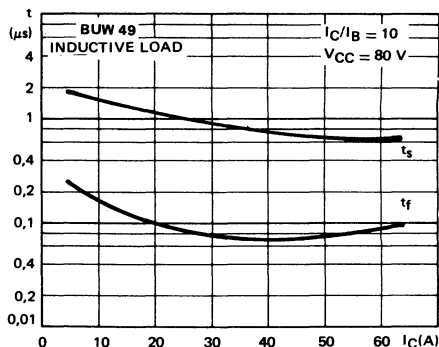


FIGURE 31 : Switching times vs collector current
(inductive load)

♦ applications ♦

BASE DRIVE – COMMANDE DE BASE –

Base drive of BUW 48/49 is not very critical because of their relatively low voltage. The designer can use simple circuits for applications with medium speeds or high performing circuits for high or very high switching speeds.

For example, base drive with antisaturation circuit and - 5 V blocking voltage generator allows fall times below 0,1 µs.

La commande de base des BUW 48/49 n'est pas très critique, car leur tension est relativement basse. Le concepteur peut utiliser :

– soit des circuits simples dans le cas d'applications à vitesses de commutation moyennes,

– soit des circuits plus performants dans le cas où une commutation plus rapide est nécessaire.

Par exemple, une commande de base avec un circuit antisaturation et un générateur de tension de blocage de - 5 V, permet d'avoir des temps de déclenchement au dessous de 0,1 µs.

HIGH EFFICIENCY OPERATING

When the transistor is operating at collector current smaller than $I_C(SAT)$, its gain is higher and its $V_{CE}(sat)$ is smaller.

This leads to the following advantages:

- Lower conduction losses.
- Lower base drive power.
- Shorter switching times.

The minimum base current necessary to reach saturation can be determined with the aid of figures 8 and 14 .

FONCTIONNEMENT A FORT RENDEMENT

Quand le transistor fonctionne à un courant collecteur inférieur à $I_C(sat)$, son gain est plus élevé et sa tension de saturation est plus faible. Celà entraîne les avantages suivants :

- Des pertes de conduction plus faibles
- Une puissance de commande de base plus faible.
- Des temps de commutation plus faibles.

Le courant base minimum nécessaire pour saturer le transistor, peut être déterminé à l'aide des figures 8 et 14 .

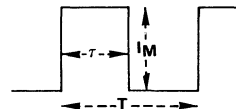
EXAMPLE : $I_C = 30 \text{ A}$ $I_B = 2 \text{ A}$ Forced gain : 15 ($T_C = 125^\circ\text{C}$)
 (BUW 48) $I_C = 15 \text{ A}$ $I_B = 0,5 \text{ A}$ Forced gain : 30 ($T_C = 25^\circ\text{C}$)

RMS CURRENT LIMIT – LIMITE DU COURANT EFFICACE

BUW 48/49 RMS current limit is $\left\{ I_{Ceff} = 30 \text{ A} \right.$

La limite du courant efficace des BUW 48/49 est :

EXAMPLE : $I_M = 40 \text{ A}$, $\tau / T = 0,5$, $I_{RMS} = 28 \text{ A}$ $I_{RMS} = \sqrt{(\tau/T)} \cdot I_M$



OVERLOAD PROTECTION – PROTECTION CONTRE LES SURCHARGES –

The BUW 48/49 in the switching mode are operating under an accidental overload when the collector current is superior to the rating I_{CM} .

The new concept «ACCIDENTAL OVERLOAD AREA» completes the absolute maximum ratings of power transistors. This concept allows:

- to calculate a maximum value of the collector current under short-circuit conditions (for this a Kellogg network is given with the FBSOA),
- to find the maximum permissible duration of an overcurrent (with the aid of the FBAOA),
- to find the maximum permissible voltage during the turn off under overload (with the aid of the RBAOA).

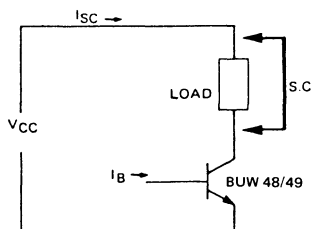
Les BUW 48/49 en régime de commutation fonctionnent en surcharge accidentelle lorsque le courant collecteur est supérieur à la limite I_{CM} .

Le nouveau concept «AIRE DE SURCHARGE ACCIDENTELLE» complète les limites absolues d'utilisation des transistors de puissance.

Ce concept permet :

- de calculer une valeur maximale du courant collecteur dans les conditions de court-circuit (pour cela nous donnons un réseau de Kellogg avec l'aire FBAOA),
- de trouver la durée maximale admissible d'une surcharge en courant (FBAOA)
- de trouver la valeur maximale admissible de la tension réappliquée pendant le blocage du transistor après la surcharge.

| | SHORT CIRCUIT CURRENT | PERMISSIBLE DURATION |
|---------------------|---|--|
| EXAMPLE (BUW 48) | $V_{CC} = 40 \text{ V}$, $I_B = 4 \text{ A}$ | $I_{SC} \leqslant 85 \text{ A}$ $\leqslant 20 \mu\text{s}$ |
| EXAMPLE (BUW 49) | $V_{CC} = 60 \text{ V}$, $I_B = 3 \text{ A}$ | $I_{SC} \leqslant 78 \text{ A}$ $\leqslant 20 \mu\text{s}$ |



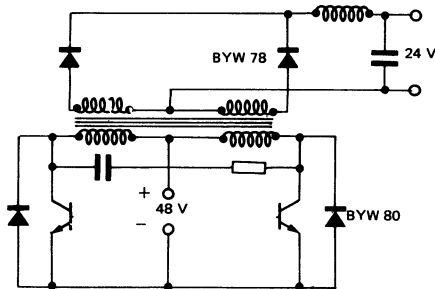
LINEAR APPLICATIONS

The good thermal resistance of BUW 48/49 allows their use in low voltage high current linear applications with power handling ability up to 150 W in the less than 10 volts V_{CE} range.

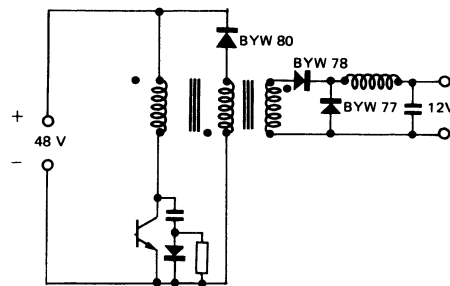
APPLICATIONS LINEAIRES

La résistance thermique des BUW 48/49 permet leur utilisation dans des applications linéaires à basse tension et fort courant jusqu'à des puissances de 150 W pour des tensions V_{CE} de moins de 10 V

STANDARD APPLICATIONS - APPLICATIONS STANDARD



100 KHz, 400 W DC / DC converter



Economical 500 W, DC / DC converter

CONSULT THE THOMSON CSF HANDBOOK

*Le transistor de puissance dans son environnement *
* The power transistor in its environment *
* Handbuch Schaltransistoren *

FAST SWITCHING POWER TRANSISTOR
TRANSISTOR DE PUISSANCE DE COMMUTATION RAPIDE

ADVANCE INFORMATION**HIGHER EFFICIENCY DUE TO :**

- Faster switching times
- Lower switching losses
- Lower on state voltage drop
- Base current requirements

NEW DATA FOR WORST CASE DESIGN

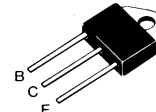
- Characteristics specified at 100°C

NEW DATA FOR OPTIMAL DESIGN

- Very low saturation voltage and high gain for reduced load operation
- Turn-on and turn-off tail specifications
- Turn-on diC/dt for better rectifier choice
- Switching times specified with and without negative base drive.

| | |
|------------------------------|-----------------|
| V_{CEO}osus | 125 V |
| V_{CEV} | 250 V |
| V_{Cesat} | ≤1 V |
| I_{Csat} | 20 A |
| I_{CSM} | 75 A |
| t_{fi(100°C)} | ≤ 350 ns |

Case Boîtier : TOP-3 (CB - 244)



ABSOLUTE RATINGS (LIMITING VALUES)
VALEURS LIMITES ABSOLUES D'UTILISATION

| | | | | |
|--|--|------------------|-----|---|
| Collector-emitter voltage <i>Tension collecteur-émetteur</i> | V _{CEO} | 125 | V | |
| Collector-emitter voltage <i>Tension collecteur-émetteur</i> | V _{BE} = - 1,5 V | V _{CEV} | 250 | V |
| Emitter-base voltage <i>Tension émetteur-base</i> | V _{EBO} | 7 | V | |
| Collector current <i>Courant collecteur</i> | I _{C(RMS)} I _{CM} | 25 50 | A | |
| Base current <i>Courant base</i> | I _{B(RMS)} I _{BM} | 6 12 | A | |
| Reverse bias base power dissipation (B.E. junction in avalanche) <i>Dissipation de puissance base-émetteur en avalanche</i> | P _{base} | 2 | W | |
| Power dissipation <i>Dissipation de puissance</i> | T _{case} 25°C | P _{tot} | 150 | W |
| Junction temperature <i>Température de jonction</i> | T _j | - 65, + 175 | °C | |

| | | | |
|--|----------------------|---|------|
| Thermal resistance junction-case <i>Résistance thermique jonction-boîtier</i> | R _{th(j-c)} | 1 | °C/W |
|--|----------------------|---|------|

ELECTRICAL CHARACTERISTICS - CARACTÉRISTIQUES ÉLECTRIQUES**

| SYMBOLS | Min | Typ | Max | UNITS | TEST CONDITIONS - CONDITIONS DE MESURE |
|---------|-----|-----|-----|-------|--|
|---------|-----|-----|-----|-------|--|

OFF CHARACTERISTICS - CARACTÉRISTIQUES A L'ÉTAT BLOQUÉ

| | | | | | |
|---------------|-----|---|----|----|---|
| V_{CEO} us | 125 | | | V | $I_B = 0, I_C = 0.2 \text{ A}, L = 25 \text{ mH}$ |
| $V_{(BR)EBO}$ | 7 | | | V | $I_C = 0, I_E = 50 \text{ mA}$ |
| I_{CEV} | | 1 | 5 | mA | $T_j = 25^\circ\text{C}$ $T_j = 100^\circ\text{C}$ |
| I_{CER} | | 1 | 5 | mA | $T_j = 25^\circ\text{C}$ $T_j = 100^\circ\text{C}$ |
| I_{EBO} | | 1 | mA | | $I_C = 0, V_{BE} = - 5 \text{ V}$ |

ON CHARACTERISTICS - CARACTÉRISTIQUES A L'ÉTAT CONDUCTEUR

| | | | | | |
|---------------|--------------|------------|---|---|---|
| V_{CESat^*} | 0,6 0,75 | 1 1,5 | V | $T_j = 25^\circ\text{C}$ $T_j = 100^\circ\text{C}$ | $I_C = 20 \text{ A}, I_B = 2 \text{ A}$ |
| V_{CESat^*} | 0,4 0,5 | 0,9 0,9 | V | $T_j = 25^\circ\text{C}$ $T_j = 100^\circ\text{C}$ | $I_C = 10 \text{ A}, I_B = 0,5 \text{ A}$ |
| V_{BEsat^*} | 1,25 1,25 | 1,6 1,7 | V | $T_j = 25^\circ\text{C}$ $T_j = 100^\circ\text{C}$ | $I_C = 20 \text{ A}, I_B = 2 \text{ A}$ |

SWITCHING CHARACTERISTICS - CARACTÉRISTIQUES DE COMMUTATION**

TURN-ON SWITCHING CHARACTERISTICS - CARACTÉRISTIQUES DE COMMUTATION A LA MISE EN CONDUCTION (fig. 2)

| | | | | | |
|-----------------------------|------------|--|------------------|---|---|
| di_C/dt | 100 85 | | A/ μs | $T_j = 25^\circ\text{C}$ $T_j = 100^\circ\text{C}$ | $V_{CC} = 100\text{V}, R_C = 0,$ $I_{B1} = 3\text{A}$ |
| V_{CE} (2 μs) | 1,4 2,1 | | V | $T_j = 25^\circ\text{C}$ $T_j = 100^\circ\text{C}$ | $V_{CC} = 100 \text{ V}$ $R_C = 5\Omega$ $I_{B1} = 2 \text{ A}$ |
| V_{CE} (4 μs) | 1,1 1,5 | | V | $T_j = 25^\circ\text{C}$ $T_j = 100^\circ\text{C}$ | |

TURN-OFF SWITCHING CHARACTERISTICS - CARACTÉRISTIQUES DE COMMUTATION A L'OUVERTURE (fig. 3)

ON INDUCTIVE LOAD - SUR CHARGE INDUCTIVE

| With negative bias - Avec polarisation négative | | | | | | |
|---|--------------|-------------|---------------|---|--|--|
| t_{Si} | 0,85 1,2 | 1,4 1,9 | μs | $T_j = 25^\circ\text{C}$ $T_j = 100^\circ\text{C}$ | | |
| t_{fi} | 0,09 0,17 | 0,2 0,35 | μs | $T_j = 25^\circ\text{C}$ $T_j = 100^\circ\text{C}$ | | |
| t_{ti} | 0,04 0,07 | | μs | $T_j = 25^\circ\text{C}$ $T_j = 100^\circ\text{C}$ | | |
| t_C | 0,16 0,3 | | μs | $T_j = 25^\circ\text{C}$ $T_j = 100^\circ\text{C}$ | | |

$$\left. \begin{array}{l} I_C = 20 \text{ A} \\ I_{B1} = 2 \text{ A} \\ V_{BB} = - 5 \text{ V} \\ R_{B2} = 1,3\Omega \\ V_{CC} = 100 \text{ V} \\ V_{clamp} = 125 \text{ V} \\ L_C = 0,25 \text{ mH} \end{array} \right\}$$

Without negative bias - Sans polarisation négative

| | | | | | |
|----------|--------------|--|---------------|---|--|
| t_{Si} | 2,1 3,2 | | μs | $T_j = 25^\circ\text{C}$ $T_j = 100^\circ\text{C}$ | $I_C = 20 \text{ A}$ $I_{B1} = 2 \text{ A}$ $V_{BB} = 0 \text{ V}$ $R_{B2} = 4,7\Omega$ $V_{CC} = 100 \text{ V}$ $V_{clamp} = 125 \text{ V}$ $L_C = 0,25 \text{ mH}$ |
| t_{fi} | 0,7 1,2 | | μs | $T_j = 25^\circ\text{C}$ $T_j = 100^\circ\text{C}$ | |
| t_{ti} | 0,28 0,55 | | μs | $T_j = 25^\circ\text{C}$ $T_j = 100^\circ\text{C}$ | |

** $T_j = 25^\circ\text{C}$ Unless otherwise stated* Pulsed - Impulsions $t_p \leq 300 \mu\text{s}, \delta \leq 2\%$

FIGURE 1 : SWITCHING TIMES TEST CIRCUIT (RESISTIVE LOAD)

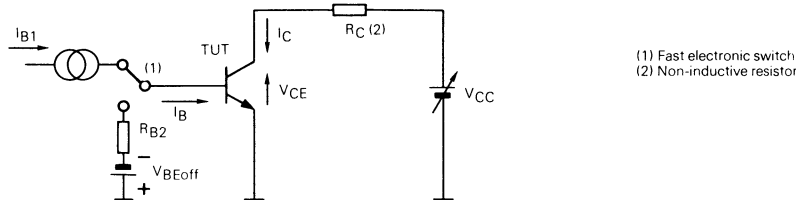


FIGURE 2 : TURN-ON SWITCHING WAVEFORMS

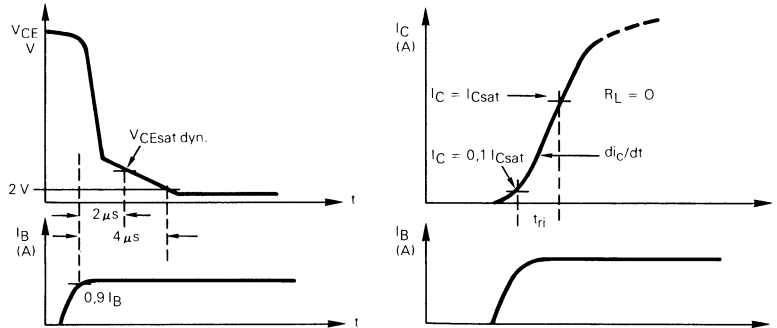


FIGURE 3 a : TURN-OFF SWITCHING TEST CIRCUIT

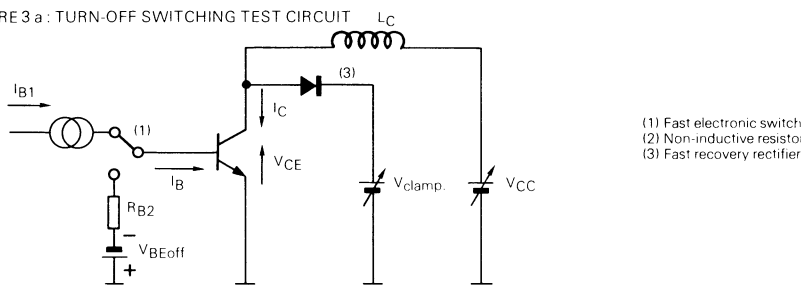
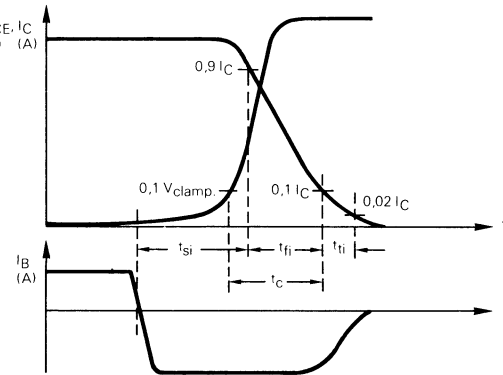
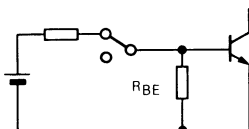
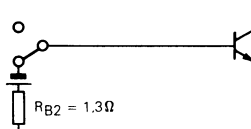


FIGURE 3 b : TURN-OFF SWITCHING WAVEFORMS (INDUCTIVE LOAD)



**TRANSISTOR FORWARD BIASED**

- During the turn-on
- During the turn-off without negative base-emitter voltage and $4.7\Omega \leq R_{BE} \leq 50\Omega$

**TRANSISTOR REVERSE BIASED**

- During the turn-off with negative base-emitter voltage

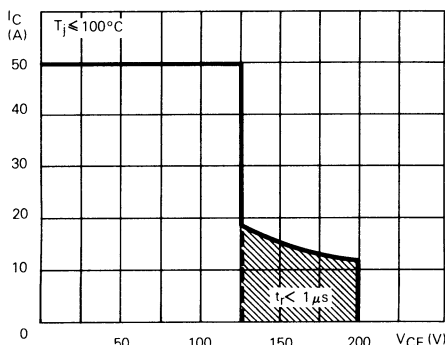


FIGURE 4 : Forward biased safe operating area (FBSOA)

The hatched zone can only be used for turn-on
La zone hachurée ne doit être utilisée que pour la mise en conduction

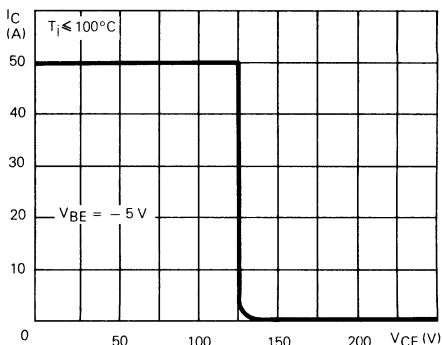


FIGURE 5 : Reverse biased safe operating area (RBSOA)

FAST SWITCHING POWER TRANSISTOR

TRANSISTOR DE PUISSANCE DE COMMUTATION RAPIDE

ADVANCE INFORMATION



HIGHER EFFICIENCY DUE TO :

- Faster switching times
- Lower switching losses
- Lower on state voltage drop
- Base current requirements

NEW DATA FOR WORST CASE DESIGN

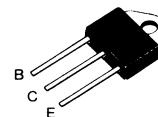
- Characteristics specified at 100°C

NEW DATA FOR OPTIMAL DESIGN

- Very low saturation voltage and high gain for reduced load operation
- Turn-on and turn-off tail specifications
- Turn-on diC/dt for better rectifier choice
- Switching times specified with and without negative base drive.

| | |
|-----------------------------|---------------|
| V_{CEO} _{sus} | 200 V |
| V_{CEV} | 300 V |
| V_{CEsat} | ≤ 1 V |
| I_{Csat} | 10 A |
| I_{CSM} | 70 A |
| $t_{fi}(100^\circ\text{C})$ | ≤ 250 ns |

Case : TOP-3 (CB - 244)
Boîtier



ABSOLUTE RATINGS (LIMITING VALUES)

VALEURS LIMITES ABSOLUES D'UTILISATION

| | | | |
|--|-----------------------------|-------------|----|
| Collector-emitter voltage <i>Tension collecteur-émetteur</i> | V_{CEO} | 200 | V |
| Collector-emitter voltage <i>Tension collecteur-émetteur</i> | V_{CEV} | 300 | V |
| Emitter-base voltage <i>Tension émetteur-base</i> | V_{EBO} | 7 | V |
| Collector current <i>Courant collecteur</i> | I_C (RMS) I_{CM} | 20 28 | A |
| Base current <i>Courant base</i> | I_B (RMS) I_{BM} | 4 7 | A |
| Reverse bias base power dissipation (B.E. junction in avalanche) <i>Dissipation de puissance base-émetteur en avalanche</i> | P_{base} | 1 | W |
| Power dissipation <i>Dissipation de puissance</i> | $T_{case} 25^\circ\text{C}$ | 150 | W |
| Junction temperature <i>Température de jonction</i> | T_j | - 65, + 175 | °C |

| | | | |
|--|---------------|---|------|
| Thermal resistance junction-case <i>Résistance thermique jonction-boîtier</i> | $R_{th(j-c)}$ | 1 | °C/W |
|--|---------------|---|------|

ELECTRICAL CHARACTERISTICS - CARACTÉRISTIQUES ÉLECTRIQUES**

| SYMBOLS | Min | Typ | Max | UNITS | TEST CONDITIONS - CONDITIONS DE MESURE |
|---------|-----|-----|-----|-------|--|
|---------|-----|-----|-----|-------|--|

OFF CHARACTERISTICS - CARACTÉRISTIQUES A L'ÉTAT BLOQUÉ

| | | | | | |
|---------------|-----|--|------------|----|---|
| V_{CEO} us | 200 | | | V | $I_B = 0, I_C = 0.2 \text{ A}, L = 25 \text{ mH}$ |
| $V_{(BR)EBO}$ | 7 | | | V | $I_C = 0, I_E = 50 \text{ mA}$ |
| I_{CEV} | | | 0,5 2 | mA | $T_j = 25^\circ\text{C}$ $T_j = 100^\circ\text{C}$ |
| I_{CER} | | | 0,5 2,5 | mA | $T_j = 25^\circ\text{C}$ $T_j = 100^\circ\text{C}$ |
| I_{EBO} | | | 1 | mA | $I_C = 0, V_{BE} = -5 \text{ V}$ |

ON CHARACTERISTICS - CARACTÉRISTIQUES A L'ÉTAT CONDUCTEUR

| | | | | | | |
|---------------|--|-------------|------------|---|---|---|
| V_{CEsat^*} | | 0,45 0,6 | 1 1,2 | V | $T_j = 25^\circ\text{C}$ $T_j = 100^\circ\text{C}$ | $I_C = 10 \text{ A}, I_B = 1 \text{ A}$ |
| V_{CEsat^*} | | 0,4 0,4 | 0,9 0,9 | V | $T_j = 25^\circ\text{C}$ $T_j = 100^\circ\text{C}$ | $I_C = 5 \text{ A}, I_B = 0,25 \text{ A}$ |
| V_{BEsat^*} | | 1,1 1 | 1,4 1,4 | V | $T_j = 25^\circ\text{C}$ $T_j = 100^\circ\text{C}$ | $I_C = 10 \text{ A}, I_B = 1 \text{ A}$ |

SWITCHING CHARACTERISTICS - CARACTÉRISTIQUES DE COMMUTATION**

TURN-ON SWITCHING CHARACTERISTICS - CARACTÉRISTIQUES DE COMMUTATION A LA MISE EN CONDUCTION (fig. 2)

| | | | | | | |
|----------------------|--|------------|--|------------|---|---|
| dI_C/dt | | 75 65 | | A/ μ s | $T_j = 25^\circ\text{C}$ $T_j = 100^\circ\text{C}$ | $I_C = 0, V_{CC} = 160 \text{ V}$ $I_{B1} = 1,5 \text{ A}$ |
| V_{CE} (2 μ s) | | 1,8 3 | | V | $T_j = 25^\circ\text{C}$ $T_j = 100^\circ\text{C}$ | $V_{CC} = 160 \text{ V}$ $R_C = 16 \Omega$ |
| V_{CE} (4 μ s) | | 1,1 1,4 | | V | $T_j = 25^\circ\text{C}$ $T_j = 100^\circ\text{C}$ | $I_{B1} = 1 \text{ A}$ |

TURN-OFF SWITCHING CHARACTERISTICS - CARACTÉRISTIQUES DE COMMUTATION A L'OUVERTURE (fig. 3)

ON INDUCTIVE LOAD - SUR CHARGE INDUCTIVE

| With negative bias - Avec polarisation négative | | | | | | |
|---|--|--------------|--------------|---------|---|---|
| t_{Si} | | 0,7 1,1 | 1,2 1,7 | μ s | $T_j = 25^\circ\text{C}$ $T_j = 100^\circ\text{C}$ | |
| t_{fi} | | 0,06 0,12 | 0,15 0,25 | μ s | $T_j = 25^\circ\text{C}$ $T_j = 100^\circ\text{C}$ | |
| t_{ti} | | 0,01 0,03 | | μ s | $T_j = 25^\circ\text{C}$ $T_j = 100^\circ\text{C}$ | |
| t_c | | 0,13 0,24 | | μ s | $T_j = 25^\circ\text{C}$ $T_j = 100^\circ\text{C}$ | $I_C = 10 \text{ A}$ $I_{B1} = 1 \text{ A}$ $V_{BB} = -5 \text{ V}$ $R_{B2} = 2,5 \Omega$ $V_{CC} = 160 \text{ V}$ $V_{clamp} = 200 \text{ V}$ $L_C = 0,8 \text{ mH}$ |

Without negative bias - Sans polarisation négative

| Without negative bias - Sans polarisation négative | | | | | | |
|--|--|--------------|--|---------|---|--|
| t_{Si} | | 1,5 2,7 | | μ s | $T_j = 25^\circ\text{C}$ $T_j = 100^\circ\text{C}$ | |
| t_{fi} | | 0,5 0,85 | | μ s | $T_j = 25^\circ\text{C}$ $T_j = 100^\circ\text{C}$ | |
| t_{ti} | | 0,12 0,25 | | μ s | $T_j = 25^\circ\text{C}$ $T_j = 100^\circ\text{C}$ | $I_C = 10 \text{ A}$ $I_{B1} = 1 \text{ A}$ $V_{BB} = 0 \text{ V}$ $R_{B2} = 4,7 \Omega$ $V_{CC} = 160 \text{ V}$ $V_{clamp} = 200 \text{ V}$ $L_C = 0,8 \text{ mH}$ |

** $T_j = 25^\circ\text{C}$ Unless otherwise stated* Pulsed - Impulsions $t_p \leq 300 \mu\text{s}, \delta \leq 2\%$

FIGURE 1 : SWITCHING TIMES TEST CIRCUIT (RESISTIVE LOAD)

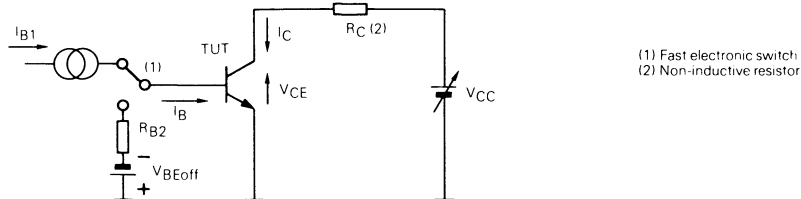


FIGURE 2 : TURN-ON SWITCHING WAVEFORMS

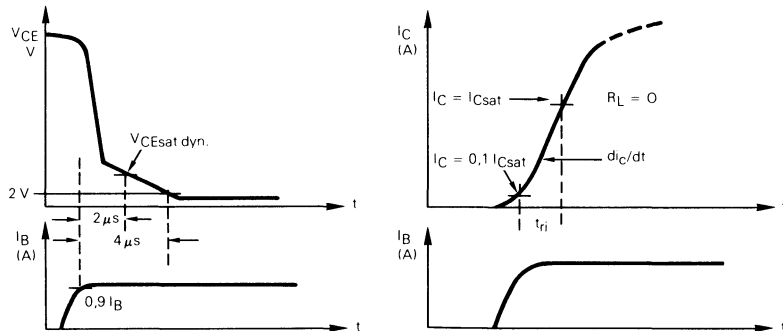


FIGURE 3 a : TURN-OFF SWITCHING TEST CIRCUIT

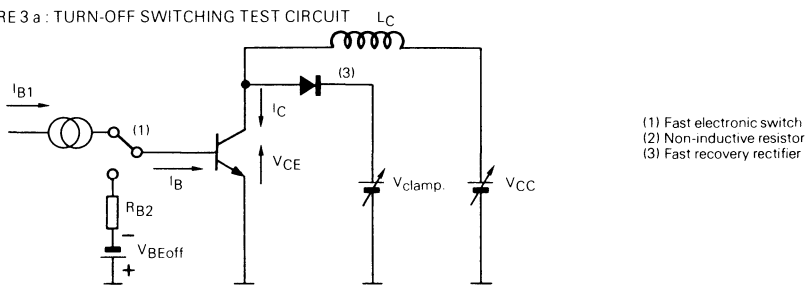
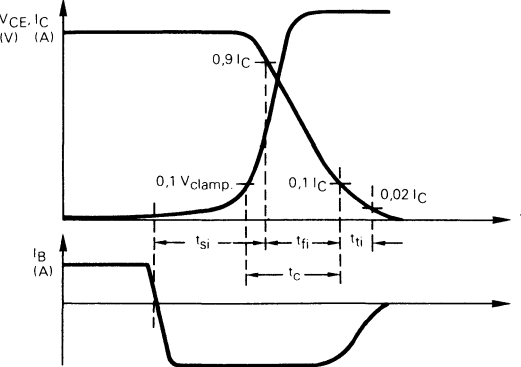
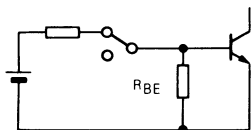
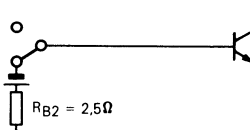


FIGURE 3 b : TURN-OFF SWITCHING WAVEFORMS (INDUCTIVE LOAD)



**TRANSISTOR FORWARD BIASED**

- During the turn-on
- During the turn-off without negative base-emitter voltage and $4,7\Omega \leq R_{BE} \leq 50\Omega$

**TRANSISTOR REVERSE BIASED**

- During the turn-off with negative base-emitter voltage

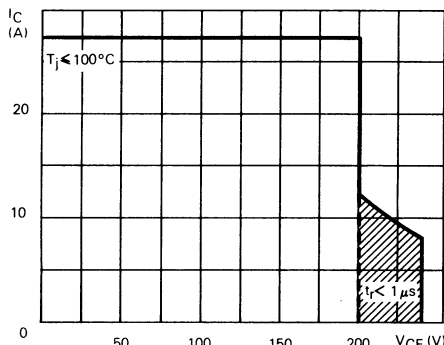


FIGURE 4 : Forward biased safe operating area (FBSOA)

The hatched zone can only be used for turn-on
La zone hachurée ne doit être utilisée que pour la mise en conduction

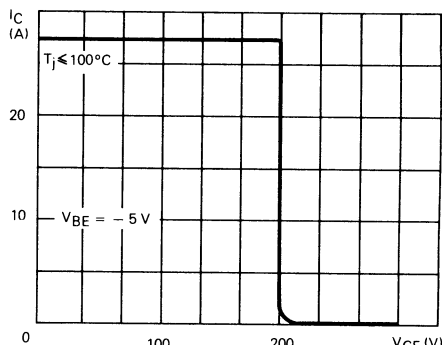


FIGURE 5 : Reverse biased safe operating area (RBSOA)

FAST SWITCHING POWER TRANSISTOR
TRANSISTOR DE PUISANCE DE COMMUTATION RAPIDE

ADVANCE INFORMATION



HIGHER EFFICIENCY DUE TO :

- Faster switching times
- Lower switching losses
- Lower on state voltage drop
- Base current requirements

NEW DATA FOR WORST CASE DESIGN

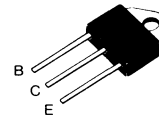
- Characteristics specified at 100°C

NEW DATA FOR OPTIMAL DESIGN

- Very low saturation voltage and high gain for reduced load operation
- Turn-on and turn-off tail specifications
- Turn-on di/dt for better rectifier choice
- Switching times specified with and without negative base drive.

| | |
|-----------------------------|---------------|
| $V_{CEO(sus)}$ | 250 V |
| V_{CEV} | 350 V |
| V_{CEsat} | ≤ 1 V |
| I_{Csat} | 8 A |
| I_{CSM} | 60 A |
| $t_{fi}(100^\circ\text{C})$ | ≤ 400 ns |

Case Boîtier : TOP-3 (CB - 244)



ABSOLUTE RATINGS (LIMITING VALUES)

VALEURS LIMITES ABSOLUES D'UTILISATION

| | | | |
|---|-------------------------------|-------------|----|
| Collector-emitter voltage Tension collecteur-émetteur | V_{CEO} | 250 | V |
| Collector-emitter voltage Tension collecteur-émetteur | V_{CEV} | 350 | V |
| Emitter-base voltage Tension émetteur-base | V_{EBO} | - 7 | V |
| Collector current Courant collecteur | $I_C(\text{RMS})$ I_{CM} | 20 30 | A |
| Base current Courant base | $I_B(\text{RMS})$ I_{BM} | 4 6 | A |
| Reverse bias base power dissipation (B.E. junction in avalanche) Dissipation de puissance base-émetteur en avalanche | P_{base} | 1 | W |
| Power dissipation Dissipation de puissance | $T_{case}\ 25^\circ\text{C}$ | 150 | W |
| Junction temperature Température de jonction | T_j | - 65, + 175 | °C |

Thermal resistance junction-case
Résistance thermique jonction-boîtier

$R_{th(j-c)}$ 1 °C/W

ELECTRICAL CHARACTERISTICS - CARACTÉRISTIQUES ÉLECTRIQUES**

| SYMBOLS | Min | Typ | Max | UNITS | TEST CONDITIONS - CONDITIONS DE MESURE |
|---------|-----|-----|-----|-------|--|
|---------|-----|-----|-----|-------|--|

OFF CHARACTERISTICS - CARACTÉRISTIQUES A L'ÉTAT BLOQUE

| | | | | | |
|---------------|-----|------------|----|---|---|
| V_{CEO} | 250 | | | V | $I_B = 0, I_C = 0.2 \text{ A}, L = 25 \text{ mH}$ |
| $V_{(BR)EBO}$ | 7 | | | V | $I_C = 0, I_E = 50 \text{ mA}$ |
| I_{CEV} | | 0,5 2 | mA | | $T_j = 25^\circ\text{C}$ $T_j = 100^\circ\text{C}$ |
| I_{CER} | | 0,5 2,5 | mA | | $T_j = 25^\circ\text{C}$ $T_j = 100^\circ\text{C}$ |
| I_{EBO} | | 1 | mA | | $I_C = 0, V_{BE} = -5 \text{ V}$ |

ON CHARACTERISTICS - CARACTÉRISTIQUES A L'ÉTAT CONDUCTEUR

| | | | | | |
|---------------|--------------|------------|---|---|---|
| V_{CEsat^*} | 0,45 0,6 | 1 1,2 | V | $T_j = 25^\circ\text{C}$ $T_j = 100^\circ\text{C}$ | $I_C = 8 \text{ A}, I_B = 0,8 \text{ A}$ |
| V_{CEsat^*} | 0,35 0,35 | 0,6 0,7 | V | $T_j = 25^\circ\text{C}$ $T_j = 100^\circ\text{C}$ | $I_C = 4 \text{ A}, I_B = 0,26 \text{ A}$ |
| V_{BEsat^*} | 1 0,9 | 1,3 1,3 | V | $T_j = 25^\circ\text{C}$ $T_j = 100^\circ\text{C}$ | $I_C = 8 \text{ A}, I_B = 0,8 \text{ A}$ |

SWITCHING CHARACTERISTICS - CARACTÉRISTIQUES DE COMMUTATION**

TURN-ON SWITCHING CHARACTERISTICS - CARACTÉRISTIQUES DE COMMUTATION A LA MISE EN CONDUCTION (fig. 2)

| | | | | | |
|-----------------------------|------------|--|------------------|---|---|
| dI_C/dt | 70 60 | | A/ μs | $T_j = 25^\circ\text{C}$ $T_j = 100^\circ\text{C}$ | $R_C = 0, V_{CC} = 200 \text{ V}$ $I_{B1} = 1,2 \text{ A}$ |
| V_{CE} (2 μs) | 1,8 2,8 | | V | $T_j = 25^\circ\text{C}$ $T_j = 100^\circ\text{C}$ | $V_{CC} = 200 \text{ V}$ $R_C = 25\Omega$ |
| V_{CE} (4 μs) | 1,1 1,5 | | V | $T_j = 25^\circ\text{C}$ $T_j = 100^\circ\text{C}$ | $I_{B1} = 0,8 \text{ A}$ |

TURN-OFF SWITCHING CHARACTERISTICS - CARACTÉRISTIQUES DE COMMUTATION A L'OUVERTURE (fig. 3)

ON INDUCTIVE LOAD - SUR CHARGE INDUCTIVE

| With negative bias - Avec polarisation négative | | | | | |
|---|--------------|------------|---------------|---|---|
| t_{si} | 1,2 1,8 | 1,8 2,4 | μs | $T_j = 25^\circ\text{C}$ $T_j = 100^\circ\text{C}$ | |
| t_{fi} | 0,08 0,2 | 0,2 0,4 | μs | $T_j = 25^\circ\text{C}$ $T_j = 100^\circ\text{C}$ | |
| t_{ti} | 0,03 0,08 | | μs | $T_j = 25^\circ\text{C}$ $T_j = 100^\circ\text{C}$ | |
| t_c | 0,15 0,35 | | μs | $T_j = 25^\circ\text{C}$ $T_j = 100^\circ\text{C}$ | $I_C = 8 \text{ A}$ $I_{B1} = 0,8 \text{ A}$ $V_{BB} = -5 \text{ V}$ $R_{B2} = 3,1\Omega$ $V_{CC} = 200 \text{ V}$ $V_{clamp} = 250 \text{ V}$ $L_C = 1,3 \text{ mH}$ |

Without negative bias - Sans polarisation négative

| | | | | | |
|----------|-------------|--|---------------|---|--|
| t_{si} | 2,8 4,5 | | μs | $T_j = 25^\circ\text{C}$ $T_j = 100^\circ\text{C}$ | $I_C = 8 \text{ A}$ $I_{B1} = 0,8 \text{ A}$ $V_{BB} = 0 \text{ V}$ $R_{B2} = 5,6\Omega$ $V_{CC} = 200 \text{ V}$ $V_{clamp} = 250 \text{ V}$ $L_C = 1,3 \text{ mH}$ |
| t_{fi} | 0,5 0,8 | | μs | $T_j = 25^\circ\text{C}$ $T_j = 100^\circ\text{C}$ | |
| t_{ti} | 0,15 0,4 | | μs | $T_j = 25^\circ\text{C}$ $T_j = 100^\circ\text{C}$ | |

** $T_j = 25^\circ\text{C}$ Unless otherwise stated* Pulsed - Impulsions $t_p \leq 300 \mu\text{s}, \delta \leq 2\%$

FIGURE 1 : SWITCHING TIMES TEST CIRCUIT (RESISTIVE LOAD)

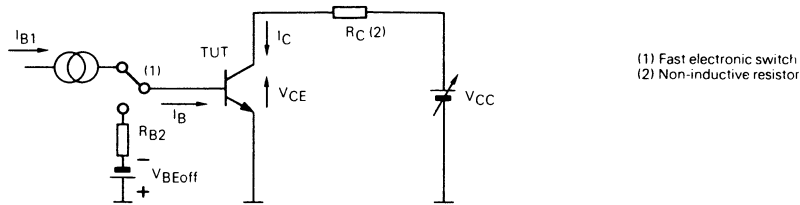


FIGURE 2 : TURN-ON SWITCHING WAVEFORMS

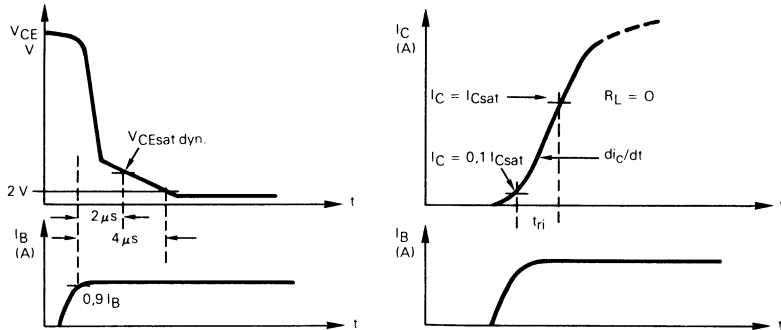


FIGURE 3 a : TURN-OFF SWITCHING TEST CIRCUIT

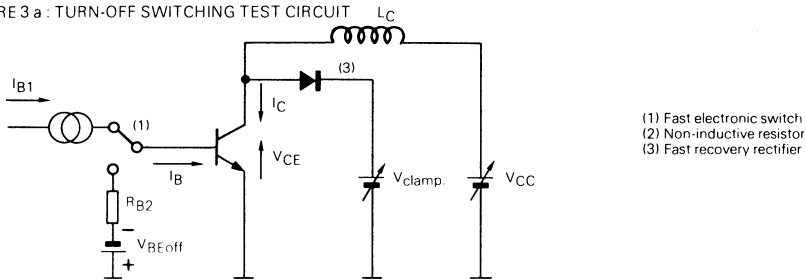
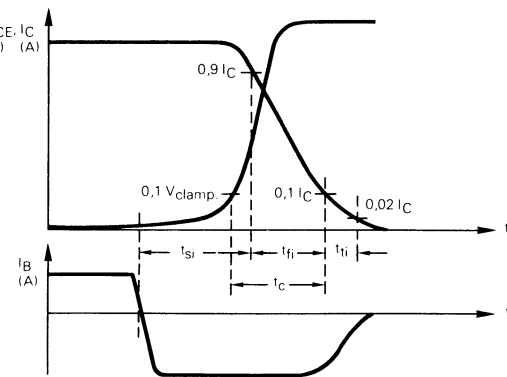
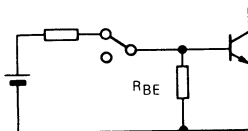
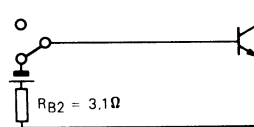


FIGURE 3 b : TURN-OFF SWITCHING WAVEFORMS (INDUCTIVE LOAD)



**TRANSISTOR FORWARD BIASED**

- During the turn-on
- During the turn-off without negative base-emitter voltage and $5,6\Omega \leq R_{BE} \leq 50\Omega$

**TRANSISTOR REVERSE BIASED**

- During the turn-off with negative base-emitter voltage

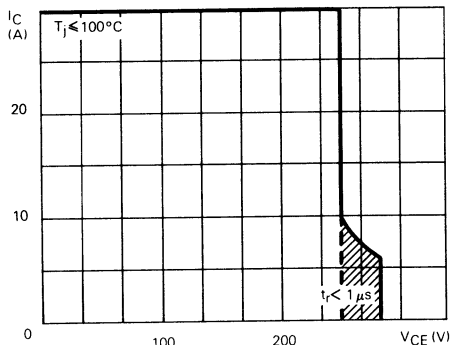


FIGURE 4 : Forward biased safe operating area (FBSOA)

The hatched zone can only be used for turn-on
La zone hachurée ne doit être utilisée que pour la mise en conduction

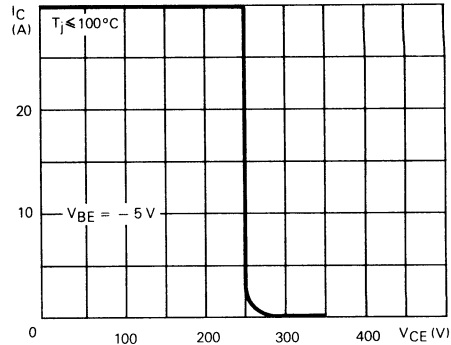


FIGURE 5 : Reverse biased safe operating area (RBSOA)

FAST SWITCHING POWER TRANSISTOR
TRANSISTOR DE PUISSANCE DE COMMUTATION RAPIDE

ADVANCE INFORMATION



HIGHER EFFICIENCY DUE TO :

- Faster switching times
- Lower switching losses
- Lower on state voltage drop
- Base current requirements

NEW DATA FOR WORST CASE DESIGN

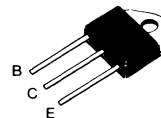
- Characteristics specified at 100°C

NEW DATA FOR OPTIMAL DESIGN

- Very low saturation voltage and high gain for reduced load operation
- Turn-on and turn-off tail specifications
- Turn-on dIC/dt for better rectifier choice
- Switching times specified with and without negative base drive.

| | |
|------------------------------|-----------------|
| V_{CEO}sus | 90 V |
| V_{C EV} | 160 V |
| V_{CEsat} | ≤ 1 V |
| I_{Csat} | 15 A |
| I_{CSM} | 70 A |
| t_{fj}(100°C) | ≤ 300 ns |

Case
Boîtier : TOP-3 (CB - 244)



ABSOLUTE RATINGS (LIMITING VALUES)

VALEURS LIMITES ABSOLUES D'UTILISATION

| | | | | |
|---|--|------------------|-----|---|
| Collector-emitter voltage <i>Tension collecteur-émetteur</i> | V _{CEO} | 90 | V | |
| Collector-emitter voltage <i>Tension collecteur-émetteur</i> | V _{C EV} | 160 | V | |
| Emitter-base voltage <i>Tension émetteur-base</i> | V _{EBO} | 7 | V | |
| Collector current <i>Courant collecteur</i> | I _{C(RMS)} I _{CM} | 25 45 | A | |
| Base current <i>Courant base</i> | I _{B(RMS)} I _{BM} | 6 9 | A | |
| Reverse bias base power dissipation (B-E junction in avalanche) <i>Dissipation de puissance base-émetteur en avalanche</i> | P _{base} | 1 | W | |
| Power dissipation <i>Dissipation de puissance</i> | T _{case 25°C} | P _{tot} | 125 | W |
| Junction temperature <i>Température de jonction</i> | T _j | - 65, + 175 | °C | |

Thermal resistance junction-case
Résistance thermique jonction-boîtier

R_{th(j-c)} 1,2 °C/W

ELECTRICAL CHARACTERISTICS - CARACTÉRISTIQUES ÉLECTRIQUES**

| SYMBOLS | Min | Typ | Max | UNITS | TEST CONDITIONS - CONDITIONS DE MESURE |
|---------|-----|-----|-----|-------|--|
|---------|-----|-----|-----|-------|--|

OFF CHARACTERISTICS - CARACTÉRISTIQUES A L'ÉTAT BLOQUÉ

| | | | | | |
|----------------------|----|--------|--|----|---|
| VCEO _{us} | 90 | | | V | $I_B = 0, I_C = 0,2 \text{ A}, L = 25 \text{ mH}$ |
| V _{BRI} EBO | 7 | | | V | $I_C = 0, I_E = 50 \text{ mA}$ |
| I _{CEV} | | 1 5 | | mA | $T_j = 25^\circ\text{C}$ $T_j = 100^\circ\text{C}$ |
| I _{CER} | | 1 5 | | mA | $T_j = 25^\circ\text{C}$ $T_j = 100^\circ\text{C}$ |
| I _{EBO} | | 1 | | mA | $I_C = 0, V_{BE} = -5 \text{ V}$ |

ON CHARACTERISTICS - CARACTÉRISTIQUES A L'ÉTAT CONDUCTEUR

| | | | | | | |
|----------------------|--|-------------|------------|---|---|--|
| V _{CEsat} * | | 0,65 0,8 | 1 1,5 | V | $T_j = 25^\circ\text{C}$ $T_j = 100^\circ\text{C}$ | $I_C = 15 \text{ A}, I_B = 1,5 \text{ A}$ |
| V _{CEsat} * | | 0,5 0,5 | 0,8 0,8 | V | $T_j = 25^\circ\text{C}$ $T_j = 100^\circ\text{C}$ | $I_C = 7,5 \text{ A}, I_B = 0,375 \text{ A}$ |
| V _{BEsat} * | | 1,4 1,45 | 1,7 1,8 | V | $T_j = 25^\circ\text{C}$ $T_j = 100^\circ\text{C}$ | $I_C = 15 \text{ A}, I_B = 1,5 \text{ A}$ |

SWITCHING CHARACTERISTICS - CARACTÉRISTIQUES DE COMMUTATION**

TURN-ON SWITCHING CHARACTERISTICS - CARACTÉRISTIQUES DE COMMUTATION A LA MISE EN CONDUCTION (fig. 2)

| | | | | | | |
|-----------------------------|--|------------|--|------------|---|---|
| d _C /dt | | 50 45 | | A/ μ s | $T_j = 25^\circ\text{C}$ $T_j = 100^\circ\text{C}$ | $R_C = 0, V_{CC} = 72 \text{ V}$ $I_{B1} = 2,25 \text{ A}$ |
| V _{CE} (2 μ s) | | 1,7 2 | | V | $T_j = 25^\circ\text{C}$ $T_j = 100^\circ\text{C}$ | $V_{CC} = 72 \text{ V}$ $R_C = 4,8 \Omega$ |
| V _{CE} (4 μ s) | | 1,0 1,5 | | V | $T_j = 25^\circ\text{C}$ $T_j = 100^\circ\text{C}$ | $I_{B1} = 1,5 \text{ A}$ |

TURN-OFF SWITCHING CHARACTERISTICS - CARACTÉRISTIQUES DE COMMUTATION A L'OUVERTURE (fig. 3)

ON INDUCTIVE LOAD - SUR CHARGE INDUCTIVE

| With negative bias - Avec polarisation négative | | | | | | |
|---|--|--------------|------------|---------|---|--|
| t _{SI} | | 0,75 0,95 | 1,2 1,4 | μ s | $T_j = 25^\circ\text{C}$ $T_j = 100^\circ\text{C}$ | |
| t _{fi} | | 0,09 0,15 | 0,2 0,3 | μ s | $T_j = 25^\circ\text{C}$ $T_j = 100^\circ\text{C}$ | |
| t _{ti} | | 0,03 0,06 | | μ s | $T_j = 25^\circ\text{C}$ $T_j = 100^\circ\text{C}$ | |
| t _C | | 0,14 0,3 | | μ s | $T_j = 25^\circ\text{C}$ $T_j = 100^\circ\text{C}$ | |

$I_C = 15 \text{ A}$
 $I_{B1} = 1,5 \text{ A}$
 $V_{BB} = -5 \text{ V}$
 $R_{B2} = 1,7 \Omega$
 $V_{CC} = 72 \text{ V}$
 $V_{clamp} = 90 \text{ V}$
 $L_C = 0,25 \text{ mH}$

Without negative bias - Sans polarisation négative

| | | | | | | |
|-----------------|--|--------------|--|---------|---|---|
| t _{SI} | | 1,4 1,85 | | μ s | $T_j = 25^\circ\text{C}$ $T_j = 100^\circ\text{C}$ | $I_C = 15 \text{ A}$ $I_{B1} = 1,5 \text{ A}$ $V_{BB} = 0 \text{ V}$ $R_{B2} = 3,9 \Omega$ $V_{CC} = 72 \text{ V}$ $V_{clamp} = 90 \text{ V}$ $L_C = 0,25 \text{ mH}$ |
| t _{fi} | | 0,7 1 | | μ s | $T_j = 25^\circ\text{C}$ $T_j = 100^\circ\text{C}$ | |
| t _{ti} | | 0,22 0,44 | | μ s | $T_j = 25^\circ\text{C}$ $T_j = 100^\circ\text{C}$ | |

** $T_j = 25^\circ\text{C}$ Unless otherwise stated* Pulsed - Impulsions $t_p \leq 300 \mu\text{s}, \delta \leq 2\%$

FIGURE 1 : SWITCHING TIMES TEST CIRCUIT (RESISTIVE LOAD)

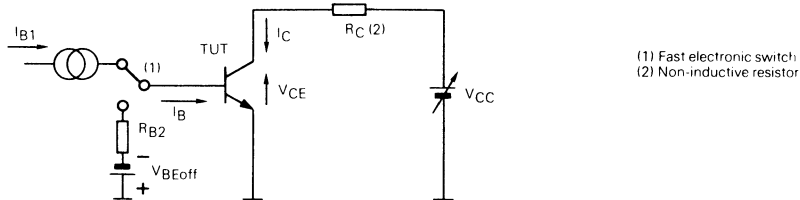


FIGURE 2 : TURN-ON SWITCHING WAVEFORMS

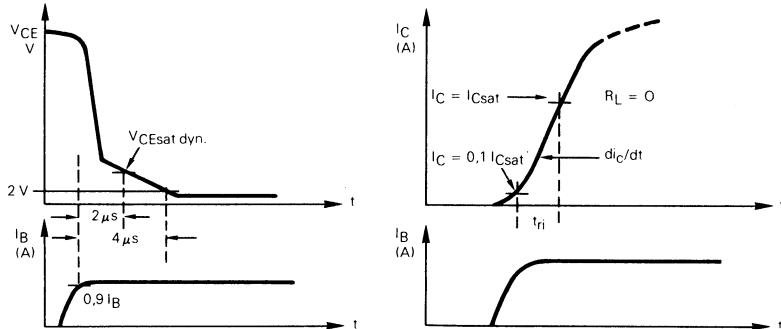


FIGURE 3 a : TURN-OFF SWITCHING TEST CIRCUIT

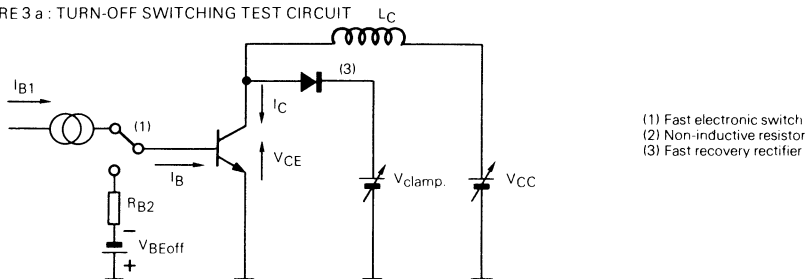
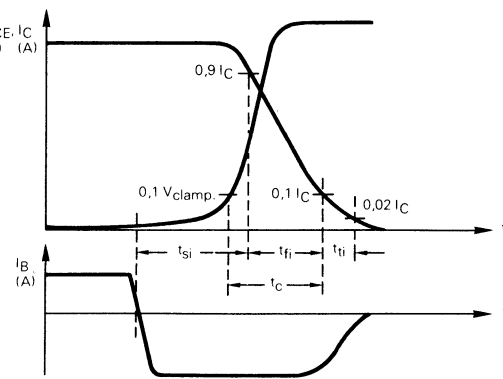
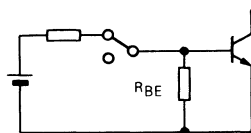
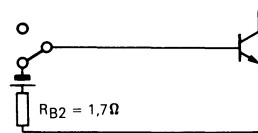


FIGURE 3 b : TURN-OFF SWITCHING WAVEFORMS (INDUCTIVE LOAD)



**TRANSISTOR FORWARD BIASED**

- During the turn-on
- During the turn-off without negative base-emitter voltage and $3,9\Omega < R_{BE} \leq 50\Omega$

**TRANSISTOR REVERSE BIASED**

- During the turn-off with negative base-emitter voltage

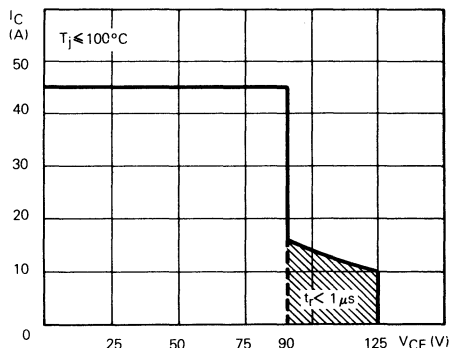


FIGURE 4 : Forward biased safe operating area (FBSOA)

The hatched zone can only be used for turn-on
La zone hachurée ne doit être utilisée que pour la mise en conduction

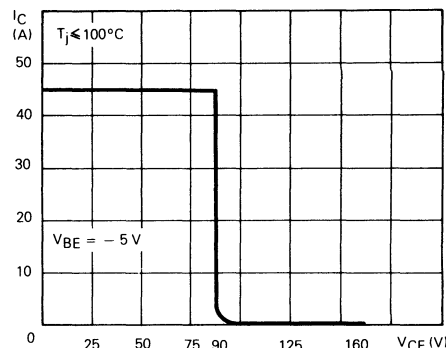


FIGURE 5 : Reverse biased safe operating area (RBSOA)

FAST SWITCHING POWER TRANSISTOR
TRANSISTOR DE PUISSANCE DE COMMUTATION RAPIDE

ADVANCE INFORMATION



HIGHER EFFICIENCY DUE TO :

- Faster switching times
- Lower switching losses
- Lower on state voltage drop
- Base current requirements

NEW DATA FOR WORST CASE DESIGN

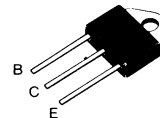
- Characteristics specified at 100°C

NEW DATA FOR OPTIMAL DESIGN

- Very low saturation voltage and high gain for reduced load operation
- Turn-on and turn-off tail specifications
- Turn-on dI_C/dt for better rectifier choice
- Switching times specified with and without negative base drive.

| | |
|-----------------------------|---------------|
| V_{CEOus} | 125 V |
| V_{CEV} | 250 V |
| V_{CEsat} | ≤ 1 V |
| I_{Csat} | 11 A |
| I_{CSM} | 50 A |
| $t_{fi}(100^\circ\text{C})$ | ≤ 300 ns |

Case Boîtier : TOP-3 (CB - 244)



ABSOLUTE RATINGS (LIMITING VALUES)
VALEURS LIMITES ABSOLUES D'UTILISATION

| | | | | |
|--|-----------------------------|-------------|-----|---|
| Collector-emitter voltage <i>Tension collecteur-émetteur</i> | V_{CEO} | 125 | V | |
| Collector-emitter voltage <i>Tension collecteur-émetteur</i> | V_{CEV} | 250 | V | |
| Emitter-base voltage <i>Tension émetteur-base</i> | V_{EBO} | 7 | V | |
| Collector current <i>Courant collecteur</i> | $I_C(RMS)$ I_{CM} | 20 30 | A | |
| Base current <i>Courant base</i> | $I_B(RMS)$ I_{BM} | 4 6 | A | |
| Reverse bias base power dissipation (B.E. junction in avalanche) <i>Dissipation de puissance base-émetteur en avalanche</i> | P_{base} | 1 | W | |
| Power dissipation <i>Dissipation de puissance</i> | $T_{case} 25^\circ\text{C}$ | P_{tot} | 125 | W |
| Junction temperature <i>Température de jonction</i> | T_j | - 65, + 175 | °C | |

| | | | |
|--|---------------|-----|------|
| Thermal resistance junction-case <i>Résistance thermique jonction-boîtier</i> | $R_{th(j-c)}$ | 1,2 | °C/W |
|--|---------------|-----|------|

ELECTRICAL CHARACTERISTICS - CARACTÉRISTIQUES ÉLECTRIQUES**

| SYMBOLS | Min | Typ | Max | UNITS | TEST CONDITIONS - CONDITIONS DE MESURE |
|---------|-----|-----|-----|-------|--|
|---------|-----|-----|-----|-------|--|

OFF CHARACTERISTICS - CARACTÉRISTIQUES A L'ÉTAT BLOQUÉ

| | | | | | |
|--------------|-----|--------|--|----|---|
| V_{CEO} us | 125 | | | V | $I_B = 0, I_C = 0,2 \text{ A}, L = 25 \text{ mH}$ |
| $V_{(B)EBO}$ | 7 | | | V | $I_C = 0, I_E = 50 \text{ mA}$ |
| I_{CEV} | | 1 5 | | mA | $T_j = 25^\circ\text{C}$ $T_j = 100^\circ\text{C}$ |
| I_{CER} | | 1 5 | | mA | $T_j = 25^\circ\text{C}$ $T_j = 100^\circ\text{C}$ |
| I_{EBO} | | 1 | | mA | $I_C = 0, V_{BE} = -5 \text{ V}$ |

ON CHARACTERISTICS - CARACTÉRISTIQUES A L'ÉTAT CONDUCTEUR

| | | | | | | |
|---------------|--|-------------|------------|---|---|---|
| V_{CESat^*} | | 0,65 0,8 | 1 1,5 | V | $T_j = 25^\circ\text{C}$ $T_j = 100^\circ\text{C}$ | $I_C = 11 \text{ A}, I_B = 1,1 \text{ A}$ |
| V_{CEsat^*} | | 0,5 0,5 | 0,8 0,8 | V | $T_j = 25^\circ\text{C}$ $T_j = 100^\circ\text{C}$ | $I_C = 5,5 \text{ A}, I_B = 0,35 \text{ A}$ |
| V_{BEsat^*} | | 1,3 1,35 | 1,6 1,7 | V | $T_j = 25^\circ\text{C}$ $T_j = 100^\circ\text{C}$ | $I_C = 11 \text{ A}, I_B = 1,1 \text{ A}$ |

SWITCHING CHARACTERISTICS - CARACTÉRISTIQUES DE COMMUTATION**

TURN-ON SWITCHING CHARACTERISTICS - CARACTÉRISTIQUES DE COMMUTATION A LA MISE EN CONDUCTION (fig. 2)

| | | | | | | |
|-------------------------|--|------------|--|-----------------|---|--|
| di_C/dt | | 45 40 | | $A/\mu\text{s}$ | $T_j = 25^\circ\text{C}$ $T_j = 100^\circ\text{C}$ | $R_C = 0, V_{CC} = 100 \text{ V}$ $I_{B1} = 1,65 \text{ A}$ |
| $V_{CE}(2 \mu\text{s})$ | | 2 2,6 | | V | $T_j = 25^\circ\text{C}$ $T_j = 100^\circ\text{C}$ | $V_{CC} = 100 \text{ V}$ $R_C = 9\Omega$ |
| $V_{CE}(4 \mu\text{s})$ | | 1,1 1,6 | | V | $T_j = 25^\circ\text{C}$ $T_j = 100^\circ\text{C}$ | $I_{B1} = 1,1 \text{ A}$ |

TURN-OFF SWITCHING CHARACTERISTICS - CARACTÉRISTIQUES DE COMMUTATION A L'OUVERTURE (fig. 3)

ON INDUCTIVE LOAD - SUR CHARGE INDUCTIVE

| With negative bias - Avec polarisation négative | | | | | |
|---|--|--------------|------------|---------------|---|
| t_{SI} | | 0,75 0,95 | 1,2 1,4 | μs | $T_j = 25^\circ\text{C}$ $T_j = 100^\circ\text{C}$ |
| t_{fI} | | 0,08 0,14 | 0,2 0,3 | μs | $T_j = 25^\circ\text{C}$ $T_j = 100^\circ\text{C}$ |
| t_{fi} | | 0,02 0,04 | | μs | $T_j = 25^\circ\text{C}$ $T_j = 100^\circ\text{C}$ |
| t_C | | 0,15 0,3 | | μs | $T_j = 25^\circ\text{C}$ $T_j = 100^\circ\text{C}$ |

$$\left. \begin{array}{l} I_C = 11 \text{ A} \\ I_{B1} = 1,1 \text{ A} \\ V_{BB} = -5 \text{ V} \\ R_{B2} = 2,3\Omega \\ V_{CC} = 100 \text{ V} \\ V_{clamp} = 125 \text{ V} \\ L_C = 0,25 \text{ mH} \end{array} \right\}$$

Without negative bias - Sans polarisation négative

| | | | | | | |
|----------|--|------------|--|---------------|---|--|
| t_{SI} | | 1,8 2,5 | | μs | $T_j = 25^\circ\text{C}$ $T_j = 100^\circ\text{C}$ | $I_C = 11 \text{ A}$ $I_{B1} = 1,1 \text{ A}$ $V_{BB} = 0 \text{ V}$ $R_{B2} = 4,7\Omega$ $V_{CC} = 100 \text{ V}$ $V_{clamp} = 125 \text{ V}$ $L_C = 0,25 \text{ mH}$ |
| t_{fI} | | 0,7 1 | | μs | $T_j = 25^\circ\text{C}$ $T_j = 100^\circ\text{C}$ | |
| t_{fi} | | 0,2 0,4 | | μs | $T_j = 25^\circ\text{C}$ $T_j = 100^\circ\text{C}$ | |

** $T_j = 25^\circ\text{C}$ Unless otherwise stated* Pulsed - Impulsions $t_p \leq 300 \mu\text{s}, \delta \leq 2\%$

FIGURE 1 : SWITCHING TIMES TEST CIRCUIT (RESISTIVE LOAD)

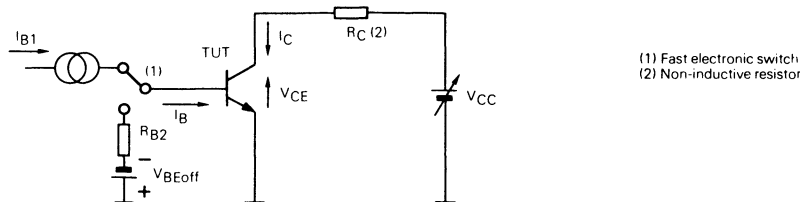


FIGURE 2 : TURN-ON SWITCHING WAVEFORMS

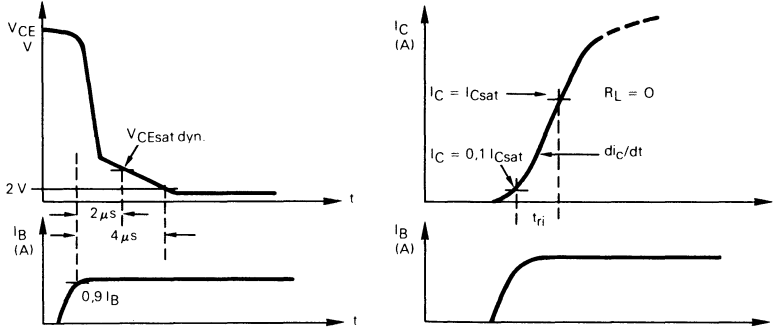


FIGURE 3 a : TURN-OFF SWITCHING TEST CIRCUIT

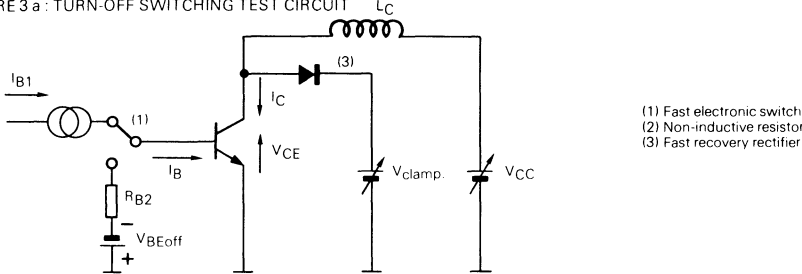
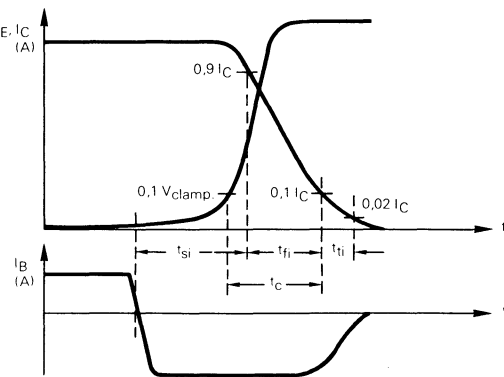
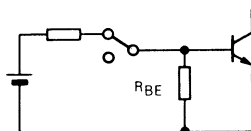
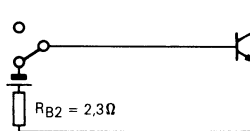


FIGURE 3 b : TURN-OFF SWITCHING WAVEFORMS (INDUCTIVE LOAD)



**TRANSISTOR FORWARD BIASED**

- During the turn-on
- During the turn-off without negative base-emitter voltage and $4,7\Omega \leq R_{BE} \leq 50\Omega$

**TRANSISTOR REVERSE BIASED**

- During the turn-off with negative base-emitter voltage

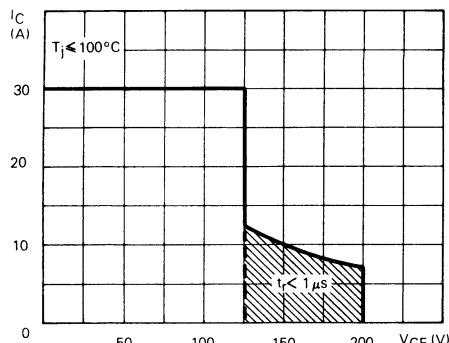


FIGURE 4 : Forward biased safe operating area (FBSOA)

The hatched zone can only be used for turn-on
La zone hachurée ne doit être utilisée que pour la mise en conduction

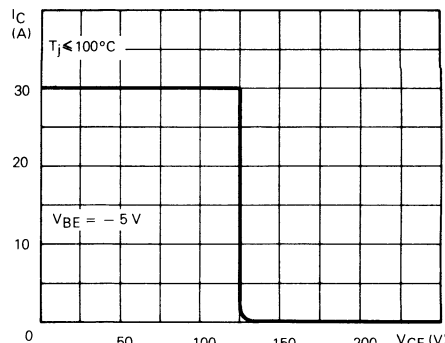


FIGURE 5 : Reverse biased safe operating area (RBSOA)

FAST SWITCHING POWER TRANSISTOR
TRANSISTOR DE PUISSEANCE DE COMMUTATION RAPIDE

ADVANCE INFORMATION



HIGHER EFFICIENCY DUE TO :

- Faster switching times
- Lower switching losses
- Lower on state voltage drop
- Base current requirements

NEW DATA FOR WORST CASE DESIGN

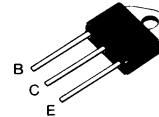
- Characteristics specified at 100°C

NEW DATA FOR OPTIMAL DESIGN

- Very low saturation voltage and high gain for reduced load operation
- Turn-on and turn-off tail specifications
- Turn-on dI/dt for better rectifier choice
- Switching times specified with and without negative base drive.

| | |
|-----------------------------|---------------|
| $V_{CEO(sus)}$ | 200 V |
| V_{CEV} | 300 V |
| V_{CEsat} | ≤ 1 V |
| I_{Csat} | 6 A |
| I_{CSM} | 45 A |
| $t_{fi}(100^\circ\text{C})$ | ≤ 250 ns |

Case : TOP-3 (CB - 244)
Boîtier



ABSOLUTE RATINGS (LIMITING VALUES)
VALEURS LIMITES ABSOLUES D'UTILISATION

| | | | |
|--|-------------------------------|-------------|----|
| Collector-emitter voltage <i>Tension collecteur-émetteur</i> | V_{CEO} | 200 | V |
| Collector-emitter voltage <i>Tension collecteur-émetteur</i> | V_{CEV} | 300 | V |
| Emitter-base voltage <i>Tension émetteur-base</i> | V_{EBO} | 7 | V |
| Collector current <i>Courant collecteur</i> | $I_C(\text{RMS})$ I_{CM} | 15 20 | A |
| Base current <i>Courant base</i> | $I_B(\text{RMS})$ I_{BM} | 3 5 | A |
| Reverse bias base power dissipation (B.E. junction in avalanche) <i>Dissipation de puissance base-émetteur en avalanche</i> | P_{base} | 1 | W |
| Power dissipation <i>Dissipation de puissance</i> | $T_{case} 25^\circ\text{C}$ | 125 | W |
| Junction temperature <i>Température de jonction</i> | T_j | - 65, + 175 | °C |

Thermal resistance junction-case
Résistance thermique jonction-boîtier

$R_{th(j-c)}$ 1,2 °C/W

ELECTRICAL CHARACTERISTICS - CARACTÉRISTIQUES ÉLECTRIQUES**

| SYMBOLS | Min | Typ | Max | UNITS | TEST CONDITIONS - CONDITIONS DE MESURE |
|---------|-----|-----|-----|-------|--|
|---------|-----|-----|-----|-------|--|

OFF CHARACTERISTICS - CARACTÉRISTIQUES A L'ÉTAT BLOQUÉ

| | | | | | |
|---------------|-----|--|------------|----|---|
| V_{CEO} sus | 200 | | | V | $I_B = 0, I_C = 0.2 \text{ A}, L = 25 \text{ mH}$ |
| $V_{(BR)}EBO$ | 7 | | | V | $I_C = 0, I_E = 50 \text{ mA}$ |
| I_{CEV} | | | 0,5 2 | mA | $T_j = 25^\circ\text{C}$ $T_j = 100^\circ\text{C}$ |
| I_{CER} | | | 0,5 2,5 | mA | $T_j = 25^\circ\text{C}$ $T_j = 100^\circ\text{C}$ |
| I_{EBO} | | | 1 | mA | $I_C = 0, V_{BE} = -5 \text{ V}$ |

ON CHARACTERISTICS - CARACTÉRISTIQUES A L'ÉTAT CONDUCTEUR

| | | | | | | |
|---------------|--|--------------|------------|---|---|---|
| V_{CEsat^*} | | 0,45 0,55 | 1 1 | V | $T_j = 25^\circ\text{C}$ $T_j = 100^\circ\text{C}$ | $I_C = 6 \text{ A}, I_B = 0,6 \text{ A}$ |
| V_{CEsat^*} | | 0,3 0,3 | 0,8 0,8 | V | $T_j = 25^\circ\text{C}$ $T_j = 100^\circ\text{C}$ | $I_C = 3 \text{ A}, I_B = 0,15 \text{ A}$ |
| V_{BESat^*} | | 1,15 1,15 | 1,6 1,6 | V | $T_j = 25^\circ\text{C}$ $T_j = 100^\circ\text{C}$ | $I_C = 6 \text{ A}, I_B = 0,6 \text{ A}$ |

SWITCHING CHARACTERISTICS - CARACTÉRISTIQUES DE COMMUTATION**

TURN-ON SWITCHING CHARACTERISTICS - CARACTÉRISTIQUES DE COMMUTATION A LA MISE EN CONDUCTION (fig. 2)

| | | | | | | |
|-----------------------------|--|--------------|--|------------------|---|---|
| dI_C/dt | | 33 28 | | A/ μs | $T_j = 25^\circ\text{C}$ $T_j = 100^\circ\text{C}$ | $R_C = 0, V_{CC} = 160 \text{ V}$ $I_{B1} = 0,9 \text{ A}$ |
| V_{CE} (2 μs) | | 1,05 1,53 | | V | $T_j = 25^\circ\text{C}$ $T_j = 100^\circ\text{C}$ | $V_{CC} = 160 \text{ V}$ $R_C = 27\Omega$ |
| V_{CE} (4 μs) | | 0,75 0,95 | | V | $T_j = 25^\circ\text{C}$ $T_j = 100^\circ\text{C}$ | $I_{B1} = 0,6 \text{ A}$ |

TURN-OFF SWITCHING CHARACTERISTICS - CARACTÉRISTIQUES DE COMMUTATION A L'OUVERTURE (fig. 3)

ON INDUCTIVE LOAD - SUR CHARGE INDUCTIVE

| With negative bias - Avec polarisation négative | | | | | | |
|---|--|--------------|-------------|---------------|---|---|
| t_{Si} | | 0,75 1,2 | 1,2 1,7 | μs | $T_j = 25^\circ\text{C}$ $T_j = 100^\circ\text{C}$ | |
| t_{fi} | | 0,08 0,12 | 0,2 0,25 | μs | $T_j = 25^\circ\text{C}$ $T_j = 100^\circ\text{C}$ | |
| t_{ti} | | 0,01 0,03 | | μs | $T_j = 25^\circ\text{C}$ $T_j = 100^\circ\text{C}$ | |
| t_C | | 0,12 0,22 | | μs | $T_j = 25^\circ\text{C}$ $T_j = 100^\circ\text{C}$ | $I_C = 6 \text{ A}$ $I_{B1} = 0,6 \text{ A}$ $V_{BB} = -5 \text{ V}$ $R_{B2} = 4,2\Omega$ $V_{CC} = 160 \text{ V}$ $V_{clamp} = 200 \text{ V}$ $L_C = 1,3 \text{ mH}$ |

Without negative bias - Sans polarisation négative

| | | | | | | |
|----------|--|--------------|--|---------------|---|--|
| t_{Si} | | 1,8 3,3 | | μs | $T_j = 25^\circ\text{C}$ $T_j = 100^\circ\text{C}$ | $I_C = 6 \text{ A}$ $I_{B1} = 0,6 \text{ A}$ $V_{BB} = 0 \text{ V}$ $R_{B2} = 6,8\Omega$ $V_{CC} = 160 \text{ V}$ $V_{clamp} = 200 \text{ V}$ $L_C = 1,3 \text{ mH}$ |
| t_{fi} | | 0,45 0,8 | | μs | $T_j = 25^\circ\text{C}$ $T_j = 100^\circ\text{C}$ | |
| t_{ti} | | 0,15 0,44 | | μs | $T_j = 25^\circ\text{C}$ $T_j = 100^\circ\text{C}$ | |

** $T_j = 25^\circ\text{C}$ Unless otherwise stated* Pulsed - Impulsions $t_p \leq 300 \mu\text{s}, \delta \leq 2\%$

FIGURE 1 : SWITCHING TIMES TEST CIRCUIT (RESISTIVE LOAD)

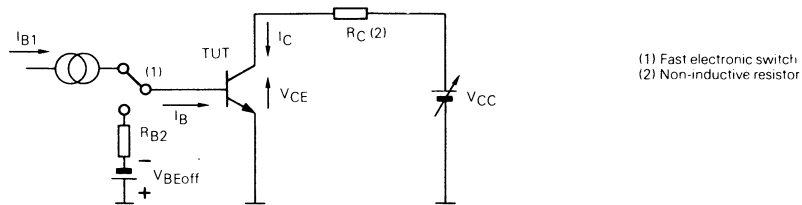


FIGURE 2 : TURN-ON SWITCHING WAVEFORMS

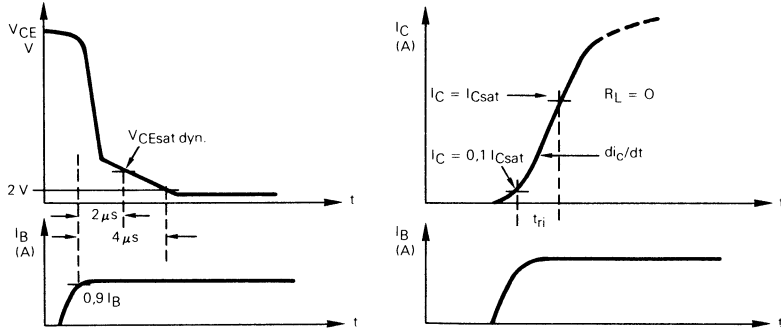


FIGURE 3 a : TURN-OFF SWITCHING TEST CIRCUIT

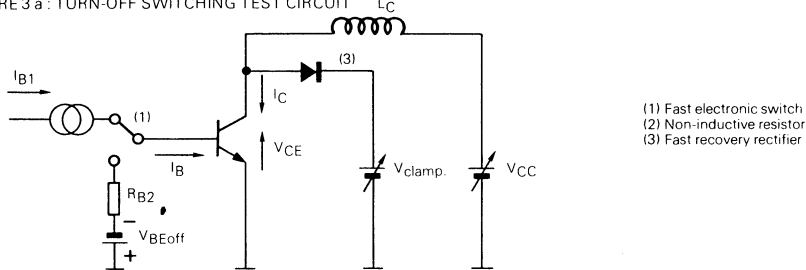
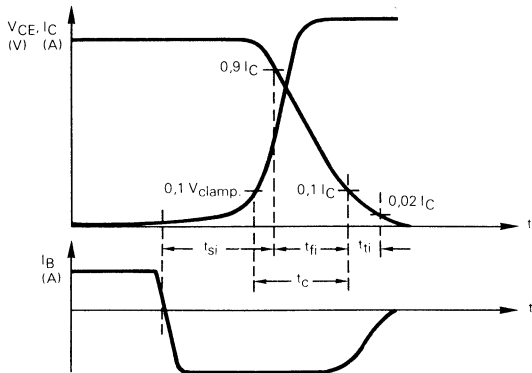
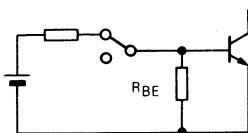
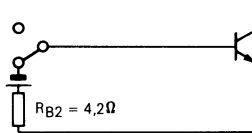


FIGURE 3 b : TURN-OFF SWITCHING WAVEFORMS (INDUCTIVE LOAD)



**TRANSISTOR FORWARD BIASED**

- During the turn-on
- During the turn-off without negative base-emitter voltage and $6.8\Omega \leq R_{BE} \leq 50\Omega$

**TRANSISTOR REVERSE BIASED**

- During the turn-off with negative base-emitter voltage

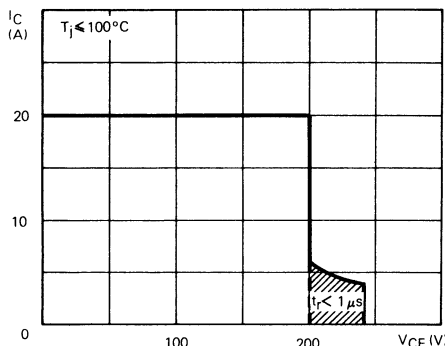


FIGURE 4 : Forward biased safe operating area (FBSOA)

The hatched zone can only be used for turn-on
La zone hachurée ne doit être utilisée que pour la mise en conduction

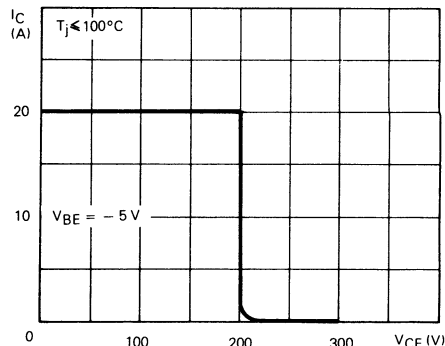


FIGURE 5 : Reverse biased safe operating area (RBSOA)

FAST SWITCHING POWER TRANSISTOR
TRANSISTOR DE PUISSEANCE DE COMMUTATION RAPIDE

ADVANCE INFORMATION



HIGHER EFFICIENCY DUE TO :

- Faster switching times
- Lower switching losses
- Lower on state voltage drop
- Base current requirements

NEW DATA FOR WORST CASE DESIGN

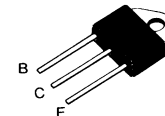
- Characteristics specified at 100°C

NEW DATA FOR OPTIMAL DESIGN

- Very low saturation voltage and high gain for reduced load operation
- Turn-on and turn-off tail specifications
- Turn-on di/dt for better rectifier choice
- Switching times specified with and without negative base drive.

| | |
|-------------------------------|-----------------|
| V_{CEO}sus | 250 V |
| V_{CEV} | 350 V |
| V_{CEsat} | ≤ 1 V |
| I_{Csat} | 5 A |
| I_{CSM} | 35 A |
| t_{fi} (100°C) | ≤ 400 ns |

Case Boîtier : TOP-3 (CB - 244)



ABSOLUTE RATINGS (LIMITING VALUES)
VALEURS LIMITES ABSOLUES D'UTILISATION

| | | | |
|---|--|-------------|----|
| Collector-emitter voltage <i>Tension collecteur-émetteur</i> | V _{CEO} | 250 | V |
| Collector-emitter voltage <i>Tension collecteur-émetteur</i> | V _{CEV} | 350 | V |
| Emitter-base voltage <i>Tension émetteur-base</i> | V _{EBO} | 7 | V |
| Collector current <i>Courant collecteur</i> | I _{C(RMS)} I _{CM} | 12 18 | A |
| Base current <i>Courant base</i> | I _{B(RMS)} I _{BM} | 2,5 4 | A |
| Reverse bias base power dissipation (B-E junction in avalanche) <i>Dissipation de puissance base-émetteur en avalanche</i> | P _{base} | 1 | W |
| Power dissipation <i>Dissipation de puissance</i> | P _{tot} | 125 | W |
| Junction temperature <i>Température de jonction</i> | T _j | - 65, + 175 | °C |

| | | | |
|--|----------------------|-----|------|
| Thermal resistance junction-case <i>Résistance thermique jonction-boîtier</i> | R _{th(j-c)} | 1,2 | °C/W |
|--|----------------------|-----|------|

ELECTRICAL CHARACTERISTICS - CARACTÉRISTIQUES ÉLECTRIQUES**

| SYMBOLS | Min | Typ | Max | UNITS | TEST CONDITIONS - CONDITIONS DE MESURE |
|---------|-----|-----|-----|-------|--|
|---------|-----|-----|-----|-------|--|

OFF CHARACTERISTICS - CARACTÉRISTIQUES A L'ÉTAT BLOQUE

| | | | | | |
|----------------|-----|--|------------|----|---|
| V_{CEO} osus | 250 | | | V | $I_B = 0, I_C = 0,2 \text{ A}, L = 25 \text{ mH}$ |
| $V_{(BR)EBO}$ | 7 | | | V | $I_C = 0, I_E = 50 \text{ mA}$ |
| I_{CEV} | | | 0,5 2 | mA | $T_j = 25^\circ\text{C}$ $T_j = 100^\circ\text{C}$ |
| I_{CER} | | | 0,5 2,5 | mA | $T_j = 25^\circ\text{C}$ $T_j = 100^\circ\text{C}$ |
| I_{EBO} | | | 1 | mA | $I_C = 0, V_{BE} = -5 \text{ V}$ |

ON CHARACTERISTICS - CARACTÉRISTIQUES A L'ÉTAT CONDUCTEUR

| | | | | | | |
|---------------|--|--------------|------------|---|---|---|
| V_{CEsat^*} | | 0,4 0,45 | 1 1 | V | $T_j = 25^\circ\text{C}$ $T_j = 100^\circ\text{C}$ | $I_C = 5 \text{ A}, I_B = 0,5 \text{ A}$ |
| V_{CEsat^*} | | 0,25 0,25 | 0,6 0,6 | V | $T_j = 25^\circ\text{C}$ $T_j = 100^\circ\text{C}$ | $I_C = 2 \text{ A}, I_B = 0,13 \text{ A}$ |
| V_{BEsat^*} | | 1 0,9 | 1,3 1,3 | V | $T_j = 25^\circ\text{C}$ $T_j = 100^\circ\text{C}$ | $I_C = 4 \text{ A}, I_B = 0,4 \text{ A}$ |

SWITCHING CHARACTERISTICS - CARACTÉRISTIQUES DE COMMUTATION**

TURN-ON SWITCHING CHARACTERISTICS - CARACTÉRISTIQUES DE COMMUTATION A LA MISE EN CONDUCTION (fig. 2)

| | | | | | | |
|----------------------|--|------------|--|------------|---|---|
| di/dt | | 40 35 | | A/ μ s | $T_j = 25^\circ\text{C}$ $T_j = 100^\circ\text{C}$ | $R_C = 0, V_{CC} = 200 \text{ V}$ $I_{B1} = 0,6 \text{ A}$ |
| V_{CE} (2 μ s) | | 1,7 2,5 | | V | $T_j = 25^\circ\text{C}$ $T_j = 100^\circ\text{C}$ | $V_{CC} = 200 \text{ V}$ $R_C = 50 \Omega$ |
| V_{CE} (4 μ s) | | 0,9 1,1 | | V | $T_j = 25^\circ\text{C}$ $T_j = 100^\circ\text{C}$ | $I_{B1} = 0,4 \text{ A}$ |

TURN-OFF SWITCHING CHARACTERISTICS - CARACTÉRISTIQUES DE COMMUTATION A L'OUVERTURE (fig. 3)

ON INDUCTIVE LOAD - SUR CHARGE INDUCTIVE

| With negative bias - Avec polarisation négative | | | | | |
|---|--|--------------|------------|---------|---|
| t_{Si} | | 1,2 1,8 | 1,8 2,4 | μ s | $T_j = 25^\circ\text{C}$ $T_j = 100^\circ\text{C}$ |
| t_{fi} | | 0,08 0,2 | 0,2 0,4 | μ s | $T_j = 25^\circ\text{C}$ $T_j = 100^\circ\text{C}$ |
| t_{ti} | | 0,03 0,08 | | μ s | $T_j = 25^\circ\text{C}$ $T_j = 100^\circ\text{C}$ |
| t_c | | 0,15 0,4 | | μ s | $T_j = 25^\circ\text{C}$ $T_j = 100^\circ\text{C}$ |

$I_C = 4 \text{ A}$
 $I_{B1} = 0,4 \text{ A}$
 $V_{BB} = -5 \text{ V}$
 $R_{B2} = 6,3 \Omega$
 $V_{CC} = 200 \text{ V}$
 $V_{clamp} = 250 \text{ V}$
 $L_C = 2,5 \text{ mH}$

Without negative bias - Sans polarisation négative

| | | | | | | |
|----------|--|-------------|--|---------|---|--|
| t_{Si} | | 2,5 4,8 | | μ s | $T_j = 25^\circ\text{C}$ $T_j = 100^\circ\text{C}$ | $I_C = 4 \text{ A}$ |
| t_{fi} | | 0,4 0,7 | | μ s | $T_j = 25^\circ\text{C}$ $T_j = 100^\circ\text{C}$ | $I_{B1} = 0,4 \text{ A}$ $V_{BB} = 0 \text{ V}$ $R_{B2} = 7,5 \Omega$ $V_{CC} = 200 \text{ V}$ $V_{clamp} = 250 \text{ V}$ $L_C = 2,5 \text{ mH}$ |
| t_{ti} | | 0,15 0,4 | | μ s | $T_j = 25^\circ\text{C}$ $T_j = 100^\circ\text{C}$ | |

** $T_j = 25^\circ\text{C}$ Unless otherwise stated* Pulsed - Impulsions $t_p \leq 300 \mu\text{s}, \delta \leq 2 \%$

FIGURE 1 : SWITCHING TIMES TEST CIRCUIT (RESISTIVE LOAD)

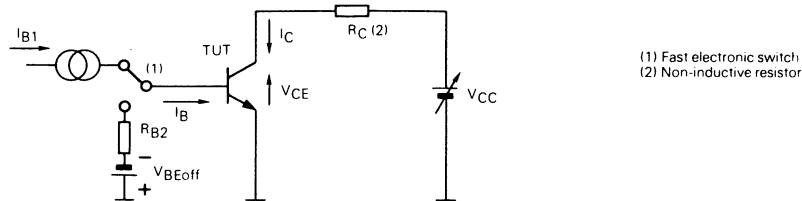


FIGURE 2 : TURN-ON SWITCHING WAVEFORMS

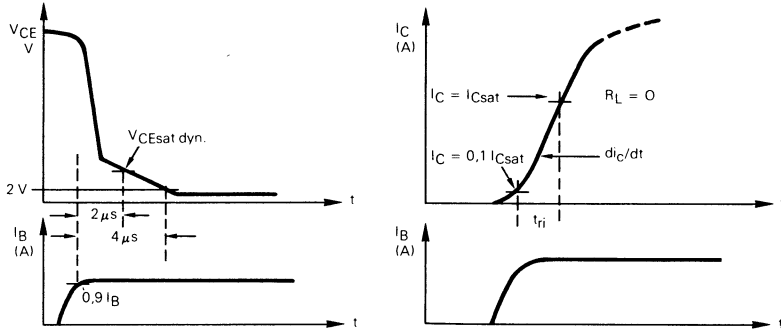


FIGURE 3 a : TURN-OFF SWITCHING TEST CIRCUIT

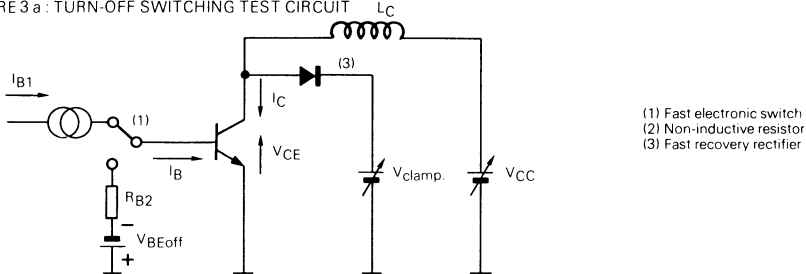
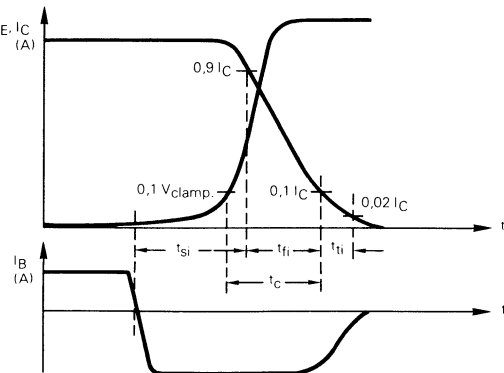
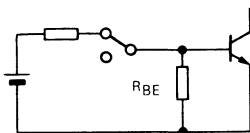
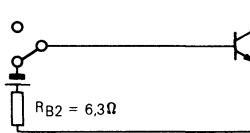


FIGURE 3 b : TURN-OFF SWITCHING WAVEFORMS (INDUCTIVE LOAD)



**TRANSISTOR FORWARD BIASED**

- During the turn-on
- During the turn-off without negative base-emitter voltage and $7,5 \Omega \leq R_{BE} \leq 50 \Omega$

**TRANSISTOR REVERSE BIASED**

- During the turn-off with negative base-emitter voltage

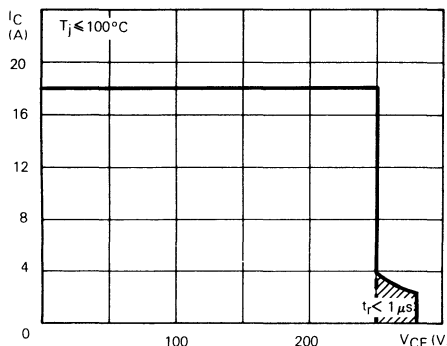


FIGURE 4 : Forward biased safe operating area (FBSOA)

The hatched zone can only be used for turn-on
La zone hachurée ne doit être utilisée que pour la mise en conduction

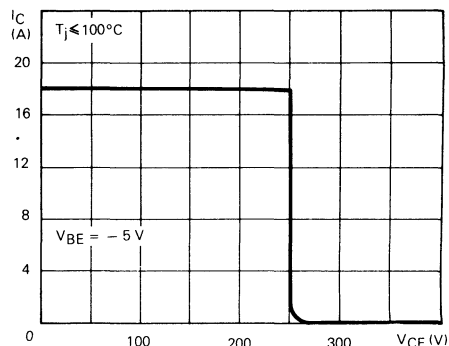


FIGURE 5 : Reverse biased safe operating area (RBSOA)

FAST PNP SWITCHING TRANSISTOR

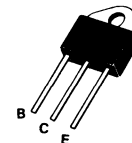
TRANSISTOR PNP DE COMMUTATION RAPIDE

ADVANCE INFORMATION

SUPERSWITCH

VERY FAST SWITCHING PNP POWER TRANSISTOR SUITED FOR USE AS A DRIVER FOR NPN SUPERSWITCH POWER TRANSISTORS IN QUASI-DARLINGTON CONFIGURATION AND IN SWITCH-MODE APPLICATIONS AS DC MOTOR CONTROL, DC/DC POWER SUPPLY AND BOOST REGULATORS.

| | |
|----------------|----------|
| $V_{CEO(sus)}$ | - 150 V |
| V_{CEX} | - 200 V |
| I_{Csat} | - 10 A |
| t_f (100°C) | ≤ 0,5 µs |

Case TOP 3
BoîtierABSOLUTE RATINGS (LIMITING VALUES)
VALEURS LIMITES ABSOLUES D'UTILISATION

| | | | |
|--|-------------------|---------------|--------|
| Collector-emitter voltage <i>Tension collecteur-émetteur</i> | V_{CEO} | - 150 | V |
| Collector-base voltage <i>Tension collecteur-base</i> | V_{CBO} | - 200 | V |
| Emitter-base voltage <i>Tension émetteur-base</i> | V_{EBO} | - 7 | V |
| Collector current <i>Courant collecteur</i> | I_C I_{CM} | - 15 - 30 | A |
| Base current <i>Courant base</i> | I_B I_{BM} | - 4 - 8 | A |
| Power dissipation <i>Dissipation de puissance</i> | P_{tot} | 150 | W |
| Junction temperature <i>Température de jonction</i> | T_j | - 65 + 175 | °C |
| Junction-case thermal resistance <i>Résistance thermique jonction boîtier</i> | max | $R_{th(j-c)}$ | 1 °C/W |

ELECTRICAL CHARACTERISTICS - CARACTÉRISTIQUES ÉLECTRIQUES **

| SYMBOLS | Min | Typ | Max | UNITS | TEST CONDITIONS - CONDITIONS DE MESURE |
|---------|-----|-----|-----|-------|--|
|---------|-----|-----|-----|-------|--|

OFF CHARACTERISTICS - CARACTÉRISTIQUES A L'ÉTAT BLOQUE

| | | | | | |
|-----------------|------|----|--|----|---|
| V_{CEOUS} | -150 | | | V | $I_C = -0,2A, I_B = 0, L = 25\text{ mH}$ |
| $V_{(BR)EBO}^*$ | -7 | | | V | $I_C = 0, I_E = -0,05A$ |
| I_{CEX} | | -1 | | mA | $T_{case} 25^\circ C$ $T_{case} 125^\circ C$ |
| | | -4 | | | |
| I_{CER} | | -1 | | mA | $T_{case} 25^\circ C$ $T_{case} 125^\circ C$ |
| | | -5 | | | |
| I_{EBO} | | -1 | | mA | $V_{EB} = -5V, I_C = 0$ |

ON CHARACTERISTICS - CARACTÉRISTIQUES A L'ÉTAT CONDUCTEUR

| | | | | | | |
|---------------|------|------|--|---|---|-------------------------|
| V_{CESat}^* | -0,7 | | | V | $T_{case} 25^\circ C$ $T_{case} 100^\circ C$ | $I_C = -10A, I_B = -1A$ |
| | | -1,5 | | | | |
| V_{BESat}^* | | -1,8 | | V | $I_C = -10A, I_B = -1A$ | |

DYNAMIC CHARACTERISTICS - CARACTÉRISTIQUES DYNAMIQUES

| | | | | |
|-------|---|--|-----|---|
| f_T | 5 | | MHz | $f = 1\text{ MHz}, I_C = -2A, V_{CE} = -5V$ |
|-------|---|--|-----|---|

SWITCHING CHARACTERISTICS - CARACTÉRISTIQUES DE COMMUTATION

| | | | | | | |
|--|--|-----|---------|---|---------------------|--|
| On resistive load - Sur charge résistive | | | | | | |
| t_{on} | | 0,5 | μs | $V_{CC} = -60V, I_C = -10A$ $I_{B1} = -I_{B2} = -1A$ | | |
| t_s | | 1 | | | | |
| t_f | | 0,5 | | | | |
| On inductive load - Sur charge inductive | | | | | | |
| t_s | | 1,5 | μs | $V_{CC} = -150V, I_C = -10A$ $I_B = -I_{B2} = -1A$ | $T_j = 100^\circ C$ | |
| t_f | | 0,5 | | | | |

* Measured with pulses $t_p = 300\text{ }\mu s$ $\delta \leq 2\%$ ** $T_{case} 25^\circ C$ Unless otherwise stated

SUPERSWITCH

HIGH SPEED TRANSISTORS SUITED FOR LOW VOLTAGE APPLICATIONS:

HIGH FREQUENCY INVERTERS
SWITCHING REGULATORS
MOTOR CONTROLS

- * High current capabilities
- * Fast turn-on and turn-off

*S.O.A.R specified for: linear mode, switching mode, accidental surge

TRANSISTOR TRES RAPIDE, ADAPTE AUX APPLICATIONS BASSE TENSION

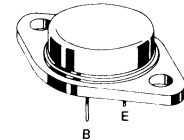
GENERATEURS HAUTE FREQUENCE
REGULATEURS A DECOUPAGE
COMMANDE DE MOTEURS

- * Possibilités élevées en courant
- * Mise en conduction et blocage rapides

* Aire de sécurité définie: en régime linéaire, en régime de commutation en régime de surcharge accidentelle

| | |
|-------------------|------------------------|
| V_{CEO} sus | 125 V |
| V_{CEX} | 160 V |
| $I_{C\text{sat}}$ | 20 A |
| I_{CSM} | 75 A |
| t_f (20 A) | $\leq 0,3 \mu\text{s}$ |

Case
Boîtier TO 3 (CB 19)



ABSOLUTE RATINGS (LIMITING VALUES)
VALEURS LIMITES ABSOLUES D'UTILISATION

| | | | | |
|---|-----------------------------|-------------------|------------|----|
| Collector-base voltage <i>Tension collecteur-base</i> | | V_{CBO} | 160 | V |
| Collector-emitter voltage <i>Tension collecteur-émetteur</i> | | V_{CEO} | 125 | V |
| Collector-emitter voltage <i>Tension collecteur-émetteur</i> | $R_{BE} = 100 \Omega$ | V_{CER} | 150 | V |
| Collector-emitter voltage <i>Tension collecteur-émetteur</i> | $V_{BE} = -1,5 \text{ V}$ | V_{CEX} | 160 | V |
| Emitter-base voltage <i>Tension émetteur-base</i> | | V_{EBO} | 7 | V |
| Collector current <i>Courant collecteur</i> | $t_p = 10 \text{ ms}$ | I_C I_{CM} | 25 30 | A |
| Base current <i>Courant base</i> | | I_B | 5 | A |
| Power dissipation <i>Dissipation de puissance</i> | $T_{case} 25^\circ\text{C}$ | P_{tot} | 150 | W |
| Junction temperature <i>Température de jonction</i> | | t_j | - 65 + 200 | °C |

| | | | | |
|--|-----|---------------|------|------|
| Junction-case thermal resistance <i>Résistance thermique jonction-boîtier</i> | max | $R_{th(j-c)}$ | 1,17 | °C/W |
|--|-----|---------------|------|------|

STATIC CHARACTERISTICS
CARACTÉRISTIQUES STATIQUES

$t_{case} = 25^\circ C$

(Unless otherwise stated)
(Sauf indications contraires)

| | Test conditions Conditions de mesure | | | Min. | Typ. | Max. |
|---|---|----------------|--|------|------|------|
| Collector-emitter cut-off current <i>Courant résiduel collecteur-émetteur</i> | $V_{CE} = 100 V$ $I_B = 0$ | I_{CEO} | | | 1,5 | mA |
| Collector-emitter cut-off current <i>Courant résiduel collecteur-émetteur</i> | $V_{CE} = 160 V$ $V_{BE} = -1,5 V$ | I_{CEX} | | | 1,5 | |
| | $V_{CE} = 160 V$ $V_{BE} = -1,5 V$ $t_{case} = 125^\circ C$ | | | | 6 | |
| Emitter-base cut-off current <i>Courant résiduel émetteur-base</i> | $V_{EB} = 5 V$ $I_C = 0$ | I_{EBO} | | | 1 | mA |
| Collector-emitter breakdown voltage <i>Tension de claquage collecteur-émetteur</i> (fig. 1) | $I_C = 200 mA$ $I_B = 0$ $L = 25 mH$ | $V_{CEO(sus)}$ | | 125 | | V |
| Emitter-base breakdown voltage <i>Tension de claquage émetteur-base</i> | $I_E = 50 mA$ $I_C = 0$ | $V_{(BR)EBO}$ | | 7 | | V |
| Static forward current transfer ratio <i>Valeur statique du rapport de transfert direct du courant</i> | $V_{CE} = 2 V$ $I_C = 10 A$ | h_{21E}^* | | | 20 | 60 |
| | $V_{CE} = 4 V$ $I_C = 20 A$ | | | | 10 | |
| Collector-emitter saturation voltage <i>Tension de saturation collecteur-émetteur</i> | $I_C = 10 A$ $I_B = 1 A$ | V_{CEsat}^* | | | 0,3 | 0,6 |
| | $I_C = 20 A$ $I_B = 2 A$ | | | | 0,7 | 1,2 |
| Base-emitter saturation voltage <i>Tension de saturation base-émetteur</i> | $I_C = 20 A$ $I_B = 2 A$ | V_{BESat}^* | | | 1,5 | 2 |
| Second breakdown collector current <i>Courant collecteur de second claquage</i> | $V_{CE} = 48 V$ $t = 1 s$ | $I_{S/B}$ | | 1 | | A |
| | $V_{CE} = 30 V$ $t = 1 s$ | | | 5 | | |

* Pulsed
Impulsions $t_p = 300 \mu s$ $\delta \leq 2 \%$

DYNAMIC CHARACTERISTICS (for small signals)
CARACTÉRISTIQUES DYNAMIQUES (pour petits signaux)
(Unless otherwise stated)
(Sauf indications contraires)

| | Test conditions Conditions de mesure | | | Min. | Typ. | Max. |
|--|---|-------------|--|------|------|---------------|
| Transition frequency <i>Fréquence de transition</i> | $V_{CE} = 15 \text{ V}$ $I_C = 1 \text{ A}$ $f = 10 \text{ MHz}$ | f_T | | 8 | | MHz |
| Turn-on time <i>Temps total d'établissement</i> : (fig. 2) | $I_C = 20 \text{ A}$ $I_{B1} = 2 \text{ A}$ | $t_d + t_r$ | | 1 | 1,5 | μs |
| Fall time <i>Temps de décroissance</i> : (fig. 2) | $I_C = 20 \text{ A}$ $I_{B1} = 2 \text{ A}$ $I_{B2} = -2 \text{ A}$ | t_f | | 0,15 | 0,3 | μs |
| Carrier storage time <i>Retard à la décroissance</i> : (fig. 2) | $I_C = 20 \text{ A}$ $I_{B1} = 2 \text{ A}$ $I_{B2} = -2 \text{ A}$ | t_s | | 0,6 | 1,2 | μs |

THERMAL FATIGUE INSPECTION**CONTROLE EN FATIGUE THERMIQUE**

Permanent inspection of soldering quality between silicon chip and header provides maximum insurance against thermal fatigue.

Le contrôle permanent de la qualité de la soudure entre la pastille de silicium et l'embase confère au transistor un maximum de garantie contre la fatigue thermique.

Pulsed test :

Contrôle cyclique :

10 000 cycles

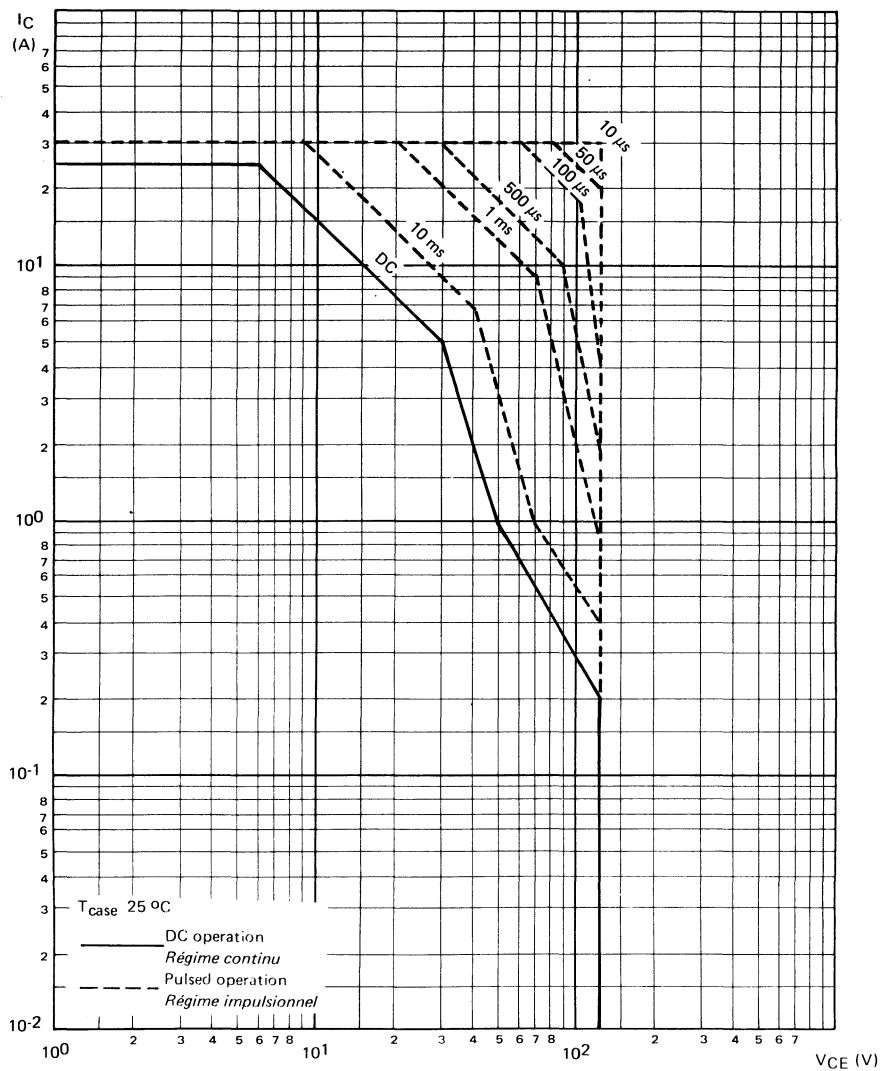
"on" : 2 minutes (0 → 60 W)

"off" : 1 minute (60 → 0 W)

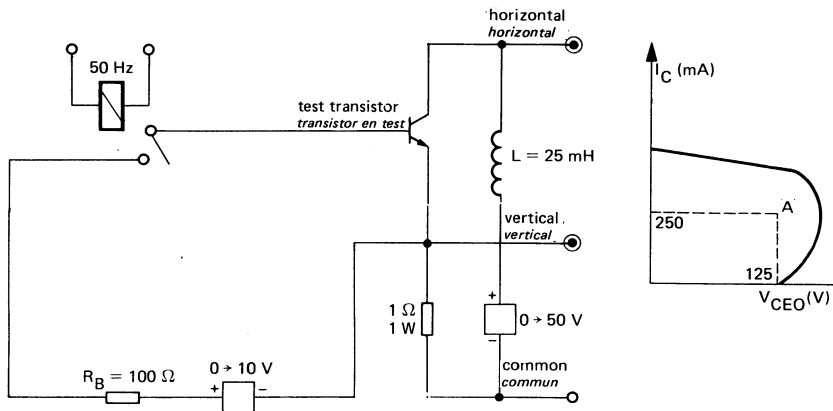
$t_{case} = 100 \text{ }^{\circ}\text{C}$ max

$\Delta t_{case} = 85 \text{ }^{\circ}\text{C}$ max

SAFE OPERATING AREA
AIRE DE SECURITE



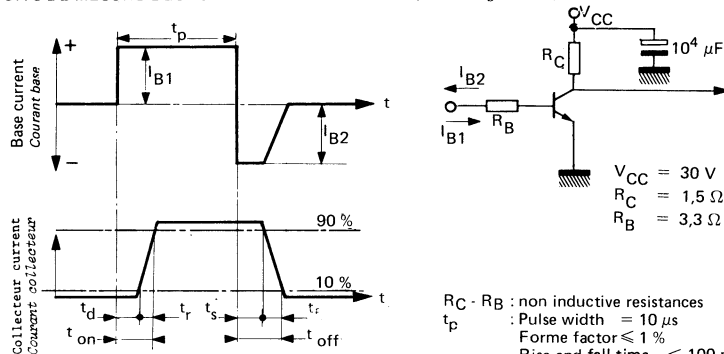
TEST CIRCUIT
MONTAGE DE TEST $V_{CEO(\text{sus})}$ (fig. 1)



Note :

The sustaining voltage V_{CEO} is acceptable when the trace falls to the right and above point "A".
Les tensions V_{CEO} sont acceptables lorsque la trace passe au-delà du point A.

SWITCHING TIMES TEST CIRCUITS (and oscillograms)
CIRCUITS DE MESURE DES TEMPS DE COMMUTATION (et oscilloscopes) (fig. 2)



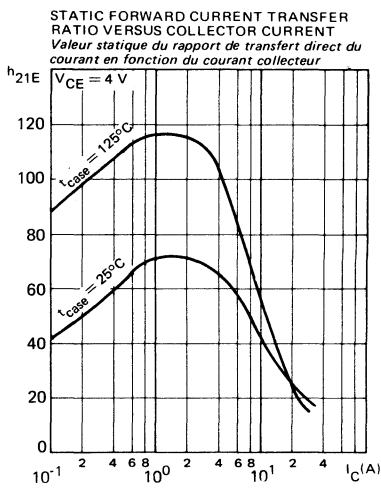
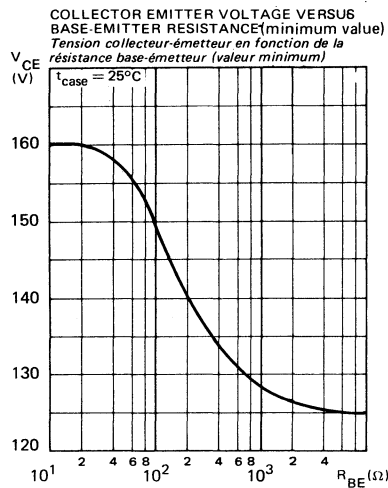
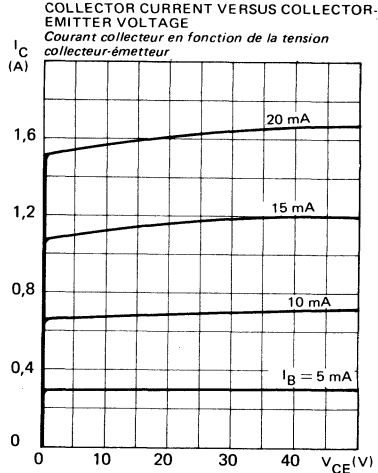
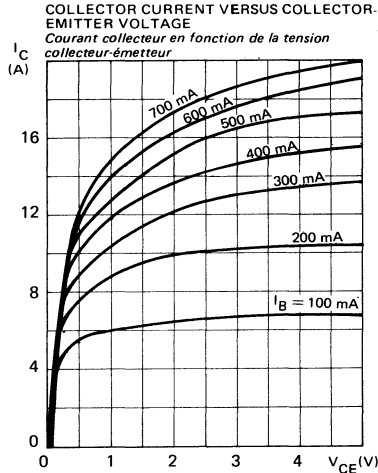
I_{B1} and I_{B2} measured with Tektronix probe P 6021 and Amplifier type 134

I_{B1} et I_{B2} sont mesurés avec une sonde Tektronix P 6021 et Amplificateur type 134

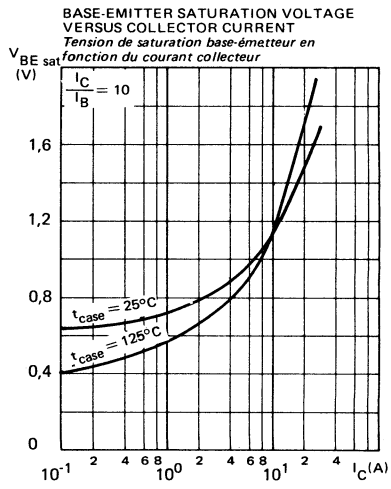
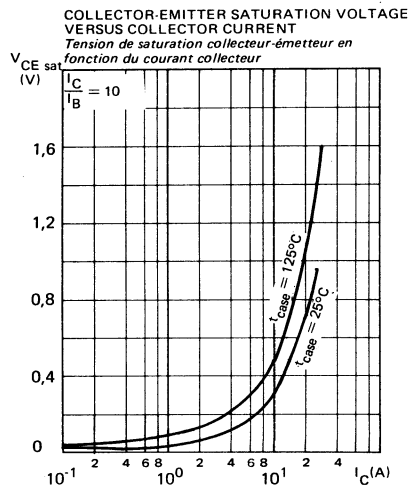
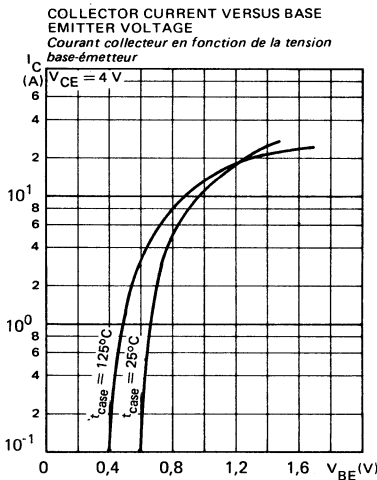
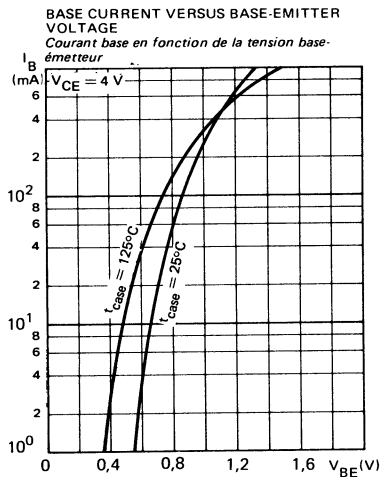
$R_C - R_B$: non inductive resistances
 t_p : Pulse width = 10 μs
 Forme factor $\leq 1\%$
 Rise and fall time $\leq 100 \text{ ns}$

$R_C - R_B$: résistances non inductives
 t_p : Largeur d'impulsion = 10 μs
 Facteur de forme $\leq 1\%$
 Temps de montée et descente $\leq 100 \text{ ns}$

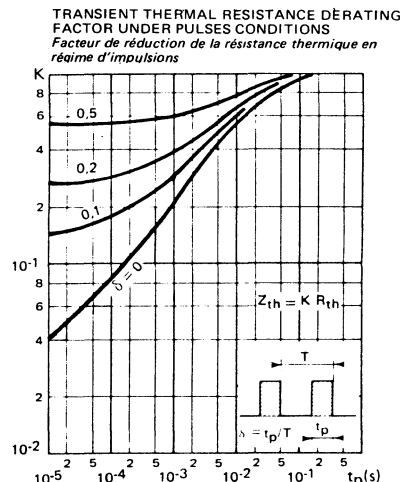
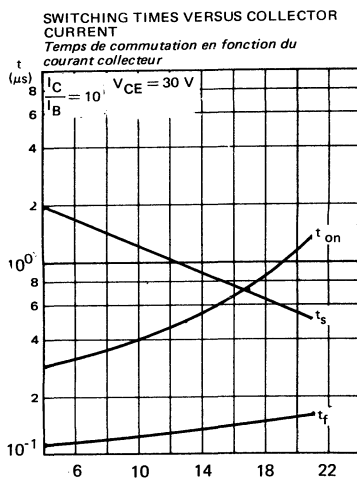
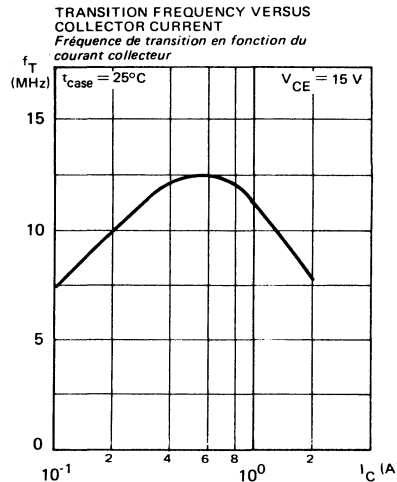
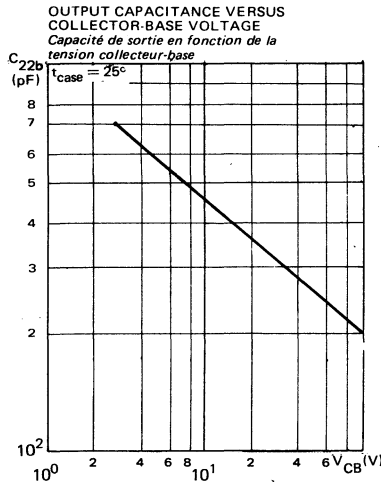
TYPICAL CHARACTERISTICS
CARACTÉRISTIQUES TYPHIQUES



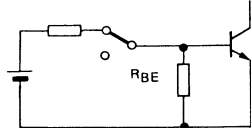
TYPICAL CHARACTERISTICS
CARACTÉRISTIQUES TYPIQUES



TYPICAL CHARACTERISTICS
CARACTÉRISTIQUES TYPIQUES



SWITCHING OPERATING AND OVERLOAD AREAS



TRANSISTOR FORWARD BIASED

- During the turn on
- During the turn off without negative base-emitter voltage and $R_{BE} \geq 3 \Omega$

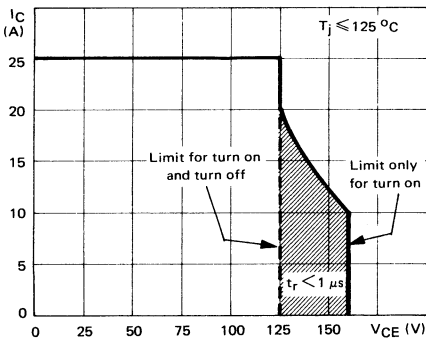
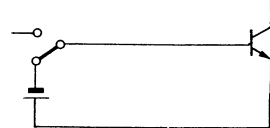


FIGURE 1 : Forward biased safe operating area
(FBSOA)



TRANSISTOR REVERSE BIASED

- During the turn off with negative base-emitter voltage

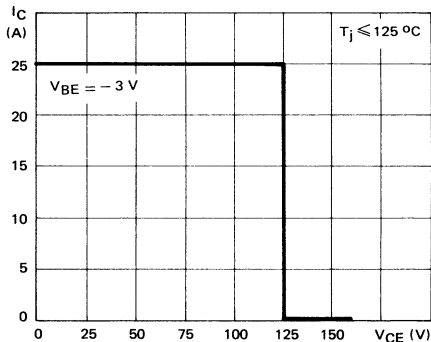


FIGURE 2 : Reverse biased safe operating area
(RBSOA)

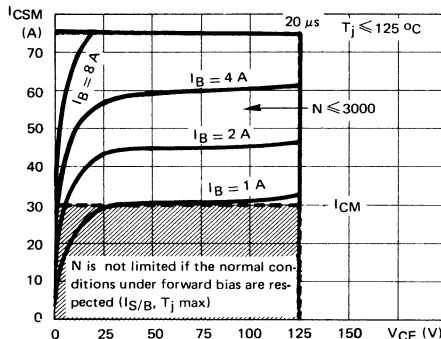


FIGURE 3 : Forward biased accidental overload area
(FBAOA)

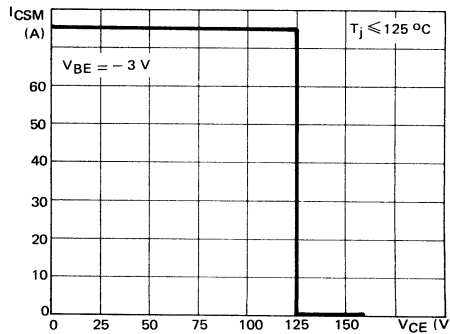


FIGURE 4 : Reverse biased accidental overload area
(RBAOA)

Figure 1 : The hatched zone can only be used for turn on.

Figures 3 and 4 : High accidental surge currents ($I > I_{CM}$) are allowed if they are non repetitive and applied less than 3000 times during the component life.

Figure 3 : The Kellogg network ('heavy print') allows the calculation of the maximum value of the short-circuit current for a given base current I_B (90% confidence).

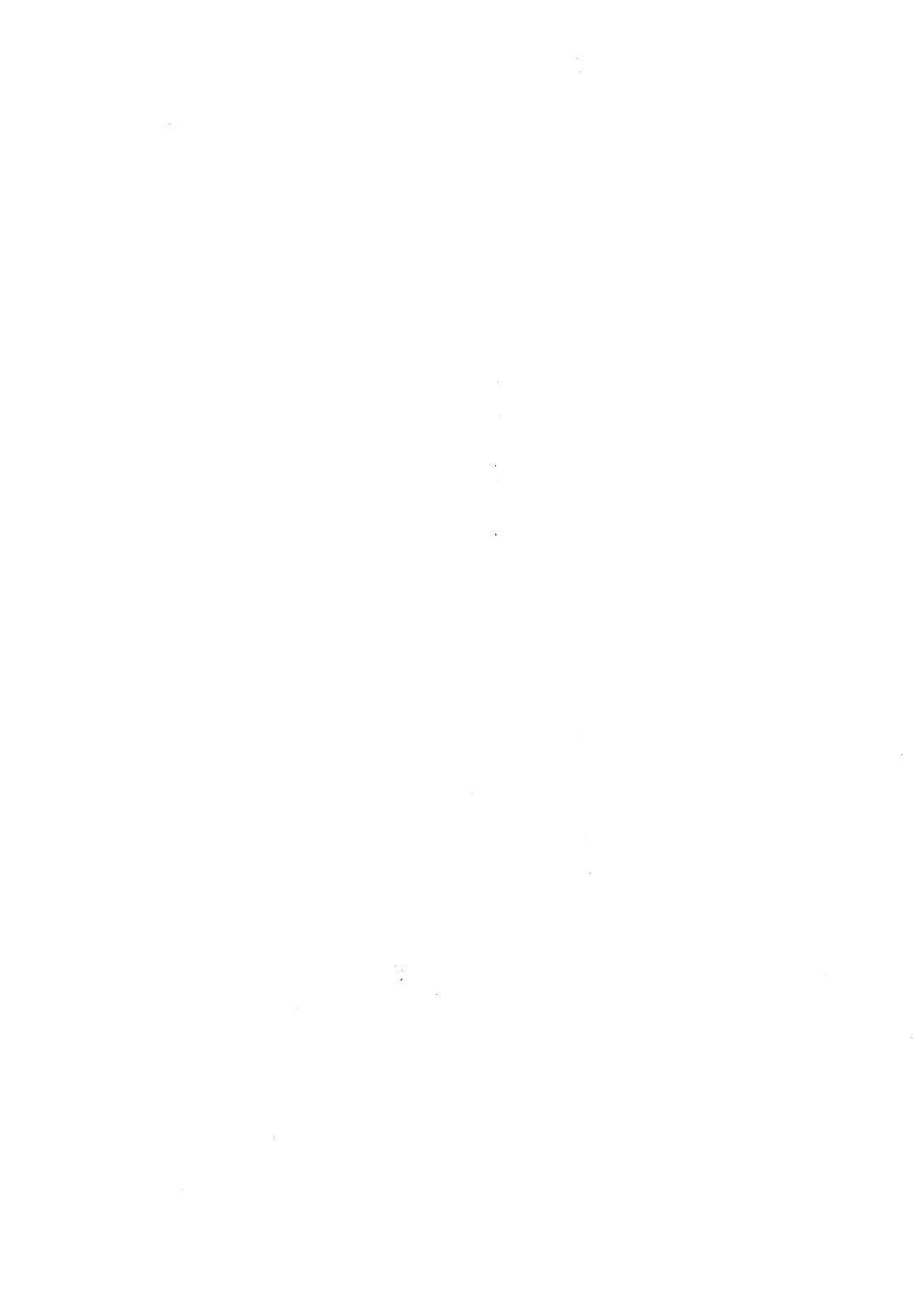
Figure 4 : After the accidental overload current, the RBAOA has to be used for the turn off.

Figure 1 : La zone hachurée ne doit être utilisée que pour la mise en conduction.

Figures 3 et 4 : De forts courants de surcharge ($I > I_{CM}$) sont permis s'ils sont non répétitifs et appliqués moins de 3000 fois dans la vie du composant.

Figure 3 : Le réseau de Kellogg ('trait gras') permet le calcul de la valeur maximale du courant de court-circuit pour un courant de base donné I_B (90 % de confiance).

Figure 4 : Après le passage du courant de surcharge accidentelle, on doit utiliser l'aire de surcharge accidentelle en polarisation inverse pour l'ouverture.



SUPERSWITCH

HIGH SPEED TRANSISTORS SUITED FOR LOW VOLTAGE APPLICATIONS:

HIGH FREQUENCY INVERTERS
SWITCHING REGULATORS
MOTOR CONTROLS

- * High current capabilities
- * Fast turn-on and turn-off

* S.O.A.R specified for : linear mode, switching mode, accidental surge

TRANSISTOR TRES RAPIDE, ADAPTE AUX APPLICATIONS BASSE TENSION :

GENERATEURS HAUTE FREQUENCE
REGULATEURS A DECOUPAGE
COMMANDE DE MOTEURS

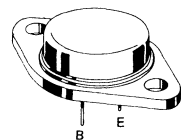
- * Possibilités élevées en courant

* Mise en conduction et blocage rapides

* Aire de sécurité définie : en régime linéaire, en régime de commutation en régime de surcharge accidentelle

| | |
|----------------|------------------|
| V_{CEO} sus | 200 V |
| V_{CE} | 250 V |
| I_{Csat} | 12 A |
| I_{CSM} | 70 A |
| t_f (12 A) | $\leq 0,4 \mu s$ |

Case
Boîtier TO 3 (CB 19)



ABSOLUTE RATINGS (LIMITING VALUES) VALEURS LIMITES ABSOLUES D'UTILISATION

| | | | | |
|---|-----------------------|-----------|------------|------------|
| Collector-base voltage <i>Tension collecteur-base</i> | V_{CBO} | 250 | V | |
| Collector-emitter voltage <i>Tension collecteur-émetteur</i> | V_{CEO} | 200 | V | |
| Collector-emitter voltage <i>Tension collecteur-émetteur</i> | $R_{BE} = 100 \Omega$ | V_{CER} | 240 | V |
| Collector-emitter voltage <i>Tension collecteur-émetteur</i> | $V_{BE} = -1,5 V$ | V_{CEX} | 250 | V |
| Emitter-base voltage <i>Tension émetteur-base</i> | V_{EBO} | 7 | V | |
| Collector current <i>Courant collecteur</i> | $t_p = 10 \text{ ms}$ | I_C | 20 | A |
| Base current <i>Courant base</i> | | I_{CM} | 25 | A |
| Power dissipation <i>Dissipation de puissance</i> | $T_{case} 25^\circ C$ | I_B | 4 | A |
| Junction temperature <i>Température de jonction</i> | | P_{tot} | 150 | W |
| | | t_j | - 65 + 200 | $^\circ C$ |

| | | | | |
|--|-----|---------------|------|--------------|
| Junction-case thermal resistance <i>Résistance thermique jonction boîtier</i> | max | $R_{th(j-c)}$ | 1,17 | $^\circ C/W$ |
|--|-----|---------------|------|--------------|

STATIC CHARACTERISTICS
CARACTÉRISTIQUES STATIQUES

$t_{case} = 25^\circ\text{C}$

(Unless otherwise stated)
(Sauf indications contraires)

| | Test conditions Conditions de mesure | | | Min. | Typ. | Max. |
|---|---|----------------|--|------|------|------|
| Collector-emitter cut-off current <i>Courant résiduel collecteur-émetteur</i> | $V_{CE} = 160\text{ V}$ $I_B = 0$ | I_{CEO} | | | 1,5 | mA |
| Collector-emitter cut-off current <i>Courant résiduel collecteur-émetteur</i> | $V_{CE} = 250\text{ V}$ $V_{BE} = -1,5\text{ V}$ | I_{CEX} | | | 1,5 | mA |
| | $V_{CE} = 250\text{ V}$ $V_{BE} = -1,5\text{ V}$ $t_{case} = 125^\circ\text{C}$ | | | | 6 | mA |
| Emitter-base cut-off current <i>Courant résiduel émetteur-base</i> | $V_{EB} = 5\text{ V}$ $I_C = 0$ | I_{EBO} | | | 1 | mA |
| Collector-emitter breakdown voltage <i>Tension de claquage collecteur-émetteur</i> (fig. 1) | $I_C = 200\text{ mA}$ $I_B = 0$ $L = 25\text{ mH}$ | $V_{CEO(sus)}$ | | 200 | | v |
| Emitter-base breakdown voltage <i>Tension de claquage émetteur-base</i> | $I_E = 50\text{ mA}$ $I_C = 0$ | $V_{(BR)EBO}$ | | 7 | | v |
| Static forward current transfer ratio <i>Valeur statique du rapport de transfert direct du courant</i> | $V_{CE} = 2\text{ V}$ $I_C = 6\text{ A}$ | h_{21E}^* | | 20 | 60 | |
| | $V_{CE} = 4\text{ V}$ $I_C = 12\text{ A}$ | | | 10 | | |
| Collector-emitter saturation voltage <i>Tension de saturation collecteur-émetteur</i> | $I_C = 6\text{ A}$ $I_B = 0,6\text{ A}$ | V_{CEsat}^* | | 0,3 | 0,6 | v |
| | $I_C = 12\text{ A}$ $I_B = 1,5\text{ A}$ | | | 0,7 | 1,5 | v |
| Base-emitter saturation voltage <i>Tension de saturation base-émetteur</i> | $I_C = 12\text{ A}$ $I_B = 1,5\text{ A}$ | V_{BESat}^* | | 1,2 | 1,5 | v |
| Second breakdown collector current <i>Courant collecteur de second claquage</i> | $V_{CE} = 140\text{ V}$ $t = 1\text{ s}$ | $I_{S/B}$ | | 0,15 | | A |
| | $V_{CE} = 30\text{ V}$ $t = 1\text{ s}$ | | | 5 | | A |

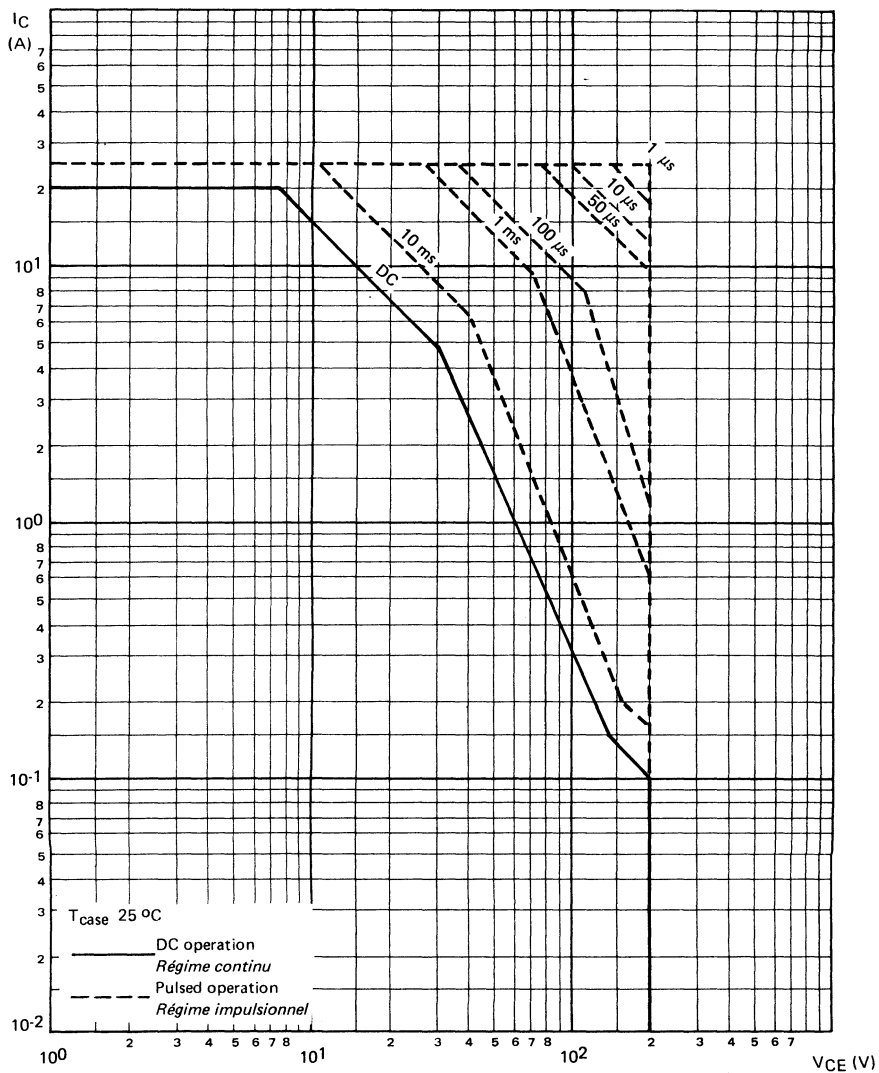
* Pulsed
Impulsions $t_p = 300\text{ }\mu\text{s}$ $\delta \leq 2\%$

DYNAMIC CHARACTERISTICS (for small signals)
CARACTÉRISTIQUES DYNAMIQUES (pour petits signaux)

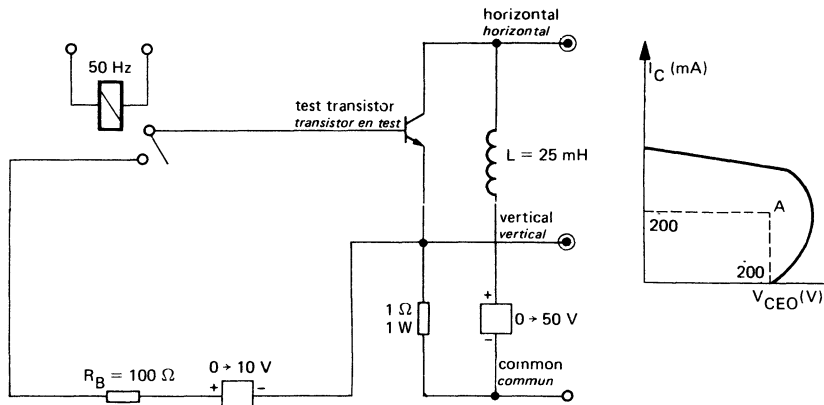
(Unless otherwise stated)
(Sauf indications contraires)

| | Test conditions <i>Conditions de mesure</i> | | | Min. | Typ. | Max. | |
|---|---|-------------|--|------|------|------|---------------|
| Transition frequency <i>Fréquence de transition</i> | $V_{CE} = 15 \text{ V}$ $I_C = 1 \text{ A}$ $f = 10 \text{ MHz}$ | t_f | | 8 | | | MHz |
| Turn-on time <i>Temps total d'établissement</i> (fig. 2) | $I_C = 12 \text{ A}$ $I_B = 1,5 \text{ A}$ | $t_d + t_r$ | | 0,45 | 1 | | μs |
| Fall time <i>Temps de décroissance</i> (fig. 2) | $I_C = 12 \text{ A}$ $I_{B1} = 1,5 \text{ A}$ $I_{B2} = -1,5 \text{ A}$ | t_f | | 0,2 | 0,4 | | μs |
| Carrier storage time <i>Retard à la décroissance</i> (fig. 2) | $I_C = 12 \text{ A}$ $I_{B1} = 1,5 \text{ A}$ $I_{B2} = -1,5 \text{ A}$ | t_s | | 1,2 | 1,8 | | μs |

SAFE OPERATING AREA
AIRE DE SECURITE



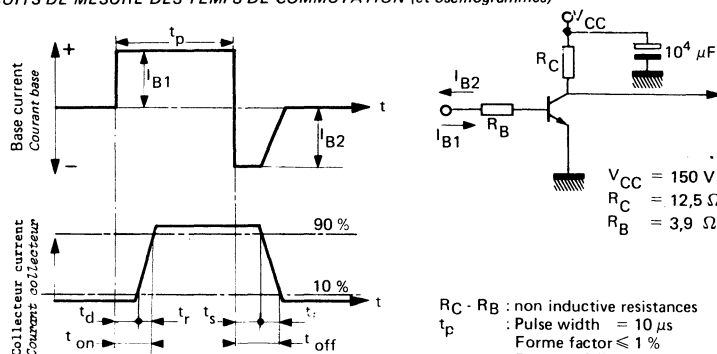
TEST CIRCUIT $V_{CEO(sus)}$ (fig. 1)



Note :

The sustaining voltage V_{CEO} is acceptable when the trace falls to the right and above point "A".
Les tensions V_{CEO} sont acceptables lorsque la trace passe au-delà du point A.

SWITCHING TIMES TEST CIRCUITS (and oscillograms)
CIRCUITS DE MESURE DES TEMPS DE COMMUTATION (et oscilloscopes) (fig. 2)



I_{B1} and I_{B2} measured with Tektronix probe P 6021 and Amplifier type 134

I_{B1} et I_{B2} sont mesurés avec une sonde Tektronix P 6021 et Amplificateur type 134

$R_C - R_B$: non inductive resistances

t_p : Pulse width = $10 \mu\text{s}$

Forme factor $\leq 1 \%$

Rise and fall time $\leq 100 \text{ ns}$

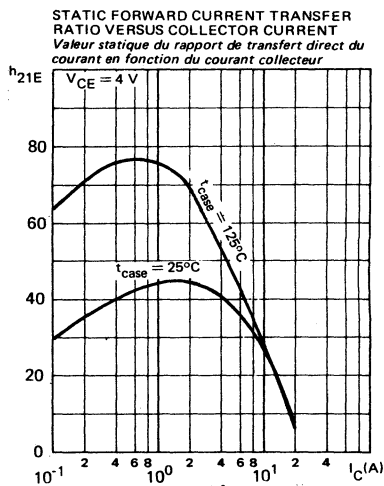
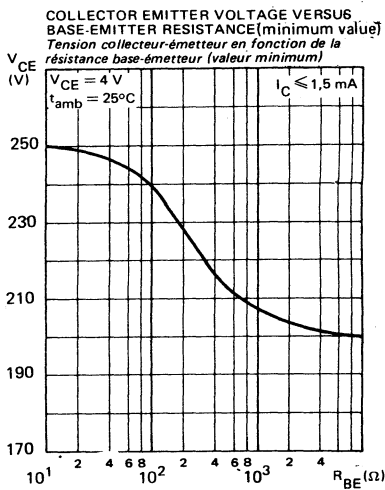
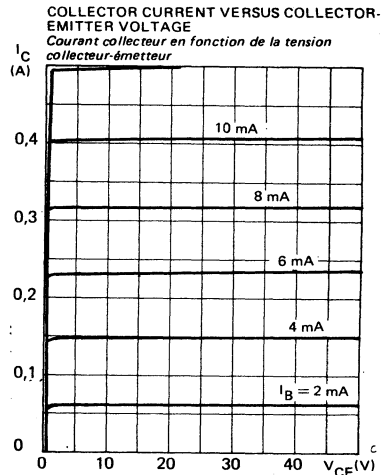
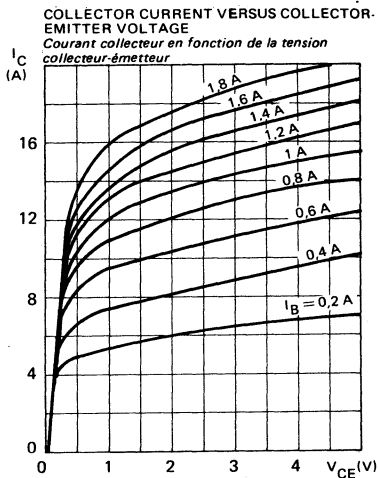
$R_C - R_B$: résistances non inductives

t_p : Largeur d'impulsion = $10 \mu\text{s}$

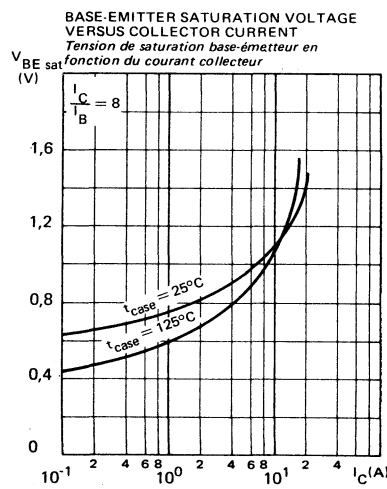
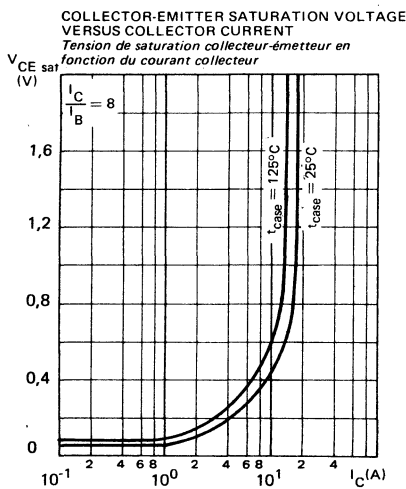
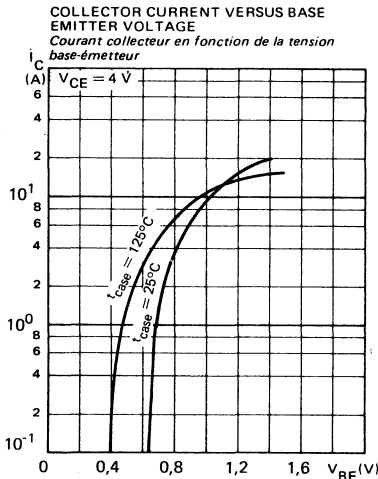
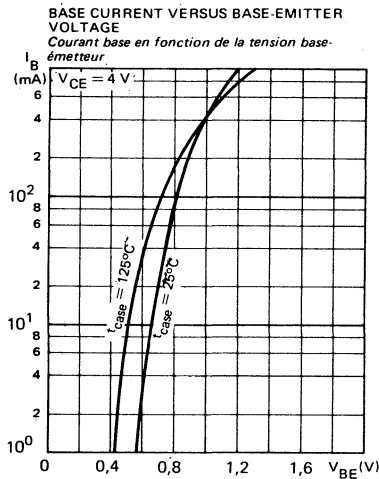
Facteur de forme $\leq 1 \%$

Temps de montée et descente $\leq 100 \text{ ns}$

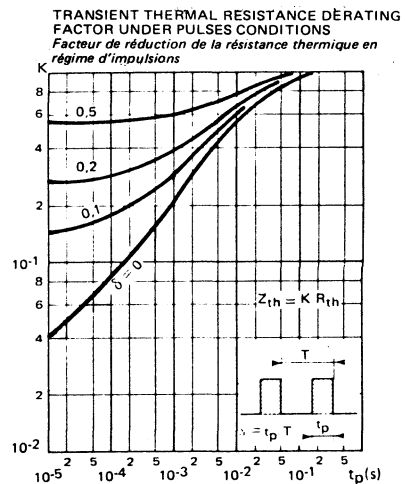
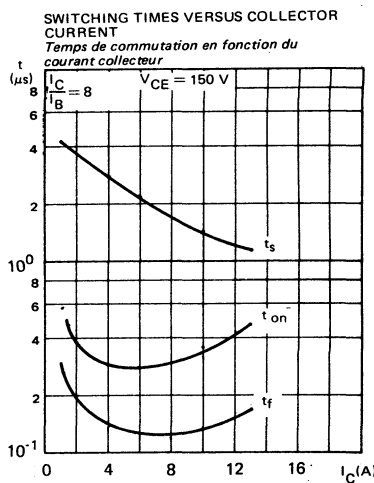
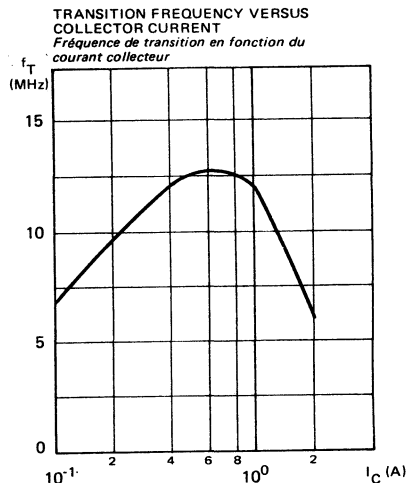
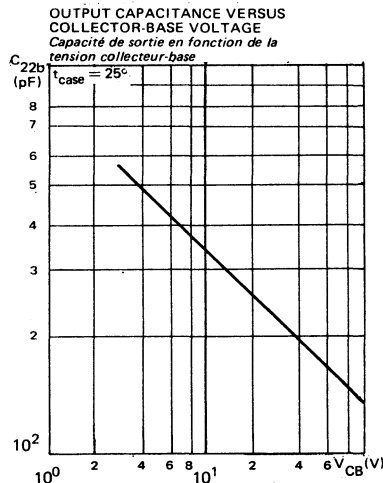
TYPICAL CHARACTERISTICS
CARACTÉRISTIQUES TYPIQUES



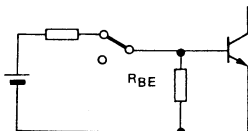
TYPICAL CHARACTERISTICS
CARACTÉRISTIQUES TYPIQUES



TYPICAL CHARACTERISTICS
CARACTÉRISTIQUES TYPIQUES



SWITCHING OPERATING AND OVERLOAD AREAS



TRANSISTOR FORWARD BIASED

- During the turn on
- During the turn off without negative base-emitter voltage and $R_{BE} \geq 5 \Omega$

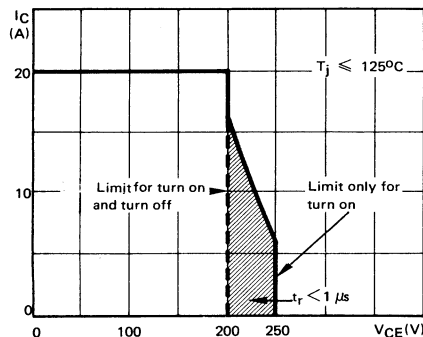
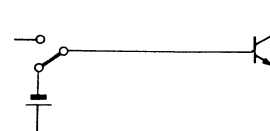


FIGURE 1 : Forward biased safe operating area (FBSOA)



TRANSISTOR REVERSE BIASED

- During the turn off with negative base-emitter voltage

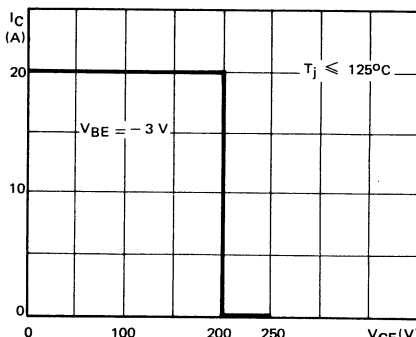


FIGURE 2 : Reverse biased safe operating area (RBSOA)

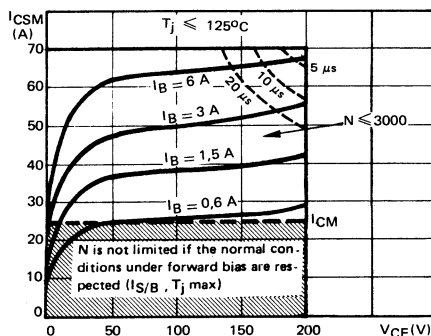


FIGURE 3 : Forward biased accidental overload area (FBAOA)

Figure 1 : The hatched zone can only be used for turn on.

Figures 3 and 4 : High accidental surge currents ($I > I_{CM}$) are allowed if they are non repetitive and applied less than 3000 times during the component life.

Figure 3 : The Kellogg network ('heavy print') allows the calculation of the maximum value of the short-circuit current for a given base current I_B (90 % confidence).

Figure 4 : After the accidental overload current, the RBAOA has to be used for the turn off.

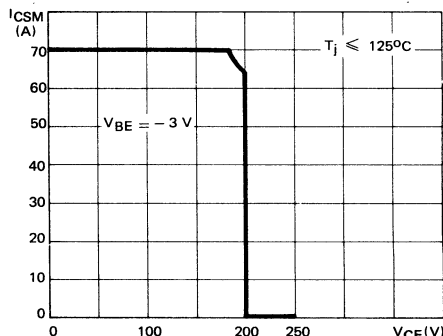


FIGURE 4 : Reverse biased accidental overload area (RBAOA)

Figure 1 : La zone hachurée ne doit être utilisée que pour la mise en conduction.

Figures 3 et 4 : De forts courants de surcharge ($I > I_{CM}$) sont permis s'ils sont non répétitifs et appliqués moins de 3000 fois dans la vie du composant.

Figure 3 : Le réseau de Kellogg (trait gras) permet le calcul de la valeur maximale du courant de court-circuit pour un courant de base donné I_B (90 % de confiance).

Figure 4 : Après le passage du courant de surcharge accidentelle, on doit utiliser l'aire de surcharge accidentelle en polarisation inverse pour l'ouverture.



NPN SILICON TRANSISTOR, TRIPLE DIFFUSED
 TRANSISTOR SILICIUM NPN, TRIPLE DIFFUSÉ

High speed, high current, high power transistor

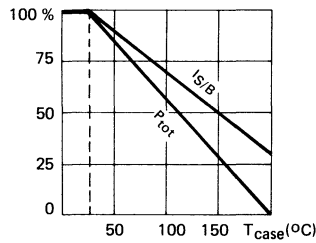
Transistor de puissance rapide, fort courant

Switching and amplifier transistor

Transistor d'amplification et de commutation

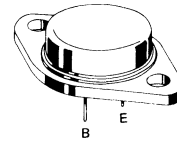
Dissipation and IS/B derating

Variation de dissipation et de IS/B



| | |
|-------------------------|-------------|
| V _{CEO} | 160 V |
| I _C | 20 A |
| P _{tot} | 150 W |
| R _{th(j-c)} | ≤ 1,17 °C/W |
| t _f (15 A) | ≤ 0,5 µs |

Case
Boîtier TO 3 (CB 19)



ABSOLUTE RATINGS (LIMITING VALUES)
 VALEURS LIMITES ABSOLUES D'UTILISATION

| | | | |
|---|------------------------------------|-------------------|----|
| Collector-base voltage <i>Tension collecteur-base</i> | V _{CBO} | 220 | *V |
| Collector-emitter voltage <i>Tension collecteur-émetteur</i> | V _{CEO} | 160 | V |
| Collector-emitter voltage <i>Tension collecteur-émetteur</i> | V _{CER} | 200 | V |
| Collector-emitter voltage <i>Tension collecteur-émetteur</i> | V _{CEX} | 220 | V |
| Emitter-base voltage <i>Tension émetteur-base</i> | V _{EBO} | 7 | V |
| Collector current <i>Courant collecteur</i> | I _C | 20 | A |
| Collector current <i>Courant collecteur</i> | I _{CM} | 25 | A |
| Base current <i>Courant base</i> | I _B | 5 | A |
| Power dissipation <i>Dissipation de puissance</i> | P _{tot} | 150 | W |
| Storage and junction temperature <i>Température de jonction et de stockage</i> | t _j T _{stg} | 200 - 65 + 200 | °C |

Junction-case thermal resistance
Résistance thermique jonction boîtier

max

R_{th(j-c)}

1,17

°C/W

STATIC CHARACTERISTICS
CARACTÉRISTIQUES STATIQUES

$t_{case} = 25^\circ C$

(Unless otherwise stated)
(Sauf indications contraires)

| | Test conditions Conditions de mesure | | | Min. | Typ. | Max. |
|---|---|----------------|--|------|------|------|
| Collector-emitter cut-off current <i>Courant résiduel collecteur-émetteur</i> | $V_{CE} = 130 V$ $I_B = 0$ | I_{CEO} | | | 1,5 | mA |
| Collector-emitter cut-off current <i>Courant résiduel collecteur-émetteur</i> | $V_{CE} = 220 V$ $V_{BE} = -1,5 V$ | I_{CEX} | | | 1,5 | mA |
| | $V_{CE} = 220 V$ $V_{BE} = -1,5 V$ $t_{case} = 125^\circ C$ | | | | 6 | mA |
| Emitter-base cut-off current <i>Courant résiduel émetteur-base</i> | $V_{EB} = 5 V$ $I_C = 0$ | I_{EBO} | | | 1 | mA |
| Collector-emitter breakdown voltage <i>Tension de claquage collecteur-émetteur</i> (fig. 1) | $I_C = 200 mA$ $I_B = 0$ $L = 25 mH$ | $V_{CEO(sus)}$ | | 160 | | V |
| Emitter-base breakdown voltage <i>Tension de claquage émetteur-base</i> | $I_E = 50 mA$ $I_C = 0$ | $V_{(BR)EBO}$ | | 7 | | V |
| Static forward current transfer ratio <i>Valeur statique du rapport de transfert direct du courant</i> | $V_{CE} = 2 V$ $I_C = 8 A$ | h_{21E}^* | | 20 | 60 | |
| | $V_{CE} = 4 V$ $I_C = 15 A$ | | | 10 | | |
| Collector-emitter saturation voltage <i>Tension de saturation collecteur-émetteur</i> | $I_C = 8 A$ $I_B = 0,8 A$ | V_{CEsat}^* | | 0,3 | 0,6 | V |
| | $I_C = 15 A$ $I_B = 1,88 A$ | | | 0,8 | 1,5 | V |
| Base-emitter saturation voltage <i>Tension de saturation base-émetteur</i> | $I_C = 15 A$ $I_B = 1,88 A$ | V_{BEsat}^* | | 1,4 | 1,8 | V |
| Second breakdown collector current <i>Courant collecteur de second claquage</i> | $V_{CE} = 140 V$ $t = 1 s$ | $I_{S/B}$ | | 0,15 | | A |
| | $V_{CE} = 30 V$ $t = 1 s$ | | | 5 | | A |

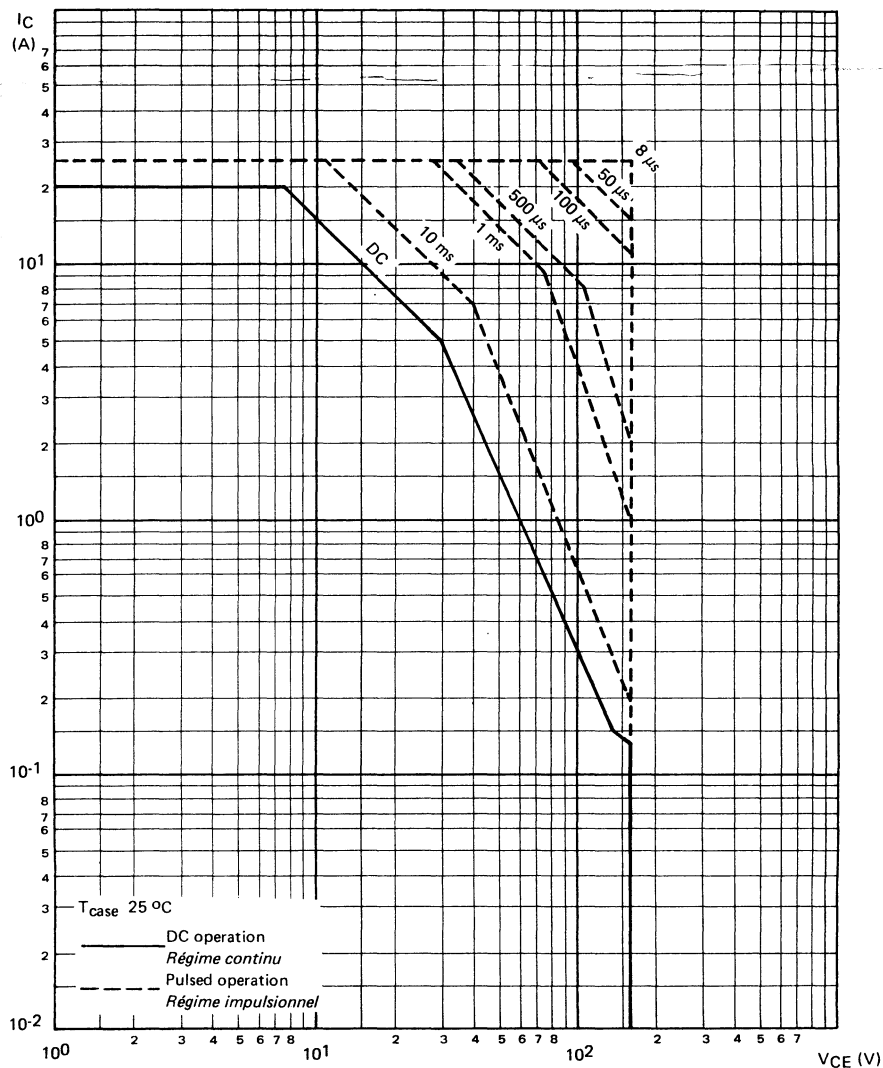
* Pulsed $t_p = 300 \mu s$ $\delta \leq 2\%$

DYNAMIC CHARACTERISTICS (for small signals)
CARACTÉRISTIQUES DYNAMIQUES (pour petits signaux)

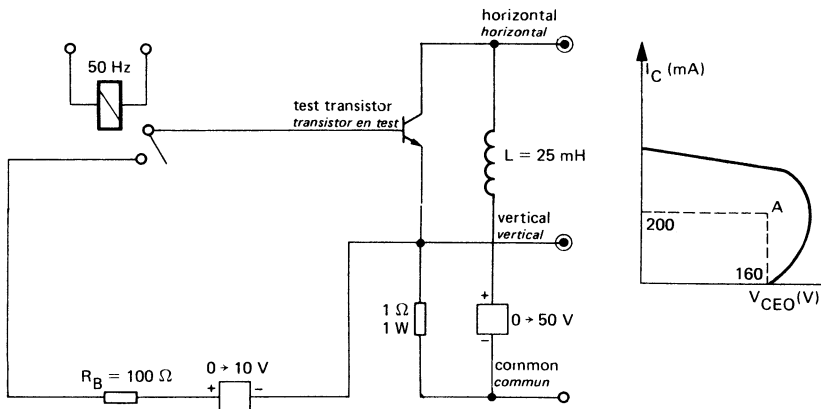
(Unless otherwise stated)
(Sauf indications contraires)

| | Test conditions <i>Conditions de mesure</i> | | | Min. | Typ. | Max. |
|---|--|---|-------------|------|----------|---------------|
| Transition frequency <i>Fréquence de transition</i> | $V_{CE} = 15 \text{ V}$ $I_C = 1 \text{ A}$ $f = 10 \text{ MHz}$ | f_T | | 8 | | MHz |
| Turn-on time <i>Temps total d'établissement</i> | (fig. 2) | $I_C = 15 \text{ A}$ $I_{B1} = 1,88 \text{ A}$ | $t_d + t_r$ | | 0,75 1,5 | μs |
| Fall time <i>Temps de décroissance</i> | (fig. 2) | $I_C = 15 \text{ A}$ $I_{B1} = 1,88 \text{ A}$ $I_{B2} = -1,88 \text{ A}$ | t_f | | 0,3 0,5 | μs |
| Carrier storage time <i>Retard à la décroissance</i> | (fig. 2) | $I_C = 15 \text{ A}$ $I_{B1} = 1,88 \text{ A}$ $I_{B2} = -1,88 \text{ A}$ | t_s | | 0,9 1,5 | μs |

SAFE OPERATING AREA
AIRE DE SECURITE



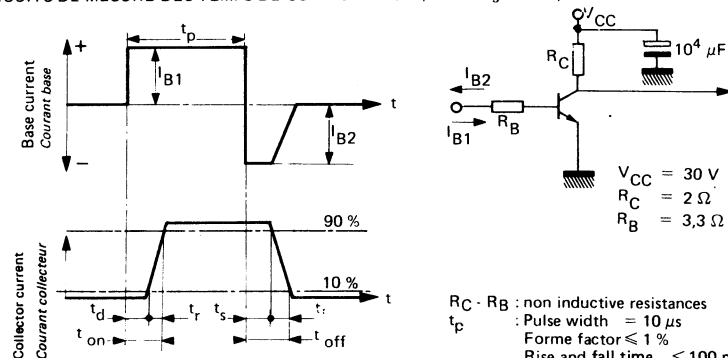
TEST CIRCUIT $V_{CEO(sus)}$ (fig. 1)



Note :

The sustaining voltage V_{CEO} is acceptable when the trace falls to the right and above point "A".
 Les tensions V_{CEO} sont acceptables lorsque la trace passe au-delà du point A.

SWITCHING TIMES TEST CIRCUITS (and oscillograms)
CIRCUITS DE MESURE DES TEMPS DE COMMUTATION (et oscillogrammes) (fig. 2)



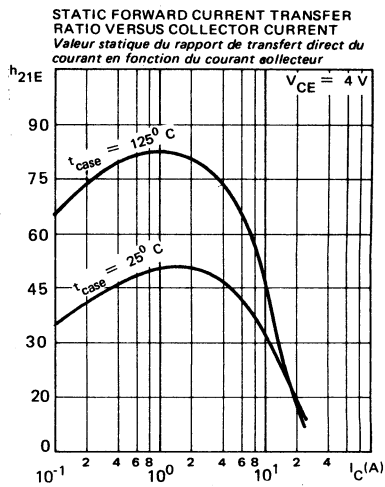
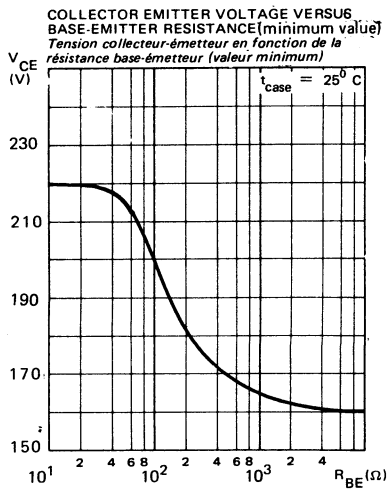
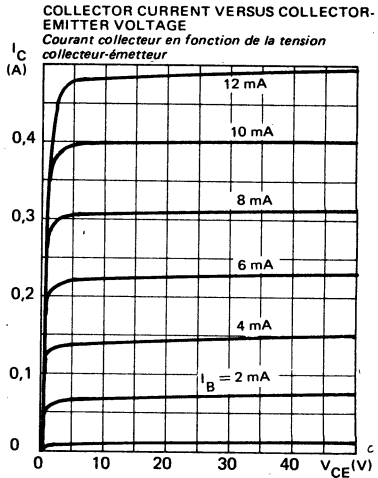
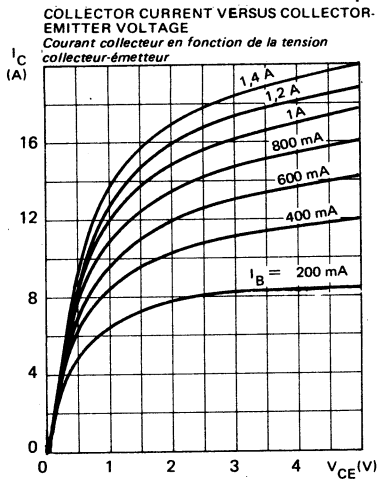
I_{B1} and I_{B2} measured with Tektronix probe P 6021 and Amplifier type 134

I_{B1} et I_{B2} sont mesurés avec une sonde Tektronix P 6021 et Amplificateur type 134

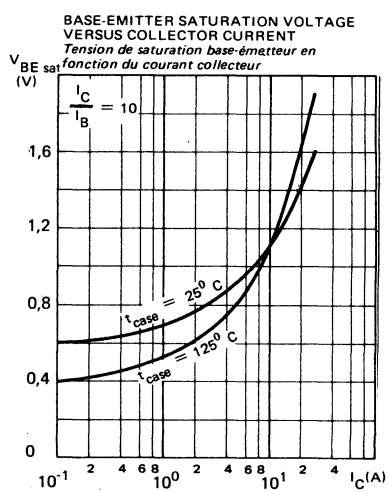
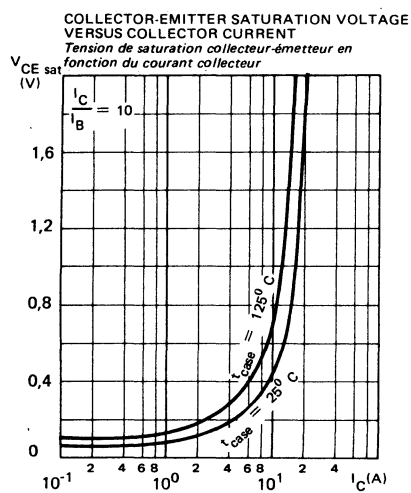
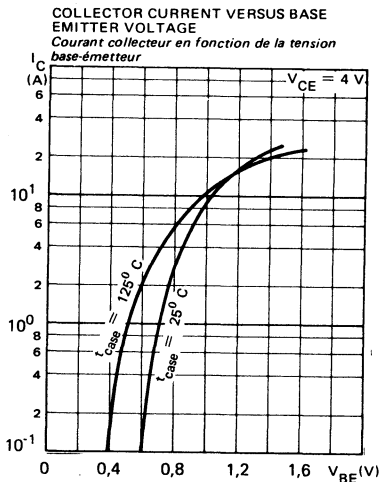
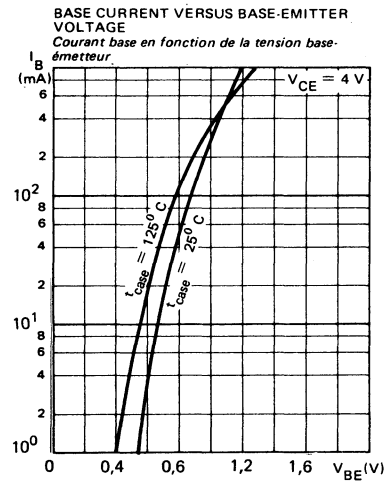
$R_C \cdot R_B$: non inductive resistances
 t_p : Pulse width = 10 μs
 Forme factor $\leqslant 1\%$
 Rise and fall time $\leqslant 100 \text{ ns}$

$R_C \cdot R_B$: résistances non inductives
 t_p : Largeur d'impulsion = 10 μs
 Facteur de forme $\leqslant 1\%$
 Temps de montée et descente $\leqslant 100 \text{ ns}$

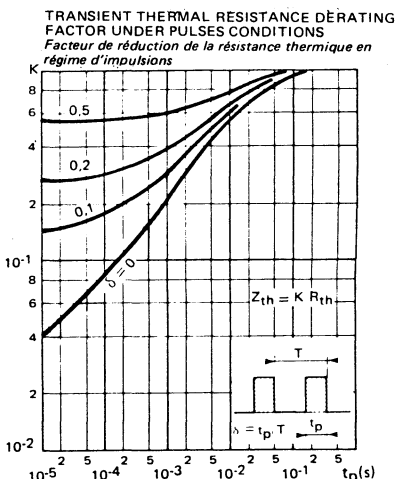
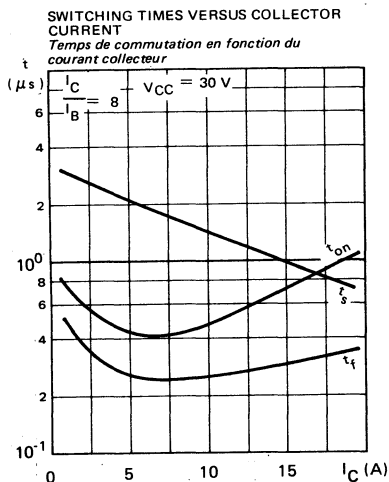
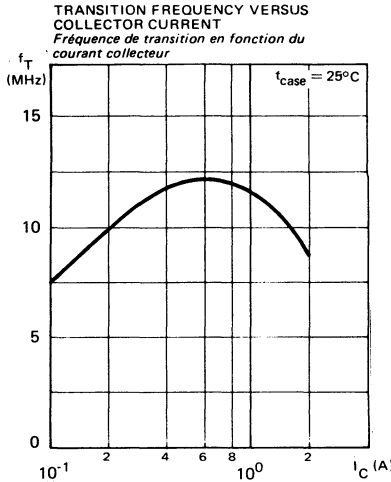
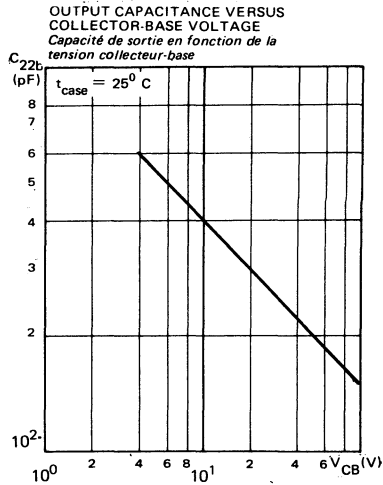
TYPICAL CHARACTERISTICS
CARACTÉRISTIQUES TYPIQUES



TYPICAL CHARACTERISTICS
CARACTÉRISTIQUES TYPIQUES



TYPICAL CHARACTERISTICS
CARACTÉRISTIQUES TYPIQUES

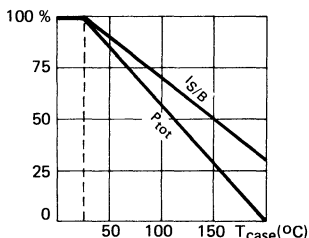


High speed, high voltage, high power transistor
Transistor de puissance rapide, haute tension

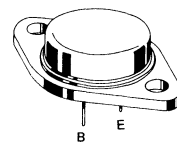
Switching and amplifier transistor
Transistor d'amplification et de commutation

| | |
|--------------------|--------------------|
| V_{CEO} | 250 V |
| I_C | 20 A |
| P_{tot} | 150 W |
| V_{CEsat} (10 A) | $\leq 1,5$ V |
| t_f (10 A) | $\leq 0,5$ μ s |

Dissipation and I_S/B derating
Variation de dissipation et de I_S/B



Case
Boîtier TO 3 (CB 19)



ABSOLUTE RATINGS (LIMITING VALUES)
VALEURS LIMITES ABSOLUES D'UTILISATION

| | | | | |
|---|-----------------------|--------------------|--------------------|----|
| Collector-base voltage <i>Tension collecteur-base</i> | | V_{CBO} | 300 | V |
| Collector-emitter voltage <i>Tension collecteur-émetteur</i> | | V_{CEO} | 250 | V |
| Collector-emitter voltage <i>Tension collecteur-émetteur</i> | $R_{BE} = 100 \Omega$ | V_{CER} | 290 | V |
| Collector-emitter voltage <i>Tension collecteur-émetteur</i> | $V_{BE} = -1,5$ V | V_{CEX} | 300 | V |
| Emitter-base voltage <i>Tension émetteur-base</i> | | V_{EBO} | 7 | V |
| Collector current <i>Courant collecteur</i> | $t_p = 10$ ms | I_C I_{CM} | 20 25 | A |
| Base current <i>Courant base</i> | | I_B | 4 | A |
| Power dissipation <i>Dissipation de puissance</i> | $T_{case} 25$ °C | P_{tot} | 150 | W |
| Storage and junction temperature <i>Température de jonction et de stockage</i> | max | t_j T_{stg} | 200 $-65 + 200$ | °C |

Junction-case thermal resistance
Résistance thermique jonction boîtier

max

$R_{th(j-c)}$

1,17

°C/W

STATIC CHARACTERISTICS
CARACTÉRISTIQUES STATIQUES
 $t_{case} = 25^\circ\text{C}$ (Unless otherwise stated)
(Sauf indications contraires)

| | Test conditions Conditions de mesure | | | Min. | Typ. | Max. |
|---|---|-----------------------|--|------|------|------|
| Collector-emitter cut-off current <i>Courant résiduel collecteur-émetteur</i> | $V_{CE} = 200 \text{ V}$ $I_B = 0$ | I_{CEO} | | | 1,5 | mA |
| Collector-emitter cut-off current <i>Courant résiduel collecteur-émetteur</i> | $V_{CE} = 300 \text{ V}$ $V_{BE} = -1,5 \text{ V}$ | I_{CEX} | | | 1,5 | mA |
| | $V_{CE} = 300 \text{ V}$ $V_{BE} = -1,5 \text{ V}$ $t_{case} = 125^\circ\text{C}$ | | | | 6 | mA |
| Emitter-base cut-off current <i>Courant résiduel émetteur-base</i> | $V_{EB} = 5 \text{ V}$ $I_C = 0$ | I_{EBO} | | | 1 | mA |
| Collector-emitter breakdown voltage <i>Tension de claquage collecteur-émetteur</i> (fig. 1) | $I_C = 200 \text{ mA}$ $I_B = 0$ $L = 25 \text{ mH}$ | $V_{CEO(\text{sus})}$ | | 250 | | V |
| Emitter-base breakdown voltage <i>Tension de claquage émetteur-base</i> | $I_E = 50 \text{ mA}$ $I_C = 0$ | $V_{(BR)EBO}$ | | 7 | | V |
| Static forward current transfer ratio <i>Valeur statique du rapport de transfert direct du courant</i> | $V_{CE} = 4 \text{ V}$ $I_C = 5 \text{ A}$ | h_{21E}^* | | 20 | 60 | |
| | $V_{CE} = 4 \text{ V}$ $I_C = 10 \text{ A}$ | | | 10 | | |
| Collector-emitter saturation voltage <i>Tension de saturation collecteur-émetteur</i> | $I_C = 5 \text{ A}$ $I_B = 0,5 \text{ A}$ | V_{CEsat}^* | | 0,2 | 1 | V |
| | $I_C = 10 \text{ A}$ $I_B = 1,25 \text{ A}$ | | | 0,5 | 1,5 | V |
| Base-emitter saturation voltage <i>Tension de saturation base-émetteur</i> | $I_C = 10 \text{ A}$ $I_B = 1,25 \text{ A}$ | V_{BESat}^* | | 1,2 | 1,5 | V |
| Second breakdown collector current <i>Courant collecteur de second claquage</i> | $V_{CE} = 140 \text{ V}$ $t = 1 \text{ s}$ | $I_{S/B}$ | | 0,15 | | A |
| | $V_{CE} = 30 \text{ V}$ $t = 1 \text{ s}$ | | | 5 | | A |

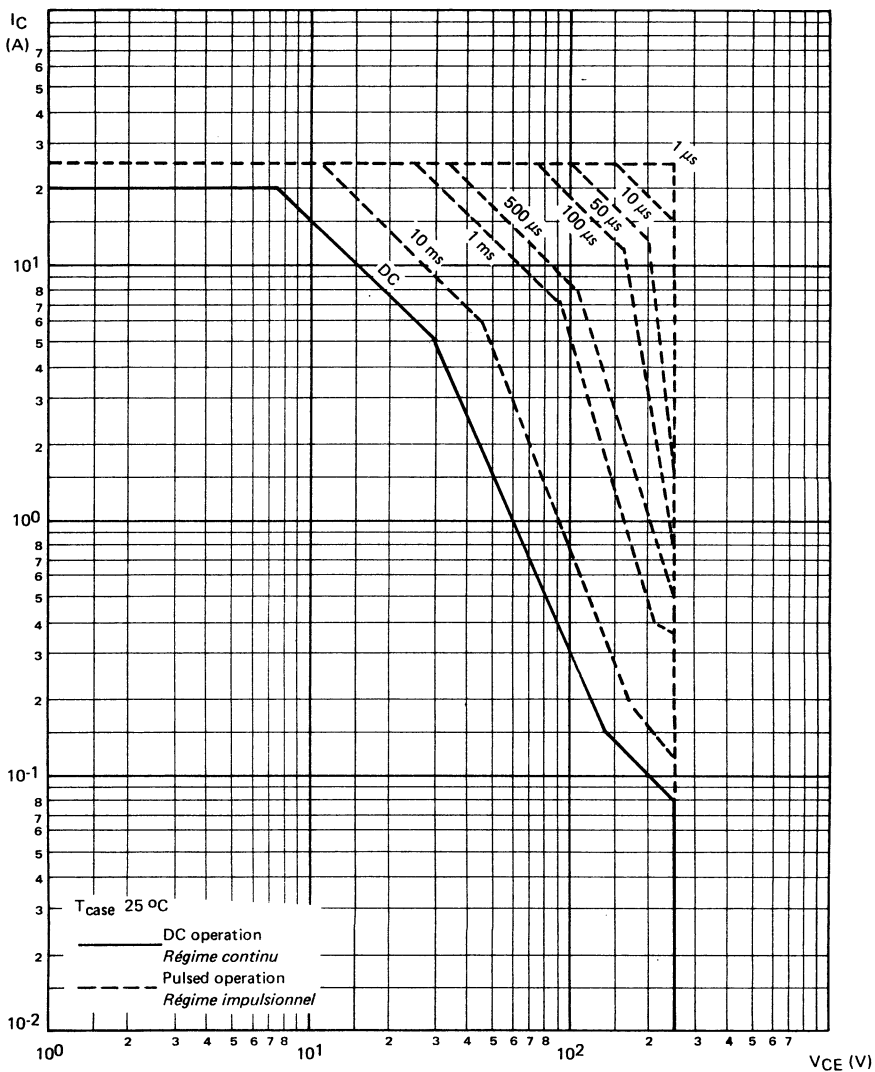
* Pulsed $t_p = 300 \mu\text{s}$ $\delta \leq 2\%$
Impulsions

DYNAMIC CHARACTERISTICS (for small signals)
CARACTÉRISTIQUES DYNAMIQUES (pour petits signaux)

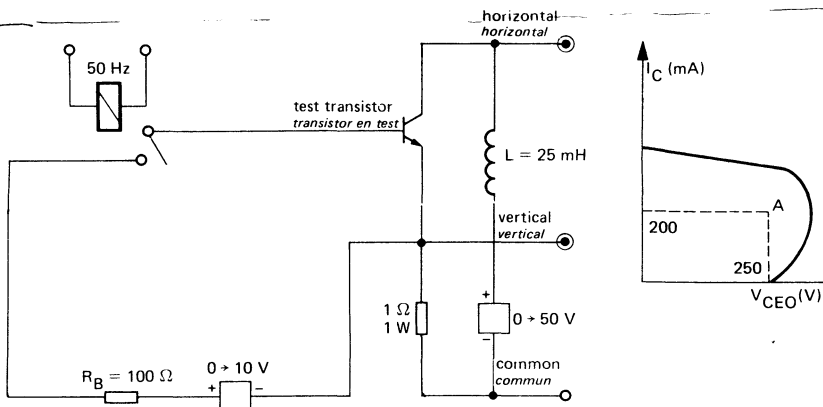
(Unless otherwise stated)
(Sauf indications contraires)

| | Test conditions <i>Conditions de mesure</i> | | | Min. | Typ. | Max. |
|--|---|-------------|--|------|------|---------------|
| Transition frequency <i>Fréquence de transition</i> | $V_{CE} = 15 \text{ V}$ $I_C = 1 \text{ A}$ $f = 10 \text{ MHz}$ | f_T | | 8 | | MHz |
| Turn-on time <i>Temps total d'établissement</i> : (fig. 2) | $I_C = 10 \text{ A}$ $I_B = 1,25 \text{ A}$ | $t_d + t_r$ | | 0,5 | 1 | μs |
| Fall time <i>Temps de décroissance</i> : (fig. 2) | $I_C = 10 \text{ A}$ $I_{B1} = 1,25 \text{ A}$ $I_{B2} = -1,25 \text{ A}$ | t_f | | 0,25 | 0,5 | μs |
| Carrier storage time <i>Retard à la décroissance</i> : (fig. 2) | $I_C = 10 \text{ A}$ $I_{B1} = 1,25$ $I_{B2} = -1,25 \text{ A}$ | t_s | | 1,45 | 2 | μs |

SAFE OPERATING AREA
AIRE DE SECURITE



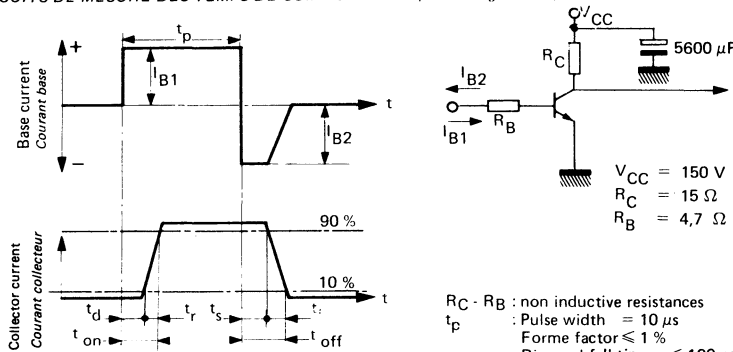
TEST CIRCUIT
MONTAGE DE TEST $V_{CEO(sus)}$ (fig. 1)



Note :

The sustaining voltage V_{CEO} is acceptable when the trace falls to the right and above point "A".
Les tensions V_{CEO} sont acceptables lorsque la trace passe au-delà du point A.

SWITCHING TIMES TEST CIRCUITS (and oscillograms)
CIRCUITS DE MESURE DES TEMPS DE COMMUTATION (et oscilloscopes) (fig. 2)

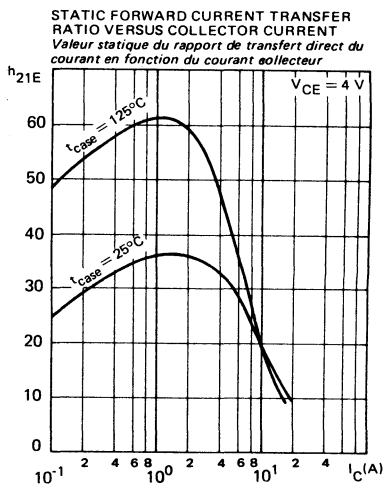
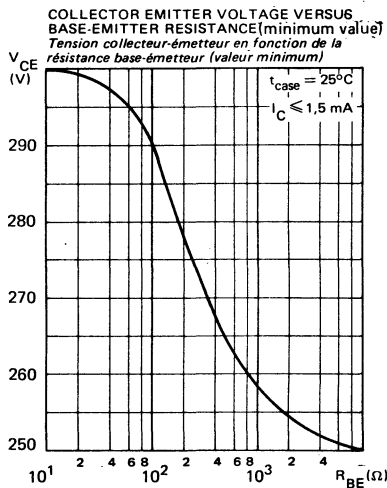
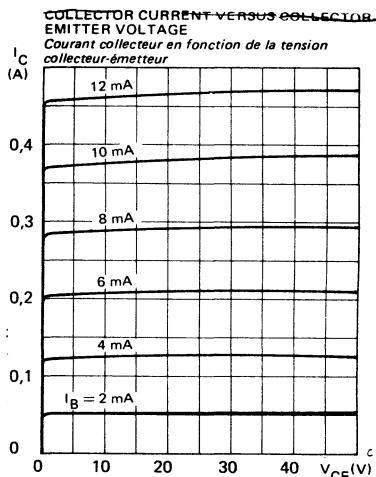
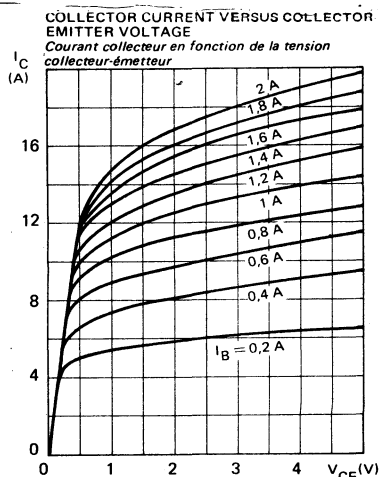


I_{B1} and I_{B2} measured with Tektronix probe
P 6021 and Amplifier type 134
I_{B1} et I_{B2} sont mesurés avec une sonde Tektronix
P 6021 et Amplificateur type 134

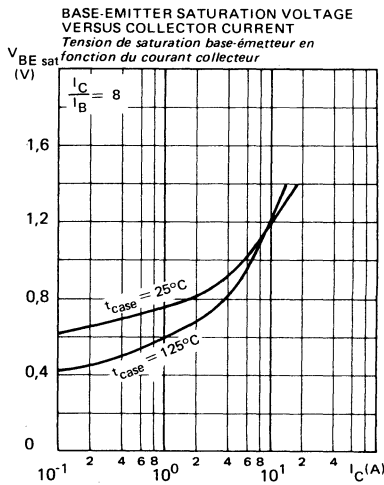
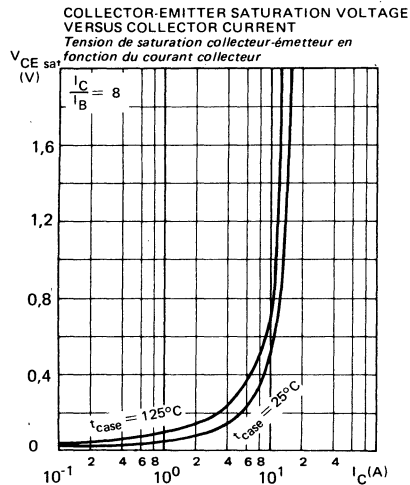
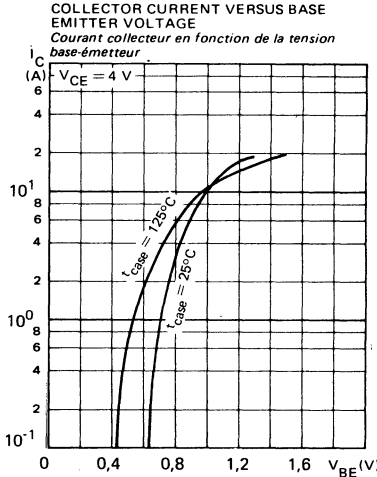
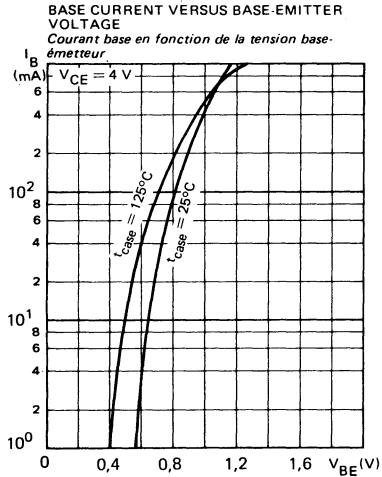
R_C - R_B : non inductive resistances
t_p : Pulse width = 10 μs
Forme factor ≤ 1 %
Rise and fall time ≤ 100 ns

R_C - R_B : résistances non inductives
t_p : Largeur d'impulsion = 10 μs
Facteur de forme ≤ 1 %
Temps de montée et descente ≤ 100 ns

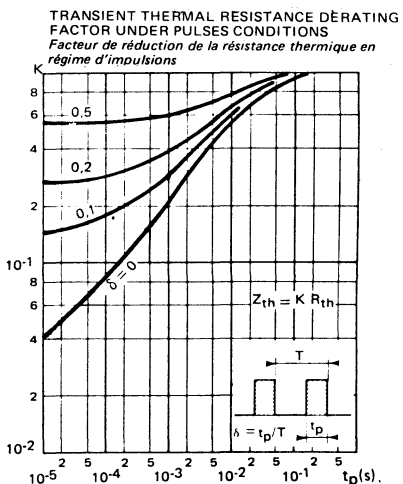
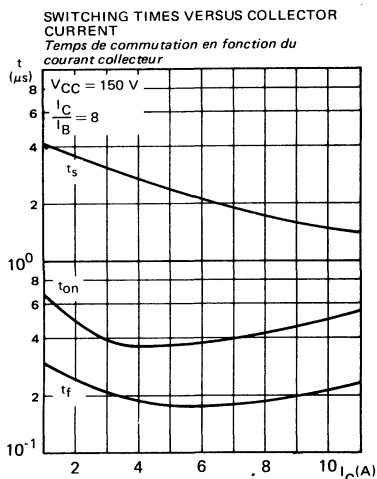
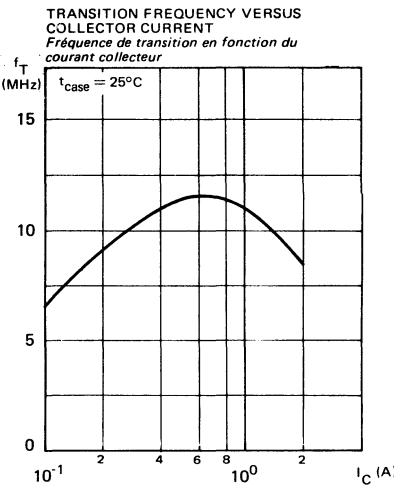
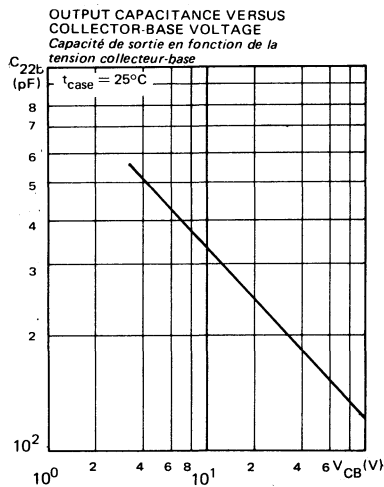
TYPICAL CHARACTERISTICS
CARACTÉRISTIQUES TYPIQUES



TYPICAL CHARACTERISTICS
CARACTÉRISTIQUES TYPIQUES



TYPICAL CHARACTERISTICS
CARACTÉRISTIQUES TYPHIQUES

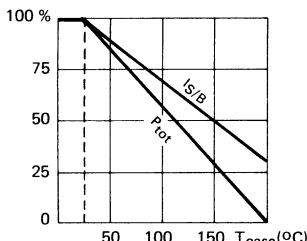


High speed, high current, high power transistor
Transistor de puissance rapide, fort courant

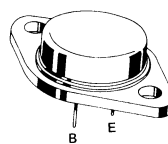
Switching and amplifier transistor
Transistor d'amplification et de commutation

| | |
|--------------------------|---------|
| V _{CEO} | 325 V |
| I _C | 15 A |
| P _{tot} | 150 W |
| V _{CEsat} (8 A) | ≤ 1,5 A |
| t _f (8 A) | ≤ 1 µs |

Dissipation and I_{S/B} derating
Variation de dissipation et de I_{S/B}



Case
 Boîtier TO 3 (CB 19)



ABSOLUTE RATINGS (LIMITING VALUES)
 VALEURS LIMITES ABSOLUES D'UTILISATION

| | | | |
|---|------------------|------------|----|
| Collector-base voltage <i>Tension collecteur-base</i> | V _{CBO} | 400 | V |
| Collector-emitter voltage <i>Tension collecteur-émetteur</i> | V _{CEO} | 325 | V |
| Collector-emitter voltage <i>Tension collecteur-émetteur</i> | V _{CER} | 390 | V |
| Collector-emitter voltage <i>Tension collecteur-émetteur</i> | V _{CEX} | 400 | V |
| Emitter-base voltage <i>Tension émetteur-base</i> | V _{EBO} | 7 | V |
| Collector current <i>Courant collecteur</i> | I _C | 15 | A |
| Collector current <i>Courant collecteur</i> | I _{CM} | 20 | A |
| Base current <i>Courant base</i> | I _B | 3 | A |
| Power dissipation <i>Dissipation de puissance</i> | P _{tot} | 150 | W |
| Storage and junction temperature <i>Température de jonction et de stockage</i> | t _j | 200 | °C |
| | T _{stg} | - 65 + 200 | |

| | | | | |
|--|-----|----------------------|------|------|
| Junction-case thermal resistance <i>Résistance thermique jonction boîtier</i> | max | R _{th(j-c)} | 1,17 | °C/W |
|--|-----|----------------------|------|------|

STATIC CHARACTERISTICS
CARACTÉRISTIQUES STATIONNAIRES

$t_{case} = 25^\circ C$

(Unless otherwise stated)
(Sauf indications contraires)

| | Test conditions Conditions de mesure | | | Min. | Typ. | Max. | |
|---|---|----------------|--|------|------|------|----|
| Collector-emitter cut-off current <i>Courant résiduel collecteur-émetteur</i> | $V_{CE} = 260 V$ $I_B = 0$ | I_{CEO} | | | 1,5 | | mA |
| Collector-emitter cut-off current <i>Courant résiduel collecteur-émetteur</i> | $V_{CE} = 400 V$ $V_{BE} = -1,5 V$ | I_{CEX} | | | 1,5 | | mA |
| | $V_{CE} = 400 V$ $V_{BE} = -1,5 V$ $t_{case} = 125^\circ C$ | | | | 6 | | mA |
| Emitter-base cut-off current <i>Courant résiduel émetteur-base</i> | $V_{EB} = 5 V$ $I_C = 0$ | I_{EBO} | | | 1 | | mA |
| Collector-emitter breakdown voltage <i>Tension de claquage collecteur-émetteur</i> (fig. 1) | $I_C = 200 mA$ $I_B = 0$ $L = 25 mH$ | $V_{CEO(sus)}$ | | 325 | | | v |
| Emitter-base breakdown voltage <i>Tension de claquage émetteur-base</i> | $I_E = 50 mA$ $I_C = 0$ | $V_{(BR)EBO}$ | | 7 | | | v |
| Static forward current transfer ratio <i>Valeur statique du rapport de transfert direct du courant</i> | $V_{CE} = 4 V$ $I_C = 4 A$ | h_{21E}^* | | | 15 | 60 | |
| | $V_{CE} = 4 V$ $I_C = 8 A$ | | | | 8 | | |
| Collector-emitter saturation voltage <i>Tension de saturation collecteur-émetteur</i> | $I_C = 4 A$ $I_B = 0,8 A$ | V_{CEsat}^* | | | 0,2 | 0,8 | |
| | $I_C = 8 A$ $I_B = 1,6 A$ | | | | 0,35 | 1,5 | |
| Base-emitter saturation voltage <i>Tension de saturation base-émetteur</i> | $I_C = 8 A$ $I_B = 1,6 A$ | V_{BEsat}^* | | | 1,1 | 1,5 | |
| Second breakdown collector current <i>Courant collecteur de second claquage</i> | $V_{CE} = 140 V$ $t = 1 s$ | $I_{S/B}$ | | | 0,15 | | A |
| | $V_{CE} = 30 V$ $t = 1 s$ | | | | 5 | | A |

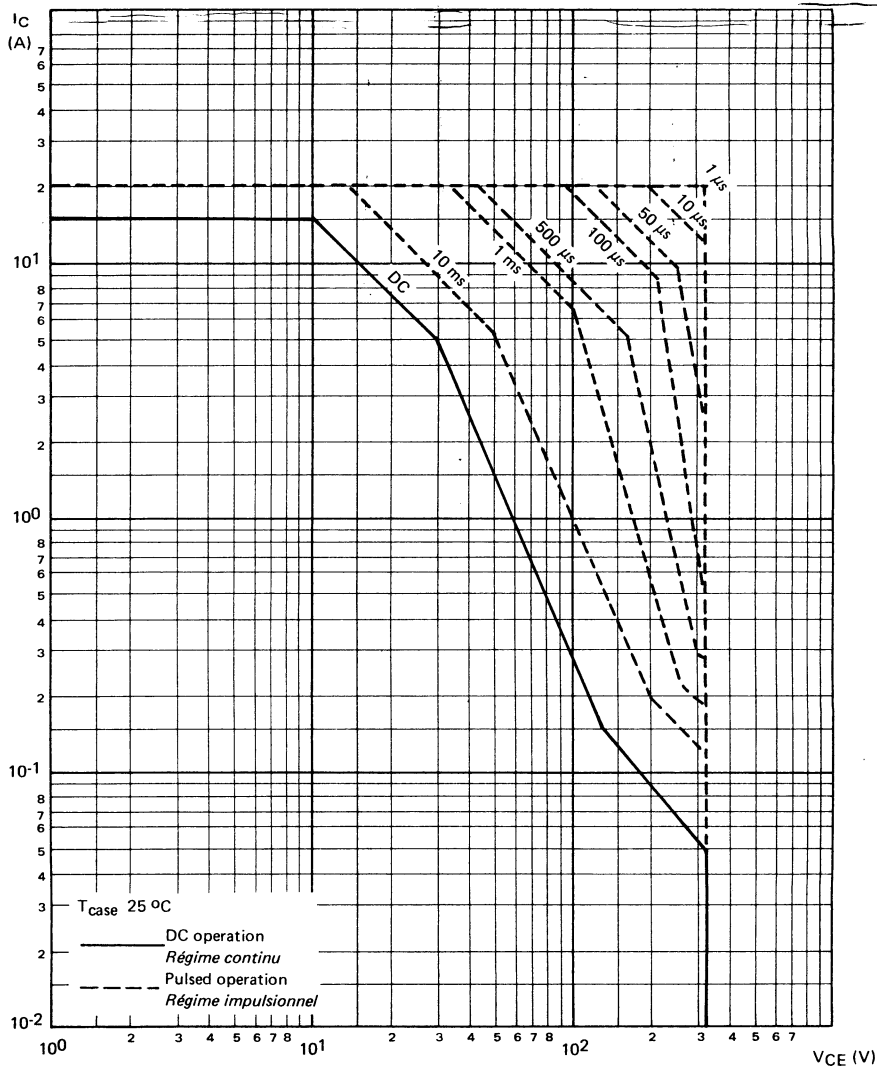
* Pulsed $t_p = 300 \mu s$ $\delta \leq 2 \%$

DYNAMIC CHARACTERISTICS (for small signals)
CARACTÉRISTIQUES DYNAMIQUES (pour petits signaux)

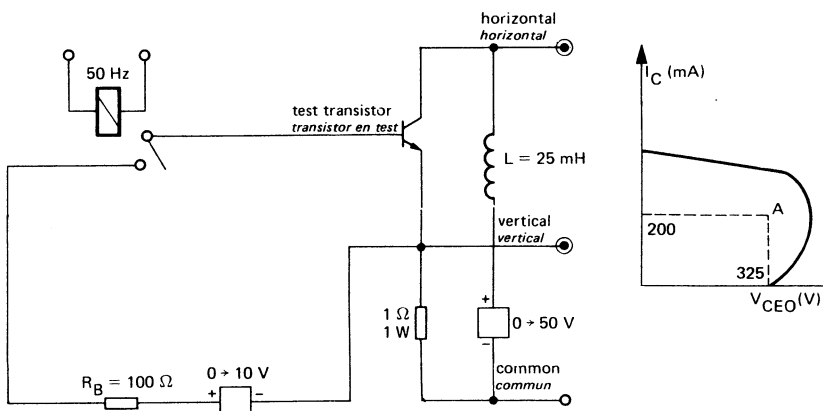
(Unless otherwise stated)
(Sauf indications contraires)

| | Test conditions <i>Conditions de mesure</i> | | | Min. | Typ. | Max. |
|--|--|-------------|--|------|------|---------------|
| Transition frequency <i>Fréquence de transition</i> | $V_{CE} = 15 \text{ V}$ $I_C = 1 \text{ A}$ $f = 10 \text{ MHz}$ | f_T | | 8 | | MHz |
| Turn-on time <i>Temps total d'établissement</i> (fig. 2) | $I_C = 8 \text{ A}$ $I_B = 1,6 \text{ A}$ | $t_d + t_r$ | | 0,55 | 1,2 | μs |
| Fall time <i>Temps de décroissance</i> (fig. 2) | $I_C = 8 \text{ A}$ $I_{B1} = 1,6 \text{ A}$ $I_{B2} = -1,6 \text{ A}$ | t_f | | 0,26 | 1 | μs |
| Carrier storage time <i>Retard à la décroissance</i> (fig. 2) | $I_C = 8 \text{ A}$ $I_{B1} = 1,6 \text{ A}$ $I_{B2} = -1,6 \text{ A}$ | t_s | | 1,7 | 2,5 | μs |

SAFE OPERATING AREA
AIRE DE SECURITE



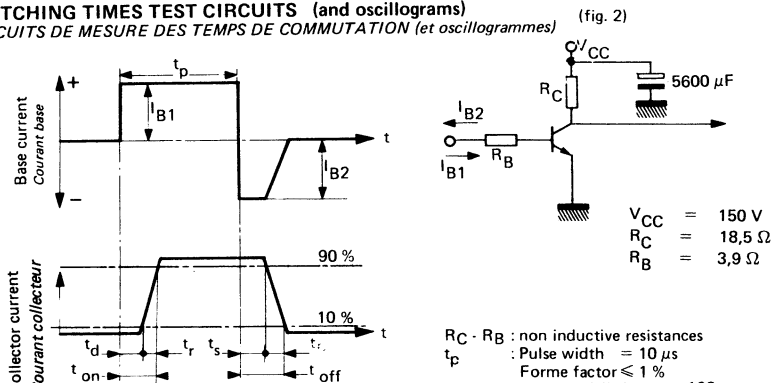
TEST CIRCUIT $V_{CEO(sus)}$ (fig. 1)



Note :

The sustaining voltage V_{CEO} is acceptable when the trace falls to the right and above point "A".
Les tensions V_{CEO} sont acceptables lorsque la trace passe au-delà du point A.

SWITCHING TIMES TEST CIRCUITS (and oscillograms)
CIRCUITS DE MESURE DES TEMPS DE COMMUTATION (et oscillogrammes) (fig. 2)



I_{B1} and I_{B2} measured with Tektronix probe P 6021 and Amplifier type 134

I_{B1} et I_{B2} sont mesurés avec une sonde Tektronix P 6021 et Amplificateur type 134

$R_C - R_B$: non inductive resistances

t_p : Pulse width = $10 \mu s$

Forme factor $\leq 1 \%$

Rise and fall time ≤ 100 ns

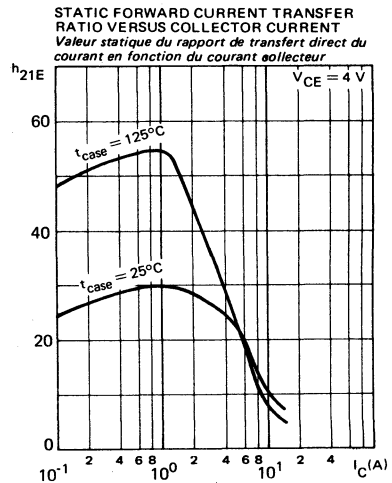
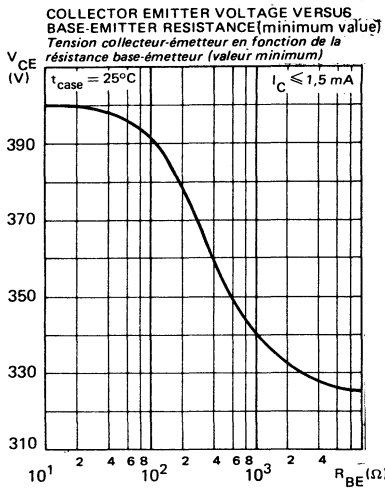
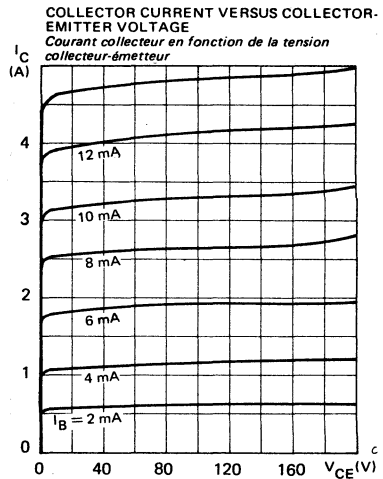
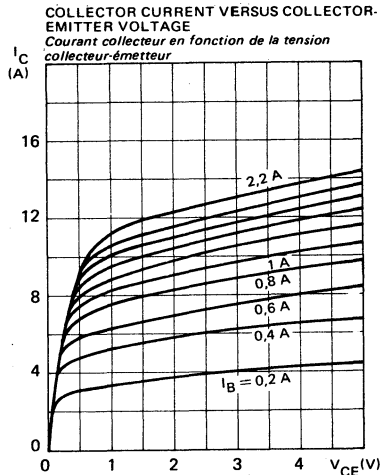
$R_C - R_B$: résistances non inductives

t_p : Largeur d'impulsion = $10 \mu s$

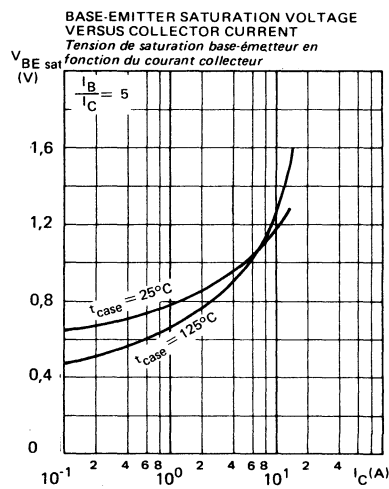
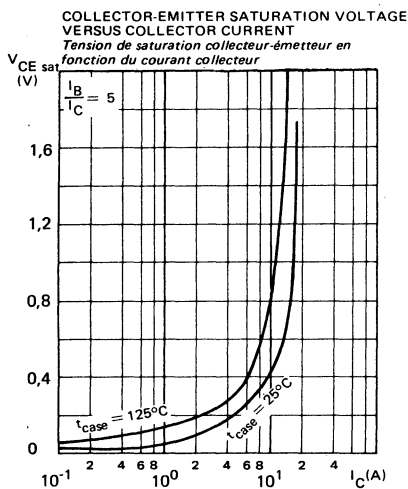
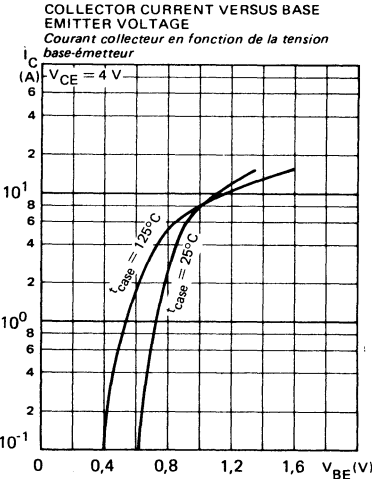
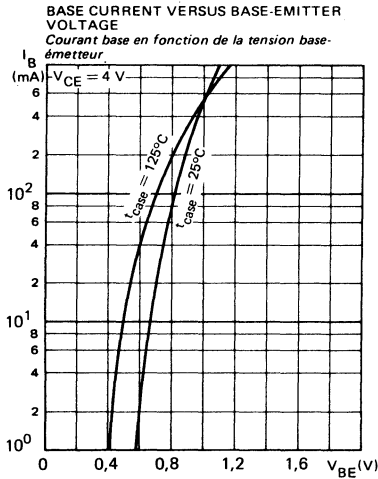
Facteur de forme $\leq 1 \%$

Temps de montée et descente ≤ 100 ns

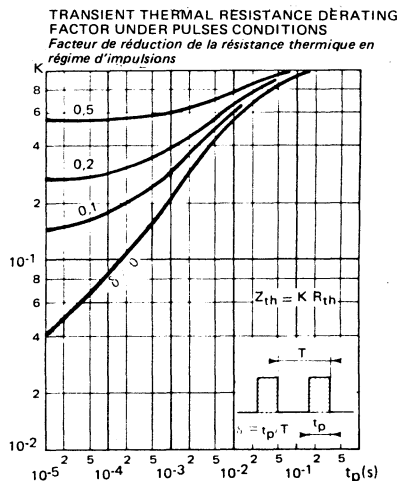
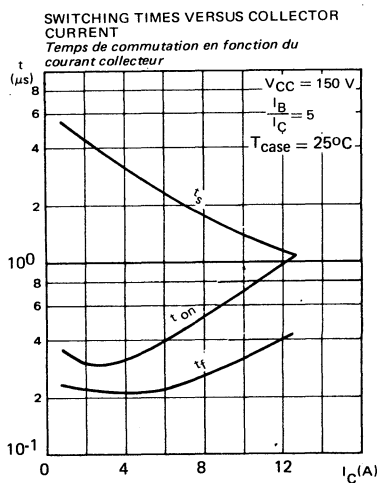
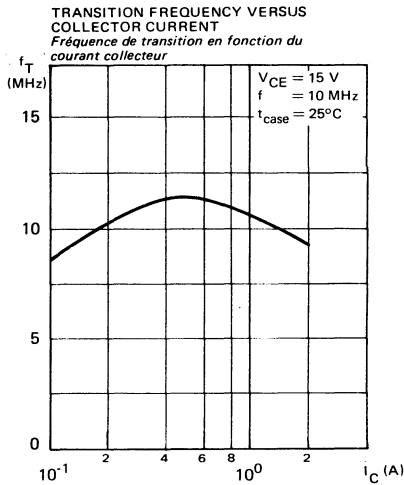
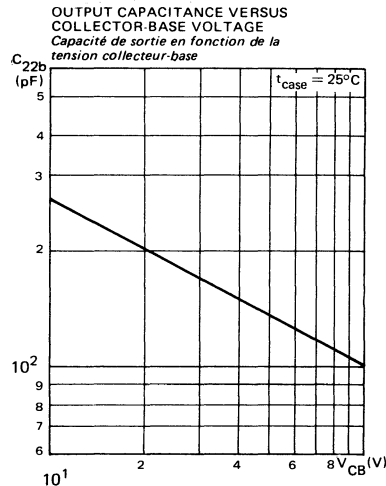
TYPICAL CHARACTERISTICS
CARACTÉRISTIQUES TYPHIQUES



TYPICAL CHARACTERISTICS
CARACTÉRISTIQUES TYPIQUES



TYPICAL CHARACTERISTICS
CARACTÉRISTIQUES TYPHIQUES



High speed, high voltage, high power transistor

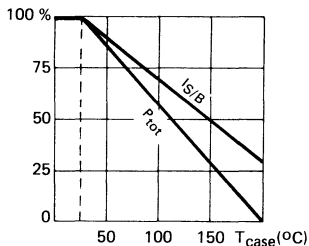
Transistor de puissance rapide, haute tension

Switching and amplifier transistor

Transistor d'amplification et de commutation

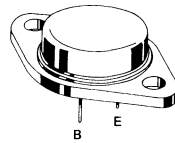
Dissipation and I_S/B derating

Variation de dissipation et de I_S/B



| | |
|-------------------|--------------------|
| V_{CEO} | 400 V |
| I_C | 10 A |
| P_{tot} | 150 W |
| V_{CEsat} (6 A) | $\leq 1,5$ V |
| t_f (6 A) | $\leq 1,2$ μ s |

Case
Boîtier TO 3 (CB 19)



ABSOLUTE RATINGS (LIMITING VALUES)
VALEURS LIMITES ABSOLUES D'UTILISATION

| | | | |
|---|-----------|-----------|----|
| Collector-base voltage <i>Tension collecteur-base</i> | V_{CBO} | 450 | V |
| Collector-emitter voltage <i>Tension collecteur-émetteur</i> | V_{CEO} | 400 | V |
| Collector-emitter voltage <i>Tension collecteur-émetteur</i> | V_{CER} | 440 | V |
| Collector-emitter voltage <i>Tension collecteur-émetteur</i> | V_{CEX} | 450 | V |
| Emitter-base voltage <i>Tension émetteur-base</i> | V_{EBO} | 7 | V |
| Collector current <i>Courant collecteur</i> | I_C | 10 | A |
| Base current <i>Courant base</i> | I_B | 15 | A |
| Power dissipation <i>Dissipation de puissance</i> | P_{tot} | 2 | A |
| Storage and junction temperature <i>Température de jonction et de stockage</i> | t_j | 150 | W |
| | T_{stg} | -65 + 200 | °C |

| | | | | |
|--|-----|---------------|------|------|
| Junction-case thermal resistance <i>Résistance thermique jonction boîtier</i> | max | $R_{th(j-c)}$ | 1,17 | °C/W |
|--|-----|---------------|------|------|

STATIC CHARACTERISTICS
CARACTÉRISTIQUES STATIQUES
 $t_{case} = 25^\circ\text{C}$ (Unless otherwise stated)
(Sauf indications contraires)

| | Test conditions Conditions de mesure | | | Min. | Typ. | Max. | |
|---|---|----------------|--|------|------|------|----|
| Collector-emitter cut-off current <i>Courant résiduel collecteur-émetteur</i> | $V_{CE} = 320 \text{ V}$ $I_B = 0$ | I_{CEO} | | | 1,5 | | mA |
| Collector-emitter cut-off current <i>Courant résiduel collecteur-émetteur</i> | $V_{CE} = 450 \text{ V}$ $V_{BE} = -1,5 \text{ V}$ | I_{CEX} | | | 1,5 | | mA |
| | $V_{CE} = 450 \text{ V}$ $V_{BE} = -1,5 \text{ V}$ $t_{case} = 125^\circ\text{C}$ | | | | 6 | | mA |
| Emitter-base cut-off current <i>Courant résiduel émetteur-base</i> | $V_{EB} = 5 \text{ V}$ $I_C = 0$ | I_{EBO} | | | 1 | | mA |
| Collector-emitter breakdown voltage <i>Tension de claquage collecteur-émetteur</i> (fig. 1) | $I_C = 200 \text{ mA}$ $I_B = 0$ $L = 25 \text{ mH}$ | $V_{CEO(sus)}$ | | 400 | | | V |
| Emitter-base breakdown voltage <i>Tension de claquage émetteur-base</i> | $I_E = 50 \text{ mA}$ $I_C = 0$ | $V_{(BR)EBO}$ | | 7 | | | V |
| Static forward current transfer ratio <i>Valeur statique du rapport de transfert direct du courant</i> | $V_{CE} = 4 \text{ V}$ $I_C = 3 \text{ A}$ | h_{21E}^* | | | 15 | 60 | |
| | $V_{CE} = 4 \text{ V}$ $I_C = 6 \text{ A}$ | | | | 8 | | |
| Collector-emitter saturation voltage <i>Tension de saturation collecteur-émetteur</i> | $I_C = 3 \text{ A}$ $I_B = 0,6 \text{ A}$ | V_{CEsat}^* | | | 0,15 | 0,6 | V |
| | $I_C = 6 \text{ A}$ $I_B = 1,2 \text{ A}$ | | | | 0,3 | 1,5 | V |
| Base-emitter saturation voltage <i>Tension de saturation base-émetteur</i> | $I_C = 6 \text{ A}$ $I_B = 1,2 \text{ A}$ | V_{BEsat}^* | | | 1 | 1,5 | V |
| Second breakdown collector current <i>Courant collecteur de second claquage</i> | $V_{CE} = 140 \text{ V}$ $t_p = 1 \text{ s}$ | $I_{S/B}$ | | | 0,15 | | A |
| | $V_{CE} = 30 \text{ V}$ $t_p = 1 \text{ s}$ | | | | 5 | | A |

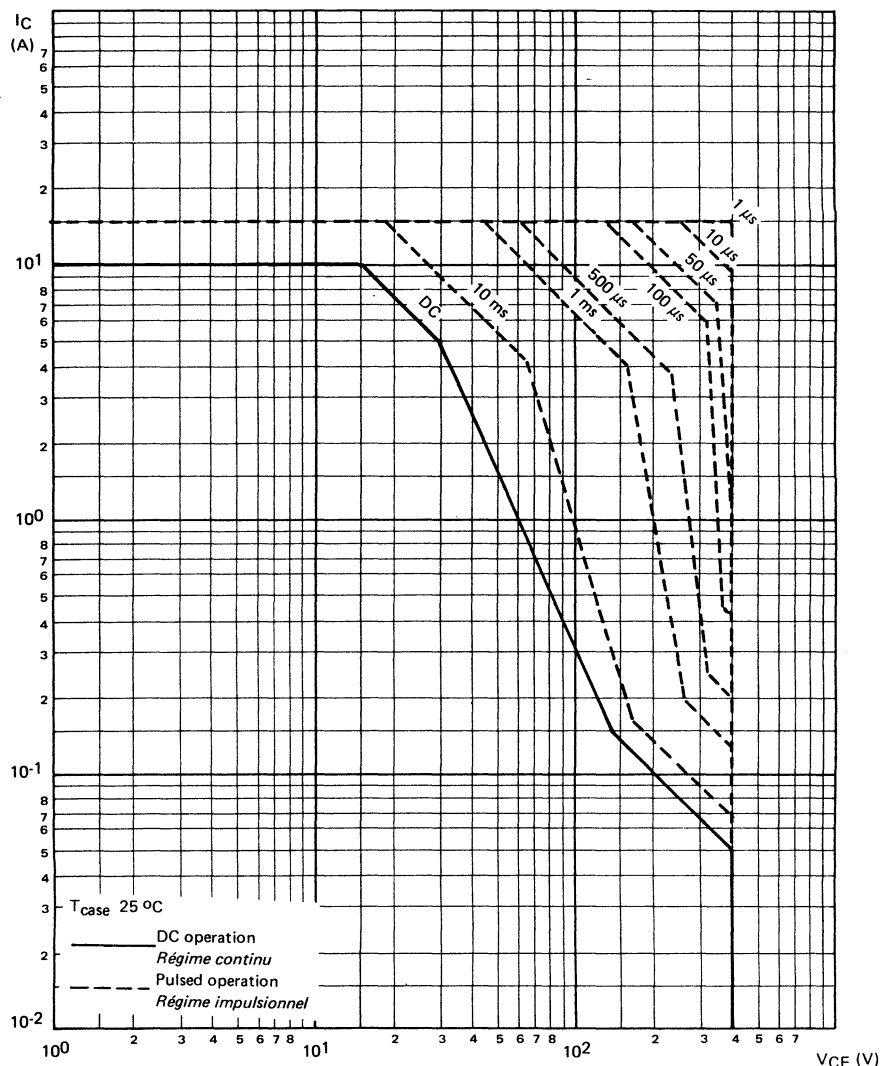
* Pulsed
Impulsions $t_p = 300 \mu\text{s}$ $\delta \leq 2\%$

DYNAMIC CHARACTERISTICS (for small signals)
CARACTÉRISTIQUES DYNAMIQUES (pour petits signaux)

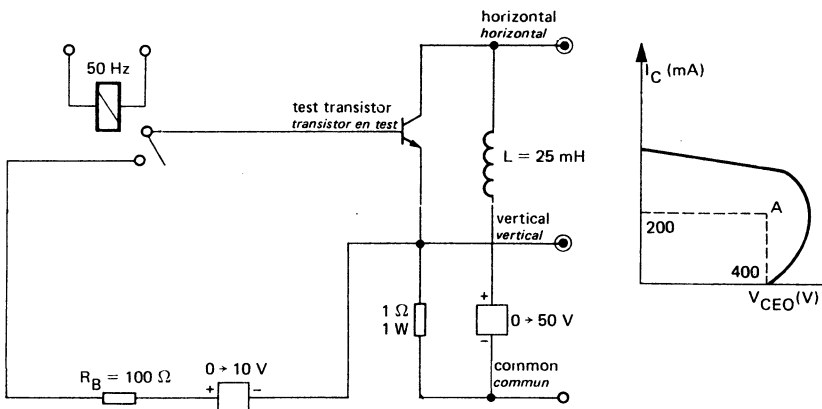
(Unless otherwise stated)
(Sauf indications contraires)

| | Test conditions <i>Conditions de mesure</i> | | | Min. | Typ. | Max. | |
|---|--|--|-------------|------|------|------|---------------|
| Transition frequency <i>Fréquence de transition</i> | $V_{CE} = 15 \text{ V}$ $I_C = 1 \text{ A}$ $f = 10 \text{ MHz}$ | f_T | | 8 | | | MHz |
| Turn-on time <i>Temps total d'établissement</i> | (fig. 2) | $I_C = 6 \text{ A}$ $I_B = 1,2 \text{ A}$ | $t_d + t_r$ | | 0,7 | 1,4 | μs |
| Fall time <i>Temps de décroissance</i> | (fig. 2) | $I_C = 6 \text{ A}$ $I_{B1} = 1,2 \text{ A}$ $I_{B2} = -1,2 \text{ A}$ | t_f | | 0,7 | 1,2 | μs |
| Carrier storage time <i>Retard à la décroissance</i> | (fig. 2) | $I_C = 6 \text{ A}$ $I_{B1} = 1,2 \text{ A}$ $I_{B2} = -1,2 \text{ A}$ | t_s | | 1,5 | 3 | μs |

SAFE OPERATING AREA
AIRE DE SECURITE



TEST CIRCUIT $V_{CEO(sus)}$ (fig. 1)

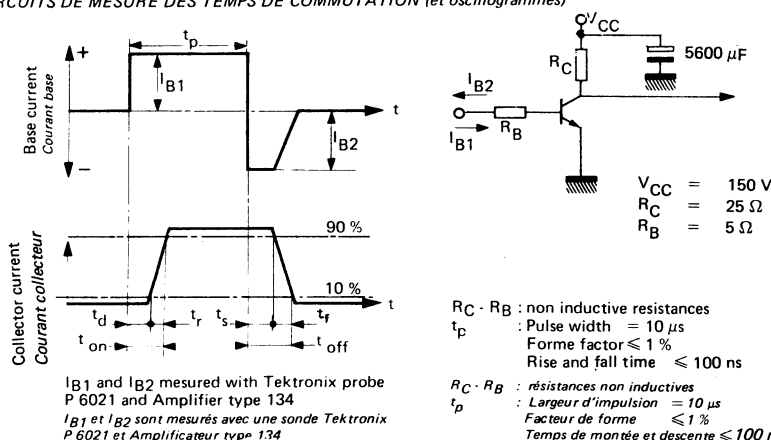


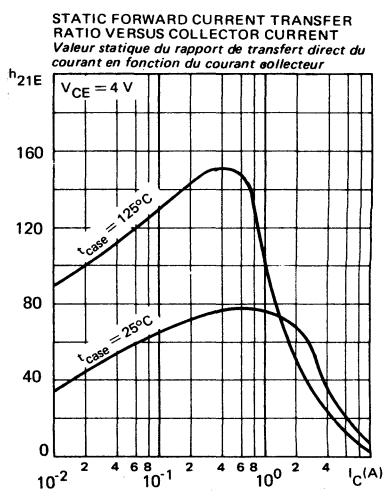
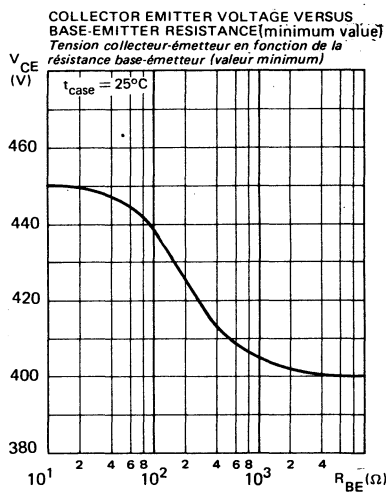
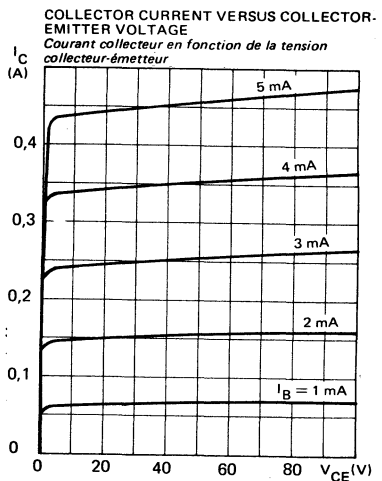
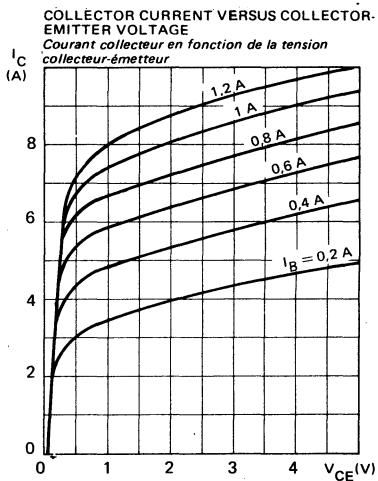
Note :

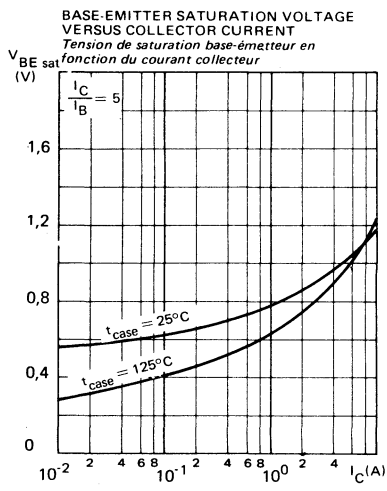
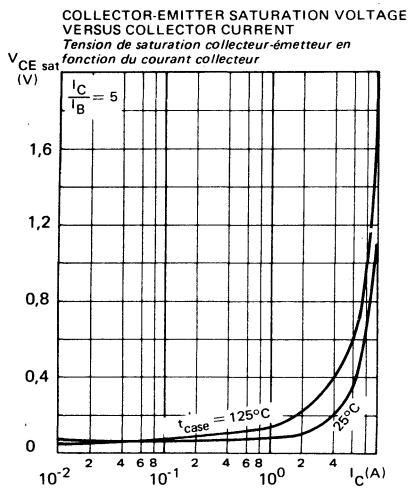
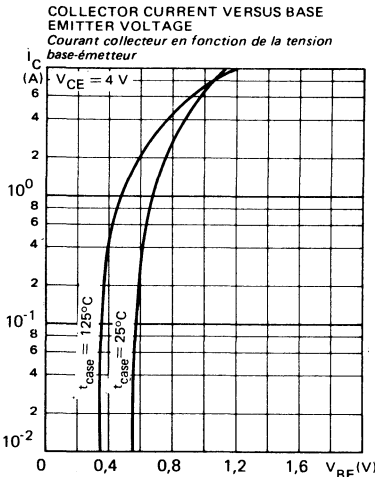
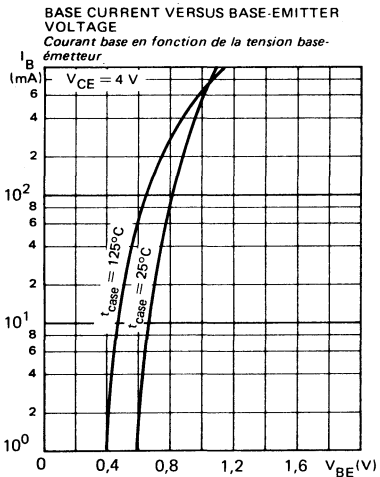
The sustaining voltage V_{CEO} is acceptable when the trace falls to the right and above point "A".
Les tensions V_{CEO} sont acceptables lorsque la trace passe au-delà du point A.

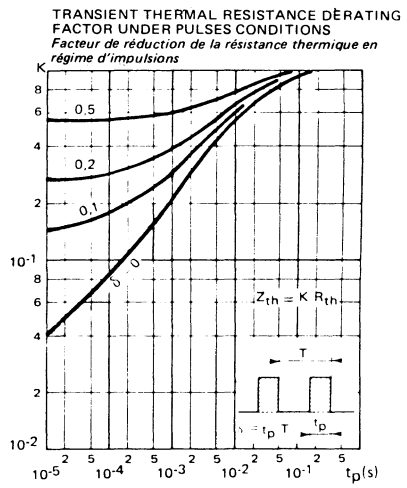
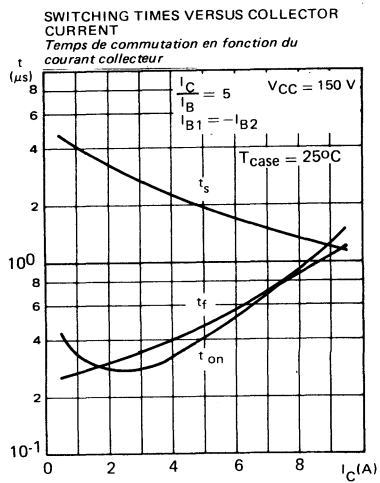
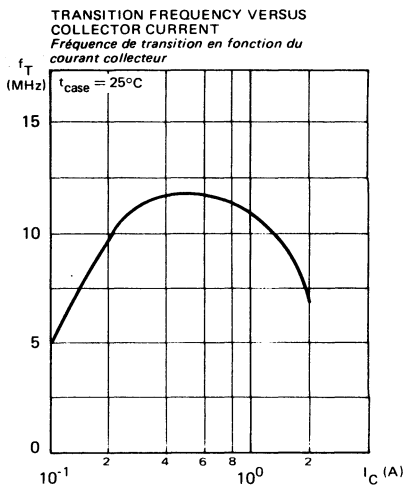
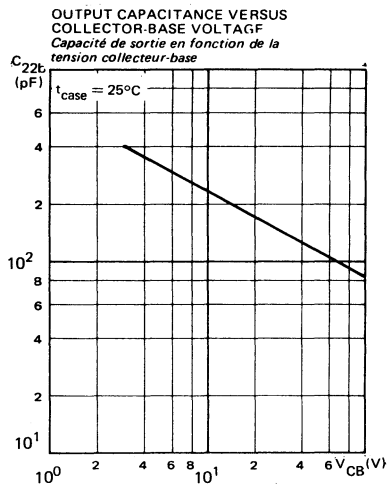
SWITCHING TIMES TEST CIRCUITS (and oscillograms)
CIRCUITS DE MESURE DES TEMPS DE COMMUTATION (et oscilloscopes)

(fig. 2)









High speed, high voltage, high power transistor

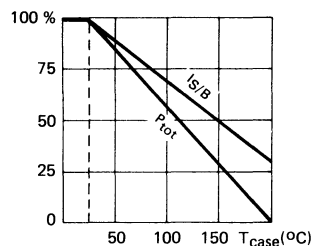
Transistor de puissance rapide, haute tension

Switching and amplifier transistor

Transistor d'amplification et de commutation

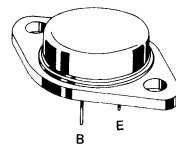
Dissipation and I_S/B derating

Variation de dissipation et de I_S/B



| | |
|-------------------|------------------------|
| V_{CEO} | 500 V |
| I_C | 8 A |
| P_{tot} | 150 W |
| V_{CEsat} (4 A) | ≤ 1 V |
| t_f (4 A) | $\leq 1,4 \mu\text{s}$ |

Case TO 3 (CB 19)
Boîtier



ABSOLUTE RATINGS (LIMITING VALUES)
VALEURS LIMITES ABSOLUES D'UTILISATION

| | | | | |
|---|-----------------------------|-----------|------------|------------------|
| Collector-base voltage <i>Tension collecteur-base</i> | V_{CBO} | 500 | V | |
| Collector-emitter voltage <i>Tension collecteur-émetteur</i> | V_{CEO} | 500 | V | |
| Collector-emitter voltage <i>Tension collecteur-émetteur</i> | $R_{BE} = 100 \Omega$ | V_{CER} | 500 | V |
| Collector-emitter voltage <i>Tension collecteur-émetteur</i> | $V_{BE} = -1,5$ V | V_{CEX} | 500 | V |
| Emitter-base voltage <i>Tension émetteur-base</i> | V_{EBO} | 7 | V | |
| Collector current <i>Courant collecteur</i> | I_C | 8 | A | |
| Base current <i>Courant base</i> | I_{CM} | 10 | A | |
| Power dissipation <i>Dissipation de puissance</i> | $t_p = 10$ ms | I_B | 2 | A |
| Storage and junction temperature <i>Température de jonction et de stockage</i> | $T_{case} 25^\circ\text{C}$ | P_{tot} | 150 | W |
| | max | T_j | 200 | |
| | | T_{stg} | - 65 + 200 | $^\circ\text{C}$ |

Junction-case thermal resistance
Résistance thermique jonction boîtier

max

$R_{th(j-c)}$

1,17

$^\circ\text{C/W}$

STATIC CHARACTERISTICS
CARACTÉRISTIQUES STATIQUES $t_{case} = 25^\circ C$ (Unless otherwise stated)
(Sauf indications contraires)

| | Test conditions Conditions de mesure | | | Min. | Typ. | Max. |
|---|---|----------------|--|------|------|------|
| Collector-emitter cut-off current <i>Courant résiduel collecteur-émetteur</i> | $V_{CE} = 400 V$ $I_B = 0$ | I_{CEO} | | | 1,5 | mA |
| Collector-emitter cut-off current <i>Courant résiduel collecteur-émetteur</i> | $V_{CE} = 500 V$ $V_{BE} = -1,5 V$ | I_{CEX} | | | 1,5 | mA |
| | $V_{CE} = 500 V$ $V_{BE} = -1,5 V$ $t_{case} = 125^\circ C$ | | | | 6 | mA |
| Emitter-base cut-off current <i>Courant résiduel émetteur-base</i> | $V_{EB} = 5 V$ $I_C = 0$ | I_{EBO} | | | 1 | mA |
| Collector-emitter breakdown voltage <i>Tension de claquage collecteur-émetteur</i> (fig. 1) | $I_C = 200 mA$ $I_B = 0$ $L = 25 mH$ | $V_{CEO(sus)}$ | | 500 | | V |
| Emitter-base breakdown voltage <i>Tension de claquage émetteur-base</i> | $I_E = 50 mA$ $I_C = 0$ | $V_{(BR)EBO}$ | | 7 | | V |
| Static forward current transfer ratio <i>Valeur statique du rapport de transfert direct du courant</i> | $V_{CE} = 4 V$ $I_C = 2 A$ | h_{21E}^* | | | 15 | 60 |
| | $V_{CE} = 4 V$ $I_C = 4 A$ | | | | 8 | |
| Collector-emitter saturation voltage <i>Tension de saturation collecteur-émetteur</i> | $I_C = 2 A$ $I_B = 0,4 A$ | V_{CEsat}^* | | | 0,2 | 0,6 |
| | $I_C = 4 A$ $I_B = 0,8 A$ | | | | 0,45 | 1 |
| Base-emitter saturation voltage <i>Tension de saturation base-émetteur</i> | $I_C = 4 A$ $I_B = 0,8 A$ | V_{BEsat}^* | | | 1,35 | 1,5 |
| Second breakdown collector current <i>Courant collecteur de second claquage</i> | $V_{CE} = 140 V$ $t = 1 s$ | $I_{S/B}$ | | | 0,15 | A |
| | $V_{CE} = 30 V$ $t = 1 s$ | | | | 5 | A |

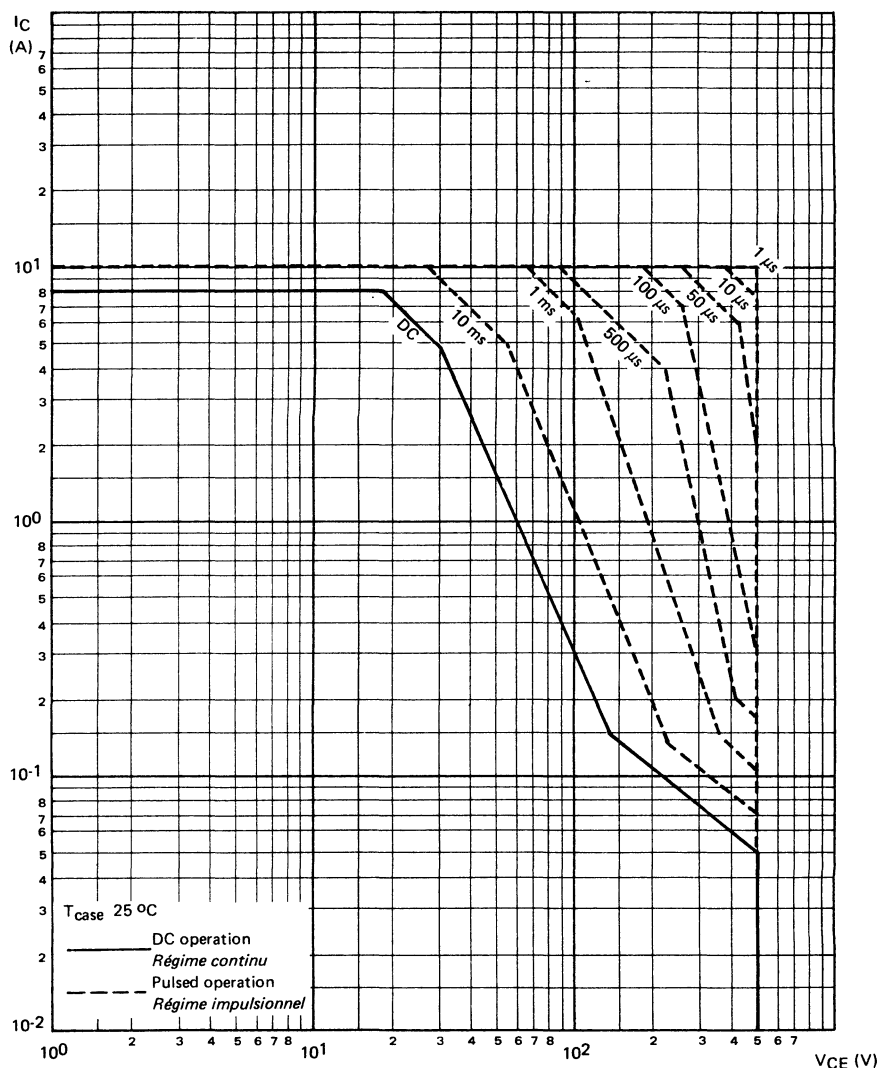
* Pulsed $t_p = 300 \mu s$ $\delta \leq 2\%$

DYNAMIC CHARACTERISTICS (for small signals)
CARACTÉRISTIQUES DYNAMIQUES (pour petits signaux)

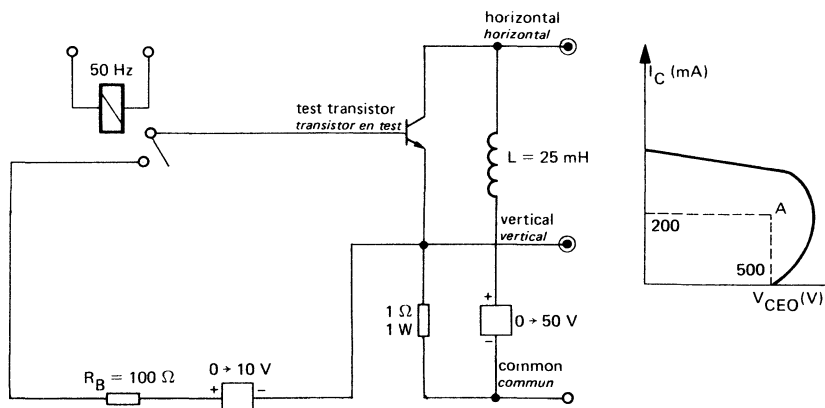
(Unless otherwise stated)
(Sauf indications contraires)

| | Test conditions <i>Conditions de mesure</i> | | | Min. | Typ. | Max. | |
|--|--|-------------|--|------|------|------|---------------|
| Transition frequency <i>Fréquence de transition</i> | $V_{CE} = 15 \text{ V}$ $I_C = 1 \text{ A}$ $f = 10 \text{ MHz}$ | f_T | | 8 | | | MHz |
| Turn-on time <i>Temps total d'établissement</i> (fig. 2) | $I_C = 4 \text{ A}$ $I_B = 0,8 \text{ A}$ | $t_d + t_r$ | | 0,55 | 1,6 | | μs |
| Fall time <i>Temps de décroissance</i> (fig. 2) | $I_C = 4 \text{ A}$ $I_{B1} = 0,8 \text{ A}$ $I_{B2} = -0,8 \text{ A}$ | t_f | | 0,7 | 1,4 | | μs |
| Carrier storage time <i>Retard à la décroissance</i> (fig. 2) | $I_C = 4 \text{ A}$ $I_{B1} = 0,8 \text{ A}$ $I_{B2} = -0,8 \text{ A}$ | t_s | | 3,5 | 5 | | μs |

SAFE OPERATING AREA
AIRE DE SECURITE



TEST CIRCUIT $V_{CEO(sus)}$ (fig. 1)

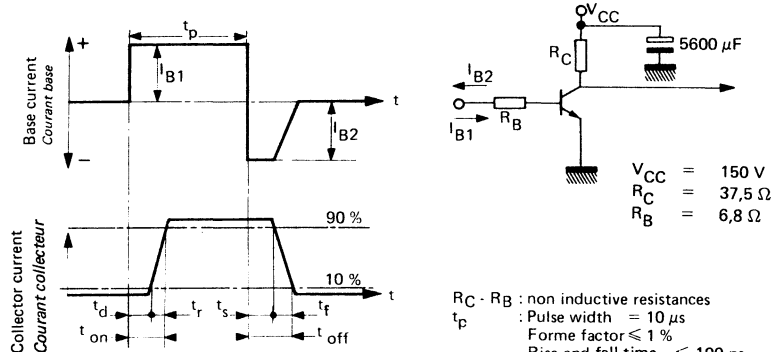


Note :

The sustaining voltage V_{CEO} is acceptable when the trace falls to the right and above point "A".
Les tensions V_{CEO} sont acceptables lorsque la trace passe au-delà du point A.

SWITCHING TIMES TEST CIRCUITS (and oscillograms) (fig. 2)

CIRCUITS DE MESURE DES TEMPS DE COMMUTATION (et oscilloscopes)



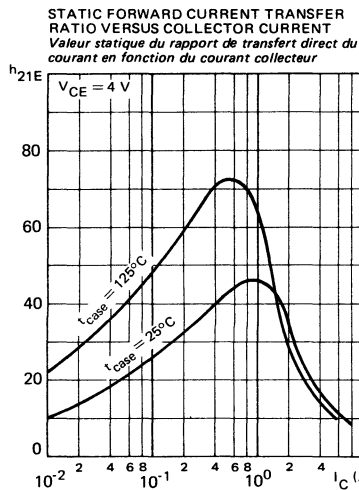
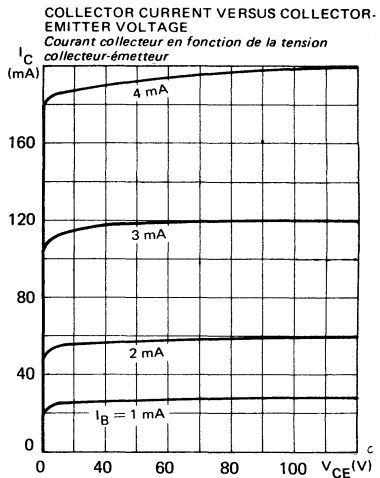
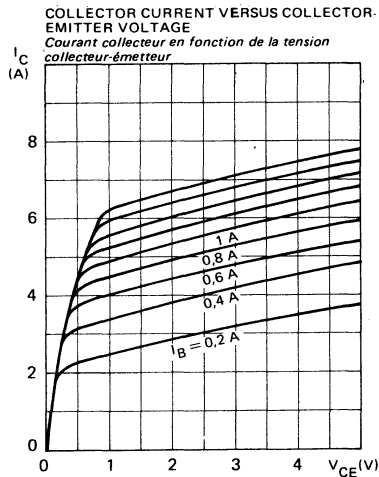
I_{B1} and I_{B2} measured with Tektronix probe P 6021 and Amplifier type 134

I_{B1} et I_{B2} sont mesurés avec une sonde Tektronix P 6021 et Amplificateur type 134

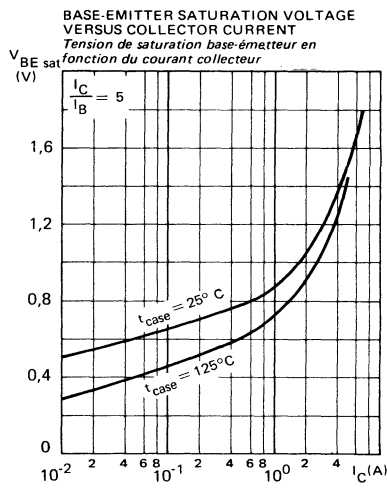
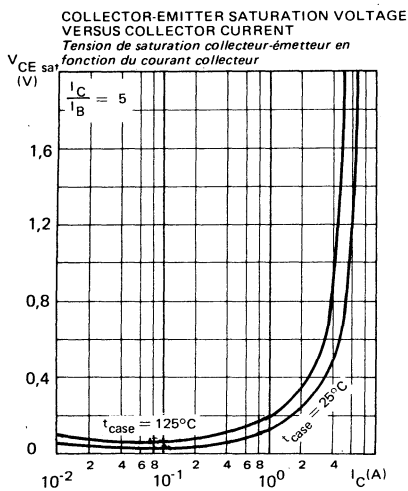
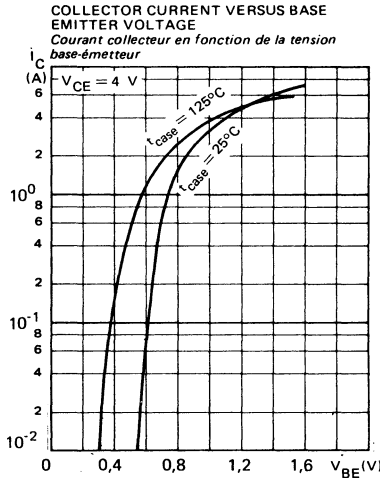
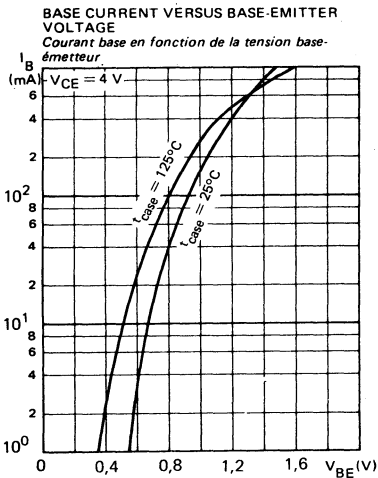
$R_C - R_B$: non inductive resistances
 t_p : Pulse width = 10 μs
 Forme factor $\leq 1\%$
 Rise and fall time ≤ 100 ns

$R_C - R_B$: résistances non inductives
 t_p : Largeur d'impulsion = 10 μs
 Facteur de forme $\leq 1\%$
 Temps de montée et descente ≤ 100 ns

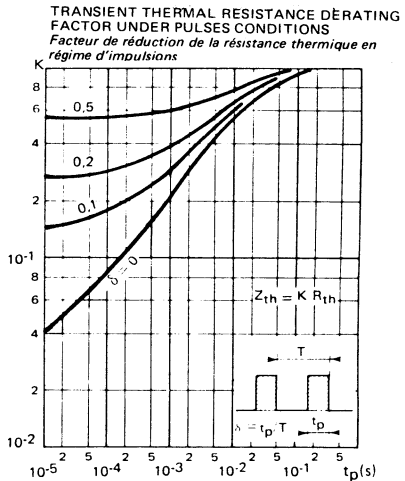
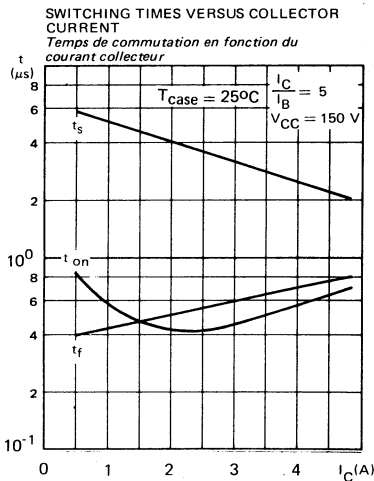
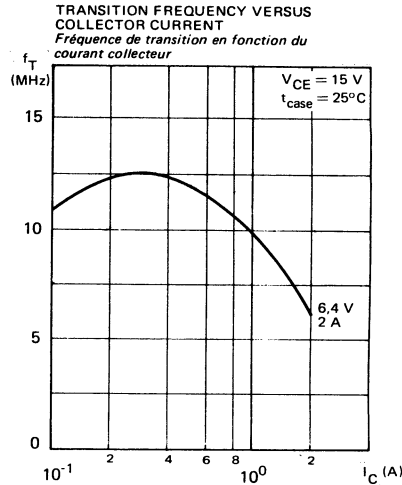
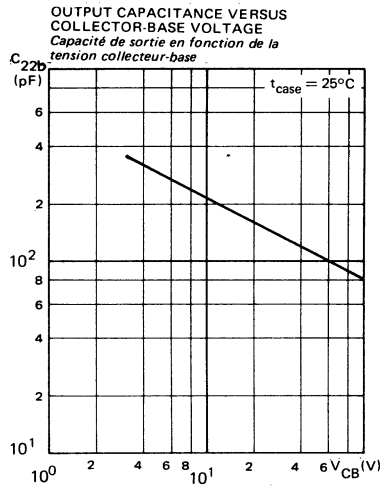
TYPICAL CHARACTERISTICS
CARACTÉRISTIQUES TYPIQUES



TYPICAL CHARACTERISTICS CARACTÉRISTIQUES TYPIQUES



TYPICAL CHARACTERISTICS
CARACTÉRISTIQUES TYPIQUES



SUPERSWITCH

HIGH CURRENT , HIGH SPEED TRANSISTORS SUITED FOR LOW VOLTAGE AND HIGH EFFICIENCY APPLICATIONS

Mounting silicon chip with hard solder process, bounds mechanical constraints and provides maximum insulation against thermal fatigue.

- * Very high current capabilities

- * Fast turn-on and turn-off

- * S.O.A.R specified for : linear mode , switching mode, accidental surge

TRANSISTOR TRES RAPIDE, A FORT COURANT ADAPTE AUX APPLICATIONS BASSE TENSION ET A HAUT RENDEMENT

LE MONTAGE DE LA PASTILLE PAR UN PROCÉDÉ DE SOUDURE DURE, LIMITÉ LES CONTRAINTES MÉCANIQUES ET PROCURE UN MAXIMUM DE GARANTIE CONTRE LA FATIGUE THERMIQUE

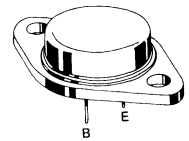
- * Possibilités très élevées en courant

- * Mise en conduction et blocage rapides

- * Aire de sécurité définie : en régime linéaire , en régime de commutation en régime de surcharge accidentelle

| | |
|-----------------------|------------------------|
| $V_{CEO}(\text{sus})$ | 125 V |
| V_{CEX} | 160 V |
| I_{CSat} | 50 A |
| I_{CSM} | 150 A |
| $t_f (50 \text{ A})$ | $\leq 0,3 \mu\text{s}$ |

Case
Boîtier CB 159



ABSOLUTE RATINGS (LIMITING VALUES)

VALEURS LIMITES ABSOLUES D'UTILISATION

| | | | | |
|---|-----------------------------|-----------|-----------|------------------|
| Collector-base voltage <i>Tension collecteur-base</i> | | V_{CBO} | 160 | V |
| Collector-emitter voltage <i>Tension collecteur-émetteur</i> | | V_{CEO} | 125 | V |
| Collector-emitter voltage <i>Tension collecteur-émetteur</i> | $R_{BE} = 100 \Omega$ | V_{CER} | 150 | V |
| Collector-emitter voltage <i>Tension collecteur-émetteur</i> | $V_{BE} = -1,5 \text{ V}$ | V_{CEX} | 160 | V |
| Emitter-base voltage <i>Tension émetteur-base</i> | | V_{EBO} | 7 | V |
| Collector current <i>Courant collecteur</i> | $t_p = 10 \text{ ms}$ | I_C | 50 | A |
| Base current <i>Courant base</i> | | I_{CM} | 60 | A |
| Power dissipation <i>Dissipation de puissance</i> | $T_{case} 25^\circ\text{C}$ | P_{tot} | 350 | W |
| Junction temperature <i>Température de jonction</i> | | t_j | -65 + 200 | $^\circ\text{C}$ |

| | | | | |
|--|-----|---------------|-----|--------------------|
| Junction-case thermal resistance <i>Resistance thermique jonction-boîtier</i> | max | $R_{th(j-c)}$ | 0,5 | $^\circ\text{C/W}$ |
|--|-----|---------------|-----|--------------------|

STATIC CHARACTERISTICS
CARACTÉRISTIQUES STATIONNAIRES $t_{case} = 25^\circ\text{C}$ (Unless otherwise stated)
(Sauf indications contraires)

| | Test conditions Conditions de mesure | | | Min. | Typ. | Max. |
|---|---|----------------|--|------|------|------|
| Collector-emitter cut-off current <i>Courant résiduel collecteur-émetteur</i> | $V_{CE} = 100 \text{ V}$ $I_B = 0$ | I_{CEO} | | 3 | | mA |
| Collector-emitter cut-off current <i>Courant résiduel collecteur-émetteur</i> | $V_{CE} = 160 \text{ V}$ $V_{BE} = -1,5 \text{ V}$ | I_{CEX} | | 3 | | mA |
| | $V_{CE} = 160 \text{ V}$ $V_{BE} = -1,5 \text{ V}$ $t_{case} = 125^\circ\text{C}$ | | | 12 | | mA |
| Emitter-base cut-off current <i>Courant résiduel émetteur-base</i> | $V_{EB} = 5 \text{ V}$ $I_C = 0$ | I_{EBO} | | 1 | | mA |
| Collector-emitter breakdown voltage <i>Tension de claquage collecteur-émetteur</i> (fig. 1) | $I_C = 200 \text{ mA}$ $I_B = 0$ $L = 25 \text{ mH}$ | $V_{CEO(sus)}$ | | 125 | | V |
| Emitter-base breakdown voltage <i>Tension de claquage émetteur-base</i> | $I_E = 50 \text{ mA}$ $I_C = 0$ | $V_{(BR)EBO}$ | | 7 | | V |
| Static forward current transfer ratio <i>Valeur statique du rapport de transfert direct du courant</i> | $V_{CE} = 2 \text{ V}$ $I_C = 25 \text{ A}$ | h_{21E}^* | | 20 | 60 | |
| | $V_{CE} = 4 \text{ V}$ $I_C = 50 \text{ A}$ | | | 10 | | |
| Collector-emitter saturation voltage <i>Tension de saturation collecteur-émetteur</i> | $I_C = 25 \text{ A}$ $I_B = 2,5 \text{ A}$ | V_{CEsat}^* | | 0,3 | 0,6 | V |
| | $I_C = 50 \text{ A}$ $I_B = 5 \text{ A}$ | | | 0,7 | 1,2 | V |
| Base-emitter saturation voltage <i>Tension de saturation base-émetteur</i> | $I_C = 50 \text{ A}$ $I_B = 5 \text{ A}$ | V_{BEsat}^* | | 1,4 | 2 | V |
| Second breakdown collector current <i>Courant collecteur de second claquage</i> | $V_{CE} = 40 \text{ V}$ $t = 1 \text{ s}$ | $I_{S/B}$ | | 1,5 | | A |
| | $V_{CE} = 19 \text{ V}$ $t = 1 \text{ s}$ | | | 18,5 | | A |

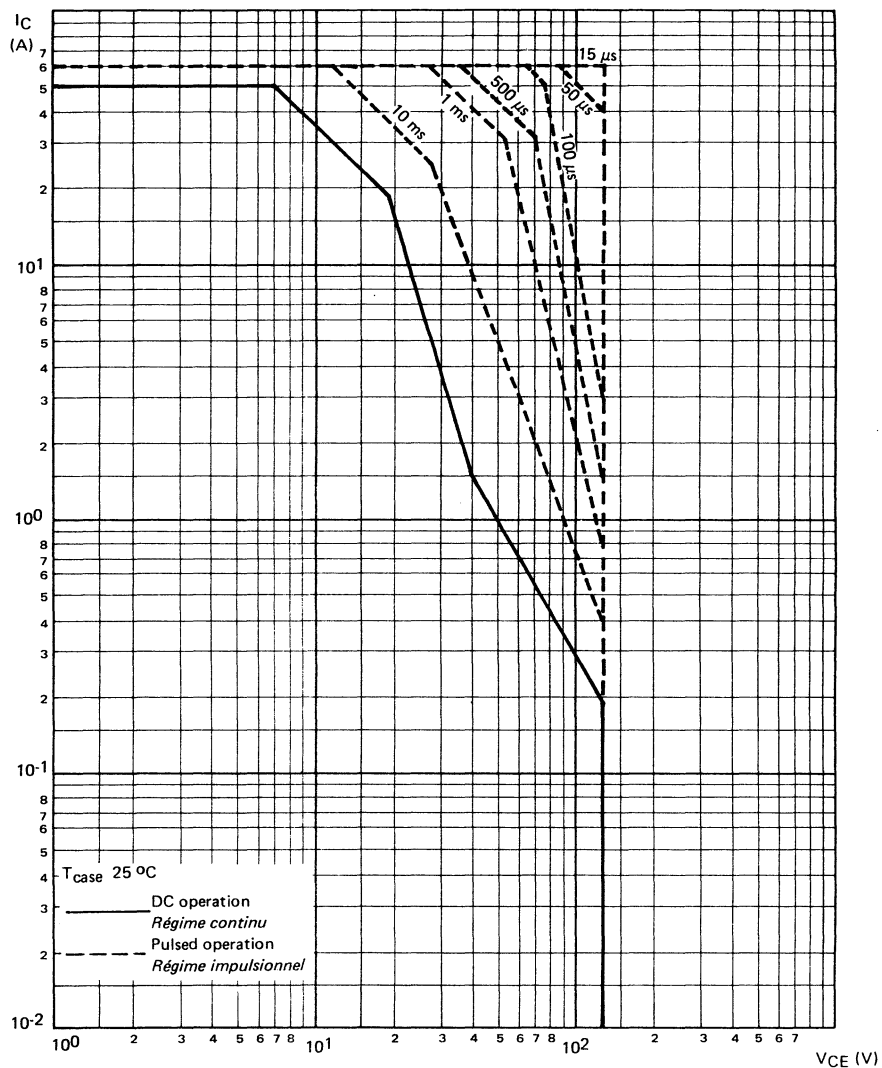
* Pulsed
Impulsions $t_p = 300 \mu\text{s}$ $\delta \leq 2\%$

DYNAMIC CHARACTERISTICS (for small signals)
CARACTÉRISTIQUES DYNAMIQUES (pour petits signaux)

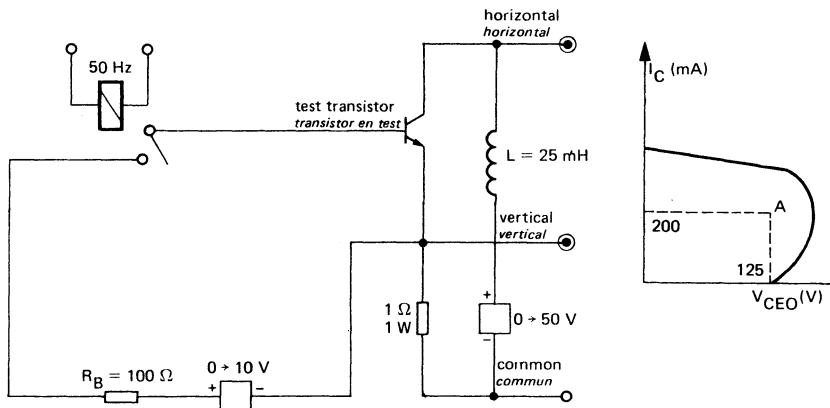
(Unless otherwise stated)
(Sauf indications contraires)

| | Test conditions <i>Conditions de mesure</i> | | | Min. | Typ. | Max. | |
|---|--|---|-------|------|------|------|---------------|
| Transition frequency <i>Fréquence de transition</i> | $V_{CE} = 15 \text{ V}$ $I_C = 2 \text{ A}$ $f = 10 \text{ MHz}$ | f_T | | 8 | | | MHz |
| Turn-on time <i>Temps total d'établissement</i> : (fig. 2) | $I_C = 50 \text{ A}$ $I_B = 5 \text{ A}$ | $t_d + t_r$ | | 0,9 | 1,5 | | μs |
| Fall time <i>Temps de décroissance</i> | (fig. 2) | $I_C = 50 \text{ A}$ $I_{B1} = 5 \text{ A}$ $I_{B2} = -5 \text{ A}$ | t_f | | 0,15 | 0,3 | μs |
| Carrier storage time <i>Retard à la décroissance</i> | (fig. 2) | $I_C = 50 \text{ A}$ $I_{B1} = 5 \text{ A}$ $I_{B2} = -5 \text{ A}$ | t_s | | 0,7 | 1,2 | μs |

SAFE OPERATING AREA
AIRE DE SECURITE



TEST CIRCUIT
MONTAGE DE TEST $V_{CEO(sus)}$ (fig. 1)

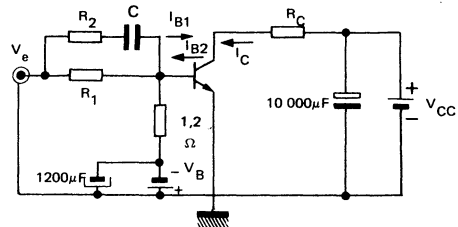
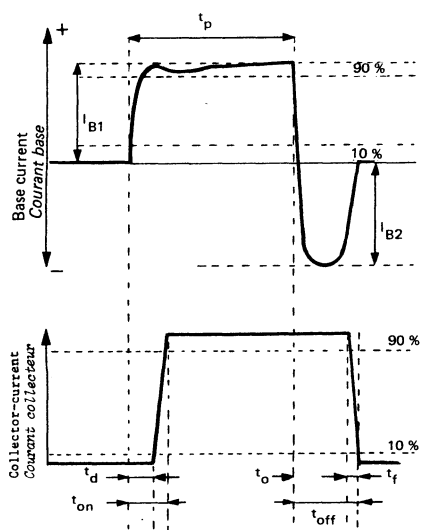


Note :

The sustaining voltage V_{CEO} is acceptable when the trace falls to the right and above point "A".
Les tensions V_{CEO} sont acceptables lorsque la trace passe au-delà du point A.

SWITCHING TIMES TEST CIRCUITS (and oscillograms)

CIRCUITS DE MESURE DES TEMPS DE COMMUTATION (et oscilloscopes) (figure 2)



$$\begin{aligned} R_C &= 1,2 \Omega & V_{CC} &\approx 60 \text{ V} \\ R_1 &= 2,2 \Omega & V_B &\approx 6 \text{ V} \\ R_2 &= 3,3 \Omega & V_e &\approx 28 \text{ V} \\ C &= 0,1 \mu\text{F} & \end{aligned}$$

I_{B1} and I_{B2} are measured with Tektronix probe P 6021 and amplifier type 134
 I_{B1} et I_{B2} sont mesurés avec une sonde Tektronix P 6021 et amplificateur type 134

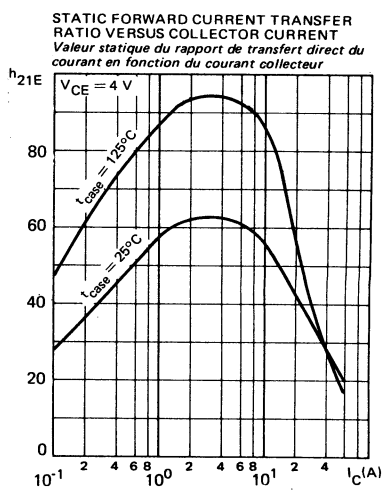
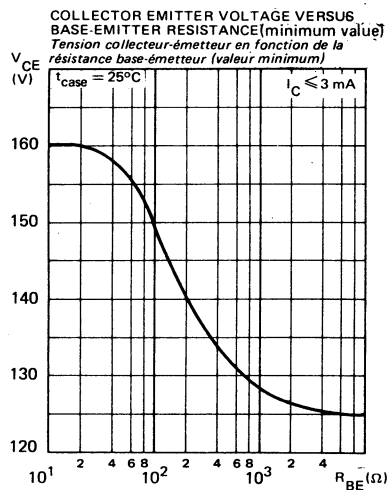
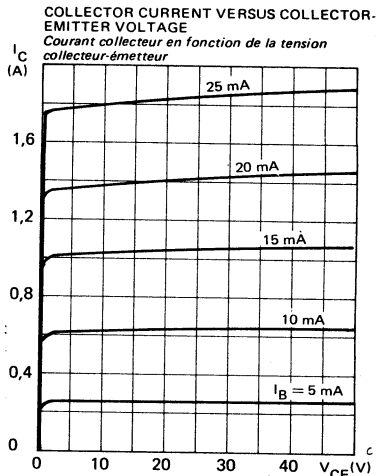
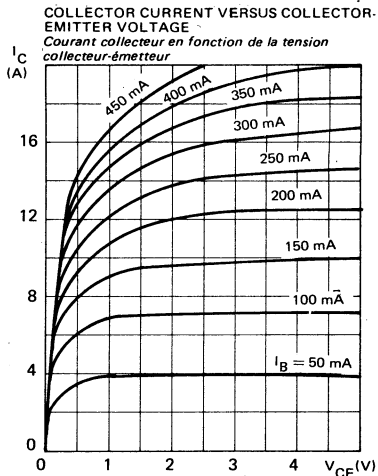
$$t_p \text{ pulse width} = 10 \mu\text{s} \quad t_r \frac{I_B}{I_B} \leqslant 0,5 \mu\text{s}$$

$$\text{duty cycle} \leqslant 1 \% \quad t_f \frac{I_B}{I_B} \leqslant 0,1 \mu\text{s}$$

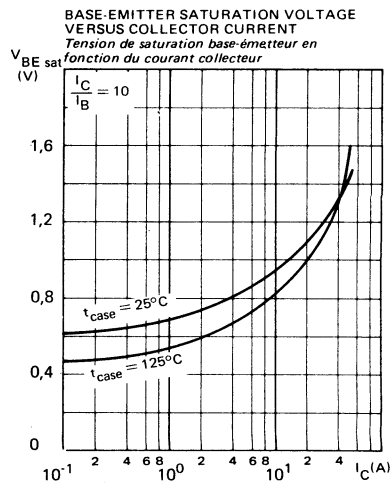
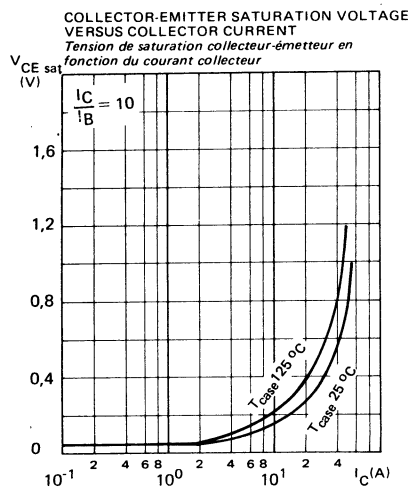
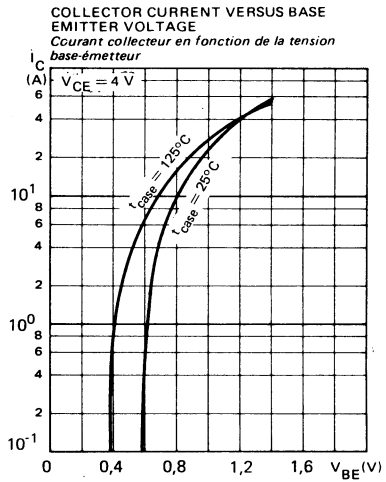
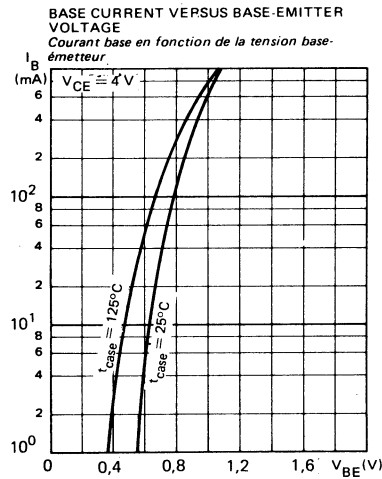
No inductive resistors

Résistances non inductives

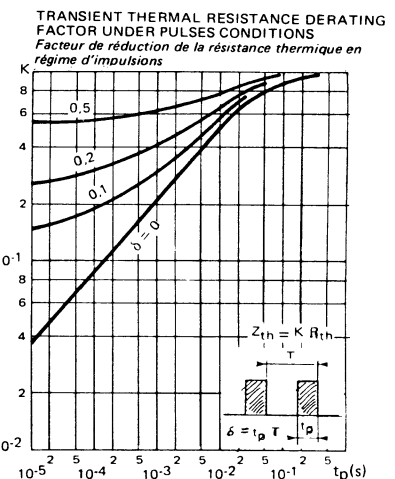
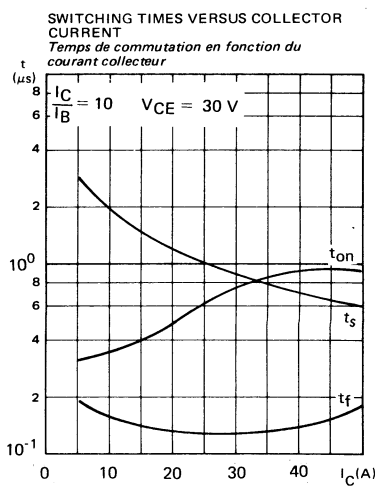
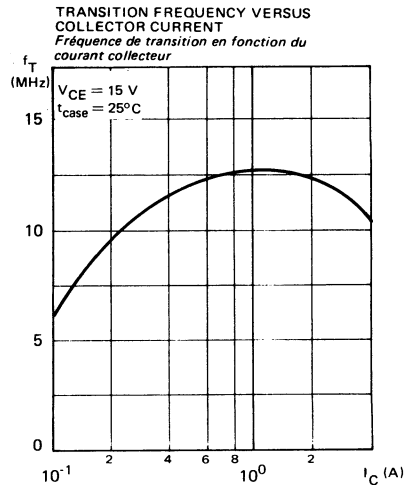
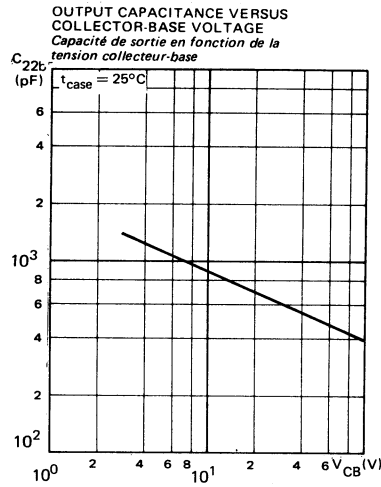
TYPICAL CHARACTERISTICS
CARACTÉRISTIQUES TYPHIQUES



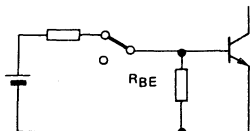
TYPICAL CHARACTERISTICS
CARACTÉRISTIQUES TYPHIQUES



TYPICAL CHARACTERISTICS
CARACTÉRISTIQUES TYPIQUES



SWITCHING OPERATING AND OVERLOAD AREAS



TRANSISTOR FORWARD BIASED

- During the turn on
- During the turn off without negative base-emitter voltage and $R_{BE} \geq 3 \Omega$

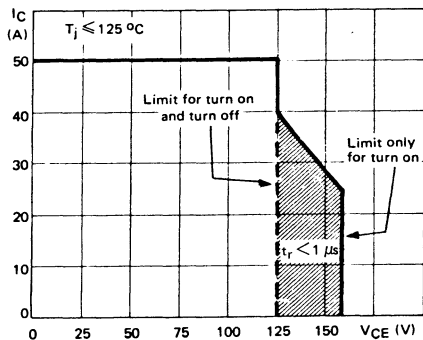
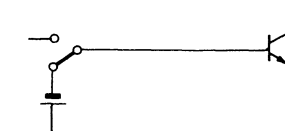


FIGURE 1 : Forward biased safe operating area (FBSOA)



TRANSISTOR REVERSE BIASED

- During the turn off with negative base-emitter voltage

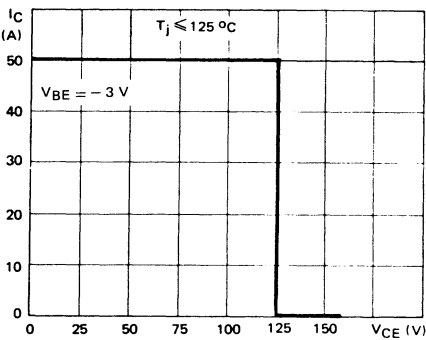


FIGURE 2 : Reverse biased safe operating area (RBSOA)

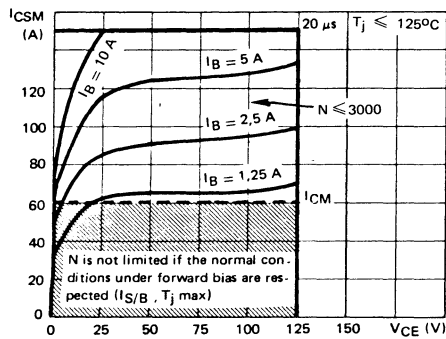


FIGURE 3 : Forward biased c. accidental overload area (FBAOA)

Figure 1 : The hatched zone can only be used for turn on.

Figures 3 and 4 : High accidental surge currents ($I > I_{CM}$) are allowed if they are non repetitive and applied less than 3000 times during the component life.

Figure 3 : The Kellogg network (heavy print) allows the calculation of the maximum value of the short-circuit current for a given base current I_B (90% confidence).

Figure 4 : After the accidental overload current, the RBAOA has to be used for the turn off.

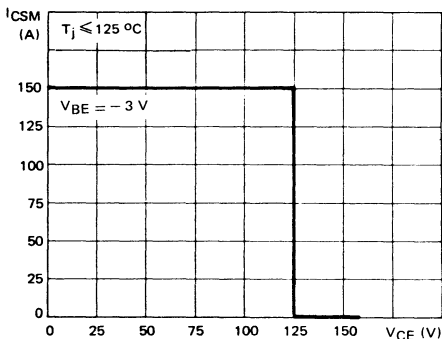


FIGURE 4 : Reverse biased accidental overload area (RBAOA)

Figure 1 : La zone hachurée ne doit être utilisée que pour la mise en conduction.

Figures 3 et 4 : De forts courants de surcharge ($I > I_{CM}$) sont permis s'ils sont non répétitifs et appliqués moins de 3000 fois dans la vie du composant.

Figure 3 : Le réseau de Kellogg (trait gras) permet le calcul de la valeur maximale du courant de court-circuit pour un courant de base donné I_B (90 % de confiance).

Figure 4 : Après le passage du courant de surcharge accidentelle, on doit utiliser l'aire de surcharge accidentelle en polarisation inverse pour l'ouverture.



SUPERSWITCH

HIGH CURRENT , HIGH SPEED TRANSISTORS SUITED FOR LOW VOLTAGE AND HIGH EFFICIENCY APPLICATIONS

MOUNTING SILICON CHIP WITH HARD SOLDER PROCESS, BOUNDS MECHANICAL CONSTRAINTS AND PROVIDES MAXIMUM INSURANCE AGAINST THERMAL FATIGUE.

- * Very high current capabilities

- * Fast turn-on and turn-off

- * S.O.A.R specified for : linear mode , switching mode, accidental surge

TRANSISTOR TRES RAPIDE, A FORT COURANT ADAPTE AUX APPLICATIONS BASSE TENSION ET A HAUT RENDEMENT

LE MONTAGE DE LA PASTILLE PAR UN PROCEDE DE SOUDURE DURE, LIMITE LES CONTRAINTES MECANIQUES ET PROCURE UN MAXIMUM DE GARANTIE CONTRE LA FATIGUE THERMIQUE

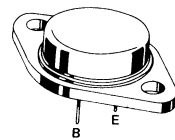
- * Possibilités très élevées en courant

- * Mise en conduction et blocage rapides

- * Aire de sécurité définie : en régime linéaire , en régime de commutation en régime de surcharge accidentelle

| | |
|----------------|------------------|
| V_{CEO} sus | 200 V |
| V_{CEX} | 250 V |
| $I_{C_{sat}}$ | 25 A |
| I_{CSM} | 120 A |
| t_f (25 A) | $\leq 0,4 \mu s$ |

Case
Boîtier CB 159



ABSOLUTE RATINGS (LIMITING VALUES)
VALEURS LIMITES ABSOLUES D'UTILISATION

| | | | | |
|---|------------------------------|-------------------|------------|----|
| Collector-base voltage <i>Tension collecteur-base</i> | | V_{CBO} | 250 | V |
| Collector-emitter voltage <i>Tension collecteur-émetteur</i> | | V_{CEO} | 200 | V |
| Collector-emitter voltage <i>Tension collecteur-émetteur</i> | $R_{BE} = 100 \Omega$ | V_{CER} | 240 | V |
| Collector-emitter voltage <i>Tension collecteur-émetteur</i> | $V_{BE} = -1,5 \text{ V}$ | V_{CEX} | 250 | V |
| Emitter-base voltage <i>Tension émetteur-base</i> | | V_{EBO} | 7 | V |
| Collector current <i>Courant collecteur</i> | $t_p = 10 \text{ ms}$ | I_C I_{CM} | 40 50 | A |
| Base current <i>Courant base</i> | | I_B | 8 | A |
| Power dissipation <i>Dissipation de puissance</i> | $T_{case}, 25^\circ\text{C}$ | P_{tot} | 350 | W |
| Junction temperature <i>Température de jonction</i> | | t_j | - 65 + 200 | °C |

| | | | | |
|--|-----|---------------|-----|------|
| Junction-case thermal resistance <i>Résistance thermique jonction-boîtier</i> | max | $R_{th(j-c)}$ | 0,5 | °C/W |
|--|-----|---------------|-----|------|

STATIC CHARACTERISTICS
CARACTÉRISTIQUES STATIONNAIRES
 $t_{case} = 25^\circ\text{C}$ (Unless otherwise stated)
(Sauf indications contraires)

| | Test conditions Conditions de mesure | | | Min. | Typ. | Max. |
|---|---|----------------|--|------|------|------|
| Collector-emitter cut-off current <i>Courant résiduel collecteur-émetteur</i> | $V_{CE} = 160 \text{ V}$ $I_B = 0$ | I_{CEO} | | | 3 | mA |
| Collector-emitter cut-off current <i>Courant résiduel collecteur-émetteur</i> | $V_{CE} = 250 \text{ V}$ $V_{BE} = -1,5 \text{ V}$ | I_{CEX} | | | 3 | mA |
| | $V_{CE} = 250 \text{ V}$ $V_{BE} = -1,5 \text{ V}$ $t_{case} = 125^\circ\text{C}$ | | | | 12 | mA |
| Emitter-base cut-off current <i>Courant résiduel émetteur-base</i> | $V_{EB} = 5 \text{ V}$ $I_C = 0$ | I_{EBO} | | | 1 | mA |
| Collector-emitter breakdown voltage <i>Tension de claquage collecteur-émetteur</i> (fig. 1) | $I_C = 200 \text{ mA}$ $I_B = 0$ $L = 25 \text{ mH}$ | $V_{CEO(sus)}$ | | 200 | | V |
| Emitter-base breakdown voltage <i>Tension de claquage émetteur-base</i> | $I_E = 50 \text{ mA}$ $I_C = 0$ | $V_{(BR)EBO}$ | | 7 | | V |
| Static forward current transfer ratio <i>Valeur statique du rapport de transfert direct du courant</i> | $V_{CE} = 2 \text{ V}$ $I_C = 12 \text{ A}$ | h_{21E}^* | | 20 | 60 | |
| | $V_{CE} = 4 \text{ V}$ $I_C = 25 \text{ A}$ | | | 10 | | |
| Collector-emitter saturation voltage <i>Tension de saturation collecteur-émetteur</i> | $I_C = 12 \text{ A}$ $I_B = 1,2 \text{ A}$ | V_{CEsat}^* | | 0,2 | 0,6 | V |
| | $I_C = 25 \text{ A}$ $I_B = 3 \text{ A}$ | | | 0,9 | 1,5 | V |
| Base-emitter saturation voltage <i>Tension de saturation base-émetteur</i> | $I_C = 25 \text{ A}$ $I_B = 3 \text{ A}$ | V_{BESat}^* | | 1,2 | 1,5 | V |
| Second breakdown collector current <i>Courant collecteur de second claquage</i> | $V_{CE} = 140 \text{ V}$ $t = 1 \text{ s}$ | $I_{S/B}$ | | 0,15 | | A |
| | $V_{CE} = 16 \text{ V}$ $t = 1 \text{ s}$ | | | 22 | | A |

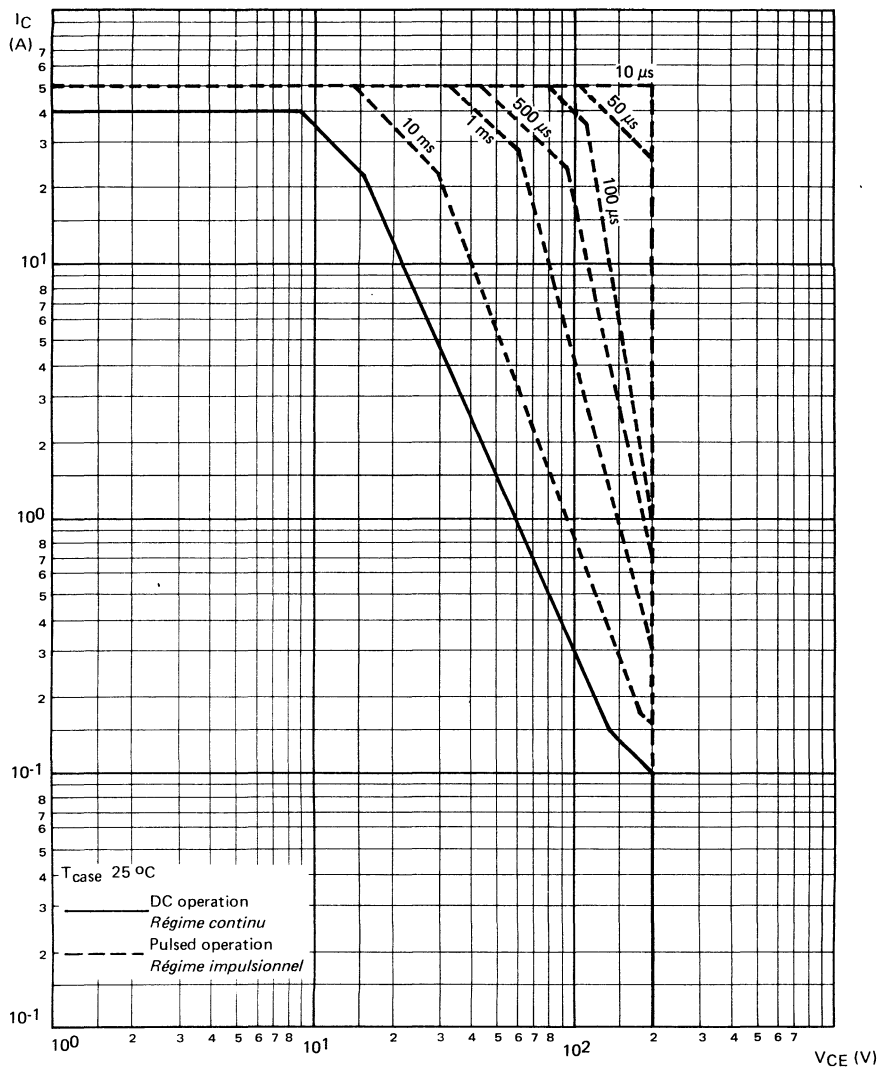
* Pulsed $t_p = 300 \mu\text{s}$ $\delta \leq 2\%$

DYNAMIC CHARACTERISTICS (for small signals)
CARACTÉRISTIQUES DYNAMIQUES (pour petits signaux)

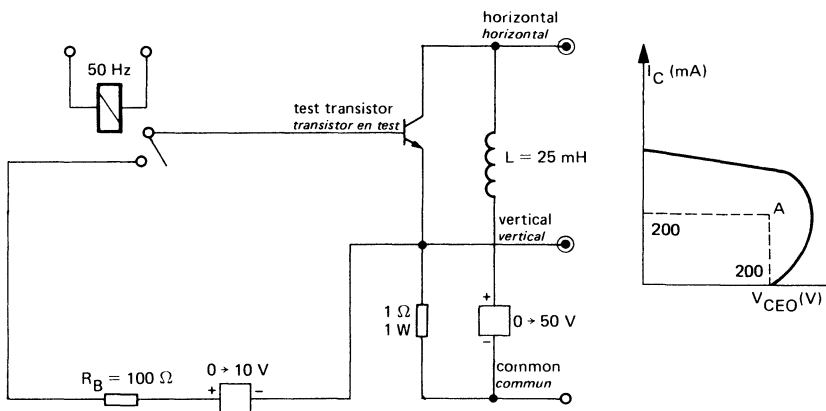
(Unless otherwise stated)
(Sauf indications contraires)

| | Test conditions <i>Conditions de mesure</i> | | | Min. | Typ. | Max. | |
|---|---|-------------|--|------|------|------|---------------|
| Transition frequency <i>Fréquence de transition</i> | $V_{CE} = 15 \text{ V}$ $I_C = 2 \text{ A}$ $f = 10 \text{ MHz}$ | f_T | | 8 | | | MHz |
| Turn-on time <i>Temps total d'établissement</i> | (fig. 2) $I_C = 25 \text{ A}$ $I_B = 3 \text{ A}$ | $t_d + t_r$ | | | 0,85 | 1,2 | μs |
| Fall time <i>Temps de décroissance</i> | (fig. 2) $I_C = 25 \text{ A}$ $I_{B1} = 3 \text{ A}$ $I_{B2} = -3 \text{ A}$ | t_f | | | 0,2 | 0,4 | μs |
| Carrier storage time <i>Retard à la décroissance</i> | (fig. 2) $I_C = 25 \text{ A}$ $I_{B1} = 3 \text{ A}$ $I_{B2} = -3 \text{ A}$ | t_s | | | 1 | 1,8 | μs |

SAFE OPERATING AREA
AIRE DE SECURITE



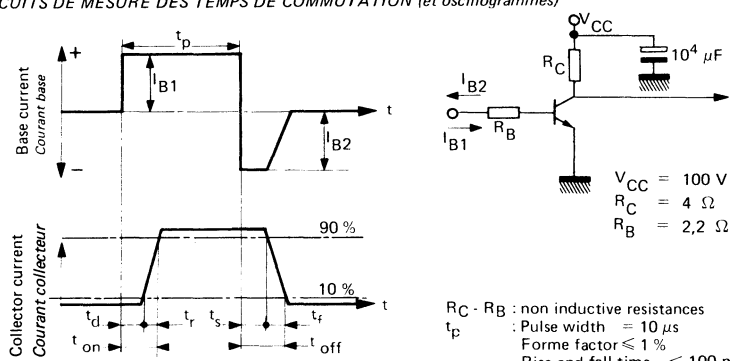
TEST CIRCUIT $V_{CEO(sus)}$ (fig. 1)



Note :

The sustaining voltage V_{CEO} is acceptable when the trace falls to the right and above point "A".
Les tensions V_{CEO} sont acceptables lorsque la trace passe au-delà du point A.

SWITCHING TIMES TEST CIRCUITS (and oscillograms)
CIRCUITS DE MESURE DES TEMPS DE COMMUTATION (et oscilloscopes) (fig. 2)



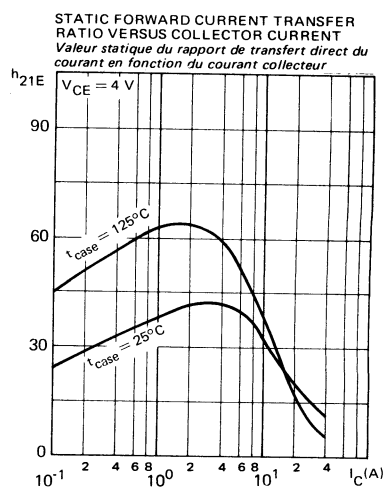
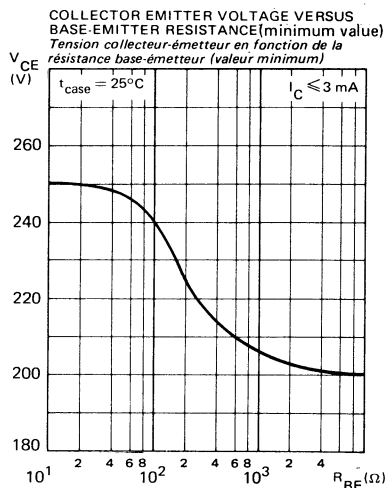
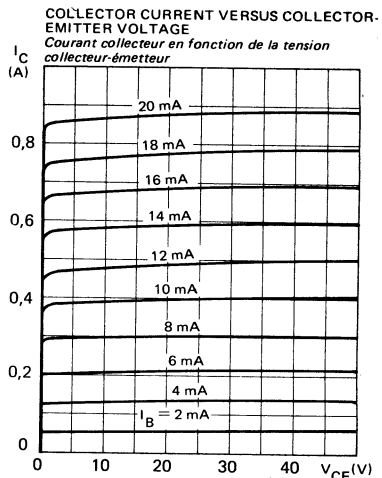
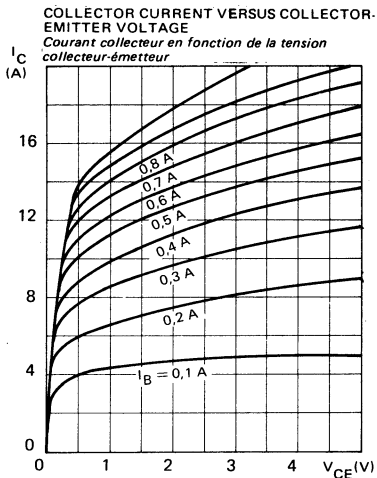
I_{B1} and I_{B2} measured with Tektronix probe P 6021 and Amplifier type 134

I_{B1} et I_{B2} sont mesurés avec une sonde Tektronix P 6021 et Amplificateur type 134

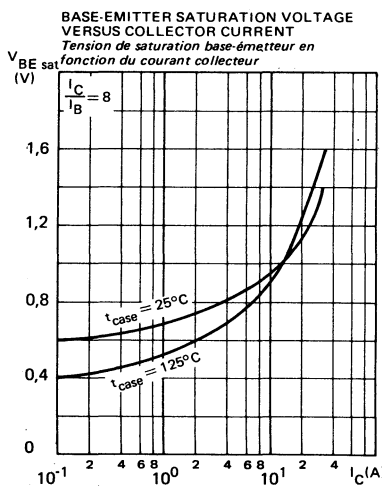
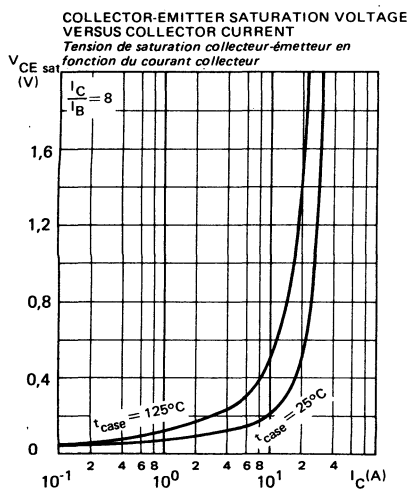
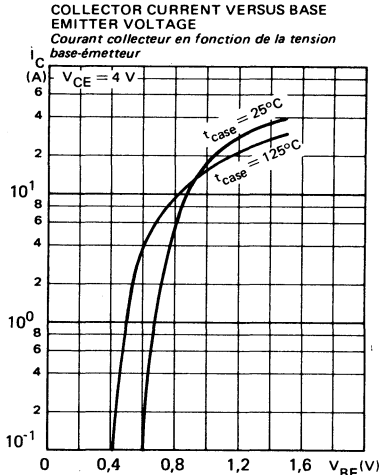
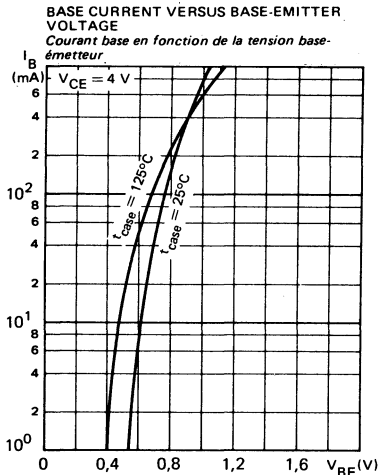
$R_C - R_B$: non inductive resistances
 t_p : Pulse width $= 10 \mu s$
 Forme factor $\leq 1 \%$
 Rise and fall time $\leq 100 ns$

$R_C - R_B$: résistances non inductives
 t_p : Largeur d'impulsion $= 10 \mu s$
 Facteur de forme $\leq 1 \%$
 Temps de montée et descente $\leq 100 ns$

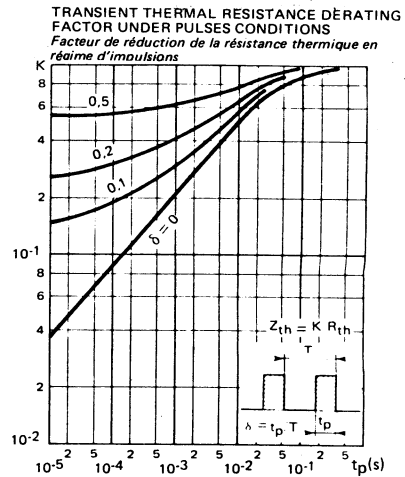
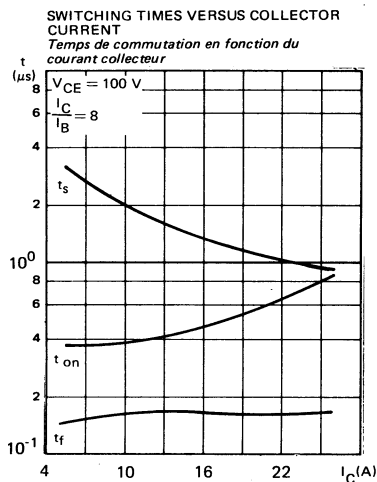
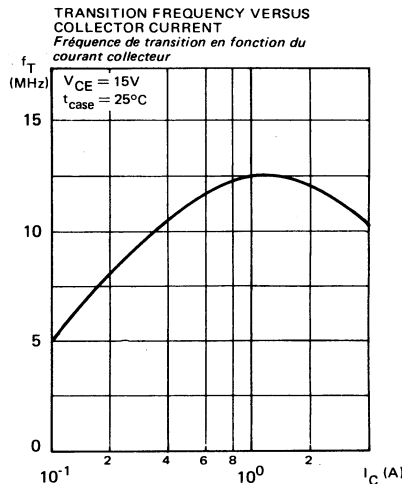
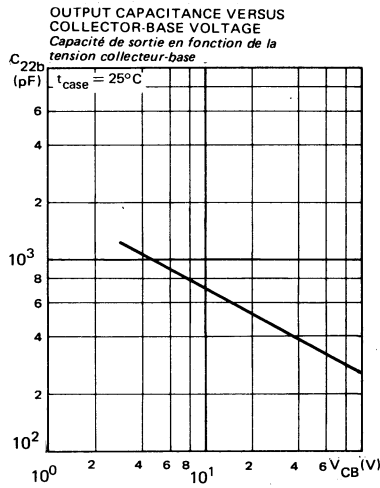
TYPICAL CHARACTERISTICS
CARACTÉRISTIQUES TYPIQUES



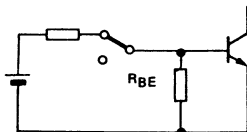
TYPICAL CHARACTERISTICS
CARACTÉRISTIQUES TYPHIQUES



TYPICAL CHARACTERISTICS
CARACTÉRISTIQUES TYPIQUES



SWITCHING OPERATING AND OVERLOAD AREAS



TRANSISTOR FORWARD BIASED

- During the turn on
- During the turn off without negative base-emitter voltage and $R_{BE} \geq 3 \Omega$

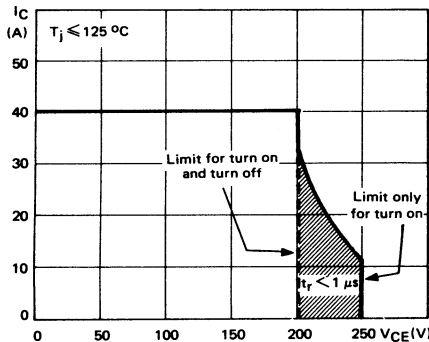
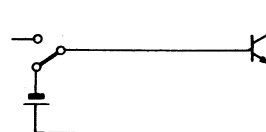


FIGURE 1 : Forward biased safe operating area (FBSOA)



TRANSISTOR REVERSE BIASED

- During the turn off with negative base-emitter voltage

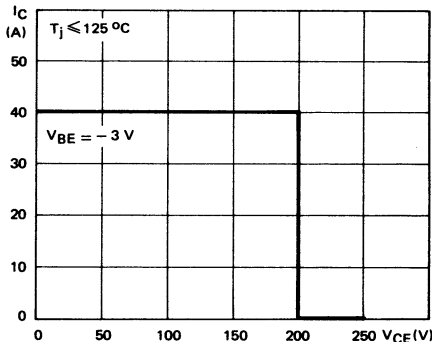


FIGURE 2 : Reverse biased safe operating area (RBSOA)

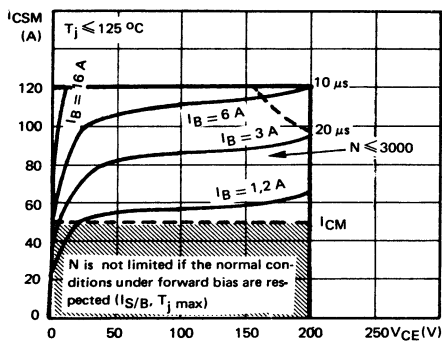


FIGURE 3 : Forward biased accidental overload area (FBAOA)

Figure 1 : The hatched zone can only be used for turn on.

Figures 3 and 4 : High accidental surge currents ($I > I_{CM}$) are allowed if they are non repetitive and applied less than 3000 times during the component life.

Figure 3 : The Kellogg network (heavy print) allows the calculation of the maximum value of the short-circuit current for a given base current I_B (90 % confidence).

Figure 4 : After the accidental overload current, the RBAOA has to be used for the turn off.

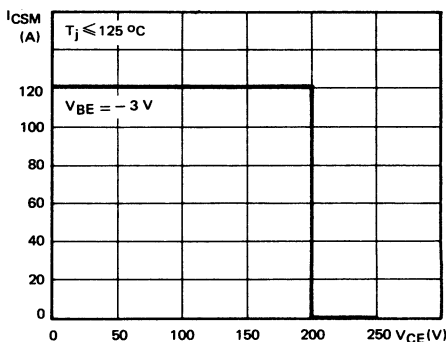


FIGURE 4 : Reverse biased accidental overload area (RBAOA)

Figure 1 : La zone hachurée ne doit être utilisée que pour la mise en conduction.

Figures 3 et 4 : De forts courants de surcharge ($I > I_{CM}$) sont permis s'ils sont non répétitifs et appliqués moins de 3000 fois dans la vie du composant.

Figure 3 : Le réseau de Kellogg (trait gras) permet le calcul de la valeur maximale du courant de court-circuit pour un courant de base donné I_B (90 % de confiance).

Figure 4 : Après le passage du courant de surcharge accidentelle, on doit utiliser l'aire de surcharge accidentelle en polarisation inverse pour l'ouverture.



SUPERSWITCH

HIGH CURRENT , HIGH SPEED TRANSISTORS SUITED FOR LOW VOLTAGE AND HIGH EFFICIENCY APPLICATIONS

MOUNTING SILICON CHIP WITH HARD SOLDER PROCESS BOUNDS MECHANICAL CONSTRAINTS AND PROVIDES MAXIMUM INSURANCE AGAINST THERMAL FATIGUE.

- * Very high current capabilities

- * Fast turn-on and turn-off

* S.O.A.R specified for : linear mode , switching mode, accidental surge

TRANSISTOR TRES RAPIDE, A FORT COURANT ADAPTE AUX APPLICATIONS BASSE TENSION ET A HAUT RENDEMENT

LE MONTAGE DE LA PASTILLE PAR UN PROCEDE DE SOUDURE DURE, LIMITE LES CONTRAINTEES MECANIQUES ET PROCURE UN MAXIMUM DE GARANTIE CONTRE LA FATIGUE THERMIQUE

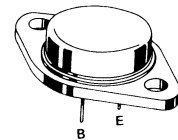
- * Possibilites très élevées en courant

- * Mise en conduction et blocage rapides

* Aire de sécurité définie : en régime linéaire , en régime de commutation en régime de surcharge accidentelle

| | |
|----------------|------------------|
| V_{CEO} sus | 250 V |
| V_{CEX} | 300 V |
| I_{Csat} | 20 A |
| I_{CSM} | 120 A |
| t_f (20 A) | $\leq 0,5 \mu s$ |

Case
Boîtier CB 159



ABSOLUTE RATINGS (LIMITING VALUES)
VALEURS LIMITES ABSOLUES D'UTILISATION

| | | | |
|---|-------------------|------------|----|
| Collector-base voltage <i>Tension collecteur-base</i> | V_{CBO} | 300 | V |
| Collector-emitter voltage <i>Tension collecteur-émetteur</i> | V_{CEO} | 250 | V |
| Collector-emitter voltage <i>Tension collecteur-émetteur</i> | V_{CER} | 290 | V |
| Collector-emitter voltage <i>Tension collecteur-émetteur</i> | V_{CEX} | 300 | V |
| Emitter-base voltage <i>Tension émetteur-base</i> | V_{EBO} | 7 | V |
| Collector current <i>Courant collecteur</i> | I_C I_{CM} | 40 50 | A |
| Base current <i>Courant base</i> | I_B | 8 | A |
| Power dissipation <i>Dissipation de puissance</i> | P_{tot} | 350 | W |
| Junction temperature <i>Température de jonction</i> | t_j | - 65 + 200 | °C |

Junction-case thermal resistance
Résistance thermique jonction-boîtier

max

$R_{th(j-c)}$

0,5

°C/W

STATIC CHARACTERISTICS
CARACTÉRISTIQUES STATIQUES

$t_{case} = 25^\circ\text{C}$

(Unless otherwise stated)
(Sauf indications contraires)

| | Test conditions Conditions de mesure | | | Min. | Typ. | Max. |
|---|---|----------------|--|------|------|------|
| Collector-emitter cut-off current <i>Courant résiduel collecteur-émetteur</i> | $V_{CE} = 200 \text{ V}$ $I_B = 0$ | I_{CEO} | | 3 | | mA |
| Collector-emitter cut-off current <i>Courant résiduel collecteur-émetteur</i> | $V_{CE} = 300 \text{ V}$ $V_{BE} = -1,5 \text{ V}$ | I_{CEX} | | 3 | | mA |
| | $V_{CE} = 300 \text{ V}$ $V_{BE} = -1,5 \text{ V}$ $t_{case} = 125^\circ\text{C}$ | | | 12 | | mA |
| Emitter-base cut-off current <i>Courant résiduel émetteur-base</i> | $V_{EB} = 5 \text{ V}$ $I_C = 0$ | I_{EBO} | | 1 | | mA |
| Collector-emitter breakdown voltage <i>Tension de claquage collecteur-émetteur</i> (fig. 1) | $I_C = 200 \text{ mA}$ $I_B = 0$ $L = 25 \text{ mH}$ | $V_{CEO(sus)}$ | | 250 | | V |
| Emitter-base breakdown voltage <i>Tension de claquage émetteur-base</i> | $I_E = 50 \text{ mA}$ $I_C = 0$ | $V_{(BR)EBO}$ | | 7 | | V |
| Static forward current transfer ratio <i>Valeur statique du rapport de transfert direct du courant</i> | $V_{CE} = 4 \text{ V}$ $I_C = 10 \text{ A}$ | h_{21E}^* | | 20 | 60 | |
| | $V_{CE} = 4 \text{ V}$ $I_C = 20 \text{ A}$ | | | 10 | | |
| Collector-emitter saturation voltage <i>Tension de saturation collecteur-émetteur</i> | $I_C = 10 \text{ A}$ $I_B = 1 \text{ A}$ | V_{CEsat}^* | | 0,2 | 1 | V |
| | $I_C = 20 \text{ A}$ $I_B = 2,5 \text{ A}$ | | | 0,5 | 1,5 | V |
| Base-emitter saturation voltage <i>Tension de saturation base-émetteur</i> | $I_C = 20 \text{ A}$ $I_B = 2,5 \text{ A}$ | V_{BESat}^* | | 1,2 | 1,5 | V |
| Second breakdown collector current <i>Courant collecteur de second claquage</i> | $V_{CE} = 140 \text{ V}$ $t = 1 \text{ s}$ | $I_{S/B}$ | | 0,15 | | A |
| | $V_{CE} = 16 \text{ V}$ $t = 1 \text{ s}$ | | | 22 | | A |

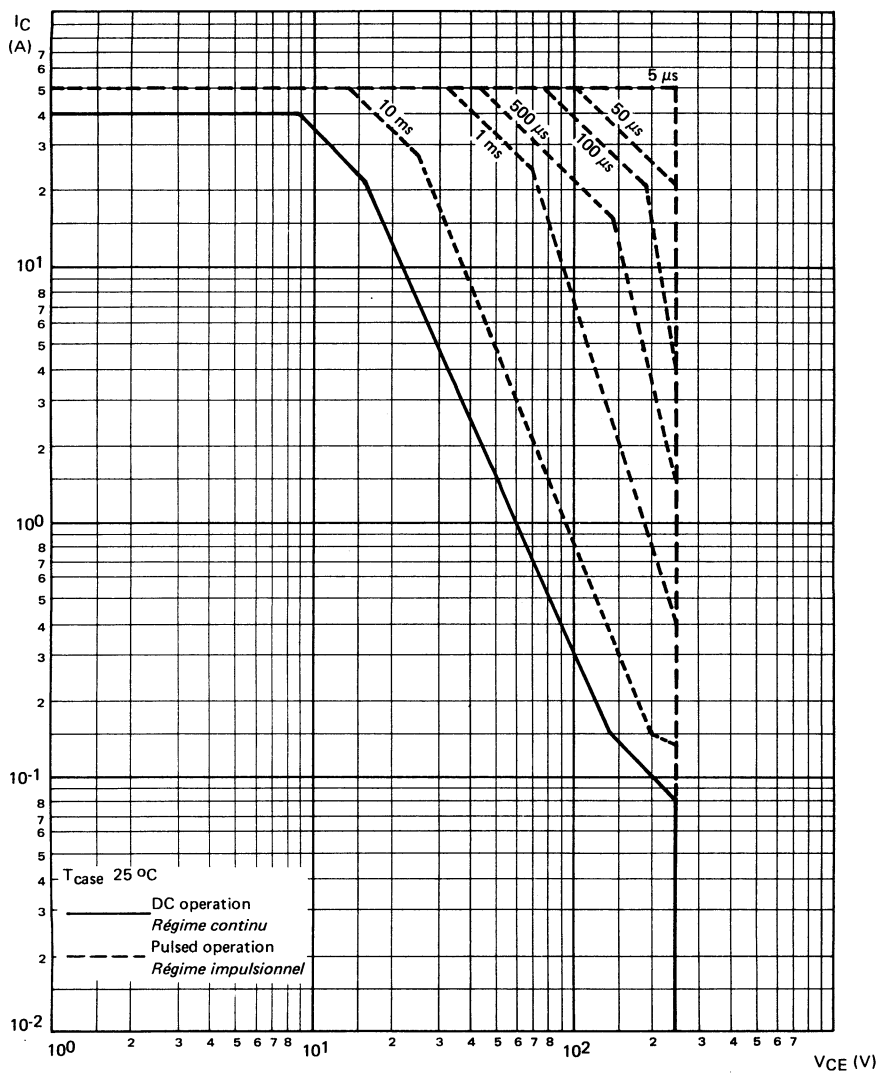
* Pulsed
Impulsions $t_p = 300 \mu\text{s}$ $\delta \leq 2\%$

DYNAMIC CHARACTERISTICS (for small signals)
CARACTÉRISTIQUES DYNAMIQUES (pour petits signaux)

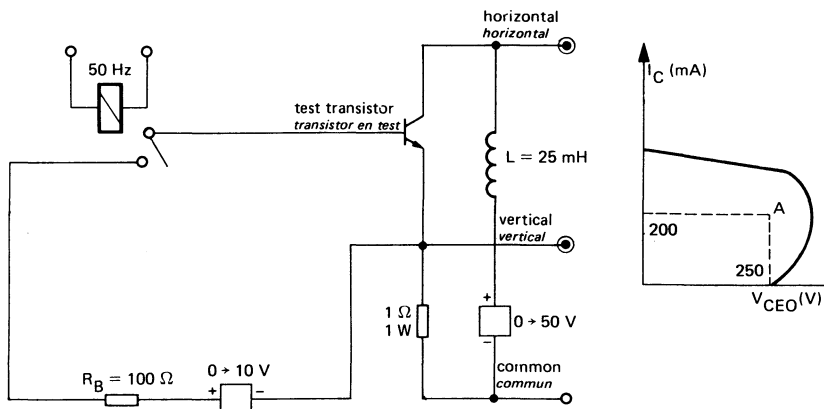
(Unless otherwise stated)
(Sauf indications contraires)

| | Test conditions <i>Conditions de mesure</i> | | | Min. | Typ. | Max. |
|--|---|-------------|--|------|------|---------------|
| Transition frequency <i>Fréquence de transition</i> | $V_{CE} = 15 \text{ V}$ $I_C = 2 \text{ A}$ $f = 10 \text{ MHz}$ | t_T | | 8 | | MHz |
| Turn-on time <i>Temps total d'établissement</i> : (fig. 2) | $I_C = 20 \text{ A}$ $I_B = 2,5 \text{ A}$ | $t_d + t_r$ | | 0,75 | 1,3 | μs |
| Fall time <i>Temps de décroissance</i> : (fig. 2) | $I_C = 20 \text{ A}$ $I_{B1} = 2,5 \text{ A}$ $I_{B2} = -2,5 \text{ A}$ | t_f | | 0,2 | 0,5 | μs |
| Carrier storage time <i>Retard à la décroissance</i> : (fig. 2) | $I_C = 20 \text{ A}$ $I_{B1} = 2,5 \text{ A}$ $I_{B2} = -2,5 \text{ A}$ | t_s | | 1,25 | 2 | μs |

SAFE OPERATING AREA
AIRE DE SECURITE



TEST CIRCUIT $V_{CEO(sus)}$ (fig. 1)

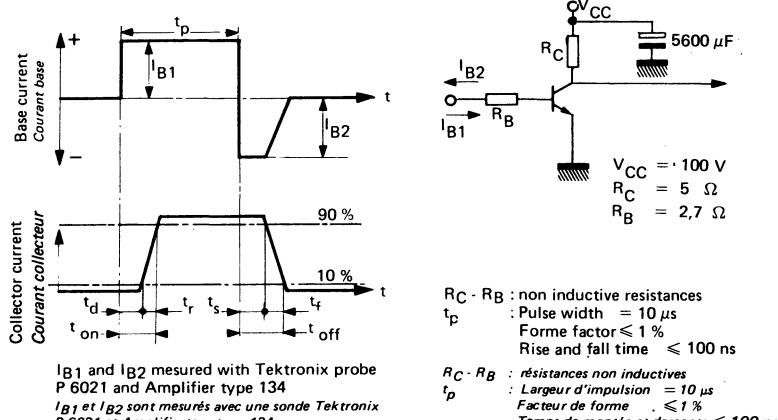


Note :

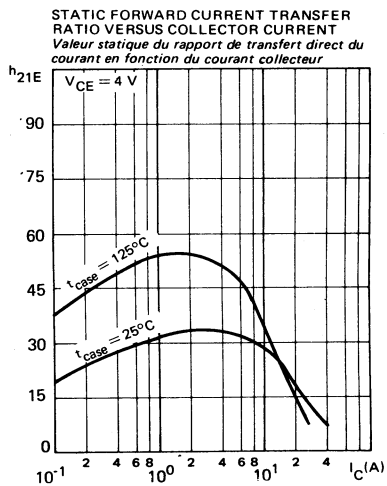
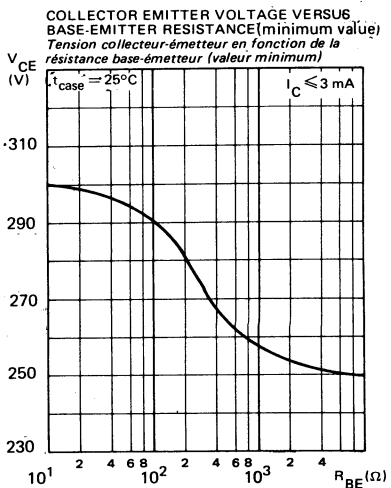
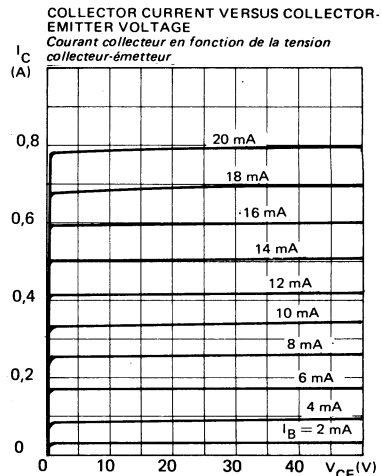
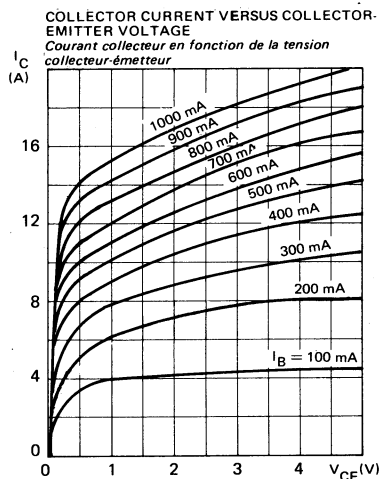
The sustaining voltage V_{CEO} is acceptable when the trace falls to the right and above point "A".
Les tensions V_{CEO} sont acceptables lorsque la trace passe au-delà du point A.

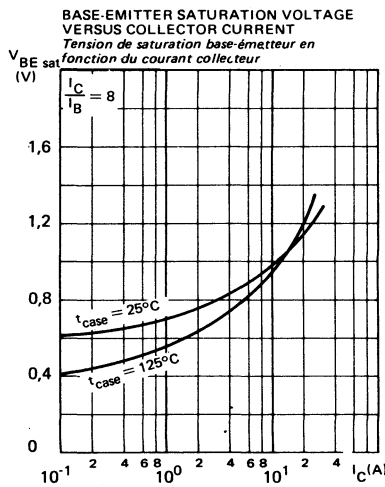
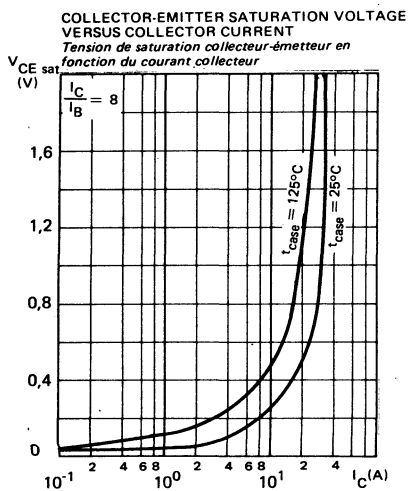
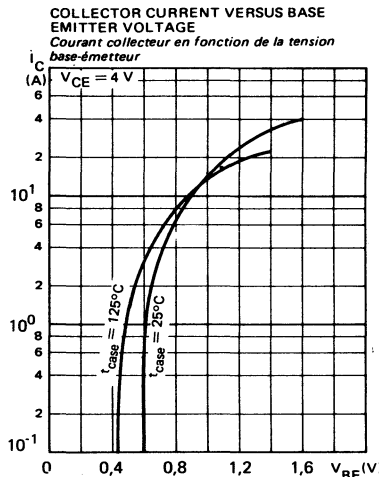
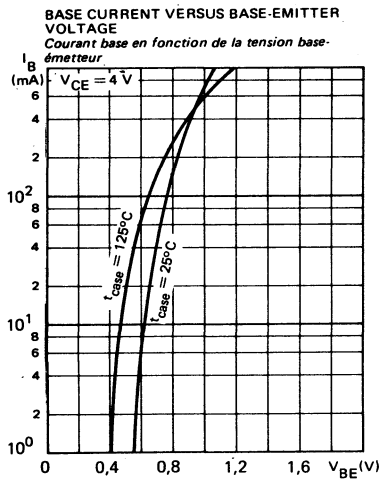
SWITCHING TIMES TEST CIRCUITS (and oscillograms) (fig. 2)

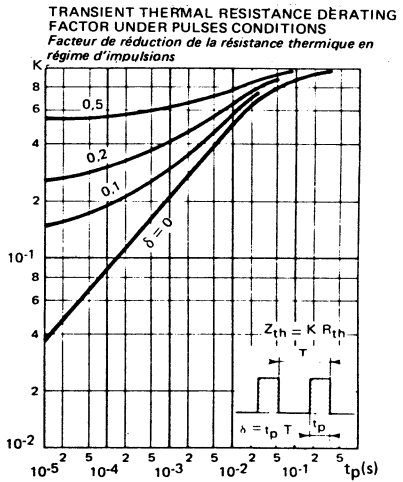
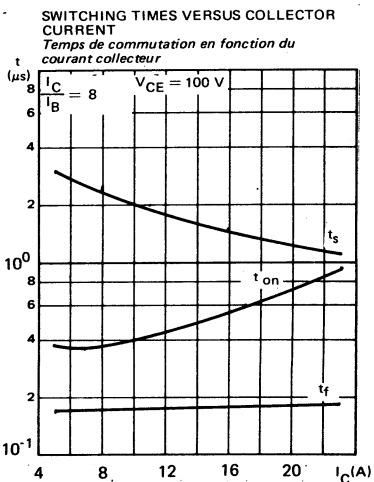
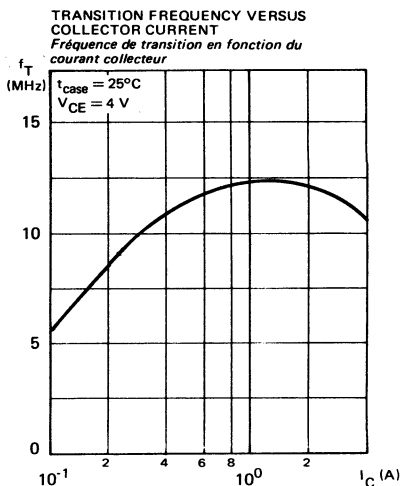
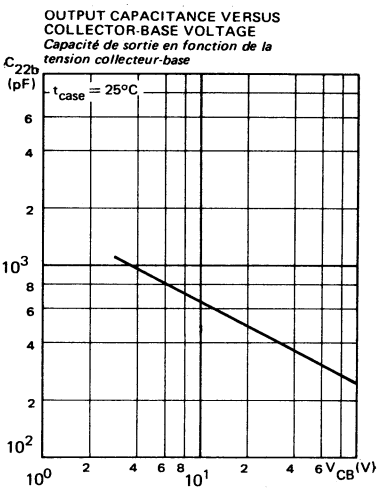
CIRCUITS DE MESURE DES TEMPS DE COMMUTATION (et oscilloscopes)



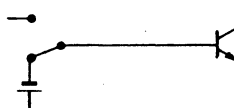
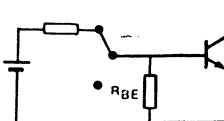
TYPICAL CHARACTERISTICS
CARACTÉRISTIQUES TYPHIQUES







SWITCHING OPERATING AND OVERLOAD AREAS



TRANSISTOR FORWARD BIASED

- During the turn on
- During the turn off without negative base-emitter voltage
and $R_{BE} \geq 3 \Omega$

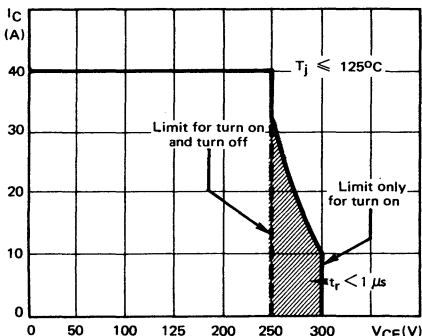


FIGURE 1 : Forward biased safe operating area (FBSOA)

TRANSISTOR REVERSE BIASED

- During the turn off with negative base-emitter voltage

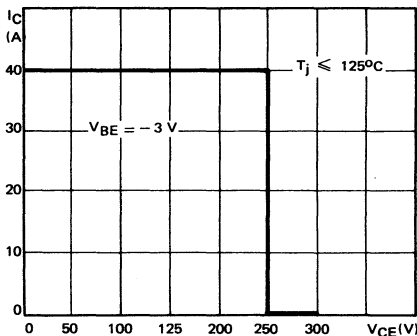


FIGURE 2 : Reverse biased safe operating area (RBSOA)

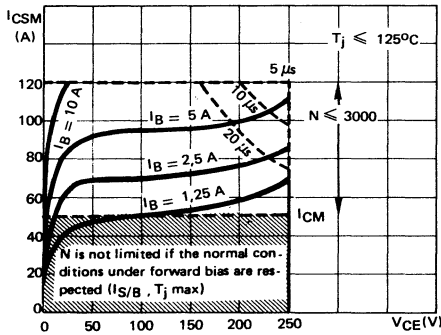


FIGURE 3 : Forward biased accidental overload area (FBAOA)

Figure 1 : The hatched zone can only be used for turn on.

Figures 3 and 4 : High accidental surge currents ($I > I_{CM}$) are allowed if they are non repetitive and applied less than 3000 times during the component life.

Figure 3 : The Kellogg network (heavy print) allows the calculation of the maximum value of the short-circuit current for a given base current I_B (90% confidence).

Figure 4 : After the accidental overload current, the RBAOA has to be used for the turn off.

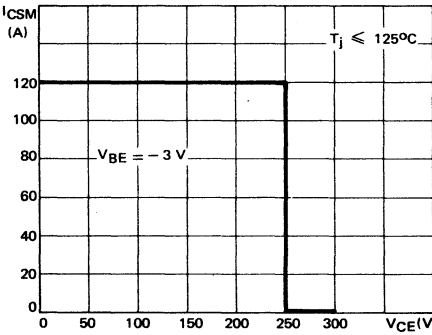


FIGURE 4 : Reverse biased accidental overload area (RBAOA)

Figure 1 : La zone hachurée ne doit être utilisée que pour la mise en conduction.

Figures 3 et 4 : De forts courants de surcharge ($I > I_{CM}$) sont permis s'ils sont non répétitifs et appliqués moins de 3000 fois dans la vie du composant.

Figure 3 : Le réseau de Kellogg (trait gras) permet le calcul de la valeur maximale du courant de court-circuit pour un courant de base donné I_B (90 % de confiance).

Figure 4 : Après le passage du courant de surcharge accidentelle, on doit utiliser l'aire de surcharge accidentelle en polarisation inverse pour l'ouverture.

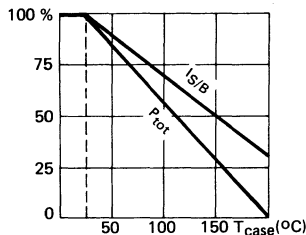


**NPN SILICON TRANSISTOR, TRIPLE DIFFUSED MESA
TRANSISTOR SILICIUM NPN, MESA TRIPLE DIFFUSE**

High speed, high current, high power transistor
Transistor de puissance rapide, fort courant

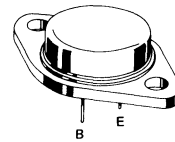
Switching and amplifier transistor
Transistor d'amplification et de commutation

Dissipation and I_{SB} derating
Variation de dissipation et de I_{SB}



| | |
|----------------|---------------------------------------|
| V_{CEO} | 325 V |
| I_C | 30 A |
| P_{tot} | 350 W |
| $R_{th(j-c)}$ | $\leq 0,5 \text{ }^{\circ}\text{C/W}$ |
| t_f (16 A) | $\leq 1,2 \mu\text{s}$ |

Case Boîtier CB 159



ABSOLUTE RATINGS (LIMITING VALUES)
VALEURS LIMITES ABSOLUES D'UTILISATION

| | | | | |
|---|--|--------------------|------------|--------------------|
| Collector-base voltage <i>Tension collecteur-base</i> | | V_{CBO} | 400 | V |
| Collector-emitter voltage <i>Tension collecteur-émetteur</i> | | V_{CEO} | 325 | V |
| Collector-emitter voltage <i>Tension collecteur-émetteur</i> | $R_{BE} = 100 \Omega$ | V_{CER} | 390 | V |
| Collector-emitter voltage <i>Tension collecteur-émetteur</i> | $V_{BE} = -1,5 \text{ V}$ | V_{CEX} | 400 | V |
| Emitter-base voltage <i>Tension émetteur-base</i> | | V_{EBO} | 7 | V |
| Collector current <i>Courant collecteur</i> | $t_p = 10 \text{ ms}$ | I_C I_{CM} | 30 40 | A |
| Base current <i>Courant base</i> | | I_B | 6 | A |
| Power dissipation <i>Dissipation de puissance</i> | $T_{case} 25 \text{ }^{\circ}\text{C}$ | P_{tot} | 350 | W |
| Storage and junction temperature <i>Température de jonction et de stockage</i> | max | t_j T_{stg} | - 65 + 200 | $^{\circ}\text{C}$ |

| | | | | |
|--|-----|---------------|-----|----------------------|
| Junction-case thermal resistance <i>Résistance thermique jonction boîtier</i> | max | $R_{th(j-c)}$ | 0,5 | $^{\circ}\text{C/W}$ |
|--|-----|---------------|-----|----------------------|

STATIC CHARACTERISTICS
CARACTÉRISTIQUES STATIQUES $t_{case} = 25^\circ\text{C}$ (Unless otherwise stated)
(Sauf indications contraires)

| | Test conditions Conditions de mesure | | | Min. | Typ. | Max. |
|---|---|----------------|--|------|------|------|
| Collector-emitter cut-off current <i>Courant résiduel collecteur-émetteur</i> | $V_{CE} = 260 \text{ V}$ $I_B = 0$ | I_{CEO} | | | 3 | mA |
| Collector-emitter cut-off current <i>Courant résiduel collecteur-émetteur</i> | $V_{CE} = 400 \text{ V}$ $V_{BE} = -1,5 \text{ V}$ | I_{CEX} | | | 3 | mA |
| | $V_{CE} = 400 \text{ V}$ $V_{BE} = -1,5 \text{ V}$ $t_{case} = 125^\circ\text{C}$ | | | | 12 | mA |
| Emitter-base cut-off current <i>Courant résiduel émetteur-base</i> | $V_{EB} = 5 \text{ V}$ $I_C = 0$ | I_{EBO} | | | 1 | mA |
| Collector-emitter breakdown voltage <i>Tension de claquage collecteur-émetteur</i> (fig. 1) | $I_C = 200 \text{ mA}$ $I_B = 0$ $L = 25 \text{ mH}$ | $V_{CEO(sus)}$ | | 325 | | V |
| Emitter-base breakdown voltage <i>Tension de claquage émetteur-base</i> | $I_E = 50 \text{ mA}$ $I_C = 0$ | $V_{(BR)EBO}$ | | 7 | | V |
| Static forward current transfer ratio <i>Valeur statique du rapport de transfert direct du courant</i> | $V_{CE} = 4 \text{ V}$ $I_C = 8 \text{ A}$ | h_{21E}^* | | 15 | 60 | |
| | $V_{CE} = 4 \text{ V}$ $I_C = 16 \text{ A}$ | | | 8 | | |
| Collector-emitter saturation voltage <i>Tension de saturation collecteur-émetteur</i> | $I_C = 8 \text{ A}$ $I_B = 1,6 \text{ A}$ | V_{CEsat}^* | | 0,2 | 0,8 | V |
| | $I_C = 16 \text{ A}$ $I_B = 3,2 \text{ A}$ | | | 0,35 | 1 | V |
| Base-emitter saturation voltage <i>Tension de saturation base-émetteur</i> | $I_C = 16 \text{ A}$ $I_B = 3,2 \text{ A}$ | V_{BEsat}^* | | 1,15 | 1,5 | V |
| Second breakdown collector current <i>Courant collecteur de second claquage</i> | $V_{CE} = 140 \text{ V}$ $t = 1 \text{ s}$ | $I_{S/B}$ | | 0,15 | | A |
| | $V_{CE} = 16 \text{ V}$ $t = 1 \text{ s}$ | | | 22 | | A |

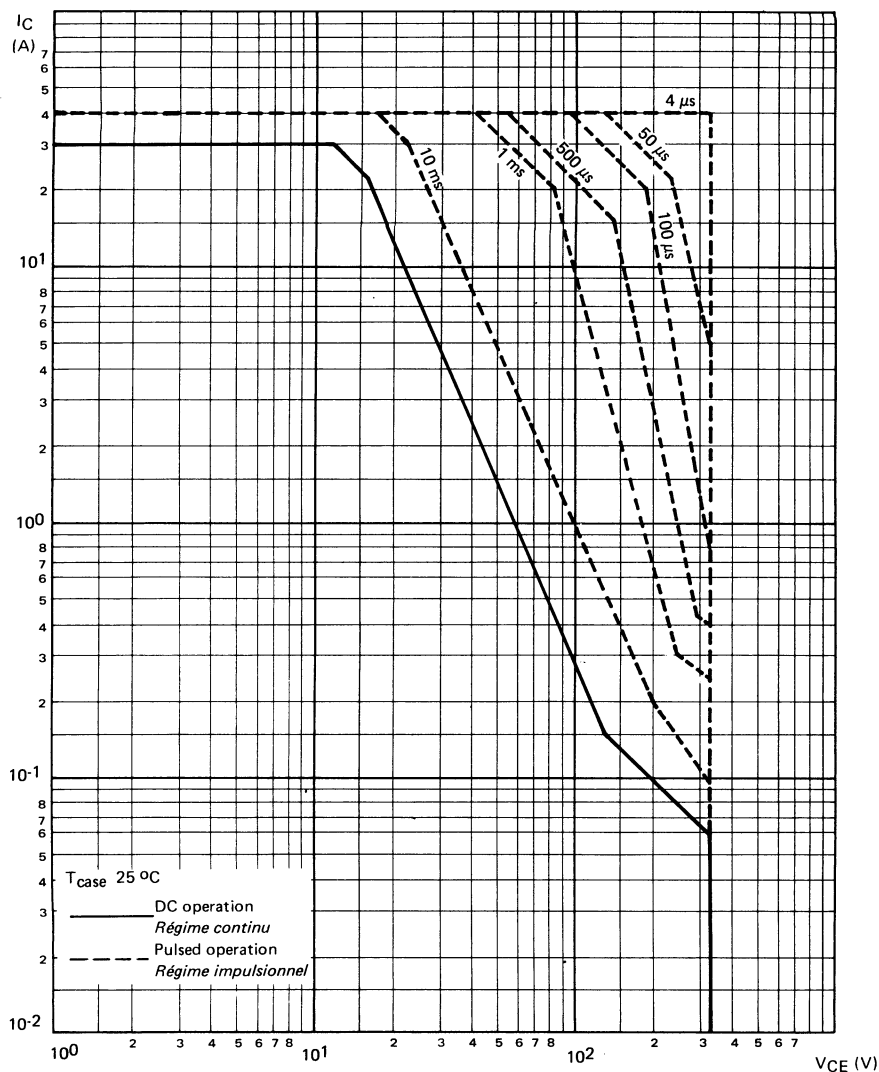
* Pulsed Impulses $t_p = 300 \mu\text{s}$ $\delta \leq 2\%$

DYNAMIC CHARACTERISTICS (for small signals)
CARACTÉRISTIQUES DYNAMIQUES (pour petits signaux)

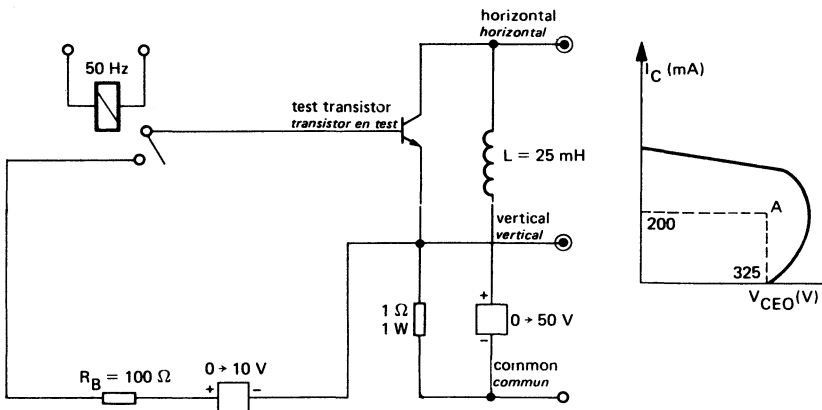
(Unless otherwise stated)
(Sauf indications contraires)

| | Test conditions <i>Conditions de mesure</i> | | | Min. | Typ. | Max. | |
|---|--|---|-------------|------|------|------|---------------|
| Transition frequency <i>Fréquence de transition</i> | $V_{CE} = 15 \text{ V}$ $I_C = 2 \text{ A}$ $f = 10 \text{ MHz}$ | f_T | | 8 | | | MHz |
| Turn-on time <i>Temps total d'établissement</i> | (fig. 2) | $I_C = 16 \text{ A}$ $I_B = 3,2 \text{ A}$ | $t_d + t_r$ | | 0,55 | 1,3 | μs |
| Fall time <i>Temps de décroissance</i> | (fig. 2) | $I_C = 16 \text{ A}$ $I_{B1} = 3,2 \text{ A}$ $I_{B2} = -3,2 \text{ A}$ | t_f | | 0,26 | 1,2 | μs |
| Carrier storage time <i>Retard à la décroissance</i> | (fig. 2) | $I_C = 16 \text{ A}$ $I_{B1} = 3,2 \text{ A}$ $I_{B2} = -3,2 \text{ A}$ | t_s | | 1,7 | 2,5 | μs |

SAFE OPERATING AREA
AIRE DE SECURITE



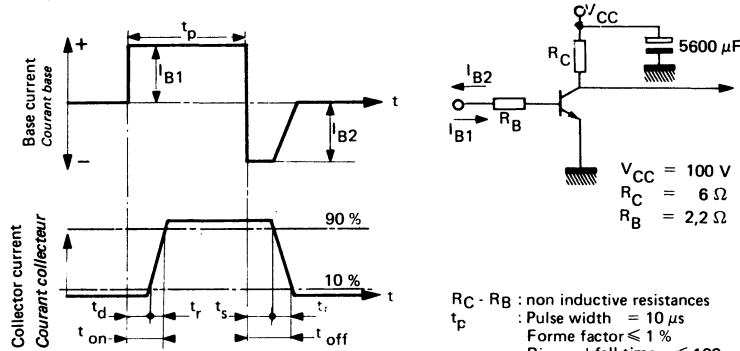
TEST CIRCUIT $V_{CEO(sus)}$ (fig. 1)



Note :

The sustaining voltage V_{CEO} is acceptable when the trace falls to the right and above point "A".
Les tensions V_{CEO} sont acceptables lorsque la trace passe au-delà du point A.

SWITCHING TIMES TEST CIRCUITS (and oscillograms)
CIRCUITS DE MESURE DES TEMPS DE COMMUTATION (et oscilloscopes) (fig. 2)



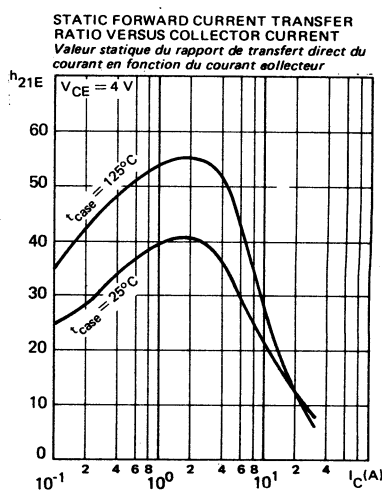
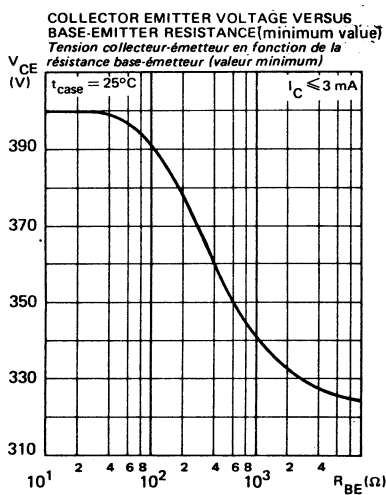
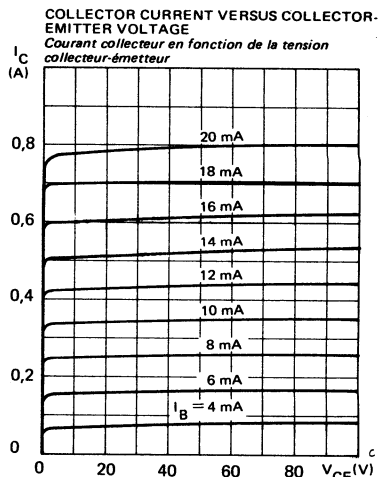
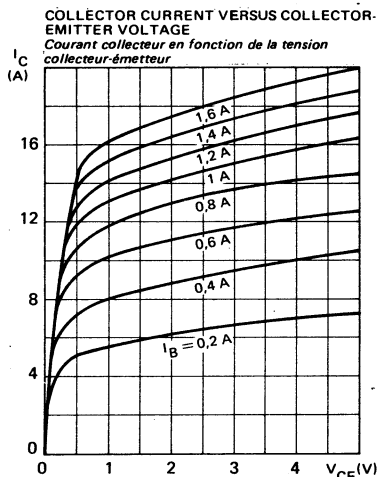
I_{B1} and I_{B2} measured with Tektronix probe P 6021 and Amplifier type 134

I_{B1} et I_{B2} sont mesurés avec une sonde Tektronix P 6021 et Amplificateur type 134

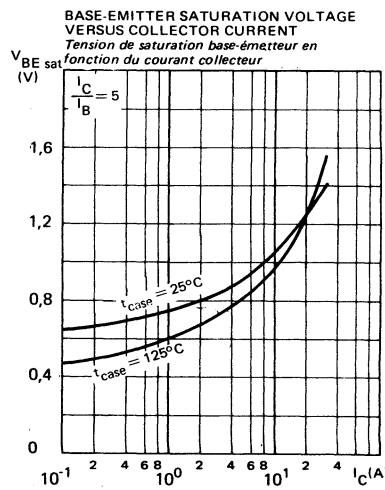
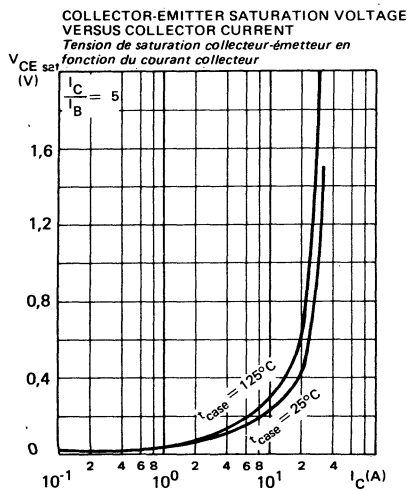
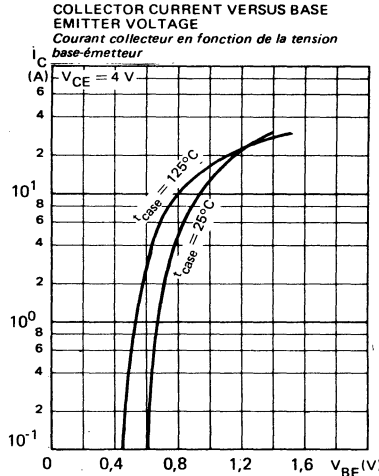
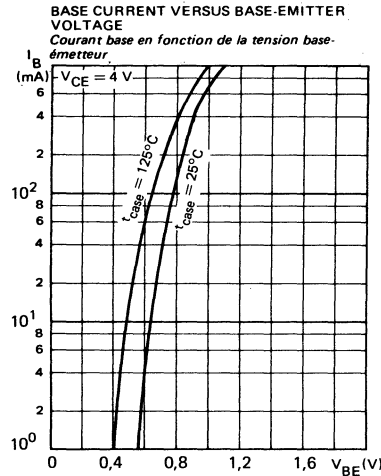
$R_C - R_B$: non inductive resistances
 t_p : Pulse width = $10 \mu\text{s}$
 Forme factor $\leq 1 \%$
 Rise and fall time $\leq 100 \text{ ns}$

$R_C - R_B$: résistances non inductives
 t_p : Largeur d'impulsion = $10 \mu\text{s}$
 Facteur de forme $\leq 1 \%$
 Temps de montée et descente $\leq 100 \text{ ns}$

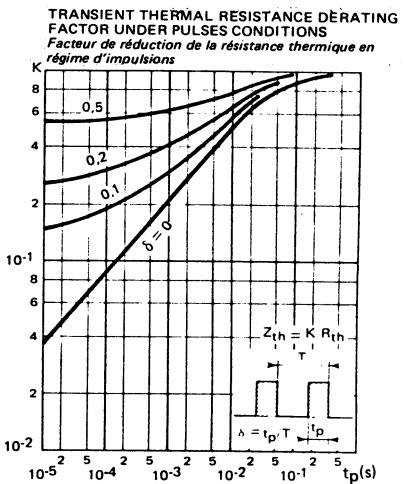
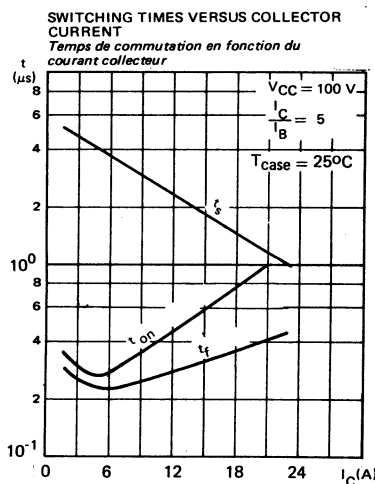
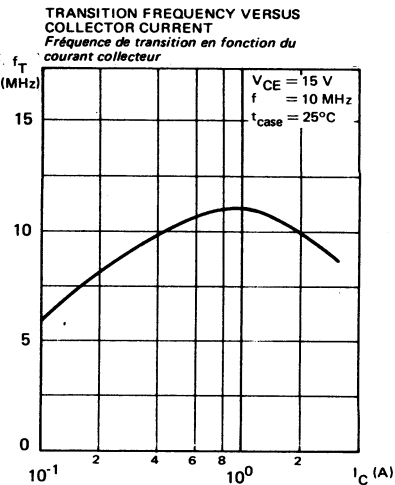
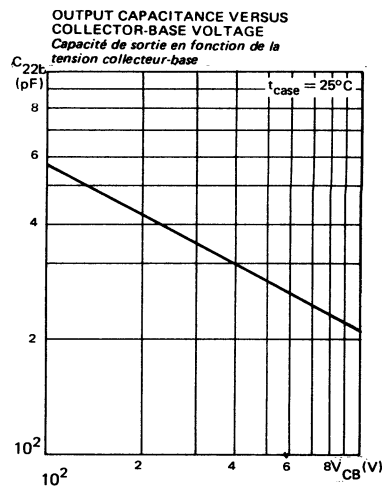
TYPICAL CHARACTERISTICS
CARACTÉRISTIQUES TYPIQUES



TYPICAL CHARACTERISTICS
CARACTÉRISTIQUES TYPIQUES



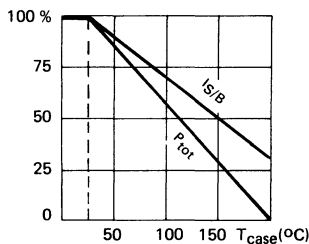
TYPICAL CHARACTERISTICS
CARACTÉRISTIQUES TYPIQUES



High speed, high current, high power transistor
Transistor de puissance rapide, fort courant

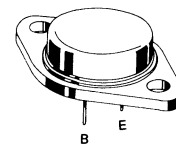
Switching and amplifier transistor
Transistor d'amplification et de commutation

Dissipation and I_S/B derating
Variation de dissipation et de I_S/B



| | |
|----------------|---------------------------------------|
| V_{CEO} | 400 V |
| I_C | 20 A |
| P_{tot} | 350 W |
| $R_{th(j-c)}$ | $\leq 0,5 \text{ }^{\circ}\text{C/W}$ |
| t_f (12 A) | $\leq 1,4 \mu\text{s}$ |

Case CB 159
Boîtier



ABSOLUTE RATINGS (LIMITING VALUES)
VALEURS LIMITES ABSOLUES D'UTILISATION

| | | | | |
|---|--|-----------|-------------|--------------------|
| Collector-base voltage <i>Tension collecteur-base</i> | V_{CBO} | 450 | V | |
| Collector-emitter voltage <i>Tension collecteur-émetteur</i> | V_{CEO} | 400 | V | |
| Collector-emitter voltage <i>Tension collecteur-émetteur</i> | $R_{BE} = 100 \Omega$ | V_{CER} | 440 | V |
| Collector-emitter voltage <i>Tension collecteur-émetteur</i> | $V_{BE} = -1,5 \text{ V}$ | V_{CEX} | 450 | V |
| Emitter-base voltage <i>Tension émetteur-base</i> | V_{EBO} | 7 | V | |
| Collector current <i>Courant collecteur</i> | I_C | 20 | A | |
| Base current <i>Courant base</i> | I_{CM} | 30 | A | |
| Power dissipation <i>Dissipation de puissance</i> | $t_p = 10 \text{ ms}$ | I_B | 4 | A |
| Power dissipation <i>Dissipation de puissance</i> | $T_{case} 25 \text{ }^{\circ}\text{C}$ | P_{tot} | 350 | W |
| Storage and junction temperature <i>Température de jonction et de stockage</i> | max | t_j | 200 | $^{\circ}\text{C}$ |
| | | T_{stg} | $-65 + 200$ | $^{\circ}\text{C}$ |

| | | | | |
|---|-----|---------------|-----|----------------------|
| Junction-case thermal resistance <i>Résistance sthermique jonction boîtier</i> | max | $R_{th(j-c)}$ | 0,5 | $^{\circ}\text{C/W}$ |
|---|-----|---------------|-----|----------------------|

STATIC CHARACTERISTICS
CARACTÉRISTIQUES STATIQUES $t_{case} = 25^\circ C$ (Unless otherwise stated)
(Sauf indications contraires)

| | Test conditions Conditions de mesure | | | Min. | Typ. | Max. | |
|---|---|----------------|--|------|------|------|----|
| Collector-emitter cut-off current <i>Courant résiduel collecteur-émetteur</i> | $V_{CE} = 320 V$ $I_B = 0$ | I_{CEO} | | | 3 | | mA |
| Collector-emitter cut-off current <i>Courant résiduel collecteur-émetteur</i> | $V_{CE} = 450 V$ $V_{BE} = -1,5 V$ | I_{CEX} | | | 3 | | mA |
| | $V_{CE} = 460 V$ $V_{BE} = -1,5 V$ $t_{case} = 125^\circ C$ | | | | 12 | | mA |
| Emitter-base cut-off current <i>Courant résiduel émetteur-base</i> | $V_{EB} = 5 V$ $I_C = 0$ | I_{EBO} | | | 1 | | mA |
| Collector-emitter breakdown voltage <i>Tension de claquage collecteur-émetteur</i> (fig. 1) | $I_C = 200 mA$ $I_B = 0$ $L = 25 mH$ | $V_{CEO(sus)}$ | | 400 | | | V |
| Emitter-base breakdown voltage <i>Tension de claquage émetteur-base</i> | $I_E = 50 mA$ $I_C = 0$ | $V_{(BR)EBO}$ | | 7 | | | V |
| Static forward current transfer ratio <i>Valeur statique du rapport de transfert direct du courant</i> | $V_{CE} = 4 V$ $I_C = 6 A$ | h_{21E}^* | | 15 | 60 | | |
| | $V_{CE} = 4 V$ $I_C = 12 A$ | | | | 8 | | |
| Collector-emitter saturation voltage <i>Tension de saturation collecteur-émetteur</i> | $I_C = 6 A$ $I_B = 1,2 A$ | V_{CEsat}^* | | | 0,15 | 0,6 | V |
| | $I_C = 12 A$ $I_B = 2,4 A$ | | | | 0,3 | 1 | V |
| Base-emitter saturation voltage <i>Tension de saturation base-émetteur</i> | $I_C = 12 A$ $I_B = 2,4 A$ | V_{BEsat}^* | | 1 | 1,5 | | V |
| Second breakdown collector current <i>Courant collecteur de second claquage</i> | $V_{CE} = 140 V$ $t = 1 s$ | $I_{S/B}$ | | | 0,15 | | A |
| | $V_{CE} = 19 V$ $t = 1 s$ | | | | 18 | | A |

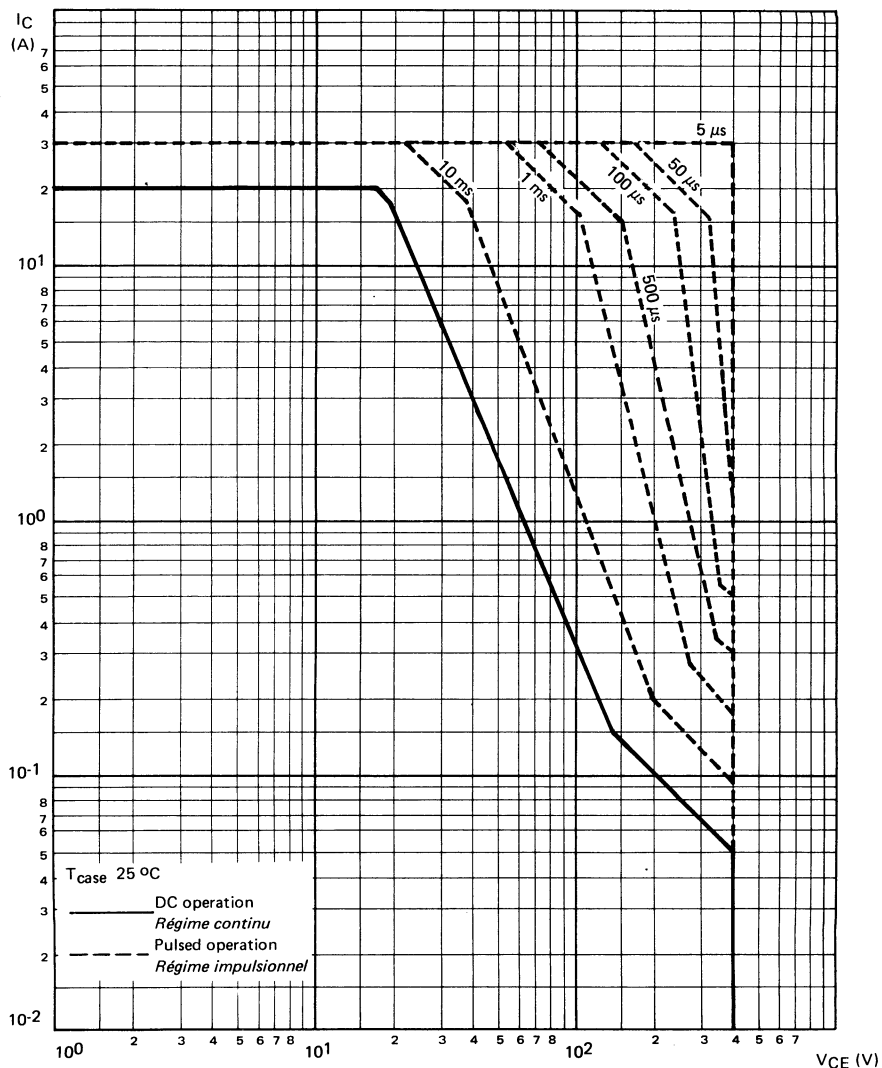
* Pulsed Impulses $t_p = 300 \mu s$ $\delta \leq 2\%$

DYNAMIC CHARACTERISTICS (for small signals)
CARACTÉRISTIQUES DYNAMIQUES (pour petits signaux)

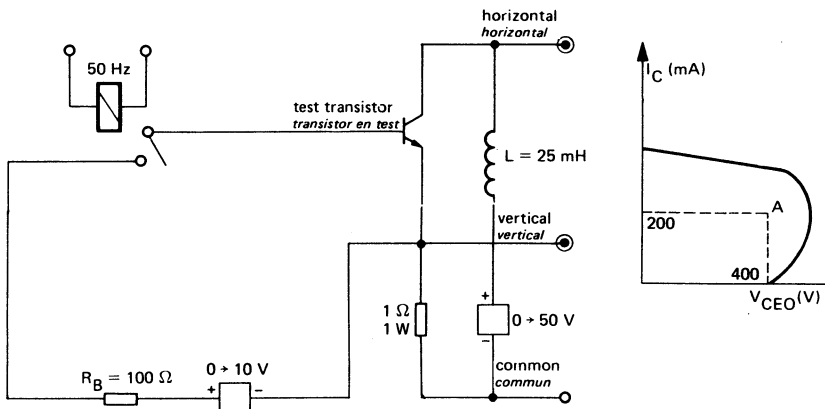
(Unless otherwise stated)
(Sauf indications contraires)

| | Test conditions <i>Conditions de mesure</i> | | | Min. Typ. Max. | |
|--|--|---|-------|----------------|---------------|
| Transition frequency <i>Fréquence de transition</i> | $V_{CE} = 15 \text{ V}$ $I_C = 2 \text{ A}$ $f = 10 \text{ MHz}$ | t_T | | 8 | MHz |
| Turn-on time <i>Temps total d'établissement:</i> (fig. 2) | $I_C = 12 \text{ A}$ $I_B = 2,4 \text{ A}$ | $t_d + t_r$ | | 0,6 1,6 | μs |
| Fall time <i>Temps de décroissance</i> | (fig. 2) | $I_C = 12 \text{ A}$ $I_{B1} = 2,4 \text{ A}$ $I_{B2} = -2,4 \text{ A}$ | t_f | 0,6 1,4 | μs |
| Carrier storage time <i>Retard à la décroissance</i> | (fig. 2) | $I_C = 12 \text{ A}$ $I_{B1} = 2,4 \text{ A}$ $I_{B2} = -2,4 \text{ A}$ | t_s | 1,5 3 | μs |

SAFE OPERATING AREA
AIRE DE SECURITE



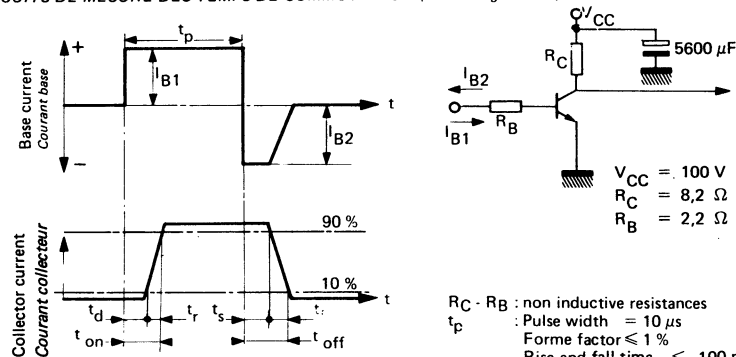
TEST CIRCUIT $V_{CEO(\text{sus})}$ (fig. 1)



Note :

The sustaining voltage V_{CEO} is acceptable when the trace falls to the right and above point "A".
Les tensions V_{CEO} sont acceptables lorsque la trace passe au-delà du point A.

SWITCHING TIMES TEST CIRCUITS (and oscillograms)
CIRCUITS DE MESURE DES TEMPS DE COMMUTATION (et oscilloscopes) (fig. 2)

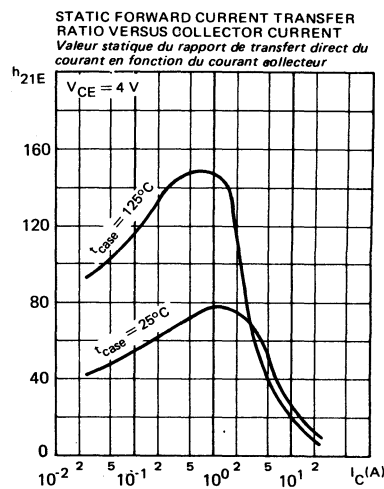
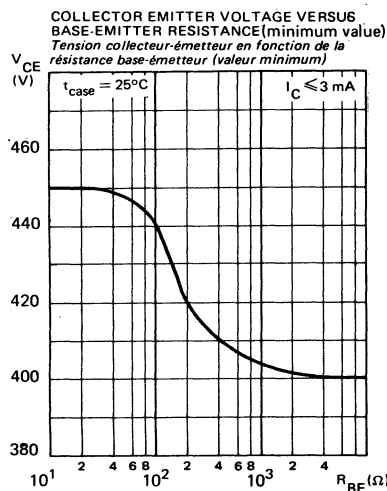
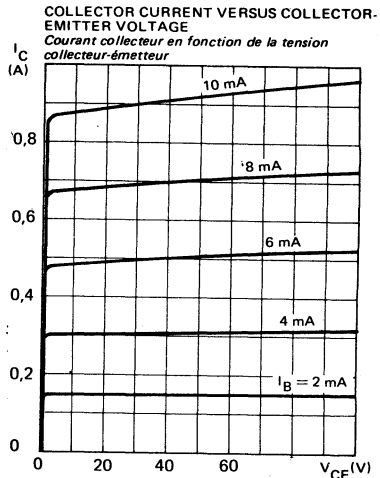
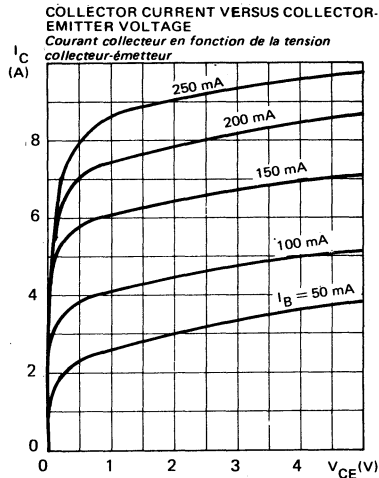


I_{B1} and I_{B2} measured with Tektronix probe P 6021 and Amplifier type 134
 I_{B1} et I_{B2} sont mesurés avec une sonde Tektronix P 6021 et Amplificateur type 134

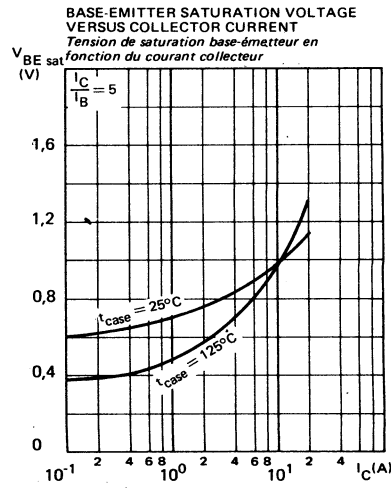
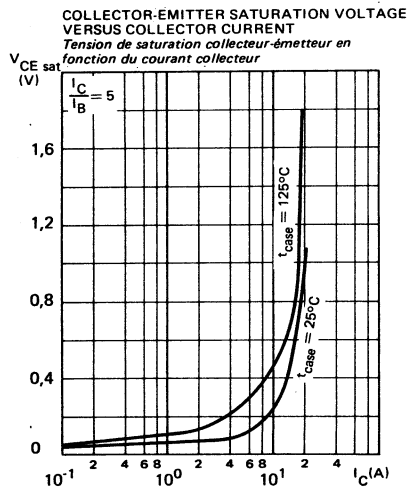
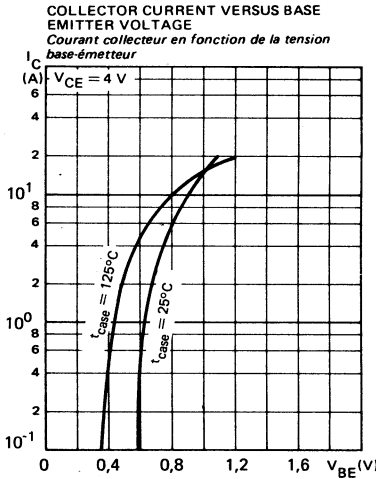
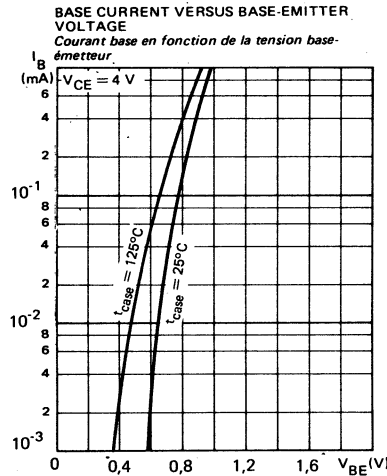
$R_C - R_B$: non inductive resistances
 t_p : Pulse width = 10 μs
 Forme factor $\leq 1\%$
 Rise and fall time ≤ 100 ns

$R_C - R_B$: résistances non inductives
 t_p : Largeur d'impulsion = 10 μs
 Facteur de forme $\leq 1\%$
 Temps de montée et descente ≤ 100 ns

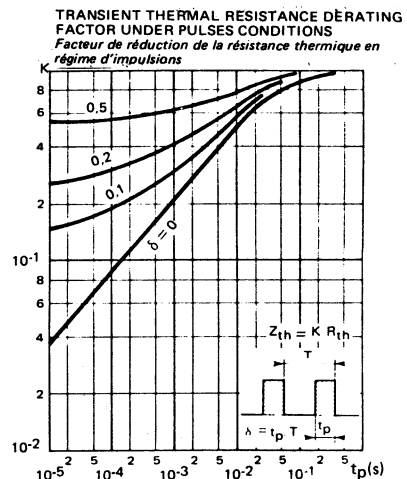
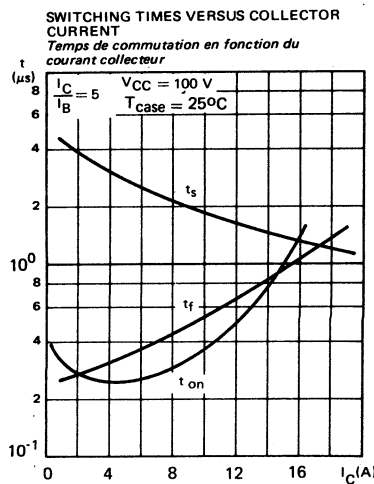
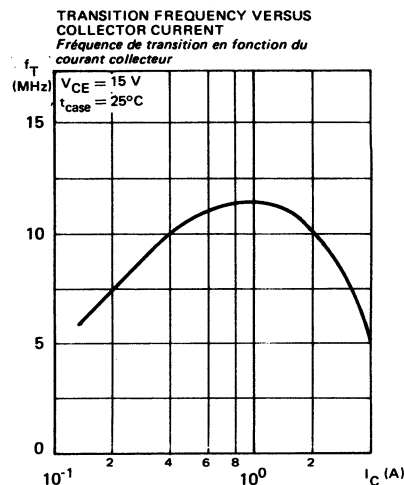
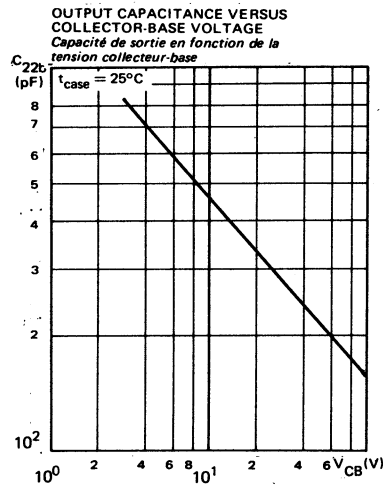
TYPICAL CHARACTERISTICS
CARACTÉRISTIQUES TYPHIQUES



TYPICAL CHARACTERISTICS
CARACTÉRISTIQUES TYPHIQUES



TYPICAL CHARACTERISTICS
CARACTÉRISTIQUES TYPHIQUES



NPN SILICON TRANSISTOR, TRIPLE DIFFUSED

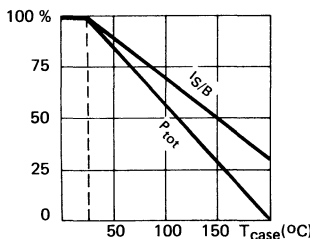
TRANSISTOR SILICIUM NPN, TRIPLE DIFFUSÉ

High speed, high voltage, high power transistor
Transistor de puissance rapide, haute tension

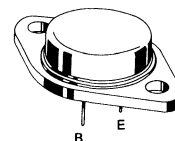
Switching and amplifier transistor
Transistor d'amplification et de commutation

| | |
|---------------------|---------------------------------------|
| V_{CEO} | 500 V |
| I_C | 15 A |
| P_{tot} | 350 W |
| $R_{th(j-c)}$ | $\leq 0,5 \text{ }^{\circ}\text{C/W}$ |
| $t_f (8 \text{ A})$ | $\leq 1,6 \mu\text{s}$ |

Dissipation and I_S/B derating
Variation de dissipation et de I_S/B



Case CB 159
 Boîtier



ABSOLUTE RATINGS (LIMITING VALUES)
 VALEURS LIMITES ABSOLUES D'UTILISATION

| | | | | |
|---|---------------------------|--------------------|--------------------|---|
| Collector-base voltage <i>Tension collecteur-base</i> | V_{CBO} | 500 | V | |
| Collector-emitter voltage <i>Tension collecteur-émetteur</i> | V_{CEO} | 500 | V | |
| Collector-emitter voltage <i>Tension collecteur-émetteur</i> | $R_{BE} = 100 \Omega$ | V_{CER} | 500 | V |
| Collector-emitter voltage <i>Tension collecteur-émetteur</i> | $V_{BE} = -1,5 \text{ V}$ | V_{CEX} | 500 | V |
| Emitter-base voltage <i>Tension émetteur-base</i> | V_{EBO} | 7 | V | |
| Collector current <i>Courant collecteur</i> | I_C I_{CM} | 15 20 | A | |
| Base current <i>Courant base</i> | I_B | 3 | A | |
| Power dissipation <i>Dissipation de puissance</i> | P_{tot} | 350 | W | |
| Storage and junction temperature <i>Température de jonction et de stockage</i> | t_j T_{stg} | 200 $-65 + 200$ | $^{\circ}\text{C}$ | |

| | | | |
|--|---------------|-----|----------------------|
| Junction-case thermal resistance <i>Résistance thermique jonction boîtier</i> | $R_{th(j-c)}$ | 0,5 | $^{\circ}\text{C/W}$ |
|--|---------------|-----|----------------------|

STATIC CHARACTERISTICS
CARACTÉRISTIQUES STATIQUES

$t_{case} = 25^\circ\text{C}$

(Unless otherwise stated)
(Sauf indications contraires)

| | Test conditions Conditions de mesure | | | Min. | Typ. | Max. |
|---|---|----------------|--|------|------|------|
| Collector-emitter cut-off current <i>Courant résiduel collecteur-émetteur</i> | $V_{CE} = 400 \text{ V}$ $I_B = 0$ | I_{CEO} | | 3 | | mA |
| Collector-emitter cut-off current <i>Courant résiduel collecteur-émetteur</i> | $V_{CE} = 500 \text{ V}$ $V_{BE} = -1,5 \text{ V}$ | I_{CEX} | | 3 | | mA |
| | $V_{CE} = 500 \text{ V}$ $V_{BE} = -1,5 \text{ V}$ $t_{case} = 125^\circ\text{C}$ | | | 12 | | mA |
| Emitter-base cut-off current <i>Courant résiduel émetteur-base</i> | $V_{EB} = 5 \text{ V}$ $I_C = 0$ | I_{EBO} | | 1 | | mA |
| Collector-emitter breakdown voltage <i>Tension de claquage collecteur-émetteur</i> (fig. 1) | $I_C = 200 \text{ mA}$ $I_B = 0$ $L = 25 \text{ mH}$ | $V_{CEO(sus)}$ | | 500 | | V |
| Emitter-base breakdown voltage <i>Tension de claquage émetteur-base</i> | $I_E = 50 \text{ mA}$ $I_C = 0$ | $V_{(BR)EBO}$ | | 7 | | V |
| Static forward current transfer ratio <i>Valeur statique du rapport de transfert direct du courant</i> | $V_{CE} = 4 \text{ V}$ $I_C = 4 \text{ A}$ | h_{21E}^* | | 15 | 60 | |
| | $V_{CE} = 4 \text{ V}$ $I_C = 8 \text{ A}$ | | | 8 | | |
| Collector-emitter saturation voltage <i>Tension de saturation collecteur-émetteur</i> | $I_C = 4 \text{ A}$ $I_B = 0,8 \text{ A}$ | V_{CEsat}^* | | 0,2 | 0,6 | V |
| | $I_C = 8 \text{ A}$ $I_B = 1,6 \text{ A}$ | | | 0,6 | 1 | V |
| Base-emitter saturation voltage <i>Tension de saturation base-émetteur</i> | $I_C = 8 \text{ A}$ $I_B = 1,6 \text{ A}$ | V_{BEsat}^* | | 1,2 | 1,5 | V |
| Second breakdown collector current <i>Courant collecteur de second claquage</i> | $V_{CE} = 140 \text{ V}$ $t = 1 \text{ s}$ | $I_{S/B}$ | | 0,15 | | A |
| | $V_{CE} = 25 \text{ V}$ $t = 1 \text{ s}$ | | | 14 | | A |

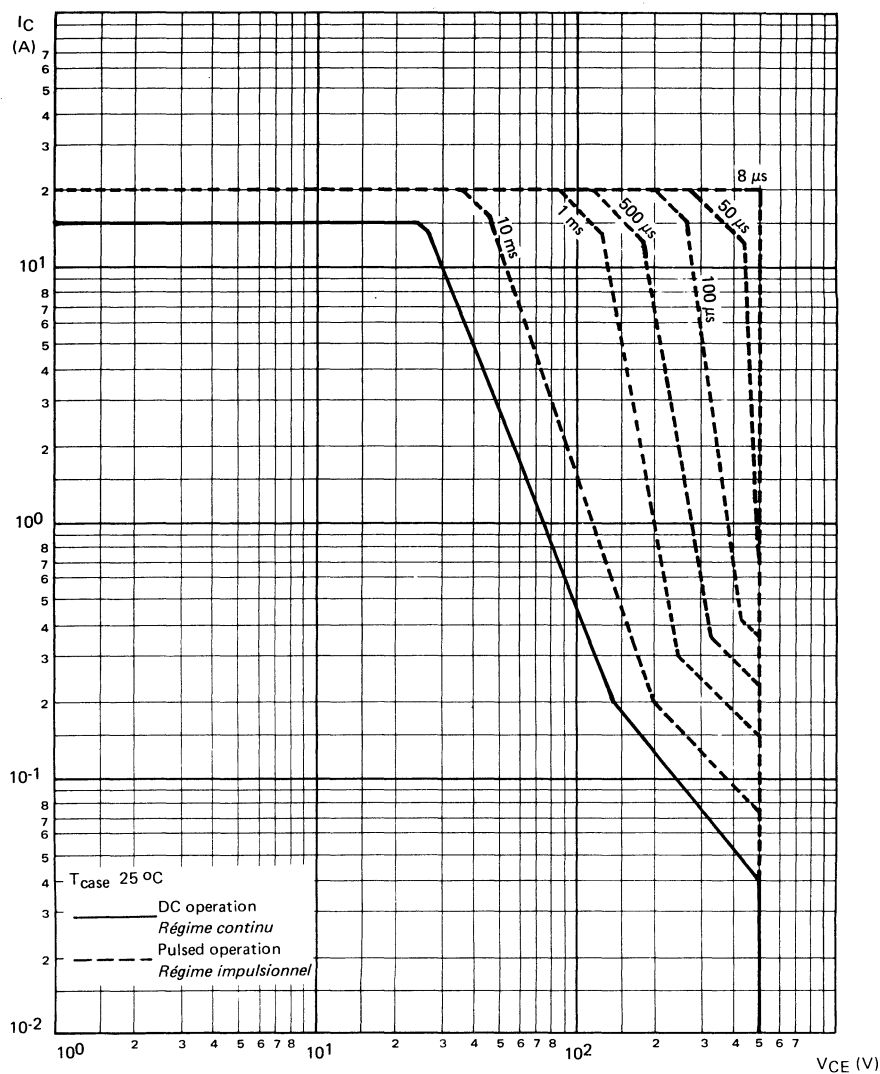
* Pulsed $t_p = 300 \mu\text{s}$ $\delta \leq 2\%$
Impulsions

DYNAMIC CHARACTERISTICS (for small signals)
CARACTÉRISTIQUES DYNAMIQUES (pour petits signaux)

(Unless otherwise stated)
(Sauf indications contraires)

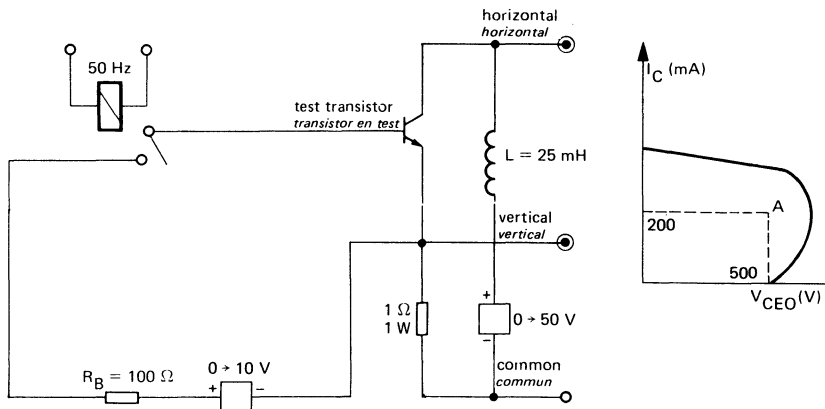
| | Test conditions <i>Conditions de mesure</i> | | | Min. | Typ. | Max. | |
|---|--|-------------|--|------|------|------|---------------|
| Transition frequency <i>Fréquence de transition</i> | $V_{CE} = 15 \text{ V}$ $I_C = 2 \text{ A}$ $f = 10 \text{ MHz}$ | f_T | | 8 | | | MHz |
| Turn-on time <i>Temps total d'établissement</i> (fig. 2) | $I_C = 8 \text{ A}$ $I_B = 1,6 \text{ A}$ | $t_d + t_r$ | | 0,9 | 1,8 | | μs |
| Fall time <i>Temps de décroissance</i> (fig. 2) | $I_C = 8 \text{ A}$ $I_{B1} = 1,6 \text{ A}$ $I_{B2} = -1,6 \text{ A}$ | t_f | | 0,9 | 1,6 | | μs |
| Carrier storage time <i>Retard à la décroissance</i> (fig. 2) | $I_C = 8 \text{ A}$ $I_{B1} = 1,6 \text{ A}$ $I_{B2} = -1,6 \text{ A}$ | t_s | | 3,5 | 5 | | μs |

SAFE OPERATING AREA
AIRE DE SECURITE



TEST CIRCUIT $V_{CEO(sus)}$ (fig. 1)

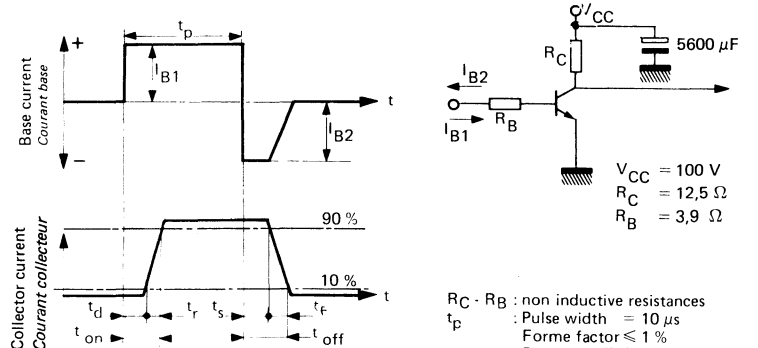
MONTAGE DE TEST



Note :

The sustaining voltage V_{CEO} is acceptable when the trace falls to the right and above point "A".
Les tensions V_{CEO} sont acceptables lorsque la trace passe au-delà du point A.

SWITCHING TIMES TEST CIRCUITS (and oscillograms)
CIRCUITS DE MESURE DES TEMPS DE COMMUTATION (et oscilloscopes) (fig. 2)



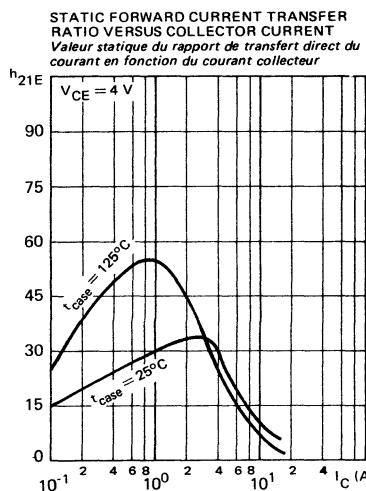
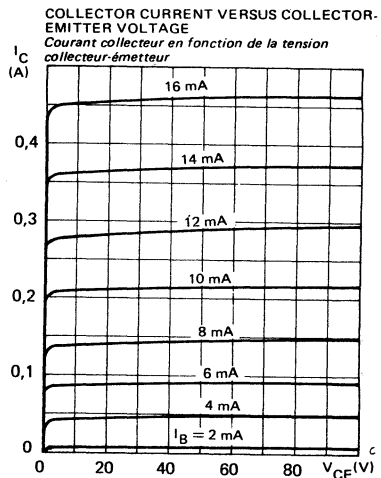
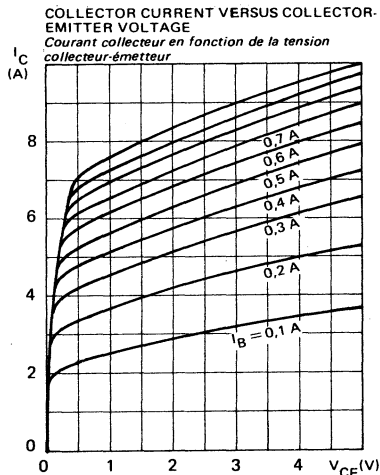
I_B1 and I_B2 measured with Tektronix probe P 6021 and Amplifier type 134

I_B1 et I_B2 sont mesurés avec une sonde Tektronix P 6021 et Amplificateur type 134

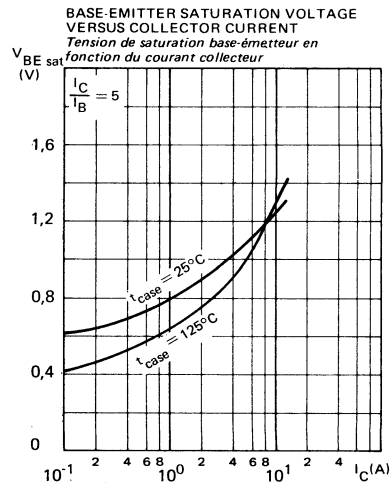
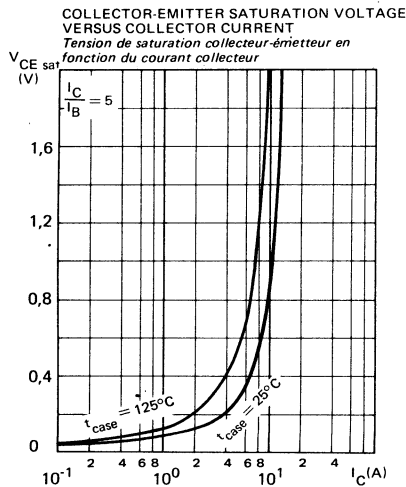
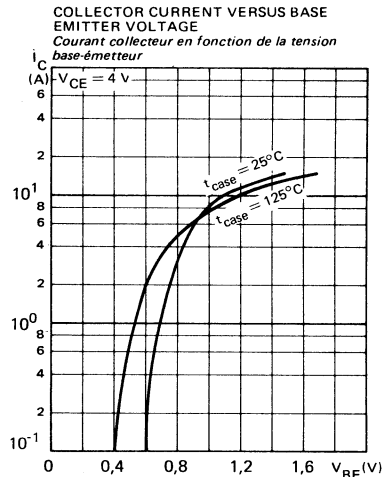
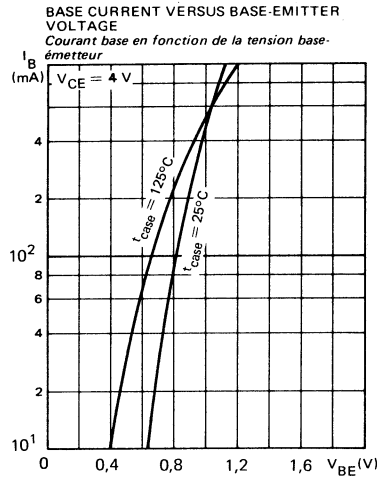
$R_C - R_B$: non inductive resistances
 t_p : Pulse width $= 10 \mu\text{s}$
 Forme factor $\leqslant 1 \%$
 Rise and fall time $\leqslant 100 \text{ ns}$

$R_C - R_B$: résistances non inductives
 t_p : Largeur d'impulsion $= 10 \mu\text{s}$
 Facteur de forme $\leqslant 1 \%$
 Temps de montée et descente $\leqslant 100 \text{ ns}$

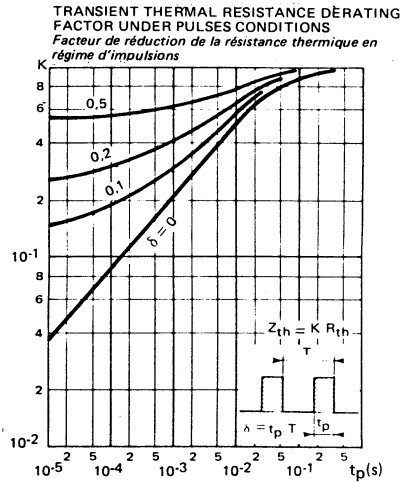
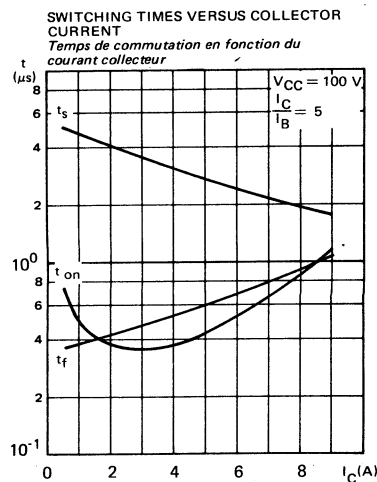
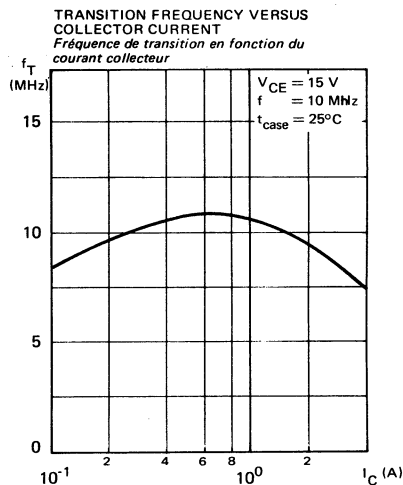
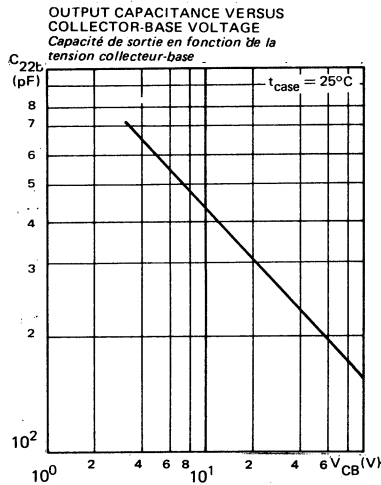
TYPICAL CHARACTERISTICS
CARACTÉRISTIQUES TYPHIQUES



TYPICAL CHARACTERISTICS
CARACTÉRISTIQUES TYPHIQUES



TYPICAL CHARACTERISTICS
CARACTÉRISTIQUES TYPIQUES



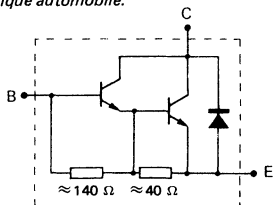
NPN SILICON DARLINGTON, TRIPLE DIFFUSED MESA

DARLINGTON SILICIUM NPN, TRIPLE DIFFUSÉ MÉSA

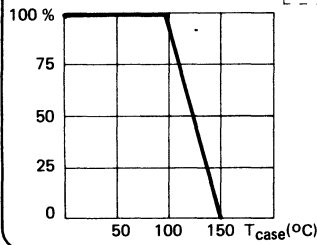
 Formerly SESCOSEM number ESM 410
 Ancien numéro SESCOSEM ESM 410

Power monolithic Darlington, specially intended for use in automotive ignition circuits.

Darlington monolithique de puissance spécialement conçu pour l'allumage électronique automobile.

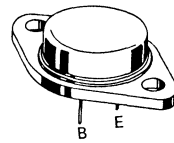


Dissipation derating
Variation de dissipation



V_{CEOsus} 400 V
I_C 15 A
P_{tot} (100 °C) 35 W
V_{CEsat} (10 A) ≤ 2 V
Second breakdown test ≥ 250 mJ
Test en second claquage

Case TO 3 (CB 19)
Boîtier



ABSOLUTE RATINGS (LIMITING VALUES)
VALEURS LIMITES ABSOLUES D'UTILISATION

| | | | |
|---|---------------------|-------------------|----|
| Collector-emitter voltage <i>Tension collecteur-émetteur</i> | V _{CEOsus} | 400 | V |
| Collector current <i>Courant collecteur</i> | I _C | 15 | A |
| Base current <i>Courant base</i> | I _B | 4 | A |
| Power dissipation <i>Dissipation de puissance</i> | P _{tot} | 35 | W |
| Storage and junction temperature <i>Température de jonction et de stockage</i> | T_j T_{stg} | 150 - 65 + 150 | °C |

Junction-case thermal resistance
Résistance thermique jonction boîtier

max

R_{th(j-c)}

1,5

°C/W

| STATIC CHARACTERISTICS CARACTÉRISTIQUES STATIQUES | | $T_{case} = 25^\circ\text{C}$ | (Unless otherwise stated) (Sauf indications contraires) | | | |
|---|--|---|--|-----|------|----|
| | | Test conditions Conditions de mesure | min | typ | max | |
| Collector-emitter cut-off current <i>Courant résiduel collecteur-émetteur</i> | $V_{CE} = 400 \text{ V}$ $I_B = 0$ | I_{CEO} | | | 0,25 | mA |
| Collector-emitter breakdown voltage <i>Tension de claquage collecteur-émetteur</i> FIGURE 1 | $I_C = 5 \text{ A}$ $I_B = 0$ $L = 1,5 \text{ mH}$ $V_{CEcl} = 400 \text{ V}$ | $V_{CEOus}(1)$ | 400 | | | V |
| Static forward current transfer ratio <i>Valeur statique du rapport de transfert direct du courant</i> | $V_{CE} = 5 \text{ V}$ $I_C = 15 \text{ A}$ | h_{21E}^* | 20 | | | |
| Collector-emitter saturation voltage <i>Tension de saturation collecteur-émetteur</i> | $I_C = 10 \text{ A}$ $I_B = 0,15 \text{ A}$ | V_{CEsat}^* | | | 2 | V |
| | $I_C = 7 \text{ A}$ $I_B = 0,07 \text{ A}$ | | | | 1,5 | V |
| | $I_C = 10 \text{ A}$ $I_B = 0,15 \text{ A}$ $T_{case} = -40^\circ\text{C}$ | | | | 2,9 | V |
| Base-emitter saturation voltage <i>Tension de saturation base-émetteur</i> | $I_C = 10 \text{ A}$ $I_B = 0,15 \text{ A}$ | V_{BEsat}^* | | | 2,7 | V |
| | $I_C = 10 \text{ A}$ $I_B = 0,15 \text{ A}$ $T_{case} = -40^\circ\text{C}$ | | | | 3,5 | V |

* Pulsed
Impulsions $t_p = 300 \mu\text{s}$ $\delta \leq 2\%$

(1) Collector-emitter voltage limited at $V_{CE cl.} = 400 \text{ V}$ by an auxiliary clamping circuit.

(1) Limitation de la tension $V_{CE cl.} = 400 \text{ V}$ par système d'écrêtage.

FIGURE 1 : V_{CEO} test circuit (and oscillogram)
Circuit de mesure de V_{CEO} et oscillogramme

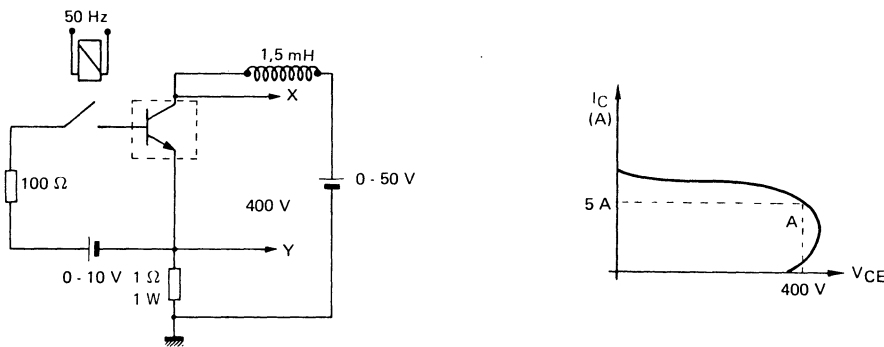
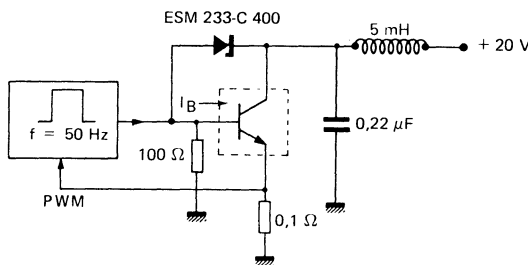


FIGURE 2 : Second breakdown functional test
Test fonctionnel en second claquage



Pulse frequency : 50 Hz

Pulse duration adjusted for I_C end = 10 A

Pulse amplitude adjusted for I_B = 0,15 A

Test duration : 1 sec.

$$\text{Dissipated energy per pulse : } \frac{1}{2} L I^2_{\text{end}} = 250 \text{ mJ}$$

Fréquence des impulsions : 50 Hz

Largeur de l'impulsion ajustée pour I_C end = 10 A

Amplitude d'impulsion ajustée pour I_B = 0,15 A

Durée du test : 1 sec.

$$\text{Energie dissipée à chaque impulsion : } \frac{1}{2} L I^2_{\text{end}} = 250 \text{ mJ}$$



SUPERSWITCH

HIGH SPEED TRANSISTORS SUITED FOR LOW VOLTAGE APPLICATIONS:

HIGH FREQUENCY INVERTERS
SWITCHING REGULATORS
MOTOR CONTROLS

- * High current capabilities
- * Fast turn-on and turn-off

*S.O.A.R specified for : linear mode, switching mode, accidental surge

TRANSISTOR TRES RAPIDE, ADAPTE AUX APPLICATIONS BASSE TENSION :

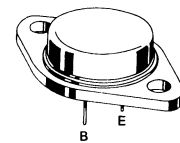
GENERATEURS HAUTE FREQUENCE
REGULATEURS A DECOUPAGE
COMMANDE DE MOTEURS

- * Possibilités élevées en courant
- * Mise en conduction et blocage rapides

* Aire de sécurité définie : en régime linéaire, en régime de commutation
en régime de surcharge accidentelle

| | |
|----------------|------------------|
| $V_{CEO(sus)}$ | 90 V |
| V_{CEX} | 120 V |
| I_{Csat} | 20 A |
| I_{CSM} | 70 A |
| $t_f (20 A)$ | $\leq 0,3 \mu s$ |

Case
Boîtier TO 3 (CB 19)



ABSOLUTE RATINGS (LIMITING VALUES)
VALEURS LIMITES ABSOLUES D'UTILISATION

| | | | | |
|---|-----------------------------|-------------------|-----------|----|
| Collector-base voltage <i>Tension collecteur-base</i> | | V_{CBO} | 120 | V |
| Collector-emitter voltage <i>Tension collecteur-émetteur</i> | | V_{CEO} | 90 | V |
| Collector-emitter voltage <i>Tension collecteur-émetteur</i> | $R_{BE} = 100 \Omega$ | V_{CER} | 110 | V |
| Collector-emitter voltage <i>Tension collecteur-émetteur</i> | $V_{BE} = -1,5 \text{ V}$ | V_{CEX} | 120 | V |
| Emitter-base voltage <i>Tension émetteur-base</i> | | V_{EBO} | 7 | V |
| Collector current <i>Courant collecteur</i> | $t_p = 10 \text{ ms}$ | I_C I_{CM} | 30 40 | A |
| Base current <i>Courant base</i> | | I_B | 6 | A |
| Power dissipation <i>Dissipation de puissance</i> | $T_{case} 25^\circ\text{C}$ | P_{tot} | 120 | W |
| Junction temperature <i>Température de jonction</i> | | t_j | -65 + 200 | °C |

| | | | | |
|--|-----|---------------|------|------|
| Junction-case thermal resistance <i>Résistance thermique jonction-boîtier</i> | max | $R_{th(j-c)}$ | 1,46 | °C/W |
|--|-----|---------------|------|------|

STATIC CHARACTERISTICS
CARACTÉRISTIQUES STATIQUES $t_{case} = 25^\circ\text{C}$ (Unless otherwise stated)
(Sauf indications contraires)

| | Test conditions Conditions de mesure | | | Min. | Typ. | Max. |
|---|---|----------------|--|------|------|------|
| Collector-emitter cut-off current <i>Courant résiduel collecteur-émetteur</i> | $V_{CE} = 70 \text{ V}$ $I_B = 0$ | I_{CEO} | | 1 | | mA |
| Collector-emitter cut-off current <i>Courant résiduel collecteur-émetteur</i> | $V_{CE} = 120 \text{ V}$ $V_{BE} = -1,5 \text{ V}$ | I_{CEX} | | 1 | | mA |
| | $V_{CE} = 120 \text{ V}$ $V_{BE} = -1,5 \text{ V}$ $t_{case} = 125^\circ\text{C}$ | | | 5 | | mA |
| Emitter-base cut-off current <i>Courant résiduel émetteur-base</i> | $V_{EB} = 5 \text{ V}$ $I_C = 0$ | I_{EBO} | | 1 | | mA |
| Collector-emitter breakdown voltage <i>Tension de claquage collecteur-émetteur</i> (fig. 1) | $I_C = 200 \text{ mA}$ $I_B = 0$ $L = 25 \text{ mH}$ | $V_{CEO(sus)}$ | | 90 | | V |
| Emitter-base breakdown voltage <i>Tension de claquage émetteur-base</i> | $I_E = 50 \text{ mA}$ $I_C = 0$ | $V_{(BR)EBO}$ | | 7 | | V |
| Static forward current transfer ratio <i>Valeur statique du rapport de transfert direct du courant</i> | $V_{CE} = 4 \text{ V}$ $I_C = 12 \text{ A}$ | h_{21E}^* | | 15 | 45 | |
| | $V_{CE} = 4 \text{ V}$ $I_C = 20 \text{ A}$ | | | 8 | | |
| Collector-emitter saturation voltage <i>Tension de saturation collecteur-émetteur</i> | $I_C = 12 \text{ A}$ $I_B = 1,2 \text{ A}$ | V_{CEsat}^* | | 0,7 | 1,2 | V |
| | $I_C = 20 \text{ A}$ $I_B = 2,5 \text{ A}$ | | | 1,25 | 1,6 | V |
| Base-emitter saturation voltage <i>Tension de saturation base-émetteur</i> | $I_C = 20 \text{ A}$ $I_B = 2,5 \text{ A}$ | V_{BESat}^* | | 2,1 | 2,5 | V |
| Second breakdown collector current <i>Courant collecteur de second claquage</i> | $V_{CE} = 45 \text{ V}$ $t = 1 \text{ s}$ | $I_{S/B}$ | | 1 | | A |
| | $V_{CE} = 30 \text{ V}$ $t = 1 \text{ s}$ | | | 4 | | A |

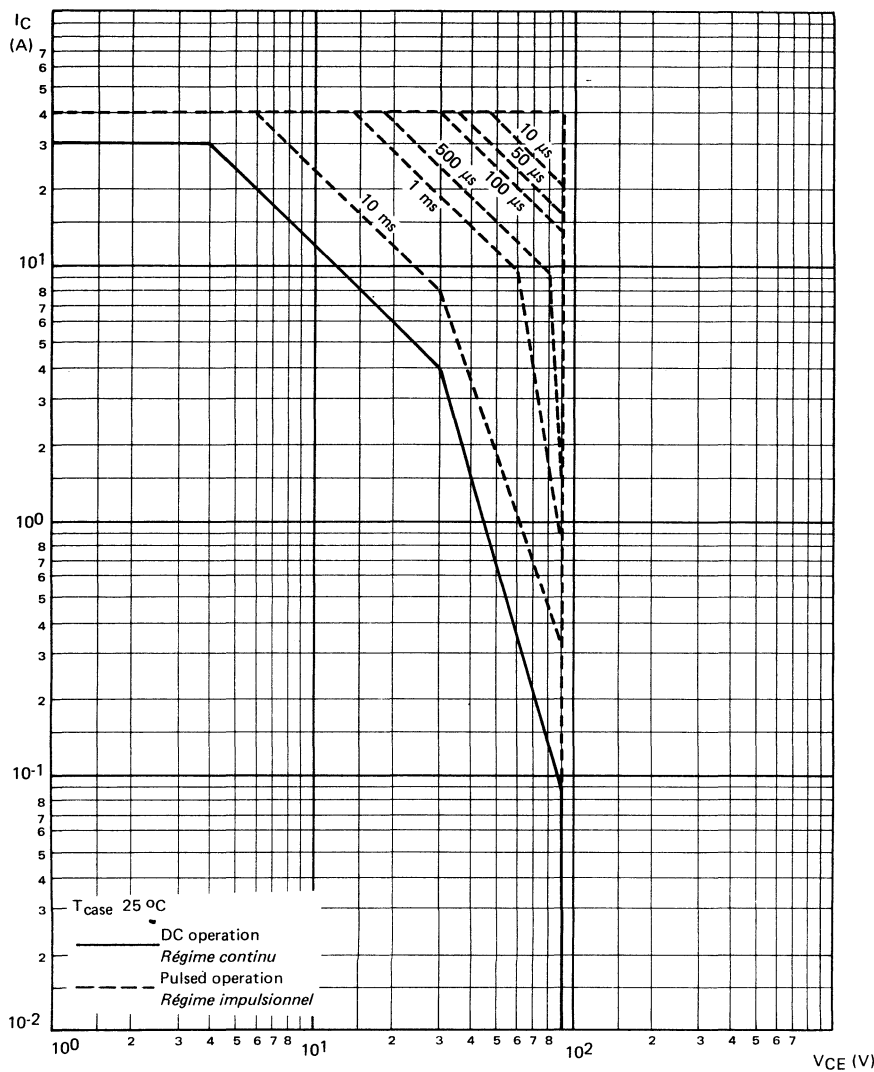
* Pulsed $t_p = 300 \mu\text{s}$ $\delta \leq 2\%$
Impulsions

DYNAMIC CHARACTERISTICS (for small signals)
CARACTÉRISTIQUES DYNAMIQUES (pour petits signaux)

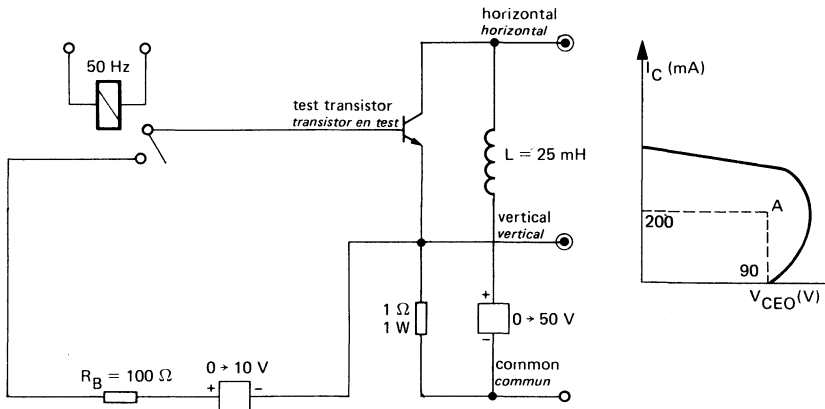
(Unless otherwise stated)
(Sauf indications contraires)

| | Test conditions <i>Conditions de mesure</i> | | | Min. | Typ. | Max. | |
|---|---|-------------|--|------|------|------|---------------|
| Transition frequency <i>Fréquence de transition</i> | $V_{CE} = 15 \text{ V}$ $I_C = 1 \text{ A}$ $f = 10 \text{ MHz}$ | f_T | | 8 | | | MHz |
| Turn-on time <i>Temps total d'établissement</i> (fig. 2) | $I_C = 20 \text{ A}$ $I_B = 2,5 \text{ A}$ | $t_d + t_r$ | | 0,8 | 1,5 | | μs |
| Fall time <i>Temps de décroissance</i> (fig. 2) | $I_C = 20 \text{ A}$ $I_{B1} = 2,5 \text{ A}$ $I_{B2} = -2,5 \text{ A}$ | t_f | | 0,15 | 0,3 | | μs |
| Carrier storage time <i>Retard à la décroissance</i> (fig. 2) | $I_C = 20 \text{ A}$ $I_{B1} = 2,5 \text{ A}$ $I_{B2} = -2,5 \text{ A}$ | t_s | | 0,55 | 1 | | μs |

SAFE OPERATING AREA
AIRE DE SECURITE



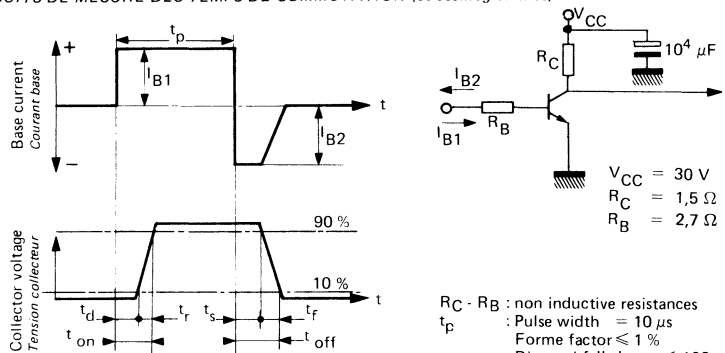
TEST CIRCUIT
MONTAGE DE TEST $V_{CEO(sus)}$ (fig. 1)



Note :

The sustaining voltage V_{CEO} is acceptable when the trace falls to the right and above point "A".
Les tensions V_{CEO} sont acceptables lorsque la trace passe au-delà du point A.

SWITCHING TIMES TEST CIRCUITS (and oscillograms)
CIRCUITS DE MESURE DES TEMPS DE COMMUTATION (et oscilloscopes) (fig. 2)



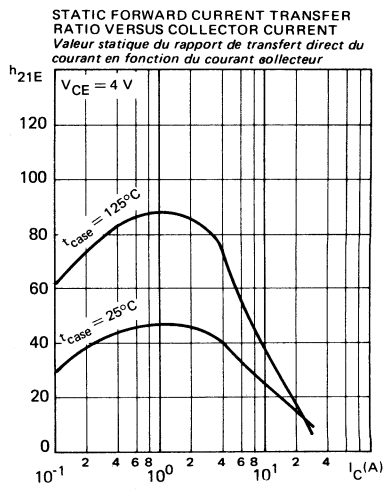
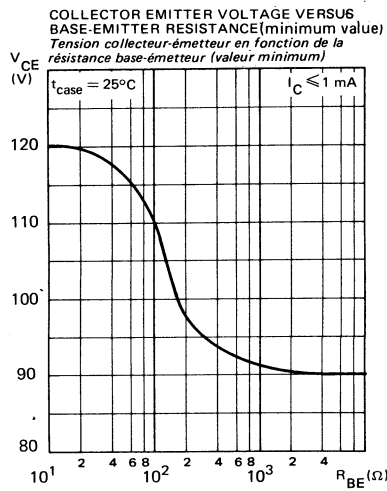
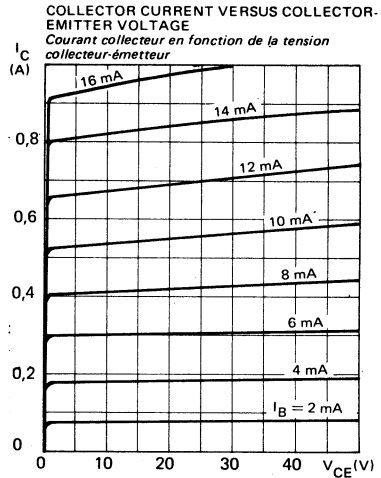
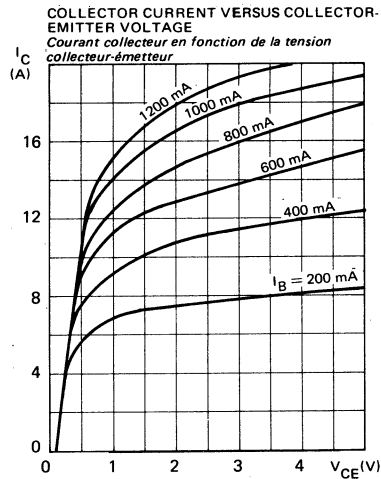
I_B1 and I_B2 measured with Tektronix probe P 6021 and Amplifier type 134

I_B1 et I_B2 sont mesurés avec une sonde Tektronix P 6021 et Amplificateur type 134

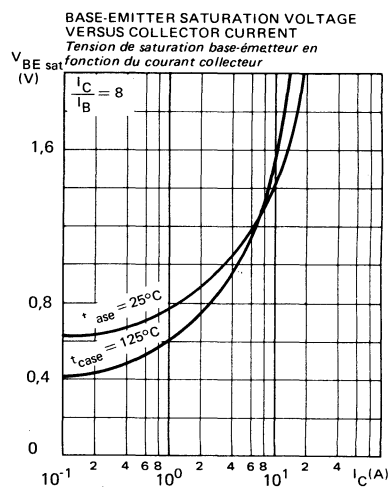
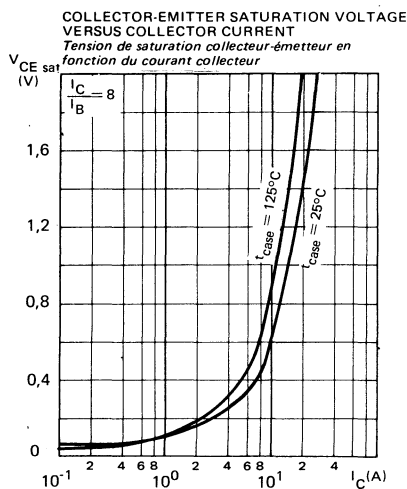
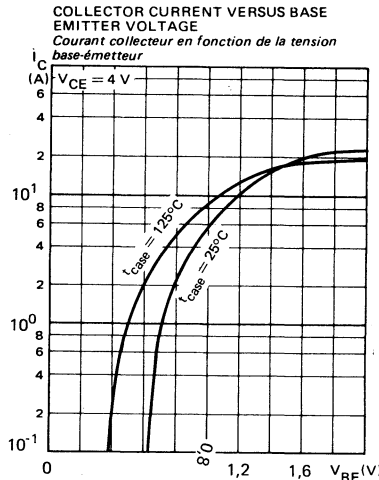
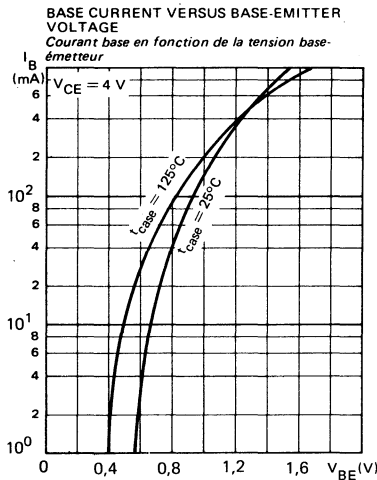
$R_C - R_B$: non inductive resistances
 t_p : Pulse width = $10 \mu s$
Forme factor $\leq 1\%$
Rise and fall time ≤ 100 ns

$R_C - R_B$: résistances non inductives
 t_p : Largeur d'impulsion = $10 \mu s$
Facteur de forme $\leq 1\%$
Temps de montée et descente ≤ 100 ns

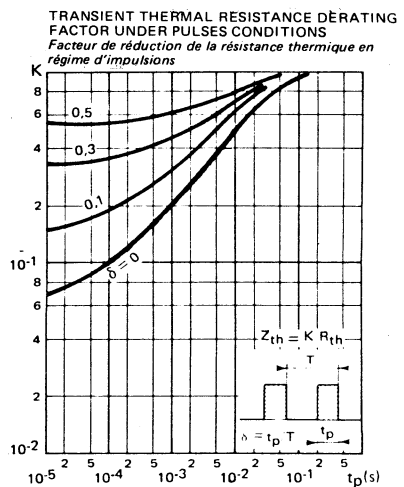
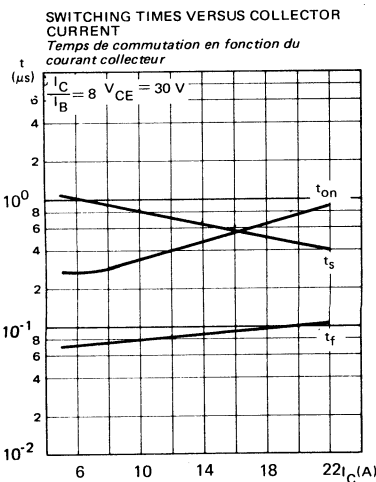
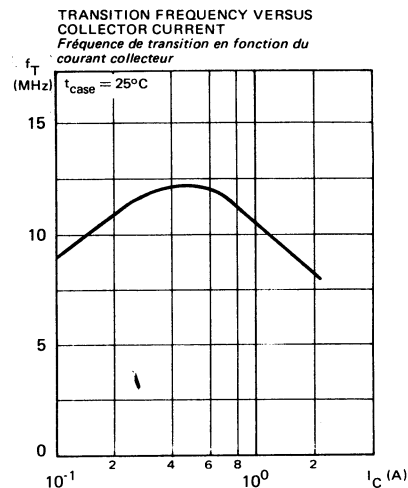
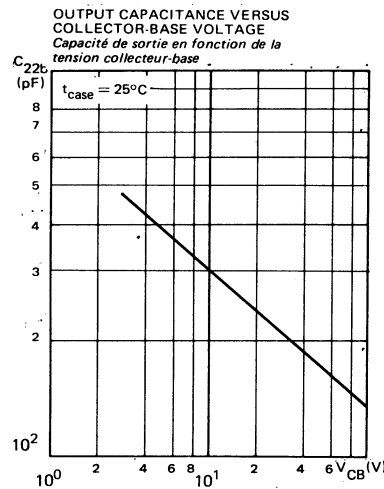
TYPICAL CHARACTERISTICS
CARACTÉRISTIQUES TYPIQUES



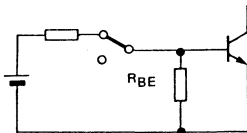
TYPICAL CHARACTERISTICS
CARACTÉRISTIQUES TYPIQUES



TYPICAL CHARACTERISTICS
CARACTÉRISTIQUES TYPIQUES



SWITCHING OPERATING AND OVERLOAD AREAS



TRANSISTOR FORWARD BIASED

- During the turn on
- During the turn off without negative base-emitter voltage and $R_{BE} \geq 8 \Omega$

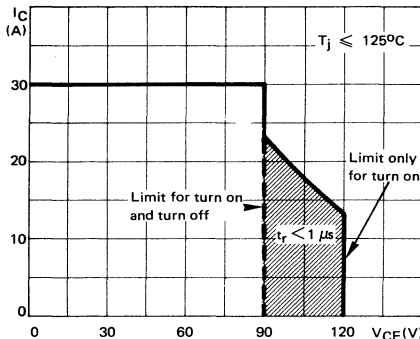
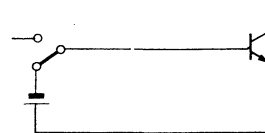


FIGURE 1 : Forward biased safe operating area (FBSOA)



TRANSISTOR REVERSE BIASED

- During the turn off with negative base-emitter voltage

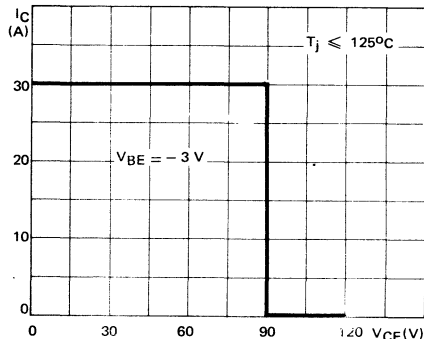


FIGURE 2 : Reverse biased safe operating area (RBSOA)

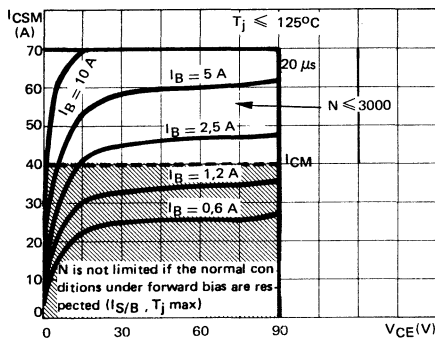


FIGURE 3 : Forward biased accidental overload area (FBAOA)

Figure 1 : The hatched zone can only be used for turn on.

Figures 3 and 4 : High accidental surge currents ($I > I_{CM}$) are allowed if they are non repetitive and applied less than 3000 times during the component life.

Figure 3 : The Kellogg network (heavy print) allows the calculation of the maximum value of the short-circuit current for a given base current I_B (90 % confidence).

Figure 4 : After the accidental overload current, the RBAOA has to be used for the turn off.

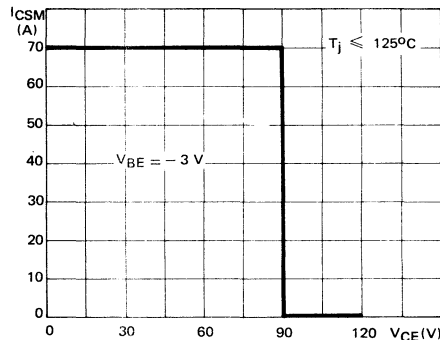


FIGURE 4 : Reverse biased accidental overload area (RBAOA)

Figure 1 : La zone hachurée ne doit être utilisée que pour la mise en conduction.

Figures 3 et 4 : De forts courants de surcharge ($I > I_{CM}$) sont permis s'ils sont non répétitifs et appliqués moins de 3000 fois dans la vie du composant.

Figure 3 : Le réseau de Kellogg (trait gras) permet le calcul de la valeur maximale du courant de court-circuit pour un courant de base donné I_B (90 % de confiance).

Figure 4 : Après le passage du courant de surcharge accidentelle, on doit utiliser l'aire de surcharge accidentelle en polarisation inverse pour l'ouverture.



SUPERSWITCH

HIGH SPEED TRANSISTORS SUITED FOR LOW VOLTAGE APPLICATIONS:

HIGH FREQUENCY INVERTERS
SWITCHING REGULATORS
MOTOR CONTROLS

- * High current capabilities
- * Fast turn-on and turn-off

*S.O.A.R specified for : linear mode, switching mode, accidental surge

TRANSISTOR TRES RAPIDE, ADAPTE AUX APPLICATIONS BASSE TENSION :

GENERATEURS HAUTE FREQUENCE
REGULATEURS A DECOUPAGE
COMMANDE DE MOTEURS

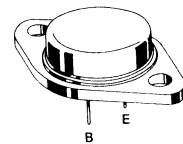
- * Possibilités élevées en courant

* Mise en conduction et blocage rapides

* Aire de sécurité définie : en régime linéaire, en régime de commutation en régime de surcharge accidentelle

| | |
|-------------------------|----------|
| V _{CEOsus} | 125 V |
| V _{CEx} | 160 V |
| I _{Csat} | 15 A |
| I _{CSM} | 50 A |
| t _f (15 A) | ≤ 0,4 µs |

Case TO 3 (CB 19)
Boîtier



ABSOLUTE RATINGS (LIMITING VALUES) VALEURS LIMITES ABSOLUES D'UTILISATION

| | | | | |
|---|-----------------------------------|------------------|-----|---|
| Collector-base voltage <i>Tension collecteur-base</i> | V _{CBO} | 160 | V | |
| Collector-emitter voltage <i>Tension collecteur-émetteur</i> | V _{CEO} | 125 | V | |
| Collector-emitter voltage <i>Tension collecteur-émetteur</i> | R _{BE} = 100 Ω | V _{CER} | 150 | V |
| Collector-emitter voltage <i>Tension collecteur-émetteur</i> | V _{BE} = - 1,5 V | V _{CEx} | 160 | V |
| Emitter-base voltage <i>Tension émetteur-base</i> | V _{EBO} | 7 | V | |
| Collector current <i>Courant collecteur</i> | I _C I _{CM} | 20 28 | A | |
| Base current <i>Courant base</i> | I _B | 4 | A | |
| Power dissipation <i>Dissipation de puissance</i> | P _{tot} | 120 | W | |
| Junction temperature <i>Température de jonction</i> | t _j | - 65 + 200 | °C | |

| | | | | |
|--|-----|----------------------|------|------|
| Junction-case thermal resistance <i>Résistance thermique jonction-boîtier</i> | max | R _{th(j-c)} | 1,46 | °C/W |
|--|-----|----------------------|------|------|

STATIC CHARACTERISTICS
CARACTÉRISTIQUES STATIQUES
 $t_{case} = 25^\circ C$ (Unless otherwise stated)
(Sauf indications contraires)

| | Test conditions Conditions de mesure | | | Min. | Typ. | Max. | |
|---|---|----------------|--|------|------|------|----|
| Collector-emitter cut-off current <i>Courant résiduel collecteur-émetteur</i> | $V_{CE} = 100 V$ $I_B = 0$ | I_{CEO} | | | 1 | | mA |
| Collector-emitter cut-off current <i>Courant résiduel collecteur-émetteur</i> | $V_{CE} = 160 V$ $V_{BE} = -1,5 V$ | I_{CEX} | | | 1 | | mA |
| | $V_{CE} = 160 V$ $V_{BE} = -1,5 V$ $t_{case} = 125^\circ C$ | | | | 5 | | mA |
| Emitter-base cut-off current <i>Courant résiduel émetteur-base</i> | $V_{EB} = 5 V$ $I_C = 0$ | I_{EBO} | | | 1 | | mA |
| Collector-emitter breakdown voltage <i>Tension de claquage collecteur-émetteur</i> (fig. 1) | $I_C = 200 mA$ $I_B = 0$ $L = 25 mH$ | $V_{CEO(sus)}$ | | 125 | | | V |
| Emitter-base breakdown voltage <i>Tension de claquage émetteur-base</i> | $I_E = 50 mA$ $I_C = 0$ | $V_{(BR)EBO}$ | | 7 | | | V |
| Static forward current transfer ratio <i>Valeur statique du rapport de transfert direct du courant</i> | $V_{CE} = 4 V$ $I_C = 10 A$ | h_{21E}^* | | 15 | 45 | | |
| | $V_{CE} = 4 V$ $I_C = 15 A$ | | | 8 | | | |
| Collector-emitter saturation voltage <i>Tension de saturation collecteur-émetteur</i> | $I_C = 10 A$ $I_B = 1 A$ | V_{CEsat}^* | | 0,9 | 1,2 | | V |
| | $I_C = 15 A$ $I_B = 1,88 A$ | | | 1,2 | 1,6 | | V |
| Base-emitter saturation voltage <i>Tension de saturation base-émetteur</i> | $I_C = 15 A$ $I_B = 1,88 A$ | V_{BEsat}^* | | 1,7 | 2 | | V |
| Second breakdown collector current <i>Courant collecteur de second claquage</i> | $V_{CE} = 50 V$ $t = 1 s$ | $I_{S/B}$ | | 1 | | | A |
| | $V_{CE} = 30 V$ $t = 1 s$ | | | 4 | | | A |

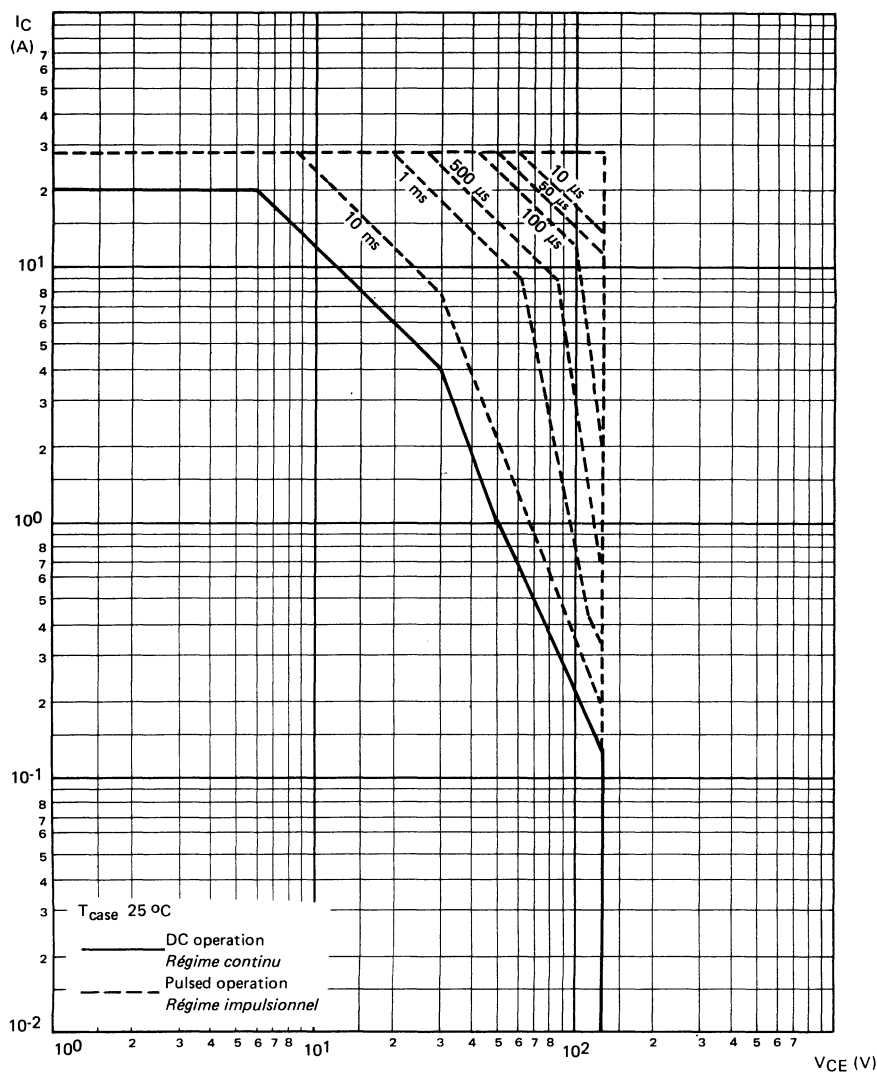
* Pulsed $t_p = 300 \mu s$ $\delta \leq 2\%$
Impulsions

DYNAMIC CHARACTERISTICS (for small signals)
CARACTÉRISTIQUES DYNAMIQUES (pour petits signaux)

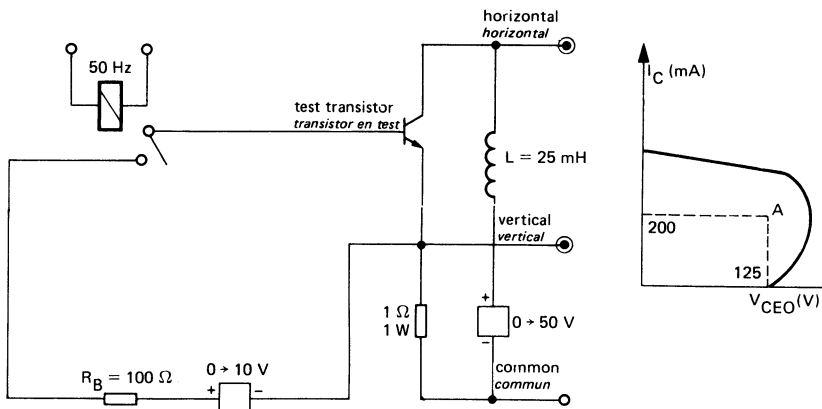
(Unless otherwise stated)
(Sauf indications contraires)

| | Test conditions <i>Conditions de mesure</i> | | | Min. | Typ. | Max. | |
|---|--|---|-------------|------|------|------|---------------|
| Transition frequency <i>Fréquence de transition</i> | $V_{CE} = 15 \text{ V}$ $I_C = 1 \text{ A}$ $f = 10 \text{ MHz}$ | f_T | | 8 | | | MHz |
| Turn-on time <i>Temps total d'établissement</i> | (fig. 2) | $I_C = 15 \text{ A}$ $I_B = 1,88 \text{ A}$ | $t_d + t_r$ | | 0,6 | 1,2 | μs |
| Fall time <i>Temps de décroissance</i> | (fig. 2) | $I_C = 15 \text{ A}$ $I_{B1} = 1,88 \text{ A}$ $I_{B2} = -1,88 \text{ A}$ | t_f | | 0,15 | 0,4 | μs |
| Carrier storage time <i>Retard à la décroissance</i> | (fig. 2) | $I_C = 15 \text{ A}$ $I_{B1} = 1,88 \text{ A}$ $I_{B2} = -1,88 \text{ A}$ | t_s | | 0,6 | 1 | μs |

SAFE OPERATING AREA
AIRE DE SECURITE



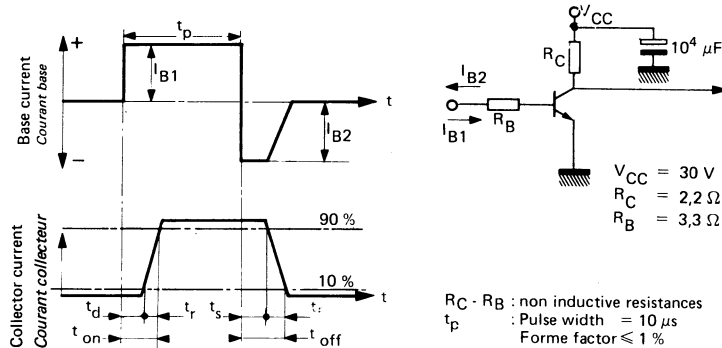
TEST CIRCUIT $V_{CEO(sus)}$ (fig. 1)



Note :

The sustaining voltage V_{CEO} is acceptable when the trace falls to the right and above point "A".
Les tensions V_{CEO} sont acceptables lorsque la trace passe au-delà du point A.

SWITCHING TIMES TEST CIRCUITS (and oscillograms)
CIRCUITS DE MESURE DES TEMPS DE COMMUTATION (et oscilloscopes) (fig. 2)



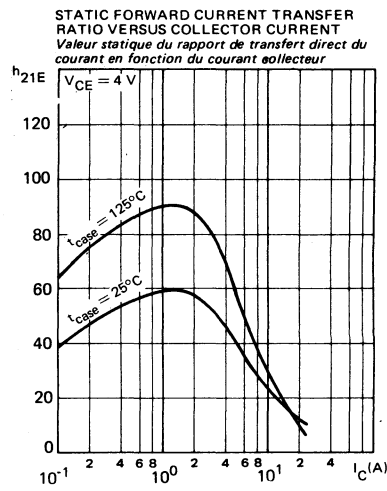
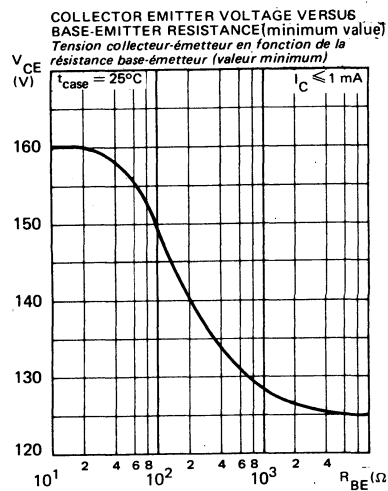
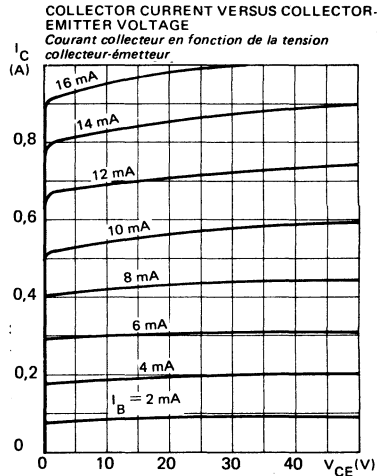
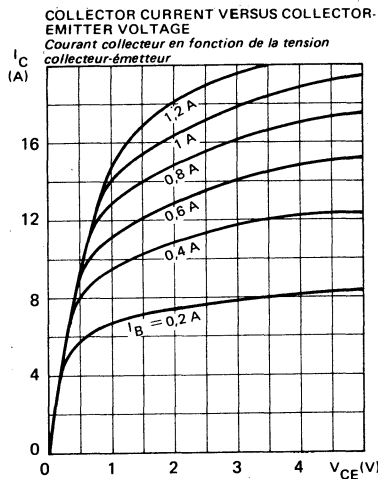
I_{B1} and I_{B2} measured with Tektronix probe P 6021 and Amplifier type 134

I_{B1} et I_{B2} sont mesurés avec une sonde Tektronix P 6021 et Amplificateur type 134

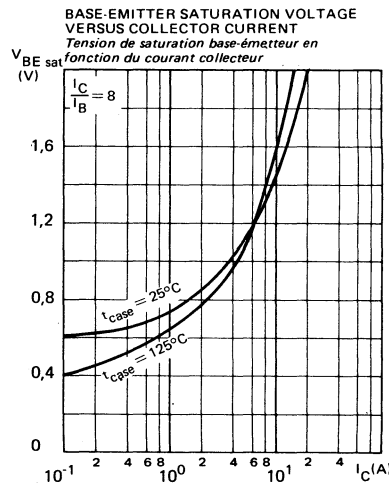
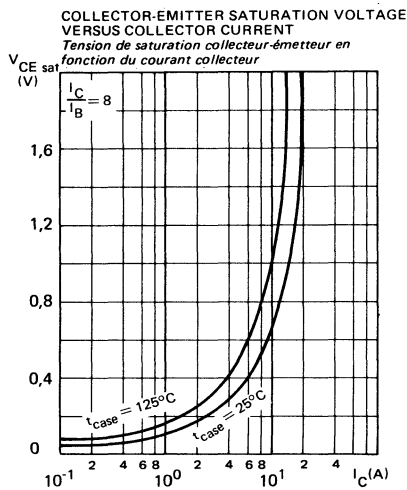
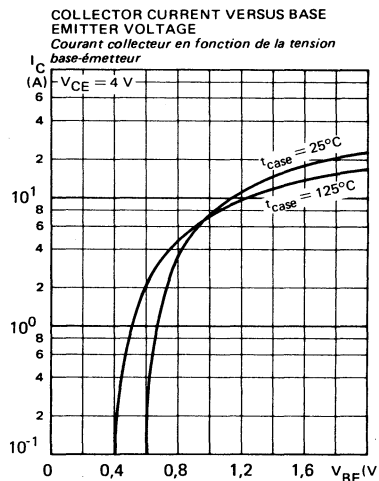
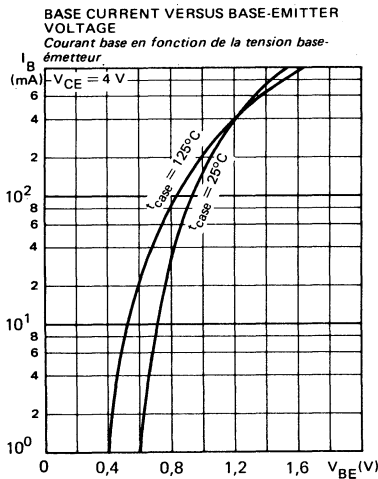
$R_C - R_B$: non inductive resistances
 t_p : Pulse width $= 10\ \mu\text{s}$
 Forme factor $\leqslant 1\%$
 Rise and fall time $\leqslant 100\ \text{ns}$

$R_C - R_B$: résistances non inductives
 t_p : Largeur d'impulsion $= 10\ \mu\text{s}$
 Facteur de forme $\leqslant 1\%$
 Temps de montée et descente $\leqslant 100\ \text{ns}$

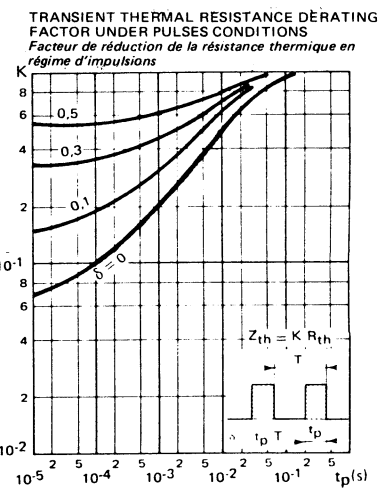
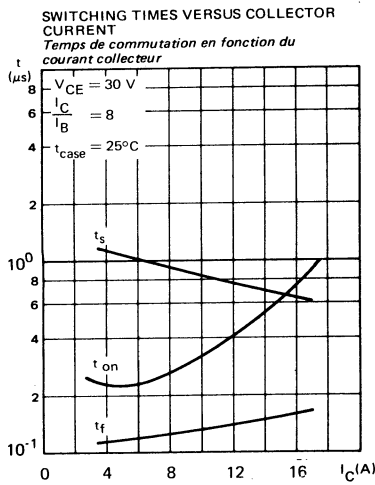
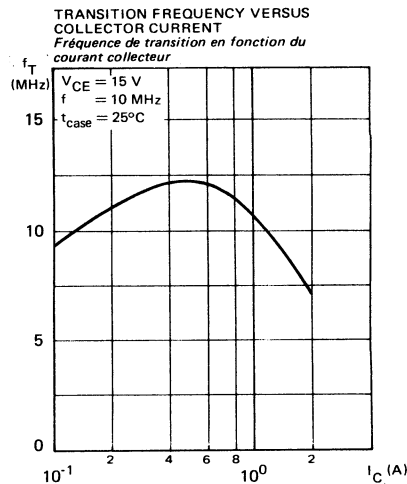
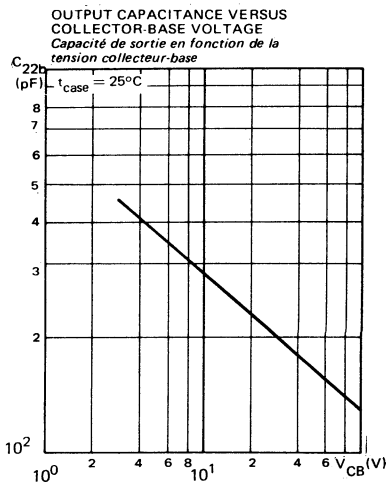
TYPICAL CHARACTERISTICS
CARACTÉRISTIQUES TYPIQUE



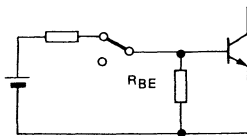
TYPICAL CHARACTERISTICS
CARACTÉRISTIQUES TYPPIQUES



TYPICAL CHARACTERISTICS
CARACTÉRISTIQUES TYPHIQUES



SWITCHING OPERATING AND OVERLOAD AREAS



TRANSISTOR FORWARD BIASED

- During the turn on
- During the turn off without negative base-emitter voltage and $R_{BE} \geq 8 \Omega$

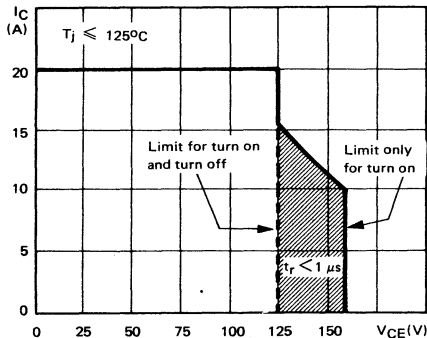
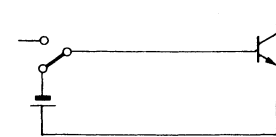


FIGURE 1 : Reverse biased safe operating area
(RBSOA)



TRANSISTOR REVERSE BIASED

- During the turn off with negative base-emitter voltage

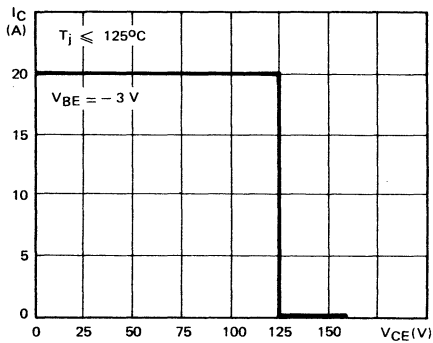


FIGURE 2 : Forward biased safe operating area
(FBSOA)

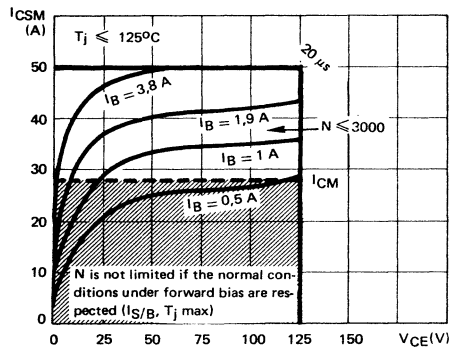


FIGURE 3 : Forward biased accidental overload area
(FBAOA)

Figure 1 : The hatched zone can only be used for turn on.

Figures 3 and 4 : High accidental surge currents ($I > I_{CM}$) are allowed if they are non repetitive and applied less than 3000 times during the component life.

Figure 3 : The Kellogg network (heavy print) allows the calculation of the maximum value of the short-circuit current for a given base current I_B (90 % confidence).

Figure 4 : After the accidental overload current, the RBAOA has to be used for the turn off.

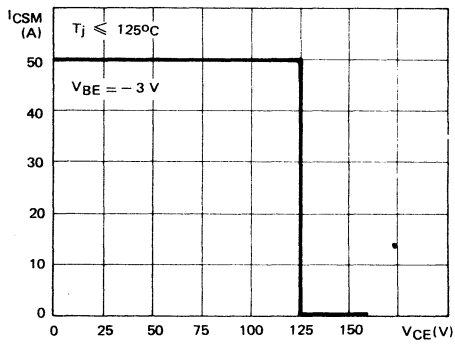


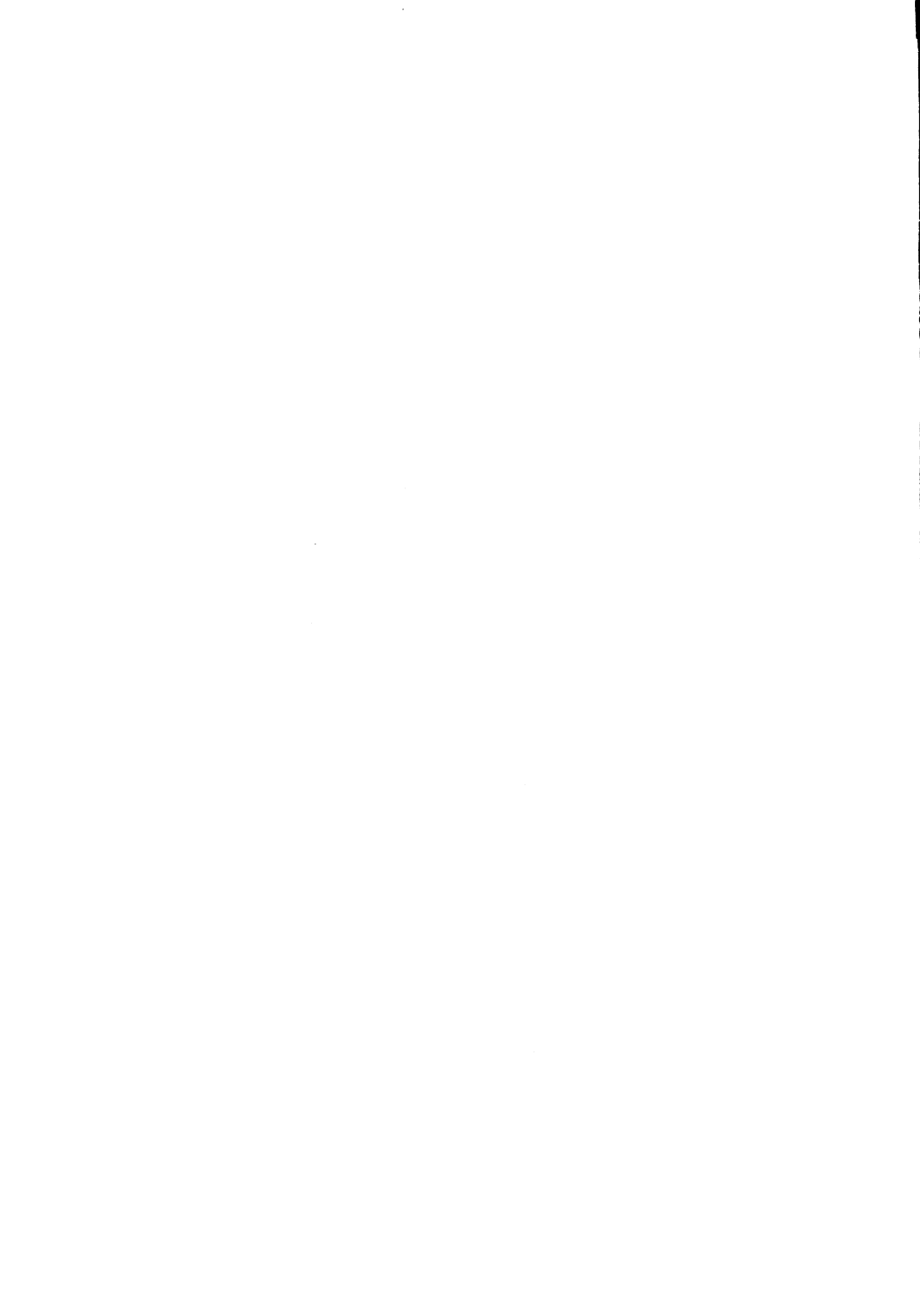
FIGURE 4 : Reverse biased safe operating area
(RBAOA)

Figure 1 : La zone hachurée ne doit être utilisée que pour la mise en conduction.

Figures 3 et 4 : De forts courants de surcharge ($I > I_{CM}$) sont permis s'ils sont non répétitifs et appliqués moins de 3000 fois dans la vie du composant.

Figure 3 : Le réseau de Kellogg (trait gras) permet le calcul de la valeur maximale du courant de court-circuit pour un courant de base donné I_B (90 % de confiance).

Figure 4 : Après le passage du courant de surcharge accidentelle, on doit utiliser l'aire de surcharge accidentelle en polarisation inverse pour l'ouverture.



SUPERSWITCH

HIGH SPEED TRANSISTORS SUITED FOR LOW VOLTAGE APPLICATIONS:

HIGH FREQUENCY INVERTERS
SWITCHING REGULATORS
MOTOR CONTROLS

- * High current capabilities
- * Fast turn-on and turn-off

*S.O.A.R specified for: linear mode, switching mode, accidental surge

TRANSISTOR TRES RAPIDE, ADAPTE AUX APPLICATIONS BASSE TENSION :

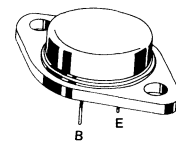
GENERATEURS HAUTE FREQUENCE
REGULATEURS A DECOUPAGE
COMMANDE DE MOTEURS

- * Possibilités élevées en courant
- * Mise en conduction et blocage rapides

* Aire de sécurité définie: en régime linéaire, en régime de commutation en régime de surcharge accidentelle

| | |
|----------------|------------------|
| $V_{CEO(SUS)}$ | 200 V |
| $V_{CE(X)}$ | 250 V |
| I_{CSat} | 8 A |
| I_{CSM} | 45 A |
| $t_f (8 A)$ | $\leq 0,8 \mu s$ |

Case
Boîtier TO 3



ABSOLUTE RATINGS (LIMITING VALUES)
VALEURS LIMITES ABSOLUES D'UTILISATION

| | | | | |
|---|-----------------------|-------------|-----|---|
| Collector-base voltage <i>Tension collecteur-base</i> | V_{CBO} | 250 | V | |
| Collector-emitter voltage <i>Tension collecteur-émetteur</i> | V_{CEO} | 200 | V | |
| Collector-emitter voltage <i>Tension collecteur-émetteur</i> | $R_{BE} = 100 \Omega$ | V_{CER} | 240 | V |
| Collector-emitter voltage <i>Tension collecteur-émetteur</i> | $V_{BE} = -1,5 V$ | $V_{CE(X)}$ | 250 | V |
| Emitter-base voltage <i>Tension émetteur-base</i> | V_{EBO} | 7 | V | |
| Collector current <i>Courant collecteur</i> | I_C | 15 | A | |
| Collector current <i>Courant collecteur</i> | $t_p = 10 \text{ ms}$ | I_{CM} | 20 | A |
| Base current <i>Courant base</i> | I_B | 3 | A | |
| Power dissipation <i>Dissipation de puissance</i> | P_{tot} | 120 | W | |
| Junction temperature <i>Température de jonction</i> | t_j | - 65 + 200 | °C | |

Junction-case thermal resistance
Résistance thermique jonction-boîtier

max

$R_{th(j-c)}$

1,46

°C/W

STATIC CHARACTERISTICS
CARACTÉRISTIQUES STATIQUES

$t_{case} = 25^\circ\text{C}$

(Unless otherwise stated)
(Sauf indications contraires)

| | Test conditions Conditions de mesure | | | Min. | Typ. | Max. |
|---|---|----------------|--|------|------|------|
| Collector-emitter cut-off current <i>Courant résiduel collecteur-émetteur</i> | $V_{CE} = 160 \text{ V}$ $I_B = 0$ | I_{CEO} | | 1 | | mA |
| Collector-emitter cut-off current <i>Courant résiduel collecteur-émetteur</i> | $V_{CE} = 250 \text{ V}$ $V_{BE} = -1,5 \text{ V}$ | I_{CEX} | | 1 | | mA |
| | $V_{CE} = 250 \text{ V}$ $V_{BE} = -1,5 \text{ V}$ $t_{case} = 125^\circ\text{C}$ | | | 5 | | mA |
| Emitter-base cut-off current <i>Courant résiduel émetteur-base</i> | $V_{EB} = 5 \text{ V}$ $I_C = 0$ | I_{EBO} | | 1 | | mA |
| Collector-emitter breakdown voltage <i>Tension de claquage collecteur-émetteur</i> (fig. 1) | $I_C = 200 \text{ mA}$ $I_B = 0$ $L = 25 \text{ mH}$ | $V_{CEO(sus)}$ | | 200 | | V |
| Emitter-base breakdown voltage <i>Tension de claquage émetteur-base</i> | $I_E = 50 \text{ mA}$ $I_C = 0$ | $V_{(BR)EBO}$ | | 7 | | V |
| Static forward current transfer ratio <i>Valeur statique du rapport de transfert direct du courant</i> | $V_{CE} = 4 \text{ V}$ $I_C = 5 \text{ A}$ | h_{21E}^* | | 15 | 45 | |
| | $V_{CE} = 4 \text{ V}$ $I_C = 8 \text{ A}$ | | | 8 | | |
| Collector-emitter saturation voltage <i>Tension de saturation collecteur-émetteur</i> | $I_C = 5 \text{ A}$ $I_B = 0,5 \text{ A}$ | V_{CEsat}^* | | 0,38 | 1,2 | V |
| | $I_C = 8 \text{ A}$ $I_B = 1 \text{ A}$ | | | 0,65 | 1,6 | V |
| Base-emitter saturation voltage <i>Tension de saturation base-émetteur</i> | $I_C = 8 \text{ A}$ $I_B = 1 \text{ A}$ | V_{BEsat}^* | | 1,3 | 2 | V |
| Second breakdown collector current <i>Courant collecteur de second claquage</i> | $V_{CE} = 135 \text{ V}$ $t_p = 1 \text{ s}$ | $I_{S/B}$ | | 0,15 | | A |
| | $V_{CE} = 30 \text{ V}$ $t_p = 1 \text{ s}$ | | | 4 | | A |

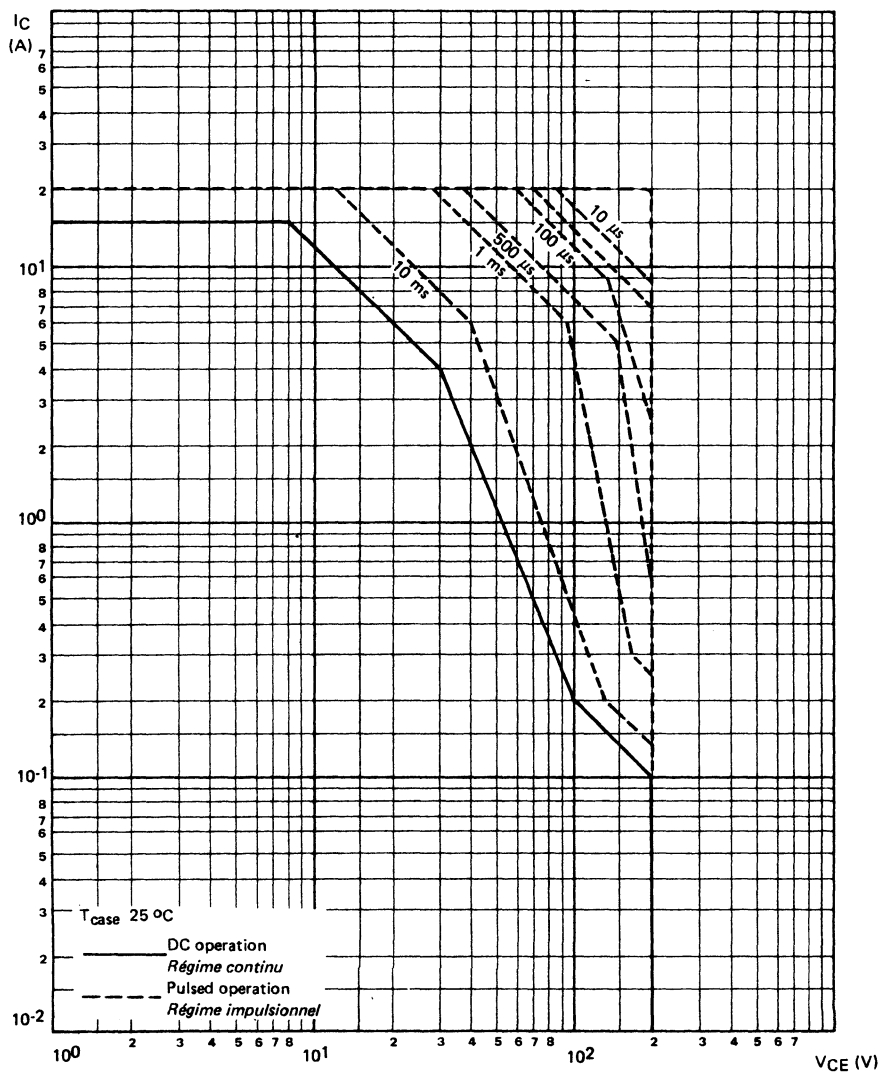
* Pulsed
Impulsions $t_p = 300 \mu\text{s}$ $\delta \leq 2 \%$

DYNAMIC CHARACTERISTICS (for small signals)
CARACTÉRISTIQUES DYNAMIQUES (pour petits signaux)

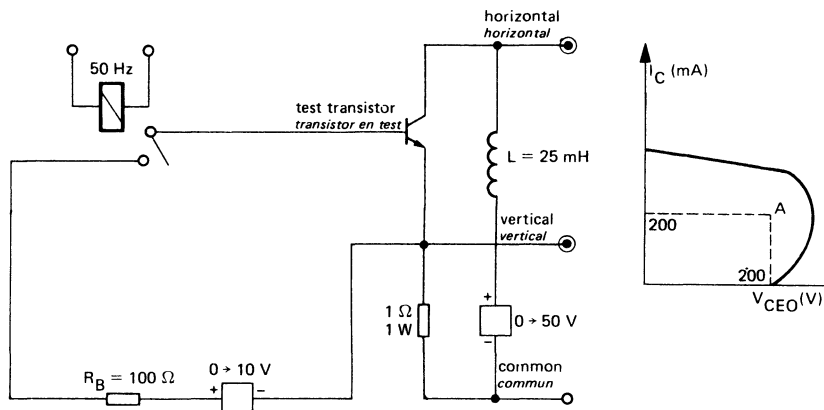
(Unless otherwise stated)
(Sauf indications contraires)

| | Test conditions <i>Conditions de mesure</i> | | | Min. | Typ. | Max. |
|--|--|-------------|--|------|------|---------------|
| Transition frequency <i>Fréquence de transition</i> | $V_{CE} = 15 \text{ V}$ $I_C = 1 \text{ A}$ $f = 10 \text{ MHz}$ | f_T | | 8 | | MHz |
| Turn-on time <i>Temps total d'établissement</i> : (fig. 2) | $I_C = 8 \text{ A}$ $I_B = 1 \text{ A}$ | $t_d + t_r$ | | 0,5 | 1 | μs |
| Fall time <i>Temps de décroissance</i> : (fig. 2) | $I_C = 8 \text{ A}$ $I_{B1} = 1 \text{ A}$ $I_{B2} = -1 \text{ A}$ | t_f | | 0,25 | 0,8 | μs |
| Carrier storage time <i>Retard à la décroissance</i> : (fig. 2) | $I_C = 8 \text{ A}$ $I_{B1} = 1 \text{ A}$ $I_{B2} = -1 \text{ A}$ | t_s | | 1 | 1,7 | μs |

SAFE OPERATING AREA
AIRE DE SECURITE



TEST CIRCUIT $V_{CEO(sus)}$ (fig. 1)

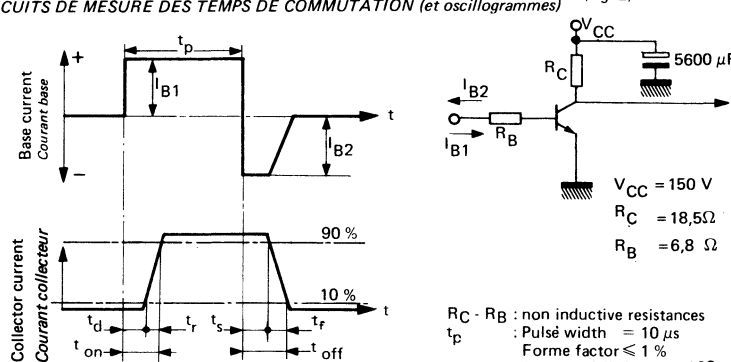


Note :

The sustaining voltage V_{CEO} is acceptable when the trace falls to the right and above point "A".
Les tensions V_{CEO} sont acceptables lorsque la trace passe au-delà du point A.

SWITCHING TIMES TEST CIRCUITS (and oscillograms)
CIRCUITS DE MESURE DES TEMPS DE COMMUTATION (et oscilloscopes)

(fig. 2)



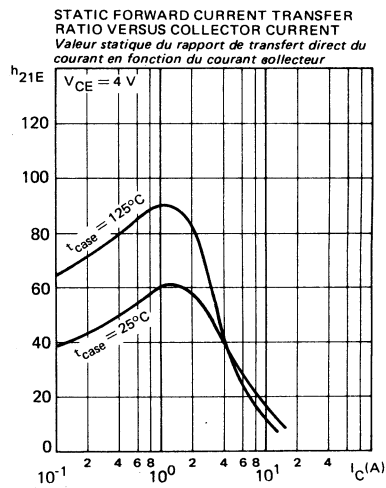
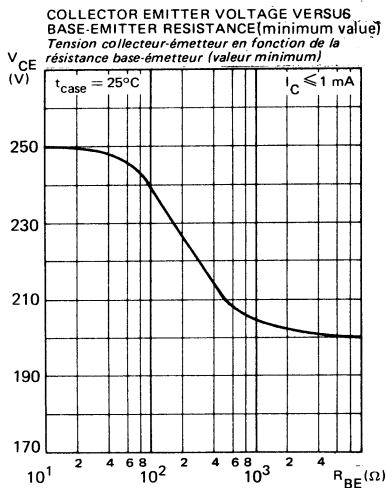
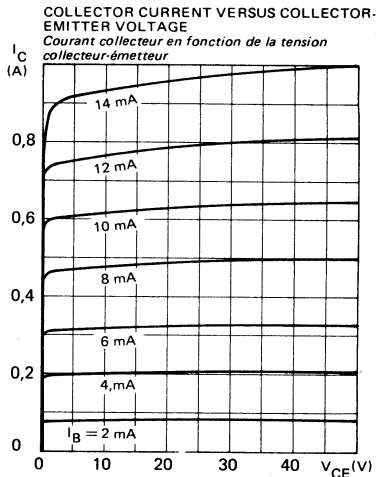
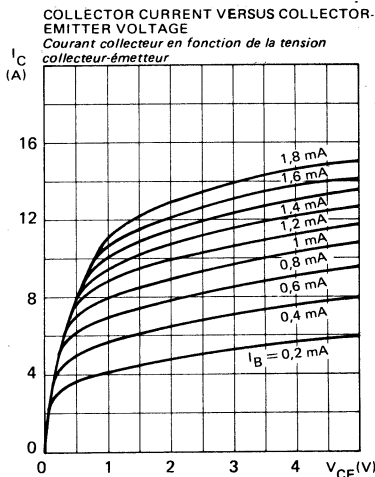
I_B1 et I_B2 mesurés avec une sonde Tektronix
P 6021 et Amplificateur type 134

I_B1 et I_B2 sont mesurés avec une sonde Tektronix
P 6021 et Amplificateur type 134

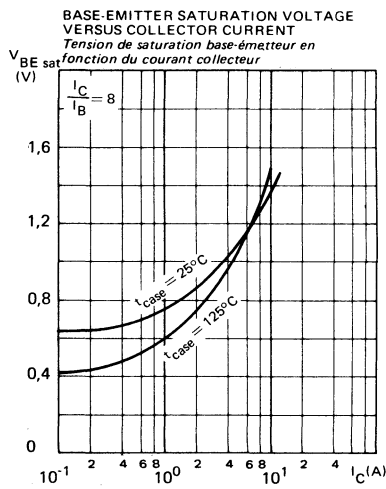
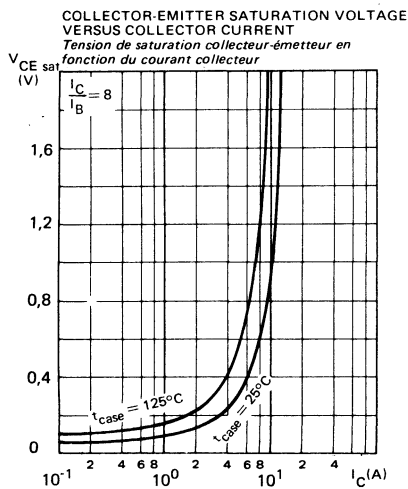
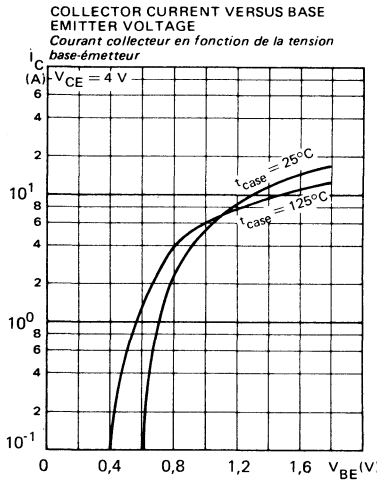
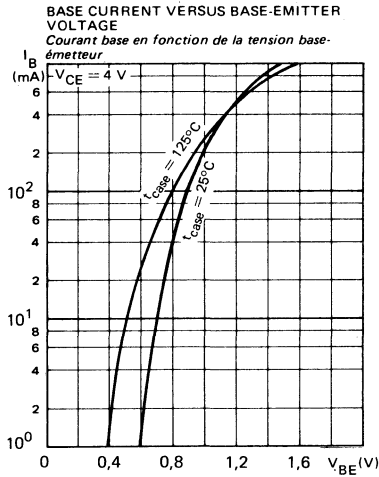
R_C - R_B : non inductive resistances
 t_p : Pulse width = 10 μ s
Forme factor $\leqslant 1\%$
Rise and fall time $\leqslant 100$ ns

R_C - R_B : résistances non inductives
 t_p : Largeur d'impulsion = 10 μ s
Facteur de forme $\leqslant 1\%$
Temps de montée et descente $\leqslant 100$ ns

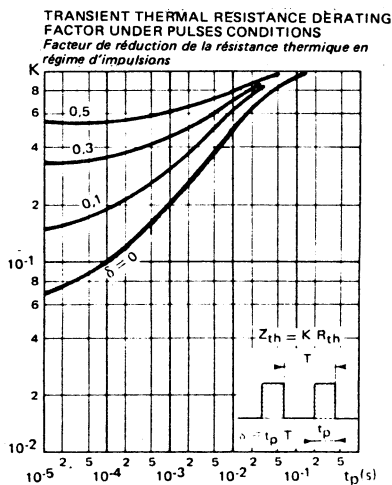
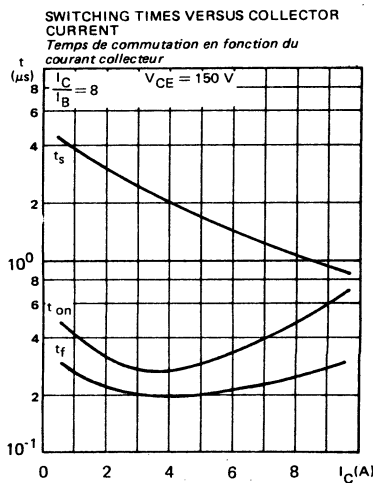
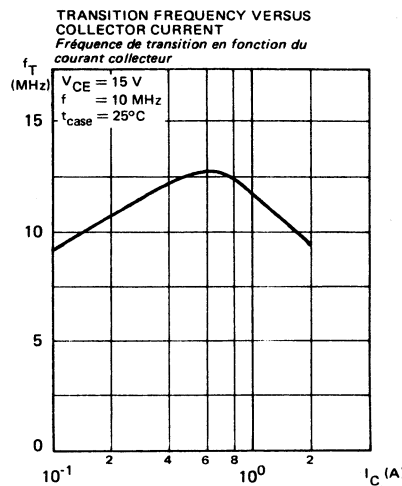
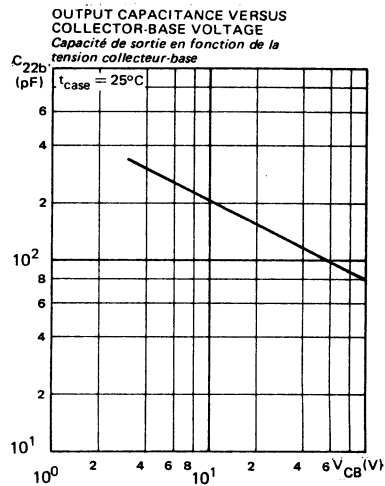
TYPICAL CHARACTERISTICS
CARACTÉRISTIQUES TYPIQUES



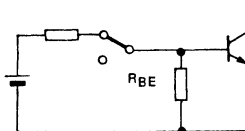
TYPICAL CHARACTERISTICS
CARACTÉRISTIQUES TYPIQUES



TYPICAL CHARACTERISTICS
CARACTÉRISTIQUES TYPIQUES



SWITCHING OPERATING AND OVERLOAD AREAS



TRANSISTOR FORWARD BIASED

- During the turn on
- During the turn off without negative base-emitter voltage and $R_{BE} \geq 8 \Omega$

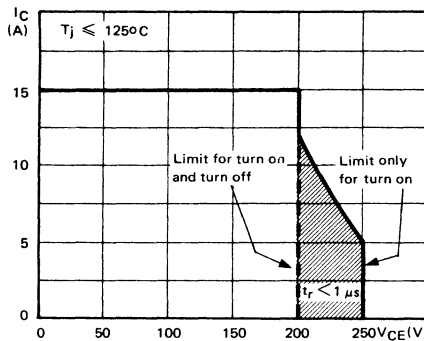
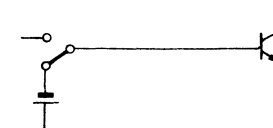


FIGURE 1 : Reverse biased safe operating area (RBSOA)



TRANSISTOR REVERSE BIASED

- During the turn off with negative base-emitter voltage

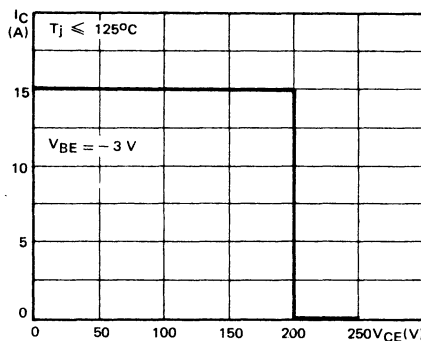


FIGURE 2 : Forward biased safe operating area (FBSOA)

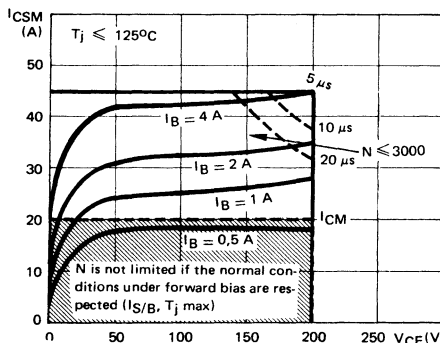


FIGURE 3 : Forward biased accidental overload area (FBAOA)

Figure 1 : The hatched zone can only be used for turn on.

Figures 3 and 4 : High accidental surge currents ($I > I_{CM}$) are allowed if they are non repetitive and applied less than 3000 times during the component life.

Figure 3 : The Kellogg network (heavy print) allows the calculation of the maximum value of the short-circuit current for a given base current I_B (90 % confidence).

Figure 4 : After the accidental overload current, the RBAOA has to be used for the turn off.

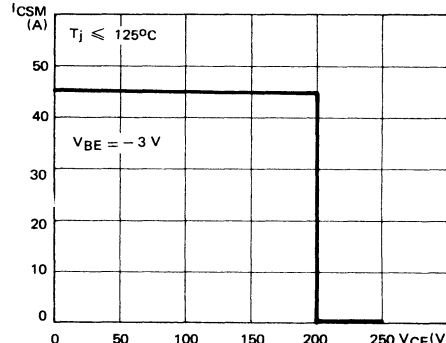


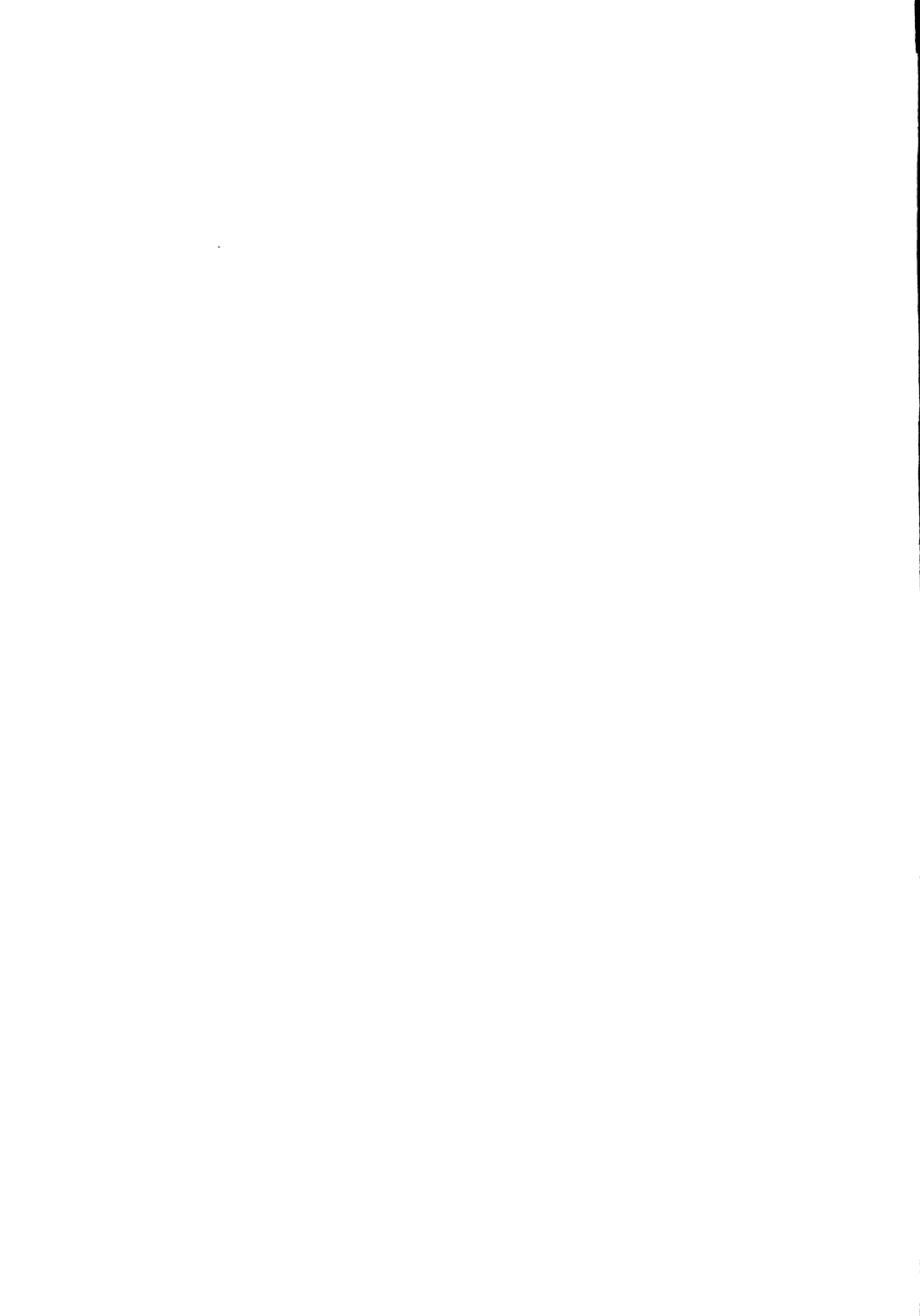
FIGURE 4 : Reverse biased accidental overload area (RBAOA)

Figure 1 : La zone hachurée ne doit être utilisée que pour la mise en conduction.

Figures 3 et 4 : De forts courants de surcharge ($I > I_{CM}$) sont permis s'ils sont non répétitifs et appliqués moins de 3000 fois dans la vie du composant.

Figure 3 : Le réseau de Kellogg (trait gras) permet le calcul de la valeur maximale du courant de court-circuit pour un courant de base donné I_B (90 % de confiance).

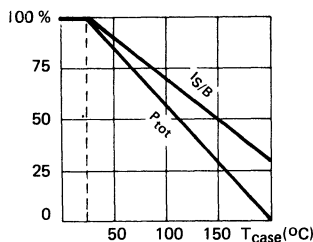
Figure 4 : Après le passage du courant de surcharge accidentelle, on doit utiliser l'aire de surcharge accidentelle en polarisation inverse pour l'ouverture.



High speed, high current, high power transistor
Transistor de puissance rapide, fort courant

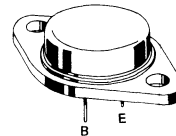
Switching and amplifier transistor
Transistor d'amplification et de commutation

Dissipation and I_S/B derating
Variation de dissipation et de I_S/B



| | |
|-------------------------|-------------|
| V _{CBO} | 160 V |
| I _C | 18 A |
| P _{tot} | 120 W |
| R _{th(j-c)} | ≤ 1,46 °C/W |
| t _f (12 A) | ≤ 0,8 μs |

Case Boîtier TO 3 (CB 19)



ABSOLUTE RATINGS (LIMITING VALUES)
VALEURS LIMITES ABSOLUES D'UTILISATION

| | | | | |
|---|---------------------------|------------------|-----|---|
| Collector-base voltage <i>Tension collecteur-base</i> | V _{CBO} | 220 | V | |
| Collector-emitter voltage <i>Tension collecteur-émetteur</i> | V _{CEO} | 160 | V | |
| Collector-emitter voltage <i>Tension collecteur-émetteur</i> | R _{BE} = 100 Ω | V _{CER} | 200 | V |
| Collector-emitter voltage <i>Tension collecteur-émetteur</i> | V _{BE} = - 1,5 V | V _{CEX} | 220 | V |
| Emitter-base voltage <i>Tension émetteur-base</i> | V _{EBO} | 7 | V | |
| Collector current <i>Courant collecteur</i> | I _C | 18 | A | |
| Collector current <i>Courant collecteur</i> | t _p = 10 ms | I _{CM} | 25 | A |
| Base current <i>Courant base</i> | I _B | 3,6 | A | |
| Power dissipation <i>Dissipation de puissance</i> | P _{tot} | 120 | W | |
| Storage and junction temperature <i>Température de jonction et de stockage</i> | t _j | 200 | °C | |
| | T _{stg} | - 65 + 200 | °C | |

| | | | | |
|--|-----|----------------------|------|------|
| Junction-case thermal resistance <i>Résistance thermique jonction boîtier</i> | max | R _{th(j-c)} | 1,46 | °C/W |
|--|-----|----------------------|------|------|

STATIC CHARACTERISTICS
CARACTÉRISTIQUES STATIQUES $t_{case} = 25^\circ\text{C}$ (Unless otherwise stated)
(Sauf indications contraires)

| | Test conditions Conditions de mesure | | | Min. | Typ. | Max. |
|--|---|------------------------|--|------|------|------|
| Collector-emitter cut-off current <i>Courant résiduel collecteur-émetteur</i> | $V_{CE} = 130 \text{ V}$ $I_B = 0$ | I_{CEO} | | 1 | | mA |
| Collector-emitter cut-off current <i>Courant résiduel collecteur-émetteur</i> | $V_{CE} = 220 \text{ V}$ $V_{BE} = -1,5 \text{ V}$ | I_{CEX} | | 1 | | mA |
| | $V_{CE} = 220 \text{ V}$ $V_{BE} = -1,5 \text{ V}$ $t_{case} = 125^\circ\text{C}$ | | | 5 | | mA |
| Emitter-base cut-off current <i>Courant résiduel émetteur-base</i> | $V_{EB} = 5 \text{ V}$ $I_C = 0$ | I_{EBO} | | 1 | | mA |
| Collector-emitter breakdown voltage <i>Tension de claquage collecteur-émetteur</i> | $I_C = 200 \text{ mA}$ $I_B = 0$ $L = 25 \text{ mH}$ | $V_{CEO} (\text{sus})$ | | 160 | | V |
| Emitter-base breakdown voltage <i>Tension de claquage émetteur-base</i> | $I_E = 50 \text{ mA}$ $I_C = 0$ | $V_{(BR)EBO}$ | | 7 | | V |
| Static forward current transfert ratio <i>Valeur statique du rapport de transfert direct du courant</i> | $V_{CE} = 4 \text{ V}$ $I_C = 8 \text{ A}$ | h_{21E}^* | | 15 | 45 | |
| | $V_{CE} = 4 \text{ V}$ $I_C = 12 \text{ A}$ | | | 8 | | |
| Collector-emitter saturation voltage <i>Tension de saturation collecteur-émetteur</i> | $I_C = 8 \text{ A}$ $I_B = 0,8 \text{ A}$ | V_{CEsat}^* | | 0,5 | 1,2 | V |
| | $I_C = 12 \text{ A}$ $I_B = 1,5 \text{ A}$ | | | 0,75 | 1,6 | V |
| Base-emitter saturation voltage <i>Tension de saturation base-émetteur</i> | $I_C = 12 \text{ A}$ $I_B = 1,5 \text{ A}$ | V_{BEsat}^* | | 1,5 | 2 | V |
| Second breakdown collector current <i>Courant collecteur de second claquage</i> | $V_{CE} = 100 \text{ V}$ $t = 1 \text{ s}$ | $I_{S/B}$ | | 0,27 | | A |
| | $V_{CE} = 30 \text{ V}$ $t = 1 \text{ s}$ | | | 4 | | A |

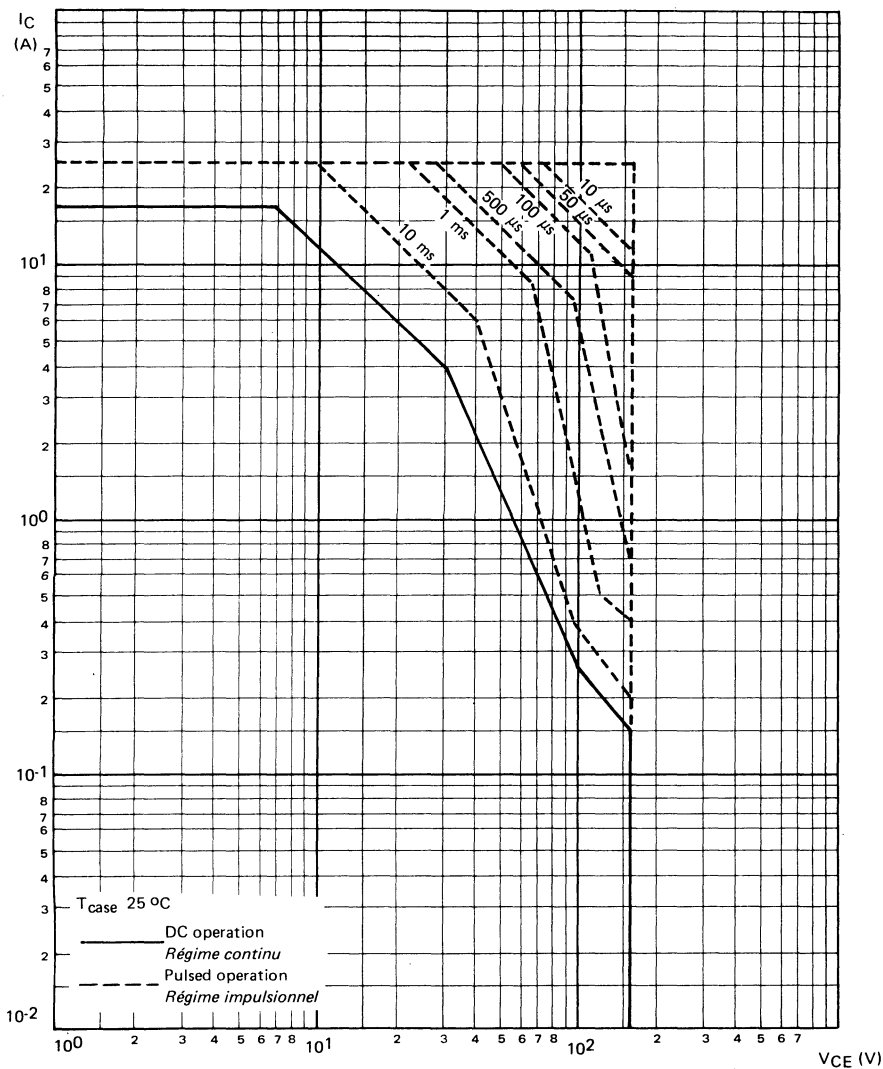
* Pulsed
Impulsions $t_p = 300 \mu\text{s}$ $\delta \leq 2\%$

DYNAMIC CHARACTERISTICS (for small signals)
CARACTÉRISTIQUES DYNAMIQUES (pour petits signaux)

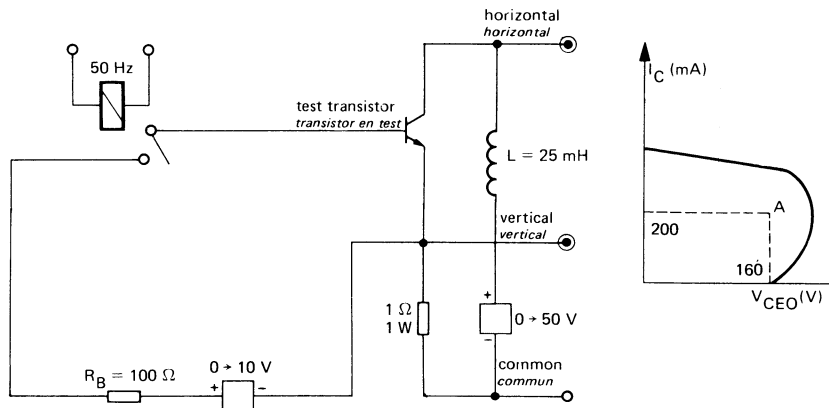
(Unless otherwise stated)
(Sauf indications contraires)

| | Test conditions <i>Conditions de mesure</i> | | | Min. | Typ. | Max. | |
|--|---|-------------|--|------|------|------|---------------|
| Transition frequency <i>Fréquence de transition</i> | $V_{CE} = 15 \text{ V}$ $I_C = 1 \text{ A}$ $f = 10 \text{ MHz}$ | f_T | | 8 | | | MHz |
| Turn-on time <i>Temps total d'établissement</i> : (fig. 2) | $I_C = 12 \text{ A}$ $I_B = 1,5 \text{ A}$ | $t_d + t_r$ | | 0,9 | 1,3 | | μs |
| Fall time <i>Temps de décroissance</i> : (fig. 2) | $I_C = 12 \text{ A}$ $I_{B1} = 1,5 \text{ A}$ $I_{B2} = -1,5 \text{ A}$ | t_f | | 0,4 | 0,8 | | μs |
| Carrier storage time <i>Retard à la décroissance</i> : (fig. 2) | $I_C = 12 \text{ A}$ $I_{B1} = 1,5 \text{ A}$ $I_{B2} = -1,5 \text{ A}$ | t_s | | 0,7 | 1,5 | | μs |

SAFE OPERATING AREA
AIRE DE SECURITE



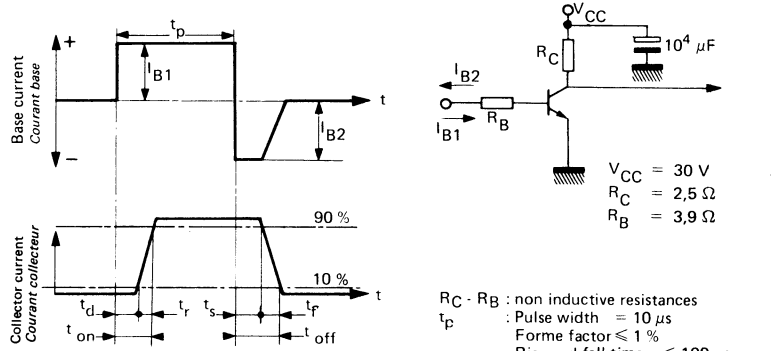
TEST CIRCUIT
MONTAGE DE TEST $V_{CEO}(\text{sus})$ (fig. 1)



Note :

The sustaining voltage V_{CEO} is acceptable when the trace falls to the right and above point "A".
Les tensions V_{CEO} sont acceptables lorsque la trace passe au-delà du point A.

SWITCHING TIMES TEST CIRCUITS (and oscillograms)
CIRCUITS DE MESURE DES TEMPS DE COMMUTATION (et oscilloscopages) (fig. 2)



I_{B1} and I_{B2} measured with Tektronix probe P 6021 and Amplifier type 134

I_{B1} et I_{B2} sont mesurés avec une sonde Tektronix P 6021 et Amplificateur type 134

$R_C - R_B$: non inductive resistances

t_p : Pulse width = $10 \mu\text{s}$

Form factor $\leq 1\%$

Rise and fall time $\leq 100 \text{ ns}$

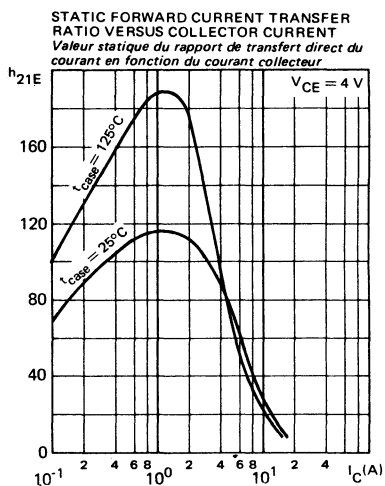
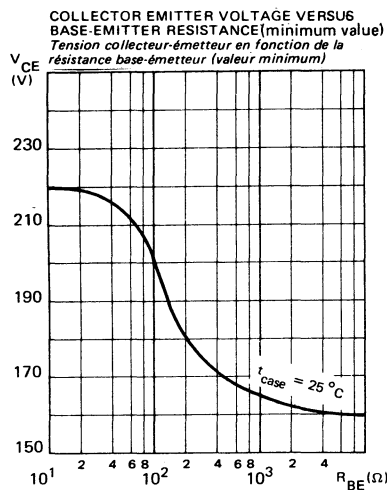
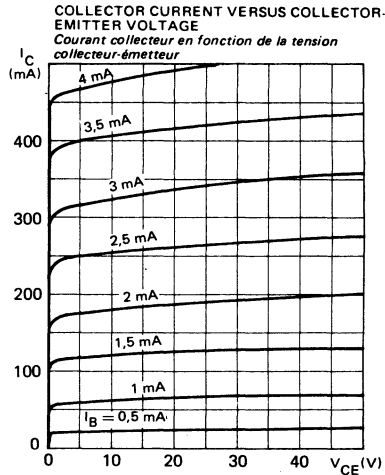
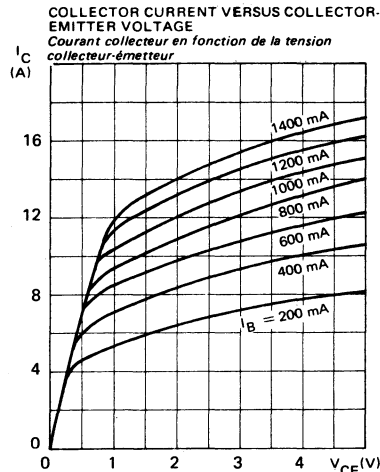
$R_C - R_B$: résistances non inductives

t_p : Largeur d'impulsion = $10 \mu\text{s}$

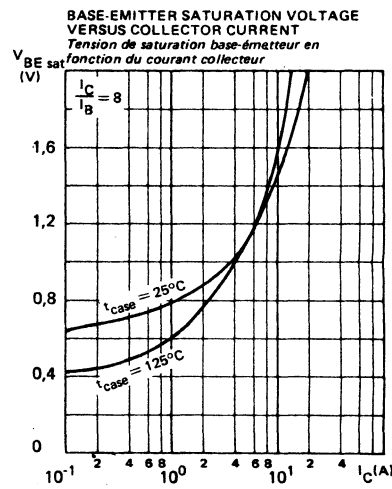
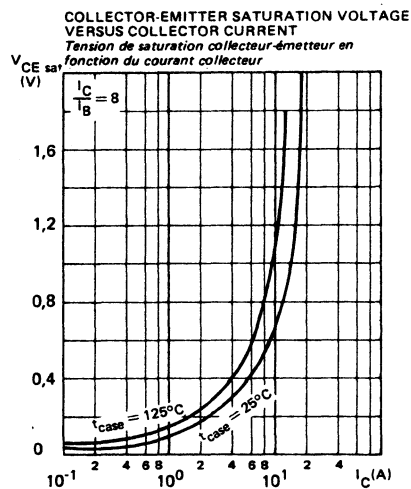
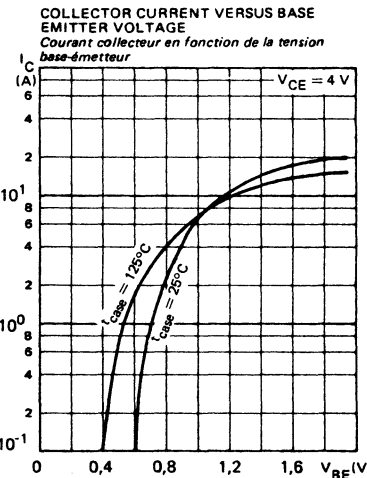
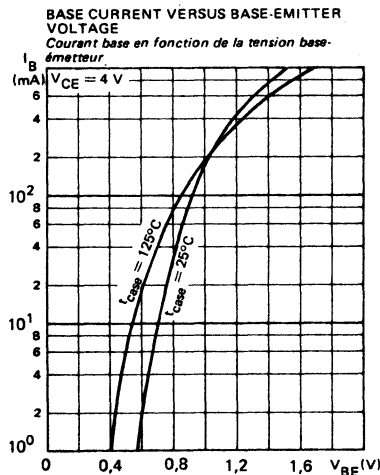
Facteur de forme $\leq 1\%$

Temps de montée et descente $\leq 100 \text{ ns}$

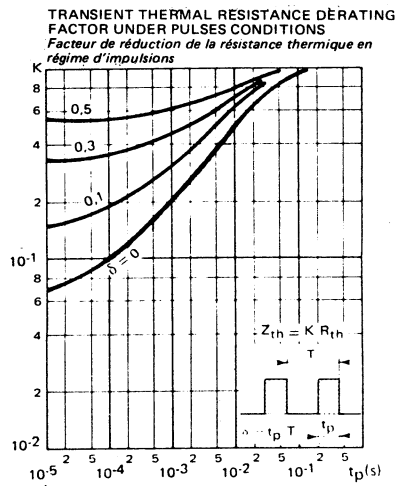
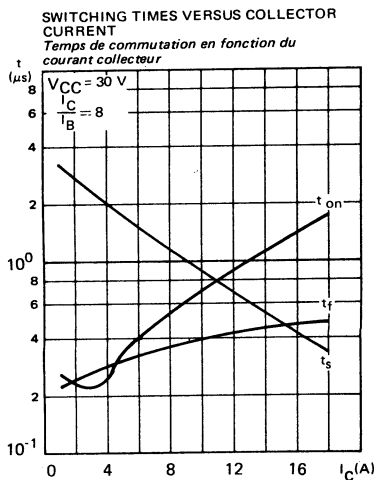
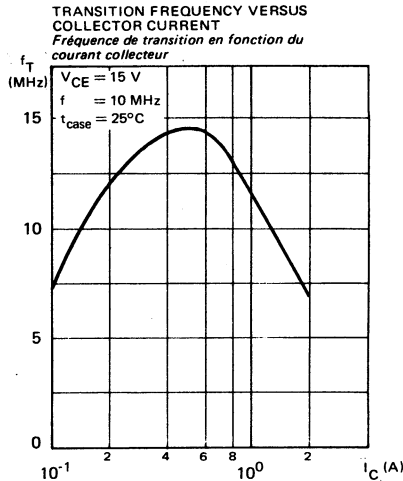
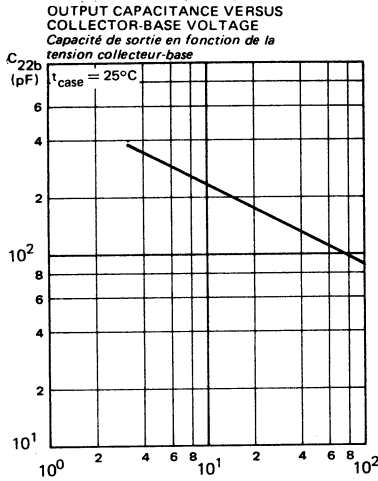
TYPICAL CHARACTERISTICS
CARACTÉRISTIQUES TYPHIQUES



TYPICAL CHARACTERISTICS
CARACTÉRISTIQUES TYPHIQUES



TYPICAL CHARACTERISTICS
CARACTÉRISTIQUES TYPHIQUES



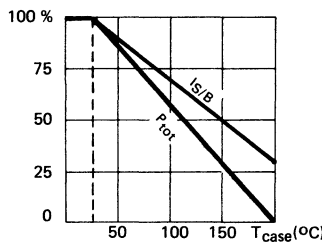
**NPN SILICON TRANSISTOR, TRIPLE DIFFUSED MESA
TRANSISTOR SILICIUM NPN, MESA TRIPLE DIFFUSÉ**

High speed, high current, high power transistor
Transistor de puissance rapide, fort courant

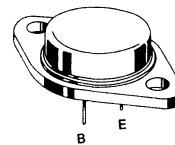
Switching and amplifier transistor
Transistor d'amplification et de commutation

| | |
|---------------------------|--|
| V_{CEO} | 250 V |
| I_{CM} | 15 A |
| P_{tot} | 120 W |
| $R_{th(j-c)}$ | $\leq 1,46 \text{ }^{\circ}\text{C/W}$ |
| $V_{CEsat} (6 \text{ A})$ | $\leq 1,6 \text{ V}$ |
| $t_f (6 \text{ A})$ | $\leq 1,2 \mu\text{s}$ |

Dissipation and I_S/B derating
Variation de dissipation et de I_S/B



Case
Boîtier TO 3 (CB 19)



ABSOLUTE RATINGS (LIMITING VALUES)
VALEURS LIMITES ABSOLUES D'UTILISATION

| | | | |
|---|--------------|-------------------|--------------------|
| Collector-base voltage <i>Tension collecteur-base</i> | V_{CBO} | 300 | V |
| Collector-emitter voltage <i>Tension collecteur-émetteur</i> | V_{CEO} | 250 | V |
| Collector-emitter voltage <i>Tension collecteur-émetteur</i> | V_{CER} | 290 | V |
| Collector-emitter voltage <i>Tension collecteur-émetteur</i> | V_{CEX} | 300 | V |
| Emitter-base voltage <i>Tension émetteur-base</i> | V_{EBO} | 7 | V |
| Collector current <i>Courant collecteur</i> | I_C | 12 | A |
| Collector current <i>Courant collecteur</i> | I_{CM} | 15 | A |
| Base current <i>Courant base</i> | I_B | 2,4 | A |
| Power dissipation <i>Dissipation de puissance</i> | P_{tot} | 120 | W |
| Storage and junction temperature <i>Température de jonction et de stockage</i> | t_j max | 200 - 65 + 200 | $^{\circ}\text{C}$ |

| | | | | |
|--|-----|---------------|------|----------------------|
| Junction-case thermal resistance <i>Résistance thermique jonction boîtier</i> | max | $R_{th(j-c)}$ | 1,46 | $^{\circ}\text{C/W}$ |
|--|-----|---------------|------|----------------------|

STATIC CHARACTERISTICS
CARACTÉRISTIQUES STATIQUES
 $t_{case} = 25^\circ\text{C}$ (Unless otherwise stated)
(Sauf indications contraires)

| | Test conditions Conditions de mesure | | | Min. | Typ. | Max. |
|---|---|----------------|--|------|------|------|
| Collector-emitter cut-off current <i>Courant résiduel collecteur-émetteur</i> | $V_{CE} = 200 \text{ V}$ $I_B = 0$ | I_{CEO} | | | 1 | mA |
| Collector-emitter cut-off current <i>Courant résiduel collecteur-émetteur</i> | $V_{CE} = 300 \text{ V}$ $V_{BE} = -1,5 \text{ V}$ | I_{CEX} | | | 1 | mA |
| | $V_{CE} = 300 \text{ V}$ $V_{BE} = -1,5 \text{ V}$ $t_{case} = 125^\circ\text{C}$ | | | | 5 | mA |
| Emitter-base cut-off current <i>Courant résiduel émetteur-base</i> | $V_{EB} = 5 \text{ V}$ $I_C = 0$ | I_{EBO} | | | 1 | mA |
| Collector-emitter breakdown voltage <i>Tension de claquage collecteur-émetteur</i> (fig. 1) | $I_C = 200 \text{ mA}$ $I_B = 0$ $L = 25 \text{ mH}$ | $V_{CEO(sus)}$ | | 250 | | V |
| Emitter-base breakdown voltage <i>Tension de claquage émetteur-base</i> | $I_E = 50 \text{ mA}$ $I_C = 0$ | $V_{(BR)EBO}$ | | 7 | | V |
| Static forward current transfer ratio <i>Valeur statique du rapport de transfert direct du courant</i> | $V_{CE} = 4 \text{ V}$ $I_C = 4 \text{ A}$ | h_{21E}^* | | | 15 | 45 |
| | $V_{CE} = 4 \text{ V}$ $I_C = 6 \text{ A}$ | | | | 8 | |
| Collector-emitter saturation voltage <i>Tension de saturation collecteur-émetteur</i> | $I_C = 4 \text{ A}$ $I_B = 0,4 \text{ A}$ | V_{CEsat}^* | | | 0,33 | 1,2 |
| | $I_C = 6 \text{ A}$ $I_B = 0,75 \text{ A}$ | | | | 0,5 | 1,6 |
| Base-emitter saturation voltage <i>Tension de saturation base-émetteur</i> | $I_C = 6 \text{ A}$ $I_B = 0,75 \text{ A}$ | V_{BESat}^* | | | 1,2 | 2 |
| Second breakdown collector current <i>Courant collecteur de second claquage</i> | $V_{CE} = 135 \text{ V}$ $t = 1 \text{ s}$ | $I_{S/B}$ | | | 0,15 | A |
| | $V_{CE} = 30 \text{ V}$ $t = 1 \text{ s}$ | | | | 4 | A |

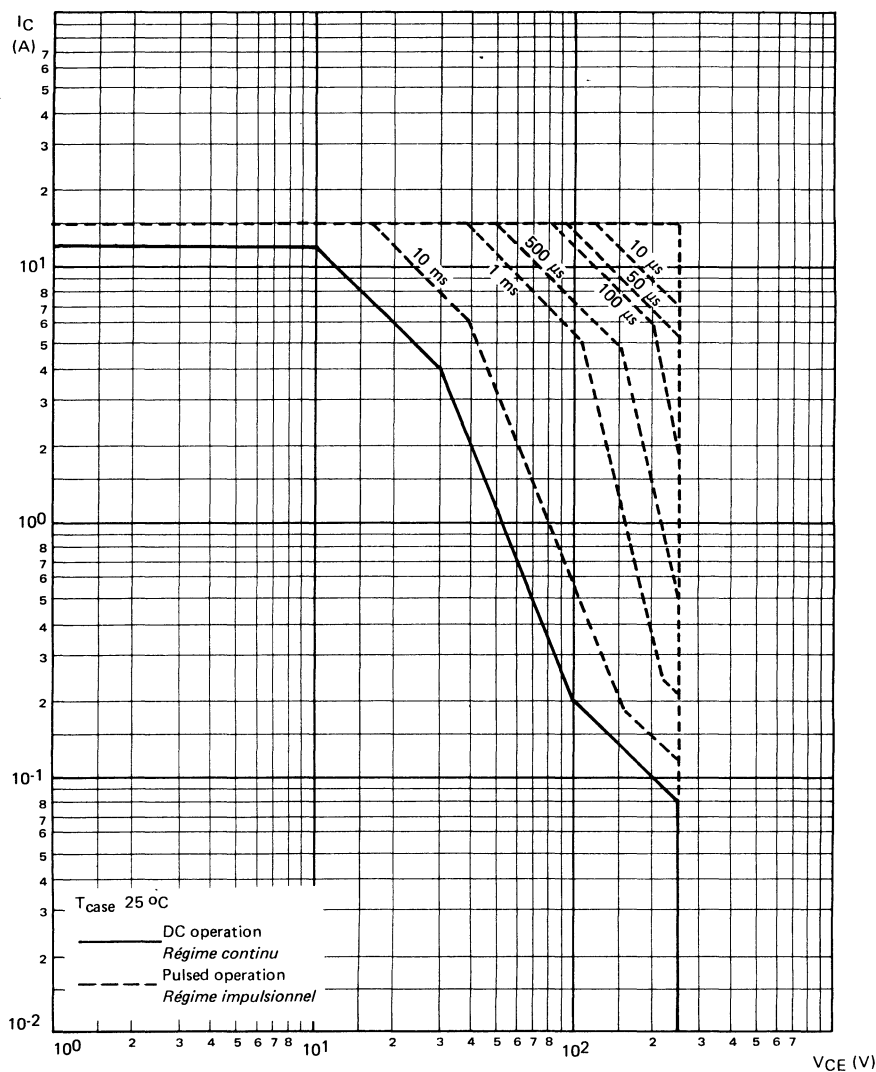
* Pulsed $t_p = 300 \mu\text{s}$ $\delta \leq 2\%$
Impulsions

DYNAMIC CHARACTERISTICS (for small signals)
CARACTÉRISTIQUES DYNAMIQUES (pour petits signaux)

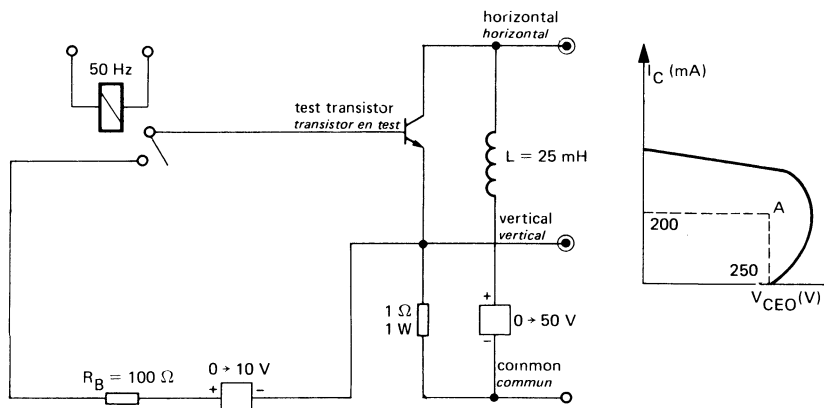
(Unless otherwise stated)
(Sauf indications contraires)

| | Test conditions <i>Conditions de mesure</i> | | | Min. | Typ. | Max. |
|---|--|--|-------------|------|------|------|
| Transition frequency <i>Fréquence de transition</i> | $V_{CE} = 15 \text{ V}$ $I_C = 1 \text{ A}$ $f = 10 \text{ MHz}$ | f_T | | 8 | | MHz |
| Turn-on time <i>Temps total d'établissement</i> | (fig. 2) | $I_C = 6 \text{ A}$ $I_B = 0,75 \text{ A}$ | $t_d + t_r$ | | 0,45 | 1 |
| Fall time <i>Temps de décroissance</i> | (fig. 2) | $I_C = 6 \text{ A}$ $I_{B1} = 0,75 \text{ A}$ $I_{B2} = -0,75 \text{ A}$ | t_f | | 0,7 | 1,2 |
| Carrier storage time <i>Retard à la décroissance</i> | (fig. 2) | $I_C = 6 \text{ A}$ $I_{B1} = 0,75 \text{ A}$ $I_{B2} = -0,75 \text{ A}$ | t_s | | 1,35 | 2 |

SAFE OPERATING AREA
AIRE DE SECURITE



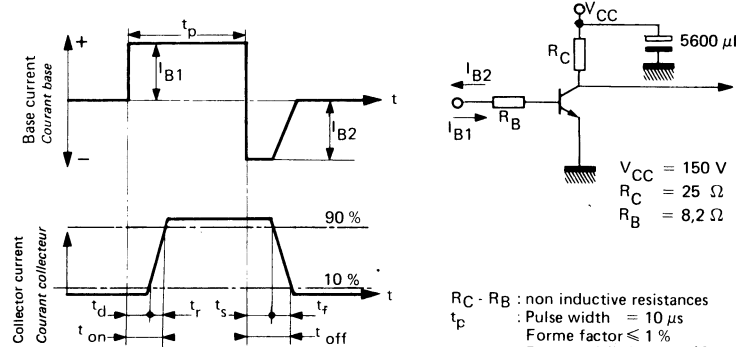
TEST CIRCUIT $V_{CEO(sus)}$ (fig. 1)



Note :

The sustaining voltage V_{CEO} is acceptable when the trace falls to the right and above point "A".
Les tensions V_{CEO} sont acceptables lorsque la trace passe au-delà du point A.

SWITCHING TIMES TEST CIRCUITS (and oscillograms)
CIRCUITS DE MESURE DES TEMPS DE COMMUTATION (et oscilloscopes) (fig. 2)



I_{B1} and I_{B2} measured with Tektronix probe P 6021 and Amplifier type 134

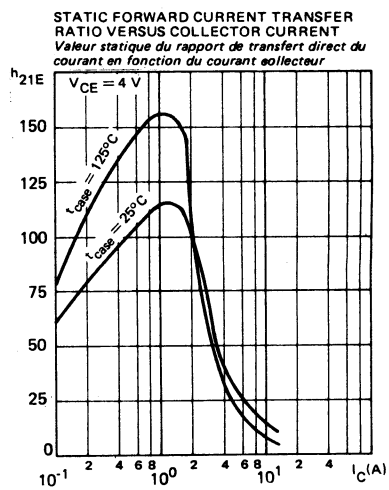
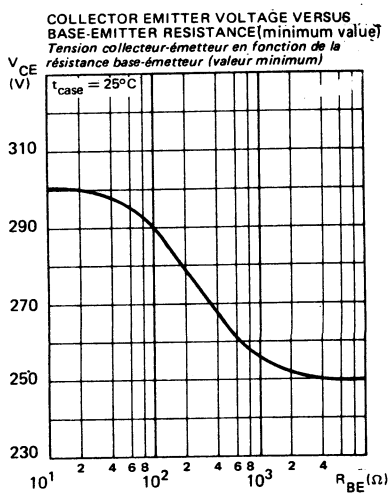
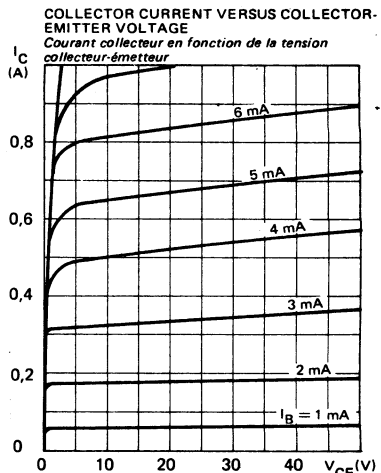
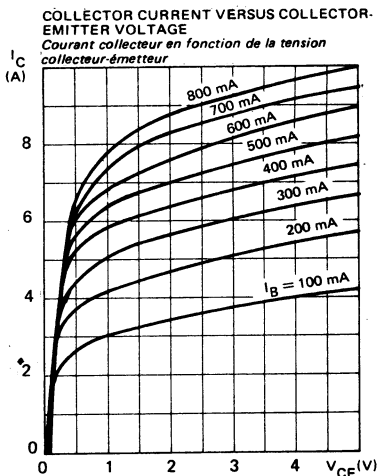
I_{B1} et I_{B2} sont mesurés avec une sonde Tektronix P 6021 et Amplificateur type 134

$R_C - R_B$: non inductive resistances
 t_p : Pulse width = 10 μs
 Forme factor ≤ 1 %

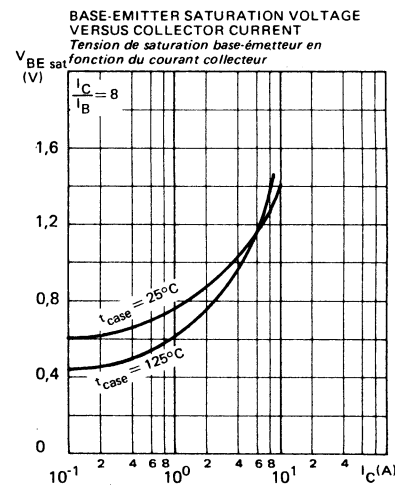
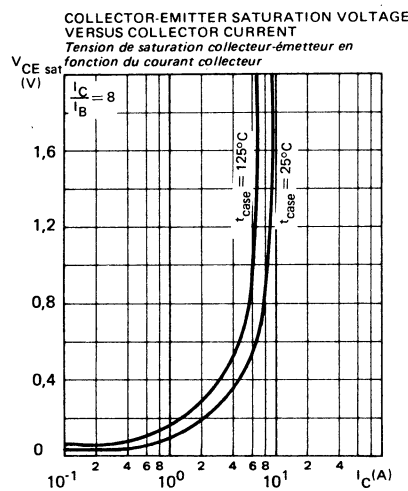
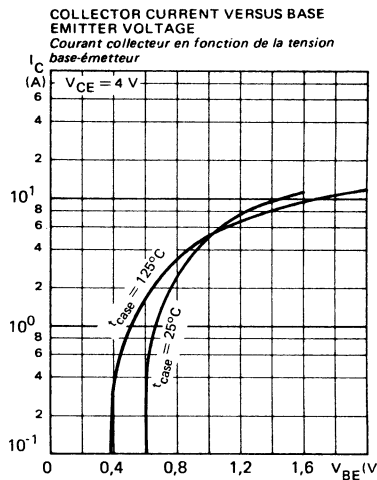
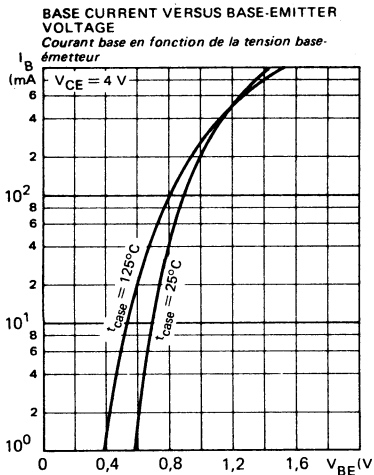
Rise and fall time ≤ 100 ns

$R_C - R_B$: résistances non inductives
 t_p : Largeur d'impulsion = 10 μs
 Facteur de forme ≤ 1 %
 Temps de montée et descente ≤ 100 ns

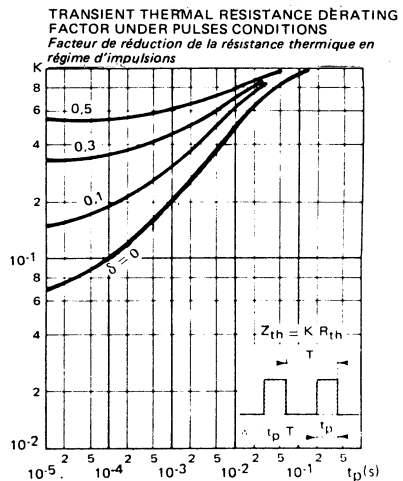
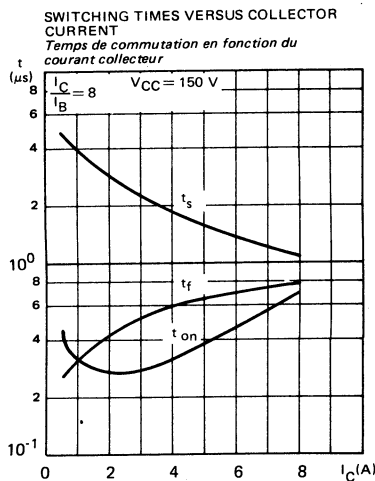
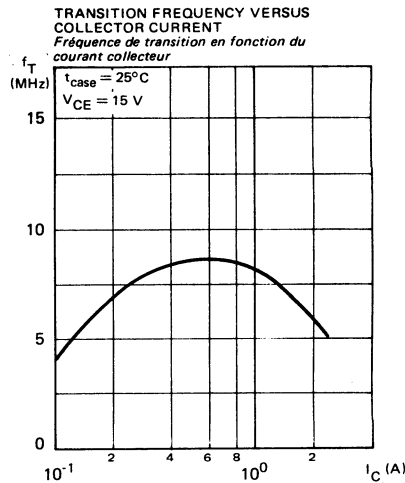
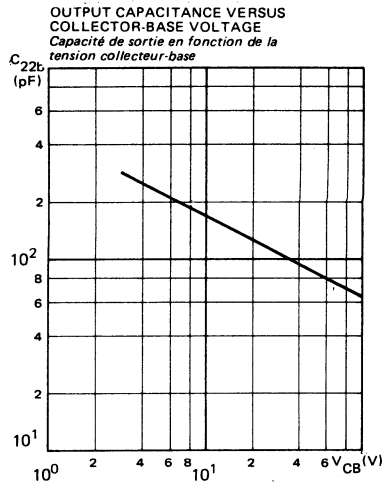
TYPICAL CHARACTERISTICS
CARACTÉRISTIQUES TYPIQUES



TYPICAL CHARACTERISTICS
CARACTÉRISTIQUES TYPIQUES



TYPICAL CHARACTERISTICS
CARACTÉRISTIQUES TYPIQUES



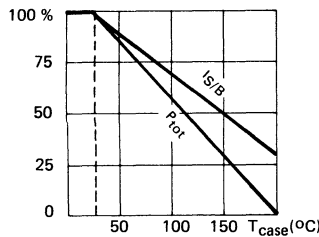
NPN SILICON TRANSISTOR, TRIPLE DIFFUSED MESA
 TRANSISTOR SILICIUM NPN, MESA TRIPLE DIFFUSÉ

High speed, high current, high power transistor
Transistor de puissance rapide, fort courant

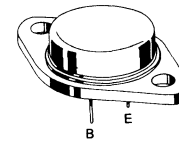
Switching and amplifier transistor
Transistor d'amplification et de commutation

| | |
|---------------------------|--|
| V_{CEO} | 325 V |
| I_{CM} | 12 A |
| P_{tot} | 120 W |
| $R_{th(j-c)}$ | $\leq 1,46 \text{ }^{\circ}\text{C/W}$ |
| $V_{CEsat} (5 \text{ A})$ | $\leq 1,6 \text{ V}$ |
| $t_f (5 \text{ A})$ | $\leq 1,2 \mu\text{s}$ |

Dissipation and I_S/B derating
Variation de dissipation et de I_S/B



Case TO 3 (CB 19)
 Boîtier



ABSOLUTE RATINGS (LIMITING VALUES)
 VALEURS LIMITES ABSOLUES D'UTILISATION

| | | | |
|---|-----------|-------------------|----|
| Collector-base voltage <i>Tension collecteur-base</i> | V_{CBO} | 400 | V |
| Collector-emitter voltage <i>Tension collecteur-émetteur</i> | V_{CEO} | 325 | V |
| Collector-emitter voltage <i>Tension collecteur-émetteur</i> | V_{CER} | 360 | V |
| Collector-emitter voltage <i>Tension collecteur-émetteur</i> | V_{CEX} | 400 | V |
| Emitter-base voltage <i>Tension émetteur-base</i> | V_{EBO} | 7 | V |
| Collector current <i>Courant collecteur</i> | I_C | 10 | A |
| Collector current <i>Courant collecteur</i> | I_{CM} | 12 | A |
| Base current <i>Courant base</i> | I_B | 2 | A |
| Power dissipation <i>Dissipation de puissance</i> | P_{tot} | 120 | W |
| Storage and junction temperature <i>Température de jonction et de stockage</i> | T_{stg} | 200 - 65 + 200 | °C |

| | | | | |
|--|-----|---------------|------|------|
| Junction-case thermal resistance <i>Résistance thermique jonction boîtier</i> | max | $R_{th(j-c)}$ | 1,46 | °C/W |
|--|-----|---------------|------|------|

STATIC CHARACTERISTICS
CARACTÉRISTIQUES STATIQUES
 $t_{case} = 25^\circ\text{C}$ (Unless otherwise stated)
(Sauf indications contraires)

| | Test conditions Conditions de mesure | | | Min. | Typ. | Max. |
|---|---|----------------|--|------|------|------|
| Collector-emitter cut-off current <i>Courant résiduel collecteur-émetteur.</i> | $V_{CE} = 260 \text{ V}$ $I_B = 0$ | I_{CEO} | | | 1 | mA |
| Collector-emitter cut-off current <i>Courant résiduel collecteur-émetteur</i> | $V_{CE} = 400 \text{ V}$ $V_{BE} = -1,5 \text{ V}$ | I_{CEX} | | | 1 | mA |
| | $V_{CE} = 400 \text{ V}$ $V_{BE} = -1,5 \text{ V}$ $t_{case} = 125^\circ\text{C}$ | | | | 5 | mA |
| Emitter-base cut-off current <i>Courant résiduel émetteur-base</i> | $V_{EB} = 5 \text{ V}$ $I_C = 0$ | I_{EBO} | | | 1 | mA |
| Collector-emitter breakdown voltage <i>Tension de claquage collecteur-émetteur</i> (fig. 1) | $I_C = 200 \text{ mA}$ $I_B = 0$ $L = 25 \text{ mH}$ | $V_{CEO(sus)}$ | | 325 | | v |
| Emitter-base breakdown voltage <i>Tension de claquage émetteur-base</i> | $I_E = 50 \text{ mA}$ $I_C = 0$ | $V_{(BR)EBO}$ | | 7 | | v |
| Static forward current transfer ratio <i>Valeur statique du rapport de transfert direct du courant</i> | $V_{CE} = 4 \text{ V}$ $I_C = 3 \text{ A}$ | h_{21E}^* | | | 15 | 60 |
| | $V_{CE} = 4 \text{ V}$ $I_C = 5 \text{ A}$ | | | | 8 | |
| Collector-emitter saturation voltage <i>Tension de saturation collecteur-émetteur</i> | $I_C = 3 \text{ A}$ $I_B = 0,375 \text{ A}$ | V_{CEsat}^* | | | 0,3 | 1 |
| | $I_C = 5 \text{ A}$ $I_B = 1 \text{ A}$ | | | | 0,5 | 1,6 |
| Base-emitter saturation voltage <i>Tension de saturation base-émetteur</i> | $I_C = 5 \text{ A}$ $I_B = 1 \text{ A}$ | V_{BESat}^* | | | 1,2 | 2 |
| Second breakdown collector current <i>Courant collecteur de second claquage</i> | $V_{CE} = 135 \text{ V}$ $t = 1 \text{ s}$ | $I_{S/B}$ | | | 0,15 | A |
| | $V_{CE} = 30 \text{ V}$ $t = 1 \text{ s}$ | | | | 4 | A |

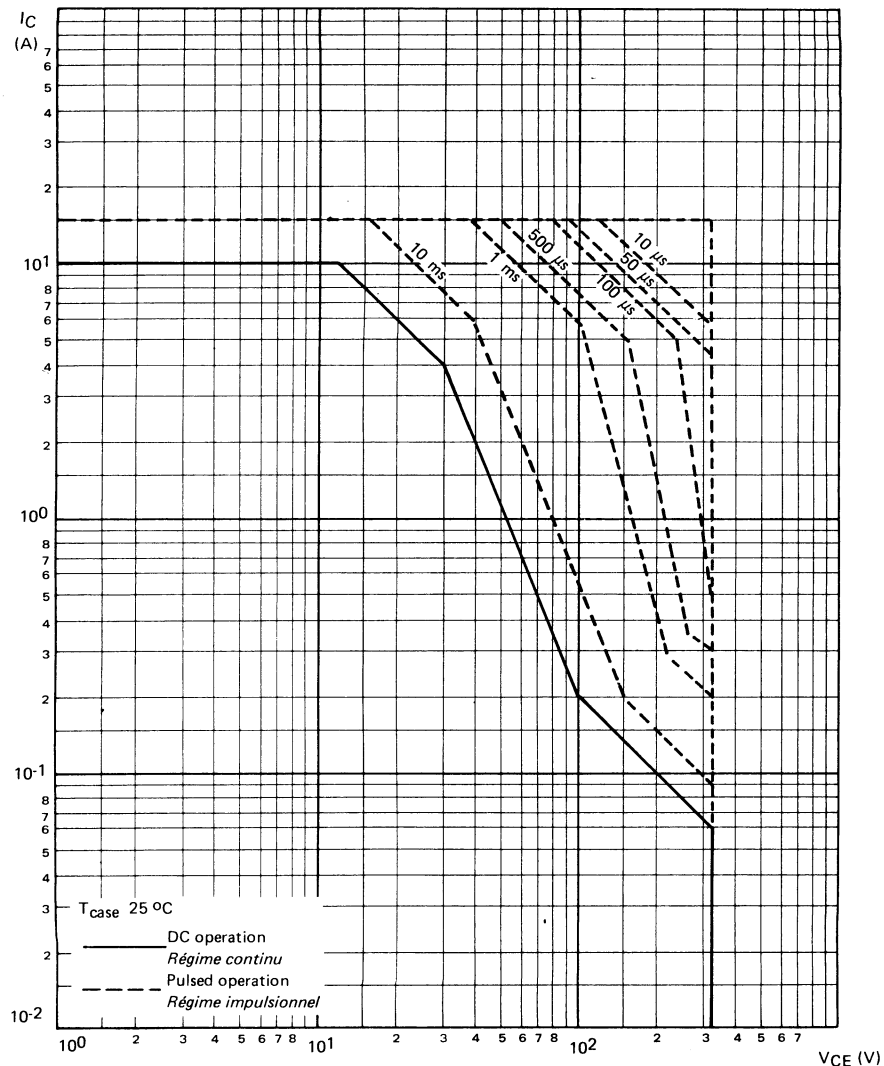
* Pulsed
Impulsions $t_p = 300 \mu\text{s}$ $\delta \leq 2 \%$

DYNAMIC CHARACTERISTICS (for small signals)
CARACTÉRISTIQUES DYNAMIQUES (pour petits signaux)

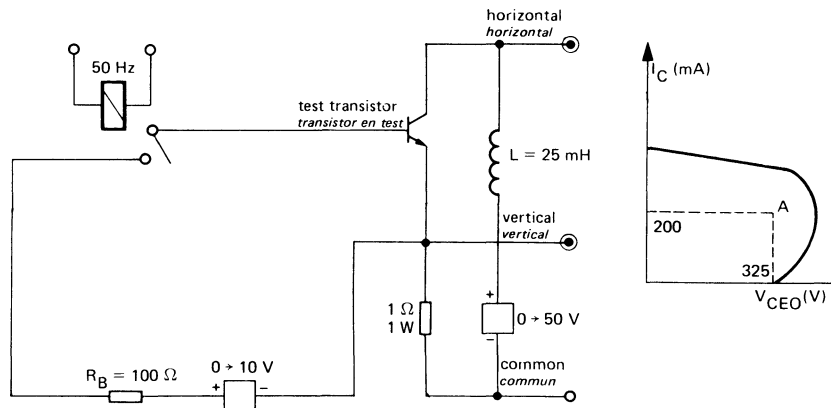
(Unless otherwise stated)
(Sauf indications contraires)

| | Test conditions Conditions de mesure | | | Min. | Typ. | Max. |
|--|--|-------------|--|------|------|---------------|
| Transition frequency <i>Fréquence de transition</i> | $V_{CE} = 15 \text{ V}$ $I_C = 1 \text{ A}$ $f = 10 \text{ MHz}$ | f_T | | 8 | | MHz |
| Turn-on time <i>Temps total d'établissement</i> (fig. 2) | $I_C = 5 \text{ A}$ $I_B = 1 \text{ A}$ | $t_d + t_r$ | | 0,45 | 1 | μs |
| Fall time <i>Temps de décroissance</i> (fig. 2) | $I_C = 5 \text{ A}$ $I_{B1} = 1 \text{ A}$ $I_{B2} = -1 \text{ A}$ | t_f | | 0,6 | 1,2 | μs |
| Carrier storage time <i>Retard à la décroissance</i> (fig. 2) | $I_C = 5 \text{ A}$ $I_{B1} = 1 \text{ A}$ $I_{B2} = -1 \text{ A}$ | t_s | | 1,5 | 2,2 | μs |

SAFE OPERATING AREA
AIRE DE SECURITE



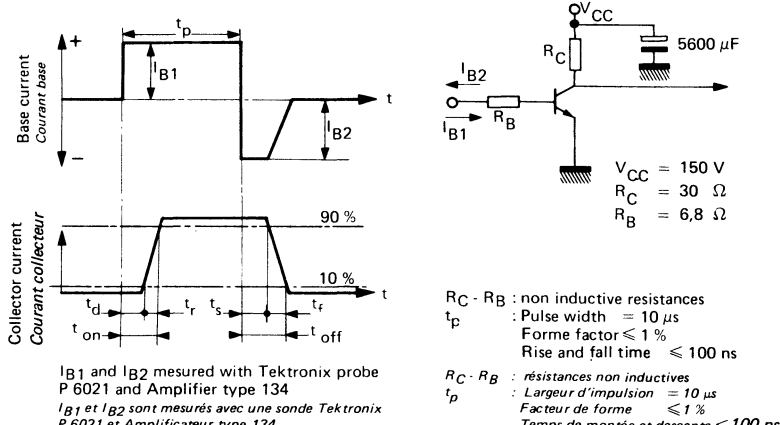
TEST CIRCUIT $V_{CEO(sus)}$ (fig. 1)



Note :

The sustaining voltage V_{CEO} is acceptable when the trace falls to the right and above point "A".
Les tensions V_{CEO} sont acceptables lorsque la trace passe au-delà du point A.

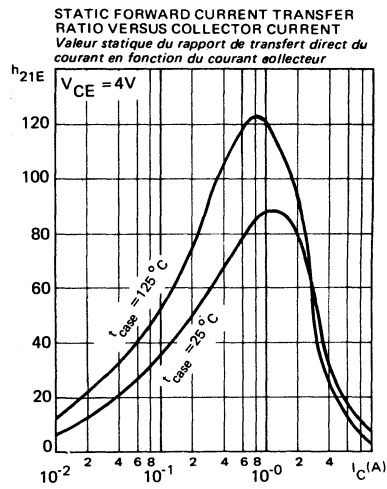
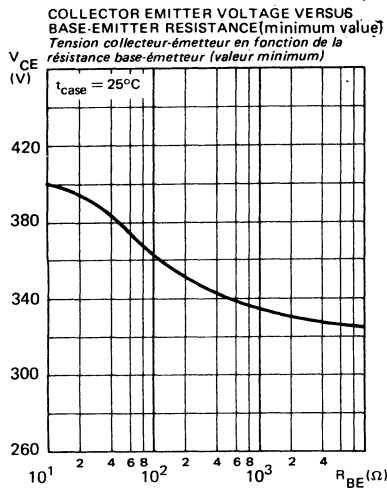
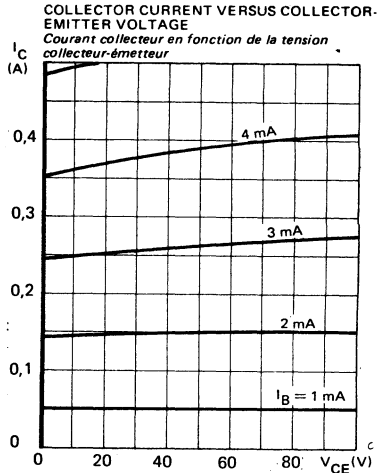
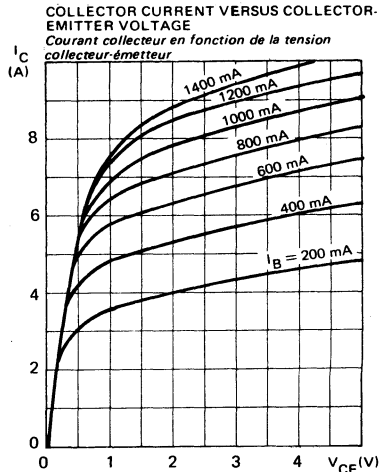
SWITCHING TIMES TEST CIRCUITS (and oscillograms)
CIRCUITS DE MESURE DES TEMPS DE COMMUTATION (et oscillogrammes) (fig. 2)



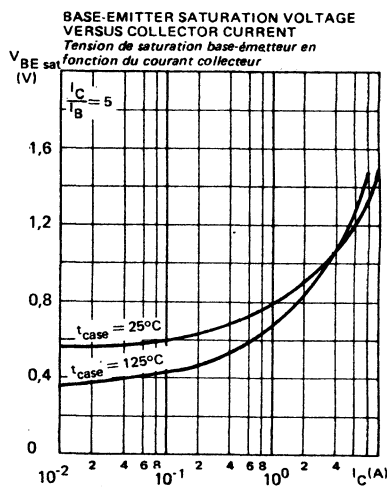
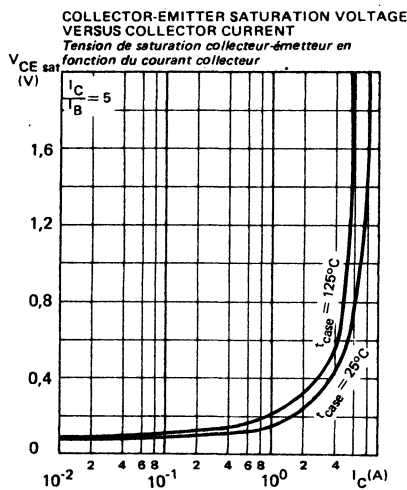
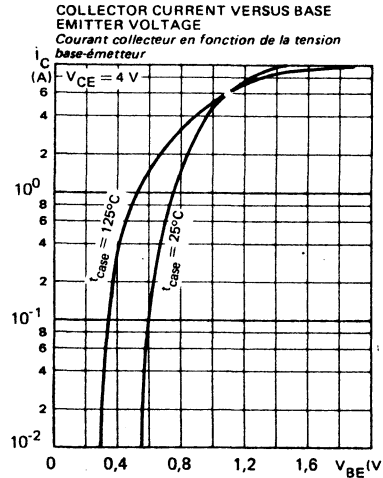
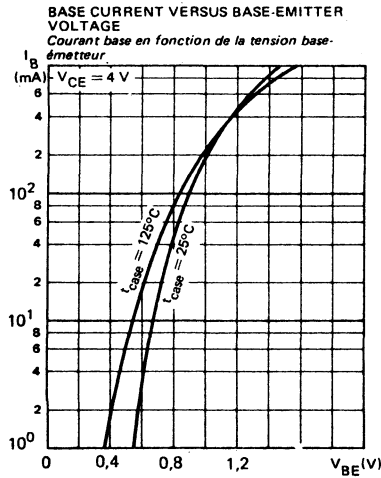
$R_C - R_B$: non inductive resistances
 t_p : Pulse width = $10 \mu\text{s}$
Forme factor $\leqslant 1\%$
Rise and fall time $\leqslant 100 \text{ ns}$

$R_C - R_B$: résistances non inductives
 t_p : Largeur d'impulsion = $10 \mu\text{s}$
Facteur de forme $\leqslant 1\%$
Temps de montée et descente $\leqslant 100 \text{ ns}$

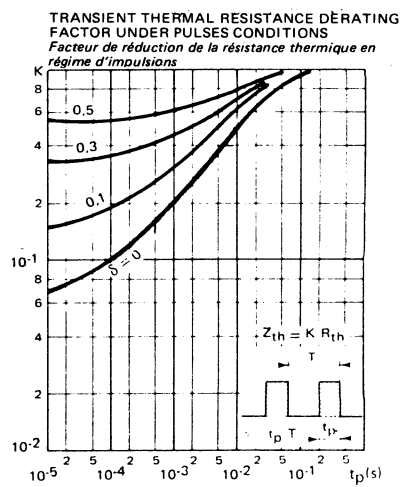
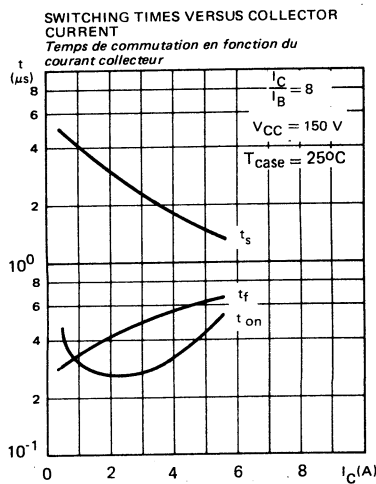
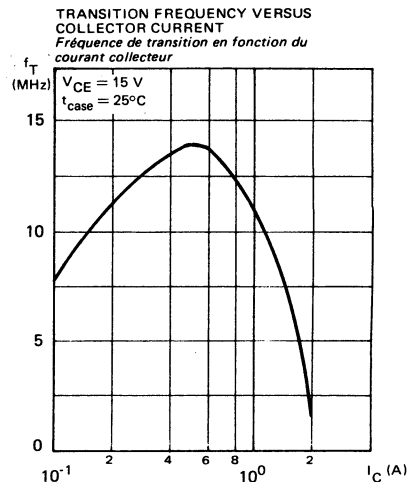
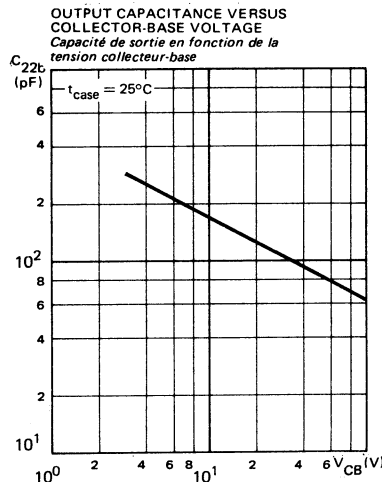
TYPICAL CHARACTERISTICS
CARACTÉRISTIQUES TYPIQUES



TYPICAL CHARACTERISTICS
CARACTÉRISTIQUES TYPIQUES



TYPICAL CHARACTERISTICS CARACTÉRISTIQUES TYPIQUES

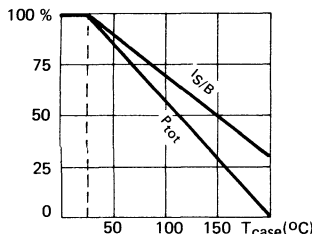


NPN SILICON TRANSISTOR, TRIPLE DIFFUSED MESA
TRANSISTOR SILICIUM NPN, MESA TRIPLE DIFFUSE

High speed, high current, high power transistor
Transistor de puissance rapide, fort courant

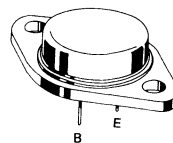
Switching and amplifier transistor
Transistor d'amplification et de commutation

Dissipation and I_{SB} derating
Variation de dissipation et de I_{SB}



| | |
|--------------------------|-------------|
| V _{CEO} | 400 V |
| I _{CM} | 10 A |
| P _{tot} | 120 W |
| R _{th(j-c)} | ≤ 1,46 °C/W |
| V _{CESat} (4 A) | ≤ 2 V |
| t _f (4 A) | ≤ 1,2 µs |

Case Boîtier TO 3 (CB 19)



ABSOLUTE RATINGS (LIMITING VALUES)
VALEURS LIMITES ABSOLUES D'UTILISATION

| | | | |
|---|------------------------------------|-------------------|----|
| Collector-base voltage <i>Tension collecteur-base</i> | V _{CBO} | 450 | V |
| Collector-emitter voltage <i>Tension collecteur-émetteur</i> | V _{CEO} | 400 | V |
| Collector-emitter voltage <i>Tension collecteur-émetteur</i> | V _{CER} | 440 | V |
| Collector-emitter voltage <i>Tension collecteur-émetteur</i> | V _{CEx} | 450 | V |
| Emitter-base voltage <i>Tension émetteur-base</i> | V _{EBO} | 7 | V |
| Collector current <i>Courant collecteur</i> | I _C I _{CM} | 8 10 | A |
| Base current <i>Courant base</i> | I _B | 1,6 | A |
| Power dissipation <i>Dissipation de puissance</i> | P _{tot} | 120 | W |
| Storage and junction temperature <i>Température de jonction et de stockage</i> | t _j T _{stg} | 200 - 65 + 200 | °C |

| | | | | |
|--|-----|----------------------|------|------|
| Junction-case thermal resistance <i>Résistance thermique jonction boîtier</i> | max | R _{th(j-c)} | 1,46 | °C/W |
|--|-----|----------------------|------|------|

STATIC CHARACTERISTICS
CARACTÉRISTIQUES STATIQUES
 $t_{case} = 25^\circ\text{C}$ (Unless otherwise stated)
(Sauf indications contraires)

| | Test conditions Conditions de mesure | | | Min. | Typ. | Max. |
|---|---|----------------|-----|------|------|------|
| Collector-emitter cut-off current <i>Courant résiduel collecteur-émetteur</i> | $V_{CE} = 320 \text{ V}$ $I_B = 0$ | I_{CEO} | | 1 | | mA |
| Collector-emitter cut-off current <i>Courant résiduel collecteur-émetteur</i> | $V_{CE} = 450 \text{ V}$ $V_{BE} = -1,5 \text{ V}$ | I_{CEX} | | 1 | | mA |
| | $V_{CE} = 450 \text{ V}$ $V_{BE} = -1,5 \text{ V}$ $t_{case} = 125^\circ\text{C}$ | | | 5 | | mA |
| Emitter-base cut-off current <i>Courant résiduel émetteur-base</i> | $V_{EB} = 5 \text{ V}$ $I_C = 0$ | I_{EBO} | | 1 | | mA |
| Collector-emitter breakdown voltage <i>Tension de claquage collecteur-émetteur</i> (fig. 1) | $I_C = 200 \text{ mA}$ $I_B = 0$ $L = 25 \text{ mH}$ | $V_{CEO(sus)}$ | 400 | | | V |
| Emitter-base breakdown voltage <i>Tension de claquage émetteur-base</i> | $I_E = 50 \text{ mA}$ $I_C = 0$ | $V_{(BR)EBO}$ | 7 | | | V |
| Static forward current transfer ratio <i>Valeur statique du rapport de transfert direct du courant</i> | $V_{CE} = 4 \text{ V}$ $I_C = 2 \text{ A}$ | h_{21E}^* | | 15 | 45 | |
| | $V_{CE} = 4 \text{ V}$ $I_C = 4 \text{ A}$ | | | 8 | | |
| Collector-emitter saturation voltage <i>Tension de saturation collecteur-émetteur</i> | $I_C = 2 \text{ A}$ $I_B = 0,25 \text{ A}$ | V_{CEsat}^* | | 0,24 | 1 | V |
| | $I_C = 4 \text{ A}$ $I_B = 0,8 \text{ A}$ | | | 0,36 | 2 | V |
| Base-emitter saturation voltage <i>Tension de saturation base-émetteur</i> | $I_C = 4 \text{ A}$ $I_B = 0,8 \text{ A}$ | V_{BEsat}^* | | 1 | 2 | V |
| Second breakdown collector current <i>Courant collecteur de second claquage</i> | $V_{CE} = 135 \text{ V}$ $t = 1 \text{ s}$ | $I_{S/B}$ | | 0,15 | | A |
| | $V_{CE} = 30 \text{ V}$ $t = 1 \text{ s}$ | | | 4 | | A |

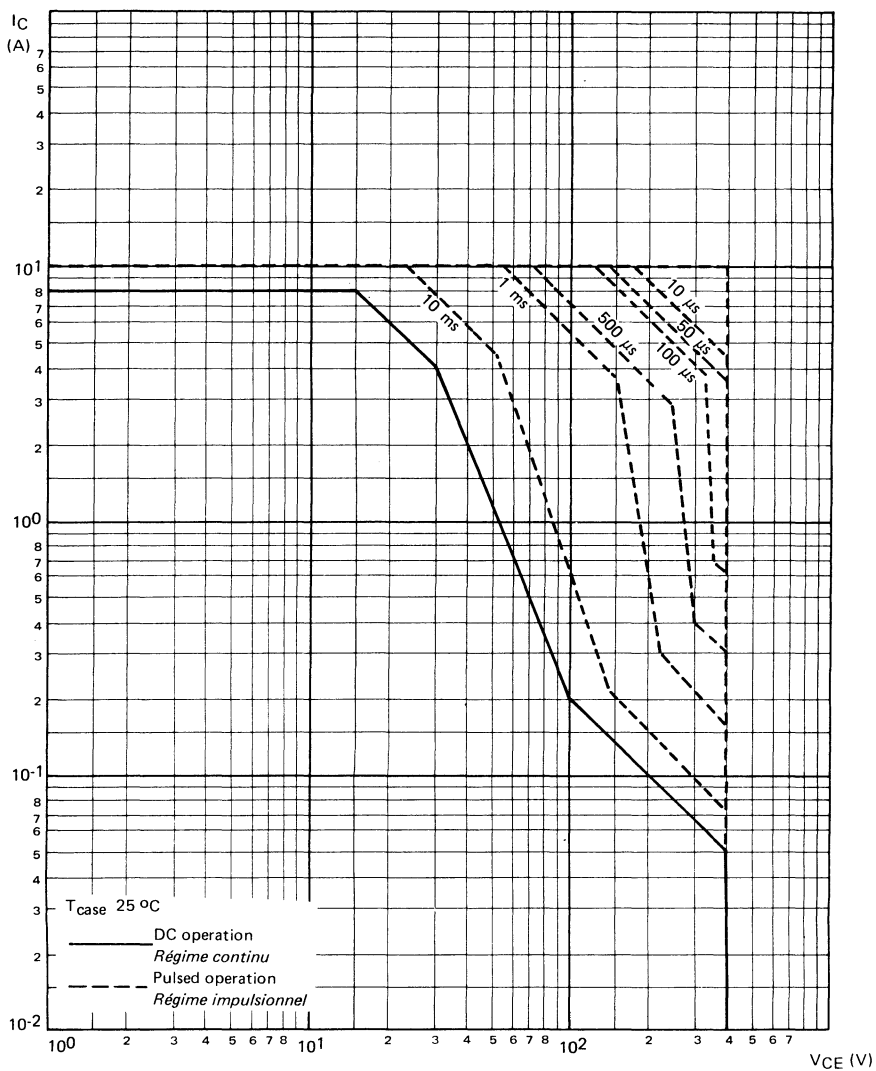
* Pulsed $t_p = 300 \mu\text{s}$ $\delta \leq 2\%$
Impulsions

DYNAMIC CHARACTERISTICS (for small signals)
CARACTÉRISTIQUES DYNAMIQUES (pour petits signaux)

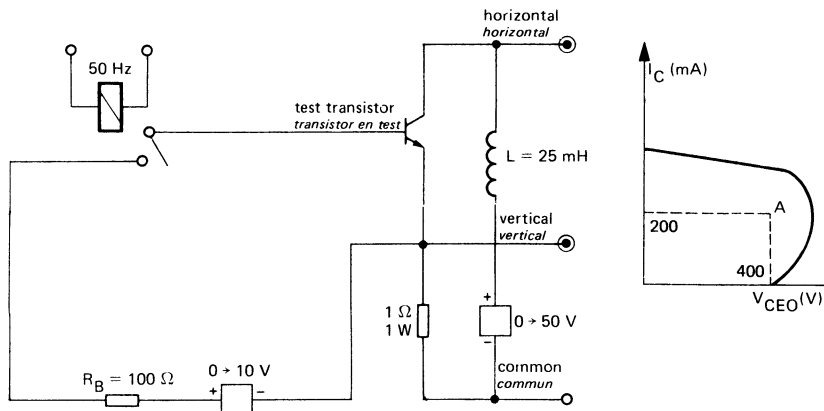
(Unless otherwise stated)
(Sauf indications contraires)

| | Test conditions <i>Conditions de mesure</i> | | | Min. | Typ. | Max. |
|--|--|-------------|--|------|------|---------------|
| Transition frequency <i>Fréquence de transition</i> | $V_{CE} = 15 \text{ V}$ $I_C = 1 \text{ A}$ $f = 10 \text{ MHz}$ | f_T | | 8 | | MHz |
| Turn-on time <i>Temps total d'établissement</i> : (fig. 2) | $I_C = 4 \text{ A}$ $I_B = 0,8 \text{ A}$ | $t_d + t_r$ | | 0,4 | 1 | μs |
| Fall time <i>Temps de décroissance</i> : (fig. 2) | $I_C = 4 \text{ A}$ $I_{B1} = 0,8 \text{ A}$ $I_{B2} = -0,8 \text{ A}$ | t_f | | 0,65 | 1,2 | μs |
| Carrier storage time <i>Retard à la décroissance</i> : (fig. 2) | $I_C = 4 \text{ A}$ $I_{B1} = 0,8 \text{ A}$ $I_{B2} = -0,8 \text{ A}$ | t_s | | 1,7 | 2,5 | μs |

SAFE OPERATING AREA
AIRE DE SECURITE



TEST CIRCUIT $V_{CEO(sus)}$ (fig. 1)

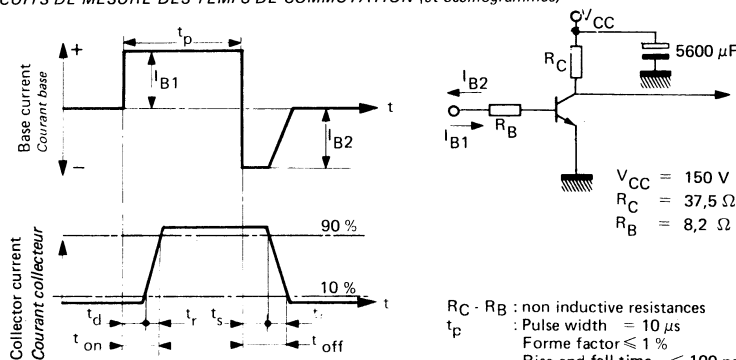


Note :

The sustaining voltage V_{CEO} is acceptable when the trace falls to the right and above point "A".
Les tensions V_{CEO} sont acceptables lorsque la trace passe au-delà du point A.

SWITCHING TIMES TEST CIRCUITS (and oscillograms) (fig. 2)

CIRCUITS DE MESURE DES TEMPS DE COMMUTATION (et oscillogrammes)



I_{B1} and I_{B2} mesured with Tektronix probe
P 6021 and Amplifier type 134

I_{B1} et I_{B2} sont mesurés avec une sonde Tektronix
P 6021 et Amplificateur type 134

R_C - R_B : non inductive resistances

t_p : Pulse width = $10 \mu\text{s}$

Forme factor $\leqslant 1 \%$

Rise and fall time $\leqslant 100 \text{ ns}$

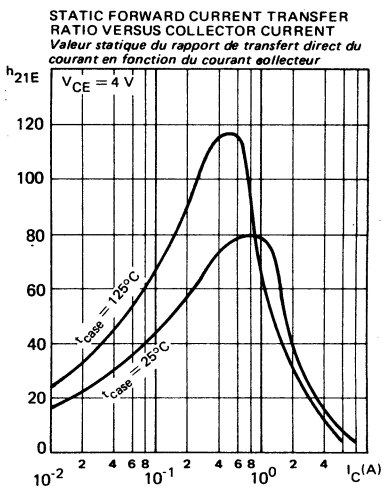
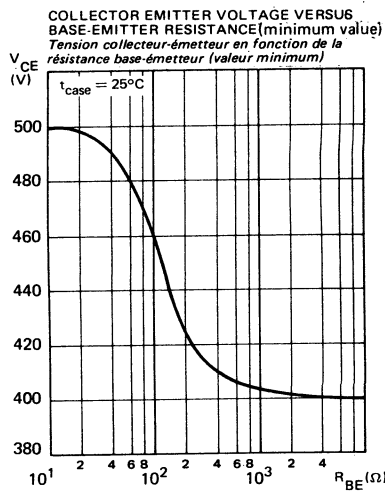
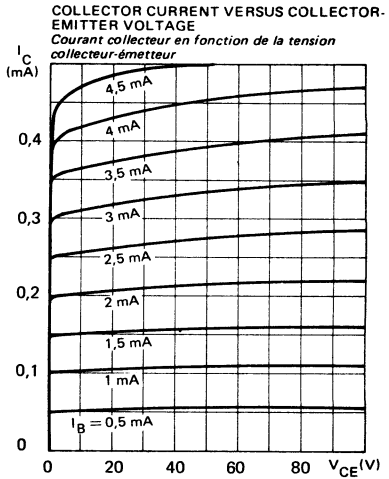
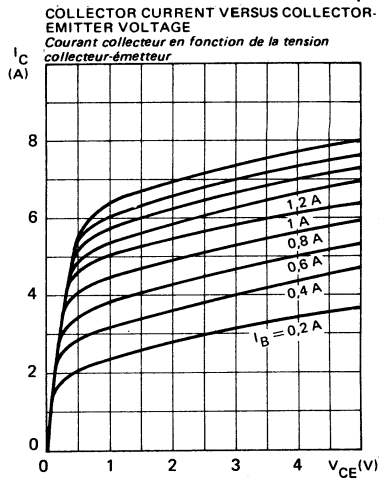
R_C - R_B : résistances non inductives

t_p : Largeur d'impulsion = $10 \mu\text{s}$

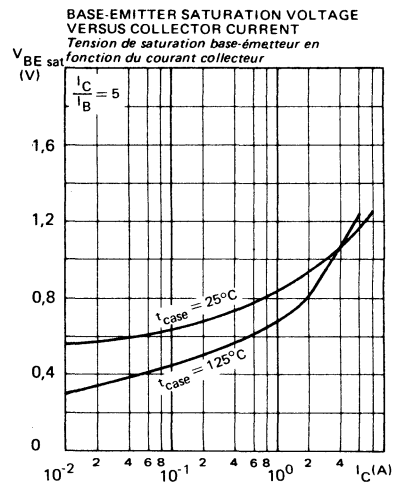
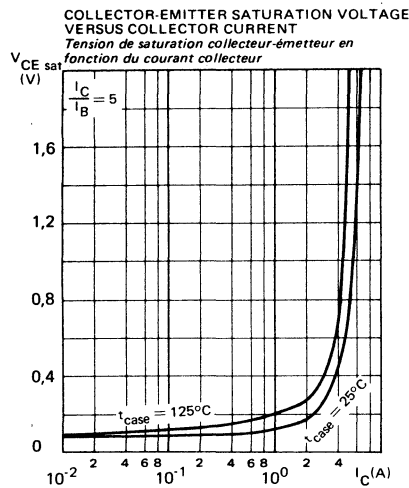
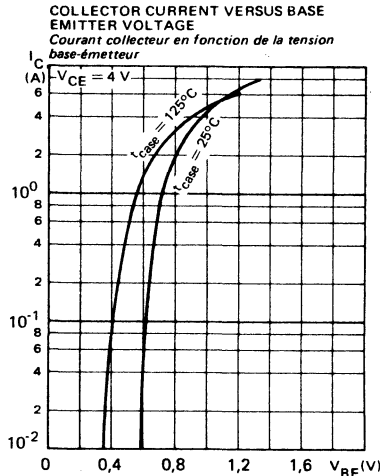
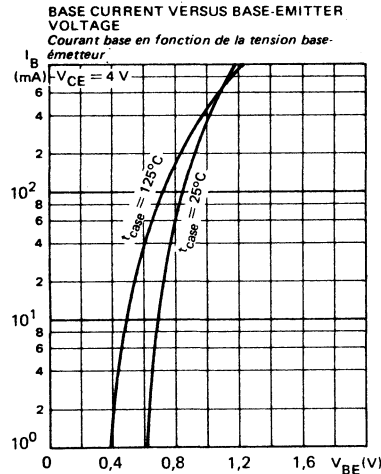
Facteur de forme $\leqslant 1 \%$

Temps de montée et descente $\leqslant 100 \text{ ns}$

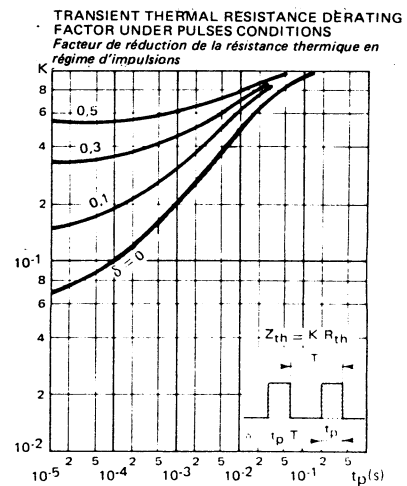
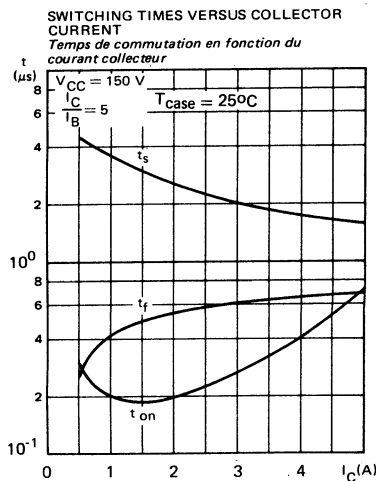
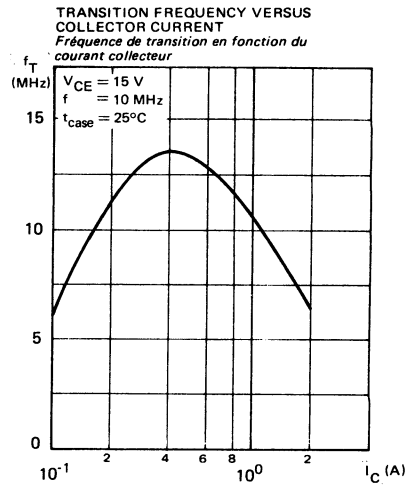
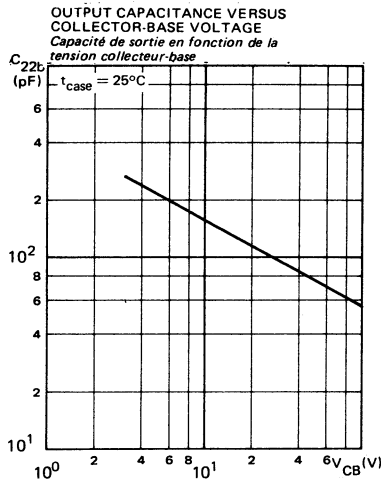
TYPICAL CHARACTERISTICS
CARACTÉRISTIQUES TYPHIQUES



TYPICAL CHARACTERISTICS
CARACTÉRISTIQUES TYPIQUES

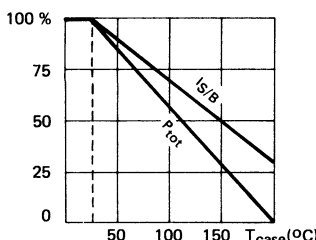


TYPICAL CHARACTERISTICS
CARACTÉRISTIQUES TYPIQUES



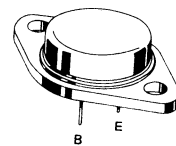
High speed, high voltage, switching transistor
Transistor de commutation rapide, haute tension

Dissipation and I_S/B derating
Variation de dissipation et de I_S/B



| | |
|--------------------------|-------------|
| V _{CEO} | 500 V |
| I _C | 5 A |
| P _{tot} | 120 W |
| R _{th(j-c)} | ≤ 1,46 °C/W |
| V _{CEsat} (2 A) | ≤ 2 V |
| t _f (2 A) | ≤ 1,2 µs |

Case
Boîtier TO 3 (CB 19)



ABSOLUTE RATINGS (LIMITING VALUES)
VALEURS LIMITES ABSOLUES D'UTILISATION

| | | | |
|---|------------------------------------|-------------------|----|
| Collector-base voltage <i>Tension collecteur-base</i> | V _{CBO} | 500 | V |
| Collector-emitter voltage <i>Tension collecteur-émetteur</i> | V _{CEO} | 500 | V |
| Collector-emitter voltage <i>Tension collecteur-émetteur</i> | V _{CER} | 500 | V |
| Collector-emitter voltage <i>Tension collecteur-émetteur</i> | V _{CEX} | 500 | V |
| Emitter-base voltage <i>Tension émetteur-base</i> | V _{EBO} | 7 | V |
| Collector current <i>Courant collecteur</i> | I _C | 5 | A |
| Base current <i>Courant base</i> | I _{CM} | 7 | A |
| Power dissipation <i>Dissipation de puissance</i> | P _{tot} | 120 | W |
| Storage and junction temperature <i>Température de jonction et de stockage</i> | t _j T _{stg} | 200 - 65 + 200 | °C |

| | | | | |
|--|-----|----------------------|------|------|
| Junction-case thermal resistance <i>Résistance thermique jonction boîtier</i> | max | R _{th(j-c)} | 1,46 | °C/W |
|--|-----|----------------------|------|------|

STATIC CHARACTERISTICS
CARACTÉRISTIQUES STATIQUES $t_{case} = 25^\circ\text{C}$ (Unless otherwise stated)
(Sauf indications contraires)

| | Test conditions Conditions de mesure | | | Min. | Typ. | Max. |
|---|---|----------------|--|------|------|------|
| Collector-emitter cut-off current <i>Courant résiduel collecteur-émetteur</i> | $V_{CE} = 400 \text{ V}$ $I_B = 0$ | I_{CEO} | | | 1 | mA |
| Collector-emitter cut-off current <i>Courant résiduel collecteur-émetteur</i> | $V_{CE} = 500 \text{ V}$ $V_{BE} = -1,5 \text{ V}$ | I_{CEX} | | | 1 | mA |
| | $V_{CE} = 500 \text{ V}$ $V_{BE} = -1,5 \text{ V}$ $t_{case} = 125^\circ\text{C}$ | | | | 5 | mA |
| Emitter-base cut-off current <i>Courant résiduel émetteur-base</i> | $V_{EB} = 5 \text{ V}$ $I_C = 0$ | I_{EBO} | | | 1 | mA |
| Collector-emitter breakdown voltage <i>Tension de claquage collecteur-émetteur</i> (fig. 1) | $I_C = 200 \text{ mA}$ $I_B = 0$ $L = 25 \text{ mH}$ | $V_{CEO(sus)}$ | | 500 | | V |
| Emitter-base breakdown voltage <i>Tension de claquage émetteur-base</i> | $I_E = 50 \text{ mA}$ $I_C = 0$ | $V_{(BR)EBO}$ | | 7 | | V |
| Static forward current transfer ratio <i>Valeur statique du rapport de transfert direct du courant</i> | $V_{CE} = 4 \text{ V}$ $I_C = 1 \text{ A}$ | h_{21E}^* | | 15 | 45 | |
| | $V_{CE} = 4 \text{ V}$ $I_C = 2 \text{ A}$ | | | 8 | | |
| Collector-emitter saturation voltage <i>Tension de saturation collecteur-émetteur</i> | $I_C = 1 \text{ A}$ $I_B = 0,125 \text{ A}$ | V_{CEsat}^* | | 0,2 | 1 | V |
| | $I_C = 2 \text{ A}$ $I_B = 0,4 \text{ A}$ | | | 0,5 | 2 | V |
| Base-emitter saturation voltage <i>Tension de saturation base-émetteur</i> | $I_C = 2 \text{ A}$ $I_B = 0,4 \text{ A}$ | V_{BESat}^* | | 1,1 | 2 | V |
| Second breakdown collector current <i>Courant collecteur de second claquage</i> | $V_{CE} = 135 \text{ V}$ $t = 1 \text{ s}$ | $I_{S/B}$ | | 0,15 | | A |
| | $V_{CE} = 30 \text{ V}$ $t = 1 \text{ s}$ | | | 4 | | A |

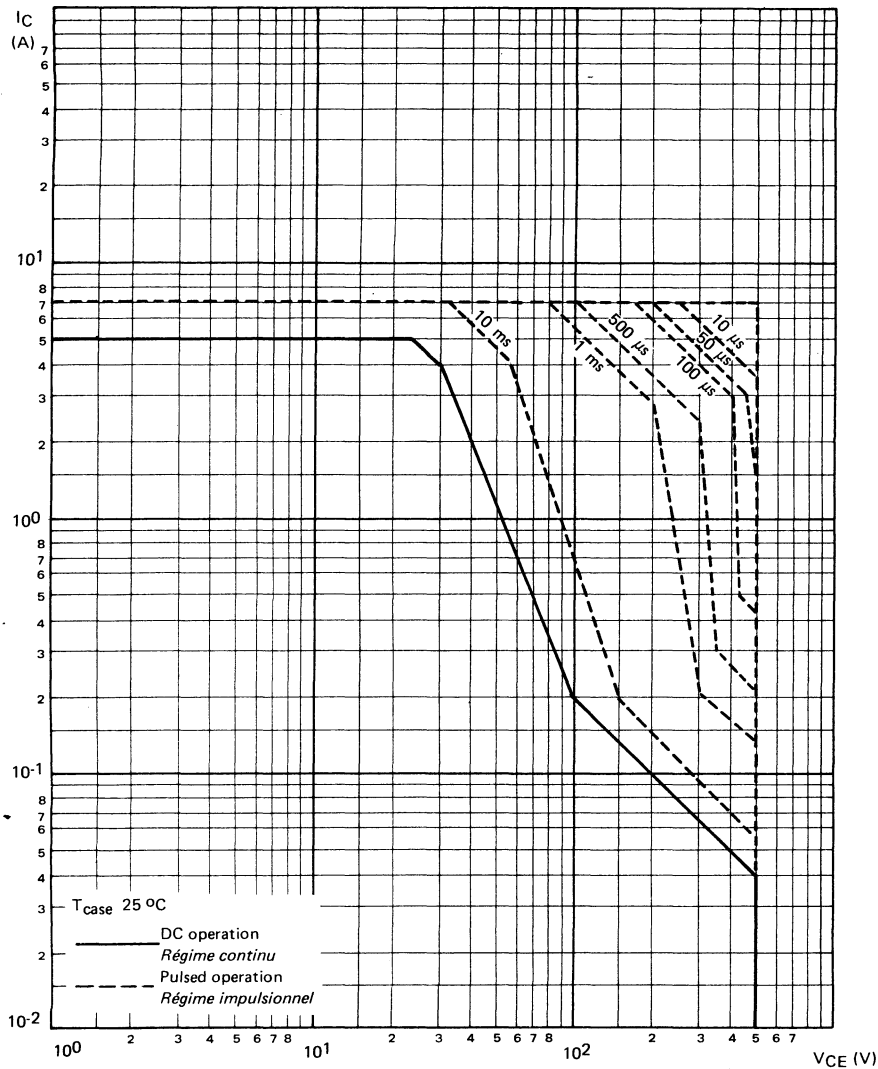
* Pulsed
Impulsions $t_p = 300 \mu\text{s}$ $\delta \leq 2\%$

DYNAMIC CHARACTERISTICS (for small signals)
CARACTÉRISTIQUES DYNAMIQUES (pour petits signaux)

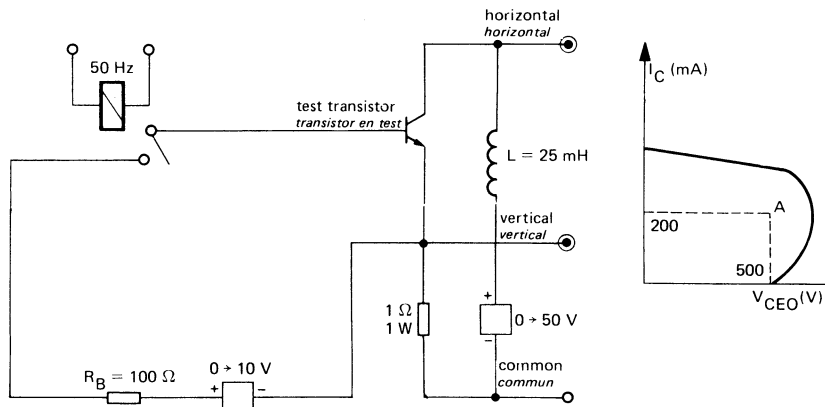
(Unless otherwise stated)
(Sauf indications contraires)

| | Test conditions <i>Conditions de mesure</i> | | | Min. | Typ. | Max. | |
|--|--|-------------|--|------|------|------|---------------|
| Transition frequency <i>Fréquence de transition</i> | $V_{CE} = 15 \text{ V}$ $I_C = 1 \text{ A}$ $f = 10 \text{ MHz}$ | f_T | | 8 | | | MHz |
| Turn-on time <i>Temps total d'établissement</i> : (fig. 2) | $I_C = 2 \text{ A}$ $I_{B1} = 0,4 \text{ A}$ $I_{B2} = -0,4 \text{ A}$ | $t_d + t_r$ | | 0,4 | 1 | | μs |
| Fall time <i>Temps de décroissance</i> : (fig. 2) | $I_C = 2 \text{ A}$ $I_{B1} = 0,4 \text{ A}$ $I_{B2} = -0,4 \text{ A}$ | t_f | | 0,6 | 1,2 | | μs |
| Carrier storage time <i>Retard à la décroissance</i> : (fig. 2) | $I_C = 2 \text{ A}$ $I_{B1} = 0,4 \text{ A}$ $I_{B2} = -0,4 \text{ A}$ | t_s | | 3,5 | 5 | | μs |

SAFE OPERATING AREA
AIRE DE SECURITE



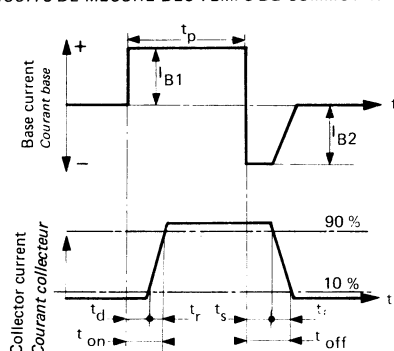
TEST CIRCUIT
MONTAGE DE TEST $V_{CEO(sus)}$ (fig. 1)



Note :

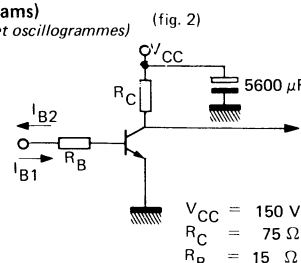
The sustaining voltage V_{CEO} is acceptable when the trace falls to the right and above point "A".
Les tensions V_{CEO} sont acceptables lorsque la trace passe au-delà du point A.

SWITCHING TIMES TEST CIRCUITS (and oscillograms)
CIRCUITS DE MESURE DES TEMPS DE COMMUTATION (et oscilloscopes) (fig. 2)



I_{B1} and I_{B2} measured with Tektronix probe P 6021 and Amplifier type 134

I_{B1} et I_{B2} sont mesurés avec une sonde Tektronix P 6021 et Amplificateur type 134



R_C - R_B : non inductive resistances

t_p : Pulse width = 10 μs

Forme factor $\leq 1\%$

Rise and fall time ≤ 100 ns

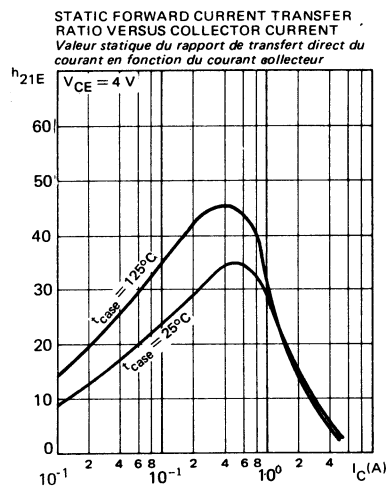
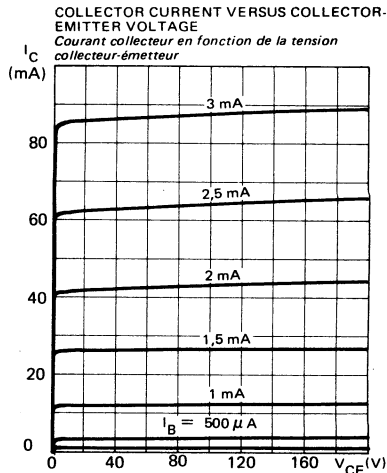
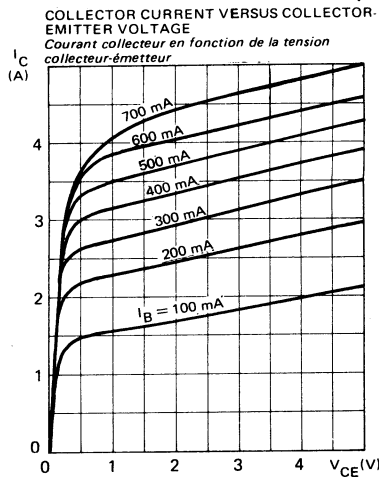
R_C - R_B : résistances non inductives

t_p : Largeur d'impulsion = 10 μs

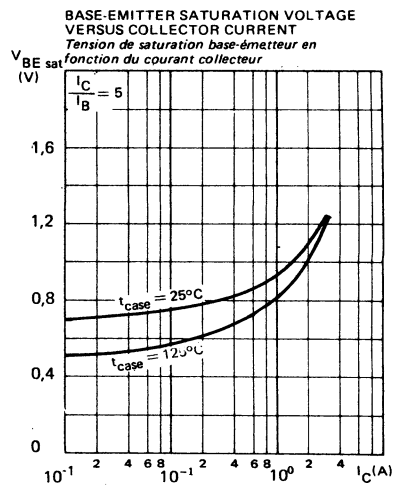
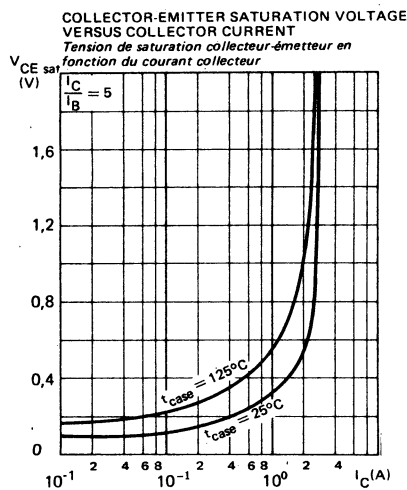
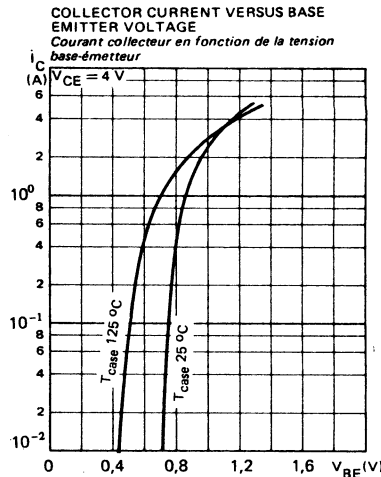
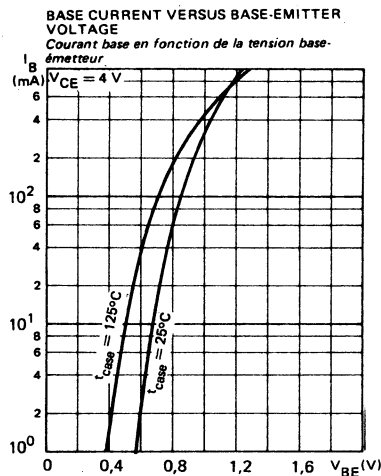
Facteur de forme $\leq 1\%$

Temps de montée et descente ≤ 100 ns

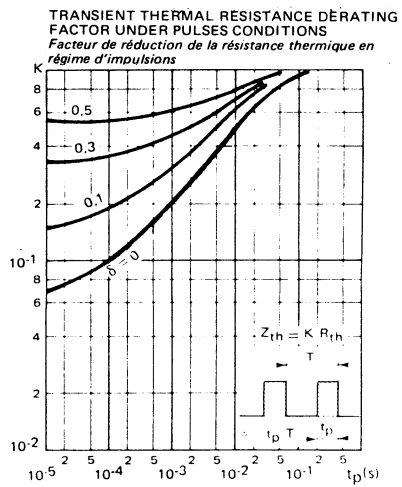
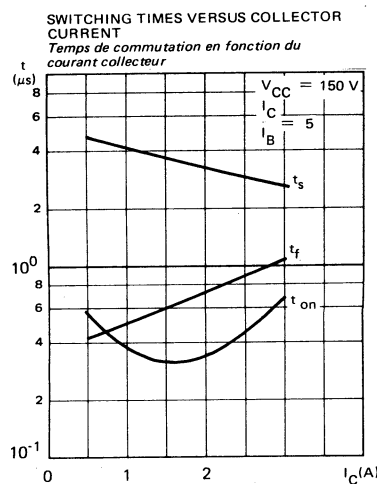
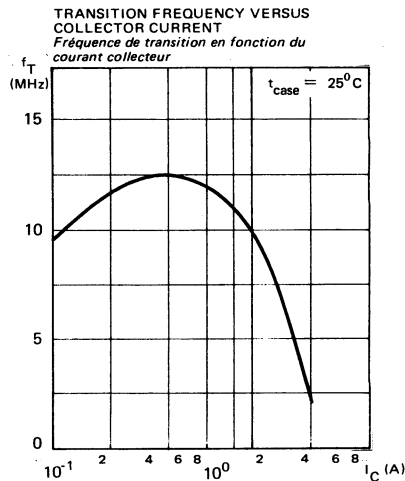
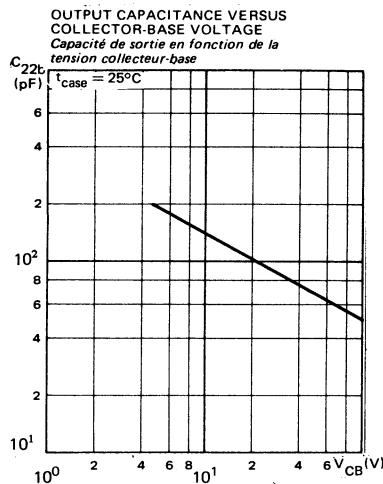
TYPICAL CHARACTERISTICS
CARACTÉRISTIQUES TYPIQUES



TYPICAL CHARACTERISTICS
CARACTÉRISTIQUES TYPIQUES



TYPICAL CHARACTERISTICS
CARACTÉRISTIQUES TYPHIQUES



NPN HIGH VOLTAGE SWITCHING TRANSISTORS
TRANSISTORS NPN HAUTE TENSION DE COMMUTATION

SUPERSWITCH

HIGH VOLTAGE, HIGH SPEED TRANSISTOR SUITED FOR USE
ON THE 220 V MAINS.

SWITCHMODE POWER SUPPLY
DC MOTOR CONTROL

Data sheet tailored for switching applications

- * Key parameters characterized at 25 and 100 °C
- * High blocking capability 850 V and 1000 V
- * Wide surge area 16 A - 400 V
- * Base drive specified for different values of I_C

TRANSISTOR HAUTE TENSION RAPIDE ADAPTÉ A L'UTILISATION SUR LE RÉSEAU 220 V.

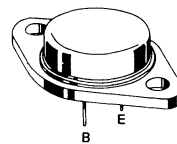
ALIMENTATIONS A DÉCOUPAGE
COMMANDE DE MOTEURS CONTINUS, ALTERNATIFS

Spécifications spécialement étudiées pour la commutation

- * Paramètres principaux caractérisés à 25 et 100 °C
- * Possibilités élevées en tension 850 et 1000 V
- * Aire de surcharge étendue 16 A - 400 V
- * Commande de base spécifiée pour différentes valeurs de I_C

| | BUX 46 | BUX 46 A |
|--------------------------------------|-------------------|-------------------|
| $V_{CEO}(\text{sus})$ | 400 V | 450 V |
| V_{CEX} | 850 V | 1000 V |
| $I_{C\text{sat}}$ | 2,5 A | 2 A |
| I_{CSM} | 16 A | 16 A |
| $t_f(100^\circ\text{C}) \text{ max}$ | 0,4 μs | 0,4 μs |

Case
Boîtier TO 3



ABSOLUTE RATINGS (LIMITING VALUES)

VALEURS LIMITES ABSOLUES D'UTILISATION

| | | BUX 46 | BUX 46 A | |
|--|-----------|------------|------------|----|
| Collector-emitter current Tension collecteur-émetteur | V_{CEO} | 400 | 450 | V |
| Collector-emitter voltage Tension collecteur-émetteur | V_{CEX} | 850 | 1000 | V |
| Emitter-base voltage Tension émetteur-base | V_{EBO} | 7 | 7 | V |
| Collector current Courant collecteur | I_C | 6 | 6 | A |
| | I_{CM} | 8 | 8 | |
| Base current Courant base | I_B | 2 | 2 | A |
| | I_{BM} | 4 | 4 | |
| Power dissipation Dissipation de puissance | P_{tot} | 85 | 85 | W |
| | | 65 | 65 | |
| Junction temperature Température de jonction | T_j | - 65 + 175 | - 65 + 175 | °C |

| Junction-case thermal resistance Résistance thermique jonction-boîtier | max | $R_{th(j-c)}$ | 1,75 | 1,75 | °C/W |
|---|-----|---------------|------|------|------|
| | | | | | |

BUX 46 - BUX 46 A

ELECTRICAL CHARACTERISTICS - CARACTÉRISTIQUES ÉLECTRIQUES **

| SYMBOLS | Min | Typ | Max | UNITS | | TEST CONDITIONS - CONDITIONS DE MESURE |
|---------|-----|-----|-----|-------|--|--|
|---------|-----|-----|-----|-------|--|--|

OFF CHARACTERISTICS - CARACTÉRISTIQUES A L'ÉTAT BLOQUÉ

| | | | | | | |
|--------------------------|------------|--|----------|----|--------------------|--|
| V_{CEO} _{sat} | 400 450 | | | V | BUX 46 BUX 46 A | $I_B = 0$, $I_C = 0,2 \text{ A}$, $L = 25 \text{ mH}$ |
| $V_{(BR)}EBO$ | 7 | | 30 | V | | $I_C = 0$, $I_E = 0,05 \text{ A}$ |
| I_{CEX} | | | 0,1 1 | mA | | $T_j = 25^\circ\text{C}$ $T_j = 125^\circ\text{C}$ } $V_{CE} = V_{CEX}$, $V_{BE} = -2,5 \text{ V}$ |
| I_{CER} | | | 0,3 2 | mA | | $T_j = 25^\circ\text{V}$ $T_j = 125^\circ\text{C}$ } $V_{CE} = V_{CEX}$, $R_{BE} \leq 10 \Omega$ |
| I_{EBO} | | | 1 | mA | | $I_C = 0$, $V_{EB} = 5 \text{ V}$ |

ON CHARACTERISTICS - CARACTÉRISTIQUES A L'ÉTAT CONDUCTEUR

| | | | | | |
|--------------------------|-----|----------|---|--------------------|--|
| V_{CE} _{sat*} | 0,4 | 1,5 5 | V | BUX 46 | $I_C = 2,5 \text{ A}$, $I_B = 0,5 \text{ A}$ $I_C = 3,5 \text{ A}$, $I_B = 0,7 \text{ A}$ |
| | 0,4 | 1,5 5 | V | BUX 46 A | $I_C = 2 \text{ A}$, $I_B = 0,4 \text{ A}$ $I_C = 3 \text{ A}$, $I_B = 0,6 \text{ A}$ |
| V_{BE} _{sat*} | | 1,3 | V | BUX 46 BUX 46 A | $I_C = 2,5 \text{ A}$, $I_B = 0,5 \text{ A}$ $I_C = 2 \text{ A}$, $I_B = 0,4 \text{ A}$ |

SWITCHING CHARACTERISTICS - CARACTÉRISTIQUES DE COMMUTATION

| On resistive load - Sur charge résistive | | | | | | |
|--|--|------|-----|---------------|---------------------------|---|
| t_{on} | | 0,47 | 1 | μs | BUX 46 | $V_{CC} = 150 \text{ V}$, $I_C = 2,5 \text{ A}$, $I_{B1} = -I_{B2} = 0,5 \text{ A}$ |
| t_s | | 1,75 | 3 | | BUX 46 A | $V_{CC} = 150 \text{ V}$, $I_C = 2 \text{ A}$, $I_{B1} = -I_{B2} = 0,4 \text{ A}$ |
| t_f | | 0,34 | 0,8 | | | |
| On inductive load - Sur charge inductive | | | | | | |
| t_s | | 1,5 | | μs | $T_j = 25^\circ\text{C}$ | $V_{CC} = 300 \text{ V}$, $I_C = 2,5 \text{ A}$, $L_B = 3 \mu\text{H}$, $I_{Bend} = I_{Bsat}$, $V_{BE} = -5 \text{ V}$ BUX 46 |
| | | | 3 | | $T_j = 100^\circ\text{C}$ | |
| t_f | | 0,06 | | | $T_j = 25^\circ\text{C}$ | $V_{CC} = 300 \text{ V}$, $I_C = 2 \text{ A}$, $L_B = 3 \mu\text{H}$, $I_{Bend} = I_{Bsat}$, $V_{BE} = -5 \text{ V}$ BUX 46 A |
| | | | 0,4 | | $T_j = 100^\circ\text{C}$ | |

Measured with pulses $t_p = 300 \mu\text{s}$ $\delta \leq 2\%$ ** $T_j = 25^\circ\text{C}$ Unless otherwise stated

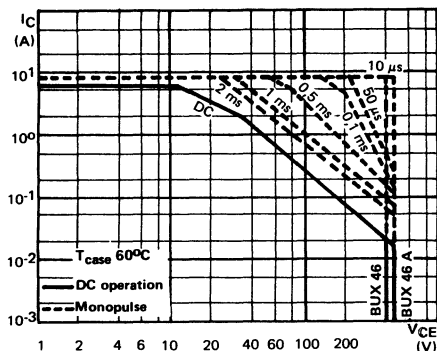


FIGURE 1 : DC and pulse area

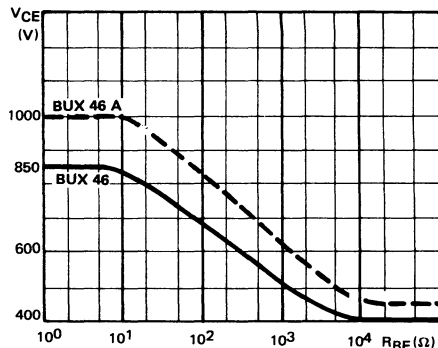


FIGURE 2 : Collector-emitter voltage vs base-emitter resistance

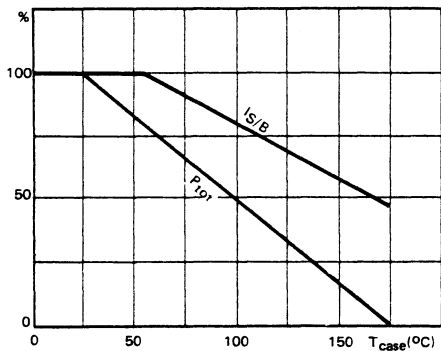


FIGURE 3 : Power and $I_{S/B}$ derating vs case temperature

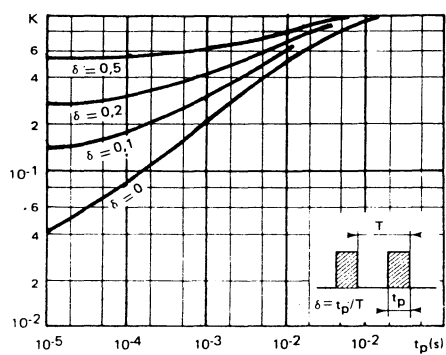
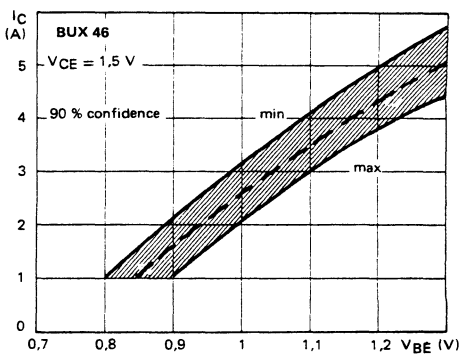
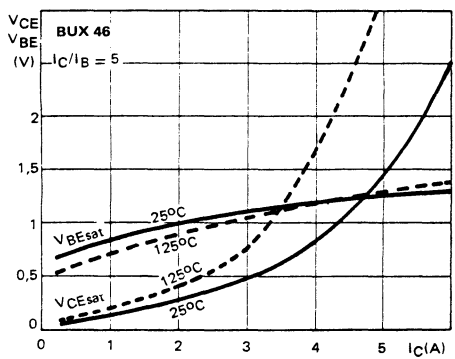
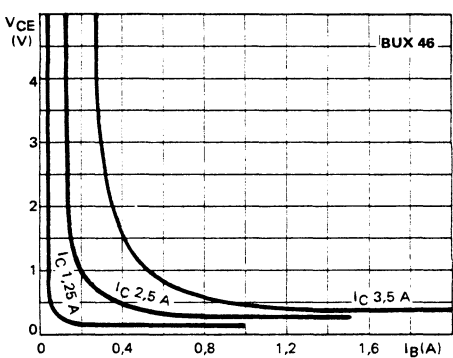
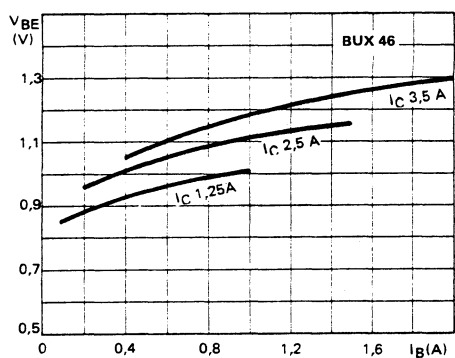
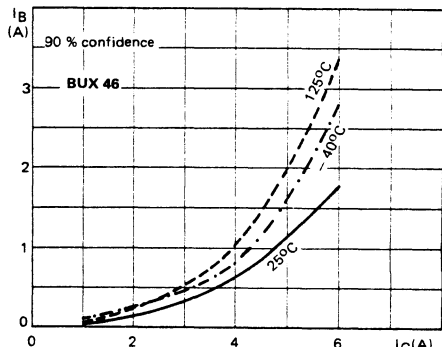
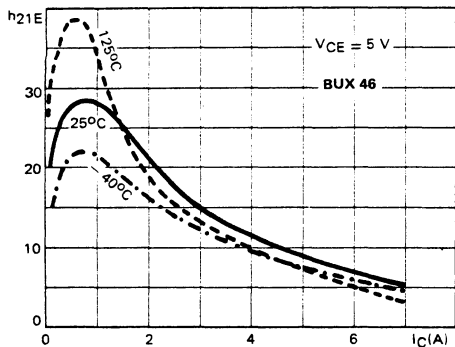
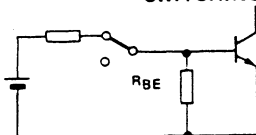


Figure 4: Transient thermal response

BUX 46 - BUX 46 A



SWITCHING OPERATING AND OVERLOAD AREAS



TRANSISTOR FORWARD BIASED

- During the turn on
- During the turn off without negative base-emitter voltage and $R_{BE} \leq 100 \Omega$

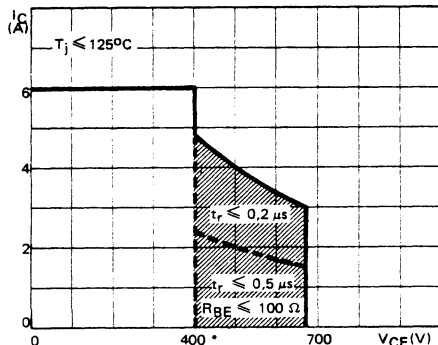
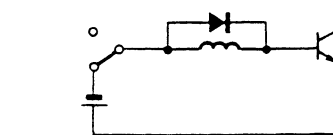


FIGURE 12 :Forward biased safe operating area (FBSOA)



TRANSISTOR REVERSE BIASED

- During the turn off with negative base-emitter voltage

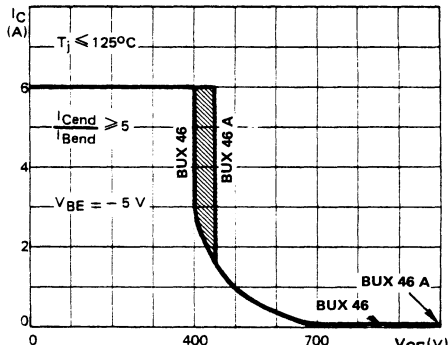


FIGURE 13 : Reverse biased safe operating area (RBSOA)

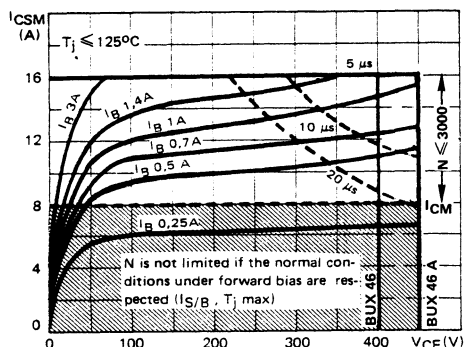


FIGURE 14 : Forward biased accidental overload area (FBAOA)

• BUX 46 A : 450 V

Figure 12: The hatched zone can only be used for turn on.

Figures 14 and 15 : High accidental surge currents ($I > I_{CM}$) are allowed if they are non repetitive and applied less than 3000 times during the component life.

Figure 14 : The Kellogg network (heavy point) allows the calculation of the maximum value of the short-circuit current for a given base current I_B (90% confidence).

Figure 15 : After the accidental overload current, the RBAOA has to be used for the turn off. As in traffic regulation one is allowed to cross the broken line before the continuous line.

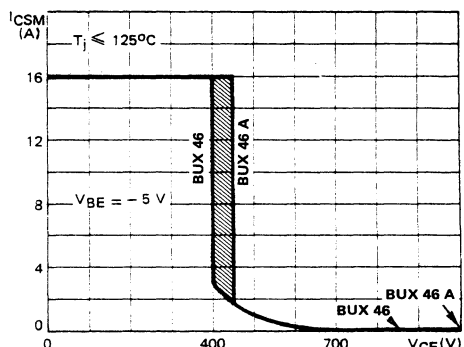


FIGURE 15 :Reverse biased accidental overload area (RBAOA)

Figure 12 : La zone hachurée ne doit être utilisée que pour la mise en conduction.

Figures 14 et 15 : De forts courants de surcharge ($I > I_{CM}$) sont permis s'ils sont non répétitifs et appliqués moins de 3000 fois dans la vie du composant.

Figure 14 : Le réseau de Kellogg (trait gras) permet le calcul de la valeur maximale du courant de court-circuit pour un courant de base donné I_B (90 % de confiance).

Figure 15 : Après le passage du courant de surcharge accidentelle on doit utiliser l'aire de surcharge accidentelle en polarisation inverse pour l'ouverture.

BUX 46 - BUX 46 A

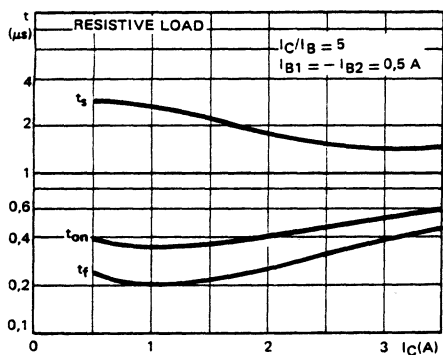


FIGURE 16 : Switching times vs collector current
(resistive load)

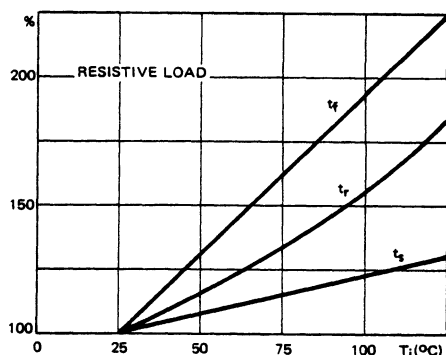


FIGURE 17 : Switching times vs junction temperature
(resistive load)

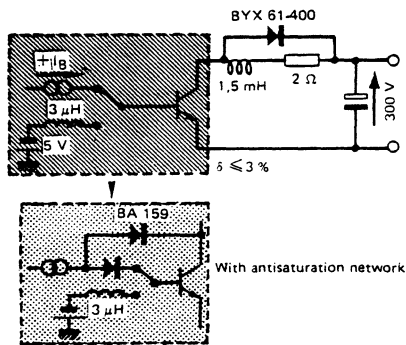


FIGURE 18 : Switching times test circuit on inductive load
(with and without antisaturation network)

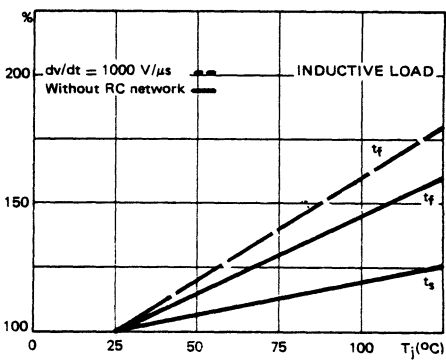


FIGURE 19 : Switching times vs junction temperature
(inductive load)

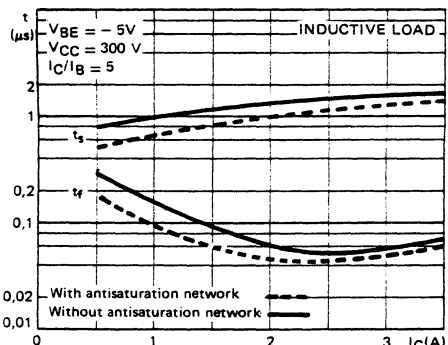


FIGURE 20 : Switching times vs collector current
(with and without antisaturation network)

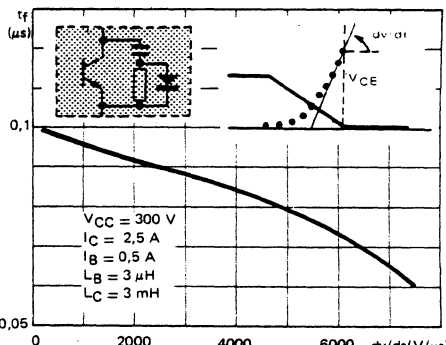


FIGURE 21 : Fall times vs reapplied voltage slope

SUPERSWITCH

BUX 47A

NPN HIGH VOLTAGE SWITCHING TRANSISTORS

TRANSISTORS NPN HAUTE TENSION DE COMMUTATION

SUPERSWITCH

HIGH VOLTAGE, HIGH SPEED TRANSISTOR SUITED FOR USE
ON THE 220 V MAINS : SWITCHMODE POWER SUPPLY, DC. AND
MOTOR CONTROL

Data sheet tailored for switching applications

- * Key parameters characterized at 25 and 100°C
 - * High blocking capability 850 V-1000V
 - * Wide surge area 32 A - 275 V
 - * Base drive specified for different values of I_C

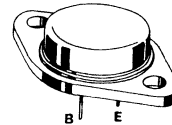
TRANSISTOR HAUTE TENSION, RAPIDE ADAPTE A L'UTILISATION SUR LE RESEAU 220 V:
ALIMENTATIONS A DECOUPE, COMMANDE DE MOTEURS CONTINUS, ALTERNATIFS

Spécifications spécialement étudiées pour la commutation

- * Paramètres principaux caractérisés à 25 et 100°C
- * Possibilités élevées en tension 850 et 1000 V
- * Aire de surcharge étendue 32 A - 275 V
- * Commande de base spécifiée pour différentes valeurs de I_C

| | BUX 47 | BUX 47 A |
|--------------------------|-------------------|-------------------|
| $V_{CEO}(\text{sus})$ | 400 V | 450 V |
| V_{CEX} | 850 V | 1000 V |
| $I_{C\text{sat}}$ | 6 A | 5 A |
| I_{CSM} | 32 A | 32 A |
| $t_f(100^\circ\text{C})$ | 0,4 μs | 0,4 μs |

Case TO 3
Boîtier



ABSOLUTE RATINGS (LIMITING VALUES)
VALEURS LIMITES ABSOLUES D'UTILISATION

| | | BUX 47 | BUX 47 A | |
|---|---|---------------|-----------------|----|
| Collector-emitter voltage <i>Tension collecteur-émetteur</i> | V_{CEO} | 400 | 450 | V |
| Collector-emitter voltage <i>Tension collecteur-émetteur</i> | V_{CEX} $V_{BE} = -2,5 \text{ V}$ | 850 | 1000 | V |
| Collector current <i>Courant collecteur</i> | I_C $t_p \leqslant 5 \text{ ms}$ | 9 15 | 9 15 | A |
| Base current <i>Courant base</i> | I_B $t_p \leqslant 5 \text{ ms}$ | 3 6 | 3 6 | A |
| Power dissipation <i>Dissipation de puissance</i> | P_{tot} $T_{case} 25^\circ\text{C}$ $T_{case} 60^\circ\text{C}$ | 125 100 | 125 100 | W |
| Junction temperature <i>Température de jonction</i> | t_j | -65 + 200 | -65 + 200 | °C |

| Junction-case thermal resistance <i>Résistance thermique jonction-boîtier</i> | max | $R_{th(j-c)}$ | 1,4 | 1,4 | °C/W |
|--|-----|---------------|-----|-----|------|
| | | | | | |

BUX 47 - BUX 47 A

ELECTRICAL CHARACTERISTICS - CARACTÉRISTIQUES ÉLECTRIQUES **

| SYMBOLS | Min | Typ | Max | UNIT | | TEST CONDITIONS - CONDITIONS DE MESURE |
|---------|-----|-----|-----|------|--|--|
|---------|-----|-----|-----|------|--|--|

OFF CHARACTERISTICS - CARACTÉRISTIQUES A L'ÉTAT BLOQUÉ

| | | | | | |
|---------------|------------|-------------|----|--------------------|--|
| V_{CEOus} | 400 450 | | V | BUX 47 BUX 47 A | $I_B = 0, I_C = 0,2 \text{ A}, L = 25 \text{ mH}$ |
| $V_{(BR)EBO}$ | 7 | 30 | V | | $I_C = 0, I_B = 0,5 \text{ A}$ |
| I_{CEX} | | 0,15 1,5 | mA | | $T_{case} 25^\circ\text{C}$ $T_{case} 125^\circ\text{C}$ } $V_{CE} = V_{CEX}, V_{BE} = -2,5 \text{ V}$ |
| I_{CER} | | 0,4 3 | mA | | $T_{case} 25^\circ\text{C}$ $T_{case} 125^\circ\text{C}$ } $V_{CE} = V_{CEX}, R_{BE} \leqslant 10 \Omega$ |
| I_{EBO} | | 1 | mA | | $I_C = 0, V_{EB} = 5 \text{ V}$ |

ON CHARACTERISTICS - CARACTÉRISTIQUES A L'ÉTAT CONDUCTEUR

| | | | | | |
|---------------|--|----------|---|--------------------|--|
| V_{CEsat}^* | | 1,5 5 | V | BUX 47 | $I_C = 6 \text{ A}, I_B = 1,2 \text{ A}$ $I_C = 9 \text{ A}, I_B = 1,8 \text{ A}$ |
| | | 1,5 5 | V | BUX 47 A | $I_C = 5 \text{ A}, I_B = 1 \text{ A}$ $I_C = 8 \text{ A}, I_B = 1,6 \text{ A}$ |
| V_{BESat}^* | | 1,6 | V | BUX 47 BUX 47 A | $I_C = 6 \text{ A}, I_B = 1,2 \text{ A}$ $I_C = 5 \text{ A}, I_B = 1 \text{ A}$ |

SWITCHING CHARACTERISTICS - CARACTÉRISTIQUES DYNAMIQUES

| Resistive load - Charge résistive | | | | | | | |
|-----------------------------------|------|-----|---------------|----------|---|----------|--|
| t_{on} | | 1 | μs | BUX 47 | $V_{CC} = 150 \text{ V}, I_C = 6 \text{ A}, I_{B1} = -I_{B2} = 1,2 \text{ A}$ | BUX 47 | |
| t_s | | 3 | | BUX 47 A | $V_{CC} = 150 \text{ V}, I_C = 5 \text{ A}, I_{B1} = -I_{B2} = 1 \text{ A}$ | | |
| t_f | | 0,8 | | | | | |
| Inductive load - Charge inductive | | | | | | | |
| t_s | 2,5 | | μs | | $T_{case} 25^\circ\text{C}$ $T_{case} 100^\circ\text{C}$ | BUX 47 | |
| | | 4 | | | | | |
| t_f | 0,08 | | μs | | $T_{case} 25^\circ\text{C}$ $T_{case} 100^\circ\text{C}$ | BUX 47 A | |
| | | 0,4 | | | | | |

* Pulse - Impulsions $t_p = 300 \mu\text{s}$, $\delta \leqslant 2\%$ ** $T_{case} 25^\circ\text{C}$ Unless otherwise stated - Sauf indications contraires

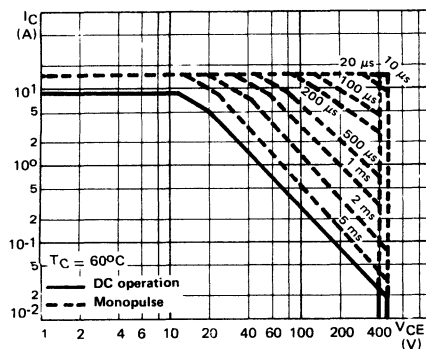


FIGURE 1 : DC and pulse area

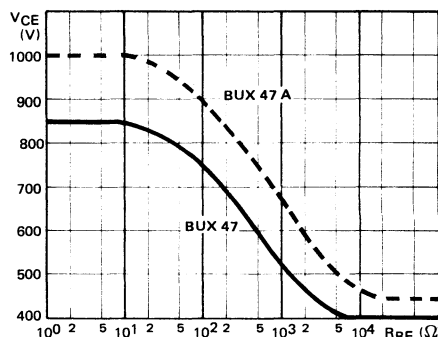


FIGURE 2 : Collector-emitter voltage vs base-emitter resistance

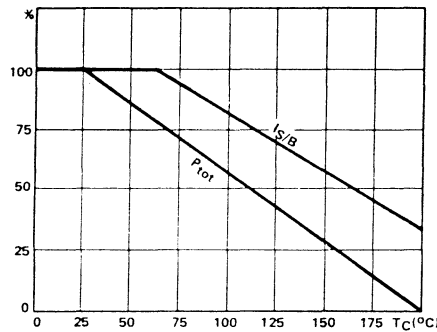
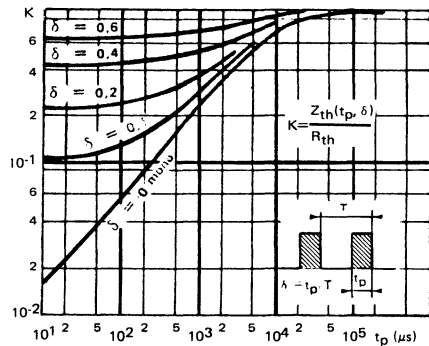
FIGURE 3 : Power and $I_{S/B}$ derating vs case temperature.

FIGURE 4 : Transient thermal response

BUX 47 - BUX 47 A

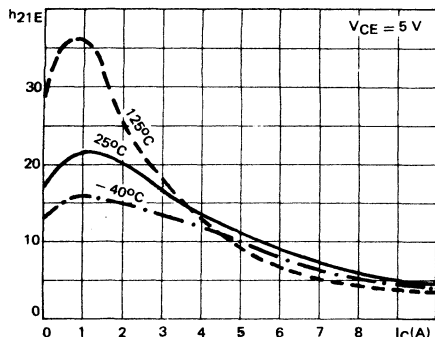


FIGURE 6 : DC current gain

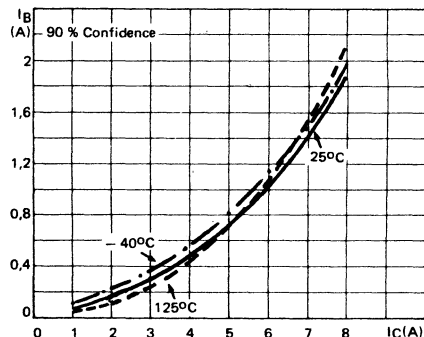


FIGURE 7 :Minimum base current to saturate the transistor

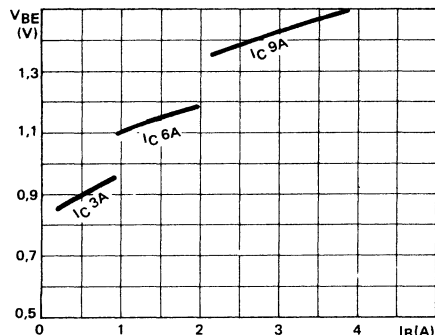


FIGURE 8 :Base characteristics

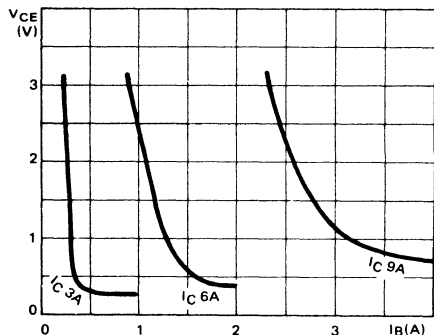


FIGURE 9 :Collector saturation region

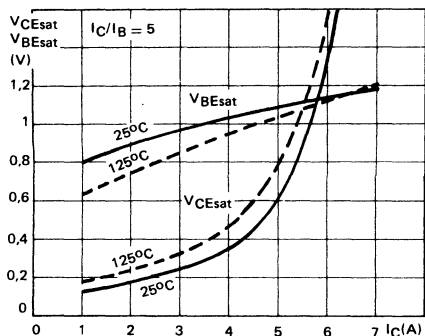


FIGURE 10 :Saturation voltage

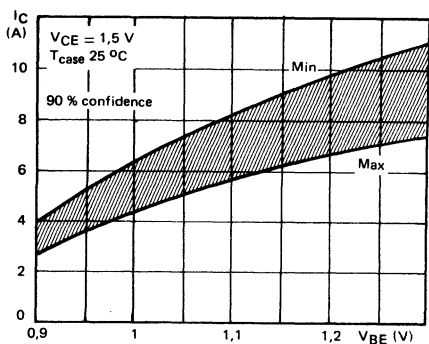
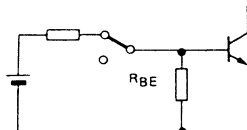


FIGURE 11 :Collector current spread vs base emitter voltage

SWITCHING OPERATING AND OVERLOAD AREAS



TRANSISTOR FORWARD BIASED

- During the turn on
- During the turn off without negative base-emitter voltage and $R_{BE} \leq 100 \Omega$

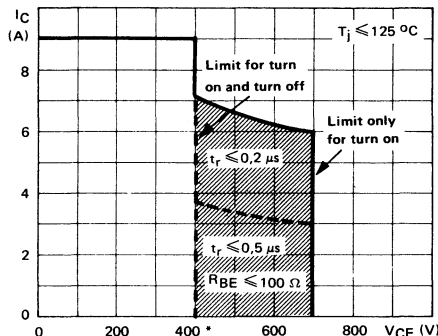
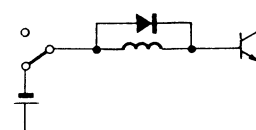


FIGURE 12 : Forward biased safe operating area (FBSOA)



TRANSISTOR REVERSE BIASED

- During the turn off with negative base-emitter voltage

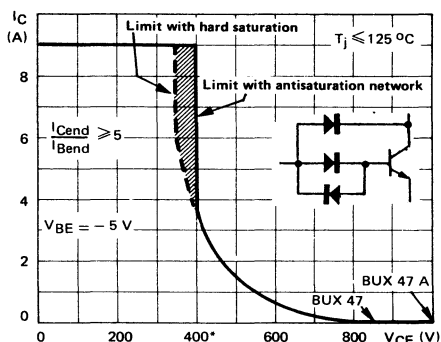


FIGURE 13 : Reverse biased safe operating area (RBSOA)

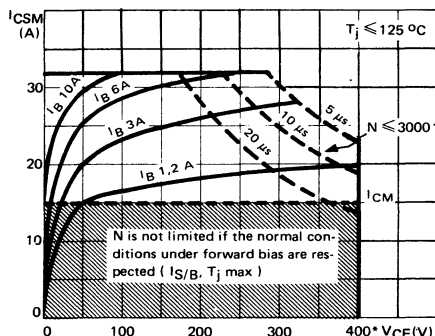


FIGURE 14 : Forward biased accidental overload area (FBAOA)

* BUX 47 A : 450 V

Figure 12 : The hatched zone can only be used for turn on.

Figures 13 and 15 : Switch off starting from the quasi saturated state ($VCE \geq 1.5$ V) allows to extend the RBSOA and the RBAOA to the hatched zone.Figures 14 and 15 : High accidental surge currents ($I > I_{CM}$) are allowed if they are non repetitive and applied less than 3000 times during the component life.Figure 14 : The Kellogg network (heavy point) allows the calculation of the maximum value of the short-circuit current for a given base current I_B (90% confidence).

Figure 15 : After the accidental overload current, the RBAOA has to be used for the turn off. As in traffic regulation one is allowed to cross the broken line before the continuous line. One is forbidden to cross the single continuous line.

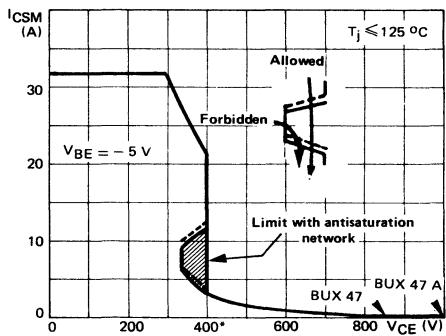


FIGURE 15 : Reverse biased accidental overload area (RBAOA)

Figure 12 : La zone hachurée ne doit être utilisée que pour la mise en conduction.

Figures 13 et 15 : Le blocage à partir de l'état quasi-saturé ($VCE \geq 1.5$ V) permet d'étendre les aires de fonctionnement et de surcharge en inverse jusqu'à la zone hachurée.Figures 14 et 15 : Des forts courants de surcharge ($I > I_{CM}$) sont permis s'ils sont non répétitifs et appliqués moins de 3000 fois dans la vie du composant.Figure 14 : Le réseau de Kellogg (trait gras) permet le calcul de la valeur maximale du courant de court-circuit pour un courant de base donné I_B (90 % de confiance).

Figure 15 : Après le passage du courant de surcharge accidentelle on doit utiliser l'aire de surcharge accidentelle en polarisation inverse pour l'ouverture. Il est permis de traverser la ligne continue à condition de traverser d'abord la ligne pointillée.

BUX 47 - BUX 47 A

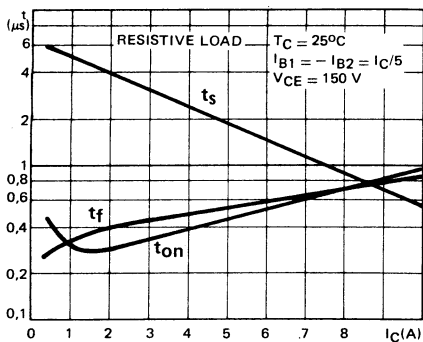


FIGURE 16 : Switching times vs collector current
(resistive load)

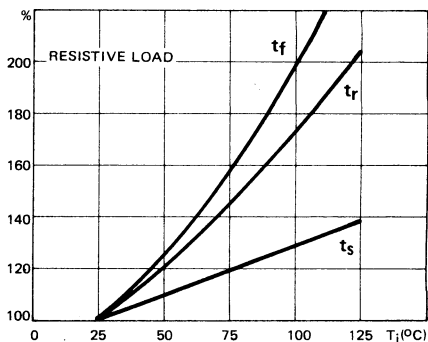


FIGURE 17 : Switching times vs junction temperature
(resistive load)

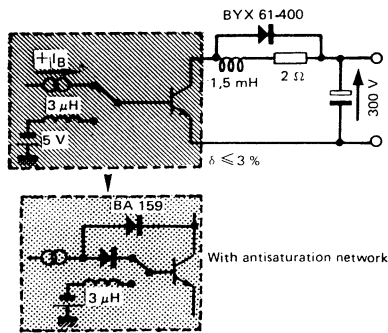


FIGURE 18 : Switching times test circuit on inductive load
(with and without antisaturation network)

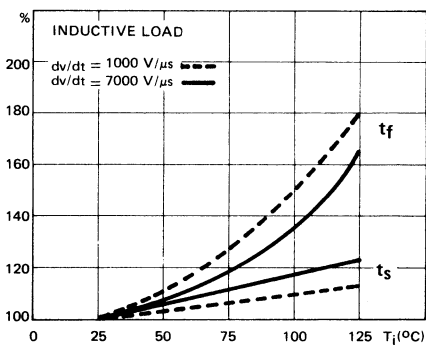


FIGURE 19 : Switching times vs junction temperature
(inductive load)

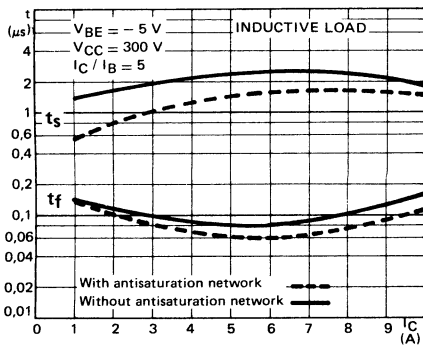


FIGURE 20 : Switching times vs collector current (with and
without antisaturation network)

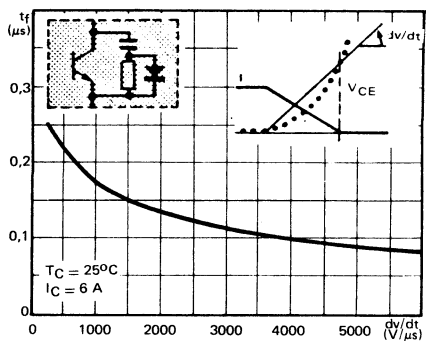


FIGURE 21 : Fall time vs reapply voltage slope

SUPERSWITCH

HIGH VOLTAGE, HIGH SPEED TRANSISTOR SUITED FOR USE
ON THE 220 AND 380 V MAINS SWITCHMODE POWER SUPPLY, DC
AND AC MOTOR CONTROL

- Data sheet tailored for switching applications
- Key parameters characterized at 25 and 100°C
 - * High blocking capability 850 V-1000V
 - * Wide surge area 55 A - 350 V
- Base drive specified for different values of I_C
 - * Information for parallel mounting

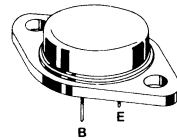
TRANSISTOR HAUTE TENSION, RAPIDE ADAPTE A L'UTILISATION SUR LES RESEAUX 220 V ET 380 V:
ALIMENTATIONS A DECOUPE, COMMANDE DE MOTEURS CONTINUS, ALTERNATIFS

Spécifications spécialement étudiées pour la commutation

- Paramètres principaux caractérisés à 25 et 100°C
 - * Possibilités élevées en tension 850 et 1000 V
 - * Aire de surcharge étendue 55 A - 350 V
- Commande de base spécifiée pour différentes valeurs de I_C
 - * Caractérisation pour le montage en parallèle

| | BUX 48 | BUX 48 A |
|---------------|-------------|-------------|
| V_{CEO} us | 400 V | 450 V |
| V_{CEX} | 850 V | 1000 V |
| I_{Csat} | 10 A | 8 A |
| I_{CSM} | 55 A | 55 A |
| t_f (100°C) | 0,4 μ s | 0,4 μ s |

Case Boîtier TO 3 (CB 19)



ABSOLUTE RATINGS (LIMITING VALUES) VALEURS LIMITES ABSOLUES D'UTILISATION

| | | BUX 48 | BUX 48 A | |
|--|--|-----------|-----------|----|
| Collector-emitter voltage Tension collecteur-émetteur | V_{CEO} | 400 | 450 | V |
| Collector-emitter voltage Tension collecteur-émetteur | V_{CEX} | 850 | 1000 | V |
| Emitter-base voltage Tension émetteur-base | V_{EB0} | 7 | 7 | V |
| Collector current Courant collecteur | I_C $t_p \leqslant 5$ ms | 15 30 | 15 30 | A |
| Base current Courant base | I_B $t_p \leqslant 5$ ms | 4 20 | 4 20 | A |
| Power dissipation Dissipation de puissance | P_{tot} $T_{case} 25^\circ\text{C}$ | 175 | 175 | W |
| Junction temperature Température de jonction | t_j | -65 + 200 | -65 + 200 | °C |

| Junction-case thermal resistance Résistance thermique jonction boîtier | max | $R_{th(j-c)}$ | 1 | 1 | °C/W |
|---|-----|---------------|---|---|------|
| | | | | | |

ELECTRICAL CHARACTERISTICS - CARACTERISTIQUES ELECTRIQUES **

| SYMBOL | Min | Typ | Max | UNIT | | TEST CONDITIONS - CONDITIONS DE MESURE |
|--------|-----|-----|-----|------|--|--|
|--------|-----|-----|-----|------|--|--|

OFF CHARACTERISTICS - CARACTERISTIQUES A L'ETAT BLOQUE

| | | | | | | |
|--------------------------|------------|--|----------|----|--------------------|--|
| V_{CEO} _{sus} | 400 450 | | | V | BUX 48 BUX 48 A | $I_B = 0$, $I_C = 0,2 \text{ A}$, $L = 25 \text{ mH}$ |
| $V_{(BR)EBO}$ | 7 | | 30 | V | | $I_C = 0$, $I_B = 0,05 \text{ A}$ |
| I_{CEX} | | | 0,2 2 | mA | | $T_C = 25^\circ\text{C}$ $T_C = 125^\circ\text{C}$ $V_{CE} = V_{CEX}$, $V_{BE} = -2,5 \text{ V}$ |
| I_{CER} | | | 0,5 4 | mA | | $T_C = 25^\circ\text{C}$ $T_C = 125^\circ\text{C}$ $V_{CE} = V_{CEX}$, $R_{BE} \leq 10 \Omega$ |
| I_{EBO} | | | 1 | mA | | $I_C = 0$, $V_{EB} = 5 \text{ V}$ |

ON CHARACTERISTICS - CARACTERISTIQUES A L'ETAT CONDUCTEUR

| | | | | | |
|--------------------------|--|----------|---|--------------------|---|
| V_{CE} _{sat*} | | 1,5 5 | V | BUX 48 | $I_C = 10 \text{ A}$, $I_B = 2 \text{ A}$ $I_C = 15 \text{ A}$, $I_B = 3 \text{ A}$ |
| | | 1,5 5 | V | BUX 48 A | $I_C = 8 \text{ A}$, $I_B = 1,6 \text{ A}$ $I_C = 12 \text{ A}$, $I_B = 2,4 \text{ A}$ |
| V_{BE} _{sat*} | | 1,6 | V | BUX 48 BUX 48 A | $I_C = 10 \text{ A}$, $I_B = 2 \text{ A}$ $I_C = 8 \text{ A}$, $I_B = 1,6 \text{ A}$ |

DYNAMIC CHARACTERISTICS - CARACTERISTIQUES DYNAMIQUES

| | | | | |
|-----------|-----|-----|--|---|
| f_T | 5 | MHz | | $f = 1 \text{ MHz}$, $I_C = 1 \text{ A}$, $V_{CE} = 10 \text{ V}$ |
| C_{22b} | 250 | pF | | $f = 1 \text{ MHz}$, $V_{CE} = 10 \text{ V}$ |

SWITCHING CHARACTERISTICS - CARACTERISTIQUES DE COMMUTATION

| Resistive load - Charge résistive | | | | | | |
|-----------------------------------|--|-----|---------------|----------|---|--|
| t_{on} | | 1 | μs | BUX 48 | $V_{CC} = 150 \text{ V}$, $I_C = 10 \text{ A}$, $I_{B1} = -I_{B2} = 2 \text{ A}$ | |
| t_s | | 3 | | BUX 48 A | $V_{CC} = 150 \text{ V}$, $I_C = 8 \text{ A}$, $I_{B1} = -I_{B2} = 1,6 \text{ A}$ | |
| t_f | | 0,8 | | | $V_{CC} = 150 \text{ V}$, $I_C = 8 \text{ A}$, $I_{B1} = -I_{B2} = 1,6 \text{ A}$ | |

Inductive load - Charge inductive

| | | | | | | | |
|-------|------|-----|---------------|----------|---|--|--|
| t_s | 3 | 5 | μs | BUX 48 | $T_C = 25^\circ\text{C}$ $T_C = 100^\circ\text{C}$ | $V_{CC} = 300 \text{ V}$, $I_C = 10 \text{ A}$ $L_B = 3 \mu\text{H}$, $-V_B = 5 \text{ V}$ $I_{Bend} = 2 \text{ A}$ | |
| t_f | 0,08 | 0,4 | | BUX 48 A | $T_C = 25^\circ\text{C}$ $T_C = 100^\circ\text{C}$ | $V_{CC} = 300 \text{ V}$, $I_C = 8 \text{ A}$ $L_B = 3 \mu\text{H}$, $-V_B = 5 \text{ V}$ $I_{Bend} = 1,6 \text{ A}$ | |
| t_s | 3 | 5 | μs | | $T_C = 25^\circ\text{C}$ $T_C = 100^\circ\text{C}$ | $V_{CC} = 300 \text{ V}$, $I_C = 8 \text{ A}$ $L_B = 3 \mu\text{H}$, $-V_B = 5 \text{ V}$ $I_{Bend} = 1,6 \text{ A}$ | |
| t_f | 0,08 | 0,4 | | | $T_C = 25^\circ\text{C}$ $T_C = 100^\circ\text{C}$ | $V_{CC} = 300 \text{ V}$, $I_C = 8 \text{ A}$ $L_B = 3 \mu\text{H}$, $-V_B = 5 \text{ V}$ $I_{Bend} = 1,6 \text{ A}$ | |

*Measured with pulses $t_p = 300 \mu\text{s}$ $\delta \leq 2 \%$ ** $T_C = 25^\circ\text{C}$ Unless otherwise stated - Sauf indications contraires

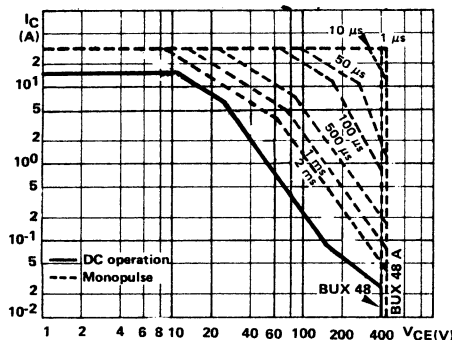


FIGURE 1 : DC and AC pulse area

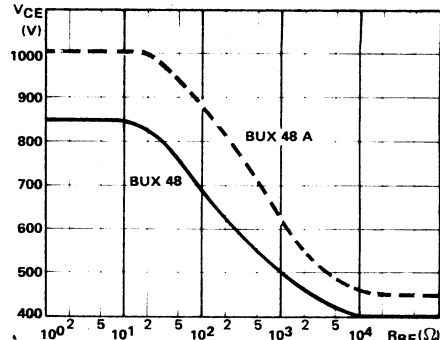


FIGURE 2:Collector-emitter voltage vs base-emitter resistance

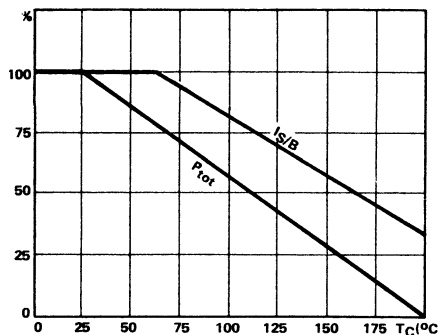
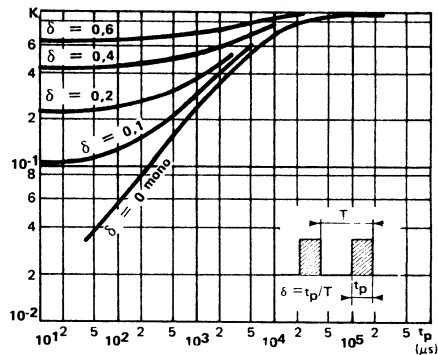
FIGURE 3 : Power and I_S/B derating vs case temperature

FIGURE 4 : Transient thermal response

BUX 48 - BUX 48 A

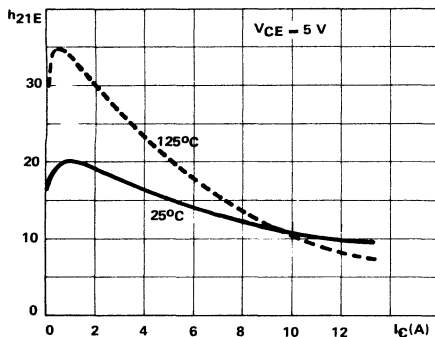


FIGURE 7 : DC current gain

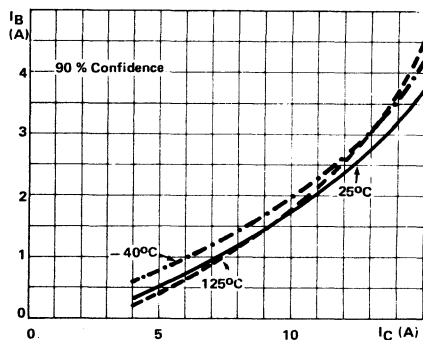


FIGURE 8 : Minimum base current to saturate the transistor

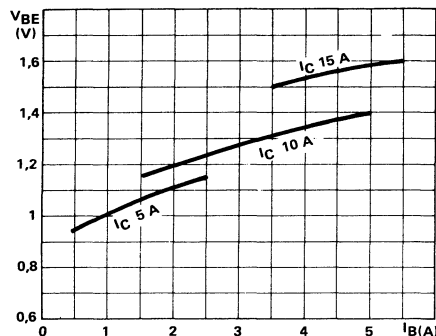


FIGURE 9 : Base characteristics

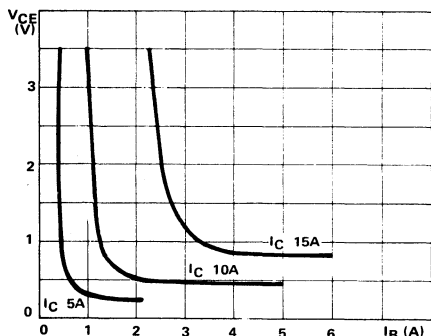


FIGURE 10 : Collector saturation region

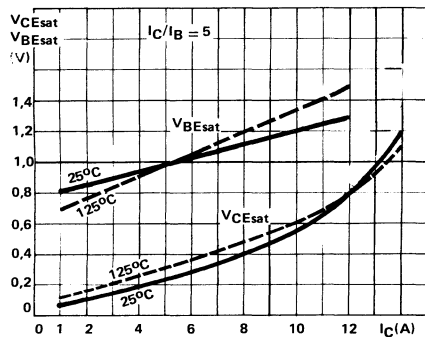


FIGURE 11 : Saturation voltage

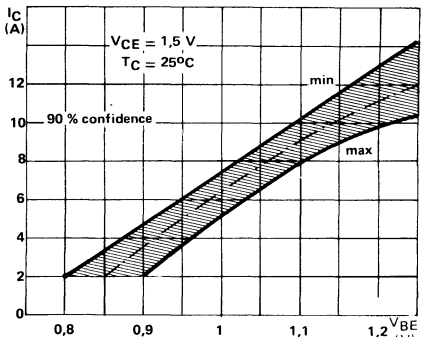
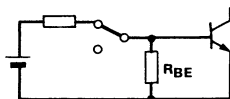


FIGURE 12: Collector current spread vs base-emitter voltage

SWITCHING OPERATING AND OVERLOAD AREAS



TRANSISTOR FORWARD BIASED

- During the turn on
- During the turn off without negative base-emitter voltage and $R_{BE} \geq 5 \Omega$

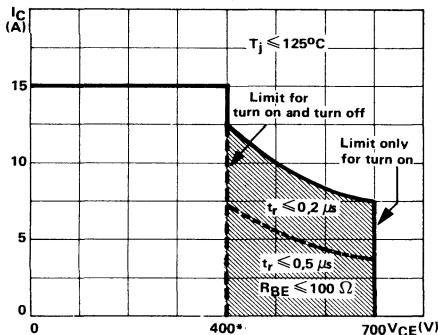
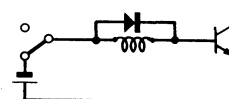


FIGURE 13 : Forward biased safe operating area (FBSOA)



TRANSISTOR REVERSE BIASED

- During the turn off with negative base-emitter voltage

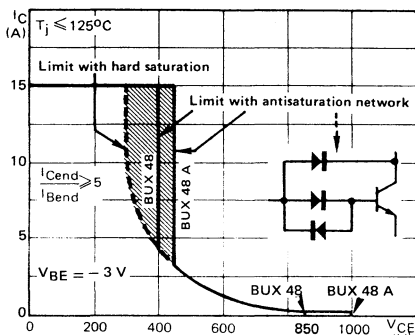


FIGURE 14 Reverse biased safe operating area (RBSOA)

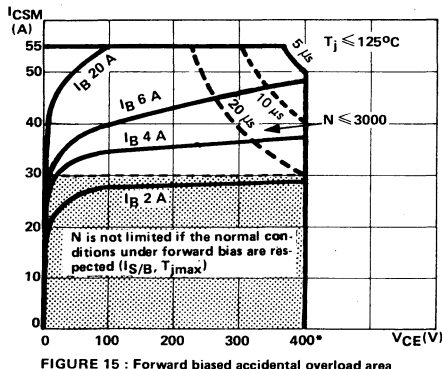


FIGURE 15 : Forward biased accidental overload area (FBAOA)

* BUX 48 A : 450 V

Figure 13 : The hatched zone can only be used for turn on

Figures 14 and 16 : Switch off starting from the quasi saturated state ($V_{CE} \geq 1.5 V$) allows to extend the RBSOA and the RBAOA to the hatched zone.Figures 15 and 16 : High accidental surge currents ($I > I_{CM}$) are allowed if they are non repetitive and applied less than 3000 times during the component life.Figure 15 : The Kellogg network (heavy point) allows the calculation of the maximum value of the short-circuit current for a given base current I_B (90 % confidence).

Figure 16 : After the accidental overload current, the RBAOA has to be used for the turn off As in traffic regulation one is allowed to cross the broken line before the continuous line. One is forbidden to cross the single continuous line.

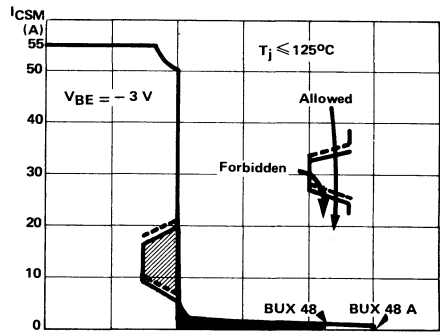


FIGURE 16 : Reverse biased accidental overload area (RBAOA)

Figure 13 : La zone hachurée ne doit être utilisée que pour la mise en conduction.

Figures 14 et 16 : Le blocage à partir de l'état quasi-saturé ($V_{CE} \geq 1.5 V$) permet d'étendre les aires de fonctionnement et de surcharge en inverse, jusqu'à la zone hachurée.Figures 15 et 16 : De forts courants de surcharge ($I > I_{CM}$) sont permis s'ils sont non répétitifs et appliqués moins de 3000 fois dans la vie du composant.Figure 15 : Le réseau de Kellogg (trait gris) permet le calcul de la valeur maximale du courant de court-circuit pour un courant de base donné I_B (90 % de confiance).

Figure 16 : Après le passage du courant de surcharge accidentelle, on doit utiliser l'aire de surcharge accidentelle en polarisation inverse pour l'ouverture. Il est permis de traverser la ligne continue à condition de traverser d'abord la ligne pointillée.

BUX 48 - BUX 48 A

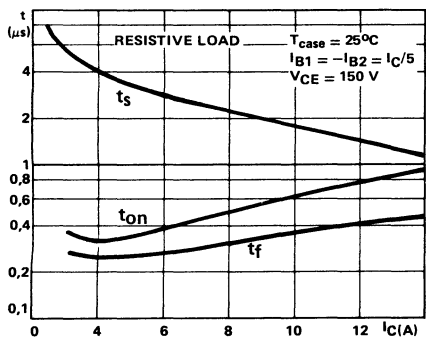


FIGURE 17 : Switching times vs collector current (resistive load)

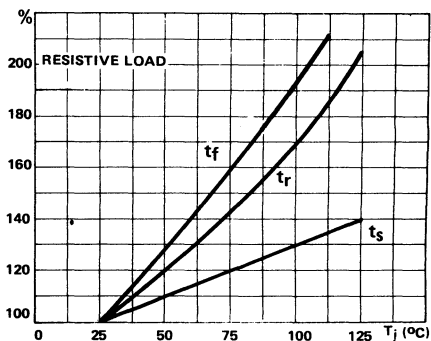


FIGURE 18 : Switching times vs junction temperature (resistive load)

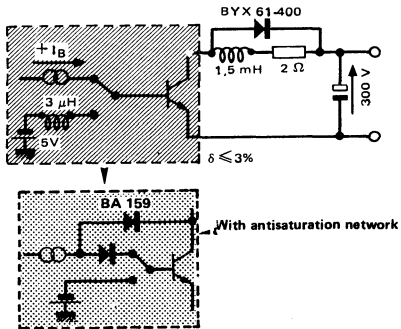


FIGURE 19 : Switching times test circuit on inductive load (with and without antisaturation network)

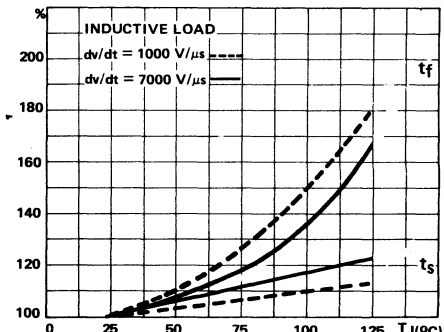


FIGURE 20 : Switching times vs junction temperature (inductive load)

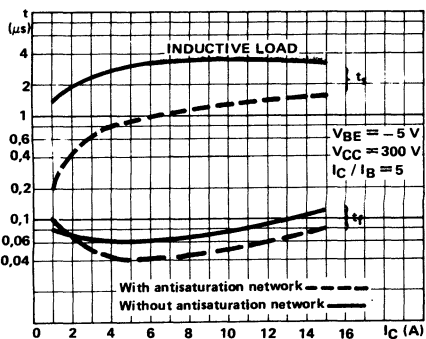


FIGURE 21 : Switching times vs collector current (with and without antisaturation network)

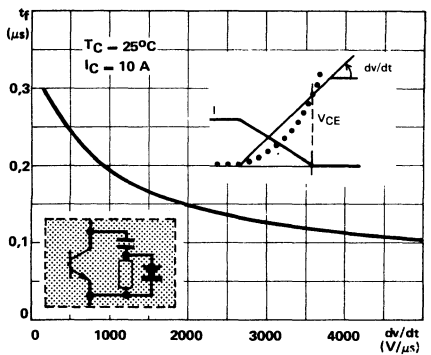
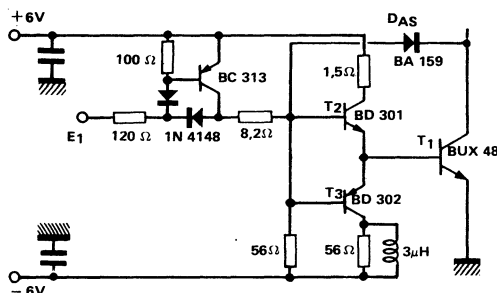


FIGURE 22 : Fall time vs reapplied voltage slope

♦ applications ♦

DRIVER CIRCUIT - CIRCUIT DE COMMANDE



The use of an antisaturation circuit (D_{AS} with T_2) enables the turn off of BUX 48 directly from the quasi saturated state. This gives the following advantages :

- Lower switching times (t_s and t_f) and switching losses.
- Narrower spread in the distribution of t_s .
- Enlarged area for the RBSOA.

L'utilisation d'un circuit antisaturation (D_{AS} avec T_2) permet au BUX 48 de commuter directement à partir de l'état quasi-saturé. Ce qui entraîne les avantages suivants :

- Les temps de commutation (t_s et t_f) et les pertes de commutation sont plus faibles.
- La dispersion du temps de stockage est plus restreinte .
- L'aire de sécurité en polarisation inverse est plus étendue.

EXAMPLE : STORAGE TIME SPREAD - DISPERSION DU TEMPS DE STOCKAGE

| $I_C = 10 \text{ A}, T_j = 25^\circ\text{C}$ | Storage time (μs) | Spread (μs) |
|--|--------------------------------|--------------------------|
| Without DAS | $2,3 < t_s < 3,6$ | $\Delta t_s \leq 1,3$ |
| With DAS | $1 < t_s < 1,4$ | $\Delta t_s \leq 0,4$ |

CHOICE OF THE BASE CURRENT - CHOIX DU COURANT BASE

With the aid of fig 8, the minimum base current necessary to obtain the saturation can be determined.

La figure 8 permet de déterminer le courant de base minimum nécessaire pour saturer le transistor.

EXAMPLE :

| | $I_C = 8 \text{ A}$ | $I_C = 5 \text{ A}$ |
|---------------------------|-----------------------|-----------------------|
| $T_j = 25^\circ\text{C}$ | $I_B = 1,2 \text{ A}$ | $I_B = 0,5 \text{ A}$ |
| $T_j = -40^\circ\text{C}$ | $I_B = 1,4 \text{ A}$ | $I_B = 0,7 \text{ A}$ |

PARALLELING - MONTAGE EN PARALLELE

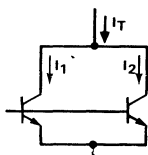


Fig 12 enables the designer to calculate the worse case of collector current sharing between two BUX 48 in parallel.

La figure 12 permet au concepteur de calculer, dans le cas le plus défavorable, la répartition du courant collecteur entre deux BUX 48 en parallèle.

EXAMPLE : $I_T = 12 \text{ A}, I_1 \geq 5 \text{ A}, I_2 \leq 7 \text{ A}$

OVERLOAD PROTECTION

The BUX 48 in the switching mode is operating under an accidental overload when the collector current is superior to the rating $I_{CM}=30\text{ A}$. The new concept «ACCIDENTAL OVERLOAD AREA» (1) completes the absolute maximum ratings of power transistors. This concept allows:

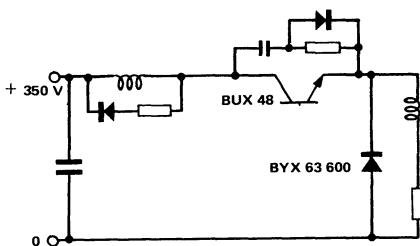
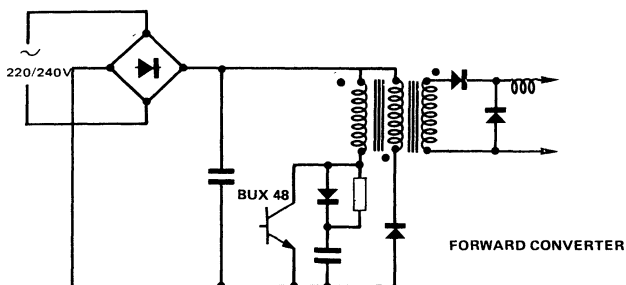
- to calculate a maximum value of the collector current under short-circuit conditions (2) (for this a Kellogg network is given with the FBAOA),
- to find the maximum permissible duration of an overcurrent (with the aid of the FBAOA),
- to find the maximum permissible voltage during the turn off under overload (with the aid of the RBAOA).

PROTECTION CONTRE LES SURCHARGES

Le BUX 48 en régime de commutation fonctionne en surcharge accidentelle lorsque le courant collecteur est supérieur à la limite $I_{CM}=30\text{ A}$. Le nouveau concept «AIRE DE SURCHARGE ACCIDENTELLE» (1) complète les limites absolues d'utilisation des transistors de puissance. Ce concept permet:

- de calculer une valeur maximale du courant de collecteur dans les conditions de court-circuit (2) (pour cela on donne un réseau de Kellogg avec l'aire FBAOA),
- de trouver la durée maximale admissible d'une surcharge en courant (FBAOA)
- de trouver la valeur maximale admissible de la tension réappliquée pendant le blocage du transistor après la surcharge.

STANDARD APPLICATIONS - APPLICATIONS STANDARD



CHOPPER - HIGH VOLTAGE SUPPLY

The use of:

- Turn on and turn off switching networks,
- A base drive well suited to high voltage switching, enables operation directly from the 380 V mains.(3)

L'utilisation de :

- Réseaux d'aide à la commutation à la mise en conduction et au blocage,
- Des émetteurs de commande de base bien adaptés à la commutation haute tension, permet le fonctionnement directement à partir du réseau 380 V.(3)

(1) «A new concept: OVERLOAD AREAS» THE POWER TRANSISTOR IN ITS ENVIRONMENT-THOMSON CSF Handbook
 (2) «Short circuit protection of transistors» POWER CONVERSION - MUNICH - Sept 79
 (3) «High voltage transistors chopping the 380 /420 V mains» POWER CONVERSION - MUNICH Sept 79

CONSULT THE THOMSON CSF HANDBOOK

- * *Le transistor de puissance dans son environnement**
- * *The power transistor in its environment **
- * *Handbuch Schalttransistoren**

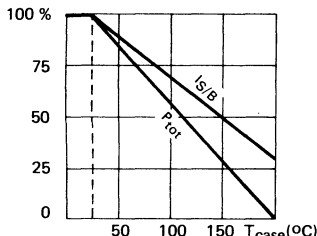
Fast switching, low saturation voltage, high pulse current capabilities. Primarily intended as driver for switching applications or as medium power output stages.

Rapidité, faible tension de saturation, possibilités de courant élevé en impulsions. Particulièrement prévu comme driver pour les applications en commutation ou comme étages de sortie moyenne puissance.

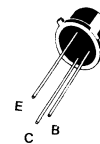
| | |
|-----------------------|--|
| V_{CEO} sus | 90 V |
| I_{CM} | 7 A |
| P_{tot} | 10 W |
| $R_{th(j-c)}$ | $\leq 17,5 \text{ }^{\circ}\text{C/W}$ |
| V_{CEsat} (3,5 A) | $\leq 0,8 \text{ V}$ |
| t_f (3,5 A) | $\leq 0,3 \mu\text{s}$ |

Dissipation and I_S/B derating

Variation de dissipation et de I_S/B



Case TO 39 (CB 7)
Boîtier



ABSOLUTE RATINGS (LIMITING VALUES)

VALEURS LIMITES ABSOLUES D'UTILISATION

| | | | | |
|---|---------------------------|--------------------|--------------------|---|
| Collector-base voltage <i>Tension collecteur-base</i> | V_{CBO} | 150 | V | |
| Collector-emitter voltage <i>Tension collecteur-émetteur</i> | V_{CEO} | 90 | V | |
| Collector-emitter voltage <i>Tension collecteur-émetteur</i> | $R_{BE} = 100 \Omega$ | V_{CER} | 130 | V |
| Collector-emitter voltage <i>Tension collecteur-émetteur</i> | $V_{BE} = -1,5 \text{ V}$ | V_{CEX} | 150 | V |
| Emitter-base voltage <i>Tension émetteur-base</i> | V_{EBO} | 7 | V | |
| Collector current <i>Courant collecteur</i> | I_C I_{CM} | 3,5 7 | A | |
| Base current <i>Courant base</i> | I_B | 0,7 | A | |
| Power dissipation <i>Dissipation de puissance</i> | P_{tot} | 10 | W | |
| Storage and junction temperature <i>Température de jonction et de stockage</i> | t_j T_{stg} | 200 $-65 + 200$ | $^{\circ}\text{C}$ | |

Junction-case thermal resistance
Résistance thermique jonction boîtier

max

 $R_{th(j-c)}$

17,5

 $^{\circ}\text{C/W}$

STATIC CHARACTERISTICS
CARACTÉRISTIQUES STATIQUES

T_{case} = 25 °C

(Unless otherwise stated)
(Sauf indications contraires)

| | Test conditions <i>Conditions de mesure</i> | | min | typ | max | |
|--|---|----------------------|------|-----|-----|----|
| Collector-emitter cut-off current <i>Courant résiduel collecteur-émetteur</i> | I _B = 0 V _{CE} = 70 V | I _{CEO} | | | 0,5 | mA |
| Collector-emitter cut-off current <i>Courant résiduel collecteur-émetteur</i> | V _{BE} = -1,5 V V _{CE} = 125 V | I _{CEX} | | | 0,1 | mA |
| | V _{BE} = -1,5 V V _{CE} = 125 V T _{case} = 125 °C | I _{CEX} | | | 0,5 | mA |
| Emitter-base cut-off current <i>Courant résiduel émetteur-base</i> | I _C = 0 V _{EB} = 5 V | I _{EBO} | | | 0,5 | mA |
| Collector-emitter breakdown voltage <i>Tension de claquage collecteur-émetteur</i> Figure 1 | I _B = 0 L = 25 mH I _C = 200 mA | V _{CEOsus} | 90 | | | V |
| Emitter-base breakdown voltage <i>Tension de claquage émetteur-base</i> | I _C = 0 I _E = 5 mA | V _{(BR)EBO} | 7 | | | V |
| Static forward current transfert ratio <i>Valeur statique du rapport de transfert direct du courant</i> | V _{CE} = 4 V I _C = 1,75 A | h _{21E} * | 20 | | 60 | |
| | V _{CE} = 4 V I _C = 3,5 A | h _{21E} * | 10 | | | |
| Collector-emitter saturation voltage <i>Tension de saturation collecteur-émetteur</i> | I _C = 1,75 A I _B = 0,175 A | V _{CEsat} * | | 0,2 | 0,5 | V |
| | I _C = 3,5 A I _B = 0,35 A | V _{CEsat} * | | 0,3 | 0,8 | V |
| Base-emitter saturation voltage <i>Tension de saturation base-émetteur</i> | I _C = 3,5 A I _B = 0,35 A | V _{BEsat} * | | 1,1 | 1,3 | V |
| Second breakdown collector-current <i>Courant collecteur de second claquage</i> | V _{CE} = 40 V t = 1 s | I _{S/B} | 0,25 | | | A |

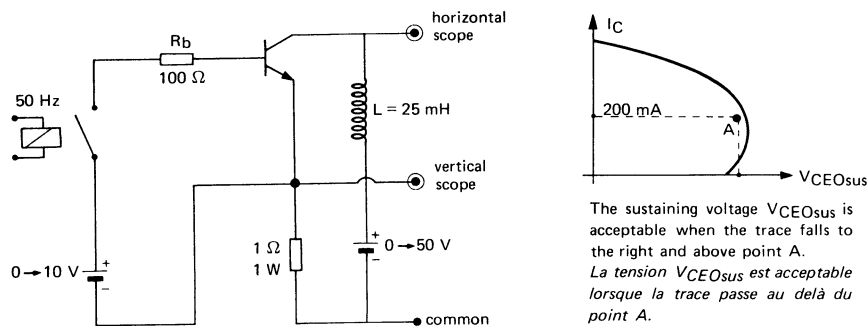
* Pulsed
Impulsions t_p = 300 µs δ ≤ 1 %

DYNAMIC CHARACTERISTICS (for small signals)
CARACTÉRISTIQUES DYNAMIQUES (pour petits signaux)

$T_{case} = 25^\circ\text{C}$

| | Test conditions <i>Conditions de mesure</i> | | min | typ | max | |
|---|--|--|-------------|------|-----|---------------|
| Transition frequency <i>Fréquence de transition</i> | $V_{CE} = 10 \text{ V}$ $I_C = 0,5 \text{ A}$ $f = 10 \text{ MHz}$ | f_T | 8 | | | MHz |
| Turn-on time <i>Temps total d'établissement</i> | Figure 2 | $I_C = 3,5 \text{ A}$ $I_B = 0,35 \text{ A}$ | $t_d + t_r$ | 0,45 | 0,8 | μs |
| Fall time <i>Temps de décroissance</i> | Figure 2 | $I_C = 3,5 \text{ A}$ $I_{B1} = 0,35 \text{ A}$ $I_{B2} = -0,35 \text{ A}$ | t_f | 0,15 | 0,3 | μs |
| Carrier storage time <i>Retard à la décroissance</i> | Figure 2 | $I_C = 3,5 \text{ A}$ $I_{B1} = 0,35 \text{ A}$ $I_{B2} = -0,35 \text{ A}$ | t_s | 0,5 | 1,5 | μs |

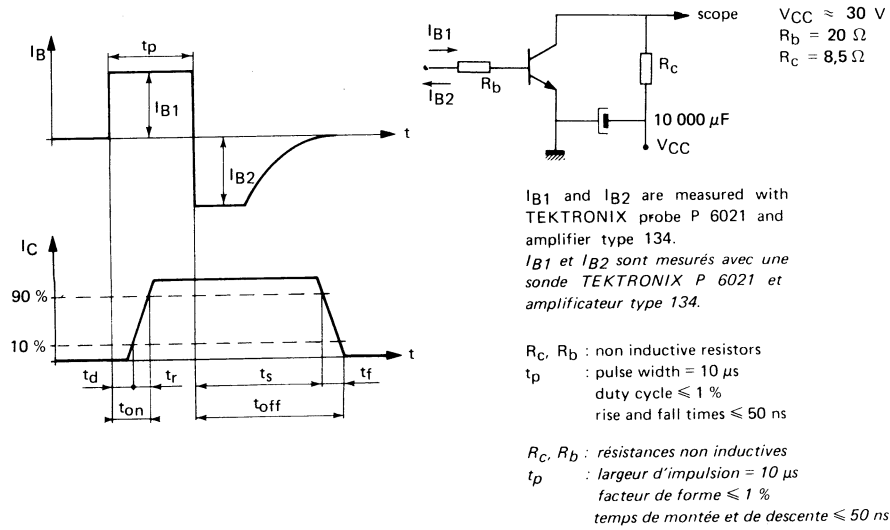
FIGURE 1 - V_{CEOsus} test circuit (and oscillogram)
Circuit de mesure de V_{CEOsus} et oscillogramme



The sustaining voltage V_{CEOus} is acceptable when the trace falls to the right and above point A.

La tension V_{CEOus} est acceptable lorsque la trace passe au delà du point A.

FIGURE 2 - Switching times test circuit (and oscillograms)
Circuit de mesure des temps de commutation et oscillogrammes



SAFE OPERATING AREA
AIRE DE SECURITE

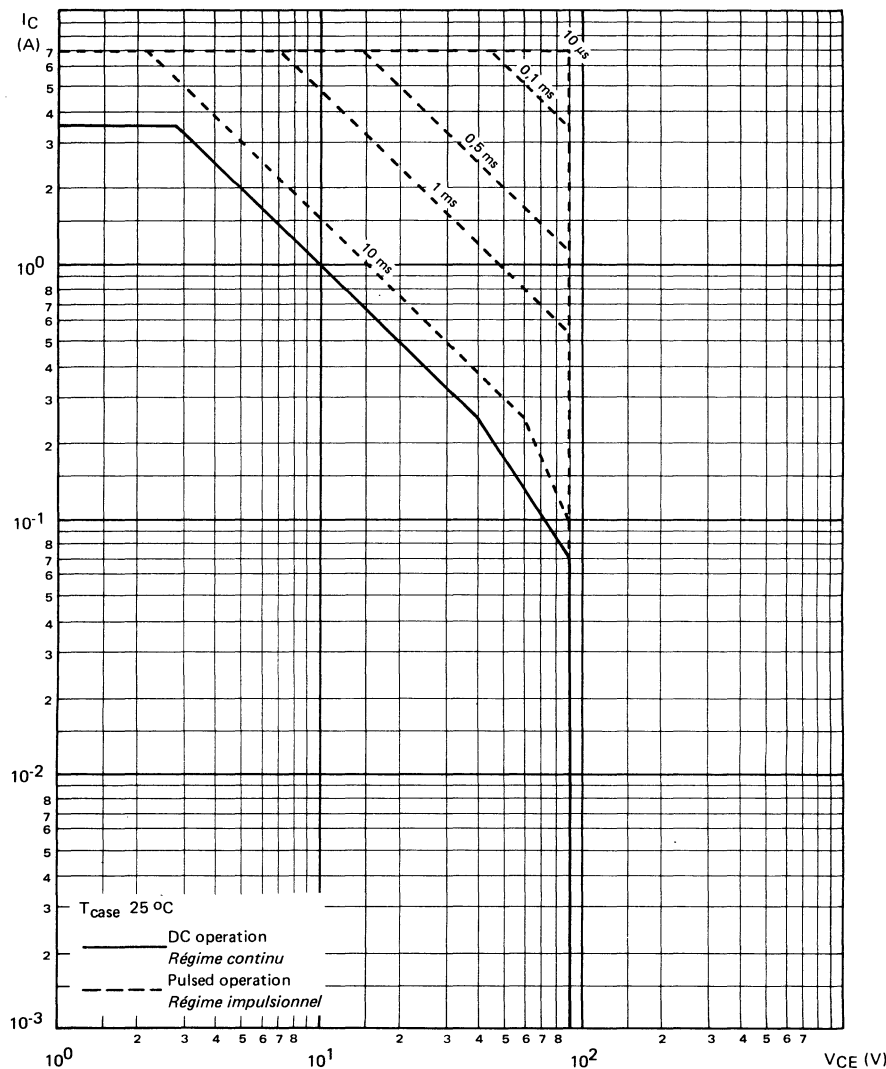


FIGURE 3

COLLECTOR CURRENT VERSUS COLLECTOR-EMITTER VOLTAGE
Courant collecteur en fonction de la tension collecteur-émetteur

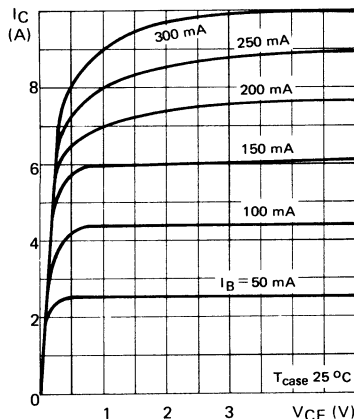


FIGURE 4

COLLECTOR CURRENT VERSUS COLLECTOR-EMITTER VOLTAGE
Courant collecteur en fonction de la tension collecteur-émetteur

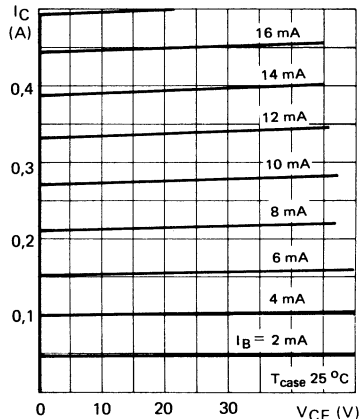


FIGURE 5

COLLECTOR EMMITTER VOLTAGE VERSUS BASE-EMITTER RESISTANCE
Tension collecteur-émetteur en fonction de la résistance base-émetteur

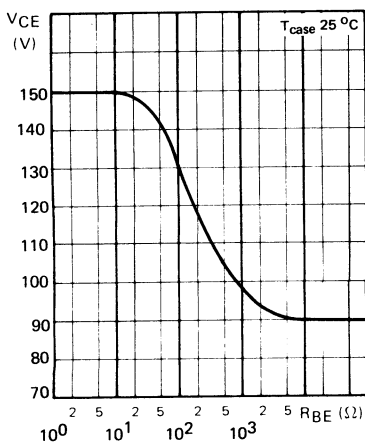


FIGURE 6

STATIC FORWARD CURRENT TRANSFER RATIO VERSUS COLLECTOR CURRENT
Valeur statique du rapport de transfert direct du courant en fonction du courant collecteur

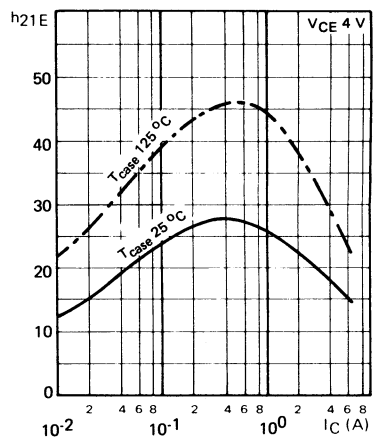


FIGURE 7

BASE CURRENT VERSUS BASE-EMITTER VOLTAGE
Courant base en fonction de la tension base-émetteur

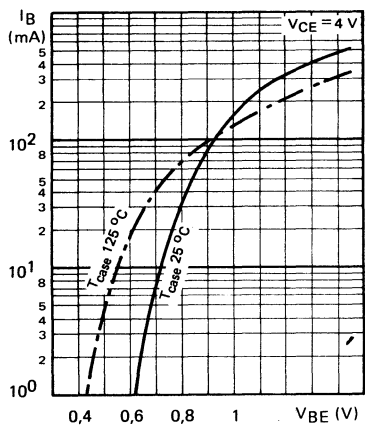


FIGURE 8

BASE-EMITTER VOLTAGE VERSUS COLLECTOR CURRENT
Tension base-émetteur en fonction du courant collecteur

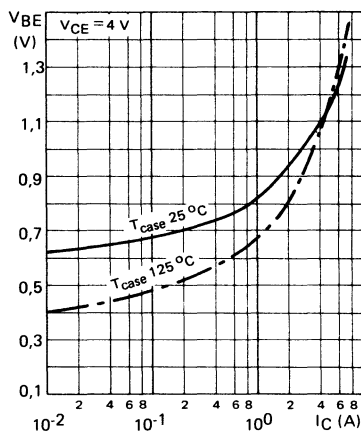


FIGURE 9

COLLECTOR-EMITTER SATURATION VOLTAGE VERSUS COLLECTOR CURRENT
Tension de saturation collecteur-émetteur en fonction du courant collecteur

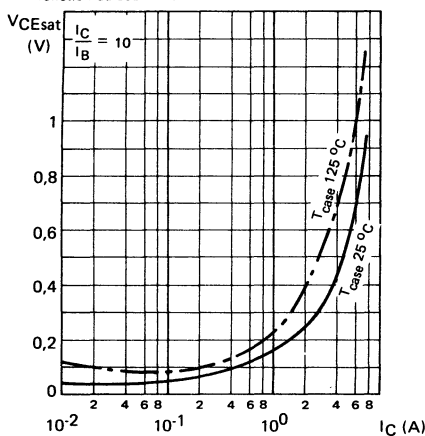


FIGURE 10

BASE-EMITTER SATURATION VOLTAGE VERSUS COLLECTOR CURRENT
Tension de saturation base-émetteur en fonction du courant collecteur

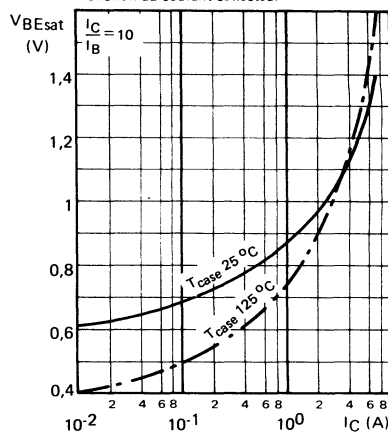


FIGURE 11

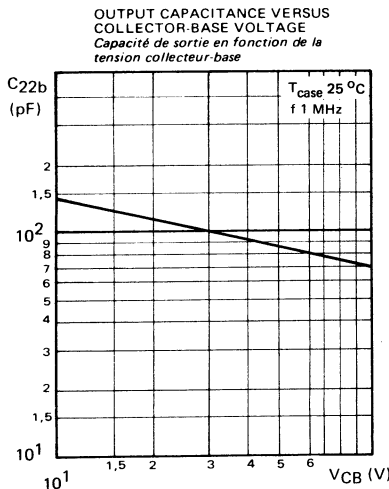


FIGURE 12

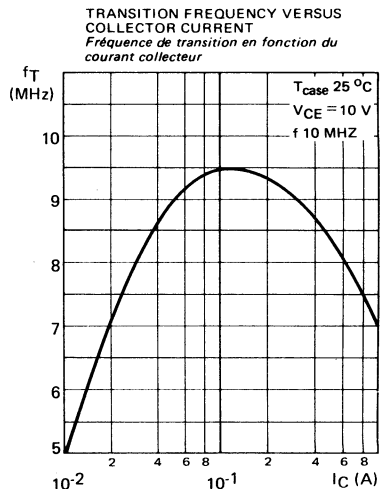


FIGURE 13

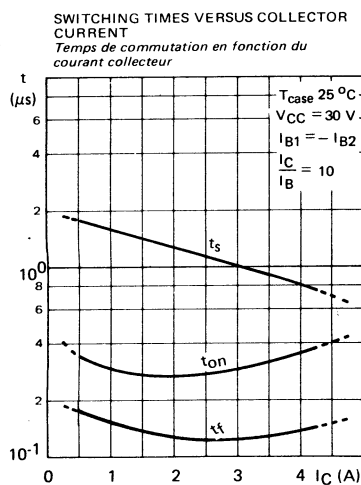
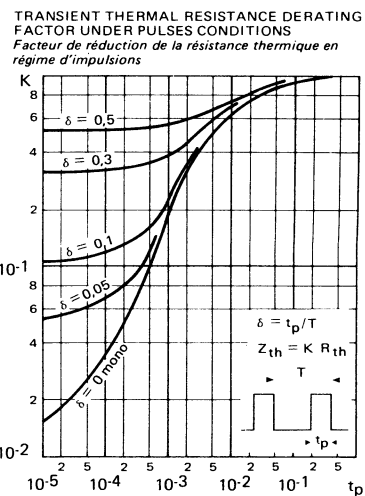


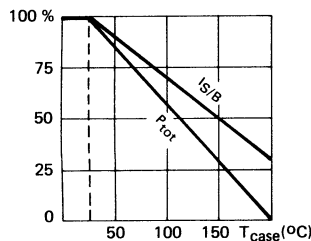
FIGURE 14



Fast switching, low saturation voltage, high pulse current capabilities. Primarily intended as driver for switching applications or as medium power output stages.

Rapidité, faible tension de saturation, possibilités de courant élevé en impulsions. Particulièrement prévu comme driver pour les applications en commutation ou comme étages de sortie moyenne puissance.

| | |
|---------------------------|--|
| V_{CEO} us | 125 V |
| I_{CM} | 7 A |
| P_{tot} | 10 W |
| $R_{th(j-c)}$ | $\leq 17,5 \text{ }^{\circ}\text{C/W}$ |
| $V_{CEsat} (3 \text{ A})$ | $\leq 0,8 \text{ V}$ |
| $t_f (3 \text{ A})$ | $\leq 0,3 \mu\text{s}$ |

Dissipation and I_S/B derating
Variation de dissipation et de I_S/B

Case Boîtier TO 39 (CB 7)

ABSOLUTE RATINGS (LIMITING VALUES)
VALEURS LIMITES ABSOLUES D'UTILISATION

| | | | |
|---|--------------------|-------------------|--------------------|
| Collector-base voltage <i>Tension collecteur-base</i> | V_{CBO} | 200 | V |
| Collector-emitter voltage <i>Tension collecteur-émetteur</i> | V_{CEO} | 125 | V |
| Collector-emitter voltage <i>Tension collecteur-émetteur</i> | V_{CER} | 180 | V |
| Collector-emitter voltage <i>Tension collecteur-émetteur</i> | V_{CEX} | 200 | V |
| Emitter-base voltage <i>Tension émetteur-base</i> | V_{EBO} | 7 | V |
| Collector current <i>Courant collecteur</i> | I_C I_{CM} | 3,5 7 | A |
| Base current <i>Courant base</i> | I_B | 0,7 | A |
| Power dissipation <i>Dissipation de puissance</i> | P_{tot} | 10 | W |
| Storage and junction temperature <i>Température de jonction et de stockage</i> | t_j T_{stg} | 200 - 65 + 200 | $^{\circ}\text{C}$ |

| | | | | |
|--|-----|---------------|------|----------------------|
| Junction-case thermal resistance <i>Résistance thermique jonction boîtier</i> | max | $R_{th(j-c)}$ | 17,5 | $^{\circ}\text{C/W}$ |
|--|-----|---------------|------|----------------------|

| | | $T_{case} = 25^\circ\text{C}$ | (Unless otherwise stated) | | | | |
|--|--|---|---------------------------|------|-----|--------|---|
| | | (Sauf indications contraires) | | | | | |
| | | Test conditions <i>Conditions de mesure</i> | | min | typ | max | |
| Collector-emitter cut-off current <i>Courant résiduel collecteur-émetteur</i> | | $I_B = 0$ $V_{CE} = 100 \text{ V}$ | I_{CEO} | | | 0,5 mA | |
| Collector-emitter cut-off current <i>Courant résiduel collecteur-émetteur</i> | | $V_{BE} = -1,5 \text{ V}$ $V_{CE} = 160 \text{ V}$ | I_{CEX} | | | 0,1 mA | |
| | | $V_{BE} = -1,5 \text{ V}$ $V_{CE} = 160 \text{ V}$ $T_{case} = 125^\circ\text{C}$ | I_{CEX} | | | 0,5 mA | |
| Emitter-base cut-off current <i>Courant résiduel émetteur-base</i> | | $I_C = 0$ $V_{EB} = 5 \text{ V}$ | I_{EBO} | | | 0,5 mA | |
| Collector-emitter breakdown voltage <i>Tension de claquage collecteur-émetteur</i> Figure 1 | | $I_B = 0$ $L = 25 \text{ mH}$ $I_C = 200 \text{ mA}$ | V_{CEOus} | 125 | | V | |
| Emitter-base breakdown voltage <i>Tension de claquage émetteur-base</i> | | $I_C = 0$ $I_E = 5 \text{ mA}$ | $V_{(BR)EBO}$ | 7 | | V | |
| Static forward current transfert ratio <i>Valeur statique du rapport de transfert direct du courant</i> | | $V_{CE} = 4 \text{ V}$ $I_C = 1,5 \text{ A}$ | h_{21E}^* | 20 | | 60 | |
| | | $V_{CE} = 4 \text{ V}$ $I_C = 3 \text{ A}$ | | 10 | | | |
| Collector-emitter saturation voltage <i>Tension de saturation collecteur-émetteur</i> | | $I_C = 1,5 \text{ A}$ $I_B = 0,15 \text{ A}$ | V_{CEsat}^* | | 0,2 | 0,5 | |
| | | $I_C = 3 \text{ A}$ $I_B = 0,3 \text{ A}$ | | | 0,3 | 0,8 | |
| Base-emitter saturation voltage <i>Tension de saturation base-émetteur</i> | | $I_C = 3 \text{ A}$ $I_B = 0,3 \text{ A}$ | V_{BEsat}^* | | 1 | 1,3 | V |
| Second breakdown collector-current <i>Courant collecteur de second claquage</i> | | $V_{CE} = 40 \text{ V}$ $t = 1 \text{ s}$ | $I_{S/B}$ | 0,25 | | | A |

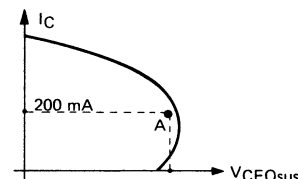
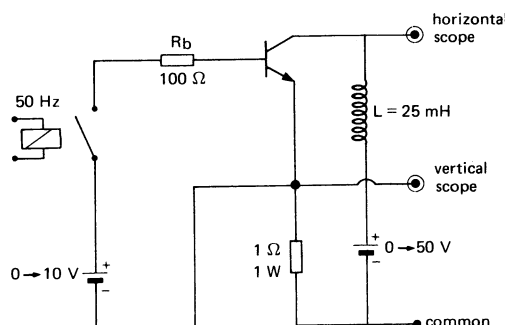
* Pulsed $t_p = 300 \mu\text{s}$ $\delta \leq 1\%$
Impulsions

DYNAMIC CHARACTERISTICS (for small signals)
CARACTÉRISTIQUES DYNAMIQUES (pour petits signaux)

T_{case} = 25 °C

| | Test conditions <i>Conditions de mesure</i> | | min | typ | max | |
|---|---|---------------------------------|-----|------|-----|-----|
| Transition frequency <i>Fréquence de transition</i> | V _{CE} = 10 V I _C = 0,5 A f = 10 MHz | f _T | 8 | | | MHz |
| Turn-on time <i>Temps total d'établissement</i> | Figure 2 I _C = 3 A I _B = 0,3 A | t _d + t _r | | 0,45 | 0,8 | μs |
| Fall time <i>Temps de décroissance</i> | Figure 2 I _C = 3 A I _{B1} = 0,3 A I _{B2} = -0,3 A | t _f | | 0,15 | 0,3 | μs |
| Carrier storage time <i>Retard à la décroissance</i> | Figure 2 I _C = 3 A I _{B1} = 0,3 A I _{B2} = -0,3 A | t _s | | 0,6 | 2 | μs |

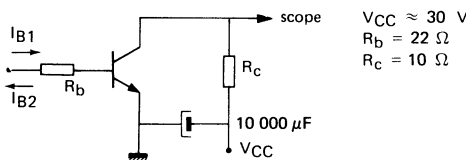
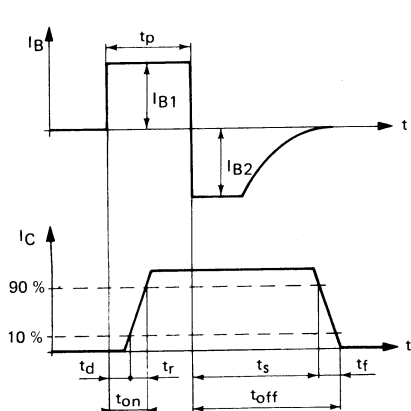
FIGURE 1 - V_{CEOsus} test circuit (and oscillogram)
Circuit de mesure de V_{CEOsus} et oscillogramme



The sustaining voltage V_{CEOsus} is acceptable when the trace falls to the right and above point A.

La tension V_{CEOsus} est acceptable lorsque la trace passe au delà du point A.

FIGURE 2 - Switching times test circuit (and oscillograms)
Circuit de mesure des temps de commutation et oscillogrammes



I_{B1} and I_{B2} are measured with TEKTRONIX probe P 6021 and amplifier type 134.

I_{B1} et I_{B2} sont mesurés avec une sonde TEKTRONIX P 6021 et amplificateur type 134.

R_C , R_b : non inductive resistors

t_p : pulse width = 10 μ s
 duty cycle $\leq 1\%$

rise and fall times ≤ 50 ns

R_C , R_b : résistances non inductives

t_p : largeur d'impulsion = 10 μ s
 facteur de forme $\leq 1\%$

temps de montée et de descente ≤ 50 ns

SAFE OPERATING AREA
AIRE DE SECURITE

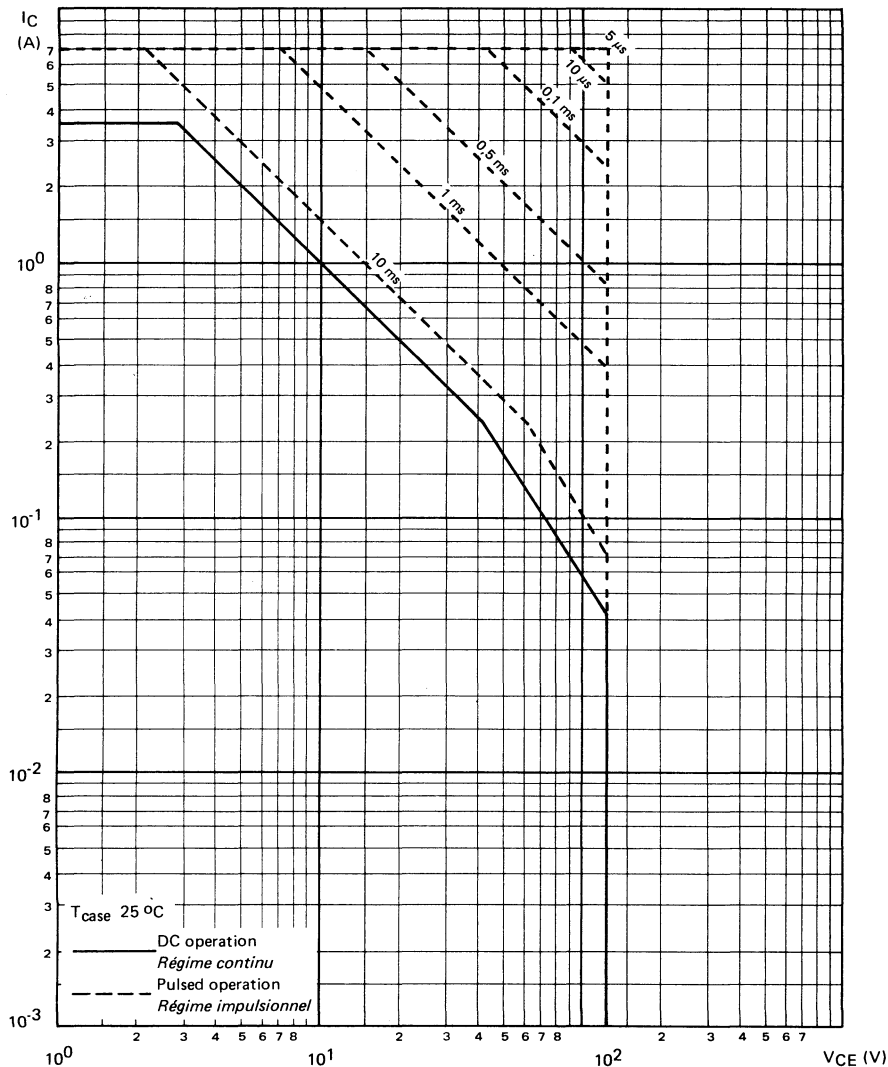


FIGURE 3

COLLECTOR CURRENT VERSUS COLLECTOR-EMITTER VOLTAGE
Courant collecteur en fonction de la tension collecteur-émetteur

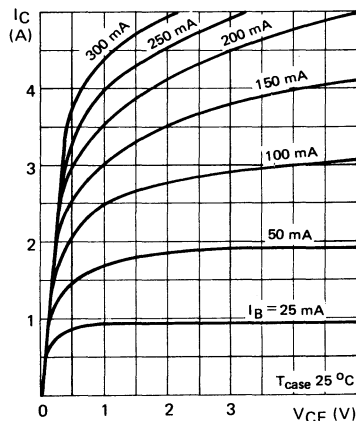


FIGURE 5

COLLECTOR EMMITTER VOLTAGE VERSUS BASE-EMITTER RESISTANCE
Tension collecteur-émetteur en fonction de la résistance base-émetteur

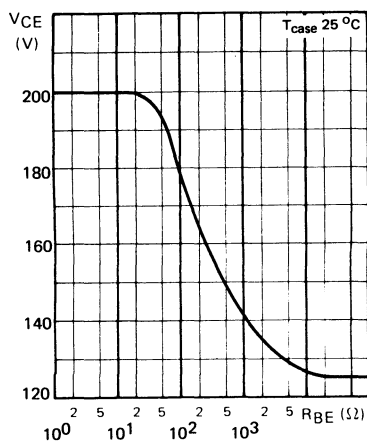


FIGURE 4

COLLECTOR CURRENT VERSUS COLLECTOR-EMITTER VOLTAGE
Courant collecteur en fonction de la tension collecteur-émetteur

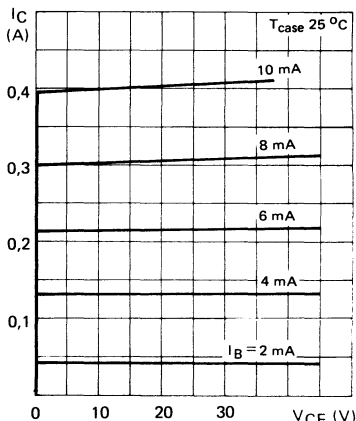


FIGURE 6

STATIC FORWARD CURRENT TRANSFER RATIO VERSUS COLLECTOR CURRENT
Valeur statique du rapport de transfert direct du courant en fonction du courant collecteur

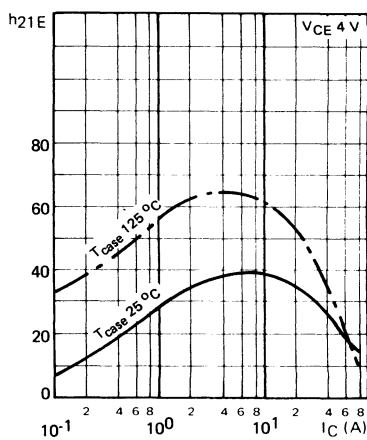
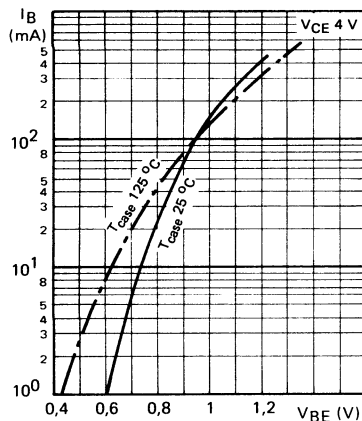
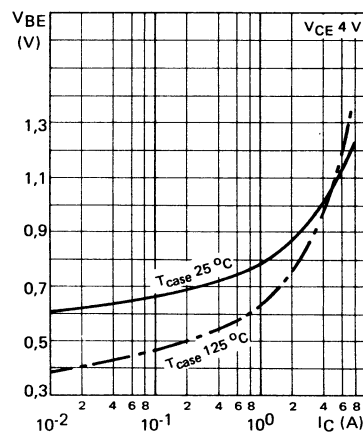


FIGURE 7

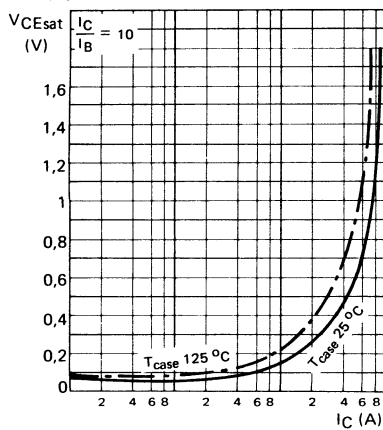
BASE CURRENT VERSUS BASE-EMITTER VOLTAGE
Courant base en fonction de la tension base-émetteur

**FIGURE 8**

BASE-EMITTER VOLTAGE VERSUS COLLECTOR CURRENT
Tension base-émetteur en fonction du courant collecteur

**FIGURE 9**

COLLECTOR-EMITTER SATURATION VOLTAGE VERSUS COLLECTOR CURRENT
Tension de saturation collecteur-émetteur en fonction du courant collecteur

**FIGURE 10**

BASE-EMITTER SATURATION VOLTAGE VERSUS COLLECTOR CURRENT
Tension de saturation base-émetteur en fonction du courant collecteur

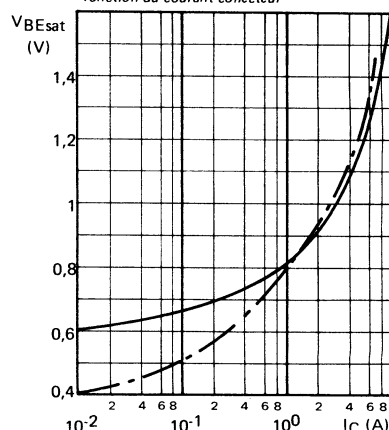


FIGURE 11

OUTPUT CAPACITANCE VERSUS
COLLECTOR-BASE VOLTAGE
*Capacité de sortie en fonction de la
tension collecteur-base*

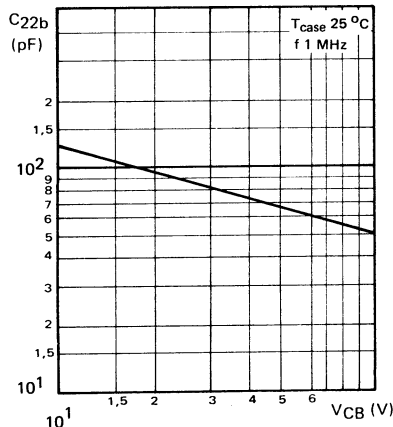


FIGURE 12

TRANSITION FREQUENCY VERSUS
COLLECTOR CURRENT
*Fréquence de transition en fonction du
courant collecteur*

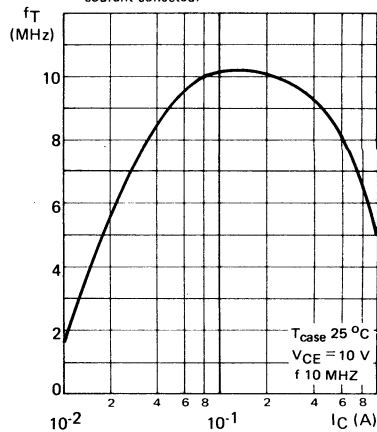


FIGURE 13

SWITCHING TIMES VERSUS COLLECTOR
CURRENT
*Temps de commutation en fonction du
courant collecteur*

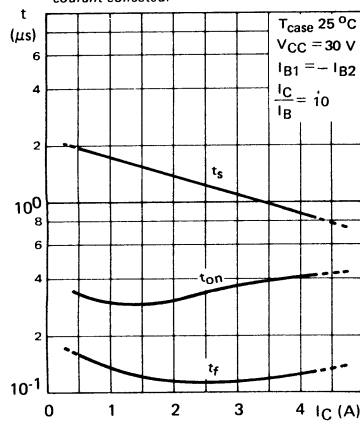
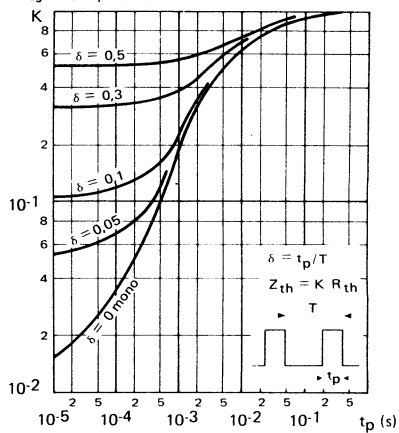


FIGURE 14

TRANSIENT THERMAL RESISTANCE DERATING
FACTOR UNDER PULSES CONDITIONS
*Facteur de réduction de la résistance thermique en
régime d'impulsions*



SUPERSWITCH

NPN SILICON TRANSISTOR
TRANSISTOR NPN SILICIUM

ADVANCE INFORMATION

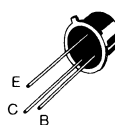
SWITCHING TRANSISTOR

- Fast switching
 - Low saturation voltage
 - High pulse current capabilities
- Primarily intended as driver for switching applications or as medium power output stages.

V_{CCEOus} 200 V**I_C** 3,5 A**P_{tot}** 10 W**t_f max** 500 ns

TRANSISTOR DE COMMUTATION

- Rapide
 - Faible tension de saturation
 - Possibilités de courant élevé en impulsions
- Particulièrement prévu comme driver pour les applications en commutation ou comme étages de sortie moyenne puissance.

Case
Boîtier TO-39 (CB-7)Collector is connected to case
Le collecteur est relié au boîtier

ABSOLUTE RATINGS (LIMITING VALUES)

VALEURS LIMITES ABSOLUES D'UTILISATION

T_{case} = 25 °C (Unless otherwise stated)
(Sauf indication contraire)

| | | | |
|---|--|-------------|----|
| Collector-emitter voltage <i>Tension collecteur-émetteur</i> | V _{CEO} | 200 | V |
| Collector-emitter voltage <i>Tension collecteur-émetteur</i> | V _{CEV} | 300 | V |
| Emitter-base voltage <i>Tension émetteur-base</i> | V _{EBO} | 7 | V |
| Collector current <i>Courant collecteur</i> | I _{C(RMS)} I _{CM} | 3,5 5 | A |
| Base current <i>Courant de base</i> | I _B | 0,7 | A |
| Power dissipation <i>Dissipation de puissance</i> | P _{tot} | 10 | W |
| Junction temperature <i>Température de jonction</i> | T _j | - 65, + 150 | °C |

| | | | |
|--|----------------------|------|------|
| Junction-ambient thermal resistance <i>Résistance thermique jonction-ambiente</i> | R _{th(j-a)} | 175 | °C/W |
| Junction-case thermal resistance <i>Résistance thermique jonction-boîtier</i> | R _{th(j-c)} | 17,5 | |

STATIC CHARACTERISTICS
CARACTÉRISTIQUES STATIQUES
T_{case} = 25 °C(Unless otherwise stated)
(Sauf indications contraires)

| | Test conditions Conditions de mesure | | min | typ | max |
|--|---|----------------------|------|------|--------|
| Collector-emitter cut-off current <i>Courant résiduel collecteur-émetteur</i> | I _B = 0 V _{CE} = 160 V | I _{CEO} | | | 0,5 mA |
| Collector-emitter cut-off current <i>Courant résiduel collecteur-émetteur</i> | V _{BE} = -1,5 V V _{CE} = 250 V | I _{CEX} | | | 0,1 mA |
| | V _{BE} = -1,5 V V _{CE} = 250 V T _{case} = 125 °C | I _{CEX} | | | 0,5 mA |
| Emitter-base cut-off current <i>Courant résiduel émetteur-base</i> | I _C = 0 V _{EB} = 5 V | I _{EBO} | | | 0,5 mA |
| Collector-emitter breakdown voltage <i>Tension de claquage collecteur-émetteur</i> Figure 1 | I _B = 0 L = 25 mH I _C = 200 mA | V _{CEOsus} | 200 | | V |
| Emitter-base breakdown voltage <i>Tension de claquage émetteur-base</i> | I _C = 0 I _E = 5 mA | V _{(BR)EBO} | 7 | | V |
| Static forward current transfert ratio <i>Valeur statique du rapport de transfert direct du courant</i> | V _{CE} = 4 V I _C = 1 A | h _{21E} * | 20 | | 60 |
| | V _{CE} = 4 V I _C = 2 A | h _{21E} * | 10 | | |
| Collector-emitter saturation voltage <i>Tension de saturation collecteur-émetteur</i> | I _C = 1 A I _B = 0,1 A | V _{CEsat} * | | 0,15 | 0,5 V |
| | I _C = 2 A I _B = 0,2 A | V _{CEsat} * | | 0,3 | 1 V |
| Base-emitter saturation voltage <i>Tension de saturation base-émetteur</i> | I _C = 2 A I _B = 0,2 A | V _{BEsat} * | | 0,9 | 1,3 V |
| Second breakdown collector-current <i>Courant collecteur de seocnd claquage</i> | V _{CE} = 40 V t = 1 s | I _{S/B} | 0,25 | | A |

* Pulsed
Impulsions t_p = 300 µs δ ≤ 1 %

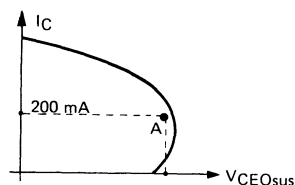
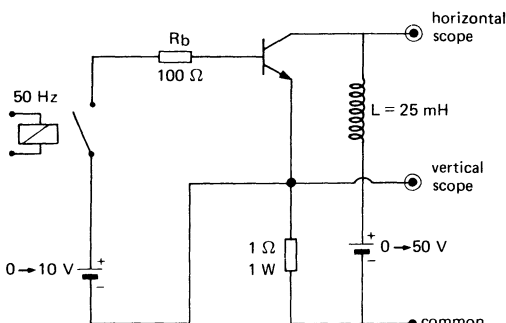
DYNAMIC CHARACTERISTICS
CARACTÉRISTIQUES DYNAMIQUES
T_{case} = 25 °C

| | Test conditions <i>Conditions de mesure</i> | | min | typ | max | |
|---|---|---------------------------------|-----|------|-----|-----|
| Transition frequency <i>Fréquence de transition</i> | V _{CE} = 10 V I _C = 0,5 A f = 10 MHz | f _T | 8 | | | MHz |
| Turn-on time <i>Temps total d'établissement</i> | I _C = 2 A I _B = 0,2 A | t _d + t _r | | 0,45 | 0,8 | μs |
| Fall time <i>Temps de décroissance</i> | I _C = 2 A I _{B1} = 0,2 A I _{B2} = -0,2 A | t _f | | 0,2 | 0,5 | μs |
| Carrier storage time <i>Retard à la décroissance</i> | I _C = 2 A I _{B1} = 0,2 A I _{B2} = -0,2 A | t _s | | 1,2 | 2,5 | μs |

THERMAL CHARACTERISTICS
CARACTÉRISTIQUES THERMIQUES

| | | | | | |
|--|--|----------------------|--|------|------|
| Junction case thermal resistance <i>Résistance thermique jonction boîtier</i> | | R _{th(j-c)} | | 17,5 | °C/W |
| Junction ambient thermal resistance <i>Résistance thermique jonction ambiante</i> | | R _{th(j-a)} | | 175 | °C/W |

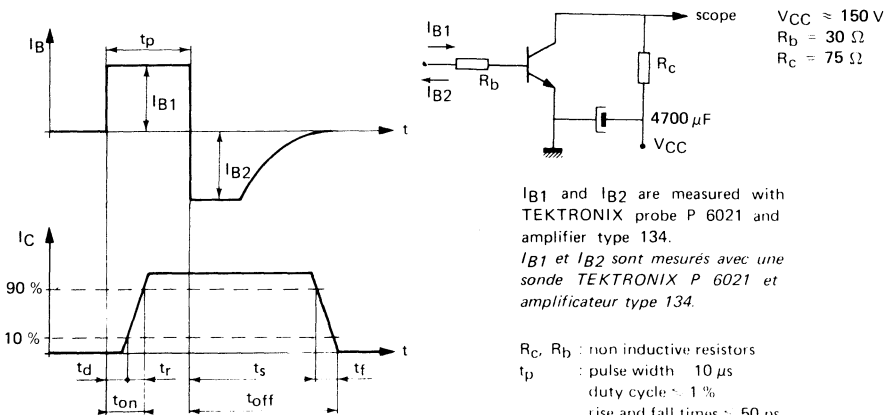
FIGURE 1 - V_{CEOsus} test circuit (and oscillogram)
Circuit de mesure de V_{CEOsus} et oscillogramme



The sustaining voltage V_{CEOsus} is acceptable when the trace falls to the right and above point A.

La tension V_{CEOsus} est acceptable lorsque la trace passe au delà du point A.

FIGURE 2 - Switching times test circuit (and oscillograms)
Circuit de mesure des temps de commutation et oscillogrammes



I_{B1} and I_{B2} are measured with TEKTRONIX probe P 6021 and amplifier type 134.

I_{B1} et I_{B2} sont mesurés avec une sonde TEKTRONIX P 6021 et amplificateur type 134.

R_c , R_b : non inductive resistors

t_p : pulse width $10 \mu\text{s}$

duty cycle $\approx 1 \%$

rise and fall times $\approx 50 \text{ ns}$

R_c , R_b : résistances non inductives

t_p : largeur d'impulsion $10 \mu\text{s}$

facteur de forme $\approx 1 \%$

temps de montée et de descente $\approx 50 \text{ ns}$

SAFE OPERATING AREA
AIRE DE SECURITE

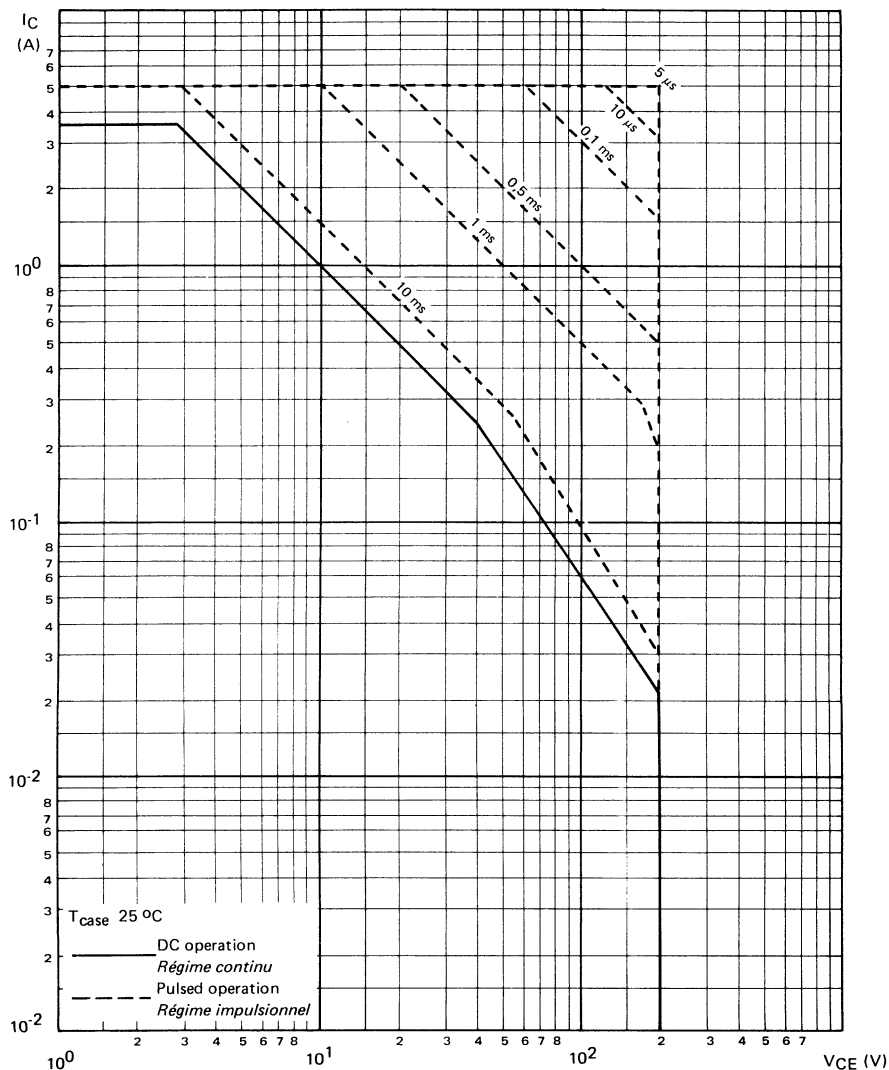


FIGURE 3

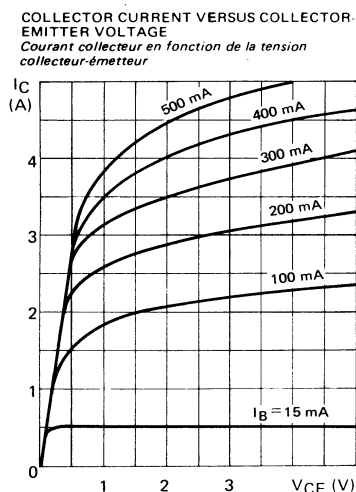


FIGURE 4

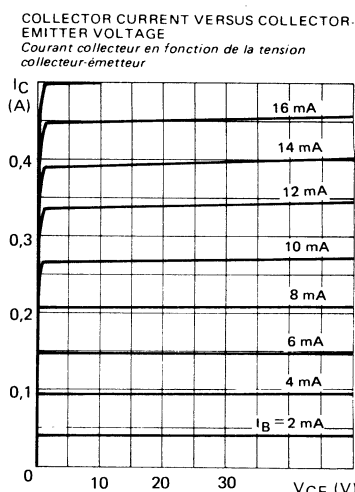


FIGURE 5

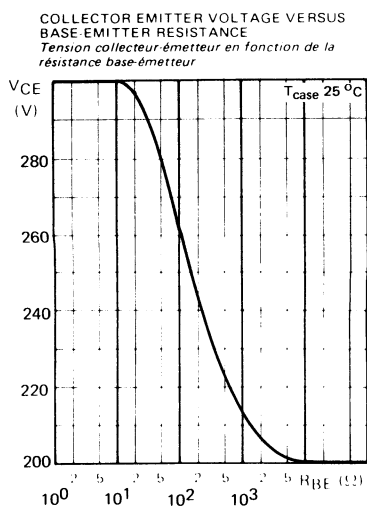


FIGURE 6

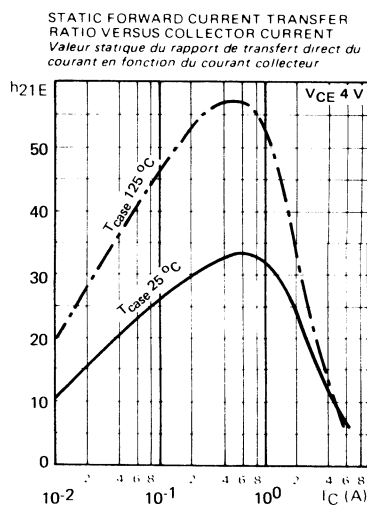


FIGURE 7

BASE CURRENT VERSUS BASE-EMITTER VOLTAGE
Courant base en fonction de la tension base-émetteur

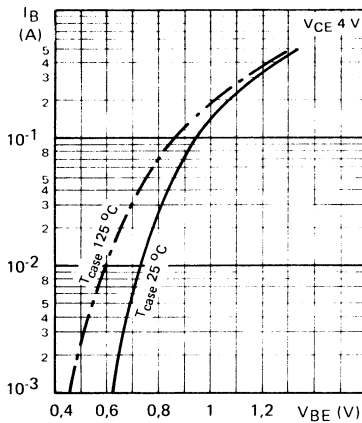


FIGURE 9

COLLECTOR-EMITTER SATURATION VOLTAGE VERSUS COLLECTOR CURRENT
Tension de saturation collecteur-émetteur en fonction du courant collecteur

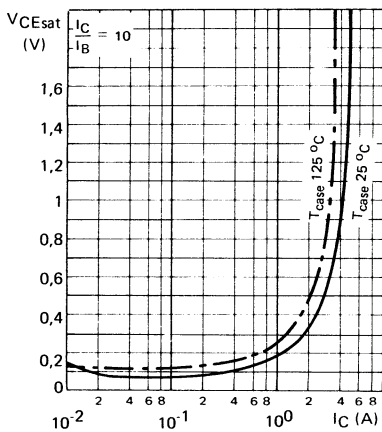


FIGURE 8

BASE-EMITTER VOLTAGE VERSUS COLLECTOR CURRENT
Tension base-émetteur en fonction du courant collecteur

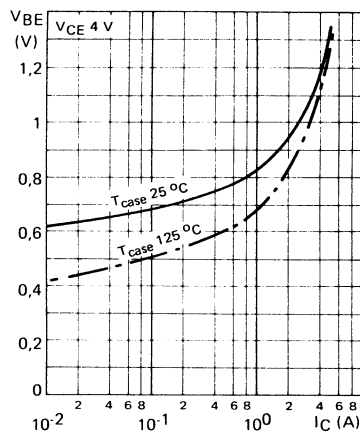
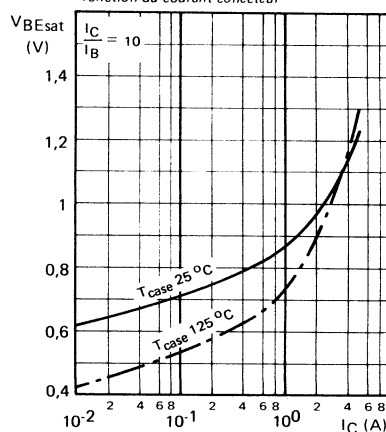


FIGURE 10

BASE-EMITTER SATURATION VOLTAGE VERSUS COLLECTOR CURRENT
Tension de saturation base-émetteur en fonction du courant collecteur



BUX 51

FIGURE 11

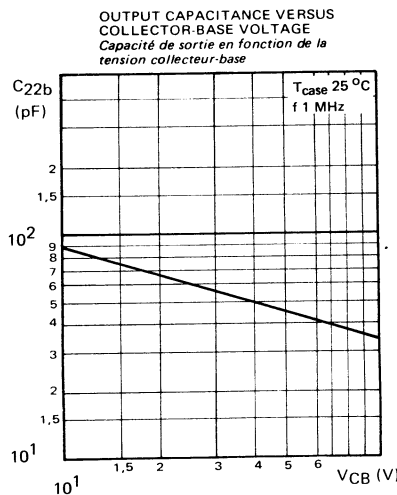


FIGURE 12

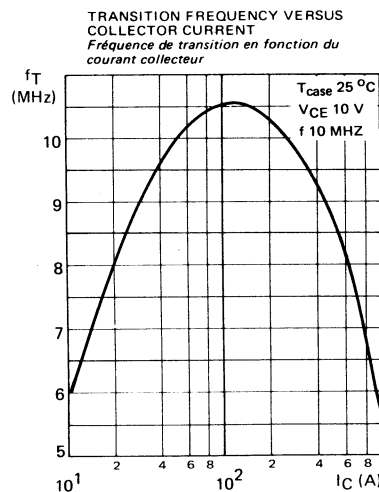


FIGURE 13

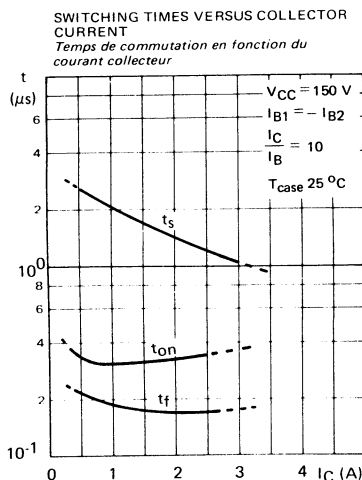
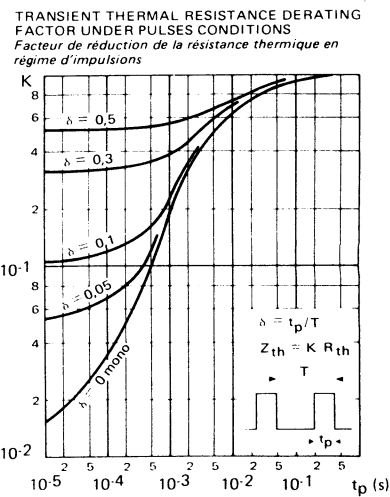


FIGURE 14

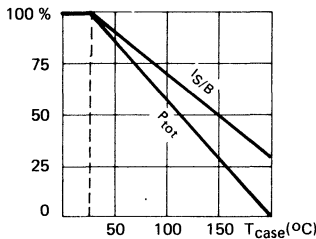


Fast switching, low saturation voltage, high voltage. Primarily intended as driver for switching applications or as medium power output stages.

Rapidité, faible tension de saturation, haute tension. Particulièrement prévu comme driver pour les applications en commutation ou comme étages de sortie moyenne puissance.

| | |
|------------------------------|-------------|
| V _{CEOsus} | 400 V |
| I _{CM} | 2,5 A |
| P _{tot} | 10 W |
| R _{th(j-c)} | ≤ 17,5 °C/W |
| V _{CESat} (1,2 A) | ≤ 1,3 V |
| t _f (1,2 A) | ≤ 1,2 µs |

Dissipation and I_{S/B} derating
Variation de dissipation et de I_{S/B}



Case
Boîtier TO 39 (CB 7)



ABSOLUTE RATINGS (LIMITING VALUES)
VALEURS LIMITES ABSOLUES D'UTILISATION

| | | | |
|---|------------------|------------|----|
| Collector-base voltage <i>Tension collecteur-base</i> | V _{CBO} | 450 | V |
| Collector-emitter voltage <i>Tension collecteur-émetteur</i> | V _{CEO} | 400 | V |
| Collector-emitter voltage <i>Tension collecteur-émetteur</i> | V _{CER} | 420 | V |
| Collector-emitter voltage <i>Tension collecteur-émetteur</i> | V _{CEX} | 450 | V |
| Emitter-base voltage <i>Tension émetteur-base</i> | V _{EBO} | 7 | V |
| Collector current <i>Courant collecteur</i> | I _C | 2 | A |
| Collector current <i>Courant collecteur</i> | I _{CM} | 2,5 | A |
| Base current <i>Courant base</i> | I _B | 0,4 | A |
| Power dissipation <i>Dissipation de puissance</i> | P _{tot} | 10 | W |
| Storage and junction temperature <i>Température de jonction et de stockage</i> | T _j | 200 | °C |
| | T _{stg} | - 65 + 200 | °C |

| | | | | |
|--|-----|----------------------|------|------|
| Junction-case thermal resistance <i>Résistance thermique jonction boîtier</i> | max | R _{th(j-c)} | 17,5 | °C/W |
|--|-----|----------------------|------|------|

| STATIC CHARACTERISTICS CARACTÉRISTIQUES STATIQUES | | $T_{case} = 25^\circ\text{C}$ | (Unless otherwise stated) (Sauf indications contraires) | | |
|--|---|---|--|------|-----|
| | | Test conditions Conditions de mesure | min | typ | max |
| Collector-emitter cut-off current <i>Courant résiduel collecteur-émetteur</i> | $I_B = 0$ $V_{CE} = 320 \text{ V}$ | I_{CEO} | | 0,5 | mA |
| Collector-emitter cut-off current <i>Courant résiduel collecteur-émetteur</i> | $V_{BE} = -1,5 \text{ V}$ $V_{CE} = 450 \text{ V}$ | I_{CEX} | | 0,1 | mA |
| Collector-emitter cut-off current <i>Courant résiduel collecteur-émetteur</i> | $V_{BE} = -1,5 \text{ V}$ $V_{CE} = 450 \text{ V}$ $T_{case} = 125^\circ\text{C}$ | I_{CEX} | | 0,5 | mA |
| Emitter-base cut-off current <i>Courant résiduel émetteur-base</i> | $I_C = 0$ $V_{EB} = 5 \text{ V}$ | I_{EBO} | | 0,5 | mA |
| Collector-emitter breakdown voltage <i>Tension de claquage collecteur-émetteur</i> Figure 1 | $I_B = 0$ $L = 25 \text{ mH}$ $I_C = 200 \text{ mA}$ | V_{CEOus} | 400 | | V |
| Emitter-base breakdown voltage <i>Tension de claquage émetteur-base</i> | $I_C = 0$ $I_E = 5 \text{ mA}$ | $V_{(BR)EBO}$ | 7 | | V |
| Static forward current transfert ratio <i>Valeur statique du rapport de transfert direct du courant</i> | $V_{CE} = 4 \text{ V}$ $I_C = 0,6 \text{ A}$ | h_{21E}^* | 20 | 60 | |
| Static forward current transfert ratio <i>Valeur statique du rapport de transfert direct du courant</i> | $V_{CE} = 4 \text{ V}$ $I_C = 1,2 \text{ A}$ | h_{21E}^* | 10 | | |
| Collector-emitter breakdown voltage <i>Tension de claquage collecteur-émetteur</i> | $I_C = 0,6 \text{ A}$ $I_C = 0,06 \text{ A}$ | V_{CEsat}^* | | 0,25 | 0,5 |
| Collector-emitter breakdown voltage <i>Tension de claquage collecteur-émetteur</i> | $I_C = 1,2 \text{ A}$ $I_B = 0,15 \text{ A}$ | V_{CEsat}^* | | 0,65 | 1,3 |
| Base-emitter saturation voltage <i>Tension de saturation base-émetteur</i> | $I_C = 1,2 \text{ A}$ $I_B = 0,15 \text{ A}$ | V_{BEsat}^* | | 1,1 | 1,5 |
| Second breakdown collector-current <i>Courant collecteur de second claquage</i> | $V_{CE} = 40 \text{ V}$ $t = 1 \text{ s}$ | $I_{S/B}$ | 0,25 | | A |

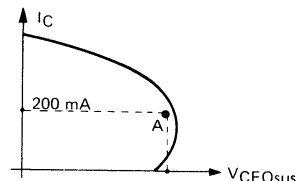
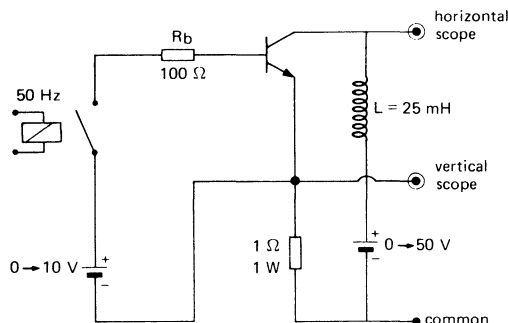
* Pulsed
Impulsions $t_p = 300 \mu\text{s}$ $\delta \leqslant 1\%$

DYNAMIC CHARACTERISTICS (for small signals)
CARACTÉRISTIQUES DYNAMIQUES (pour petits signaux)

$T_{case} = 25^\circ C$

| | Test conditions <i>Conditions de mesure</i> | | min | typ | max | |
|---|--|-------------|-----|-----|-----|---------|
| Transition frequency <i>Fréquence de transition</i> | $V_{CE} = 10 V$ $I_C = 0,5 A$ $f = 10 MHz$ | f_T | 8 | | | MHz |
| Turn-on time <i>Temps total d'établissement</i> | Figure 2 $I_C = 1,2 A$ $I_B = 0,15 A$ | $t_d + t_r$ | | 0,4 | 1 | μs |
| Fall time <i>Temps de décroissance</i> | Figure 2 $I_C = 1,2 A$ $I_{B1} = 0,15 A$ $I_{B2} = -0,15 A$ | t_f | | 0,5 | 1,2 | μs |
| Carrier storage time <i>Retard à la décroissance</i> | Figure 2 $I_C = 1,2 A$ $I_{B1} = 0,15 A$ $I_{B2} = -0,15 A$ | t_s | | 2 | 3,5 | μs |

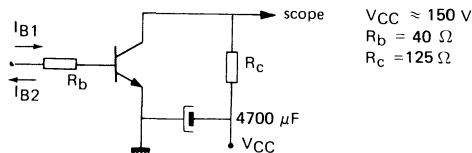
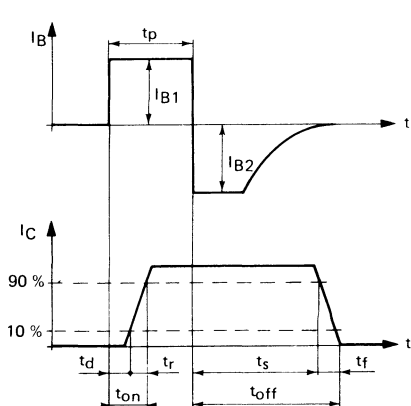
FIGURE 1 - V_{CEOsus} test circuit (and oscillogram)
Circuit de mesure de V_{CEOsus} et oscillogramme



The sustaining voltage V_{CEO} is acceptable when the trace falls to the right and above point A_1 .

La tension V_{CEO} est acceptable lorsque la trace passe au delà du point A_1 .

FIGURE 2 - Switching times test circuit (and oscillograms)
Circuit de mesure des temps de commutation et oscillogrammes



I_{B1} and I_{B2} are measured with TEKTRONIX probe P 6021 and amplifier type 134.

I_{B1} et I_{B2} sont mesurés avec une sonde TEKTRONIX P 6021 et amplificateur type 134.

R_c , R_b : non inductive resistors

t_p : pulse width = 10 μ s
duty cycle $\leq 1\%$

rise and fall times ≤ 50 ns

R_c , R_b : résistances non inductives
 t_p : largeur d'impulsion = 10 μ s
facteur de forme $\leq 1\%$

temps de montée et de descente ≤ 50 ns

SAFE OPERATING AREA
AIRE DE SECURITE

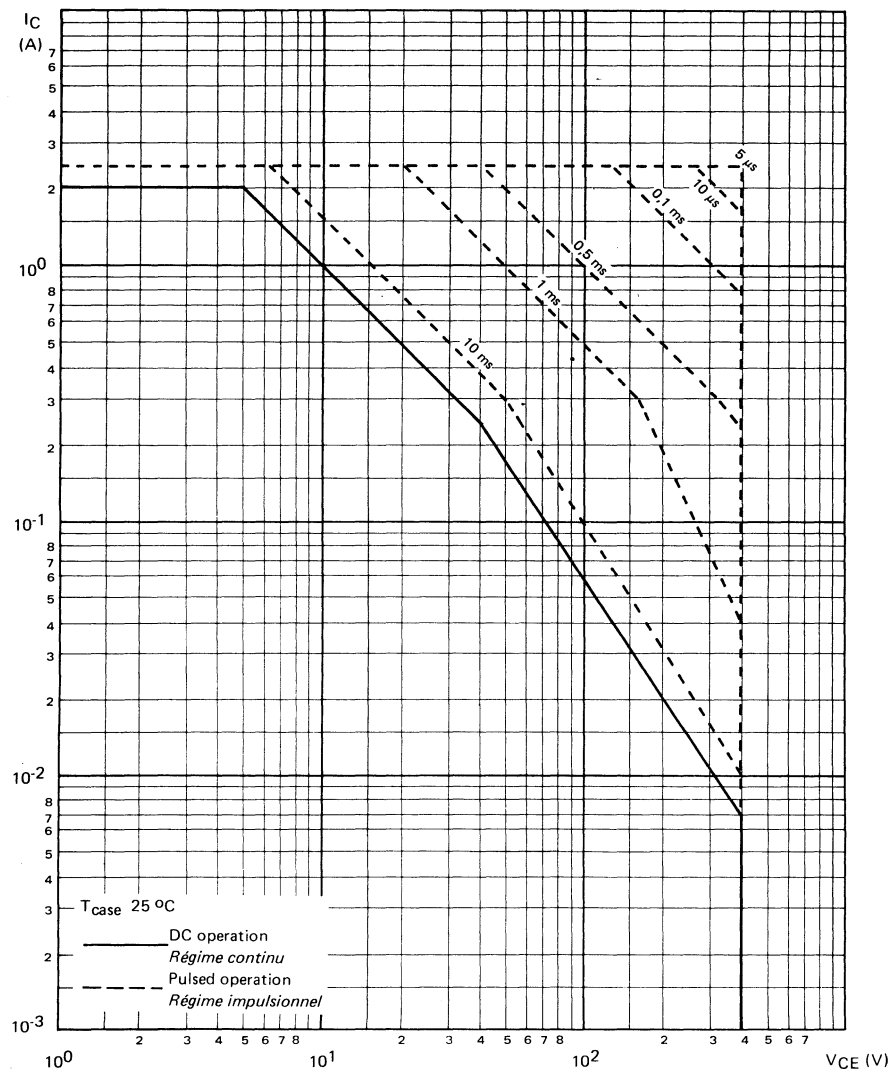


FIGURE 3

COLLECTOR CURRENT VERSUS COLLECTOR-EMITTER VOLTAGE
Courant collecteur en fonction de la tension collecteur-émetteur

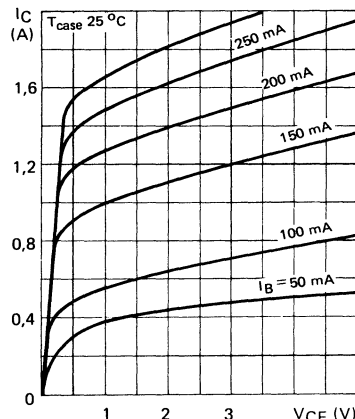


FIGURE 4

COLLECTOR CURRENT VERSUS COLLECTOR-EMITTER VOLTAGE
Courant collecteur en fonction de la tension collecteur-émetteur

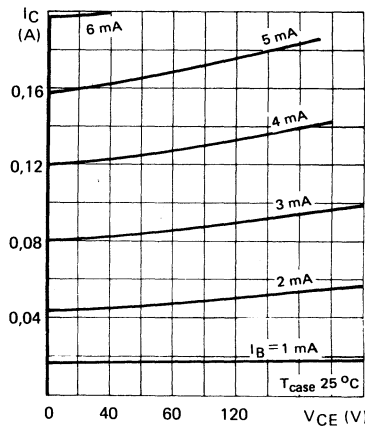


FIGURE 5

COLLECTOR Emitter VOLTAGE VERSUS BASE-EMITTER RESISTANCE
Tension collecteur-émetteur en fonction de la résistance base-émetteur

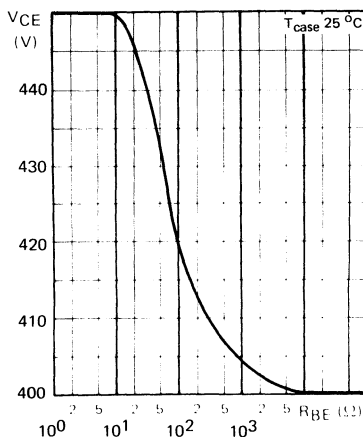


FIGURE 6

STATIC FORWARD CURRENT TRANSFER RATIO VERSUS COLLECTOR CURRENT
Valeur statique du rapport de transfert direct du courant en fonction du courant collecteur

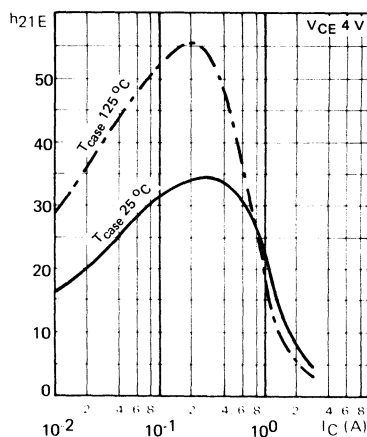


FIGURE 7

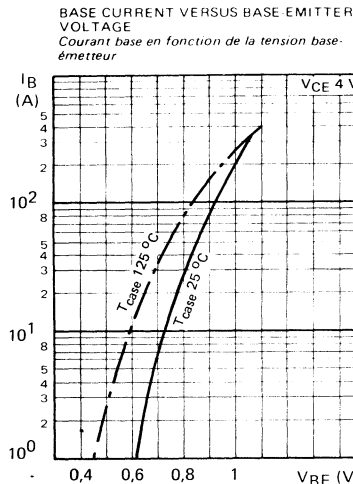


FIGURE 8

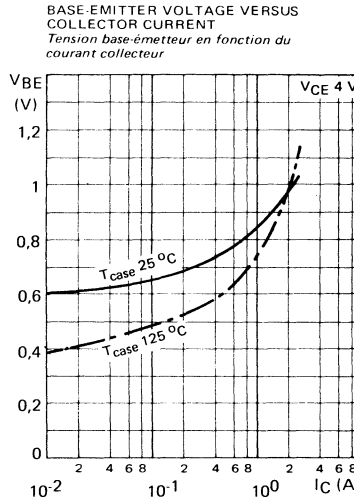


FIGURE 9

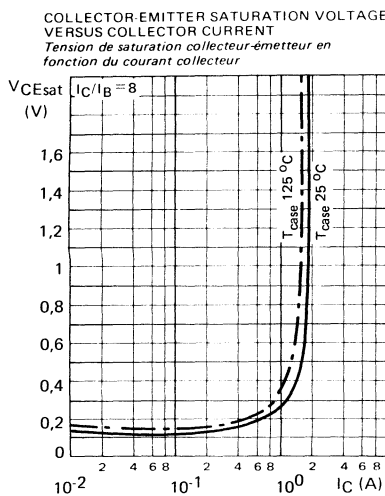
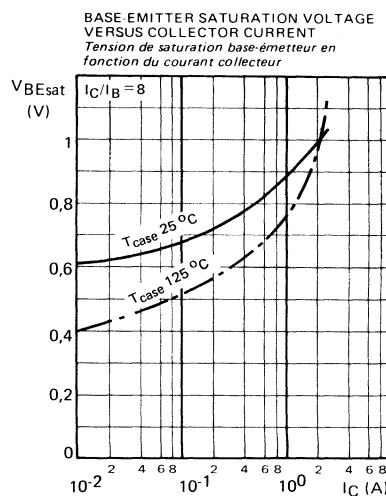


FIGURE 10



BUX 54

FIGURE 11

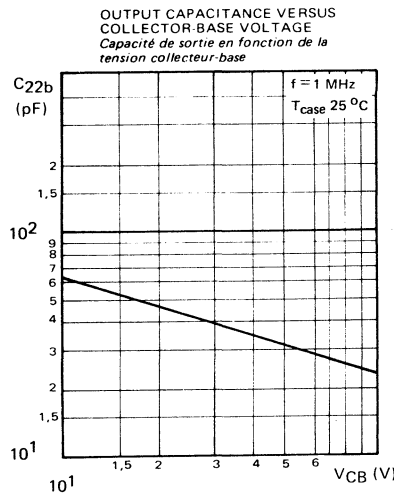


FIGURE 12

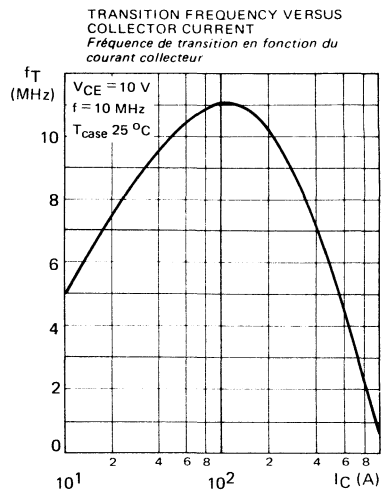


FIGURE 13

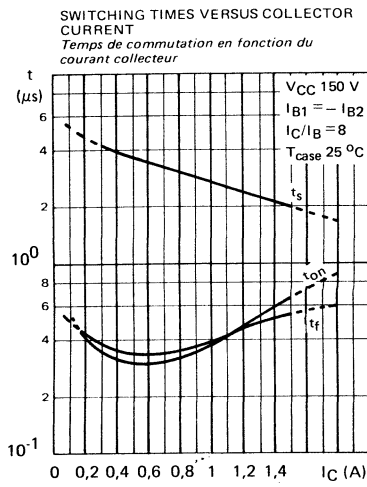
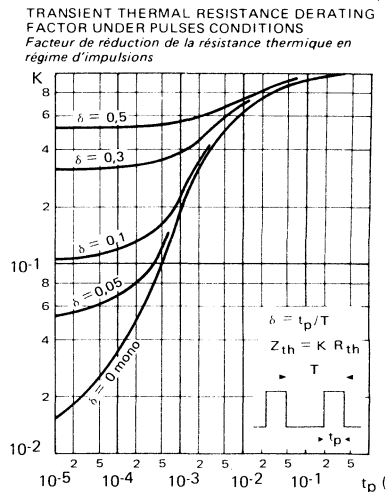


FIGURE 14



BUX 80 - BUX 81

NPN HIGH-VOLTAGE POWER TRANSISTORS
TRANSISTORS DE PUISSANCE NPN HAUTE TENSION

ADVANCE INFORMATION

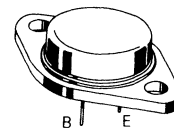
HIGH-VOLTAGE, HIGH SPEED, SWITCHING POWER TRANSISTORS SUITED FOR USE ON THE 220 V MAINS

APPLICATIONS:

- SWITCHMODE POWER SUPPLY
- MOTOR CONTROL
- CONVERTERS

| | BUX 80 | BUX 81 |
|------------------------|--------|--------|
| V _{CEO} (sus) | 400 V | 450 V |
| V _{CES} | 800 V | 1000 V |
| I _{Csat} | 5 A | |
| t _f (typ.) | 300 ns | |

Case
Boîtier : TO-3 (CB-19)



Collector connected to case

ABSOLUTE RATINGS (LIMITING VALUES)

VALEURS LIMITES ABSOLUES D'UTILISATION

T_{case} = 25°C

| | | BUX 80 | BUX 81 | |
|---|-----------------------------------|-------------|--------|----|
| Collector-emitter voltage <i>Tension collecteur-émetteur</i> | V _{CEO} | 400 | 450 | V |
| Collector-emitter voltage <i>Tension collecteur-émetteur</i> V _{BE} = 0 V | V _{CES} | 800 | 1000 | V |
| Collector-emitter voltage <i>Tension collecteur-émetteur</i> | V _{CER} | 500 | | V |
| Emitter-base voltage <i>Tension émetteur-base</i> | V _{EBO} | 10 | | V |
| Collector current <i>Courant collecteur</i> t _p 2 ms, δ ≤ 10 % | I _C I _{CM} | 10 15 | | A |
| Base current <i>Courant base</i> t _p 2 ms, δ ≤ 10 % | I _B I _{BM} | 4 6 | | A |
| Power dissipation <i>Dissipation de puissance</i> T _{case} = 40°C | P _{tot} | 100 | | W |
| Junction temperature <i>Température de jonction</i> | T _j | – 65 to 150 | | °C |

Junction-case thermal resistance
Résistance thermique jonction-boîtier max

R_{th} (j-c)

1,1

°C/W

BUX 80 - BUX 81
ELECTRICAL CHARACTERISTICS - CARACTÉRISTIQUES ÉLECTRIQUES **

| SYMBOLS | Min. | Typ. | Max. | UNITS | TEST CONDITIONS - CONDITIONS DE MESURE |
|----------------|-------------|-------------|-------------|--------------|---|
|----------------|-------------|-------------|-------------|--------------|---|

OFF CHARACTERISTICS - CARACTÉRISTIQUES A L'ÉTAT BLOQUÉ

| | | | | | |
|-------------------------|-----|----|--|----|---|
| V _{C EO} (sus) | 400 | | | V | $\left. \begin{array}{l} \text{BUX 80} \\ \text{BUX 81} \end{array} \right\} I_B = 0, I_C = 100 \text{ mA}, L = 25 \text{ mH}$ |
| | 450 | | | | |
| I _{CES} | | 1 | | mA | $\left. \begin{array}{l} V_{CE} = V_{CES}, V_{BE} = 0 \\ T_j = 125^\circ\text{C} \end{array} \right\} V_{CE} = V_{CES}, V_{BE} = 0$ |
| | | 3 | | | |
| I _{EBO} | | 10 | | | V _{EB} = 10 V, I _C = 0 |

ON CHARACTERISTICS - CARACTÉRISTIQUES A L'ÉTAT CONDUCTEUR**

| | | | | |
|----------------------|----|-----|---|---|
| V _{CE} sat* | | 1,5 | V | I _C = 5 A, I _B = 1 A |
| | | 3 | | I _C = 8 A, I _B = 2,5 A |
| V _{BE} sat* | | 1,4 | | I _C = 5 A, I _B = 1 A |
| | | 1,8 | | I _C = 8 A, I _B = 2,5 A |
| h _{21E} * | 30 | | | V _{CE} = 5 V, I _C = 1,2 A |

DYNAMIC CHARACTERISTIC - CARACTÉRISTIQUE DYNAMIQUE

| | | | | |
|----------------|--|---|-----|---|
| f _T | | 6 | MHz | V _{CE} = 10 V, I _C = 0,2 A, f = 1 MHz |
|----------------|--|---|-----|---|

SWITCHING CHARACTERISTICS - CARACTÉRISTIQUES DE COMMUTATION

| | | | | | |
|---|--|------|-----|----|---|
| On resistive load - Sur charge résistive | | | | | |
| t _{on} | | 0,35 | 0,5 | μs | $\left. \begin{array}{l} V_{CC} = 250 \text{ V}, I_C = 5 \text{ A}, \\ I_{B1} = 1 \text{ A}, I_{B2} = -2 \text{ A} \\ t_p = 20 \mu\text{s} \end{array} \right\} T_j = 95^\circ\text{C}$ |
| t _s | | 2,5 | 3,5 | | |
| | | 0,3 | | | |
| t _f | | | 0,8 | | |

*t_p = 300 μs, δ ≤ 2 %

**T_j = 25°C unless otherwise stated.

NPN HIGH-VOLTAGE POWER TRANSISTORS
TRANSISTORS DE PUISSANCE NPN HAUTE TENSION

ADVANCE INFORMATION

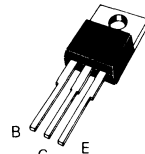
HIGH-VOLTAGE, HIGH SPEED, SWITCHING POWER TRANSISTORS SUITED FOR USE ON THE 220 V MAINS

APPLICATIONS :

- SWITCHMODE POWER SUPPLY
- MOTOR CONTROL
- CONVERTERS

| | BUX 84 | BUX 85 |
|------------------------|--------|--------|
| V _{CEO} (sus) | 400 V | 450 V |
| V _{CES} | 800 V | 1000 V |
| I _{Csat} | 1 A | |
| t _f (typ.) | 400 ns | |

Case Boîtier :TO-220 AB (CB-117)



Collector connected to case

ABSOLUTE RATINGS (LIMITING VALUES)
VALEURS LIMITES ABSOLUES D'UTILISATION

T_{case} = 25°C

| | | BUX 84 | BUX 85 | |
|--|--|-------------|--------|----|
| Collector-emitter voltage Tension collecteur-émetteur | V _{CEO} | 400 | 450 | V |
| Collector-emitter voltage Tension collecteur-émetteur | V _{CES} V _{BE} = 0 V | 800 | 1000 | V |
| Emitter-base voltage Tension émetteur-base | V _{EBO} | 10 | | V |
| Collector current Courant collecteur | I _C t _p 2 ms, δ ≤ 10 % | 2 | 3 | A |
| Base current Courant base | I _B t _p 2 ms, δ ≤ 10 % | 0,75 | 1 | A |
| Power dissipation Dissipation de puissance | P _{tot} T _{case} = 50°C | 40 | | W |
| Junction temperature Température de jonction | T _j | – 65 to 150 | | °C |

Junction-case thermal resistance
Résistance thermique jonction-boîtier max

R_{th} (j-c)

2,5

°C/W

ELECTRICAL CHARACTERISTICS - CARACTÉRISTIQUES ÉLECTRIQUES*

| SYMBOLS | Min. | Typ. | Max. | UNITS | TEST CONDITIONS - CONDITIONS DE MESURE |
|---------|------|------|------|-------|--|
|---------|------|------|------|-------|--|

OFF CHARACTERISTICS - CARACTÉRISTIQUES A L'ÉTAT BLOQUE

| | | | | | |
|-------------------------|-----|-----|--|--|---|
| V _{C EO} (sus) | 400 | | | V mA | BUX 84 } I _B = 0, I _C = 100 mA, L = 25 mH |
| | 450 | | | | BUX 85 } |
| I _{C ES} | | 0,2 | | T _j = 125°C } V _{CE} = V _{C ES} , V _{BE} = 0 | |
| | | 1,5 | | | |
| I _{E BO} | | 1 | | | V _{EB} = 5 V, I _C = 0 |

ON CHARACTERISTICS - CARACTÉRISTIQUES A L'ÉTAT CONDUCTEUR**

| | | | | |
|-------------------------|----|-----|---|---|
| V _{C E sat} ** | | 0,8 | V | I _C = 0,3 A, I _B = 0,03 A |
| | | 1 | | I _C = 1 A, I _B = 0,2 A |
| V _{B E sat} ** | | 1,1 | | I _C = 1 A, I _B = 0,2 A |
| | | | | |
| h _{21E} ** | 50 | | | V _{CE} = 5V, I _C = 0,1 A |

DYNAMIC CHARACTERISTIC - CARACTÉRISTIQUE DYNAMIQUE

| | | | | | |
|----------------|--|----|--|-----|--|
| f _T | | 20 | | MHz | V _{C E} = 10 V, I _C = 0,2 A, f = 1 MHz |
|----------------|--|----|--|-----|--|

SWITCHING CHARACTERISTICS - CARACTÉRISTIQUES DE COMMUTATION

| On resistive load - Sur charge résistive | | | | | |
|--|--|-----|-----|----|---|
| t _{on} | | 0,2 | 0,5 | μs | V _{CC} = 250 V, I _C = 1 A, I _{B1} = 0,2 A, I _{B2} = - 0,4 A T _j = 95°C t _p = 20 μs |
| t _s | | 2 | 3,5 | | |
| t _f | | 0,4 | | | |
| | | 1,4 | | | |

* T_j = 25°C unless otherwise stated.** t_p = 300 μs, δ ≤ 2 %.

SUPERSWITCH**BUX 98****BUX 98A**

NPN HIGH VOLTAGE SWITCHING TRANSISTORS

TRANSISTORS NPN HAUTE TENSION DE COMMUTATION

SUPERSWITCH

**HIGH VOLTAGE, HIGH CURRENT , HIGH SPEED TRANSISTOR
SUITED FOR:**

- THE 220/380 V MAINS
- THE PARALLEL AND DARLINGTON CONFIGURATIONS
- DC/DC AND DC/AC CONVERTERS
- MOTOR CONTROL

Data sheet tailored for switching applications

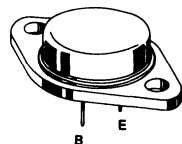
- Key parameters characterized at 100°C
- High blocking capability - 1000 V
- Information for parallel mounting
- Information for use in darlington configuration

BUX 98 BUX 98 A

| | | |
|-----------------------|-------------|-------------|
| V_{CEO} sus | 400 V | 450 V |
| V_{CEX} | 850 V | 1000 V |
| $I_{C\text{sat}}$ | 20 A | 16 A |
| I_{CSM} | 110 A | 110 A |
| t_f (100 °C) max | 0,4 μ s | 0,4 μ s |

Case
Boîtier

TO 3



ABSOLUTE RATINGS (LIMITING VALUES)
VALEURS LIMITES ABSOLUES D'UTILISATION

| | | BUX 98 | BUX 98 A | |
|---|-------------------|---------------|-----------------|----|
| Collector-emitter voltage <i>Tension collecteur-émetteur</i> | V_{CEO} | 400 | 450 | V |
| Collector-emitter voltage <i>Tension collecteur-émetteur</i> | V_{CEX} | 850 | 1000 | V |
| Emitter-base voltage <i>Tension émetteur-base</i> | V_{EBO} | 7 | 7 | V |
| Collector current <i>Courant collecteur</i> | I_C I_{CM} | 30 60 | 30 60 | A |
| Base current <i>Courant base</i> | I_B I_{BM} | 8 30 | 8 30 | A |
| Power dissipation <i>Dissipation de puissance</i> | P_{tot} | 250 | 250 | W |
| Junction temperature <i>Température de jonction</i> | T_j | 200 | 200 | °C |

Junction-case thermal resistance
Résistance thermique jonction-boîtier

max

 $R_{th(j-c)}$

0,7

0,7

°C/W

BUX 98 - BUX 98 A

ELECTRICAL CHARACTERISTICS – CARACTÉRISTIQUES ÉLECTRIQUES **

| SYMBOLS | Min | Typ | Max | UNIT | | TEST CONDITIONS – CONDITIONS DE MESURE |
|---------|-----|-----|-----|------|--|--|
|---------|-----|-----|-----|------|--|--|

OFF CHARACTERISTICS – CARACTÉRISTIQUES A L'ETAT BLOQUÉ

| | | | | | | |
|--------------------------|------------|----------|----|----|--------------------|---|
| V_{CEO} _{sus} | 400 450 | | | V | BUX 98 BUX 98 A | $I_B = 0, I_C = 0,2 \text{ A}, L = 25 \text{ mH}$ |
| $V_{(BR)EBO}$ | 7 | | 30 | V | | $I_C = 0, I_B = 0,1 \text{ A}$ |
| I_{CEX} | | 0,4 4 | | mA | | $T_{case} = 25^\circ\text{C}$ $T_{case} = 125^\circ\text{C}$ $V_{CE} = V_{CEX}, V_{BE} = -2,5 \text{ V}$ |
| I_{CER} | | 1 8 | | mA | | $T_{case} = 25^\circ\text{C}$ $T_{case} = 125^\circ\text{C}$ $V_{CE} = V_{CEX}, R_{BE} \leq 5 \Omega$ |
| I_{EBO} | | | 2 | mA | | $I_C = 0, V_{EB} = 5 \text{ V}$ |

ON CHARACTERISTICS – CARACTÉRISTIQUES A L'ETAT CONDUCTEUR

| | | | | | | |
|--------------------------|--|------------|--|---|--------------------|--|
| V_{CE} _{sat*} | | 1,5 3,5 | | V | BUX 98 | $I_C = 20 \text{ A}, I_B = 4 \text{ A}$ $I_C = 30 \text{ A}, I_B = 8 \text{ A}$ |
| | | 1,5 5 | | V | BUX 98 A | $I_C = 16 \text{ A}, I_B = 3,2 \text{ A}$ $I_C = 24 \text{ A}, I_B = 5 \text{ A}$ |
| V_{BE} _{sat*} | | 1,6 | | V | BUX 98 BUX 98 A | $I_C = 20 \text{ A}, I_B = 4 \text{ A}$ $I_C = 16 \text{ A}, I_B = 3,2 \text{ A}$ |

DYNAMIC CHARACTERISTICS – CARACTÉRISTIQUES DYNAMIQUES

| | | | | | |
|-----------|-----|--|-----|--|---|
| f_T | 5 | | MHz | | $f = 1 \text{ MHz}, I_C = 1 \text{ A}, V_{CE} = 10 \text{ V}$ |
| C_{22b} | 500 | | pF | | $f = 1 \text{ MHz}, V_{CE} = 10 \text{ V}$ |

SWITCHING CHARACTERISTICS – CARACTÉRISTIQUES DE COMMUTATION

Resistive load – Charge résistive

| | | | | | | |
|----------|--|------|-----|---------------|----------|--|
| t_{on} | | 0,55 | 1 | μs | BUX 98 | $V_{CC} = 150 \text{ V}, I_C = 20 \text{ A}, I_{B1} = -I_{B2} = 4 \text{ A}$ |
| t_s | | 1,5 | 3 | | BUX 98 A | $V_{CC} = 150 \text{ V}, I_C = 16 \text{ A}, I_{B1} = -I_{B2} = 3,2 \text{ A}$ |
| t_f | | 0,3 | 0,8 | | | |

Inductive load – Charge inductive

| | | | | | | | |
|-------|--|------|-----|---------------|--|---------------------------|----------|
| t_s | | 3,5 | | μs | | $T_J = 25^\circ\text{C}$ | BUX 98 |
| | | | 5 | | | $T_J = 100^\circ\text{C}$ | |
| t_f | | 0,08 | | | | $T_J = 25^\circ\text{C}$ | BUX 98 A |
| | | | 0,4 | | | $T_J = 100^\circ\text{C}$ | |

* Pulse - Impulsions $t_p = 300 \mu\text{s}$ $\delta \leq 2 \%$ ** $T_{case} = 25^\circ\text{C}$ Unless otherwise stated - Sauf indications contraires

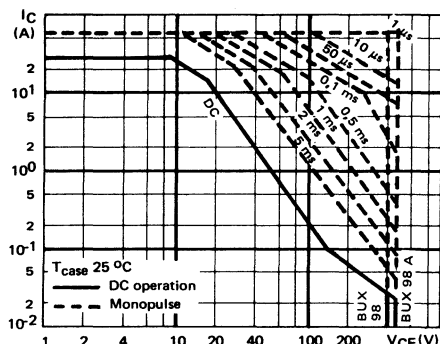


FIGURE 1 : DC and pulse area

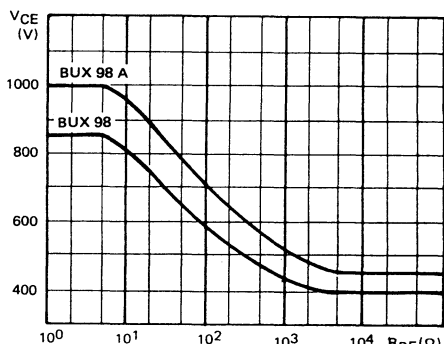


FIGURE 2: Collector-emitter voltage vs base-emitter resistance

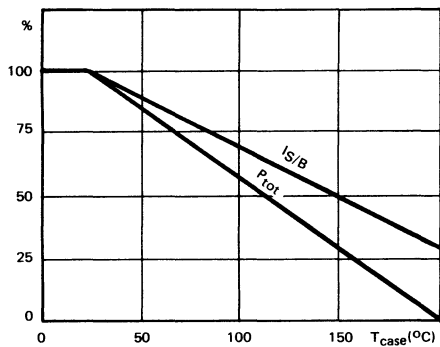
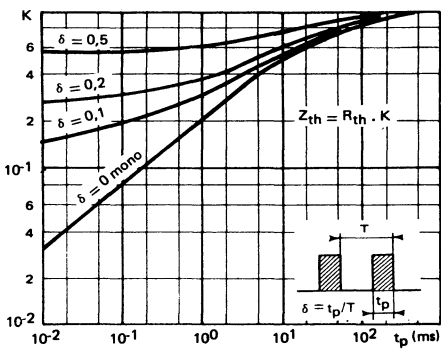
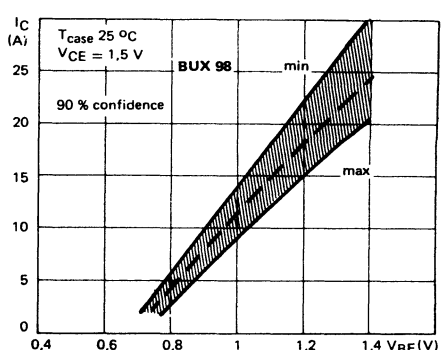
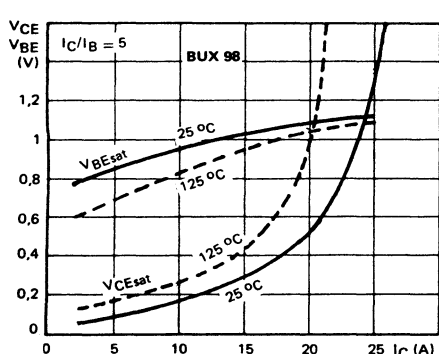
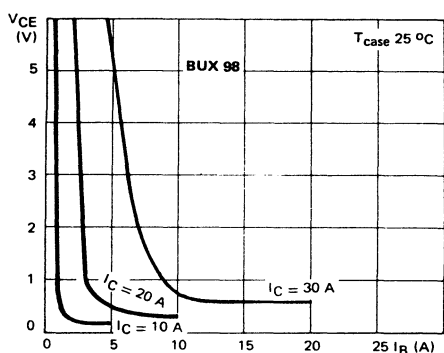
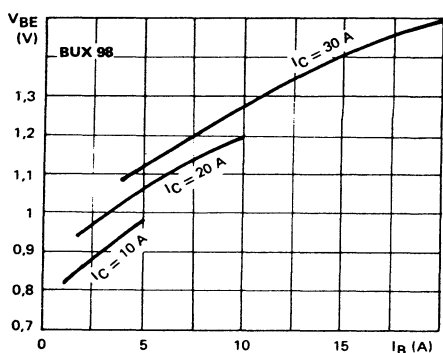
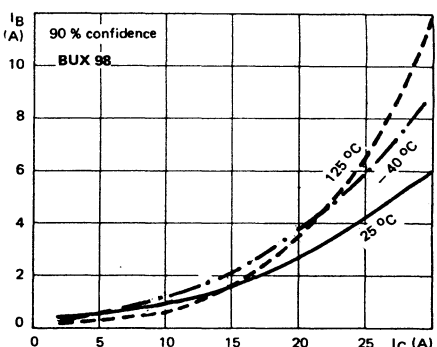
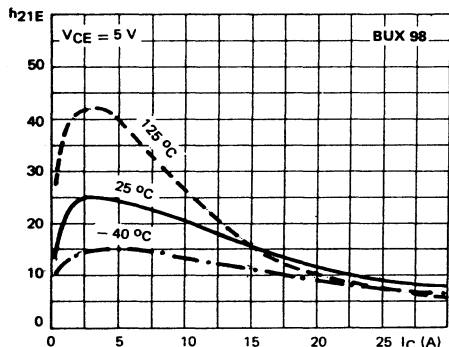
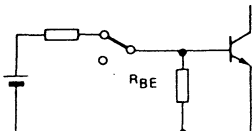
FIGURE 3 : Power and $I_{S/B}$ derating vs case temperature

FIGURE 4 : Transient thermal response

BUX 98 - BUX 98 A



SWITCHING OPERATING AND OVERLOAD AREAS



TRANSISTOR FORWARD BIASED

- During the turn on
- During the turn off without negative base-emitter voltage and $R_{BE} \leq 50 \Omega$

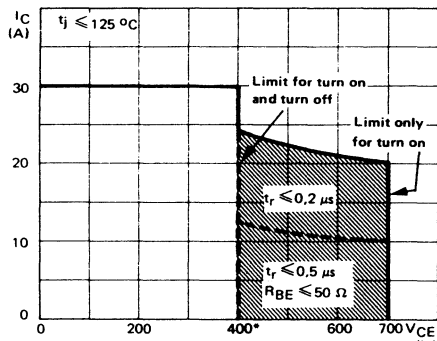
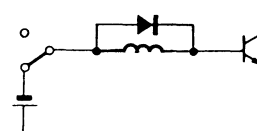


FIGURE 12 : Forward biased safe operating area (FBSOA)

• BUX 98 A : 450 V



TRANSISTOR REVERSE BIASED

- During the turn off with negative base-emitter voltage

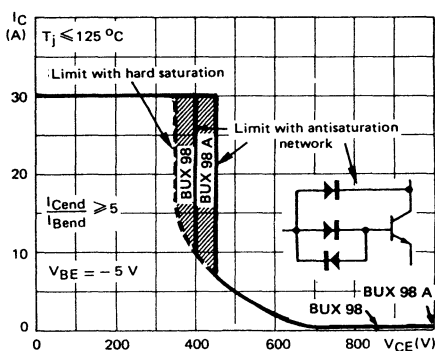


FIGURE 13 : Reverse biased safe operating area (RBSOA)

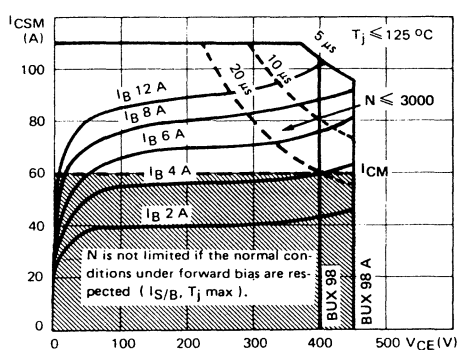


FIGURE 14 : Forward biased accidental overload area (FBAOA)

Figure 12 : La hachure ne doit être utilisée que pour la mise en conduction.

Figures 13 and 15 : Switch off starting from the quasi saturated state ($V_{CE} \geq 1.5$ V) allows to extend the RBSOA and the RBAOA to the hatched zone.Figures 14 and 15 : High accidental surge currents ($I > I_{CM}$) are allowed if they are non repetitive and applied less than 3000 times during the component life.Figure 14 : The Kellogg network (heavy point) allows the calculation of the maximum value of the short-circuit current for a given base current I_B (90 % confidence).

Figure 15 : After the accidental overload current, the RBAOA is to be used for the turn off. As in traffic regulation one is allowed to cross the broken line before the continuous line. One is forbidden to cross the single continuous line.

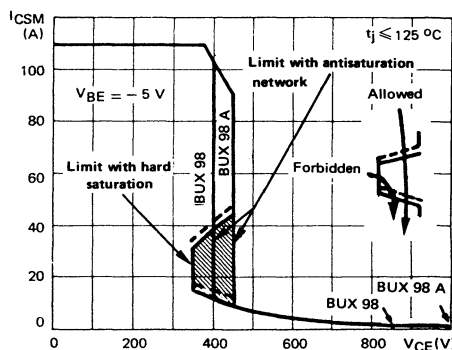


FIGURE 15 : Reverse biased accidental overload area (RBAOA)

Figure 12 : La zone hachurée ne doit être utilisée que pour la mise en conduction.

Figures 13 et 15 : Le blocage à partir de l'état quasi-sûr ($V_{CE} \geq 1.5$ V) permet d'étendre les aires de fonctionnement et de surcharge en inverse jusqu'à la zone hachurée.Figures 14 et 15 : De forts courants de surcharge ($I > I_{CM}$) sont permis s'ils sont non répétitifs et appliqués moins de 3000 fois dans la vie du composant.Figure 14 : Le réseau de Kellogg (trait gras) permet le calcul de la valeur maximale ou courant de court-circuit pour un courant de base donné I_B (90 % de confiance).

Figure 15 : Après le passage du courant de surcharge accidentelle on doit utiliser l'aire de surcharge accidentelle en polarisation inverse pour l'ouverture. Il est permis de traverser la ligne continue à condition de traverser d'abord la ligne pointillée.

BUX 98 - BUX 98 A

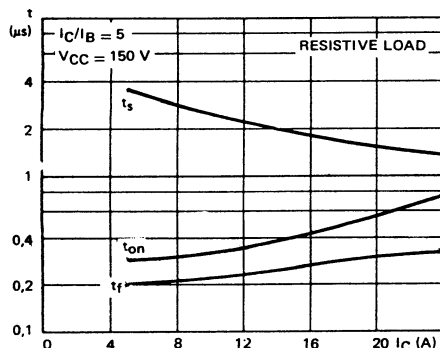


FIGURE 16 : Switching times vs collector current
(resistive load)

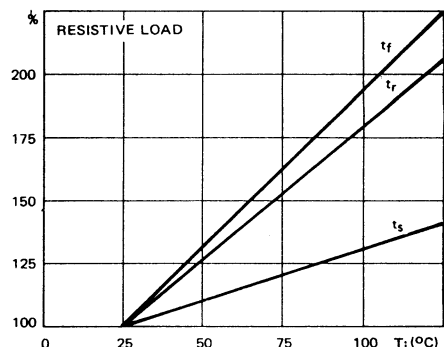


FIGURE 17 : Switching times vs junction temperature
(resistive load)

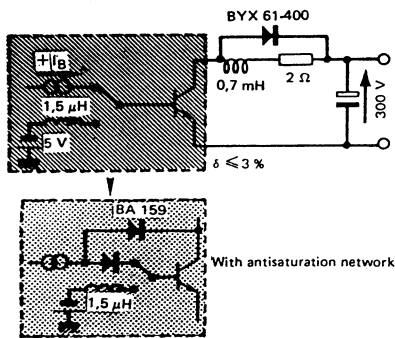


FIGURE 18 : Switching times test circuit on inductive load
(with and without antisaturation network)

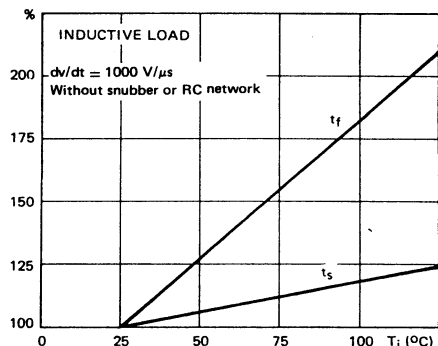


FIGURE 19 : Switching times vs junction temperature
(inductive load)

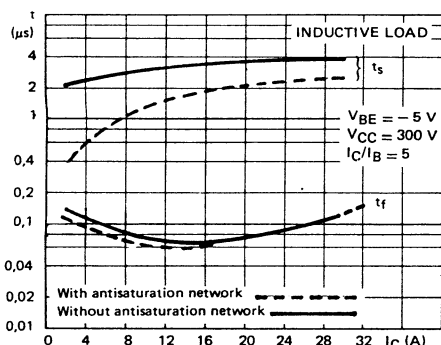


FIGURE 20 : Switching times vs collector current
(with and without antisaturation network)

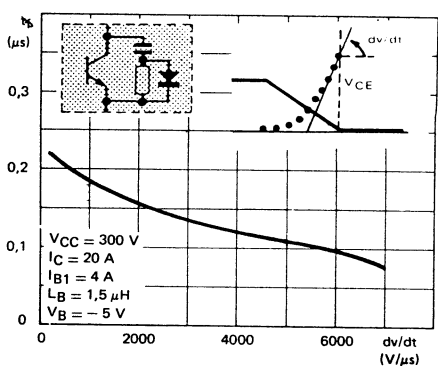


FIGURE 21 : Fall times vs reapply voltage slope

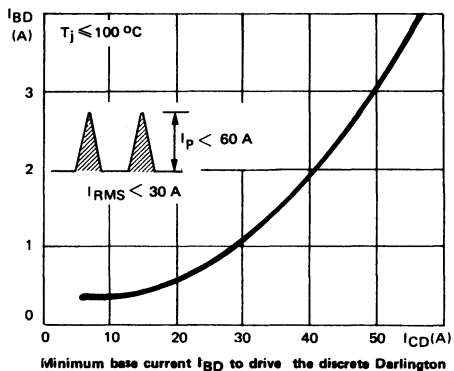
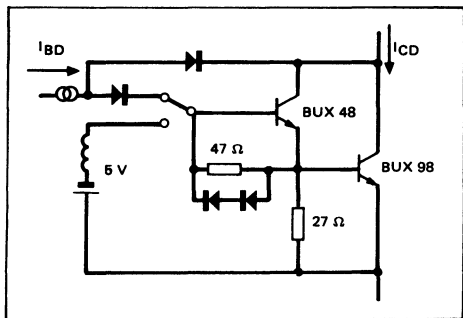
applications

The BUX 98 is designed for high voltage (220/380 V mains) and high current applications.

| | |
|----------------------------------|--|
| $I_{C\text{sat}} = 20 \text{ A}$ | $P_S \text{ switchable power} = V_{\text{CEO}} \cdot I_{C\text{sat}} = 8 \text{ KW}$ |
|----------------------------------|--|

To increase its power switching capability, it can be used in discrete Darlington configurations.

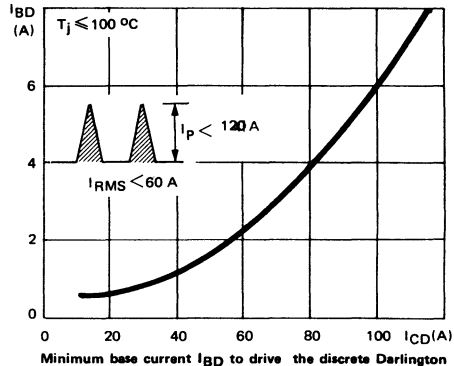
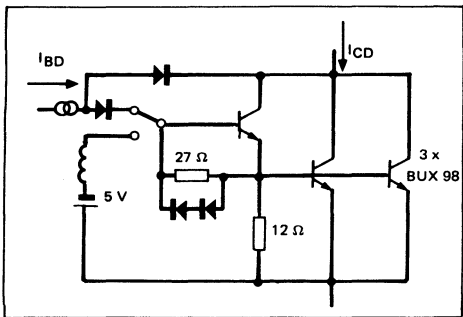
EXAMPLE 1 :



In this configuration the discrete Darlington can switch:

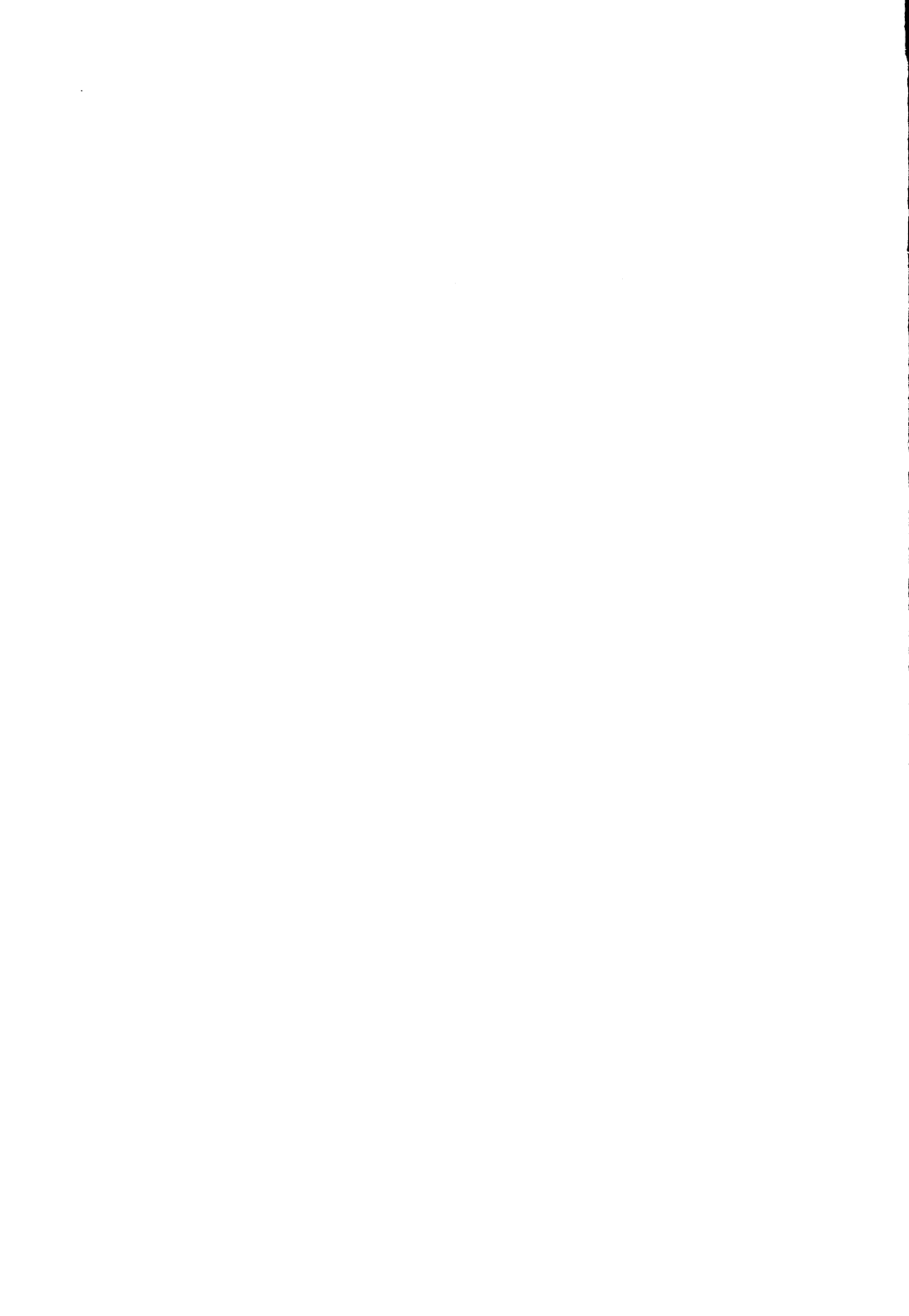
| | | |
|-------------------------|------|--------------------------|
| $I_{CD} = 40 \text{ A}$ | with | $I_{BD} = 2 \text{ A}$ |
| $I_{CD} = 20 \text{ A}$ | with | $I_{BD} = 0.4 \text{ A}$ |

EXAMPLE 2 :



In this configuration the discrete Darlington can switch :

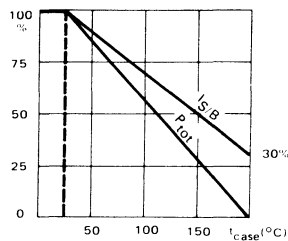
| | | |
|-------------------------|------|------------------------|
| $I_{CD} = 80 \text{ A}$ | with | $I_{BD} = 4 \text{ A}$ |
| $I_{CD} = 40 \text{ A}$ | with | $I_{BD} = 1 \text{ A}$ |



High speed, high voltage, high power transistor
Transistor de puissance rapide, haute tension

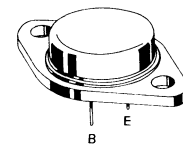
Switching applications
Applications en commutation

Dissipation and $I_{S/B}$ derating
Variation de dissipation et de $I_{S/B}$



| | |
|-----------------|-----------|
| V_{CEO} | 400 V |
| I_C | 10 A |
| P_{tot} | 150 W |
| $R_{th(j-c)}$ | 1,17 °C/W |
| h_{21E} (2 A) | 30 min |
| f_T | ≥ 5 MHz |

Case TO 3
Boîtier



ABSOLUTE RATINGS (LIMITING VALUES)
VALEURS LIMITES ABSOLUES D'UTILISATION

| | | | |
|---|-------------------|------------|----|
| Collector-base voltage <i>Tension collecteur-base</i> | V_{CBO} | 450 | V |
| Collector-emitter voltage <i>Tension collecteur-émetteur</i> | V_{CEO} | 400 | V |
| Collector-emitter voltage <i>Tension collecteur-émetteur</i> | V_{CEX} | 450 | V |
| Emitter-base voltage <i>Tension émetteur-base</i> | V_{EBO} | 10 | V |
| Collector current <i>Courant collecteur</i> | I_C I_{CM} | 10 15 | A |
| Base current <i>Courant base</i> | I_B | 2 | A |
| Power dissipation <i>Dissipation de puissance</i> | P_{tot} | 150 | W |
| Junction temperature <i>Température de jonction</i> | t_j | - 65 + 200 | °C |

| | | | | |
|--|-----|---------------|------|------|
| Junction-case thermal resistance <i>Résistance thermique jonction boîtier</i> | max | $R_{th(j-c)}$ | 1,17 | °C/W |
|--|-----|---------------|------|------|

STATIC CHARACTERISTICS
CARACTÉRISTIQUES STATIONNAIRES $t_{case} = 25^\circ\text{C}$ (Unless otherwise stated)
(Sauf indications contraires)

| | Test conditions Conditions de mesure | | | Min. | Typ. | Max. |
|---|--|-----------------|--|------|------|------|
| Collector-emitter cut-off current <i>Courant résiduel collecteur-émetteur</i> | $V_{CE} = 300 \text{ V}$ $I_B = 0$ | I_{CEO} | | | 0,1 | mA |
| Collector-emitter cut-off current <i>Courant résiduel collecteur-émetteur</i> | $V_{CE} = 450 \text{ V}$ $V_{BE} = -1,5 \text{ V}$ | I_{CEX} | | | 0,1 | mA |
| | | | | | | |
| Collector-emitter breakdown voltage <i>Tension de claquage collecteur-émetteur</i> | $I_C = 100 \text{ mA}$ $I_B = 0$ $L = 25 \text{ mH}$ | $V_{CEO(sus)}$ | | 400 | | V |
| Emitter-base breakdown voltage <i>Tension de claquage émetteur-base</i> | $I_E = 20 \text{ mA}$ $I_C = 0$ | $V_{(BR)EBO}^*$ | | 10 | | V |
| Static forward current transfer ratio <i>Valeur statique du rapport de transfert direct du courant</i> | $V_{CE} = 10 \text{ V}$ $I_C = 2 \text{ A}$ | h_{21E}^* | | 30 | | |
| | $V_{CE} = 10 \text{ V}$ $I_C = 5 \text{ A}$ | | | 20 | | |
| | $V_{CE} = 10 \text{ V}$ $I_C = 0,4 \text{ A}$ | | | 20 | 80 | |
| Collector-emitter saturation voltage <i>Tension de saturation collecteur-émetteur</i> | $I_C = 2 \text{ A}$ $I_B = 0,25 \text{ A}$ | V_{CEsat}^* | | | 0,5 | V |
| | $I_C = 5 \text{ A}$ $I_B = 1 \text{ A}$ | | | | 1 | V |
| Base-emitter saturation voltage <i>Tension de saturation base-émetteur</i> | $I_C = 2 \text{ A}$ $I_B = 0,25 \text{ A}$ | V_{BESat}^* | | | 1 | V |
| | $I_C = 5 \text{ A}$ $I_B = 1 \text{ A}$ | | | | 1,5 | V |
| Second breakdown collector current <i>Courant collecteur de second claquage</i> | $V_{CE} = 80 \text{ V}$ $t = 1\text{s}$ | $I_{S/B}$ | | 0,4 | | A |

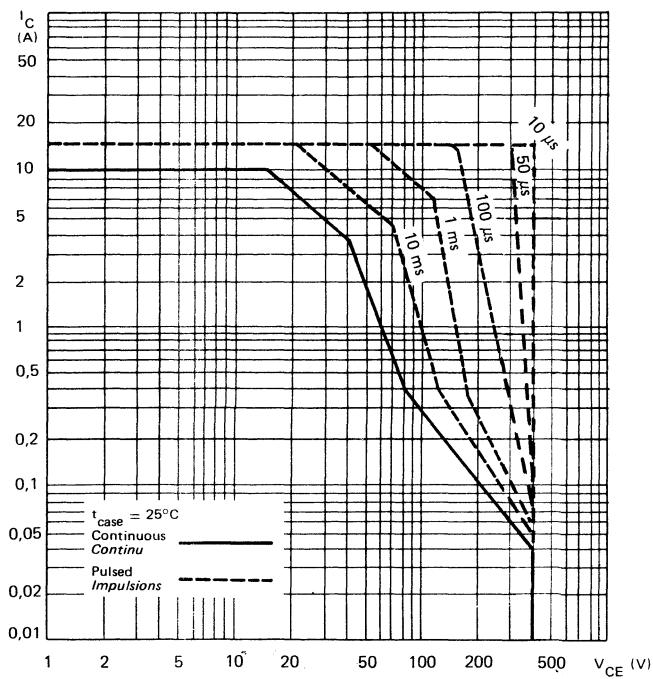
* Pulsed $t_p = 300 \mu\text{s}$ $\delta \leq 2 \%$
Impulsions

DYNAMIC CHARACTERISTICS (for small signals)
CARACTÉRISTIQUES DYNAMIQUES (pour petits signaux)

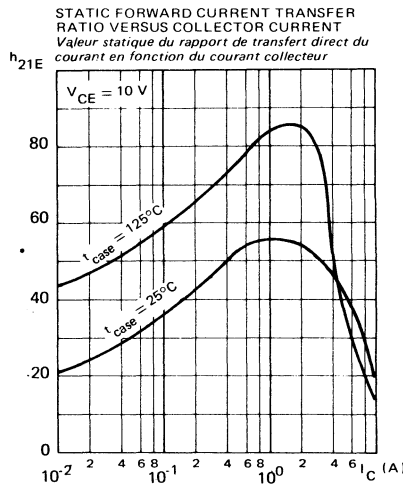
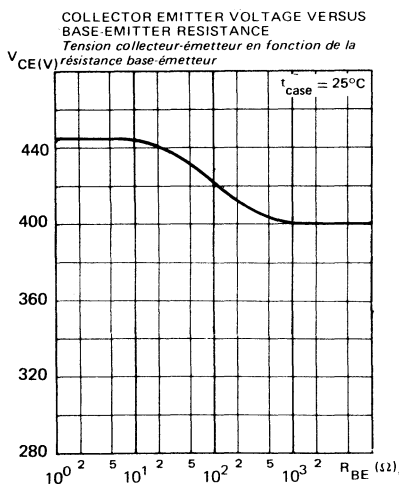
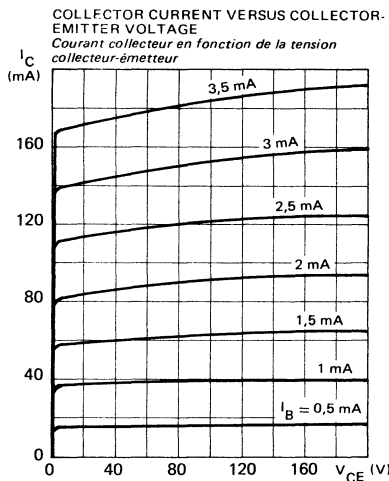
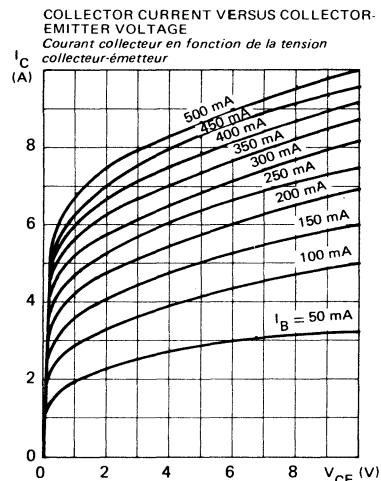
(Unless otherwise stated)
(Sauf indications contraires)

| | Test conditions <i>Conditions de mesure</i> | | | Min. | Typ. | Max. |
|---|--|-------------|--|------|------|---------------|
| Transition frequency <i>Fréquence de transition</i> | $V_{CE} = 10 \text{ V}$ $I_C = 0,2 \text{ A}$ $f = 10 \text{ MHz}$ | f_T | | 5 | | MHz |
| Turn-on time <i>Temps total d'établissement</i> | $V_{CC} = 30 \text{ V}$ $I_C = 5 \text{ A}$ $I_{B1} = 1 \text{ A}$ | $t_d + t_r$ | | 0,85 | | μs |
| | $V_{CC} = 150 \text{ V}$ $I_C = 5 \text{ A}$ $I_{B1} = 1 \text{ A}$ | | | | | |
| Fall time <i>Temps de décroissance</i> | $V_{CC} = 30 \text{ V}$ $I_C = 5 \text{ A}$ $I_{B1} = 1 \text{ A}$ $I_{B2} = -1 \text{ A}$ | t_f | | 0,5 | | μs |
| | $V_{CC} = 150 \text{ V}$ $I_C = 5 \text{ A}$ $I_{B1} = 1 \text{ A}$ $I_{B2} = -1 \text{ A}$ | | | | | |
| Carrier storage time <i>Retard à la décroissance</i> | $V_{CC} = 30 \text{ V}$ $I_C = 5 \text{ A}$ $I_{B1} = 1 \text{ A}$ $I_{B2} = -1 \text{ A}$ | t_s | | 1,5 | | μs |
| | $V_{CC} = 150 \text{ V}$ $I_C = 5 \text{ A}$ $I_{B1} = 1 \text{ A}$ $I_{B2} = -1 \text{ A}$ | | | | | |

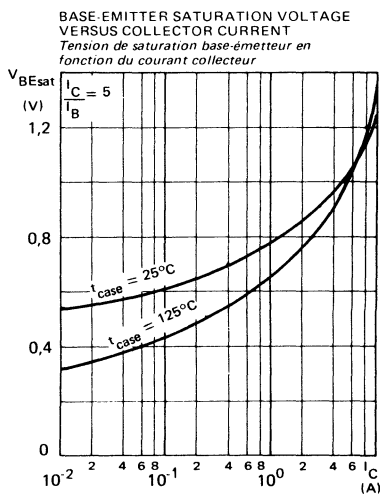
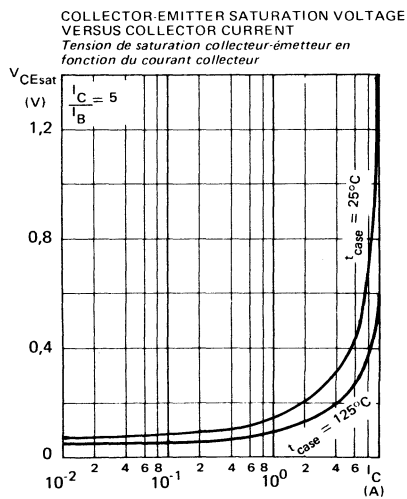
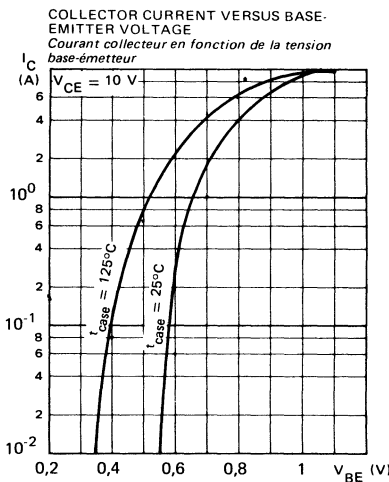
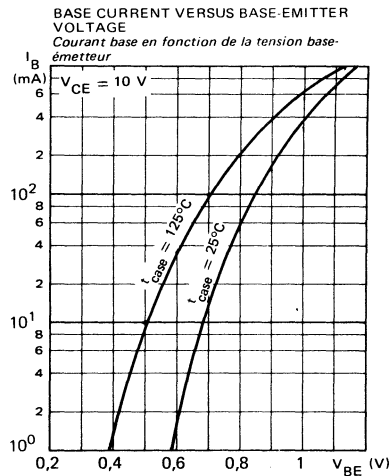
SAFE OPERATING AREA
Aire de fonctionnement de sécurité



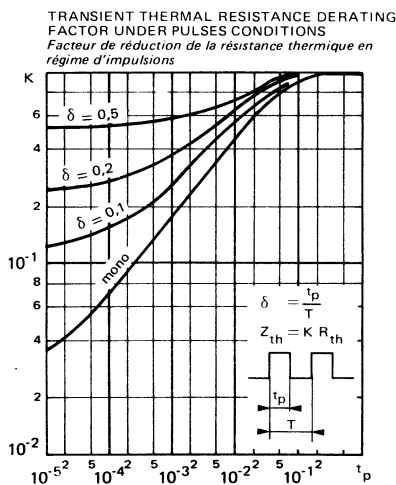
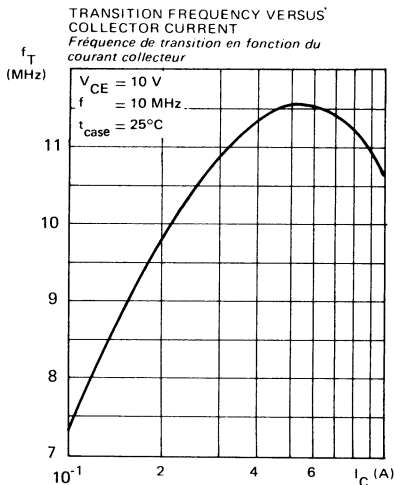
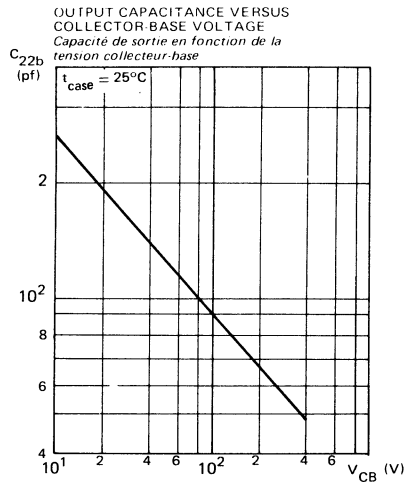
TYPICAL CHARACTERISTICS
CARACTÉRISTIQUES TYPIQUES



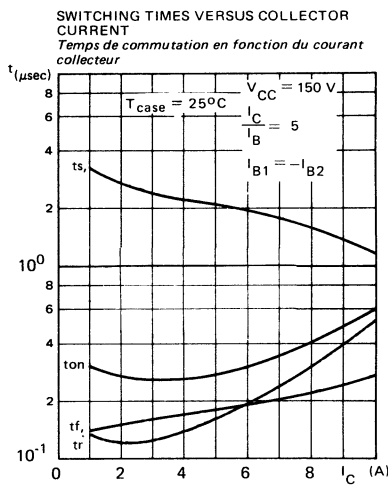
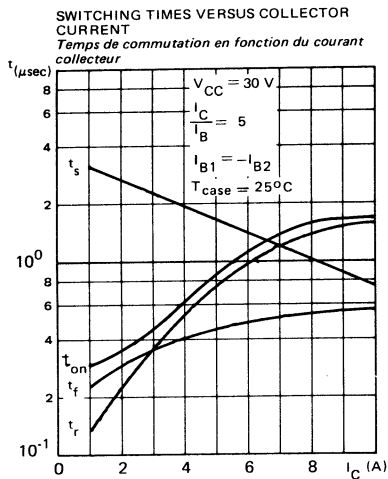
TYPICAL CHARACTERISTICS
CARACTÉRISTIQUES TYPIQUES



TYPICAL CHARACTERISTICS
CARACTÉRISTIQUES TYPHIQUES



TYPICAL CHARACTERISTICS
CARACTÉRISTIQUES TYPIQUES



NPN HIGH VOLTAGE POWER DARLINGTON

DARLINGTON DE PUISSANCE NPN HAUTE TENSION

ADVANCE INFORMATION

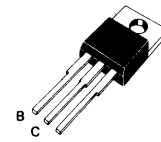
High voltage darlington,
designed for applications
such as :

- Cars ignitions
- Motor controls
- Relay drivers

*Darlington haute tension, adapté
aux applications suivantes :*

- Allumages électroniques
- Commandes de moteurs
- Commandes de relais

V_{CCEO} sus 400 V
I_{C sat} 7 A



Case
Boîtier TO 220 (CB 117)

ABSOLUTE RATINGS (LIMITING VALUES)

VALEURS LIMITES ABSOLUES D'UTILISATION

T_{case} = 25 °C

| | | | |
|--|-------------------|------------------|--------------------|
| Collector-emitter voltage Tension collecteur-émetteur | V _{CCEO} | 400 | V |
| Collector-base voltage Tension collecteur-base | V _{CBO} | 600 | V |
| Emitter-base voltage Tension émetteur base | V _{EBO} | 5 | V |
| Collector current Courant collecteur | I _C | I _{CM} | A |
| Base current Courant base | I _B | I _{BM} | A |
| Power dissipation Dissipation de puissance | P _{tot} | 75 | W |
| Storage and junction temperature Température de jonction et de stockage | T _j | T _{stg} | 175 -65 +175 °C |

Junction case thermal resistance
Résistance thermique jonction boîtier

R_{th(j-c)} 2 °C/W

ELECTRICAL CHARACTERISTICS - CARACTÉRISTIQUES ÉLECTRIQUES

| SYMBOLS | MIN. | TYP. | MAX. | UNIT | | TEST CONDITIONS - CONDITIONS DE MESURE |
|---------|------|------|------|------|--|--|
|---------|------|------|------|------|--|--|

OFF CHARACTERISTICS - CARACTÉRISTIQUES A L'ÉTAT BLOQUÉ

| | | | | | | |
|------------------|-----|------|----|----|--|--|
| VCEO sus | 400 | | | V | | I _C = 3 A L = 15 mH I _B = 0 V _{clamp} = V _{CEO sus} |
| I _{CEX} | | 0,25 | 3 | mA | | T _{case} = 25 °C V _{CE} = 600 V T _{case} = 100 °C V _{BE} = -1,5 V |
| I _{EBO} | | 20 | mA | | | V _{BE} = 4 V I _C = 0 |

ON CHARACTERISTICS - CARACTÉRISTIQUES A L'ÉTAT CONDUCTEUR

| | | | | | | |
|----------------------|-----|-----|---|--|--|---|
| h _{21 E} | 300 | | | | | I _C = 3 A V _{CE} = 4 V |
| V _{CE} sat* | | 1,5 | V | | | I _C = 3 A I _B = 30 mA |
| | | 2 | V | | | I _C = 6 A I _B = 120 mA |
| V _{BE} sat* | | 1,8 | V | | | I _C = 3 A I _B = 30 mA |

* Pulses t_p = 300 µs Δ ≤ 2 % Unless otherwise stated
Impulsions *Sauf indications contraires* T_{case} = 25 °C

SUPERSWITCH

HIGH POWER , HIGH VOLTAGE TRANSISTOR SUITED FOR USE
IN DARLINGTONS AND PARALLEL MOUNTING .
MOTORS CONTROL - DC/AC INVERTERS - BREAKERS

Data sheet tailored for switching applications

- * High current :60 A in Darlington configuration
 - * Information for parallel mounting
 - * Wide surge area 150 A – 400 V
- * Base drive specified for different values of I_C

TRANSISTOR DE PUISSANCE , HAUTE TENSION , ADAPTE A
L'UTILISATION EN DARLINGTON ET LE MONTAGE EN PA-
RALLELE
COMMANDE DE MOTEURS – GENERATEURS CONTINUS ET AL-
TERNATIFS – DISJONCTEURS

Spécifications spécialement étudiées pour la commutation

- * Fort courant : 60 A en Darlington
- * Caractérisation pour le montage en parallèle
- * Aire de surcharge étendue 150 A – 400 V
- * Commande de base spécifiée pour différentes valeurs de I_C

| | |
|----------------|------------------|
| V_{CEO} us | 400 V |
| V_{CEX} | 500 V |
| I_{Csat} | 30 A |
| I_{CSM} | 150 A |
| t_f (30 A) | $\leq 1,2 \mu s$ |

Case
Boîtier TO 83



Mounting with M 12 screw
Montage avec vis M 12

Torques Min:14 mNm
Couple de serrage Max:18 mNm

ABSOLUTE RATINGS (LIMITING VALUES)

VALEURS LIMITES ABSOLUES D'UTILISATION

| | | | |
|---|-------------------|------------|----|
| Collector-emitter voltage <i>Tension collecteur-émetteur</i> | V_{CEO} | 400 | V |
| Collector-emitter voltage <i>Tension collecteur-émetteur</i> | V_{CEX} | 500 | V |
| Emitter-base voltage <i>Tension émetteur-base</i> | V_{EBO} | 7 | V |
| Collector current <i>Courant collecteur</i> | I_C I_{CM} | 60 80 | A |
| Base current <i>Courant base</i> | I_B I_{BM} | 10 25 | A |
| Power dissipation <i>Dissipation de puissance</i> | P_{tot} | 350 | W |
| Junction temperature <i>Température de jonction</i> | t_j | - 65 + 175 | °C |

| | | | | |
|--|-----|---------------|------|------|
| Junction-case thermal resistance <i>Résistance thermique jonction boîtier</i> | max | $R_{th(j-c)}$ | 0,43 | oC/W |
|--|-----|---------------|------|------|

ELECTRICAL CHARACTERISTICS - CARACTÉRISTIQUES ÉLECTRIQUES **

| SYMBOL | Min | Typ | Max | UNIT | TEST CONDITIONS - CONDITIONS DE MESURE |
|--------|-----|-----|-----|------|--|
|--------|-----|-----|-----|------|--|

OFF CHARACTERISTICS - CARACTÉRISTIQUES A L'ÉTAT BLOQUÉ

| | | | | | |
|-----------------------|-----|----|--|----|---|
| $V_{CEO}(\text{sat})$ | 400 | | | V | $I_B = 0, I_C = 1 \text{ A}, L = 25 \text{ mH}$ |
| $V_{(BR)EBO}$ | 7 | | | V | $I_C = 0, I_E = 50 \text{ mA}$ |
| I_{CEX} | | 3 | | mA | $T_{case} = 125^\circ\text{C}, V_{CE} = V_{CEX}, V_{BE} = -1,5 \text{ V}$ |
| I_{CER} | | 5 | | mA | $V_{CE} = 480 \text{ V}, R_{BE} = 100 \Omega$ |
| I_{EBO} | | 30 | | mA | $I_C = 0, V_{EB} = 5 \text{ V}$ |

ON CHARACTERISTICS - CARACTÉRISTIQUES A L'ÉTAT CONDUCTEUR

| | | | | | |
|------------------------|--|-----|--|---|---|
| $V_{CE(\text{sat})^*}$ | | 1,5 | | V | $I_C = 30 \text{ A}, I_B = 6 \text{ A}$ |
| $V_{BE(\text{sat})^*}$ | | 1,7 | | V | $I_C = 30 \text{ A}, I_B = 6 \text{ A}$ |

SWITCHING CHARACTERISTICS - CARACTÉRISTIQUES DE COMMUTATION

Résistive load - Charge résistive

| | | | | | |
|----------|--|-----|-----|---------------|--|
| t_{on} | | 0,8 | 2 | μs | $V_{CC} = 150 \text{ V}, I_C = 30 \text{ A}, I_{B1} = -I_{B2} = 6 \text{ A}$ |
| t_s | | 2,2 | 3,5 | | |
| t_f | | 0,4 | 1,2 | | |

Inductive load - Charge inductive

| | | | | | |
|-------|--|------|--|---------------|---|
| t_s | | 6 | | μs | $V_{CC} = 250 \text{ V}, I_C = 30 \text{ A}, I_{Bend} = 6 \text{ A},$ |
| t_f | | 0,15 | | | $V_{BE} = -5 \text{ V}, L_B = 3 \mu\text{H}$ |

* Measured with pulses

** $T_C = 25^\circ\text{C}$ Unless otherwise stated — Sauf indications contraires

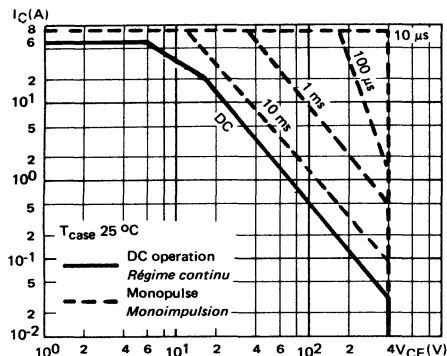


FIGURE 1 : DC and AC pulse area.

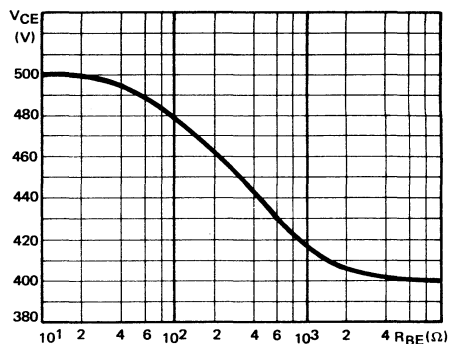


FIGURE 2: Collector-emitter voltage vs base-emitter resistance

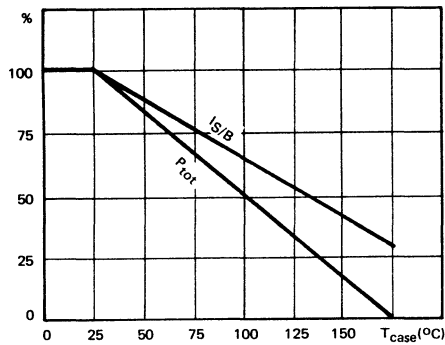
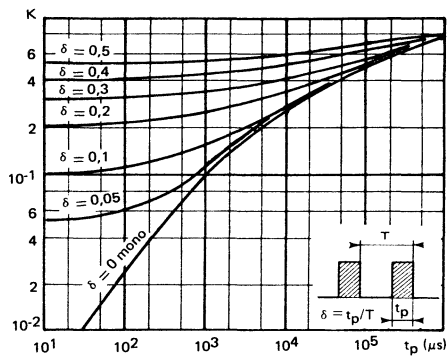
FIGURE 3 : Power and IS/B derating vs case temperature

FIGURE 4 : Transient thermal response

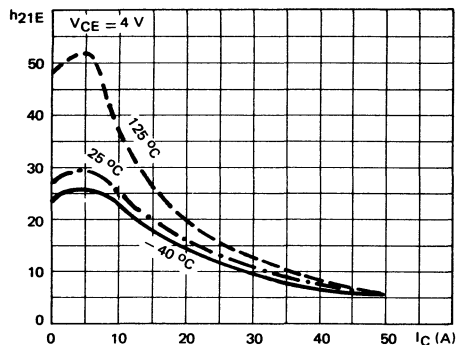


FIGURE 6 : DC current gain

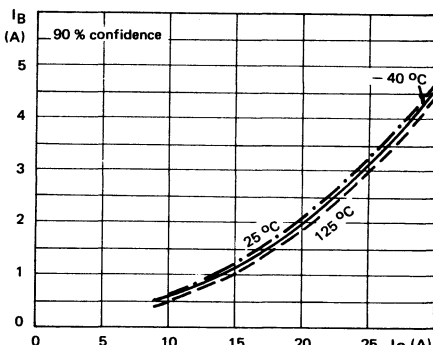


FIGURE 7 : Minimum base current to saturate the transistor

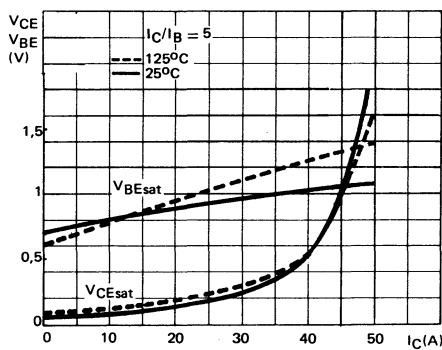
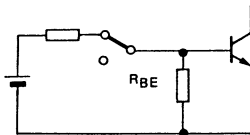


FIGURE 8 : Saturation voltage

SWITCHING OPERATING AND OVERLOAD AREAS



TRANSISTOR FORWARD BIASED

- During the turn on
- During the turn off without negative base-emitter voltage and $R_{BE} \geq 2 \Omega$

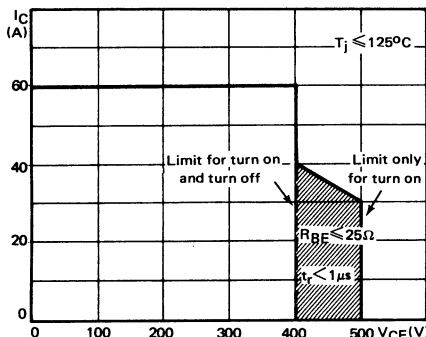
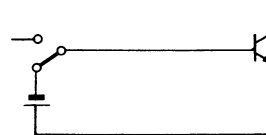


FIGURE 9 : Forward biased safe operating area (FBSOA)



TRANSISTOR REVERSE BIASED

- During the turn off with negative base-emitter voltage

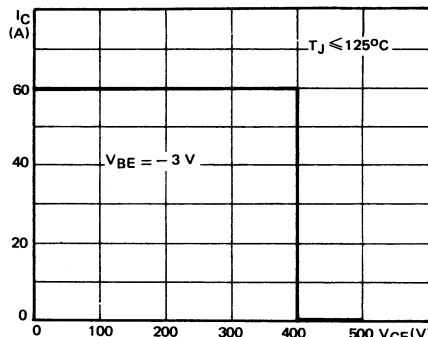


FIGURE 10 : Reverse biased safe operating area (RBSOA)

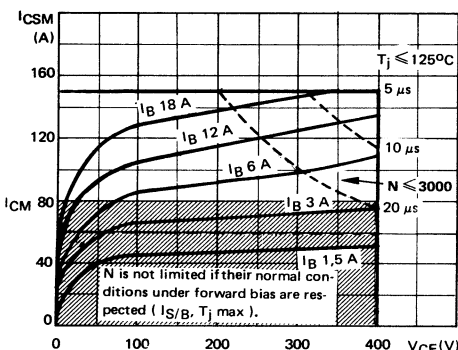


FIGURE 11 : Forward biased accidental overload area (FBAOA)

Figure 9 : The hatched zone can only be used for turn on.

Figures 11 and 12 : High accidental surge currents ($I > I_{CM}$) are allowed if they are non repetitive and applied less than 3000 times during the component life.

Figure 11 : The Kellogg network (heavy print) allows the calculation of the maximum value of the short-circuit current for a given base current I_B (90 % confidence).

Figure 12 : After the accidental overload current, the RBAOA has to be used for the turn off.

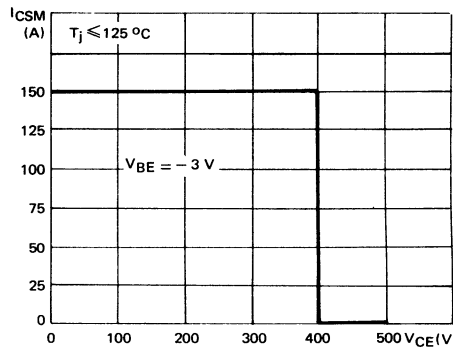


FIGURE 12 : Reverse biased accidental overload area (RBAOA)

Figure 9 : La zone hachurée ne doit être utilisée que pour la mise en conduction.

Figures 11 et 12 : De forts courants de surcharge ($I > I_{CM}$) sont permis s'ils sont non répétitifs et appliqués moins de 3000 fois dans la vie du composant.

Figure 11 : Le réseau de Kellogg (trait gras) permet le calcul de la valeur maximale du courant de court-circuit pour un courant de base donné I_B (90 % de confiance).

Figure 12 : Après le passage du courant de surcharge accidentelle, on doit utiliser l'aire de surcharge accidentelle en polarisation inverse pour l'ouverture.

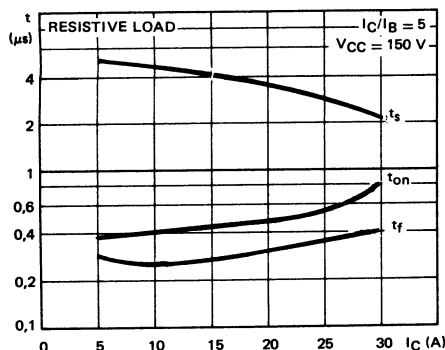


FIGURE 13 : Switching times vs collector current
(resistive load)

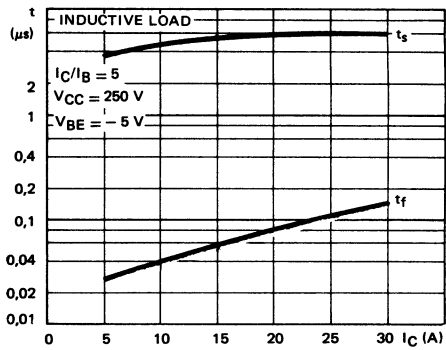


FIGURE 14 : Switching times vs collector current

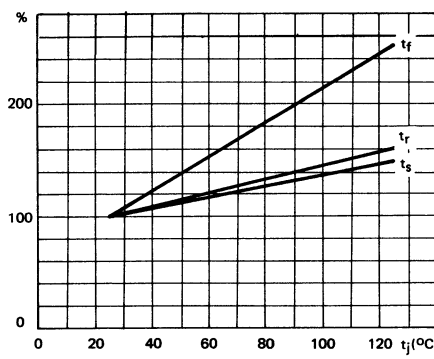


FIGURE 15 : Switching times vs junction temperature

◆ applications ◆

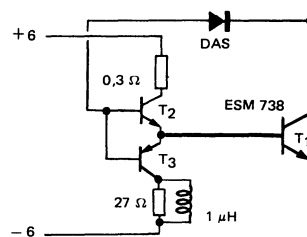
DRIVER CIRCUIT – CIRCUIT DE COMMANDE –

The use of an antisaturation circuit (D_{AS} with T_2) enables turn off of the ESM 738 directly from the quasi-saturation state. This gives the following advantages :

- Lower switching times t_f and t_s and smaller switching losses .
- Narrower spread of storage time t_s
- Enlarged area for the RBSOA

L'utilisation d'un circuit antisaturation (D_{AS} avec T_2) permet à l'ESM 738 de commuter directement à partir de l'état quasi-saturé. Ce qui entraîne les avantages suivants :

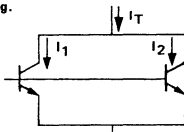
- Les temps de commutation (t_f , t_s) et les pertes de commutation sont plus faibles.
- La dispersion du temps de stockage est plus restreinte .
- L'aire de sécurité en polarisation inverse est plus étendue.



PARALLEL MOUNTING

Figure 11 enables :

- 1) The calculation of the worse case sharing of the collector currents between two ESM 738 in parallel .
- 2) The calculation of the emitter impedance (resistance or inductors) to have a better sharing.



MONTAGE EN PARALLELE

La figure 11 permet :

- 1) Le calcul dans le cas le plus défavorable, de la répartition du courant collecteur entre deux ESM 738 en parallèle.
- 2) Le calcul de l'impédance de l'émetteur (résistance ou inductance) pour avoir une meilleure répartition.

$$\text{EXAMPLE : } I_T = 40 \text{ A} , I_1 \geq 15 \text{ A} , I_2 \leq 25 \text{ A}$$

OVERLOAD PROTECTION – PROTECTION CONTRE LES SURCHARGES –

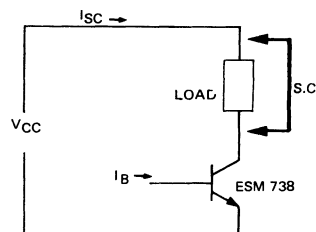
The ESM 738 in the switching mode is operating under an accidental overload when the collector current is superior to the rating I_{CM} . The new concept «ACCIDENTAL OVERLOAD AREA» completes the absolute maximum ratings of power transistors. This concept allows :

- to calculate a maximum value of the collector current under short-circuit conditions (for this a Kellogg network is given with the FBAOA),
- to find the maximum permissible duration of an overcurrent (with the aid of the FBAOA),
- to find the maximum permissible voltage during the turn off under overload (with the aid of the RBAOA).

L'ESM 738 en régime de commutation fonctionne en surcharge accidentelle lorsque le courant collecteur est supérieur à la limite I_{CM} . Le nouveau concept «AIRE DE SURCHARGE ACCIDENTELLE» complète les limites absolues d'utilisation des transistors de puissance. Ce concept permet :

- de calculer une valeur maximale du courant collecteur dans les conditions de court-circuit (pour cela nous donnons un réseau de Kellogg avec l'aire FBAOA),
- de trouver la durée maximale admissible d'une surcharge en courant (FBAOA)
- de trouver la valeur maximale admissible de la tension réappliquée pendant le blocage du transistor après la surcharge.

| | SHORT CIRCUIT CURRENT | PERMISSIBLE DURATION |
|-----------|--|---|
| Example A | $V_{CC} = 220 \text{ V} , I_B = 6 \text{ A}$ | $I_{SC} \leq 108 \text{ A}$ $\leq 20 \mu\text{s}$ |
| Example B | $V_{CC} = 300 \text{ V} , I_B = 8 \text{ A}$ | $I_{SC} \leq 120 \text{ A}$ $\leq 10 \mu\text{s}$ |



HIGH EFFICIENCY OPERATING

When the transistor is operating at collector current smaller than $I_C(SAT)$, its gain is higher and its $V_{CE}(sat)$ is smaller.
This leads to the following advantages:

- Lower conduction losses.
- Lower base drive power.
- Shorter switching times.

The minimum base current necessary to reach saturation can be determined with the aid of figure 7 .

FONCTIONNEMENT A FORT RENDEMENT

Quand le transistor fonctionne à un courant collecteur inférieur à $I_C(sat)$, son gain est plus élevé et sa tension de saturation est plus faible. Cela entraîne les avantages suivants :

- Des pertes de conduction plus faibles
- Une puissance de commande de base plus faible.
- Des temps de commutation plus faibles.

Le courant base minimum nécessaire pour saturer le transistor, peut être déterminé à l'aide de la figure 7 .

EXAMPLE: $I_C = 20 \text{ A}$ $I_B = 2 \text{ A}$ Forced gain : 10

DARLINGTON

The use of Darlington configuration allows :

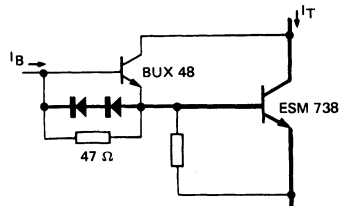
- a) High gain with I_C near $I_C(sat)$
EXAMPLE : BUX 48 + ESM 738 : for $I_T = 30 \text{ A}$, $I_B \leq 0,2 \text{ A}$ ($H_{21} = 150$)

- b) Higher collector current with normal gain
EXAMPLE : BUX 48 + ESM 738 : for $I_T = 60 \text{ A}$, $I_B \leq 2 \text{ A}$ ($H_{21} = 30$)

L'utilisation de la configuration Darlington permet :

- a) Un gain élevé avec I_C voisin de $I_C(sat)$
EXAMPLE : BUX 48 + ESM 738 , pour $I_T = 30 \text{ A}$, $I_B \leq 0,2 \text{ A}$ ($H_{21} = 150$)

- b) Un courant collecteur plus élevé avec un gain normal
EXAMPLE : BUX 48 + ESM 738 , pour $I_T = 60 \text{ A}$, $I_B \leq 2 \text{ A}$ ($H_{21} = 30$)



HIGH POWER SWITCH – COMMUTATION DE FORTE PUISSANCE

The dynamic sharing during the turn off is always better with parallel transistors, than with parallel Darlingtons.

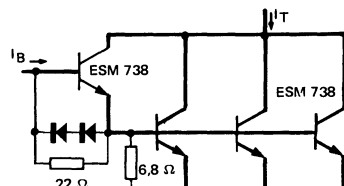
The use of parallel transistors in Darlington configuration allows to build very high power switches.

EXAMPLE : 1 ESM 738 Driver + 3 ESM 738 Power: $I_T = 170 \text{ A}$ with $I_B = 7 \text{ A}$
(Consult our factory for other combinaisons)

La répartition dynamique du courant pendant le blocage, est toujours meilleure avec des transistors en parallèle qu'avec des Darlingtons en parallèle.
L'utilisation de transistors en parallèle dans la configuration Darlington permet de réaliser des commutations de très forte puissance.

**EXAMPLE : 1 ESM 738 (commande) + 3 ESM 738 (puissance),
 $I_T = 170 \text{ A}$, pour $I_B = 7 \text{ A}$**

(Veuillez nous consulter pour d'autres combinaisons possibles)



CONSULT THE THOMSON CSF HANDBOOK

*Le transistor de puissance dans son environnement *
* The power transistor in its environment *
* Handbuch Schalttransistoren *

HIGH VOLTAGE, HIGH CURRENT DARLINGTONS
DARLINGTONS HAUTE TENSION,A FORT COURANT

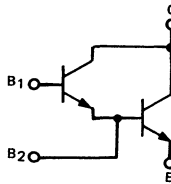
TENTATIVE DATA

SUPERSWITCH

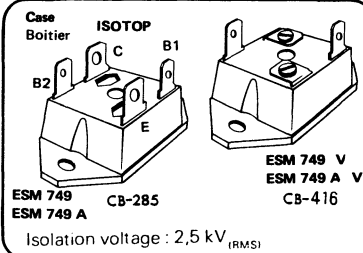
HIGH VOLTAGE , HIGH CURRENT DARLINGTONS ESPECIALLY
DESIGNED FOR FAST POWER SWITCHING IN BRIDGE CONVERTERS

NO PARASITIC COLLECTOR-EMITTER DIODE .BASE OF OUTPUT
STAGE AND OF DRIVER STAGE SEPARATELY CONNECTABLE.

WIDE ACCIDENTAL OVERLOAD AREA FOR EASY SHORT-
CIRCUIT PROTECTION.



| | ESM 749, (V) | ESM 749 A, (V) |
|--------------------|--------------|----------------|
| V _{C EW} | 400 V | 450 V |
| V _{C EV} | 850 V | 1000 V |
| I _{C sat} | 20 A | 20 A |
| I _{C SM} | 80 A | 80 A |



| ABSOLUTE RATINGS (LIMITING VALUES) VALEURS LIMITES ABSOLUES D'UTILISATION | | ESM 749,(V) | ESM 749 A, (V) | | |
|--|---|------------------|----------------|-----|---|
| Collector-emitter voltage Tension collecteur-émetteur | V _{CEO} | 400 | 450 | V | |
| Collector-emitter voltage Tension collecteur-émetteur | V _{C EV} | 850 | 1000 | V | |
| Emitter-base voltage Tension émetteur-base | V _{EBO} | 12 | 12 | V | |
| Collector-current Courant collecteur | I _C (RMS) I _{CM} | 25 35 | 25 35 | A | |
| Base-current Courant base | I _B (RMS) I _{BM} | 4 10 | 4 10 | A | |
| Power dissipation Dissipation de puissance | T _{case} =25°C | P _{tot} | 125 | 125 | W |
| Junction temperature Température de jonction | T _j | - 40 + 150 | | °C | |

| | | | | | |
|---|-----|----------------------|---|---|------|
| Thermal-resistance junction-case Résistance thermique jonction-boîtier | max | R _{th(j-c)} | 1 | 1 | °C/W |
|---|-----|----------------------|---|---|------|

June 1982 1/7

ESM 749,(V)- ESM 749 A,(V)

ELECTRICAL CHARACTERISTICS - CARACTERISTIQUES ELECTRIQUES**

| SYMBOLS | Min | Typ | Max | UNITS | TEST CONDITIONS - CONDITIONS DE MESURE |
|---------|-----|-----|-----|-------|--|
|---------|-----|-----|-----|-------|--|

OFF CHARACTERISTICS - CARACTERISTIQUES A L'ETAT BLOQUE

| | | | | | |
|--------------------------|------------|----------|----|---|--|
| V_{CEO} _{sus} | 400 450 | | | V | ESM 749 ESM 749 A $I_B = 0$, $I_C = 0,2 \text{ A}$, $L = 15 \text{ mH}$ |
| $V_{(BR)EBO}$ | 12 | | | V | $I_C = 0$, $I_B = 5 \text{ mA}$ |
| I_{CEV} | | 0,2 2 | mA | | $T_j = 25^\circ\text{C}$ $V_{CE} = V_{CEV}$, $V_{BE} = -7 \text{ V}$, $R_1 = 270 \Omega$, $R_2 = 100 \Omega$ $T_j = 100^\circ\text{C}$ Diodes(B ₁ -B ₂): 2 x PLQ 08 |
| I_{CER} | | 0,5 4 | mA | | $T_j = 25^\circ\text{C}$ $V_{CE} = V_{CEV}$, $R_1 \leq 27 \Omega$; $R_2 \leq 10 \Omega$ $T_j = 100^\circ\text{C}$ |
| I_{EBO} (T2) | | 1 | mA | | $I_C = 0$, $V_{BE2} = -7 \text{ V}$ |

ON CHARACTERISTICS - CARACTERISTIQUES A L'ETAT CONDUCTEUR

| | | | | | |
|----------------------------|--|-----|-----|---|--|
| V_{CEsat} * [*] | | 1,4 | 2 | V | $T_j = 100^\circ\text{C}$ $I_C = 20 \text{ A}$, $I_B = 1 \text{ A}$ |
| V_{CEsat} * [*] | | | 2,5 | V | $I_C = 30 \text{ A}$, $I_B = 3 \text{ A}$ |
| V_{BEsat} * [*] | | | 2,5 | V | $I_C = 20 \text{ A}$, $I_B = 1 \text{ A}$ |

SWITCHING CHARACTERISTICS – CARACTERISTIQUES DE COMMUTATION**

SWITCHING TIMES ON RESISTIVE LOAD - TEMPS DE COMMUTATION SUR CHARGE RESISTIVE

| | | | | | |
|----------|--|-----|-----|---------------|---|
| t_{on} | | 0,7 | 1 | μs | $V_{CC} = 150 \text{ V}$, $I_C = 20 \text{ A}$, $I_{B1} = 1 \text{ A}$, $R_C = 7,5 \Omega$, |
| t_s | | 1,7 | 2,5 | μs | $R_{BB} = 0,6 \Omega$, $-V_{BB} = 7 \text{ V}$, $t_p = 30 \mu\text{s}$ |
| t_f | | 0,6 | 1,2 | μs | |

TURN-ON SWITCHING CHARACTERISTICS - CARACTERISTIQUES DE COMMUTATION A LA MISE EN CONDUCTION

| | | | | | |
|-----------------------------|--|------------|--|------------------|--|
| di_C/dt | | 110 90 | | A/ μs | $T_j = 25^\circ\text{C}$ $V_{CC} = 300 \text{ V}$, $R_C = 0$, $I_{B1} = 1,5 \text{ A}$, $t_p = 30 \mu\text{s}$ $T_j = 100^\circ\text{C}$ |
| $V_{CE}(3 \mu\text{s})$ | | 5 10 | | V | $T_j = 25^\circ\text{C}$ $V_{CC} = 300 \text{ V}$, $R_C = 15 \Omega$, $I_{B1} = 1 \text{ A}$ $T_j = 100^\circ\text{C}$ |
| V_{CE} (5 μs) | | 2,8 5,2 | | V | $T_j = 25^\circ\text{C}$ $V_{CC} = 300 \text{ V}$, $R_C = 15 \Omega$, $I_{B1} = 1 \text{ A}$ $T_j = 100^\circ\text{C}$ |

TURN-OFF SWITCHING CHARACTERISTICS - CARACTERISTIQUES DE COMMUTATION A L'OUVERTURE

ON INDUCTIVE LOAD - SUR CHARGE INDUCTIVE

| With negative bias - Avec polarisation négative | | | | | |
|---|--|--------------|------|---------------|---|
| t_{si} | | 1,85 2,9 | 4 | μs | $T_j = 25^\circ\text{C}$ $T_j = 100^\circ\text{C}$ |
| t_{fi} | | 0,18 0,44 | 0,75 | μs | $T_j = 25^\circ\text{C}$ $T_j = 100^\circ\text{C}$ |
| t_{ti} | | 0,04 0,12 | | μs | $T_j = 25^\circ\text{C}$ $T_j = 100^\circ\text{C}$ |
| t_c | | 0,48 1,1 | | μs | $T_j = 25^\circ\text{C}$ $T_j = 100^\circ\text{C}$ |

With antisaturation network - Avec réseau antisaturation

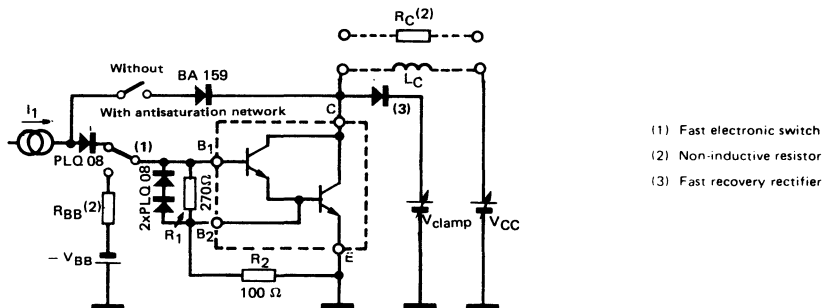
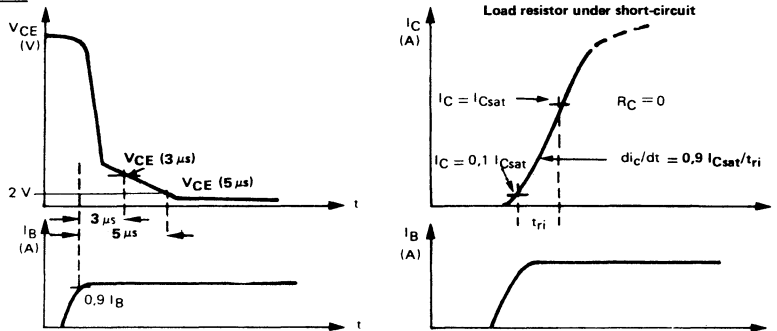
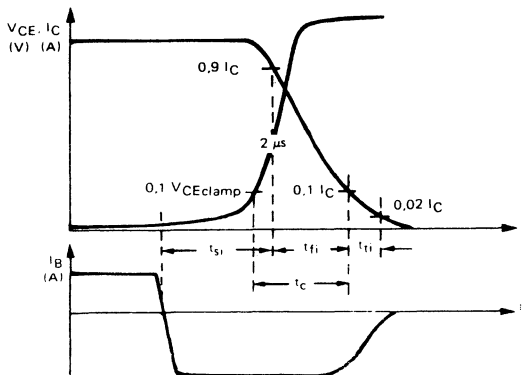
| | | | | | |
|----------|--|--------------|------|---------------|---|
| t_{si} | | 1,8 2,7 | 4 | μs | $T_j = 25^\circ\text{C}$ $T_j = 100^\circ\text{C}$ |
| t_{fi} | | 0,22 0,46 | 0,75 | μs | $T_j = 25^\circ\text{C}$ $T_j = 100^\circ\text{C}$ |
| t_{ti} | | 0,05 0,14 | | μs | $T_j = 25^\circ\text{C}$ $T_j = 100^\circ\text{C}$ |
| t_c | | 0,58 1,12 | | μs | $T_j = 25^\circ\text{C}$ $T_j = 100^\circ\text{C}$ |

** $T_j = 25^\circ\text{C}$ Unless otherwise stated

* Pulses
Impulsions $t_p \leq 300 \mu\text{s}$ $\delta \leq 2 \%$

FIGURE 1 : TEST CIRCUIT FOR SWITCHING TIMES

- with resistive load
- with inductive load without antisaturation network
- with inductive load with antisaturation network

**FIGURE 2 : TURN-ON SWITCHING WAVEFORMS****FIGURE 3 : TURN-OFF SWITCHING WAVEFORMS (INDUCTIVE LOAD)**

ESM 749,(V)- ESM 749 A,(V)

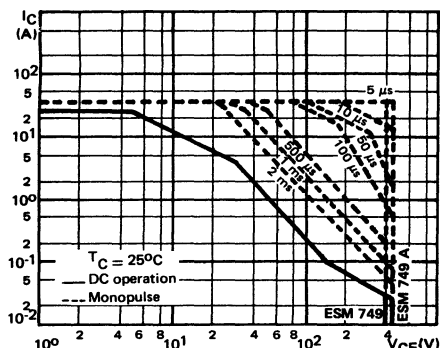


FIGURE 4 : DC and pulse area

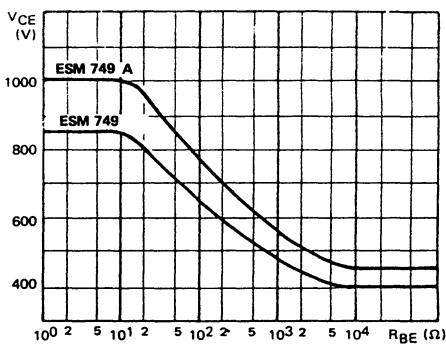


FIGURE 5 : Collector-emitter voltage vs base-emitter resistance.

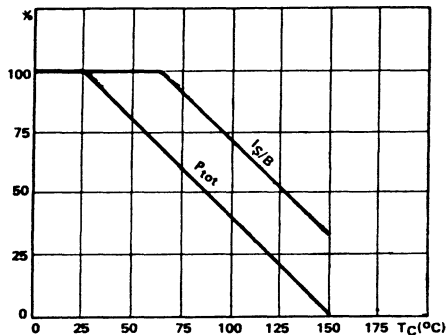


FIGURE 6 : Power and I_S/B derating vs case temperature

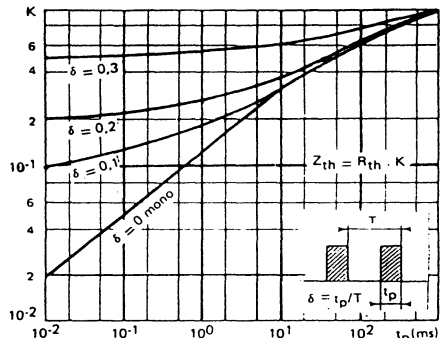
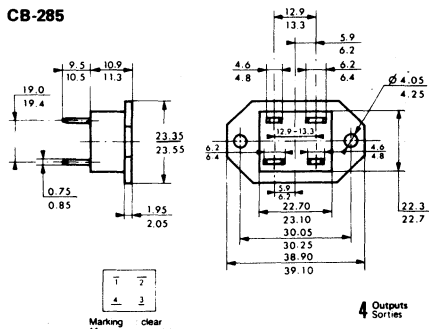


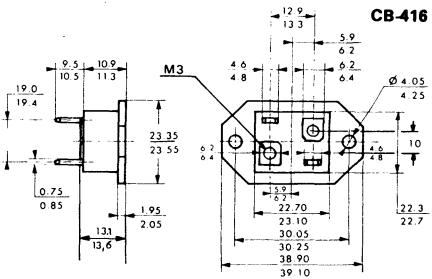
FIGURE 7 : Transient thermal response

CASE OUTLINES

CB-285



CB-416



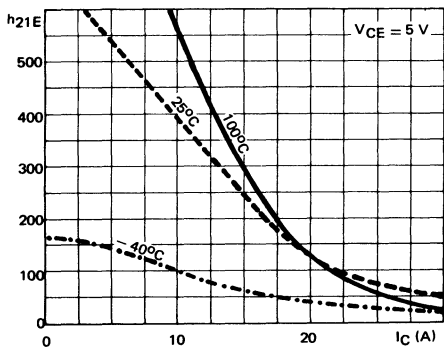


FIGURE 9 : DC current gain

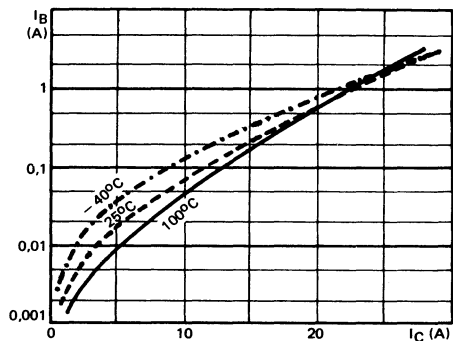


FIGURE 10: Minimum base current to saturate the transistor

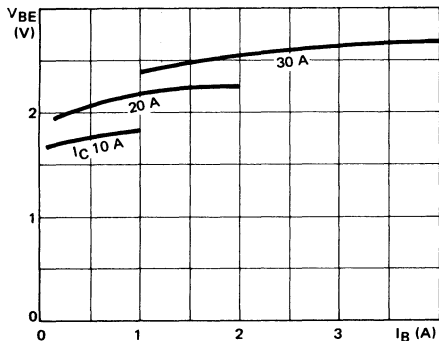


FIGURE 11: Base characteristics

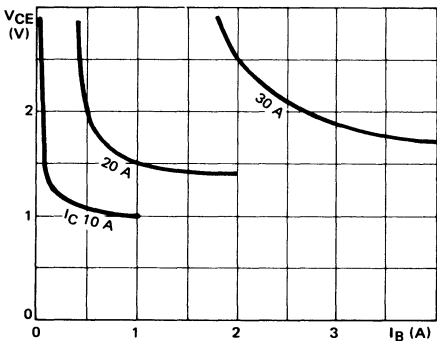


FIGURE 12: Collector saturation region

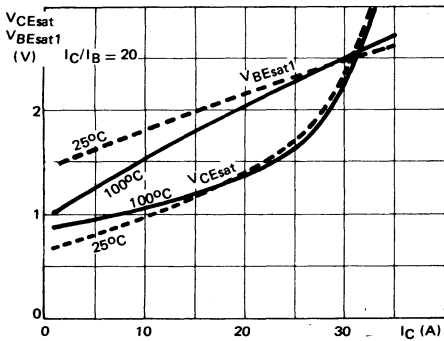


FIGURE 13: Saturation voltages

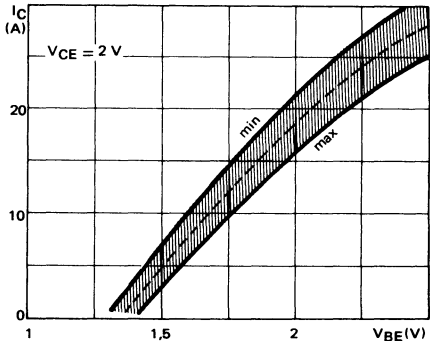
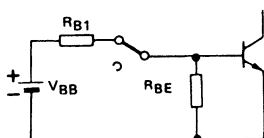


FIGURE 14 : Collector current spread vs base emitter voltage

ESM 749,(V)- ESM 749 A,(V)



TRANSISTOR FORWARD BIASED

- During the turn on
- During the turn off without negative base-emitter voltage and $R_{BE} \leq 50 \Omega$

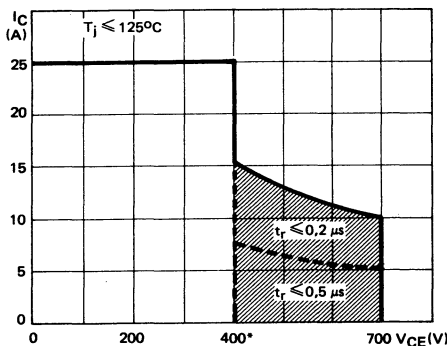
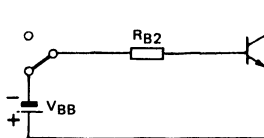


FIGURE 15 : Forward biased safe operating area (FBSOA)
* ESM 749 A: 450 V



TRANSISTOR REVERSE BIASED

- During the turn off with negative base-emitter voltage

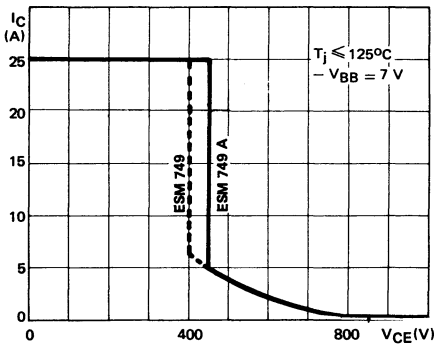


FIGURE 16 : Reverse biased safe operating area (RB SOA)

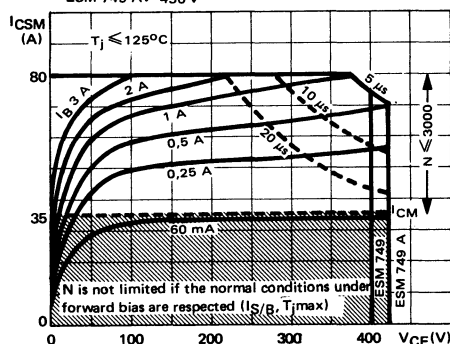


FIGURE 17 : Forward biased accidental overload area (FBAOA)

Figure 15 : The hatched zone can only be used for turn on.

Figures 17 and 18 : High accidental surge currents ($I > I_{CM}$) are allowed if they are non repetitive and applied less than 3000 times during the component life.

Figure 17 : The Kellogg network (heavy print) allows the calculation of the maximum value of the short-circuit current for a given base current I_B (90 % confidence).

Figure 18 : After the accidental overload current, the RBAOA has to be used for the turn off.

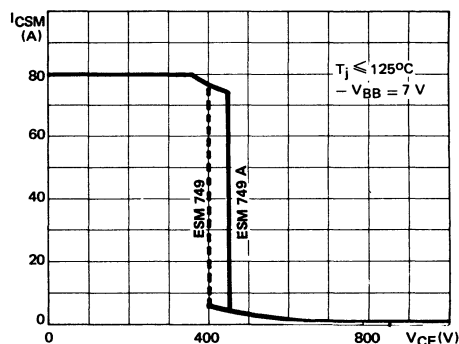


FIGURE 18 : Reverse biased accidental overload area (RBAOA)

Figure 15 : La zone hachurée ne doit être utilisée que pour la mise en conduction.

Figures 17 et 18 : De forts courants de surcharge ($I > I_{CM}$) sont permis s'ils sont non répétitifs et appliqués moins de 3000 fois dans la vie du composant.

Figure 17 : Le réseau de Kellogg (trait gras) permet le calcul de la valeur maximale du courant de court-circuit pour un courant de base donné I_B (90 % de confiance).

Figure 18 : Après le passage du courant de surcharge accidentelle, on doit utiliser l'aire de surcharge accidentelle en polarisation inverse pour l'ouverture.

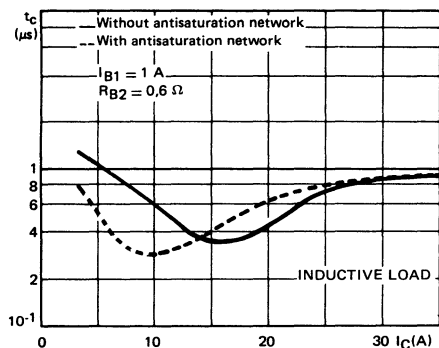


FIGURE 19 : Switching time vs collector current

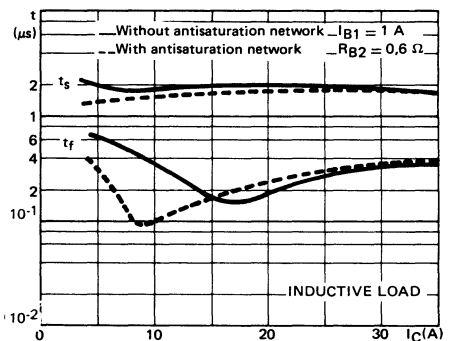


FIGURE 20 : Switching times vs collector current

SUPERSWITCH

NPN HIGH VOLTAGE SWITCHING TRANSISTORS

TRANSISTORS NPN HAUTE TENSION DE COMMUTATION

SUPERSWITCH

VERY HIGH VOLTAGE , HIGH SPEED TRANSISTOR SUITED FOR:

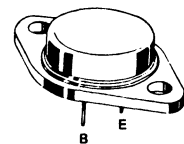
- THE 380/440 V MAINS
- THE PARALLEL AND DARLINGTON CONFIGURATIONS
- DC/DC AND DC/AC INVERTERS
- MOTOR CONTROL

Data sheet tailored for switching applications

- Key parameters characterized at 100°C
- High blocking capability - 1000 V
- Information for parallel mounting
- Information for use in darlington configuration

| | ESM 750 | ESM 750 A |
|-------------------------|----------------|------------------|
| V_{CEO} sus | 600 V | 700 V |
| V_{CEX} | 900 V | 1000 V |
| I_{Csat} | 6 A | 6 A |
| I_{CSM} | 45 A | 45 A |
| t_f (100 °C) max | 0,6 μ s | 0,6 μ s |

Case
Boîtier TO 3



ABSOLUTE RATINGS (LIMITING VALUES)
VALEURS LIMITES ABSOLUES D'UTILISATION

| | | ESM 750 | ESM 750 A | |
|---|-------------------|----------------|------------------|-----|
| Collector-emitter voltage <i>Tension collecteur-émetteur</i> | V_{CEO} | 600 | 700 | V |
| Collector-emitter voltage <i>Tension collecteur-émetteur</i> | V_{CEX} | 900 | 1000 | V |
| Emitter-base voltage <i>Tension émetteur-base</i> | V_{EBO} | 7 | 7 | V |
| Collector current <i>Courant collecteur</i> | I_C I_{CM} | 12 25 | 12 25 | A |
| Base current <i>Courant base</i> | I_B I_{BM} | 4 10 | 4 10 | A |
| Power dissipation <i>Dissipation de puissance</i> | T_{case} 25 °C | 150 | 150 | W |
| Junction temperature <i>Température de jonction</i> | max | T_j | 175 | 175 |
| | | | | °C |

| | | | | | |
|--|-----|---------------|---|---|------|
| Junction-case thermal resistance <i>Résistance thermique jonction-boîtier</i> | max | $R_{th(j-c)}$ | 1 | 1 | °C/W |
|--|-----|---------------|---|---|------|

ESM 750 - ESM 750 A

ELECTRICAL CHARACTERISTICS – CARACTÉRISTIQUES ÉLECTRIQUES **

| SYMBOLS | Min | Typ | Max | UNIT | | TEST CONDITIONS – CONDITIONS DE MESURE |
|---------|-----|-----|-----|------|--|--|
|---------|-----|-----|-----|------|--|--|

OFF CHARACTERISTICS – CARACTÉRISTIQUES A L'ÉTAT BLOQUÉ

| | | | | | | |
|---------------|-----|----------|--|----|-----------|---|
| V_{CEO} us | 600 | | | V | ESM 750 | $I_B = 0, I_C = 0,2 \text{ A}, L = 25 \text{ mH}$ |
| | 700 | | | | ESM 750 A | |
| $V_{(BR)EB0}$ | 7 | | | V | | $I_C = 0, I_B = 50 \text{ mA}$ |
| I_{CEX} | | 0,3 2 | | mA | | $T_{case} = 25^\circ\text{C}$ $T_{case} = 125^\circ\text{C}$ $V_{CE} = V_{CEX}, V_{BE} = -3 \text{ V}$ |
| I_{CER} | | 0,5 4 | | mA | | $T_{case} = 25^\circ\text{C}$ $T_{case} = 125^\circ\text{C}$ $V_{CE} = V_{CEX}, R_{BE} \leq 10 \Omega$ |
| I_{EBO} | | 1 | | mA | | $I_C = 0, V_{EB} = 5 \text{ V}$ |

ON CHARACTERISTICS – CARACTÉRISTIQUES A L'ÉTAT CONDUCTEUR

| | | | | | | |
|---------------|--|-----|---|--|--|--------------------------------|
| V_{CEsat}^* | | 1,8 | V | | $I_C = 6 \text{ A}, I_B = 1,5 \text{ A}$ | $T_{case} = 100^\circ\text{C}$ |
| | | 2,5 | | | $I_C = 10 \text{ A}, I_B = 5 \text{ A}$ | |
| V_{BESat}^* | | 2 | V | | $I_C = 6 \text{ A}, I_B = 1,5 \text{ A}$ | |

DYNAMIC CHARACTERISTICS – CARACTÉRISTIQUES DYNAMIQUES

| | | | | |
|-----------|-----|-----|--|---|
| t_T | 5 | MHz | | $f = 1 \text{ MHz}, I_C = 1 \text{ A}, V_{CE} = 10 \text{ V}$ |
| C_{22b} | 230 | pF | | $f = 1 \text{ MHz}, V_{CE} = 10 \text{ V}$ |

SWITCHING CHARACTERISTICS – CARACTÉRISTIQUES DE COMMUTATION

Resistive load – Charge résistive

| | | | | | |
|----------|------|-----|---------------|--|---|
| t_{on} | 0,4 | 0,8 | μs | | $V_{CC} = 300 \text{ V}, I_C = 6 \text{ A}, I_{B1} = -I_{B2} = 1,5 \text{ A}$ |
| t_s | 2,2 | 4 | | | |
| t_f | 0,35 | 0,7 | | | |

Inductive load – Charge inductive

| | | | | | |
|-------|------|---------------|--|--------------------------|---|
| t_s | 3,5 | μs | | $T_j = 25^\circ\text{C}$ | $V_{CC} = 300 \text{ V}, I_C = 6 \text{ A},$ |
| | 0,15 | | | | $L_B = 3 \mu\text{H}, I_{Bend} = 1,5 \text{ A}$ |
| | 4,2 | | | | $T_j = 100^\circ\text{C}$ |
| | 0,33 | | | | $V_B = -5 \text{ V}$ |

* Pulse - Impulsions $t_p = 300 \mu\text{s}$ $\delta \leq 2 \%$

** $T_{case} = 25^\circ\text{C}$ Unless otherwise stated - Sauf indications contraires

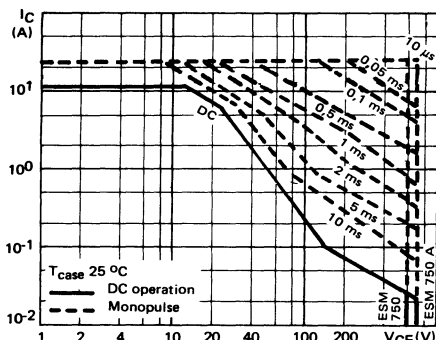


FIGURE 1 : DC and pulse area

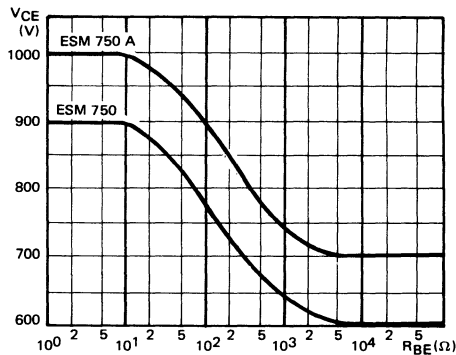


FIGURE 2 :Collector-emitter voltage vs base-emitter resistance

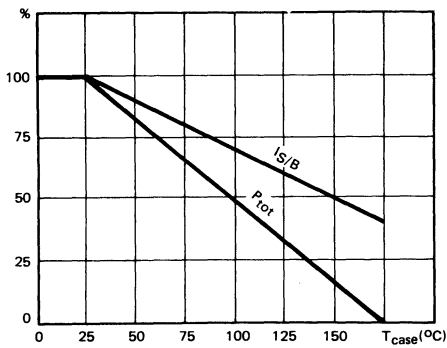
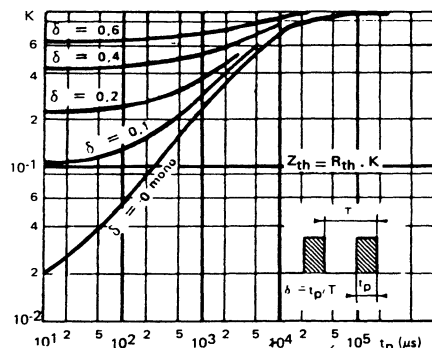
FIGURE 3 : Power and $I_{S/B}$ derating vs case temperature

FIGURE 4 : Transient thermal response

ESM 750 - ESM 750 A

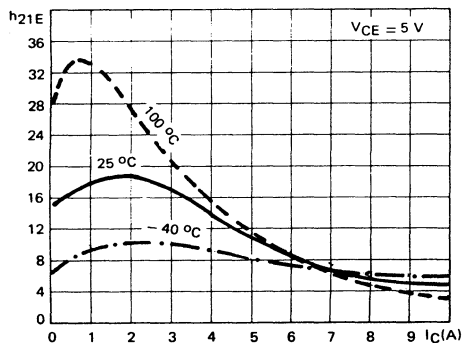


FIGURE 6 : DC current gain

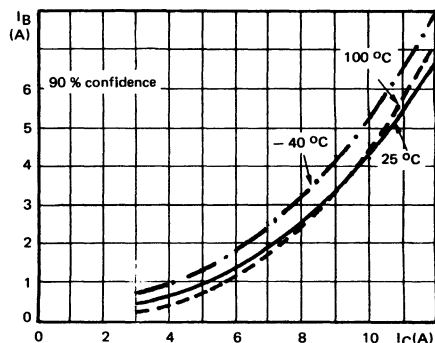


FIGURE 7 : Minimum base current to saturate the transistor

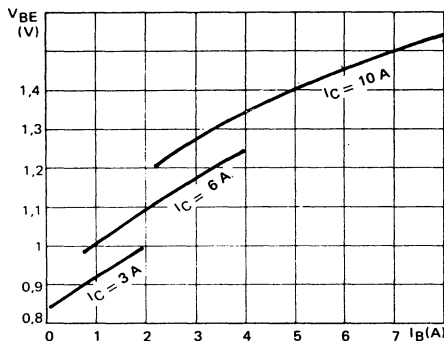


FIGURE 8 : Base characteristics

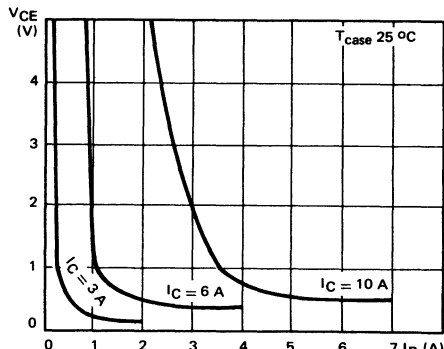


FIGURE 9 : Collector saturation region

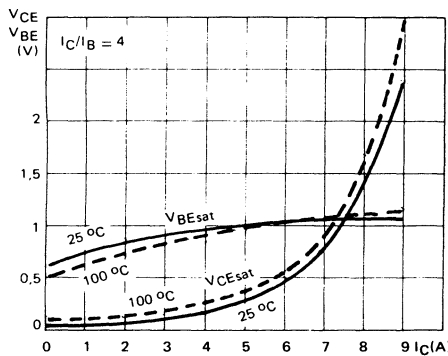


FIGURE 10 : Saturation voltage

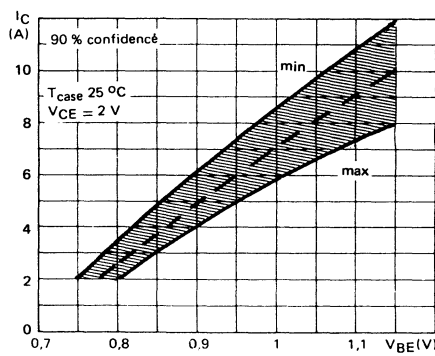
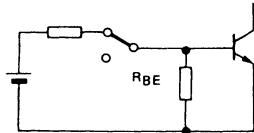


FIGURE 11 : Collector current spread vs base-emitter voltage

SWITCHING OPERATING AND OVERLOAD AREAS



TRANSISTOR FORWARD BIASED

- During the turn on
- During the turn off without negative base-emitter voltage and $R_{BE} \leq 100 \Omega$

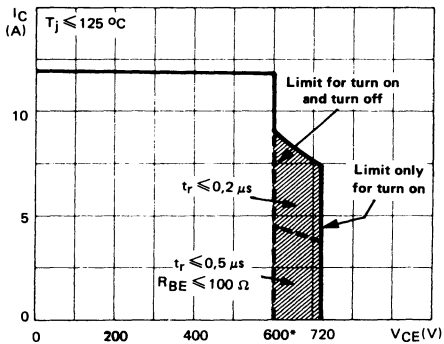
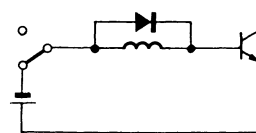


FIGURE 12 : Forward biased safe operating area (FBSOA)



TRANSISTOR REVERSE BIASED

- During the turn off with negative base-emitter voltage

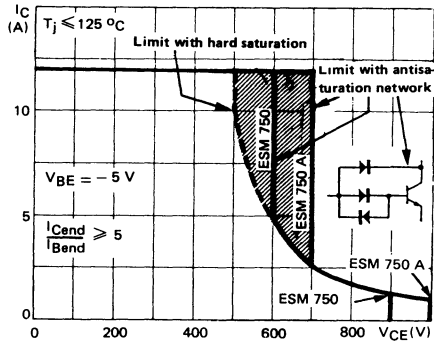


FIGURE 13: Reverse biased safe operating area (RBSOA)

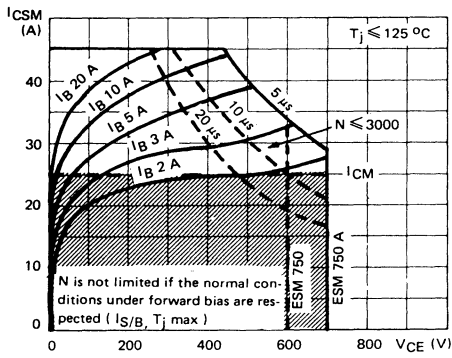


FIGURE 14 : Forward biased accidental overload area (FBAOA)

* ESM 750 A = 700 V

Figure 12 : The hatched zone can only be used for turn on.

Figures 13 and 15 : Switch off starting from the quasi saturated state ($V_{CE} \geq 1.5$ V) allows to extend the RBSOA and the RBAOA to the hatched zone.

Figures 14 and 15 : High accidental surge currents ($I > I_{CM}$) are allowed if they are non repetitive and applied less than 3000 times during the component's life.

Figure 14 : The Kellogg network (heavy point) allows the calculation of the maximum value of the short-circuit current for a given base current I_B (90 % confidence).

Figure 15 : After the accidental overload current, the RBAOA has to be used for the turn off. As in traffic regulation one is allowed to cross the broken line before the continuous line. One is forbidden to cross the single continuous line.

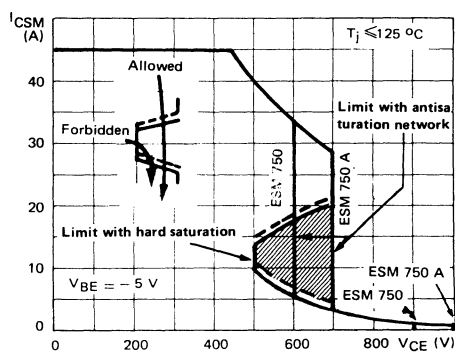


FIGURE 15 : Reverse biased accidental overload area (RBAOA)

Figure 12 : La zone hachurée ne doit être utilisée que pour la mise en conduction.

Figures 13 et 15 : Le blocage à partir de l'état quasi-saturé ($V_{CE} \geq 1.5$ V) permet d'étendre les aires de fonctionnement et de surcharge en inverse jusqu'à la zone hachurée.

Figures 14 et 15 : De forts courants de surcharge ($I > I_{CM}$) sont permis s'ils sont non répétitifs et appliqués moins de 3000 fois dans la vie du composant.

Figure 14 : Le réseau de Kellogg (trait gras) permet le calcul de la valeur maximale du courant de court-circuit pour un courant de base donné I_B (90 % de confiance).

Figure 15 : Après le passage du courant de surcharge accidentelle on doit utiliser l'aire de surcharge accidentelle en polarisation inverse pour l'ouverture. Il est permis de traverser la ligne continue à condition de traverser d'abord la ligne pointillée.

ESM 750 - ESM 750 A

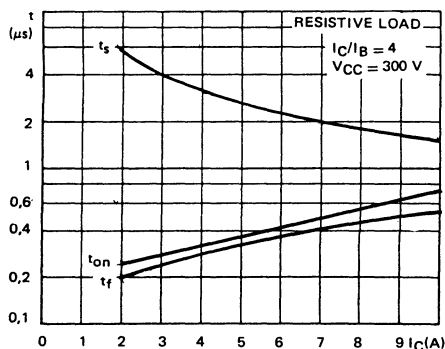


FIGURE 16 : Switching times vs collector current (resistive load)

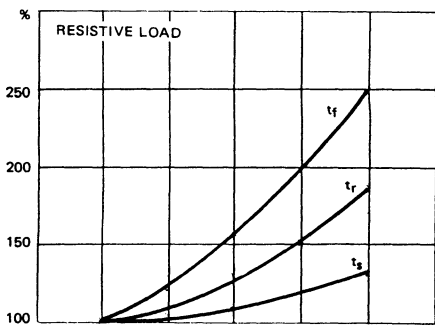


FIGURE 17 : Switching times vs junction temperature (resistive load)

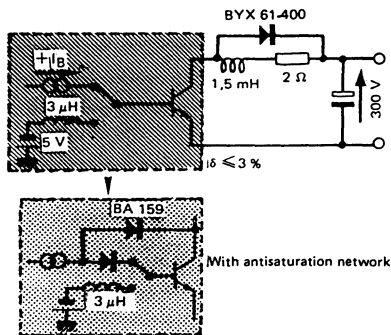


FIGURE 18 : Switching times test circuit on inductive load (with and without antisaturation network)

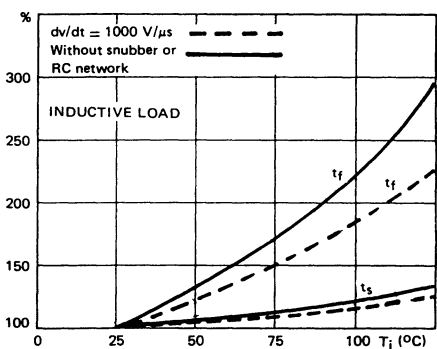


FIGURE 19 : Switching times vs junction temperature (inductive load)

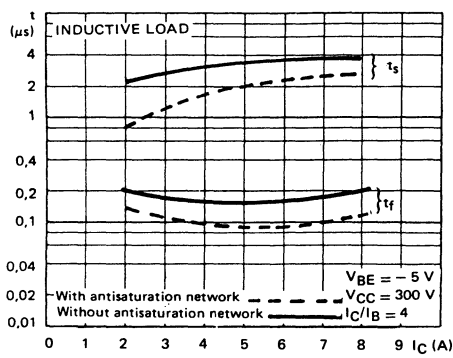


FIGURE 20 : Switching times vs collector current (with and without antisaturation network)

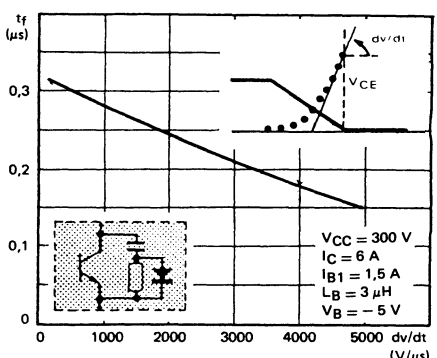


FIGURE 21 : Fall times vs reapply voltage slope

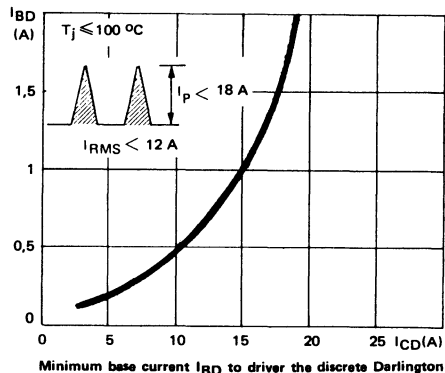
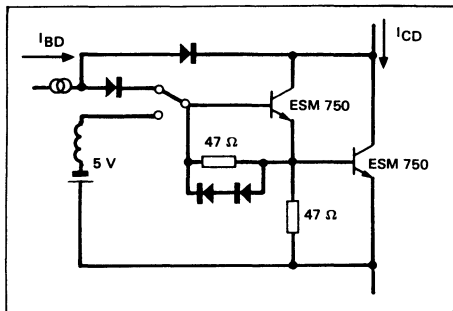
applications

The ESM 750 is designed for high voltage (380/440 V mains) and high current applications.

| | |
|---------------------------------|--|
| $I_{C\text{sat}} = 6 \text{ A}$ | $P_S \text{ switchable power} = V_{\text{CEO}} \cdot I_{C\text{sat}} = 4,2 \text{ KW}$ |
|---------------------------------|--|

To increase its power switching capability, it can be used in discrete Darlington configurations.

EXAMPLE 1 :

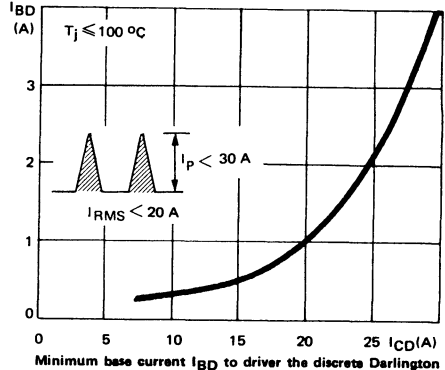
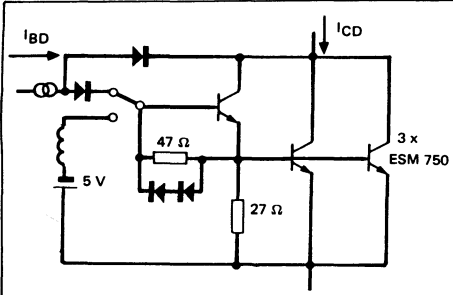


Minimum base current I_{BD} to driver the discrete Darlington

In this configuration the discrete Darlington can switch:

| | | |
|-------------------------|------|--------------------------|
| $I_{CD} = 15 \text{ A}$ | with | $I_{BD} = 1 \text{ A}$ |
| $I_{CD} = 10 \text{ A}$ | with | $I_{BD} = 0,5 \text{ A}$ |

EXAMPLE 2 :



Minimum base current I_{BD} to driver the discrete Darlington

In this configuration the discrete Darlington can switch :

| | | |
|-------------------------|------|--------------------------|
| $I_{CD} = 20 \text{ A}$ | with | $I_{BD} = 1 \text{ A}$ |
| $I_{CD} = 10 \text{ A}$ | with | $I_{BD} = 0,3 \text{ A}$ |

SUPERSWITCH

VERY HIGH VOLTAGE, HIGH SPEED TRANSISTORS SUITED FOR :

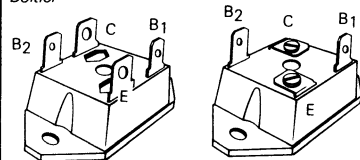
- THE 380/440 V MAINS
- THE PARALLEL AND DARLINGTON CONFIGURATIONS
- DC/DC AND DC/AC CONVERTERS
- MOTOR CONTROL

Data sheet tailored for switching applications

- ISOTOP : isolated collector package
- Key parameters characterized at 100°C
- High blocking capability - 1000 V
- Information for parallel mounting
- Information for use in darlington configuration

| | ESM 752,(V) | ESM 752 A, (V) |
|---------------------------------|-------------|----------------|
| V _{CEO(sus)} | 600 V | 700 V |
| V _{CEV} | 900 V | 1000 V |
| I _{Csat} | 12 A | |
| I _{CM} | | 90 A |
| t _f (100°C) (max) | 600 ns | |

Case
Boîtier : ISOTOP



ESM 752-ESM 752A ESM 752 V-ESM 752 AV
CB-285 CB-416

Isolation voltage : 2,5 kV(RMS)

ABSOLUTE RATINGS (LIMITING VALUES) VALEURS LIMITES ABSOLUES D'UTILISATION

T_{case} = 25°C

| | | ESM 752,(V) | ESM 752 A, (V) | Units |
|--|-----------------------------------|-------------|----------------|-------|
| Collector-emitter voltage Tension collecteur-émetteur | V _{CEO} | 600 | 700 | V |
| Collector-emitter voltage Tension collecteur-émetteur | V _{CEV} | 900 | 1000 | V |
| Emitter-base voltage Tension émetteur-base | V _{EBO} | 7 | | V |
| Collector current Courant collecteur | I _C I _{CM} | 24 50 | | A |
| Base current Courant base | I _B I _{BM} | 8 20 | | A |
| Power dissipation Dissipation de puissance | P _{tot} | 150 | | W |
| Junction temperature Température de jonction | T _j | 150 | | °C |

| | | | | |
|---|------|----------------------|------|------|
| Junction-case thermal resistance Résistance thermique jonction-boîtier | max. | R _{th(j-c)} | 0,83 | °C/W |
|---|------|----------------------|------|------|

ESM 752, (V) - ESM 752 A, (V)
ELECTRICAL CHARACTERISTICS - CARACTÉRISTIQUES ÉLECTRIQUES**

| SYMBOLS | Min. | Typ. | Max. | UNITS | TEST CONDITIONS - CONDITIONS DE MESURE |
|----------------|-------------|-------------|-------------|--------------|---|
|----------------|-------------|-------------|-------------|--------------|---|

OFF CHARACTERISTICS - CARACTÉRISTIQUES A L'ÉTAT BLOQUÉ

| | | | | | |
|-----------------|-----|-----|--|----|--|
| V_{CEO} (sus) | 600 | | | V | $\left. \begin{array}{l} ESM\ 752,\ (V) \\ ESM\ 752\ A,\ (V) \end{array} \right\} I_B = 0, I_C = 0,2\ A, L = 25mH$ |
| | 700 | | | | $I_C = 0, I_B = 0,1\ A$ |
| $V_{(BR)EBO}$ | 7 | | | | |
| I_{CEV} | | 0,4 | | mA | $\left. \begin{array}{l} V_{CE} = V_{CEV}, \\ T_{case} = 125^{\circ}C \end{array} \right\} V_{BE} = - 3\ V$ |
| | | 4 | | | |
| I_{CER} | | 1 | | | $\left. \begin{array}{l} V_{CE} = V_{CEV}, \\ T_{case} = 125^{\circ}C \end{array} \right\} R_{BE} \leq 5\Omega$ |
| | | 8 | | | |
| I_{EBO} | | 2 | | | $I_C = 0, V_{EB} = 5\ V$ |

ON CHARACTERISTICS - CARACTÉRISTIQUES A L'ÉTAT CONDUCTEUR

| | | | | |
|---------------|--|-----|---|--|
| V_{CEsat^*} | | 1,8 | V | $I_C = 12\ A, I_B = 3\ A, T_{case} = 100^{\circ}C$ |
| | | 2,5 | | $I_C = 20\ A, I_B = 10\ A$ |
| V_{BESat^*} | | 2 | | $I_C = 12\ A, I_B = 3\ A$ |

DYNAMIC CHARACTERISTICS - CARACTÉRISTIQUES DYNAMIQUES

| | | | | |
|-----------|--|-----|-----|--|
| f_T | | 5 | MHz | $f = 1\ MHz, I_C = 1\ A, V_{CE} = 10\ V$ |
| C_{22b} | | 460 | pF | $f = 1\ MHz, V_{CE} = 10\ V$ |

SWITCHING CHARACTERISTICS - CARACTÉRISTIQUES DE COMMUTATION

| Résistive load - Charge résistive | | | | | |
|--|--|------|-----|---------|--|
| t_{on} | | 0,4 | 0,8 | μs | $V_{CC} = 300\ V, I_C = 12\ A, I_{B1} = - I_{B2} = 3\ A$ |
| t_s | | 2,2 | 4 | | |
| t_f | | 0,35 | 0,7 | | |

| Inductive load - Charge inductive | | | | | |
|--|--|------|-----|---------|--|
| t_s | | 3,5 | | μs | $\left. \begin{array}{l} V_{CC} = 300\ V, I_C = 12\ A, \\ L_B = 1,5\mu H, I_{Bend} = 3\ A \\ T_j = 100^{\circ}C \end{array} \right\} V_B = - 5\ V$ |
| t_f | | 0,15 | | | |
| t_s | | 4,2 | 7 | | |
| t_f | | 0,33 | 0,6 | | |

*Pulse - Impulsions $t_p = 300\ \mu s, \delta \leq 2\ %$ - ** $T_{case} = 25^{\circ}C$ Unless otherwise stated - Sauf indications contraires

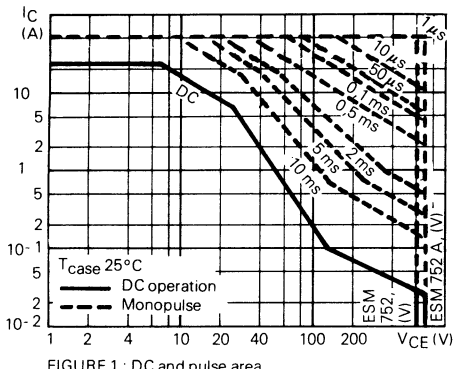


FIGURE 1 : DC and pulse area

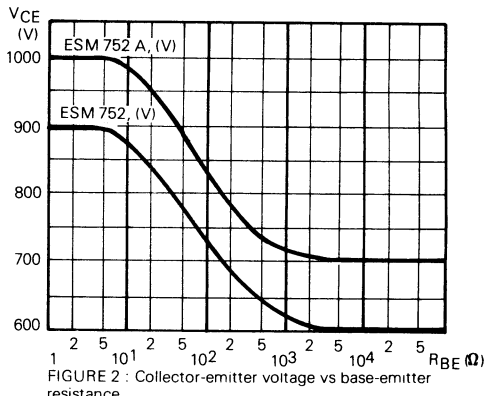


FIGURE 2 : Collector-emitter voltage vs base-emitter resistance

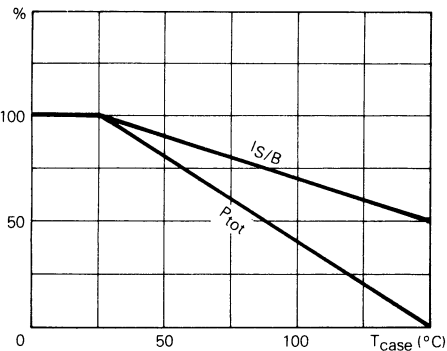
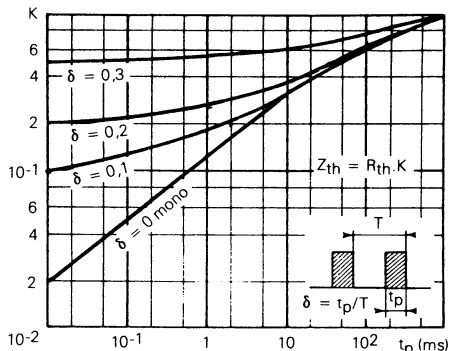
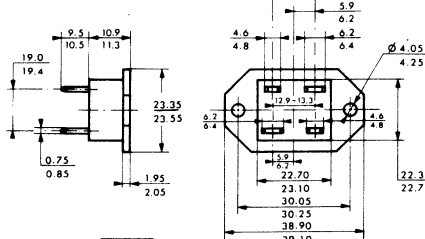
FIGURE 3 : Power and $I_{S/B}$ derating vs case temperature

FIGURE 4 : Transient thermal response

CASE OUTLINES

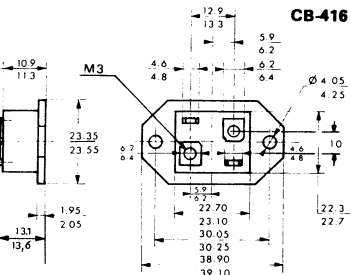
CB-285



Marking : clear
Marquage : en clair
Note : Pin 3 may be omitted
La broche 3 peut être omise

4 Outputs Sorties

CB-416



ESM 752, (V) - ESM 752 A, (V)

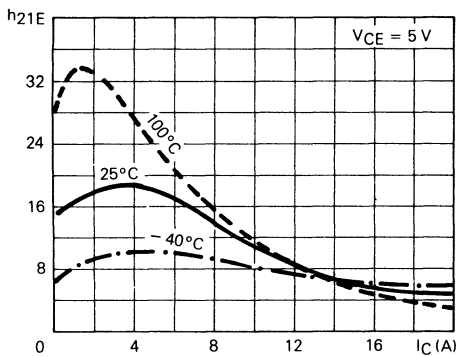


FIGURE 6 : DC current gain

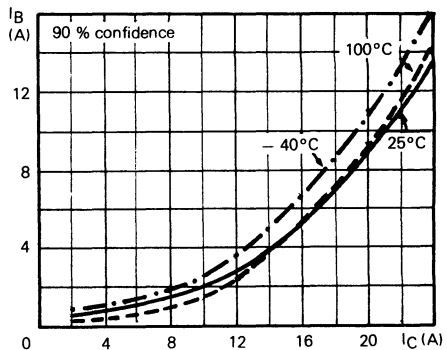


FIGURE 7 : Minimum base current to saturate the transistor

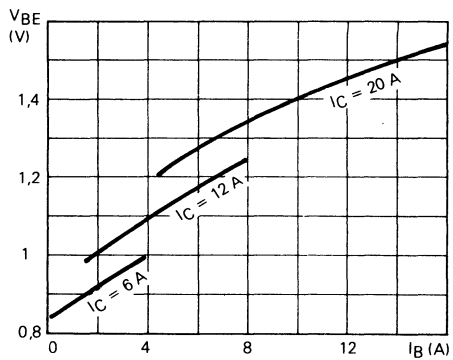


FIGURE 8 : Base characteristics

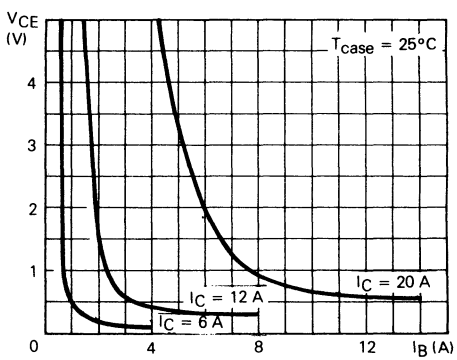


FIGURE 9 : Collector saturation region

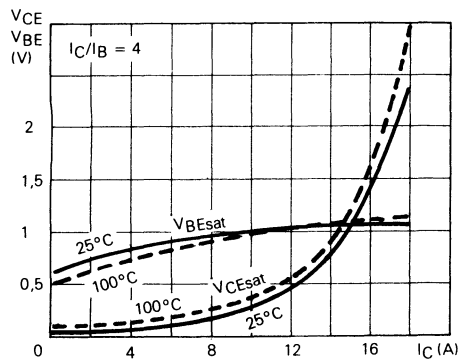


FIGURE 10 : Saturation voltage

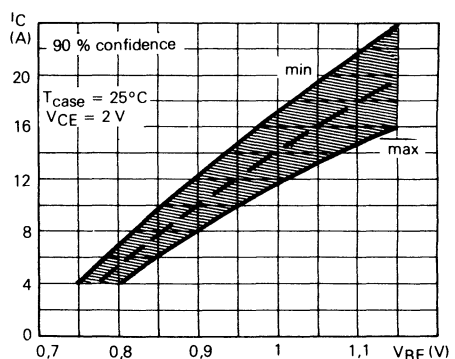
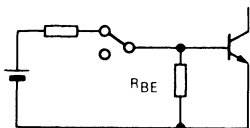


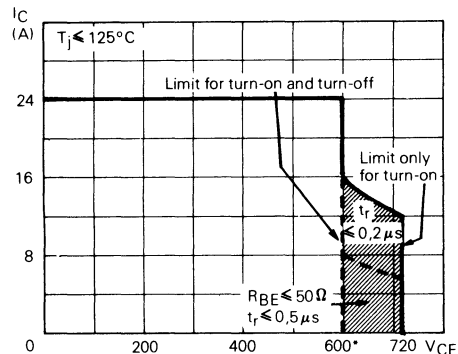
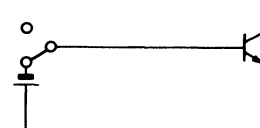
FIGURE 11 : Collector current spread vs base-emitter voltage

SWITCHING OPERATING OVERLOAD AREAS



TRANSISTOR FORWARD BIASED

- During the turn-on
- During the turn-off without negative base-emitter voltage and $R_{BE} \geq 50\Omega$

FIGURE 12 : Forward biased safe operating area (V)
(VFSOA)

TRANSISTOR REVERSE BIASED

- During the turn-off with negative base-emitter voltage

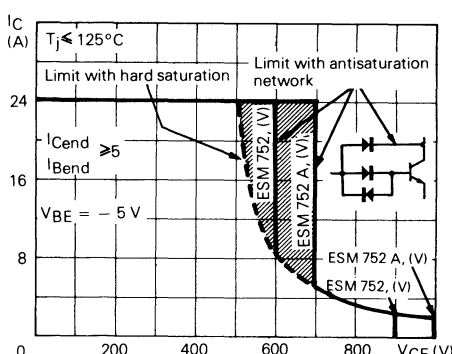
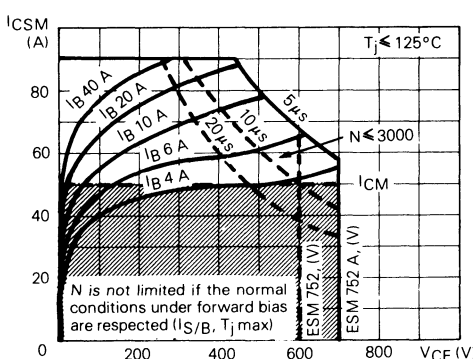
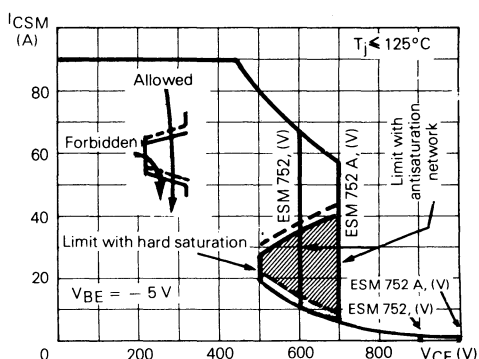


FIGURE 13 : Reverse biased safe operating (RBSOA)

FIGURE 14 : Forward biased accidental overload area
(FBAOA)

• ESM 752 A, (V) : 700 V

Figure 12 : The hatched zone can only be used for turn on.**Figures 13 and 15 :** Switch off starting from the quasi saturated state ($V_{CE} \geq 1,5$ V) allows to extend the RBSOA and the RBAOA to the hatched zone.**Figures 14 and 15 :** High accidental surge current ($I > I_{CM}$) are allowed if they are non repetitive and applied less than 3000 times during the component life.**Figure 14 :** The Kellogg network (heavy point) allows the calculation of the maximum value of the short-circuit current for a given base current I_B (90 % confidence).**Figure 15 :** After the accidental overload current, the RBAOA has to be used for the turn off. As in traffic regulation one is allowed to cross the broken line before the continuous line. One is forbidden to cross the single continuous line.FIGURE 15 : Reverse biased accidental overload area
(RBAOA)**Figure 12 :** La zone hachurée ne doit être utilisée que pour la mise en conduction.**Figures 13 et 15 :** Le blocage à partir de l'état quasi-saturé ($V_{CE} \geq 1,5$ V) permet d'étendre les aires de fonctionnement et de surcharge en inverse jusqu'à la zone hachurée.**Figures 14 et 15 :** De forts courants de surcharge ($I > I_{CM}$) sont permis s'ils sont non répétitifs et appliqués moins de 3000 fois dans la vie du composant.**Figure 14 :** Le réseau de Kellogg (trait gras) permet le calcul de la valeur maximale du courant de court-circuit pour un courant de base donné I_B (90 % de confiance).**Figure 15 :** Après le passage du courant de surcharge accidentelle on doit utiliser l'aire de surcharge accidentelle en polarisation en inverse pour l'ouverture. Il est permis de traverser la ligne continue à condition de traverser d'abord la ligne pointillée.

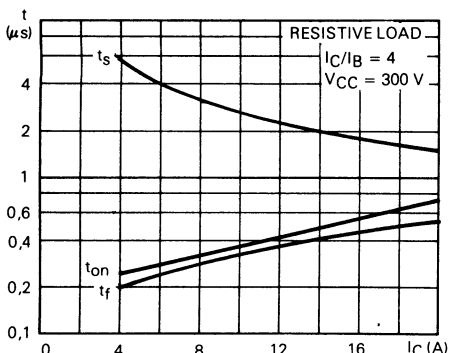


FIGURE 16 : Switching times vs collector current (resistive load)

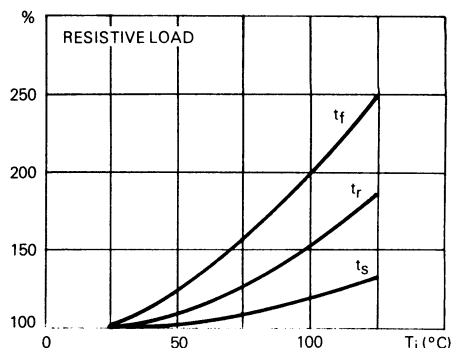


FIGURE 17 : Switching times vs junction temperature (resistive load)

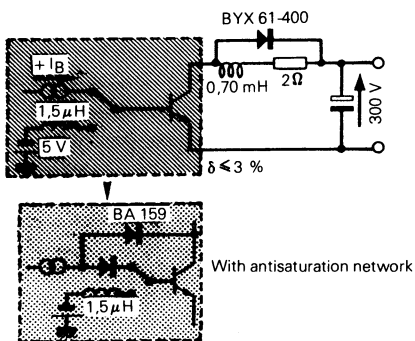


FIGURE 18 : Switching times test circuit on inductive load (with and without antisaturation network)

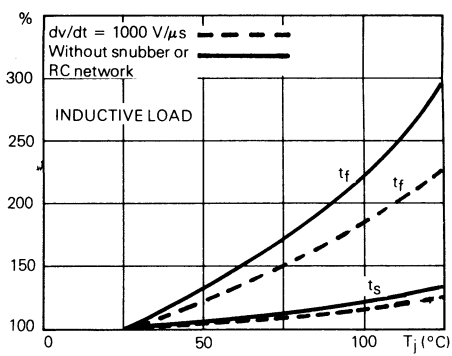


FIGURE 19 : Switching times vs junction temperature (inductive load)

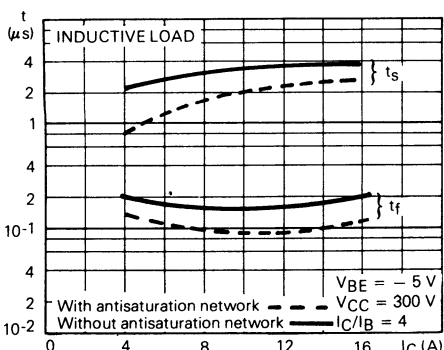


FIGURE 20 : Switching times vs collector current (with and without antisaturation network)

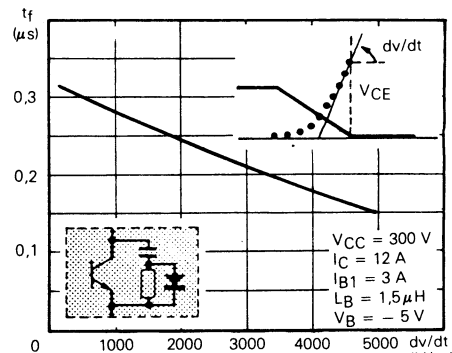


FIGURE 21 : Fall times vs reapply voltage slope

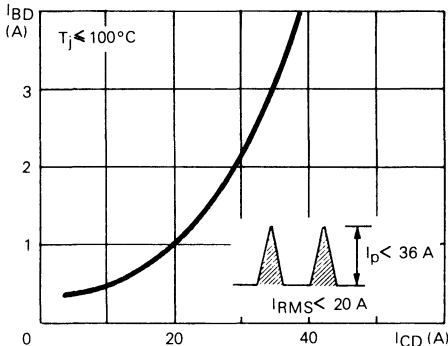
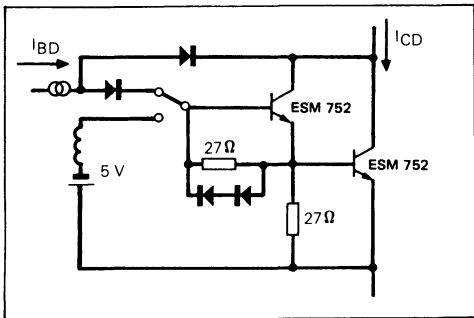
applications

The ESM 752 is designed for high voltage (380/440 V mains) and high current applications.

$$I_{C\text{sat}} = 12 \text{ A} \quad P_S \text{ switchable power} = V_{CEO} \cdot I_{C\text{sat}} = 8,4 \text{ kW}$$

To increase its power switching capability, it can be used in discrete Darlington configurations.

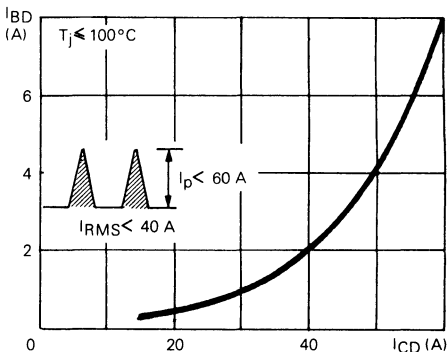
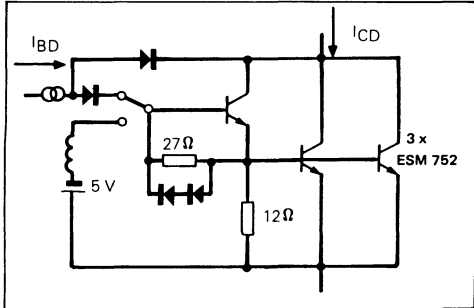
EXAMPLE 1 :



In this configuration the discrete Darlington can switch :

| | | |
|-------------------------|------|------------------------|
| $I_{CD} = 30 \text{ A}$ | with | $I_{BD} = 2 \text{ A}$ |
| $I_{CD} = 20 \text{ A}$ | with | $I_{BD} = 1 \text{ A}$ |

EXAMPLE 2 :



In this configuration the discrete Darlington can switch :

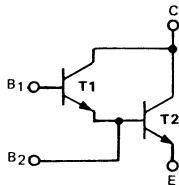
| | | |
|-------------------------|------|--------------------------|
| $I_{CD} = 40 \text{ A}$ | with | $I_{BD} = 2 \text{ A}$ |
| $I_{CD} = 20 \text{ A}$ | with | $I_{BD} = 0,5 \text{ A}$ |

ADVANCE INFORMATION**SUPERSWITCH**

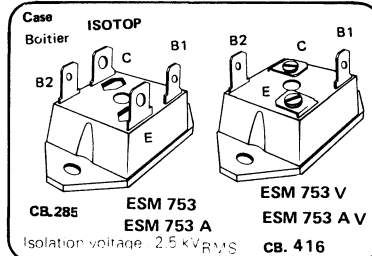
HIGH VOLTAGE , HIGH CURRENT DARLINGTONS ESPECIALLY
DESIGNED FOR FAST POWER SWITCHING IN BRIDGE CONVER-
TERS

NO PARASITIC COLLECTOR-EMITTER DIODE . BASE OF OUTPUT
STAGE AND OF DRIVER STAGE SEPARATELY CONNECTABLE.

WIDE ACCIDENTAL OVERLOAD AREA FOR EASY SHORT-
CIRCUIT PROTECTION.



| | ESM 753 , (V) | ESM 753 A , (V) |
|--|----------------------|------------------------|
| V_{CEW} | 600 V | 700 V |
| V_{CEV} | 900 V | 1000 V |
| I_{Csat} | 12 A | 12 A |
| t_f (max) (100°C) | 0,5 µs | 0,5 µs |



ABSOLUTE RATINGS (LIMITING VALUES)
VALEURS LIMITES ABSOLUES D'UTILISATION

| | | ESM 753 , (V) | ESM 753 A , (V) | | |
|---|-------------------------------|------------------------|------------------------|------------|----|
| Collector-emitter voltage <i>Tension collecteur-émetteur</i> | V_{CEO} | 600 | 700 | V | |
| Collector-emitter voltage <i>Tension collecteur-émetteur</i> | V_{BE} = - 5 V | V_{CEV} | 900 | 1000 | V |
| Emitter-base voltage <i>Tension émetteur-base</i> | | V_{EBO} | 12 | 12 | V |
| Collector current <i>Courant collecteur</i> | $t_p \leqslant 10 \text{ ms}$ | I_C I_{CM} | 18 30 | 18 30 | A |
| Base current <i>Courant base</i> | $t_p \leqslant 10 \text{ ms}$ | I_B I_{BM} | 4 10 | 4 10 | A |
| Power dissipation <i>Dissipation de puissance</i> | $T_{case} 25^\circ\text{C}$ | P_{tot} | 125 | 125 | W |
| Junction temperature <i>Température de jonction</i> | | T_j | - 40 + 150 | - 40 + 150 | °C |

| | | | | | |
|--|-----|----------------------------|---|---|------|
| Junction-case thermal resistance <i>Résistance thermique jonction boîtier</i> | max | R_{th(j-c)} | 1 | 1 | °C/W |
|--|-----|----------------------------|---|---|------|

ELECTRICAL CHARACTERISTICS - CARACTÉRISTIQUES ÉLECTRIQUES **

| SYMBOLS | Min | Typ | Max | UNITS | TEST CONDITIONS - CONDITIONS DE MESURE |
|---|------------|-----|-----|-----------------------------------|--|
| OFF CHARACTERISTICS - CARACTÉRISTIQUES A L'ÉTAT BLOQUÉ | | | | | |
| V_{CEOus} | 600 700 | | | V | ESM 753, (V) ESM 753 A, (V) $I_B = 0, I_C = 0,2 \text{ A}, L = 15 \text{ mH}$ |
| $V_{(BR)EBO}$ | 12 | | | V | $I_C = 0, I_B = 5 \text{ mA}$ |
| I_{CEV} | | 0,3 | mA | $T_{case} 25^\circ\text{C}$ | $V_{CE} = V_{CEV}, V_{BE} = -7 \text{ V}$ |
| | | 2 | | $T_{case} 125^\circ\text{C}$ | $R1 = 270 \Omega, R2 = 100 \Omega, \text{ Diode B1-B2 : PLQ 08}$ |
| I_{CER} | | 0,5 | mA | $T_{case} 25^\circ\text{C}$ | $V_{CE} = V_{CEV}, R1 \leq 27 \Omega, R2 \leq 10 \Omega$ |
| | | 4 | | $T_{case} 125^\circ\text{C}$ | |
| I_{EBO} (T2) | | 1 | mA | $I_C = 0, V_{BE2} = -7 \text{ V}$ | |

ON CHARACTERISTICS - CARACTÉRISTIQUES A L'ÉTAT CONDUCTEUR

| | | | | |
|---------------|--|-----|---|--|
| V_{CEsat}^* | | 2 | V | $I_C = 12 \text{ A}, I_B = 1 \text{ A}, T_{case} 100^\circ\text{C}$ |
| | | 3,5 | | $ESM 753, (V) \quad I_C = 18 \text{ A}, I_B = 1,8 \text{ A}$ $ESM 753 A, (V) \quad I_C = 16 \text{ A}, I_B = 1,6 \text{ A}$ |
| V_{BEsat}^* | | 2,6 | V | $I_C = 12 \text{ A}, I_B = 1 \text{ A}$ |

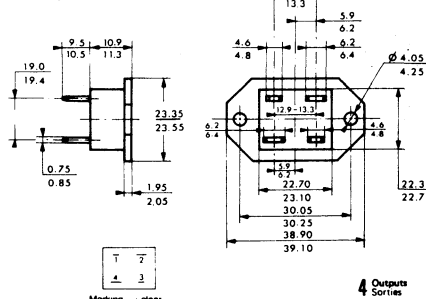
SWITCHING CHARACTERISTICS - CARACTÉRISTIQUES DE COMMUTATION

| | | | | | |
|--|--|-----|---------------|---|--|
| Resistive load - Charge résistive | | | | | |
| t_{on} | | 0,8 | μs | $V_{CC} = 300 \text{ V}, I_C = 12 \text{ A}, V_{BE} = -7 \text{ V}$ $R1 = 270 \Omega, R2 = 100 \Omega, \text{ Diode B1-B2 : PLQ 08}$ | |
| t_s | | 4 | | | |
| t_f | | 1 | | | |
| Inductive load - Charge inductive (See figure 1) | | | | | |
| t_s | | 6,5 | μs | $T_j = 100^\circ\text{C}$ | $V_{CC} = 300 \text{ V}, I_C = 12 \text{ A}, I_{B1} = 1 \text{ A}$ $V_{BB} = -7 \text{ V}, L_B = 3 \mu\text{H}$ |
| t_f | | 0,5 | | | |

* Measured with pulses $t_p = 300 \mu\text{s}$ $\delta \leq 2\%$ ** $T_{case} 25^\circ\text{C}$ Unless otherwise stated

CASE OUTLINES

CB-285



4 Outputs Sorties

CB-416

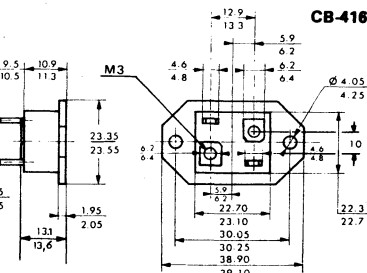


FIGURE 1 : SWITCHING TIMES MEASUREMENT CIRCUIT FOR INDUCTIVE LOAD

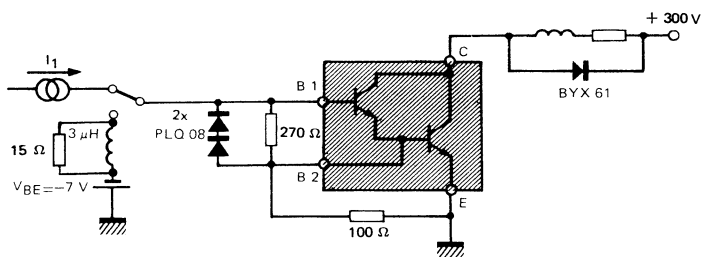
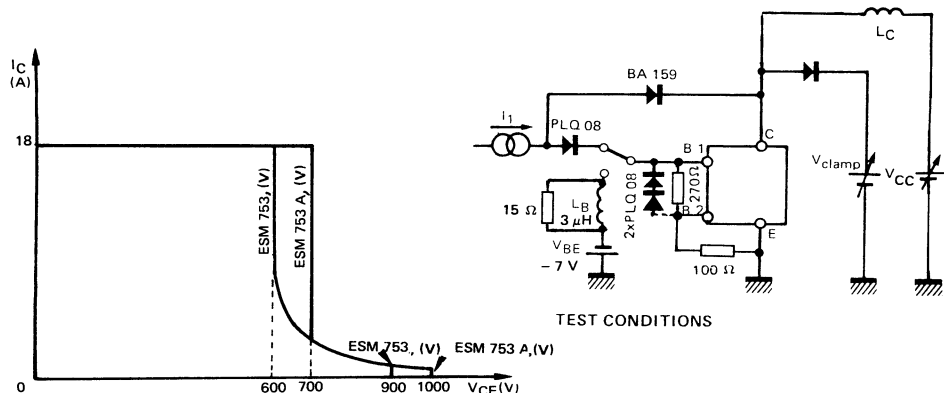


FIGURE 2 : REVERSE BIAS SAFE OPERATING AREA





POWER DARLINGTON INTENDED FOR LOW FREQUENCY SWITCHING

FEATURES

- Switching operating areas
- Accidental surge mode
- At $I_C = 15 \text{ A}$

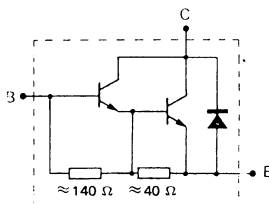
APPLICATIONS

- Low frequency converters and choppers
- Variable frequency motor drive
- Electromagnet drive
- Direct operating from 220 V line
- «Parallel» mounting

DARLINGTON HAUTE TENSION POUR COMMUTATION BASSE FREQUENCE

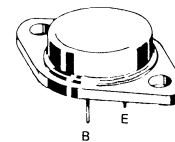
CARACTÉRISTIQUE :

- En aire de fonctionnement en commutation
 - En régime de surcharge accidentelle
 - En courant à 15 A
- APPLICATIONS**
- Convertisseurs et hacheurs basse fréquence
 - Commande de moteur
 - Commande d'électroaimant
 - Utilisation directe sur le secteur 220 V
 - Montage en parallèle



| | |
|-------------------|-------|
| V_{CEO} sus | 400 V |
| V_{CEX} | 450 V |
| I_{CSat} | 15 A |
| I_{CSM} | 55 A |
| P_{tot} (25 °C) | 100 W |

Case
Boîtier TO 3 (CB 19)



ABSOLUTE RATINGS (LIMITING VALUES)

VALEURS LIMITES ABSOLUES D'UTILISATION

| | | | | |
|--|---|--------------------|-------------------|----|
| Collector-emitter voltage <i>Tension collecteur-émetteur</i> | $V_{BE} = -3 \text{ V}$ | V_{CEX} | 450 | V |
| Collector current <i>Courant collecteur</i> | $\delta = 50\%$ $I_p \leqslant 5 \text{ ms}$ | I_C I_{CM} | 20 30 | A |
| Collector current (r.m.s.) <i>Courant collecteur efficace</i> | | I_{Ceff} | 15 | A |
| Collector-emitter voltage <i>Tension collecteur-émetteur</i> | | V_{CEO} | 400 | V |
| Peak surge accidental current non repetitive <i>Courant de surcharge accidentelle non répétitive</i> | $t_p \leqslant 30 \mu\text{s}$ | I_{CSM} | 55 | A |
| Darlington maximal power dissipation <i>Dissipation de puissance maximale dans le darlington</i> | $T_{case} 25^\circ\text{C}$ | $P_{(Dar)}$ | 100 | W |
| Repetitive peak forward current <i>Courant direct de pointe répétitif</i> | | I_{FRM} | 18 | A |
| Diode maximal power dissipation <i>Puissance maximale dissipée dans la diode</i> | $T_{case} 25^\circ\text{C}$ | $P_{(diode)}$ | 20 | W |
| Diode and darlington maximal power dissipation <i>Puissance totale maximale dissipée dans le darlington et la diode</i> | $T_{case} 25^\circ\text{C}$ | P_{tot} | 100 | W |
| Storage and junction temperature <i>Température de jonction et de stockage</i> | max | T_j T_{stg} | 150 - 65 + 150 | °C |

| | | | | |
|--|-----|---------------|------|------|
| Junction to case diode thermal resistance <i>Résistance thermique jonction boîtier de la diode</i> | max | $R_{th(j-c)}$ | 5 | °C/W |
| Junction to case transistor thermal resistance <i>Résistance thermique jonction boîtier du transistor</i> | max | $R_{th(j-c)}$ | 1,25 | °C/W |

| STATIC CHARACTERISTICS CARACTÉRISTIQUES STATIQUES | $T_{case} = 25^\circ C$ | (Unless otherwise stated) (Sauf indications contraires) | | | |
|--|---|--|-----|------|---------|
| | | Test conditions Conditions de mesure | min | typ | max |
| Collector-emitter cut-off current <i>Courant résiduel collecteur-émetteur</i> | $I_B = 0$ $V_{CE} = 400 V$ | I_{CEO} | | 0,25 | mA |
| Collector-emitter cut-off current <i>Courant résiduel collecteur-émetteur</i> | $V_{BE} = -3 V$ $V_{CE} = 450 V$ | I_{CEX} | | 0,25 | mA |
| Emitter-base cut-off current <i>Courant résiduel émetteur-base</i> | $I_C = 0$ $V_{EB} = 8 V$ | I_{EBO} | | 200 | mA |
| Clamping collector-emitter breakdown voltage <i>Tension de claquage collecteur-émetteur clampée</i> | $I_B = 0$ $L = 15 mH$ $I_C = 5 A$ | V_{CEOus} | 400 | | V |
| Clamping collector-emitter voltage <i>Tension collecteur-émetteur clampée</i> | $I_C = 0,2 A$ $I_B = 0$ $L = 15 mH$ $R_{pe} = 10 \Omega$ $V_{BE} = -3 V$ | V_{CEX} | 450 | | V |
| Static forward current transfert ratio <i>Valeur statique du rapport de transfert direct du courant</i> | $V_{CE} = 4 V$ $I_C = 10 A$ | h_{21E}^* | 60 | | |
| Collector-emitter saturation voltage <i>Tension de saturation collecteur-émetteur</i> | $I_C = 10 A$ $I_B = 0,15 A$ | V_{CEsat}^* | | 2 | V |
| | $I_C = 15 A$ $I_B = 0,75 A$ | | | 2,5 | |
| | $I_C = 15 A$ $I_B = 0,75 A$ $T_{case} = 100^\circ C$ | | | 3 | |
| Base-emitter saturation voltage <i>Tension de saturation base-émetteur</i> | $I_C = 15 A$ $I_B = 0,75 A$ | V_{BESat}^* | 2,3 | | V |
| | $I_C = 15 A$ $I_B = 0,75 A$ $T_{case} = 100^\circ C$ | | 2,7 | | |
| Diode forward voltage <i>Tension directe de la diode</i> | $I_F = 15 A$ | V_F | 2,2 | | V |
| Diode reverse recovery time <i>Temps de recouvrement inverse de la diode</i> | JEDEC method <i>Méthode JEDEC</i> $I_F = 1 A$ $V_R = 30 V$ $dI/dt = 15 A/\mu s$ | trr | 4 | | μs |

SWITCHING TIMES ON RESISTIVE LOAD WITHOUT NEGATIVE VOLTAGE
TEMPS DE COMMUTATION SUR CHARGE RÉSISTIVE SANS TENSION NÉGATIVE

 $T_{case} 25^{\circ}\text{C}$

| | Test conditions Conditions de mesure | | min | typ | max | |
|---|--|-------------|-----|-----|-----|---------------|
| Turn-on time <i>Temps total d'établissement</i> | $I_C = 10 \text{ A}$ $I_{B1} = 0,15 \text{ A}$ $V_{BEoff} 0$ | $t_d + t_r$ | | 1,2 | | |
| | $I_C = 15 \text{ A}$ $I_{B1} = 0,75 \text{ A}$ $V_{BEoff} 0$ | | | 1,5 | | μs |
| Carrier storage time <i>Retard à la décroissance</i> | $I_C = 10 \text{ A}$ $I_{B1} = 0,15 \text{ A}$ $V_{BEoff} 0$ | t_s | | 20 | | |
| | $I_C = 15 \text{ A}$ $I_{B1} = 0,75 \text{ A}$ $V_{BEoff} 0$ | | | 15 | | μs |
| Fall time <i>Temps de décroissance</i> | $I_C = 10 \text{ A}$ $I_{B1} = 0,15 \text{ A}$ $V_{BEoff} 0$ | t_f | | 7 | | |
| | $I_C = 15 \text{ A}$ $I_{B1} = 0,75 \text{ A}$ $V_{BEoff} 0$ | | | 9 | | μs |

SWITCHING TIMES ON RESISTIVE LOAD WITH NEGATIVE VOLTAGE
TEMPS DE COMMUTATION SUR CHARGE RÉSISTIVE AVEC TENSION NÉGATIVE

 $T_{case} 25^{\circ}\text{C}$

| | | | | | | |
|---|---|-------|--|-----|--|---------------|
| Carrier storage time <i>Retard à la décroissance</i> | $I_C = 10 \text{ A}$ $I_{B1} = 0,15 \text{ A}$ $V_{BEoff} -5 \text{ V}$ | t_s | | 6 | | |
| | $I_C = 15 \text{ A}$ $I_{B1} = 0,75 \text{ A}$ $V_{BEoff} -5 \text{ V}$ | | | 2,8 | | μs |
| Fall time <i>Temps de décroissance</i> | $I_C = 10 \text{ A}$ $I_{B1} = 0,15 \text{ A}$ $V_{BEoff} -5 \text{ V}$ | t_f | | 5 | | |
| | $I_C = 15 \text{ A}$ $I_{B1} = 0,75 \text{ A}$ $V_{BEoff} -5 \text{ V}$ | | | 7 | | μs |

FIGURE 1

STATIC FORWARD CURRENT TRANSFER RATIO VERSUS COLLECTOR CURRENT

Valeur statique du rapport de transfert direct du courant en fonction du courant collecteur

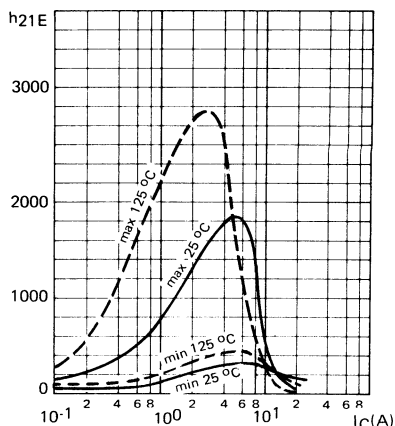


FIGURE 2

COLLECTOR-Emitter AND BASE-Emitter SATURATION VOLTAGE VERSUS COLLECTOR CURRENT

Tension de saturation collecteur-émetteur et base-émetteur en fonction du courant collecteur

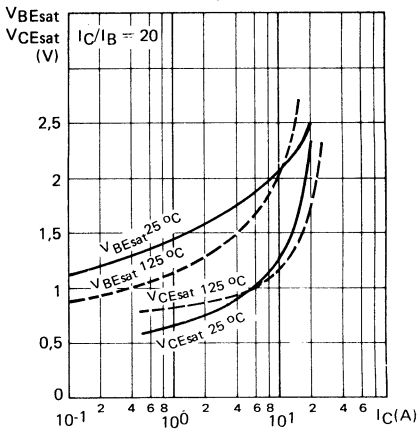
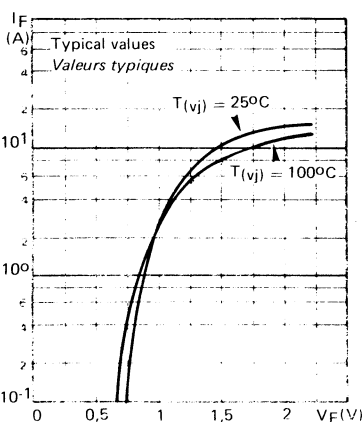


FIGURE 3

DIODE FORWARD CURRENT IF VERSUS FORWARD VOLTAGE DROP VF*

Courant direct de la diode en fonction de la chute de tension directe VF*



* The power dissipated in the diode is given by:
 $P = 0,8I_0 + 0,13I^2_{eff}$

This integrated diode is very fast at turn on switching but not at turn off. When the circuit requires a fast recovery diode, the following ones: BYX 61-400 or BYX 62-600, can be mounted in «parallel» with the ESM 837. For a given current, the voltage drop of these diodes is smaller than the one of the integrated diode which will therefore have no current across it.

* La puissance dissipée dans la diode est donnée par :
 $P = 0,8I_0 + 0,13I^2_{eff}$

Cette diode intégrée est rapide à la fermeture, mais non à l'ouverture. Si le circuit nécessite l'emploi d'une diode rapide, il est possible de monter en parallèle avec l'ESM 837 la diode BYX 61-400 ou BYX 62-600.

La chute de tension de ces diodes étant pour un même courant, plus faible que celle de la diode intégrée, cette dernière ne sera traversée par aucun courant.

SAFE AREAS

1—Continuous and pulse mode operation

The transistor works in the linear mode for instance in LF amplifiers or series regulators. Figure 4 gives the DC AND PULSE SAFE OPERATING AREAS.

2—Switching mode operation

The transistor is in the switching mode, when the switching times are similar in magnitude to data sheet values. During conducting time the collector-emitter voltage is low, for instance about 1,55 volts.

Two different operating modes are distinguished:

- FORWARD BIAS: the base-emitter voltage is always positive and the emitter-base resistance is higher than 5 ohms.
- REVERSE BIAS: the base-emitter voltage can be negative when a negative base current is applied to switch off the transistor. In practice, we consider that the transistor is also reverse biased when the emitter-base resistance is below 5 ohms or when the direction of the current through the generator to the base changes.

PRACTICAL CONSEQUENCES

TURN ON SWITCHING

The transistor is forward biased. The FORWARD BIAS SWITCHING OPERATING AREA (figure 9) has to be used.

TURN-OFF SWITCHING

In most applications, a negative base current is applied to reduce switching times. In this case, the REVERSE BIAS SWITCHING OPERATING AREA has to be used (figure 10).

It is also possible to switch-off the transistor without a negative base current; this simplifies the circuit design, but increases notably the switching times. In this case FORWARD BIAS OPERATING AREA must be used (except if $R_{BE} \leq 5\Omega$)

3—Accidental surge mode operation

A surge current is a current which exceeds the absolute limit I_{CM} . The transistor can support surge currents if they are accidental and not repetitive, if they don't occur more than 3000 times during the device life time and if the SURGE AREAS are respected (figures 7,8).

The Kellogg network associated with the forward bias surge area (see figure 7) allows to compute the short-circuit current. Data on figure 7 indicate the maximal allowable duration of the surge current.

During the surge current switch-off time, the operating point must stay inside the REVERSE BIAS SURGE AREA if the base driver applies a negative base current (or if $R_{BE} \leq 5$ ohms).

If the base current stays positive the operating point must stay inside the FORWARD BIAS SURGE AREA.

AIRES DE SECURITE

1—Fonctionnement en régime linéaire ou impulsionnel

Le transistor est simultanément traversé par un courant et soumis à une tension (exemple: amplificateur BF, Transistor ballast); ses possibilités sont données par l'aire de sécurité en régime linéaire (figure 4)

2—Fonctionnement en régime de commutation

Définition — En régime de commutation, le transistor est soit bloqué , soit conducteur

Quand il est conducteur, la tension collecteur-émetteur est inférieure à 5 V (généralement voisine de 1,5V)

Le passage de l'un à l'autre état, s'effectue rapidement pendant un temps de commutation t_r , t_f voisin des valeurs indiquées dans les notices

Mode de commande

On distingue deux modes de fonctionnement très différents, suivant le mode de commande de la base du transistor

En régime de POLARISATION DIRECTE, la tension du générateur qui alimente la base est toujours positive et la résistance qui relie l'émetteur et la base a une valeur supérieure à 5 ohms.

En régime de POLARISATION INVERSE, la tension de base peut devenir négative pendant que circule le courant inverse de base au cours du processus de blocage. En pratique on considère que le transistor est en polarisation inverse lorsque le générateur de courant qui alimente la base change de sens ou si la résistance reliant la base à l'émetteur est inférieure à 5 ohms.

APPLICATIONS PRATIQUES

COMMUTATION A LA FERMETURE

Le transistor est toujours en régime de polarisation directe. On utilise l'aire de fonctionnement en commutation en polarisation directe (figure 9).

COMMUTATION A L'OUVERTURE

Dans la plupart des applications, on envoie un courant négatif dans le circuit de base pour accélérer la commutation. Il faut alors utiliser l'aire de fonctionnement en polarisation inverse (figure 10).

Il est possible de bloquer le transistor sans utiliser dans le circuit de base, de générateur de courant négatif (ceci simplifie les circuits mais augmente considérablement les temps de commutation). Il faut alors utiliser l'aire de fonctionnement en polarisation directe (sauf si $R_{BE} \leq 5$ ohms).

3—Fonctionnement en régime de surcharges accidentielles

La surcharge en courant est un dépassement de la limite absolue I_{CM} . Le transistor peut accepter des surcharges:

a—Si elles sont accidentielles et non répétitives et si elles ne se produisent pas plus de 3000 fois dans la vie du composant
b—Si elles respectent les AIRES DE SURCHARGES (figures 7 et 8).

Le réseau de Kellogg associé à l'aire de surcharges en polarisation directe (figure 7) permet de calculer le courant de circuit et les indications données (figure 7) en fixent la durée maximale admissible pour la surcharge.

Pendant la phase de coupure du courant de surcharges, le point de fonctionnement doit rester à l'intérieur de L'AIRE DE SURCHARGE EN POLARISATION INVERSE si la commande de base inverse le sens du courant de base (ou si $R_{BE} \leq 5 \Omega$)

Dans le cas contraire (base polarisée positivement), le point de fonctionnement doit rester à l'intérieur de L'AIRE DE SURCHARGES EN POLARISATION DIRECTE.

FIGURE 4
SAFE OPERATING AREA UNDER D.C. PULSE OPERATIONS
Aire de sécurité en régimes linéaire et impulsional

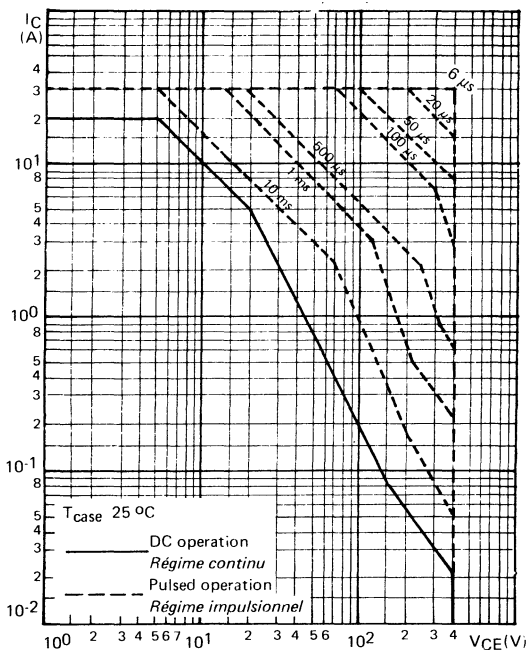


FIGURE 5
DISSIPATION AND IS/B DERATING
Variation de dissipation et de l'IS/B

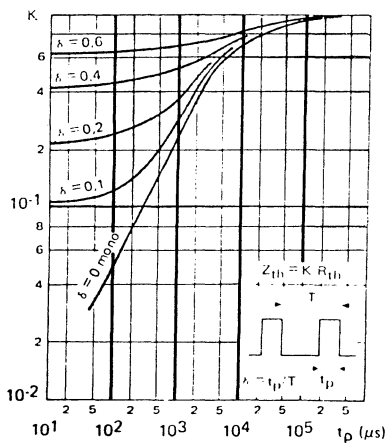
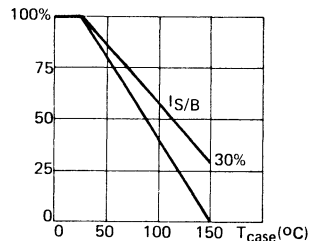
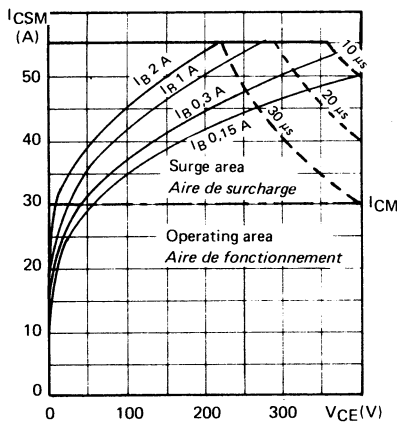


FIGURE 6
TRANSIENT THERMAL RESISTANCE DERATING FACTOR UNDER PULSES CONDITIONS
Facteur de réduction de la résistance thermique en régime d'impulsions

FIGURE 7

FORWARD BIAS ACCIDENTAL SURGES AREA



Two quite different zones:

- if $I_C < I_{CM}$, the transistor can operate in repetitive mode, if the other absolute ratings are respected (junction temperature, pulse duration...)
- if $I_C > I_{CM}$, the operating mode must be non repetitive and the transistor must not be submitted to more than 3000 surges during its life. The Kellogg network gives maximal values with 90 per cent confidence

Aire de surcharge accidentelle en polarisation directe

Deux zones bien différentes:

- si $I_C < I_{CM}$, le transistor peut fonctionner en régime répétitif, si les autres limites absolues sont respectées (température de jonction, durée d'impulsion).
- si $I_C > I_{CM}$, le fonctionnement doit être non répétitif et il ne faut pas dépasser plus de 3000 surcharges dans la vie du composant. Le réseau de Kellogg donne les valeurs maximales à 90 % de confiance.

FIGURE 8

REVERSE BIAS ACCIDENTAL SURGE AREA

Aire de surcharge accidentelle en polarisation inverse

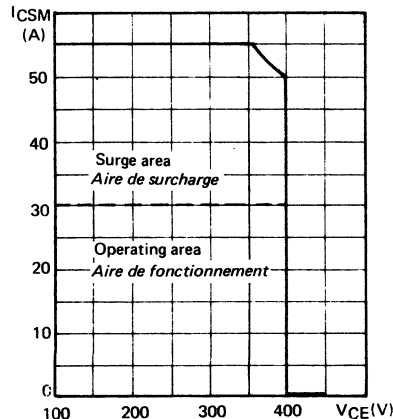


FIGURE 9

FORWARD BIAS SWITCHING OPERATING AREA
Aire de fonctionnement en commutation en polarisation directe

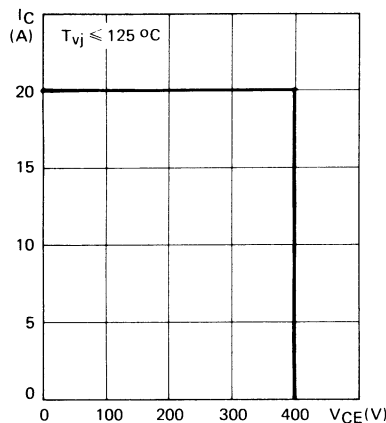
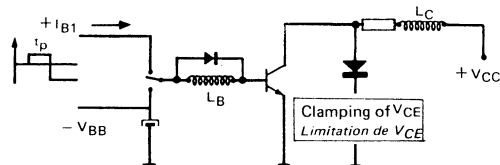
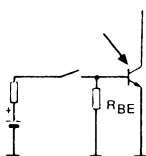
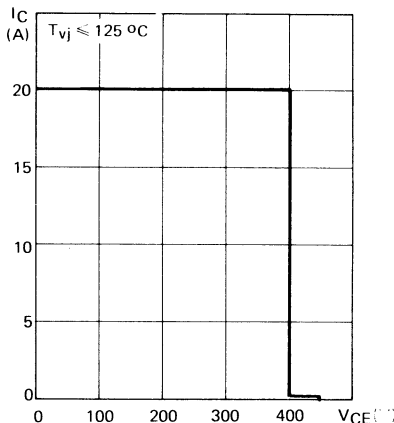


FIGURE 10

REVERSE BIAS SWITCHING OPERATING AREA
Aire de fonctionnement en commutation en polarisation inverse



Conditions d'essais
Test conditions

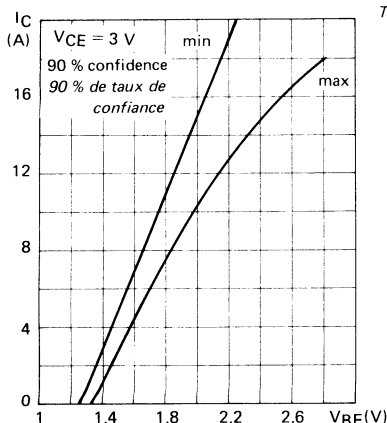


FIGURE 11

EXTREME CHARACTERISTICS I_C VERSUS V_{BE}
AT V_{CE} CONSTANT
Caractéristiques extrêmes I_C en fonction de V_{BE}
à V_{CE} constant

These values can be used to determine the collector currents dispersion with «parallelled» transistors.
Ces éléments peuvent être utilisés pour déterminer la dispersion des courants collecteur lors de la mise en parallèle.



SUPERSWITCH

ESM 952 A

NPN HIGH VOLTAGE SWITCHING TRANSISTORS

TRANSISTORS NPN HAUTE TENSION DE COMMUTATION

SUPERSWITCH

VERY HIGH VOLTAGE , HIGH SPEED TRANSISTOR SUITED FOR:

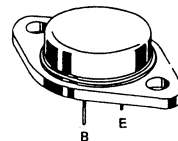
- THE 380/440 V MAINS
- THE PARALLEL AND DARLINGTON CONFIGURATIONS
- DC/DC AND DC/AC INVERTERS
- MOTOR CONTROL

Data sheet tailored for switching applications

- Key parameters characterized at 100°C
- High blocking capability - 1000 V
- Information for parallel mounting
- Information for use in darlington configuration

| | ESM 952 | ESM 952 A |
|---------------------------|-----------------|-----------|
| V _{CEOus} | 600 V | 700 V |
| V _{CEx} | 900 V | 1000 V |
| I _{Csat} | 12 A | 12 A |
| I _{CSM} | 90 A | 90 A |
| t _f (100 °C) | 0,6 µs (max) | 0,6 µs |

Case
Boîtier TO 3



ABSOLUTE RATINGS (LIMITING VALUES)
VALEURS LIMITES ABSOLUES D'UTILISATION

T case = 25°C

| | | ESM 952 | ESM 952 A | |
|--|--|----------------|-----------|----|
| Collector-emitter voltage Tension collecteur-émetteur | V _{CEO} | 600 | 700 | V |
| Collector-emitter voltage Tension collecteur-émetteur | V _{CEx} V _{BE} = - 3 V | 900 | 1000 | V |
| Emitter-base voltage Tension émetteur-base | V _{EBO} | 7 | 7 | V |
| Collector current Courant collecteur | I _C I _{CM} t _p ≤ 10 ms | 24 50 | 24 50 | A |
| Base current Courant base | I _B I _{BM} t _p ≤ 10 ms | 8 20 | 8 20 | A |
| Power dissipation Dissipation de puissance | P _{tot} T _{case} 25 °C | 214 | 214 | W |
| Junction temperature Température de jonction | max | T _j | 175 | °C |

| Junction-case thermal resistance Résistance thermique jonction-boîtier | max | R _{th(j-c)} | 0,7 | 0,7 | °C/W |
|---|-----|----------------------|-----|-----|------|
| | | | | | |

ELECTRICAL CHARACTERISTICS – CARACTÉRISTIQUES ÉLECTRIQUES **

| SYMBOLS | Min | Typ | Max | UNIT | | TEST CONDITIONS – CONDITIONS DE MESURE |
|---------|-----|-----|-----|------|--|--|
|---------|-----|-----|-----|------|--|--|

OFF CHARACTERISTICS – CARACTÉRISTIQUES A L'ÉTAT BLOQUE

| | | | | | | |
|---------------|-----|--|----------|----|-----------|---|
| V_{CEOus} | 600 | | | V | ESM 952 | $I_B = 0, I_C = 0,2 \text{ A}, L = 25 \text{ mH}$ |
| | 700 | | | | ESM 952 A | |
| $V_{(BR)EBO}$ | 7 | | | V | | $I_C = 0, I_B = 0,1 \text{ A}$ |
| I_{CEX} | | | 0,4 4 | mA | | $T_{case} = 25^\circ\text{C}$ $T_{case} = 125^\circ\text{C}$ $V_{CE} = V_{CEX}, V_{BE} = -3 \text{ V}$ |
| I_{CER} | | | 1 8 | mA | | $T_{case} = 25^\circ\text{C}$ $T_{case} = 125^\circ\text{C}$ $V_{CE} = V_{CEX}, R_{BE} \leq 5 \Omega$ |
| I_{EBO} | | | 2 | mA | | $I_C = 0, V_{EB} = 5 \text{ V}$ |

ON CHARACTERISTICS – CARACTÉRISTIQUES A L'ÉTAT CONDUCTEUR

| | | | | | | |
|---------------|--|-----|---|--|--|--------------------------------|
| V_{CEsat^*} | | 1,8 | V | | $I_C = 12 \text{ A}, I_B = 3 \text{ A}$ | $T_{case} = 100^\circ\text{C}$ |
| | | 2,5 | | | $I_C = 20 \text{ A}, I_B = 10 \text{ A}$ | |
| V_{BEsat^*} | | 2 | V | | $I_C = 12 \text{ A}, I_B = 3 \text{ A}$ | |

DYNAMIC CHARACTERISTICS – CARACTÉRISTIQUES DYNAMIQUES

| | | | | | | |
|-----------|--|-----|-----|--|---|--|
| f_T | | 5 | MHz | | $f = 1 \text{ MHz}, I_C = 1 \text{ A}, V_{CE} = 10 \text{ V}$ | |
| C_{22b} | | 460 | pF | | $f = 1 \text{ MHz}, V_{CE} = 10 \text{ V}$ | |

SWITCHING CHARACTERISTICS – CARACTÉRISTIQUES DE COMMUTATION

Resistive load – Charge résistive

| | | | | | | |
|----------|--|------|-----|---------------|--|--|
| t_{on} | | 0,4 | 0,8 | μs | | $V_{CC} = 300 \text{ V}, I_C = 12 \text{ A}, I_{B1} = -I_{B2} = 3 \text{ A}$ |
| t_s | | 2,2 | 4 | | | |
| t_f | | 0,35 | 0,7 | | | |

Inductive load – Charge inductive

| | | | | | | |
|-------|--|------|-----|---------------|---------------------------|--|
| t_s | | 3,5 | | μs | $T_j = 25^\circ\text{C}$ | $V_{CC} = 300 \text{ V}, I_C = 12 \text{ A},$ $L_B = 1,5 \mu\text{H}, I_{Bend} = 3 \text{ A}$ |
| t_f | | 0,15 | | | | |
| t_s | | 4,2 | 7 | | $T_j = 100^\circ\text{C}$ | |
| t_f | | 0,33 | 0,6 | | $V_B = -5 \text{ V}$ | |

* Pulse - Impulsions $t_p = 300 \mu\text{s}$ $\delta \leq 2 \%$ ** $T_{case} = 25^\circ\text{C}$ Unless otherwise stated - Sauf indications contraires

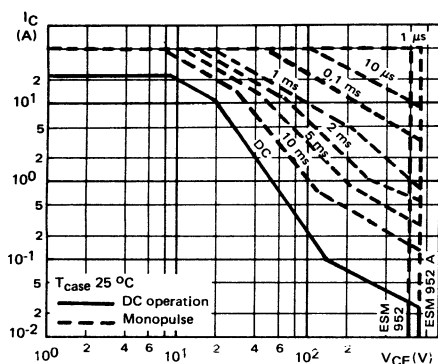


FIGURE 1 : DC and pulse area

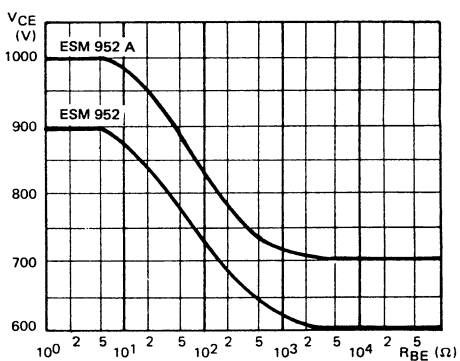


FIGURE 2 : Collector-emitter voltage vs base-emitter resistance

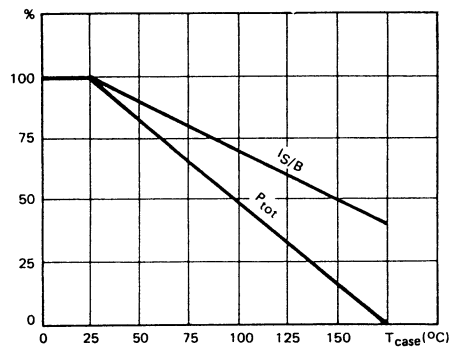


FIGURE 3 : Power and $I_{S/B}$ derating vs case temperature

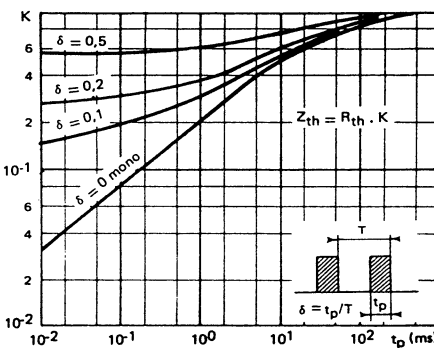


FIGURE 4 : Transient thermal response.

ESM 952 - ESM 952 A

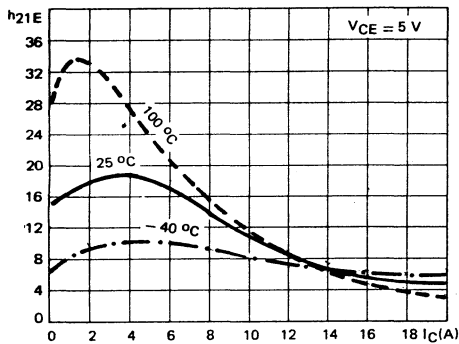


FIGURE 6 : DC current gain

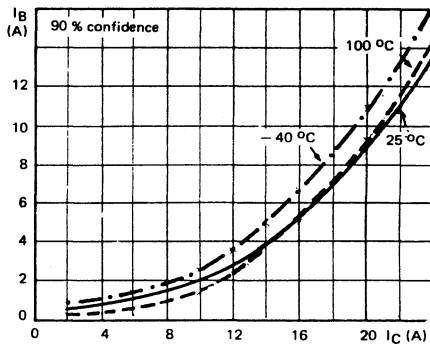


FIGURE 7 : Minimum base current to saturate the transistor

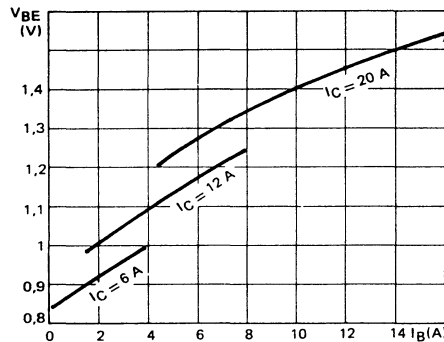


FIGURE 8 : Base characteristics

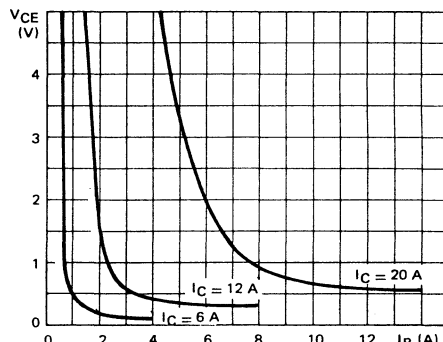


FIGURE 9 : Collector saturation region

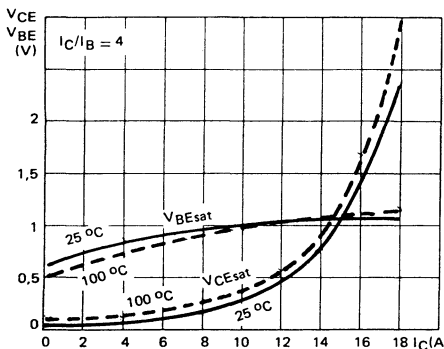


FIGURE 10 : Saturation voltage

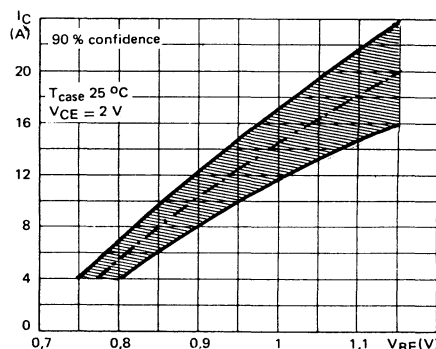
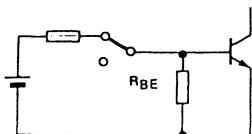


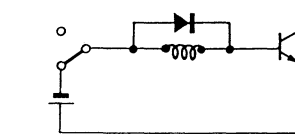
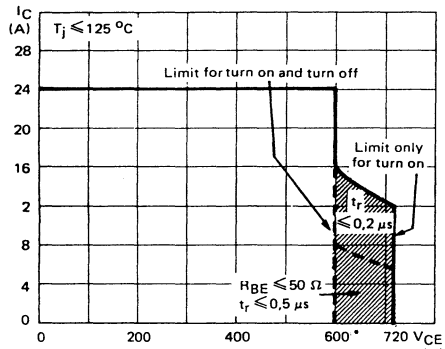
FIGURE 11 : Collector current spread vs base-emitter voltage

SWITCHING OPERATING AND OVERLOAD AREAS



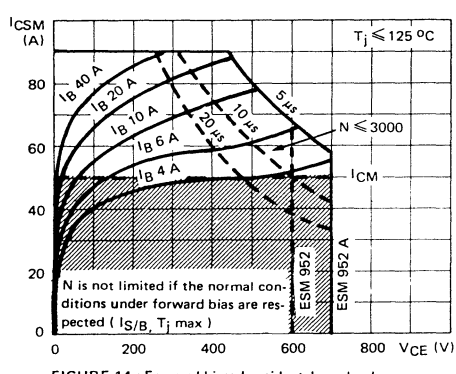
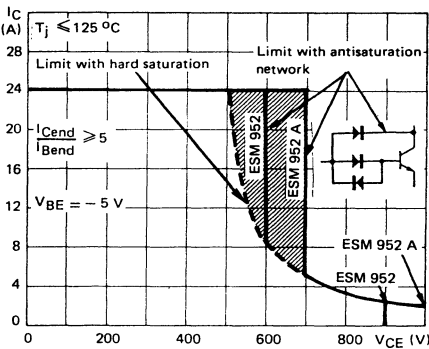
TRANSISTOR FORWARD BIASED

- During the turn on
- During the turn off without negative base-emitter voltage and $R_{BE} \geq 50\Omega$



TRANSISTOR REVERSE BIASED

- During the turn off with negative base-emitter voltage



* ESM 952 A = 700 V

Figure 12 : The hatched zone can only be used for turn on.

Figures 13 and 15 : Switch off starting from the quasi saturated state ($V_{CE} \geq 1.5$ V) allows to extend the RBSOA and the RBAOA to the hatched zone.

Figures 14 and 15 : High accidental surge currents ($I > I_{CM}$) are allowed if they are non repetitive and applied less than 3000 times during the component life.

Figure 14 : The Kellog network (heavy point) allows the calculation of the maximum value of the short-circuit current for a given base current I_B (90 % confidence).

Figure 15 : After the accidental overload current, the RBAOA has to be used for the turn off. As in traffic regulation one is allowed to cross the broken line before the continuous line. One is forbidden to cross the single continuous line.

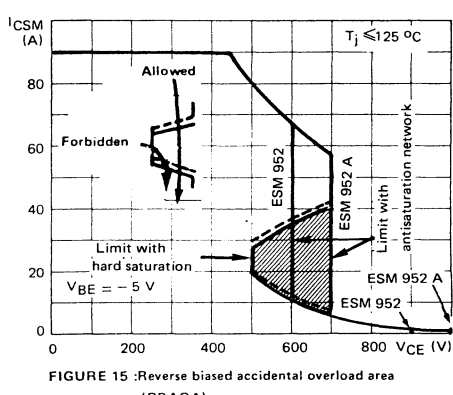


Figure 12 : La zone hachurée ne doit être utilisée que pour la mise en conduction.

Figures 13 et 15 : Le blocage à partir de l'état quasi-saturé ($V_{CE} \geq 1.5$ V) permet d'étendre les aires de fonctionnement et de surcharge en inverse jusqu'à la zone hachurée.

Figures 14 et 15 : De forts courants de surcharge ($I > I_{CM}$) sont permis s'ils sont non répétitifs et appliqués moins de 3000 fois dans la vie du composant.

Figure 14 : Le réseau de Kellogg (trait gras) permet le calcul de la valeur maximale du courant de court-circuit pour un courant de base donné I_B (90 % de confiance).

Figure 15 : Après le passage du courant de surcharge accidentelle on doit utiliser l'aire de surcharge accidentelle en polarisation inverse pour l'ouverture. Il est permis de traverser la ligne continue à condition de traverser d'abord la ligne pointillée.

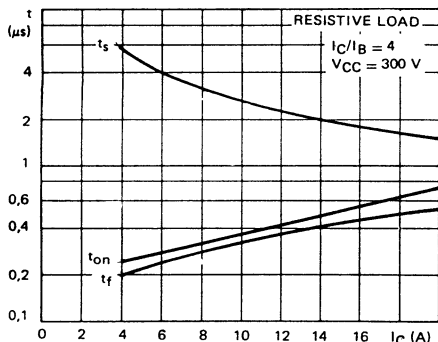


FIGURE 16 : Switching times vs collector current
(resistive load)

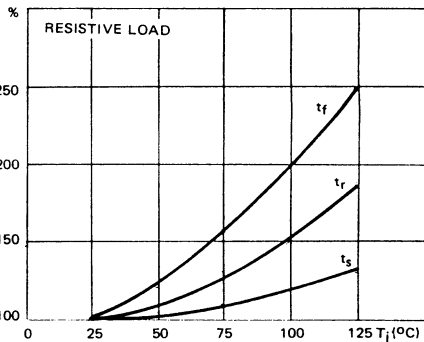


FIGURE 17 : Switching times vs junction temperature
(resistive load)

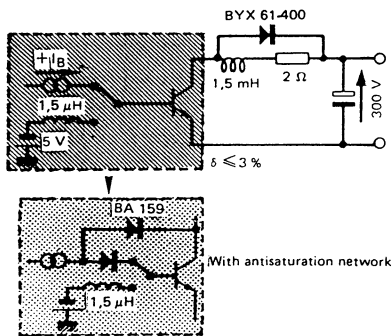


FIGURE 18 : Switching times test circuit on inductive load
(with and without antisaturation network)

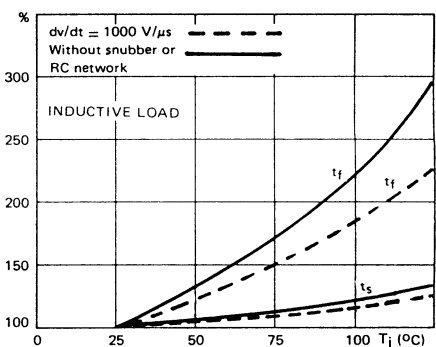


FIGURE 19 : Switching times vs junction temperature
(inductive load)

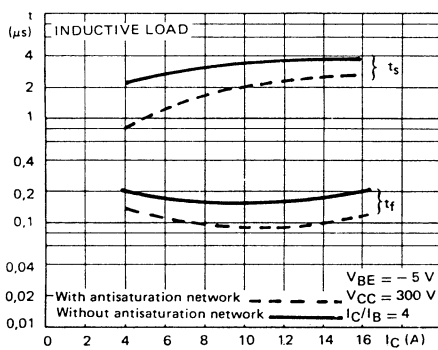


FIGURE 20 : Switching times vs collector current
(with and without antisaturation network)

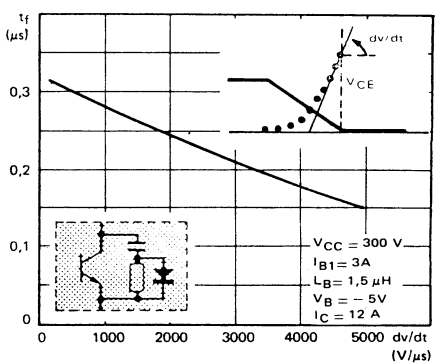


FIGURE 21 : Fall times vs reapply voltage slope

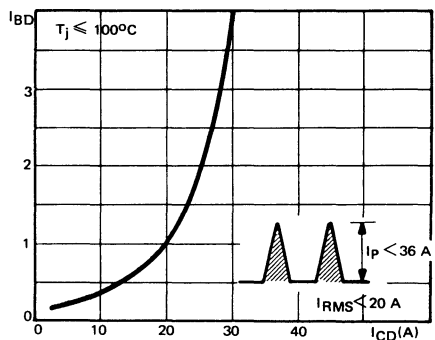
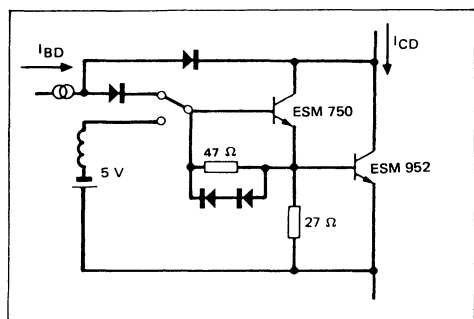
applications

The ESM 952 is designed for high voltage (380/440 V mains) and high current applications.

| | |
|----------------------------------|---|
| $I_{C\text{sat}} = 12 \text{ A}$ | $P_{\text{G switchable power}} = V_{\text{CEO}} \cdot I_{C\text{sat}} = 8,4 \text{ KW}$ |
|----------------------------------|---|

To increase its power switching capability, it can be used in discrete Darlington configurations.

EXAMPLE 1 :

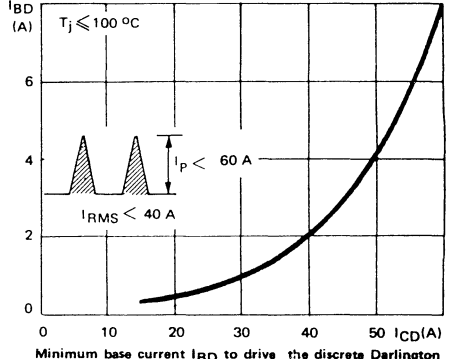
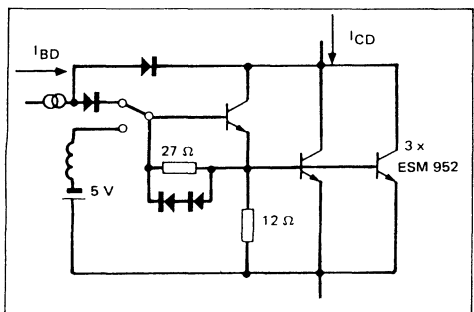


Minimum base current I_{BD} to drive the discrete darlington

In this configuration the discrete Darlington can switch:

| | | |
|-------------------------|------|--------------------------|
| $I_{CD} = 20 \text{ A}$ | with | $I_{BD} = 1 \text{ A}$ |
| $I_{CD} = 10 \text{ A}$ | with | $I_{BD} = 0,3 \text{ A}$ |

EXAMPLE 2 :



Minimum base current I_{BD} to drive the discrete Darlington

In this configuration the discrete Darlington can switch :

| | | |
|-------------------------|------|--------------------------|
| $I_{CD} = 40 \text{ A}$ | with | $I_{BD} = 2 \text{ A}$ |
| $I_{CD} = 20 \text{ A}$ | with | $I_{BD} = 0,5 \text{ A}$ |



SUPERSWITCH

HIGH POWER , HIGH CURRENT TRANSISTOR SUITED FOR USE
IN DARLINGTONS AND PARALLEL MOUNTING .
MOTORS CONTROL . DC/AC INVERTERS . BREAKERS

Data sheet tailored for switching applications

- * High current **160 A** in Darlington configuration
- * Information for parallel mounting
- * Wide surge area **300 A - 100 V**
- * Base drive specified for different values of I_C

TRANSISTOR DE PUISSANCE , A FORT COURANT, ADAPTE A
L'UTILISATION EN DARLINGTON ET LE MONTAGE EN PA-
RALLELE
COMMAND DE MOTEURS - GENERATEURS CONTINUS ET AL.
TERNATIFS - DISJONCTEURS

Spécifications spécialement étudiées pour la commutation

- * Fort courant **160 A** en Darlington
- * Caractérisation pour le montage en parallèle
- * Aire de surcharge étendue **300 A - 100 V**
- * Commande de base spécifiée pour différentes valeurs de I_C

| | |
|-----------------|------------------|
| V_{CEO} sus | 100 V |
| V_{CEX} | 200 V |
| I_{Csat} | 100 A |
| I_{CSM} | 300 A |
| t_f (100 A) | $\leq 0,5 \mu s$ |

Case
Boîtier TO 83

Mounting with M 12 screw
Montage avec vis M 12



Torques
Couples de serrage
Min:14 mNm
Max:18 mNm

ABSOLUTE RATINGS (LIMITING VALUES)

VALEURS LIMITES ABSOLUES D'UTILISATION

| | | | |
|---|-------------------|------------|----|
| Collector-emitter voltage <i>Tension collecteur émetteur</i> | V_{CEO} | 100 | V |
| Collector-emitter voltage <i>Tension collecteur-émetteur</i> | V_{CEX} | 200 | V |
| Emitter-base voltage <i>Tension émetteur-base</i> | V_{EBO} | 7 | V |
| Collector current <i>Courant collecteur</i> | I_C I_{CM} | 150 200 | A |
| Base current <i>Courant base</i> | I_B I_{BM} | 15 25 | A |
| Power dissipation <i>Dissipation de puissance</i> | P_{tot} | 400 | W |
| Junction temperature <i>Température de jonction</i> | t_j | - 65 + 200 | °C |

| | | | | |
|--|-----|---------------|------|------|
| Junction-case thermal resistance <i>Résistance thermique jonction boîtier</i> | max | $R_{th(j-c)}$ | 0,44 | °C/W |
|--|-----|---------------|------|------|

ELECTRICAL CHARACTERISTICS – CARACTÉRISTIQUES ÉLECTRIQUES **

| SYMBOLS | Min | Typ | Max | UNIT | TEST CONDITIONS – CONDITIONS DE MESURE |
|---------|-----|-----|-----|------|--|
|---------|-----|-----|-----|------|--|

OFF CHARACTERISTICS – CARACTÉRISTIQUES A L'ÉTAT BLOQUÉ

| | | | | | |
|---------------|-----|--|----|----|---|
| V_{CEO} us | 100 | | | V | $I_C = 1 \text{ A}, I_B = 0, L = 25 \text{ mH}$ |
| $V_{(BR)EBO}$ | 7 | | | V | $I_E = 50 \text{ mA}, I_C = 0$ |
| I_{CEX} | | | 3 | mA | $T_{case} 125^\circ\text{C}, V_{CE} = 200 \text{ V}, V_{BE} = -1,5 \text{ V}$ |
| I_{EBO} | | | 30 | mA | $V_{EB} = 5 \text{ V}, I_C = 0$ |

ON CHARACTERISTICS – CARACTÉRISTIQUES A L'ÉTAT CONDUCTEUR

| | | | | | |
|---------------|--|--|-----|---|---|
| V_{CEsat}^* | | | 1,5 | V | $I_C = 100 \text{ A}, I_B = 10 \text{ A}$ |
| V_{BESat}^* | | | 2,2 | V | $I_C = 100 \text{ A}, I_B = 10 \text{ A}$ |

SWITCHING CHARACTERISTICS – CARACTÉRISTIQUES DE COMMUTATION

Résistive load – Charge résistive

| | | | | | |
|----------|--|--|-----|---------------|---|
| t_{on} | | | 3 | μs | $V_{CC} = 90 \text{ V}, I_C = 100 \text{ A}, I_{B1} = -I_{B2} = 10 \text{ A}$ |
| t_s | | | 1,7 | | |
| t_f | | | 0,5 | | |

Inductive load – Charge inductive

| | | | | | |
|-------|--|------|--|---------------|---|
| t_s | | 0,96 | | μs | $V_{CC} = 90 \text{ V}, I_C = 100 \text{ A}, I_{B1} = -I_{B2} = 10 \text{ A}$ |
| t_f | | 0,16 | | | |

* Measured with pulses $t_p = 300 \mu\text{s}$ $\delta \leq 2 \%$ ** $T_{case} = 25^\circ\text{C}$ Unless otherwise stated – Sauf indications contraires

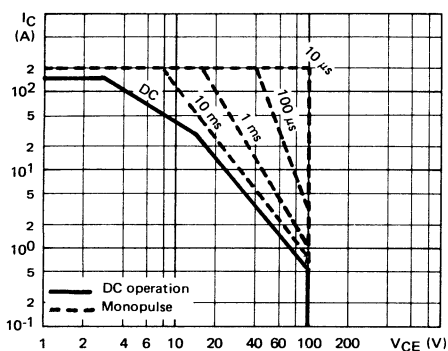


FIGURE 1 : DC and AC pulse area.

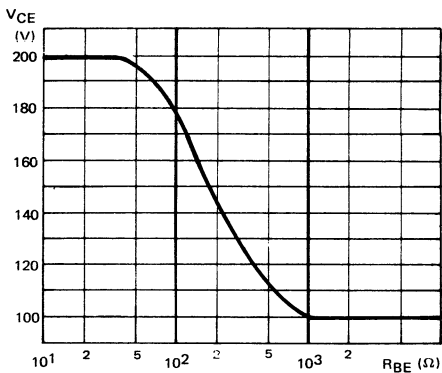


FIGURE 2 : Collector-emitter voltage vs base-emitter resistance

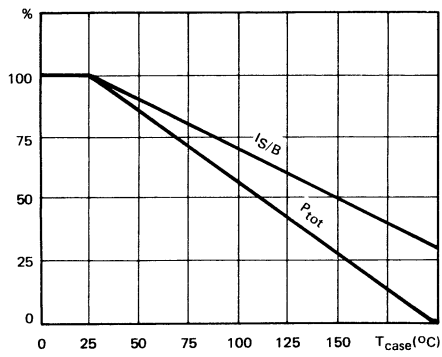
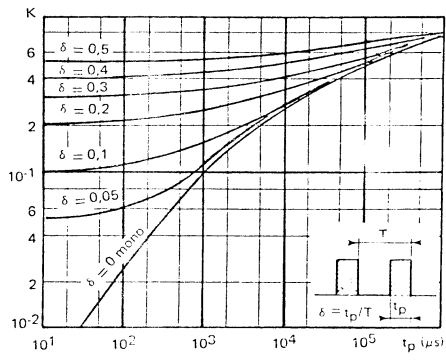
FIGURE 3 : Power and $I_{S/B}$ derating vs case temperature.

FIGURE 4 : Transient thermal response

ESM 1000 T

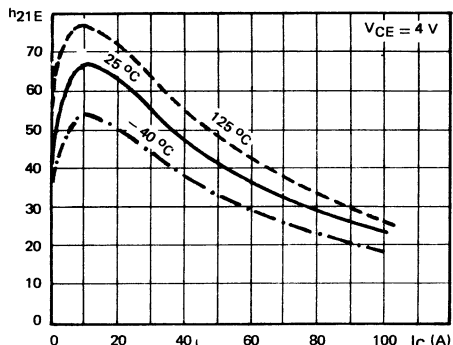


FIGURE 6 : DC current gain

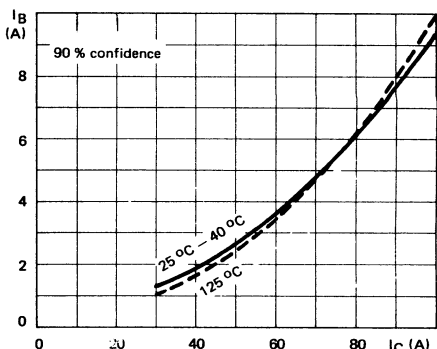


FIGURE 7 : Minimum base current to saturate the transistor

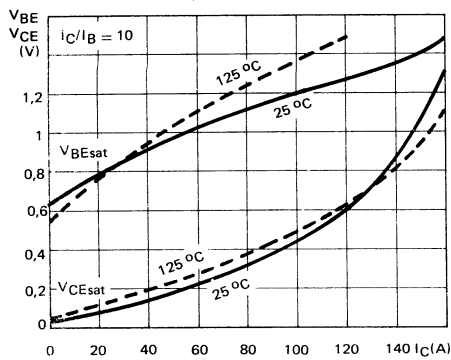
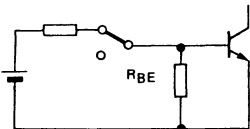


FIGURE 8 : Saturation voltage

SWITCHING OPERATING AND OVERLOAD AREAS



TRANSISTOR FORWARD BIASED

- During the turn on
- During the turn off without negative base-emitter voltage and $R_{BE} \geq 3 \Omega$

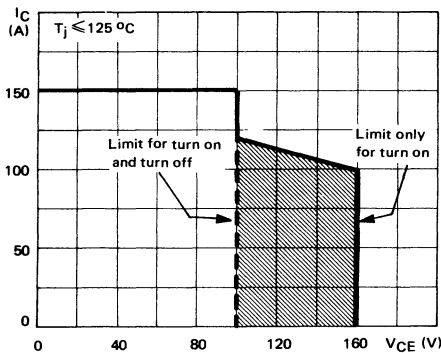
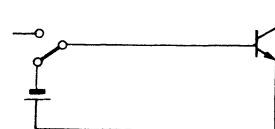


FIGURE 9 : Forward biased safe operating area (FBSOA)



TRANSISTOR REVERSE BIASED

- During the turn off with negative base-emitter voltage

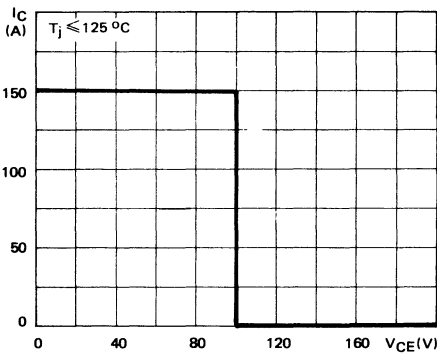


FIGURE 10 : Reverse biased safe operating area (RBSOA)

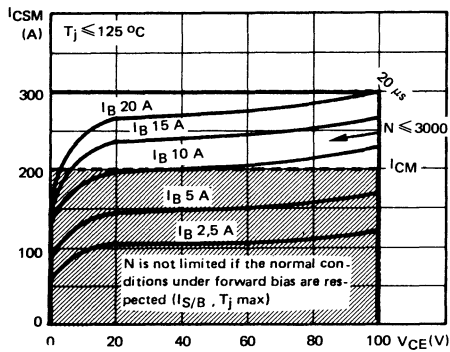


FIGURE 11: Forward biased accidental overload area (FBAOA)

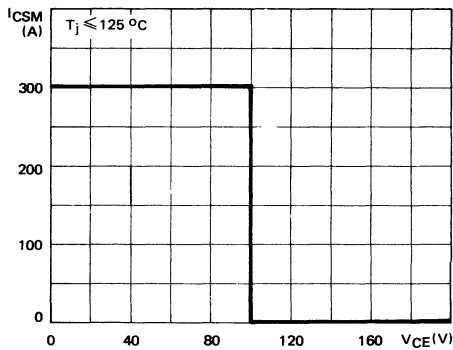


FIGURE 12 : Reverse biased accidental overload area (RBAOA)

Figure 9 : The hatched zone can only be used for turn on.

Figures 11 and 12 : High accidental surge currents ($I > I_{CM}$) are allowed if they are non repetitive and applied less than 3000 times during the component life.

Figure 11 : The Kellogg network (heavy print) allows the calculation of the maximum value of the short-circuit current for a given base current I_B (90 % confidence).

Figure 12 : After the accidental overload current, the RBAOA has to be used for the turn off.

Figure 9 : La zone hachurée ne doit être utilisée que pour la mise en conduction.

Figures 11 et 12 : De forts courants de surcharge ($I > I_{CM}$) sont permis s'ils sont non répétitifs et appliqués moins de 3000 fois dans la vie du composant.

Figure 11 : Le réseau de Kellogg (trait gras) permet le calcul de la valeur maximale du courant de court-circuit pour un courant de base donné I_B (90 % de confiance).

Figure 12 : Après le passage du courant de surcharge accidentelle, on doit utiliser l'aire de surcharge accidentelle en polarisation inverse pour l'ouverture.

ESM 1000T

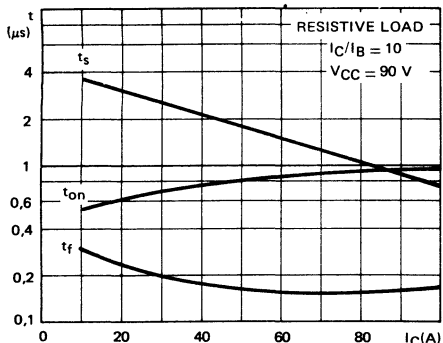


FIGURE 13 : Switching times vs collector current
 (resistive load)

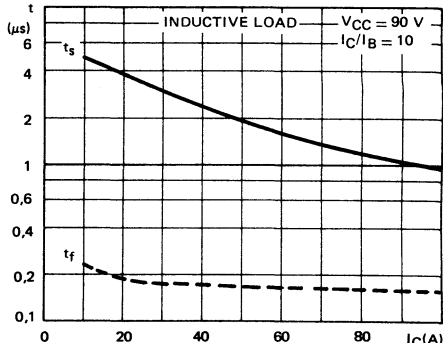


FIGURE 14 : Switching times vs collector current

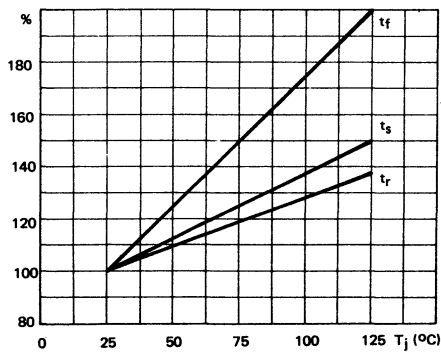


FIGURE 15 : Switching times vs junction temperature

◆ applications ◆

BASE DRIVE – COMMANDE DE BASE –

Base drive of ESM 1000 is not very critical because of its relatively low voltage. The designer can use simple circuits for applications with medium speeds or high performing circuits for high or very high switching speeds.

For example, base drive with antisaturation circuit and - 5 V blocking voltage generator allows fall times below 0,1 μ s.

La commande de base de l'ESM 1000 n'est pas très critique, car sa tension est relativement basse. Le concepteur peut utiliser :

– soit des circuits simples dans le cas d'applications à vitesses de commutation moyennes,

– soit des circuits plus performants dans le cas où une commutation plus rapide est nécessaire.

Par exemple, une commande de base avec un circuit antisaturation et un générateur de tension de blocage de - 5 V, permet d'avoir des temps de décroissance au dessous de 0,1 μ s.

HIGH EFFICIENCY OPERATING

When the transistor is operating at collector current smaller than $I_{C(SAT)}$, its gain is higher and its $V_{CE(sat)}$ is smaller. This leads to the following advantages :

– Lower conduction losses.

– Lower base drive power.

– Shorter switching times.

The minimum base current necessary to reach saturation can be determined with the aid of figure 7 .

$$\begin{aligned} I_C &= 70 \text{ A} \\ \text{EXAMPLE : } I_C &= 40 \text{ A} \end{aligned}$$

FONCTIONNEMENT A FORT RENDEMENT

Quand le transistor fonctionne à un courant collecteur inférieur à $I_{C(SAT)}$, son gain est plus élevé et sa tension de saturation est plus faible. Cela entraîne les avantages suivants :

– Des pertes de conduction plus faibles

– Une puissance de commande de base plus faible.

– Des temps de commutation plus faibles.

Le courant base minimum nécessaire pour saturer le transistor, peut être déterminé à l'aide de la figure 7 .

$$\begin{aligned} I_B &= 4,7 \text{ A} & \text{Forced gain : } 14 \\ I_B &= 1,8 \text{ A} & \text{Forced gain : } 30 \end{aligned}$$

PARALLEL MOUNTING — MONTAGE EN PARALLELE

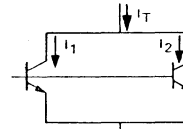
Figure 11 enables :

- the calculation of the worse case sharing of the collector currents between two ESM 1000 in parallel.

La figure 11 permet :

- le calcul dans le cas le plus défavorable, de la répartition du courant collecteur entre deux ESM 1000 en parallèle.

$$\text{EXAMPLE : } I_T = 150 \text{ A}, I_1 \geq 58 \text{ A}, I_2 \leq 92 \text{ A}$$



OVERLOAD PROTECTION — PROTECTION CONTRE LES SURCHARGES –

The ESM 1000 in the switching mode is operating under an accidental overload when the collector current is superior to the rating I_{CM} . The new concept «ACCIDENTAL OVERLOAD AREA» completes the absolute maximum ratings of power transistors. This concept allows :

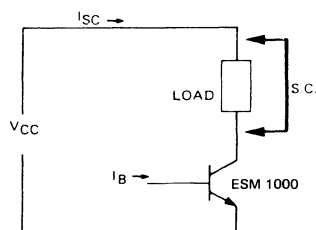
- to calculate a maximum value of the collector current under short-circuit conditions (for this a Kellogg network is given with the FBSOA),
- to find the maximum permissible duration of an overcurrent (with the aid of the FBAOA),

– to find the maximum permissible voltage during the turn off under overload (with the aid of the RBAOA).

L'ESM 1000 en régime de commutation fonctionne en surcharge accidentelle lorsque le courant collecteur est supérieur à la limite I_{CM} . Le nouveau concept «AIRE DE SURCHARGE ACCIDENTELLE» complète les limites absolues d'utilisation des transistors de puissance. Ce concept permet :

- de calculer une valeur maximale du courant collecteur dans les conditions de court-circuit (pour cela nous donnons un réseau de Kellogg avec l'aire FBAOA),
- de trouver la durée maximale admissible d'une surcharge en courant (FBAOA)
- de trouver la valeur maximale admissible de la tension réappliquée pendant le blocage du transistor après la surcharge.

| | | SHORT CIRCUIT CURRENT | PERMISSIBLE DURATION |
|-----------|---|-----------------------------|-----------------------|
| Example A | $V_{CC} = 85 \text{ V}, I_B = 20 \text{ A}$ | $I_{SC} \leq 280 \text{ A}$ | $\leq 20 \mu\text{s}$ |
| Example B | $V_{CC} = 50 \text{ V}, I_B = 7 \text{ A}$ | $I_{SC} \leq 185 \text{ A}$ | $\leq 20 \mu\text{s}$ |



ESM 1000T

DARLINGTON

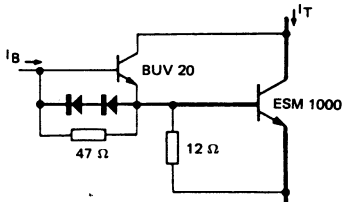
The use of Darlington configuration allows :

a) High gain with I_C near $I_{C(\text{sat})}$

EXAMPLE : BUV 20 + ESM 1000 : for $I_T = 100 \text{ A}$, $I_B \leq 0,2 \text{ A}$ ($H_{21} = 500$)

b) Higher collector current with smaller gain

EXAMPLE : BUV 20 + ESM 1000 : for $I_T = 160 \text{ A}$, $I_B \leq 1 \text{ A}$ ($H_{21} = 160$)



L'utilisation de la configuration Darlington permet :

a) Un gain élevé avec I_C voisin de $I_{C(\text{sat})}$

EXAMPLE : BUV 20 + ESM 1000, pour $I_T = 100 \text{ A}$ $I_B \leq 0,2 \text{ A}$ ($H_{21} = 500$)

b) Un courant collecteur plus élevé avec un plus faible

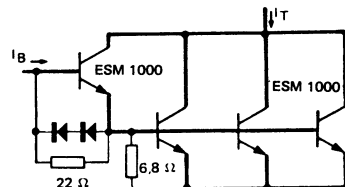
EXAMPLE : BUV 20 + ESM 1000, pour $I_T = 160 \text{ A}$, $I_B \leq 1 \text{ A}$ ($H_{21} = 160$)

HIGH POWER SWITCH – COMMUTATION DE FORTE PUISSANCE

The dynamic sharing during the turn off is always better with parallel transistors, than with parallel Darlingtons.

The use of parallel transistors in Darlington configuration allows to build very high power switches.

EXAMPLE : 1 ESM 1000 Driver + 3 ESM 1000 Power : $I_T = 500 \text{ A}$ with $I_B = 6 \text{ A}$
(Consult our factory for other combinaisons)



La répartition dynamique du courant pendant le blocage, est toujours meilleure avec des transistors en parallèle qu'avec des Darlingtons en parallèle.

L'utilisation de transistors en parallèle dans la configuration Darlington permet de réaliser des commutations de très forte puissance.

EXAMPLE : 1 ESM 1000 (commande) + 3 ESM 1000 (puissance),

$I_T = 500 \text{ A}$, pour $I_B = 6 \text{ A}$

(Veuillez nous consulter pour d'autres combinaisons possibles)

CONSULT THE THOMSON CSF HANDBOOK

*Le transistor de puissance dans son environnement *

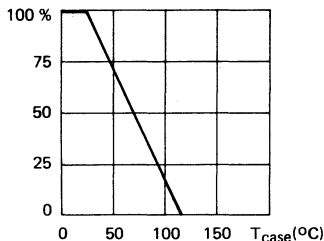
* The power transistor in its environment *

* Handbuch Schalttransistoren *

High voltage, fast switching transistor, operating from 380 V line.

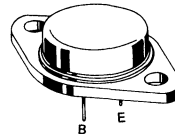
Transistor haute tension de commutation rapide fonctionnant sur secteur 380 V.

Dissipation derating
Variation de dissipation



| | |
|--|--------|
| V _{CEx} | 1500 V |
| V _{CEOsus} | 700 V |
| I _{Csat} | 4 A |
| P _{tot} (T _{case} 25 °C) | 60 W |
| t _f max (4 A) | 1 µs |

Case
Boîtier TO 3 (CB 19)



ABSOLUTE RATINGS (LIMITING VALUES)
VALEURS LIMITES ABSOLUES D'UTILISATION

| | | | |
|---|------------------------------------|-------------------|----|
| Collector-base voltage <i>Tension collecteur-base</i> | V _{CBO} | 1500 | V |
| Collector-emitter voltage <i>Tension collecteur-émetteur</i> | V _{CEO} | 700 | V |
| Collector-emitter voltage <i>Tension collecteur-émetteur</i> | V _{CEx} | 1500 | V |
| Emitter-base voltage <i>Tension émetteur-base</i> | V _{EBO} | 5 | V |
| Collector current <i>Courant collecteur</i> | I _C | 5 | A |
| Courant collecteur | I _{CM} | 8 | A |
| Base current <i>Courant base</i> | I _B | 3 | A |
| Power dissipation <i>Dissipation de puissance</i> | P _{tot} | 60 | W |
| Storage and junction temperature <i>Température de stockage et de jonction</i> | t _j T _{stg} | 115 - 65 + 115 | °C |

| | | | | |
|--|-----|----------------------|-----|------|
| Junction-case thermal resistance <i>Résistance thermique jonction boîtier</i> | max | R _{th(j-c)} | 1,5 | °C/W |
|--|-----|----------------------|-----|------|

| STATIC CHARACTERISTICS CARACTÉRISTIQUES STATIQUES | | T _{case} 25 °C | (Unless otherwise stated) (Sauf indications contraires) | | |
|--|--|---|--|-----|-----|
| | | Test conditions Conditions de mesure | min | typ | max |
| Collector-emitter cut-off current <i>Courant résiduel collecteur-émetteur</i> | R _{BE} = 100 Ω V _{CE} = 1500 V | I _{CER} | | 1 | mA |
| Collector-emitter cut-off current <i>Courant résiduel collecteur-émetteur</i> | V _{BE} = - 2,5 V V _{CE} = 1500 V T _{case} = 95 °C | I _{CEX} | | 2 | mA |
| Emitter-base cut-off current <i>Courant résiduel émetteur-base</i> | I _C = 0 V _{EB} = 5 V | I _{EBO} | | 1 | mA |
| Collecteur-emitter breakdown voltage <i>Tension de claquage collecteur-émetteur</i> Fig. 1 | I _B = 0 I _C = 100 mA L = 25 mH | V _{CEOSus} | 700 | | V |
| Collector-emitter saturation voltage <i>Tension de saturation collecteur-émetteur</i> | I _C = 4 A I _B = 2 A | V _{CESat} * | | 2 | V |
| | I _C = 2 A I _B = 0,4 A | | | 2 | V |
| Base-emitter saturation voltage <i>Tension de saturation base-émetteur</i> | I _C = 4 A I _B = 2 A | V _{BESat} * | | 1,5 | V |
| Second breakdown collector current <i>Courant collecteur de second claquage</i> | V _{CE} = 100 V t = 1 s | I _{S/B} | 0,1 | | A |

* Pulsed
Impulsions t_p = 300 μs δ ≤ 2 %

SWITCHING TIMES ON RESISTIVE LOAD*TEMPS DE COMMUTATION SUR CHARGE RESISTIVE* $T_{case} 25^{\circ}\text{C}$

| | | Test conditions <i>Conditions de mesure</i> | | min | typ | max | |
|---|-------|---|-------------|-----|-----|-----|---------------|
| Turn-on time <i>Temps total d'établissement</i> | Fig.2 | $I_C = 4 \text{ A}$ $I_{B1} = I_{B2} = 2 \text{ A}$ $V_{CC} \# 150 \text{ V}$ | $t_d + t_r$ | | 0,5 | | μs |
| Carrier storage time <i>Retard à la décroissance</i> | Fig.2 | | t_s | | 2,5 | | |
| Fall time <i>Temps de décroissance</i> | Fig.2 | | t_f | | 0,6 | | |

SWITCHING TIMES ON INDUCTIVE LOAD*TEMPS DE COMMUTATION SUR CHARGE INDUCTIVE* $T_{case} 25^{\circ}\text{C}$

| | | | | | | | |
|---|-------|--|-------|--|-----|---|---------------|
| Fall time <i>Temps de décroissance</i> | Fig.3 | | t_f | | 0,4 | 1 | μs |
|---|-------|--|-------|--|-----|---|---------------|

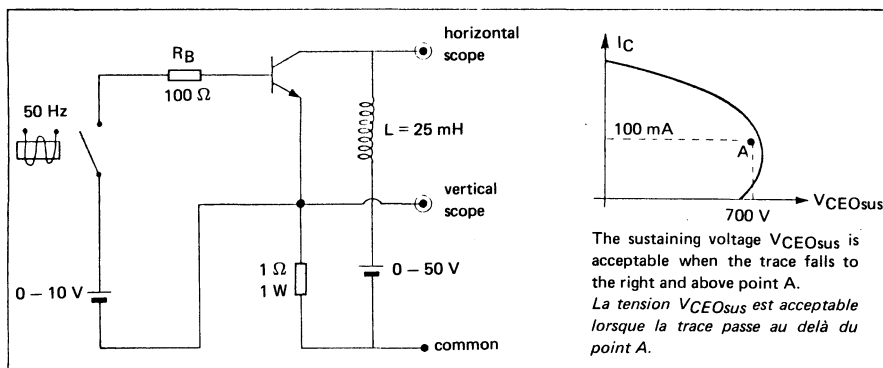
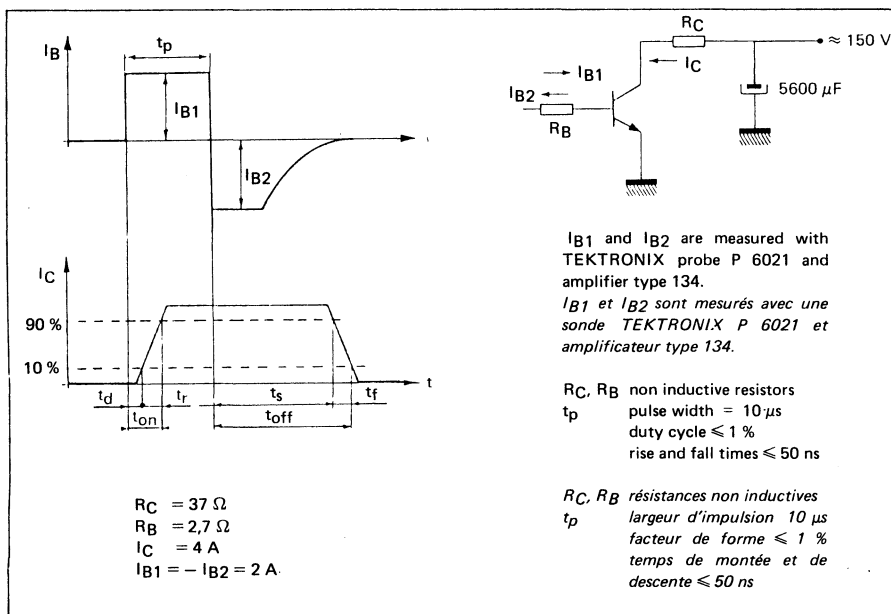
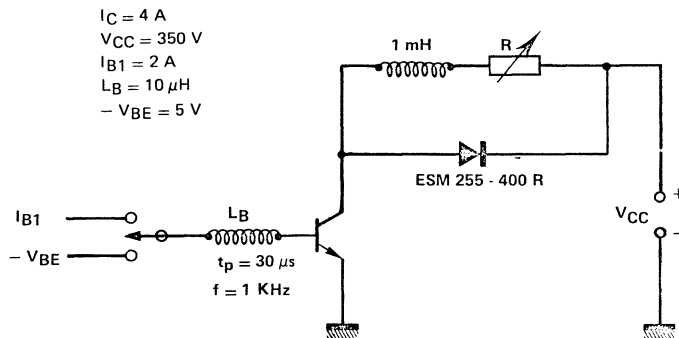
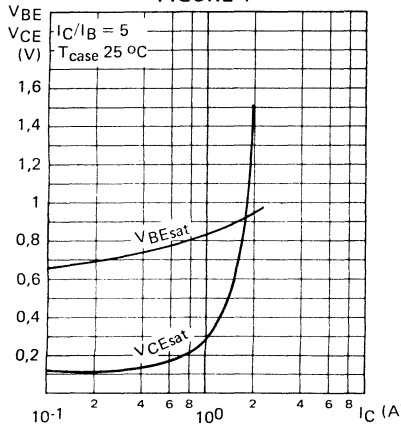
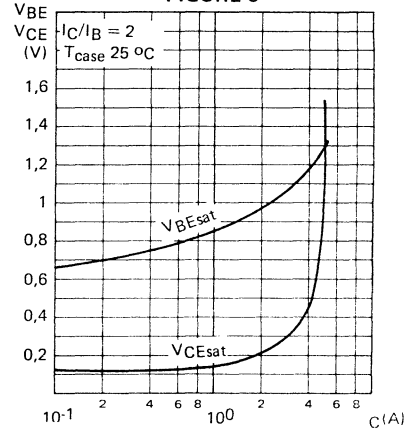
FIGURE 1 - V_{CEOsus} test circuit (and oscillogram)*Circuit de mesure de V_{CEOsus} et oscillogramme***FIGURE 2 - Switching times test circuit (and oscillograms) - Resistive load***Circuit de mesure des temps de commutation (et oscillogrammes) sur charge résistive*

FIGURE 3 - Switching times test circuit - Inductive load*Circuit de mesure des temps de commutation sur charge inductive*Ajust the resistance connected in series with the self in order to control I_C *Agir sur la résistance en série avec la self pour régler I_C*

COLLECTOR-EMITTER SATURATION VOLTAGE AND
BASE-EMITTER SATURATION VOLTAGE VERSUS COL-
LECTOR CURRENT

*Tension de saturation collecteur-émetteur et tension de
saturation base-émetteur en fonction du courant collecteur*

FIGURE 4**FIGURE 5**

STATIC FORWARD CURRENT TRANSFER RATIO VERSUS COLLECTOR CURRENT
Valeur statique du rapport de transfert direct du courant en fonction du courant collecteur

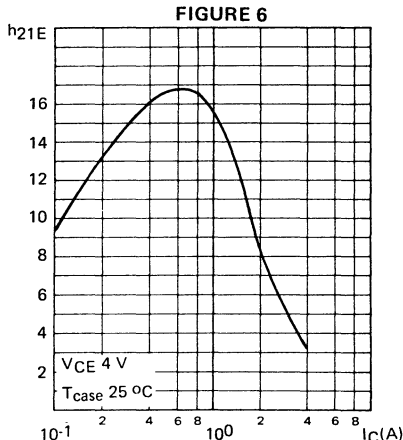


FIGURE 6

TRANSIENT THERMAL RESISTANCE DERATING FACTOR UNDER PULSE CONDITIONS
Facteur de réduction de la résistance thermique en régime d'impulsions

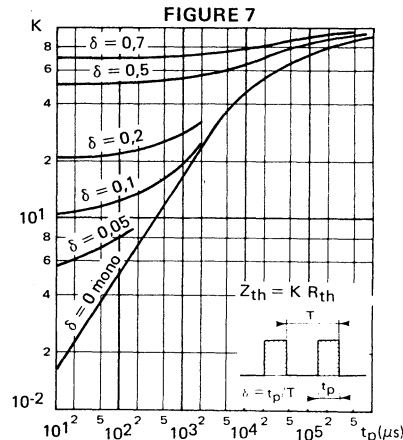


FIGURE 7

SAFE OPERATING AREAS IN SWITCHING MODE
Aires de sécurité en commutation

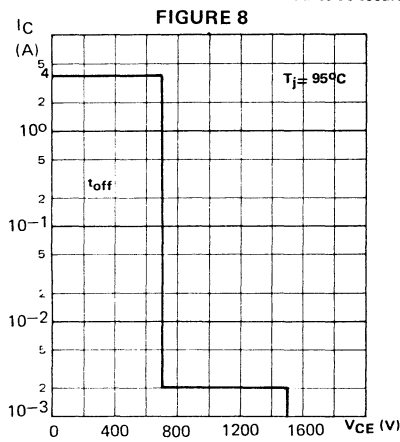
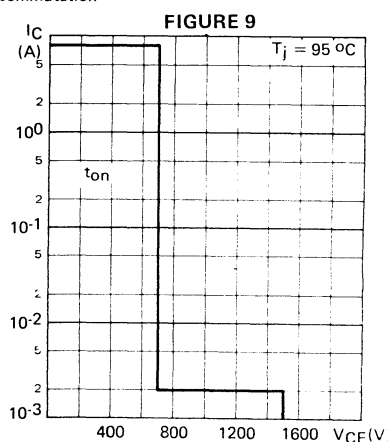


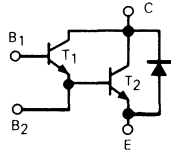
FIGURE 8



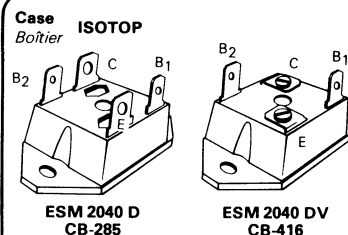
NPN HIGH VOLTAGE SWITCHING DARLINGTON
DARLINGTON NPN HAUTE TENSION DE COMMUTATION
ADVANCE INFORMATION**SUPERSWITCH**

Fast switching, high voltage Darlington with antiparallel diode particularly suited for industrial applications off 220 Volt lines such as :

- Half bridge converters
 - Full bridge converters
 - Variable frequency motors
 - DC, AC three phase inverters.
- Designed for free choice of :
- Base-emitter resistances
 - Base terminal of driver and output stage.
 - Wide safe operating area
 - Low negative base consumption during the off-state
 - Ease of paralleling
 - Isolated collector package



| | |
|-----------------------------|-----------------|
| V_{C EW} | 400 V |
| V_{C EV} | 600 V |
| I_{C sat} | 20 A |
| t_{f(100°C)} | ≤ 750 ns |
| t_{rr} | ≤ 50 ns |



Isolation voltage : 2,5 kV_(RMS)

ABSOLUTE RATINGS (LIMITING VALUES)
VALEURS LIMITES ABSOLUES D'UTILISATION

| | | | |
|---|-----------------------------------|-------------|----|
| Collector-emitter voltage <i>Tension collecteur-émetteur</i> | V _{C EO} | 400 | V |
| Collector-emitter voltage <i>Tension collecteur-émetteur</i> | V _{C EV} | 600 | V |
| Emitter-base voltage <i>Tension émetteur-base</i> | V _{E BO} | 12 | V |
| Collector current <i>Courant collecteur</i> | I _C I _{CM} | 25 35 | A |
| Base current <i>Courant base</i> | I _B I _{BM} | 4 10 | A |
| Power dissipation <i>Dissipation de puissance</i> | P _{tot} | 125 | W |
| Junction temperature <i>Température de jonction</i> | T _j | - 40, + 150 | °C |

Junction-case thermal resistance
Résistance thermique jonction-boîtier max.

R_{th(j-c)}

1

°C/W

ELECTRICAL CHARACTERISTICS - CARACTÉRISTIQUES ÉLECTRIQUES*

| SYMBOLS | Min | Typ | Max | UNITS | TEST CONDITIONS - CONDITIONS DE MESURE |
|---|-----|-----|-----|-------|---|
| OFF CHARACTERISTICS - CARACTÉRISTIQUES A L'ÉTAT BLOQUÉ | | | | | |
| V_{CEO} (sus) | 400 | | | V | $I_B = 0, I_C = 0,2 \text{ A}, L = 15 \text{ mH}$ |
| $V_{(BR)EBO}$ | 12 | | | V | $I_C = 0, I_B = 5 \text{ mA}$ |
| I_{CEV} | | 0,2 | | mA | $V_{CE} = V_{CEV}, V_{BE} = -7 \text{ V}$ $T_j = 100^\circ\text{C}$ $R_1 = 270\Omega, R_2 = 100\Omega$ Diode B1-B2 : $2 \times \text{PLQ 08}$ |
| I_{CER} | | 0,5 | | mA | $V_{CE} = V_{CEV}, R_1 \leq 27 \Omega, R_2 \leq 10 \Omega$ $T_j = 100^\circ\text{C}$ |
| I_{EBO} (T2) | | 1 | | mA | $I_C = 0, V_{BE2} = -7 \text{ V}$ |

ON CHARACTERISTICS - CARACTÉRISTIQUES A L'ÉTAT CONDUCTEUR

| | | | | | |
|-----------------|--|-----|-----|---|--|
| V_{CE} sat** | | 1,4 | 2 | V | $I_C = 20 \text{ A}, I_B = 1 \text{ A}, T_j = 100^\circ\text{C}$ |
| V_{CE} sat ** | | | 2,5 | V | $I_C = 30 \text{ A}, I_B = 3 \text{ A}$ |
| V_{BE} sat** | | | 2,5 | V | $I_C = 20 \text{ A}, I_B = 1 \text{ A}$ |

CHARACTERISTICS OF THE FREE WHEELING DIODE
CARACTÉRISTIQUES DE LA DIODE DE ROUE LIBRE

| | | | | |
|----------|--|-----|----|--|
| V_F | | 1,7 | V | $I_F = 20 \text{ A}$ |
| t_{fr} | | 50 | ns | $I_F = 0,5 \text{ A}, I_R = 1 \text{ A}, I_{REC} = 0,25 \text{ A}$ (see fig. 21) |

SWITCHING CHARACTERISTICS - CARACTÉRISTIQUES DE COMMUTATION

SWITCHING TIMES ON RESISTIVE LOAD - TEMPS DE COMMUTATION SUR CHARGE RÉSISTIVE

| | | | | | |
|----------|--|-----|-----|---------------|--|
| t_{on} | | 0,7 | 1 | μs | $V_{CC} = 150 \text{ V}, I_C = 20 \text{ A}, I_{B1} = 1 \text{ A}, R_C = 7,5 \Omega$ $R_{B2} = 0,6 \Omega, -V_{BB} = 7 \text{ V}, t_p = 30 \mu\text{s}$ |
| t_s | | 1,7 | 2,5 | | |
| t_f | | 0,6 | 1,2 | | |

TURN-ON SWITCHING CHARACTERISTICS - CARACTÉRISTIQUES DE COMMUTATION A LA MISE EN CONDUCTION

| | | | | | |
|-----------------------------|--|-----|--|-----------------|--|
| dI_C/dt | | 110 | | $A/\mu\text{s}$ | $V_{CC} = 300 \text{ V}, R_C = 0, I_{B1} = 1,5 \text{ A}, t_p = 3 \mu\text{s}$ |
| | | 90 | | | |
| V_{CE} (3 μs) | | 5 | | V | $V_{CC} = 300 \text{ V}, R_C = 15 \Omega, I_{B1} = 1 \text{ A}$ |
| | | 10 | | | |
| V_{CE} (5 μs) | | 2,8 | | V | $V_{CC} = 300 \text{ V}, R_C = 15 \Omega, I_{B1} = 1 \text{ A}$ |
| | | 5,2 | | | |

TURN-OFF SWITCHING CHARACTERISTICS - CARACTÉRISTIQUES DE COMMUTATION A L'OUVERTURE

ON INDUCTIVE LOAD - SUR CHARGE INDUCTIVE

| | | | | | |
|--|--|------|------|---------------|------------------------------|
| With negative bias - Avec polarisation négative | | | | | |
| t_{Si} | | 1,85 | | μs | $T_j = 100^\circ\text{C}$ |
| | | 2,9 | 4 | | $I_C = 20 \text{ A}$ |
| | | 0,18 | | | $I_B = 1 \text{ A}$ |
| t_{fi} | | 0,44 | 0,75 | | |
| t_{ti} | | 0,04 | | | $R_{B2} = 0,6 \Omega$ |
| | | 0,12 | | | $V_{CC} = 150 \text{ V}$ |
| t_c | | 0,48 | | | $V_{clamp.} = 400 \text{ V}$ |
| | | 1,1 | | | $L_c = 0,4 \text{ mH}$ |
| $T_j = 100^\circ\text{C}$ | | | | | |

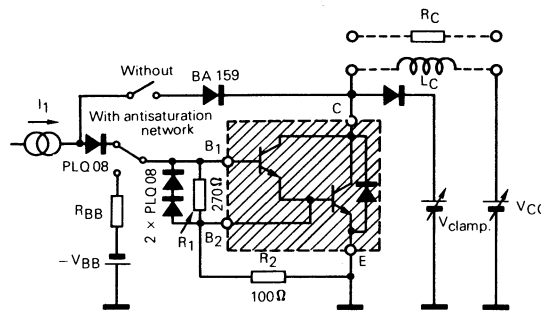
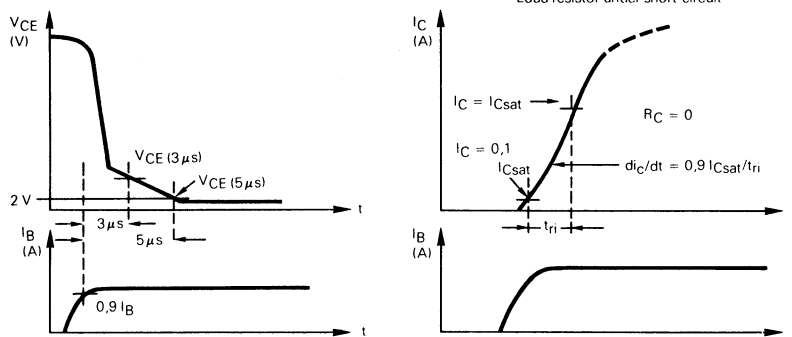
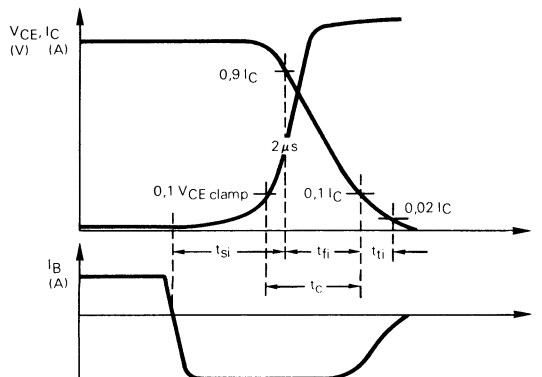
With antisaturation network - Avec réseau antisaturation

| | | | | | |
|---------------------------|--|------|------|---------------|------------------------------|
| t_{Si} | | 1,8 | | μs | $T_j = 100^\circ\text{C}$ |
| | | 2,7 | 4 | | $I_C = 20 \text{ A}$ |
| t_{fi} | | 0,22 | | | $I_B = 1 \text{ A}$ |
| | | 0,46 | 0,75 | | $-V_{BB} = 7 \text{ V}$ |
| t_{ti} | | 0,05 | | | $R_{B2} = 0,6 \Omega$ |
| | | 0,14 | | | $V_{CC} = 150 \text{ V}$ |
| t_c | | 0,58 | | | $V_{clamp.} = 400 \text{ V}$ |
| | | 1,12 | | | $L_c = 0,4 \text{ mH}$ |
| $T_j = 100^\circ\text{C}$ | | | | | |

* $T_j = 25^\circ\text{C}$ unless otherwise stated - ** Pulses - Impulsions = $t_p \leq 300 \mu\text{s}, \delta \leq 2 \%$

FIGURE 1 : TEST CIRCUIT FOR SWITCHING TIMES

- with resistive load
- with inductive load without antisaturation network
- with inductive load with antisaturation network

**FIGURE 2 : TURN-ON SWITCHING WAVEFORMS****FIGURE 3 : TURN-OFF SWITCHING WAVEFORMS (INDUCTIVE LOADS)**

ESM 2040 D. (V)

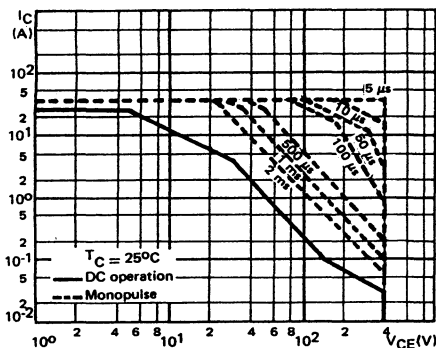


FIGURE 4 : DC and pulse area

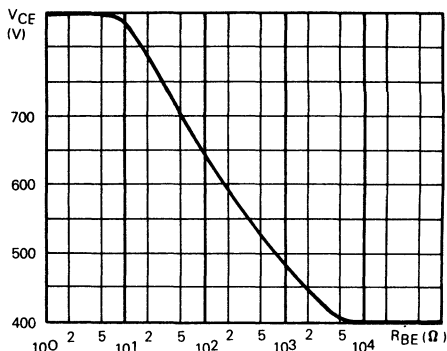


FIGURE 5 : Collector-emitter voltage versus base-emitter resistance

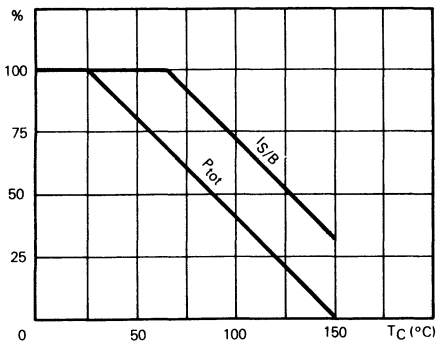


FIGURE 6 : Power and I_{S/B} derating versus case temperature

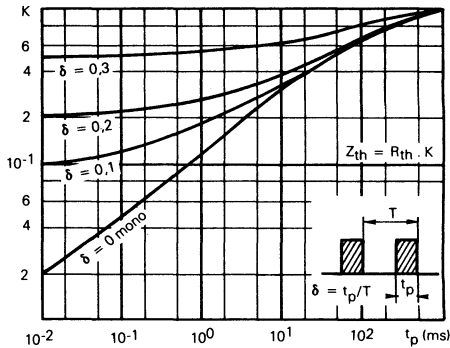
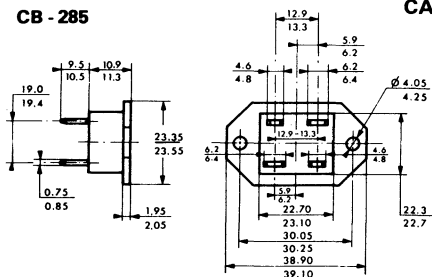
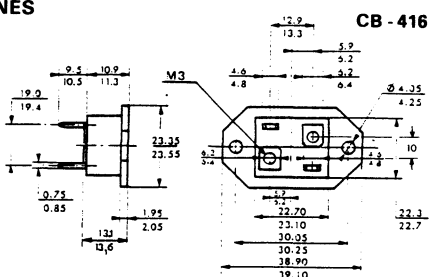


FIGURE 7 : Transient thermal response

CB - 285



CASE OUTLINES



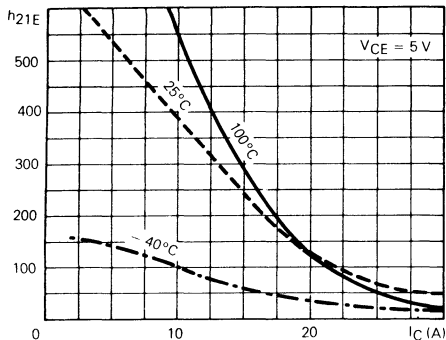


FIGURE 9 : DC current gain

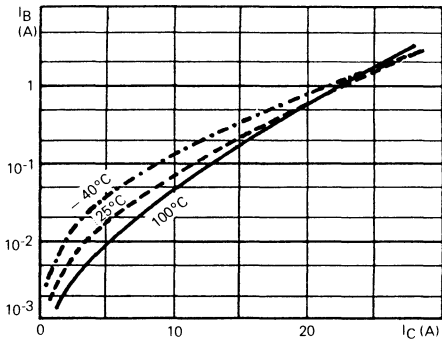


FIGURE 10 : Minimum base current to saturate the transistor

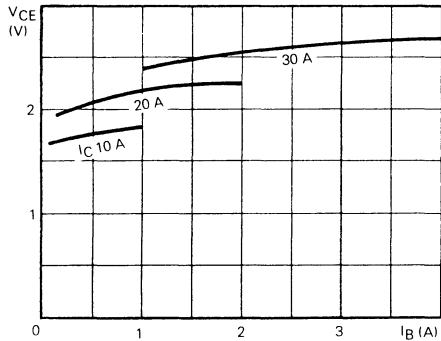


FIGURE 11 : Base characteristics

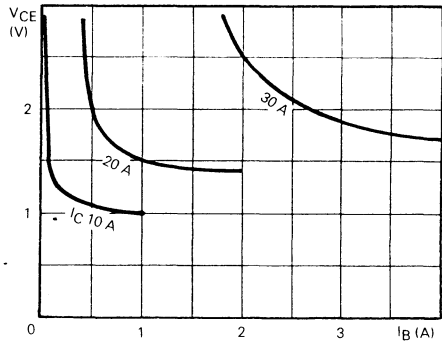


FIGURE 12 : Collector saturation region.

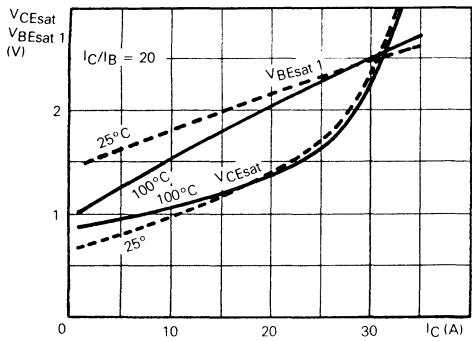


FIGURE 13 : Saturation voltages

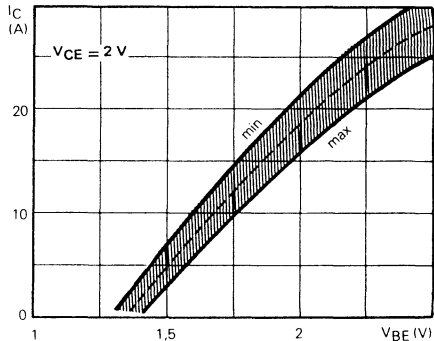
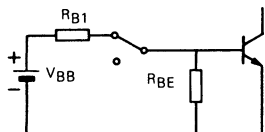


FIGURE 14 : Collector current spread versus base-emitter voltage.

ESM 2040 D, (V)



TRANSISTOR FORWARD BIASED

- During the turn-on
- During the turn-off without negative base-emitter voltage and $R_{BE} \leq 50\Omega$

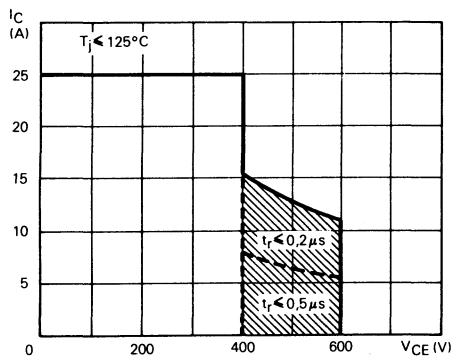
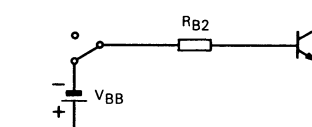


FIGURE 15 : Forward biased safe operating area (FBSOA)



TRANSISTOR REVERSE BIASED

- During the turn-off with negative base-emitter voltage

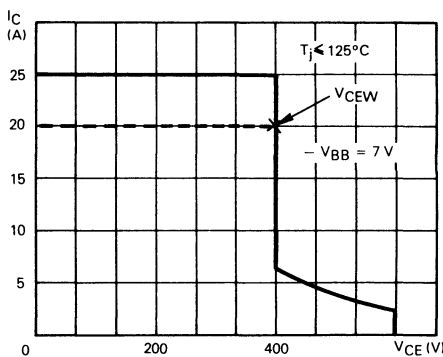


FIGURE 16 : Reverse biased safe operating area (RBSoA)

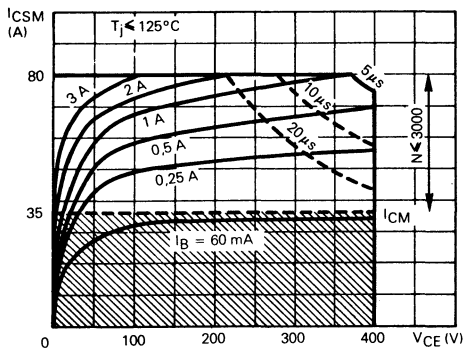


FIGURE 17 : Forward biased accidental overload area (FBAOA)

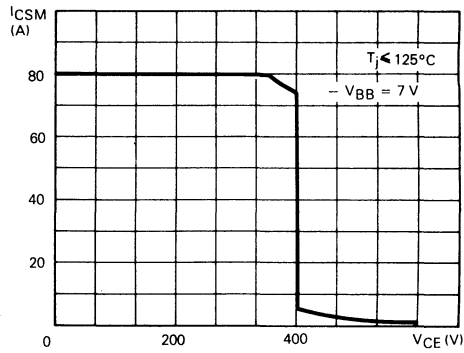


FIGURE 18 : Reverse biased accidental overload area (RBAOA)

Figure 15 : The hatched zone can only be used for turn-on.

Figure 16 : V_{CEW} collector-emitter working voltage. At this voltage the device is allowed to switch the recommended collector current I_{CSat} .

Figures 17 and 18 : High accidental surge currents ($I > I_{CM}$) are allowed if they are on repetitive and applied less than 3000 times during the component life.

Figure 17 : The Kellogg network (heavy print) allows the calculation of the maximum value of the short-circuit current for a given base current I_B (90 % confidence).

Figure 18 : After the accidental overload current, the RBAOA has to be used for the turn off.

Figure 15 : La zone hachurée ne doit être utilisée que pour la mise en conduction.

Figure 16 : V_{CEW} tension collecteur émetteur d'utilisation. C'est la tension maximale d'utilisation définie en commutation à I_{CSat} .

Figures 17 et 18 : De forts courants de surcharge ($I > I_{CM}$) sont permis s'ils sont non répétitifs et appliqués moins de 3000 fois dans la vie du composant.

Figure 17 : Le réseau de Kellogg (trait gras) permet le calcul de la valeur maximale du courant de court-circuit pour un courant de base donné I_B (90 % de confiance).

Figure 18 : Après le passage du courant de surcharge accidentelle, on doit utiliser l'aire de surcharge accidentelle en polarisation inverse pour l'ouverture.

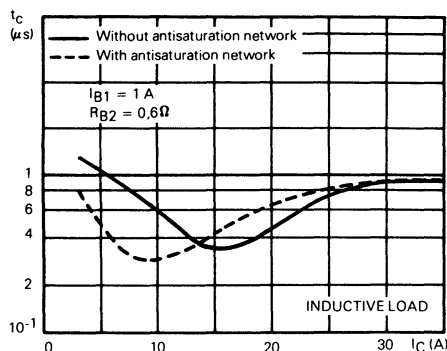


FIGURE 19 : Switching time versus collector current

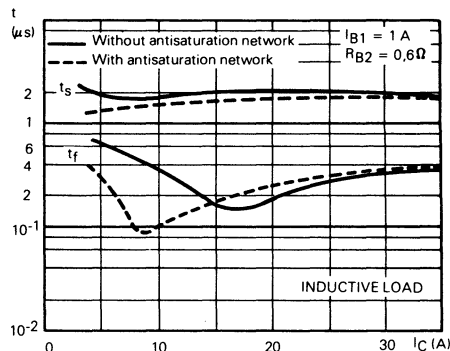


FIGURE 20 : Switching times versus collector current

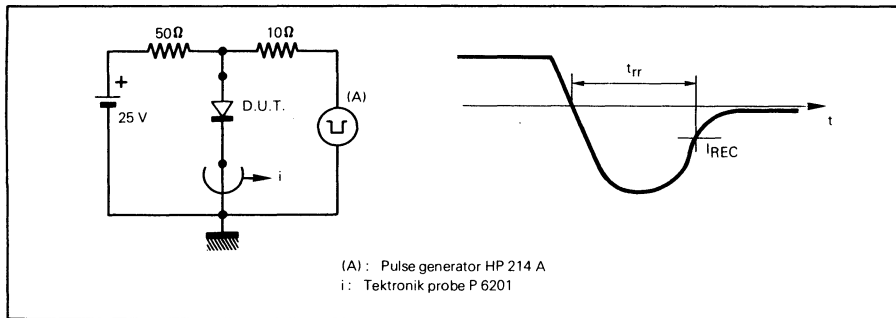


FIGURE 21 : Reverse recovery test circuit.



SUPERSWITCH

HIGH POWER , HIGH CURRENT TRANSISTOR SUITED FOR USE IN DARLINGTONS AND PARALLEL MOUNTING . MOTORS CONTROL - DC/AC INVERTERS - BREAKERS

Data sheet tailored for switching applications

- * High current 120 A in Darlington configuration
- * Information for parallel mounting
- * Wide surge area 250 A - 200 V
- * Base drive specified for different values of I_C

*TRANSISTOR DE PUISSANCE , A FORT COURANT, ADAPTE A L'UTILISATION EN DARLINGTON ET LE MONTAGE EN PARALLEL
COMMANDE DE MOTEURS - GENERATEURS CONTINUS ET ALTERNATIFS - DISJONCTEURS*

Spécifications spécialement étudiées pour la commutation

- * Fort courant 120 A en Darlington
- * Caractérisation pour le montage en parallèle
- * Aire de surcharge étendue 250 A - 200 V
- * Commande de base spécifiée pour différentes valeurs de I_C

| | |
|----------------|----------------|
| V_{CEO} osus | 200 V |
| V_{CEX} | 350 V |
| I_{Csat} | 60 A |
| I_{CSM} | 250 A |
| t_f (60 A) | $\leq 1 \mu s$ |

Case
Boîtier TO 83



Mounting with M 12 screw
Montage avec vis M 12

Torques Min:14 m N
Couples de serrage Max:18 m N

ABSOLUTE RATINGS (LIMITING VALUES) VALEURS LIMITES ABSOLUES D'UTILISATION

| | | | |
|---|-------------------|------------|----|
| Collector-emitter voltage <i>Tension collecteur-émetteur</i> | V_{CEO} | 200 | V |
| Collector-emitter voltage <i>Tension collecteur-émetteur</i> | V_{CEX} | 350 | V |
| Emitter-base voltage <i>Tension émetteur-base</i> | V_{EBO} | 7 | V |
| Collector current <i>Courant collecteur</i> | I_C I_{CM} | 90 125 | A |
| Base current <i>Courant base</i> | I_B I_{BM} | 14 24 | A |
| Power dissipation <i>Dissipation de puissance</i> | P_{tot} | 400 | W |
| Junction temperature <i>Température de jonction</i> | t_j | - 65 + 200 | °C |

| | | | | |
|--|-----|---------------|------|------|
| Junction-case thermal resistance <i>Résistance thermique jonction boîtier</i> | max | $R_{th(j-c)}$ | 0,44 | °C/W |
|--|-----|---------------|------|------|

ELECTRICAL CHARACTERISTICS - CARACTÉRISTIQUES ÉLECTRIQUES **

| SYMBOLS | Min | Typ | Max | UNIT | TEST CONDITIONS - CONDITIONS DE MESURE |
|---------|-----|-----|-----|------|--|
|---------|-----|-----|-----|------|--|

OFF CHARACTERISTICS - CARACTÉRISTIQUES A L'ÉTAT BLOQUÉ

| | | | | | |
|---------------|-----|--|----|----|---|
| V_{CEO} us | 200 | | | V | $I_B = 0, I_C = 1 \text{ A}, L = 25 \text{ mH}$ |
| $V_{(BR)EB0}$ | 7 | | | V | $I_E = 50 \text{ mA}, I_C = 0$ |
| I_{CEX} | | | 3 | mA | $T_{case} = 125^\circ\text{C}, V_{CE} = 350 \text{ V}, V_{BE} = -1,5 \text{ V}$ |
| I_{EB0} | | | 30 | mA | $V_{EB} = 5 \text{ V}, I_C = 0$ |

ON CHARACTERISTICS - CARACTÉRISTIQUES A L'ÉTAT CONDUCTEUR

| | | | | | |
|---------------|--|--|-----|---|--|
| V_{CEsat}^* | | | 1,5 | V | $I_C = 60 \text{ A}, I_B = 12 \text{ A}$ |
| V_{BESat}^* | | | 2,5 | V | $I_C = 60 \text{ A}, I_B = 12 \text{ A}$ |

SWITCHING CHARACTERISTICS - CARACTÉRISTIQUES DE COMMUTATION

Resistive load - Charge résistive

| | | | | | |
|----------|--|--|-----|---------------|---|
| t_{on} | | | 2,5 | μs | $V_{CC} = 150 \text{ V}, I_C = 60 \text{ A}, I_{B1} = -I_{B2} = 12 \text{ A}$ |
| t_s | | | 2,5 | | |
| t_f | | | 1 | | |

Inductive load - Charge inductive

| | | | | | |
|-------|--|------|--|---------------|---|
| t_s | | 1,6 | | μs | $V_{CC} = 150 \text{ V}, I_C = 60 \text{ A}, I_{B1} = -I_{B2} = 12 \text{ A}$ |
| t_f | | 0,15 | | | |

* Measured with pulses $t_p = 300 \mu\text{s}$ $\delta \leq 2\%$ ** $T_{case} = 25^\circ\text{C}$ Unless otherwise stated

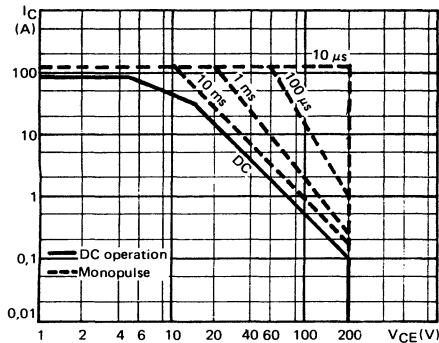
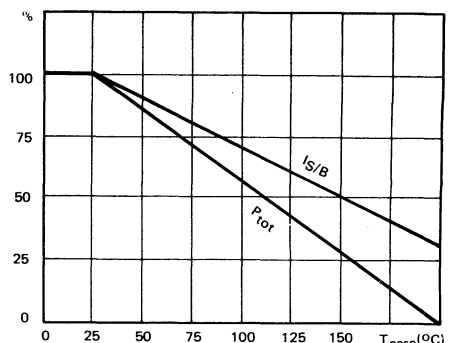


FIGURE 1 : DC and AC pulse area.

FIGURE 2 : Power and $I_{S/B}$ derating vs case temperature.

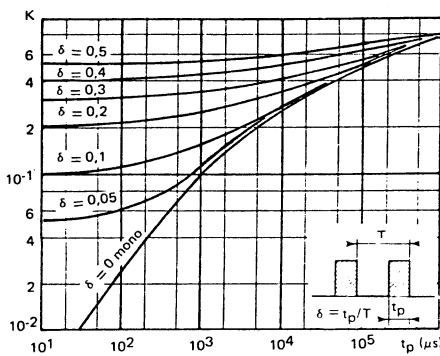


FIGURE 3 : Transient thermal response

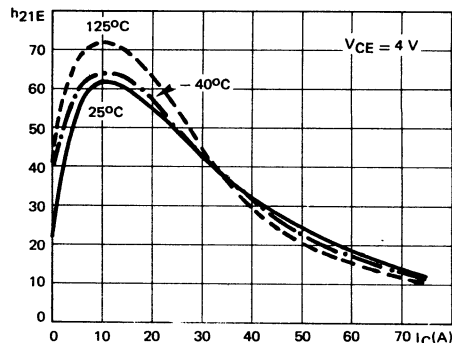


FIGURE 4 : DC current gain

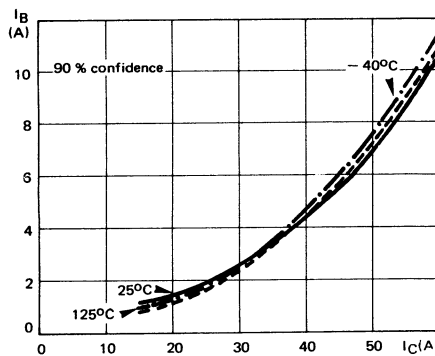


FIGURE 5 : Minimum base current to saturate the transistor

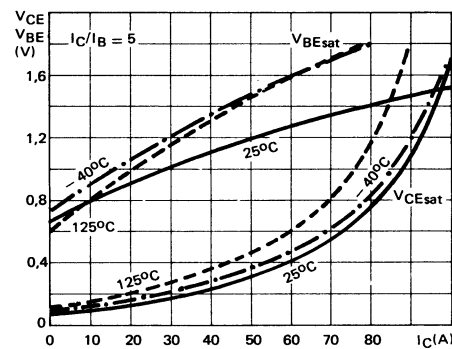
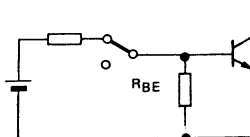


FIGURE 6 : Saturation voltage

SWITCHING OPERATING AND OVERLOAD AREAS



TRANSISTOR FORWARD BIASED

- During the turn on
- During the turn off without negative base-emitter voltage and $R_{BE} \geq 3 \Omega$

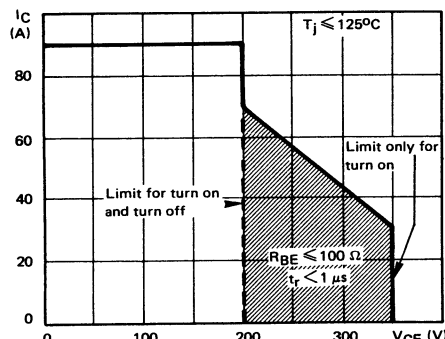
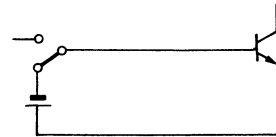


FIGURE 8 : Forward biased safe operating area (FBSOA)



TRANSISTOR REVERSE BIASED

- During the turn off with negative base-emitter voltage

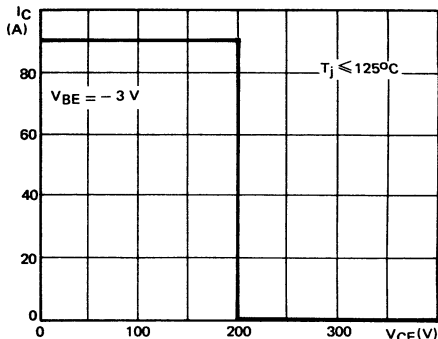


FIGURE 19 : Reverse biased safe operating area (RBSOA)

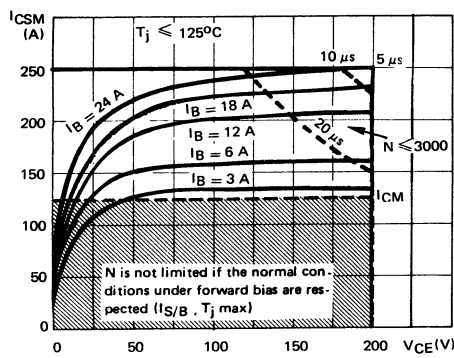


FIGURE 10 : Forward biased accidental overload area (FBAOA)

Figure 8 : The hatched zone can only be used for turn on

Figures 10 and 11 : High accidental surge currents ($I > I_{CM}$) are allowed if they are non repetitive and applied less than 3000 times during the component life.

Figure 10 : The Kellogg network (heavy print) allows the calculation of the maximum value of the short-circuit current for a given base current I_B (90 % confidence).

Figure 11 : After the accidental overload current, the RBAOA has to be used for the turn off.

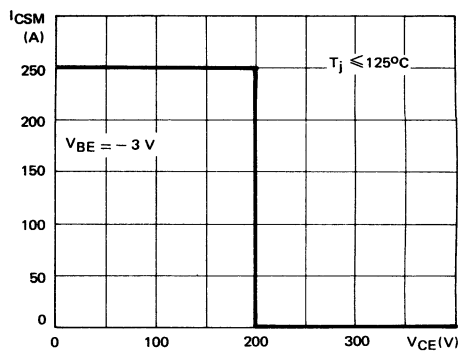


FIGURE 11 : Reverse biased accidental overload area (RBAOA)

Figure 8 : La zone hachurée ne doit être utilisée que pour la mise en conduction.

Figures 10 et 11 : De forts courants de surcharge ($I > I_{CM}$) sont permis s'ils sont non répétitifs et appliqués moins de 3000 fois dans la vie du composant.

Figure 10 : Le réseau de Kellogg (trait gras) permet le calcul de la valeur maximale du courant de court-circuit pour un courant de base donné I_B (90 % de confiance).

Figure 11 : Après le passage du courant de surcharge accidentelle, on doit utiliser l'aire de surcharge accidentelle en polarisation inverse pour l'ouverture.

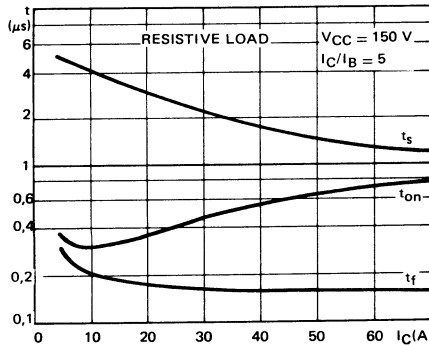


FIGURE 12 : Switching times vs collector current

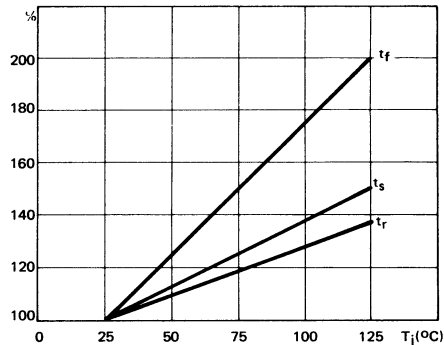


FIGURE 13 : Switching times vs junction temperature

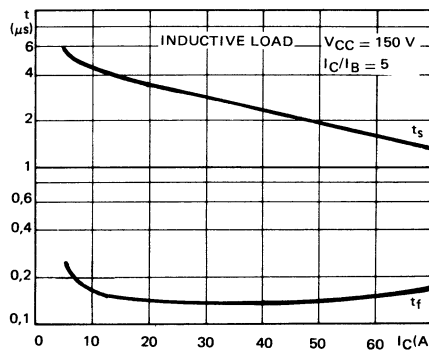


FIGURE 14 : Switching times vs collector current .

◆ applications ◆

HIGH EFFICIENCY OPERATING

When the transistor is operating at collector current smaller than $I_{C(SAT)}$, its gain is higher and its $V_{CE(sat)}$ is smaller.

This leads to the following advantages:

- Lower conduction losses.
- Lower base drive power.
- Shorter switching times.

The minimum base current necessary to reach saturation can be determined with the aid of figure 6 .

FONCTIONNEMENT A FORT RENDEMENT

Quand le transistor fonctionne à un courant collecteur inférieur à $I_{C(SAT)}$, son gain est plus élevé et sa tension de saturation est plus faible. Cela entraîne les avantages suivants :

- Des pertes de conduction plus faibles
- Une puissance de commande de base plus faible.
- Des temps de commutation plus faibles.

Le courant base minimum nécessaire pour saturer le transistor, peut être déterminé à l'aide de la figure 6

| | | | |
|------------------|--|---|---------------------------------------|
| EXAMPLE : | $I_C = 60 \text{ A}$ $I_C = 30 \text{ A}$ | $I_B = 11,5 \text{ A}$ $I_B = 2,5 \text{ A}$ | Forced gain : 5,2 Forced gain : 12 |
|------------------|--|---|---------------------------------------|

PARALLEL MOUNTING

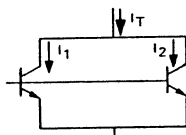
MONTAGE EN PARALLELE

Figure 10 enables :

- 1) The calculation of the worse case sharing of the collector currents between two ESM 2060 in parallel.
- 2) The calculation of the emitter impedance (resistance of inductors) to have a better sharing.

La figure 10 permet :

- 1) Le calcul, dans le cas le plus défavorable, de la répartition du courant collecteur entre deux ESM 2060 en parallèle.
- 2) Le calcul de l'impédance de l'émetteur (résistance des bobines) pour avoir la meilleure répartition.



EXAMPLE : $I_T = 108 \text{ A}$, $I_1 \geq 44 \text{ A}$, $I_2 \leq 64 \text{ A}$

OVERLOAD PROTECTION – PROTECTION CONTRE LES SURCHARGES –

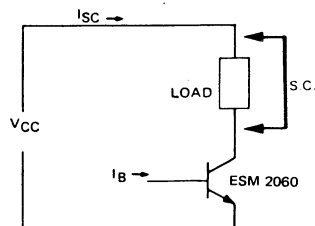
The ESM 2060 in the switching mode is operating under an accidental overload when the collector current is superior to the rating I_{CM} . The new concept «ACCIDENTAL OVERLOAD AREA» completes the absolute maximum ratings of power transistors. This concept allows:

- to calculate a maximum value of the collector current under short-circuit conditions (for this a Kellogg network is given with the FBSOA)
- to find the maximum permissible duration of an overcurrent (with the aid of the FBAOA),
- to find the maximum permissible voltage during the turn off under overload (with the aid of the RBAOA).

L'ESM 2060 en régime de commutation fonctionne en surcharge accidentelle lorsque le courant collecteur est supérieur à la limite I_{CM} . Le nouveau concept «AIRE DE SURCHARGE ACCIDENTELLE» complète les limites absolues d'utilisation des transistors de puissance. Ce concept permet :

- de calculer une valeur maximale du courant collecteur dans les conditions de court-circuit (pour cela nous donnons un réseau de Kellogg avec l'aire FBAOA),
- de trouver la durée maximale admissible d'une surcharge en courant (FBAOA)
- de trouver la valeur maximale admissible de la tension réappliquée pendant le blocage du transistor après la surcharge.

| | SHORT CIRCUIT CURRENT | PERMISSIBLE DURATION |
|-----------|---|---|
| Example A | $V_{CC} = 140 \text{ V}$, $I_B = 12 \text{ A}$ | $I_{SC} \leq 205 \text{ A}$ $\leq 20 \mu\text{s}$ |
| Example B | $V_{CC} = 180 \text{ V}$, $I_B = 8 \text{ A}$ | $I_{SC} \leq 185 \text{ A}$ $\leq 10 \mu\text{s}$ |



DARLINGTON

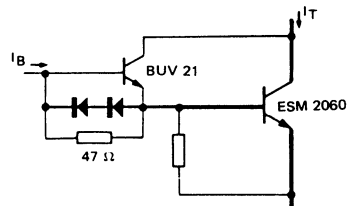
The use of Darlington configuration allows :

- a) High gain with I_C near $I_{C(sat)}$

EXAMPLE : BUV 21 + ESM 2060 ; for $I_T = 60 \text{ A}$, $I_B \leq 0.2 \text{ A}$ ($H_{21} = 300$)

- b) Higher collector current with normal gain

EXAMPLE : BUV 21 + ESM 2060 ; for $I_T = 120 \text{ A}$, $I_B \leq 2 \text{ A}$ ($H_{21} = 60$)



L'utilisation de la configuration Darlington permet :

- a) Un gain élevé avec I_C voisin de $I_{C(sat)}$

EXAMPLE : BUV 21 + ESM 2060 ; pour $I_T = 60 \text{ A}$, $I_B \leq 0.2 \text{ A}$ ($H_{21} = 300$)

- b) Un courant collecteur plus élevé avec un gain normal

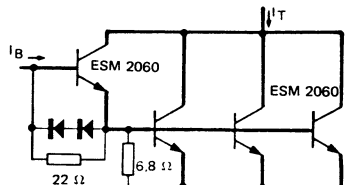
EXAMPLE : BUV 21 + ESM 2060 ; pour $I_T = 120 \text{ A}$, $I_B \leq 2 \text{ A}$ ($H_{21} = 60$)

HIGH POWER SWITCH

The dynamic sharing during the turn off is always better with parallel transistors, than with parallel Darlingtons.

The use of parallel transistors in Darlington configuration allows to build very high power switches.

EXAMPLE : 1 ESM 2060 Driver + 3 ESM 2060 Power. $I_T = 340 \text{ A}$ with $I_B = 8 \text{ A}$
(Consult our factory for other combinaisons)



COMMUTATION DE FORTE PUISSANCE

La répartition dynamique du courant pendant le blocage, est toujours meilleure avec des transistors en parallèle qu'avec des Darlingtons en parallèle.

L'utilisation de transistors en parallèle, dans la configuration Darlington permet de réaliser des commutations de très forte puissance.

EXAMPLE : 1 ESM 2060 (commande) + 3 ESM 2060 (puissance)

$I_T = 340 \text{ A}$, pour $I_B = 8 \text{ A}$

(Veuillez nous consulter pour d'autres combinaisons possibles)

CONSULT THE THOMSON CSF HANDBOOK
 *Le transistor de puissance dans son environnement *
 * The power transistor in its environment *
 * Handbuch Schalttransistoren *

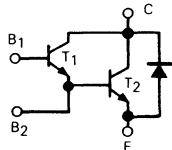
NPN HIGH VOLTAGE SWITCHING DARLINGTON
DARLINGTON NPN HAUTE TENSION DE COMMUTATION

ADVANCE INFORMATION

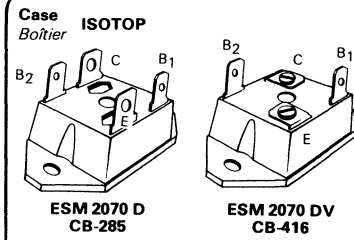
SUPERSWITCH

Fast switching, high voltage Darlington with antiparallel diode particularly suited for industrial applications off 380 Volt lines such as :

- Half bridge converters
 - Full bridge converters
 - Variable frequency motors
 - DC, AC three phase inverters.
- Designed for free choice of :
- Base-emitter resistances
 - Base terminal of driver and output stage.
 - *Wide safe operating area
 - *Low negative base consumption during the off-state
 - *Ease of paralleling
 - *Isolated collector package



| | |
|--------------------------|---------------|
| V_{CEW} | 700 V |
| V_{CEV} | 800 V |
| I_{Csat} | 12 A |
| $t_f(100^\circ\text{C})$ | ≤ 500 ns |
| t_{rr} | ≤ 60 ns |



Isolation voltage : 2,5 kV_(RMS)

ABSOLUTE RATINGS (LIMITING VALUES)
VALEURS LIMITES ABSOLUES D'UTILISATION

| | | | |
|---|-------------------|-----------|----|
| Collector-emitter voltage <i>Tension collecteur-émetteur</i> | V_{CEO} | 700 | V |
| Collector-emitter voltage <i>Tension collecteur-émetteur</i> $V_{BE} = -5$ V | V_{CEV} | 800 | V |
| Emitter-base voltage <i>Tension émetteur-base</i> | V_{EBO} | 12 | V |
| Collector current <i>Courant collecteur</i> $t_p \leq 10$ ms | I_C I_{CM} | 18 30 | A |
| Base current <i>Courant base</i> $t_p \leq 10$ ms | I_B I_{BM} | 4 10 | A |
| Power dissipation <i>Dissipation de puissance</i> | P_{tot} | 125 | W |
| Junction temperature <i>Température de jonction</i> | T_j | -40, +150 | °C |

| | | | |
|---|---------------|---|------|
| Junction-case thermal resistance <i>Résistance thermique jonction-boîtier</i> max. | $R_{th(j-c)}$ | 1 | °C/W |
|---|---------------|---|------|

ELECTRICAL CHARACTERISTICS - CARACTÉRISTIQUES ÉLECTRIQUES **

| SYMBOLS | Min | Typ | Max | UNITS | TEST CONDITIONS - CONDITIONS DE MESURE |
|---------|-----|-----|-----|-------|--|
|---------|-----|-----|-----|-------|--|

OFF CHARACTERISTICS - CARACTÉRISTIQUES A L'ÉTAT BLOQUÉ

| | | | | | |
|-----------------|-----|-----|---|----|---|
| V_{CEO} (sus) | 700 | | | V | $I_B = 0 \text{ A}, I_C = 0.2 \text{ A}, L = 15 \text{ mH}$ |
| $V_{(B)IEBO}$ | 12 | | | V | $I_C = 0, I_B = 5 \text{ mA}$ |
| I_{CEV} | | 0,3 | 2 | mA | $T_{case} 25^\circ\text{C}$ $V_{CE} = V_{CEV}, V_{BE} = - 7 \text{ V}$ $T_{case} 125^\circ\text{C}$ $R1 = 270\Omega, R2 = 100\Omega, \text{Diodes B1-B2 : PLQ 08}$ |
| I_{CER} | | 0,5 | 4 | mA | $T_{case} 25^\circ\text{C}$ $V_{CE} = V_{CEV}, R1 \leq 28\Omega, R2 \leq 10\Omega$ $T_{case} 125^\circ\text{C}$ |
| I_{EBO} (T2L) | | | 1 | mA | $I_C = 0, V_{BE2} = - 7 \text{ V}$ |

ON CHARACTERISTICS - CARACTÉRISTIQUES A L'ÉTAT CONDUCTEUR

| | | | | |
|---------------|--|-----|---|---|
| V_{CE} sat* | | 2 | V | $I_C = 12 \text{ A}, I_B = 1 \text{ A}, T_{case} 100^\circ\text{C}$ |
| | | 3,5 | | $I_C = 18 \text{ A}, I_B = 1,8 \text{ A}$ |
| V_{BE} sat* | | 2,6 | V | $I_C = 12 \text{ A}, I_B = 1 \text{ A}$ |

CHARACTERISTICS OF THE FREE WHEELING DIODE

CARACTÉRISTIQUES DE LA DIODE DE ROUE LIBRE

| | | | | |
|----------|--|-----|----|--|
| V_F | | 1,8 | V | $I_F = 12 \text{ A}$ |
| t_{rr} | | 60 | ns | $I_F = 0,5 \text{ A}, I_R = 1 \text{ A}, I_{REC} = 0,25 \text{ A}$ |

SWITCHING CHARACTERISTICS - CARACTÉRISTIQUES DE COMMUTATION

| | | | | |
|--|--|-----|---------------|---|
| Resistive load - Charge résistive | | | | |
| t_{on} | | 0,8 | μs | $V_{CC} = 300 \text{ V}, I_C = 12 \text{ A}, V_{BE} = - 7 \text{ V}, I_{B1} = 1 \text{ A},$ $R1 = 270\Omega, R2 = 100\Omega, \text{Diodes B1-B2 : PLQ 08}$ |
| t_s | | 4 | | |
| t_f | | 1 | | |
| Inductive load - Charge inductive (see figure 1) | | | | |
| t_s | | 6,5 | μs | $T_j = 100^\circ\text{C}$ $V_{CC} = 300 \text{ V}, I_C = 12 \text{ A}, I_{B1} = 1 \text{ A}$ |
| t_f | | 0,5 | | See figure 1 |

*Measured with pulses $t_p = 300 \mu\text{s}, \delta \leq 2\% \text{ }** T_{case} 25^\circ\text{C}$ Unless otherwise stated

CASE OUTLINES

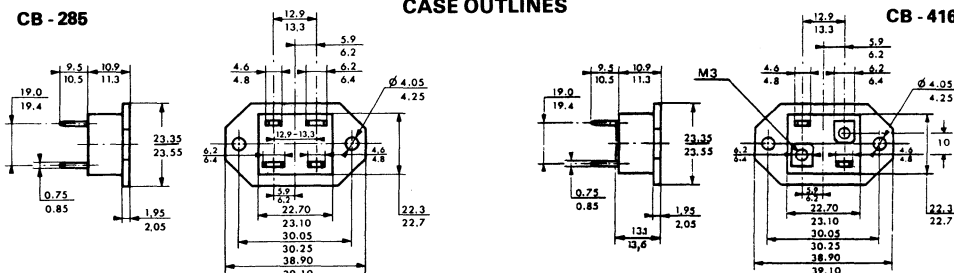


FIGURE 1 : SWITCHING TIMES MEASUREMENT CIRCUIT FOR INDUCTIVE LOAD

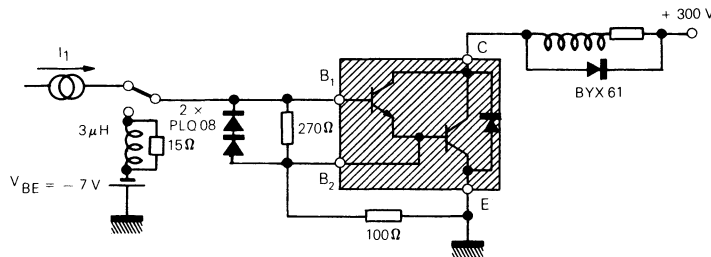


FIGURE 2 : REVERSE BIAS SAFE OPERATING AREA (RBSOA)

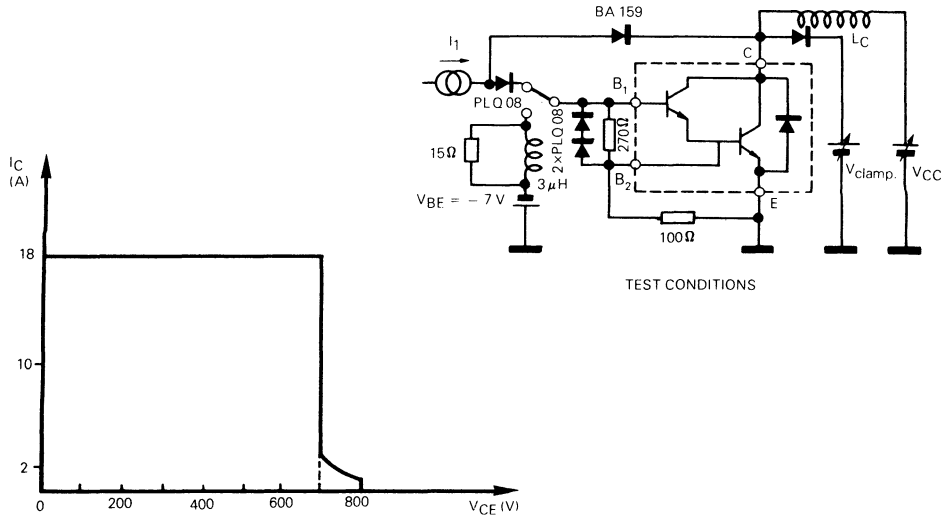




FIGURE 1: SWITCHING TIMES MEASUREMENT CIRCUIT FOR INDUCTIVE LOAD

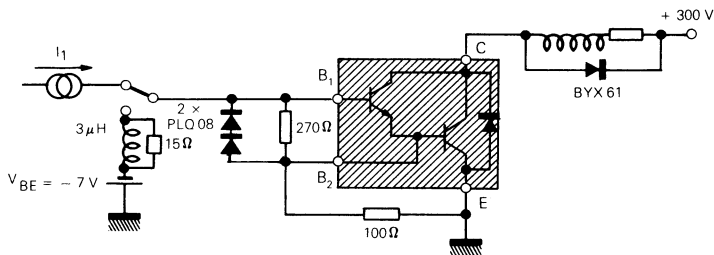
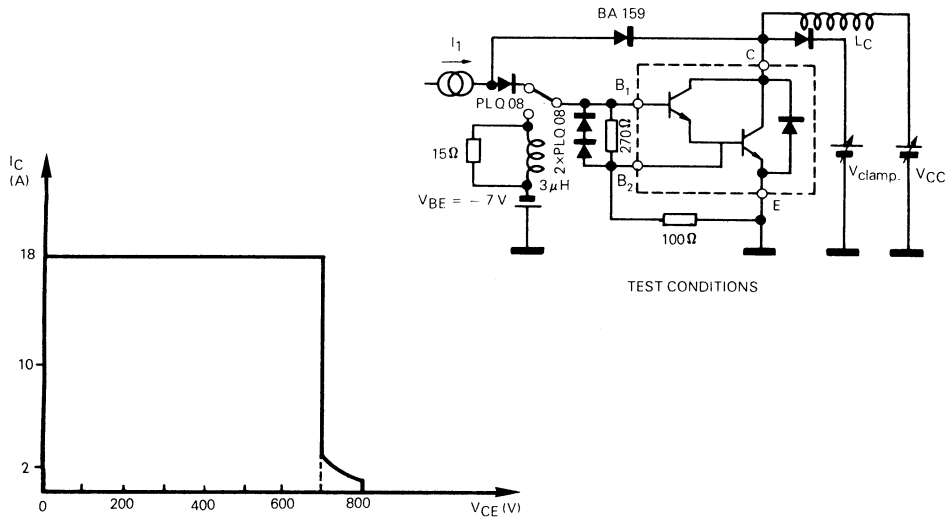


FIGURE 2: REVERSE BIAS SAFE OPERATING AREA (RBSOA)





NPN SWITCHING TRANSISTOR
TRANSISTOR NPN DE COMMUTATION

TENTATIVE DATA

SUPERSWITCH

HIGH CURRENT, HIGH POWER TRANSISTORS

Pressure contact construction

Thermal fatigue free

Key parameters characterised at 100°C

*High current capability

*Very low saturation resistance at 100°C

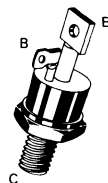
*High specified gain at 100 A

*Fast turn-on and turn-off

ESM 3000 ESM 3001

| | | |
|---------------|-------|-------|
| V_{CEO} sus | 120 V | 150 V |
| V_{CEV} | 200 V | 200 V |
| I_{Csat} | 150 A | 150 A |
| I_{CM} | 300 A | 300 A |

Case
Boîtier TO 83



Mounting with M 12 screw
Montage avec vis M 12

Torques
Couples de serrage Max : 18 m N
Min : 14 m N C

ABSOLUTE RATINGS (LIMITING VALUES) VALEURS LIMITES ABSOLUES D'UTILISATION

| | | ESM 3000 | ESM 3001 | | |
|---|-----------------------------|-------------------------------|------------|------------|------------------|
| Collector-emitter voltage <i>Tension collecteur-émetteur</i> | V_{CEO} | 120 | 150 | V | |
| Collector-emitter voltage <i>Tension collecteur-émetteur</i> | $V_{BE} = -1,5 \text{ V}$ | V_{CEV} | 200 | 200 | V |
| Emitter-base voltage <i>Tension émetteur-base</i> | V_{EBO} | 7 | 7 | V | |
| Collector current repetitive <i>Courant collecteur répétitif</i> | $t_p \leq 1 \text{ ms}$ | $I_C(\text{RMS})$ I_{CM} | 150 300 | 150 300 | A |
| Base current <i>Courant base</i> | $t_p \leq 1 \text{ ms}$ | $I_B(\text{RMS})$ I_{BM} | 20 40 | 20 40 | A |
| Power dissipation <i>Dissipation de puissance</i> | $T_{case} 75^\circ\text{C}$ | P_{tot} | 400 | 400 | W |
| Junction temperature <i>Température de jonction</i> | | T_j | -65 + 175 | -65 + 175 | $^\circ\text{C}$ |

| Junction-case thermal resistance <i>Résistance thermique jonction-boîtier</i> | max | $R_{th(j-c)}$ | 0,25 | 0,25 | °C/W |
|--|-----|---------------|------|------|------|
| Double sided cooling | | | | | |

ELECTRICAL CHARACTERISTICS - CARACTÉRISTIQUES ÉLECTRIQUES **

| SYMBOLS | Min | Typ | Max | UNITS | | TEST CONDITIONS - CONDITIONS DE MESURE |
|---|------------|-----|-----|-------|----------------------|---|
| OFF CHARACTERISTICS - CARACTÉRISTIQUES A L'ÉTAT BLOQUE | | | | | | |
| V_{CEOsus} | 120 150 | | | V | ESM 3000 ESM 3001 | $I_B = 0$ L = 25 mH, $I_C = 0,5$ A |
| $V_{(BR)EBO}$ | 7 | | | V | | $I_C = 0$, $I_E = 100$ mA |
| I_{CEV} | | | 6 | mA | | $V_{CE} = 200$ V, $V_{BE} = -1,5$ V, $T_j = 125^\circ\text{C}$ |
| I_{CER} | | | 10 | mA | | $V_{CE} = 200$ V, $R_{BE} = 10\Omega$, $T_j = 125^\circ\text{C}$ |
| I_{EBO} | | | 30 | mA | | $I_C = 0$, $V_{EB} = 5$ V |

ON CHARACTERISTICS - CARACTÉRISTIQUES A L'ÉTAT CONDUCTEUR

| | | | | | | |
|---------------|------------|------------|---|--|---|---------------------------|
| V_{CESat} | 0,6 0,5 | 1,5 1,5 | V | | $I_C = I_{Csat} = 150$ A, $I_B = I_{Bsat} = 15$ A | $T_j = 100^\circ\text{C}$ |
| | | | | | $I_C = 100$ A, $I_B = 5$ A | |
| | | | | | $I_C = 100$ A, $I_B = 10$ A | |
| | | | | | $I_C = 80$ A, $I_B = 4$ A | |
| V_{BEsat^*} | | 2,2 | V | | $I_C = I_{Csat}$, $I_B = I_{Bsat}$, $T_j = 100^\circ\text{C}$ | |

SWITCHING TIMES ON RESISTIVE LOAD - TEMPS DE COMMUTATION SUR CHARGE RÉSISTIVE

| | | | | | | |
|----------|--|---|-----|---------------|-----------------------------------|---------------------------|
| t_{on} | | 1 | | μs | $V_{CC} = 60$ V | $T_j = 100^\circ\text{C}$ |
| t_s | | | 1,8 | μs | $I_C = I_{Csat}$ | |
| t_f | | | 0,5 | μs | $ I_{B1} = - I_{B2} = I_{Bsat}$ | |

TURN-ON SWITCHING CHARACTERISTICS - CARACTÉRISTIQUES DE COMMUTATION A LA MISE EN CONDUCTION

| | | | | | | |
|-----------------------------|--|--------|--|---|---|---|
| V_{CE} (2 μs) | | 4 6 | | V | $T_j = 25^\circ\text{C}$ $T_j = 100^\circ\text{C}$ | $V_{CC} = 60$ V $R_C = 0,4\Omega$ $ I_{B1} = I_{Bsat} $ |
| V_{CE} (4 μs) | | 2 3 | | V | $T_j = 25^\circ\text{C}$ $T_j = 100^\circ\text{C}$ | |

TURN-OFF SWITCHING CHARACTERISTICS - CARACTÉRISTIQUES DE COMMUTATION A L'OUVERTURE

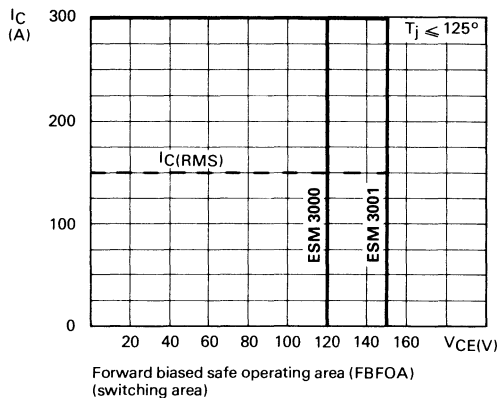
ON INDUCTIVE LOAD - SUR CHARGE INDUCTIVE

| | | | | | | |
|--|--|--------------|--|---------------|---|--|
| With negative bias - Avec polarisation négative | | | | | | |
| t_{si} | | 1 1,7 | | μs | $T_j = 25^\circ\text{C}$ $T_j = 100^\circ\text{C}$ | $V_{CC} = 60$ V $I_C = I_{Csat}$ $ I_{B1} = - I_{B2} = I_{Bsat} $ $V_{clamp} = 0,7$ V _{CEO} |
| t_{fi} | | 0,15 0,25 | | μs | $T_j = 25^\circ\text{C}$ $T_j = 100^\circ\text{C}$ | |
| t_{ti} | | 0,03 0,1 | | μs | $T_j = 25^\circ\text{C}$ $T_j = 100^\circ\text{C}$ | |
| t_c | | 0,15 0,3 | | μs | $T_j = 25^\circ\text{C}$ $T_j = 100^\circ\text{C}$ | |

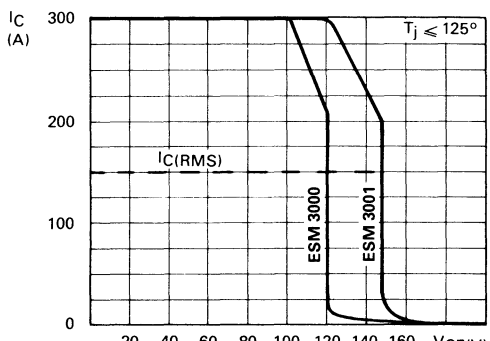
With antisaturation network - Avec réseau antisaturation

| | | | | | | |
|----------|--|------------|--|---------------|---|--|
| t_{si} | | 4 7 | | μs | $T_j = 25^\circ\text{C}$ $T_j = 100^\circ\text{C}$ | $V_{CC} = 60$ V $I_C = I_{Csat}$ $ I_{B1} = I_{Bsat} $ $ I_{B2} = 0$ $V_{clamp} = 0,7$ V _{CEO} |
| t_{fi} | | 1,8 2,5 | | μs | $T_j = 25^\circ\text{C}$ $T_j = 100^\circ\text{C}$ | |
| t_{ti} | | 0,3 0,6 | | μs | $T_j = 25^\circ\text{C}$ $T_j = 100^\circ\text{C}$ | |

** $T_j = 25^\circ\text{C}$ Unless otherwise stated*Pulses
Impulsions $t_p \leqslant 300$ μs $\delta \leqslant 2\%$



Forward biased safe operating area (FBFOA)
(switching area)



Reverse bias safe operating area (RBFOA)

TENTATIVE DATA

SUPERSWITCH

HIGH CURRENT, HIGH POWER TRANSISTORS

Pressure contact construction

Thermal fatigue free

High power capability

Wide operating area

Suited for use on the Darlington configuration

Key parameters characterized at 100°C

APPLICATIONS

MOTOR CONTROL

DC/AC INVERTERS

POWER SUPPLY BREAKERS

| | |
|-------------------------|-------------|
| $V_{CEO(sus)}$ | 200 V |
| V_{CEV} | 350 V |
| $I_{C(sat)}$ | 140 A |
| $t_f (100^\circ C)$ | 0.7 μ s |
| Darlington switch 200 A | |

Case
Boîtier TO 83



Mounting with M 12 screw
Montage avec vis M 12

Torques Min : 14 mNm
Couple de serrage Max : 18 mNm

ABSOLUTE RATINGS (LIMITING VALUES)

VALEURS LIMITES ABSOLUES D'UTILISATION

| | | | |
|---|-------------------------|------------|----|
| Collector-emitter voltage <i>Tension collecteur-émetteur</i> | V_{CEO} | 200 | V |
| Collector-emitter voltage <i>Tension collecteur-émetteur</i> | V_{CEV} | 350 | V |
| Emitter-base voltage <i>Tension émetteur-base</i> | V_{EBO} | 7 | V |
| Collector current <i>Courant collecteur</i> | I_C (RMS) I_{CM} | 125 250 | A |
| Base current <i>Courant base</i> | I_B (RMS) I_{BM} | 20 65 | A |
| Power dissipation <i>Dissipation de puissance</i> | P_{tot} | 400 | W |
| Junction temperature <i>Température de jonction</i> | T_j | - 65 + 150 | °C |

| | | | | |
|--|-----|---------------|------|------|
| Junction-case thermal resistance <i>Résistance thermique jonction-boîtier</i> | max | $R_{th(j-c)}$ | 0,25 | °C/W |
|--|-----|---------------|------|------|

ELECTRICAL CHARACTERISTICS - CARACTÉRISTIQUES ÉLECTRIQUES **

| SYMBOLS | Min | Typ | Max | UNIT | | TEST CONDITIONS - CONDITIONS DE MESURE |
|---------|-----|-----|-----|------|--|--|
|---------|-----|-----|-----|------|--|--|

OFF CHARACTERISTICS - CARACTÉRISTIQUES A L'ÉTAT BLOQUÉ

| | | | | | | |
|---------------|-----|--|----|----|--|--|
| V_{CEOus} | 200 | | | V | | $I_B = 0, L = 25 \text{ mH}, I_C = 0,5 \text{ A}$ |
| $V_{(BR)EBO}$ | 7 | | | V | | $I_C = 0, I_E = 100 \text{ mA}$ |
| I_{CEV} | | | 5 | mA | | $V_{CE} = 350 \text{ V}, V_{BE} = -1,5 \text{ V}, T_j = 125^\circ\text{C}$ |
| I_{CER} | | | 10 | mA | | $V_{CE} = 350 \text{ V}, R_{BE} = 10 \Omega, T_j = 125^\circ\text{C}$ |
| I_{EBO} | | | 30 | mA | | $I_C = 0, V_{EB} = 5 \text{ V}$ |

ON CHARACTERISTICS - CARACTÉRISTIQUES A L'ÉTAT CONDUCTEUR

| | | | | | | |
|---------------|--|--|-----|---|--|--|
| V_{CEsat}^* | | | 1,5 | V | | $I_C = I_{Csat} = 140 \text{ A}, I_B = I_{Bsat} = 28 \text{ A}, T_j = 100^\circ\text{C}$ |
| | | | 1,5 | V | | $I_C = 120 \text{ A}, I_B = 12 \text{ A}$ |
| V_{BEsat}^* | | | 2,2 | V | | $I_C = I_{Csat}, I_B = I_{Bsat}$ |

SWITCHING CHARACTERISTICS - CARACTÉRISTIQUES DE COMMUTATION

| Resistive load - Charge résistive | | | | | | |
|-----------------------------------|--|-----|-----|---------------|--|--|
| t_{on} | | 1,5 | | μs | | $V_{CC} = 100 \text{ V}, I_C = I_{Csat}(1)$ |
| t_s | | | 2 | | | $I_{B1} = -I_{B2} = I_{Bsat}$ |
| t_f | | | 0,7 | | | |
| Inductive load - Charge inductive | | | | | | |
| t_f | | 0,5 | | μs | | $T_j = 25^\circ\text{C} \quad \left\{ \begin{array}{l} V_{CC} = 100 \text{ V}, I_C = I_{Csat} \quad (1) \\ I_{B1} = -I_{B2} = I_{Bsat} \end{array} \right.$ |
| | | 0,3 | 0,7 | | | $T_j = 100^\circ\text{C} \quad \left\{ \begin{array}{l} V_{CC} = 100 \text{ V}, I_C = I_{Csat} \quad (1) \\ I_{B1} = -I_{B2} = I_{Bsat} \end{array} \right.$ |

* Measured with pulses $t_p = 300 \mu\text{s}$ $\delta \leq 2 \%$ ** $T_{case} 25^\circ\text{C}$ Unless otherwise stated(1) $V_{CEclamp} < V_{CEOus}$

Application

The ESM 3002 is suited in Darlington configuration.
This allows a higher collector current.

Example :

Darlington with

ESM 3002 (output)
BUT 91 (driver)

$I_{CD} = 200 \text{ A}$ Total output current

$I_B = 4 \text{ A}$ Drive current

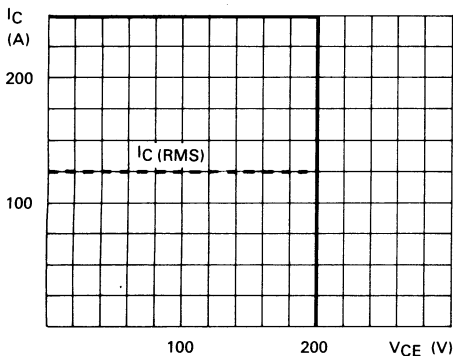
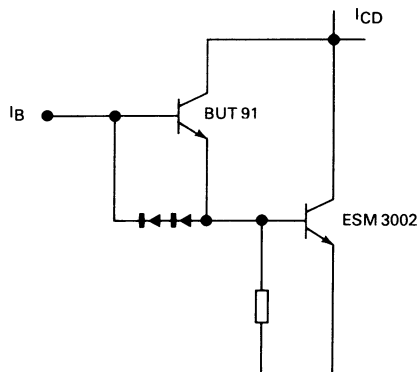


Fig.1 — Forward biased safe operating area (FBSOA)

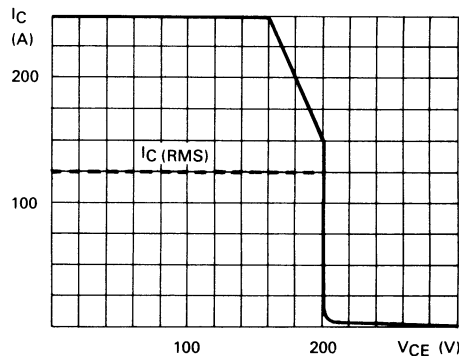


Fig.2 — Reverse biased safe operating area (RBSOA)

NPN HIGH VOLTAGE SWITCHING TRANSISTORS TRANSISTORS NPN HAUTE TENSION DE COMMUTATION

SUPERSWITCH

HIGH CURRENT, HIGH POWER TRANSISTORS

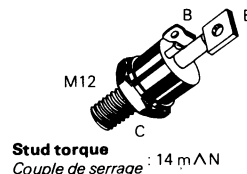
- Pressure contact construction
- Thermal fatigue free
- High power capability
- Wide operating area
- Key parameters characterized at 100°C
- Suited for use on the Darlington configuration

APPLICATIONS

MOTOR CONTROL
DC/AC INVERTERS
POWER SUPPLY-BREAKERS

| | ESM 3004 | ESM 3005 |
|----------------------|----------|----------|
| V _{CEOsus} | 400 V | 500 V |
| V _{CEV} | 600 V | 600 V |
| I _{Csat} | 65 A | 50 A |
| I _{CM} | 150 A | 150 A |
| DARLINGTON SWITCH | 130 A | 110 A |

Case : TO-83 (CB - 183)
Boîtier :



ABSOLUTE RATINGS (LIMITING VALUES) VALEURS LIMITES ABSOLUES D'UTILISATION

T_{case} = 25°C Unless otherwise stated

| | | ESM 3004 | ESM 3005 | Units |
|--|--|--|----------|-------|
| Collector-emitter voltage Tension collecteur-émetteur | V _{CEO} | 400 | 500 | V |
| Collector-emitter voltage Tension collecteur-émetteur | V _{CEV} | 600 | | V |
| Emitter-base voltage Tension émetteur-base | V _{EBO} | 10 | | V |
| Collector current Courant collecteur | I _{C(RMS)} I _{CM} | 120 150 | | A |
| Base current Courant base | t _p ≤ 1 ms | I _{B(RMS)} I _{BM} | 20 40 | A |
| Power dissipation Dissipation de puissance | T _{case} 75°C | P _{tot} | 400 | W |
| Junction temperature Température de jonction | T _j | - 65, + 175 | | °C |

Junction-case thermal resistance
Résistance thermique jonction-boîtier

max.
R_{th(j-c)}

0,25

°C/W

ELECTRICAL CHARACTERISTICS - CARACTÉRISTIQUES ÉLECTRIQUES*

| SYMBOLS | Min | Typ | Max | UNITS | TEST CONDITIONS - CONDITIONS DE MESURE |
|---------|-----|-----|-----|-------|--|
|---------|-----|-----|-----|-------|--|

OFF CHARACTERISTICS - CARACTÉRISTIQUES A L'ÉTAT BLOQUÉ

| | | | | | |
|-----------------|------------|--|----|----|---|
| V_{CEO} (sus) | 400 500 | | | V | ESM 3004 ESM 3005 $\left\{ \begin{array}{l} I_B = 0, L = 25 \text{ mH}, I_C = 0,5 \text{ A} \\ I_C = 0, I_E = 200 \text{ mA} \end{array} \right.$ |
| $V_{(BR)EBO}$ | 10 | | | V | $I_C = 0, V_{EB} = 200 \text{ mA}$ |
| I_{CEV} | | | 5 | mA | $V_{CE} = 600 \text{ V}, V_{BE} = -1,5 \text{ V}, T_j = 125^\circ\text{C}$ |
| I_{CER} | | | 10 | mA | $V_{CE} = 600 \text{ V}, R_{BE} = 10 \Omega, T_j = 125^\circ\text{C}$ |
| I_{EBO} | | | 30 | mA | $I_C = 0, V_{EB} = 5 \text{ V}$ |

ON CHARACTERISTICS - CARACTÉRISTIQUES A L'ÉTAT CONDUCTEUR

| | | | | | |
|------------------|--|--|-----|---|---|
| V_{CEsat}^{**} | | | 1,5 | V | ESM 3004 ESM 3005 $\left\{ \begin{array}{l} I_C = I_{Csat} = 65 \text{ A}, I_B = I_{Bsat} = 13 \text{ A} \\ I_C = I_{Csat} = 50 \text{ A}, I_B = I_{Bsat} = 10 \text{ A} \end{array} \right. T_j 100^\circ\text{C}$ |
| | | | 2 | V | ESM 3004 ESM 3005 $\left\{ \begin{array}{l} I_C = 100 \text{ A}, I_B = 33 \text{ A} \\ I_C = 80 \text{ A}, I_B = 27 \text{ A} \end{array} \right. T_j 100^\circ\text{C}$ |
| V_{BEsat}^{**} | | | 2,2 | V | $I_C = I_{Csat}, I_B = I_{Bsat}$ |

SWITCHING CHARACTERISTICS - CARACTÉRISTIQUES DE COMMUTATION

SWITCHING TIMES ON RESISTIVE LOAD - TEMPS DE COMMUTATION SUR CHARGE RÉSISTIVE (Fig. 1)

| | | | | | |
|-------|--|-----|-----|---------------|---|
| t_r | | 1,0 | 1,5 | μs | $V_{CC} = 200 \text{ V}, I_C = I_{Csat}, I_B1 = -I_B2 = I_{Bsat}$ |
| t_s | | | 3,5 | | |
| t_f | | 0,5 | 1 | | |

TURN-ON SWITCHING CHARACTERISTICS - CARACTÉRISTIQUES DE COMMUTATION A LA MISE EN CONDUCTION (Fig. 2)

| | | | | | | | |
|-------------------------|--|----|--|---|---------------------------|--|--|
| $V_{CE}(2 \mu\text{s})$ | | 5 | | V | $T_j = 100^\circ\text{C}$ | $\left\{ \begin{array}{l} R_C = 0,7 \text{ V}_{CEO}/I_{Csat} \\ V_{CC} = 0,7 \text{ V}_{CEO} \\ I_B1 = I_{Bsat}, I_C = I_{Csat} \end{array} \right.$ | |
| | | 18 | | | | | |
| $V_{CE}(4 \mu\text{s})$ | | 3 | | V | $T_j = 100^\circ\text{C}$ | | |
| | | 9 | | | | | |

TURN-OFF SWITCHING CHARACTERISTICS - CARACTÉRISTIQUES DE COMMUTATION A L'OUVERTURE (Fig. 3)

ON INDUCTIVE LOAD - SUR CHARGE INDUCTIVE

| With negative bias - Avec polarisation négative | | | | | | | |
|---|--|------|-----|---------------|---------------------------|--|--|
| t_{SI} | | 3,6 | | μs | $T_j = 100^\circ\text{C}$ | $\left\{ \begin{array}{l} V_{CC} = 200 \text{ V} \\ I_C = I_{Csat} \\ I_B1 = -I_B2 = I_{Bsat} \\ V_{clamp.} = 0,7 \text{ V}_{CEO} \end{array} \right.$ | |
| | | 4,5 | | | | | |
| t_{fi} | | 0,25 | 0,6 | μs | $T_j = 100^\circ\text{C}$ | | |
| | | 0,7 | 1 | | | | |
| t_{ti} | | 0,1 | | μs | $T_j = 100^\circ\text{C}$ | | |
| | | 0,2 | | | | | |
| t_c | | 0,8 | | μs | $T_j = 100^\circ\text{C}$ | | |
| | | 2 | | | | | |

Without negative bias - Sans polarisation négative

| | | | | | | | |
|----------|--|-----|--|---------------|---------------------------|---|--|
| t_{SI} | | 7 | | μs | $T_j = 100^\circ\text{C}$ | $\left\{ \begin{array}{l} V_{CC} = 200 \text{ V}, R_{B2} = 1 \Omega \\ I_C = I_{Csat} \\ I_B1 = I_{Bsat} \\ I_B2 = 0 \\ V_{clamp.} = 0,7 \text{ V}_{CEO} \end{array} \right.$ | |
| | | 12 | | | | | |
| t_{fi} | | 1 | | μs | $T_j = 100^\circ\text{C}$ | | |
| | | 3 | | | | | |
| t_{ti} | | 0,3 | | μs | $T_j = 100^\circ\text{C}$ | | |
| | | 0,5 | | | | | |

* $T_j = 25^\circ\text{C}$ unless otherwise stated - ** Pulsed - Impulsions $t_p \leq 300 \mu\text{s}, \delta \leq 2 \%$

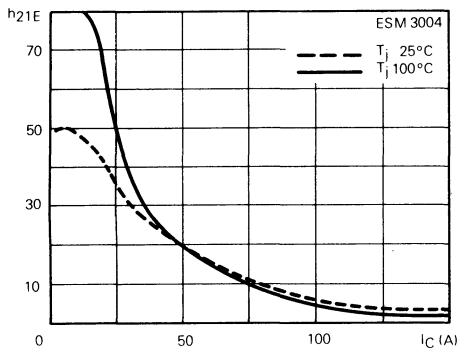


Fig.1 : DC current gain.

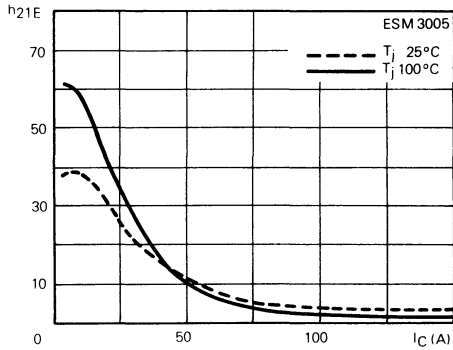


Fig.2 : DC current gain.

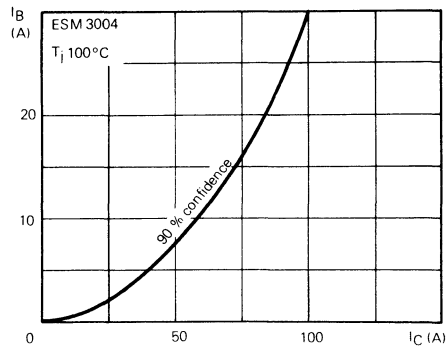


Fig.3 : Minimum base current to saturate the transistor.

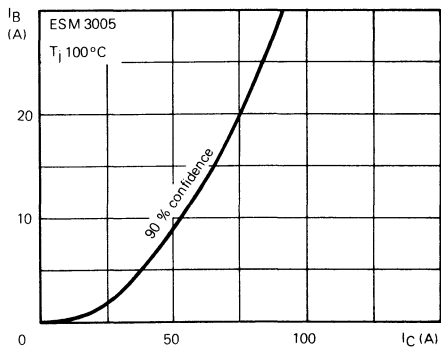


Fig.4 : Minimum base current to saturate the transistor.

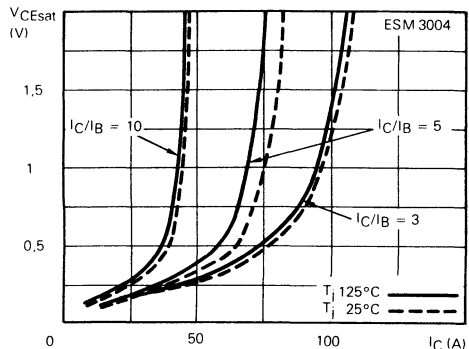


Fig.5 : Saturation voltage.

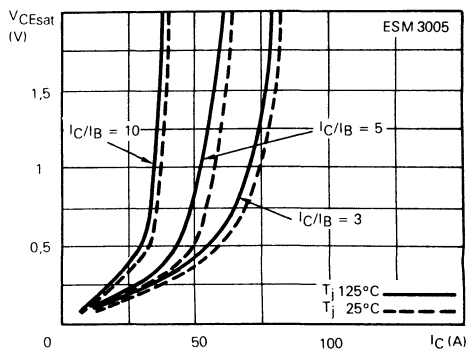


Fig.6 : Saturation voltage.

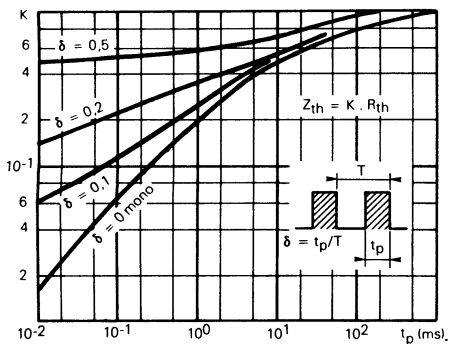


Fig. 7 : Transient thermal response.

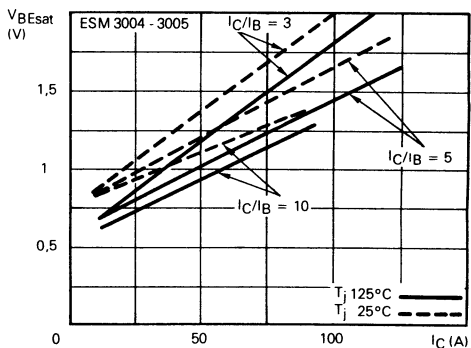


Fig. 8 : Saturation voltage.

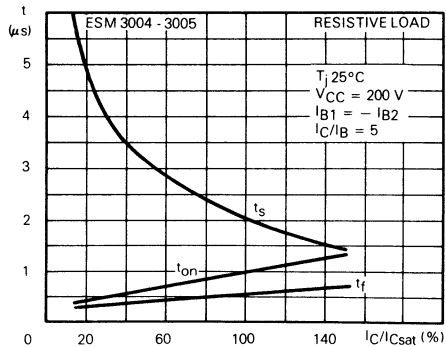


Fig. 9 : Switching times versus collector current.

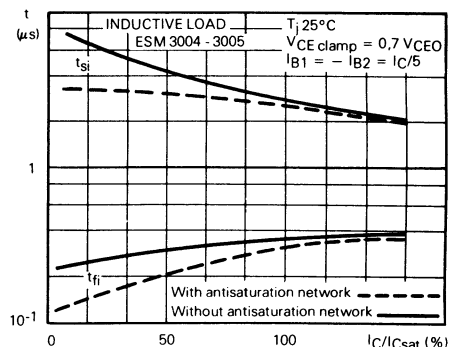


Fig. 10 : Switching times versus collector current (with and without antisaturation network).

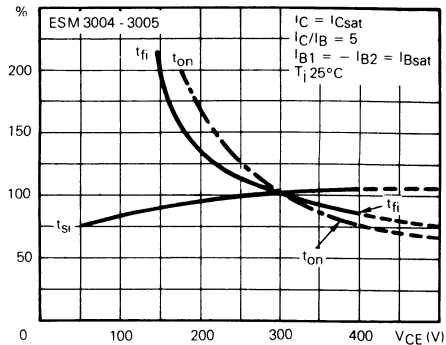


Fig. 11 : Switching times versus collector-emitter voltage.

4/8

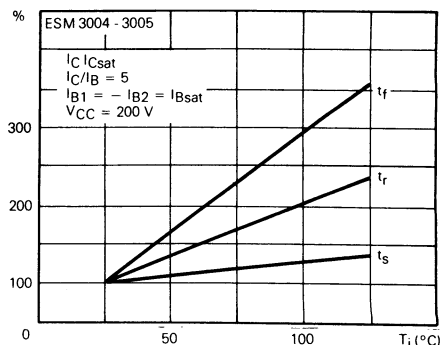
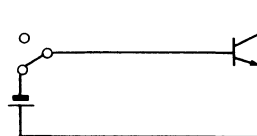
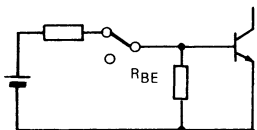


Fig. 12 : Switching times versus junction temperature.

SWITCHING SAFE OPERATING AREAS



TRANSISTOR FORWARD BIASED

- During the turn-on
- During the turn-off without negative base-emitter voltage and $R_{BE} \leq 22\Omega$.

TRANSISTOR REVERSE BIASED

- During the turn-off with negative base-emitter voltage

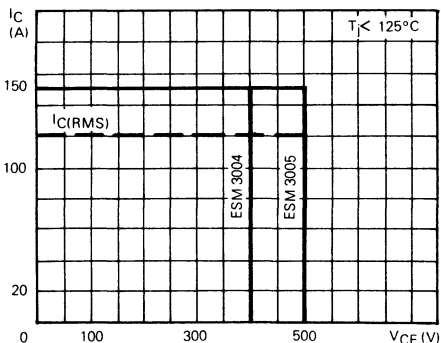


Fig.13 : Forward biased safe operating area (FBSOA).

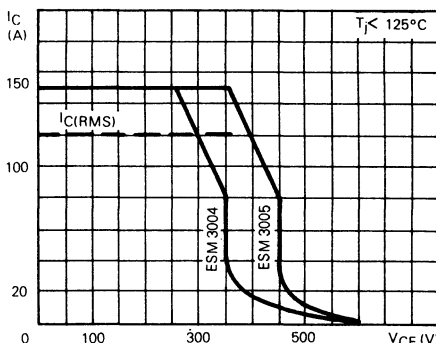


Fig.14 : Reverse biased safe operating area (RBSOA).

SAFE OPERATING AREA

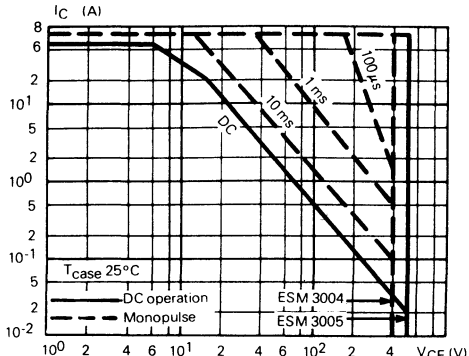


Fig.15 : DC and pulse area.

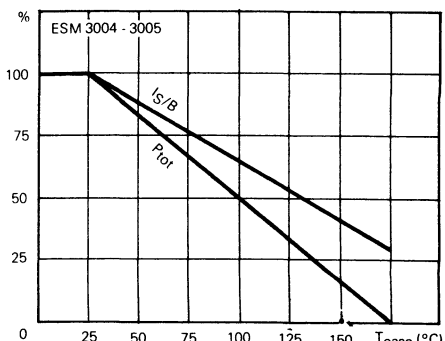


Fig.16 : Power and IS/B derating versus case temperature.

APPLICATIONS

The ESM 3004/3005 are suited for use on the Darlington configuration. This allows a higher collector current.

EXAMPLE :

DARLINGTON WITH
ESM 3004 (output) - BUX 98 (driver)
 $I_{CD} = 130 \text{ A}, I_B = 5 \text{ A}$

DARLINGTON WITH
ESM 3005 (output) - BUX 98 A (driver)
 $I_{CD} = 110 \text{ A}, I_B = 5 \text{ A}$

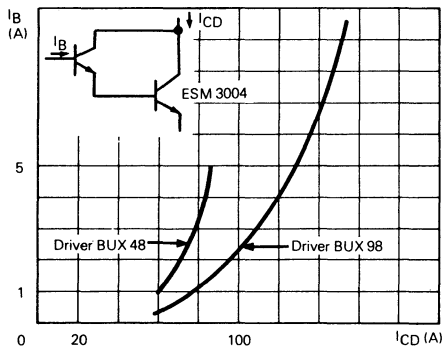


Fig. 17 : Base current to saturate the Darlington configuration.

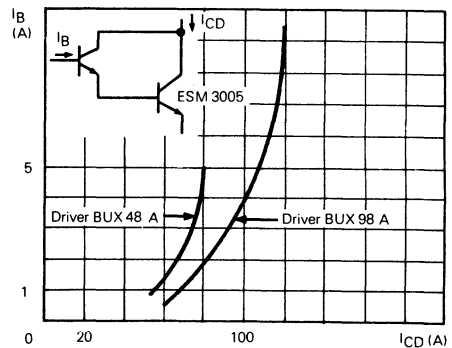
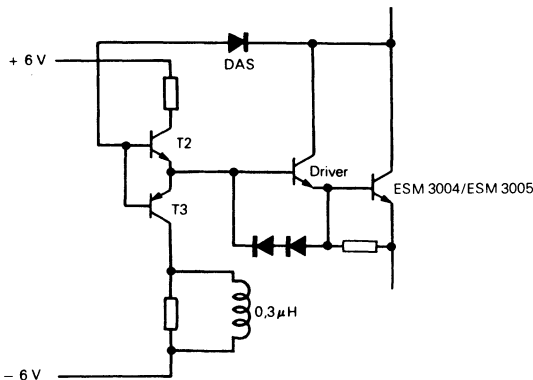


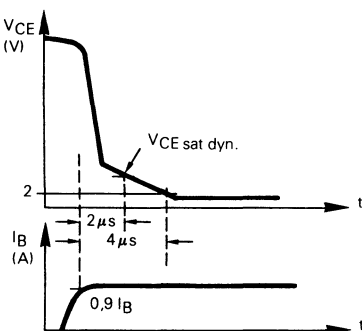
Fig. 18 : Base current to saturate the Darlington configuration.

DRIVER CIRCUIT

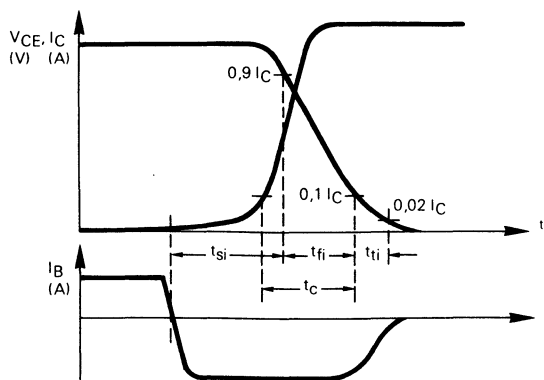
The use of an antisaturation circuit (DAS with T2) enables turn-off of the ESM 3004/ESM 3005 directly from the quasi-saturation state. This gives the following advantages :

- Lower switching times t_f and t_s and smaller switching losses,
- Narrower spread of storage time t_S ,
- Enlarged RB SOA area.

TURN-ON SWITCHING WAVEFORMS



TURN-OFF SWITCHING WAVEFORMS (INDUCTIVE LOAD)



NPN HIGH VOLTAGE SWITCHING TRANSISTORS TRANSISTORS NPN HAUTE TENSION DE COMMUTATION

ADVANCE INFORMATION

SUPERSWITCH

HIGH CURRENT, HIGH VOLTAGE POWER TRANSISTORS

- Pressure contact construction
- Thermal fatigue free
- High power capability
- Wide operating area

Suited for use :

- on the 380 V mains
- on the Darlington configuration

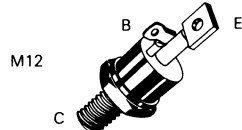
APPLICATIONS

MOTOR CONTROL
AC/DC AND DC/AC CONVERTERS

ESM 3006 ESM 3007

| | | |
|------------------|--------|-----------|
| V_{CEO} (sus) | 600 V | 700 V |
| V_{CEV} | 1000 V | 1000 V |
| I_{Cset} | 35 A | 30 A |
| I_{CM} | | 80 A |
| t_{fi} (100°C) | | 2 μ s |

Case : TO-83 (CB - 183)
Boîtier



Stud torque : 14 mAN
Couple de serrage

ABSOLUTE RATINGS (LIMITING VALUES) VALEURS LIMITES ABSOLUES D'UTILISATION

$T_{case} = 25^\circ\text{C}$ Unless otherwise stated

| | | ESM 3006 | ESM 3007 | Units |
|---|-------------------------|-------------|----------|-------|
| Collector-emitter voltage <i>Tension collecteur-émetteur</i> | V_{CEO} | 600 | 700 | V |
| Collector-emitter voltage <i>Tension collecteur-émetteur</i> | V_{CEV} | 1000 | | V |
| Emitter-base voltage <i>Tension émetteur-base</i> | V_{EBO} | 10 | | V |
| Collector current repetitive <i>Courant collecteur</i> | I_{CM} | 80 | | A |
| Base current <i>Courant base</i> | I_B (RMS) I_{BM} | 20 40 | | A |
| Power dissipation <i>Dissipation de puissance</i> | P_{tot} | 300 | | W |
| Junction temperature <i>Température de jonction</i> | T_j | - 65, + 150 | | °C |

| | | | |
|---|---------------|------|------|
| Junction-case thermal resistance max. <i>Résistance thermique jonction-boîtier</i> | $R_{th(j-c)}$ | 0,25 | °C/W |
|---|---------------|------|------|

ELECTRICAL CHARACTERISTICS - CARACTÉRISTIQUES ÉLECTRIQUES**

| SYMBOLS | Min | Typ | Max | UNITS | TEST CONDITIONS - CONDITIONS DE MESURE |
|----------------|------------|------------|------------|--------------|---|
|----------------|------------|------------|------------|--------------|---|

OFF CHARACTERISTICS - CARACTÉRISTIQUES A L'ÉTAT BLOQUÉ

| | | | | | |
|------------------------|-----|--|----|----|---|
| V _{CEO} (sus) | 600 | | | V | ESM 3006 } I _B = 0, L _C = 25 mH, I _C = 0,5 A ESM 3007 } |
| | 700 | | | | I _C = 0, I _E = 200 mA |
| V _{(BR)EBO} | 10 | | | mA | V _{CE} = 1000 V, V _{BE} = - 1,5 V, T _j = 125°C |
| I _{CEV} | | | 6 | | V _{CE} = 600 V, R _{BE} = 10 Ω, T _j = 125°C |
| I _{CER} | | | 10 | | |
| I _{EBO} | | | 30 | | I _C = 0, V _{EB} = 5 V |

ON CHARACTERISTICS - CARACTÉRISTIQUES A L'ÉTAT CONDUCTEUR

| | | | | | |
|----------------------|--|--|-----|---|---|
| V _{CEsat} * | | | 1,5 | V | ESM 3006 I _C = I _{Csat} = 35 A, I _B = I _{Bsat} = 7 A } T _j = 100°C ESM 3007 I _C = I _{Csat} = 30 A, I _B = I _{Bsat} = 6 A } |
| | | | 2 | | ESM 3006 I _C = 50 A, I _B = 16,5 A } T _j = 100°C ESM 3007 I _C = 40 A, I _B = 13,5 A } |
| V _{BEsat} * | | | 2,1 | | I _C = I _{Csat} , I _B = I _{Bsat} |

SWITCHING CHARACTERISTICS - CARACTÉRISTIQUES DE COMMUTATION

| On resistive load - Sur charge résistive | | | | | |
|---|--|-----|-----|----|---|
| t _{on} | | 1,5 | | μs | V _{CC} = 400 V, I _C = I _{Csat} , I _{B1} = - I _{B2} = I _{Bsat} |
| t _s | | | 5 | | |
| t _f | | | 1,5 | | |
| On inductive load - Sur charge inductive | | | | | |
| t _{fi} | | 1 | | μs | V _{CC} = 400 V, I _C = I _{Csat} T _j = 100°C } I _{B1} = - I _{B2} = I _{Bsat} |
| | | | 2 | | |

* Measured with pulses t_p = 300 μs, δ ≤ 2 %.

** T_{case} = 25°C unless otherwise stated.

TENTATIVE DATA

SUPERSWITCH

HIGH CURRENT, HIGH POWER TRANSISTOR

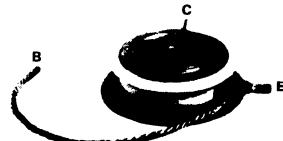
- Pressure contact construction
- Thermal fatigue free
- High power capability
- Wide operating area

APPLICATIONS

- MOTOR CONTROL
- DC/AC INVERTERS
- POWER SUPPLY BREAKERS

| | |
|----------------|-----------|
| V_{CEO} sus | 200 V |
| V_{CEV} | 350 V |
| I_{Csat} | 230 A |
| I_{CM} | 400 A |
| t_f (100 °C) | 1 μ s |

Case
Boîtier MU 86



Force de serrage : 3,5 kN

ABSOLUTE RATINGS (LIMITING VALUES) VALEURS LIMITES ABSOLUES D'UTILISATION

| | | | |
|---|-------------------------|------------|----|
| Collector-emitter voltage <i>Tension collecteur-émetteur</i> | V_{CEO} | 200 | V |
| Collector-emitter voltage <i>Tension collecteur-émetteur</i> | V_{CEV} | 350 | V |
| Emitter-base voltage <i>Tension émetteur-base</i> | V_{EBO} | 7 | V |
| Collector current <i>Courant collecteur</i> | I_{CM} | 400 | A |
| Base current <i>Courant base</i> | I_B (RMS) I_{BM} | 25 100 | A |
| Power dissipation <i>Dissipation de puissance</i> | P_{tot} | 1200 | W |
| Junction temperature <i>Température de jonction</i> | T_j | - 65 + 175 | °C |

| | | | | |
|--|-----|---------------|------|------|
| Junction-case thermal resistance <i>Résistance thermique jonction-boîtier</i> Double sided cooling | max | $R_{th(j-c)}$ | 0,08 | °C/W |
|--|-----|---------------|------|------|

ELECTRICAL CHARACTERISTICS - CARACTÉRISTIQUES ÉLECTRIQUES **

| SYMBOLS | Min | Typ | Max | UNIT | | TEST CONDITIONS - CONDITIONS DE MESURE |
|---------|-----|-----|-----|------|--|--|
|---------|-----|-----|-----|------|--|--|

OFF CHARACTERISTICS - CARACTÉRISTIQUES A L'ÉTAT BLOQUÉ

| | | | | | | |
|----------------------|-----|--|----|----|--|---|
| V _{CEOsus} | 200 | | | V | | I _B = 0, L = 25 mH, I _C = 0,5 A |
| V _{(BR)EBO} | 7 | | | V | | I _C = 0, I _E = 100 mA |
| I _{CEV} | | | 5 | mA | | V _{CE} = 350 V, V _{BE} = - 1,5 V, T _j = 125 °C |
| I _{CER} | | | 10 | mA | | V _{CE} = 350 V, R _{BE} = 6,8 Ω |
| I _{EBO} | | | 50 | mA | | I _C = 0, V _{EB} = 5 V |

ON CHARACTERISTICS - CARACTÉRISTIQUES A L'ÉTAT CONDUCTEUR

| | | | | | | |
|----------------------|--|--|-----|---|--|---|
| V _{CESat} * | | | 1,5 | V | | I _C = I _{Csat} = 230 A, I _B = I _{Bsat} = 46 A |
| | | | 2 | V | | I _C = 360 A, I _B = 120 A |
| V _{BESat} * | | | 2,1 | V | | I _C = I _{Csat} , I _B = I _{Bsat} |

SWITCHING CHARACTERISTICS - CARACTÉRISTIQUES DE COMMUTATION

| Resistive load - Charge résistive | | | | | | |
|-----------------------------------|--|-----|-----|----|----|---|
| t _{on} | | 1,5 | | | | |
| t _s | | | 2,5 | | μs | |
| t _f | | | 1 | | | |
| Inductive load - Charge inductive | | | | | | |
| t _f | | 0,6 | | μs | | T _j = 25 °C { V _{CC} = 100 V, I _C = I _{Csat} (1) |
| | | 1 | | | | T _j = 100 °C { I _{B1} = - I _{B2} = I _{Bsat} |

* Measured with pulses t_p = 300 μs δ ≤ 2 % ** T_{case} 25 °C Unless otherwise stated(1) V_{CEmamp.} < V_{CEOsus}

NPN HIGH VOLTAGE SWITCHING TRANSISTORS TRANSISTORS NPN HAUTE TENSION DE COMMUTATION

SUPERSWITCH

HIGH CURRENT, HIGH POWER TRANSISTORS

- Pressure contact construction
- Thermal fatigue free
- High power capability
- Wide operating area
- Key parameters characterized at 100°C
- Suited for use on the parallel and the Darlington configuration

APPLICATIONS

MOTOR CONTROL
DC/AC INVERTERS
POWER SUPPLY-BREAKERS

| | ESM 4014 | ESM 4015 |
|----------------------|----------|----------|
| V _{CEO} us | 400 V | 500 V |
| V _{CEV} | 600 V | 600 V |
| I _{Csat} | 90 A | 70 A |
| I _{CM} | 200 A | 200 A |
| DARLINGTON SWITCH | 190 A | 160 A |

Case : MU 86 (CB - 263)
Boîtier :



Clamping force : 3,5 kN
Force de serrage :

ABSOLUTE RATINGS (LIMITING VALUES)

VALEURS LIMITES ABSOLUES D'UTILISATION

T_{case} = 25°C Unless otherwise stated

| | | ESM 4014 | ESM 4015 | Units |
|---|---|---|-------------|-------|
| Collector-emitter voltage <i>Tension collecteur-émetteur</i> | V _{CEO} | 400 | 500 | V |
| Collector-emitter voltage <i>Tension collecteur-émetteur</i> | V _{CEV} = - 1,5 V | | 600 | V |
| Emitter-base voltage <i>Tension émetteur-base</i> | V _{EBO} | | 10 | V |
| Collector current <i>Courant collecteur</i> | I _C (RMS) I _{CM} repetitive t _p ≤ 1 ms | 150 200 | | A |
| Base current <i>Courant base</i> | t _p ≤ 1 ms | I _B (RMS) I _{BM} | 25 60 | A |
| Power dissipation <i>Dissipation de puissance</i> | T _{case} 75°C | P _{tot} | 1200 | W |
| Junction temperature <i>Température de jonction</i> | T _j | | - 65, + 175 | °C |

Junction-case thermal resistance max.
Résistance thermique jonction-boîtier

R_{th(j-c)}

0,13*
0,08**

°C/W

*One side cooled **Two sides cooled

July 1982 1/8

ELECTRICAL CHARACTERISTICS - CARACTÉRISTIQUES ÉLECTRIQUES*

| SYMBOLS | Min | Typ | Max | UNITS | TEST CONDITIONS - CONDITIONS DE MESURE |
|---------|-----|-----|-----|-------|--|
|---------|-----|-----|-----|-------|--|

OFF CHARACTERISTICS - CARACTÉRISTIQUES A L'ÉTAT BLOQUÉ

| | | | | | |
|-----------------|------------|----|--|----|--|
| V_{CEO} (sus) | 400 500 | | | V | ESM 4014 ESM 4015 $\left\{ \begin{array}{l} I_B = 0, L = 25 \text{ mH}, I_C = 0,5 \text{ A} \\ I_C = 70 \text{ A}, I_B = 14 \text{ A} \end{array} \right.$ |
| $V_{(BRI)EBO}$ | 10 | | | V | $I_C = 0, I_E = 200 \text{ mA}$ |
| I_{CEV} | | 5 | | mA | $V_{CE} = 600 \text{ V}, V_{BE} = -1.5 \text{ V}, T_j = 125^\circ\text{C}$ |
| I_{CER} | | 10 | | mA | $V_{CE} = 600 \text{ V}, R_{BE} = 6.8 \Omega$ |
| I_{EBO} | | 50 | | mA | $I_C = 0, V_{EB} = 5 \text{ V}$ |

ON CHARACTERISTICS - CARACTÉRISTIQUES A L'ÉTAT CONDUCTEUR

| | | | | |
|------------------|--|-----|---|---|
| V_{CEsat}^{**} | | 1,5 | V | ESM 4014 ESM 4015 $\left\{ \begin{array}{l} I_C = I_{Csat} = 90 \text{ A}, I_B = I_{Bsat} = 18 \text{ A} \\ I_C = I_{Csat} = 70 \text{ A}, I_B = I_{Bsat} = 14 \text{ A} \end{array} \right.$ |
| | | 2 | V | ESM 4014 ESM 4015 $\left\{ \begin{array}{l} I_C = 130 \text{ A}, I_B = 44 \text{ A} \\ I_C = 110 \text{ A}, I_B = 37 \text{ A} \end{array} \right.$ |
| V_{Bsat}^{**} | | 2,2 | V | $I_C = I_{Csat}, I_B = I_{Bsat}$ |

SWITCHING CHARACTERISTICS - CARACTÉRISTIQUES DE COMMUTATION

SWITCHING TIMES ON RESISTIVE LOAD - TEMPS DE COMMUTATION SUR CHARGE RÉSISTIVE (Fig. 1)

| | | | | | |
|-------|--|-----|---|---------------|---|
| t_r | | 1,5 | | μs | $V_{CC} = 200 \text{ V}, I_C = I_{Csat}, I_B1 = -I_B2 = I_{Bsat}$ |
| t_s | | 3 | 4 | | |
| t_f | | 0,5 | 1 | | |

TURN-ON SWITCHING CHARACTERISTICS - CARACTÉRISTIQUES DE COMMUTATION A LA MISE EN CONDUCTION (Fig. 2)

| | | | | | | |
|-------------------------|--|----|---|---------------------------|---|--|
| $V_{CE}(2 \mu\text{s})$ | | 8 | V | $T_j = 100^\circ\text{C}$ | $\left\{ \begin{array}{l} R_C = 0,7 V_{CEO}/I_{Csat} \\ V_{CC} = 0,7 V_{CEO} \\ B1 = B2 = I_{Bsat} \end{array} \right.$ | |
| | | 18 | | | | |
| $V_{CE}(4 \mu\text{s})$ | | 5 | V | $T_j = 100^\circ\text{C}$ | | |
| | | 9 | | | | |

TURN-OFF SWITCHING CHARACTERISTICS - CARACTÉRISTIQUES DE COMMUTATION A L'OUVERTURE (Fig. 3)

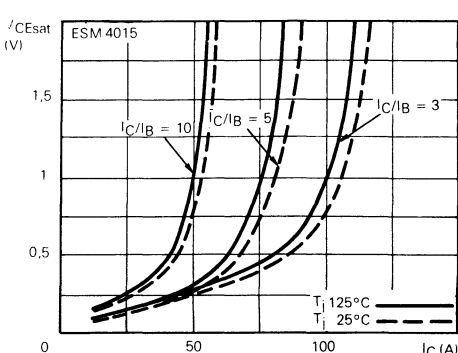
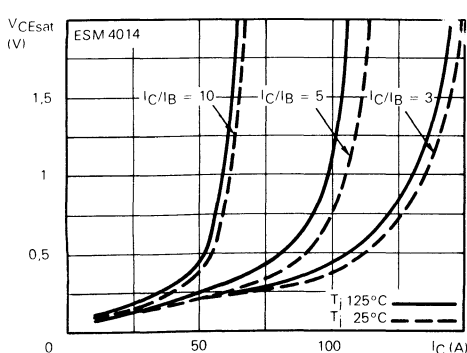
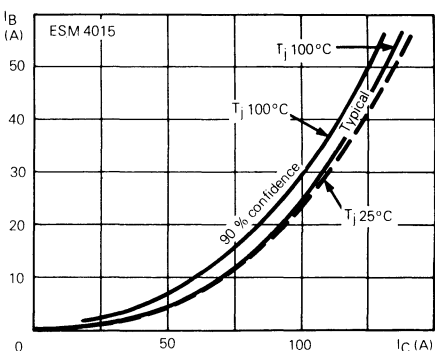
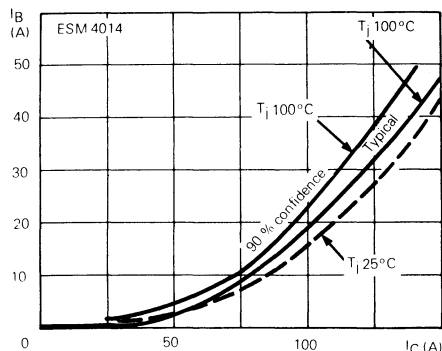
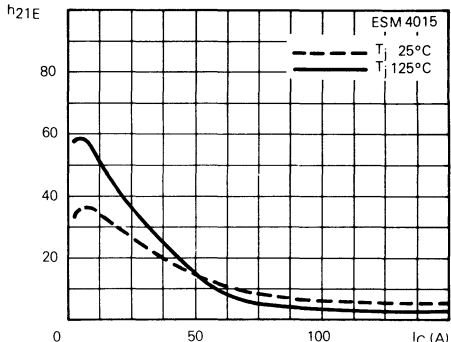
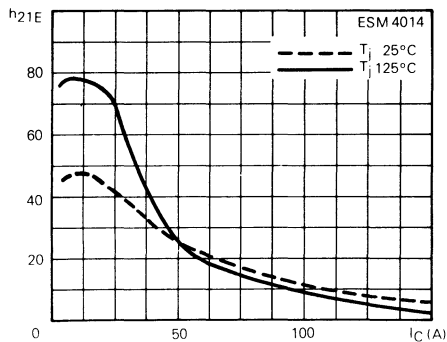
ON INDUCTIVE LOAD - SUR CHARGE INDUCTIVE

| | | | | | |
|---|---------------------------|------|---------------|---------------------------|---|
| With negative bias - Avec polarisation négative | | | | | |
| t_{si} | | 3,6 | μs | $T_j = 100^\circ\text{C}$ | $\left\{ \begin{array}{l} V_{CC} = 200 \text{ V} \\ I_C = I_{Csat} \\ B1 = - B2 = I_{Bsat} \\ V_{clamp} = 0,7 V_{CEO} \end{array} \right.$ |
| | | 4,5 | | | |
| | t_{fi} | 0,25 | | | |
| | | 0,7 | | | |
| | t_{ti} | 0,1 | | | |
| | | 0,3 | | | |
| | t_c | 0,6 | | | |
| | | 1,3 | | | |
| | $T_j = 100^\circ\text{C}$ | | | | |

Without negative bias - Sans polarisation négative

| | | | | | |
|----------|--|-----|---------------|---------------------------|---|
| t_{si} | | 10 | μs | $T_j = 100^\circ\text{C}$ | $\left\{ \begin{array}{l} V_{CC} = 200 \text{ V} \\ I_C = I_{Csat} \\ B1 = B2 = I_{Bsat} \\ B2 = 0 \\ V_{clamp} = 0,7 V_{CEO} \\ R_{B2} = 0,5 \Omega \end{array} \right.$ |
| | | 17 | | | |
| | | 1 | | | |
| | | 3 | | | |
| | | 0,3 | | | |

* $T_{case} = 25^\circ\text{C}$ unless otherwise stated - ** Measured with pulses $t_p = 300 \mu\text{s}, \delta \leq 2 \%$



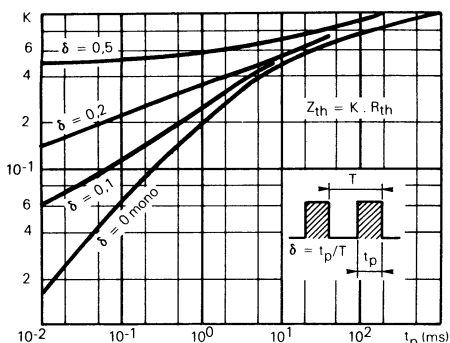


Fig. 7 : Transient thermal response.

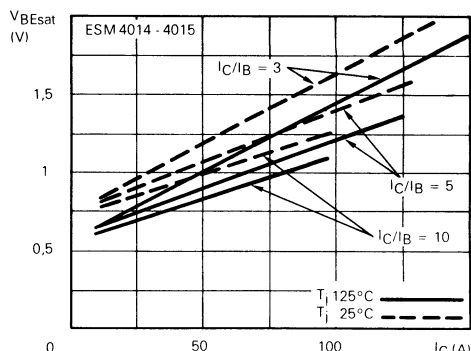


Fig. 8 : Saturation voltage.

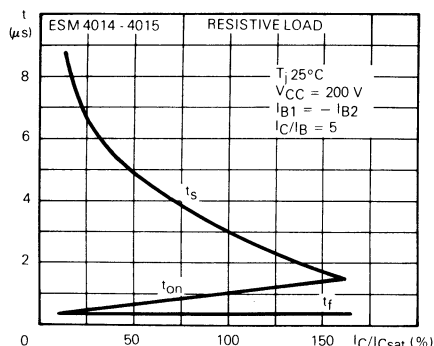


Fig. 9 : Switching times versus collector current.

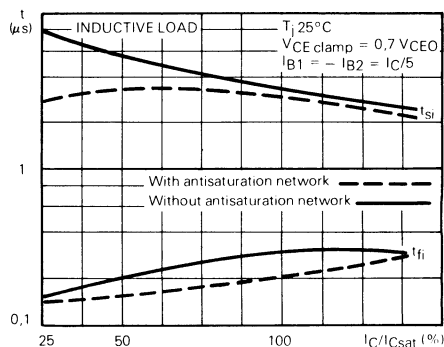


Fig. 10 : Switching times versus collector current (with and without antisaturation network).

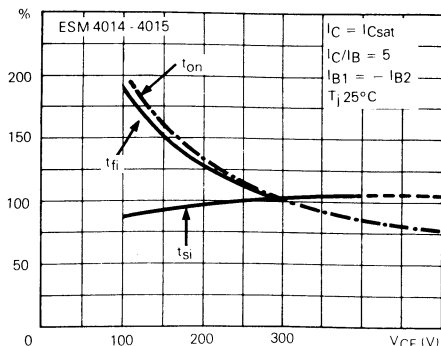


Fig. 11 : Switching times versus collector-emitter voltage.

4/8

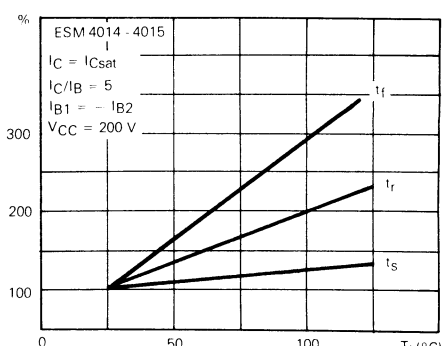
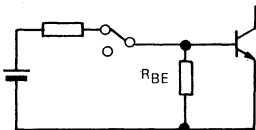
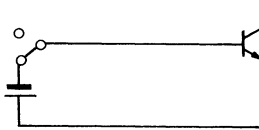


Fig. 12 : Switching times versus junction temperature.

SWITCHING SAFE OPERATING AREAS


TRANSISTOR FORWARD BIASED

- During the turn-on
- During the turn-off without negative base-emitter voltage and $R_{BE} \leq 5\Omega$.


TRANSISTOR REVERSE BIASED

- During the turn-off with negative base-emitter voltage.

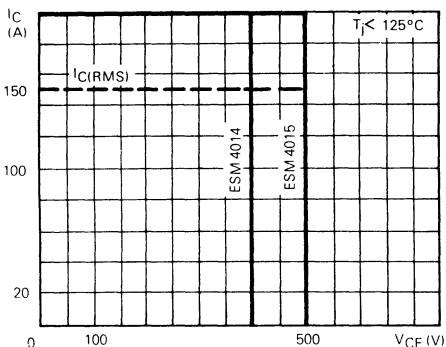


Fig.13 : Forward biased safe operating area (FBSOA).

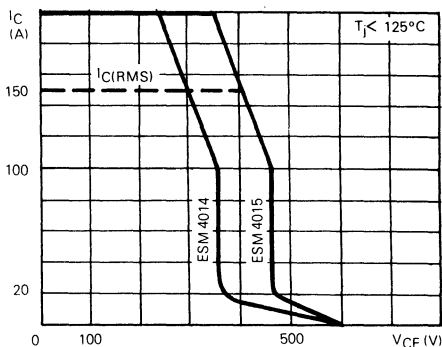


Fig.14 : Reverse biased safe operating area (RBSOA).

SAFE OPERATING AREA

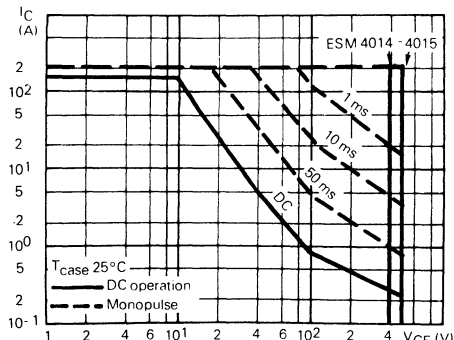


Fig.15 : DC and pulse area.

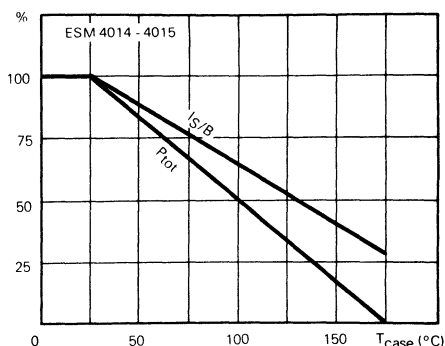


Fig.16 : Power and IS/B derating versus case temperature.

APPLICATIONS

The ESM 4014/4015 is suited for use in Darlington configuration. This allows a higher collector current.

EXAMPLE:

DARLINGTON WITH
ESM 4014 (output) - ESM 3004 (driver)
 $I_{CD} = 190 \text{ A}, I_B = 5 \text{ A}$

DARLINGTON WITH
ESM 4015 (output) - ESM 3005 (driver)
 $I_{CD} = 160 \text{ A}, I_B = 5 \text{ A}$

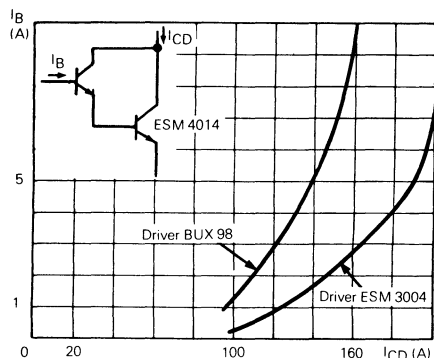


Fig. 17 : Base current to saturate the Darlington configuration

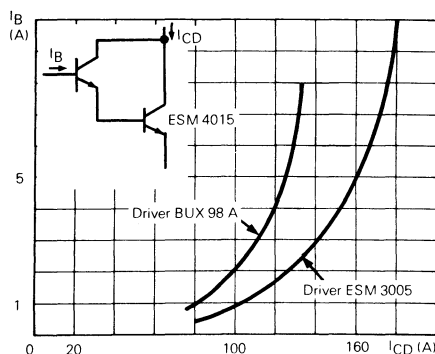


Fig. 18 : Base current to saturate the Darlington configuration

HIGH POWER SWITCH

The dynamic sharing during the turn-off is always better with parallel transistors than with parallel Darlington because the bases of the output transistors are directly connected together.

EXAMPLE:

Driver ESM 4014 - Output $2 \times$ ESM 4014
 $I_{CD} = 300 \text{ A}, I_B = 6 \text{ A}$

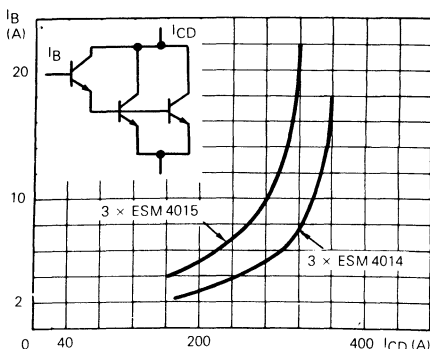
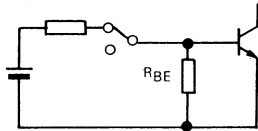


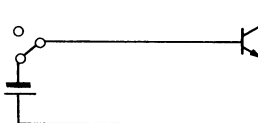
Fig. 19 : Base current to saturate the Darlington configuration.

SWITCHING SAFE OPERATING AREAS



TRANSISTOR FORWARD BIASED

- During the turn-on
- During the turn-off without negative base-emitter voltage and $R_{BE} \leq 5\Omega$.



TRANSISTOR REVERSE BIASED

- During the turn-off with negative base-emitter voltage.

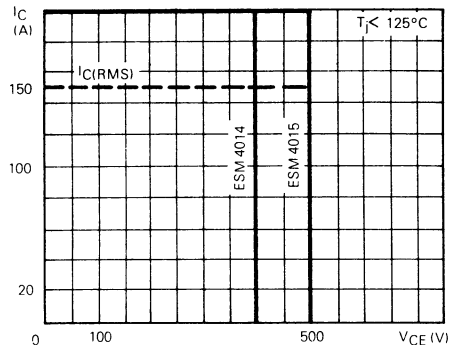


Fig.13 : Forward biased safe operating area (FBSOA).

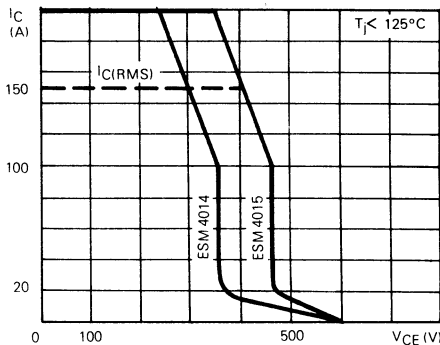


Fig.14 : Reverse biased safe operating area (RBSOA).

SAFE OPERATING AREA

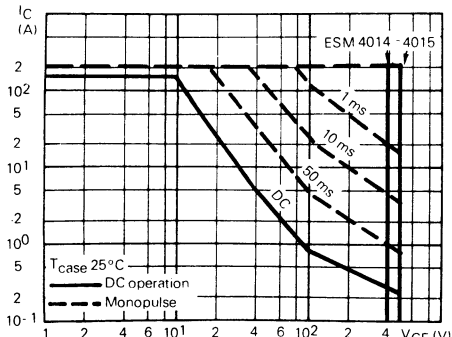


Fig.15 : DC and pulse area.

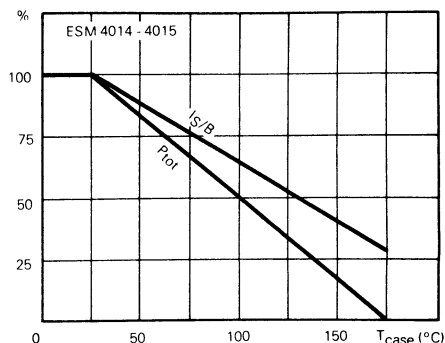


Fig.16 : Power and IS/B derating versus case temperature.

APPLICATIONS

The ESM 4014/4015 is suited for use in Darlington configuration. This allows a higher collector current.

EXAMPLE :

DARLINGTON WITH
ESM 4014 (output) - ESM 3004 (driver)
 $I_{CD} = 190 \text{ A}$, $I_B = 5 \text{ A}$

DARLINGTON WITH
ESM 4015 (output) - ESM 3005 (driver)
 $I_{CD} = 160 \text{ A}$, $I_B = 5 \text{ A}$

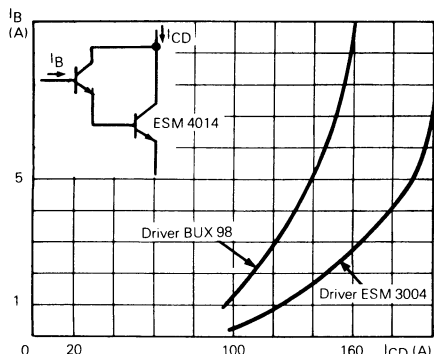


Fig. 17 : Base current to saturate the Darlington configuration

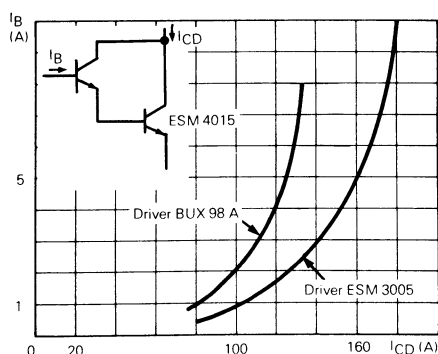


Fig. 18 : Base current to saturate the Darlington configuration

HIGH POWER SWITCH

The dynamic sharing during the turn-off is always better with parallel transistors than with parallel Darlington because the bases of the output transistors are directly connected together.

EXAMPLE :

Driver ESM 4014 - Output 2 × ESM 4014
 $I_{CD} = 300 \text{ A}$, $I_B = 6 \text{ A}$

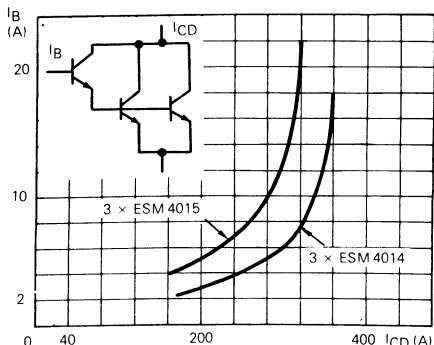
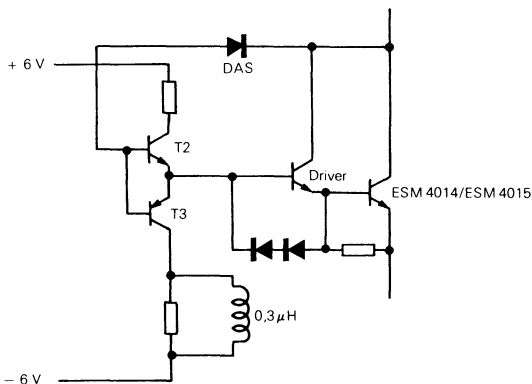


Fig. 19 : Base current to saturate the Darlington configuration.

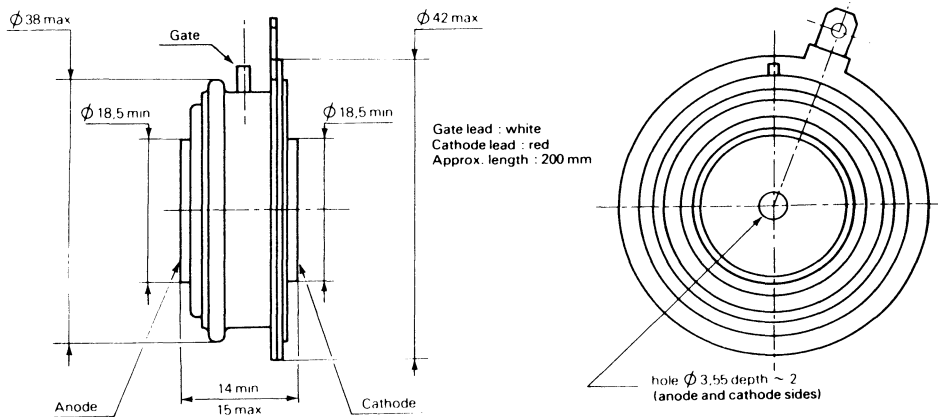
DRIVER CIRCUIT



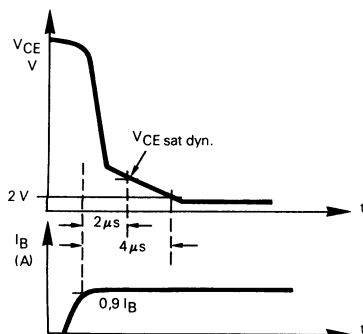
The use of an antisaturation circuit (DAS with T2) enables turn-off of the ESM 4014/ESM 4015 directly from the quasi-saturation state. This gives the following advantages :

- Lower switching times t_f and t_s and smaller switching losses,
- Narrower spread of storage time t_s ,
- Enlarged RBSOA area.

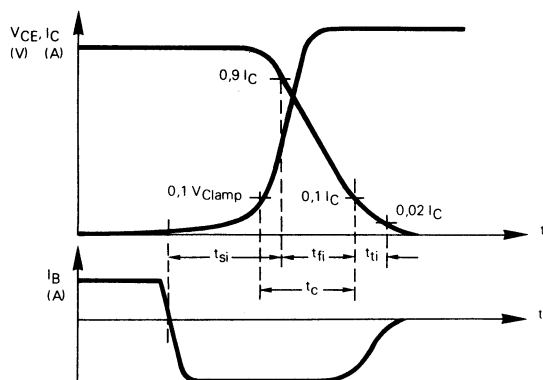
CASE OUTLINE



TURN-ON SWITCHING WAVEFORMS



TURN-OFF SWITCHING WAVEFORMS (INDUCTIVE LOAD)



NPN HIGH VOLTAGE SWITCHING TRANSISTOR
TRANSISTOR NPN HAUTE TENSION DE COMMUTATION
TENTATIVE DATA**SUPERSWITCH****HIGH CURRENT,
HIGH VOLTAGE POWER TRANSISTORS**

*Pressure contact construction

*Thermal fatigue free

*High power capability

*Wide operating area

*Key parameters characterised at 100°C

Suited for use :

- on the 380 V mains

- on the parallel and Darlington configuration

APPLICATIONS

MOTOR CONTROL

DC/AC INVERTERS

AC/DC AND DC/AC CONVERTERS

ESM 4016 ESM 4017

| | | |
|----------------------------|--------|--------|
| V _{CEO} sus | 600 V | 700 V |
| V _{CEV} | 1000 V | 1000 V |
| I _{Csat} | 60 A | 50 A |
| t _f (100°C) max | 2 µs | 2 µs |
| DARLINGTON SWITCH | 130 A | 100 A |

Case MU 86
Boîtier

Force de serrage : 3,5 kN

ABSOLUTE RATINGS (LIMITING VALUES)

VALEURS LIMITES ABSOLUES D'UTILISATION

| | | ESM 4016 | ESM 4017 | |
|---|---|------------|------------|----|
| Collector-emitter voltage <i>Tension collecteur-émetteur</i> | V _{CEO} | 600 | 700 | V |
| Collector-emitter voltage <i>Tension collecteur-émetteur</i> | V _{CEV} = - 1,5 V | 1000 | 1000 | V |
| Emitter-base voltage <i>Tension émetteur-base</i> | V _{EBO} | 10 | 10 | V |
| Collector current <i>Courant collecteur</i> | I _C (RMS) I _{CM} | 120 140 | 120 140 | A |
| Base current <i>Courant base</i> | I _B (RMS) I _{BM} | 25 50 | 25 50 | A |
| Power dissipation <i>Dissipation de puissance</i> | P _{tot} | 850 | 850 | W |
| Junction temperature <i>Température de jonction</i> | T _j | - 65 + 150 | - 65 + 150 | °C |

| | | | | | |
|--|---|----------------------|--------------|--------------|------|
| Junction-case thermal resistance <i>Résistance thermique jonction-boîtier</i> | one side cooling max Double sided cooling | R _{th(j-c)} | 0,13 0,08 | 0,13 0,08 | °C/W |
|--|---|----------------------|--------------|--------------|------|

ELECTRICAL CHARACTERISTICS - CARACTÉRISTIQUES ÉLECTRIQUES

| SYMBOLS | Min | Typ | Max | UNITS | | TEST DE CONDITIONS - CONDITIONS DE MESURE |
|---------|-----|-----|-----|-------|--|---|
|---------|-----|-----|-----|-------|--|---|

OFF CHARACTERISTICS - CARACTÉRISTIQUES A L'ÉTAT BLOQUÉ

| | | | | | | |
|----------------------|-----|--|----|----|----------|---|
| V _{CEOsus} | 600 | | | V | ESM 4016 | I _C = 0 L = 25 mH, I _C = 0,5 A |
| | 700 | | | | ESM 4017 | |
| V _{(BR)EBO} | 10 | | | V | | I _C = 0, I _E = 200 mA |
| I _{CEV} | | | 7 | mA | | V _C E = V _{CEV} , V _B E = -1,5 V, T _j = 125°C |
| I _{CER} | | | 15 | mA | | V _C E = V _{CEV} , R _{BE} = 6,8 T _j = 125°C |
| I _{EBO} | | | 50 | mA | | I _C = 0, V _{EB} = 5 V |

ON CHARACTERISTICS - CARACTÉRISTIQUES A L'ÉTAT CONDUCTEUR

| | | | | | | |
|---------------------|--|--|-----|---|----------------------|---|
| V _{CEsat*} | | | 1,5 | V | ESM 4016 ESM 4017 | I _C = I _{Csat} = 60 A, I _B = I _{Bsat} = 12 A I _C = I _{Csat} = 50 A, I _B = I _{Bsat} = 10 A } T _j = 100°C |
| | | | 2 | V | ESM 4016 ESM 4017 | I _C = 85 A, I _B = 28 A } T _j = 100°C I _C = 75 A, I _B = 25 A } |
| V _{BEsat*} | | | 2,2 | V | | I _C = I _{Csat} , I _B = I _{Bsat} |

SWITCHING CHARACTERISTICS - CARACTÉRISTIQUES DE COMMUTATION

| Resistive load - Charge résistive | | | | | | |
|-----------------------------------|--|-----|---|----|--|--|
| t _{on} | | 1,5 | | μs | | |
| t _s | | | 5 | | | V _{CC} = 400 V, I _C = I _{Csat} With antisaturation I _{B1} = I _{B2} = I _{Bsat} diode |
| t _f | | | 2 | | | |

Inductive load - Charge inductive

| | | | | | |
|----------------|--|---|----|--|---|
| t _f | | 1 | μs | | T _j = 25°C } V _{CC} = 400 V, I _C = I _{Csat} With antisaturation |
| | | 2 | | | T _j = 100°C } I _{B1} = - I _{B2} = I _{Bsat} diode |

*Measured with pulses t_p = 300 μs δ ≤ 2 % **T_j = 25°C Unless otherwise stated

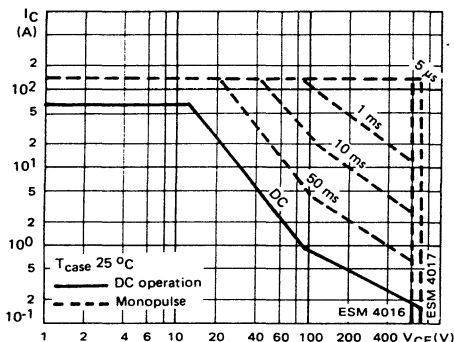


FIGURE 2 : DC and pulse area

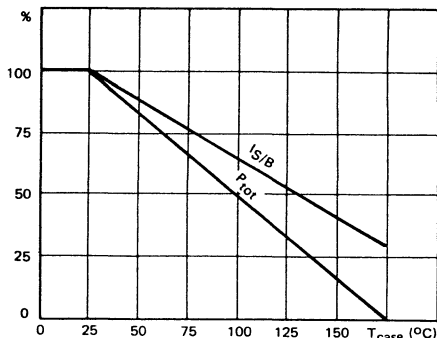
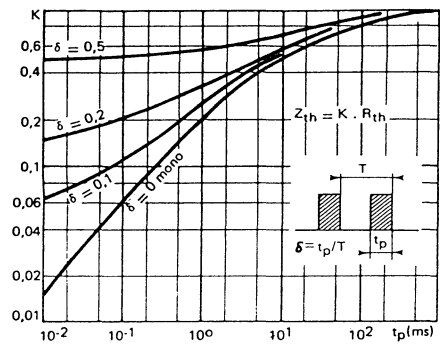
FIGURE 3 Power and I_S/B derating vs case temperature

FIGURE 4 : Transient thermal response

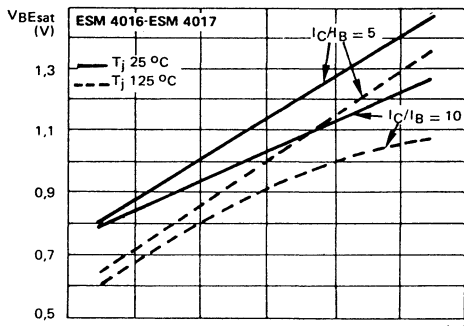


FIGURE 5 : Saturation voltage

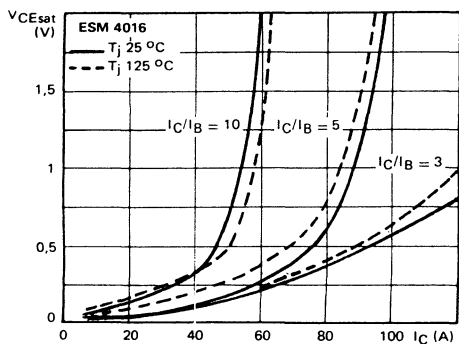


FIGURE 6 : Saturation voltage

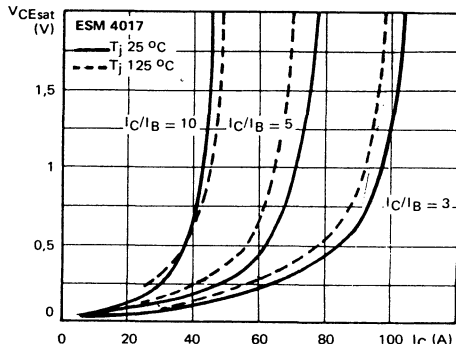


FIGURE 7 : Saturation voltage

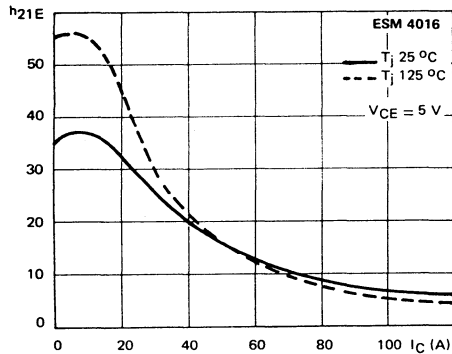


FIGURE 8 : DC current gain

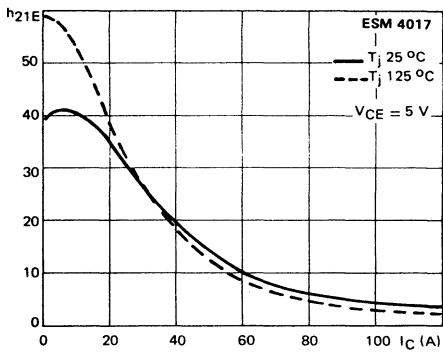


FIGURE 9 : DC current gain

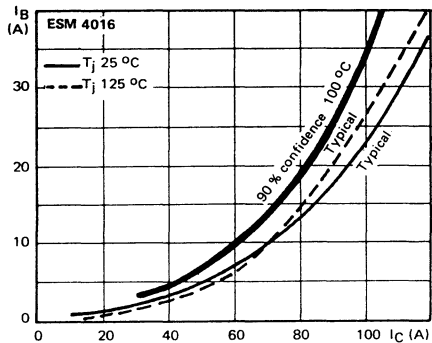


FIGURE 10 : Minimum base current to saturate the transistor

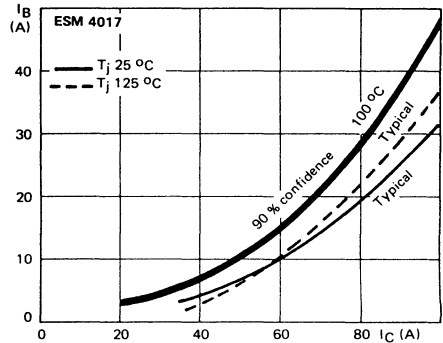


FIGURE 11 : Minimum base current to saturate the transistor

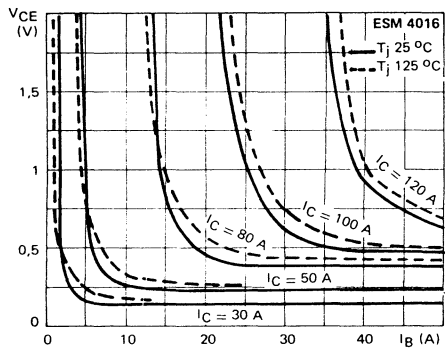


FIGURE 12 : Collector saturation region

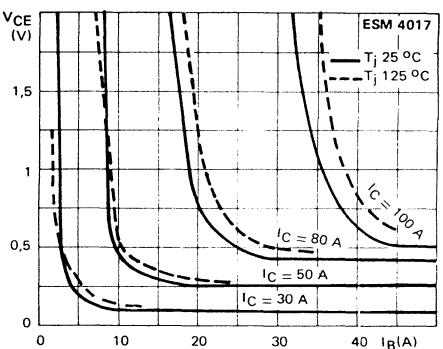
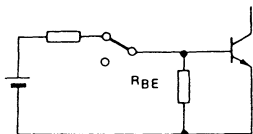


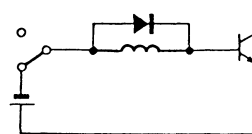
FIGURE 13 : Collector saturation region

SWITCHING OPERATING AREAS



TRANSISTOR FORWARD BIASED

- During the turn on
- During the turn off without negative base-emitter voltage and $R_{BE} \leq 5 \Omega$



TRANSISTOR REVERSE BIASED

- During the turn off with negative base-emitter voltage

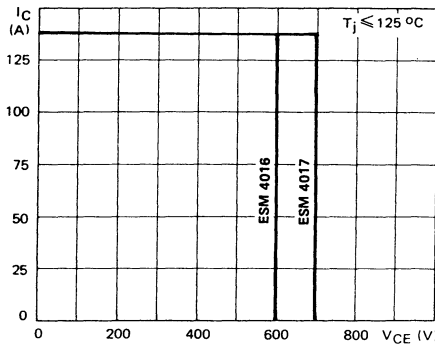


FIGURE 14 : Forward biased safe operating area (FBSOA)

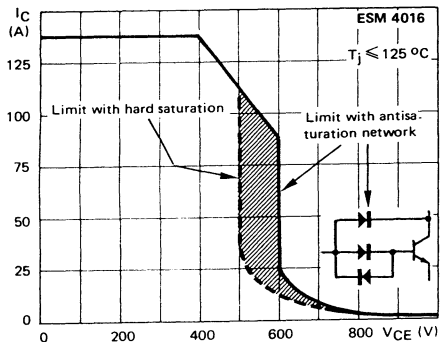


FIGURE 15 : Reverse biased safe operating area (RBSOA)

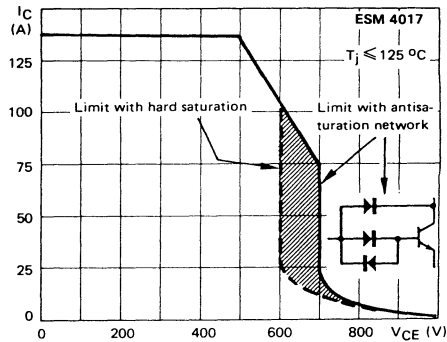


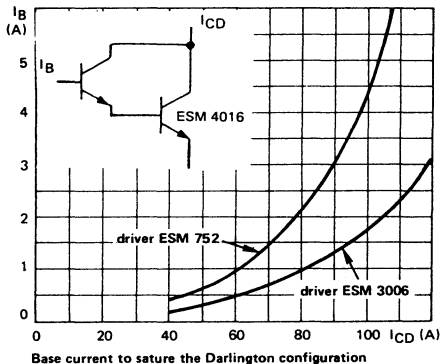
FIGURE 16 : Reverse biased safe operating area (RBSOA)

◆ applications ◆

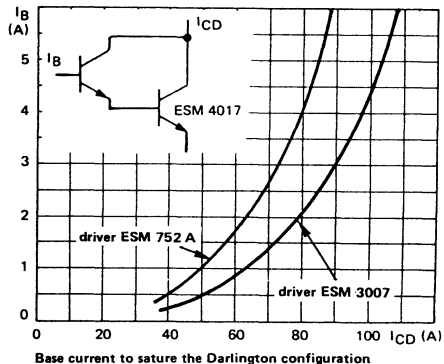
The ESM 4016/4017 is suited for use in Darlington configuration. This allows a higher collector current.

EXAMPLE :

Darlington with
ESM 4016 (output) - ESM 3006 (driver)
 $I_{CD} = 100 \text{ A}$ - $I_B = 2 \text{ A}$



Darlington with
ESM 4017 (output) - ESM 752 A (driver)
 $I_{CD} = 65 \text{ A}$ - $I_B = 2 \text{ A}$



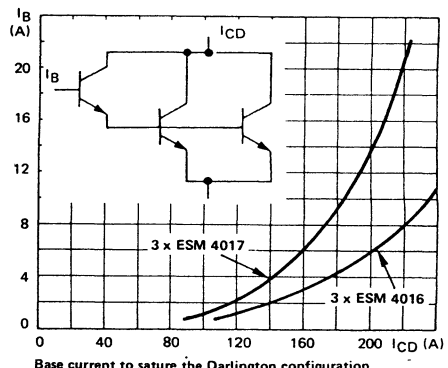
HIGH POWER SWITCH

The dynamic sharing during the turn off is always better with parallel transistors, than with parallel Darlington.

The use of parallel transistors in Darlington configuration allows to build very high power switches.

EXAMPLE :

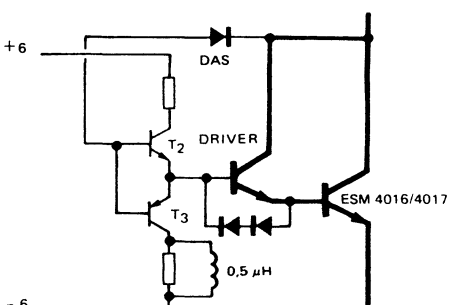
Driver ESM 4016 - Output 2 x ESM 4016
 $I_{CD} = 200 \text{ A}$ - $I_B = 6 \text{ A}$



DRIVER CIRCUIT

The use of an antisaturation circuit (DAS switch T_2) enables turn off of the ESM 4016/4017 directly from the quasi-saturation state. This gives the following advantages :

- Lower switching times t_f and t_s and smaller switching losses.
- Narrower spread of storage time t_s .
- Enlarged area for the RBSOA.



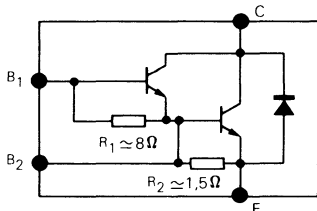
HIGH POWER DARLINGTON
DARLINGTON DE FORTE PIUSSANCE

ADVANCE INFORMATION

SUPERSWITCH

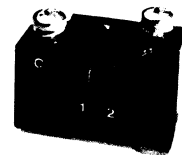
HIGH POWER FAST DARLINGTON

- Isolated collector GIANT ISOTOP package
- Separated drive terminals B_1 and B_2
- Large creepage distance
- Specifications and curves enable determination of the switch at 100°C under users conditions.



| ESM | | | |
|-----------------|-------|-------|-------|
| 10040 | 10045 | 10050 | |
| V_{CEO} (sus) | 400 V | 450 V | 500 V |
| V_{CEV} | 500 V | 600 V | 700 V |
| I_{Csat} | 100 A | | |
| I_{CSM} | | 250 A | |

Boîtier : CB - 413
Case



Isolation voltage : 2,5 kV_{RMS}
Mounting torque : 4,5 mN·A

ABSOLUTE RATINGS (LIMITING VALUES) VALEURS LIMITES ABSOLUES D'UTILISATION

$T_{case} = 25^\circ\text{C}$ Unless otherwise stated

| | | ESM 10040 | 10045 | 10050 | Units |
|--|-------------------------|--------------|-------------|-------|-------|
| Collector-emitter voltage <i>Tension collecteur-émetteur</i> | V_{CEO} (sus) | 400 | 450 | 500 | V |
| Collector-emitter voltage <i>Tension collecteur-émetteur</i> | V_{CEV} | 500 | 600 | 700 | V |
| Emitter-base voltage <i>Tension émetteur-base</i> | V_{EBO} | | 8 | | V |
| Collector current <i>Courant collecteur</i> | I_{CRMS} I_{CM} | | 100 150 | | A |
| Peak surge accidental current non repetitive <i>Courant de surcharge accidentelle non répétitif</i> | I_{CSM} | | 250 | | A |
| Base current <i>Courant base</i> | I_B (RMS) I_{BM} | | 10 20 | | A |
| Power dissipation <i>Dissipation de puissance</i> | P_{tot} | | 312,5 | | W |
| Junction temperature <i>Température de jonction</i> | T_j | | - 40, + 150 | | °C |

Junction-case thermal resistance
Résistance thermique jonction-boîtier

$R_{th(j-c)}$

0,4

°C/W

ELECTRICAL CHARACTERISTICS - CARACTÉRISTIQUES ÉLECTRIQUES*

| SYMBOLS | Min | Typ | Max | UNITS | | TEST CONDITIONS - CONDITIONS DE MESURE |
|---------|-----|-----|-----|-------|--|--|
|---------|-----|-----|-----|-------|--|--|

OFF CHARACTERISTICS - CARACTÉRISTIQUES A L'ÉTAT BLOQUÉ

| | | | | | | |
|------------------------|-----|-----|--|----|-----------|---|
| V _{CEO} (sus) | 400 | | | V | ESM 10040 | I _C = 1 A, I _{B1} = I _{B2} = 0, V _{CLAMP} = V _{CEO} sus |
| | 450 | | | | ESM 10045 | |
| | 500 | | | | ESM 10050 | |
| I _{CEV} | | 2,5 | | mA | | V _{CEV} max |
| | | 10 | | | | T _j = 150°C } V _{B1E} = - 1,5 V |
| I _{EBO} | | 500 | | mA | | V _{EB1} = 3,5 V, I _C = 0 |
| h _{FE} | 25 | 90 | | | | I _C = 150 A, V _{CE} = 5 V |
| | 50 | 200 | | | | I _C = 100 A, V _{CE} = 5 V |
| | 100 | 275 | | | | I _C = 40 A, V _{CE} = 5 V |

ON CHARACTERISTICS - CARACTÉRISTIQUES A L'ÉTAT CONDUCTEUR

| | | | | | | |
|---------------------|--|------|-----|---|--|---|
| V _{CE} sat | | 1,9 | 3 | V | | I _C = 150 A, I _B = 10 A |
| | | 1,4 | 2 | | | I _C = 100 A, I _B = 8 A |
| | | 1 | 1,5 | | | I _C = 40 A, I _B = 4 A |
| V _{BE} sat | | 2,75 | 3,5 | V | | I _C = 150 A, I _B = 10 A |
| | | 2,3 | 3 | | | I _C = 100 A, I _B = 8 A |

SWITCHING CHARACTERISTICS - CARACTÉRISTIQUES DE COMMUTATION

| Résistive load - Charge résistive | | | | | | |
|-----------------------------------|--|-----|-----|----|--|--|
| t _d | | 0,1 | 0,5 | μs | | V _{CC} = 250 V, I _C = 100 A, I _{B1} = 5 A, - I _{B1} = 10 A |
| t _r | | 0,5 | 1 | | | |
| t _s | | 3,2 | 5 | | | |
| t _f | | 1,1 | 3 | | | |
| Inductive load - Charge inductive | | | | | | |
| t _{si} | | 3,2 | 5 | μs | | I _C = 100 A, V _{CLAMP} = 250 V, I _{B1} = 5 A, - I _{B1} = 10 A |
| t _{si} | | 4,8 | | | | |
| t _{fi} | | 0,6 | 3 | | | |
| t _{fi} | | 0,9 | | | | |
| t _c | | 1,8 | | | | |
| t _c | | 3 | | | | |

DIODE CHARACTERISTICS - CARACTÉRISTIQUES DE LA DIODE

| | | | | | | |
|-----------------|--|-----|------|----|--|--|
| V _F | | 1,9 | 3,25 | V | | I _F = 100 A |
| | | | 3 | | | |
| t _{rr} | | 4,5 | 10 | μs | | I _F = 100 A, di/dt = 25 A/μs, R _{B1E} = 0,25 Ω |
| | | 1,7 | 2,5 | | | I _F = 100 A, di/dt = 100 A/μs |

*T_{case} = 25°C unless otherwise stated

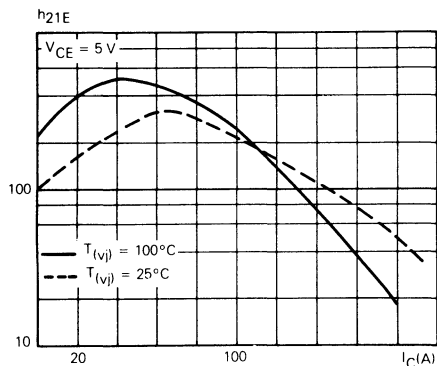


Fig. 1 - DC current gain

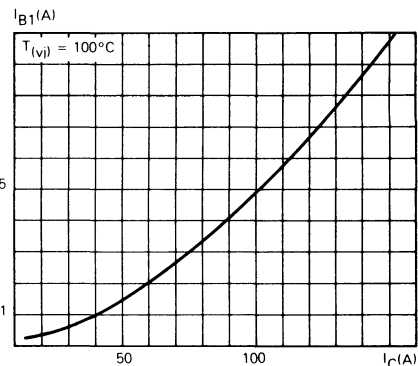


Fig. 2 - Minimum base current to saturate the Darlington

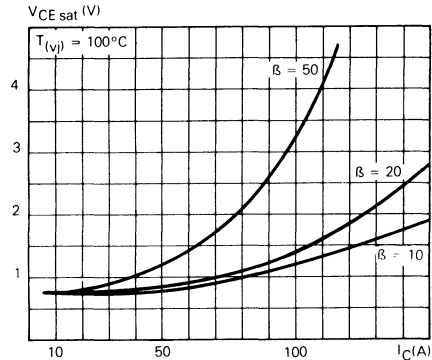


Fig. 3 - Saturation voltage versus collector current

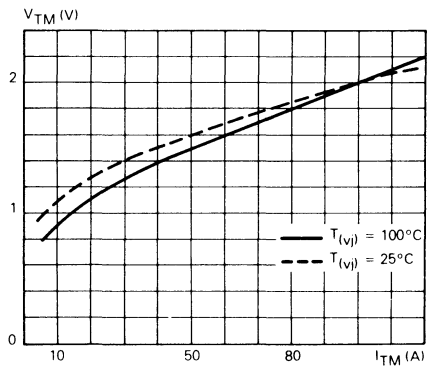


Fig. 4 - Forward diode on state voltage

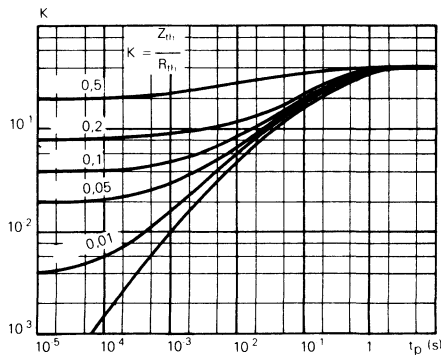
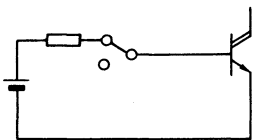


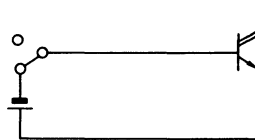
Fig. 5 - Transient thermal response

SWITCHING OPERATING AND OVERLOAD AREAS



DARLINGTON FORWARD BIASED

- During the turn-on
- During the turn-off without negative base-emitter voltage.



DARLINGTON REVERSE BIASED

- During the turn-off with negative B₁ and/or B₂

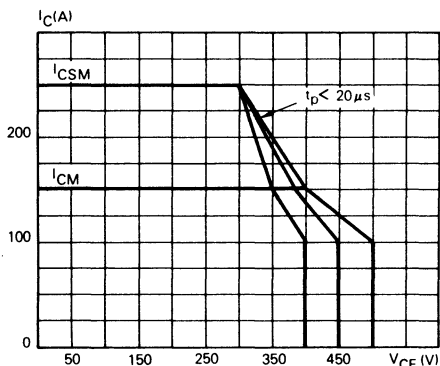


Fig. 6 - Forward biased safe operating area (FBSOA)

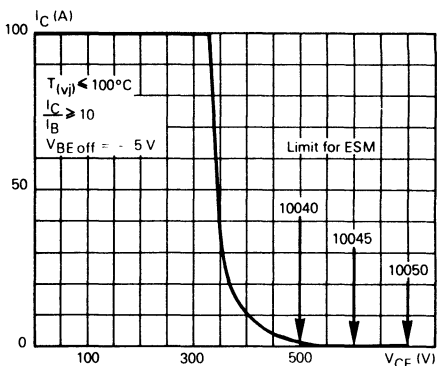


Fig. 7 - Reverse biased safe operating area (RBSOA)

DC AND PULSE AREA

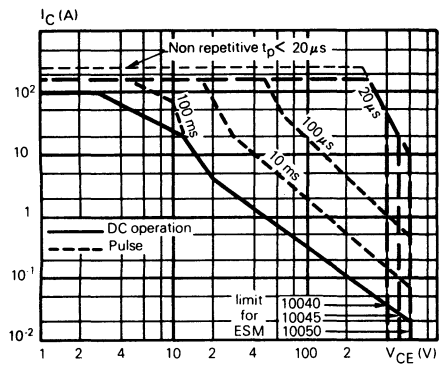


Fig. 8 - DC and Pulse area

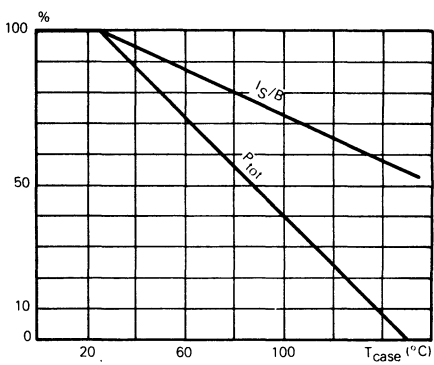


Fig. 9 - Power and I_S/B derating

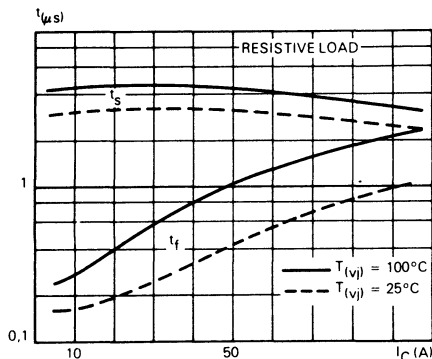


Fig. 10 - Turn-off time versus collector current

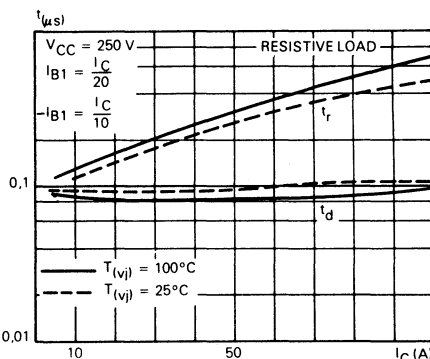


Fig. 11 - Turn-on time versus collector current

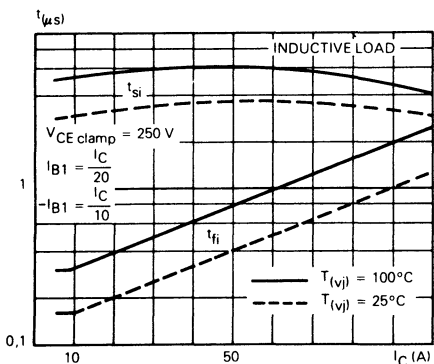


Fig. 12 - Turn-off time versus collector current

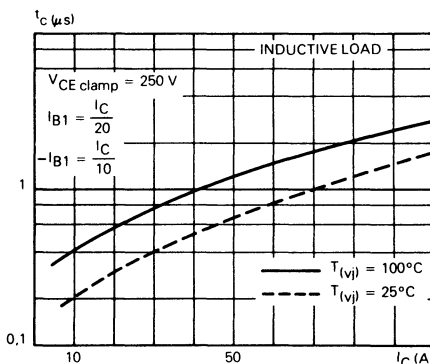


Fig. 13 - Crossover time versus collector current

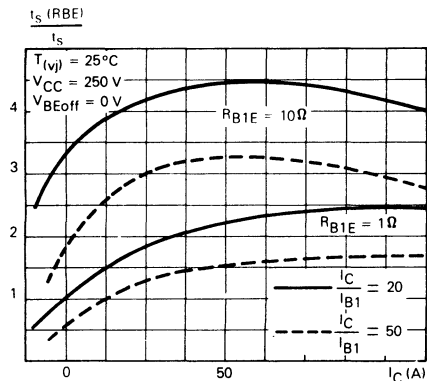


Fig. 14 - Normalized storage time versus collector current

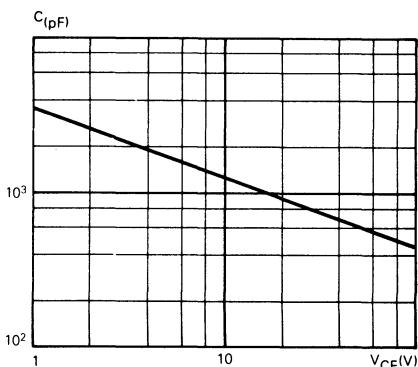
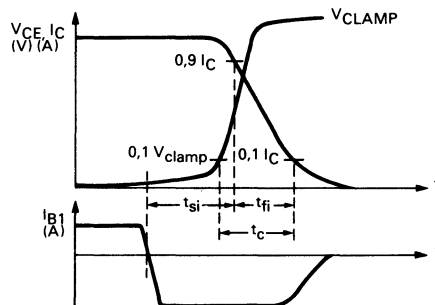
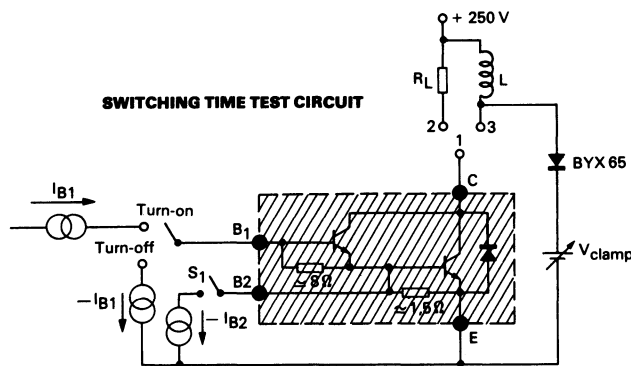
Fig. 15 - Capacitance (C_{CBO})

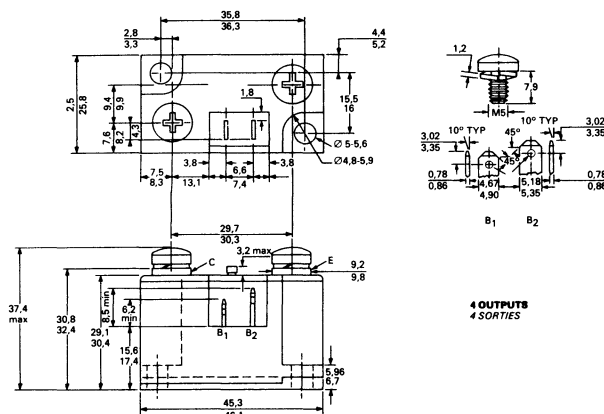
Fig. 16 - TURN-OFF SWITCHING WAVEFORMS (INDUCTIVE LOAD)



SWITCHING TIME TEST CIRCUIT



Switching times are specified using base 1 only - using base 1 and base 2 during turn-off (S_1 closed) typical reduction in turn-off times (t_s , t_c , t_f) range 2 : 1.

4 OUTPUTS
4 SORTIES

MJE 13004 MJE 13005, A

NPN HIGH VOLTAGE SWITCHING TRANSISTORS
TRANSISTORS NPN HAUTE TENSION DE COMMUTATION

ADVANCE INFORMATION

High voltage, high speed transistors suited for use on the 220 V mains :

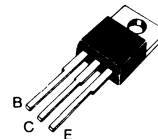
Switchmode power supply, DC and AC motor control

Transistors haute tension, rapides, adaptés à l'utilisation sur le réseau 220 V :

Alimentations à découpage, commande de moteurs continus, alternatifs

| | MJE 13004 | MJE 13005 | MJE 13005 A |
|---------------------|--------------|--------------|----------------|
| V _{CEOsus} | 300 V | 400 V | 400 V |
| V _{C EV} | 600 V | 700 V | 850 V |
| I _{Csat} | 2 A | 2 A | 2 A |
| t _f max. | 0,9 µs | 0,9 µs | 0,9 µs |

Case
Boîtier TO-220 AB (CB-117)



ABSOLUTE RATINGS (LIMITING VALUES) VALEURS LIMITES ABSOLUES D'UTILISATION

T_{case} = 25 °C

| | | MJE 13004 | MJE 13005 | MJE 13005 A | |
|--|---|------------------|-------------|-------------|----|
| Collector-emitter voltage Tension collecteur-émetteur | V _{CEO} | 300 | 400 | 400 | V |
| Collector-emitter voltage Tension collecteur-émetteur | V _{C EV} | 600 | 700 | 850 | V |
| Emitter-base voltage Tension émetteur-base | V _{EBO} | | 9 | | V |
| Collector current Courant collecteur | I _C I _{CM} | | 4 8 | | A |
| Base current Courant de base | I _B I _{BM} | | 2 4 | | A |
| Power dissipation Dissipation de puissance | T _{amb} = 25 °C T _{case} = 25 °C | P _{tot} | 2 75 | | W |
| Junction temperature Température de jonction | max. | T _j | - 65, + 150 | | °C |

| | | | |
|---|----------------------|------|------|
| Junction-case thermal resistance Résistance thermique jonction-boîtier | R _{th(j-c)} | 1,67 | °C/W |
| Junction-ambient thermal resistance Résistance thermique jonction-ambiante | R _{th(j-a)} | 62,5 | °C/W |

ELECTRICAL CHARACTERISTICS — CARACTÉRISTIQUES ÉLECTRIQUES**

| Symbols | Min. | Typ. | Max. | Units | | Test conditions — Conditions de mesure |
|---------|------|------|------|-------|--|--|
|---------|------|------|------|-------|--|--|

OFF CHARACTERISTICS — CARACTÉRISTIQUES A L'ÉTAT BLOQUÉ

| | | | | | | |
|--------------------|------------|--------|----|---|---------------------------|--|
| V _{CEOus} | 300 400 | | | V | MJE 13004 MJE 13005, A | I _B = 0, I _C = 10 mA |
| I _{CEV} | | 1 5 | mA | | | T _{case} = 25 °C T _{case} = 100 °C } V _{CE} = V _{CEV} , V _{BE} = 1.5 V |
| I _{EBO} | | 1 | mA | | | I _C = 0, V _{EB} = 9 V |

ON CHARACTERISTICS — CARACTÉRISTIQUES A L'ÉTAT CONDUCTEUR

| | | | | | | |
|----------------------|---------|----------------------|----------|--|--|--|
| h _{21E} | 10 8 | | 60 40 | | V _{CE} = 5 V, V _{CE} = 5 V, | I _C = 1 A I _C = 2 A |
| V _{CESat} * | | 0,5 0,6 1 1 | V | | I _C = 1 A, I _B = 0,2 A I _C = 2 A, I _B = 0,5 A I _C = 4 A, I _B = 1 A I _C = 2 A, I _B = 0,5 A | T _{case} = 100 °C |
| V _{BESat} * | | 1,2 1,6 1,5 | V | | I _C = 1 A, I _B = 0,2 A I _C = 2 A, I _B = 0,5 A I _C = 2 A, I _B = 0,5 A | T _{case} = 100 °C |

DYNAMIC CHARACTERISTICS — CARACTÉRISTIQUES DYNAMIQUES

| | | | | | | |
|-----------------|---|----|--|-----|--|--|
| f _T | 4 | | | MHz | | f = 1 MHz, I _C = 500 mA, V _{CE} = 10 V |
| C _{ob} | | 65 | | pF | | V _{CB} = 10 V, I _E = 0, f = 0,1 MHz |

SWITCHING CHARACTERISTICS — CARACTÉRISTIQUES DE COMMUTATION**Resistive load — Charge résistive**

| | | | | | | |
|----------------|--|-------|-----|----|--|--|
| t _d | | 0,025 | 0,1 | μs | | V _{CC} = 125 V, I _C = 2 A, I _{B1} = I _{B2} = 0,4 A, t _p = 25 μs, δ ≤ 1 % |
| t _r | | 0,3 | 0,7 | | | |
| t _s | | 1,7 | 3,5 | | | |
| t _f | | 0,4 | 0,9 | | | |

Inductive load — Charge inductive

| | | | | | | |
|-----------------|--|------|-----|----|--|--|
| t _{sv} | | 0,9 | 1,3 | μs | | I _C = 2 A, V _{CC} = 300 V, I _{B1} = 0,4 A, V _{BE} = 5 V, T _{case} = 100 °C |
| t _c | | 0,32 | 0,9 | | | |

* Measured with pulses t_p = 300 μs, δ ≤ 2 % ** T_{case} = 25 °C Unless otherwise stated

ADVANCE INFORMATION

High voltage, high speed transistors suited for use on the 220 V mains :

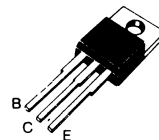
Switchmode power supply, DC and AC motor control

Transistors haute tension, rapides, adaptés à l'utilisation sur le réseau 220 V :

Alimentations à découpage, commande de moteurs continus, alternatifs

| | MJE 13006 | MJE 13007 | MJE 13007 A |
|----------------------------|----------------------|----------------------|------------------------|
| V_{CEO}osus | 300 V | 400 V | 400 V |
| V_{CEV} | 600 V | 700 V | 850 V |
| I_{Csat} | 2 A | 2 A | 2 A |
| t_f max. | 0,7 µs | 0,7 µs | 0,7 µs |

**Case
Boîtier TO-220 AB (CB-117)**



ABSOLUTE RATINGS (LIMITING VALUES)
VALEURS LIMITES ABSOLUES D'UTILISATION

T_{case} = 25 °C

| | | MJE 13006 | MJE 13007 | MJE 13007 A | |
|---|---|------------------|------------------|--------------------|----|
| Collector-emitter voltage <i>Tension collecteur-émetteur</i> | V _{CEO} | 300 | 400 | 400 | V |
| Collector-emitter voltage <i>Tension collecteur-émetteur</i> | V _{CEV} | 600 | 700 | 850 | V |
| Emitter-base voltage <i>Tension émetteur-base</i> | V _{EBO} | | 9 | | V |
| Collector current <i>Courant collecteur</i> | I _C I _{CM} | | 8 16 | | A |
| Base current <i>Courant de base</i> | I _B I _{BM} | | 4 8 | | A |
| Power dissipation <i>Dissipation de puissance</i> | T _{amb} = 25 °C T _{case} = 25 °C | P _{tot} | 2 80 | | W |
| Junction temperature <i>Température de jonction</i> | max. | T _j | - 65, + 150 | | °C |

| | | | |
|--|----------------------|------|------|
| Junction-case thermal resistance <i>Résistance thermique jonction-boîtier</i> | R _{th(j-c)} | 1,56 | °C/W |
| Junction-ambient thermal resistance <i>Résistance thermique jonction-ambiente</i> | R _{th(j-a)} | 62,5 | °C/W |

ELECTRICAL CHARACTERISTICS — CARACTÉRISTIQUES ÉLECTRIQUES**

| Symbols | Min. | Typ. | Max. | Units | | Test conditions — Conditions de mesure |
|---------|------|------|------|-------|--|--|
|---------|------|------|------|-------|--|--|

OFF CHARACTERISTICS — CARACTÉRISTIQUES A L'ÉTAT BLOQUÉ

| | | | | | | |
|----------------------|------------|--|--------|----|---------------------------|--|
| V _{CEO} sus | 300 400 | | | V | MJE 13006 MJE 13007, A | I _B = 0, I _C = 10 mA |
| I _{CEV} | | | 1 5 | mA | | T _{case} = 25 °C T _{case} = 100 °C } V _{CE} = V _{CEV} , V _{BE} = 1.5 V |
| I _{EBO} | | | 1 | mA | | I _C = 0, V _{EB} = 9 V |

ON CHARACTERISTICS — CARACTÉRISTIQUES A L'ÉTAT CONDUCTEUR

| | | | | | | |
|----------------------|--------|--|--------------------|---|--|---|
| h _{21E} | 8 6 | | 40 30 | | | V _{CE} = 5 V, I _C = 2 A V _{CE} = 5 V, I _C = 5 A |
| V _{CEsat} * | | | 1 1,5 3 2 | V | | I _C = 2 A, I _B = 0,4 A I _C = 5 A, I _B = 1 A I _C = 8 A, I _B = 2 A I _C = 5 A, I _B = 1 A T _{case} = 100 °C |
| V _{BEsat} * | | | 1,2 1,6 1,5 | V | | I _C = 2 A, I _B = 0,4 A I _C = 5 A, I _B = 1 A I _C = 5 A, I _B = 1 A T _{case} = 100 °C |

DYNAMIC CHARACTERISTICS — CARACTÉRISTIQUES DYNAMIQUES

| | | | | | | |
|-----------------|---|-----|--|-----|--|--|
| f _T | 4 | | | MHz | | f = 1 MHz, I _C = 500 mA, V _{CE} = 10 V |
| C _{ob} | | 110 | | pF | | V _{CB} = 10 V, I _E = 0, f = 0,1 MHz |

SWITCHING CHARACTERISTICS — CARACTÉRISTIQUES DE COMMUTATION**Resistive load — Charge résistive**

| | | | | | | |
|----------------|--|------|-----|----|--|--|
| t _d | | 0,05 | 0,1 | μs | | V _{CC} = 125 V, I _C = 5 A, I _{B1} = I _{B2} = 1 A, t _p = 25 μs, δ ≤ 1 % |
| t _r | | 0,5 | 1 | | | |
| t _s | | 1 | 3 | | | |
| t _f | | 0,15 | 0,7 | | | |

Inductive load — Charge inductive

| | | | | | | |
|-----------------|--|------|-----|----|--|--|
| t _{sv} | | 0,86 | 2,3 | μs | | I _C = 5 A, V _{CC} = 300 V, I _{B1} = 1 A, V _{BE} = 5 V, T _{case} = 100 °C |
| t _c | | 0,14 | 0,7 | | | |

* Measured with pulses t_p = 300 μs, δ ≤ 2 % ** T_{case} = 25 °C Unless otherwise stated

ADVANCE INFORMATION

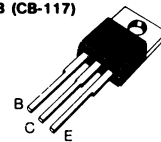
High voltage, high speed power switching transistors designed for use in inductive circuits where fall time is critical. They are suited for line operated switchmode applications.

APPLICATIONS :

- Switching regulators
- Inverters
- Solenoid and relay drivers
- Motor controls
- Deflection circuits

| | MJE 13008 | MJE 13009 | MJE 13009 A |
|---------------------------|----------------------|----------------------|------------------------|
| V_{CEOsus} | 300 V | 400 V | 400 V |
| V_{CEV} | 600 V | 700 V | 850 V |
| I_{Csat} | 5 A | 5 A | 5 A |
| t_f max. | 700 ns | 700 ns | 700 ns |

**Case
Boîtier TO-220 AB (CB-117)**



Collector is connected to case

ABSOLUTE RATINGS (LIMITING VALUES)

VALEURS LIMITES ABSOLUES D'UTILISATION

T_{case} = 25 °C

| | | MJE 13008 | MJE 13009 | MJE 13009 A | |
|---|---|------------------|------------------|--------------------|----|
| Collector-emitter voltage <i>Tension collecteur-émetteur</i> | V _{CEO} | 300 | 400 | 400 | V |
| Collector-emitter voltage <i>Tension collecteur-émetteur</i> | V _{CEV} | 600 | 700 | 850 | V |
| Emitter-base voltage <i>Tension émetteur-base</i> | V _{EBO} | | 9 | | V |
| Collector current* <i>Courant collecteur</i> | I _C I _{CM} | | 12 24 | | A |
| Base current* <i>Courant de base</i> | I _B I _{BM} | | 6 12 | | A |
| Power dissipation <i>Dissipation de puissance</i> | T _{amb} = 25 °C T _{case} = 25 °C | P _{tot} | 2 100 | | W |
| Junction temperature <i>Température de jonction</i> | T _j | | - 65, + 150 | | °C |

| | | | |
|--|----------------------|------|------|
| Junction-case thermal resistance <i>Resistance thermique jonction-boîtier</i> | R _{th(j-c)} | 1.25 | °C/W |
|--|----------------------|------|------|

* t_p = 5 ms, δ = 10 % max.

50, rue Jean-Pierre Timbaud - B.P. 5
F - 92403 Courbevoie Cedex FRANCE
Tél. : (1) 788-50-01 Telex : 610560 F

ELECTRICAL CHARACTERISTICS — CARACTÉRISTIQUES ÉLECTRIQUES*

| Symbols | Min. | Typ. | Max. | Units | | Test conditions — Conditions de mesure |
|---------|------|------|------|-------|--|--|
|---------|------|------|------|-------|--|--|

**** OFF CHARACTERISTICS — CARACTÉRISTIQUES A L'ÉTAT BLOQUÉ**

| | | | | | | |
|-----------------------|------------|---|----|---|---------------------------|---|
| V _{CEO} Osus | 300 400 | | | V | MJE 13008 MJE 13009, A | I _C = 10 mA, I _B = 0 |
| I _{CEV} | | 1 | V | | | V _{CEV} max., V _{BE} = -1.5 V |
| | | 5 | | | | V _{CEV} max., V _{BE} = -1.5 V, T _{case} = 100 °C |
| I _{EBO} | | 1 | mA | | | V _{EB} = 9 V, I _C = 0 |

**** ON CHARACTERISTICS — CARACTÉRISTIQUES A L'ÉTAT CONDUCTEUR**

| | | | | | | |
|--------------------|---|-----|---|--|--|--|
| h _{FE} | 8 | 40 | | | | I _C = 5 A, V _{CE} = 5 V |
| | 6 | 30 | | | | I _C = 8 A, V _{CE} = 5 V |
| V _{CESat} | | 1 | V | | | I _C = 5 A, I _B = 1 A |
| | | 1.5 | | | | I _C = 8 A, I _B = 1.6 A |
| | | 3 | | | | I _C = 12 A, I _B = 3 A |
| | | 2 | | | | I _C = 8 A, I _B = 1.6 A, T _{case} = 100 °C |
| V _{BESat} | | 1.2 | V | | | I _C = 5 A, I _B = 1 A |
| | | 1.6 | | | | I _C = 8 A, I _B = 1.6 A |
| | | 1.5 | | | | I _C = 8 A, I _B = 1.6 A, T _{case} = 100 °C |

DYNAMIC CHARACTERISTICS — CARACTÉRISTIQUES DYNAMIQUES

| | | | | | | |
|-----------------|---|-----|--|-----|--|--|
| f _T | 4 | | | MHz | | I _C = 500 mA, V _{CE} = 10 V, f = 1 MHz |
| C _{ob} | | 180 | | pF | | V _{CB} = 10 V, I _E = 0, f = 0.1 MHz |

* T_{case} = 25 °C unless otherwise stated** t_p = 300 µs, δ = 2 %

SWITCHING CHARACTERISTICS — CARACTÉRISTIQUES DE COMMUTATION*

| Symbols | Min. | Typ. | Max. | Unit | | Test conditions — Conditions de mesure |
|---------|------|------|------|------|--|--|
|---------|------|------|------|------|--|--|

Resistive load — Charge résistive

| | | | | | | |
|-------|--|------|-----|---------|--|--|
| t_d | | 0,06 | 0,1 | μs | | $V_{CC} = 125 \text{ V}, \quad I_C = 8 \text{ A},$ $I_{B1} = I_{B2} = 1,6 \text{ A}, \quad t_p = 25 \mu s$ $\delta 1\% \text{ max.}$ |
| t_r | | 0,45 | 1 | | | |
| t_s | | 1,3 | 3 | | | |
| t_f | | 0,2 | 0,7 | | | |

Inductive load — Charge inductive

| | | | | | | |
|----------|--|------|-----|---------|--|--|
| t_{sv} | | 0,92 | 2,3 | μs | | $I_C = 8 \text{ A}, \quad V_{clamp} = 300 \text{ V},$ $I_{B1} = I_{B2} = 1,6 \text{ A}, \quad V_{EB} = 5 \text{ V}, \quad T_{case} = 100^\circ\text{C}$ |
| t_c | | 0,12 | 0,7 | | | |

* $T_{case} = 25^\circ\text{C}$ Unless otherwise stated

ERRATA :

Pour tous les transistors

BD 905, 907, 909, 911 → page 227

BD 906, 908, 910, 912 → page 231

la valeur de h_{21E} à $V_{CE} = 4V$ $I_C = 0,5A$

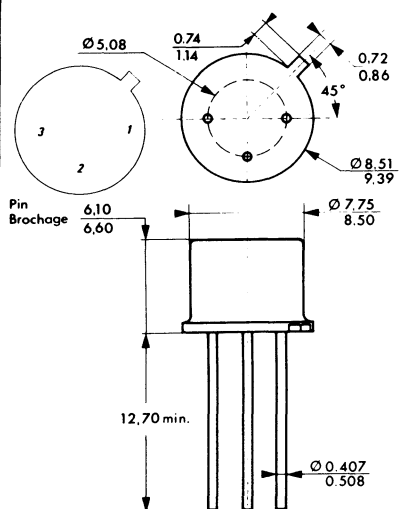
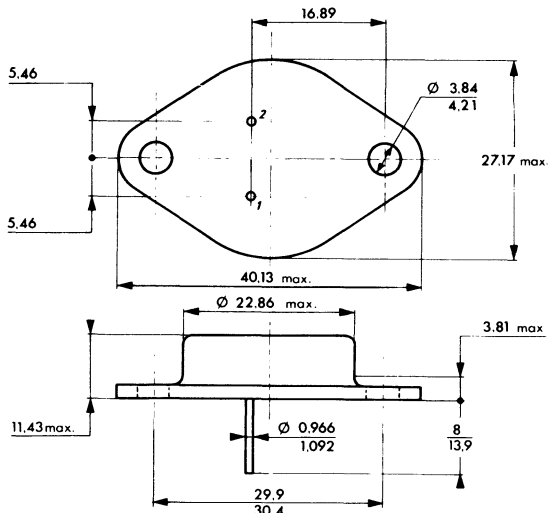
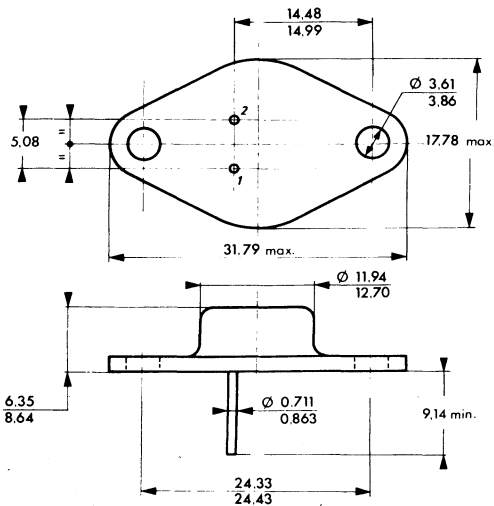
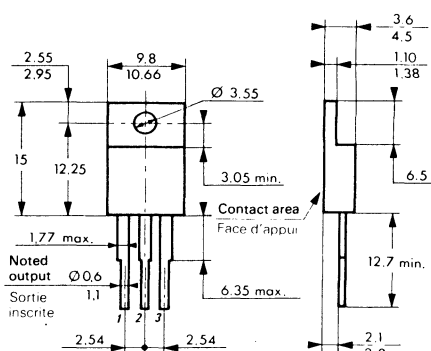
est de 40 min. et 350 max.

cases
boîtiers

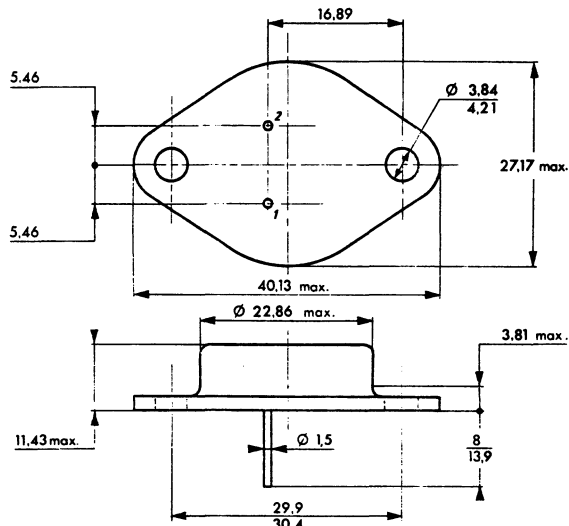
JEDEC, SITEESC AND THOMSON CSF DSD (CB...) number cases

numéros de boîtiers, JEDEC, SITEESC ET THOMSON CSF DSD (CB...)

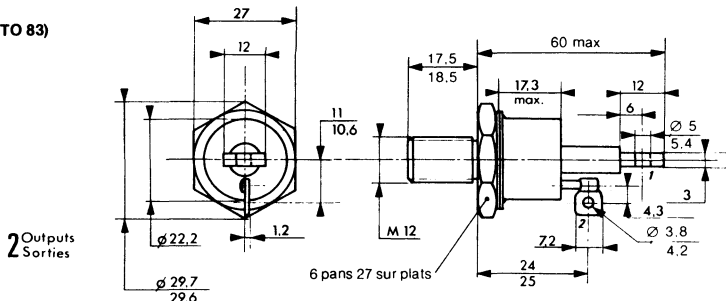
| | |
|-------------------------------------|--------|
| ISO-TOP | CB 285 |
| ISO-TOP GIANT (ISO-TOP GÉANT) | CB 413 |
| ISO-TOP SCREWABLE (VISSABLE) | CB 416 |
| MU 86 | CB 263 |
| TO 3 | CB 19 |
| TO 3 modified (modifié) | CB 159 |
| TO 39 | CB 7 |
| TO 66 | CB 72 |
| TO 83 | CB 183 |
| TO 218 (TOP 3) | CB 244 |
| TO 220 AB | CB 117 |

CB 7 (TO 39)**CB 19 (TO 3)****CB 72 (TO 66)****CB 117 (TO 220 AB)**2 Outputs
2 Sorties

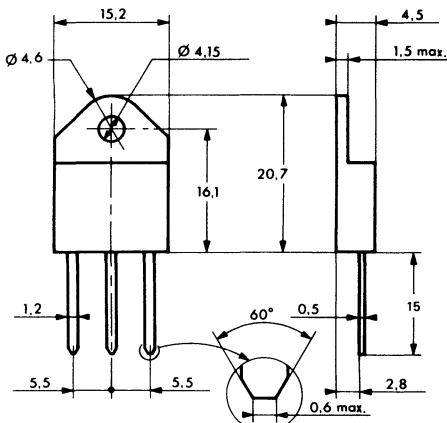
CB 159 (TO 3 modified)



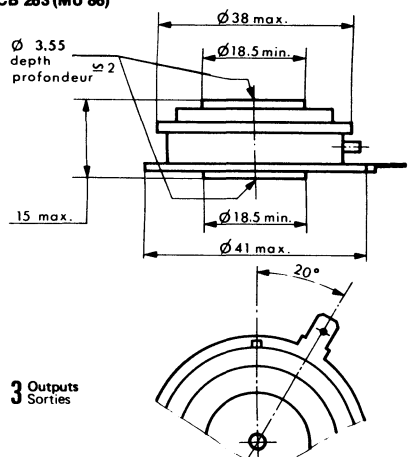
CB 183 (TO 83)



CB 244 (TOP 3 - TO 218)



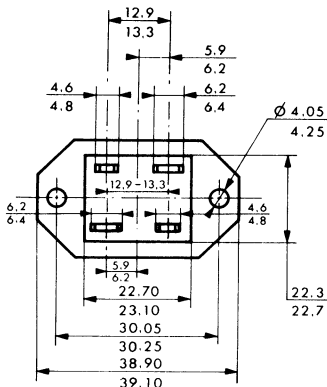
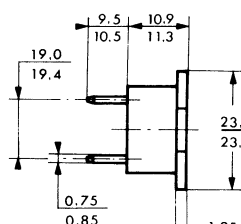
CB 263 (MU 86)



CB 285 (ISO-TOP)

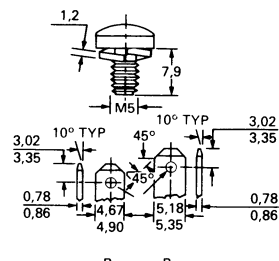
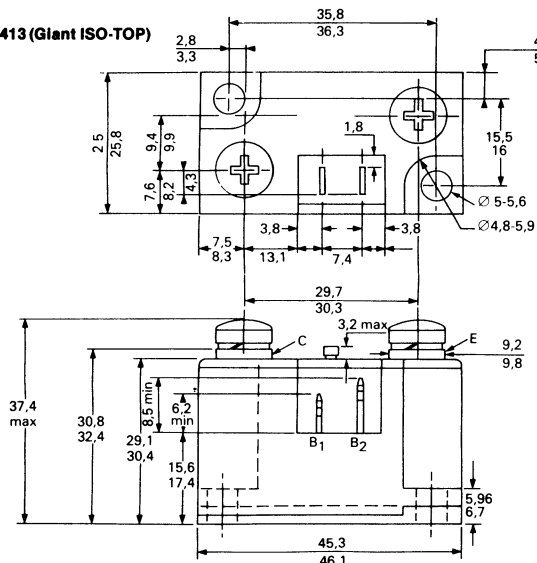


Marking : clear
Marquage : en clair
Note : Pin 3 may be omitted
La broche 3 peut être omise



4 Outputs
4 Sorties

CB 413 (Giant ISO-TOP)

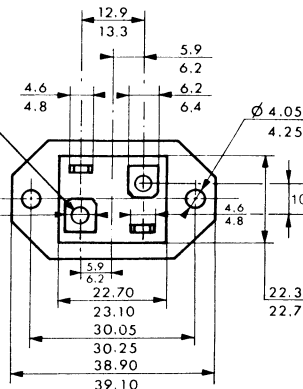
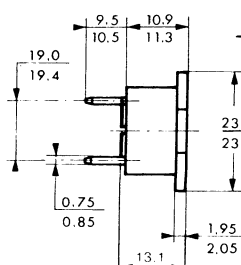


4 OUTPUTS
4 SORTIES

CB 416 (ISO-TOP Screwable)



Marking : clear
Marquage : en clair
Note : Pin 3 may be omitted
La broche 3 peut être omise



4 Outputs
4 Sorties



sales representatives
réseaux commerciaux



THOMSON-CSF
DIVISION
SEMICONDUCTEURS DISCRETS
DIRECTION COMMERCIALE

50, rue Jean-Pierre Timbaud
B.P. 5/92403 Courbevoie Cedex
Tél. : (1) 788.50.01
Telex : 610560 F

RESEAU DE VENTE

THOMSON-CSF
SRD
Chemin des Pennes au Pin
Plan de Campagne
13170 LES PENNES MIRABEAU
Tél. : (42) 02.91.08
Telex : 440 076 F

RESEAU DE DISTRIBUTION FRANCE (15 octobre 1982)

Région parisienne

THOMSON-CSF COMPOSANTS

DISTRIBUTION

30, avenue de la République
B.P. 1
94800 VILLEJUIF
Tél. : 677.81.71
Telex : 260 743 F

CODICOM

52, quai des Carrières B.P. 43
94220 CHARENTON
Tél. : 375.95.92 Telex : 680 363 F

GALLEC

40, rue des Fontenelles
92000 NANTERRE
Tél. : 774.76.86
Telex : 613 232 F

29, rue Raymond Losserand
75014 PARIS
Tél. : 322.70.85
Telex : 204 363 F

GEDIS

53, rue de Paris
92100 BOULOGNE
Tél. : 604.81.70
Telex : 270 191 F

Nord

SIDE (CODICOM)
Avenue Robert Schuman
C2 Résidence de l'Europe
59370 MONS-EN-BAROEUL
Tél. : (20) 04.75.08

Ouest

DIRECT S.A
151-153, rue de Constantine
B.P. 4012
76021 ROUEN Cedex
Tél. : (35) 98.17.98
Telex : 770.842 F

UEST COMPOSANTS

57, rue Manoir de Servigné
Z.I. Route de Lorient B.P. 3209
35013 RENNES CEDEX
Tél. : (99) 54.01.53
Telex : WESCOMP 740 311 F

RIME

Rue de la Dutée B.P. 38
44800 ST HERBLAIN
Tél. : (40) 46.12.00
Telex : 710.084 F

SIDE (CODICOM)

Résidence Front de Seine
41, quai du Havre
76000 ROUEN
Tél. : (35) 98.22.99

Sud-Ouest

AQUITAINE COMPOSANTS
Parc industriel Bersol BP 81
Avenue Gustave Eiffel
33605 PESSAC CEDEX
Tél. : (56) 36.40.40
Telex : 550 696 F

Est

CODIREL (CODICOM)
Rue du Grand Véon
10000 TROYES
Tél. : (25) 82.17.43

DOCKS ELECTRIQUES LYONNAIS
2, rue de l'Escaut
Z.I. de St Apollinaire
21000 DIJON
Tél. : (80) 71.57.45
Telex : 350.833 F SOLEP SAPOL

SELFCO

31, rue du Fossé des Treize
67000 STRASBOURG
Tél. : (88) 22.08.88
Telex : 890 706 F

S.L.R.D.

36, rue des Jardins
Le Ban St Martin B.P. 1
LONGEVILLE-LES-METZ
57023 METZ CEDEX
Tél. : (87) 32.53.12 / 32.26.22
Telex : 860 177 F

Centre et Centre-Ouest

AUVERLEC
Z.I. 2, rue de l'Industrie B.P. 2
63800 COURNON D'AUVERGNE
Tél. : (73) 84.76.62
Telex : 392 623 GOTEL

Ets P. GOUTEYRON

17-21, rue Fulton - Z.I. Nord
87100 LIMOGES
Tél. : (55) 37.42.81
Telex : 580 643 F

SEDRE

11, rue du 11 Novembre
42100 ST ETIENNE
Tél. : (77) 32.80.57

Rhône-Alpes

DOCKS ELECTRIQUES LYONNAIS
8, rue des Frères L & E Bertrand
69632 VENISSIEUX
Tél. : (78) 00.86.97
Telex : 340 189 F

PELLET ET SOLIGNAC

B.P. 136
38431 ECHIROLLES CEDEX
Tél. : (76) 22.05.09
Telex : 980 938 SOLEPGR

SEDRE

Av. du Vercors
Corenc-Montfleury
38700 LA TRONCHE
Tél. : (76) 90.71.18
Telex : 980 936

Midi-Pyrénées

SODIMEP
8, av. Léon Viala B.P. 310 28
31400 TOULOUSE
Tél. : (61) 52.01.21
Telex : 530737

SPELEC S.A.

55, bd de Thibaud
31084 TOULOUSE CEDEX
Tél. : (61) 41.05.00
Telex : 530 777 F

Côte d'Azur

DIMEL
Le Marino - Av. Claude Farrère
83000 TOULON
Tél. : (94) 41.49.63
Telex : 430 093

SRD

Chemin des Pennes au Pin
Plan de Campagne
13170 LES PENNES MIRABEAU
Tél. : (42) 02.91.08
Telex : 440 076 F

SALES NETWORK (October 15, 1982)

AUSTRALIA

CONSULAUST INTERNATIONAL Pty Ltd
Postal Box 357
734 Riversdale Road
CAMBERWELL, VIC 3124
Tel. : 03.836.25.66 Telex : 37455 CONAUS AA

AUSTRIA

THOMSON-CSF Elektronische Anlagen GmbH
Hasenauerstrasse 45
A. 1180 WIEN
Tel. : (222) 34.42.91 Telex : 135572 TCSF WA

BELGIUM and The NETHERLANDS

THOMSON S.A.-N.V.
363 Avenue Louise B.P. 10
B-1050 BRUXELLES
Tel. : (2) 648.64.85 Telex : 23113 THBXL B

THOMSON S.A.-N.V.
Vaartweg 27B
5109 - RA s'GRAVENMOER
The NETHERLANDS
Tel. : (16) 231.76.00 Telex : 54819 THOM / NI

BRAZIL

THOMSON-CSF Componentes do Brasil
Avenida Roque Petroni Junior, 23
Broo Klin
SAO PAULO CEP 04707
Tel. : (11) 542.47.22 Telex : 1124226 TCSF BR.

CANADA

THOMSON-CSF Canada Ltd
Components Department
350 Sparks Street / Suite 701
OTTAWA K1R 7S8
ONTARIO
Tel. : (613) 236.36.28 Telex : 533796 TESAFIOTT

DENMARK

SCAN SUPPLY
20 Nannasgade
DK-2200 COPENHAGEN
Tel. : (01) 83.50.90 Telex : 19037 SCAPLY DK

FINLAND

OY TOP COMPONENTS AB
Kolmas Linja 16 B 22
SF-00530 HELSINKI 53
Tel. : (90) 75.04.14 Telex : 125200 TOPCO SF

GERMANY (WEST)

THOMSON-CSF Bauelemente GmbH
Perchtlinger Str. 3
Postfach 70 19 09
8000 MÜNCHEN 70
Tel. : (089) 7879.0 Telex : 522916

GREECE

MAKONIK A. LUCINI and CO. OE
90 Achilleus Street
KALLITHEA
ATHENES
Tel. : (30) 1.941.93.29 Telex : 219150 MAKO GR

FAR EAST ASIA

THOMSON-CSF Far East Ltd
401-402 Houston Centre
Ching Yee Road - Tsimshatsui East
KOWLOON
HONG KONG
Tel. : (3) 721.96.82 Telex : 40766 TCFE HX

INDIA

MELTRON
(MAHARASHTRA ELECTRONICS Corp Ltd)
Plot 214 - Backway
Raheja / center 13th floor
Nariman Point
BOMBAY 400.021
Tel. : 240.538 Telex : 0114506

IRAN

FARATEL
PO Box 11/1682
21 Kandovan Alley Opp. Villa
Enghehab Ave.
TEHERAN
Tel. : (98) 21.67.00.01/5 Telex : 213071 FARA IR

ITALY

THOMSON-CSF Componenti
Via M. Gioia 72
I-20125 MILANO
Tel. : (2) 688.41.41 Telex : 330.301 TOMCO-I

THOMSON-CSF Componenti

Lungotevere Dei Mellini 45
00193 ROMA
Tel. : (6) 31.92.42.34 Telex : 614065

JAPAN

THOMSON-CSF Japan K.K.
Components and Tubes Dept.
TBR Bldg 701
Kojimachi 5-7
Chiyoda-Ku
TOKIO 102
Tel. : (3) 264.63.46 Telex : 2324241 THCSF.J

MEXICO

COBRA ELECTRONICA SA
Peten Norte 15 bis
Col Narvarte
MEXICO 12 DF
Tel. : (52) 5.355.59.34 Telex : 1772108 COELME

MORROCO

SFRM
59, Allée des Orangers
AIN SEBA
Tel. : (212) 35.08.44 Telex : 26944

NORWAY

TAHONIC A/S
Postboks 140 Kaldbakken
KAKKELOVNSKROKEN 2
N-OSLO 9
Tel. : (02) 16.16.10 Telex : 17397 TONIC N

PORTUGAL

Sd COM RUALDO
Rua S. Jose 15
P-LISBAO 2
Tel. : (351) 19.36.37.25 Telex : 16447 Cable RUALDO

SOUTH EAST ASIA

THOMSON-CSF Components SEA
Units 5D-7D, 4TH Floor, Block 15
996 Bendemeer Road
Kallang Basin Industrial Estate
SINGAPORE 1233
Tel. : (65) 295.31.24 Telex : RS 36124 TC SEA

SOUTH AFRICA

PACE ELECTRONIC COMPONENTS PTY Ltd
PO Box 701
Isando 1600
TRANSVAAL

SPAIN

THOMSON-CSF Componentes y Tubos
Calle Almagro N°3 - 6^o Izq.
E-MADRID-4
Tel. : (1) 419.66.91/419.65.51 Telex : 46033

THOMSON-CSF Componentes y Tubos

Polygono Industrial Fontsanta Calle H S/N
San Juan Despi
E-BARCELONA
Tel. : (3) 373.30.11 Telex : 53077

SWEDEN

THOMSON-CSF Komponenter & Elektronrör AB
Sandhamngatan 65 Box 27080
S-10251 STOCKHOLM
Tel. : (08) 22.58.15 Telex : 12078 THCSF S

AB RIFA
Isafjordsgatan 10 - 16
STOCKHOLM - KISTA
Tel. : (08) 752.25.00
Telex : 13 690

TH'S ELEKTRONIK AB
BOX 3027
Arrendevägen 36
16303 SPANGA
Tel. : (08) 36.29.70 Telex : 11145

SWITZERLAND

MODULATOR S.A.
Konizstrasse 194
CH-3097 BERN-LIEBEFELD
Tel. : (31) 59.22.22 Telex : 32431 MOBER

TURKEY

BARKEY SANAYI MALZEMELERI
TEMSILCIUK Ltd SIRKETI
PO Box 58
OSMANBEY - ISTAMBOUL
Tel. : 48.91.47 - 47.97.40 Telex : 23401 HEN TR

UNITED KINGDOM and IRELAND

THOMSON-CSF Components and Materials Ltd
Ringway House Bell Road
DANNESHILL
BASINGSTOKE - HANTS RG 24-0QG
Tel. : (256) 29.155 Telex : 858865

TRANSWORLD SCIENTIFIC Ltd
Richardson street
HIGH WYCOMBE
BUCKS HP11 2QH
Tel. : (494) 36.381 Telex : 837236

U.S.A.

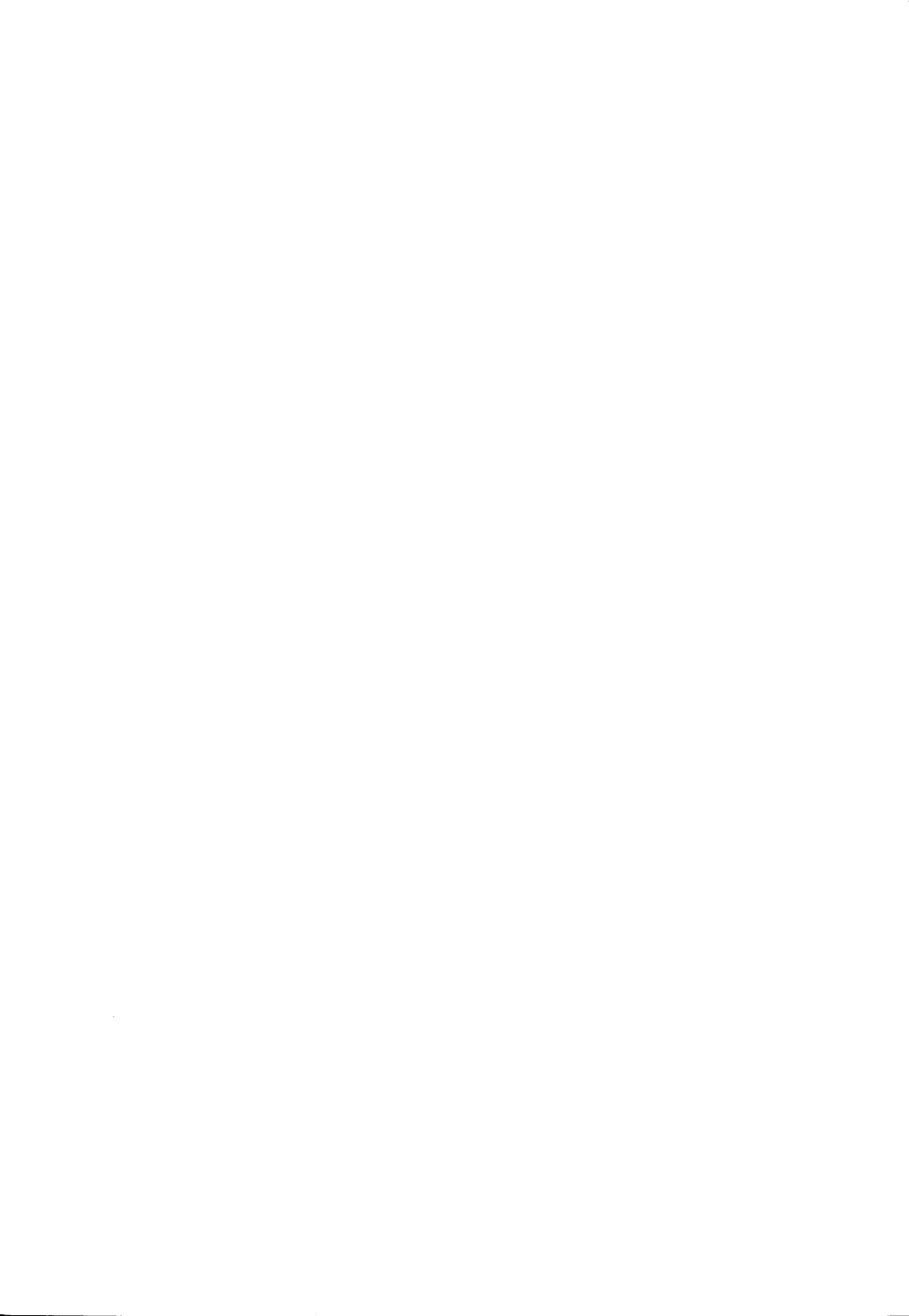
THOMSON-CSF Components Corporation
6660 Variel Avenue
CANOGA PARK CALIFORNIA 91303
Tel. : (213) 887.10.10 Telex 698481
Twx : 9104941954



THOMSON-CSF

DIVISION SEMICONDUCTEURS DISCRETS

50, rue Jean-Pierre Timbaud
B.P. 5/92403 Courbevoie Cedex
Tél. : (1) 788.50.01
Telex : 610560 F



Achevé d'imprimer le 25 Octobre 1982
par l'imprimerie Graphic Express 92240 Malakoff-France

Dépôt légal 4e trimestre 1982

© THOMSON-CSF, Division Semiconducteurs Discrets

These specifications or references are only given for information, without any guarantee as regards either mistakes or omissions. Their publication does not involve that the matter be free of any right of industrial property and does not grant any license of anyone of these rights. THOMSON-CSF, Semiconductors Division refusing all responsibility concerning their use whatever the purpose or appliance. Any copy, reprinting or translation of these specifications, entirely or partially without the assent and the written agreement of THOMSON-CSF Discrete Semiconductors Division is forbidden, according to the law of March 11, 1957, relating to the copyright.

© THOMSON-CSF, Division Semiconducteurs Discrets

Ces informations sont données à titre indicatif et sans garantie quant aux erreurs ou omissions. Leur publication n'implique pas que la matière exposée soit libre de tout droit de propriété industrielle et ne confère aucune licence d'un quelconque de ces droits. THOMSON-CSF, Division Semiconducteurs n'assument en outre aucune responsabilité quant aux conséquences de leur utilisation à quelques fins que ce soit. Toute copie, reproduction ou traduction de ces informations, intégralement ou partiellement, sans le consentement et l'accord écrit THOMSON-CSF, Division Semiconducteurs Discrets est interdite conformément aux dispositions de la loi du 11 Mars 1957.

Scan by F1CJL , March 2020 , 600dpi.



THOMSON-CSF

DIVISION SEMICONDUCTEURS DISCRETS
50, RUE JEAN-PIERRE TIMBAUD
BP 5 / F-92403 COURBEVOIE CEDEX / FRANCE
TÉL.: (1) 788.50.01 / TELEX : 610 560 F